RESSOURCES PMET RESOURCES

Projet minier Shaakichiuwaanaan

SHAAKICHIUWAANAAN

Étude d'impact sur l'environnement

Volume 8

Mars 2026

CA0001724.3318

wsp

LISTE DES ANNEXES – VOLUME 8

ANNEXE 6-17	**INVERTÉBRÉS BENTHIQUES**
ANNEXE 6-18	**TENEURS EN MÉTAUX DANS LA CHAIR DES POISSONS**
ANNEXE 6-18-1	TENEURS EN MÉTAUX DANS LA CHAIR DES POISSONS
ANNEXE 6-18-2	RÉVISION DES ANALYSES STATISTIQUES DU RAPPORT
ANNEXE 6-19	**AVIFAUNE, MAMMIFÈRES ET HERPÉTOFAUNE**
ANNEXE 6-20	**CAMPAGNE D'INVENTAIRE DE L'AVIFAUNE 2025**
ANNEXE 6-21	**CARIBOU FORESTIER ET MIGRATEUR**
ANNEXE 6-22	**CHIROPTÈRES**
ANNEXE 6-23	**ÉTAT DE RÉFÉRENCE DE LA PETITE FAUNE TERRESTRE POUR LE PROJET SHAAKICHIUWAANAAN**
ANNEXE 6-24	**IMPACTS SUR LA SANTÉ**
ANNEXE 6-25	**CIRCULATION**
ANNEXE 6-26	**ÉTUDE DU POTENTIEL ARCHÉOLOGIQUE**

ANNEXE

6-17 INVERTÉBRÉS BENTHIQUES

État de référence du milieu aquatique pour le projet Shaakichiuwaanaan

Invertébrés benthiques

Rapport présenté à :

Ressources PMET inc.

14 novembre 2025

Projet 151022002

Équipe de réalisation

Niigaan

Pierre-Olivier Côté, biologiste, B. Sc.	Directeur de projet et révision scientifique
Louise Zilber, chimie de l'environnement, M. Sc.	Chargée de projet, analyse et révision
Hyldane Boucard, biologiste, M. Sc.	Compilation, analyse et rédaction
Ariel Jacques, technicienne de la faune	Travaux terrain
Théo Fautrelle, stagiaire en biologie	Travaux terrain
Yaneck Branchaud, technicien de la faune	Travaux terrain
Hugo Sam, assistant de terrain Cri	Travaux terrain
Elden Sam Ratt, assistant de terrain Cri	Travaux terrain
Sophie Savard, géomatique, B. Sc.	Cartographie
Andrée-Anne Paul, agente de liaison autochtone	Liaison autochtone
Hélène Gauthier, adjointe administrative	Édition et révision

Préparé par :

Hyldane Boucard
Biologiste, M. Sc.

Préparé par :

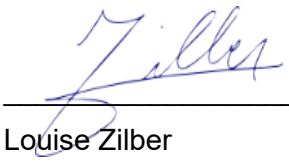

Louise Zilber
Chimie de l'environnement, M. Sc.

Approuvé par :

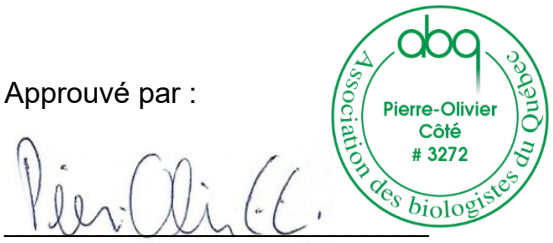

Pierre-Olivier Côté
Biologiste, B. Sc.

N° révision	Date	Description de la modification | de l'émission
03	2025-11-14	Version finale
02	2025-11-05	Version préliminaire avec données de 2025
01	2025-04-04	Version préliminaire

Portée et limitations

Le présent document doit être utilisé aux fins pour lesquelles il a été élaboré. Il est destiné exclusivement au client pour qui il a été réalisé et est réservé à l'usage exclusif de son destinataire. Tout usage par un tiers sans consentement est formellement interdit.

Le présent document a été réalisé avec les données recueillies sur le terrain et les informations disponibles sur les différents éléments étudiés en date du présent rapport. Les analyses techniques basées sur l'interprétation des divers articles de loi et des règlements en vigueur ne sont pas et ne doivent, en aucun temps, être considérées comme un avis juridique ou se substituer à un tel avis.

Les cartes portant le logo de Niigaan sont le résultat d'une compilation de l'information de bases de données publiques et des données d'inventaire récoltées sur le terrain. Elles n'ont pas été préparées par un arpenteur-géomètre et ne doivent pas être considérées comme telles. Niigaan ne se tient pas responsable des conclusions erronées dues à la dissimulation volontaire ou à la non-disponibilité d'une information pertinente au moment de réaliser le mandat.

Les analyses développées au sein de ce document sont présentées à titre indicatif seulement et la décision finale concernant les différentes modalités d'intervention et les zones officielles de protection sont du ressort du ministère de l'Environnement, de la Lutte contre les changements climatiques, de la Faune et des Parcs du Québec (MELCCFP) et/ou des autres ministères et organismes gouvernementaux (provincial, fédéral) ou de la municipalité concernée.

Par conséquent, Niigaan ne saurait être tenu responsable des interventions entreprises sur le milieu avant l'obtention de toutes les autorisations nécessaires ni pour d'éventuels dommages subis par un tiers résultant d'une décision prise ou basée sur ce rapport. Niigaan n'a aucun lien avec le client ni aucun intérêt dans la propriété à l'étude. Niigaan s'assure de l'intégrité du travail réalisé en évitant toutes situations de conflit d'intérêts.

Référence à citer

Niigaan. 2025. État de référence du milieu aquatique pour le projet Shaakichiuwaanaan - Invertébrés benthiques. Rapport du projet 151022002. 26 pages + annexes

Table des matières

1 Introduction 1
1.1 Contexte et objectifs 1
1.2 Zone d'inventaire 1
2 Méthodologie 4
2.1 Période et stations d'échantillonnage 4
2.2 Méthode d'échantillonnage 7
2.3 Contrôle qualité 7
2.4 Interprétation des résultats 8
3 Résultats et discussion 10
4 Conclusion 25
5 Références 26

Liste des cartes

Carte 1. Localisation du projet 3
Carte 2. Stations d'échantillonnage des invertébrés benthiques 6

Liste des tableaux

Tableau 1. Description des stations d'échantillonnage des invertébrés benthiques 5
Tableau 2. Descripteurs univariés mesurés aux stations d'échantillonnage 11

Liste des figures

Figure 1. Répartition des stations selon leur densité, richesse taxonomique et indice de régularité de Simpson 12
Figure 2. Abondance relative des groupes taxonomiques - station Aval-1 (Lac L27) 13
Figure 3. Abondance relative des groupes taxonomiques - station 4 (Lac L27) 13
Figure 4. Abondance relative des groupes taxonomiques - station 15 (Lac L27) 13
Figure 5. Abondance relative des groupes taxonomiques - station CE15 (Cours d'eau CE15) 15
Figure 6. Abondance relative des groupes taxonomiques - station L10 (Lac L10) 15
Figure 7. Abondance relative des groupes taxonomiques - station Inter 1-1 (Lac L01) 15
Figure 8. Abondance relative des groupes taxonomiques - station Inter 1-2 (Lac L02) 17

Figure 9. Abondance relative des groupes taxonomiques - station Inter 2-2 (Lac L517) 17
Figure 10. Abondance relative des groupes taxonomiques - station S Inter 1-3 (Cours d'eau CE11) 17
Figure 11. Abondance relative des groupes taxonomiques - station 7 (Lac L300) 19
Figure 12. Abondance relative des groupes taxonomiques - station 8 (Lac L323) 19
Figure 13. Abondance relative des groupes taxonomiques - station 9 (Lac L314) 19
Figure 14. Abondance relative des groupes taxonomiques - station 16 (Lac L220) 21
Figure 15. Abondance relative des groupes taxonomiques - station 17 (Lac L308) 21
Figure 16. Abondance relative des groupes taxonomiques - station 18 (Lac L311) 21
Figure 17. Abondance relative des groupes taxonomiques - station 19 (Lac L01) 23
Figure 18. Abondance relative des groupes taxonomiques - station 20 (Lac L18) 23
Figure 19. Abondance relative des groupes taxonomiques - station Lac ref (Lac L823) 23
Figure 20. Abondance relative des groupes taxonomiques - station CE11 (Cours d'eau CE11) 24

Liste des annexes

Annexe 1 Mesures physicochimiques *in situ* et données terrain ..... A
Annexe 2 Résultats analytiques – Qualité des sédiments ..... B
Annexe 3 Rapports d'identification de G.D.G Environnement C
Annexe 4 Photos ..... D

Liste des acronymes

CCME	Conseil canadien des ministres de l'Environnement
ECCC	Environnement et Changement climatique Canada
MDDEFP	Ministère du Développement durable, de l'Environnement, de la Faune et des Parcs
MELCCFP	Ministère de l'Environnement, de la Lutte contre les changements climatiques, de la Faune et des Parcs
PMET	Ressources PMET Inc.

1 Introduction

1.1 Contexte et objectifs

Ressources PMET inc. (PMET) planifie la construction et l'exploitation d'un gisement minier de lithium dans la région du lac de la Corvette, située dans le nord du Québec. L'extraction projetée de spodumène de la propriété Shaakichiuwaanaan est prévue dans un mode d'exploitation hybride (fosse à ciel ouvert et exploitation souterraine) dans la région Eeyou Istchee Baie-James, afin de produire un concentré minéral de spodumène. Pour répondre aux exigences environnementales provinciales et fédérales, il est nécessaire d'établir la base de référence de l'environnement naturel dans le secteur du projet minier. Pour ce faire, PMET a mandaté la firme Niigaan pour réaliser une étude de base dans le secteur du lac de la Corvette. Le présent document fait partie des études visant à décrire l'état de référence des milieux naturels et sociaux qui pourraient être influencés par le développement du projet Shaakichiuwaanaan. Ce rapport se concentre spécifiquement sur les invertébrés benthiques.

L'objectif principal de cette étude est d'établir des états de référence pour les communautés d'invertébrés benthiques présents dans les différents lacs et cours d'eau de la zone d'inventaire, en zone exposée à l'effluent minier projeté, et en zone de référence. Les états de référence établis dans cette étude pourront ensuite être utilisés pour détecter tout changement de la qualité de l'environnement aquatique attribuable au projet minier lui-même ou aux facteurs naturels (hydrologie, climats, etc.).

1.2 Zone d'inventaire

La zone d'inventaire est située dans la région administrative du Nord-du-Québec sur le territoire d'Eeyou Istchee Baie-James. Elle est située en territoire public, à environ 10 km au nord-est du lac de la Corvette et à environ 40 km au sud-ouest des installations hydroélectriques La Grande 4 (carte 1). De plus, elle couvre des terres de catégorie III du territoire régi par la Convention de la Baie-James et du Nord québécois et croise le terrain de trappage VC07 utilisé par les membres de la Première Nation crie de Chisasibi et le terrain de trappage MO2A utilisé par les membres de la Première Nation crie de Mistissini.

Selon le cadre écologique de référence du Québec, la zone d'inventaire fait partie de la région naturelle des Buttons de l'Opinaca de la province naturelle des Collines de la Grande Rivière. Elle appartient également à la zone de végétation boréale, à la sous-zone de forêt boréale continue et au domaine bioclimatique de la pessière à lichen.

La zone d'inventaire est divisée en deux bassins versants principaux présentés sur la carte 1. Le premier bassin versant, au sud, est celui du lac de la Corvette. Le deuxième, au nord, est le bassin

versant La Grande qui inclut La Grande sud et La Grande nord. À l'intérieur de ces deux bassins versants, des secteurs ont été identifiés afin de structurer la présentation des résultats et d'assurer une bonne compréhension du système hydrographique présent. Ces secteurs correspondent approximativement aux bassins versants de niveau 2. Le secteur L01, comprend le lac L01 et ses affluents. Le secteur La Grande A est situé pratiquement au centre de la zone d'inventaire et au nord du lac L01. Il inclut les plans d'eau et cours d'eau qui se jettent ultimement dans le lac L27 par le biais du CE15 et inclut également l'exutoire du lac L01. Le secteur La Grande B est plus au nord et complètement indépendant de l'exutoire du lac L01. Il inclut les plans d'eau et cours d'eau qui se jettent dans le lac L27 par le biais du CE300. Le secteur La Grande C est situé au nord de la zone d'inventaire. Finalement, le secteur nommé de la Corvette englobe les cours d'eau et les plans d'eau situés dans le bassin versant de la Corvette qui s'écoulent vers le lac du même nom.

Carte 1 - Map 1

Localisation de la zone d'inventaire
Location of the inventory area

Route Transtaïga Road

2-21
2-20
2-19
2-18
2-17
2-16
2-15
2-14
2-13
2-12
2-11
2-10
2-9
2-8
2-7
2-6
2-5
2-4
2-3
2-2
2-1

L823
L413
L350
L318
L345
L314
L323
L300
L308
L311
L305
L220
L121
L27
L18
L02
L01
L522
L517
L531
L541
L559
L604
L501
L602
L600

Bassin versant
la Grande nord

Bassin versant
La Grande Sud

Bassin versant
Lac de la Corvette

Source des données :
Hydrographie, WSP, 2025
BDTA 1:250 000, MERN Québec, 2021
Découpage administratif, SDA (20K), MRNF Québec, 2024
Réseau routier, Adresse Québec, 2024-02
Inventaire Groupe Synergis, 2022, 2023, 2024
Relief ombré (BDTA 250K), Service WMTS des MNT, MRNF Québec, 2019

Note: This map has no legal value, only a land surveyor can comment on the accuracy of the geographical information.
Note : Cette carte n'a aucune valeur légale, seul un arpenteur-géomètre peut se prononcer sur l'exactitude des informations géographiques.

J:\Niigaan\22_0095_Baseline_Corvette_PBM_Baie_James\3_Donnees\Cartographie\Projet_GIS_Compilation\2024\07_Habitat_poisson\22_0095_C1_Localisation_zEtude_250905.mxd

Zone d'inventaire / Inventory area
Feuillet cartographique / Map sheet

Hydrographie / Hydrography
Cours d'eau / Watercourse
Sens d'écoulement / Flow direction
Lac / Lake

Bassin versant et sous bassin versant/ Watershed and sub-watershed
Lac de la Corvette
La Grande Sud

Secteur / Sector (Numéro de carte / Map number)
Lac de la Corvette (2-1 à/to 2-3)
Lac/Lake L01 (2-4 à/to 2-8)
La Grande A (2-9 et/and 2-10)
La Grande B (2-11 et/and 2-12)
Lac/Lake L27 (2-1 et/and 2-13 à/to 2-17)
La Grande C (2-18)
Chemin / Road (2-18 à/to 2-21)

Réseau routier / Road network
Route / Road
Chemin d'accès existant / Existing access path

0 800 1 600 m
1:80 000
NAD 1983 CSRS MTM 8

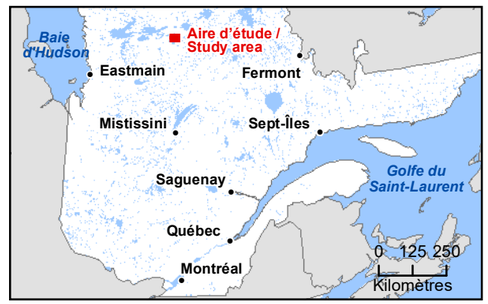

Projet Shaakichiuwaanaan / Shaakichiuwaanaan Project

Caractérisation de l'habitat du poisson / Characterization of fish habitat

Niigaan
Project / Projet : 22-0095 / 151022002

2025-11-13
Approved by / Approuvé par :
Maxime Clermont

2 Méthodologie

L'échantillonnage a été réalisé conformément aux documents suivants :

- Manuel des protocoles d'échantillonnage pour l'analyse de la qualité de l'eau au Canada (CCME, 2011);
- Guide d'échantillonnage à des fins d'analyses environnementales, Cahier 1 (généralités) (MELCCFP, 2023);
- Guide technique pour l'étude de suivi des effets sur l'environnement des mines de métaux (ECCC, 2012).

2.1 Période et stations d'échantillonnage

La période de l'année à privilégier devait correspondre à celle où la diversité biologique est à son maximum, puisqu'elle coïncide avec les cycles saisonniers de recrutement des organismes benthiques (ECCC, 2012). Dans de nombreux habitats lotiques, l'échantillonnage est réalisé à l'automne (septembre-octobre), période durant laquelle la majorité des taxons sont présents ou ont atteint une taille suffisante pour être capturés avec le matériel d'échantillonnage, et où les conditions d'écoulement sont généralement favorables (ECCC, 2012). Ainsi, les échantillons ont été prélevés en octobre 2024 pour une partie des stations, puis en septembre 2025 pour celles qui ont été ajoutées par la suite. Pour chacune des stations, un échantillonnage a pu être réalisé.

Le suivi des communautés benthiques comprenait dix-neuf stations d'échantillonnage réparties dans la zone d'inventaire. Les caractéristiques des stations et les coordonnées géographiques de chacune d'elles sont présentées dans le tableau 1 et représentées sur la carte 2. La majorité des stations sont situées dans des plans d'eau sauf les stations S inter 1-3, CE11 et CE15 qui sont situées dans des cours d'eau.

Tableau 1. Description des stations d'échantillonnage des invertébrés benthiques

Secteur	Nom du cours d'eau / plan d'eau	Station	Date de prélèvement	Coordonnées (NAD83)	
				X	Y
Zone de référence					
Lac L01	Lac L01	Inter 1-1	Octobre 2024	-73,90322113	53,52627182
	Lac L01	19	Septembre 2025	-73,92308044	53,5253067
La Grande A	Cours d'eau CE11	S Inter 1-3	Octobre 2024	-73,94508362	53,5235672
	Lac L02	Inter 1-2	Octobre 2024	-73,92334747	53,53046799
	Lac L18	20	Septembre 2025	-73,90132904	53,53592682
	Lac L220	16	Octobre 2024	-73,92308044	53,54076767
La Grande B	Lac L308	17	Octobre 2024	-73,92565918	53,54660797
	Lac L300	7	Octobre 2024	-73,94709778	53,54459
	Lac L323	8	Octobre 2024	-73,87478638	53,54691696
	Lac L311	18	Septembre 2025	-73,91731262	53,54696655
	Lac L314	9	Octobre 2024	-73,89797974	53,54809952
Lac de la Corvette	Lac L517	Inter 2-2	Octobre 2024	-73,94489288	53,50947952
Aucun secteur défini	Lac L823	Lac ref	Septembre 2025	-74,033322	53,605957
Zone exposée à l'effluent minier projeté					
Lac L27	Lac L27	15	Octobre 2024	-73,98600006	53,53141022
	Lac L27	Aval-1	Octobre 2024	-73,98049927	53,52347565
	Lac L27	4	Octobre 2024	-73,96009064	53,53779602
	Cours d'eau CE15	CE15	Septembre 2025	-73,970972	53,523557
La Grande A	Lac L10	L10	Septembre 2025	-73,964038	53,522700
	Cours d'eau CE11	CE11	Septembre 2025	-73,962626	53,522522

Route Transtaïga

Bassin versant
la Grande nord

Bassin versant
la Grande sud

Bassin versant
Lac de la Corvette

L823
Lac ref
L413
L350
L318
17
18
9
8
7
L308
L311
L314
L323
4
16
L300
L220
20
15
Inter 1-2
L27
L121
CE15
S Inter
1-3
L02
L18
19
L01
Inter 1-1
L07
CE15
CE11
Aval-1
L10
CE11
Inter 2-2
L517
L522
L531
L541
L559
L604
L501
L602
L600

Source des données :
Réseau routier / Road network, Adresse Québec, 2023-02
MELCC Québec, 2018 (modifiés / modified)
Données de projet / Project datas, Niigaan, WSP, 2022-2024-2025

Note : Cette carte n'a aucune valeur légale, seul un arpenteur-géomètre peut se prononcer sur l'exactitude des informations géographiques.
Note: This map has no legal value, only a land surveyor can comment on the accuracy of the geographical information.

J:\Niigaan\22_0095_Baseline_Corvette_PBM_Baie_James\3_Donnees\Cartographie\Projet_GIS_Compilation\20241107_Habitat_poisson\Benthos\22_0095_C2_Localisation_Station_Benthos_250826.mxd

Carte 2 - Map 2

Stations d'échantillonnage des invertébrés benthiques
Benthic invertebrate sampling stations

Zone d'inventaire / Inventory area

Station d'échantillonnage des invertébrés benthiques / Benthic invertebrate sampling station

Zone de référence / Reference area

Zone exposée à l'effluent projeté / Area exposed to projected effluent

Hydrographie / Hydrography

Cours d'eau / Watercourse

Sens d'écoulement / Flow dirwction

Lac / Lake

Bassin versant et sous bassin versant / Watershed and sub-watershed

Lac de la Corvette

La Grande nord et sud

Secteur / Sector

Lac de la Corvette

Lac/Lake L01

La Grande A

La Grande B

Lac/Lake L27

La Grande C

Chemin / Road

Réseau routier / Road network

Route / Road

Chemin d'accès existant / Existing access path

1:75 000

0 750 1 500 m

NAD 1983 CSRS MTM 8

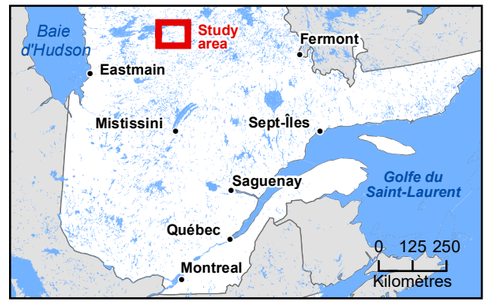

Projet Shaakichiuwaanaan / Shaakichiuwaanaan Project

Inventory of benthic invertebrates / Inventaire des invertébrés benthiques

Niigaan
Projet / Project: 22-0095 / 151022002

2025-11-13

Approuvé par / Approved by :
Louise Zilber

2.2 Méthode d'échantillonnage

La méthode d'échantillonnage des invertébrés benthiques utilisée dans la présente étude est basée sur le manuel des protocoles d'échantillonnage du CCME (2011) et elle réfère au protocole pour le prélèvement d'un échantillon instantané d'invertébrés. Il s'agit d'échantillonnage d'invertébrés benthiques vivant dans les couches supérieures des sédiments et à la surface de ceux-ci.

À chaque station d'échantillonnage, le prélèvement de benthos était composé de trois sous-échantillons combinés au terrain, pour lesquels deux coups de benne étaient nécessaires. Les échantillons ont été collectés à l'aide d'une benne Ponar d'une superficie de 0,0232 m^2. Les échantillons ont été tamisés sur le terrain à l'aide d'un tamis présentant des mailles de 500 microns. Le filtrat était ensuite conservé dans une solution de 94 % d'alcool (éthanol). Les échantillons ont été envoyés à un sous-traitant pour l'identification au genre et le dénombrement des organismes benthiques, soit les laboratoires G.D.G. Environnement ltée. Les rapports finaux d'identification des organismes benthiques sont présentés à l'annexe 3, ainsi que les méthodes utilisées pour le lavage, le tri et l'identification des communautés.

À toutes les stations, et en même temps que le prélèvement d'invertébrés benthiques, des mesures physicochimiques *in situ* ont été prises dans le milieu, et des échantillons de sédiments ont été prélevés. Les données de terrain (observation des échantillons de sédiments et mesures physico-chimiques *in situ (*pH, conductivité, oxygène dissous et température)) sont présentées à l'annexe 1, et les résultats analytiques des échantillons de sédiments sont présentés à l'annexe 2. Les paramètres mesurés *in situ* ont été relevés à la surface de l'eau au moyen d'une sonde multiparamètres YSI Pro DSS avec un câble de 30 m, calibrée au début de chaque campagne pour tous les paramètres et au début de chaque journée d'échantillonnage pour l'oxygène dissous, et d'un disque de Secchi (transparence). La profondeur de l'eau a été relevée à l'aide d'un profondimètre. Les photos prises lors de l'échantillonnage des invertébrés benthiques et des sédiments échantillonnés sont présentées en annexe 4.

2.3 Contrôle qualité

Un contrôle de qualité du tri a été effectué par les laboratoires G.D.G. sur 10 % des échantillons, et consistait en un tri des matières organiques conservées par une autre personne que le trieur d'origine. Le critère de tri accepté implique qu'au plus 10 % du nombre total d'organismes aient été omis. En 2024, le contrôle qualité a été effectué sur deux échantillons et a montré que le tri était efficace à 98,84 et 98,66 %. En 2025, le contrôle qualité a été effectué sur un échantillon et a montré une efficacité de tri de 95,56 %.

2.4 Interprétation des résultats

Une fois les résultats d'identification des invertébrés benthiques reçus, les données ont été traitées de façon à calculer des indices univariés (calcul des descripteurs de la communauté benthique), c'est-à-dire des indices qui ont pour but de résumer les données d'inventaire en une valeur unique. Les descripteurs univariés calculés pour chaque station d'échantillonnage étaient les suivants :

- Nombre d'individus total (nombre d'organismes);
- Densité (nombre d'organismes/m^2);
- Richesse taxonomique (nombre de taxons);
- Indice de régularité de Simpson (R);
- Indice de diversité de Shannon (H');
- Abondance relative.

La densité correspond au nombre total d'organismes benthiques recensés par mètre carré de substrat échantillonné. Elle permet d'évaluer la quantité de faune présente dans un milieu donné.

La richesse taxonomique représente le nombre de taxons présents dans un échantillon et reflète la santé de la communauté. Une richesse taxonomique élevée est habituellement indicatrice de la bonne santé du milieu aquatique puisque de façon générale, les milieux aquatiques non dégradés supportent des communautés de macroinvertébrés diversifiées. Avec une augmentation des perturbations anthropiques, l'abondance des taxons les plus sensibles diminue alors que l'abondance des taxons tolérants à la pollution augmente (MDDEFP, 2013).

L'indice de régularité de Simpson mesure la distribution des individus entre les différents taxons. Cet indice combine une mesure de dominance et une normalisation par la richesse, ce qui donne une idée de la répartition des individus entre les taxons par rapport au nombre total de taxons. Plus l'indice est proche de 1, plus la diversité est faible (car les individus sont concentrés dans peu de taxons). L'indice est calculé par la formule suivante :

$$R = 1/\Sigma\ (pi)^2/\ S$$

où : R est l'indice de régularité de Simpson, pi la proportion du nième taxon (genre) dans un échantillon, et S le nombre total de taxons identifiés dans un échantillon.

L'indice de diversité de Shannon (H′) a également été calculé pour chaque station afin de quantifier la diversité des communautés benthiques. Cet indice intègre à la fois le nombre de taxons présents (richesse) et la répartition des individus entre ces taxons (équitabilité). Il permet d'évaluer si une communauté est dominée par quelques espèces ou si les individus sont distribués de manière plus uniforme. Les valeurs élevées de H′ traduisent une plus grande diversité, tandis que des valeurs plus faibles indiquent une dominance accrue ou une richesse réduite. Contrairement à l'indice de régularité de Simpson qui est normalisé par la richesse et met davantage l'accent sur la dominance

des taxons, l'indice de Shannon donne une vision plus globale de la diversité en pondérant la contribution de tous les taxons présents. L'indice de biodiversité de Shannon a été calculé selon la formule suivante :

$$H' = -\sum_{i=1}^{S} p_i \log_2 p_i$$

où : H' est l'indice de diversité de Shannon, S le nombre total de taxons (richesse), *i* est une espèce du milieu à l'étude, et p_i la proportion d'une espèce *i* par rapport au nombre total d'espèces (S) dans le milieu d'étude. Le p*i* se calcule de la façon suivante :

$$p\,(i) = \frac{ni}{N}$$

où n_i est le nombre d'individus pour l'espèce *i* et N est l'effectif total (les individus de toutes les espèces).

Les abondances relatives des différents groupes taxonomiques ont également été calculées pour chaque station d'échantillonnage. Cela représente le pourcentage de l'abondance d'un taxon ou d'un groupe de taxons sur l'abondance totale des organismes présents dans une station.

3 Résultats et discussion

Cette section décrit les résultats d'identification et de calculs d'indice pour déterminer l'état de référence des populations d'invertébrés benthiques. Les données de terrain (observation des échantillons de sédiments et mesures physico-chimiques *in situ (*pH, conductivité, oxygène dissous et température)) sont présentées à l'annexe 1, et les résultats analytiques des échantillons de sédiments sont présentés à l'annexe 2. En résumé, les lacs étudiés présentaient généralement les mêmes caractéristiques, soit des lacs oligotrophes, avec un pH légèrement acide (en moyenne 6 – 6,5), une bonne oxygénation en surface, des eaux claires, et une faible productivité biologique. En termes de profondeur, la plupart des lacs étudiés étaient peu profonds, avec des profondeurs variant entre 0,5 et 6 m, à l'exception du lac L01 (environ 18 m à la station Inter 1-1) ou encore du lac L27 (8 m à la station 15). Au niveau des sédiments, la granulométrie réalisée a montré que la majorité des stations présentaient un substrat de limon / argile.

L'analyse des descripteurs univariés (tableau 2) permet d'évaluer la structure des communautés benthiques présentes dans les différents lacs et cours d'eau échantillonnés dans le cadre de cette étude. Ces résultats sont également représentés à la figure 1. La fréquence relative des groupes taxonomiques présents dans chacune des stations est représentée aux figures 2 à 20. La composition détaillée des communautés est disponible en annexe 3 (certificats provenant du laboratoire). La figure 1 présente la distribution des stations échantillonnées selon la richesse taxonomique et la densité d'organismes benthiques. La couleur des points est fonction de l'indice de régularité de Simpson. Les triangles représentent les stations situées en zone exposée à l'effluent minier projeté et les cercles représentent les stations situées en zone de référence.

Les stations situées dans la partie supérieure droite du graphique, soit CE15, Inter 2-2, S-inter-1-3, 4 et 17, combinaient une densité élevée, une richesse taxonomique modérée à élevée, et un indice de régularité faible (entre 0,4 et 0,1), traduisant une forte diversité benthique et une bonne répartition des individus entre les taxons. À l'inverse, les stations 15, Inter 1-1, Inter 1-2, ainsi que 16, 9, 18, 19, 20 et Lac ref, présentaient des richesses taxonomiques faibles à très faibles, des densités moindres, et des indices de régularité élevés, parfois proches de 1. Ces caractéristiques suggèrent une diversité réduite, où un petit nombre de taxons dominent largement la communauté.

Les stations CE11, Aval-1, L10 et 7 affichaient des profils plus intermédiaires, avec une richesse et une densité modérée, et des indices reflétant une diversité moyenne à bonne selon la station. Les variations de communautés observées entre les stations peuvent être influencées par des facteurs environnementaux tels que la qualité de l'eau, la disponibilité des habitats et les conditions hydrodynamiques propres à chaque station. Aucune distinction nette n'a d'ailleurs pu être faite entre les stations situées en zone de référence et les stations situées en zone exposée à l'effluent minier projeté. En effet, ces dernières ne sont pas réparties uniformément à la figure 1. Ces descripteurs sont discutés plus en détail dans les paragraphes suivants pour chaque station.

Tableau 2. Descripteurs univariés mesurés aux stations d'échantillonnage

Nom du cours d'eau / plan d'eau	Station	Nombre total d'organismes	Densité totale (nb. d'org./m^2)	Richesse taxonomique (nb)	Indice de régularité de Simpson	Indice de diversité de Shannon
Zone de référence						
Lac L01	Inter 1-1	22	319	14	0,69	3,55
	19	8	116	6	0,76	2,41
Cours d'eau CE11	S Inter 1-3	146	2116	26	0,24	3,45
Lac L02	Inter 1-2	43	623	8	0,47	2,22
Lac L18	20	8	116	5	0,80	2,16
Lac L220	16	51	739	14	0,58	3,35
Lac L308	17	200	2899	22	0,29	3,25
Lac L300	7	149	2159	21	0,25	3,00
Lac L323	8	53	768	16	0,23	2,83
Lac L311	18	3	43	3	1,00	1,58
Lac L314	9	60	870	12	0,43	2,77
Lac L517	Inter 2-2	202	2928	27	0,42	3,92
Lac L823	Lac ref	2	29	2	1,00	1,00
Zone exposée à l'effluent minier projeté						
Lac L27	15	22	319	11	0,73	3,23
	Aval-1	86	1246	23	0,46	3,90
	4	194	2812	30	0,36	3,96
Cours d'eau CE15	CE15	282	4087	28	0,14	2,95
Lac L10	L10	163	2362	20	0,28	3,15
Cours d'eau CE11	CE11	135	1957	14	0,13	1,69

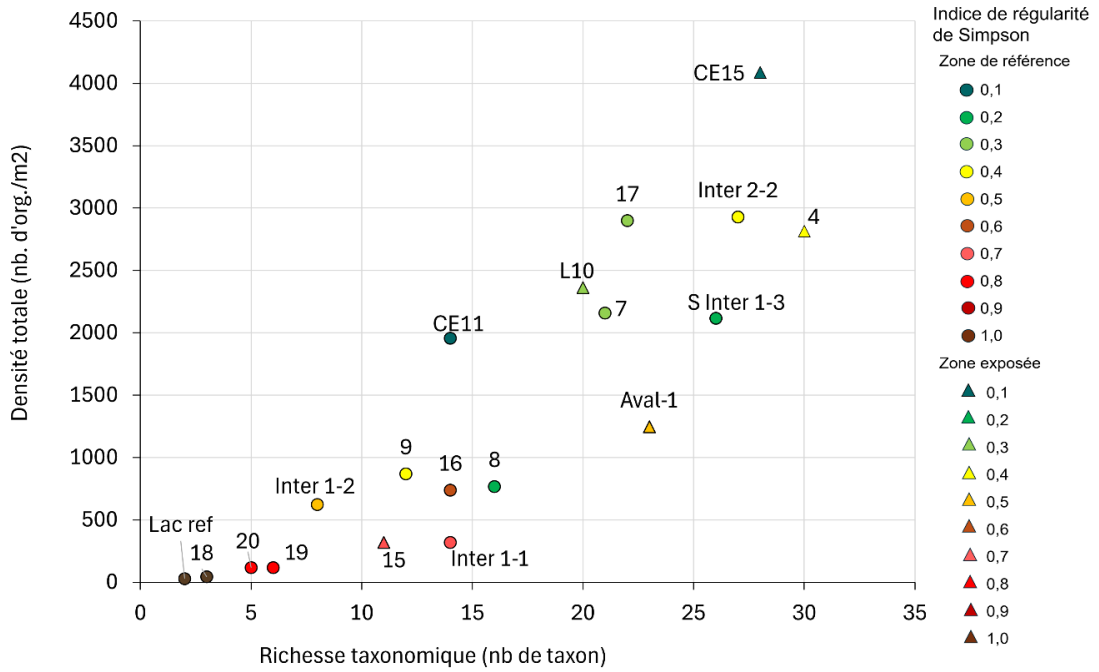

Figure 1. Répartition des stations selon leur densité, richesse taxonomique et indice de régularité de Simpson

La station Aval-1 (Figure 2) affichait une densité totale de 1 246 org./m² et une richesse taxonomique de 23 taxons, avec un indice de régularité de Simpson de 0,46 suggérant une dominance modérée de certaines espèces. La station 4 (Figure 3) montrait une richesse taxonomique (30 taxons) et une densité (2 812 org./m²) plus élevée, ainsi qu'un indice de régularité plus faible (0,36), indiquant une communauté un peu plus diversifiée. La station 15 (Figure 4) présentait une faible densité (319 org./m²) et la richesse taxonomique la plus basse du lac (11 taxons), avec un indice de régularité plus élevé (0,73), indiquant une faible diversité, probablement due à la dominance d'un petit nombre de taxons dans un contexte de richesse limitée. Les indices de diversité de Shannon obtenus à ces trois stations variaient entre 3,23 et 3,96.

Les communautés benthiques du lac L27 (stations Aval-1, 4 et 15) étaient dominées par les arthropodes (59,1 à 67,4 %), suivis des mollusques (22,1 à 29,9 %). Parmi les arthropodes, les diptères constituaient l'ordre le plus représenté dans les trois stations. Chez les mollusques, on notait une dominance des bivalves (notamment *Pisidium*) aux stations Aval-1 et 15, tandis que les gastéropodes dominaient à la station 4. Les stations 4 et Aval-1 comptaient également de faibles proportions (< 5 %) de porifères, nématodes, annélides et bryozoaires. La station 15 se distinguait par l'absence d'annélides et de bryozoaires, et une proportion plus marquée de nématodes (13,6 %). Le substrat associé à ces stations était majoritairement du limon.

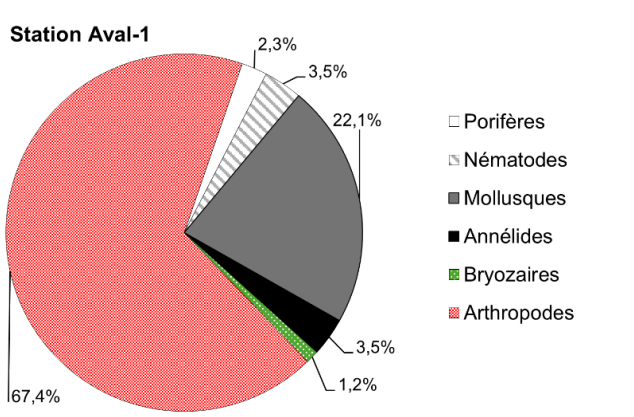

Figure 2. Abondance relative des groupes taxonomiques - station Aval-1 (Lac L27)

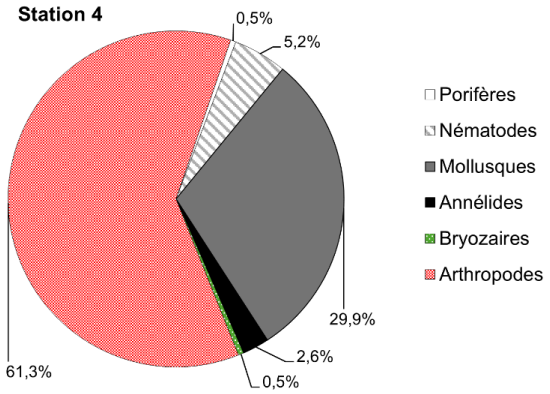

Figure 3. Abondance relative des groupes taxonomiques - station 4 (Lac L27)

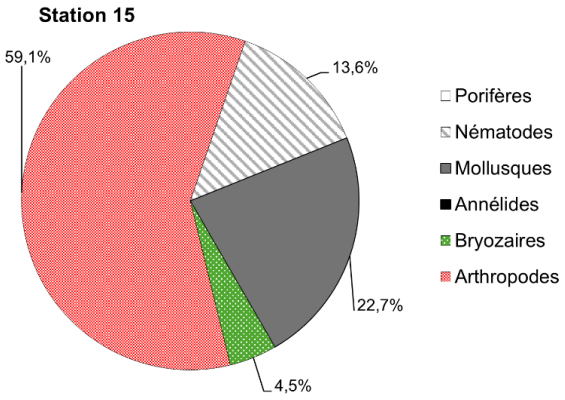

Figure 4. Abondance relative des groupes taxonomiques - station 15 (Lac L27)

La station CE15 (Figure 5), située dans un cours d'eau CE15, présentait la densité la plus élevée de toutes les stations (4 087 org./m²) et une richesse taxonomique de 28 taxons. Le substrat présent était majoritairement composé de sable et gravier. La communauté benthique était dominée par les arthropodes (50,71 %) et les mollusques (46,10 %), avec une présence marginale de porifères, annélides et bryozoaires (< 1 % chacun). D'après les cotes de tolérance à la pollution établies par le MDDEFP (2013), plusieurs familles d'arthropodes présentes à la station possèdent des cotes basses : Hydropsychidae (4), Gomphidae (4) et Hydroptilidae (4). Cela indique une présence d'organismes peu tolérants aux milieux perturbés par des apports organiques. On retrouvait dans les mollusques bivalves un nombre élevé d'individus Sphaeridae qui sont des organismes filtreurs. L'indice de régularité de Simpson très faible (0,14) suggère une forte diversité benthique avec une répartition équilibrée des individus entre les taxons. L'indice de diversité de Shannon était de 2,95.

La station L10 (Figure 6), également en zone exposée à l'effluent minier projeté, présentait une densité de 2 362 org./m² et une richesse taxonomique de 20 taxons. Le substrat présent était majoritairement composé de sable. La communauté de benthos était composée principalement d'arthropodes (46,63 %) et de mollusques (43,56 %), avec une contribution plus faible des annélides (8,59 %) et une présence marginale de porifères et bryozoaires. D'après les cotes établies par le MDDEFP (2013), plusieurs familles d'arthropodes présentes à la station possèdent des cotes basses (Leptoceridae (4) et Gomphidae (4)), et très basses pour les Brachycentridae (1), indiquant une présence d'organismes non tolérants aux milieux perturbés par des apports organiques. L'indice de régularité de Simpson (0,28) et l'indice de diversité de Shannon (3,15) indiquaient une diversité modérée.

La station échantillonnée dans le lac L01 (Inter 1-1, Figure 7) présentait une densité relativement faible de 319 organismes/m², une richesse taxonomique de 14 taxons, et un indice de régularité de Simpson de 0,69. Cette valeur pourrait indiquer une faible diversité, résultant d'une richesse limitée et/ou d'une dominance de certains taxons. L'indice de diversité de Shannon était de 3,55. Cette station était caractérisée par un substrat de type limon/sable et la présence majoritaire d'arthropodes (59,1 %) représentés par les diptères, puis de mollusques à 18,2 % et de porifères à 9,1 %. Pour les mollusques, l'ordre le plus représenté était celui des bivalves, et pour les porifères c'était les démosponges. Parmi les diptères, la communauté était composée en grande partie de chironomidés, un groupe généralement tolérant aux perturbations. Des nématodes, annélides et bryozoaires étaient également présents en moins grande proportion (< 5 %).

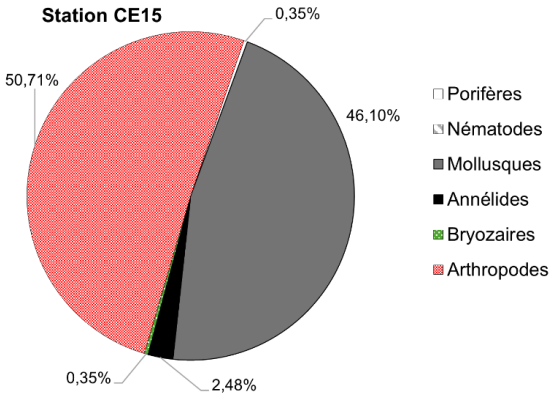

Figure 5. Abondance relative des groupes taxonomiques - station CE15 (Cours d'eau CE15)

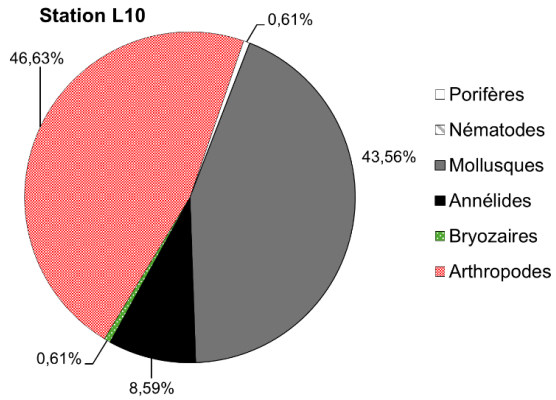

Figure 6. Abondance relative des groupes taxonomiques - station L10 (Lac L10)

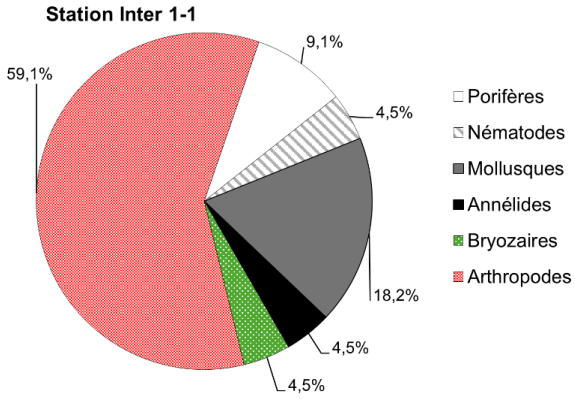

Figure 7. Abondance relative des groupes taxonomiques - station Inter 1-1 (Lac L01)

Pour le lac L02 (Inter 1-2, Figure 8), la densité atteignait 623 org./m² pour une richesse taxonomique de 8 taxons. L'indice de régularité de Simpson y était de 0,47, soit une valeur intermédiaire indiquant une diversité modérée. L'indice de diversité de Shannon était de 2,22. Le substrat était principalement du limon. L'embranchement majoritaire, représenté par les mollusques (67,4 %), était constitué uniquement de bivalves. Le second embranchement présent était les arthropodes (25,6 %), représenté par les diptères, principalement de la famille des Chaoboridae, un groupe relativement tolérant et qui peut s'adapter à des milieux lentiques à faible oxygénation. Trois autres embranchements ont été identifiés en faibles proportions (2,3 % chacun), soit les porifères, les bryozoaires et les annélides.

La station Inter 2-2 (Figure 9), située sur le lac L517, affichait une densité élevée, soit 2 928 org./m², pour une richesse de 27 taxons. Malgré cette richesse élevée, l'indice de régularité de 0,42 indique une diversité modérée. L'indice de diversité de Shannon était de 3,92. Le substrat présent était majoritairement composé de limon. La station était caractérisée presque entièrement d'arthropodes (94,1 %), dont l'ordre majoritaire était les diptères, plus précisément la famille des Chironomidae. Les autres embranchements présents (porifères, nématodes, mollusques et annélides) étaient présents en très faible proportion (≤ 2 %).

La station S Inter 1-3 (Figure 10), localisée dans le cours d'eau 11, présentait une densité élevée (2 116 org./m²) et une richesse taxonomique importante (26 taxons). L'indice de régularité de Simpson y était faible (0,24), indiquant une communauté diversifiée, avec une répartition relativement équilibrée des individus entre les taxons. L'indice de diversité de Shannon était de 3,45. Ce profil pourrait refléter un habitat aquatique permettant l'installation d'un large éventail d'espèces sans qu'une ou deux dominent nettement. Le substrat majoritaire de la station était le limon (> 78 %), puis le sable (> 14 %). Au niveau de la répartition des groupes taxonomiques, la station présentait deux embranchements principaux, soit les arthropodes (50,7 %) et les mollusques (43,2 %). Pour les arthropodes, les insectes représentaient la classe la plus importante avec la famille des Chironomidae et des Ceratopogonidae, et pour les mollusques, la classe la plus représentée était celle des gastéropodes avec la famille des Amnicolidae.

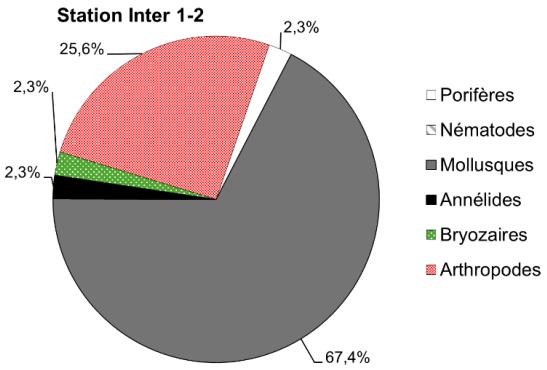

Figure 8. Abondance relative des groupes taxonomiques - station Inter 1-2 (Lac L02)

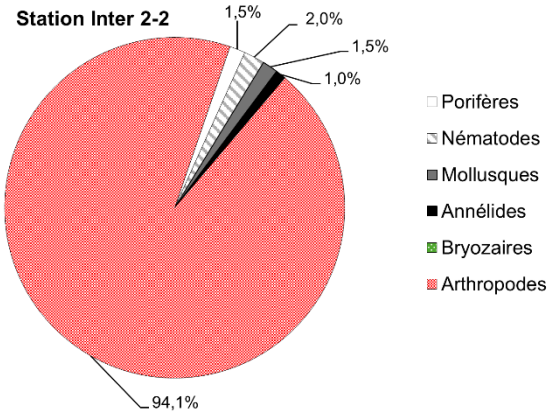

Figure 9. Abondance relative des groupes taxonomiques - station Inter 2-2 (Lac L517)

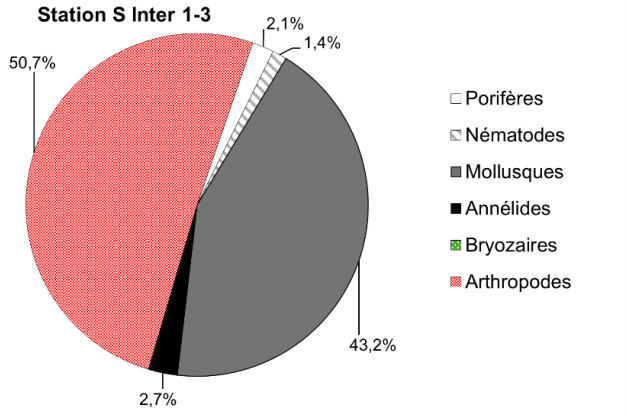

Figure 10. Abondance relative des groupes taxonomiques - station S Inter 1-3 (Cours d'eau CE11)

La station 7 (Figure 11) du lac L300 affichait une densité élevée de 2 159 org./m² pour 21 taxons identifiés. L'indice de régularité de 0,25 indiquait également une diversité élevée, suggérant une communauté bien structurée avec une répartition peu dominée. L'indice de diversité de Shannon était de 3,0. Les arthropodes représentaient l'embranchement majoritaire au sein de la station 7 (5,8 %) avec la famille des Tanytarsini, suivie de la famille des Ceratopogonidae. Le deuxième embranchement le plus important était les mollusques (20,8 %), représentés par les bivalves, plus précisément la famille des Sphaeriidae. Le substrat de cette station était composé à moitié de sable et de limon.

La station 8 (Figure 12), située sur le lac L323, présentait une densité de 768 org./m² et une richesse taxonomique de 16 taxons. L'indice de régularité de Simpson y était de 0,23, ce qui reflétait une communauté benthique diversifiée, avec une répartition relativement équilibrée des individus entre les taxons. L'indice de diversité de Shannon était de 2,83. Cette situation suggérait un habitat de bonne qualité, offrant des conditions favorables à la cohabitation de plusieurs groupes fauniques sans qu'un taxon domine nettement. La station était composée majoritairement de mollusques (56,6 %), plus précisément de la famille des Sphaeriidae. Le deuxième embranchement majoritaire était les arthropodes (39,6 %) avec la présence majoritaire de la famille des Chironomidae. Deux autres embranchements étaient présents à moins de 2 % chacun, soit les porifères et les annélides. Le substrat de la station était constitué de limon et sable.

La station 9 (Figure 13), située sur le lac L314, présentait une densité de 870 org./m², une richesse taxonomique de 12 taxons et un indice de régularité de Simpson de 0,43. Cette valeur traduisait une diversité modérée. L'indice de diversité de Shannon était de 2,77. La station était constituée majoritairement de limon d'après les résultats obtenus de granulométrie. En termes de groupes taxonomiques, la station était majoritairement composée d'arthropodes, plus précisément de la famille des Tanytarsini. Le deuxième embranchement était les mollusques, représenté principalement par la famille des Sphaeriidae. Les porifères, nématodes et annélides, étaient chacun présents à 1,9 %.

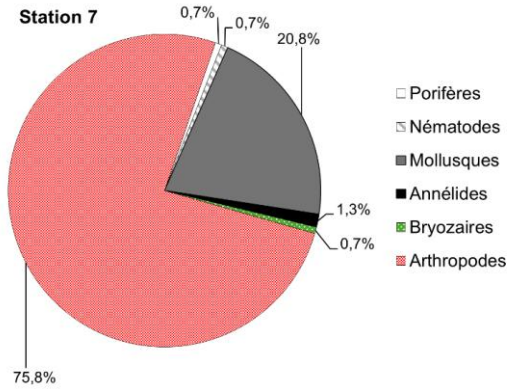

Figure 11. Abondance relative des groupes taxonomiques - station 7 (Lac L300)

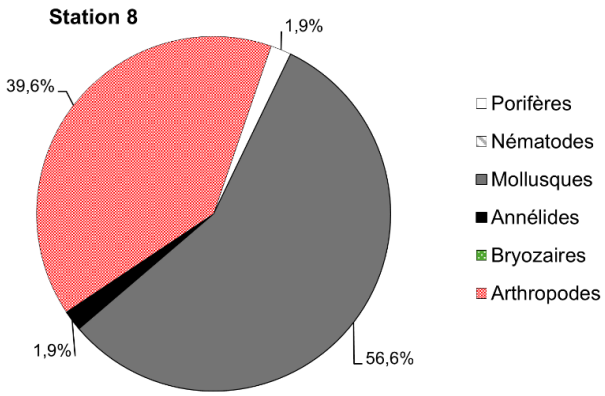

Figure 12. Abondance relative des groupes taxonomiques - station 8 (Lac L323)

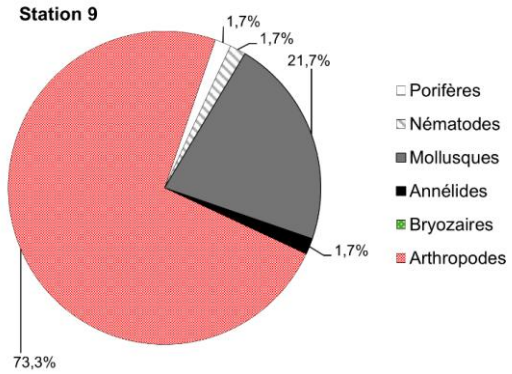

Figure 13. Abondance relative des groupes taxonomiques - station 9 (Lac L314)

La station 16 (Figure 14) du lac L220 présentait une densité de 739 org./m², une richesse de 14 taxons et un indice de régularité de 0,58. Cette valeur pourrait indiquer une faible diversité, probablement en lien avec une dominance marquée de certains taxons malgré une richesse modérée. L'indice de diversité de Shannon était de 3,35. Le substrat de la station était majoritairement composé de limon (< 83 %), suivi de sable (< 7 %). Comme la majorité des stations étudiées dans le cadre de cette étude, la station 16 était majoritairement composée d'arthropodes (86,3 %). La famille la plus représentée était celle des Chironomini, suivi de la famille des Ceratopogonidae. Les trois autres embranchements présents à la station étaient les suivants : mollusques (7,8 %), annélides (3,9 %) et porifères (2,0 %).

La station 17 (Figure 15), située sur le lac L308, présentait une forte densité de 2 899 org./m² pour une richesse de 22 taxons. L'indice de régularité de 0,29 indiquait une diversité élevée, traduisant un milieu favorable au développement d'une communauté benthique équilibrée et diversifiée. L'indice de diversité de Shannon était de 3,25. La station était constituée à parts égales de sable et de limon. L'embranchement majoritaire était celui des arthropodes (76 %) composés majoritairement de la famille des Chironomini et des Ceratopogonidae. Le deuxième embranchement le plus important était celui des mollusques (22,5 %), puis à 0,5 % chacun, les porifères, nématodes et bryozoaires.

La station 18 du Lac L311 (Figure 16) présentait un substrat majoritairement composé de limon. Cette station présentait une densité d'individus benthique très faible (43 org./m²) et une richesse taxonomique de seulement 3 taxons. La communauté était composée d'arthropodes (66,67 %) et de porifères (33,33 %), sans présence d'autres groupes. La famille des chironomini composait l'entièreté des arthropodes de la station. L'indice de régularité de Simpson était maximal (1,00), traduisant une forte dominance d'un taxon, et l'indice de diversité de Shannon était de 1,58.

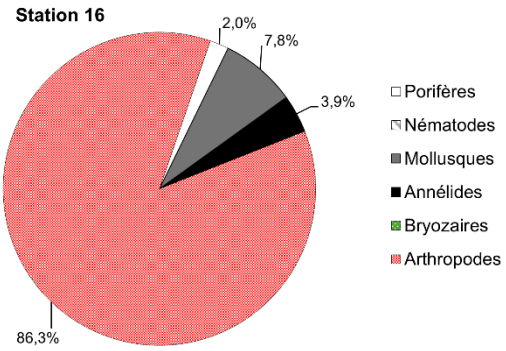

Figure 14. Abondance relative des groupes taxonomiques - station 16 (Lac L220)

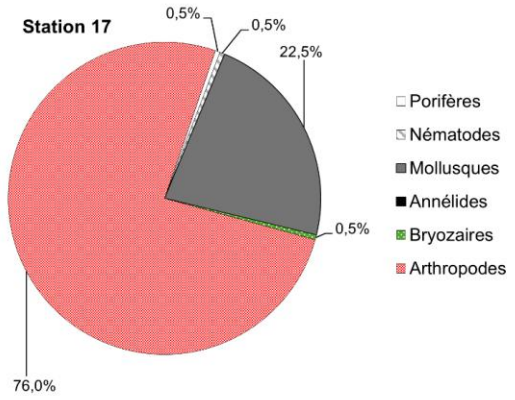

Figure 15. Abondance relative des groupes taxonomiques - station 17 (Lac L308)

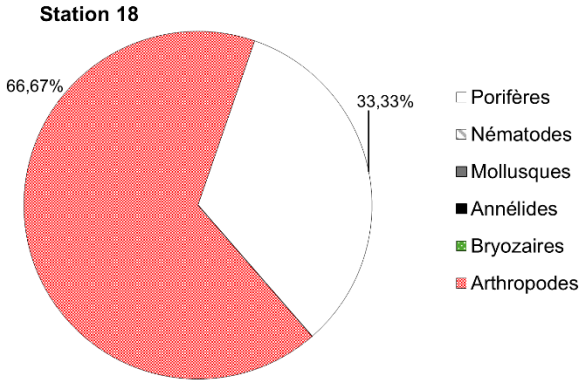

Figure 16. Abondance relative des groupes taxonomiques - station 18 (Lac L311)

La station 19 du lac L01 (Figure 17) affichait une densité de 116 org./m² et une richesse de 6 taxons, avec un indice de régularité de 0,76 et un indice de diversité de Shannon de 2,41. Le substrat était majoritairement composé de limon et de sable. La communauté benthique était dominée par les arthropodes (75,00 %), les familles principales étaient les Tanypodinae, suivis des Chironomini et des Ceratopogonidae. Les autres groupes présents dans la communauté étaient les porifères et de bryozoaires (12,50 % chacun), tandis que les autres groupes taxonomiques étaient absents. Cette composition indique une diversité fonctionnelle limitée, concentrée autour de quelques groupes.

La station 20 du lac L18 (Figure 18) présentait également une densité de 116 org./m², une richesse de 5 taxons, un indice de régularité de 0,80 et un indice de diversité de Shannon de 2,16. Le substrat était majoritairement composé de limon et de sable. La communauté était presque exclusivement composée d'arthropodes (75,00 %), avec une présence marginale de porifères et de nématodes (12,50 % chacun). Aucun mollusque, annélide ou bryozoaire n'a été observé. Cette structure suggère une forte dominance d'un groupe, avec une diversité taxonomique et fonctionnelle réduite.

La station Lac ref du lac L823 (Figure 19) présentait les valeurs les plus faibles de toutes les stations : une densité de 29 org./m², une richesse de 2 taxons, un indice de régularité de 1,00 et un indice de diversité de Shannon de 1,00. La communauté était composée uniquement de nématodes et de mollusques (50 % chacun), sans présence d'autres groupes, et d'une seule famille pour les deux embranchements, indiquant une communauté très peu diversifiée et fonctionnellement limitée.

La station CE11 située dans le cours d'eau CE11 (Figure 20), possédait une densité relativement élevée (1 957 org./m²), une richesse taxonomique de 14 taxons, un indice de régularité très faible (0,13) et un indice de diversité de Shannon de 1,69. La communauté était fortement dominée par les arthropodes (90,4 %), avec de faibles proportions de nématodes, mollusques, porifères, annélides et bryozoaires. Cette structure indique une diversité fonctionnelle concentrée autour d'un groupe dominant. Les familles d'arthropodes dominantes dans la communauté étaient les Chironomini.

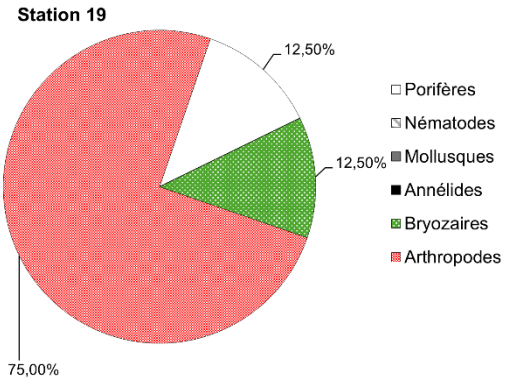

Figure 17. Abondance relative des groupes taxonomiques - station 19 (Lac L01)

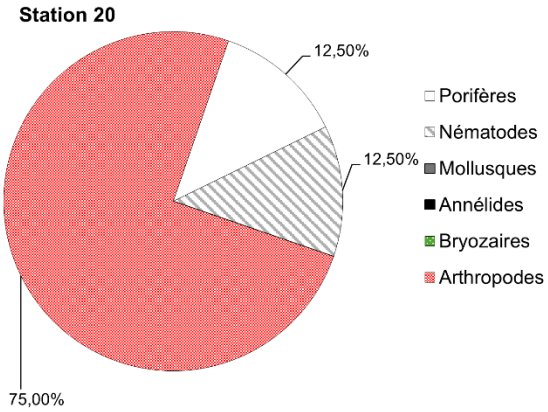

Figure 18. Abondance relative des groupes taxonomiques - station 20 (Lac L18)

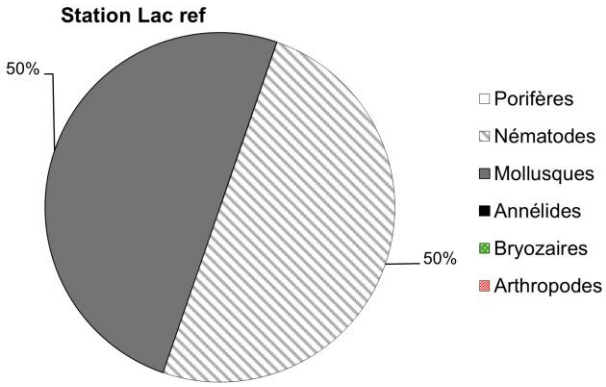

Figure 19. Abondance relative des groupes taxonomiques - station Lac ref (Lac L823)

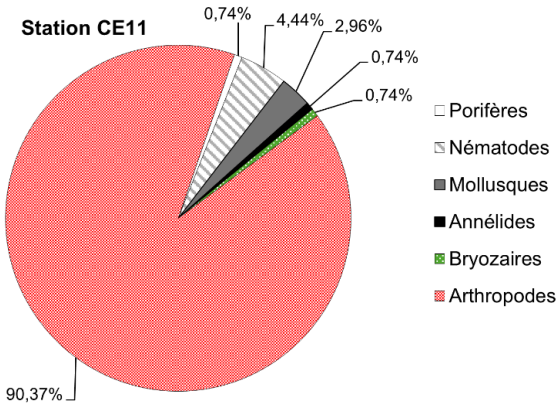

Figure 20. Abondance relative des groupes taxonomiques - station CE11 (Cours d'eau CE11)

4 Conclusion

Le suivi des communautés benthiques a été réalisé sur un total de dix-neuf stations réparties dans la zone d'étude, échantillonnées en octobre 2024 et septembre 2025. Parmi celles-ci, plusieurs stations sont situées dans la zone exposée à l'effluent minier projeté (ex. : Aval-1, 4, 15, CE15, L10, CE11), tandis que les autres sont localisées en zone de référence. Pour chaque station, des mesures physicochimiques *in situ* et des échantillons de sédiments ont été prélevés aux mêmes emplacements et au même moment. L'échantillonnage ciblait les invertébrés benthiques vivant dans les couches supérieures des sédiments et à leur surface, et a été réalisé à l'aide d'une benne.

L'analyse intégrée des descripteurs univariés et de la composition taxonomique des communautés benthiques a révélé une variabilité entre les stations, tant en zone exposée à l'effluent minier projeté qu'en zone de référence. Certaines stations, telles que CE15, Inter 2-2, S Inter 1-3, 4, 17 et L10, ont présenté des profils avec des densités élevées, une bonne richesse taxonomique et de faibles indices de régularité de Simpson. Ces conditions traduisent des communautés diversifiées et bien réparties. À l'inverse, des stations comme 15, Inter 1-1, Inter 1-2, 9, 16, 18, 19, 20 et Lac ref ont affiché des profils plus pauvres, caractérisés par une faible diversité, des densités moindres et une domination marquée de certains taxons.

D'un point de vue taxonomique, les arthropodes demeurent l'embranchement dominant dans la majorité des stations, avec des proportions variant entre 46 % et plus de 90 %, principalement représentés par les chironomidés (Chironomini, Tanytarsini, Ceratopogonidae), et dans certains cas par des familles moins tolérantes aux perturbations (Hydropsychidae, Gomphidae, Leptoceridae). Les mollusques constituaient le second groupe le plus fréquent, avec des proportions importantes dans plusieurs stations (jusqu'à 56 %), qui étaient représentés principalement par les bivalves (Sphaeriidae, Pisidium) et parfois par les gastéropodes (Amnicolidae). Certaines stations présentaient une composition équilibrée entre arthropodes et mollusques (ex. : CE15, L10, S Inter 1-3), tandis que d'autres étaient fortement dominées par un seul embranchement (ex. : Inter 2-2, CE11 par les arthropodes; Inter 1-2 par les mollusques). Les porifères, nématodes, annélides et bryozoaires étaient généralement présents à l'état minoritaire (< 5 %) dans plusieurs stations, à l'exception de quelques cas particuliers (ex. : station 15 avec 13,6 % de nématodes; station 18 avec 33 % de porifères).

5 Références

Conseil canadien des ministres de l'Environnement (CCME), 2011. Manuel des protocoles d'échantillonnage pour l'analyse de la qualité de l'eau au Canada. ISBN 978-1-896997-79-7, 219 pages.

Environnement et Changement climatique Canada (ECCC), 2012. Guide technique pour l'étude de suivi des effets sur l'environnement des mines de métaux. En ligne : https://www.canada.ca/fr/environnement-changement-climatique/services/gestion-pollution/suivi-effets-environnement/guide-technique-mines-metaux/guide-technique-etude-suivi-effets-environnement-mines-metaux.html

Ministère du Développement durable, de l'Environnement, de la Faune et des Parcs (MDDEFP), 2013. Guide de surveillance biologique basée sur les macroinvertébrés benthiques d'eau douce du Québec – Cours d'eau peu profonds à substrat grossier. Direction du suivi de l'état de l'environnement, ISBN 978-2-550-69169-3 (PDF), 2e édition, 88 pages.

Ministère de l'Environnement, de la Lutte contre les changements climatiques, de la Faune et des Parcs (MELCCFP), 2023. Guide d'échantillonnage à des fins d'analyses environnementales, Cahier 1 (généralités). Direction générale de la coordination scientifique et du Centre d'expertise en analyse environnementale du Québec, ISBN 978-2-550-94963-3, 41 pages. + appendices

Annexe 1

Mesures physicochimiques *in situ* et données terrain

Tableau 3. Mesures physicochimiques *in situ* – Qualité des sédiments

Zone	**Zone exposée à l'effluent minier projeté**					**Zone de référence**												
Plan / cours d'eau	**Lac L27**			**Lac L10**	**CE11**	**Lac L01**		**Lac L02**	**CE11**	**Lac L308**	**Lac L300**	**Lac L323**	**Lac L314**	**Lac L220**	**Lac L517**	**Lac L311**	**Lac L18**	**Lac L823**	**CE15**
Nom de la station	15	4	Aval-1	L10	CE11	19	Inter 1-1	Inter 1-2	S inter 1-3	17	7	8	9	16	Inter 2-2	18	20	Ref	CE15
Date (AA-MM-JJ)	24-10-21	24-10-24	24-10-21	25-05-25	25-06-19	25-05-23	24-10-25	24-10-26	24-10-29	24-10-21	24-10-21	24-10-27	24-10-26	24-10-23	24-10-25	25-05-23	25-05-24	25-05-24	25-06-19
NAD83 (X)	-73,986077	-73,95983	-73,980354	-73,964038	-73,962626	-73,923078	-73,875879	-73,923321	-73,945083	-73,925625	-73,947133	-73,874694	-73,897317	-73,922993	-73,945054	-73,917403	-73,901362	-74,033322	-73,970972
NAD83 (Y)	53,531402	53,537912	53,523554	53,52270	53,522522	53,525306	53,526723	53,530399	53,523567	53,546559	53,544694	53,54694	53,548177	53,540617	53,509447	53,546952	53,535987	53,605957	53,523557
Profondeur totale (m)	7,2	0,5	2,9	1,3	0,15	2,1	3,3	5	0,3	0,9	2,5	2,8	1,2	1,0	1,0	2,2	1,3	13	0,3
Consistance / texture	Très mou	Très mou	Très mou	Compact	Très mou	Très mou	Très mou	Très mou	Très mou	Très mou	Très mou	Très mou	Très mou	Très mou	Très mou	Très mou	Très mou	Très mou	Très mou
Odeur	Décomposition	Pas d'odeur	Décomposition	Pas d'odeur	Décomposition	Pas d'odeur	Pas d'odeur	Pas d'odeur	Pas d'odeur	Pas d'odeur	Pas d'odeur	Pas d'odeur	Sulfure	Sulfure	Décomposition	Pas d'odeur	Pas d'odeur	Pas d'odeur	Décomposition
Couleur	10 YR 2/2	10 YR 2/2	10 YR 2/2	2,5 Y 4/3	10 YR 3/2	2.5 Y 2,5/1	10 YR 2/1	2,5 Y 2,5/1	10 Y 2/1	2,5 Y 2,5/1	2,5 Y 3/1	2,5 YR 2,5/1	2,5 Y 2,5/1	10 YR 2/1	5 Y 3/1	2.5 Y 2,5/1	2,5 Y 3/2	2,5 Y 2,5/1	10 YR 3/3
Température air (°C)	1	1	2	15	15	12	5	1	3	5	-2	-3	2	5	5	10	10	12	15
Transparence (m)	4,0	0,5	2,7	1,3	0,15	2,1	2,9	1,2	0,3	0,9	1,1	2,8	0,9	1,0	1,0	1,6	1,3	2,8	ND
Température eau (°C)	7,6	3,5	6,2	9,4	15,3	7,9	5,4	3,8	1,9	5,3	3,4	1,9	3,5	5,1	3,0	8,3	10,3	5,9	14,9
O2 dissous (%)	96,9	97,3	98,0	100	70,6	100	97,5	96,2	98,5	99,1	96,9	96,7	96,4	101,6	95,7	96,5	94,8	94,3	97,9
O2 dissous (mg/L)	11,05	12,33	11,57	11,46	6,75	11,91	11,72	11,98	13,13	11,74	12,29	12,72	12,09	12,10	12,31	11,35	10,62	11,76	9,43
pH	6,26	6,22	6,42	6,53	5,40	6,25	6,58	6,05	7,13	6,80	6,38	6,84	5,97	6,41	6,53	5,40	6,00	5,7	6,4
Conductivité (us/cm)	11,4	16,7	11,4	10,5	13,6	10,8	10,5	15,6	16,2	17,9	16,8	9,8	16,0	15,4	14,6	9,2	14,9	9,5	9,0
ORP (mv)	219,8	153,6	186,9	161,4	237,8	216,8	197,4	220,8	174,1	135,9	199,6	194,6	220,1	168,6	180,7	248,7	226,8	185,4	117,2

Annexe 2

Résultats analytiques – Qualité des sédiments

Liste des tableaux :

Tableau 4. Résultats analytiques – Qualité des sédiments - lac L27

Tableau 5. Résultats analytiques – Qualité des sédiments - lac L27 et lac L10

Tableau 6. Résultats analytiques – Qualité des sédiments – cours d'eau CE11 et lac L01

Tableau 7. Résultats analytiques – Qualité des sédiments - lac L01 et lac L02

Tableau 8. Résultats analytiques – Qualité des sédiments – cours d'eau CE11 et lac L220

Tableau 9. Résultats analytiques – Qualité des sédiments – lac L18 et cours d'eau CE15

Tableau 10. Résultats analytiques – Qualité des sédiments – lac L308 et lac L300

Tableau 11. Résultats analytiques – Qualité des sédiments – lac L323 et lac L314

Tableau 12. Résultats analytiques – Qualité des sédiments – lac L311 et lac L517

Tableau 13. Résultats analytiques – Qualité des sédiments – lac L823

La légende ci-dessous s'applique aux tableaux 4 à 13.

Légende :

NA : Non applicable

ND : Non disponible

Valeur : Ne respecte pas le critère CSE (concentration seuil produisant un effet) de EC-MDDEP (2007) (valeur de référence calculée par le Conseil canadien des ministres de l'environnement).

Valeur : Ne respecte pas le critère CEP (concentration produisant un effet probable) de EC-MDDEP (2007) (valeur de référence calculée par le Conseil canadien des ministres de l'environnement).

Valeur : Ne respecte pas le critère CER (concentration d'effets rares) de EC-MDDEP (2007) (ajouté dans le contexte de prévention de la contamination des sédiments due à des rejets industriels).

* LDR = Limite de détection rapportée. La LDR varie en fonction des stations pour des raisons analytiques. Pour certaines LDR, une gamme de concentration est donc présentée afin de tenir compte de ces différences.

[1] : EC et MDDEP. 2007. Critères pour l'évaluation de la qualité des sédiments au Québec et cadres d'application : prévention. dragage et restauration. 39 pages.

[2] : CHOINIÈRE. J., et M. BEAUMIER. 1997. Bruits de fond géochimiques pour différents environnements géologiques au Québec. Service des minéraux industriels et de l'assistance à l'exploration. 28 p. et annexes.

[3] : CSE: Concentration seuil produisant un effet

[4] : CEP: Concentration produisant un effet probable

[5] : CER: Concentration d'effets rares

Tableau 4. Résultats analytiques – Qualité des sédiments - lac L27

Zone exposée / de référence									Zone exposée						Zone exposée					
Secteur	Unités	LDR*	Critères de qualité des sédiments - EC et MDDEP (2007)[1]			Bruit de fond géochimique des sédiments - secteur Supérieur[2]			Secteur L27						Secteur L27					
Plan d'eau / cours d'eau									**Lac L27**						**Lac L27**					
Nom de la station - échantillon									*Aval 1*	Aval 1-1	Aval 1-2	Aval 1-3	Aval 1-4	Aval 1-5	*4*	4-1	4-2	4-3	4-4	4-5
Date d'échantillonnage	aa-mm-jj	NA	CSE[3]	CEP[4]	CER[5]	Minimum	Moyenne	Maximum	*Moyenne*	24-10-21	24-10-21	24-10-21	24-10-21	24-10-21	*Moyenne*	24-10-24	24-10-24	24-10-24	24-10-24	24-10-24
Paramètres																				
Azote total Kjeldahl	mg/kg - N	643-1125	-	-	-	-	-	-	*4966,0*	5140	4830	5700	3300	5860	*5926,0*	4280	5340	6920	8820	4270
% Matières sèches	%	0,2	-	-	-	-	-	-	*NA*	ND	ND	ND	ND	ND	*NA*	ND	ND	ND	ND	ND
Phosphore total	mg/kg - P	40-80	-	-	-	-	-	-	*625,4*	721	554	741	411	700	*437,8*	319	430	484	665	291
Carbone organique total	%	0,05	-	-	-	-	-	-	*7,9*	7,77	7,04	8,13	8,35	8,08	*11,2*	11,3	10,3	11,5	12	10,7
Soufre total	mg/kg	100-200	-	-	-	-	-	-	*1332,0*	1250	1320	1400	1340	1350	*952,6*	916	1060	997	861	929
Hydrocarbures pétroliers C_{10} à C_{50}	mg/kg	120-700	-	-	-	-	-	-	*NA*	<400	<400	<400	<400	<400	*232*	<400	<200	<400	<400	232
Granulométrie																				
Gravier (2-32 mm)	%	NA	-	-	-	-	-	-	*0,35*	0,56	0,18	0,41	0,36	0,23	*0,53*	0,34	0,00	0,74	0,38	1,17
Sable (0,063-<2 mm)	%	NA	-	-	-	-	-	-	*19,69*	24,72	19,26	19,83	15,27	19,35	*36,03*	31,79	29,27	27,96	39,17	51,96
Limon (3,9-<63 µm)	%	NA	-	-	-	-	-	-	*79,84*	74,55	80,38	79,58	84,26	80,42	*63,32*	67,61	70,73	71,14	60,45	46,69
Argile (<3,9 µm)	%	NA	-	-	-	-	-	-	*0,12*	0,16	0,18	0,18	0,10	0,00	*0,12*	0,26	0,00	0,15	0,00	0,18
Limon, Argile (<63 µm)	%	NA	-	-	-	-	-	-	*NA*	NA	NA	NA	NA	NA	*NA*	NA	NA	NA	NA	NA
Hydrocarbures aromatiques polycycliques																				
Acénaphtène	mg/kg	0,015-0,06	0,006	0,089	0,003	-	-	-	*NA*	<0,03	<0,03	<0,03	<0,03	<0,03	*NA*	<0,03	<0,015	<0,03	<0,03	<0,015
Acénaphtylène	mg/kg	0,015-0,06	0,005	0,13	0,003	-	-	-	*NA*	<0,03	<0,03	<0,03	<0,03	<0,03	*NA*	<0,03	<0,015	<0,03	<0,03	<0,015
Anthracène	mg/kg	0,01-0,2	0,047	0,24	0,016	-	-	-	*NA*	<0,1	<0,1	<0,1	<0,1	<0,1	*NA*	<0,1	<0,05	<0,1	<0,1	<0,05
Benzo (a) anthracène	mg/kg	0,01-0,2	0,032	0,39	0,014	-	-	-	*NA*	<0,1	<0,1	<0,1	<0,1	<0,1	*NA*	<0,1	<0,05	<0,1	<0,1	<0,05
Benzo (a) pyrène	mg/kg	0,01-0,2	0,032	0,78	0,011	-	-	-	*NA*	<0,1	<0,1	<0,1	<0,1	<0,1	*NA*	<0,1	<0,05	<0,1	<0,1	<0,05
Benzo (b) fluoranthène	mg/kg	0,01-0,2	-	-	-	-	-	-	*NA*	<0,1	<0,1	<0,1	<0,1	<0,1	*NA*	<0,1	<0,05	<0,1	<0,1	<0,05
Benzo (j) fluoranthène	mg/kg	0,01-0,2	-	-	-	-	-	-	*NA*	<0,1	<0,1	<0,1	<0,1	<0,1	*NA*	<0,1	<0,05	<0,1	<0,1	<0,05
Benzo (k) fluoranthène	mg/kg	0,01-0,2	-	-	-	-	-	-	*NA*	<0,1	<0,1	<0,1	<0,1	<0,1	*NA*	<0,1	<0,05	<0,1	<0,1	<0,05
Benzo (b+j+k) fluoranthène	mg/kg	0,01-0,2	-	-	-	-	-	-	*NA*	<0,1	<0,1	<0,1	<0,1	<0,1	*NA*	<0,1	<0,05	<0,1	<0,1	<0,05
Benzo (c) phénanthrène	mg/kg	0,01-0,2	-	-	-	-	-	-	*NA*	<0,1	<0,1	<0,1	<0,1	<0,1	*NA*	<0,1	<0,05	<0,1	<0,1	<0,05
Benzo (g,h,i) pérylène	mg/kg	0,01-0,2	-	-	-	-	-	-	*NA*	<0,1	<0,1	<0,1	<0,1	<0,1	*NA*	<0,1	<0,05	<0,1	<0,1	<0,05
Chrysène	mg/kg	0,01-0,2	0,057	0,86	0,026	-	-	-	*NA*	<0,1	<0,1	<0,1	<0,1	<0,1	*NA*	<0,1	<0,05	<0,1	<0,1	<0,05
Dibenzo (a,h) anthracène	mg/kg	0,003-0,06	0,006	0,14	0,003	-	-	-	*NA*	<0,03	<0,03	<0,03	<0,03	<0,03	*NA*	<0,03	<0,015	<0,03	<0,03	<0,015
Dibenzo (a,i) pyrène	mg/kg	0,01-0,2	-	-	-	-	-	-	*NA*	<0,1	<0,1	<0,1	<0,1	<0,1	*NA*	<0,1	<0,05	<0,1	<0,1	<0,05
Dibenzo (a,h) pyrène	mg/kg	0,01-0,2	-	-	-	-	-	-	*NA*	<0,1	<0,1	<0,1	<0,1	<0,1	*NA*	<0,1	<0,05	<0,1	<0,1	<0,05
Dibenzo (a,l) pyrène	mg/kg	0,01-0,2	-	-	-	-	-	-	*NA*	<0,1	<0,1	<0,1	<0,1	<0,1	*NA*	<0,1	<0,05	<0,1	<0,1	<0,05

Zone exposée / de référence									Zone exposée						Zone exposée					
Secteur	Unités	LDR*	Critères de qualité des sédiments - EC et MDDEP (2007)[1]			Bruit de fond géochimique des sédiments - secteur Supérieur[2]			Secteur L27						Secteur L27					
Plan d'eau / cours d'eau									**Lac L27**						**Lac L27**					
Nom de la station - échantillon									*Aval 1*	Aval 1-1	Aval 1-2	Aval 1-3	Aval 1-4	Aval 1-5	*4*	4-1	4-2	4-3	4-4	4-5
Diméthyl-7,12 benzo (a) anthracène	mg/kg	0,01-0,2	-	-	-	-	-	-	*NA*	<0,1	<0,1	<0,1	<0,1	<0,1	*NA*	<0,1	<0,05	<0,1	<0,1	<0,05
Fluoranthène	mg/kg	0,01-0,2	0,11	2,4	0,047	-	-	-	*NA*	<0,1	<0,1	<0,1	<0,1	<0,1	*NA*	<0,1	<0,05	<0,1	<0,1	<0,05
Fluorène	mg/kg	0,01-0,2	0,021	0,14	0,010	-	-	-	*NA*	<0,1	<0,1	<0,1	<0,1	<0,1	*NA*	<0,1	<0,05	<0,1	<0,1	<0,05
Indéno (1,2,3-cd) pyrène	mg/kg	0,01-0,2	-	-	-	-	-	-	*NA*	<0,1	<0,1	<0,1	<0,1	<0,1	*NA*	<0,1	<0,05	<0,1	<0,1	<0,05
Méthyl-3 cholanthrène	mg/kg	0,01-0,2	-	-	-	-	-	-	*NA*	<0,1	<0,1	<0,1	<0,1	<0,1	*NA*	<0,1	<0,05	<0,1	<0,1	<0,05
Naphtalène	mg/kg	0,01-0,2	0,035	0,39	0,017	-	-	-	*NA*	<0,1	<0,1	<0,1	<0,1	<0,1	*NA*	<0,1	<0,05	<0,1	<0,1	<0,05
Phénanthrène	mg/kg	0,01-0,2	0,042	0,52	0,025	-	-	-	*NA*	<0,1	<0,1	<0,1	<0,1	<0,1	*NA*	<0,1	<0,05	<0,1	<0,1	<0,05
Pyrène	mg/kg	0,01-0,2	0,053	0,88	0,029	-	-	-	*NA*	<0,1	<0,1	<0,1	<0,1	<0,1	*NA*	<0,1	<0,05	<0,1	<0,1	<0,05
Méthyl-1 naphtalène	mg/kg	0,01-0,2	-	-	-	-	-	-	*NA*	<0,1	<0,1	<0,1	<0,1	<0,1	*NA*	<0,1	<0,05	<0,1	<0,1	<0,05
Méthyl-2 naphtalène	mg/kg	0,01-0,2	0,020	0,20	0,016	-	-	-	*NA*	<0,1	<0,1	<0,1	<0,1	<0,1	*NA*	<0,1	<0,05	<0,1	<0,1	<0,05
Diméthyl-1,3 naphtalène	mg/kg	0,01-0,2	-	-	-	-	-	-	*NA*	<0,1	<0,1	<0,1	<0,1	<0,1	*NA*	<0,1	<0,05	<0,1	<0,1	<0,05
Triméthyl-2,3,5 naphtalène	mg/kg	0,01-0,2	-	-	-	-	-	-	*NA*	<0,1	<0,1	<0,1	<0,1	<0,1	*NA*	<0,1	<0,05	<0,1	<0,1	<0,05
Sommation HAP Bas poids moléculaire	mg/kg	0,01-0,2	-	-	-	-	-	-	*NA*	<0,1	<0,1	<0,1	<0,1	<0,1	*NA*	<0,1	<0,05	<0,1	<0,1	<0,05
Sommation HAP Haut poids moléculaire	mg/kg	0,01-0,2	-	-	-	-	-	-	*NA*	<0,1	<0,1	<0,1	<0,1	<0,1	*NA*	<0,1	<0,05	<0,1	<0,1	<0,05
% Humidité	%	0,1-0,2	-	-	-	-	-	-	*83,3*	82,8	83,2	82,8	83,9	84	*81,1*	83,8	78,3	81,8	84,2	77,3
Métaux extractibles totaux																				
Aluminium	mg/kg	20	-	-	-	-	-	-	*11700*	11800	12000	11700	12000	11000	*5004*	5180	5100	4980	5090	4670
Antimoine	mg/kg	7	-	-	-	< 0,1	0,15	4,3	*NA*	<7	<7	<7	<7	<7	*NA*	<7	<7	<7	<7	<7
Argent	mg/kg	0,5	-	-	-	< 0,1	0,33	7,2	*NA*	<0,5	<0,5	<0,5	<0,5	<0,5	*NA*	<0,5	<0,5	<0,5	<0,5	<0,5
Arsenic	mg/kg	0,7-1,5	5,9	17	4,1	< 1	1,58	217	*5,0*	4,9	4,9	4,9	5,5	4,8	*4,0*	4,0	4,0	4,2	4,4	3,4
Baryum	mg/kg	20	-	-	-	1	106	875	*33,8*	33	35	33	35	33	*32,4*	36	32	32	34	28
Bismuth	mg/kg	5-15	-	-	-	-	-	-	*NA*	<15	<15	<15	<15	<15	*NA*	<15	<15	<15	<15	<15
Bore	mg/kg	10	-	-	-	-	-	-	*NA*	<10	<10	<10	<10	<10	*NA*	<10	<10	<10	<10	<10
Béryllium	mg/kg	1	-	-	-	-	-	-	*NA*	<1	<1	<1	<1	<1	*NA*	<1	<1	<1	<1	<1
Cadmium	mg/kg	0,30	0,60	3,5	0,33	<0,1	0,29	8,70	*0,45*	0,44	0,46	0,44	0,49	0,41	*NA*	<0,30	<0,30	<0,30	<0,30	<0,30
Calcium	mg/kg	30	-	-	-	-	-	-	*1990*	1940	2000	1970	2110	1930	*2690*	2950	2530	2830	2780	2360
Chrome	mg/kg	1-25	37	90	25	1	43,7	205	*27*	28	27	27	28	26	*22*	22	22	23	23	21
Cobalt	mg/kg	2-15	-	-	-	1	10,1	191	*7*	7	7	7	7	6	*7*	8	7	7	7	6
Cuivre	mg/kg	1-5	36	200	22	1	28,3	2100	*19*	18	19	19	19	18	*10*	10	10	10	10	9
Étain	mg/kg	1-5	-	-	-	-	-	-	*NA*	<5	<5	<5	<5	<5	*NA*	<5	<5	<5	<5	<5
Fer	mg/kg	40	-	-	-	-	-	-	*13800*	13700	14000	13100	14800	13400	*14020*	13900	13200	15900	16200	10900
Lithium	mg/kg	20	-	-	-	-	-	-	*NA*	<20	<20	<20	<20	<20	*NA*	<20	<20	<20	<20	<20
Magnésium	mg/kg	10	-	-	-	-	-	-	*1908*	1980	1920	1860	1950	1830	*1576*	1550	1490	1840	1490	1510

Zone exposée / de référence Secteur Plan d'eau / cours d'eau Nom de la station - échantillon	Unités	LDR*	Critères de qualité des sédiments - EC et MDDEP (2007)[1]			Bruit de fond géochimique des sédiments - secteur Supérieur[2]			Zone exposée Secteur L27 **Lac L27**						Zone exposée Secteur L27 **Lac L27**					
									Aval 1	Aval 1-1	Aval 1-2	Aval 1-3	Aval 1-4	Aval 1-5	*4*	4-1	4-2	4-3	4-4	4-5
Manganèse	mg/kg	3	-	-	-	1	278	21400	*181*	189	197	168	176	175	*151*	189	153	160	153	102
Mercure	mg/kg	0,02-0,04	0,17	0,49	0,094	0,004	0,1298	269,9	*0,10*	0,11	0,08	0,07	0,08	0,16	*0,09*	0,09	0,09	0,07	0,10	0,08
Molybdène	mg/kg	2	-	-	-	<1	3,6	160,0	*6*	6	6	7	6	6	*3*	2	3	3	3	2
Nickel	mg/kg	2	-	-	-	1	25,3	590,0	*14*	14	15	14	15	14	*11*	12	11	11	12	11
Plomb	mg/kg	5	35	91	25	2	9,1	309,0	*14*	13	16	11	14	15	*14*	15	13	15	15	12
Potassium	mg/kg	40	-	-	-	-	-	-	*532*	558	544	510	540	510	*376*	424	345	353	432	324
Silicium	mg/kg	50-150	-	-	-	-	-	-	*1133*	1080	871	1370	1440	903	*792*	793	794	699	825	847
Sodium	mg/kg	30	-	-	-	-	-	-	*88*	93	88	84	86	89	*93*	113	93	82	98	81
Strontium	mg/kg	1	-	-	-	-	-	-	*11*	10	11	11	11	10	*13*	15	13	13	14	11
Sélénium	mg/kg	0,5-1	-	-	-	<10	10,2	26	*0,8*	0,8	0,8	0,7	0,8	0,7	*0,6*	0,6	0,6	0,6	0,7	0,5
Thallium	mg/kg	1	-	-	-	-	-	-	*NA*	<1	<1	<1	<1	<1	*NA*	<1	<1	<1	<1	<1
Titane	mg/kg	1	-	-	-	-	-	-	*510*	521	510	504	523	493	*446*	453	472	432	438	437
Uranium	mg/kg	20	-	-	-	0,1	4,5	670	*NA*	<20	<20	<20	<20	<20	*NA*	<20	<20	<20	<20	<20
Vanadium	mg/kg	10	-	-	-	-	-	-	*29*	30	29	29	30	28	*27*	27	27	27	28	24
Zinc	mg/kg	5-10	120	310	80	3	67,6	2067	*67*	67	68	68	73	59	*28*	29	27	28	29	28

Tableau 5. Résultats analytiques – Qualité des sédiments - lac L27 et lac L10

Zone exposée / de référence	Unités	LDR*	Critères de qualité des sédiments - EC et MDDEP (2007)[1]			Bruit de fond géochimique des sédiments - secteur Supérieur[2]			Zone exposée						Zone exposée					
Secteur									Secteur L27						Secteur La Grande A					
Plan d'eau / cours d'eau									**Lac L27**						**Lac L10**					
Nom de la station - échantillon									*15*	15-1	15-2	15-3	15-4	15-5	*L10*	L-10-1	L-10-2	L-10-3	L-10-4	L-10-5
Date d'échantillonnage	aa-mm-jj	NA	CSE[3]	CEP[4]	CER[5]	Minimum	Moyenne	Maximum	*Moyenne*	24-10-24	24-10-24	24-10-24	24-10-24	24-10-24	*Moyenne*	25-05-25	25-05-25	25-05-25	25-05-25	25-05-25
Paramètres																				
Azote total Kjeldahl	mg/kg - N	643-1125	-	-	-	-	-	-	*3844,0*	3780	3260	3940	4140	4100	*890*	1170	487	1140	848	805
% Matières sèches	%	0,2	-	-	-	-	-	-	*30,3*	ND	ND	32,7	27,1	31,0	*54,4*	48,5	64,1	50,0	55,0	54,4
Phosphore total	mg/kg - P	40-80	-	-	-	-	-	-	*1342,0*	1020	1020	1690	1480	1500	*161*	202	117	160	150	177
Carbone organique total	%	0,05	-	-	-	-	-	-	*5,8*	5,6	5,99	5,49	5,96	6,02	*2,0*	3,28	0,8	2,13	2,1	1,59
Soufre total	mg/kg	100-200	-	-	-	-	-	-	*815,0*	813	643	937	857	825	*314*	398	287	330	273	282
Hydrocarbures pétroliers C_{10} à C_{50}	mg/kg	120-700	-	-	-	-	-	-	*NA*	<200	<120	<120	<200	<120	*131*	122	<100	143	141	116
Granulométrie																				
Gravier (2-32 mm)	%	NA	-	-	-	-	-	-	*0,50*	0,00	0,00	1,42	0,78	0,28	*0,69*	1,76	0,26	0,49	0,39	0,55
Sable (0,063-<2 mm)	%	NA	-	-	-	-	-	-	*10,54*	12,28	11,80	8,93	10,98	8,73	*96,03*	97,70	94,24	96,61	92,21	99,38
Limon (3,9-<63 µm)	%	NA	-	-	-	-	-	-	*89,63*	NA	NA	89,65	88,25	90,99	*NA*	NA	NA	NA	NA	NA
Argile (<3,9 µm)	%	NA	-	-	-	-	-	-	*0,00*	NA	NA	0,00	0,00	0,00	*NA*	NA	NA	NA	NA	NA
Limon, Argile (<63 µm)	%	NA	-	-	-	-	-	-	*87,96*	87,72	88,20	NA	NA	NA	*3,28*	0,54	5,50	2,90	7,40	0,07
Hydrocarbures aromatiques polycycliques																				
Acénaphtène	mg/kg	0,015-0,06	0,006	0,089	0,003	-	-	-	*NA*	<0,003	<0,03	<0,009	<0,015	<0,009	*NA*	<0,006	<0,003	<0,003	<0,003	<0,003
Acénaphtylène	mg/kg	0,015-0,06	0,005	0,13	0,003	-	-	-	*NA*	<0,003	<0,003	<0,009	<0,015	<0,009	*NA*	<0,006	<0,003	<0,003	<0,003	<0,003
Anthracène	mg/kg	0,01-0,2	0,047	0,24	0,016	-	-	-	*NA*	<0,05	<0,03	<0,03	<0,05	<0,03	*NA*	<0,02	<0,01	<0,01	<0,01	<0,01
Benzo (a) anthracène	mg/kg	0,01-0,2	0,032	0,39	0,014	-	-	-	*NA*	<0,05	<0,03	<0,03	<0,05	<0,03	*NA*	<0,02	<0,01	<0,01	<0,01	<0,01
Benzo (a) pyrène	mg/kg	0,01-0,2	0,032	0,78	0,011	-	-	-	*NA*	<0,05	<0,03	<0,03	<0,05	<0,03	*NA*	<0,02	<0,01	<0,01	<0,01	<0,01
Benzo (b) fluoranthène	mg/kg	0,01-0,2	-	-	-	-	-	-	*NA*	<0,05	<0,03	<0,03	<0,05	<0,03	*NA*	<0,02	<0,01	<0,01	<0,01	<0,01
Benzo (j) fluoranthène	mg/kg	0,01-0,2	-	-	-	-	-	-	*NA*	<0,05	<0,03	<0,03	<0,05	<0,03	*NA*	<0,02	<0,01	<0,01	<0,01	<0,01
Benzo (k) fluoranthène	mg/kg	0,01-0,2	-	-	-	-	-	-	*NA*	<0,05	<0,03	<0,03	<0,05	<0,03	*NA*	<0,02	<0,01	<0,01	<0,01	<0,01
Benzo (b+j+k) fluoranthène	mg/kg	0,01-0,2	-	-	-	-	-	-	*NA*	<0,01	<0,01	<0,03	<0,05	<0,03	*NA*	<0,02	<0,01	<0,01	<0,01	<0,01
Benzo (c) phénanthrène	mg/kg	0,01-0,2	-	-	-	-	-	-	*NA*	<0,05	<0,03	<0,03	<0,05	<0,03	*NA*	<0,02	<0,01	<0,01	<0,01	<0,01
Benzo (g,h,i) pérylène	mg/kg	0,01-0,2	-	-	-	-	-	-	*NA*	<0,05	<0,03	<0,03	<0,05	<0,03	*NA*	<0,02	<0,01	<0,01	<0,01	<0,01
Chrysène	mg/kg	0,01-0,2	0,057	0,86	0,026	-	-	-	*NA*	<0,05	<0,03	<0,03	<0,05	<0,03	*NA*	<0,02	<0,01	<0,01	<0,01	<0,01
Dibenzo (a,h) anthracène	mg/kg	0,003-0,06	0,006	0,14	0,003	-	-	-	*0,0*	0,005	<0,003	<0,009	<0,015	<0,009	*0,004*	<0,006	<0,003	0,004	<0,003	0,004
Dibenzo (a,i) pyrène	mg/kg	0,01-0,2	-	-	-	-	-	-	*NA*	<0,05	<0,03	<0,03	<0,05	<0,03	*0,0*	<0,02	<0,01	0,01	<0,01	<0,01
Dibenzo (a,h) pyrène	mg/kg	0,01-0,2	-	-	-	-	-	-	*NA*	<0,05	<0,03	<0,03	<0,05	<0,03	*NA*	<0,02	<0,01	<0,01	<0,01	<0,01
Dibenzo (a,l) pyrène	mg/kg	0,01-0,2	-	-	-	-	-	-	*NA*	<0,05	<0,03	<0,03	<0,05	<0,03	*NA*	<0,02	<0,01	<0,01	<0,01	<0,01

Zone exposée / de référence									Zone exposée						Zone exposée					
Secteur	Unités	LDR*	Critères de qualité des sédiments - EC et MDDEP (2007)[1]			Bruit de fond géochimique des sédiments - secteur Supérieur[2]			Secteur L27						Secteur La Grande A					
Plan d'eau / cours d'eau									**Lac L27**						**Lac L10**					
Nom de la station - échantillon									*15*	15-1	15-2	15-3	15-4	15-5	*L10*	L-10-1	L-10-2	L-10-3	L-10-4	L-10-5
Diméthyl-7,12 benzo (a) anthracène	mg/kg	0,01-0,2	-	-	-	-	-	-	*NA*	<0,05	<0,03	<0,03	<0,05	<0,03	*NA*	<0,02	<0,01	<0,01	<0,01	<0,01
Fluoranthène	mg/kg	0,01-0,2	0,11	2,4	0,047	-	-	-	*NA*	<0,05	<0,03	<0,03	<0,05	<0,03	*NA*	<0,02	<0,01	<0,01	<0,01	<0,01
Fluorène	mg/kg	0,01-0,2	0,021	0,14	0,010	-	-	-	*NA*	<0,05	<0,03	<0,03	<0,05	<0,03	*NA*	<0,02	<0,01	<0,01	<0,01	<0,01
Indéno (1,2,3-cd) pyrène	mg/kg	0,01-0,2	-	-	-	-	-	-	*NA*	<0,05	<0,03	<0,03	<0,05	<0,03	*NA*	<0,02	<0,01	<0,01	<0,01	<0,01
Méthyl-3 cholanthrène	mg/kg	0,01-0,2	-	-	-	-	-	-	*NA*	<0,05	<0,03	<0,03	<0,05	<0,03	*NA*	<0,02	<0,01	<0,01	<0,01	<0,01
Naphtalène	mg/kg	0,01-0,2	0,035	0,39	0,017	-	-	-	*NA*	<0,05	<0,03	<0,03	<0,05	<0,03	*NA*	<0,02	<0,01	<0,01	<0,01	<0,01
Phénanthrène	mg/kg	0,01-0,2	0,042	0,52	0,025	-	-	-	*NA*	<0,05	<0,03	<0,03	<0,05	<0,03	*NA*	<0,02	<0,01	<0,01	<0,01	<0,01
Pyrène	mg/kg	0,01-0,2	0,053	0,88	0,029	-	-	-	*NA*	<0,05	<0,03	<0,03	<0,05	<0,03	*NA*	<0,02	<0,01	<0,01	<0,01	<0,01
Méthyl-1 naphtalène	mg/kg	0,01-0,2	-	-	-	-	-	-	*NA*	<0,05	<0,03	<0,03	<0,05	<0,03	*NA*	<0,02	<0,01	<0,01	<0,01	<0,01
Méthyl-2 naphtalène	mg/kg	0,01-0,2	0,020	0,20	0,016	-	-	-	*NA*	<0,05	<0,03	<0,03	<0,05	<0,03	*NA*	<0,02	<0,01	<0,01	<0,01	<0,01
Diméthyl-1,3 naphtalène	mg/kg	0,01-0,2	-	-	-	-	-	-	*NA*	<0,05	<0,03	<0,03	<0,05	<0,03	*NA*	<0,02	<0,01	<0,01	<0,01	<0,01
Triméthyl-2,3,5 naphtalène	mg/kg	0,01-0,2	-	-	-	-	-	-	*NA*	<0,05	<0,03	<0,03	<0,05	<0,03	*NA*	<0,02	<0,01	<0,01	<0,01	<0,01
Sommation HAP Bas poids moléculaire	mg/kg	0,01-0,2	-	-	-	-	-	-	*NA*	<0,01	<0,01	<0,03	<0,05	<0,03	*NA*	<0,02	<0,01	<0,01	<0,01	<0,01
Sommation HAP Haut poids moléculaire	mg/kg	0,01-0,2	-	-	-	-	-	-	*NA*	<0,01	<0,01	<0,03	<0,05	<0,03	*NA*	<0,02	<0,01	<0,01	<0,01	<0,01
% Humidité	%	0,1-0,2	-	-	-	-	-	-	*69,8*	70,3	69,7	67,3	72,9	69	*45,6*	51,5	35,9	50	45	45,6
Métaux extractibles totaux																				
Aluminium	mg/kg	20	-	-	-	-	-	-	*14440*	12800	13800	14700	15800	15100	*3392*	4280	2310	4030	3430	2910
Antimoine	mg/kg	7	-	-	-	< 0,1	0,15	4,3	*NA*	<7	<7	<7	<7	<7	*NA*	<7	<7	<7	<7	<7
Argent	mg/kg	0,5	-	-	-	< 0,1	0,33	7,2	*NA*	<0,5	<0,5	<0,5	<0,5	<0,5	*NA*	<0,5	<0,5	<0,5	<0,5	<0,5
Arsenic	mg/kg	0,7-1,5	5,9	17	4,1	< 1	1,58	217	*19,3*	26,8	18,1	17,2	14	20,5	*2,4*	3,3	1,8	2,3	2,8	1,7
Baryum	mg/kg	20	-	-	-	1	106	875	*109,2*	78	136	123	113	96	*NA*	<20	<20	<20	<20	<20
Bismuth	mg/kg	5-15	-	-	-	-	-	-	*NA*	<15	<15	<15	<15	<15	*NA*	<5	<5	<5	<5	<5
Bore	mg/kg	10	-	-	-	-	-	-	*NA*	<10	<10	<10	<10	<10	*NA*	<10	<10	<10	<10	<10
Béryllium	mg/kg	1	-	-	-	-	-	-	*NA*	<1	<1	<1	<1	<1	*NA*	<1	<1	<1	<1	<1
Cadmium	mg/kg	0,30	0,60	3,5	0,33	<0,1	0,29	8,70	*0,67*	0,73	0,64	0,58	0,74	0,67	*NA*	<0,30	<0,30	<0,30	<0,30	<0,30
Calcium	mg/kg	30	-	-	-	-	-	-	*1396*	1380	1260	1680	1390	1270	*879*	1030	750	968	854	793
Chrome	mg/kg	1-25	37	90	25	1	43,7	205	*30*	26	29	31	32	31	*NA*	<25	<25	<25	<25	<25
Cobalt	mg/kg	2-15	-	-	-	1	10,1	191	*49*	51	48	48	58	40	*NA*	<15	<15	<15	<15	<15
Cuivre	mg/kg	1-5	36	200	22	1	28,3	2100	*24*	21	22	25	26	24	*6*	6	<5	6	5	<5
Étain	mg/kg	1-5	-	-	-	-	-	-	*NA*	<5	<5	<5	<5	<5	*NA*	<5	<5	<5	<5	<5
Fer	mg/kg	40	-	-	-	-	-	-	*190400*	218000	196000	187000	160000	191000	*7672*	10400	5400	8240	8480	5840
Lithium	mg/kg	20	-	-	-	-	-	-	*NA*	<20	<20	<20	<20	<20	*NA*	<20	<20	<20	<20	<20
Magnésium	mg/kg	10	-	-	-	-	-	-	*793*	711	786	788	881	797	*1202*	1440	964	1320	1310	977

Zone exposée / de référence	Unités	LDR*	Critères de qualité des sédiments - EC et MDDEP (2007)[1]			Bruit de fond géochimique des sédiments - secteur Supérieur[2]			Zone exposée						Zone exposée					
Secteur									Secteur L27						Secteur La Grande A					
Plan d'eau / cours d'eau									**Lac L27**						**Lac L10**					
Nom de la station - échantillon									*15*	15-1	15-2	15-3	15-4	15-5	*L10*	L-10-1	L-10-2	L-10-3	L-10-4	L-10-5
Manganèse	mg/kg	3	-	-	-	1	278	21400	*8014*	8130	8410	8580	7520	7430	*145*	217	165	123	120	100
Mercure	mg/kg	0,02-0,04	0,17	0,49	0,094	0,004	0,1298	269,9	*0,09*	0,09	0,08	0,09	0,11	0,10	*NA*	<0,04	<0,04	<0,04	<0,04	<0,04
Molybdène	mg/kg	2	-	-	-	<1	3,6	160,0	*20*	22	21	21	17	20	*NA*	<2	<2	<2	<2	<2
Nickel	mg/kg	2	-	-	-	1	25,3	590,0	*18*	17	16	17	23	18	*6*	7	4	6	6	5
Plomb	mg/kg	5	35	91	25	2	9,1	309,0	*10*	17	<5	5	8	9	*6*	6	<5	<5	<5	<5
Potassium	mg/kg	40	-	-	-	-	-	-	*309*	275	304	305	345	317	*325*	384	231	345	328	339
Silicium	mg/kg	50-150	-	-	-	-	-	-	*444*	369	409	441	561	440	*390*	609	325	362	373	280
Sodium	mg/kg	30	-	-	-	-	-	-	*61*	38	53	59	87	69	*NA*	<30	<30	<30	<30	<30
Strontium	mg/kg	1	-	-	-	-	-	-	*10*	11	10	10	10	9	*3*	3	3	4	3	3
Sélénium	mg/kg	0,5-1	-	-	-	<10	10,2	26	*1,3*	1,2	1,2	1,3	1,3	1,3	*NA*	<1,0	<1,0	<1,0	<1,0	<1,0
Thallium	mg/kg	1	-	-	-	-	-	-	*NA*	<1	<1	<1	<1	<1	*NA*	<1	<1	<1	<1	<1
Titane	mg/kg	1	-	-	-	-	-	-	*447*	399	441	457	478	460	*324*	403	237	358	326	298
Uranium	mg/kg	20	-	-	-	0,1	4,5	670	*NA*	<20	<20	<20	<20	<20	*NA*	<20	<20	<20	<20	<20
Vanadium	mg/kg	10	-	-	-	-	-	-	*57*	52	54	58	61	60	*14*	16	<10	14	12	<10
Zinc	mg/kg	5-10	120	310	80	3	67,6	2067	*80*	77	71	80	89	83	*19*	24	13	22	19	17

Tableau 6. Résultats analytiques – Qualité des sédiments – cours d'eau CE11 et lac L01

Zone exposée / de référence	Unités	LDR*	Critères de qualité des sédiments - EC et MDDEP (2007)[1]			Bruit de fond géochimique des sédiments - secteur Supérieur[2]			Zone exposée						Zone de référence					
Secteur									Secteur La Grande A						Secteur Lac L01					
Plan d'eau / cours d'eau									**Cours d'eau CE11**						**Lac L01**					
Nom de la station - échantillon									*CE11*	CE11-1	CE11-2	CE11-3	CE11-4	CE11-5	*Inter 1-1*	Inter 1-1-1	Inter 1-1-2	Inter 1-1-3	Inter 1-1-4	Inter 1-1-5
Date d'échantillonnage	aa-mm-jj	NA	CSE[3]	CEP[4]	CER[5]	Minimum	Moyenne	Maximum	*Moyenne*	25-06-19	25-06-19	25-06-19	25-06-19	25-06-19	*Moyenne*	24-10-25	24-10-25	24-10-25	24-10-25	24-10-25
Paramètres																				
Azote total Kjeldahl	mg/kg - N	643-1125	-	-	-	-	-	-	*4324,0*	4150	4820	2420	6840	3390	*6334,0*	6530	5590	6440	6750	6360
% Matières sèches	%	0,2	-	-	-	-	-	-	*34,1*	26,3	30,7	41,8	25,6	46,0	*12,2*	12,2	12,6	11,7	12,2	12,6
Phosphore total	mg/kg - P	40-80	-	-	-	-	-	-	*337,4*	377	365	219	459	267	*1348,0*	1390	1170	1330	1350	1500
Carbone organique total	%	0,05	-	-	-	-	-	-	*5,2*	6,79	5,32	3,56	7	3,37	*8,5*	8,84	7,75	7,6	8,9	9,54
Soufre total	mg/kg	100-200	-	-	-	-	-	-	*776*	815	857	564	1070	572	*1536,0*	1310	1540	1440	1620	1770
Hydrocarbures pétroliers C_{10} à C_{50}	mg/kg	120-700	-	-	-	-	-	-	*172*	<200	<120	137	204	176	*NA*	<400	<400	<400	<400	<400
Granulométrie																				
Gravier (2-32 mm)	%	NA	-	-	-	-	-	-	*0,03*	0,00	0,00	0,00	0,00	0,15	*0,06*	0,41	-0,26	0,04	0,07	0,03
Sable (0,063-<2 mm)	%	NA	-	-	-	-	-	-	*68,24*	65,29	69,61	90,06	49,53	66,71	*17,09*	29,97	8,32	16,60	8,28	22,29
Limon (3,9-<63 µm)	%	NA	-	-	-	-	-	-	*NA*	NA	NA	NA	NA	NA	*82,83*	69,62	91,94	83,37	91,56	77,68
Argile (<3,9 µm)	%	NA	-	-	-	-	-	-	*NA*	NA	NA	NA	NA	NA	*0,02*	0,00	0,00	0,00	0,09	0,00
Limon, Argile (<63 µm)	%	NA	-	-	-	-	-	-	*31,73*	34,71	30,39	9,94	50,47	33,14	*NA*	NA	NA	NA	NA	NA
Hydrocarbures aromatiques polycycliques																				
Acénaphtène	mg/kg	0,015-0,06	0,006	0,089	0,003	-	-	-	*NA*	<0,015	<0,009	<0,006	<0,015	<0,006	*NA*	<0,03	<0,03	<0,03	<0,03	<0,03
Acénaphtylène	mg/kg	0,015-0,06	0,005	0,13	0,003	-	-	-	*NA*	<0,015	<0,009	<0,006	<0,015	<0,006	*NA*	<0,3	<0,03	<0,03	<0,03	<0,03
Anthracène	mg/kg	0,01-0,2	0,047	0,24	0,016	-	-	-	*NA*	<0,05	<0,03	<0,02	<0,05	<0,02	*NA*	<0,1	<0,1	<0,1	<0,1	<0,1
Benzo (a) anthracène	mg/kg	0,01-0,2	0,032	0,39	0,014	-	-	-	*NA*	<0,05	<0,03	<0,02	<0,05	<0,02	*NA*	<0,1	<0,1	<0,1	<0,1	<0,1
Benzo (a) pyrène	mg/kg	0,01-0,2	0,032	0,78	0,011	-	-	-	*NA*	<0,05	<0,03	<0,02	<0,05	<0,02	*NA*	<0,1	<0,1	<0,1	<0,1	<0,1
Benzo (b) fluoranthène	mg/kg	0,01-0,2	-	-	-	-	-	-	*NA*	<0,05	<0,03	<0,02	<0,05	<0,02	*NA*	<0,1	<0,1	<0,1	<0,1	<0,1
Benzo (j) fluoranthène	mg/kg	0,01-0,2	-	-	-	-	-	-	*NA*	<0,05	<0,03	<0,02	<0,05	<0,02	*NA*	<0,1	<0,1	<0,1	<0,1	<0,1
Benzo (k) fluoranthène	mg/kg	0,01-0,2	-	-	-	-	-	-	*NA*	<0,05	<0,03	<0,02	<0,05	<0,02	*NA*	<0,1	<0,1	<0,1	<0,1	<0,1
Benzo (b+j+k) fluoranthène	mg/kg	0,01-0,2	-	-	-	-	-	-	*NA*	<0,05	<0,03	<0,02	<0,05	<0,02	*NA*	<0,1	<0,1	<0,1	<0,1	<0,1
Benzo (c) phénanthrène	mg/kg	0,01-0,2	-	-	-	-	-	-	*NA*	<0,05	<0,03	<0,02	<0,05	<0,02	*NA*	<0,1	<0,1	<0,1	<0,1	<0,1
Benzo (g,h,i) pérylène	mg/kg	0,01-0,2	-	-	-	-	-	-	*NA*	<0,05	<0,03	<0,02	<0,05	<0,02	*NA*	<0,1	<0,1	<0,1	<0,1	<0,1
Chrysène	mg/kg	0,01-0,2	0,057	0,86	0,026	-	-	-	*NA*	<0,05	<0,03	<0,02	<0,05	<0,02	*NA*	<0,1	<0,1	<0,1	<0,1	<0,1
Dibenzo (a,h) anthracène	mg/kg	0,003-0,06	0,006	0,14	0,003	-	-	-	*NA*	<0,015	<0,009	<0,006	<0,015	<0,006	*NA*	<0,03	<0,03	<0,03	<0,03	<0,03
Dibenzo (a,i) pyrène	mg/kg	0,01-0,2	-	-	-	-	-	-	*NA*	<0,05	<0,03	<0,02	<0,05	<0,02	*NA*	<0,1	<0,1	<0,1	<0,1	<0,1
Dibenzo (a,h) pyrène	mg/kg	0,01-0,2	-	-	-	-	-	-	*NA*	<0,05	<0,03	<0,02	<0,05	<0,02	*NA*	<0,1	<0,1	<0,1	<0,1	<0,1
Dibenzo (a,l) pyrène	mg/kg	0,01-0,2	-	-	-	-	-	-	*NA*	<0,05	<0,03	<0,02	<0,05	<0,02	*NA*	<0,1	<0,1	<0,1	<0,1	<0,1

Zone exposée / de référence	Unités	LDR*	Critères de qualité des sédiments - EC et MDDEP (2007)[1]			Bruit de fond géochimique des sédiments - secteur Supérieur[2]			Zone exposée						Zone de référence					
Secteur									Secteur La Grande A						Secteur Lac L01					
Plan d'eau / cours d'eau									**Cours d'eau CE11**						**Lac L01**					
Nom de la station - échantillon									*CE11*	CE11-1	CE11-2	CE11-3	CE11-4	CE11-5	*Inter 1-1*	Inter 1-1-1	Inter 1-1-2	Inter 1-1-3	Inter 1-1-4	Inter 1-1-5
Diméthyl-7,12 benzo (a) anthracène	mg/kg	0,01-0,2	-	-	-	-	-	-	*NA*	<0,05	<0,03	<0,02	<0,05	<0,02	*NA*	<0,1	<0,1	<0,1	<0,1	<0,1
Fluoranthène	mg/kg	0,01-0,2	0,11	2,4	0,047	-	-	-	*NA*	<0,05	<0,03	<0,02	<0,05	<0,02	*NA*	<0,1	<0,1	<0,1	<0,1	<0,1
Fluorène	mg/kg	0,01-0,2	0,021	0,14	0,010	-	-	-	*NA*	<0,05	<0,03	<0,02	<0,05	<0,02	*NA*	<0,1	<0,1	<0,1	<0,1	<0,1
Indéno (1,2,3-cd) pyrène	mg/kg	0,01-0,2	-	-	-	-	-	-	*NA*	<0,05	<0,03	<0,02	<0,05	<0,02	*NA*	<0,1	<0,1	<0,1	<0,1	<0,1
Méthyl-3 cholanthrène	mg/kg	0,01-0,2	-	-	-	-	-	-	*NA*	<0,05	<0,03	<0,02	<0,05	<0,02	*NA*	<0,1	<0,1	<0,1	<0,1	<0,1
Naphtalène	mg/kg	0,01-0,2	0,035	0,39	0,017	-	-	-	*NA*	<0,05	<0,03	<0,02	<0,05	<0,02	*NA*	<0,1	<0,1	<0,1	<0,1	<0,1
Phénanthrène	mg/kg	0,01-0,2	0,042	0,52	0,025	-	-	-	*NA*	<0,05	<0,03	<0,02	<0,05	<0,02	*NA*	<0,1	<0,1	<0,1	<0,1	<0,1
Pyrène	mg/kg	0,01-0,2	0,053	0,88	0,029	-	-	-	*NA*	<0,05	<0,03	<0,02	<0,05	<0,02	*NA*	<0,1	<0,1	<0,1	<0,1	<0,1
Méthyl-1 naphtalène	mg/kg	0,01-0,2	-	-	-	-	-	-	*NA*	<0,05	<0,03	<0,02	<0,05	<0,02	*NA*	<0,1	<0,1	<0,1	<0,1	<0,1
Méthyl-2 naphtalène	mg/kg	0,01-0,2	0,020	0,20	0,016	-	-	-	*NA*	<0,05	<0,03	<0,02	<0,05	<0,02	*NA*	<0,1	<0,1	<0,1	<0,1	<0,1
Diméthyl-1,3 naphtalène	mg/kg	0,01-0,2	-	-	-	-	-	-	*NA*	<0,05	<0,03	<0,02	<0,05	<0,02	*NA*	<0,1	<0,1	<0,1	<0,1	<0,1
Triméthyl-2,3,5 naphtalène	mg/kg	0,01-0,2	-	-	-	-	-	-	*NA*	<0,05	<0,03	<0,02	<0,05	<0,02	*NA*	<0,1	<0,1	<0,1	<0,1	<0,1
Sommation HAP Bas poids moléculaire	mg/kg	0,01-0,2	-	-	-	-	-	-	*NA*	<0,05	<0,03	<0,02	<0,05	<0,02	*NA*	<0,1	<0,1	<0,1	<0,1	<0,1
Sommation HAP Haut poids moléculaire	mg/kg	0,01-0,2	-	-	-	-	-	-	*NA*	<0,05	<0,03	<0,02	<0,05	<0,02	*NA*	<0,1	<0,1	<0,1	<0,1	<0,1
% Humidité	%	0,1-0,2	-	-	-	-	-	-	*65,9*	73,7	69,3	58,2	74,4	54	*87,7*	87,8	87,4	88,3	87,8	87,4
Métaux extractibles totaux																				
Aluminium	mg/kg	20	-	-	-	-	-	-	*5526*	5520	5590	3590	6840	6090	*17180*	18300	16600	16600	16900	17500
Antimoine	mg/kg	7	-	-	-	< 0,1	0,15	4,3	*NA*	<7	<7	<7	<7	<7	*NA*	<7	<7	<7	<7	<7
Argent	mg/kg	0,5	-	-	-	< 0,1	0,33	7,2	*NA*	<0,5	<0,5	<0,5	<0,5	<0,5	*NA*	<0,5	<0,5	<0,5	<0,5	<0,5
Arsenic	mg/kg	0,7-1,5	5,9	17	4,1	< 1	1,58	217	*2,6*	2,7	2,5	1,6	3,4	2,7	*4,3*	4,4	3,6	4,8	4,3	4,3
Baryum	mg/kg	20	-	-	-	1	106	875	*27,0*	<20	<20	<20	27	<20	*44,4*	47	42	45	43	45
Bismuth	mg/kg	5-15	-	-	-	-	-	-	*NA*	<5	<5	<5	<5	<5	*NA*	<15	<15	<15	<15	<15
Bore	mg/kg	10	-	-	-	-	-	-	*NA*	<10	<10	<10	<10	<10	*NA*	<10	<10	<10	<10	<10
Béryllium	mg/kg	1	-	-	-	-	-	-	*NA*	<1	<1	<1	<1	<1	*NA*	<1	<1	<1	<1	<1
Cadmium	mg/kg	0,30	0,60	3,5	0,33	<0,1	0,29	8,70	*0,30*	<0,30	<0,30	<0,30	0,30	<0,30	*0,66*	0,71	0,71	0,68	0,61	0,60
Calcium	mg/kg	30	-	-	-	-	-	-	*1134*	1190	1030	951	1470	1030	*2036*	2070	1910	2060	1940	2200
Chrome	mg/kg	1-25	37	90	25	1	43,7	205	*NA*	<25	<25	<25	<25	<25	*33*	34	32	32	33	34
Cobalt	mg/kg	2-15	-	-	-	1	10,1	191	*NA*	<15	<15	<15	<15	<15	*11*	11	10	12	12	12
Cuivre	mg/kg	1-5	36	200	22	1	28,3	2100	*8*	8	9	6	10	9	*30*	33	30	28	29	31
Étain	mg/kg	1-5	-	-	-	-	-	-	*NA*	<5	<5	<5	<5	<5	*NA*	<5	<5	<5	<5	<5
Fer	mg/kg	40	-	-	-	-	-	-	*8638*	9430	8990	4680	10900	9190	*25580*	26600	23600	27700	24900	25100
Lithium	mg/kg	20	-	-	-	-	-	-	*NA*	<20	<20	<20	<20	<20	*NA*	<20	<20	<20	<20	<20
Magnésium	mg/kg	10	-	-	-	-	-	-	*1178*	1180	1060	920	1270	1460	*1932*	2050	1870	1930	1890	1920

Zone exposée / de référence Secteur Plan d'eau / cours d'eau Nom de la station - échantillon	Unités	LDR*	Critères de qualité des sédiments - EC et MDDEP (2007)[1]			Bruit de fond géochimique des sédiments - secteur Supérieur[2]			Zone exposée Secteur La Grande A **Cours d'eau CE11**						Zone de référence Secteur Lac L01 **Lac L01**					
									CE11	CE11-1	CE11-2	CE11-3	CE11-4	CE11-5	*Inter 1-1*	Inter 1-1-1	Inter 1-1-2	Inter 1-1-3	Inter 1-1-4	Inter 1-1-5
Manganèse	mg/kg	3	-	-	-	1	278	21400	*121*	120	131	83	195	78	*259*	252	225	301	262	254
Mercure	mg/kg	0,02-0,04	0,17	0,49	0,094	0,004	0,1298	269,9	*0,05*	0,05	0,05	<0,04	0,06	<0,04	*0,10*	0,11	0,09	0,12	0,10	0,10
Molybdène	mg/kg	2	-	-	-	<1	3,6	160,0	*3*	2	2	<2	3	3	*11*	12	12	11	11	11
Nickel	mg/kg	2	-	-	-	1	25,3	590,0	*7*	8	7	5	10	7	*15*	17	14	15	15	16
Plomb	mg/kg	5	35	91	25	2	9,1	309,0	*9*	9	9	<5	11	6	*12*	12	7	20	10	10
Potassium	mg/kg	40	-	-	-	-	-	-	*170*	170	208	113	227	131	*592*	602	568	606	586	600
Silicium	mg/kg	50-150	-	-	-	-	-	-	*NA*	ND	ND	ND	ND	ND	*718*	850	614	902	658	568
Sodium	mg/kg	30	-	-	-	-	-	-	*57*	56	60	49	60	58	*125*	121	120	152	122	108
Strontium	mg/kg	1	-	-	-	-	-	-	*6*	6	6	4	8	5	*12*	14	11	13	12	12
Sélénium	mg/kg	0,5-1	-	-	-	<10	10,2	26	*NA*	<1,0	<1,0	<1,0	<1,0	<1,0	*1,1*	1,2	1	1,2	1,1	1,1
Thallium	mg/kg	1	-	-	-	-	-	-	*NA*	<1	<1	<1	<1	<1	*NA*	<1	<1	<1	<1	<1
Titane	mg/kg	1	-	-	-	-	-	-	*385*	366	372	286	422	481	*535*	545	526	536	533	534
Uranium	mg/kg	20	-	-	-	0,1	4,5	670	*NA*	<20	<20	<20	<20	<20	*NA*	<20	<20	<20	<20	<20
Vanadium	mg/kg	10	-	-	-	-	-	-	*19*	18	16	<10	20	23	*56*	57	54	54	56	57
Zinc	mg/kg	5-10	120	310	80	3	67,6	2067	*23*	25	20	16	32	21	*89*	99	87	81	88	90

Tableau 7. Résultats analytiques – Qualité des sédiments - lac L01 et lac L02

Zone exposée / de référence	Unités	LDR*	Critères de qualité des sédiments - EC et MDDEP (2007)[1]			Bruit de fond géochimique des sédiments - secteur Supérieur[2]			Zone de référence						Zone de référence					
Secteur									Secteur Lac L01						Secteur La Grande A					
Plan d'eau / cours d'eau									**Lac L01**						**Lac L02**					
Nom de la station - échantillon									*19*	19-1	19-2	19-3	19-4	19-5	*Inter 1-2*	Inter 1-2-1	Inter 1-2-2	Inter 1-2-3	Inter 1-2-4	Inter 1-2-5
Date d'échantillonnage	aa-mm-jj	NA	CSE[3]	CEP[4]	CER[5]	Minimum	Moyenne	Maximum	*Moyenne*	25-05-23	25-05-23	25-05-23	25-05-23	25-05-23	*Moyenne*	24-10-26	24-10-26	24-10-26	24-10-26	24-10-26
Paramètres																				
Azote total Kjeldahl	mg/kg - N	643-1125	-	-	-	-	-	-	*6566*	6900	6740	7280	5810	6100	*9436,0*	9200	10100	9940	9060	8880
% Matières sèches	%	0,2	-	-	-	-	-	-	*12,9*	12,8	12,9	12,6	13,1	13,1	*7,7*	8,2	7,7	7,6	7,9	7,2
Phosphore total	mg/kg - P	40-80	-	-	-	-	-	-	*529*	568	543	551	476	509	*1129,8*	969	1390	1140	1030	1120
Carbone organique total	%	0,05	-	-	-	-	-	-	*13,1*	14,6	11,2	11,9	15	12,8	*16,7*	15,9	16,6	17,6	16,5	16,8
Soufre total	mg/kg	100-200	-	-	-	-	-	-	*1554*	1510	1280	1800	1640	1540	*1599,2*	1940	1590	406	2260	1800
Hydrocarbures pétroliers C_{10} à C_{50}	mg/kg	120-700	-	-	-	-	-	-	*NA*	<400	<400	<400	<400	<400	*NA*	<500	<550	<550	<550	<550
Granulométrie																				
Gravier (2-32 mm)	%	NA	-	-	-	-	-	-	*0,13*	0,53	0,02	0,02	0,00	0,08	*0,13*	0,45	0,00	0,00	0,18	0,00
Sable (0,063-<2 mm)	%	NA	-	-	-	-	-	-	*21,02*	24,21	28,10	20,26	21,30	11,24	*5,52*	5,01	3,23	1,76	5,85	11,74
Limon (3,9-<63 µm)	%	NA	-	-	-	-	-	-	*NA*	NA	NA	NA	NA	NA	*94,36*	94,55	96,77	98,24	93,97	88,26
Argile (<3,9 µm)	%	NA	-	-	-	-	-	-	*NA*	NA	NA	NA	NA	NA	*0,00*	0,00	0,00	0,00	0,00	0,00
Limon, Argile (<63 µm)	%	NA	-	-	-	-	-	-	*78,85*	75,26	71,88	79,72	78,70	88,68	*NA*	NA	NA	NA	NA	NA
Hydrocarbures aromatiques polycycliques																				
Acénaphtène	mg/kg	0,015-0,06	0,006	0,089	0,003	-	-	-	*NA*	<0,03	<0,03	<0,03	<0,03	<0,03	*NA*	<0,06	<0,06	<0,06	<0,06	<0,06
Acénaphtylène	mg/kg	0,015-0,06	0,005	0,13	0,003	-	-	-	*NA*	<0,03	<0,03	<0,03	<0,03	<0,03	*NA*	<0,06	<0,06	<0,06	<0,06	<0,06
Anthracène	mg/kg	0,01-0,2	0,047	0,24	0,016	-	-	-	*NA*	<0,1	<0,1	<0,1	<0,1	<0,1	*NA*	<0,2	<0,2	<0,2	<0,2	<0,2
Benzo (a) anthracène	mg/kg	0,01-0,2	0,032	0,39	0,014	-	-	-	*NA*	<0,1	<0,1	<0,1	<0,1	<0,1	*NA*	<0,2	<0,2	<0,2	<0,2	<0,2
Benzo (a) pyrène	mg/kg	0,01-0,2	0,032	0,78	0,011	-	-	-	*NA*	<0,1	<0,1	<0,1	<0,1	<0,1	*NA*	<0,2	<0,2	<0,2	<0,2	<0,2
Benzo (b) fluoranthène	mg/kg	0,01-0,2	-	-	-	-	-	-	*NA*	<0,1	<0,1	<0,1	<0,1	<0,1	*NA*	<0,2	<0,2	<0,2	<0,2	<0,2
Benzo (j) fluoranthène	mg/kg	0,01-0,2	-	-	-	-	-	-	*NA*	<0,1	<0,1	<0,1	<0,1	<0,1	*NA*	<0,2	<0,2	<0,2	<0,2	<0,2
Benzo (k) fluoranthène	mg/kg	0,01-0,2	-	-	-	-	-	-	*NA*	<0,1	<0,1	<0,1	<0,1	<0,1	*NA*	<0,2	<0,2	<0,2	<0,2	<0,2
Benzo (b+j+k) fluoranthène	mg/kg	0,01-0,2	-	-	-	-	-	-	*NA*	<0,1	<0,1	<0,1	<0,1	<0,1	*NA*	<0,2	<0,2	<0,2	<0,2	<0,2
Benzo (c) phénanthrène	mg/kg	0,01-0,2	-	-	-	-	-	-	*NA*	<0,1	<0,1	<0,1	<0,1	<0,1	*NA*	<0,2	<0,2	<0,2	<0,2	<0,2
Benzo (g,h,i) pérylène	mg/kg	0,01-0,2	-	-	-	-	-	-	*NA*	<0,1	<0,1	<0,1	<0,1	<0,1	*NA*	<0,2	<0,2	<0,2	<0,2	<0,2
Chrysène	mg/kg	0,01-0,2	0,057	0,86	0,026	-	-	-	*NA*	<0,1	<0,1	<0,1	<0,1	<0,1	*NA*	<0,2	<0,2	<0,2	<0,2	<0,2
Dibenzo (a,h) anthracène	mg/kg	0,003-0,06	0,006	0,14	0,003	-	-	-	*NA*	<0,03	<0,03	<0,03	<0,03	<0,03	*NA*	<0,06	<0,06	<0,06	<0,06	<0,06
Dibenzo (a,i) pyrène	mg/kg	0,01-0,2	-	-	-	-	-	-	*NA*	<0,1	<0,1	<0,1	<0,1	<0,1	*NA*	<0,2	<0,2	<0,2	<0,2	<0,2
Dibenzo (a,h) pyrène	mg/kg	0,01-0,2	-	-	-	-	-	-	*NA*	<0,1	<0,1	<0,1	<0,1	<0,1	*NA*	<0,2	<0,2	<0,2	<0,2	<0,2
Dibenzo (a,l) pyrène	mg/kg	0,01-0,2	-	-	-	-	-	-	*NA*	<0,1	<0,1	<0,1	<0,1	<0,1	*NA*	<0,2	<0,2	<0,2	<0,2	<0,2

Zone exposée / de référence	Unités	LDR*	Critères de qualité des sédiments - EC et MDDEP (2007)[1]			Bruit de fond géochimique des sédiments - secteur Supérieur[2]			Zone de référence						Zone de référence					
Secteur									Secteur Lac L01						Secteur La Grande A					
Plan d'eau / cours d'eau									**Lac L01**						**Lac L02**					
Nom de la station - échantillon									*19*	19-1	19-2	19-3	19-4	19-5	*Inter 1-2*	Inter 1-2-1	Inter 1-2-2	Inter 1-2-3	Inter 1-2-4	Inter 1-2-5
Diméthyl-7,12 benzo (a) anthracène	mg/kg	0,01-0,2	-	-	-	-	-	-	*NA*	<0,1	<0,1	<0,1	<0,1	<0,1	*NA*	<0,2	<0,2	<0,2	<0,2	<0,2
Fluoranthène	mg/kg	0,01-0,2	0,11	2,4	0,047	-	-	-	*NA*	<0,1	<0,1	<0,1	<0,1	<0,1	*NA*	<0,2	<0,2	<0,2	<0,2	<0,2
Fluorène	mg/kg	0,01-0,2	0,021	0,14	0,010	-	-	-	*NA*	<0,1	<0,1	<0,1	<0,1	<0,1	*NA*	<0,2	<0,2	<0,2	<0,2	<0,2
Indéno (1,2,3-cd) pyrène	mg/kg	0,01-0,2	-	-	-	-	-	-	*NA*	<0,1	<0,1	<0,1	<0,1	<0,1	*NA*	<0,2	<0,2	<0,2	<0,2	<0,2
Méthyl-3 cholanthrène	mg/kg	0,01-0,2	-	-	-	-	-	-	*NA*	<0,1	<0,1	<0,1	<0,1	<0,1	*NA*	<0,2	<0,2	<0,2	<0,2	<0,2
Naphtalène	mg/kg	0,01-0,2	0,035	0,39	0,017	-	-	-	*NA*	<0,1	<0,1	<0,1	<0,1	<0,1	*NA*	<0,2	<0,2	<0,2	<0,2	<0,2
Phénanthrène	mg/kg	0,01-0,2	0,042	0,52	0,025	-	-	-	*NA*	<0,1	<0,1	<0,1	<0,1	<0,1	*NA*	<0,2	<0,2	<0,2	<0,2	<0,2
Pyrène	mg/kg	0,01-0,2	0,053	0,88	0,029	-	-	-	*NA*	<0,1	<0,1	<0,1	<0,1	<0,1	*NA*	<0,2	<0,2	<0,2	<0,2	<0,2
Méthyl-1 naphtalène	mg/kg	0,01-0,2	-	-	-	-	-	-	*NA*	<0,1	<0,1	<0,1	<0,1	<0,1	*NA*	<0,2	<0,2	<0,2	<0,2	<0,2
Méthyl-2 naphtalène	mg/kg	0,01-0,2	0,020	0,20	0,016	-	-	-	*NA*	<0,1	<0,1	<0,1	<0,1	<0,1	*NA*	<0,2	<0,2	<0,2	<0,2	<0,2
Diméthyl-1,3 naphtalène	mg/kg	0,01-0,2	-	-	-	-	-	-	*NA*	<0,1	<0,1	<0,1	<0,1	<0,1	*NA*	<0,2	<0,2	<0,2	<0,2	<0,2
Triméthyl-2,3,5 naphtalène	mg/kg	0,01-0,2	-	-	-	-	-	-	*NA*	<0,1	<0,1	<0,1	<0,1	<0,1	*NA*	<0,2	<0,2	<0,2	<0,2	<0,2
Sommation HAP Bas poids moléculaire	mg/kg	0,01-0,2	-	-	-	-	-	-	*NA*	<0,1	<0,1	<0,1	<0,1	<0,1	*NA*	<0,2	<0,2	<0,2	<0,2	<0,2
Sommation HAP Haut poids moléculaire	mg/kg	0,01-0,2	-	-	-	-	-	-	*NA*	<0,1	<0,1	<0,1	<0,1	<0,1	*NA*	<0,2	<0,2	<0,2	<0,2	<0,2
% Humidité	%	0,1-0,2	-	-	-	-	-	-	*87,1*	87,2	87,1	87,4	86,9	86,9	*92,3*	91,8	92,3	92,4	92,1	92,8
Métaux extractibles totaux																				
Aluminium	mg/kg	20	-	-	-	-	-	-	*12640*	12900	12200	12600	12300	13200	*13440*	12600	14300	13200	13300	13800
Antimoine	mg/kg	7	-	-	-	< 0,1	0,15	4,3	*NA*	<7	<7	<7	<7	<7	*NA*	<7	<7	<7	<7	<7
Argent	mg/kg	0,5	-	-	-	< 0,1	0,33	7,2	*NA*	<0,5	<0,5	<0,5	<0,5	<0,5	*NA*	<0,5	<0,5	<0,5	<0,5	<0,5
Arsenic	mg/kg	0,7-1,5	5,9	17	4,1	< 1	1,58	217	*9,1*	9,5	8,6	8,9	9,2	9,1	*11,2*	11,1	10,2	11,0	11,8	11,9
Baryum	mg/kg	20	-	-	-	1	106	875	*34,2*	34	35	32	35	35	*54,0*	52	51	54	56	57
Bismuth	mg/kg	5-15	-	-	-	-	-	-	*NA*	<5	<5	<5	<5	<5	*NA*	<15	<15	<15	<15	<15
Bore	mg/kg	10	-	-	-	-	-	-	*NA*	<10	<10	<10	<10	<10	*NA*	<10	<10	<10	<10	<10
Béryllium	mg/kg	1	-	-	-	-	-	-	*NA*	<1	<1	<1	<1	<1	*NA*	<1	<1	<1	<1	<1
Cadmium	mg/kg	0,30	0,60	3,5	0,33	<0,1	0,29	8,70	*0,35*	0,32	0,37	0,32	0,38	0,34	*0,55*	0,60	0,44	0,59	0,56	0,55
Calcium	mg/kg	30	-	-	-	-	-	-	*2326*	2380	2260	2210	2380	2400	*4376*	4120	4120	4970	4330	4340
Chrome	mg/kg	1-25	37	90	25	1	43,7	205	*32*	32	30	31	33	32	*24*	22	24	24	25	26
Cobalt	mg/kg	2-15	-	-	-	1	10,1	191	*NA*	<15	<15	<15	<15	<15	*5*	4	5	5	5	5
Cuivre	mg/kg	1-5	36	200	22	1	28,3	2100	*15*	16	14	16	15	16	*25*	23	25	25	25	26
Étain	mg/kg	1-5	-	-	-	-	-	-	*NA*	<5	<5	<5	<5	<5	*NA*	<5	<5	<5	<5	<5
Fer	mg/kg	40	-	-	-	-	-	-	*14300*	14900	13700	14200	14100	14600	*15540*	13400	14900	15400	16700	17300
Lithium	mg/kg	20	-	-	-	-	-	-	*NA*	<20	<20	<20	<20	<20	*NA*	<20	<20	<20	<20	<20
Magnésium	mg/kg	10	-	-	-	-	-	-	*1288*	1280	1290	1160	1420	1290	*988*	983	911	1060	978	1010

Zone exposée / de référence Secteur Plan d'eau / cours d'eau Nom de la station - échantillon	Unités	LDR*	Critères de qualité des sédiments - EC et MDDEP (2007)[1]			Bruit de fond géochimique des sédiments - secteur Supérieur[2]			Zone de référence Secteur Lac L01 **Lac L01**						Zone de référence Secteur La Grande A **Lac L02**					
									19	19-1	19-2	19-3	19-4	19-5	*Inter 1-2*	Inter 1-2-1	Inter 1-2-2	Inter 1-2-3	Inter 1-2-4	Inter 1-2-5
Manganèse	mg/kg	3	-	-	-	1	278	21400	*115*	118	109	112	123	114	*88*	78	92	89	88	93
Mercure	mg/kg	0,02-0,04	0,17	0,49	0,094	0,004	0,1298	269,9	*0,10*	0,09	0,11	0,07	0,12	0,10	*0,16*	0,20	0,11	0,16	0,18	0,17
Molybdène	mg/kg	2	-	-	-	<1	3,6	160,0	*4*	4	3	4	3	4	*4*	3	4	4	4	4
Nickel	mg/kg	2	-	-	-	1	25,3	590,0	*18*	19	18	18	18	19	*13*	12	13	13	13	14
Plomb	mg/kg	5	35	91	25	2	9,1	309,0	*9*	6	10	<5	10	8	*16*	30	6	14	17	13
Potassium	mg/kg	40	-	-	-	-	-	-	*321*	313	336	288	348	320	*361*	377	307	395	367	361
Silicium	mg/kg	50-150	-	-	-	-	-	-	*1232*	1180	1200	1260	1300	1220	*1030*	1040	1000	849	1220	1040
Sodium	mg/kg	30	-	-	-	-	-	-	*95*	99	102	79	105	92	*73*	73	61	75	79	76
Strontium	mg/kg	1	-	-	-	-	-	-	*13*	13	13	13	12	13	*20*	19	18	24	19	19
Sélénium	mg/kg	0,5-1	-	-	-	<10	10,2	26	*NA*	<1,0	<1,0	<1,0	<1,0	<1,0	*1,2*	1,3	1,1	1,2	1,2	1,2
Thallium	mg/kg	1	-	-	-	-	-	-	*NA*	<1	<1	<1	<1	<1	*NA*	<1	<1	<1	<1	<1
Titane	mg/kg	1	-	-	-	-	-	-	*364*	365	360	346	376	375	*492*	464	496	483	500	519
Uranium	mg/kg	20	-	-	-	0,1	4,5	670	*NA*	<20	<20	<20	<20	<20	*NA*	<20	<20	<20	<20	<20
Vanadium	mg/kg	10	-	-	-	-	-	-	*21*	22	19	22	20	22	*51*	44	51	52	54	56
Zinc	mg/kg	5-10	120	310	80	3	67,6	2067	*47*	47	48	45	47	49	*50*	49	48	50	51	51

Tableau 8. Résultats analytiques – Qualité des sédiments – cours d'eau CE11 et lac L220

Zone exposée / de référence	Unités	LDR*	Critères de qualité des sédiments - EC et MDDEP (2007)[1]			Bruit de fond géochimique des sédiments - secteur Supérieur[2]			Zone de référence						Zone de référence					
Secteur									Secteur La Grande A						Secteur La Grande A					
Plan d'eau / cours d'eau									**Cours d'eau CE11**						**Lac L220**					
Nom de la station - échantillon									*S Inter 1-3*	S Inter 1-3-1	S Inter 1-3-2	S Inter 1-3-3	S Inter 1-3-4	S Inter 1-3-5	*16*	16-1	16-2	16-3	16-4	16-5
Date d'échantillonnage	aa-mm-jj	NA	CSE[3]	CEP[4]	CER[5]	Minimum	Moyenne	Maximum	*Moyenne*	24-10-29	24-10-29	24-10-29	24-10-29	24-10-29	*Moyenne*	24-10-23	24-10-23	24-10-23	24-10-23	24-10-23
Paramètres																				
Azote total Kjeldahl	mg/kg - N	643-1125	-	-	-	-	-	-	*12680*	12500	12300	12900	12800	12900	*8550*	7090	7140	9780	9180	9560
% Matières sèches	%	0,2	-	-	-	-	-	-	*11,3*	11,1	11,0	10,9	11,9	11,8	*NA*	ND	ND	ND	ND	ND
Phosphore total	mg/kg - P	40-80	-	-	-	-	-	-	*615*	647	487	696	583	663	*236*	167	242	292	240	239
Carbone organique total	%	0,05	-	-	-	-	-	-	*NA*	ND	ND	ND	ND	ND	*13,3*	13,5	13,2	13,6	14,1	12,1
Soufre total	mg/kg	100-200	-	-	-	-	-	-	*1734*	1960	1730	1380	1940	1660	*1195*	1290	855	1250	1390	1190
Hydrocarbures pétroliers C_{10} à C_{50}	mg/kg	120-700	-	-	-	-	-	-	*433*	< 400	488	403	408	< 400	*NA*	<500	<400	<500	<500	<500
Granulométrie																				
Gravier (2-32 mm)	%	NA	-	-	-	-	-	-	*0,90*	0,97	0,00	1,48	0,19	1,88	*0,52*	0,75	0,00	0,00	1,21	0,64
Sable (0,063-<2 mm)	%	NA	-	-	-	-	-	-	*17,09*	14,97	14,22	17,36	19,59	19,29	*10,40*	8,37	8,06	16,94	11,13	7,50
Limon (3,9-<63 µm)	%	NA	-	-	-	-	-	-	*81,90*	83,87	85,78	81,08	79,93	78,83	*87,72*	90,88	88,98	83,06	86,08	89,60
Argile (<3,9 µm)	%	NA	-	-	-	-	-	-	*0,11*	0,18	0,00	0,08	0,29	0,00	*1,36*	0,00	2,96	0,00	1,58	2,26
Limon, Argile (<63 µm)	%	NA	-	-	-	-	-	-	*NA*	NA	NA	NA	NA	NA	*NA*	NA	NA	NA	NA	NA
Hydrocarbures aromatiques polycycliques																				
Acénaphtène	mg/kg	0,015-0,06	0,006	0,089	0,003	-	-	-	*NA*	<0,03	<0,03	<0,03	<0,03	<0,03	*NA*	<0,03	<0,03	<0,03	<0,03	<0,03
Acénaphtylène	mg/kg	0,015-0,06	0,005	0,13	0,003	-	-	-	*NA*	<0,03	<0,03	<0,03	<0,03	<0,03	*NA*	<0,03	<0,03	<0,03	<0,03	<0,03
Anthracène	mg/kg	0,01-0,2	0,047	0,24	0,016	-	-	-	*NA*	<0,1	<0,1	<0,1	<0,1	<0,1	*NA*	<0,1	<0,1	<0,1	<0,1	<0,1
Benzo (a) anthracène	mg/kg	0,01-0,2	0,032	0,39	0,014	-	-	-	*NA*	<0,1	<0,1	<0,1	<0,1	<0,1	*NA*	<0,1	<0,1	<0,1	<0,1	<0,1
Benzo (a) pyrène	mg/kg	0,01-0,2	0,032	0,78	0,011	-	-	-	*NA*	<0,1	<0,1	<0,1	<0,1	<0,1	*NA*	<0,1	<0,1	<0,1	<0,1	<0,1
Benzo (b) fluoranthène	mg/kg	0,01-0,2	-	-	-	-	-	-	*NA*	<0,1	<0,1	<0,1	<0,1	<0,1	*NA*	<0,1	<0,1	<0,1	<0,1	<0,1
Benzo (j) fluoranthène	mg/kg	0,01-0,2	-	-	-	-	-	-	*NA*	<0,1	<0,1	<0,1	<0,1	<0,1	*NA*	<0,1	<0,1	<0,1	<0,1	<0,1
Benzo (k) fluoranthène	mg/kg	0,01-0,2	-	-	-	-	-	-	*NA*	<0,1	<0,1	<0,1	<0,1	<0,1	*NA*	<0,1	<0,1	<0,1	<0,1	<0,1
Benzo (b+j+k) fluoranthène	mg/kg	0,01-0,2	-	-	-	-	-	-	*NA*	<0,1	<0,1	<0,1	<0,1	<0,1	*NA*	<0,1	<0,1	<0,1	<0,1	<0,1
Benzo (c) phénanthrène	mg/kg	0,01-0,2	-	-	-	-	-	-	*NA*	<0,1	<0,1	<0,1	<0,1	<0,1	*NA*	<0,1	<0,1	<0,1	<0,1	<0,1
Benzo (g,h,i) pérylène	mg/kg	0,01-0,2	-	-	-	-	-	-	*NA*	<0,1	<0,1	<0,1	<0,1	<0,1	*NA*	<0,1	<0,1	<0,1	<0,1	<0,1
Chrysène	mg/kg	0,01-0,2	0,057	0,86	0,026	-	-	-	*NA*	<0,1	<0,1	<0,1	<0,1	<0,1	*NA*	<0,1	<0,1	<0,1	<0,1	<0,1
Dibenzo (a,h) anthracène	mg/kg	0,003-0,06	0,006	0,14	0,003	-	-	-	*NA*	<0,03	<0,03	<0,03	<0,03	<0,03	*NA*	<0,03	<0,03	<0,03	<0,03	<0,03
Dibenzo (a,i) pyrène	mg/kg	0,01-0,2	-	-	-	-	-	-	*NA*	<0,1	<0,1	<0,1	<0,1	<0,1	*NA*	<0,1	<0,1	<0,1	<0,1	<0,1
Dibenzo (a,h) pyrène	mg/kg	0,01-0,2	-	-	-	-	-	-	*NA*	<0,1	<0,1	<0,1	<0,1	<0,1	*NA*	<0,1	<0,1	<0,1	<0,1	<0,1
Dibenzo (a,l) pyrène	mg/kg	0,01-0,2	-	-	-	-	-	-	*NA*	<0,1	<0,1	<0,1	<0,1	<0,1	*NA*	<0,1	<0,1	<0,1	<0,1	<0,1

Zone exposée / de référence Secteur Plan d'eau / cours d'eau Nom de la station - échantillon	Unités	LDR*	Critères de qualité des sédiments - EC et MDDEP (2007)[1]			Bruit de fond géochimique des sédiments - secteur Supérieur[2]			Zone de référence Secteur La Grande A **Cours d'eau CE11**						Zone de référence Secteur La Grande A **Lac L220**					
									S Inter 1-3	S Inter 1-3-1	S Inter 1-3-2	S Inter 1-3-3	S Inter 1-3-4	S Inter 1-3-5	*16*	16-1	16-2	16-3	16-4	16-5
Diméthyl-7,12 benzo (a) anthracène	mg/kg	0,01-0,2	-	-	-	-	-	-	*NA*	<0,1	<0,1	<0,1	<0,1	<0,1	*NA*	<0,1	<0,1	<0,1	<0,1	<0,1
Fluoranthène	mg/kg	0,01-0,2	0,11	2,4	0,047	-	-	-	*NA*	<0,1	<0,1	<0,1	<0,1	<0,1	*NA*	<0,1	<0,1	<0,1	<0,1	<0,1
Fluorène	mg/kg	0,01-0,2	0,021	0,14	0,010	-	-	-	*NA*	<0,1	<0,1	<0,1	<0,1	<0,1	*NA*	<0,1	<0,1	<0,1	<0,1	<0,1
Indéno (1,2,3-cd) pyrène	mg/kg	0,01-0,2	-	-	-	-	-	-	*NA*	<0,1	<0,1	<0,1	<0,1	<0,1	*NA*	<0,1	<0,1	<0,1	<0,1	<0,1
Méthyl-3 cholanthrène	mg/kg	0,01-0,2	-	-	-	-	-	-	*NA*	<0,1	<0,1	<0,1	<0,1	<0,1	*NA*	<0,1	<0,1	<0,1	<0,1	<0,1
Naphtalène	mg/kg	0,01-0,2	0,035	0,39	0,017	-	-	-	*NA*	<0,1	<0,1	<0,1	<0,1	<0,1	*NA*	<0,1	<0,1	<0,1	<0,1	<0,1
Phénanthrène	mg/kg	0,01-0,2	0,042	0,52	0,025	-	-	-	*NA*	<0,1	<0,1	<0,1	<0,1	<0,1	*NA*	<0,1	<0,1	<0,1	<0,1	<0,1
Pyrène	mg/kg	0,01-0,2	0,053	0,88	0,029	-	-	-	*NA*	<0,1	<0,1	<0,1	<0,1	<0,1	*NA*	<0,1	<0,1	<0,1	<0,1	<0,1
Méthyl-1 naphtalène	mg/kg	0,01-0,2	-	-	-	-	-	-	*NA*	<0,1	<0,1	<0,1	<0,1	<0,1	*NA*	<0,1	<0,1	<0,1	<0,1	<0,1
Méthyl-2 naphtalène	mg/kg	0,01-0,2	0,020	0,20	0,016	-	-	-	*NA*	<0,1	<0,1	<0,1	<0,1	<0,1	*NA*	<0,1	<0,1	<0,1	<0,1	<0,1
Diméthyl-1,3 naphtalène	mg/kg	0,01-0,2	-	-	-	-	-	-	*NA*	<0,1	<0,1	<0,1	<0,1	<0,1	*NA*	<0,1	<0,1	<0,1	<0,1	<0,1
Triméthyl-2,3,5 naphtalène	mg/kg	0,01-0,2	-	-	-	-	-	-	*NA*	<0,1	<0,1	<0,1	<0,1	<0,1	*NA*	<0,1	<0,1	<0,1	<0,1	<0,1
Sommation HAP Bas poids moléculaire	mg/kg	0,01-0,2	-	-	-	-	-	-	*NA*	<0,1	<0,1	<0,1	<0,1	<0,1	*NA*	<0,1	<0,1	<0,1	<0,1	<0,1
Sommation HAP Haut poids moléculaire	mg/kg	0,01-0,2	-	-	-	-	-	-	*NA*	<0,1	<0,1	<0,1	<0,1	<0,1	*NA*	<0,1	<0,1	<0,1	<0,1	<0,1
% Humidité	%	0,1-0,2	-	-	-	-	-	-	*88,7*	88,9	89	89,1	88,1	88,2	*91,1*	91,1	90,9	90,4	91,3	91,6
Métaux extractibles totaux																				
Aluminium	mg/kg	20	-	-	-	-	-	-	*8186*	8310	7780	8060	8230	8550	*3394*	3320	3100	3580	3450	3520
Antimoine	mg/kg	7	-	-	-	< 0,1	0,15	4,3	*NA*	<7	<7	<7	<7	<7	*NA*	<7	<7	<7	<7	<7
Argent	mg/kg	0,5	-	-	-	< 0,1	0,33	7,2	*NA*	<0,5	<0,5	<0,5	<0,5	<0,5	*NA*	<0,5	<0,5	<0,5	<0,5	<0,5
Arsenic	mg/kg	0,7-1,5	5,9	17	4,1	< 1	1,58	217	*31,6*	31,1	28,1	43,7	29	25,9	*3,3*	3,3	3,1	3,2	3,2	3,5
Baryum	mg/kg	20	-	-	-	1	106	875	*43,6*	44	41	46	43	44	*29,6*	30	30	27	29	32
Bismuth	mg/kg	5-15	-	-	-	-	-	-	*NA*	<15	<15	<15	<15	<15	*NA*	<15	<15	<15	<15	<15
Bore	mg/kg	10	-	-	-	-	-	-	*NA*	<10	<10	<10	<10	<10	*NA*	<10	<10	<10	<10	<10
Béryllium	mg/kg	1	-	-	-	-	-	-	*NA*	<1	<1	<1	<1	<1	*NA*	<1	<1	<1	<1	<1
Cadmium	mg/kg	0,30	0,60	3,5	0,33	<0,1	0,29	8,70	*0,52*	0,49	0,52	0,48	0,56	0,53	*NA*	<0,30	<0,30	<0,30	<0,30	<0,30
Calcium	mg/kg	30	-	-	-	-	-	-	*3306*	3340	3010	3390	3400	3390	*2826*	2640	2650	2790	2880	3170
Chrome	mg/kg	1-25	37	90	25	1	43,7	205	*24*	22	23	27	24	24	*8*	7	7	8	8	8
Cobalt	mg/kg	2-15	-	-	-	1	10,1	191	*12*	12	10	14	11	14	*NA*	<2	<2	<2	<2	<2
Cuivre	mg/kg	1-5	36	200	22	1	28,3	2100	*15*	15	15	15	15	15	*8*	7	7	8	8	9
Étain	mg/kg	1-5	-	-	-	-	-	-	*NA*	<5	<5	<5	<5	<5	*NA*	<5	<5	<5	<5	<5
Fer	mg/kg	40	-	-	-	-	-	-	*20180*	20800	17500	25700	17400	19500	*3326*	3210	3040	3680	3330	3370
Lithium	mg/kg	20	-	-	-	-	-	-	*NA*	<20	<20	<20	<20	<20	*NA*	<20	<20	<20	<20	<20

Zone exposée / de référence Secteur Plan d'eau / cours d'eau Nom de la station - échantillon	Unités	LDR*	Critères de qualité des sédiments - EC et MDDEP (2007)[1]			Bruit de fond géochimique des sédiments - secteur Supérieur[2]			Zone de référence Secteur La Grande A **Cours d'eau CE11**						Zone de référence Secteur La Grande A **Lac L220**					
									S Inter 1-3	S Inter 1-3-1	S Inter 1-3-2	S Inter 1-3-3	S Inter 1-3-4	S Inter 1-3-5	*16*	16-1	16-2	16-3	16-4	16-5
Magnésium	mg/kg	10	-	-	-	-	-	-	*1538*	1590	1350	1510	1510	1730	*516*	485	478	529	527	559
Manganèse	mg/kg	3	-	-	-	1	278	21400	*329*	323	247	410	279	384	*22*	21	20	23	22	23
Mercure	mg/kg	0,02-0,04	0,17	0,49	0,094	0,004	0,1298	269,9	*0,14*	0,14	0,13	0,15	0,14	0,14	*0,19*	0,07	0,68	0,04	0,06	0,09
Molybdène	mg/kg	2	-	-	-	<1	3,6	160,0	*3*	3	3	3	3	3	*NA*	<2	<2	<2	<2	<2
Nickel	mg/kg	2	-	-	-	1	25,3	590,0	*15*	14	14	17	14	15	*10*	9	10	10	10	11
Plomb	mg/kg	5	35	91	25	2	9,1	309,0	*29*	28	30	28	31	28	*9*	12	8	<5	6	11
Potassium	mg/kg	40	-	-	-	-	-	-	*455*	443	355	588	463	428	*205*	207	194	194	206	226
Silicium	mg/kg	50-150	-	-	-	-	-	-	*654*	564	671	883	656	496	*1264*	1420	942	1490	1350	1120
Sodium	mg/kg	30	-	-	-	-	-	-	*103*	87	83	151	105	88	*71*	77	64	64	69	82
Strontium	mg/kg	1	-	-	-	-	-	-	*14*	14	13	14	14	15	*15*	15	15	14	15	16
Sélénium	mg/kg	0,5-1	-	-	-	<10	10,2	26	*1,0*	1	1	1	1,1	1	*NA*	<0,5	<0,5	<0,5	<0,5	<0,5
Thallium	mg/kg	1	-	-	-	-	-	-	*NA*	<1	<1	<1	<1	<1	*NA*	<1	<1	<1	<1	<1
Titane	mg/kg	1	-	-	-	-	-	-	*406*	414	371	398	404	443	*175*	169	156	190	181	179
Uranium	mg/kg	20	-	-	-	0,1	4,5	670	*NA*	<20	<20	<20	<20	<20	*NA*	<20	<20	<20	<20	<20
Vanadium	mg/kg	10	-	-	-	-	-	-	*38*	39	37	38	38	39	*13*	13	13	13	13	14
Zinc	mg/kg	5-10	120	310	80	3	67,6	2067	*41*	43	39	39	42	42	*23*	25	20	21	22	25

Tableau 9. Résultats analytiques – Qualité des sédiments – lac L18 et cours d'eau CE15

Zone exposée / de référence									Zone de référence						Zone de référence					
Secteur			Critères de qualité des sédiments - EC et MDDEP (2007)[1]			Bruit de fond géochimique des sédiments - secteur Supérieur[2]			Secteur La Grande A						Secteur La Grande A					
Plan d'eau / cours d'eau	Unités	LDR*							**Lac L18**						**Cours d'eau CE15**					
Nom de la station - échantillon									*20*	20-1	20-2	20-3	20-4	20-5	*CE15*	CE15-1	CE15-2	CE15-3	CE15-4	CE15-5
Date d'échantillonnage	aa-mm-jj	NA	CSE[3]	CEP[4]	CER[5]	Minimum	Moyenne	Maximum	*Moyenne*	25-05-24	25-05-24	25-05-24	25-05-24	25-05-24	*Moyenne*	25-06-19	25-06-19	25-06-19	25-06-19	25-06-19
Paramètres																				
Azote total Kjeldahl	mg/kg - N	643-1125	-	-	-	-	-	-	*8422*	9280	7710	8370	8130	8620	*661*	902	435	1140	527	302
% Matières sèches	%	0,2	-	-	-	-	-	-	*9,3*	9,6	9,3	9,1	9,3	9,4	*66,4*	57,5	74,8	52,0	71,8	75,7
Phosphore total	mg/kg - P	40-80	-	-	-	-	-	-	*345*	308	353	336	368	360	*176*	141	159	153	258	168
Carbone organique total	%	0,05	-	-	-	-	-	-	*16,2*	16,5	15,2	15,1	17,2	17,1	*1,37*	1,21	1,06	1,69	1,58	1,3
Soufre total	mg/kg	100-200	-	-	-	-	-	-	*1570*	1690	1620	1620	1680	1240	*314*	372	301	356	342	201
Hydrocarbures pétroliers C_{10} à C_{50}	mg/kg	120-700	-	-	-	-	-	-	*539*	486	575	498	702	435	*NA*	<100	<100	<100	<100	<100
Granulométrie																				
Gravier (2-32 mm)	%	NA	-	-	-	-	-	-	*0,40*	0,04	1,37	0,28	0,20	0,10	*9,54*	8,60	15,34	6,13	4,13	13,50
Sable (0,063-<2 mm)	%	NA	-	-	-	-	-	-	*15,02*	8,65	43,13	6,42	9,46	7,46	*84,95*	90,29	72,51	91,80	95,19	74,96
Limon (3,9-<63 µm)	%	NA	-	-	-	-	-	-	*NA*	NA	NA	NA	NA	NA	*NA*	NA	NA	NA	NA	NA
Argile (<3,9 µm)	%	NA	-	-	-	-	-	-	*NA*	NA	NA	NA	NA	NA	*NA*	NA	NA	NA	NA	NA
Limon, Argile (<63 µm)	%	NA	-	-	-	-	-	-	*84,58*	91,31	55,50	93,30	90,34	92,45	*5,51*	1,12	12,15	2,08	0,68	11,53
Hydrocarbures aromatiques polycycliques																				
Acénaphtène	mg/kg	0,015-0,06	0,006	0,089	0,003	-	-	-	*NA*	<0,03	<0,03	<0,03	<0,03	<0,03	*NA*	<0,003	<0,003	<0,003	<0,003	<0,003
Acénaphtylène	mg/kg	0,015-0,06	0,005	0,13	0,003	-	-	-	*NA*	<0,03	<0,03	<0,03	<0,03	<0,03	*NA*	<0,003	<0,003	<0,003	<0,003	<0,003
Anthracène	mg/kg	0,01-0,2	0,047	0,24	0,016	-	-	-	*NA*	<0,1	<0,1	<0,1	<0,1	<0,1	*NA*	<0,01	<0,01	<0,01	<0,01	<0,01
Benzo (a) anthracène	mg/kg	0,01-0,2	0,032	0,39	0,014	-	-	-	*NA*	<0,1	<0,1	<0,1	<0,1	<0,1	*NA*	<0,01	<0,01	<0,01	<0,01	<0,01
Benzo (a) pyrène	mg/kg	0,01-0,2	0,032	0,78	0,011	-	-	-	*NA*	<0,1	<0,1	<0,1	<0,1	<0,1	*NA*	<0,01	<0,01	<0,01	<0,01	<0,01
Benzo (b) fluoranthène	mg/kg	0,01-0,2	-	-	-	-	-	-	*NA*	<0,1	<0,1	<0,1	<0,1	<0,1	*NA*	<0,01	<0,01	<0,01	<0,01	<0,01
Benzo (j) fluoranthène	mg/kg	0,01-0,2	-	-	-	-	-	-	*NA*	<0,1	<0,1	<0,1	<0,1	<0,1	*NA*	<0,01	<0,01	<0,01	<0,01	<0,01
Benzo (k) fluoranthène	mg/kg	0,01-0,2	-	-	-	-	-	-	*NA*	<0,1	<0,1	<0,1	<0,1	<0,1	*NA*	<0,01	<0,01	<0,01	<0,01	<0,01
Benzo (b+j+k) fluoranthène	mg/kg	0,01-0,2	-	-	-	-	-	-	*NA*	<0,1	<0,1	<0,1	<0,1	<0,1	*NA*	<0,01	<0,01	<0,01	<0,01	<0,01
Benzo (c) phénanthrène	mg/kg	0,01-0,2	-	-	-	-	-	-	*NA*	<0,1	<0,1	<0,1	<0,1	<0,1	*NA*	<0,01	<0,01	<0,01	<0,01	<0,01
Benzo (g,h,i) pérylène	mg/kg	0,01-0,2	-	-	-	-	-	-	*NA*	<0,1	<0,1	<0,1	<0,1	<0,1	*NA*	<0,01	<0,01	<0,01	<0,01	<0,01
Chrysène	mg/kg	0,01-0,2	0,057	0,86	0,026	-	-	-	*NA*	<0,1	<0,1	<0,1	<0,1	<0,1	*NA*	<0,01	<0,01	<0,01	<0,01	<0,01
Dibenzo (a,h) anthracène	mg/kg	0,003-0,06	0,006	0,14	0,003	-	-	-	*NA*	<0,03	<0,03	<0,03	<0,03	<0,03	*NA*	<0,003	<0,003	<0,003	<0,003	<0,003
Dibenzo (a,i) pyrène	mg/kg	0,01-0,2	-	-	-	-	-	-	*NA*	<0,1	<0,1	<0,1	<0,1	<0,1	*NA*	<0,01	<0,01	<0,01	<0,01	<0,01
Dibenzo (a,h) pyrène	mg/kg	0,01-0,2	-	-	-	-	-	-	*NA*	<0,1	<0,1	<0,1	<0,1	<0,1	*NA*	<0,01	<0,01	<0,01	<0,01	<0,01
Dibenzo (a,l) pyrène	mg/kg	0,01-0,2	-	-	-	-	-	-	*NA*	<0,1	<0,1	<0,1	<0,1	<0,1	*NA*	<0,01	<0,01	<0,01	<0,01	<0,01

Zone exposée / de référence Secteur Plan d'eau / cours d'eau Nom de la station - échantillon	Unités	LDR*	Critères de qualité des sédiments - EC et MDDEP (2007)[1]			Bruit de fond géochimique des sédiments - secteur Supérieur[2]			Zone de référence Secteur La Grande A **Lac L18**						Zone de référence Secteur La Grande A **Cours d'eau CE15**					
									20	20-1	20-2	20-3	20-4	20-5	*CE15*	CE15-1	CE15-2	CE15-3	CE15-4	CE15-5
Diméthyl-7,12 benzo (a) anthracène	mg/kg	0,01-0,2	-	-	-	-	-	-	*NA*	<0,1	<0,1	<0,1	<0,1	<0,1	*NA*	<0,01	<0,01	<0,01	<0,01	<0,01
Fluoranthène	mg/kg	0,01-0,2	0,11	2,4	0,047	-	-	-	*NA*	<0,1	<0,1	<0,1	<0,1	<0,1	*NA*	<0,01	<0,01	<0,01	<0,01	<0,01
Fluorène	mg/kg	0,01-0,2	0,021	0,14	0,010	-	-	-	*NA*	<0,1	<0,1	<0,1	<0,1	<0,1	*NA*	<0,01	<0,01	<0,01	<0,01	<0,01
Indéno (1,2,3-cd) pyrène	mg/kg	0,01-0,2	-	-	-	-	-	-	*NA*	<0,1	<0,1	<0,1	<0,1	<0,1	*NA*	<0,01	<0,01	<0,01	<0,01	<0,01
Méthyl-3 cholanthrène	mg/kg	0,01-0,2	-	-	-	-	-	-	*NA*	<0,1	<0,1	<0,1	<0,1	<0,1	*NA*	<0,01	<0,01	<0,01	<0,01	<0,01
Naphtalène	mg/kg	0,01-0,2	0,035	0,39	0,017	-	-	-	*NA*	<0,1	<0,1	<0,1	<0,1	<0,1	*NA*	<0,01	<0,01	<0,01	<0,01	<0,01
Phénanthrène	mg/kg	0,01-0,2	0,042	0,52	0,025	-	-	-	*NA*	<0,1	<0,1	<0,1	<0,1	<0,1	*NA*	<0,01	<0,01	<0,01	<0,01	<0,01
Pyrène	mg/kg	0,01-0,2	0,053	0,88	0,029	-	-	-	*NA*	<0,1	<0,1	<0,1	<0,1	<0,1	*NA*	<0,01	<0,01	<0,01	<0,01	<0,01
Méthyl-1 naphtalène	mg/kg	0,01-0,2	-	-	-	-	-	-	*NA*	<0,1	<0,1	<0,1	<0,1	<0,1	*NA*	<0,01	<0,01	<0,01	<0,01	<0,01
Méthyl-2 naphtalène	mg/kg	0,01-0,2	0,020	0,20	0,016	-	-	-	*NA*	<0,1	<0,1	<0,1	<0,1	<0,1	*NA*	<0,01	<0,01	<0,01	<0,01	<0,01
Diméthyl-1,3 naphtalène	mg/kg	0,01-0,2	-	-	-	-	-	-	*NA*	<0,1	<0,1	<0,1	<0,1	<0,1	*NA*	<0,01	<0,01	<0,01	<0,01	<0,01
Triméthyl-2,3,5 naphtalène	mg/kg	0,01-0,2	-	-	-	-	-	-	*NA*	<0,1	<0,1	<0,1	<0,1	<0,1	*NA*	<0,01	<0,01	<0,01	<0,01	<0,01
Sommation HAP Bas poids moléculaire	mg/kg	0,01-0,2	-	-	-	-	-	-	*NA*	<0,1	<0,1	<0,1	<0,1	<0,1	*NA*	<0,01	<0,01	<0,01	<0,01	<0,01
Sommation HAP Haut poids moléculaire	mg/kg	0,01-0,2	-	-	-	-	-	-	*NA*	<0,1	<0,1	<0,1	<0,1	<0,1	*NA*	<0,01	<0,01	<0,01	<0,01	<0,01
% Humidité	%	0,1-0,2	-	-	-	-	-	-	*90,7*	90,4	90,7	90,9	90,7	90,6	*33,6*	42,5	25,2	48	28,2	24,3
Métaux extractibles totaux																				
Aluminium	mg/kg	20	-	-	-	-	-	-	*3406*	3260	3310	3560	3400	3500	*3244*	3840	3070	3060	3570	2680
Antimoine	mg/kg	7	-	-	-	< 0,1	0,15	4,3	*NA*	<7	<7	<7	<7	<7	*NA*	<7	<7	<7	<7	<7
Argent	mg/kg	0,5	-	-	-	< 0,1	0,33	7,2	*NA*	<0,5	<0,5	<0,5	<0,5	<0,5	*NA*	<0,5	<0,5	<0,5	<0,5	<0,5
Arsenic	mg/kg	0,7-1,5	5,9	17	4,1	< 1	1,58	217	*7,9*	7,7	8,6	8,0	7,9	7,4	*2,0*	2,3	1,9	1,9	<1,5	1,7
Baryum	mg/kg	20	-	-	-	1	106	875	*23,2*	23	26	22	24	21	*NA*	<20	<20	<20	<20	<20
Bismuth	mg/kg	5-15	-	-	-	-	-	-	*NA*	<5	<5	<5	<5	<5	*NA*	<5	<5	<5	<5	<5
Bore	mg/kg	10	-	-	-	-	-	-	*NA*	<10	<10	<10	<10	<10	*NA*	<10	<10	<10	<10	<10
Béryllium	mg/kg	1	-	-	-	-	-	-	*NA*	<1	<1	<1	<1	<1	*NA*	<1	<1	<1	<1	<1
Cadmium	mg/kg	0,30	0,60	3,5	0,33	<0,1	0,29	8,70	*NA*	<0,30	<0,30	<0,30	<0,30	<0,30	*NA*	<0,30	<0,30	<0,30	<0,30	<0,30
Calcium	mg/kg	30	-	-	-	-	-	-	*2602*	2620	2630	2580	2600	2580	*1003*	841	1040	984	1270	880
Chrome	mg/kg	1-25	37	90	25	1	43,7	205	*NA*	<25	<25	<25	<25	<25	*NA*	<25	<25	<25	<25	<25
Cobalt	mg/kg	2-15	-	-	-	1	10,1	191	*NA*	<15	<15	<15	<15	<15	*NA*	<15	<15	<15	<15	<15
Cuivre	mg/kg	1-5	36	200	22	1	28,3	2100	*10*	10	10	10	9	9	*7*	<5	<5	<5	7	<5
Étain	mg/kg	1-5	-	-	-	-	-	-	*NA*	<5	<5	<5	<5	<5	*NA*	<5	<5	<5	<5	<5
Fer	mg/kg	40	-	-	-	-	-	-	*2266*	2020	2490	2190	2230	2400	*5104*	6340	4850	5690	4470	4170
Lithium	mg/kg	20	-	-	-	-	-	-	*NA*	<20	<20	<20	<20	<20	*NA*	<20	<20	<20	<20	<20
Magnésium	mg/kg	10	-	-	-	-	-	-	*355*	348	365	365	341	354	*1214*	1120	1140	1310	1340	1160

Zone exposée / de référence Secteur Plan d'eau / cours d'eau Nom de la station - échantillon	Unités	LDR*	Critères de qualité des sédiments - EC et MDDEP (2007)[1]			Bruit de fond géochimique des sédiments - secteur Supérieur[2]			Zone de référence Secteur La Grande A **Lac L18**						Zone de référence Secteur La Grande A **Cours d'eau CE15**					
									20	20-1	20-2	20-3	20-4	20-5	*CE15*	CE15-1	CE15-2	CE15-3	CE15-4	CE15-5
Manganèse	mg/kg	3	-	-	-	1	278	21400	*18*	18	19	18	17	18	*81*	101	95	75	57	75
Mercure	mg/kg	0,02-0,04	0,17	0,49	0,094	0,004	0,1298	269,9	*0,08*	0,08	0,09	0,07	0,08	0,07	*NA*	<0,04	<0,04	<0,04	<0,04	<0,04
Molybdène	mg/kg	2	-	-	-	<1	3,6	160,0	*NA*	<2	<2	<2	<2	<2	*NA*	<2	<2	<2	<2	<2
Nickel	mg/kg	2	-	-	-	1	25,3	590,0	*7*	7	6	7	8	6	*6*	5	6	6	6	5
Plomb	mg/kg	5	35	91	25	2	9,1	309,0	*7*	<5	7	<5	6	<5	*NA*	<5	<5	<5	<5	<5
Potassium	mg/kg	40	-	-	-	-	-	-	*152*	145	163	149	150	153	*378*	318	319	344	516	393
Silicium	mg/kg	50-150	-	-	-	-	-	-	*1660*	1460	1970	1710	1640	1520	*NA*	ND	ND	ND	ND	ND
Sodium	mg/kg	30	-	-	-	-	-	-	*76*	100	98	69	61	53	*59*	45	56	64	84	45
Strontium	mg/kg	1	-	-	-	-	-	-	*12*	12	12	12	12	12	*3*	3	3	3	3	2
Sélénium	mg/kg	0,5-1	-	-	-	<10	10,2	26	*NA*	<1,0	<1,0	<1,0	<1,0	<1,0	*NA*	<1,0	<1,0	<1,0	<1,0	<1,0
Thallium	mg/kg	1	-	-	-	-	-	-	*NA*	<1	<1	<1	<1	<1	*NA*	<1	<1	<1	<1	<1
Titane	mg/kg	1	-	-	-	-	-	-	*200*	197	198	209	195	202	*337*	314	315	335	434	288
Uranium	mg/kg	20	-	-	-	0,1	4,5	670	*NA*	<20	<20	<20	<20	<20	*NA*	<20	<20	<20	<20	<20
Vanadium	mg/kg	10	-	-	-	-	-	-	*10*	11	10	10	<10	10	*12*	13	10	11	13	<10
Zinc	mg/kg	5-10	120	310	80	3	67,6	2067	*19*	19	18	19	20	17	*11*	10	11	12	11	<10

Tableau 10. Résultats analytiques – Qualité des sédiments – lac L308 et lac L300

Zone exposée / de référence	Unités	LDR*	Critères de qualité des sédiments - EC et MDDEP (2007)[1]			Bruit de fond géochimique des sédiments - secteur Supérieur[2]			Zone de référence						Zone de référence					
Secteur									Secteur La Grande B						Secteur La Grande B					
Plan d'eau / cours d'eau									**Lac L308**						**Lac L300**					
Nom de la station - échantillon									*17*	17-1	17-2	17-3	17-4	17-5	*7*	7-1	7-2	7-3	7-4	7-5
Date d'échantillonnage	aa-mm-jj	NA	CSE[3]	CEP[4]	CER[5]	Minimum	Moyenne	Maximum	*Moyenne*	24-10-21	24-10-21	24-10-21	24-10-21	24-10-21	*Moyenne*	24-10-21	24-10-21	24-10-21	24-10-21	24-10-21
Paramètres																				
Azote total Kjeldahl	mg/kg - N	643-1125	-	-	-	-	-	-	*4042*	3840	4890	3950	3110	4420	*1978*	2420	2050	1970	1790	1660
% Matières sèches	%	0,2	-	-	-	-	-	-	*NA*	ND	ND	ND	ND	ND	*NA*	ND	ND	ND	ND	ND
Phosphore total	mg/kg - P	40-80	-	-	-	-	-	-	*332*	326	378	344	302	310	*408*	448	408	371	429	386
Carbone organique total	%	0,05	-	-	-	-	-	-	*6,32*	6,44	7,74	5,01	5,15	7,25	*3,24*	3,52	3,15	2,97	3,26	3,32
Soufre total	mg/kg	100-200	-	-	-	-	-	-	*702*	687	695	662	696	770	*456*	509	431	442	489	408
Hydrocarbures pétroliers C_{10} à C_{50}	mg/kg	120-700	-	-	-	-	-	-	*NA*	<200	<200	<120	<120	<200	*NA*	<120	<120	<120	<100	<100
Granulométrie																				
Gravier (2-32 mm)	%	NA	-	-	-	-	-	-	*0,29*	0,26	0,31	0,00	0,00	0,90	*0,09*	0,00	0,26	0,00	0,02	0,18
Sable (0,063-<2 mm)	%	NA	-	-	-	-	-	-	*46,28*	44,79	29,83	48,32	66,11	42,33	*59,14*	55,83	59,12	61,85	55,35	63,53
Limon (3,9-<63 µm)	%	NA	-	-	-	-	-	-	*53,32*	54,80	69,70	51,60	33,75	56,77	*40,72*	43,92	40,63	38,15	44,63	36,29
Argile (<3,9 µm)	%	NA	-	-	-	-	-	-	*0,10*	0,15	0,15	0,07	0,14	0,00	*0,05*	0,26	0,00	0,00	0,00	0,00
Limon, Argile (<63 µm)	%	NA	-	-	-	-	-	-	*NA*	NA	NA	NA	NA	NA	*NA*	NA	NA	NA	NA	NA
Hydrocarbures aromatiques polycycliques																				
Acénaphtène	mg/kg	0,015-0,06	0,006	0,089	0,003	-	-	-	*NA*	<0,015	<0,015	<0,009	<0,009	<0,015	*NA*	<0,009	<0,009	<0,009	<0,006	<0,006
Acénaphtylène	mg/kg	0,015-0,06	0,005	0,13	0,003	-	-	-	*NA*	<0,015	<0,015	<0,009	<0,009	<0,015	*NA*	<0,009	<0,009	<0,009	<0,006	<0,006
Anthracène	mg/kg	0,01-0,2	0,047	0,24	0,016	-	-	-	*NA*	<0,05	<0,05	<0,03	<0,03	<0,05	*NA*	<0,03	<0,03	<0,03	<0,02	<0,02
Benzo (a) anthracène	mg/kg	0,01-0,2	0,032	0,39	0,014	-	-	-	*NA*	<0,05	<0,05	<0,03	<0,03	<0,05	*NA*	<0,03	<0,03	<0,03	<0,02	<0,02
Benzo (a) pyrène	mg/kg	0,01-0,2	0,032	0,78	0,011	-	-	-	*NA*	<0,05	<0,05	<0,03	<0,03	<0,05	*NA*	<0,03	<0,03	<0,03	<0,02	<0,02
Benzo (b) fluoranthène	mg/kg	0,01-0,2	-	-	-	-	-	-	*NA*	<0,05	<0,05	<0,03	<0,03	<0,05	*NA*	<0,03	<0,03	<0,03	<0,02	<0,02
Benzo (j) fluoranthène	mg/kg	0,01-0,2	-	-	-	-	-	-	*NA*	<0,05	<0,05	<0,03	<0,03	<0,05	*NA*	<0,03	<0,03	<0,03	<0,02	<0,02
Benzo (k) fluoranthène	mg/kg	0,01-0,2	-	-	-	-	-	-	*NA*	<0,05	<0,05	<0,03	<0,03	<0,05	*NA*	<0,03	<0,03	<0,03	<0,02	<0,02
Benzo (b+j+k) fluoranthène	mg/kg	0,01-0,2	-	-	-	-	-	-	*NA*	<0,05	<0,05	<0,03	<0,03	<0,05	*NA*	<0,03	<0,03	<0,03	<0,02	<0,02
Benzo (c) phénanthrène	mg/kg	0,01-0,2	-	-	-	-	-	-	*NA*	<0,05	<0,05	<0,03	<0,03	<0,05	*NA*	<0,03	<0,03	<0,03	<0,02	<0,02
Benzo (g,h,i) pérylène	mg/kg	0,01-0,2	-	-	-	-	-	-	*NA*	<0,05	<0,05	<0,03	<0,03	<0,05	*NA*	<0,03	<0,03	<0,03	<0,02	<0,02
Chrysène	mg/kg	0,01-0,2	0,057	0,86	0,026	-	-	-	*NA*	<0,05	<0,05	<0,03	<0,03	<0,05	*NA*	<0,03	<0,03	<0,03	<0,02	<0,02
Dibenzo (a,h) anthracène	mg/kg	0,003-0,06	0,006	0,14	0,003	-	-	-	*NA*	<0,015	<0,015	<0,009	<0,009	<0,015	*NA*	<0,009	<0,009	<0,009	<0,006	<0,006
Dibenzo (a,i) pyrène	mg/kg	0,01-0,2	-	-	-	-	-	-	*NA*	<0,05	<0,05	<0,03	<0,03	<0,05	*NA*	<0,03	<0,03	<0,03	<0,02	<0,02
Dibenzo (a,h) pyrène	mg/kg	0,01-0,2	-	-	-	-	-	-	*NA*	<0,05	<0,05	<0,03	<0,03	<0,05	*NA*	<0,03	<0,03	<0,03	<0,02	<0,02
Dibenzo (a,l) pyrène	mg/kg	0,01-0,2	-	-	-	-	-	-	*NA*	<0,05	<0,05	<0,03	<0,03	<0,05	*NA*	<0,03	<0,03	<0,03	<0,02	<0,02

Zone exposée / de référence	Unités	LDR*	Critères de qualité des sédiments - EC et MDDEP (2007)[1]			Bruit de fond géochimique des sédiments - secteur Supérieur[2]			Zone de référence						Zone de référence					
Secteur									Secteur La Grande B						Secteur La Grande B					
Plan d'eau / cours d'eau									**Lac L308**						**Lac L300**					
Nom de la station - échantillon									*17*	17-1	17-2	17-3	17-4	17-5	*7*	7-1	7-2	7-3	7-4	7-5
Diméthyl-7,12 benzo (a) anthracène	mg/kg	0,01-0,2	-	-	-	-	-	-	*NA*	<0,05	<0,05	<0,03	<0,03	<0,05	*NA*	<0,03	<0,03	<0,03	<0,02	<0,02
Fluoranthène	mg/kg	0,01-0,2	0,11	2,4	0,047	-	-	-	*NA*	<0,05	<0,05	<0,03	<0,03	<0,05	*NA*	<0,03	<0,03	<0,03	<0,02	<0,02
Fluorène	mg/kg	0,01-0,2	0,021	0,14	0,010	-	-	-	*NA*	<0,05	<0,05	<0,03	<0,03	<0,05	*NA*	<0,03	<0,03	<0,03	<0,02	<0,02
Indéno (1,2,3-cd) pyrène	mg/kg	0,01-0,2	-	-	-	-	-	-	*NA*	<0,05	<0,05	<0,03	<0,03	<0,05	*NA*	<0,03	<0,03	<0,03	<0,02	<0,02
Méthyl-3 cholanthrène	mg/kg	0,01-0,2	-	-	-	-	-	-	*NA*	<0,05	<0,05	<0,03	<0,03	<0,05	*NA*	<0,03	<0,03	<0,03	<0,02	<0,02
Naphtalène	mg/kg	0,01-0,2	0,035	0,39	0,017	-	-	-	*NA*	<0,05	<0,05	<0,03	<0,03	<0,05	*NA*	<0,03	<0,03	<0,03	<0,02	<0,02
Phénanthrène	mg/kg	0,01-0,2	0,042	0,52	0,025	-	-	-	*NA*	<0,05	<0,05	<0,03	<0,03	<0,05	*NA*	<0,03	<0,03	<0,03	<0,02	<0,02
Pyrène	mg/kg	0,01-0,2	0,053	0,88	0,029	-	-	-	*NA*	<0,05	<0,05	<0,03	<0,03	<0,05	*NA*	<0,03	<0,03	<0,03	<0,02	<0,02
Méthyl-1 naphtalène	mg/kg	0,01-0,2	-	-	-	-	-	-	*NA*	<0,05	<0,05	<0,03	<0,03	<0,05	*NA*	<0,03	<0,03	<0,03	<0,02	<0,02
Méthyl-2 naphtalène	mg/kg	0,01-0,2	0,020	0,20	0,016	-	-	-	*NA*	<0,05	<0,05	<0,03	<0,03	<0,05	*NA*	<0,03	<0,03	<0,03	<0,02	<0,02
Diméthyl-1,3 naphtalène	mg/kg	0,01-0,2	-	-	-	-	-	-	*NA*	<0,05	<0,05	<0,03	<0,03	<0,05	*NA*	<0,03	<0,03	<0,03	<0,02	<0,02
Triméthyl-2,3,5 naphtalène	mg/kg	0,01-0,2	-	-	-	-	-	-	*NA*	<0,05	<0,05	<0,03	<0,03	<0,05	*NA*	<0,03	<0,03	<0,03	<0,02	<0,02
Sommation HAP Bas poids moléculaire	mg/kg	0,01-0,2	-	-	-	-	-	-	*NA*	<0,05	<0,05	<0,03	<0,03	<0,05	*NA*	<0,03	<0,03	<0,03	<0,02	<0,02
Sommation HAP Haut poids moléculaire	mg/kg	0,01-0,2	-	-	-	-	-	-	*NA*	<0,05	<0,05	<0,03	<0,03	<0,05	*NA*	<0,03	<0,03	<0,03	<0,02	<0,02
% Humidité	%	0,1-0,2	-	-	-	-	-	-	*73,4*	72,9	78,1	69,9	69,2	76,8	*59,4*	63,5	60,3	60,4	55,7	57,1
Métaux extractibles totaux																				
Aluminium	mg/kg	20	-	-	-	-	-	-	*4172*	3980	4600	4140	3650	4490	*3012*	3020	2970	2940	2930	3200
Antimoine	mg/kg	7	-	-	-	< 0,1	0,15	4,3	*NA*	<7	<7	<7	<7	<7	*NA*	<7	<7	<7	<7	<7
Argent	mg/kg	0,5	-	-	-	< 0,1	0,33	7,2	*NA*	<0,5	<0,5	<0,5	<0,5	<0,5	*NA*	<0,5	<0,5	<0,5	<0,5	<0,5
Arsenic	mg/kg	0,7-1,5	5,9	17	4,1	< 1	1,58	217	*2,1*	1,9	2,3	2	1,8	2,3	*1,2*	1,2	1,2	1,2	1,1	1,2
Baryum	mg/kg	20	-	-	-	1	106	875	*NA*	<20	<20	<20	<20	<20	*NA*	<20	<20	<20	<20	<20
Bismuth	mg/kg	5-15	-	-	-	-	-	-	*NA*	<15	<15	<15	<15	<15	*NA*	<15	<15	<15	<15	<15
Bore	mg/kg	10	-	-	-	-	-	-	*NA*	<10	<10	<10	<10	<10	*NA*	<10	<10	<10	<10	<10
Béryllium	mg/kg	1	-	-	-	-	-	-	*NA*	<1	<1	<1	<1	<1	*NA*	<1	<1	<1	<1	<1
Cadmium	mg/kg	0,30	0,60	3,5	0,33	<0,1	0,29	8,70	*NA*	<0,30	<0,30	<0,30	<0,30	<0,30	*NA*	<0,30	<0,30	<0,30	<0,30	<0,30
Calcium	mg/kg	30	-	-	-	-	-	-	*2438*	2240	2760	2540	2050	2600	*1672*	1630	1650	1630	1660	1790
Chrome	mg/kg	1-25	37	90	25	1	43,7	205	*15*	14	17	15	12	16	*9*	9	10	9	8	9
Cobalt	mg/kg	2-15	-	-	-	1	10,1	191	*3*	3	3	3	3	3	*2*	<2	2	<2	2	2
Cuivre	mg/kg	1-5	36	200	22	1	28,3	2100	*6*	6	7	6	5	7	*4*	5	4	4	4	5
Étain	mg/kg	1-5	-	-	-	-	-	-	*NA*	<5	<5	<5	<5	<5	*NA*	<5	<5	<5	<5	<5
Fer	mg/kg	40	-	-	-	-	-	-	*6218*	5740	7100	6080	5860	6310	*5326*	5460	5240	5710	5010	5210
Lithium	mg/kg	20	-	-	-	-	-	-	*NA*	<20	<20	<20	<20	<20	*NA*	<20	<20	<20	<20	<20
Magnésium	mg/kg	10	-	-	-	-	-	-	*964*	935	1080	950	847	1010	*677*	685	679	671	652	700

Zone exposée / de référence Secteur Plan d'eau / cours d'eau Nom de la station - échantillon	Unités	LDR*	Critères de qualité des sédiments - EC et MDDEP (2007)[1]			Bruit de fond géochimique des sédiments - secteur Supérieur[2]			Zone de référence Secteur La Grande B **Lac L308**						Zone de référence Secteur La Grande B **Lac L300**					
									17	17-1	17-2	17-3	17-4	17-5	*7*	7-1	7-2	7-3	7-4	7-5
Manganèse	mg/kg	3	-	-	-	1	278	21400	*51*	50	55	49	47	53	*38*	38	38	39	36	38
Mercure	mg/kg	0,02-0,04	0,17	0,49	0,094	0,004	0,1298	269,9	*0,06*	0,06	0,09	0,05	0,04	0,06	*0,06*	0,07	0,06	0,07	0,04	0,07
Molybdène	mg/kg	2	-	-	-	<1	3,6	160,0	*NA*	<2	<2	<2	<2	<2	*NA*	<2	<2	<2	<2	<2
Nickel	mg/kg	2	-	-	-	1	25,3	590,0	*8*	7	9	8	6	8	*5*	5	6	5	5	5
Plomb	mg/kg	5	35	91	25	2	9,1	309,0	*6*	<5	6	<5	<5	5	*NA*	<5	<5	<5	<5	<5
Potassium	mg/kg	40	-	-	-	-	-	-	*192*	187	214	196	168	197	*194*	201	196	197	181	196
Silicium	mg/kg	50-150	-	-	-	-	-	-	*918*	866	950	1010	1080	686	*636*	523	559	615	571	913
Sodium	mg/kg	30	-	-	-	-	-	-	*72*	66	70	84	64	78	*58*	62	54	56	55	62
Strontium	mg/kg	1	-	-	-	-	-	-	*10*	9	11	10	8	11	*6*	6	6	6	6	7
Sélénium	mg/kg	0,5-1	-	-	-	<10	10,2	26	*NA*	<0,5	<0,5	<0,5	<0,5	<0,5	*NA*	<0,5	<0,5	<0,5	<0,5	<0,5
Thallium	mg/kg	1	-	-	-	-	-	-	*NA*	<1	<1	<1	<1	<1	*NA*	<1	<1	<1	<1	<1
Titane	mg/kg	1	-	-	-	-	-	-	*357*	354	373	361	328	371	*352*	347	359	348	352	355
Uranium	mg/kg	20	-	-	-	0,1	4,5	670	*NA*	<20	<20	<20	<20	<20	*NA*	<20	<20	<20	<20	<20
Vanadium	mg/kg	10	-	-	-	-	-	-	*19*	18	20	18	16	21	*12*	12	12	12	12	13
Zinc	mg/kg	5-10	120	310	80	3	67,6	2067	*23*	21	24	23	20	25	*18*	16	19	16	17	20

Tableau 11. Résultats analytiques – Qualité des sédiments – lac L323 et lac L314

Zone exposée / de référence	Unités	LDR*	Critères de qualité des sédiments - EC et MDDEP (2007)[1]			Bruit de fond géochimique des sédiments - secteur Supérieur[2]			Zone de référence						Zone de référence					
Secteur									Secteur La Grande B						Secteur La Grande B					
Plan d'eau / cours d'eau									**Lac L323**						**Lac L314**					
Nom de la station - échantillon									*8*	8-1	8-2	8-3	8-4	8-5	*9*	9-1	9-2	9-3	9-4	9-5
Date d'échantillonnage	aa-mm-jj	NA	CSE[3]	CEP[4]	CER[5]	Minimum	Moyenne	Maximum	*Moyenne*	24-10-27	24-10-27	24-10-27	24-10-27	24-10-27	*Moyenne*	24-10-26	24-10-26	24-10-26	24-10-26	24-10-26
Paramètres																				
Azote total Kjeldahl	mg/kg - N	643-1125	-	-	-	-	-	-	*15760*	15600	16400	14600	14900	17300	*6042*	5710	5910	5590	6290	6710
% Matières sèches	%	0,2	-	-	-	-	-	-	*4,9*	4,9	4,7	5,0	4,9	4,7	*14,5*	13,8	14,2	14,3	15,1	14,8
Phosphore total	mg/kg - P	40-80	-	-	-	-	-	-	*559*	710	650	580	371	482	*530*	523	540	500	529	557
Carbone organique total	%	0,05	-	-	-	-	-	-	*17,9*	17,9	19,1	15,2	18,7	18,5	*10,0*	9,7	10,9	9,17	10,9	9,41
Soufre total	mg/kg	100-200	-	-	-	-	-	-	*2352*	2910	1860	1970	3350	1670	*804*	746	906	709	1030	631
Hydrocarbures pétroliers C_{10} à C_{50}	mg/kg	120-700	-	-	-	-	-	-	*NA*	<800	<800	<800	<800	<800	*NA*	<400	<400	<400	<400	<400
Granulométrie																				
Gravier (2-32 mm)	%	NA	-	-	-	-	-	-	*0,11*	0,27	0,00	0,00	0,28	0,00	*0,03*	0,00	0,00	0,00	0,00	0,13
Sable (0,063-<2 mm)	%	NA	-	-	-	-	-	-	*44,39*	31,04	62,07	69,37	25,65	33,84	*5,49*	3,24	4,69	5,62	10,42	3,46
Limon (3,9-<63 µm)	%	NA	-	-	-	-	-	-	*55,50*	68,69	37,93	30,63	74,07	66,16	*94,49*	96,76	95,31	94,38	89,58	96,41
Argile (<3,9 µm)	%	NA	-	-	-	-	-	-	*0,00*	0,00	0,00	0,00	0,00	0,00	*0,00*	0,00	0,00	0,00	0,00	0,00
Limon, Argile (<63 µm)	%	NA	-	-	-	-	-	-	*NA*	NA	NA	NA	NA	NA	*NA*	NA	NA	NA	NA	NA
Hydrocarbures aromatiques polycycliques																				
Acénaphtène	mg/kg	0,015-0,06	0,006	0,089	0,003	-	-	-	*NA*	<0,06	<0,06	<0,06	<0,06	<0,06	*NA*	<0,03	<0,03	<0,03	<0,03	<0,03
Acénaphtylène	mg/kg	0,015-0,06	0,005	0,13	0,003	-	-	-	*NA*	<0,06	<0,06	<0,06	<0,06	<0,06	*NA*	<0,03	<0,03	<0,03	<0,03	<0,03
Anthracène	mg/kg	0,01-0,2	0,047	0,24	0,016	-	-	-	*NA*	<0,2	<0,2	<0,2	<0,2	<0,2	*NA*	<0,1	<0,1	<0,1	<0,1	<0,1
Benzo (a) anthracène	mg/kg	0,01-0,2	0,032	0,39	0,014	-	-	-	*NA*	<0,2	<0,2	<0,2	<0,2	<0,2	*NA*	<0,1	<0,1	<0,1	<0,1	<0,1
Benzo (a) pyrène	mg/kg	0,01-0,2	0,032	0,78	0,011	-	-	-	*NA*	<0,2	<0,2	<0,2	<0,2	<0,2	*NA*	<0,1	<0,1	<0,1	<0,1	<0,1
Benzo (b) fluoranthène	mg/kg	0,01-0,2	-	-	-	-	-	-	*NA*	<0,2	<0,2	<0,2	<0,2	<0,2	*NA*	<0,1	<0,1	<0,1	<0,1	<0,1
Benzo (j) fluoranthène	mg/kg	0,01-0,2	-	-	-	-	-	-	*NA*	<0,2	<0,2	<0,2	<0,2	<0,2	*NA*	<0,1	<0,1	<0,1	<0,1	<0,1
Benzo (k) fluoranthène	mg/kg	0,01-0,2	-	-	-	-	-	-	*NA*	<0,2	<0,2	<0,2	<0,2	<0,2	*NA*	<0,1	<0,1	<0,1	<0,1	<0,1
Benzo (b+j+k) fluoranthène	mg/kg	0,01-0,2	-	-	-	-	-	-	*NA*	<0,2	<0,2	<0,2	<0,2	<0,2	*NA*	<0,1	<0,1	<0,1	<0,1	<0,1
Benzo (c) phénanthrène	mg/kg	0,01-0,2	-	-	-	-	-	-	*NA*	<0,2	<0,2	<0,2	<0,2	<0,2	*NA*	<0,1	<0,1	<0,1	<0,1	<0,1
Benzo (g,h,i) pérylène	mg/kg	0,01-0,2	-	-	-	-	-	-	*NA*	<0,2	<0,2	<0,2	<0,2	<0,2	*NA*	<0,1	<0,1	<0,1	<0,1	<0,1
Chrysène	mg/kg	0,01-0,2	0,057	0,86	0,026	-	-	-	*NA*	<0,2	<0,2	<0,2	<0,2	<0,2	*NA*	<0,1	<0,1	<0,1	<0,1	<0,1
Dibenzo (a,h) anthracène	mg/kg	0,003-0,06	0,006	0,14	0,003	-	-	-	*NA*	<0,06	<0,06	<0,06	<0,06	<0,06	*NA*	<0,03	<0,03	<0,03	<0,03	<0,03
Dibenzo (a,i) pyrène	mg/kg	0,01-0,2	-	-	-	-	-	-	*NA*	<0,2	<0,2	<0,2	<0,2	<0,2	*NA*	<0,1	<0,1	<0,1	<0,1	<0,1
Dibenzo (a,h) pyrène	mg/kg	0,01-0,2	-	-	-	-	-	-	*NA*	<0,2	<0,2	<0,2	<0,2	<0,2	*NA*	<0,1	<0,1	<0,1	<0,1	<0,1
Dibenzo (a,l) pyrène	mg/kg	0,01-0,2	-	-	-	-	-	-	*NA*	<0,2	<0,2	<0,2	<0,2	<0,2	*NA*	<0,1	<0,1	<0,1	<0,1	<0,1

Zone exposée / de référence Secteur Plan d'eau / cours d'eau Nom de la station - échantillon	Unités	LDR*	Critères de qualité des sédiments - EC et MDDEP (2007)[1]			Bruit de fond géochimique des sédiments - secteur Supérieur[2]			Zone de référence Secteur La Grande B **Lac L323**						Zone de référence Secteur La Grande B **Lac L314**					
									8	8-1	8-2	8-3	8-4	8-5	*9*	9-1	9-2	9-3	9-4	9-5
Diméthyl-7,12 benzo (a) anthracène	mg/kg	0,01-0,2	-	-	-	-	-	-	*NA*	<0,2	<0,2	<0,2	<0,2	<0,2	*NA*	<0,1	<0,1	<0,1	<0,1	<0,1
Fluoranthène	mg/kg	0,01-0,2	0,11	2,4	0,047	-	-	-	*NA*	<0,2	<0,2	<0,2	<0,2	<0,2	*NA*	<0,1	<0,1	<0,1	<0,1	<0,1
Fluorène	mg/kg	0,01-0,2	0,021	0,14	0,010	-	-	-	*NA*	<0,2	<0,2	<0,2	<0,2	<0,2	*NA*	<0,1	<0,1	<0,1	<0,1	<0,1
Indéno (1,2,3-cd) pyrène	mg/kg	0,01-0,2	-	-	-	-	-	-	*NA*	<0,2	<0,2	<0,2	<0,2	<0,2	*NA*	<0,1	<0,1	<0,1	<0,1	<0,1
Méthyl-3 cholanthrène	mg/kg	0,01-0,2	-	-	-	-	-	-	*NA*	<0,2	<0,2	<0,2	<0,2	<0,2	*NA*	<0,1	<0,1	<0,1	<0,1	<0,1
Naphtalène	mg/kg	0,01-0,2	0,035	0,39	0,017	-	-	-	*NA*	<0,2	<0,2	<0,2	<0,2	<0,2	*NA*	<0,1	<0,1	<0,1	<0,1	<0,1
Phénanthrène	mg/kg	0,01-0,2	0,042	0,52	0,025	-	-	-	*NA*	<0,2	<0,2	<0,2	<0,2	<0,2	*NA*	<0,1	<0,1	<0,1	<0,1	<0,1
Pyrène	mg/kg	0,01-0,2	0,053	0,88	0,029	-	-	-	*NA*	<0,2	<0,2	<0,2	<0,2	<0,2	*NA*	<0,1	<0,1	<0,1	<0,1	<0,1
Méthyl-1 naphtalène	mg/kg	0,01-0,2	-	-	-	-	-	-	*NA*	<0,2	<0,2	<0,2	<0,2	<0,2	*NA*	<0,1	<0,1	<0,1	<0,1	<0,1
Méthyl-2 naphtalène	mg/kg	0,01-0,2	0,020	0,20	0,016	-	-	-	*NA*	<0,2	<0,2	<0,2	<0,2	<0,2	*NA*	<0,1	<0,1	<0,1	<0,1	<0,1
Diméthyl-1,3 naphtalène	mg/kg	0,01-0,2	-	-	-	-	-	-	*NA*	<0,2	<0,2	<0,2	<0,2	<0,2	*NA*	<0,1	<0,1	<0,1	<0,1	<0,1
Triméthyl-2,3,5 naphtalène	mg/kg	0,01-0,2	-	-	-	-	-	-	*NA*	<0,2	<0,2	<0,2	<0,2	<0,2	*NA*	<0,1	<0,1	<0,1	<0,1	<0,1
Sommation HAP Bas poids moléculaire	mg/kg	0,01-0,2	-	-	-	-	-	-	*0,2*	0,2	<0,2	<0,2	<0,2	<0,2	*NA*	<0,1	<0,1	<0,1	<0,1	<0,1
Sommation HAP Haut poids moléculaire	mg/kg	0,01-0,2	-	-	-	-	-	-	*0,2*	<0,2	0,2	<0,2	<0,2	<0,2	*NA*	<0,1	<0,1	<0,1	<0,1	<0,1
% Humidité	%	0,1-0,2	-	-	-	-	-	-	*95,2*	95,1	95,3	95	95,1	95,3	*85,6*	86,2	85,8	85,7	84,9	85,2
Métaux extractibles totaux																				
Aluminium	mg/kg	20	-	-	-	-	-	-	*6170*	6040	6250	7050	5840	5670	*6450*	6420	6970	6190	6720	5950
Antimoine	mg/kg	7	-	-	-	< 0,1	0,15	4,3	*14,0*	<14	14	14	<7	14	*NA*	<7	<7	<7	<7	<7
Argent	mg/kg	0,5	-	-	-	< 0,1	0,33	7,2	*NA*	<1,0	<1,0	<1,0	<0,5	<1,0	*NA*	<0,5	<0,5	<0,5	<0,5	<0,5
Arsenic	mg/kg	0,7-1,5	5,9	17	4,1	< 1	1,58	217	*38,1*	39,4	42,6	47,2	33,3	28,0	*4,0*	4,2	4,1	4,1	4,0	3,7
Baryum	mg/kg	20	-	-	-	1	106	875	*33,0*	<40	<40	<40	33	<40	*27,4*	28	28	27	28	26
Bismuth	mg/kg	5-15	-	-	-	-	-	-	*NA*	<30	<30	<30	<15	<30	*NA*	<15	<15	<15	<15	<15
Bore	mg/kg	10	-	-	-	-	-	-	*NA*	<20	<20	<20	<10	<20	*NA*	<10	<10	<10	<10	<10
Béryllium	mg/kg	1	-	-	-	-	-	-	*NA*	<2	<2	<2	<1	<2	*NA*	<1	<1	<1	<1	<1
Cadmium	mg/kg	0,30	0,60	3,5	0,33	<0,1	0,29	8,70	*0,54*	<0,60	<0,60	<0,60	0,54	<0,60	*0,41*	0,43	0,43	0,40	0,42	0,36
Calcium	mg/kg	30	-	-	-	-	-	-	*3378*	3120	3950	2780	3840	3200	*2332*	2330	2300	2160	2510	2360
Chrome	mg/kg	1-25	37	90	25	1	43,7	205	*10*	9	10	12	10	9	*19*	19	20	18	19	17
Cobalt	mg/kg	2-15	-	-	-	1	10,1	191	*6*	5	5	9	5	5	*3*	3	3	3	3	3
Cuivre	mg/kg	1-5	36	200	22	1	28,3	2100	*11*	11	11	12	11	11	*16*	16	17	15	16	15
Étain	mg/kg	1-5	-	-	-	-	-	-	*NA*	<10	<10	<10	<5	<10	*NA*	<5	<5	<5	<5	<5
Fer	mg/kg	40	-	-	-	-	-	-	*17600*	17500	18300	25900	13900	12400	*7796*	8090	8030	7580	7730	7550
Lithium	mg/kg	20	-	-	-	-	-	-	*NA*	<40	<40	<40	<20	<40	*NA*	<20	<20	<20	<20	<20
Magnésium	mg/kg	10	-	-	-	-	-	-	*364*	330	396	346	391	358	*1176*	1220	1170	1150	1230	1110

Zone exposée / de référence Secteur Plan d'eau / cours d'eau Nom de la station - échantillon	Unités	LDR*	Critères de qualité des sédiments - EC et MDDEP (2007)[1]			Bruit de fond géochimique des sédiments - secteur Supérieur[2]			Zone de référence Secteur La Grande B **Lac L323**						Zone de référence Secteur La Grande B **Lac L314**					
									8	8-1	8-2	8-3	8-4	8-5	*9*	9-1	9-2	9-3	9-4	9-5
Manganèse	mg/kg	3	-	-	-	1	278	21400	*67*	61	65	88	63	59	*58*	60	61	59	57	52
Mercure	mg/kg	0,02-0,04	0,17	0,49	0,094	0,004	0,1298	269,9	*0,16*	0,16	0,15	0,16	0,16	0,15	*0,09*	0,10	0,08	0,10	0,09	0,08
Molybdène	mg/kg	2	-	-	-	<1	3,6	160,0	*9*	11	10	13	7	6	*4*	4	5	4	5	4
Nickel	mg/kg	2	-	-	-	1	25,3	590,0	*11*	12	11	12	11	11	*9*	9	9	8	9	8
Plomb	mg/kg	5	35	91	25	2	9,1	309,0	*16*	<10	14	<10	16	17	*7*	7	<5	6	<5	<5
Potassium	mg/kg	40	-	-	-	-	-	-	*198*	179	204	182	219	207	*271*	288	263	272	280	251
Silicium	mg/kg	50-150	-	-	-	-	-	-	*1240*	1780	1310	1100	1030	981	*1328*	1450	1370	1320	1350	1150
Sodium	mg/kg	30	-	-	-	-	-	-	*119*	136	112	111	98	136	*98*	97	86	94	94	118
Strontium	mg/kg	1	-	-	-	-	-	-	*25*	25	26	22	26	26	*12*	12	12	11	12	12
Sélénium	mg/kg	0,5-1	-	-	-	<10	10,2	26	*1,4*	1,3	1,4	1,4	1,4	1,4	*0,7*	0,7	0,8	0,7	0,8	0,7
Thallium	mg/kg	1	-	-	-	-	-	-	*NA*	<2	<2	<2	<1	<2	*NA*	<1	<1	<1	<1	<1
Titane	mg/kg	1	-	-	-	-	-	-	*122*	115	126	131	119	117	*476*	485	481	474	494	448
Uranium	mg/kg	20	-	-	-	0,1	4,5	670	*NA*	<40	<40	<40	<20	<40	*NA*	<20	<20	<20	<20	<20
Vanadium	mg/kg	10	-	-	-	-	-	-	*53*	56	54	60	50	47	*50*	48	55	47	52	46
Zinc	mg/kg	5-10	120	310	80	3	67,6	2067	*55*	53	54	65	50	51	*43*	42	44	41	48	38

Tableau 12. Résultats analytiques – Qualité des sédiments – lac L311 et lac L517

Zone exposée / de référence	Unités	LDR*	Critères de qualité des sédiments - EC et MDDEP (2007)[1]			Bruit de fond géochimique des sédiments - secteur Supérieur[2]			Zone de référence						Zone de référence					
Secteur									Secteur La Grande B						Secteur Lac de la Corvette					
Plan d'eau / cours d'eau									**Lac L311**						**Lac L517**					
Nom de la station - échantillon									*18*	18-1	18-2	18-3	18-4	18-5	*Inter 2-2*	Inter 2-2-1	Inter 2-2-2	Inter 2-2-3	Inter 2-2-4	Inter 2-2-5
Date d'échantillonnage	aa-mm-jj	NA	CSE[3]	CEP[4]	CER[5]	Minimum	Moyenne	Maximum	*Moyenne*	25-05-23	25-05-23	25-05-23	25-05-23	25-05-23	*Moyenne*	24-10-25	24-10-25	24-10-25	24-10-25	24-10-25
Paramètres																				
Azote total Kjeldahl	mg/kg - N	643-1125	-	-	-	-	-	-	*7150*	6520	7580	7120	7940	6590	*14780*	15700	13900	13100	15600	15600
% Matières sèches	%	0,2	-	-	-	-	-	-	*12,4*	11,8	12,5	12,9	11,9	13,0	*6,1*	6,1	6,7	6,5	5,9	5,4
Phosphore total	mg/kg - P	40-80	-	-	-	-	-	-	*538*	511	550	529	541	561	*237*	199	313	198	253	223
Carbone organique total	%	0,05	-	-	-	-	-	-	*12,8*	12,5	12,3	12,3	12,9	13,8	*21,4*	19,6	21,6	23,4	24,1	18,4
Soufre total	mg/kg	100-200	-	-	-	-	-	-	*1500*	1650	1560	1580	1360	1350	*2293*	2160	2700	914	2480	3210
Hydrocarbures pétroliers C_{10} à C_{50}	mg/kg	120-700	-	-	-	-	-	-	*NA*	<400	<400	<400	<400	<400	*NA*	<600	<600	<600	<700	<700
Granulométrie																				
Gravier (2-32 mm)	%	NA	-	-	-	-	-	-	*0,21*	0,25	0,00	0,24	0,33	0,24	*0,43*	0,00	0,00	0,00	0,00	2,17
Sable (0,063-<2 mm)	%	NA	-	-	-	-	-	-	*4,97*	5,30	7,15	3,61	5,33	3,44	*27,75*	23,23	28,40	25,92	31,13	30,06
Limon (3,9-<63 µm)	%	NA	-	-	-	-	-	-	*NA*	NA	NA	NA	NA	NA	*70,62*	70,77	71,60	74,08	68,87	67,78
Argile (<3,9 µm)	%	NA	-	-	-	-	-	-	*NA*	NA	NA	NA	NA	NA	*0,00*	0,00	0,00	0,00	0,00	0,00
Limon, Argile (<63 µm)	%	NA	-	-	-	-	-	-	*94,82*	94,45	92,85	96,15	94,34	96,33	*NA*	NA	NA	NA	NA	NA
Hydrocarbures aromatiques polycycliques																				
Acénaphtène	mg/kg	0,015-0,06	0,006	0,089	0,003	-	-	-	*NA*	<0,03	<0,03	<0,03	<0,03	<0,03	*NA*	<0,06	<0,06	<0,06	<0,06	<0,06
Acénaphtylène	mg/kg	0,015-0,06	0,005	0,13	0,003	-	-	-	*NA*	<0,03	<0,03	<0,03	<0,03	<0,03	*NA*	<0,06	<0,06	<0,06	<0,06	<0,06
Anthracène	mg/kg	0,01-0,2	0,047	0,24	0,016	-	-	-	*NA*	<0,1	<0,1	<0,1	<0,1	<0,1	*NA*	<0,2	<0,2	<0,2	<0,2	<0,2
Benzo (a) anthracène	mg/kg	0,01-0,2	0,032	0,39	0,014	-	-	-	*NA*	<0,1	<0,1	<0,1	<0,1	<0,1	*NA*	<0,2	<0,2	<0,2	<0,2	<0,2
Benzo (a) pyrène	mg/kg	0,01-0,2	0,032	0,78	0,011	-	-	-	*NA*	<0,1	<0,1	<0,1	<0,1	<0,1	*NA*	<0,2	<0,2	<0,2	<0,2	<0,2
Benzo (b) fluoranthène	mg/kg	0,01-0,2	-	-	-	-	-	-	*NA*	<0,1	<0,1	<0,1	<0,1	<0,1	*NA*	<0,2	<0,2	<0,2	<0,2	<0,2
Benzo (j) fluoranthène	mg/kg	0,01-0,2	-	-	-	-	-	-	*NA*	<0,1	<0,1	<0,1	<0,1	<0,1	*NA*	<0,2	<0,2	<0,2	<0,2	<0,2
Benzo (k) fluoranthène	mg/kg	0,01-0,2	-	-	-	-	-	-	*NA*	<0,1	<0,1	<0,1	<0,1	<0,1	*NA*	<0,2	<0,2	<0,2	<0,2	<0,2
Benzo (b+j+k) fluoranthène	mg/kg	0,01-0,2	-	-	-	-	-	-	*NA*	<0,1	<0,1	<0,1	<0,1	<0,1	*NA*	<0,2	<0,2	<0,2	<0,2	<0,2
Benzo (c) phénanthrène	mg/kg	0,01-0,2	-	-	-	-	-	-	*NA*	<0,1	<0,1	<0,1	<0,1	<0,1	*NA*	<0,2	<0,2	<0,2	<0,2	<0,2
Benzo (g,h,i) pérylène	mg/kg	0,01-0,2	-	-	-	-	-	-	*NA*	<0,1	<0,1	<0,1	<0,1	<0,1	*NA*	<0,2	<0,2	<0,2	<0,2	<0,2
Chrysène	mg/kg	0,01-0,2	0,057	0,86	0,026	-	-	-	*NA*	<0,1	<0,1	<0,1	<0,1	<0,1	*NA*	<0,2	<0,2	<0,2	<0,2	<0,2
Dibenzo (a,h) anthracène	mg/kg	0,003-0,06	0,006	0,14	0,003	-	-	-	*NA*	<0,03	<0,03	<0,03	<0,03	<0,03	*NA*	<0,06	<0,06	<0,06	<0,06	<0,06
Dibenzo (a,i) pyrène	mg/kg	0,01-0,2	-	-	-	-	-	-	*NA*	<0,1	<0,1	<0,1	<0,1	<0,1	*NA*	<0,2	<0,2	<0,2	<0,2	<0,2
Dibenzo (a,h) pyrène	mg/kg	0,01-0,2	-	-	-	-	-	-	*NA*	<0,1	<0,1	<0,1	<0,1	<0,1	*NA*	<0,2	<0,2	<0,2	<0,2	<0,2
Dibenzo (a,l) pyrène	mg/kg	0,01-0,2	-	-	-	-	-	-	*NA*	<0,1	<0,1	<0,1	<0,1	<0,1	*NA*	<0,2	<0,2	<0,2	<0,2	<0,2

Zone exposée / de référence									Zone de référence						Zone de référence					
Secteur									Secteur La Grande B						Secteur Lac de la Corvette					
Plan d'eau / cours d'eau									**Lac L311**						**Lac L517**					
Nom de la station - échantillon	Unités	LDR*	Critères de qualité des sédiments - EC et MDDEP (2007)[1]			Bruit de fond géochimique des sédiments - secteur Supérieur[2]			*18*	18-1	18-2	18-3	18-4	18-5	*Inter 2-2*	Inter 2-2-1	Inter 2-2-2	Inter 2-2-3	Inter 2-2-4	Inter 2-2-5
Diméthyl-7,12 benzo (a) anthracène	mg/kg	0,01-0,2	-	-	-	-	-	-	*NA*	<0,1	<0,1	<0,1	<0,1	<0,1	*NA*	<0,2	<0,2	<0,2	<0,2	<0,2
Fluoranthène	mg/kg	0,01-0,2	0,11	2,4	0,047	-	-	-	*NA*	<0,1	<0,1	<0,1	<0,1	<0,1	*NA*	<0,2	<0,2	<0,2	<0,2	<0,2
Fluorène	mg/kg	0,01-0,2	0,021	0,14	0,010	-	-	-	*NA*	<0,1	<0,1	<0,1	<0,1	<0,1	*NA*	<0,2	<0,2	<0,2	<0,2	<0,2
Indéno (1,2,3-cd) pyrène	mg/kg	0,01-0,2	-	-	-	-	-	-	*NA*	<0,1	<0,1	<0,1	<0,1	<0,1	*NA*	<0,2	<0,2	<0,2	<0,2	<0,2
Méthyl-3 cholanthrène	mg/kg	0,01-0,2	-	-	-	-	-	-	*NA*	<0,1	<0,1	<0,1	<0,1	<0,1	*NA*	<0,2	<0,2	<0,2	<0,2	<0,2
Naphtalène	mg/kg	0,01-0,2	0,035	0,39	0,017	-	-	-	*NA*	<0,1	<0,1	<0,1	<0,1	<0,1	*NA*	<0,2	<0,2	<0,2	<0,2	<0,2
Phénanthrène	mg/kg	0,01-0,2	0,042	0,52	0,025	-	-	-	*NA*	<0,1	<0,1	<0,1	<0,1	<0,1	*NA*	<0,2	<0,2	<0,2	<0,2	<0,2
Pyrène	mg/kg	0,01-0,2	0,053	0,88	0,029	-	-	-	*NA*	<0,1	<0,1	<0,1	<0,1	<0,1	*NA*	<0,2	<0,2	<0,2	<0,2	<0,2
Méthyl-1 naphtalène	mg/kg	0,01-0,2	-	-	-	-	-	-	*NA*	<0,1	<0,1	<0,1	<0,1	<0,1	*NA*	<0,2	<0,2	<0,2	<0,2	<0,2
Méthyl-2 naphtalène	mg/kg	0,01-0,2	0,020	0,20	0,016	-	-	-	*NA*	<0,1	<0,1	<0,1	<0,1	<0,1	*NA*	<0,2	<0,2	<0,2	<0,2	<0,2
Diméthyl-1,3 naphtalène	mg/kg	0,01-0,2	-	-	-	-	-	-	*NA*	<0,1	<0,1	<0,1	<0,1	<0,1	*NA*	<0,2	<0,2	<0,2	<0,2	<0,2
Triméthyl-2,3,5 naphtalène	mg/kg	0,01-0,2	-	-	-	-	-	-	*NA*	<0,1	<0,1	<0,1	<0,1	<0,1	*NA*	<0,2	<0,2	<0,2	<0,2	<0,2
Sommation HAP Bas poids moléculaire	mg/kg	0,01-0,2	-	-	-	-	-	-	*NA*	<0,1	<0,1	<0,1	<0,1	<0,1	*NA*	<0,2	<0,2	<0,2	<0,2	<0,2
Sommation HAP Haut poids moléculaire	mg/kg	0,01-0,2	-	-	-	-	-	-	*NA*	<0,1	<0,1	<0,1	<0,1	<0,1	*NA*	<0,2	<0,2	<0,2	<0,2	<0,2
% Humidité	%	0,1-0,2	-	-	-	-	-	-	*87,6*	88,2	87,5	87,1	88,1	87	*93,9*	93,9	93,3	93,5	94,1	94,6
Métaux extractibles totaux																				
Aluminium	mg/kg	20	-	-	-	-	-	-	*5088*	5320	5320	4950	5140	4710	*4810*	4940	4770	4820	4830	4690
Antimoine	mg/kg	7	-	-	-	< 0,1	0,15	4,3	*NA*	<7	<7	<7	<7	<7	*NA*	<7	<14	<7	<14	<14
Argent	mg/kg	0,5	-	-	-	< 0,1	0,33	7,2	*NA*	<0,5	<0,5	<0,5	<0,5	<0,5	*NA*	<0,5	<1,0	<0,5	<1,0	<1,0
Arsenic	mg/kg	0,7-1,5	5,9	17	4,1	< 1	1,58	217	*3,8*	4,3	4,1	3,7	3,6	3,2	*1,7*	1,7	1,7	1,7	1,7	1,5
Baryum	mg/kg	20	-	-	-	1	106	875	*26,0*	34	25	24	24	23	*106,0*	104	106	102	114	104
Bismuth	mg/kg	5-15	-	-	-	-	-	-	*NA*	<5	<5	<5	<5	<5	*NA*	<15	<30	<15	<30	<30
Bore	mg/kg	10	-	-	-	-	-	-	*NA*	<10	<10	<10	<10	<10	*NA*	<10	<20	<10	<20	<20
Béryllium	mg/kg	1	-	-	-	-	-	-	*NA*	<1	<1	<1	<1	<1	*NA*	<1	<4	<1	<2	<2
Cadmium	mg/kg	0,30	0,60	3,5	0,33	<0,1	0,29	8,70	*0,32*	<0,30	0,34	0,31	0,31	<0,30	*1,24*	1,25	1,14	1,25	1,35	1,19
Calcium	mg/kg	30	-	-	-	-	-	-	*2024*	2140	2120	1930	2010	1920	*4084*	3610	3540	3890	4820	4560
Chrome	mg/kg	1-25	37	90	25	1	43,7	205	*NA*	<25	<25	<25	<25	<25	*6*	6	5	6	8	7
Cobalt	mg/kg	2-15	-	-	-	1	10,1	191	*NA*	<15	<15	<15	<15	<15	*6*	6	5	6	6	5
Cuivre	mg/kg	1-5	36	200	22	1	28,3	2100	*13*	13	14	13	13	11	*21*	21	20	21	21	21
Étain	mg/kg	1-5	-	-	-	-	-	-	*NA*	<5	<5	<5	<5	<5	*NA*	<5	<10	<5	<10	<10
Fer	mg/kg	40	-	-	-	-	-	-	*6236*	8040	6350	5680	5960	5150	*2032*	2060	1910	2710	1810	1670
Lithium	mg/kg	20	-	-	-	-	-	-	*NA*	<20	<20	<20	<20	<20	*NA*	<20	<40	<20	<40	<40
Magnésium	mg/kg	10	-	-	-	-	-	-	*657*	723	668	610	647	635	*405*	383	365	380	467	430

Zone exposée / de référence Secteur Plan d'eau / cours d'eau Nom de la station - échantillon	Unités	LDR*	Critères de qualité des sédiments - EC et MDDEP (2007)[1]			Bruit de fond géochimique des sédiments - secteur Supérieur[2]			Zone de référence Secteur La Grande B **Lac L311**						Zone de référence Secteur Lac de la Corvette **Lac L517**					
									18	18-1	18-2	18-3	18-4	18-5	*Inter 2-2*	Inter 2-2-1	Inter 2-2-2	Inter 2-2-3	Inter 2-2-4	Inter 2-2-5
Manganèse	mg/kg	3	-	-	-	1	278	21400	*37*	47	39	33	34	31	*19*	17	17	15	25	21
Mercure	mg/kg	0,02-0,04	0,17	0,49	0,094	0,004	0,1298	269,9	*0,10*	0,10	0,12	0,10	0,10	0,10	*0,08*	0,08	0,08	0,08	0,09	0,08
Molybdène	mg/kg	2	-	-	-	<1	3,6	160,0	*3*	3	4	3	3	3	*2*	2	<4	2	<4	<4
Nickel	mg/kg	2	-	-	-	1	25,3	590,0	*6*	7	7	6	6	6	*25*	25	24	25	26	25
Plomb	mg/kg	5	35	91	25	2	9,1	309,0	*6*	6	6	<5	5	6	*19*	19	20	21	19	16
Potassium	mg/kg	40	-	-	-	-	-	-	*206*	246	213	185	196	189	*227*	209	211	215	273	228
Silicium	mg/kg	50-150	-	-	-	-	-	-	*1366*	1230	1440	1430	1620	1110	*1794*	1630	1780	1460	2120	1980
Sodium	mg/kg	30	-	-	-	-	-	-	*70*	75	71	63	74	69	*91*	76	83	62	128	105
Strontium	mg/kg	1	-	-	-	-	-	-	*11*	12	11	10	10	10	*21*	20	20	19	24	23
Sélénium	mg/kg	0,5-1	-	-	-	<10	10,2	26	*NA*	<1,0	<1,0	<1,0	<1,0	<1,0	*1,1*	1,1	1,1	1,1	1	1
Thallium	mg/kg	1	-	-	-	-	-	-	*NA*	<1	<1	<1	<1	<1	*NA*	<1	<2	<1	<2	<2
Titane	mg/kg	1	-	-	-	-	-	-	*319*	322	339	309	322	303	*137*	137	134	135	140	138
Uranium	mg/kg	20	-	-	-	0,1	4,5	670	*NA*	<20	<20	<20	<20	<20	*NA*	<20	<40	<20	<40	<40
Vanadium	mg/kg	10	-	-	-	-	-	-	*31*	32	34	30	31	26	*NA*	<10	<20	<10	<20	<20
Zinc	mg/kg	5-10	120	310	80	3	67,6	2067	*34*	36	40	33	32	29	*102*	102	89	98	112	108

Tableau 13. Résultats analytiques – Qualité des sédiments – lac L823

Zone exposée / de référence	Unités	LDR*	Critères de qualité des sédiments - EC et MDDEP (2007)[1]			Bruit de fond géochimique des sédiments - secteur Supérieur[2]			Zone de référence					
Secteur									Aucun secteur défini					
Plan d'eau / cours d'eau									**Lac L823**					
Nom de la station - échantillon									*Ref*	Ref-1	Ref-2	Ref-3	Ref-4	Ref-5
Date d'échantillonnage	aa-mm-jj	NA	CSE[3]	CEP[4]	CER[5]	Minimum	Moyenne	Maximum	*Moyenne*	25-05-24	25-05-24	25-05-24	25-05-24	25-05-24
Paramètres														
Azote total Kjeldahl	mg/kg - N	643-1125	-	-	-	-	-	-	*4746*	4630	4980	4830	4820	4470
% Matières sèches	%	0,2	-	-	-	-	-	-	*11,9*	12,0	12,3	11,8	11,4	11,9
Phosphore total	mg/kg - P	40-80	-	-	-	-	-	-	*1178*	1200	1210	1190	1160	1130
Carbone organique total	%	0,05	-	-	-	-	-	-	*14,6*	14,0	14,4	14,2	16,0	14,6
Soufre total	mg/kg	100-200	-	-	-	-	-	-	*1268*	1160	1250	1290	1180	1460
Hydrocarbures pétroliers C_{10} à C_{50}	mg/kg	120-700	-	-	-	-	-	-	*NA*	<400	<400	<400	<400	<400
Granulométrie														
Gravier (2-32 mm)	%	NA	-	-	-	-	-	-	*0,05*	0,10	0,00	0,00	0,05	0,08
Sable (0,063-<2 mm)	%	NA	-	-	-	-	-	-	*16,29*	31,16	8,78	8,50	11,18	21,81
Limon (3,9-<63 µm)	%	NA	-	-	-	-	-	-	*NA*	NA	NA	NA	NA	NA
Argile (<3,9 µm)	%	NA	-	-	-	-	-	-	*NA*	NA	NA	NA	NA	NA
Limon, Argile (<63 µm)	%	NA	-	-	-	-	-	-	*83,67*	68,74	91,22	91,50	88,77	78,11
Hydrocarbures aromatiques polycycliques														
Acénaphtène	mg/kg	0,015-0,06	0,006	0,089	0,003	-	-	-	*NA*	<0,03	<0,03	<0,03	<0,03	<0,03
Acénaphtylène	mg/kg	0,015-0,06	0,005	0,13	0,003	-	-	-	*NA*	<0,03	<0,03	<0,03	<0,03	<0,03
Anthracène	mg/kg	0,01-0,2	0,047	0,24	0,016	-	-	-	*NA*	<0,1	<0,1	<0,1	<0,1	<0,1
Benzo (a) anthracène	mg/kg	0,01-0,2	0,032	0,39	0,014	-	-	-	*NA*	<0,1	<0,1	<0,1	<0,1	<0,1
Benzo (a) pyrène	mg/kg	0,01-0,2	0,032	0,78	0,011	-	-	-	*NA*	<0,1	<0,1	<0,1	<0,1	<0,1
Benzo (b) fluoranthène	mg/kg	0,01-0,2	-	-	-	-	-	-	*NA*	<0,1	<0,1	<0,1	<0,1	<0,1
Benzo (j) fluoranthène	mg/kg	0,01-0,2	-	-	-	-	-	-	*NA*	<0,1	<0,1	<0,1	<0,1	<0,1
Benzo (k) fluoranthène	mg/kg	0,01-0,2	-	-	-	-	-	-	*NA*	<0,1	<0,1	<0,1	<0,1	<0,1
Benzo (b+j+k) fluoranthène	mg/kg	0,01-0,2	-	-	-	-	-	-	*NA*	<0,1	<0,1	<0,1	<0,1	<0,1
Benzo (c) phénanthrène	mg/kg	0,01-0,2	-	-	-	-	-	-	*NA*	<0,1	<0,1	<0,1	<0,1	<0,1
Benzo (g,h,i) pérylène	mg/kg	0,01-0,2	-	-	-	-	-	-	*NA*	<0,1	<0,1	<0,1	<0,1	<0,1
Chrysène	mg/kg	0,01-0,2	0,057	0,86	0,026	-	-	-	*NA*	<0,1	<0,1	<0,1	<0,1	<0,1
Dibenzo (a,h) anthracène	mg/kg	0,003-0,06	0,006	0,14	0,003	-	-	-	*NA*	<0,03	<0,03	<0,03	<0,03	<0,03
Dibenzo (a,i) pyrène	mg/kg	0,01-0,2	-	-	-	-	-	-	*NA*	<0,1	<0,1	<0,1	<0,1	<0,1
Dibenzo (a,h) pyrène	mg/kg	0,01-0,2	-	-	-	-	-	-	*NA*	<0,1	<0,1	<0,1	<0,1	<0,1
Dibenzo (a,l) pyrène	mg/kg	0,01-0,2	-	-	-	-	-	-	*NA*	<0,1	<0,1	<0,1	<0,1	<0,1

Zone exposée / de référence Secteur Plan d'eau / cours d'eau Nom de la station - échantillon	Unités	LDR*	Critères de qualité des sédiments - EC et MDDEP (2007)[1]			Bruit de fond géochimique des sédiments - secteur Supérieur[2]			Zone de référence Aucun secteur défini **Lac L823**					
									Ref	Ref-1	Ref-2	Ref-3	Ref-4	Ref-5
Diméthyl-7,12 benzo (a) anthracène	mg/kg	0,01-0,2	-	-	-	-	-	-	*NA*	<0,1	<0,1	<0,1	<0,1	<0,1
Fluoranthène	mg/kg	0,01-0,2	0,11	2,4	0,047	-	-	-	*NA*	<0,1	<0,1	<0,1	<0,1	<0,1
Fluorène	mg/kg	0,01-0,2	0,021	0,14	0,010	-	-	-	*NA*	<0,1	<0,1	<0,1	<0,1	<0,1
Indéno (1,2,3-cd) pyrène	mg/kg	0,01-0,2	-	-	-	-	-	-	*NA*	<0,1	<0,1	<0,1	<0,1	<0,1
Méthyl-3 cholanthrène	mg/kg	0,01-0,2	-	-	-	-	-	-	*NA*	<0,1	<0,1	<0,1	<0,1	<0,1
Naphtalène	mg/kg	0,01-0,2	0,035	0,39	0,017	-	-	-	*NA*	<0,1	<0,1	<0,1	<0,1	<0,1
Phénanthrène	mg/kg	0,01-0,2	0,042	0,52	0,025	-	-	-	*NA*	<0,1	<0,1	<0,1	<0,1	<0,1
Pyrène	mg/kg	0,01-0,2	0,053	0,88	0,029	-	-	-	*NA*	<0,1	<0,1	<0,1	<0,1	<0,1
Méthyl-1 naphtalène	mg/kg	0,01-0,2	-	-	-	-	-	-	*NA*	<0,1	<0,1	<0,1	<0,1	<0,1
Méthyl-2 naphtalène	mg/kg	0,01-0,2	0,020	0,20	0,016	-	-	-	*NA*	<0,1	<0,1	<0,1	<0,1	<0,1
Diméthyl-1,3 naphtalène	mg/kg	0,01-0,2	-	-	-	-	-	-	*NA*	<0,1	<0,1	<0,1	<0,1	<0,1
Triméthyl-2,3,5 naphtalène	mg/kg	0,01-0,2	-	-	-	-	-	-	*NA*	<0,1	<0,1	<0,1	<0,1	<0,1
Sommation HAP Bas poids moléculaire	mg/kg	0,01-0,2	-	-	-	-	-	-	*NA*	<0,1	<0,1	<0,1	<0,1	<0,1
Sommation HAP Haut poids moléculaire	mg/kg	0,01-0,2	-	-	-	-	-	-	*NA*	<0,1	<0,1	<0,1	<0,1	<0,1
% Humidité	%	0,1-0,2	-	-	-	-	-	-	*88,1*	88	87,7	88,2	88,6	88,1
Métaux extractibles totaux														
Aluminium	mg/kg	20	-	-	-	-	-	-	*15440*	14900	15700	15500	15500	15600
Antimoine	mg/kg	7	-	-	-	< 0,1	0,15	4,3	*NA*	<7	<7	<7	<7	<7
Argent	mg/kg	0,5	-	-	-	< 0,1	0,33	7,2	*NA*	<0,5	<0,5	<0,5	<0,5	<0,5
Arsenic	mg/kg	0,7-1,5	5,9	17	4,1	< 1	1,58	217	*7,4*	7,3	7,2	7,6	7,1	7,7
Baryum	mg/kg	20	-	-	-	1	106	875	*35,4*	35	39	35	33	35
Bismuth	mg/kg	5-15	-	-	-	-	-	-	*NA*	<5	<5	<5	<5	<5
Bore	mg/kg	10	-	-	-	-	-	-	*NA*	<10	<10	<10	<10	<10
Béryllium	mg/kg	1	-	-	-	-	-	-	*NA*	<1	<1	<1	<1	<1
Cadmium	mg/kg	0,30	0,60	3,5	0,33	<0,1	0,29	8,70	*0,71*	0,72	0,73	0,71	0,67	0,72
Calcium	mg/kg	30	-	-	-	-	-	-	*1732*	1760	1730	1680	1770	1720
Chrome	mg/kg	1-25	37	90	25	1	43,7	205	*34*	33	37	34	33	35
Cobalt	mg/kg	2-15	-	-	-	1	10,1	191	*NA*	<15	<15	<15	<15	<15
Cuivre	mg/kg	1-5	36	200	22	1	28,3	2100	*17*	17	17	16	16	17
Étain	mg/kg	1-5	-	-	-	-	-	-	*NA*	<5	<5	<5	<5	<5
Fer	mg/kg	40	-	-	-	-	-	-	*73460*	74000	72200	72800	72800	75500
Lithium	mg/kg	20	-	-	-	-	-	-	*NA*	<20	<20	<20	<20	<20
Magnésium	mg/kg	10	-	-	-	-	-	-	*872*	831	947	860	854	867

Zone exposée / de référence Secteur Plan d'eau / cours d'eau Nom de la station - échantillon	Unités	LDR*	Critères de qualité des sédiments - EC et MDDEP (2007)[1]			Bruit de fond géochimique des sédiments - secteur Supérieur[2]			Zone de référence Aucun secteur défini **Lac L823**					
									Ref	Ref-1	Ref-2	Ref-3	Ref-4	Ref-5
Manganèse	mg/kg	3	-	-	-	1	278	21400	*551*	534	554	578	510	579
Mercure	mg/kg	0,02-0,04	0,17	0,49	0,094	0,004	0,1298	269,9	*0,13*	0,13	0,12	0,13	0,12	0,13
Molybdène	mg/kg	2	-	-	-	<1	3,6	160,0	*11*	11	11	11	11	11
Nickel	mg/kg	2	-	-	-	1	25,3	590,0	*14*	14	16	13	13	13
Plomb	mg/kg	5	35	91	25	2	9,1	309,0	*27*	25	26	29	25	29
Potassium	mg/kg	40	-	-	-	-	-	-	*361*	335	418	357	343	352
Silicium	mg/kg	50-150	-	-	-	-	-	-	*859*	978	930	730	819	840
Sodium	mg/kg	30	-	-	-	-	-	-	*63*	58	63	56	73	64
Strontium	mg/kg	1	-	-	-	-	-	-	*12*	12	12	12	12	12
Sélénium	mg/kg	0,5-1	-	-	-	<10	10,2	26	*1,2*	1,2	1,2	1,2	1,2	1,2
Thallium	mg/kg	1	-	-	-	-	-	-	*NA*	<1	<1	<1	<1	<1
Titane	mg/kg	1	-	-	-	-	-	-	*480*	469	483	480	482	487
Uranium	mg/kg	20	-	-	-	0,1	4,5	670	*NA*	<20	<20	<20	<20	<20
Vanadium	mg/kg	10	-	-	-	-	-	-	*56*	54	56	56	56	58
Zinc	mg/kg	5-10	120	310	80	3	67,6	2067	*87*	87	88	87	86	89

Annexe 3

Rapports d'identification de G.D.G Environnement

Rapport final:
Analyse benthique

Février 2025

Préparé pour Louise Zilber
(Groupe Synergis)

Lac Corvette 2024
#Projet : 22-0095-08

G.D.G. Environnement Ltée
1100 place du Technoparc, bureau 300
Trois-Rivières, Qc, Canada G9A 0A9
T : (888) 567-8567 Fax (819) 373-6832
gdg@kersia-group.com www.gdg.ca

Contact :
Jean-François Houde
jeanfrancois.houde@kersia-group.com
Cell.: 819-244-2174

© 2025 G.D.G. Environnement Ltée — Tous droits réservés.

Table des matières

ÉQUIPE DE TRAVAIL 3
ANALYSE EN LABORATOIRE 4
1. Lavage 4
2. Tri 4
3. Contrôle qualité du tri 4
3.1. Calcul de l'efficacité du tri 5
4. Identification 5
5. Saisie des données et vérification des données 5
6. Références 5
7. Autres services de laboratoire offerts par GDG Environnement 6
TABLEAUX 7

Table des tableaux

Tableau 1 : Contrôles qualité sur le tri des organismes benthiques (Lac Corvette, 2024). 8
Tableau 2 : Données relatives à l'abondance par échantillon des organismes benthiques (Lac Corvette, 2024). 9

© 2025 G.D.G. Environnement Ltée — Tous droits réservés.

ÉQUIPE DE TRAVAIL

Chargé de projets	……	Jean-François Houde (B. Sc.)
Contrôle qualité tri	……	Alexis Baribeau-Rondeau (B. Sc.)
	……..	Émilie Pratte (DEC)
Taxonomie	……..	Simon Pratte (DEC)
Lavage et tri	……..	Alexis Baribeau-Rondeau (B. Sc.)
	……..	Simon Pratte (DEC)

© 2025 G.D.G. Environnement Ltée — Tous droits réservés.

ANALYSE EN LABORATOIRE

1. Lavage

Au laboratoire, les douze (12) échantillons reçus ont été rincés à l'eau claire dans une série de tamis ayant des ouvertures de mailles de 4000, 2000, 1000 et 500 µm. Le lavage des échantillons a été effectué en évitant d'appliquer une pression d'eau excessive afin de ne pas endommager les organismes récoltés.

2. Tri

Les fractions grossières retenues par les tamis de 4000 et 2000 µm ont été triées dans l'eau, et en totalité, à l'aide d'une loupe éclairante, afin de bien isoler les invertébrés des sédiments/débris. Le tri des fractions 1000 et 500 µm a été effectué à l'aide de binoculaires (Nikon SMZ645). Chaque échantillon a ainsi été trié après le lavage, dans l'eau. À la fin de la journée, si le tri n'est pas complété pour un échantillon en particulier, la portion non triée de l'échantillon est conservée à 4 °C. Le tri de ces échantillons est habituellement poursuivi le lendemain. Si les échantillons lavés ne peuvent pas être triés rapidement, ils sont conservés dans une solution d'alcool 70 % glycérinée à 9 %, à l'intérieur d'un contenant à couvercle vissé, et ce jusqu'à la prochaine séance de tri.

Les organismes récoltés dans les échantillons ont été dénombrés et regroupés selon les grands groupes taxonomiques. Ils ont été conservés dans l'alcool à 70 % glycérinée à 9 %, à l'intérieur de fioles de borosilicate avec des couvercles hermétiques, pour une identification ultérieure.

À noter que tous les échantillons ont été triés en totalité. Il n'y a donc pas eu de fractionnement.

3. Contrôle qualité du tri

Afin d'évaluer l'efficacité du tri, un contrôle qualité du tri a été effectué par une autre personne que le trieur d'origine sur au moins 10 % des échantillons (soit sur 2 échantillons) et consiste en un tri des matières organiques conservées par le trieur d'origine. Les résultats des contrôles qualité du tri sont présentés au tableau 1. Un tri sera jugé acceptable si :

- Au plus 10% du nombre total des organismes a été oublié par le trieur d'origine;
- Aucun groupe taxonomique n'a été oublié lors du tri initial, et ce, même si les organismes oubliés d'un groupe en particulier constituent moins de 10 % du nombre total des organismes.

© 2025 G.D.G. Environnement Ltée — Tous droits réservés.

3.1. Calcul de l'efficacité du tri

L'efficacité du tri (en %) a été calculée avec la formule suivante:

$$\left[1 - \left(\frac{nombre\ d'organismes\ dans\ le\ nouveau\ tri}{(nombre\ d'organismes\ dans\ le\ tri\ initial + nombre\ d'organismes\ dans\ le\ nouveau\ tri)}\right)\right] \times 100$$

Pour un tri acceptable, l'efficacité du tri doit être supérieure à 90 %. Les résultats de l'efficacité du tri sont présentés au tableau 1.

4. Identification

Les organismes ont été identifiés au genre à partir des clés d'identification citées dans Merritt et al. (2008) et dans Thorp et Covich (2010). Les données relatives à l'abondance par échantillon des organismes benthiques prélevés pour le contrat de benthos du Lac Corvette se retrouvent dans le tableau 2. Le tableau des identifications sera également fourni en format Excel.

5. Saisie des données et vérification des données

Les données de dénombrement (nombre d'organismes benthiques identifiés) ont été saisies dans un fichier Excel sous forme de matrice qui présente les taxons sur les lignes et les échantillons sur les colonnes (tableau 2).

Une fois la saisie complétée, une vérification de la transcription des données a été effectuée par une personne autre que celle ayant réalisé la saisie initiale, en comparant les données saisies aux feuilles de données brutes fournies par les taxonomistes.

6. Références

Merritt, R. W., Cummins, K. W. et M.B.Berg, eds. 2008. *An Introduction to the Aquatic Insects of North America*. 4rd ed., Kendall/Hunt, Dubuque, IA, 1158 pp.

Thorp, J. H., Covich A. P. 2010. *Ecology and Classification of North American Freshwater Invertebrates*, *Third edition*. Elsevier Science. 1088 pp.

© 2025 G.D.G. Environnement Ltée — Tous droits réservés.

7. Autres services de laboratoire offerts par GDG Environnement

Dans nos installations, nous effectuons des analyses d'ADN environnementale dans le but de détecter et de quantifier la présence d'espèces cibles. Nous avons déjà plusieurs essais développés à l'interne et pouvons en valider des nouveaux. Voici quelques espèces pour lesquelles des essais sont déjà validés pour la détection d'espèces : le touladi (*Salvelinus namaycush*), la ouananiche (*Salmo salar*) et l'omble chevalier (*Salvelinus alpinus*) pour en nommer quelques-unes. Nous sommes ouverts à développer et/ou valider davantage d'essais selon vos projets.

De plus, chez G.D.G. Environnement, nous avons un programme de dépistage de pathogènes chez la tique pour les employés de terrain qui effectuent différents mandats au cours de l'année. Nous pouvons détecter la présence de différents pathogènes par qPCR dont *Borrelia burgdorferi*, qui cause la maladie de Lyme. Nous dépistons également *Borrelia miyamotoi* (fièvre récurrente similaire à Lyme), *Anaplasma phagocytophilum* (anaplasmose) et *Babesia microti* (babésiose). Ce service pourrait également être offert à vos effectifs sur le terrain.

Bien vouloir nous contacter pour discuter de l'ensemble de nos services offerts, ou visiter le www.gdg.ca pour plus de détails.

© 2025 G.D.G. Environnement Ltée — Tous droits réservés.

TABLEAUX

© 2025 G.D.G. Environnement Ltée — Tous droits réservés.

Tableau 1 : Contrôles qualité sur le tri des organismes benthiques (Lac Corvette, 2024).

Échantillon	Station	Nombre total d'organismes triés[1]	Nombre oublié	% oublié	Efficacité du tri (%)[2]
BEN1449	E Aval-1	86	1	1,16	98,84
BEN1455	7	149	2	1,34	98,66

1- Colonies du même genre comptent pour 1.
2- Voir formule au point 3.1.

Voici les organismes oubliés (et leur abondance) par le trieur d'origine :

- BEN1449 (E Aval-1)
  - Chironomidae (1)
- BEN1455 (station 7)
  - Ceratopogonidae (1)
  - Chironomidae (1)

Ceux-ci ont été ajoutés au nombre total d'organismes triés dans leur échantillon respectif.

© 2025 G.D.G. Environnement Ltée — Tous droits réservés.

Tableau 2 : Données relatives à l'abondance par échantillon des organismes benthiques (Lac Corvette, 2024).

					E aval-1	E inter 1-1	E inter 1-2	E inter 2-2	E inter 1-3	4	7	8	9	15	16	17
Embranchement	Classe/Sous-classe	Ordre/Sous-ordre	Famille/Sous-famille	Genre	BEN1449	BEN1450	BEN1451	BEN1452	BEN1453	BEN1454	BEN1455	BEN1456	BEN1457	BEN1458	BEN1459	BEN1460
PORIFERA	Demospongiae	Haplosclerida	Spongillidae	Eunapius	C	C	C	C	C	C	C	C	C		C	
				Racekiela				C	C							C
				Spongilla	C	C		C	C							
NEMATODA					3	1		4	2	10	1		1	3		1
MOLLUSCA	Gastropoda	Littorinida[2]	Amnicolidae	Amnicola					50	34	1					
		Lymnaeida[2]	Planorbidae	Gyraulus					4							
				Helisoma					4							
	Bivalvia	Sphaeriida	Sphaeriidae	Musculium			14	1	1		1	4				4
				Pisidium	19	4	15	2	4	24	29	26	13	5	4	41
ANNELIDA	Clitellata		Enchytraeidae			1					2					
		Lumbriculida	Lumbriculidae	Lumbriculus				2	1			1				
		Tubificida	Naididae													
			Tubificinae	Aulodrilus					1				1		2	
				Limnodrilus	1		1		1							
			Ryacodrilinae	Rhyacodrilus	2				1							
		Hirudinida[2]	Glossiphoniidae	Helobdella						5						
BRYOZOA	Phylactolaemata	Plumatellida	Cristatellidae	Cristatella	C	C	C			C	C			C		C
ARTHROPODA	Arachnida	Trombidiformes	Arrenuridae	Arrenurus	1					1						
			Hygrobatidae	Hygrobates	1											
			Oxidae	Frontipoda						2						
			Pionidae	Nautarachna				1								
			Unionicolidae	Neumania								1				
	Copepoda	Cyclopoida	Cyclopidae	Acanthocyclops					2	3						2
				Macrocyclops							2			1		
	Ostracoda	Podocopida	Cyprididae	Cyclocypris[1]												1
	Malacostraca	Amphipoda	Hyalellidae	Hyalella					1							
	Insecta	Ephemeroptera	Beatidae	Beatis												1
			Caenidae	Caenis				4				1				
			Ephemeridae	Hexagenia	2	1					3			2		10
				Litobrancha	2											2
		Odonata														
		Zygoptera	Coenagrionidae	Enallagma					1							
		Anisoptera	Corduliidae	Cordulia[2]						1					1	2
		Megaloptera	Sialidae	Sialis												5
		Trichoptera	Dipseudopsidae	Phylocentropus	2	1				1	1		5			2
			Hydroptilidae	Hydroptila						2						
			Leptoceridae	Oecetis				1		1						1
			Polycentropodidae	Polycentropus					3	2		1				
		Coleoptera	Chrysomelidae	Donacia					1							
		Diptera														
		Nematocera	Ceratopogonidae	Bezzia/Palpomyia/Probezzia[3]	8			8	14	25	14			2	10	42
				Ceratopogon/Culicoides/Stilobezzia[3]								1				
				Dasyhelea				21							2	
			Chaoboridae	Chaoborus			8				2	1		1		
			Chironomidae													
			Tanypodinae	Ablabesmyia				2							2	
				Clinotanypus					1						1	
				Larsia				11		3		2				
				Procladius	7	2	1	6	6	2	8	5	2	3	4	8
				Thienemannimyia						6						
			Chironominae													
			Tanytarsini	Cladotanytarsus	7			1		1	1					6
				Neostempellina	3	2					27		17			4
				Paratanytarsus						1						
				Tanytarsus		4		1			48		14	2	2	
			Chironomini	Chironomus	1	1		8								
				Cryptochironomus				4	15	2	1	2	1	1		
				Demicryptochironomus												1
				Glyptotendipes	1			1			1					
				Microtendipes				27	16	20	2	1			10	47
				Nilothauma				6								
				Pagastiella	9			4		17	1	1	1		2	15
				Parachironomus	4			15	11	5	2				8	3
				Polypedilum	6	1		21		4		4	2			
				Stictochironomus						11						
				Tribelos				13	1							
				Xenochironomus	2											
			Pseudochironomini	Pseudochironomus				35								
			Orthocladiinae	Epoicocladius						1		1				
				Heterotanytarsus						1						
				Psectrocladius	2				2	4						
				Species C[4]									2	1		
				Zalutschia			2			3					2	
			Diamesinae	Protanypus		1										

La taxonomie utilisée dans ce tableau est basée sur les données du « Integrated Taxonomic Information System » (ITIS).
L'ordre phylogénique utilisé dans ce tableau est basé sur Thorp et Covich (2010) dans « Ecology and Classification of North American Freshwater Invertebrates ».

C-Colonies

1-Le genre Cyclocypris est séparé de la famille des Candonidae. Selon ITIS, il fait maintenant parti de la famille des Cyprididae.

2-La famille des Corduliidae contient les genres de la famille des Corduliidae et des Macromiidae. Selon ITIS, la famille des Macromiidae est invalide et est remplacée par la sous-famille des Macromiinae.

3-Selon Merritt et Cummins (2019) dans « An introduction to the aquatic insects of North America », 5e édition, ces genres sont indissociables au genre à partir de la larve seulement.

4-Genre décrit par J. Epler (2001) dans « Identification manual for the larval Chironomidae (diptera) of North and South Carolina ». L'auteur le nomme « Species C » et précise que l'adulte est inconnu et que la pupe ressemble aux genres Acamptocladius et Parakiefferiella.

© 2025 G.D.G. Environnement Ltée — Tous droits réservés.

Rapport analyse benthique

Octobre 2025

Préparé pour Hyldane Boucard, Louise Zilber et Pierre-Olivier Côté (Groupe Synergis)

Benthos Lac Corvette – 22-0095-08

G.D.G. Environnement Ltée
1100 place du Technoparc, bureau 300
Trois-Rivières, Qc, Canada G9A 0A9
T : (888) 567-8567 Fax (819) 373-6832
gdg@kersia-group.com www.gdg.ca

Contact :
Jean-François Houde
jeanfrancois.houde@kersia-group.com
Cell.: 819-244-2174

© 2025 G.D.G. Environnement Ltée — Tous droits réservés.

Table des matières

ÉQUIPE DE TRAVAIL 3
ANALYSE EN LABORATOIRE 4
1. Lavage 4
2. Tri 4
3. Contrôle qualité du tri 4
3.1. Calcul de l'efficacité du tri 5
4. Identification 5
5. Saisie et vérification des données 5
6. Références 6
7. Autres services de laboratoire offerts par GDG Environnement 6
TABLEAUX 7

Table des tableaux

Tableau 1 : Contrôle qualité sur le tri des organismes benthiques (Lac Corvette, 2025). 8
Tableau 2 : Données d'identification des organismes benthiques par échantillon (Lac Corvette, 2025). 9

© 2025 G.D.G. Environnement Ltée — Tous droits réservés.

ÉQUIPE DE TRAVAIL

Chargé de projets	……	Jean-François Houde (B. Sc.)
Contrôle qualité tri	……	Frédérique Herbineaux (B. Sc.)
Taxonomie	……	Simon Pratte (DEC)
Lavage et tri	……	Émilie Pratte (DEC)
	……	Frédérique Herbineaux (B. Sc.)
	……	Noémie Coulombe (DEC)

© 2025 G.D.G. Environnement Ltée — Tous droits réservés.

ANALYSE EN LABORATOIRE

1. Lavage

Au laboratoire, les sept (7) échantillons reçus ont été rincés à l'eau claire dans une série de tamis ayant des ouvertures de mailles de 4000, 2000, 1000 et 500 µm. Le lavage des échantillons a été effectué en évitant d'appliquer une pression d'eau excessive afin de ne pas endommager les organismes récoltés.

2. Tri

Les fractions grossières retenues par les tamis de 4000 et 2000 µm ont été triées dans l'eau, et en totalité, à l'aide d'une loupe éclairante, afin de bien isoler les invertébrés des sédiments/débris. Le tri des fractions 1000 et 500 µm a été effectué à l'aide de binoculaires (Nikon SMZ645). Chaque échantillon a ainsi été trié après le lavage, dans l'eau. À la fin de la journée, si le tri n'est pas complété pour un échantillon en particulier, la portion non triée de l'échantillon est conservée à 4 °C. Le tri de ces échantillons est habituellement poursuivi le lendemain. Si les échantillons lavés ne peuvent pas être triés rapidement, ils sont conservés dans une solution d'alcool 70 % glycérinée à 9 %, à l'intérieur d'un contenant à couvercle vissé, et ce, jusqu'à la prochaine séance de tri.

Les organismes récoltés dans les échantillons ont été dénombrés et regroupés selon les grands groupes taxonomiques. Ils ont été conservés dans l'alcool à 70 % glycérinée à 9 %, à l'intérieur de fioles de borosilicate avec des couvercles hermétiques, pour une identification ultérieure.

À noter que tous les échantillons ont été triés en totalité. Il n'y a donc pas eu de sous-échantillonnage dans le cadre de ce mandat.

3. Contrôle qualité du tri

Afin d'évaluer l'efficacité du tri, un contrôle qualité du tri a été effectué par une autre personne que le trieur d'origine sur au moins 10 % des échantillons (soit sur 1 échantillon) et consiste en un tri des matières organiques conservées par le trieur d'origine. Les résultats du contrôle qualité du tri sont présentés au tableau 1.

Un tri sera jugé acceptable si :

© 2025 G.D.G. Environnement Ltée — Tous droits réservés.

- Au plus 10% du nombre total des organismes a été oublié par le trieur d'origine;
- Aucun groupe taxonomique n'a été oublié lors du tri initial, et ce, même si les organismes oubliés d'un groupe en particulier constituent moins de 10 % du nombre total des organismes.

3.1. Calcul de l'efficacité du tri

L'efficacité du tri (en %) a été calculée avec la formule suivante:

Efficacité du tri =

$$\left[1 - \left(\frac{nombre\ d'organismes\ dans\ le\ nouveau\ tri}{(nombre\ d'organismes\ dans\ le\ tri\ initial + nombre\ d'organismes\ dans\ le\ nouveau\ tri)}\right)\right] \times 100$$

Pour un tri acceptable, l'efficacité du tri doit être supérieure à 90 %. Les résultats de l'efficacité du tri sont présentés au tableau 1.

4. Identification

Les organismes ont été identifiés au genre à partir des clés d'identification citées dans Merritt et al. (2019) et dans Thorp et Covich (2010). Simon Pratte, notre taxonomiste à l'interne, a procédé à toutes les identifications. Les données d'identification par échantillon des organismes benthiques prélevés pour le contrat de benthos du Lac Corvette 2025 se trouvent dans le tableau 2. Le tableau des identifications sera également fourni en format Excel.

Certains échantillons analysés présentaient une faible abondance d'organismes (stations REF, 18, 19 et 20). Un point commun entre ces échantillons est le type de leur substrat, principalement composé de boue.

5. Saisie et vérification des données

Les données de dénombrement (nombre d'organismes benthiques identifiés) ont été saisies dans un fichier Excel sous forme de matrice qui présente les taxons sur les lignes et les échantillons sur les colonnes (tableau 2). Une fois la saisie complétée, une vérification de la transcription des données a été effectuée par une personne autre que celle ayant réalisé la saisie initiale, en comparant les données saisies aux feuilles de données brutes fournies par les taxonomistes.

© 2025 G.D.G. Environnement Ltée — Tous droits réservés.

6. Références

Merritt, R. W., Cummins, K. W. et M.B. Berg, eds. 2019. *An Introduction to the Aquatic Insects of North America*. 5e ed., Kendall/Hunt, Dubuque, IA, 1498 pp.

Thorp, J. H., Covich A. P. 2010. *Ecology and Classification of North American Freshwater Invertebrates*, *Third edition*. Elsevier Science. 1088 pp.

7. Autres services de laboratoire offerts par GDG Environnement

Dans nos installations, nous effectuons des analyses d'ADN environnemental dans le but de détecter et de quantifier la présence d'espèces cibles. Nous avons déjà plusieurs essais développés à l'interne et pouvons en valider des nouveaux. Voici quelques espèces pour lesquelles des essais sont déjà validés pour la détection d'espèces : le touladi (*Salvelinus namaycush*), la ouananiche (*Salmo salar*) et l'omble chevalier (*Salvelinus alpinus*) pour en nommer quelques-unes. Nous sommes ouverts à développer et/ou valider davantage d'essais selon vos projets.

De plus, chez GDG Environnement, nous avons un programme de dépistage de pathogènes chez la tique pour les employés de terrain qui effectuent différents mandats au cours de l'année. Nous pouvons détecter la présence de différents pathogènes par qPCR dont *Borrelia burgdorferi*, l'agent responsable de la maladie de Lyme. Nous dépistons également *Borrelia miyamotoi* (fièvre récurrente similaire à Lyme), *Anaplasma phagocytophilum* (anaplasmose) et *Babesia microti* (babésiose). Ce service pourrait également être offert à vos effectifs sur le terrain.

Bien vouloir nous contacter pour discuter de l'ensemble de nos services offerts, ou visiter le www.gdg.ca pour plus de détails.

© 2025 G.D.G. Environnement Ltée — Tous droits réservés.

TABLEAUX

© 2025 G.D.G. Environnement Ltée — Tous droits réservés.

Tableau 1 : Contrôle qualité sur le tri des organismes benthiques (Lac Corvette, 2025).

Échantillon	Station	Nombre total d'organismes triés[1]	Nombre oublié	% oublié	Efficacité du tri (%)[2]
BEN1734	CE11	135	6	4,44	95,56

1- Colonies du même genre comptent pour 1.
2- Voir formule au point 3.1.

Voici les organismes oubliés (et leur abondance) par le trieur d'origine :

- Chironomidae (5)
- Gastropoda (1)

Ceux-ci ont été ajoutés au nombre total d'organismes triés dans cet échantillon.

© 2025 G.D.G. Environnement Ltée — Tous droits réservés.

Tableau 2 : Données d'identification des organismes benthiques par échantillon (Lac Corvette, 2025).

					REF	L10	CE11	CE15	18	19	20
Embranchement	Classe	Ordre/Sous-ordre	Famille/Sous-famille/Tribu	Genre	BEN1732	BEN1733	BEN1734	BEN1735	BEN1736	BEN1737	BEN1738
PORIFERA	Demospongiae	Haplosclerida	Spongillidae	Eunapius		C	C	C	C	C	
				Racekiela							C
NEMATODA					1		6				1
MOLLUSCA	Gastropoda	Littorinida	Amnicolidae	Amnicola		58	2				
		Lymnaeida	Planorbidae	Helisoma			1				
	Bivalvia	Sphaeriida	Sphaeriidae	Sphaerium	1	13	1	130			
ANNELIDA	Clitellata		Enchytraeidae			14		7			
		Hirudinida	Erpobdellidae	Nephelopsis			1				
BRYOZOA	Phylactolaemata	Plumatellida	Cristatellidae	Cristatella		C	C	C		C	
ARTHROPODA	Arachnida	Trombidiformes	Limnesiidae	Limnesia				1			
	Copepoda	Cyclopoida	Cyclopidae	Acanthocyclops		1					
	Insecta	Ephemeroptera	Beatiscidae	Beatisca				18			
			Ephemerellidae	Eurylophella		1	6	35			
				Serratella				1			
		Odonata									
		Anisoptera	Gomphidae	Ophiogomphus		1		6			
		Trichoptera	Brachycentridae	Micrasema		5					
			Hydropsychidae	Hydropsyche				11			
			Hydroptilidae	Agraylea				5			
				Hydroptila				8			
				Oxyethira				1			
			Leptoceridae	Mystacides		2					
				Oecetis		7					
		Diptera									
		Nematocera	Ceratopogonidae	Bezzia/Palpomyia/Probezzia[1]		3	3	1		1	
				Dasyhelea				1			
			Chironomidae								
			Tanypodinae	Ablabesmyia		1		1			
				Procladius		2	2			3	1
				Thienemannimyia gr.		19	4	12			
			Chironominae								
			Tanytarsini	Neostempellina		23		28			
			Chironomini	Cryptochironomus				1	1		
				Demicryptochironomus				1			
				Microtendipes		2	100		1		3
				Nilothauma				2			
				Pagastiella		5		1		1	
				Parachironomus		1	6	1		1	2
				Polypedilum				4			
				Xenochironomus		3		1			
			Pseudochironomini	Pseudochironomus				1			
			Diamesinae	Potthastia				1			
			Prodiamesinae	Monodiamesa				1			
		Brachycera	Tabanidae	Chrysops			1				

La taxonomie utilisée dans ce tableau est basée sur les données du « *Integrated Taxonomic Information System* » (ITIS).
L'ordre phylogénique utilisé dans ce tableau est basé sur Thorp et Covich (2010) dans « *Ecology and Classification of North American Freshwater Invertebrates* ».

C=Colonies
1 = Selon Merritt et Cummins dans « *An introduction to the aquatic insects of North America* », 5e édition, ces genres sont indissociables à partir de la larve seulement.

© 2025 G.D.G. Environnement Ltée — Tous droits réservés.

Annexe 4

Photos

Photo 1. Aspect des sédiments échantillonnés à la station Aval-1

Photo 2. Aspect des sédiments échantillonnés à la station 4

Photo 3. Aspect des sédiments échantillonnés à la station 15

Photo 4. Aspect des invertébrés échantillonnés à la station CE15

Photo 5. Aspect des invertébrés échantillonnés à la station L10

Photo 6. Aspect des sédiments échantillonnés à la station Inter 1-1

Photo 7. Aspect des sédiments échantillonnés à la station Inter 1-2

Photo 8. Aspect des sédiments échantillonnés à la station Inter 2-2

Photo 9. Aspect des sédiments échantillonnés à la stations S Inter 1-3

Photo 10. Aspect des sédiments échantillonnés à la station 7

Photo 11. Aspect des sédiments échantillonnés à la stations 8

Photo 12. Aspect des sédiments échantillonnés à la stations 9

Photo 13. Aspect des sédiments échantillonnés à la station 16

Photo 14. Aspect des sédiments échantillonnés à la station 17

Photo 15. Aspect des sédiments échantillonnés à la station 18

Photo 16. Aspect des invertébrés échantillonnés à la station 19

Photo 17. Aspect de la station 20

Photo 18. Aspect de la station lac ref

Photo 19. Aspect de la station CE11

NIIGAAN

ANNEXE

6-18 TENEURS EN MÉTAUX DANS LA CHAIR DES POISSONS

ANNEXE

6-18-1 TENEURS EN MÉTAUX DANS LA CHAIR DES POISSONS

État de référence du milieu aquatique pour le projet Shaakichiuwaanaan

Teneurs en métaux dans la chair des poissons

Rapport présenté à :

Ressources PMET Inc.

16 décembre 2025

Projet 151022002

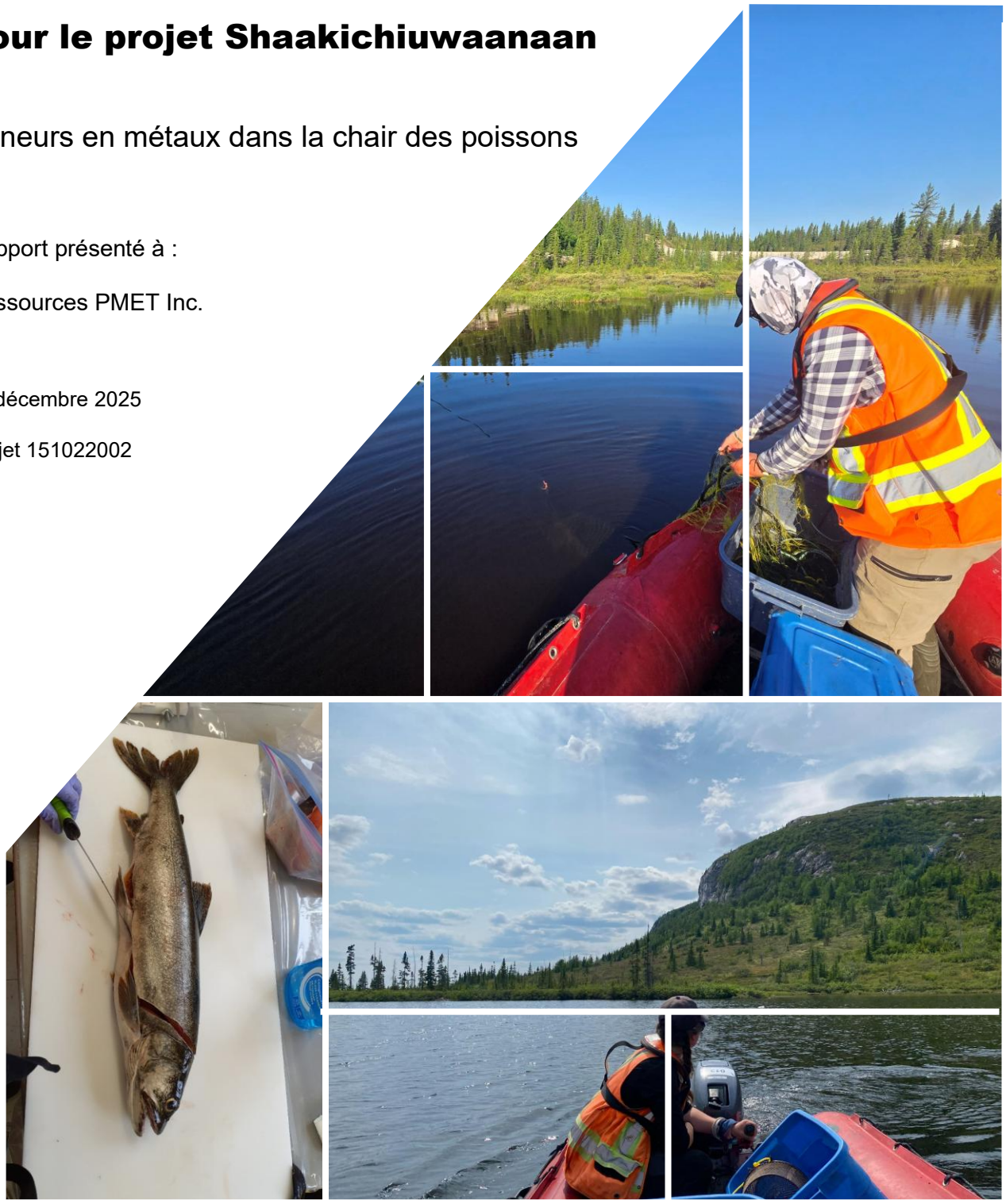

Équipe de réalisation

Niigaan

Pierre-Olivier Côté, Biologiste, B. Sc.	Direction de projet et révision scientifique
Maxime Clermont, Biologiste, M. Sc.	Chargé de projet
Nadine Marois, Biologiste, B. Sc.	Analyse et rédaction
Olivier La Haye Yergeau, Biologiste, B. Sc.	Compilation des données
François Corbeil, Technicien de la faune	Travaux de terrain
Antoine Sicotte, Technicien de la faune	Travaux de terrain
Jérôme Francoeur, Biologiste, B. Sc.	Travaux de terrain
Laurie-Anne Dumont, Technicien de la faune	Travaux de terrain
Elden Ratt Sam, Assistant cri	Travaux de terrain
Robert Bearskin, Assistant cri	Travaux de terrain
Sophie Savard, Géographe, B. Sc.	Cartographie
Samantha Dionne, Adjointe administrative	Édition

Préparé par :

Nadine Marois
Biologiste, B. Sc.

Approuvé par :

Pierre-Olivier Côté
Biologiste, B. Sc.

N° de révision	Date	Description de la modification | de l'émission
02	2025-12-16	Version finale
01	2025-04-24	Version préliminaire

Portée et limitations

Le présent document doit être utilisé aux fins pour lesquelles il a été élaboré. Il est destiné au client pour qui il a été réalisé et celui-ci est libre de le partager à un tiers si telle est sa décision.

Le présent document a été réalisé avec les données recueillies sur le terrain et les informations disponibles sur les différents éléments étudiés en date du présent rapport. Les analyses techniques basées sur l'interprétation des divers articles de loi et des règlements en vigueur ne sont pas et ne doivent, en aucun temps, être considérées comme un avis juridique ou se substituer à un tel avis.

Les cartes portant le logo de Niigaan sont le résultat d'une compilation de l'information de bases de données publiques et des données d'inventaire récoltées sur le terrain. Elles n'ont pas été préparées par un arpenteur-géomètre et ne doivent pas être considérées comme telles Niigaan ne se tient pas responsable des conclusions erronées dues à la dissimulation volontaire ou à la non-disponibilité d'une information pertinente au moment de réaliser le mandat.

Les analyses développées au sein de ce document sont présentées à titre indicatif seulement et la décision finale concernant les différentes modalités d'intervention et les zones officielles de protection sont du ressort du ministère de l'Environnement et de la Lutte contre les changements climatiques, de la Faune et des Parcs du Québec (MELCCFP) et/ou des autres ministères et organismes gouvernementaux (provincial, fédéral) ou de la municipalité concernée.

Par conséquent, Niigaan ne saurait être tenu responsable des interventions entreprises sur le milieu avant l'obtention de toutes les autorisations nécessaires ni pour d'éventuels dommages subis par un tiers résultant d'une décision prise ou basée sur ce rapport. Niigaan n'a aucun lien avec le client ni aucun intérêt dans la propriété à l'étude. Niigaan s'assure de l'intégrité du travail réalisé en évitant toutes situations de conflit d'intérêts.

Référence à citer

Niigaan. 2025. État de référence du milieu aquatique pour le projet Shaakichiuwaanaan - Teneurs en métaux dans la chair des poissons. Rapport du projet 151022002. 23 pages + annexes.

Table des matières

1 Introduction 1
1.1 Contexte et objectifs 1
1.2 Zone d'inventaire 2
2 Méthodologie 4
2.1 Récolte des échantillons 4
2.2 Comparaisons statistiques 9
2.3 Procédures d'assurance et de contrôle de qualité 9
3 Résultats et discussion 10
3.1 Espèces de poissons inventoriées 11
3.2 Teneurs en métaux dans la chair de poissons 11
3.2.1 Grand brochet 12
3.2.2 Touladi 12
3.3 Comparaisons statistiques des teneurs en métaux lourds entre la zone de référence et la zone exposée 19
3.4 Procédure de contrôle de qualité 19
4 Discussion et conclusion 22
Références 23

Liste des cartes

Carte 1. Localisation du projet 3
Carte 2. Localisation des stations de pêche dans les lacs L01, L27 et L823 8

Liste des photos

Photo 1. Lac L01 5
Photo 2. Lac L27 5
Photo 3. Lac L823 6

Liste des tableaux

Tableau 1. Classes de longueur pour l'évaluation des taux de métaux lourds dans la chair des poissons 5

Tableau 2. Nombre de spécimens récoltés (et analysés) dans les différentes classes de longueurs appropriées pour l'étude des taux de métaux lourds dans la chair des poissons 10

Tableau 3. Espèces de poissons recensées dans les lacs L01, L27 et L823 11

Tableau 4. Teneurs en mercure (mg/kg) dans la chair des grands brochets et des touladis capturés dans les lacs L01, L27 et L823 13

Tableau 5. Teneurs en arsenic (mg/kg) dans la chair des grands brochets et des touladis capturés dans les lacs L01, L27 et L823 14

Tableau 6. Teneurs en plomb (mg/kg) dans la chair des grands brochets et des touladis capturés dans les lacs L01, L27 et L823 15

Tableau 7. Tests statistiques utilisés et valeurs de p obtenues pour comparer les teneurs en arsenic, en mercure et en plomb des grands brochets entre le lac de référence et les lacs qui seront impactés par le projet minier 19

Tableau 8. Résultats des analyses pour les échantillons prélevés en triplicata et coefficient de variation 20

Tableau 9. Teneurs moyennes provinciales de mercure dans la chair des grands brochets et des touladis 22

Liste des figures

Figure 1. Teneurs en mercure dans la chair des grands brochets en fonction de l'âge au lac L01 16

Figure 2. Teneurs en mercure dans la chair des touladis en fonction de l'âge au lac L01 16

Figure 3. Teneurs en mercure dans la chair des grands brochets en fonction de l'âge au lac L27 17

Figure 4. Teneurs en mercure dans la chair des touladis en fonction de l'âge au lac L27 17

Figure 5. Teneurs en mercure dans la chair des grands brochets en fonction de l'âge au lac L823 18

Liste des annexes

Annexe 1 Coordonnées des stations de pêche dans les lacs L01, L27 et L823 ..... A

Annexe 2 Données brutes des mesures morphométriques prises sur tous les poissons capturés dans les lacs L01, L27 et L823 ..... B

Annexe 3 Résultats et analyses statistiques descriptives sur les teneurs en métaux lourds dans la chair des poissons des lacs L01, L27 et L823 C

Annexe 4 Variation des teneurs en mercure en fonction de la longueur totale des grands brochets et/ou des touladis dans les lacs L01, L27 et L823 ..... D

Annexe 5 Résultats des comparaisons statistiques des teneurs en métaux lourds entre le lac de référence L823 et les lacs L01 et L27 ..... E

Annexe 6 Certificats d'analyse des taux de métaux dans la chair des poissons - CEAEQ ..... F

Annexe 7 Répertoire photographique ..... G

Liste des acronymes

CEAEQ	Centre d’expertise en analyse environnementale du Québec
MELCCFP	Ministère de l'Environnement et de la Lutte contre les changements climatiques, de la Faune et des Forêts et des Parcs
MRNF	Ministère des Ressources Naturelles et des Forêts
PMET	Ressources PMET Inc.

1 Introduction

1.1 Contexte et objectifs

Ressources PMET Inc. (PMET) planifie la construction et l'exploitation d'un gisement minier de lithium dans la région du lac de la Corvette, située dans le nord du Québec. L'extraction projetée de spodumène de la propriété Shaakichiuwaanaan est prévue dans un mode d'exploitation hybride (fosse à ciel ouvert et exploitation souterraine) dans la région Eeyou Istchee Baie-James, afin de produire un concentré minéral de spodumène. Pour répondre aux exigences environnementales provinciales et fédérales, il est nécessaire d'établir la base de référence de l'environnement naturel dans le secteur du projet minier. Pour ce faire, PMET a mandaté la firme Niigaan pour réaliser une étude de base dans le secteur du lac de la Corvette. Le présent document fait partie des études visant à décrire l'état de référence des milieux naturels et sociaux qui pourraient être influencés par le développement du projet Shaakichiuwaanaan. Ce rapport se concentre spécifiquement sur les taux des métaux présents dans la chair des poissons.

L'objectif principal de cette étude est d'établir les états de référence des taux de métaux lourds présents dans la chair des poissons capturés dans les lacs L27 et L01, tous deux situés dans la zone d'inventaire du lac de la Corvette, ainsi que dans le lac de référence L823 localisé au nord-ouest de la zone d'inventaire. Les états de référence établis dans cette étude pourront ensuite être utilisés pour détecter tout changement de qualité attribuable au projet minier lui-même ou aux facteurs naturels (hydrologie, climat, etc.). Plus précisément, l'étude vise à évaluer les teneurs de métaux dans la chair des poissons présents dans le milieu aquatique récepteur, dans la zone potentiellement influencée par les infrastructures et les activités minières, et dans la zone de référence en mettant l'emphase sur l'arsenic, le mercure et le plomb puisque qu'une directive a été émis par Santé Canada et/ou le MELCCFP en ce qui a trait à la commercialisation des produits de la pêche pour ces métaux. Le mandat comprend la production d'un rapport technique qui résume les informations recueillies et compare les concentrations analysées entre la zone potentiellement influencée par le projet minier et la zone de référence.

1.2 Zone d’inventaire

La zone d’inventaire est située dans la région administrative du Nord-du-Québec sur le territoire d'Eeyou Istchee Baie-James. Elle est située en territoire public, à environ 10 km au nord-est du lac de la Corvette et à environ 40 km au sud-ouest des installations hydroélectriques La Grande 4 (carte 1). De plus, elle couvre des terres de catégorie III du territoire régi par la Convention de la Baie-James et du Nord québécois et croise les terrains de trappage VC07 et M02A utilisés respectivement par les membres de la Première Nation crie de Chisasibi et de Mistissini.

Selon le cadre écologique de référence du Québec, la zone d’inventaire fait partie de la région naturelle des Buttons de l'Opinaca de la province naturelle des Collines de la Grande Rivière. Elle appartient également à la zone de végétation boréale, à la sous-zone de forêt boréale continue et au domaine bioclimatique de la pessière à lichen.

La zone d’inventaire est divisée en deux bassins versants principaux présentés sur la carte 2. Le premier bassin versant, au sud, est celui du lac de la Corvette. Le deuxième, au nord, est le bassin versant La Grande qui inclut La Grande Sud et La Grande Nord. À l’intérieur de ces deux bassins versants, des secteurs ont été identifiés afin de structurer la présentation des résultats et d’assurer une bonne compréhension du système hydrographique présent. Ces secteurs correspondent approximativement aux bassins versants de niveau 2. Le secteur L01, comprend le lac L01 et ses affluents. Le secteur La Grande A est situé pratiquement au centre de la zone d’inventaire et au nord du lac L01. Il inclut les plans d’eau et cours d’eau qui se jettent ultimement dans le lac L27 par le biais du CE15 et inclut également l'exutoire du lac L01. Le secteur La Grande B est plus au nord et complètement indépendant de l'exutoire du lac L01. Il inclut les plans d’eau et cours d’eau qui se jettent dans le lac L27 par le biais du CE300. Le secteur La Grande C est situé au nord de la zone d’inventaire. Finalement, le secteur nommé de la Corvette, englobe les cours d'eau et les plans d'eau situés dans le bassin versant de la Corvette qui s’écoule vers le lac du même nom.

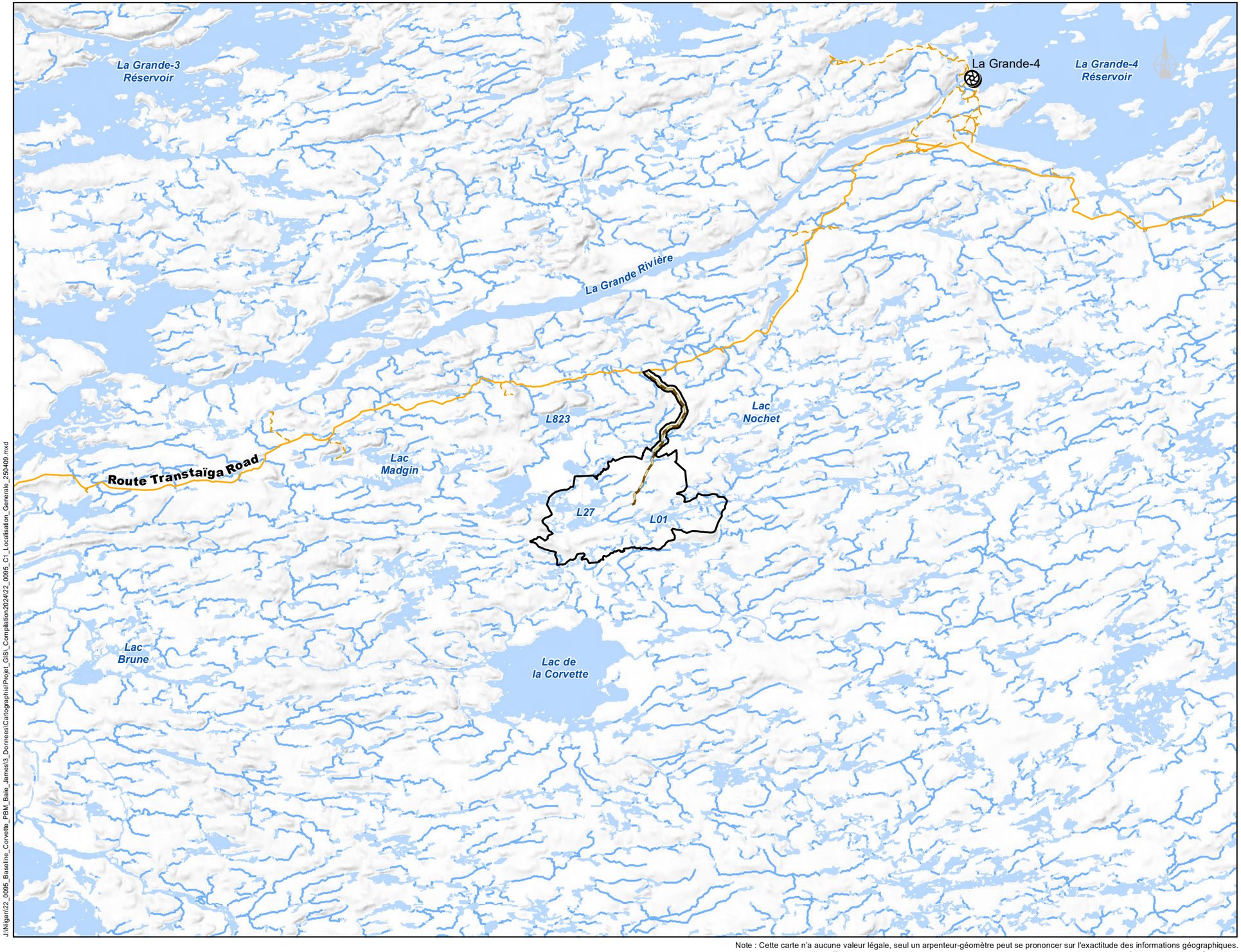

Carte 1 - Map 1

Localisation du projet

Project location

Zone d'inventaire / Inventory area

Hydrographie / Hydrography

Cours d'eau / Watercourse

Lac / Lake

Infrastructure

Centrale hydroélectrique / Generating station

Réseau routier / Road network

Route / Road

Chemin d'accès existant / Existing access path

Source des données :
BDTA 1:250 000, MERN Québec, 2021
Découpage administratif, SDA (20K), MRNF Québec, 2024
Réseau routier, Adresse Québec, 2024-02
Basemap, ESRI

1:350 000

0 3 500 7 000 m

NAD 1983 CSRS MTM 8

Projet Shaakichiuwaanaan /
Shaakichiuwaanaan Project

Niigaan
Projet / Project: 22-0095 / 151022002

2025-12-08
Approuvé par / Approved by :
Pierre-Olivier Côté

Note : Cette carte n'a aucune valeur légale, seul un arpenteur-géomètre peut se prononcer sur l'exactitude des informations géographiques.
Note: This map has no legal value, only a land surveyor can comment on the accuracy of the geographical information.

J:\Niigaan\22_0095_Baseline_Corvette_PBM_Baie_James\3_Donnees\Cartographie\Projet_GIS_Compilation\20241122_0095_C1_Localisation_Generale_250409.mxd

2 Méthodologie

2.1 Récolte des échantillons

Les pêches effectuées pour récolter des spécimens de poissons ont eu lieu entre le 31 juillet et le 9 août 2024 ainsi que du 9 au 16 juillet 2025. Les trois plans d'eau choisis pour l'étude sont les lacs L01, L27 et L823 (photos 1, 2 et 3). Le lac L01 est le plan d'eau qui est le plus susceptible d'être affecté par le développement minier projeté. En effet, la fosse minière principale pourrait être située directement dans le secteur ouest du lac. Le lac L27, un des lacs d'envergure où les utilisateurs du territoire pratiquent la pêche, est le lac qui recevra l'effluent minier principal, via le cours d'eau CE11. Finalement, le lac L823, le lac de référence, est situé au nord-ouest des autres lacs étudiés, dans le bassin versant de La Grande Nord, en dehors de la zone d'inventaire. Ce lac a été choisi car il ne sera pas impacté par le projet minier.

Deux types de filets maillants expérimentaux été utilisés pour la capture des poissons, soit des filets recommandés par le MRNF pour la capture du doré jaune et du touladi qui permettent la capture de grands spécimens et des filets recommandés par le MRFP pour la capture de l'omble de fontaine, qui étant composés de plus petites mailles, favorisent la capture de plus petits spécimens (MRNF, 2011). Les filets maillants expérimentaux normalisés pour la capture du doré jaune et du touladi présentent une longueur de 60,8 m (8 panneaux de 7,6 m), une hauteur de 1,8 m et des mailles étirées allant de 25 à 152 mm (1 à 6 po). Les filets maillants expérimentaux normalisés pour la capture de l'omble de fontaine mesurent 22,8 m de long (6 panneaux de 3,8 m) et 1,8 m de haut et comportent des mailles étirées 25 à 76 mm (1 à 3 po).

L'effort de pêche aux filets maillants dans les lacs L01, L27 et L823 est respectivement de 18, 15 et de 21 nuits-filet. De la pêche à la ligne a également été utilisée pour capturer des poissons dans deux des trois plans d'eau étudiés. L'effort de pêche à la ligne est d'environ 52 minutes dans le lac L01 et environ 1 heure dans le lac L27[1].La localisation des stations de pêche dans chacun des lacs apparaît à la carte 2. Les coordonnées géographiques des stations de pêche apparaissent à l'annexe 1 alors que les données brutes des mesures morphométriques prises sur tous les poissons capturés apparaissent à l'annexe 2.

Les lacs L01 et L27 ont d'abord été pêchés à l'été 2024. À ce moment-là, deux espèces de poissons présents dans chacun des deux lacs étudiés étaient ciblées pour l'évaluation des taux de métaux lourds dans la chair. Il s'agissait du grand brochet (*Esox lucius*) et du touladi (*Salvelinus namaycush*). Toutefois, aux termes des premières pêches, les captures de touladi ne se sont pas

[1] L'effort de pêche à la ligne dans les lacs L01 et L27 n'a pas été établi en 2024 donc l'effort de pêche cité correspond à celui appliqué en 2025 seulement.

avérées aussi abondantes et diversifiées en taille que celles des grands brochets. C'est pourquoi en 2025, lorsque le lac de référence a été pêché et que des pêches supplémentaires ont été réalisées dans les lacs L01 et L27 pour capturer de grands spécimens, seul le grand brochet a été conservé comme espèce cible.

La taille d'échantillons visée par espèce et par lac était de 30 spécimens à raison de 10 spécimens par classe de taille. En effet, le protocole d'échantillonnage pour le suivi des substances toxiques dans la chair de poissons de pêche sportive en eau douce du MELCCFP (2022) préconise la répartition des 30 spécimens dans trois classes de longueur, soit les petits, moyens et gros poissons (tableau 1).

Tableau 1. Classes de longueur pour l'évaluation des taux de métaux lourds dans la chair des poissons

Espèce	Classes de longueur totale (mm)			
	Petit	Moyen	Gros	Hors classe
Grand brochet	400 – 550 mm	550 – 700 mm	≥ 700 mm	< 400 mm
Touladi	450 – 550 mm	550 – 700 mm	≥ 700 mm	< 450 mm
Nombre de spécimens visé	10	10	10	-

Photo 1. Lac L01

Photo 2. Lac L27

Photo 3. Lac L823

Tous les poissons capturés ont été dénombrés et identifiés à l'espèce. Les poissons ont été rapportés au laboratoire de terrain pour la prise de mesures morphométriques. Les mesures prises sur les poissons sont la longueur (± 1 mm), le poids (± 0,1 g), le sexe et la maturité sexuelle.

Sur les spécimens choisis pour le dosage des métaux dans la chair des poissons, des structures osseuses ont aussi été récoltées chez les poissons afin d'en déterminer l'âge. Les otolithes ont été récoltés chez le touladi alors que le cleithrum et des écailles ont été récoltés chez les spécimens de grand brochet. Les lectures d'âge ont été effectués par un technicien d'expérience de WSP, M. Dominic Cuerrier, et l'âge de chaque individu est précisé à l'annexe 2.

Pour chaque spécimen conservé, un échantillon de chair (sans la peau) d'au moins 25 g a été récolté sous la nageoire dorsale. Entre chaque prélèvement de chair, les mains du manipulateur ainsi que le couteau et la surface de travail étaient nettoyés à l'aide d'un savon biodégradable non parfumé puis rincés avec de l'eau afin d'éviter la contamination croisée des échantillons. Les échantillons ont été enveloppés individuellement dans des sacs stériles de type *Whirlpacks* bien identifiés avec les lettres uniques, puis ils ont été congelés et conservés jusqu'à leur envoi au laboratoire d'analyse. Les concentrations de métaux dosés apparaissent à l'annexe 3.

Les échantillons ont été analysés par le Centre d'expertise en analyse environnementale du Québec (CEAEQ). L'objectif principal était de doser le mercure puisqu'il s'agit d'une préoccupation pour les pêcheurs, mais aussi l'arsenic et le plomb puisque des directives ont été émises par Santé Canada en ce qui concerne la mise en marché des produits de la pêche pour ces métaux. Dans le but de brosser un portrait plus complet de la présence des métaux dans la chair, 35 autres métaux ont également été analysés. Il s'agit des métaux suivants : aluminium, arsenic, baryum, cadmium, cérium, chrome, cobalt, cuivre, dysprosium, erbium, europium, fer, gadolinium, holmium, lanthane, lithium, lutécium, manganèse, mercure, molybdène, néodyme, nickel, niobium, plomb, praséodyme, samarium, scandium, sélénium, strontium, terbium, thallium, thorium, thulium, uranium, vanadium, ytterbium, yttrium et zinc. Les certificats d'analyse sont présentés à l'annexe 6.

Un répertoire photographique des activités réalisées sur le terrain et en laboratoire est disponible à l’annexe 7.

Map 2 - Carte 2

Étude des teneurs en métaux dans la chair des poissons - Study of metal content in fish chair

Route Transtaïga Road

L752

L823

L27

L01

Bassin versant la Grande nord

Bassin versant la Grande sud

Bassin versant Lac de la Corvette

FX628 FX627 FX617 FX633 FX632 FX630 FX615 FX616 FX629 FX631 FX625 FX626 FX613 FX624 FX614 FX623 FX622 FX618 FX620 FX621 FX619

FX555 FX554 FX556 FX640 LP515 FX561 LP502 LP503 FX562 FX565 FX552 FX553 FX560 LP513 LP518 FX551 FX643 LP516 LP514 FX550 FX641 LP517 FX642 FX644 FX645 FX646 FX647

FX580 FX575 FX567 FX578 LP504 FX570 FX585 FX586 FX579 FX573 FX574 FX569 FX571 FX577 FX568

0 750 1 500 m

1:75 000

NAD 1983 CSRS MTM 8

Source des données :
Réseau routier / Road network, Adresse Québec, 2023-02
MELCC Québec, 2018 (modifiés / modified)
Données de projet / Project datas, Niigaan, WSP, 2022-2024-2025

Note : Cette carte n'a aucune valeur légale, seul un arpenteur-géomètre peut se prononcer sur l'exactitude des informations géographiques.
Note: This map has no legal value, only a land surveyor can comment on the accuracy of the geographical information.

J:\Niigaan\22_0095_Baseline_Corvette_PBM_Baie_James\3_Donnees\Cartographie\Projet_GIS_Compilation2024\07_Habitat_poisson\Peche_Metaux\22_0095_C2_Localisation_PecheMetaux_251120.mxd

Zone d'inventaire / Inventory area

Station de pêche / Fishing station
- Filet Maillant / Gill net
- Ligne à pêche / Fishing line

Hydrographie / Hydrography
- Cours d'eau / Watercourse
- Lac / Lake
- Sens d'écoulement / Flow direction

Bassin versant et sous bassin versant / Watershed and sub-watershed
- Lac de la Corvette
- La Grande nord et sud

Secteur / Sector
- Lac de la Corvette
- Lac/Lake L01
- La Grande A
- La Grande B
- Lac/Lake L27
- La Grande C
- Chemin / Road

Réseau routier / Road network
- Route / Road
- Chemin d'accès existant / Existing access path

Projet Shaakichiuwaanaan / Shaakichiuwaanaan Project

Étude des taux de métaux lourds dans la chair des poissons
Study on heavy metals levels in fish flesh

Niigaan
Projet / Project: 22-0095 / 151022002

2025-12-08

Approuvé par / Approved by :
Nadine Marois

2.2 Comparaisons statistiques

Les concentrations moyennes des différents métaux analysés dans la chair des poissons ont été comparées entre les lacs exposés et le lac témoin (L823 vs L01 et L823 vs L27) à l'aide d'une analyse de variance (ANOVA). Les conditions d'application de l'ANOVA ont été vérifiées à l'aide du test de Levene (homogénéité des variances) et de Kolmogorov-Smirnov (normalité des distributions). Dans le cas du non-respect de la condition d'égalité des variances, le test de T pour variances séparées de Games-Howell a été utilisé. Dans le cas du non-respect de la normalité des distributions, le test non paramétrique de Kruskal-Wallis a été utilisé (avec ou sans le respect de la condition d'égalité des variances). Les analyses statistiques ont été réalisées avec le logiciel Systat (version 13.0).

2.3 Procédures d'assurance et de contrôle de qualité

Pour chacun des plans d'eau, deux à quatre échantillons de chair ont été prélevés en triplicata. Le but de cette procédure de contrôle de qualité était de voir la variabilité des résultats obtenus du laboratoire d'analyse.

Spécifiquement pour le mercure, le coefficient de variation a également été calculé puisque c'est la méthode de contrôle qualité généralement employée dans le contexte des études du suivi du mercure réalisées par Hydro-Québec selon le protocole décrit dans Tremblay et *coll.,* 1996.

Le coefficient de variation (CV) est calculé selon l'équation suivante :

$$CV = \text{écart-type} / \text{moyenne} \times 100$$

Un coefficient de variation de 10 % ou moins est considéré acceptable (Tremblay et *coll.,* 1996). Lorsque le coefficient de variation est plus élevé que 10 %, une reprise d'analyse des échantillons concernés doit être effectuée.

3 Résultats et discussion

Lors des activités au terrain, les spécimens retenus pour l'étude des taux de métaux lourds dans la chair des poissons ont été, dans la mesure du possible, répartis parmi les trois classes de longueur spécifiques à chaque espèce. Le tableau 2 présente le nombre de spécimens retenus pour chaque classe de longueur.

Au lac L01, un seul grand brochet et aucun touladi de catégorie « gros » n'a été récolté malgré l'effort déployé. Les 10 spécimens prévus pour cette gamme de taille ont donc été répartis, autant que possible, entre les individus « petit » et « moyen ». Toutefois, seulement 17 touladis, majoritairement des spécimens de la catégorie « petit » ont été capturés. Dans le lac L27, les captures de grands brochets ont bien été réparties entre les trois classes de taille. Cependant, seulement 10 touladis, majoritairement de taille moyenne, ont été capturés.

Le lac L823 a été pêché exclusivement en 2025 contrairement aux lacs L01 et L27 qui ont été pêchés en 2024 et en 2025. Compte tenu des pauvres captures de touladi et l'absence de grands spécimens dans les deux premiers lacs pêchés, il a été convenu d'abandonner le touladi comme espèce cible lorsque le lac L823 a été échantillonné. Ainsi, bien que 17 touladis ont été capturés dans le lac L823 en juillet 2025, ils ont tous été remis à l'eau. En ce qui a trait aux grands brochets, puisque seulement 5 spécimens de la classe « petit » ont été capturés et qu'il y avait suffisamment de moyens et de gros spécimens pour atteindre 30 individus, la moitié des analyses a été réalisés sur les spécimens « moyens » et l'autre moitié sur les spécimens « gros ». Ainsi, la taille d'échantillon visée a été atteinte pour le grand brochet dans les trois plans d'eau étudiés, mais pas pour le touladi qui a finalement été abandonné comme espèce cible.

Tableau 2. Nombre de spécimens récoltés (et analysés) dans les différentes classes de longueurs appropriées pour l'étude des taux de métaux lourds dans la chair des poissons

Lac	Espèce	Petit	Moyen	Gros	Hors classe	Total
L01	Grand brochet	11 (10)	36 (23)	1 (1)	2 (0)	50 (34)
	Touladi	12 (12)	2 (2)	0 (0)	3 (2)	17 (16)
L27	Grand brochet	11 (10)	21 (15)	9 (9)	3 (0)	44 (34)
	Touladi	3 (1)	7 (6)	0 (0)	0 (0)	10 (7)
L823	Grand brochet	5 (0)	29 (15)	18 (15)	2 (0)	54 (30)

3.1 Espèces de poissons inventoriées

Neuf espèces de poissons ont été inventoriées dans les plans d'eau étudiés, soit le grand brochet, le grand corégone (*Coregonus clupeaformis*), la lotte (*Lota lota*), l'omble de fontaine (*Salvelinus fontinalis*), le meunier noir (*Catostomus commersoni*), le meunier rouge (*Catostomus catostomus*), le mulet de lac (*Couesius plumbeus*), le mulet perlé (*Margariscus margarita*) et le touladi. Le détail des espèces recensées dans chaque lac apparaît au tableau 3. La localisation des stations de pêche ayant permis la capture des poissons apparaît à la carte 2.

Tableau 3. Espèces de poissons recensées dans les lacs L01, L27 et L823

Plans d'eau	Espèces recensées	Nombre total d'espèces
L01	Grand brochet, grand corégone, lotte, meunier noir, meunier rouge, mulet perlé et le touladi	**7**
L27	Grand brochet, grand corégone, omble de fontaine, meunier noir, meunier rouge, mulet de lac, mulet perlé et le touladi	**8**
L823	Grand brochet, grand corégone, lotte, meunier noir, meunier rouge, mulet de lac, mulet perlé et le touladi	**8**

3.2 Teneurs en métaux dans la chair de poissons

Pour les résultats d'analyses se situant sous la limite de détection, la moitié de cette limite a été utilisée pour le calcul des teneurs moyennes. Les tableaux 4 à 6 présentent les teneurs minimales, maximales, médianes et moyennes du mercure, de l'arsenic et du plomb dosés dans la chair des poissons des trois plans d'eau à l'étude. Mis à part le mercure, l'arsenic et le plomb, aucune directive n'a été émise par Santé Canada ou le MELCCFP en ce qui concerne les autres métaux dosés dans la chair des poissons. Les statistiques descriptives pour les 35 autres métaux analysés dans la chair des grands brochets et des touladis des lacs L01, L27 et L823 sont présentées à l'annexe 3. Les figures 1 à 4 présentent la variation des teneurs en mercure en fonction de l'âge des poissons, et ce, pour les deux espèces étudiées dans chacun des lacs exposés. La variation des teneurs en mercure en fonction de la longueur totale des poissons pour les grands brochets et/ou les touladis provenant des lacs L01, L27 et L823 est illustrée à l'annexe 4.

3.2.1 Grand brochet

Les moyennes des teneurs en mercure dosées dans les petits spécimens de grand brochet des lacs L01 et L27, soit 0,220 et 0,229 mg/kg respectivement, sont inférieures à la directive de 0,5 mg/kg de Santé Canada (2025) pour la mise en marché des produits de la pêche et au critère de qualité de 0,3 mg/kg du MELCCFP (2025) établi pour la chair des organismes aquatiques afin de prévenir sa contamination pour la consommation humaine (tableau 4). Rappelons qu'aucun petit spécimen de grand brochet provenant du lac de référence L823 n'a été analysé.

Les moyennes des concentrations analysées dans les moyens (0,513 mg/kg dans le lac L01 et 0,605 mg/kg dans le lac L27) et grands (0,610 mg/kg dans le lac L01 et 0,898 mg/kg dans le lac L27) spécimens de ces deux lacs sont toutefois supérieures à la directive de Santé Canada de même qu'au critère de qualité du MELCCFP (tableau 4). De plus, la moyenne en mercure des grands brochets est plus élevée dans le lac L27 que dans le lac L01, autant pour les moyens que les grands spécimens. En contrepartie, la moyenne des teneurs en mercure analysées dans les moyens spécimens du lac de référence L823, soit 0,301 mg/kg, est inférieure à 0,5 mg/kg et dépasse légèrement 0,3 mg/kg. Seules les teneurs moyennes en mercure contenues dans les grands spécimens du lac de référence, soit 0,580 mg/kg, excédent à la fois la directive de Santé Canada et le critère de qualité du MELCCFP.

Les teneurs en arsenic et en plomb mesurées dans la chair des grands brochets provenant des trois lacs étudiés sont toutes très faibles et bien en deçà des directives respectives de 3,5 mg/kg et 0,5 mg/kg de Santé Canada pour la commercialisation des produits de la pêche (tableaux 5 et 6).

Les régressions âge - teneurs en mercure des individus capturés dans les lacs L27 et L823 démontrent bien qu'il y a augmentation de la concentration en mercure dans la chair du grand brochet en fonction de l'âge (figures 3 et 5). Pour le lac L01, le R^2 de la courbe de tendance est plus faible que celui des deux autres lacs mais tout de même positif ce qui signifie qu'il y a bien une relation entre les deux variables.

3.2.2 Touladi

Pour les lacs L01 et L27, les teneurs en mercure obtenues dans les échantillons de chair des touladis étaient généralement supérieures à la directive de 0,5 mg/kg de Santé Canada pour la commercialisation des produits de la pêche et au critère de qualité de 0,3 mg/kg du MELCCFP établi pour la chair des organismes aquatiques afin de prévenir sa contamination pour la consommation humaine (tableau 4). Seulement les spécimens de petite taille (moins de 450 mm dans le lac L01 et moins de 550 mm dans le lac L27) respectaient le critère de Santé Canada et ne dépassaient pas le critère de qualité du MELCCFP (0,300 mg/kg pour le lac L01 et 0,160 mg/kg pour le lac L27).

Les teneurs en arsenic et en plomb mesurées dans la chair des touladis capturés dans les lacs L01 et L27 sont toutes très faibles et bien en deçà des directives respectives de 3,5 mg/kg et 0,5 mg/kg de Santé Canada pour la commercialisation des produits de la pêche (tableaux 5 et 6).

La régression linéaire âge - teneurs en mercure des touladis capturés dans le lac L01 confirme que la concentration en mercure dans la chair du touladi augmente avec l'âge (figure 2). Le R^2 de la courbe de tendance des touladis récoltés dans le lac L27 est plus faible que celui du lac L01 mais tout de même positif ce qui signifie qu'il existe bien une relation entre les deux variables (figure 4).

Tableau 4. Teneurs en mercure (mg/kg) dans la chair des grands brochets et des touladis capturés dans les lacs L01, L27 et L823

Lac	Espèce	Classes de taille	Nombre	Minimum	Maximum	Médiane	Moyenne	Écart-type
L01	Grand brochet	400 - 550	10	0,14	0,38	0,200	0,220	0,077
		550 - 700	23	0,20	1,13	0,480	**0,513**	0,247
		≥ 700	1	0,61	0,61	0,610	**0,610**	NA
	Touladi	< 450	2	0,20	0,40	0,300	0,300	0,141
		450 - 550	12	0,22	0,77	0,615	**0,554**	0,168
		550 - 700	2	0,47	0,54	0,505	**0,505**	0,049
L27	Grand brochet	400 - 550	10	0,18	0,33	0,215	0,229	0,049
		550 - 700	15	0,18	1,10	0,450	**0,605**	0,324
		≥ 700	9	0,53	1,40	1,000	**0,898**	0,302
	Touladi	450 - 550	1	0,16	0,16	0,160	0,160	NA
		550 - 700	6	0,37	0,87	0,680	**0,622**	0,207
L823	Grand brochet	550 - 700	15	0,16	0,88	0,260	0,301	0,182
		≥ 700	15	0,26	0,92	0,500	**0,580**	0,213

Note : Lorsque la moyenne dépasse, donc est supérieure au critère de 0,5 mg/kg de chair de Santé Canada pour la commercialisation des produits de la pêche, la valeur est en caractère gras. Les moyennes soulignées indiquent un dépassement du critère de qualité de 0,3 mg/kg du MELCCFP établi pour la chair des organismes aquatiques afin de prévenir sa contamination pour la consommation humaine.
NA= non applicable

Tableau 5. Teneurs en arsenic (mg/kg) dans la chair des grands brochets et des touladis capturés dans les lacs L01, L27 et L823

Lac	Espèce	Classes de taille	Nombre	Minimum	Maximum	Médiane	Moyenne	Écart-type
L01	Grand brochet	400 - 550	10	0,018	0,057	0,0230	0,0288	0,0121
		550 - 700	23	0,014	0,400	0,0280	0,0586	0,0998
		≥ 700	1	0,028	0,028	0,0280	0,0280	NA
	Touladi	< 450	2	0,010	0,021	0,1100	0,1100	0,1410
		450 - 550	12	0,002	0,013	0,0070	0,0077	0,0030
		550 - 700	2	0,007	0,018	0,0126	0,0126	0,0076
L27	Grand brochet	400 - 550	10	0,014	0,037	0,0200	0,0208	0,0067
		550 - 700	15	0,018	0,045	0,2060	0,0272	0,0081
		≥ 700	9	0,025	0,047	0,0320	0,0350	0,0075
	Touladi	450 - 550	1	0,012	0,012	0,0120	0,0120	NA
		550 - 700	6	0,002	0,013	0,0078	0,0074	0,0037
L823	Grand brochet	550 - 700	15	0,013	0,022	0,0150	0,0162	0,0033
		≥ 700	15	0,014	0,030	0,0190	0,0202	0,0045

Note : NA= non applicable

Tableau 6. Teneurs en plomb (mg/kg) dans la chair des grands brochets et des touladis capturés dans les lacs L01, L27 et L823

Lac	Espèce	Classes de taille	Nombre	Minimum	Maximum	Médiane	Moyenne	Écart-type
L01	Grand brochet	400 - 550	10	0,0002	0,0065	0,00036	0,00107	0,00193
		550 - 700	23	0,0002	0,0130	0,00060	0,00143	0,00278
		≥ 700	1	0,0002	0,0002	0,00020	0,00020	NA
	Touladi	< 450	2	0,0005	0,0040	0,00225	0,00225	0,00247
		450 - 550	12	0,0002	0,0013	0,00065	0,00066	0,00035
		550 - 700	2	0,0059	0,0072	0,00655	0,00655	0,00092
L27	Grand brochet	400 - 550	10	0,0002	0,0056	0,00075	0,00129	0,00158
		550 - 700	15	0,0002	0,0087	0,00100	0,00187	0,00248
		≥ 700	9	0,0002	0,0220	0,00150	0,00388	0,00694
	Touladi	450 - 550	1	0,0020	0,0020	0,00200	0,00200	NA
		550 - 700	6	0,0006	0,0023	0,00115	0,00133	0,00068
L823	Grand brochet	550 - 700	15	0,0002	0,0020	0,00022	0,00062	0,00053
		≥ 700	15	0,0002	0,0020	0,00070	0,00066	0,00052

Note : NA= non applicable

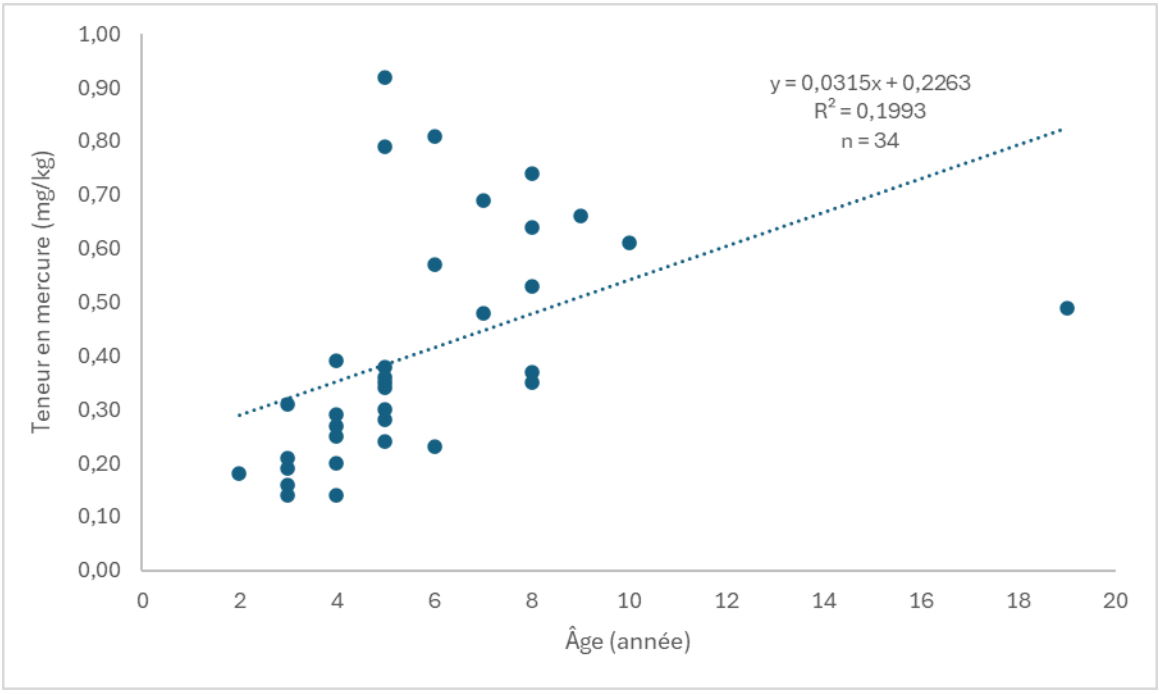

Figure 1. Teneurs en mercure dans la chair des grands brochets en fonction de l'âge au lac L01

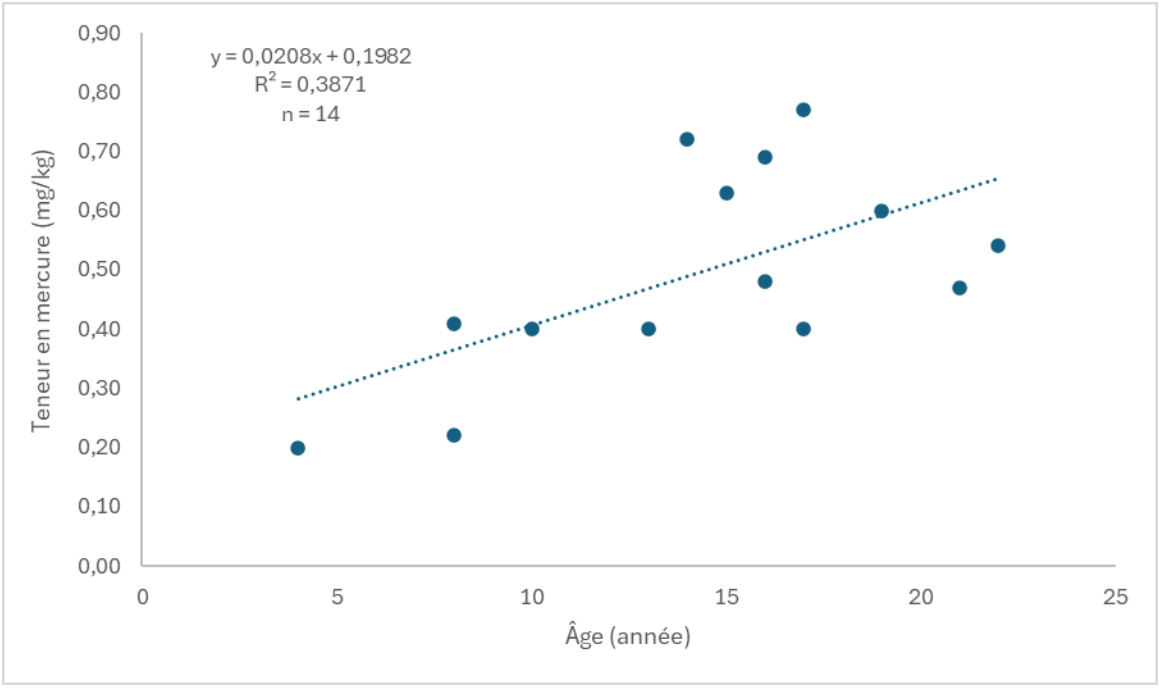

Figure 2. Teneurs en mercure dans la chair des touladis en fonction de l'âge au lac L01

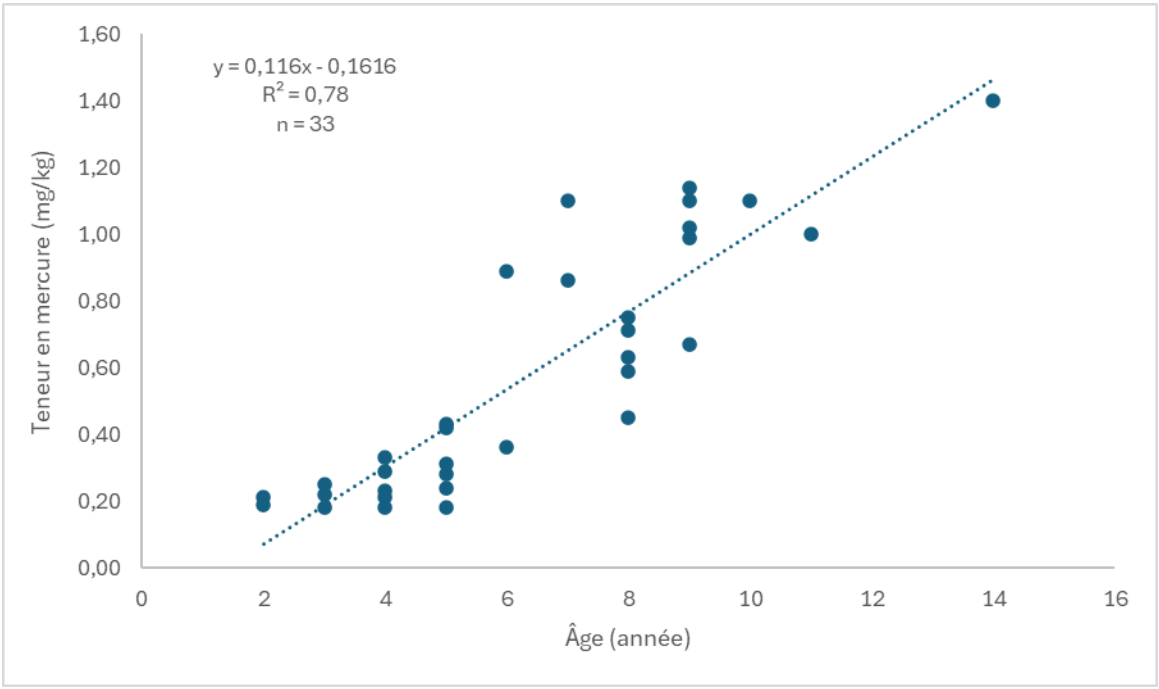

Figure 3. Teneurs en mercure dans la chair des grands brochets en fonction de l'âge au lac L27

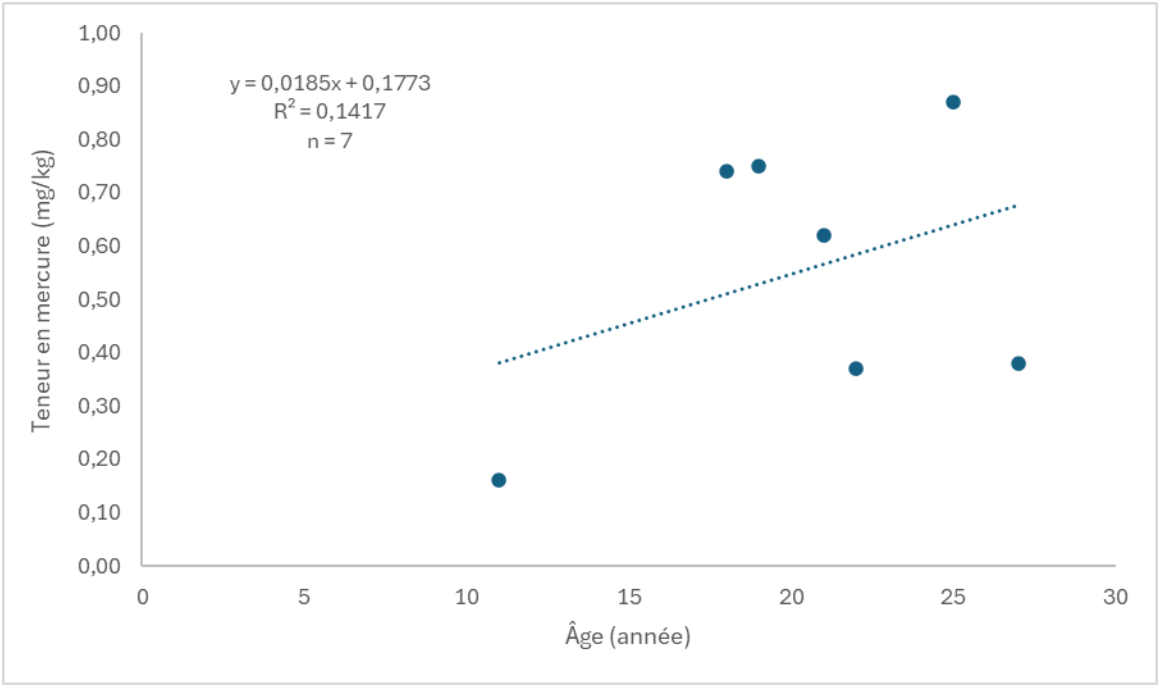

Figure 4. Teneurs en mercure dans la chair des touladis en fonction de l'âge au lac L27

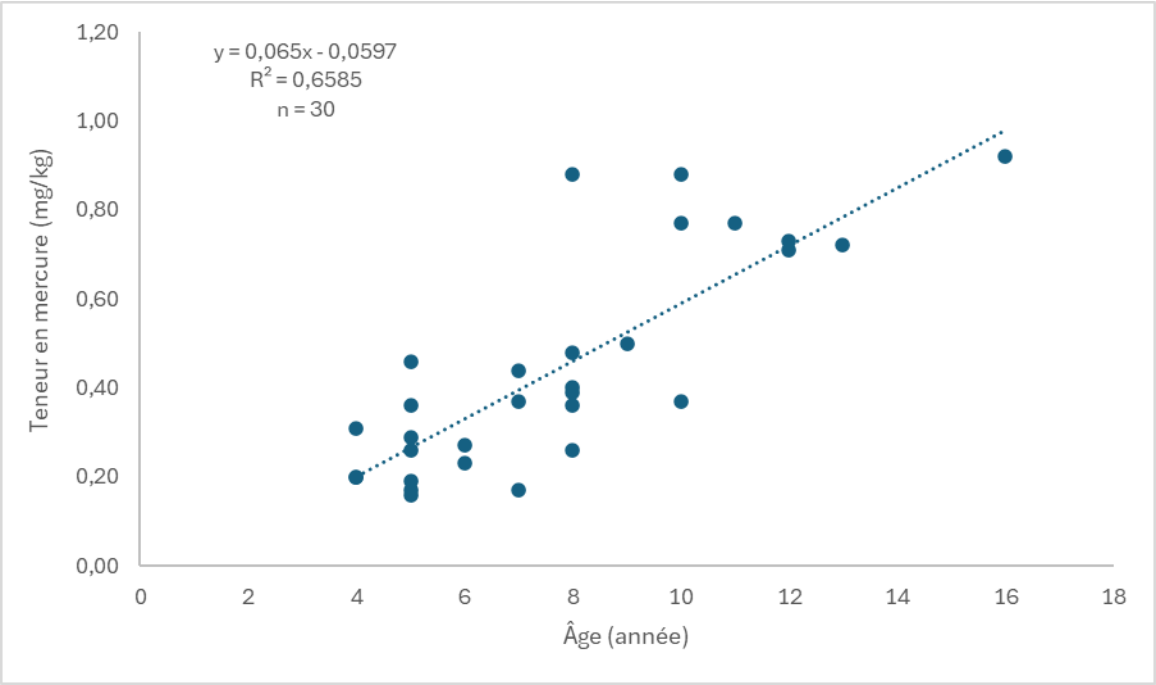

Figure 5. Teneurs en mercure dans la chair des grands brochets en fonction de l'âge au lac L823

3.3 Comparaisons statistiques des teneurs en métaux lourds entre la zone de référence et la zone exposée

Étant donné que les lacs L01 et L27 seront tous les deux impactés par le projet minier, un lac de référence situé en aval hydraulique de l'effluent minier mais suffisamment éloigné du point de rejet potentiel et hors de la trajectoire des vents dominants du site a été pêché à l'été 2025. Ainsi, les teneurs en mercure, en arsenic et en plomb des grands brochets, toutes classes de taille confondues, ont été comparées entre le lac de référence et chacun des lacs qui sera impacté pour valider s'il y a des différences significatives entre les teneurs initiales des deux milieux. Les résultats de ces analyses sont présentés dans le tableau 7. Le même exercice a été réalisé pour les 35 autres métaux et les résultats peuvent être consultés à l'annexe 5.

Tableau 7. Tests statistiques utilisés et valeurs de p obtenues pour comparer les teneurs en arsenic, en mercure et en plomb des grands brochets entre le lac de référence et les lacs qui seront impactés par le projet minier

Lacs comparés	Paramètre	Égalité des variances	Normalité de la distribution	Valeur p de l'ANOVA	Valeur p du test non paramétrique de Kruskal-Wallis	Différence significative (oui ou non)
L823 vs L01	Arsenic	non	non	-	< 0,001	oui
L823 vs L27	Arsenic	non	non	-	< 0,001	oui
L823 vs L01	Mercure	oui	non	-	0,586	non
L823 vs L27	Mercure	non	non	-	0,255	non
L823 vs L01	Plomb	non	non	-	0,966	non
L823 vs L27	Plomb	non	non	-	0,010	oui

Les résultats des tests statistiques indiquent qu'il y a des différences significatives entre les teneurs en arsenic du lac de référence et des lacs L01 et L027 ($p < 0,05$). Les teneurs en plomb du lac de référence et du lac L027 diffèrent également significativement. Toutefois, celles du lac L01 ne présentent pas de différence significative avec le lac de référence. Les concentrations en mercure des grands brochets ne présentent pas de différence significative entre les lacs L01 et L27 et le lac de référence.

3.4 Procédure de contrôle de qualité

Les résultats des analyses réalisées en triplicata aux lacs L01, L27 et L823 sont présentés au tableau 8.

Les analyses des échantillons 4, 88, 183 et 305 ont montré un faible pourcentage de variation entre les différentes mesures réalisées en duplicata et en triplicata (< 10 %, tableau 8). Cependant, le coefficient de variation calculé pour les échantillons 16, 36, 105, 123, 145 et 178 est relativement élevé (> 10 %). Comme suggéré dans Tremblay et coll. (1996), une reprise d'analyse a été effectuée pour ces échantillons, ce qui a contribué à diminuer les coefficients de variation. Le coefficient de variation moyen pour l'ensemble des résultats est de 6,32 %, ce qui est satisfaisant. Par ailleurs, les diagrammes de dispersion mettant en relation les longueurs totales et les teneurs de mercure des échantillons ont également permis d'identifier certaines valeurs aberrantes. Les échantillons dont la teneur en mercure était jugée suspecte[2] ont également fait l'objet de reprises par le CEAEQ. Les résultats présentés dans ce rapport incluent les résultats des reprises d'analyse.

Tableau 8. Résultats des analyses pour les échantillons prélevés en triplicata et coefficient de variation

Lac	Espèce	No spécimen	Teneur de mercure (mg/kg)	Coefficient de variation (%)
L01	Grand brochet	123	0,37	8,11
		Triplicata 1	0,41	
		Triplicata 2	0,35	
	Touladi	145	0,60	12,37
		Triplicata 1	0,47	
		Triplicata 2	0,52	
L27	Grand brochet	4	0,71	3,83
		Triplicata 1	0,70	
		Triplicata 2	0,66	
		16	0,63	9,66
		Triplicata 1	0,65	
		Triplicata 2	0,54	
		36	0,89	2,25
		Triplicata 1	0,87	
		Triplicata 2	0,91	

[2] C'est-à-dire les points éloignés des courbes de tendance dans les graphiques mettant en relation la longueur et les teneurs en mercure.

Lac	Espèce	No spécimen	Teneur de mercure (mg/kg)	Coefficient de variation (%)
	Touladi	105	0,16	6,25
		Triplicata 1	0,15	
		Triplicata 2	0,17	
L823	Grand brochet	88	0,36	1,62
		Triplicata 1	0,35	
		Triplicata 2	0,36	
		178	0,27	6,66
		Triplicata 1	0,27	
		Triplicata 2	0,24	
		183	0,71	6,15
		Triplicata 1	0,69	
		Triplicata 2	0,63	
		305	0,26	6,28
		Triplicata 1	0,23	
		Triplicata 2	0,24	

4 Discussion et conclusion

Les concentrations en mercure observées dans la chair des grands brochets et des touladis de la zone d'inventaire et du lac de référence en 2024 et 2025 sont comparables aux moyennes provinciales rapportées dans Laliberté (2004) et Laliberté et Tremblay (2002). En effet, dans les lacs naturels du Bouclier canadien, les concentrations en mercure sont presque systématiquement supérieures aux normes en vigueur, peu importe la classe de taille (tableau 9).

Tableau 9. Teneurs moyennes provinciales de mercure dans la chair des grands brochets et des touladis

Espèce	Moyenne provinciale (mg/kg) en mercure[1]		
	Petit	Moyen	Grand
Grand brochet	0,40	0,64	1,08
Touladi	0,48	0,75	1,24

[1] Selon Laliberté (2004)

Puisque le nombre de spécimens analysés en 2024 était faible pour certaines classes de taille, d'autres pêches ont eu lieu dans les lacs L01 et L27 à l'été 2025 afin d'atteindre l'objectif d'analyser 30 spécimens. Ainsi, les teneurs moyennes en métaux par classe de taille présentées à l'état de référence sont plus représentatives de la population de grand brochet et de touladi abritant ces plans d'eau. Un lac de référence a également été échantillonné à l'été 2025.

Les résultats indiquent que les teneurs moyennes en mercure des grands spécimens, autant pour les lacs exposés que pour le lac de référence, dépassent les critères de Santé Canada et du MELCCFP. Toutefois, les concentrations moyennes analysées dans les moyens spécimens du lac de référence sont inférieures au critère de 0,5 mg/kg de Santé Canada, contrairement aux concentrations moyennes analysées dans les spécimens capturés dans les lacs exposés. Les résultats des tests statistiques démontrent toutefois qu'il n'y a pas de différence significative entre les teneurs moyennes en mercure contenues dans les grands brochets des lacs exposés et du lac de référence.

Dans le futur, les teneurs en métaux obtenues dans la zone de référence et la zone exposée pourront être comparées entre elles à différents stades de développement du projet minier afin d'évaluer si les impacts sur la faune ichtyenne sont de nature anthropique ou naturelle. Par ailleurs, l'état de référence des valeurs en métaux lourds étant maintenant établi dans les lacs L01 et L27, il sera possible d'en suivre l'évolution tout au long de la durée de vie du projet minier Shaakichiuwaanaan.

Références

Laliberté, D. et G. Tremblay. 2002. Teneurs en métaux, en BPC et en dioxines et furanes dans les poissons et les sédiments de quatre lacs du nord du Québec en 2001. Québec. Ministère de l'Environnement. Direction du suivi de l'état de l'environnement. Envirodoq no ENV/2002/0203. Rapport no QE-129. 38 pages et 4 annexes.

Laliberté, D., 2004. Répertoire des données sur les teneurs en mercure dans la chair des poissons du Québec pour la période de 1976 à 1999 inclusivement, Québec, ministère de l'Environnement, Direction du suivi de l'état de l'environnement, Envirodoq nº ENV/2004/0375, collection nº QE/153, 66 pages.

Ministère de l'Environnement, de la Lutte contre les changements climatiques, de la Faune et des Parcs du Québec (MELCCFP). 2025. Consultation en ligne : https://www.environnement.gouv.qc.ca/eau/criteres_eau/annexe_15.htm

Ministère de l'Environnement et de la Lutte contre les changements climatiques (MELCC). 2022. Protocole d'échantillonnage pour le suivi des substances toxiques dans la chair de poisson de pêche sportive en eau douce. Québec, Direction générale du suivi de l'état de l'environnement. 6 pages et 3 annexes.

Santé Canada. 2025. Consultation en ligne : https://www.canada.ca/fr/sante-canada/services/aliments-nutrition/salubrite-aliments/contaminants-chimiques/contaminants-adulterantes-aliments.html

Service de la faune aquatique. 2011. Guide de normalisation des méthodes d'inventaire ichtyologique en eaux intérieures, Tome I, Acquisition de données, ministère des Ressources naturelles et de la Faune, Québec, 137 pages.

TREMBLAY, G, J.-F. DOYON et R. SCHETAGNE. 1996. Réseau de suivi environnemental du complexe La Grande. Démarche méthodologique relative au suivi des teneurs en mercure des poissons. Rapport conjoint direction principale Communication et Environnement d'Hydro-Québec et Groupe-conseil Génivar Inc. 33 pages et annexes.

Annexe 1

Coordonnées des stations de pêche dans les lacs L01, L27 et L823

Lac	Type engin de pêche	No engin de pêche	Coordonnées géographiques (NAD 83)		Date de pose	Heure de pose	Date de levée	Heure de levée	Effort de pêche
			Latitude	Longitude					
L01	Pêche à la ligne	LP504	53,526694	-73,868367	2024-08-08	13:00	2024-08-08	ND	ND
L01	Filet maillant	FX586	53,525692	-73,902387	2024-08-07	11:53	2024-08-08	8:33	1 nuit-filet
L01	Filet maillant	FX585	53,525310	-73,902094	2024-08-07	11:42	2024-08-08	8:50	1 nuit-filet
L01	Filet maillant	FX580	53,529656	-73,898320	2024-08-06	11:11	2024-08-07	10:54	1 nuit-filet
L01	Filet maillant	FX579	53,524107	-73,906882	2024-08-06	10:43	2024-08-07	11:26	1 nuit-filet
L01	Filet maillant	FX578	53,529633	-73,883374	2024-08-06	9:50	2024-08-07	10:10	1 nuit-filet
L01	Filet maillant	FX577	53,521865	-73,886270	2024-08-06	9:17	2024-08-07	9:30	1 nuit-filet
L01	Filet maillant	FX575	53,527843	-73,902602	2024-08-05	12:05	2024-08-06	11:02	1 nuit-filet
L01	Filet maillant	FX574	53,525775	-73,901110	2024-08-05	11:53	2024-08-06	10:17	1 nuit-filet
L01	Filet maillant	FX573	53,523525	-73,888563	2024-08-05	11:40	2024-08-06	9:34	1 nuit-filet
L01	Filet maillant	FX571	53,518576	-73,894628	2024-08-05	11:18	2024-08-06	9:05	1 nuit-filet
L01	Filet maillant	FX570	53,528572	-73,876659	2024-08-04	11:44	2024-08-05	9:39	1 nuit-filet
L01	Filet maillant	FX569	53,524869	-73,869656	2024-08-04	11:32	2024-08-05	10:23	1 nuit-filet
L01	Filet maillant	FX568	53,524102	-73,874902	2024-08-04	10:31	2024-08-05	10:00	1 nuit-filet
L01	Filet maillant	FX567	53,530955	-73,886522	2024-08-04	10:16	2024-08-05	9:12	1 nuit-filet
L27	Pêche à la ligne	LP503	53,536842	-73,964141	2024-08-06	19:07	2024-08-06	ND	ND
L27	Pêche à la ligne	LP502	53,536725	-73,964319	2024-08-06	18:38	2024-08-06	ND	ND
L27	Filet maillant	FX565	53,53584	-73,966073	2024-08-02	12:31	2024-08-03	10:11	1 nuit-filet
L27	Filet maillant	FX562	53,535502	-73,975101	2024-08-02	11:19	2024-08-03	9:46	1 nuit-filet

Lac	Type engin de pêche	No engin de pêche	Coordonnées géographiques (NAD 83)		Date de pose	Heure de pose	Date de levée	Heure de levée	Effort de pêche
			Latitude	Longitude					
L27	Filet maillant	FX561	53,538456	-73,97809	2024-08-02	11:06	2024-08-03	9:30	1 nuit-filet
L27	Filet maillant	FX560	53,529039	-73,998085	2024-08-02	10:51	2024-08-03	9:07	1 nuit-filet
L27	Filet maillant	FX558	53,530167	-73,98653	2024-08-01	10:58	2024-08-02	9:56	1 nuit-filet
L27	Filet maillant	FX556	53,530035	-73,993086	2024-08-01	10:39	2024-08-02	10:20	1 nuit-filet
L27	Filet maillant	FX555	53,531406	-74,001859	2024-08-01	10:17	2024-08-02	9:32	1 nuit-filet
L27	Filet maillant	FX554	53,536014	-74,011833	2024-08-01	10:00	2024-08-02	9:10	1 nuit-filet
L27	Filet maillant	FX552	53,529614	-74,002528	2024-07-31	12:14	2024-08-01	8:28	1 nuit-filet
L27	Filet maillant	FX551	53,525652	-74,007902	2024-07-31	11:54	2024-08-01	8:44	1 nuit-filet
L27	Filet maillant	FX550	53,518185	-74,012178	2024-07-31	11:30	2024-08-01	9:08	1 nuit-filet
L01	Filet Maillant	FX42	53,5175221	-73,963605	2025-07-10	14:25	2025-07-11	7:29	1 nuit-filet
L01	Filet Maillant	FX43	53,5175676	-73,962334	2025-07-10	14:30	2025-07-11	7:48	1 nuit-filet
L01	Filet Maillant	FX44	53,517969	-73,962760	2025-07-10	14:35	2025-07-11	8:23	1 nuit-filet
L01	Filet Maillant	FX45	53,5188668	-73,958496	2025-07-10	14:43	2025-07-11	8:44	1 nuit-filet
L01	Ligne à pêche	LP46	53,5190501	-73,953871	2025-07-10	14:45	2025-07-10	15:00	0,25 heure
L01	Ligne à pêche	LP47	53,519308	-73,951910	2025-07-11	10:05	2025-07-11	10:43	0,63 heure
L27	Filet Maillant	FX34	53,5226946	-73,976048	2025-07-09	9:42	2025-07-10	7:29	1 nuit-filet
L27	Filet Maillant	FX35	53,5228225	-73,978318	2025-07-09	10:02	2025-07-10	7:53	1 nuit-filet
L27	Filet Maillant	FX36	53,5208042	-73,985668	2025-07-09	10:16	2025-07-09	13:36	3,33 heures
L27	Filet Maillant	FX37	53,5293298	-73,991903	2025-07-09	10:45	2025-07-09	13:19	2,57 heures

Lac	Type engin de pêche	No engin de pêche	Coordonnées géographiques (NAD 83)		Date de pose	Heure de pose	Date de levée	Heure de levée	Effort de pêche
			Latitude	Longitude					
L27	Ligne à pêche	LP38	53,5265273	-73,991244	2025-07-09	10:56	2025-07-09	10:58	0,03 heure
L27	Ligne à pêche	LP39	53,5307788	-73,983784	2025-07-09	11:13	2025-07-09	11:40	0,45 heure
L27	Ligne à pêche	LP40	53,5238338	-73,987986	2025-07-09	11:50	2025-07-09	12:03	0,22 heure
L27	Ligne à pêche	LP41	53,5245901	-73,977083	2025-07-10	12:50	2025-07-10	13:10	0,33 heure
L823	Filet Maillant	FX50	53,6141898	-73,994785	2025-07-11	12:41	2025-07-12	7:40	1 nuit-filet
L823	Filet Maillant	FX52	53,6125626	-73,986816	2025-07-11	12:58	2025-07-12	8:18	1 nuit-filet
L823	Filet Maillant	FX56	53,6093202	-74,011123	2025-07-11	13:23	2025-07-12	8:57	1 nuit-filet
L823	Filet Maillant	FX57	53,613048	-74,017153	2025-07-11	13:30	2025-07-12	9:28	1 nuit-filet
L823	Filet Maillant	FX58	53,6115186	-74,020499	2025-07-12	14:47	2025-07-13	9:58	1 nuit-filet
L823	Filet Maillant	FX59	53,6184570	-74,022273	2025-07-12	14:56	2025-07-13	10:42	1 nuit-filet
L823	Filet Maillant	FX62	53,6135051	-74,031189	2025-07-12	15:12	2025-07-13	11:28	1 nuit-filet
L823	Filet Maillant	FX63	53,6089783	-74,051607	2025-07-12	15:24	2025-07-13	12:41	1 nuit-filet
L823	Filet Maillant	FX64	53,6087202	-74,062876	2025-07-12	15:35	2025-07-13	13:26	1 nuit-filet
L823	Filet Maillant	FX67	53,6058025	-74,061577	2025-07-12	15:49	2025-07-13	13:47	1 nuit-filet
L823	Filet Maillant	FX71	53,6009322	-74,060654	2025-07-14	12:39	2025-07-15	8:45	1 nuit-filet
L823	Filet Maillant	FX72	53,6003539	-74,051389	2025-07-14	12:48	2025-07-15	8:57	1 nuit-filet
L823	Filet Maillant	FX73	53,5976990	-74,045661	2025-07-14	12:57	2025-07-15	9:19	1 nuit-filet
L823	Filet Maillant	FX74	53,5976570	-74,042834	2025-07-14	13:05	2025-07-15	9:34	1 nuit-filet
L823	Filet Maillant	FX75	53,5975934	-74,036011	2025-07-14	13:14	2025-07-15	9:57	1 nuit-filet

Lac	Type engin de pêche	No engin de pêche	Coordonnées géographiques (NAD 83)		Date de pose	Heure de pose	Date de levée	Heure de levée	Effort de pêche
			Latitude	Longitude					
L823	Filet Maillant	FX76	53,6000292	-74,032551	2025-07-14	13:25	2025-07-15	10:11	1 nuit-filet
L823	Filet Maillant	FX77	53,6150153	-74,013724	2025-07-16	11:04	2025-07-17	8:49	1 nuit-filet
L823	Filet Maillant	FX78	53,6106121	-74,040076	2025-07-16	11:57	2025-07-17	9:36	1 nuit-filet
L823	Filet Maillant	FX79	53,6093555	-74,056792	2025-07-16	12:09	2025-07-17	10:08	1 nuit-filet
L823	Filet Maillant	FX80	53,6033582	-74,022957	2025-07-16	12:23	2025-07-17	10:29	1 nuit-filet
L823	Filet Maillant	FX81	53,6070703	-74,025729	2025-07-16	12:30	2025-07-17	10:59	1 nuit-filet

Annexe 2

Données brutes des mesures morphométriques prises sur tous les poissons capturés dans les lacs L01, L27 et L823

Année	Lac	No engin de pêche[1]	No de spécimen	Espèce[2]	Classe de longueur[3]	Longueur (mm)	Poids (g)	Sexe (M, F, IND)[4]	Maturité sexuelle (M, I, IND)[5]	Âge (année)	Lettre échantillon de chair
2024	L01	FX2014	118	ESLU	M	675	1760	F	M	8+	CR
2024	L01	FX2014	119	ESLU	P	546	880	M	M	5+	CS
2024	L01	FX2013	121	ESLU	M	595	1000	M	M	5+	CU
2024	L01	FX2013	122	ESLU	M	644	1480	F	M	7+	CV
2024	L01	FX2013	123	ESLU	M	665	1660	F	M	8+	CW, CX, CY
2024	L01	FX2013	124	ESLU	P	456	533	M	M	3+	CZ
2024	L01	FX2015	128	ESLU	M	552	1080	M	M	5+	DF
2024	L01	FX2015	129	ESLU	M	650	1600	F	M	6+	DG
2024	L01	FX2012	137	ESLU	M	600	1300	M	M	5+	DN
2024	L01	FX2019	139	ESLU	M	684	1660	F	M	7+	DP
2024	L01	FX2019	140	ESLU	P	418	350	M	I	2+	DQ
2024	L01	FX2019	143	SANA	P	486	1100	M	M	8+	DR
2024	L01	FX2018	144	SANA	P	504	1180	M	M	13+	DS
2024	L01	FX2018	145	SANA	M	588	1810	F	M	21+	DT, DU, DV
2024	L01	FX2018	146	SANA	M	583	1800	F	M	22+	DW
2024	L01	FX2017	150	SANA	P	483	873	M	M	8+	DZ
2024	L01	FX2017	151	ESLU	M	563	843	M	M	4+	EA
2024	L01	FX2016	155	ESLU	M	600	1180	F	M	8+	EC
2024	L01	FX2019	156	ESLU	M	586	900	M	I	6+	DO
2024	L01	FX2023	157	SANA	P	515	1280	F	M	na	ED
2024	L01	FX2023	158	SANA	P	480	1040	M	M	19+	EE
2024	L01	FX2023	159	SANA	P	527	1400	F	M	17+	EF
2024	L01	FX2023	160	SANA	P	546	1120	F	M	17+	EG
2024	L01	FX2023	161	ESLU	M	615	1300	M	M	9+	EH
2024	L01	FX2023	162	ESLU	P	530	900	M	M	4+	EI
2024	L01	FX2020	166	ESLU	M	563	1080	M	M	4+	EL
2024	L01	FX2020	167	ESLU	M	650	1680	M	M	5+	EM
2024	L01	FX2020	168	ESLU	M	598	1220	F	M	5+	EN
2024	L01	FX2020	169	SANA	P	510	1320	M	M	16+	EO
2024	L01	FX2024	174	SANA	P	538	1380	M	M	16+	ES
2024	L01	FX2024	178	ESLU	M	612	1420	F	M	19+	EW
2024	L01	FX2024	179	ESLU	M	595	1100	F	M	8+	EX
2024	L01	FX2021	190	ESLU	M	563	960	F	M	6+	OH
2024	L01	FX2021	191	ESLU	M	580	1080	F	M	4+	OI
2024	L01	FX2021	192	SANA	P	526	1480	M	M	na	OJ
2024	L01	LP2002	193	ESLU	M	586	1080	M	M	5+	OK
2024	L01	LP2002	194	ESLU	P	453	498	F	I	3+	OL
2024	L01	LP2002	196	ESLU	P	500	655	F	I	5+	ON
2024	L01	LP2002	197	ESLU	M	620	1320	M	M	8+	OO
2024	L01	LP2002	198	ESLU	M	560	980	M	M	4+	OP
2024	L01	LP2002	199	ESLU	M	635	1540	M	M	5+	OQ
2024	L01	FX2026	200	SANA	H-C	203	61	IND	I	4+	OR
2024	L01	FX2026	201	SANA	H-C	420	680	F	M	10+	OS
2024	L01	FX2025	202	SANA	P	516	1260	M	M	14+	OT
2024	L01	FX2025	203	SANA	P	514	1200	M	M	15+	OU
2024	L01	FX2025	204	ESLU	P	509	720	M	M	3+	OV
2024	L27	FX2000	3	ESLU	M	679	1690	M	M	7+	B
2024	L27	FX2000	4	ESLU	M	687	1780	M	M	8+	C, D, E
2024	L27	FX2001	16	ESLU	M	662	1360	F	M	5+	L
2024	L27	FX2001	17	ESLU	M	668	1660	F	M	9+	M
2024	L27	FX2006	24	ESLU	G	729	2040	F	M	9+	Q
2024	L27	FX2006	25	ESLU	P	469	604	F	I	4+	R
2024	L27	FX2006	26	ESLU	M	621	1480	M	I	5+	S
2024	L27	FX2004	36	ESLU	M	655	1520	M	M	6+	V, W, X
2024	L27	FX2003	49	ESLU	M	677	1800	F	M	8+	AJ
2024	L27	FX2003	50	ESLU	G	756	2500	F	M	9+	AK
2024	L27	FX2005	53	ESLU	M	641	1380	M	M	7+	AL
2024	L27	FX2005	54	ESLU	P	531	920	M	M	4+	AM
2024	L27	FX2005	55	ESLU	G	836	3220	F	M	14+	AN
2024	L27	LP2001	56	ESLU	M	671	2020	F	M	8+	AO
2024	L27	LP2001	58	ESLU	M	694	1700	M	M	9+	AQ
2024	L27	LP2001	59	ESLU	M	604	1340	F	M	5+	AR
2024	L27	FX2005	61	ESLU	P	419	422	M	M	3+	AS
2024	L27	LP2000	66	ESLU	G	715	1820	M	M	9+	AU
2024	L27	LP2000	68	ESLU	G	804	2960	F	M	11+	AW
2024	L27	LP2000	69	ESLU	G	710	2040	F	M	na	AX

Année	Lac	No engin de pêche[1]	No de spécimen	Espèce[2]	Classe de longueur[3]	Longueur (mm)	Poids (g)	Sexe (M, F, IND)[4]	Maturité sexuelle (M, I, IND)[5]	Âge (année)	Lettre échantillon de chair
2024	L27	LP2000	70	ESLU	M	640	1560	M	M	6+	AY
2024	L27	LP2000	72	ESLU	P	486	688	F	I	4+	BA
2024	L27	LP2000	73	ESLU	P	460	564	M	I	3+	BB
2024	L27	LP2000	74	ESLU	M	555	1060	M	M	5+	BC
2024	L27	LP2000	75	ESLU	M	635	1660	M	M	5+	BD
2024	L27	FX2010	78	ESLU	P	550	1020	M	M	4+	BG
2024	L27	FX2010	79	ESLU	P	460	561	F	I	2+	BH
2024	L27	FX2009	91	ESLU	M	645	1660	M	M	5+	BS
2024	L27	FX2009	92	ESLU	P	540	963	M	M	4+	BT
2024	L27	FX2008	98	SANA	M	690	2760	M	M	27+	BX
2024	L27	FX2008	99	SANA	M	605	2180	F	M	19+	BY
2024	L27	FX2008	100	SANA	M	638	2200	F	M	18+	BZ
2024	L27	FX2008	101	SANA	M	630	2140	M	M	25+	CA
2024	L27	FX2008	102	SANA	M	630	2280	F	M	21+	CB
2024	L27	FX2008	103	SANA	M	670	2740	M	M	22+	CC
2024	L27	FX2008	104	ESLU	G	747	2400	M	M	10+	CD
2024	L27	FX2007	105	SANA	P	505	1160	M	M	11+	CE, CF, CG
2025	L27	LP39	2	ESLU	G	731	2100	F	M	8+	B
2025	L27	LP41	14	ESLU	P	518	820	F	M	3+	H
2025	L27	LP41	15	ESLU	P	442	485	M	M	2+	I
2025	L27	LP41	16	ESLU	G	739	2455	F	M	8+	J, K, L
2025	L01	LP47	18	ESLU	P	465	590	M	M	3+	N
2025	L01	FX45	22	ESLU	P	532	905	M	M	4+	Q
2025	L01	FX44	31	ESLU	P	471	605	F	M	3+	V
2025	L01	FX42	50	ESLU	G	712	2295	F	M	10+	AG
2025	L823	FX63	180	ESLU	G	930	4669	F	M	16+	BN
2025	L823	FX63	182	ESLU	G	865	3391	F	M	13+	BP
2025	L823	FX52	85	ESLU	M	641	1706	M	M	5+	AO
2025	L823	FX52	86	ESLU	M	599	1180	M	M	5+	AP
2025	L823	FX56	64	ESLU	G	810	3120	F	M	12+	AN
2025	L823	FX50	105	ESLU	G	770	2625	M	M	11+	AX
2025	L823	FX50	103	ESLU	G	765	2520	F	M	10+	AV
2025	L823	FX63	183	ESLU	G	765	2561	M	M	12+	BQ, BR, BS
2025	L823	FX50	108	ESLU	M	588	1451	M	M	5+	BA
2025	L823	FX59	138	ESLU	G	755	2822	F	M	10+	BD
2025	L823	FX57	54	ESLU	G	750	2185	F	M	10+	AK
2025	L823	FX58	162	ESLU	M	558	1009	F	M	5+	BJ
2025	L823	FX64	178	ESLU	M	573	1173	F	M	6+	BK, BL, BM
2025	L823	FX58	160	ESLU	G	740	2255	F	M	9+	BH
2025	L823	FX77	305	ESLU	G	735	2340,2	F	M	8+	CG, CH, CI
2025	L823	FX52	88	ESLU	G	730	2455	M	M	8+	AR, AS, AT
2025	L823	FX78	289	ESLU	G	726	2284,9	M	M	8+	CD
2025	L823	FX67	212	ESLU	M	665	1811	M	M	7+	BT
2025	L823	FX67	213	ESLU	M	600	1026	M	M	5+	BU
2025	L823	FX74	251	ESLU	M	605	1381,1	M	M	5+	BV
2025	L823	FX74	252	ESLU	M	573	1279	M	I	4+	BW
2025	L823	FX71	278	ESLU	M	700	1494,6	M	M	8+	BZ
2025	L823	FX63	181	ESLU	G	722	2249	M	M	8+	BO
2025	L823	FX77	303	ESLU	M	629	1746,9	F	M	7+	CE
2025	L823	FX77	304	ESLU	M	604	1473,1	M	M	4+	CF
2025	L823	FX58	159	ESLU	G	710	1838	F	M	8+	BG
2025	L823	FX77	306	ESLU	M	552	935,6	F	M	4+	CJ
2025	L823	FX77	308	ESLU	M	653	1608,2	F	M	6+	CL
2025	L823	FX81	286	ESLU	G	702	1958,7	M	M	7+	CB
2025	L823	FX80	327	ESLU	M	588	1232,3	M	M	5+	CQ

[1] Consulter l'annexe 1 pour la description des filets maillants.

[2] ESLU = grand brochet, SANA = touladi

[3] H-C = hors-classe, P = petit, M = moyen, G = grand

[4] M = mâle, F = femelle, IND = indéterminé

[5] M = mature, I = immature, IND = indéterminé

Annexe 3

Résultats et analyses statistiques descriptives sur les teneurs en métaux lourds dans la chair des poissons des lacs L01, L27 et L823

Lac L01										
Métaux	Limite de détection de la méthode	Unité	Classe de longueur des grands brochets (mm)				Classe de longueur des touladis (mm)			
			<400	400-550	550-700	≥700	<450	450-550	550-700	≥700
Aluminium (Al)	0,11	n	-	10	23	1	2	12	2	-
Minimum	-	mg/kg	-	0,14	0,13	0,055	0,28	0,2	0,37	-
Maximum	-	mg/kg	-	0,78	4,4	0,055	0,3	0,54	0,48	-
Médiane	-	mg/kg	-	0,190	0,230	0,055	0,290	0,280	0,425	-
Moyenne	-	mg/kg	-	0,272	0,537	0,055	0,290	0,301	0,425	-
Écart-type	-	mg/kg	-	0,205	0,952	NA	0,014	0,096	0,078	-
Effectif sous la LDM	-	n	-	0	0	1	0	0	0	-
Arsenic (As)	0,0044	n	-	10	23	1	2	12	2	-
Minimum	-	mg/kg	-	0,02	0,014	0,028	0,01	0,002	0,007	-
Maximum	-	mg/kg	-	0,06	0,4	0,028	0,21	0,013	0,018	-
Médiane	-	mg/kg	-	0,023	0,0280	0,028	0,110	0,0070	0,0126	-
Moyenne	-	mg/kg	-	0,029	0,0586	0,028	0,110	0,0077	0,0126	-
Écart-type	-	mg/kg	-	0,012	0,0998	NA	0,141	0,0030	0,0076	-
Effectif sous la LDM	-	n	-	0	0	0	0	1	0	-
Baryum (Ba)	0,006-0,00132	n	-	10	23	1	2	12	2	-
Minimum	-	mg/kg	-	0,0051	0,003	0,0055	0,003	0,003	0,009	-
Maximum	-	mg/kg	-	0,078	0,095	0,0055	0,016	0,012	0,026	-
Médiane	-	mg/kg	-	0,0155	0,0130	0,0055	0,0095	0,0072	0,0175	-
Moyenne	-	mg/kg	-	0,0216	0,0210	0,0055	0,0095	0,0070	0,0175	-
Écart-type	-	mg/kg	-	0,0211	0,0210	NA	0,0092	0,0031	0,0120	-
Effectif sous la LDM	-	n	-	0	1	0	1	2	0	-
Cadmium (Cd)	0,0044	n	-	10	23	1	2	12	2	-
Minimum	-	mg/kg	-	0,0022	0,0022	0,0022	0,0022	0,0022	0,0022	-
Maximum	-	mg/kg	-	0,0022	0,0066	0,0022	0,0022	0,02	0,0067	-
Médiane	-	mg/kg	-	0,0022	0,00220	0,0022	0,0022	0,00220	0,00445	-
Moyenne	-	mg/kg	-	0,0022	0,00250	0,0022	0,0022	0,00368	0,00445	-
Écart-type	-	mg/kg	-	0	0,00104	NA	0	0,00514	0,00318	-
Effectif sous la LDM	-	n	-	10	21	1	2	11	1	-
Cérium (Ce)	1	n	-	10	23	1	2	12	2	-
Minimum	-	µg/kg	-	1	2	3	3	3	3	-
Maximum	-	µg/kg	-	9	41	3	5	8	7	-
Médiane	-	µg/kg	-	4,5	4,0	3	4,0	5,0	5,0	-
Moyenne	-	µg/kg	-	4,2	7,4	3	4,0	5,0	5,0	-
Écart-type	-	µg/kg	-	2,3	8,9	NA	1,4	1,8	2,8	-
Effectif sous la LDM	-	n	-	0	0	0	0	0	0	-
Chrome (Cr)	0,007	n	-	10	23	1	2	12	2	-
Minimum	-	mg/kg	-	0,075	0,016	0,09	0,054	0,01	0,067	-
Maximum	-	mg/kg	-	0,46	1,05	0,09	0,058	0,64	0,098	-
Médiane	-	mg/kg	-	0,1600	0,091	0,09	0,0560	0,070	0,0825	-
Moyenne	-	mg/kg	-	0,1923	0,1620	0,09	0,0560	0,160	0,0825	-
Écart-type	-	mg/kg	-	0,1208	0,2281	NA	0,0028	0,190	0,0219	-
Effectif sous la LDM	-	n	-	0	0	0	0	0	0	-
Cobalt (Co)	0,001	n	-	10	23	1	2	12	2	-
Minimum	-	mg/kg	-	0,002	0,003	0,002	0,004	0,005	0,01	-
Maximum	-	mg/kg	-	0,006	0,014	0,002	0,006	0,013	0,025	-
Médiane	-	mg/kg	-	0,0045	0,0040	0,002	0,0050	0,0080	0,0175	-
Moyenne	-	mg/kg	-	0,0044	0,0049	0,002	0,0050	0,0087	0,0175	-
Écart-type	-	mg/kg	-	0,0014	0,0024	NA	0,0014	0,0020	0,0106	-
Effectif sous la LDM	-	n	-	0	0	0	0	0	0	-

L01										
Métaux	Limite de détection de la méthode	Unité	Classe de longueur des grands brochets (mm)				Classe de longueur des touladis (mm)			
			<400	400-550	550-700	≥700	<450	450-550	550-700	≥700
Cuivre (Cu)	0,03	n	-	10	23	1	2	12	2	-
Minimum	-	mg/kg	-	0,12	0,11	0,14	0,18	0,17	0,2	-
Maximum	-	mg/kg	-	0,25	0,67	0,14	0,2	0,36	0,32	-
Médiane	-	mg/kg	-	0,180	0,160	0,14	0,190	0,215	0,260	-
Moyenne	-	mg/kg	-	0,186	0,190	0,14	0,190	0,241	0,260	-
Écart-type	-	mg/kg	-	0,039	0,113	NA	0,014	0,059	0,085	-
Effectif sous la LDM	-	n	-	0	0	0	0	0	0	-
Dysprosium (Dy)	1	n	-	10	23	1	2	12	2	-
Minimum	-	µg/kg	-	0,5	0,5	0,5	0,5	0,5	0,5	-
Maximum	-	µg/kg	-	0,5	7	0,5	0,5	0,5	0,5	-
Médiane	-	µg/kg	-	0,50	0,50	0,5	0,50	0,50	0,50	-
Moyenne	-	µg/kg	-	0,50	0,83	0,5	0,50	0,50	0,50	-
Écart-type	-	µg/kg	-	0	1,36	NA	0	0	0	-
Effectif sous la LDM	-	n	-	10	21	1	2	12	2	-
Erbium (Er)	1	n	-	10	23	1	2	12	2	-
Minimum	-	µg/kg	-	0,5	0,5	0,5	0,5	0,5	0,5	-
Maximum	-	µg/kg	-	0,5	3	0,5	0,5	0,5	0,5	-
Médiane	-	µg/kg	-	0,50	0,50	0,5	0,50	0,50	0,50	-
Moyenne	-	µg/kg	-	0,50	0,65	0,5	0,50	0,50	0,50	-
Écart-type	-	µg/kg	-	0	0,55	NA	0	0	0	-
Effectif sous la LDM	-	n	-	10	21	1	2	12	2	-
Europium (Eu)	1	n	-	10	23	1	2	12	2	-
Minimum	-	µg/kg	-	0,5	0,5	0,5	0,5	0,5	0,5	-
Maximum	-	µg/kg	-	0,5	1,5	0,5	0,5	0,5	0,5	-
Médiane	-	µg/kg	-	0,50	0,50	0,5	0,50	0,50	0,50	-
Moyenne	-	µg/kg	-	0,50	0,54	0,5	0,50	0,50	0,50	-
Écart-type	-	µg/kg	-	0	0,21	NA	0	0	0	-
Effectif sous la LDM	-	n	-	10	22	1	2	12	2	-
Fer (Fe)	0,1	n	-	10	23	1	2	12	2	-
Minimum	-	mg/kg	-	1,9	1,4	1,9	2,2	2	4,4	-
Maximum	-	mg/kg	-	5,8	11,4	1,9	2,5	7,1	5,5	-
Médiane	-	mg/kg	-	2,85	3,10	1,9	2,35	3,95	4,95	-
Moyenne	-	mg/kg	-	3,09	4,09	1,9	2,35	4,200	4,95	-
Écart-type	-	mg/kg	-	1,20	2,67	NA	0,21	1,583	0,78	-
Effectif sous la LDM	-	n	-	0	0	0	0	0	0	-
Gadolinium (Gd)	2	n	-	10	23	1	2	12	2	-
Minimum	-	µg/kg	-	1	1	1	1	1	1	-
Maximum	-	µg/kg	-	1	9	1	1	1	1	-
Médiane	-	µg/kg	-	1,0	1,0	1	1,0	1,0	1,0	-
Moyenne	-	µg/kg	-	1,0	1,4	1	1,0	1,0	1,0	-
Écart-type	-	µg/kg	-	0	1,7	NA	0	0	0	-
Effectif sous la LDM	-	n	-	10	21	1	2	12	2	-
Holmium (Ho)	1	n	-	10	23	1	2	12	2	-
Minimum	-	µg/kg	-	0,5	0,5	0,5	0,5	0,5	0,5	-
Maximum	-	µg/kg	-	0,5	1,5	0,5	0,5	0,5	0,5	-
Médiane	-	µg/kg	-	0,50	0,50	0,5	0,50	0,50	0,50	-
Moyenne	-	µg/kg	-	0,50	0,57	0,5	0,50	0,50	0,50	-
Écart-type	-	µg/kg	-	0	0,23	NA	0	0	0	-
Effectif sous la LDM	-	n	-	10	21	1	2	12	2	-

L01										
Métaux	Limite de détection de la méthode	Unité	Classe de longueur des grands brochets (mm)				Classe de longueur des touladis (mm)			
			<400	400-550	550-700	≥700	<450	450-550	550-700	≥700
Lanthane (La)	1	n		10	23	1	2	12	2	-
Minimum	-	µg/kg	-	0,5	0,5	0,5	0,5	0,5	1	
Maximum	-	µg/kg	-	2	13	0,5	2	1	1	-
Médiane	-	µg/kg	-	0,50	0,50	0,5	1,25	0,50	1,0	-
Moyenne	-	µg/kg	-	0,65	1,76	0,5	1,25	0,58	1,0	-
Écart-type	-	µg/kg	-	0,47	3,29	NA	1,06	0,19	0	-
Effectif sous la LDM	-	n	-	9	16	1	1	10	0	-
Lithium (Li)	4	n	-	10	23	1	2	12	2	-
Minimum	-	µg/kg	-	2	2	7	2	2	2	-
Maximum	-	µg/kg	-	8	100	7	2	30	7	-
Médiane	-	µg/kg	-	5,0	4,0	7	2,0	2,0	4,5	-
Moyenne	-	µg/kg	-	4,8	8,5	7	2,0	6,1	4,5	-
Écart-type	-	µg/kg	-	2,3	20,2	NA	0	8,0	3,5	-
Effectif sous la LDM	-	n	-	3	11	0	2	7	1	-
Lutécium (Lu)	1	n	-	10	23	1	2	12	2	-
Minimum	-	µg/kg	-	0,5	0,5	0,5	0,5	0,5	0,5	-
Maximum	-	µg/kg	-	0,5	1,5	0,5	0,5	0,5	0,5	-
Médiane	-	µg/kg	-	0,50	0,50	0,5	0,50	0,50	0,50	-
Moyenne	-	µg/kg	-	0,50	0,54	0,5	0,50	0,50	0,50	-
Écart-type	-	µg/kg	-	0	0,21	NA	0	0	0	-
Effectif sous la LDM	-	n	-	10	22	1	2	12	2	-
Manganèse (Mn)	0,01	n	-	10	23	1	2	12	2	-
Minimum	-	mg/kg	-	0,07	0,06	0,07	0,06	0,06	0,06	-
Maximum	-	mg/kg	-	0,24	0,3	0,07	0,12	0,11	0,1	-
Médiane	-	mg/kg	-	0,120	0,100	0,07	0,090	0,070	0,080	-
Moyenne	-	mg/kg	-	0,130	0,116	0,07	0,090	0,074	0,080	-
Écart-type	-	mg/kg	-	0,048	0,056	NA	0,042	0,015	0,028	-
Effectif sous la LDM	-	n	-	0	0	0	0	0	0	-
Mercure (Hg)	0,01	n	-	10	23	1	2	12	2	-
Minimum	-	mg/kg	-	0,14	0,20	0,61	0,20	0,22	0,47	-
Maximum	-	mg/kg	-	0,38	1,13	0,61	0,40	0,77	0,54	-
Médiane	-	mg/kg	-	0,200	0,480	0,61	0,300	0,615	0,505	-
Moyenne	-	mg/kg	-	0,220	0,513	0,61	0,300	0,554	0,505	-
Écart-type	-	mg/kg	-	0,077	0,247	NA	0,141	0,168	0,049	-
Effectif sous la LDM	-	n	-	0	0	0	0	0	0	-
Molybdène (Mo)	0,001-0,00022	n	-	10	23	1	2	12	2	-
Minimum	-	mg/kg	-	0,0014	0,0009	0,005	0,001	0,001	0,003	-
Maximum	-	mg/kg	-	0,0096	0,019	0,005	0,003	0,011	0,003	-
Médiane	-	mg/kg	-	0,00325	0,00200	0,005	0,0020	0,0020	0,0030	-
Moyenne	-	mg/kg	-	0,00398	0,00367	0,005	0,0020	0,0037	0,0030	-
Écart-type	-	mg/kg	-	0,00258	0,00392	NA	0,0014	0,0033	0	-
Effectif sous la LDM	-	n	-	0	0	0	0	0	0	-
Néodyme (Nd)	1	n	-	10	23	1	2	12	2	-
Minimum	-	µg/kg	-	0,5	0,5	0,5	0,5	0,5	0,5	-
Maximum	-	µg/kg	-	2	29	0,5	0,5	1	1	-
Médiane	-	µg/kg	-	0,50	0,50	0,5	0,50	0,50	0,75	-
Moyenne	-	µg/kg	-	0,65	2,33	0,5	0,50	0,54	0,75	-
Écart-type	-	µg/kg	-	0,47	6,21	NA	0	0,14	0,35	-
Effectif sous la LDM	-	n	-	9	18	1	2	11	1	-

L01										
Métaux	Limite de détection de la méthode	Unité	Classe de longueur des grands brochets (mm)				Classe de longueur des touladis (mm)			
			<400	400-550	550-700	≥700	<450	450-550	550-700	≥700
Nickel (Ni)	0,006-0,00132	n	-	10	23	1	2	12	2	-
Minimum	-	mg/kg	-	0,024	0,009	0,035	0,01	0,01	0,039	-
Maximum	-	mg/kg	-	0,13	0,396	0,035	0,024	0,21	0,15	-
Médiane	-	mg/kg	-	0,0535	0,0320	0,035	0,0170	0,0230	0,0945	-
Moyenne	-	mg/kg	-	0,0582	0,0632	0,035	0,0170	0,0568	0,0945	-
Écart-type	-	mg/kg	-	0,0332	0,0942	NA	0,0099	0,0594	0,0785	-
Effectif sous la LDM	-	n	-	0	0	0	0	0	0	-
Niobium (Nb)	1	n	-	10	23	1	2	12	2	-
Minimum	-	µg/kg	-	5	0,5	2	1	0,5	6	-
Maximum	-	µg/kg	-	29	69	2	3	53	7	-
Médiane	-	µg/kg	-	8,5	7,00	2	2,0	4,00	6,5	-
Moyenne	-	µg/kg	-	11,7	12,76	2	2,0	11,71	6,5	-
Écart-type	-	µg/kg	-	7,5	16,33	NA	1,4	15,58	0,7	-
Effectif sous la LDM	-	n	-	0	1	0	0	3	0	-
Plomb (Pb)	0,00044	n	-	10	23	1	2	12	2	-
Minimum	-	mg/kg	-	0,00022	0,0002	0,00022	0,0005	0,0002	0,0059	-
Maximum	-	mg/kg	-	0,0065	0,0130	0,00022	0,0040	0,0013	0,0072	-
Médiane	-	mg/kg	-	0,00036	0,00060	0,00022	0,00225	0,00065	0,00655	-
Moyenne	-	mg/kg	-	0,00107	0,00143	0,00022	0,00225	0,00066	0,00655	-
Écart-type	-	mg/kg	-	0,00193	0,00278	NA	0,00247	0,00035	0,00092	-
Effectif sous la LDM	-	n	-	5	11	1	0	3	0	-
Praséodyme (Pr)	1	n	-	10	23	1	2	12	2	-
Minimum	-	µg/kg	-	0,5	0,5	0,5	0,5	0,5	0,5	-
Maximum	-	µg/kg	-	0,5	5	0,5	0,5	0,5	0,5	-
Médiane	-	µg/kg	-	0,50	0,50	0,50	0,50	0,50	0,50	-
Moyenne	-	µg/kg	-	0,50	0,80	0,50	0,50	0,50	0,50	-
Écart-type	-	µg/kg	-	0	0,99	NA	0	0	0	-
Effectif sous la LDM	-	n	-	10	20	1	2	12	2	-
Samarium (Sm)	1	n	-	10	23	1	2	12	2	-
Minimum	-	µg/kg	-	0,5	0,5	0,5	0,5	0,5	0,5	-
Maximum	-	µg/kg	-	0,5	8	0,5	0,5	0,5	0,5	-
Médiane	-	µg/kg	-	0,50	0,50	0,50	0,50	0,50	0,50	-
Moyenne	-	µg/kg	-	0,50	0,89	0,50	0,50	0,50	0,50	-
Écart-type	-	µg/kg	-	0	1,57	NA	0	0	0	-
Effectif sous la LDM	-	n	-	10	20	1	2	12	2	-
Scandium (Sc)	1	n	-	10	23	1	2	12	2	-
Minimum	-	µg/kg	-	0,5	0,5	0,5	0,5	0,5	0,5	-
Maximum	-	µg/kg	-	0,5	8	0,5	0,5	0,5	0,5	-
Médiane	-	µg/kg	-	0,50	0,50	0,50	0,50	0,50	0,50	-
Moyenne	-	µg/kg	-	0,50	0,93	0,50	0,50	0,50	0,50	-
Écart-type	-	µg/kg	-	0	1,58	NA	0	0	0	-
Effectif sous la LDM	-	n	-	10	20	1	2	12	2	-
Sélénium (Se)	0,06	n	-	10	23	1	2	12	2	-
Minimum	-	mg/kg	-	0,35	0,03	0,34	0,14	0,25	0,35	-
Maximum	-	mg/kg	-	0,41	1,05	0,34	0,28	0,42	0,51	-
Médiane	-	mg/kg	-	0,375	0,370	0,34	0,210	0,340	0,430	-
Moyenne	-	mg/kg	-	0,375	0,392	0,34	0,210	0,340	0,430	-
Écart-type	-	mg/kg	-	0,023	0,184	NA	0,099	0,060	0,113	-
Effectif sous la LDM	-	n	-	0	2	0	0	2	0	-

L01										
Métaux	Limite de détection de la méthode	Unité	Classe de longueur des grands brochets (mm)				Classe de longueur des touladis (mm)			
			<400	400-550	550-700	≥700	<450	450-550	550-700	≥700
Strontium (Sr)	0,0154	n	-	10	23	1	2	12	2	-
Minimum	-	mg/kg	-	0,036	0,017	0,048	0,0077	0,035	0,058	-
Maximum	-	mg/kg	-	0,41	0,315	0,048	0,032	0,16	0,061	-
Médiane	-	mg/kg	-	0,0735	0,0510	0,048	0,01985	0,0535	0,0595	-
Moyenne	-	mg/kg	-	0,1119	0,0859	0,048	0,01985	0,0623	0,0595	-
Écart-type	-	mg/kg	-	0,1095	0,0773	NA	0,01718	0,0351	0,0021	-
Effectif sous la LDM	-	n	-	0	0	0	1	0	0	-
Terbium (Tb)	1	n	-	10	23	1	2	12	2	-
Minimum	-	µg/kg	-	0,5	0,5	0,5	0,5	0,5	0,5	-
Maximum	-	µg/kg	-	0,5	1,5	0,5	0,5	0,5	0,5	-
Médiane	-	µg/kg	-	0,5	0,50	0,5	0,50	0,50	0,50	-
Moyenne	-	µg/kg	-	0,5	0,57	0,5	0,50	0,50	0,50	-
Écart-type	-	µg/kg	-	0	0,23	NA	0	0	0	-
Effectif sous la LDM	-	n	-	10	21	1	2	12	2	-
Thallium (Tl)	0,001	n	-	10	23	1	2	12	2	-
Minimum	-	mg/kg	-	0,004	0,007	0,004	0,005	0,005	0,006	-
Maximum	-	mg/kg	-	0,014	0,022	0,004	0,005	0,011	0,009	-
Médiane	-	mg/kg	-	0,0100	0,0090	0,004	0,0050	0,0075	0,0075	-
Moyenne	-	mg/kg	-	0,0101	0,0097	0,004	0,0050	0,0074	0,0075	-
Écart-type	-	mg/kg	-	0,0026	0,0032	NA	0	0,0019	0,0021	-
Effectif sous la LDM	-	n	-	0	0	0	0	0	0	-
Thorium (Th)	1	n	-	10	23	1	2	12	2	-
Minimum	-	µg/kg	-	0,5	0,5	0,5	0,5	0,5	0,5	-
Maximum	-	µg/kg	-	1	4	0,5	0,5	0,5	0,5	-
Médiane	-	µg/kg	-	0,50	0,50	0,5	0,50	0,50	0,50	-
Moyenne	-	µg/kg	-	0,55	0,72	0,5	0,50	0,50	0,50	-
Écart-type	-	µg/kg	-	0,16	0,75	NA	0	0	0	-
Effectif sous la LDM	-	n	-	9	20	1	2	12	2	-
Thulium (Tm)	1	n	-	10	23	1	2	12	2	-
Minimum	-	µg/kg	-	0,5	0,5	0,5	0,5	0,5	0,5	-
Maximum	-	µg/kg	-	0,5	1,5	0,5	0,5	0,5	0,5	-
Médiane	-	µg/kg	-	0,5	0,50	0,5	0,50	0,50	0,50	-
Moyenne	-	µg/kg	-	0,5	0,54	0,5	0,50	0,50	0,50	-
Écart-type	-	µg/kg	-	0	0,21	NA	0	0	0	-
Effectif sous la LDM	-	n	-	10	22	1	2	12	2	-
Uranium (U)	0,00022	n	-	10	0,00011	1	2	12	2	-
Minimum	-	mg/kg	-	0,00011	0,0006	0,00011	0,00011	0,00011	0,00011	-
Maximum	-	mg/kg	-	0,00011	0,000110	0,00011	0,00011	0,00011	0,00011	-
Médiane	-	mg/kg	-	0,000110	0,000149	0,000110	0,000110	0,000110	0,000110	-
Moyenne	-	mg/kg	-	0,000110	0,000115	0,000110	0,000110	0,000110	0,000110	-
Écart-type	-	mg/kg	-	0	0,00011	NA	0	0	0	-
Effectif sous la LDM	-	n	-	10	21	1	2	12	2	-
Vanadium (V)	0,0044	n	-	10	23	1	2	12	2	-
Minimum	-	mg/kg	-	0,0022	0,0022	0,0022	0,0022	0,0022	0,0022	-
Maximum	-	mg/kg	-	0,0055	0,012	0,0022	0,0022	0,0022	0,0022	-
Médiane	-	mg/kg	-	0,00220	0,00220	0,0022	0,00220	0,00220	0,00220	-
Moyenne	-	mg/kg	-	0,00253	0,00320	0,0022	0,00220	0,00220	0,00220	-
Écart-type	-	mg/kg	-	0,00104	0,00271	NA	0	0	0	-
Effectif sous la LDM	-	n	-	9	21	1	2	12	2	-

L01										
Métaux	Limite de détection de la méthode	Unité	Classe de longueur des grands brochets (mm)				Classe de longueur des touladis (mm)			
			<400	400-550	550-700	≥700	<450	450-550	550-700	≥700
Ytterbium (Yb)	2	n	-	10	23	1	2	12	2	-
Minimum	-	µg/kg	-	1	1	1	1	1	1	-
Maximum	-	µg/kg	-	1	3	1	1	1	1	-
Médiane	-	µg/kg	-	1	1,0	1	1,0	1,0	1,0	-
Moyenne	-	µg/kg	-	1	1,1	1	1,0	1,0	1,0	-
Écart-type	-	µg/kg	-	0	0,4	NA	0	0	0	-
Effectif sous la LDM	-	n	-	10	22	1	2	12	2	-
Yttrium (Y)	1	n	-	10	23	1	2	12	2	-
Minimum	-	µg/kg	-	12	13	22	32	21	31	-
Maximum	-	µg/kg	-	54	170	22	48	55	61	-
Médiane	-	µg/kg	-	26,5	38,0	22	40,0	37,0	46,0	-
Moyenne	-	µg/kg	-	28,7	43,1	22	40,0	39,3	46,0	-
Écart-type	-	µg/kg	-	11,4	30,4	NA	11,3	10,7	21,2	-
Effectif sous la LDM	-	n	-	0	0	0	0	0	0	-
Zinc (Zn)	0,06	n	-	10	23	1	2	12	2	-
Minimum	-	mg/kg	-	3	2,6	3,3	2,1	2,5	3,1	-
Maximum	-	mg/kg	-	3,8	9,9	3,3	2,5	5,3	3,7	-
Médiane	-	mg/kg	-	3,55	3,10	3,3	2,30	2,70	3,40	-
Moyenne	-	mg/kg	-	3,47	3,49	3,3	2,30	2,96	3,40	-
Écart-type	-	mg/kg	-	0,27	1,46	NA	0,28	0,76	0,42	-
Effectif sous la LDM	-	n	-	0	0	0	0	0	0	-

Lac L27										
Métaux	Limite de détection de la méthode	Unité	Classe de longueur des grands brochets (mm)				Classe de longueur des touladis (mm)			
			<400	400-550	550-700	≥700	<450	450-550	550-700	≥700
Aluminium (Al)	0,11	n	-	10	15	9	-	1	6	-
Minimum	-	mg/kg	-	0,160	0,180	0,150	-	0,310	0,210	-
Maximum	-	mg/kg	-	0,530	0,860	1,700	-	0,310	0,370	-
Médiane	-	mg/kg	-	0,295	0,280	0,280	-	0,310	0,350	-
Moyenne	-	mg/kg	-	0,337	0,388	0,506	-	0,310	0,330	-
Écart-type	-	mg/kg	-	0,150	0,237	0,501	-	NA	0,060	-
Effectif sous la LDM	-	n	-	0	0	0	-	0	0	-
Arsenic (As)	0,0044	n	-	10	15	9	-	1	6	-
Minimum	-	mg/kg	-	0,0140	0,0180	0,0250	-	0,012	0,00220	-
Maximum	-	mg/kg	-	0,0370	0,0450	0,0470	-	0,012	0,01300	-
Médiane	-	mg/kg	-	0,0200	0,0260	0,0320	-	0,012	0,00780	-
Moyenne	-	mg/kg	-	0,0208	0,0272	0,0350	-	0,012	0,00737	-
Écart-type	-	mg/kg	-	0,0067	0,0081	0,0075	-	NA	0,00366	-
Effectif sous la LDM	-	n	-	0	0	0	-	0	1	-
Baryum (Ba)	0,006-0,00132	n	-	10	15	9	-	1	6	-
Minimum	-	mg/kg	-	0,00310	0,00066	0,00650	-	0,0480	0,0030	-
Maximum	-	mg/kg	-	0,15000	0,06400	0,05000	-	0,0480	0,0280	-
Médiane	-	mg/kg	-	0,02550	0,01000	0,02900	-	0,0480	0,0125	-
Moyenne	-	mg/kg	-	0,03925	0,01749	0,02972	-	0,0480	0,0143	-
Écart-type	-	mg/kg	-	0,04349	0,01921	0,01500	-	NA	0,0098	-
Effectif sous la LDM	-	n	-	0	1	0	-	0	0	-
Cadmium (Cd)	0,0044	n	-	10	15	9	-	1	6	-
Minimum	-	mg/kg	-	0,00220	0,00220	0,00220	-	0,00220	0,00220	-
Maximum	-	mg/kg	-	0,00220	0,00550	0,00580	-	0,00220	0,00220	-
Médiane	-	mg/kg	-	0,00220	0,00220	0,00220	-	0,00220	0,00220	-
Moyenne	-	mg/kg	-	0,00220	0,00242	0,00291	-	0,00220	0,00220	-
Écart-type	-	mg/kg	-	0,00000	0,00085	0,00143	-	NA	0,00000	-
Effectif sous la LDM	-	n	-	10	14	7	-	1	6	-
Cérium (Ce)	1	n	-	10	15	9	-	1	6	-
Minimum	-	µg/kg	-	2,0	2,0	2,0	-	5,0	5,0	-
Maximum	-	µg/kg	-	12,0	11,0	18,0	-	5,0	9,0	-
Médiane	-	µg/kg	-	4,5	6,0	6,0	-	5,0	6,5	-
Moyenne	-	µg/kg	-	5,4	5,7	6,2	-	5,0	6,8	-
Écart-type	-	µg/kg	-	3,2	2,5	4,7	-	NA	1,5	-
Effectif sous la LDM	-	n	-	0	0	0	-	0	0	-
Chrome (Cr)	0,007	n	-	10	15	9	-	1	6	-
Minimum	-	mg/kg	-	0,0380	0,0080	0,023	-	0,0950	0,0920	-
Maximum	-	mg/kg	-	0,6300	1,1000	0,480	-	0,0950	0,7200	-
Médiane	-	mg/kg	-	0,1700	0,2100	0,210	-	0,0950	0,1700	-
Moyenne	-	mg/kg	-	0,2086	0,3281	0,228	-	0,0950	0,2403	-
Écart-type	-	mg/kg	-	0,1632	0,3391	0,196	-	NA	0,2372	-
Effectif sous la LDM	-	n	-	0	0	0	-	0	0	-
Cobalt (Co)	0,001	n	-	10	15	9	-	1	6	-
Minimum	-	mg/kg	-	0,0030	0,0020	0,0020	-	0,010	0,0010	-
Maximum	-	mg/kg	-	0,0070	0,0100	0,0060	-	0,010	0,0120	-
Médiane	-	mg/kg	-	0,0040	0,0050	0,0040	-	0,010	0,0080	-
Moyenne	-	mg/kg	-	0,0043	0,0051	0,0037	-	0,010	0,0072	-
Écart-type	-	mg/kg	-	0,0013	0,0026	0,0015	-	NA	0,0041	-
Effectif sous la LDM	-	n	-	0	0	0	-	0	0	-

L27										
Métaux	Limite de détection de la méthode	Unité	Classe de longueur des grands brochets (mm)				Classe de longueur des touladis (mm)			
			<400	400-550	550-700	≥700	<450	450-550	550-700	≥700
Cuivre (Cu)	0,03	n	-	10	15	9	-	1	6	-
Minimum	-	mg/kg	-	0,130	0,100	0,130	-	0,280	0,180	-
Maximum	-	mg/kg	-	0,230	0,370	0,320	-	0,280	0,310	-
Médiane	-	mg/kg	-	0,170	0,210	0,210	-	0,280	0,280	-
Moyenne	-	mg/kg	-	0,177	0,223	0,214	-	0,280	0,258	-
Écart-type	-	mg/kg	-	0,031	0,081	0,066	-	NA	0,058	-
Effectif sous la LDM	-	n	-	0	0	0	-	0	0	-
Dysprosium (Dy)	1	n	-	10	15	9	-	1	6	-
Minimum	-	µg/kg	-	0,50	0,50	0,50	-	0,50	0,50	-
Maximum	-	µg/kg	-	0,50	1,00	0,50	-	0,50	0,50	-
Médiane	-	µg/kg	-	0,50	0,50	0,50	-	0,50	0,50	-
Moyenne	-	µg/kg	-	0,50	0,53	0,50	-	0,50	0,50	-
Écart-type	-	µg/kg	-	0,00	0,13	0,00	-	NA	0,00	-
Effectif sous la LDM	-	n	-	10	14	9	-	1	6	-
Erbium (Er)	1	n	-	10	15	9	-	1	6	-
Minimum	-	µg/kg	-	0,50	0,50	0,50	-	0,50	0,50	-
Maximum	-	µg/kg	-	0,50	1,00	0,50	-	0,50	0,50	-
Médiane	-	µg/kg	-	0,50	0,50	0,50	-	0,50	0,50	-
Moyenne	-	µg/kg	-	0,50	0,53	0,50	-	0,50	0,50	-
Écart-type	-	µg/kg	-	0,00	0,13	0,00	-	NA	0,00	-
Effectif sous la LDM	-	n	-	10	14	9	-	1	6	-
Europium (Eu)	1	n	-	10	15	9	-	1	6	-
Minimum	-	µg/kg	-	0,50	0,50	0,50	-	0,50	0,50	-
Maximum	-	µg/kg	-	0,50	0,50	0,50	-	0,50	0,50	-
Médiane	-	µg/kg	-	0,50	0,50	0,50	-	0,50	0,50	-
Moyenne	-	µg/kg	-	0,50	0,50	0,50	-	0,50	0,50	-
Écart-type	-	µg/kg	-	0,00	0,00	0,00	-	NA	0,00	-
Effectif sous la LDM	-	n	-	10	15	9	-	1	6	-
Fer (Fe)	0,1	n	-	10	15	9	-	1	6	-
Minimum	-	mg/kg	-	1,80	1,30	1,90	-	3,50	3,00	-
Maximum	-	mg/kg	-	7,20	7,60	8,70	-	3,50	7,00	-
Médiane	-	mg/kg	-	2,65	5,40	5,50	-	3,50	5,40	-
Moyenne	-	mg/kg	-	3,27	4,61	4,73	-	3,50	5,30	-
Écart-type	-	mg/kg	-	1,87	2,05	2,33	-	NA	1,46	-
Effectif sous la LDM	-	n	-	0	0	0	-	0	0	-
Gadolinium (Gd)	2	n	-	10	15	9	-	1	6	-
Minimum	-	µg/kg	-	1,0	1,0	1,0	-	1,0	1,0	-
Maximum	-	µg/kg	-	1,0	1,0	1,0	-	1,0	1,0	-
Médiane	-	µg/kg	-	1,0	1,0	1,0	-	1,0	1,0	-
Moyenne	-	µg/kg	-	1,0	1,0	1,0	-	1,0	1,0	-
Écart-type	-	µg/kg	-	0,0	0,0	0,0	-	NA	0,0	-
Effectif sous la LDM	-	n	-	10	15	9	-	1	6	-
Holmium (Ho)	1	n	-	10	15	9	-	1	6	-
Minimum	-	µg/kg	-	0,50	0,50	0,50	-	0,50	0,50	-
Maximum	-	µg/kg	-	0,50	0,50	0,50	-	0,50	0,50	-
Médiane	-	µg/kg	-	0,50	0,50	0,50	-	0,50	0,50	-
Moyenne	-	µg/kg	-	0,50	0,50	0,50	-	0,50	0,50	-
Écart-type	-	µg/kg	-	0,00	0,00	0,00	-	NA	0,00	-
Effectif sous la LDM	-	n	-	10	15	9	-	1	6	-

L27										
Métaux	Limite de détection de la méthode	Unité	Classe de longueur des grands brochets (mm)				Classe de longueur des touladis (mm)			
			<400	400-550	550-700	≥700	<450	450-550	550-700	≥700
Lanthane (La)	1	n	-	10	15	9	-	1	6	-
Minimum	-	µg/kg	-	0,50	0,50	0,50	-	0,50	0,50	
Maximum	-	µg/kg	-	1,00	3,00	7,00	-	0,50	1,00	-
Médiane	-	µg/kg	-	0,50	0,50	0,50	-	0,50	0,50	-
Moyenne	-	µg/kg	-	0,55	0,90	1,28	-	0,50	0,58	-
Écart-type	-	µg/kg	-	0,16	0,78	2,15	-	NA	0,20	-
Effectif sous la LDM	-	n	-	9	11	7	-	1	5	-
Lithium (Li)	4	n	-	10	15	9	-	1	6	-
Minimum	-	µg/kg	-	2,0	2,0	6,0	-	5,0	2,0	-
Maximum	-	µg/kg	-	9,0	17,0	16,0	-	5,0	8,0	-
Médiane	-	µg/kg	-	2,0	6,0	9,0	-	5,0	3,5	-
Moyenne	-	µg/kg	-	3,0	6,7	9,7	-	5,0	4,2	-
Écart-type	-	µg/kg	-	2,3	4,1	3,3	-	NA	2,6	-
Effectif sous la LDM	-	n	-	8	3	0	-	0	3	-
Lutécium (Lu)	1	n	-	10	15	9	-	1	6	-
Minimum	-	µg/kg	-	0,50	0,50	0,50	-	0,50	0,50	-
Maximum	-	µg/kg	-	0,50	0,50	0,50	-	0,50	0,50	-
Médiane	-	µg/kg	-	0,50	0,50	0,50	-	0,50	0,50	-
Moyenne	-	µg/kg	-	0,50	0,50	0,50	-	0,50	0,50	-
Écart-type	-	µg/kg	-	0,00	0,00	0,00	-	NA	0,00	-
Effectif sous la LDM	-	n	-	10	15	9	-	1	6	-
Manganèse (Mn)	0,01	n	-	10	15	9	-	1	6	-
Minimum	-	mg/kg	-	0,110	0,090	0,080	-	0,080	0,060	-
Maximum	-	mg/kg	-	0,490	0,170	0,270	-	0,080	0,100	-
Médiane	-	mg/kg	-	0,175	0,120	0,100	-	0,080	0,075	-
Moyenne	-	mg/kg	-	0,201	0,121	0,130	-	0,080	0,078	-
Écart-type	-	mg/kg	-	0,112	0,026	0,069	-	NA	0,015	-
Effectif sous la LDM	-	n	-	0	0	0	-	0	0	-
Mercure (Hg)	0,01	n	-	10	15	9	-	1	6	-
Minimum	-	mg/kg	-	0,180	0,180	0,530	-	0,160	0,370	-
Maximum	-	mg/kg	-	0,330	1,100	1,400	-	0,160	0,870	-
Médiane	-	mg/kg	-	0,215	0,450	1,000	-	0,160	0,680	-
Moyenne	-	mg/kg	-	0,229	0,605	0,898	-	0,160	0,622	-
Écart-type	-	mg/kg	-	0,049	0,324	0,302	-	NA	0,207	-
Effectif sous la LDM	-	n	-	0	0	0	-	0	0	-
Molybdène (Mo)	0,001-0,00022	n	-	10	15	9	-	1	6	-
Minimum	-	mg/kg	-	0,0010	0,0010	0,0010	-	0,0030	0,0020	-
Maximum	-	mg/kg	-	0,0110	0,0180	0,0100	-	0,0030	0,0130	-
Médiane	-	mg/kg	-	0,0040	0,0040	0,0040	-	0,0030	0,0030	-
Moyenne	-	mg/kg	-	0,0048	0,0066	0,0047	-	0,0030	0,0045	-
Écart-type	-	mg/kg	-	0,0027	0,0054	0,0037	-	NA	0,0042	-
Effectif sous la LDM	-	n	-	0	0	0	-	0	0	-
Néodyme (Nd)	1	n	-	10	15	9	-	1	6	-
Minimum	-	µg/kg	-	0,50	0,50	0,50	-	0,50	0,50	-
Maximum	-	µg/kg	-	2,00	3,00	6,00	-	0,50	0,50	-
Médiane	-	µg/kg	-	0,50	0,50	0,50	-	0,50	0,50	-
Moyenne	-	µg/kg	-	0,80	0,80	1,17	-	0,50	0,50	-
Écart-type	-	µg/kg	-	0,63	0,73	1,82	-	NA	0,00	-
Effectif sous la LDM	-	n	-	8	12	7	-	1	6	-

L27										
Métaux	Limite de détection de la méthode	Unité	Classe de longueur des grands brochets (mm)				Classe de longueur des touladis (mm)			
			<400	400-550	550-700	≥700	<450	450-550	550-700	≥700
Nickel (Ni)	0,006-0,00132	n	-	10	15	9	-	1	6	-
Minimum	-	mg/kg	-	0,0210	0,0070	0,012	-	0,0490	0,0390	-
Maximum	-	mg/kg	-	0,1900	0,3600	0,160	-	0,0490	0,2300	-
Médiane	-	mg/kg	-	0,0565	0,0640	0,069	-	0,0490	0,0635	-
Moyenne	-	mg/kg	-	0,0703	0,1064	0,079	-	0,0490	0,0858	-
Écart-type	-	mg/kg	-	0,0485	0,1091	0,063	-	NA	0,0715	-
Effectif sous la LDM	-	n	-	0	0	0	-	0	0	-
Niobium (Nb)	1	n	-	10	15	9	-	1	6	-
Minimum	-	µg/kg	-	2,0	0,5	1,0	-	5,0	4,0	-
Maximum	-	µg/kg	-	38,0	70,0	25,0	-	5,0	59,0	-
Médiane	-	µg/kg	-	8,0	15,0	11,0	-	5,0	11,0	-
Moyenne	-	µg/kg	-	11,5	21,3	12,0	-	5,0	17,5	-
Écart-type	-	µg/kg	-	10,8	21,5	9,7	-	NA	20,5	-
Effectif sous la LDM	-	n	-	0	1	0	-	0	0	-
Plomb (Pb)	0,00044	n	-	10	15	9	-	1	6	-
Minimum	-	mg/kg	-	0,00022	0,00022	0,00022	-	0,0020	0,00060	-
Maximum	-	mg/kg	-	0,00560	0,00870	0,02200	-	0,0020	0,00230	-
Médiane	-	mg/kg	-	0,00075	0,00100	0,00150	-	0,0020	0,00115	-
Moyenne	-	mg/kg	-	0,00129	0,00187	0,00388	-	0,0020	0,00133	-
Écart-type	-	mg/kg	-	0,00158	0,00248	0,00694	-	NA	0,00068	-
Effectif sous la LDM	-	n	-	2	3	2	-	0	0	-
Praséodyme (Pr)	1	n	-	10	15	9	-	1	6	-
Minimum	-	µg/kg	-	0,50	0,50	0,50	-	0,50	0,50	-
Maximum	-	µg/kg	-	0,50	0,50	1,00	-	0,50	0,50	-
Médiane	-	µg/kg	-	0,50	0,50	0,50	-	0,50	0,50	-
Moyenne	-	µg/kg	-	0,50	0,50	0,56	-	0,50	0,50	-
Écart-type	-	µg/kg	-	0,00	0,00	0,17	-	NA	0,00	-
Effectif sous la LDM	-	n	-	10	15	8	-	1	6	-
Samarium (Sm)	1	n	-	10	15	9	-	1	6	-
Minimum	-	µg/kg	-	0,50	0,50	0,50	-	0,50	0,50	-
Maximum	-	µg/kg	-	0,50	0,50	1,00	-	0,50	0,50	-
Médiane	-	µg/kg	-	0,50	0,50	0,50	-	0,50	0,50	-
Moyenne	-	µg/kg	-	0,50	0,50	0,56	-	0,50	0,50	-
Écart-type	-	µg/kg	-	0,00	0,00	0,17	-	NA	0,00	-
Effectif sous la LDM	-	n	-	10	15	8	-	1	6	-
Scandium (Sc)	1	n	-	10	15	9	-	1	6	-
Minimum	-	µg/kg	-	0,50	0,50	0,50	-	0,50	0,50	-
Maximum	-	µg/kg	-	0,50	1,00	0,50	-	0,50	0,50	-
Médiane	-	µg/kg	-	0,50	0,50	0,50	-	0,50	0,50	-
Moyenne	-	µg/kg	-	0,50	0,53	0,50	-	0,50	0,50	-
Écart-type	-	µg/kg	-	0,00	0,13	0,00	-	NA	0,00	-
Effectif sous la LDM	-	n	-	10	14	9	-	1	6	-
Sélénium (Se)	0,06	n	-	10	15	9	-	1	6	-
Minimum	-	mg/kg	-	0,230	0,270	0,300	-	0,380	0,280	-
Maximum	-	mg/kg	-	0,440	0,400	0,540	-	0,380	0,480	-
Médiane	-	mg/kg	-	0,340	0,340	0,460	-	0,380	0,410	-
Moyenne	-	mg/kg	-	0,339	0,339	0,453	-	0,380	0,407	-
Écart-type	-	mg/kg	-	0,057	0,037	0,078	-	NA	0,070	-
Effectif sous la LDM	-	n	-	0	0	0	-	0	0	-

L27										
Métaux	Limite de détection de la méthode	Unité	Classe de longueur des grands brochets (mm)				Classe de longueur des touladis (mm)			
			<400	400-550	550-700	≥700	<450	450-550	550-700	≥700
Strontium (Sr)	0,0154	n	-	10	15	9	-	1	6	-
Minimum	-	mg/kg	-	0,0200	0,0220	0,0410	-	0,150	0,0440	-
Maximum	-	mg/kg	-	1,2000	0,2000	0,1500	-	0,150	0,1100	-
Médiane	-	mg/kg	-	0,1230	0,0470	0,1200	-	0,150	0,0735	-
Moyenne	-	mg/kg	-	0,2689	0,0650	0,1070	-	0,150	0,0753	-
Écart-type	-	mg/kg	-	0,3708	0,0480	0,0413	-	NA	0,0288	-
Effectif sous la LDM	-	n	-	0	0	0	-	0	0	-
Terbium (Tb)	1	n	-	10	15	9	-	1	6	-
Minimum	-	µg/kg	-	0,50	0,50	0,50	-	0,50	0,50	-
Maximum	-	µg/kg	-	0,50	0,50	0,50	-	0,50	0,50	-
Médiane	-	µg/kg	-	0,50	0,50	0,50	-	0,50	0,50	-
Moyenne	-	µg/kg	-	0,50	0,50	0,50	-	0,50	0,50	-
Écart-type	-	µg/kg	-	0,00	0,00	0,00	-	NA	0,00	-
Effectif sous la LDM	-	n	-	10	15	9	-	1	6	-
Thallium (Tl)	0,001	n	-	10	15	9	-	1	6	-
Minimum	-	mg/kg	-	0,0060	0,0050	0,0050	-	0,0110	0,0050	-
Maximum	-	mg/kg	-	0,0130	0,0090	0,0090	-	0,0110	0,0130	-
Médiane	-	mg/kg	-	0,0095	0,0080	0,0060	-	0,0110	0,0080	-
Moyenne	-	mg/kg	-	0,0094	0,0073	0,0067	-	0,0110	0,0083	-
Écart-type	-	mg/kg	-	0,0024	0,0013	0,0014	-	NA	0,0033	-
Effectif sous la LDM	-	n	-	0	0	0	-	0	0	-
Thorium (Th)	1	n	-	10	15	9	-	1	6	-
Minimum	-	µg/kg	-	0,50	0,50	0,50	-	0,50	0,50	-
Maximum	-	µg/kg	-	0,50	8,00	0,50	-	0,50	0,50	-
Médiane	-	µg/kg	-	0,50	0,50	0,50	-	0,50	0,50	-
Moyenne	-	µg/kg	-	0,50	1,00	0,50	-	0,50	0,50	-
Écart-type	-	µg/kg	-	0,00	1,94	0,00	-	NA	0,00	-
Effectif sous la LDM	-	n	-	10	14	9	-	1	6	-
Thulium (Tm)	1	n	-	10	15	9	-	1	6	-
Minimum	-	µg/kg	-	0,50	0,50	0,50	-	0,50	0,50	-
Maximum	-	µg/kg	-	0,50	0,50	0,50	-	0,50	0,50	-
Médiane	-	µg/kg	-	0,50	0,50	0,50	-	0,50	0,50	-
Moyenne	-	µg/kg	-	0,50	0,50	0,50	-	0,50	0,50	-
Écart-type	-	µg/kg	-	0,00	0,00	0,00	-	NA	0,00	-
Effectif sous la LDM	-	n	-	10	15	9	-	1	6	-
Uranium (U)	0,00022	n	-	10	15	9	-	1	6	-
Minimum	-	mg/kg	-	0,0001	0,00011	0,00011	-	0,000110	0,00011	-
Maximum	-	mg/kg	-	0,0003	0,00330	0,00011	-	0,000110	0,00011	-
Médiane	-	mg/kg	-	0,0001	0,00011	0,00011	-	0,000110	0,00011	-
Moyenne	-	mg/kg	-	0,0001	0,00034	0,00011	-	0,000110	0,00011	-
Écart-type	-	mg/kg	-	0,0001	0,00082	0,00000	-	NA	0,00000	-
Effectif sous la LDM	-	n	-	9	13	9	-	1	6	-
Vanadium (V)	0,0044	n	-	10	15	9	-	1	6	-
Minimum	-	mg/kg	-	0,00220	0,00220	0,00220	-	0,00220	0,00220	-
Maximum	-	mg/kg	-	0,00500	0,00750	0,00690	-	0,00220	0,00460	-
Médiane	-	mg/kg	-	0,00220	0,00220	0,00220	-	0,00220	0,00220	-
Moyenne	-	mg/kg	-	0,00296	0,00305	0,00272	-	0,00220	0,00260	-
Écart-type	-	mg/kg	-	0,00123	0,00185	0,00157	-	NA	0,00098	-
Effectif sous la LDM	-	n	-	8	12	8	-	1	5	-

L27										
Métaux	Limite de détection de la méthode	Unité	Classe de longueur des grands brochets (mm)				Classe de longueur des touladis (mm)			
			<400	400-550	550-700	≥700	<450	450-550	550-700	≥700
Ytterbium (Yb)	1 - 2	n	-	10	15	9	-	1	6	-
Minimum	-	µg/kg	-	1,0	0,5	1,0	-	1,0	1,0	-
Maximum	-	µg/kg	-	1,0	4,0	1,0	-	1,0	1,0	-
Médiane	-	µg/kg	-	1,0	1,0	1,0	-	1,0	1,0	-
Moyenne	-	µg/kg	-	1,0	1,2	1,0	-	1,0	1,0	-
Écart-type	-	µg/kg	-	0,0	14	0,0	-	NA	0,0	-
Effectif sous la LDM	-	n	-	10	15	9	-	1	6	-
Yttrium (Y)	1	n	-	10	15	9	-	1	6	-
Minimum	-	µg/kg	-	13,0	14,0	15,0	-	39,0	24,0	-
Maximum	-	µg/kg	-	59,0	74,0	71,0	-	39,0	77,0	-
Médiane	-	µg/kg	-	38,0	41,0	52,0	-	39,0	55,5	-
Moyenne	-	µg/kg	-	36,7	40,0	44,2	-	39,0	52,7	-
Écart-type	-	µg/kg	-	13,3	16,7	19,5	-	NA	20,1	-
Effectif sous la LDM	-	n	-	0	0	0	-	0	0	-
Zinc (Zn)	0,06	n	-	10	15	9	-	1	6	-
Minimum	-	mg/kg	-	2,40	2,30	2,60	-	2,70	2,70	-
Maximum	-	mg/kg	-	3,80	3,20	3,70	-	2,70	4,30	-
Médiane	-	mg/kg	-	3,25	2,90	3,10	-	2,70	3,20	-
Moyenne	-	mg/kg	-	3,22	2,86	3,14	-	2,70	3,38	-
Écart-type	-	mg/kg	-	0,38	0,28	0,29	-	NA	0,71	-
Effectif sous la LDM	-	n	-	0	0	0	-	0	0	-

Lac L823						
Métaux	Limite de détection de la méthode	Unité	Classe de longueur des grands brochets (mm)			
			<400	400-550	550-700	≥700
Aluminium (Al)	0,11	n	-	-	15	15
Minimum	-	mg/kg	-	-	0,0550	0,055
Maximum	-	mg/kg	-	-	0,3100	0,260
Médiane	-	mg/kg	-	-	0,1300	0,160
Moyenne	-	mg/kg	-	-	0,1287	0,156
Écart-type	-	mg/kg	-	-	0,0662	0,049
Effectif sous la LDM	-	n	-	-	0	0
Arsenic (As)	0,0044	n	-	-	15	15
Minimum	-	mg/kg	-	-	0,0130	0,0140
Maximum	-	mg/kg	-	-	0,0220	0,0300
Médiane	-	mg/kg	-	-	0,0150	0,0190
Moyenne	-	mg/kg	-	-	0,0162	0,0202
Écart-type	-	mg/kg	-	-	0,0033	0,0045
Effectif sous la LDM	-	n	-	-	0	0
Baryum (Ba)	0,006-0,00132	n	-	-	15	15
Minimum	-	mg/kg	-	-	0,00600	0,00400
Maximum	-	mg/kg	-	-	0,04700	0,06400
Médiane	-	mg/kg	-	-	0,00800	0,00730
Moyenne	-	mg/kg	-	-	0,01156	0,01309
Écart-type	-	mg/kg	-	-	0,01075	0,01654
Effectif sous la LDM	-	n	-	-	0	0
Cadmium (Cd)	0,0044	n	-	-	15	15
Minimum	-	mg/kg	-	-	0,00220	0,00220
Maximum	-	mg/kg	-	-	0,00600	0,00520
Médiane	-	mg/kg	-	-	0,00220	0,00220
Moyenne	-	mg/kg	-	-	0,00245	0,00255
Écart-type	-	mg/kg	-	-	0,00098	0,00094
Effectif sous la LDM	-	n	-	-	14	13
Cérium (Ce)	1	n	-	-	15	15
Minimum	-	µg/kg	-	-	1,0	1,0
Maximum	-	µg/kg	-	-	17,0	5,0
Médiane	-	µg/kg	-	-	2,0	2,0
Moyenne	-	µg/kg	-	-	3,1	2,3
Écart-type	-	µg/kg	-	-	4,0	1,0
Effectif sous la LDM	-	n	-	-	0	0
Chrome (Cr)	0,007	n	-	-	15	15
Minimum	-	mg/kg	-	-	0,0130	0,0170
Maximum	-	mg/kg	-	-	0,5300	0,4800
Médiane	-	mg/kg	-	-	0,0380	0,0930
Moyenne	-	mg/kg	-	-	0,0952	0,1648
Écart-type	-	mg/kg	-	-	0,1372	0,1758
Effectif sous la LDM	-	n	-	-	0	0
Cobalt (Co)	0,001	n	-	-	15	15
Minimum	-	mg/kg	-	-	0,0010	0,0010
Maximum	-	mg/kg	-	-	0,0050	0,0050
Médiane	-	mg/kg	-	-	0,0020	0,0030
Moyenne	-	mg/kg	-	-	0,0027	0,0031
Écart-type	-	mg/kg	-	-	0,0012	0,0011
Effectif sous la LDM	-	n	-	-	0	0

Lac L823						
Métaux	Limite de détection de la méthode	Unité	Classe de longueur des grands brochets (mm)			
			<400	400-550	550-700	≥700
Cuivre (Cu)	0,03	n	-	-	15	15
Minimum	-	mg/kg	-	-	0,090	0,110
Maximum	-	mg/kg	-	-	0,290	0,300
Médiane	-	mg/kg	-	-	0,130	0,190
Moyenne	-	mg/kg	-	-	0,150	0,193
Écart-type	-	mg/kg	-	-	0,055	0,062
Effectif sous la LDM	-	n	-	-	0	0
Dysprosium (Dy)	1	n	-	-	15	15
Minimum	-	µg/kg	-	-	0,50	0,50
Maximum	-	µg/kg	-	-	0,50	0,50
Médiane	-	µg/kg	-	-	0,50	0,50
Moyenne	-	µg/kg	-	-	0,50	0,50
Écart-type	-	µg/kg	-	-	0,00	0,00
Effectif sous la LDM	-	n	-	-	15	15
Erbium (Er)	1	n	-	-	15	15
Minimum	-	µg/kg	-	-	0,50	0,50
Maximum	-	µg/kg	-	-	0,50	0,50
Médiane	-	µg/kg	-	-	0,50	0,50
Moyenne	-	µg/kg	-	-	0,50	0,50
Écart-type	-	µg/kg	-	-	0,00	0,00
Effectif sous la LDM	-	n	-	-	15	15
Europium (Eu)	1	n	-	-	15	15
Minimum	-	µg/kg	-	-	0,50	0,50
Maximum	-	µg/kg	-	-	0,50	0,50
Médiane	-	µg/kg	-	-	0,50	0,50
Moyenne	-	µg/kg	-	-	0,50	0,50
Écart-type	-	µg/kg	-	-	0,00	0,00
Effectif sous la LDM	-	n	-	-	15	15
Fer (Fe)	0,1	n	-	-	15	15
Minimum	-	mg/kg	-	-	1,00	1,30
Maximum	-	mg/kg	-	-	5,80	5,30
Médiane	-	mg/kg	-	-	1,50	2,50
Moyenne	-	mg/kg	-	-	2,10	2,84
Écart-type	-	mg/kg	-	-	1,34	1,27
Effectif sous la LDM	-	n	-	-	0	0
Gadolinium (Gd)	2	n	-	-	15	15
Minimum	-	µg/kg	-	-	1,0	1,0
Maximum	-	µg/kg	-	-	1,0	1,0
Médiane	-	µg/kg	-	-	1,0	1,0
Moyenne	-	µg/kg	-	-	1,0	1,0
Écart-type	-	µg/kg	-	-	0,0	0,0
Effectif sous la LDM	-	n	-	-	15	15
Holmium (Ho)	1	n	-	-	15	15
Minimum	-	µg/kg	-	-	0,50	0,50
Maximum	-	µg/kg	-	-	0,50	0,50
Médiane	-	µg/kg	-	-	0,50	0,50
Moyenne	-	µg/kg	-	-	0,50	0,50
Écart-type	-	µg/kg	-	-	0,00	0,00
Effectif sous la LDM	-	n	-	-	15	15

Lac L823						
Métaux	Limite de détection de la méthode	Unité	Classe de longueur des grands brochets (mm)			
			<400	400-550	550-700	≥700
Lanthane (La)	1	n		-	15	15
Minimum	-	µg/kg	-	-	0,50	0,50
Maximum	-	µg/kg	-	-	10,00	0,50
Médiane	-	µg/kg	-	-	0,50	0,50
Moyenne	-	µg/kg	-	-	1,13	0,50
Écart-type	-	µg/kg	-	-	2,45	0,00
Effectif sous la LDM	-	n	-	-	14	15
Lithium (Li)	4	n	-	-	15	15
Minimum	-	µg/kg	-	-	2,00	2,0
Maximum	-	µg/kg	-	-	9,00	9,0
Médiane	-	µg/kg	-	-	5,00	5,0
Moyenne	-	µg/kg	-	-	5,00	4,5
Écart-type	-	µg/kg	-	-	2,59	2,4
Effectif sous la LDM	-	n	-	-	5	6
Lutécium (Lu)	1	n	-	-	15	15
Minimum	-	µg/kg	-	-	0,50	0,50
Maximum	-	µg/kg	-	-	0,50	0,50
Médiane	-	µg/kg	-	-	0,50	0,50
Moyenne	-	µg/kg	-	-	0,50	0,50
Écart-type	-	µg/kg	-	-	0,00	0,00
Effectif sous la LDM	-	n	-	-	15	15
Manganèse (Mn)	0,01	n	-	-	15	15
Minimum	-	mg/kg	-	-	0,060	0,070
Maximum	-	mg/kg	-	-	0,210	0,240
Médiane	-	mg/kg	-	-	0,110	0,100
Moyenne	-	mg/kg	-	-	0,113	0,110
Écart-type	-	mg/kg	-	-	0,033	0,048
Effectif sous la LDM	-	n	-	-	0	0
Mercure (Hg)	0,01	n	-	-	15	15
Minimum	-	mg/kg	-	-	0,160	0,260
Maximum	-	mg/kg	-	-	0,880	0,920
Médiane	-	mg/kg	-	-	0,260	0,500
Moyenne	-	mg/kg	-	-	0,301	0,580
Écart-type	-	mg/kg	-	-	0,182	0,213
Effectif sous la LDM	-	n	-	-	0	0
Molybdène (Mo)	0,001-0,00022	n	-	-	15	15
Minimum	-	mg/kg	-	-	0,0001	0,0001
Maximum	-	mg/kg	-	-	0,0080	0,0080
Médiane	-	mg/kg	-	-	0,0020	0,0020
Moyenne	-	mg/kg	-	-	0,0022	0,0029
Écart-type	-	mg/kg	-	-	0,0019	0,0027
Effectif sous la LDM	-	n	-	-	1	2
Néodyme (Nd)	1	n	-	-	15	15
Minimum	-	µg/kg	-	-	0,50	0,50
Maximum	-	µg/kg	-	-	4,00	0,50
Médiane	-	µg/kg	-	-	0,50	0,50
Moyenne	-	µg/kg	-	-	0,73	0,50
Écart-type	-	µg/kg	-	-	0,90	0,00
Effectif sous la LDM	-	n	-	-	14	15

Lac L823						
Métaux	Limite de détection de la méthode	Unité	Classe de longueur des grands brochets (mm)			
			<400	400-550	550-700	≥700
Nickel (Ni)	0,006-0,00132	n	-	-	15	15
Minimum	-	mg/kg	-	-	0,0050	0,0060
Maximum	-	mg/kg	-	-	0,1600	0,1500
Médiane	-	mg/kg	-	-	0,0140	0,0300
Moyenne	-	mg/kg	-	-	0,0313	0,0524
Écart-type	-	mg/kg	-	-	0,0408	0,0528
Effectif sous la LDM	-	n	-	-	0	0
Niobium (Nb)	1	n	-	-	15	15
Minimum	-	µg/kg	-	-	0,5	1,0
Maximum	-	µg/kg	-	-	35,0	34,0
Médiane	-	µg/kg	-	-	4,0	5,0
Moyenne	-	µg/kg	-	-	6,7	10,9
Écart-type	-	µg/kg	-	-	9,1	12,1
Effectif sous la LDM	-	n	-	-	1	0
Plomb (Pb)	0,00044	n	-	-	15	15
Minimum	-	mg/kg	-	-	0,0002	0,0002
Maximum	-	mg/kg	-	-	0,0020	0,0020
Médiane	-	mg/kg	-	-	0,00022	0,00070
Moyenne	-	mg/kg	-	-	0,00062	0,00066
Écart-type	-	mg/kg	-	-	0,00053	0,00052
Effectif sous la LDM	-	n	-	-	8	7
Praséodyme (Pr)	1	n	-	-	15	15
Minimum	-	µg/kg	-	-	0,50	0,50
Maximum	-	µg/kg	-	-	1,00	0,50
Médiane	-	µg/kg	-	-	0,50	0,50
Moyenne	-	µg/kg	-	-	0,53	0,50
Écart-type	-	µg/kg	-	-	0,13	0,00
Effectif sous la LDM	-	n	-	-	1	15
Samarium (Sm)	1	n	-	-	15	15
Minimum	-	µg/kg	-	-	0,50	0,50
Maximum	-	µg/kg	-	-	0,50	0,50
Médiane	-	µg/kg	-	-	0,50	0,50
Moyenne	-	µg/kg	-	-	0,50	0,50
Écart-type	-	µg/kg	-	-	0,00	0,00
Effectif sous la LDM	-	n	-	-	15	15
Scandium (Sc)	1	n	-	-	15	15
Minimum	-	µg/kg	-	-	0,50	0,50
Maximum	-	µg/kg	-	-	0,50	0,50
Médiane	-	µg/kg	-	-	0,50	0,50
Moyenne	-	µg/kg	-	-	0,50	0,50
Écart-type	-	µg/kg	-	-	0,00	0,00
Effectif sous la LDM	-	n	-	-	15	15
Sélénium (Se)	0,06	n	-	-	15	15
Minimum	-	mg/kg	-	-	0,300	0,310
Maximum	-	mg/kg	-	-	0,450	0,590
Médiane	-	mg/kg	-	-	0,380	0,440
Moyenne	-	mg/kg	-	-	0,378	0,443
Écart-type	-	mg/kg	-	-	0,044	0,088
Effectif sous la LDM	-	n	-	-	0	0

Lac L823						
Métaux	Limite de détection de la méthode	Unité	Classe de longueur des grands brochets (mm)			
			<400	400-550	550-700	≥700
Strontium (Sr)	0,0154	n	-	-	15	15
Minimum	-	mg/kg	-	-	0,0330	0,0310
Maximum	-	mg/kg	-	-	0,3700	0,5800
Médiane	-	mg/kg	-	-	0,0560	0,0520
Moyenne	-	mg/kg	-	-	0,0913	0,1115
Écart-type	-	mg/kg	-	-	0,0901	0,1578
Effectif sous la LDM	-	n	-	-	0	0
Terbium (Tb)	1	n	-	-	15	15
Minimum	-	µg/kg	-	-	0,50	0,50
Maximum	-	µg/kg	-	-	0,50	0,50
Médiane	-	µg/kg	-	-	0,50	0,50
Moyenne	-	µg/kg	-	-	0,50	0,50
Écart-type	-	µg/kg	-	-	0,00	0,00
Effectif sous la LDM	-	n	-	-	15	15
Thallium (Tl)	0,001	n	-	-	15	15
Minimum	-	mg/kg	-	-	0,0070	0,0040
Maximum	-	mg/kg	-	-	0,0120	0,0120
Médiane	-	mg/kg	-	-	0,0100	0,0080
Moyenne	-	mg/kg	-	-	0,0098	0,0089
Écart-type	-	mg/kg	-	-	0,0016	0,0023
Effectif sous la LDM	-	n	-	-	0	0
Thorium (Th)	1	n	-	-	15	15
Minimum	-	µg/kg	-	-	0,50	0,50
Maximum	-	µg/kg	-	-	0,50	0,50
Médiane	-	µg/kg	-	-	0,50	0,50
Moyenne	-	µg/kg	-	-	0,50	0,50
Écart-type	-	µg/kg	-	-	0,00	0,00
Effectif sous la LDM	-	n	-	-	15	15
Thulium (Tm)	1	n	-	-	15	15
Minimum	-	µg/kg	-	-	0,50	0,50
Maximum	-	µg/kg	-	-	0,50	0,50
Médiane	-	µg/kg	-	-	0,50	0,50
Moyenne	-	µg/kg	-	-	0,50	0,50
Écart-type	-	µg/kg	-	-	0,00	0,00
Effectif sous la LDM	-	n	-	-	15	15
Uranium (U)	0,00022	n	-	-	15	15
Minimum	-	mg/kg	-	-	0,000110	0,000110
Maximum	-	mg/kg	-	-	0,000110	0,000110
Médiane	-	mg/kg	-	-	0,000110	0,000110
Moyenne	-	mg/kg	-	-	0,000110	0,000110
Écart-type	-	mg/kg	-	-	0,000000	0,000000
Effectif sous la LDM	-	n	-	-	15	15
Vanadium (V)	0,0044	n	-	-	15	15
Minimum	-	mg/kg	-	-	0,00220	0,00220
Maximum	-	mg/kg	-	-	0,00220	0,00220
Médiane	-	mg/kg	-	-	0,00220	0,00220
Moyenne	-	mg/kg	-	-	0,00220	0,00220
Écart-type	-	mg/kg	-	-	0,00000	0,00000
Effectif sous la LDM	-	n	-	-	15	15

Lac L823						
Métaux	Limite de détection de la méthode	Unité	Classe de longueur des grands brochets (mm)			
			<400	400-550	550-700	≥700
Ytterbium (Yb)	2	n	-	-	15	15
Minimum	-	µg/kg	-	-	1,0	1,0
Maximum	-	µg/kg	-	-	1,0	1,0
Médiane	-	µg/kg	-	-	1,0	1,0
Moyenne	-	µg/kg	-	-	1,0	1,0
Écart-type	-	µg/kg	-	-	0,0	0,0
Effectif sous la LDM	-	n	-	-	15	15
Yttrium (Y)	1	n	-	-	15	15
Minimum	-	µg/kg	-	-	12,0	13,0
Maximum	-	µg/kg	-	-	37,0	38,0
Médiane	-	µg/kg	-	-	17,0	20,0
Moyenne	-	µg/kg	-	-	19,1	21,5
Écart-type	-	µg/kg	-	-	6,3	7,9
Effectif sous la LDM	-	n	-	-	0	0
Zinc (Zn)	0,06	n	-	-	15	15
Minimum	-	mg/kg	-	-	2,70	2,50
Maximum	-	mg/kg	-	-	3,60	3,80
Médiane	-	mg/kg	-	-	2,90	2,90
Moyenne	-	mg/kg	-	-	3,02	3,00
Écart-type	-	mg/kg	-	-	0,30	0,40
Effectif sous la LDM	-	n	-	-	0	0

Annexe 4

Variation des teneurs en mercure en fonction de la longueur totale des grands brochets et/ou des touladis dans les lacs L01, L27 et L823

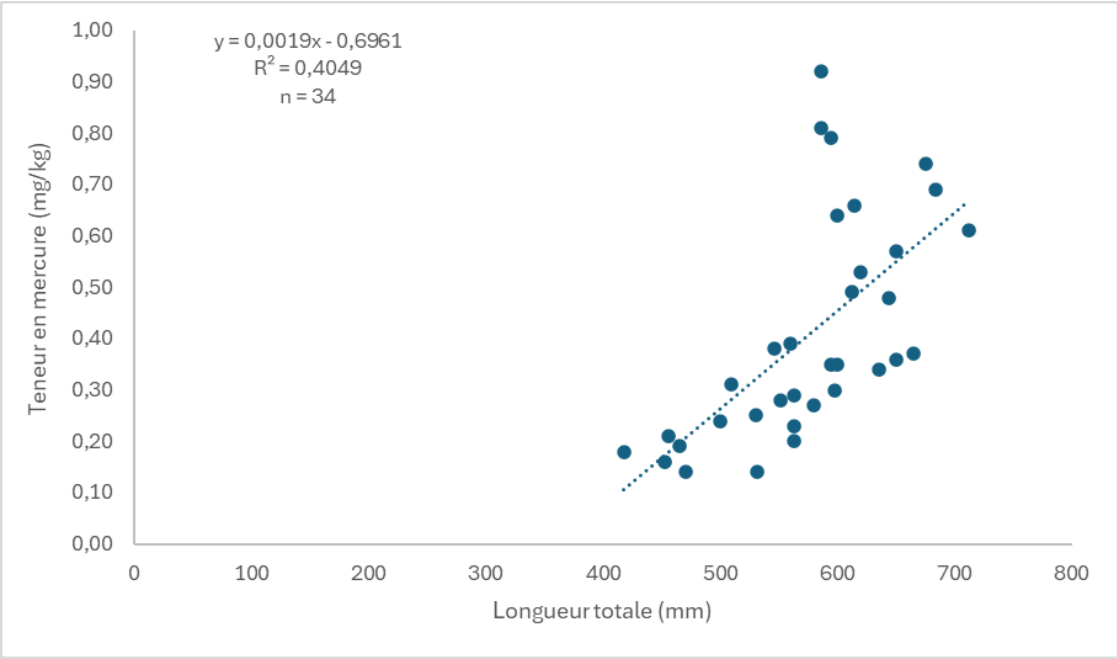

Figure 1. **Teneurs en mercure dans la chair des grands brochets en fonction de la longueur totale au lac L01**

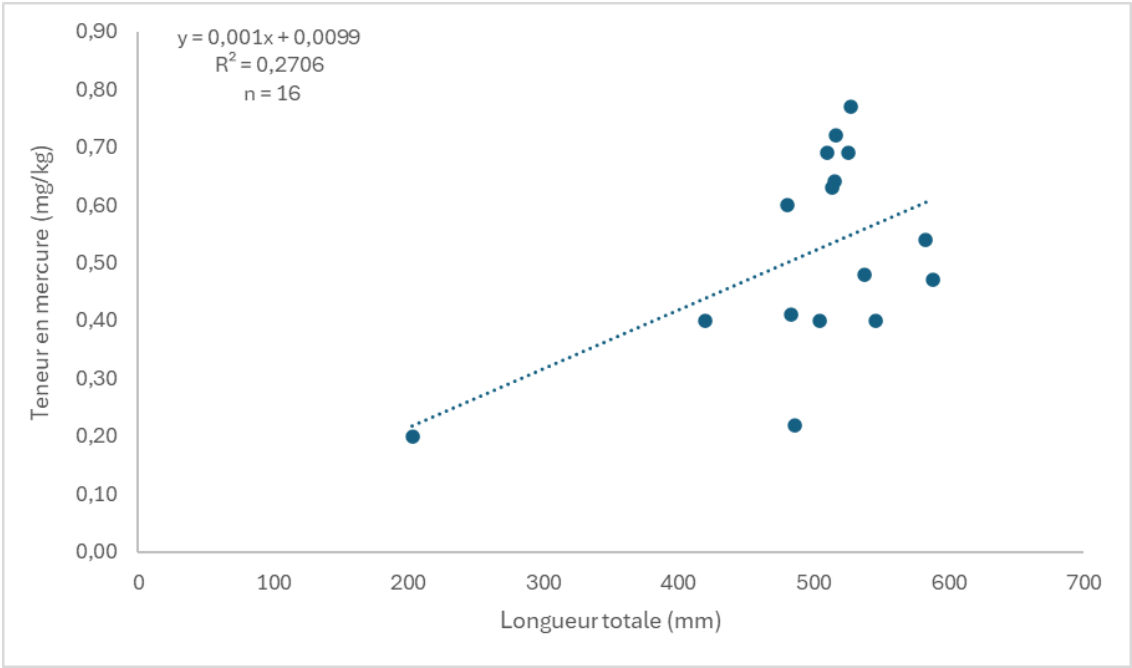

Figure 2. **Teneurs en mercure dans la chair des touladis en fonction de la longueur totale au lac L01**

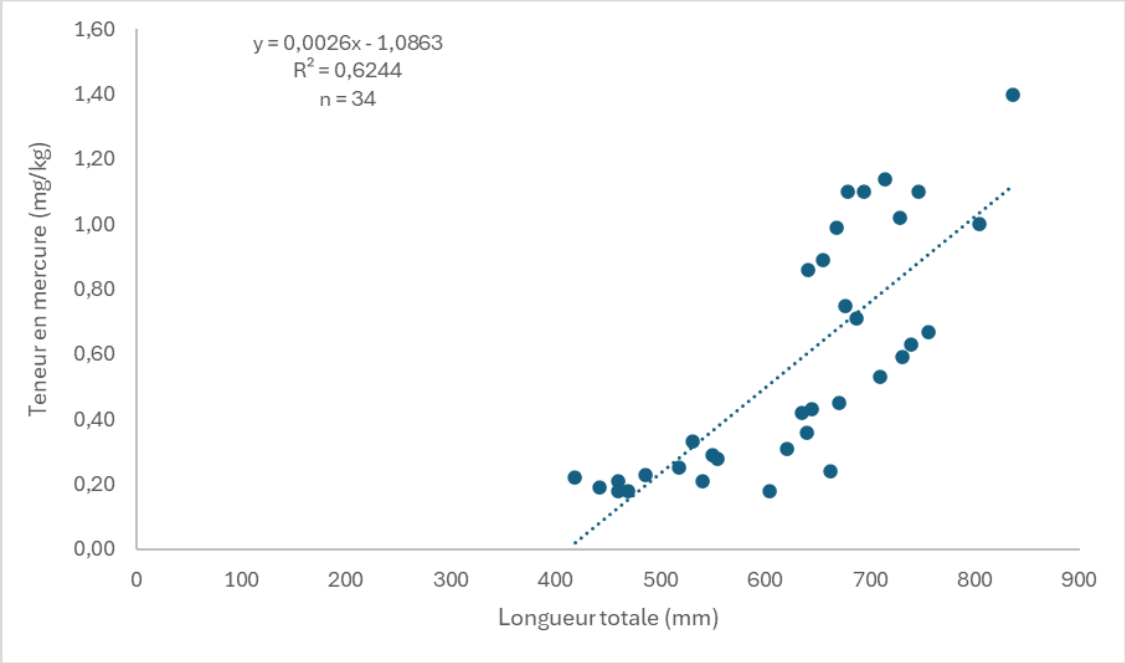

Figure 3. **Teneurs en mercure dans la chair des grands brochets en fonction de la longueur totale au lac L27**

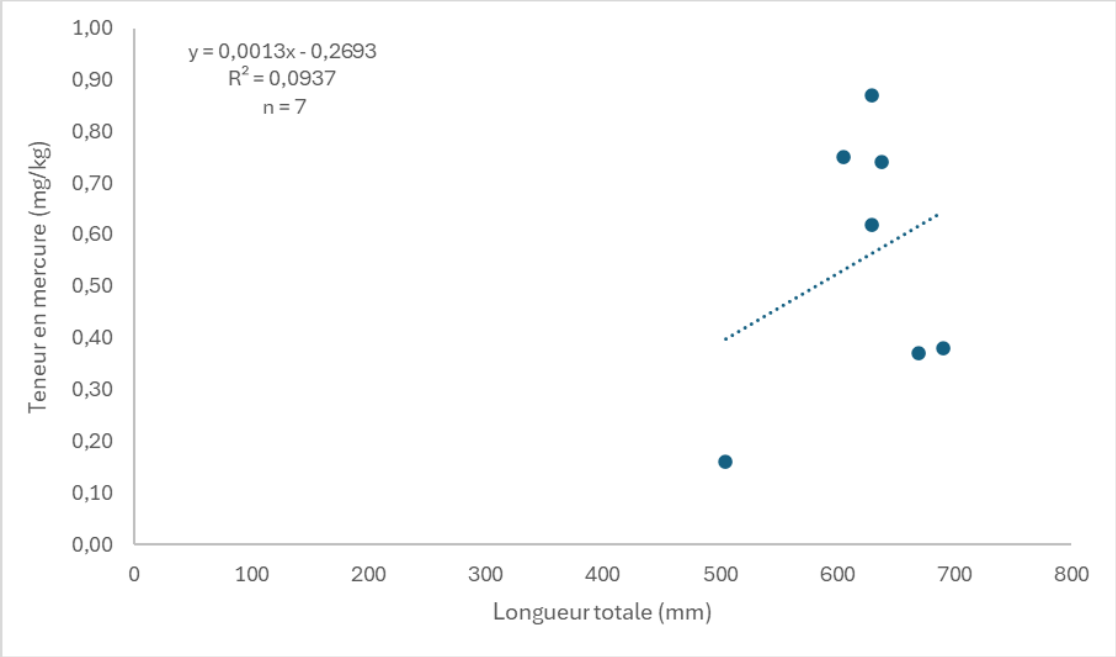

Figure 4. **Teneurs en mercure dans la chair des touladis en fonction de la longueur totale au lac L27**

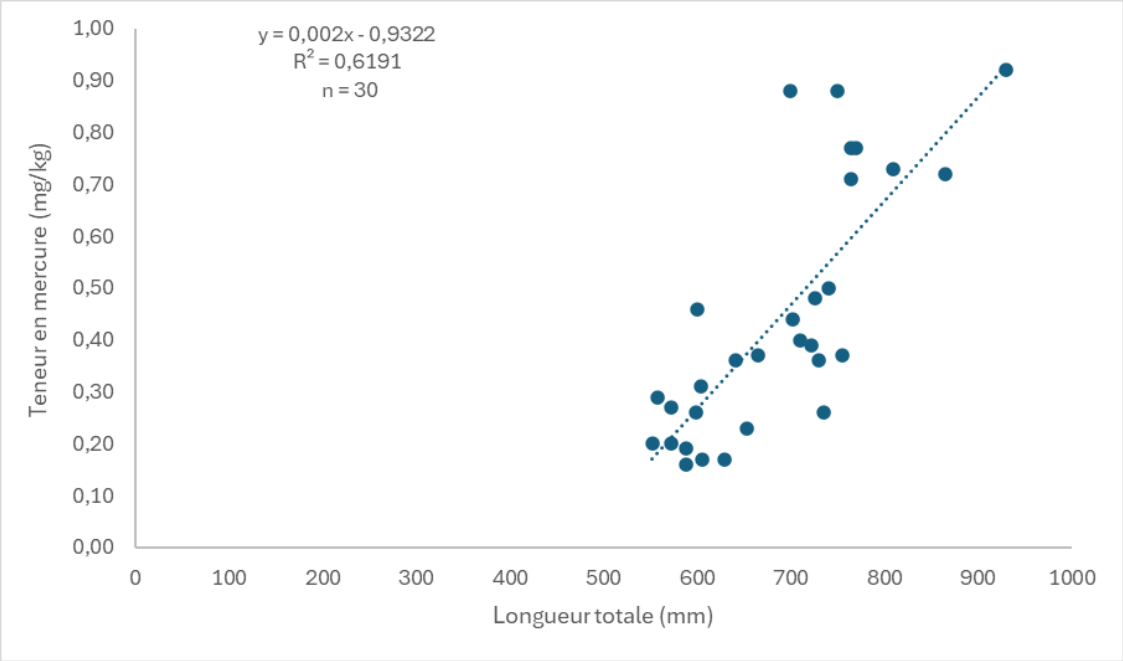

Figure 5. Teneurs en mercure dans la chair des grands brochets en fonction de la longueur totale au lac L823

Annexe 5

Résultats des comparaisons statistiques des teneurs en métaux lourds entre le lac de référence L823 et les lacs L01 et L27

Lacs comparés	Paramètre	Égalité des variances	Normalité de la distribution	Valeur p de l'ANOVA	Valeur p du test non paramétrique de Kruskal-Wallis	Différence significative (oui ou non)
L823 vs L01	Aluminium	non	non		< 0,001	oui
L823 vs L27	Aluminium	non	non		< 0,001	oui
L823 vs L01	Arsenic	non	non		< 0,001	oui
L823 vs L27	Arsenic	non	non		< 0,001	oui
L823 vs L01	Baryum	oui	non		0,002	oui
L823 vs L27	Baryum	non	non		0,001	oui
L823 vs L01	Cadmium	non	non		0,242	non
L823 vs L27	Cadmium	oui	non		0,884	non
L823 vs L01	Cérium	oui	non		< 0,001	oui
L823 vs L27	Cérium	oui	non		< 0,001	oui
L823 vs L01	Chrome	oui	non		0,178	non
L823 vs L27	Chrome	oui	non		0,002	oui
L823 vs L01	Cobalt	oui	non		< 0,001	oui
L823 vs L27	Cobalt	non	non		0,001	oui
L823 vs L01	Cuivre	oui	non		0,418	non
L823 vs L27	Cuivre	oui	non		0,019	oui
L823 vs L01	Dysprosium	oui	non		0,348	non
L823 vs L27	Dysprosium	oui	non		0,348	non
L823 vs L01	Erbium	oui	non		0,348	non
L823 vs L27	Erbium	oui	non		0,348	non
L823 vs L01	Europium[1]					non
L823 vs L27	Europium[1]					non
L823 vs L01	Fer	oui	non		0,003	oui
L823 vs L27	Fer	non	non		< 0,001	oui
L823 vs L01	Gadolinium	oui	non		0,348	non
L823 vs L27	Gadolinium[1]					non
L823 vs L01	Holmium	oui	non		0,348	non
L823 vs L27	Holmium[1]					non
L823 vs L01	Lanthane	oui	non		0,043	oui

Lacs comparés	Paramètre	Égalité des variances	Normalité de la distribution	Valeur p de l'ANOVA	Valeur p du test non paramétrique de Kruskal-Wallis	Différence significative (oui ou non)
L823 vs L27	Lanthane	oui	non		0,048	oui
L823 vs L01	Lithium	oui	non		0,649	non
L823 vs L27	Lithium	non	non		0,133	non
L823 vs L01	Lutécium[1]					non
L823 vs L27	Lutécium[1]					non
L823 vs L01	Manganèse	oui	non		0,849	non
L823 vs L27	Manganèse	non	non		0,013	oui
L823 vs L01	Mercure					
L823 vs L27	Mercure					
L823 vs L01	Molybdène	oui	non		0,036	oui
L823 vs L27	Molybdène	non	non		< 0,001	oui
L823 vs L01	Néodyme	non	non		0,126	non
L823 vs L27	Néodyme	non	non		0,045	non
L823 vs L01	Nickel	oui	non		0,046	oui
L823 vs L27	Nickel	oui	non		0,001	oui
L823 vs L01	Niobium	oui	non		0,229	non
L823 vs L27	Niobium	oui	non		0,008	oui
L823 vs L01	Plomb	non	non		0,966	non
L823 vs L27	Plomb	non	non		0,010	oui
L823 vs L01	Praséodyme	non	non		0,607	non
L823 vs L27	Praséodyme	oui	non		0,929	non
L823 vs L01	Samarium	non	non		0,181	non
L823 vs L27	Samarium	oui	non		0,348	non
L823 vs L01	Scandium	non	non		0,181	non
L823 vs L27	Scandium	oui	non		0,348	non
L823 vs L01	Sélénium	oui	non		0,123	non
L823 vs L27	Sélénium	oui	non		0,020	oui
L823 vs L01	Strontium	oui	non		0,925	non
L823 vs L27	Strontium	oui	non		0,364	non

Lacs comparés	Paramètre	Égalité des variances	Normalité de la distribution	Valeur p de l'ANOVA	Valeur p du test non paramétrique de Kruskal-Wallis	Différence significative (oui ou non)
L823 vs L01	Terbium	oui	non		0,348	non
L823 vs L27	Terbium[1]					non
L823 vs L01	Thallium	oui	oui	0,771		non
L823 vs L27	Thallium	oui	oui	0,003		oui
L823 vs L01	Thorium	non	non		0,098	non
L823 vs L27	Thorium	oui	non		0,348	non
L823 vs L01	Thulium[1]					non
L823 vs L27	Thulium[1]					non
L823 vs L01	Uranium	non	non		0,098	non
L823 vs L27	Uranium	oui	non		0,348	non
L823 vs L01	Uranium	non	non		0,181	non
L823 vs L27	Uranium	non	non		0,098	non
L823 vs L01	Vanadium	non	non		0,098	non
L823 vs L27	Vanadium	non	non		0,009	oui
L823 vs L01	Ytterbium					non
L823 vs L27	Ytterbium	oui	non		1,000	non
L823 vs L01	Yttrium	non	non		< 0,001	oui
L823 vs L27	Yttrium	non	non		< 0,001	oui
L823 vs L01	Zinc	oui	non		0,003	oui
L823 vs L27	Zinc	oui	oui	0,721		non

[1] Toutes les valeurs sont toutes sous la limite de détection de la méthode. Aucun test statistique possible, aucune différence significative entre les lacs.

Annexe 6

Certificats d’analyse des taux de métaux dans la chair des poissons - CEAEQ

Environnement et Lutte contre les changements climatiques
Québec

Certificat d'analyse

Direction de l'analyse chimique
2700, rue Einstein
Québec (Québec) G1P 3W8
Tél.: 418 643-1301
Téléc.: 418 528-1091

Client: Groupe Synergis
5582, boul. des Hêtres
Shawinigan (Québec) G9N 4W1

Nom de projet: Corvette
Responsable: Pierre-Olivier Côté
Téléphone: 819-536-0513
Code projet client:

Date de réception: 24 septembre 2024
Numéro de dossier: Q156112
Bon de commande: 22-0095-07
Code projet CEAEQ: 11448

Numéro de l'échantillon : Q156112-01

Préleveur:
Date de prélèvement: 5 août 2024
Description de l'échantillon: CR
Description de prélèvement: PE-01
Point de prélèvement:
Nature de l'échantillon: tissu animal

Mercure

Méthode: MA. 207 - Hg 2.1 Date d'analyse: 3 octobre 2024	Résultat	Unité	LDM
Mercure	0,74	mg/kg	0,01

Métaux Terres rares

Méthode: MA. 207 - Mét.T.rares TB Date d'analyse: 5 novembre 2024	Résultat	Unité	LDM
Dysprosium	<1	µg/kg	1
Erbium	<1	µg/kg	1
Europium	<1	µg/kg	1
Gadolinium	<2	µg/kg	2
Holmium	<1	µg/kg	1
Lithium	<4	µg/kg	4
Niobium	1	µg/kg	1
Samarium	<1	µg/kg	1
Scandium	<1	µg/kg	1
Terbium	<1	µg/kg	1
Thorium	<1	µg/kg	1
Thulium	<1	µg/kg	1
Ytterbium	<2	µg/kg	2
Yttrium	67	µg/kg	1
Uranium	<1	µg/kg	1
Lanthane	<1	µg/kg	1
Lutécium	<1	µg/kg	1
Cérium	7	µg/kg	1
Néodyme	<1	µg/kg	1
Praséodyme	<1	µg/kg	1

Ce certificat ne doit pas être reproduit, sinon en entier, sans le consentement écrit du CEAEQ

Version 2 (1517798)

Certificat d'analyse (suite de l'échantillon numéro : Q156112-01)

Métaux tissus animaux

Méthode: MA. 207 - Métaux TB	Résultat	Unité	LDM
Date d'analyse: 5 novembre 2024			
Aluminium	0,23	mg/kg	0,11
Thallium	0,008	mg/kg	0,001
Arsenic	0,022	mg/kg	0,0044
Baryum	0,023	mg/kg	0,006
Cadmium	<0,0044	mg/kg	0,0044
Cobalt	0,005	mg/kg	0,001
Chrome	0,026	mg/kg	0,007
Cuivre	0,15	mg/kg	0,03
Fer	2,2	mg/kg	0,1
Manganèse	0,10	mg/kg	0,01
Molybdène	0,003	mg/kg	0,001
Nickel	0,020	mg/kg	0,006
Plomb	0,0016	mg/kg	0,00044
Sélénium	0,37	mg/kg	0,06
Strontium	0,047	mg/kg	0,0154
Vanadium	<0,0044	mg/kg	0,0044
Zinc	2,9	mg/kg	0,06
Uranium	<0,00022	mg/kg	0,00022

Remarque(s)

Niveau: Paramètre

No Éch.: Q156112-01 **Paramètre:** Métaux tissus animaux

Remarque

Ce paramètre ne fait pas partie de la portée d'accréditation du Conseil canadien des normes.

Les résultats sont sur base humide.

Ce certificat ne doit pas être reproduit, sinon en entier, sans le consentement écrit du CEAEQ

Version 2 (1517798)

Certificat d'analyse (suite de l'échantillon numéro : Q156112-02)

Numéro de l'échantillon : Q156112-02

Préleveur:
Date de prélèvement: 5 août 2024
Description de l'échantillon: CW
Description de prélèvement: PE-01
Point de prélèvement:
Nature de l'échantillon: tissu animal

Mercure

Méthode: MA. 207 - Hg 2.1 Date d'analyse: 3 octobre 2024	Résultat	Unité	LDM
Mercure	0,40	mg/kg	0,01

Métaux Terres rares

Méthode: MA. 207 - Mét.T.rares TB Date d'analyse: 5 novembre 2024	Résultat	Unité	LDM
Dysprosium	<1	µg/kg	1
Erbium	<1	µg/kg	1
Europium	<1	µg/kg	1
Gadolinium	<2	µg/kg	2
Holmium	<1	µg/kg	1
Lithium	<4	µg/kg	4
Niobium	1	µg/kg	1
Samarium	<1	µg/kg	1
Scandium	<1	µg/kg	1
Terbium	<1	µg/kg	1
Thorium	<1	µg/kg	1
Thulium	<1	µg/kg	1
Ytterbium	<2	µg/kg	2
Yttrium	53	µg/kg	1
Uranium	<1	µg/kg	1
Lanthane	<1	µg/kg	1
Lutécium	<1	µg/kg	1
Cérium	4	µg/kg	1
Néodyme	<1	µg/kg	1
Praséodyme	<1	µg/kg	1

Ce certificat ne doit pas être reproduit, sinon en entier, sans le consentement écrit du CEAEQ

Version 2 (1517798)

Certificat d'analyse (suite de l'échantillon numéro : Q156112-02)

Métaux tissus animaux

Méthode: MA. 207 - Métaux TB Date d'analyse: 5 novembre 2024	Résultat	Unité	LDM
Aluminium	0,28	mg/kg	0,11
Thallium	0,007	mg/kg	0,001
Arsenic	0,021	mg/kg	0,0044
Baryum	0,013	mg/kg	0,006
Cadmium	<0,0044	mg/kg	0,0044
Cobalt	0,005	mg/kg	0,001
Chrome	0,050	mg/kg	0,007
Cuivre	0,26	mg/kg	0,03
Fer	3,3	mg/kg	0,1
Manganèse	0,09	mg/kg	0,01
Molybdène	0,002	mg/kg	0,001
Nickel	0,026	mg/kg	0,006
Plomb	0,00090	mg/kg	0,00044
Sélénium	0,36	mg/kg	0,06
Strontium	0,065	mg/kg	0,0154
Vanadium	<0,0044	mg/kg	0,0044
Zinc	3,8	mg/kg	0,06
Uranium	<0,00022	mg/kg	0,00022

Remarque(s)

Niveau: Paramètre

No Éch.: Q156112-02 **Paramètre:** Métaux tissus animaux

Remarque

Ce paramètre ne fait pas partie de la portée d'accréditation du Conseil canadien des normes.

Les résultats sont sur base humide.

Ce certificat ne doit pas être reproduit, sinon en entier, sans le consentement écrit du CEAEQ

Version 2 (1517798)

Certificat d'analyse (suite de l'échantillon numéro : Q156112-03)

Numéro de l'échantillon : Q156112-03

Préleveur:
Date de prélèvement: 5 août 2024
Description de l'échantillon: DG
Description de prélèvement: PE-01
Point de prélèvement:
Nature de l'échantillon: tissu animal

Mercure

Méthode: MA. 207 - Hg 2.1 Date d'analyse: 3 octobre 2024	Résultat	Unité	LDM
Mercure	0,57	mg/kg	0,01

Métaux Terres rares

Méthode: MA. 207 - Mét.T.rares TB Date d'analyse: 5 novembre 2024	Résultat	Unité	LDM
Dysprosium	<1	µg/kg	1
Erbium	<1	µg/kg	1
Europium	<1	µg/kg	1
Gadolinium	<2	µg/kg	2
Holmium	<1	µg/kg	1
Lithium	<4	µg/kg	4
Niobium	2	µg/kg	1
Samarium	<1	µg/kg	1
Scandium	<1	µg/kg	1
Terbium	<1	µg/kg	1
Thorium	<1	µg/kg	1
Thulium	<1	µg/kg	1
Ytterbium	<2	µg/kg	2
Yttrium	35	µg/kg	1
Uranium	<1	µg/kg	1
Lanthane	<1	µg/kg	1
Lutécium	<1	µg/kg	1
Cérium	5	µg/kg	1
Néodyme	<1	µg/kg	1
Praséodyme	<1	µg/kg	1

Ce certificat ne doit pas être reproduit, sinon en entier, sans le consentement écrit du CEAEQ

Version 2 (1517798)

Certificat d'analyse (suite de l'échantillon numéro : Q156112-03)

Métaux tissus animaux

Méthode: MA. 207 - Métaux TB	Résultat	Unité	LDM
Date d'analyse: 5 novembre 2024			
Aluminium	0,18	mg/kg	0,11
Thallium	0,008	mg/kg	0,001
Arsenic	0,34	mg/kg	0,0044
Baryum	0,011	mg/kg	0,006
Cadmium	<0,0044	mg/kg	0,0044
Cobalt	0,003	mg/kg	0,001
Chrome	0,041	mg/kg	0,007
Cuivre	0,13	mg/kg	0,03
Fer	4,3	mg/kg	0,1
Manganèse	0,11	mg/kg	0,01
Molybdène	0,002	mg/kg	0,001
Nickel	0,014	mg/kg	0,006
Plomb	0,0023	mg/kg	0,00044
Sélénium	<0,06	mg/kg	0,06
Strontium	0,017	mg/kg	0,0154
Vanadium	<0,0044	mg/kg	0,0044
Zinc	2,6	mg/kg	0,06
Uranium	<0,00022	mg/kg	0,00022

Remarque(s)

Niveau: Paramètre

No Éch.: Q156112-03 **Paramètre:** Métaux tissus animaux

Remarque

Ce paramètre ne fait pas partie de la portée d'accréditation du Conseil canadien des normes.

Les résultats sont sur base humide.

Ce certificat ne doit pas être reproduit, sinon en entier, sans le consentement écrit du CEAEQ

Certificat d'analyse (suite de l'échantillon numéro : Q156112-04)

Numéro de l'échantillon : Q156112-04

Préleveur:
Date de prélèvement: 5 août 2024
Description de l'échantillon: DN
Description de prélèvement: PE01
Point de prélèvement:
Nature de l'échantillon: tissu animal

Mercure

Méthode: MA. 207 - Hg 2.1 Date d'analyse: 3 octobre 2024	Résultat	Unité	LDM
Mercure	0,35	mg/kg	0,01

Métaux Terres rares

Méthode: MA. 207 - Mét.T.rares TB Date d'analyse: 5 novembre 2024	Résultat	Unité	LDM
Dysprosium	<1	µg/kg	1
Erbium	<1	µg/kg	1
Europium	<1	µg/kg	1
Gadolinium	<2	µg/kg	2
Holmium	<1	µg/kg	1
Lithium	<4	µg/kg	4
Niobium	2	µg/kg	1
Samarium	<1	µg/kg	1
Scandium	<1	µg/kg	1
Terbium	<1	µg/kg	1
Thorium	<1	µg/kg	1
Thulium	<1	µg/kg	1
Ytterbium	<2	µg/kg	2
Yttrium	54	µg/kg	1
Uranium	<1	µg/kg	1
Lanthane	<1	µg/kg	1
Lutécium	<1	µg/kg	1
Cérium	3	µg/kg	1
Néodyme	<1	µg/kg	1
Praséodyme	<1	µg/kg	1

Ce certificat ne doit pas être reproduit, sinon en entier, sans le consentement écrit du CEAEQ

Version 2 (1517798)

Certificat d'analyse (suite de l'échantillon numéro : Q156112-04)

Métaux tissus animaux

Méthode: MA. 207 - Métaux TB Date d'analyse: 5 novembre 2024	Résultat	Unité	LDM
Aluminium	0,17	mg/kg	0,11
Thallium	0,007	mg/kg	0,001
Arsenic	0,043	mg/kg	0,0044
Baryum	0,021	mg/kg	0,006
Cadmium	<0,0044	mg/kg	0,0044
Cobalt	0,005	mg/kg	0,001
Chrome	0,028	mg/kg	0,007
Cuivre	0,26	mg/kg	0,03
Fer	3,1	mg/kg	0,1
Manganèse	0,09	mg/kg	0,01
Molybdène	0,002	mg/kg	0,001
Nickel	0,025	mg/kg	0,006
Plomb	<0,00044	mg/kg	0,00044
Sélénium	0,46	mg/kg	0,06
Strontium	0,088	mg/kg	0,0154
Vanadium	<0,0044	mg/kg	0,0044
Zinc	3,4	mg/kg	0,06
Uranium	<0,00022	mg/kg	0,00022

Remarque(s)

Niveau: Paramètre

No Éch.: Q156112-04 **Paramètre:** Métaux tissus animaux

Remarque

Ce paramètre ne fait pas partie de la portée d'accréditation du Conseil canadien des normes.

Les résultats sont sur base humide.

Ce certificat ne doit pas être reproduit, sinon en entier, sans le consentement écrit du CEAEQ

Certificat d'analyse (suite de l'échantillon numéro : Q156112-05)

Numéro de l'échantillon : Q156112-05

Préleveur:
Date de prélèvement: 7 août 2024
Description de l'échantillon: EH
Description de prélèvement: PE-01
Point de prélèvement:
Nature de l'échantillon: tissu animal

Mercure

Méthode: MA. 207 - Hg 2.1	**Résultat**	**Unité**	**LDM**
Date d'analyse: 3 octobre 2024			
Mercure	0,88	mg/kg	0,01

Métaux Terres rares

Méthode: MA. 207 - Mét.T.rares TB	**Résultat**	**Unité**	**LDM**
Date d'analyse: 5 novembre 2024			
Dysprosium	<1	µg/kg	1
Erbium	<1	µg/kg	1
Europium	<1	µg/kg	1
Gadolinium	<2	µg/kg	2
Holmium	<1	µg/kg	1
Lithium	<4	µg/kg	4
Niobium	1	µg/kg	1
Samarium	<1	µg/kg	1
Scandium	<1	µg/kg	1
Terbium	<1	µg/kg	1
Thorium	<1	µg/kg	1
Thulium	<1	µg/kg	1
Ytterbium	<2	µg/kg	2
Yttrium	45	µg/kg	1
Uranium	1	µg/kg	1
Lanthane	2	µg/kg	1
Lutécium	<1	µg/kg	1
Cérium	6	µg/kg	1
Néodyme	2	µg/kg	1
Praséodyme	<1	µg/kg	1

Ce certificat ne doit pas être reproduit, sinon en entier, sans le consentement écrit du CEAEQ

Version 2 (1517798)

Certificat d'analyse (suite de l'échantillon numéro : Q156112-05)

Métaux tissus animaux

Méthode: MA. 207 - Métaux TB	Résultat	Unité	LDM
Date d'analyse: 5 novembre 2024			
Aluminium	0,23	mg/kg	0,11
Thallium	0,007	mg/kg	0,001
Arsenic	0,40	mg/kg	0,0044
Baryum	<0,006	mg/kg	0,006
Cadmium	<0,0044	mg/kg	0,0044
Cobalt	0,003	mg/kg	0,001
Chrome	0,025	mg/kg	0,007
Cuivre	0,15	mg/kg	0,03
Fer	3,4	mg/kg	0,1
Manganèse	0,10	mg/kg	0,01
Molybdène	0,001	mg/kg	0,001
Nickel	0,009	mg/kg	0,006
Plomb	0,00080	mg/kg	0,00044
Sélénium	<0,06	mg/kg	0,06
Strontium	0,037	mg/kg	0,0154
Vanadium	<0,0044	mg/kg	0,0044
Zinc	3,0	mg/kg	0,06
Uranium	<0,00022	mg/kg	0,00022

Remarque(s)

Niveau: Paramètre

No Éch.: Q156112-05 **Paramètre:** Métaux tissus animaux

Remarque

Ce paramètre ne fait pas partie de la portée d'accréditation du Conseil canadien des normes.

Les résultats sont sur base humide.

Ce certificat ne doit pas être reproduit, sinon en entier, sans le consentement écrit du CEAEQ

Certificat d'analyse (suite de l'échantillon numéro : Q156112-06)

Numéro de l'échantillon : Q156112-06

Préleveur:
Date de prélèvement: 7 août 2024
Description de l'échantillon: EW
Description de prélèvement: PE-01
Point de prélèvement:
Nature de l'échantillon: tissu animal

Mercure

Méthode: MA. 207 - Hg 2.1 Date d'analyse: 3 octobre 2024	Résultat	Unité	LDM
Mercure	0,49	mg/kg	0,01

Métaux Terres rares

Méthode: MA. 207 - Mét.T.rares TB Date d'analyse: 5 novembre 2024	Résultat	Unité	LDM
Dysprosium	<1	µg/kg	1
Erbium	<1	µg/kg	1
Europium	<1	µg/kg	1
Gadolinium	<2	µg/kg	2
Holmium	<1	µg/kg	1
Lithium	<4	µg/kg	4
Niobium	4	µg/kg	1
Samarium	<1	µg/kg	1
Scandium	<1	µg/kg	1
Terbium	<1	µg/kg	1
Thorium	<1	µg/kg	1
Thulium	<1	µg/kg	1
Ytterbium	<2	µg/kg	2
Yttrium	50	µg/kg	1
Uranium	<1	µg/kg	1
Lanthane	<1	µg/kg	1
Lutécium	<1	µg/kg	1
Cérium	3	µg/kg	1
Néodyme	<1	µg/kg	1
Praséodyme	<1	µg/kg	1

Ce certificat ne doit pas être reproduit, sinon en entier, sans le consentement écrit du CEAEQ

Version 2 (1517798)

Certificat d'analyse (suite de l'échantillon numéro : Q156112-06)

Métaux tissus animaux

Méthode: MA. 207 - Métaux TB Date d'analyse: 5 novembre 2024	Résultat	Unité	LDM
Aluminium	0,25	mg/kg	0,11
Thallium	0,013	mg/kg	0,001
Arsenic	0,044	mg/kg	0,0044
Baryum	0,030	mg/kg	0,006
Cadmium	<0,0044	mg/kg	0,0044
Cobalt	0,004	mg/kg	0,001
Chrome	0,023	mg/kg	0,007
Cuivre	0,21	mg/kg	0,03
Fer	3,5	mg/kg	0,1
Manganèse	0,13	mg/kg	0,01
Molybdène	0,002	mg/kg	0,001
Nickel	0,030	mg/kg	0,006
Plomb	0,0012	mg/kg	0,00044
Sélénium	0,41	mg/kg	0,06
Strontium	0,16	mg/kg	0,0154
Vanadium	<0,0044	mg/kg	0,0044
Zinc	3,3	mg/kg	0,06
Uranium	<0,00022	mg/kg	0,00022

Remarque(s)

Niveau: Paramètre

No Éch.: Q156112-06 **Paramètre:** Métaux tissus animaux

Remarque

Ce paramètre ne fait pas partie de la portée d'accréditation du Conseil canadien des normes.

Les résultats sont sur base humide.

Ce certificat ne doit pas être reproduit, sinon en entier, sans le consentement écrit du CEAEQ

Certificat d'analyse (suite de l'échantillon numéro : Q156112-07)

Numéro de l'échantillon : Q156112-07

Préleveur:
Date de prélèvement: 7 août 2024
Description de l'échantillon: OK
Description de prélèvement: PE-01
Point de prélèvement:
Nature de l'échantillon: tissu animal

Mercure

Méthode: MA. 207 - Hg 2.1	**Résultat**	**Unité**	**LDM**
Date d'analyse: 3 octobre 2024			
Mercure	0,92	mg/kg	0,01

Métaux Terres rares

Méthode: MA. 207 - Mét.T.rares TB	**Résultat**	**Unité**	**LDM**
Date d'analyse: 5 novembre 2024			
Dysprosium	<1	µg/kg	1
Erbium	<1	µg/kg	1
Europium	<1	µg/kg	1
Gadolinium	<2	µg/kg	2
Holmium	<1	µg/kg	1
Lithium	<4	µg/kg	4
Niobium	<1	µg/kg	1
Samarium	<1	µg/kg	1
Scandium	<1	µg/kg	1
Terbium	<1	µg/kg	1
Thorium	<1	µg/kg	1
Thulium	<1	µg/kg	1
Ytterbium	<2	µg/kg	2
Yttrium	30	µg/kg	1
Uranium	<1	µg/kg	1
Lanthane	<1	µg/kg	1
Lutécium	<1	µg/kg	1
Cérium	3	µg/kg	1
Néodyme	<1	µg/kg	1
Praséodyme	<1	µg/kg	1

Ce certificat ne doit pas être reproduit, sinon en entier, sans le consentement écrit du CEAEQ

Version 2 (1517798)

Certificat d'analyse (suite de l'échantillon numéro : Q156112-07)

Métaux tissus animaux

Méthode: MA. 207 - Métaux TB	Résultat	Unité	LDM
Date d'analyse: 5 novembre 2024			
Aluminium	0,29	mg/kg	0,11
Thallium	0,007	mg/kg	0,001
Arsenic	0,029	mg/kg	0,0044
Baryum	0,013	mg/kg	0,006
Cadmium	<0,0044	mg/kg	0,0044
Cobalt	0,007	mg/kg	0,001
Chrome	0,016	mg/kg	0,007
Cuivre	0,24	mg/kg	0,03
Fer	4,7	mg/kg	0,1
Manganèse	0,09	mg/kg	0,01
Molybdène	0,002	mg/kg	0,001
Nickel	0,012	mg/kg	0,006
Plomb	0,00070	mg/kg	0,00044
Sélénium	0,46	mg/kg	0,06
Strontium	0,095	mg/kg	0,0154
Vanadium	<0,0044	mg/kg	0,0044
Zinc	4,0	mg/kg	0,06
Uranium	<0,00022	mg/kg	0,00022

Remarque(s)

Niveau: Paramètre

No Éch.: Q156112-07 **Paramètre:** Métaux tissus animaux

Remarque

Ce paramètre ne fait pas partie de la portée d'accréditation du Conseil canadien des normes.

Les résultats sont sur base humide.

Ce certificat ne doit pas être reproduit, sinon en entier, sans le consentement écrit du CEAEQ

Certificat d'analyse (suite de l'échantillon numéro : Q156112-08)

Numéro de l'échantillon : Q156112-08

Préleveur:
Date de prélèvement: 6 août 2024
Description de l'échantillon: OT
Description de prélèvement: PE-01
Point de prélèvement:
Nature de l'échantillon: tissu animal

Mercure

Méthode: MA. 207 - Hg 2.1 Date d'analyse: 3 octobre 2024	Résultat	Unité	LDM
Mercure	0,71	mg/kg	0,01

Métaux Terres rares

Méthode: MA. 207 - Mét.T.rares TB Date d'analyse: 5 novembre 2024	Résultat	Unité	LDM
Dysprosium	<1	µg/kg	1
Erbium	<1	µg/kg	1
Europium	<1	µg/kg	1
Gadolinium	<2	µg/kg	2
Holmium	<1	µg/kg	1
Lithium	<4	µg/kg	4
Niobium	1	µg/kg	1
Samarium	<1	µg/kg	1
Scandium	<1	µg/kg	1
Terbium	<1	µg/kg	1
Thorium	<1	µg/kg	1
Thulium	<1	µg/kg	1
Ytterbium	<2	µg/kg	2
Yttrium	49	µg/kg	1
Uranium	<1	µg/kg	1
Lanthane	<1	µg/kg	1
Lutécium	<1	µg/kg	1
Cérium	5	µg/kg	1
Néodyme	<1	µg/kg	1
Praséodyme	<1	µg/kg	1

Ce certificat ne doit pas être reproduit, sinon en entier, sans le consentement écrit du CEAEQ

Version 2 (1517798)

Certificat d'analyse (suite de l'échantillon numéro : Q156112-08)

Métaux tissus animaux

Méthode: MA. 207 - Métaux TB Date d'analyse: 5 novembre 2024	Résultat	Unité	LDM
Aluminium	0,27	mg/kg	0,11
Thallium	0,011	mg/kg	0,001
Arsenic	0,013	mg/kg	0,0044
Baryum	0,008	mg/kg	0,006
Cadmium	<0,0044	mg/kg	0,0044
Cobalt	0,008	mg/kg	0,001
Chrome	0,027	mg/kg	0,007
Cuivre	0,23	mg/kg	0,03
Fer	3,1	mg/kg	0,1
Manganèse	0,07	mg/kg	0,01
Molybdène	0,002	mg/kg	0,001
Nickel	0,023	mg/kg	0,006
Plomb	<0,00044	mg/kg	0,00044
Sélénium	0,40	mg/kg	0,06
Strontium	0,035	mg/kg	0,0154
Vanadium	<0,0044	mg/kg	0,0044
Zinc	2,8	mg/kg	0,06
Uranium	<0,00022	mg/kg	0,00022

Remarque(s)

Niveau: Paramètre

No Éch.: Q156112-08 **Paramètre:** Métaux tissus animaux

Remarque

Ce paramètre ne fait pas partie de la portée d'accréditation du Conseil canadien des normes.

Les résultats sont sur base humide.

Ce certificat ne doit pas être reproduit, sinon en entier, sans le consentement écrit du CEAEQ

Certificat d'analyse (suite de l'échantillon numéro : Q156112-09)

Numéro de l'échantillon : Q156112-09

Préleveur:
Date de prélèvement: 6 août 2024
Description de l'échantillon: DW
Description de prélèvement: PE-01
Point de prélèvement:
Nature de l'échantillon: tissu animal

Mercure

Méthode: MA. 207 - Hg 2.1	**Résultat**	**Unité**	**LDM**
Date d'analyse: 3 octobre 2024			
Mercure	0,54	mg/kg	0,01

Métaux Terres rares

Méthode: MA. 207 - Mét.T.rares TB	**Résultat**	**Unité**	**LDM**
Date d'analyse: 5 novembre 2024			
Dysprosium	<1	µg/kg	1
Erbium	<1	µg/kg	1
Europium	<1	µg/kg	1
Gadolinium	<2	µg/kg	2
Holmium	<1	µg/kg	1
Lithium	<4	µg/kg	4
Niobium	7	µg/kg	1
Samarium	<1	µg/kg	1
Scandium	<1	µg/kg	1
Terbium	<1	µg/kg	1
Thorium	<1	µg/kg	1
Thulium	<1	µg/kg	1
Ytterbium	<2	µg/kg	2
Yttrium	61	µg/kg	1
Uranium	<1	µg/kg	1
Lanthane	1	µg/kg	1
Lutécium	<1	µg/kg	1
Cérium	7	µg/kg	1
Néodyme	<1	µg/kg	1
Praséodyme	<1	µg/kg	1

Ce certificat ne doit pas être reproduit, sinon en entier, sans le consentement écrit du CEAEQ

Version 2 (1517798)

Certificat d'analyse (suite de l'échantillon numéro : Q156112-09)

Métaux tissus animaux

Méthode: MA. 207 - Métaux TB	Résultat	Unité	LDM
Date d'analyse: 5 novembre 2024			
Aluminium	0,48	mg/kg	0,11
Thallium	0,009	mg/kg	0,001
Arsenic	0,018	mg/kg	0,0044
Baryum	0,009	mg/kg	0,006
Cadmium	<0,0044	mg/kg	0,0044
Cobalt	0,010	mg/kg	0,001
Chrome	0,098	mg/kg	0,007
Cuivre	0,32	mg/kg	0,03
Fer	4,4	mg/kg	0,1
Manganèse	0,10	mg/kg	0,01
Molybdène	0,003	mg/kg	0,001
Nickel	0,039	mg/kg	0,006
Plomb	0,0072	mg/kg	0,00044
Sélénium	0,51	mg/kg	0,06
Strontium	0,058	mg/kg	0,0154
Vanadium	<0,0044	mg/kg	0,0044
Zinc	3,7	mg/kg	0,06
Uranium	<0,00022	mg/kg	0,00022

Remarque(s)

Niveau: Paramètre

No Éch.: Q156112-09 **Paramètre:** Métaux tissus animaux

Remarque

Ce paramètre ne fait pas partie de la portée d'accréditation du Conseil canadien des normes.

Les résultats sont sur base humide.

Ce certificat ne doit pas être reproduit, sinon en entier, sans le consentement écrit du CEAEQ

Certificat d'analyse (suite de l'échantillon numéro : Q156112-10)

Numéro de l'échantillon : Q156112-10

Préleveur:
Date de prélèvement: 6 août 2024
Description de l'échantillon: OR
Description de prélèvement: PE-01
Point de prélèvement:
Nature de l'échantillon: tissu animal

Mercure

Méthode: MA. 207 - Hg 2.1 Date d'analyse: 3 octobre 2024	Résultat	Unité	LDM
Mercure	0,20	mg/kg	0,01

Métaux Terres rares

Méthode: MA. 207 - Mét.T.rares TB Date d'analyse: 9 décembre 2024	Résultat	Unité	LDM
Dysprosium	<1	µg/kg	1
Erbium	<1	µg/kg	1
Europium	<1	µg/kg	1
Gadolinium	<2	µg/kg	2
Holmium	<1	µg/kg	1
Lithium	<4	µg/kg	4
Niobium	2	µg/kg	1
Samarium	<1	µg/kg	1
Scandium	<1	µg/kg	1
Terbium	<1	µg/kg	1
Thorium	<1	µg/kg	1
Thulium	<1	µg/kg	1
Ytterbium	<2		2
Yttrium	31	µg/kg	1
Uranium	<1	µg/kg	1
Lanthane	<1	µg/kg	1
Lutécium	<1	µg/kg	1
Cérium	3		1
Néodyme	<1	µg/kg	1
Praséodyme	<1	µg/kg	1

Ce certificat ne doit pas être reproduit, sinon en entier, sans le consentement écrit du CEAEQ

Version 2 (1517798)

Certificat d'analyse (suite de l'échantillon numéro : Q156112-10)

Métaux tissus animaux

Méthode: MA. 207 - Métaux TB Date d'analyse: 5 novembre 2024	Résultat	Unité	LDM
Aluminium	0,28	mg/kg	0,11
Thallium	0,005	mg/kg	0,001
Arsenic	0,21	mg/kg	0,0044
Baryum	0,016	mg/kg	0,006
Cadmium	<0,0044	mg/kg	0,0044
Cobalt	0,004	mg/kg	0,001
Chrome	0,054	mg/kg	0,007
Cuivre	0,20	mg/kg	0,03
Fer	2,2	mg/kg	0,1
Manganèse	0,12	mg/kg	0,01
Molybdène	0,001	mg/kg	0,001
Nickel	0,010	mg/kg	0,006
Plomb	0,00050	mg/kg	0,00044
Sélénium	0,14	mg/kg	0,06
Strontium	<0,0154	mg/kg	0,0154
Vanadium	<0,0044	mg/kg	0,0044
Zinc	2,5	mg/kg	0,06
Uranium	<0,00022	mg/kg	0,00022

Remarque(s)

Niveau: Paramètre

No Éch.: Q156112-10 **Paramètre:** Métaux tissus animaux

Remarque

Ce paramètre ne fait pas partie de la portée d'accréditation du Conseil canadien des normes.

Les résultats sont sur base humide.

Ce certificat ne doit pas être reproduit, sinon en entier, sans le consentement écrit du CEAEQ

Certificat d'analyse (suite de l'échantillon numéro : Q156112-11)

Numéro de l'échantillon : Q156112-11

Préleveur:
Date de prélèvement: 6 août 2024
Description de l'échantillon: OS
Description de prélèvement: PE-01
Point de prélèvement:
Nature de l'échantillon: tissu animal

Mercure

Méthode: MA. 207 - Hg 2.1	**Résultat**	**Unité**	**LDM**
Date d'analyse: 3 octobre 2024			
Mercure	0,40	mg/kg	0,01

Métaux Terres rares

Méthode: MA. 207 - Mét.T.rares TB	**Résultat**	**Unité**	**LDM**
Date d'analyse: 5 novembre 2024			
Dysprosium	<1	µg/kg	1
Erbium	<1	µg/kg	1
Europium	<1	µg/kg	1
Gadolinium	<2	µg/kg	2
Holmium	<1	µg/kg	1
Lithium	<4	µg/kg	4
Niobium	1	µg/kg	1
Samarium	<1	µg/kg	1
Scandium	<1	µg/kg	1
Terbium	<1	µg/kg	1
Thorium	<1	µg/kg	1
Thulium	<1	µg/kg	1
Ytterbium	<2	µg/kg	2
Yttrium	48	µg/kg	1
Uranium	<1	µg/kg	1
Lanthane	2	µg/kg	1
Lutécium	<1	µg/kg	1
Cérium	5	µg/kg	1
Néodyme	<1	µg/kg	1
Praséodyme	<1	µg/kg	1

Ce certificat ne doit pas être reproduit, sinon en entier, sans le consentement écrit du CEAEQ

Version 2 (1517798)

Certificat d'analyse (suite de l'échantillon numéro : Q156112-11)

Métaux tissus animaux

Méthode: MA. 207 - Métaux TB	Résultat	Unité	LDM
Date d'analyse: 5 novembre 2024			
Aluminium	0,30	mg/kg	0,11
Thallium	0,005	mg/kg	0,001
Arsenic	0,010	mg/kg	0,0044
Baryum	<0,006	mg/kg	0,006
Cadmium	<0,0044	mg/kg	0,0044
Cobalt	0,006	mg/kg	0,001
Chrome	0,058	mg/kg	0,007
Cuivre	0,18	mg/kg	0,03
Fer	2,5	mg/kg	0,1
Manganèse	0,06	mg/kg	0,01
Molybdène	0,003	mg/kg	0,001
Nickel	0,024	mg/kg	0,006
Plomb	0,0040	mg/kg	0,00044
Sélénium	0,28	mg/kg	0,06
Strontium	0,032	mg/kg	0,0154
Vanadium	<0,0044	mg/kg	0,0044
Zinc	2,1	mg/kg	0,06
Uranium	<0,00022	mg/kg	0,00022

Remarque(s)

Niveau: Paramètre

No Éch.: Q156112-11 **Paramètre:** Métaux tissus animaux

Remarque

Ce paramètre ne fait pas partie de la portée d'accréditation du Conseil canadien des normes.

Les résultats sont sur base humide.

Ce certificat ne doit pas être reproduit, sinon en entier, sans le consentement écrit du CEAEQ

Certificat d'analyse (suite de l'échantillon numéro : Q156112-12)

Numéro de l'échantillon : Q156112-12

Préleveur:
Date de prélèvement: 6 août 2024
Description de l'échantillon: DZ
Description de prélèvement: PE-01
Point de prélèvement:
Nature de l'échantillon: tissu animal

Mercure

Méthode: MA. 207 - Hg 2.1	**Résultat**	**Unité**	**LDM**
Date d'analyse: 3 octobre 2024			
Mercure	0,41	mg/kg	0,01

Métaux Terres rares

Méthode: MA. 207 - Mét.T.rares TB	**Résultat**	**Unité**	**LDM**
Date d'analyse: 5 novembre 2024			
Dysprosium	<1	µg/kg	1
Erbium	<1	µg/kg	1
Europium	<1	µg/kg	1
Gadolinium	<2	µg/kg	2
Holmium	<1	µg/kg	1
Lithium	<4	µg/kg	4
Niobium	<1	µg/kg	1
Samarium	<1	µg/kg	1
Scandium	<1	µg/kg	1
Terbium	<1	µg/kg	1
Thorium	<1	µg/kg	1
Thulium	<1	µg/kg	1
Ytterbium	<2	µg/kg	2
Yttrium	36	µg/kg	1
Uranium	<1	µg/kg	1
Lanthane	<1	µg/kg	1
Lutécium	<1	µg/kg	1
Cérium	3	µg/kg	1
Néodyme	<1	µg/kg	1
Praséodyme	<1	µg/kg	1

Ce certificat ne doit pas être reproduit, sinon en entier, sans le consentement écrit du CEAEQ

Version 2 (1517798)

Certificat d'analyse (suite de l'échantillon numéro : Q156112-12)

Métaux tissus animaux

Méthode: MA. 207 - Métaux TB Date d'analyse: 5 novembre 2024	Résultat	Unité	LDM
Aluminium	0,20	mg/kg	0,11
Thallium	0,005	mg/kg	0,001
Arsenic	<0,0044	mg/kg	0,0044
Baryum	<0,006	mg/kg	0,006
Cadmium	<0,0044	mg/kg	0,0044
Cobalt	0,005	mg/kg	0,001
Chrome	0,010	mg/kg	0,007
Cuivre	0,20	mg/kg	0,03
Fer	2,0	mg/kg	0,1
Manganèse	0,06	mg/kg	0,01
Molybdène	0,001	mg/kg	0,001
Nickel	0,010	mg/kg	0,006
Plomb	<0,00044	mg/kg	0,00044
Sélénium	0,39	mg/kg	0,06
Strontium	0,053	mg/kg	0,0154
Vanadium	<0,0044	mg/kg	0,0044
Zinc	2,7	mg/kg	0,06
Uranium	<0,00022	mg/kg	0,00022

Remarque(s)

Niveau: Paramètre

No Éch.: Q156112-12 **Paramètre:** Métaux tissus animaux

Remarque

Ce paramètre ne fait pas partie de la portée d'accréditation du Conseil canadien des normes.

Les résultats sont sur base humide.

Ce certificat ne doit pas être reproduit, sinon en entier, sans le consentement écrit du CEAEQ

Certificat d'analyse (suite de l'échantillon numéro : Q156112-13)

Numéro de l'échantillon : Q156112-13

Préleveur:
Date de prélèvement: 7 août 2024
Description de l'échantillon: EF
Description de prélèvement: PE-01
Point de prélèvement:
Nature de l'échantillon: tissu animal

Mercure

Méthode: MA. 207 - Hg 2.1	**Résultat**	**Unité**	**LDM**
Date d'analyse: 3 octobre 2024			
Mercure	0,77	mg/kg	0,01

Métaux Terres rares

Méthode: MA. 207 - Mét.T.rares TB	**Résultat**	**Unité**	**LDM**
Date d'analyse: 5 novembre 2024			
Dysprosium	<1	µg/kg	1
Erbium	<1	µg/kg	1
Europium	<1	µg/kg	1
Gadolinium	<2	µg/kg	2
Holmium	<1	µg/kg	1
Lithium	<4	µg/kg	4
Niobium	<1	µg/kg	1
Samarium	<1	µg/kg	1
Scandium	<1	µg/kg	1
Terbium	<1	µg/kg	1
Thorium	<1	µg/kg	1
Thulium	<1	µg/kg	1
Ytterbium	<2	µg/kg	2
Yttrium	52	µg/kg	1
Uranium	<1	µg/kg	1
Lanthane	<1	µg/kg	1
Lutécium	<1	µg/kg	1
Cérium	4	µg/kg	1
Néodyme	<1	µg/kg	1
Praséodyme	<1	µg/kg	1

Ce certificat ne doit pas être reproduit, sinon en entier, sans le consentement écrit du CEAEQ

Version 2 (1517798)

Certificat d'analyse (suite de l'échantillon numéro : Q156112-13)

Métaux tissus animaux

Méthode: MA. 207 - Métaux TB	Résultat	Unité	LDM
Date d'analyse: 5 novembre 2024			
Aluminium	0,21	mg/kg	0,11
Thallium	0,006	mg/kg	0,001
Arsenic	0,0052	mg/kg	0,0044
Baryum	0,007	mg/kg	0,006
Cadmium	<0,0044	mg/kg	0,0044
Cobalt	0,008	mg/kg	0,001
Chrome	0,015	mg/kg	0,007
Cuivre	0,21	mg/kg	0,03
Fer	3,3	mg/kg	0,1
Manganèse	0,07	mg/kg	0,01
Molybdène	0,001	mg/kg	0,001
Nickel	0,014	mg/kg	0,006
Plomb	0,0010	mg/kg	0,00044
Sélénium	0,28	mg/kg	0,06
Strontium	0,054	mg/kg	0,0154
Vanadium	<0,0044	mg/kg	0,0044
Zinc	2,6	mg/kg	0,06
Uranium	<0,00022	mg/kg	0,00022

Remarque(s)

Niveau: Paramètre

No Éch.: Q156112-13 **Paramètre:** Métaux tissus animaux

Remarque

Ce paramètre ne fait pas partie de la portée d'accréditation du Conseil canadien des normes.

Les résultats sont sur base humide.

Ce certificat ne doit pas être reproduit, sinon en entier, sans le consentement écrit du CEAEQ

Certificat d'analyse (suite de l'échantillon numéro : Q156112-14)

Numéro de l'échantillon : Q156112-14

Préleveur:
Date de prélèvement: 7 août 2024
Description de l'échantillon: EO
Description de prélèvement: PE-01
Point de prélèvement:
Nature de l'échantillon: tissu animal

Mercure

Méthode: MA. 207 - Hg 2.1 Date d'analyse: 3 octobre 2024	Résultat	Unité	LDM
Mercure	0,69	mg/kg	0,01

Métaux Terres rares

Méthode: MA. 207 - Mét.T.rares TB Date d'analyse: 5 novembre 2024	Résultat	Unité	LDM
Dysprosium	<1	µg/kg	1
Erbium	<1	µg/kg	1
Europium	<1	µg/kg	1
Gadolinium	<2	µg/kg	2
Holmium	<1	µg/kg	1
Lithium	<4	µg/kg	4
Niobium	<1	µg/kg	1
Samarium	<1	µg/kg	1
Scandium	<1	µg/kg	1
Terbium	<1	µg/kg	1
Thorium	<1	µg/kg	1
Thulium	<1	µg/kg	1
Ytterbium	<2	µg/kg	2
Yttrium	38	µg/kg	1
Uranium	<1	µg/kg	1
Lanthane	<1	µg/kg	1
Lutécium	<1	µg/kg	1
Cérium	6	µg/kg	1
Néodyme	<1	µg/kg	1
Praséodyme	<1	µg/kg	1

Ce certificat ne doit pas être reproduit, sinon en entier, sans le consentement écrit du CEAEQ

Version 2 (1517798)

Certificat d'analyse (suite de l'échantillon numéro : Q156112-14)

Métaux tissus animaux

Méthode: MA. 207 - Métaux TB Date d'analyse: 5 novembre 2024	Résultat	Unité	LDM
Aluminium	0,30	mg/kg	0,11
Thallium	0,009	mg/kg	0,001
Arsenic	0,012	mg/kg	0,0044
Baryum	0,012	mg/kg	0,006
Cadmium	<0,0044	mg/kg	0,0044
Cobalt	0,008	mg/kg	0,001
Chrome	0,014	mg/kg	0,007
Cuivre	0,19	mg/kg	0,03
Fer	3,1	mg/kg	0,1
Manganèse	0,06	mg/kg	0,01
Molybdène	0,001	mg/kg	0,001
Nickel	0,017	mg/kg	0,006
Plomb	0,0010	mg/kg	0,00044
Sélénium	0,42	mg/kg	0,06
Strontium	0,16	mg/kg	0,0154
Vanadium	<0,0044	mg/kg	0,0044
Zinc	2,7	mg/kg	0,06
Uranium	<0,00022	mg/kg	0,00022

Remarque(s)

Niveau: Paramètre

No Éch.: Q156112-14 **Paramètre:** Métaux tissus animaux

Remarque

Ce paramètre ne fait pas partie de la portée d'accréditation du Conseil canadien des normes.

Les résultats sont sur base humide.

Ce certificat ne doit pas être reproduit, sinon en entier, sans le consentement écrit du CEAEQ

Certificat d'analyse (suite de l'échantillon numéro : Q156112-15)

Numéro de l'échantillon : Q156112-15

Préleveur:
Date de prélèvement: 7 août 2024
Description de l'échantillon: ES
Description de prélèvement: PE-01
Point de prélèvement:
Nature de l'échantillon: tissu animal

Mercure

Méthode: MA. 207 - Hg 2.1 **Date d'analyse:** 3 octobre 2024	**Résultat**	**Unité**	**LDM**
Mercure	0,48	mg/kg	0,01

Métaux Terres rares

Méthode: MA. 207 - Mét.T.rares TB **Date d'analyse:** 5 novembre 2024	**Résultat**	**Unité**	**LDM**
Dysprosium	<1	µg/kg	1
Erbium	<1	µg/kg	1
Europium	<1	µg/kg	1
Gadolinium	<2	µg/kg	2
Holmium	<1	µg/kg	1
Lithium	<4	µg/kg	4
Niobium	12	µg/kg	1
Samarium	<1	µg/kg	1
Scandium	<1	µg/kg	1
Terbium	<1	µg/kg	1
Thorium	<1	µg/kg	1
Thulium	<1	µg/kg	1
Ytterbium	<2	µg/kg	2
Yttrium	43	µg/kg	1
Uranium	<1	µg/kg	1
Lanthane	<1	µg/kg	1
Lutécium	<1	µg/kg	1
Cérium	8	µg/kg	1
Néodyme	<1	µg/kg	1
Praséodyme	<1	µg/kg	1

Ce certificat ne doit pas être reproduit, sinon en entier, sans le consentement écrit du CEAEQ

Version 2 (1517798)

Certificat d'analyse (suite de l'échantillon numéro : Q156112-15)

Métaux tissus animaux

Méthode: MA. 207 - Métaux TB Date d'analyse: 5 novembre 2024	Résultat	Unité	LDM
Aluminium	0,23	mg/kg	0,11
Thallium	0,008	mg/kg	0,001
Arsenic	0,0097	mg/kg	0,0044
Baryum	0,006	mg/kg	0,006
Cadmium	<0,0044	mg/kg	0,0044
Cobalt	0,011	mg/kg	0,001
Chrome	0,18	mg/kg	0,007
Cuivre	0,22	mg/kg	0,03
Fer	4,0	mg/kg	0,1
Manganèse	0,06	mg/kg	0,01
Molybdène	0,003	mg/kg	0,001
Nickel	0,061	mg/kg	0,006
Plomb	0,00070	mg/kg	0,00044
Sélénium	0,30	mg/kg	0,06
Strontium	0,054	mg/kg	0,0154
Vanadium	<0,0044	mg/kg	0,0044
Zinc	2,7	mg/kg	0,06
Uranium	<0,00022	mg/kg	0,00022

Remarque(s)

Niveau: Paramètre

No Éch.: Q156112-15 **Paramètre:** Métaux tissus animaux

Remarque

Ce paramètre ne fait pas partie de la portée d'accréditation du Conseil canadien des normes.

Les résultats sont sur base humide.

Ce certificat ne doit pas être reproduit, sinon en entier, sans le consentement écrit du CEAEQ

Certificat d'analyse (suite de l'échantillon numéro : Q156112-16)

Numéro de l'échantillon : Q156112-16

Préleveur:
Date de prélèvement: 7 août 2024
Description de l'échantillon: OJ
Description de prélèvement: PE-01
Point de prélèvement:
Nature de l'échantillon: tissu animal

Mercure

Méthode: MA. 207 - Hg 2.1	**Résultat**	**Unité**	**LDM**
Date d'analyse: 3 octobre 2024			
Mercure	0,70	mg/kg	0,01

Métaux Terres rares

Méthode: MA. 207 - Mét.T.rares TB	**Résultat**	**Unité**	**LDM**
Date d'analyse: 5 novembre 2024			
Dysprosium	<1	µg/kg	1
Erbium	<1	µg/kg	1
Europium	<1	µg/kg	1
Gadolinium	<2	µg/kg	2
Holmium	<1	µg/kg	1
Lithium	<4	µg/kg	4
Niobium	22	µg/kg	1
Samarium	<1	µg/kg	1
Scandium	<1	µg/kg	1
Terbium	<1	µg/kg	1
Thorium	<1	µg/kg	1
Thulium	<1	µg/kg	1
Ytterbium	<2	µg/kg	2
Yttrium	51	µg/kg	1
Uranium	<1	µg/kg	1
Lanthane	<1	µg/kg	1
Lutécium	<1	µg/kg	1
Cérium	8	µg/kg	1
Néodyme	<1	µg/kg	1
Praséodyme	<1	µg/kg	1

Ce certificat ne doit pas être reproduit, sinon en entier, sans le consentement écrit du CEAEQ

Version 2 (1517798)

Certificat d'analyse (suite de l'échantillon numéro : Q156112-16)

Métaux tissus animaux

Méthode: MA. 207 - Métaux TB Date d'analyse: 5 novembre 2024	Résultat	Unité	LDM
Aluminium	0,29	mg/kg	0,11
Thallium	0,008	mg/kg	0,001
Arsenic	0,0063	mg/kg	0,0044
Baryum	0,010	mg/kg	0,006
Cadmium	<0,0044	mg/kg	0,0044
Cobalt	0,008	mg/kg	0,001
Chrome	0,30	mg/kg	0,007
Cuivre	0,32	mg/kg	0,03
Fer	6,2	mg/kg	0,1
Manganèse	0,08	mg/kg	0,01
Molybdène	0,005	mg/kg	0,001
Nickel	0,099	mg/kg	0,006
Plomb	0,00090	mg/kg	0,00044
Sélénium	0,41	mg/kg	0,06
Strontium	0,072	mg/kg	0,0154
Vanadium	<0,0044	mg/kg	0,0044
Zinc	3,0	mg/kg	0,06
Uranium	<0,00022	mg/kg	0,00022

Remarque(s)

Niveau: Paramètre

No Éch.: Q156112-16 **Paramètre:** Métaux tissus animaux

Remarque

Ce paramètre ne fait pas partie de la portée d'accréditation du Conseil canadien des normes.

Les résultats sont sur base humide.

Ce certificat ne doit pas être reproduit, sinon en entier, sans le consentement écrit du CEAEQ

Certificat d'analyse (suite de l'échantillon numéro : Q156112-17)

Numéro de l'échantillon : Q156112-17

Préleveur:
Date de prélèvement: 8 août 2024
Description de l'échantillon: OU
Description de prélèvement: PE-01
Point de prélèvement:
Nature de l'échantillon: tissu animal

Mercure

Méthode: MA. 207 - Hg 2.1 **Date d'analyse:** 3 octobre 2024	**Résultat**	**Unité**	**LDM**
Mercure	0,63	mg/kg	0,01

Métaux Terres rares

Méthode: MA. 207 - Mét.T.rares TB **Date d'analyse:** 5 novembre 2024	**Résultat**	**Unité**	**LDM**
Dysprosium	<1	µg/kg	1
Erbium	<1	µg/kg	1
Europium	<1	µg/kg	1
Gadolinium	<2	µg/kg	2
Holmium	<1	µg/kg	1
Lithium	<4	µg/kg	4
Niobium	20	µg/kg	1
Samarium	<1	µg/kg	1
Scandium	<1	µg/kg	1
Terbium	<1	µg/kg	1
Thorium	<1	µg/kg	1
Thulium	<1	µg/kg	1
Ytterbium	<2	µg/kg	2
Yttrium	55	µg/kg	1
Uranium	<1	µg/kg	1
Lanthane	<1	µg/kg	1
Lutécium	<1	µg/kg	1
Cérium	5	µg/kg	1
Néodyme	<1	µg/kg	1
Praséodyme	<1	µg/kg	1

Ce certificat ne doit pas être reproduit, sinon en entier, sans le consentement écrit du CEAEQ

Version 2 (1517798)

Certificat d'analyse (suite de l'échantillon numéro : Q156112-17)

Métaux tissus animaux

Méthode: MA. 207 - Métaux TB	Résultat	Unité	LDM
Date d'analyse: 5 novembre 2024			
Aluminium	0,23	mg/kg	0,11
Thallium	0,009	mg/kg	0,001
Arsenic	0,0089	mg/kg	0,0044
Baryum	<0,006	mg/kg	0,006
Cadmium	<0,0044	mg/kg	0,0044
Cobalt	0,010	mg/kg	0,001
Chrome	0,29	mg/kg	0,007
Cuivre	0,36	mg/kg	0,03
Fer	5,1	mg/kg	0,1
Manganèse	0,08	mg/kg	0,01
Molybdène	0,009	mg/kg	0,001
Nickel	0,092	mg/kg	0,006
Plomb	0,00060	mg/kg	0,00044
Sélénium	0,38	mg/kg	0,06
Strontium	0,037	mg/kg	0,0154
Vanadium	<0,0044	mg/kg	0,0044
Zinc	3,1	mg/kg	0,06
Uranium	<0,00022	mg/kg	0,00022

Remarque(s)

Niveau: Paramètre

No Éch.: Q156112-17 **Paramètre:** Métaux tissus animaux

Remarque

Ce paramètre ne fait pas partie de la portée d'accréditation du Conseil canadien des normes.

Les résultats sont sur base humide.

Ce certificat ne doit pas être reproduit, sinon en entier, sans le consentement écrit du CEAEQ

Certificat d'analyse (suite de l'échantillon numéro : Q156112-18)

Numéro de l'échantillon : Q156112-18

Préleveur:
Date de prélèvement: 2 août 2024
Description de l'échantillon: R
Description de prélèvement: PE-605
Point de prélèvement:
Nature de l'échantillon: tissu animal

Mercure

Méthode: MA. 207 - Hg 2.1 Date d'analyse: 3 octobre 2024	Résultat	Unité	LDM
Mercure	0,18	mg/kg	0,01

Métaux Terres rares

Méthode: MA. 207 - Mét.T.rares TB Date d'analyse: 5 novembre 2024	Résultat	Unité	LDM
Dysprosium	<1	µg/kg	1
Erbium	<1	µg/kg	1
Europium	<1	µg/kg	1
Gadolinium	<2	µg/kg	2
Holmium	<1	µg/kg	1
Lithium	<4	µg/kg	4
Niobium	38	µg/kg	1
Samarium	<1	µg/kg	1
Scandium	<1	µg/kg	1
Terbium	<1	µg/kg	1
Thorium	<1	µg/kg	1
Thulium	<1	µg/kg	1
Ytterbium	<2	µg/kg	2
Yttrium	47	µg/kg	1
Uranium	<1	µg/kg	1
Lanthane	<1	µg/kg	1
Lutécium	<1	µg/kg	1
Cérium	10	µg/kg	1
Néodyme	2	µg/kg	1
Praséodyme	<1	µg/kg	1

Ce certificat ne doit pas être reproduit, sinon en entier, sans le consentement écrit du CEAEQ

Version 2 (1517798)

Certificat d'analyse (suite de l'échantillon numéro : Q156112-18)

Métaux tissus animaux

Méthode: MA. 207 - Métaux TB	Résultat	Unité	LDM
Date d'analyse: 5 novembre 2024			
Aluminium	0,49	mg/kg	0,11
Thallium	0,011	mg/kg	0,001
Arsenic	0,021	mg/kg	0,0044
Baryum	0,038	mg/kg	0,006
Cadmium	<0,0044	mg/kg	0,0044
Cobalt	0,007	mg/kg	0,001
Chrome	0,63	mg/kg	0,007
Cuivre	0,23	mg/kg	0,03
Fer	6,1	mg/kg	0,1
Manganèse	0,26	mg/kg	0,01
Molybdène	0,011	mg/kg	0,001
Nickel	0,19	mg/kg	0,006
Plomb	0,0056	mg/kg	0,00044
Sélénium	0,35	mg/kg	0,06
Strontium	0,20	mg/kg	0,0154
Vanadium	0,0048	mg/kg	0,0044
Zinc	2,9	mg/kg	0,06
Uranium	0,00030	mg/kg	0,00022

Remarque(s)

Niveau: Paramètre

No Éch.: Q156112-18 **Paramètre:** Métaux tissus animaux

Remarque

Ce paramètre ne fait pas partie de la portée d'accréditation du Conseil canadien des normes.

Les résultats sont sur base humide.

Ce certificat ne doit pas être reproduit, sinon en entier, sans le consentement écrit du CEAEQ

Certificat d'analyse (suite de l'échantillon numéro : Q156112-19)

Numéro de l'échantillon : Q156112-19

Préleveur:
Date de prélèvement: 2 août 2024
Description de l'échantillon: AM
Description de prélèvement: PE-605
Point de prélèvement:
Nature de l'échantillon: tissu animal

Mercure

Méthode: MA. 207 - Hg 2.1 **Date d'analyse:** 3 octobre 2024	**Résultat**	**Unité**	**LDM**
Mercure	0,33	mg/kg	0,01

Métaux Terres rares

Méthode: MA. 207 - Mét.T.rares TB **Date d'analyse:** 9 décembre 2024	**Résultat**	**Unité**	**LDM**
Dysprosium	<1	µg/kg	1
Erbium	<1	µg/kg	1
Europium	<1	µg/kg	1
Gadolinium	<2	µg/kg	2
Holmium	<1	µg/kg	1
Lithium	<4	µg/kg	4
Niobium	7	µg/kg	1
Samarium	<1	µg/kg	1
Scandium	<1	µg/kg	1
Terbium	<1	µg/kg	1
Thorium	<1	µg/kg	1
Thulium	<1	µg/kg	1
Ytterbium	<2		2
Yttrium	46	µg/kg	1
Uranium	<1	µg/kg	1
Lanthane	<1	µg/kg	1
Lutécium	<1	µg/kg	1
Cérium	5		1
Néodyme	<1	µg/kg	1
Praséodyme	<1	µg/kg	1

Ce certificat ne doit pas être reproduit, sinon en entier, sans le consentement écrit du CEAEQ

Version 2 (1517798)

Certificat d'analyse (suite de l'échantillon numéro : Q156112-19)

Métaux tissus animaux

Méthode: MA. 207 - Métaux TB	Résultat	Unité	LDM
Date d'analyse: 5 novembre 2024			
Aluminium	0,47	mg/kg	0,11
Thallium	0,009	mg/kg	0,001
Arsenic	0,015	mg/kg	0,0044
Baryum	0,025	mg/kg	0,006
Cadmium	<0,0044	mg/kg	0,0044
Cobalt	0,004	mg/kg	0,001
Chrome	0,16	mg/kg	0,007
Cuivre	0,21	mg/kg	0,03
Fer	2,8	mg/kg	0,1
Manganèse	0,13	mg/kg	0,01
Molybdène	0,004	mg/kg	0,001
Nickel	0,065	mg/kg	0,006
Plomb	0,00060	mg/kg	0,00044
Sélénium	0,37	mg/kg	0,06
Strontium	0,083	mg/kg	0,0154
Vanadium	<0,0044	mg/kg	0,0044
Zinc	3,2	mg/kg	0,06
Uranium	<0,00022	mg/kg	0,00022

Remarque(s)

Niveau: Paramètre

No Éch.: Q156112-19 **Paramètre:** Métaux tissus animaux

Remarque

Ce paramètre ne fait pas partie de la portée d'accréditation du Conseil canadien des normes.

Les résultats sont sur base humide.

Ce certificat ne doit pas être reproduit, sinon en entier, sans le consentement écrit du CEAEQ

Certificat d'analyse (suite de l'échantillon numéro : Q156112-20)

Numéro de l'échantillon : Q156112-20

Préleveur:
Date de prélèvement: 2 août 2024
Description de l'échantillon: AS
Description de prélèvement: PE-605
Point de prélèvement:
Nature de l'échantillon: tissu animal

Mercure

Méthode: MA. 207 - Hg 2.1 **Date d'analyse:** 3 octobre 2024	**Résultat**	**Unité**	**LDM**
Mercure	0,22	mg/kg	0,01

Métaux Terres rares

Méthode: MA. 207 - Mét.T.rares TB **Date d'analyse:** 5 novembre 2024	**Résultat**	**Unité**	**LDM**
Dysprosium	<1	µg/kg	1
Erbium	<1	µg/kg	1
Europium	<1	µg/kg	1
Gadolinium	<2	µg/kg	2
Holmium	<1	µg/kg	1
Lithium	<4	µg/kg	4
Niobium	5	µg/kg	1
Samarium	<1	µg/kg	1
Scandium	<1	µg/kg	1
Terbium	<1	µg/kg	1
Thorium	<1	µg/kg	1
Thulium	<1	µg/kg	1
Ytterbium	<2	µg/kg	2
Yttrium	38	µg/kg	1
Uranium	<1	µg/kg	1
Lanthane	1	µg/kg	1
Lutécium	<1	µg/kg	1
Cérium	6	µg/kg	1
Néodyme	2	µg/kg	1
Praséodyme	<1	µg/kg	1

Ce certificat ne doit pas être reproduit, sinon en entier, sans le consentement écrit du CEAEQ

Version 2 (1517798)

Certificat d'analyse (suite de l'échantillon numéro : Q156112-20)

Métaux tissus animaux

Méthode: MA. 207 - Métaux TB Date d'analyse: 5 novembre 2024	Résultat	Unité	LDM
Aluminium	0,53	mg/kg	0,11
Thallium	0,010	mg/kg	0,001
Arsenic	0,019	mg/kg	0,0044
Baryum	0,021	mg/kg	0,006
Cadmium	<0,0044	mg/kg	0,0044
Cobalt	0,004	mg/kg	0,001
Chrome	0,088	mg/kg	0,007
Cuivre	0,17	mg/kg	0,03
Fer	7,2	mg/kg	0,1
Manganèse	0,18	mg/kg	0,01
Molybdène	0,004	mg/kg	0,001
Nickel	0,030	mg/kg	0,006
Plomb	0,0016	mg/kg	0,00044
Sélénium	0,32	mg/kg	0,06
Strontium	0,070	mg/kg	0,0154
Vanadium	0,0050	mg/kg	0,0044
Zinc	3,6	mg/kg	0,06
Uranium	<0,00022	mg/kg	0,00022

Remarque(s)

Niveau: Paramètre

No Éch.: Q156112-20 **Paramètre:** Métaux tissus animaux

Remarque

Ce paramètre ne fait pas partie de la portée d'accréditation du Conseil canadien des normes.

Les résultats sont sur base humide.

Ce certificat ne doit pas être reproduit, sinon en entier, sans le consentement écrit du CEAEQ

Certificat d'analyse (suite de l'échantillon numéro : Q156112-21)

Numéro de l'échantillon : Q156112-21

Préleveur:
Date de prélèvement: 13 août 2024
Description de l'échantillon: BA
Description de prélèvement: PE-605
Point de prélèvement:
Nature de l'échantillon: tissu animal

Mercure

Méthode: MA. 207 - Hg 2.1 **Date d'analyse:** 3 octobre 2024	**Résultat**	**Unité**	**LDM**
Mercure	0,23	mg/kg	0,01

Métaux Terres rares

Méthode: MA. 207 - Mét.T.rares TB **Date d'analyse:** 5 novembre 2024	**Résultat**	**Unité**	**LDM**
Dysprosium	<1	µg/kg	1
Erbium	<1	µg/kg	1
Europium	<1	µg/kg	1
Gadolinium	<2	µg/kg	2
Holmium	<1	µg/kg	1
Lithium	<4	µg/kg	4
Niobium	8	µg/kg	1
Samarium	<1	µg/kg	1
Scandium	<1	µg/kg	1
Terbium	<1	µg/kg	1
Thorium	<1	µg/kg	1
Thulium	<1	µg/kg	1
Ytterbium	<2	µg/kg	2
Yttrium	31	µg/kg	1
Uranium	<1	µg/kg	1
Lanthane	<1	µg/kg	1
Lutécium	<1	µg/kg	1
Cérium	4	µg/kg	1
Néodyme	<1	µg/kg	1
Praséodyme	<1	µg/kg	1

Ce certificat ne doit pas être reproduit, sinon en entier, sans le consentement écrit du CEAEQ

Version 2 (1517798)

Certificat d'analyse (suite de l'échantillon numéro : Q156112-21)

Métaux tissus animaux

Méthode: MA. 207 - Métaux TB	Résultat	Unité	LDM
Date d'analyse: 5 novembre 2024			
Aluminium	0,36	mg/kg	0,11
Thallium	0,011	mg/kg	0,001
Arsenic	0,014	mg/kg	0,0044
Baryum	0,15	mg/kg	0,006
Cadmium	<0,0044	mg/kg	0,0044
Cobalt	0,005	mg/kg	0,001
Chrome	0,14	mg/kg	0,007
Cuivre	0,16	mg/kg	0,03
Fer	2,3	mg/kg	0,1
Manganèse	0,49	mg/kg	0,01
Molybdène	0,003	mg/kg	0,001
Nickel	0,048	mg/kg	0,006
Plomb	0,0011	mg/kg	0,00044
Sélénium	0,33	mg/kg	0,06
Strontium	1,2	mg/kg	0,0154
Vanadium	<0,0044	mg/kg	0,0044
Zinc	3,8	mg/kg	0,06
Uranium	<0,00022	mg/kg	0,00022

Remarque(s)

Niveau: Paramètre

No Éch.: Q156112-21 **Paramètre:** Métaux tissus animaux

Remarque

Ce paramètre ne fait pas partie de la portée d'accréditation du Conseil canadien des normes.

Les résultats sont sur base humide.

Ce certificat ne doit pas être reproduit, sinon en entier, sans le consentement écrit du CEAEQ

Certificat d'analyse (suite de l'échantillon numéro : Q156112-22)

Numéro de l'échantillon : Q156112-22

Préleveur:
Date de prélèvement: 13 août 2024
Description de l'échantillon: BB
Description de prélèvement: PE-605
Point de prélèvement:
Nature de l'échantillon: tissu animal

Mercure

Méthode: MA. 207 - Hg 2.1 **Date d'analyse:** 3 octobre 2024	**Résultat**	**Unité**	**LDM**
Mercure	0,18	mg/kg	0,01

Métaux Terres rares

Méthode: MA. 207 - Mét.T.rares TB **Date d'analyse:** 5 novembre 2024	**Résultat**	**Unité**	**LDM**
Dysprosium	<1	µg/kg	1
Erbium	<1	µg/kg	1
Europium	<1	µg/kg	1
Gadolinium	<2	µg/kg	2
Holmium	<1	µg/kg	1
Lithium	<4	µg/kg	4
Niobium	12	µg/kg	1
Samarium	<1	µg/kg	1
Scandium	<1	µg/kg	1
Terbium	<1	µg/kg	1
Thorium	<1	µg/kg	1
Thulium	<1	µg/kg	1
Ytterbium	<2	µg/kg	2
Yttrium	38	µg/kg	1
Uranium	<1	µg/kg	1
Lanthane	<1	µg/kg	1
Lutécium	<1	µg/kg	1
Cérium	5	µg/kg	1
Néodyme	<1	µg/kg	1
Praséodyme	<1	µg/kg	1

Ce certificat ne doit pas être reproduit, sinon en entier, sans le consentement écrit du CEAEQ

Version 2 (1517798)

Certificat d'analyse (suite de l'échantillon numéro : Q156112-22)

Métaux tissus animaux

Méthode: MA. 207 - Métaux TB	Résultat	Unité	LDM
Date d'analyse: 5 novembre 2024			
Aluminium	0,23	mg/kg	0,11
Thallium	0,006	mg/kg	0,001
Arsenic	0,037	mg/kg	0,0044
Baryum	0,030	mg/kg	0,006
Cadmium	<0,0044	mg/kg	0,0044
Cobalt	0,004	mg/kg	0,001
Chrome	0,25	mg/kg	0,007
Cuivre	0,17	mg/kg	0,03
Fer	3,4	mg/kg	0,1
Manganèse	0,17	mg/kg	0,01
Molybdène	0,006	mg/kg	0,001
Nickel	0,079	mg/kg	0,006
Plomb	0,00080	mg/kg	0,00044
Sélénium	0,36	mg/kg	0,06
Strontium	0,19	mg/kg	0,0154
Vanadium	<0,0044	mg/kg	0,0044
Zinc	3,1	mg/kg	0,06
Uranium	<0,00022	mg/kg	0,00022

Remarque(s)

Niveau: Paramètre

No Éch.: Q156112-22 **Paramètre:** Métaux tissus animaux

Remarque

Ce paramètre ne fait pas partie de la portée d'accréditation du Conseil canadien des normes.

Les résultats sont sur base humide.

Ce certificat ne doit pas être reproduit, sinon en entier, sans le consentement écrit du CEAEQ

Version 2 (1517798)

Certificat d'analyse (suite de l'échantillon numéro : Q156112-23)

Numéro de l'échantillon : Q156112-23

Préleveur:
Date de prélèvement: 13 août 2024
Description de l'échantillon: BG
Description de prélèvement: PE-605
Point de prélèvement:
Nature de l'échantillon: tissu animal

Mercure

Méthode: MA. 207 - Hg 2.1 **Date d'analyse:** 3 octobre 2024	**Résultat**	**Unité**	**LDM**
Mercure	0,29	mg/kg	0,01

Métaux Terres rares

Méthode: MA. 207 - Mét.T.rares TB **Date d'analyse:** 5 novembre 2024	**Résultat**	**Unité**	**LDM**
Dysprosium	<1	µg/kg	1
Erbium	<1	µg/kg	1
Europium	<1	µg/kg	1
Gadolinium	<2	µg/kg	2
Holmium	<1	µg/kg	1
Lithium	<4	µg/kg	4
Niobium	8	µg/kg	1
Samarium	<1	µg/kg	1
Scandium	<1	µg/kg	1
Terbium	<1	µg/kg	1
Thorium	<1	µg/kg	1
Thulium	<1	µg/kg	1
Ytterbium	<2	µg/kg	2
Yttrium	30	µg/kg	1
Uranium	<1	µg/kg	1
Lanthane	<1	µg/kg	1
Lutécium	<1	µg/kg	1
Cérium	4	µg/kg	1
Néodyme	<1	µg/kg	1
Praséodyme	<1	µg/kg	1

Ce certificat ne doit pas être reproduit, sinon en entier, sans le consentement écrit du CEAEQ

Version 2 (1517798)

Certificat d'analyse (suite de l'échantillon numéro : Q156112-23)

Métaux tissus animaux

Méthode: MA. 207 - Métaux TB	Résultat	Unité	LDM
Date d'analyse: 5 novembre 2024			
Aluminium	0,23	mg/kg	0,11
Thallium	0,007	mg/kg	0,001
Arsenic	0,022	mg/kg	0,0044
Baryum	0,074	mg/kg	0,006
Cadmium	<0,0044	mg/kg	0,0044
Cobalt	0,003	mg/kg	0,001
Chrome	0,14	mg/kg	0,007
Cuivre	0,18	mg/kg	0,03
Fer	2,0	mg/kg	0,1
Manganèse	0,23	mg/kg	0,01
Molybdène	0,003	mg/kg	0,001
Nickel	0,044	mg/kg	0,006
Plomb	0,00070	mg/kg	0,00044
Sélénium	0,44	mg/kg	0,06
Strontium	0,63	mg/kg	0,0154
Vanadium	0,0044	mg/kg	0,0044
Zinc	3,4	mg/kg	0,06
Uranium	<0,00022	mg/kg	0,00022

Remarque(s)

Niveau: Paramètre

No Éch.: Q156112-23 **Paramètre:** Métaux tissus animaux

Remarque

Ce paramètre ne fait pas partie de la portée d'accréditation du Conseil canadien des normes.

Les résultats sont sur base humide.

Ce certificat ne doit pas être reproduit, sinon en entier, sans le consentement écrit du CEAEQ

Certificat d'analyse (suite de l'échantillon numéro : Q156112-24)

Numéro de l'échantillon : Q156112-24

Préleveur:
Date de prélèvement: 3 août 2024
Description de l'échantillon: BH
Description de prélèvement: PE-605
Point de prélèvement:
Nature de l'échantillon: tissu animal

Mercure

Méthode: MA. 207 - Hg 2.1 Date d'analyse: 3 octobre 2024	Résultat	Unité	LDM
Mercure	0,21	mg/kg	0,01

Métaux Terres rares

Méthode: MA. 207 - Mét.T.rares TB Date d'analyse: 5 novembre 2024	Résultat	Unité	LDM
Dysprosium	<1	µg/kg	1
Erbium	<1	µg/kg	1
Europium	<1	µg/kg	1
Gadolinium	<2	µg/kg	2
Holmium	<1	µg/kg	1
Lithium	<4	µg/kg	4
Niobium	21	µg/kg	1
Samarium	<1	µg/kg	1
Scandium	<1	µg/kg	1
Terbium	<1	µg/kg	1
Thorium	<1	µg/kg	1
Thulium	<1	µg/kg	1
Ytterbium	<2	µg/kg	2
Yttrium	59	µg/kg	1
Uranium	<1	µg/kg	1
Lanthane	<1	µg/kg	1
Lutécium	<1	µg/kg	1
Cérium	12	µg/kg	1
Néodyme	<1	µg/kg	1
Praséodyme	<1	µg/kg	1

Ce certificat ne doit pas être reproduit, sinon en entier, sans le consentement écrit du CEAEQ

Version 2 (1517798)

Certificat d'analyse (suite de l'échantillon numéro : Q156112-24)

Métaux tissus animaux

Méthode: MA. 207 - Métaux TB Date d'analyse: 5 novembre 2024	Résultat	Unité	LDM
Aluminium	0,51	mg/kg	0,11
Thallium	0,013	mg/kg	0,001
Arsenic	0,022	mg/kg	0,0044
Baryum	0,026	mg/kg	0,006
Cadmium	<0,0044	mg/kg	0,0044
Cobalt	0,005	mg/kg	0,001
Chrome	0,27	mg/kg	0,007
Cuivre	0,21	mg/kg	0,03
Fer	2,8	mg/kg	0,1
Manganèse	0,18	mg/kg	0,01
Molybdène	0,006	mg/kg	0,001
Nickel	0,079	mg/kg	0,006
Plomb	0,0015	mg/kg	0,00044
Sélénium	0,38	mg/kg	0,06
Strontium	0,16	mg/kg	0,0154
Vanadium	<0,0044	mg/kg	0,0044
Zinc	3,3	mg/kg	0,06
Uranium	<0,00022	mg/kg	0,00022

Remarque(s)

Niveau: Paramètre

No Éch.: Q156112-24 **Paramètre:** Métaux tissus animaux

Remarque

Ce paramètre ne fait pas partie de la portée d'accréditation du Conseil canadien des normes.

Les résultats sont sur base humide.

Ce certificat ne doit pas être reproduit, sinon en entier, sans le consentement écrit du CEAEQ

Certificat d'analyse (suite de l'échantillon numéro : Q156112-25)

Numéro de l'échantillon : Q156112-25

Préleveur:
Date de prélèvement: 3 août 2024
Description de l'échantillon: BT
Description de prélèvement: PE-605
Point de prélèvement:
Nature de l'échantillon: tissu animal

Mercure

Méthode: MA. 207 - Hg 2.1 Date d'analyse: 3 octobre 2024	Résultat	Unité	LDM
Mercure	0,21	mg/kg	0,01

Métaux Terres rares

Méthode: MA. 207 - Mét.T.rares TB Date d'analyse: 17 décembre 2024	Résultat	Unité	LDM
Dysprosium	<1	µg/kg	1
Erbium	<1	µg/kg	1
Europium	<1	µg/kg	1
Gadolinium	<2	µg/kg	2
Holmium	<1	µg/kg	1
Lithium	8	µg/kg	4
Niobium	11	µg/kg	1
Samarium	<1	µg/kg	1
Scandium	<1	µg/kg	1
Terbium	<1	µg/kg	1
Thorium	<1	µg/kg	1
Thulium	<1	µg/kg	1
Ytterbium	<2		2
Yttrium	44	µg/kg	1
Uranium	<1	µg/kg	1
Lanthane	<1	µg/kg	1
Lutécium	<1	µg/kg	1
Cérium	5		1
Néodyme	<1	µg/kg	1
Praséodyme	<1	µg/kg	1

Ce certificat ne doit pas être reproduit, sinon en entier, sans le consentement écrit du CEAEQ

Version 2 (1517798)

Certificat d'analyse (suite de l'échantillon numéro : Q156112-25)

Métaux tissus animaux

Méthode: MA. 207 - Métaux TB	Résultat	Unité	LDM
Date d'analyse: 26 novembre 2024			
Aluminium	0,19	mg/kg	0,11
Thallium	0,008	mg/kg	0,001
Arsenic	0,016	mg/kg	0,0044
Baryum	0,0030	mg/kg	0,00132
Cadmium	<0,0044	mg/kg	0,0044
Cobalt	0,003	mg/kg	0,001
Chrome	0,18	mg/kg	0,007
Cuivre	0,16	mg/kg	0,03
Fer	2,6	mg/kg	0,1
Manganèse	0,11	mg/kg	0,01
Molybdène	0,004	mg/kg	0,001
Nickel	0,047	mg/kg	0,006
Plomb	0,00055	mg/kg	0,00044
Sélénium	0,23	mg/kg	0,06
Strontium	0,021	mg/kg	0,0154
Vanadium	<0,0044	mg/kg	0,0044
Zinc	2,4	mg/kg	0,06
Uranium	<0,00022	mg/kg	0,00022

Remarque(s)

Niveau: Paramètre

No Éch.: Q156112-25 **Paramètre:** Métaux tissus animaux

Remarque

Ce paramètre ne fait pas partie de la portée d'accréditation du Conseil canadien des normes.

Les résultats sont sur base humide.

Ce certificat ne doit pas être reproduit, sinon en entier, sans le consentement écrit du CEAEQ

Certificat d'analyse (suite de l'échantillon numéro : Q156112-26)

Numéro de l'échantillon : Q156112-26

Préleveur:
Date de prélèvement: 1 août 2024
Description de l'échantillon: C
Description de prélèvement: PE-605
Point de prélèvement:
Nature de l'échantillon: tissu animal

Mercure

Méthode: MA. 207 - Hg 2.1 Date d'analyse: 3 octobre 2024	Résultat	Unité	LDM
Mercure	0,71	mg/kg	0,01

Métaux Terres rares

Méthode: MA. 207 - Mét.T.rares TB Date d'analyse: 5 novembre 2024	Résultat	Unité	LDM
Dysprosium	1	µg/kg	1
Erbium	1	µg/kg	1
Europium	<1	µg/kg	1
Gadolinium	<2	µg/kg	2
Holmium	<1	µg/kg	1
Lithium	17	µg/kg	4
Niobium	8	µg/kg	1
Samarium	<1	µg/kg	1
Scandium	1	µg/kg	1
Terbium	<1	µg/kg	1
Thorium	8	µg/kg	1
Thulium	<1	µg/kg	1
Ytterbium	4	µg/kg	2
Yttrium	41	µg/kg	1
Uranium	15	µg/kg	1
Lanthane	3	µg/kg	1
Lutécium	<1	µg/kg	1
Cérium	11	µg/kg	1
Néodyme	3	µg/kg	1
Praséodyme	<1	µg/kg	1

Ce certificat ne doit pas être reproduit, sinon en entier, sans le consentement écrit du CEAEQ

Version 2 (1517798)

Certificat d'analyse (suite de l'échantillon numéro : Q156112-26)

Métaux tissus animaux

Méthode: MA. 207 - Métaux TB	Résultat	Unité	LDM
Date d'analyse: 5 novembre 2024			
Aluminium	0,86	mg/kg	0,11
Thallium	0,006	mg/kg	0,001
Arsenic	0,035	mg/kg	0,0044
Baryum	0,013	mg/kg	0,00132
Cadmium	<0,0044	mg/kg	0,0044
Cobalt	0,005	mg/kg	0,001
Chrome	0,10	mg/kg	0,007
Cuivre	0,28	mg/kg	0,03
Fer	6,6	mg/kg	0,1
Manganèse	0,10	mg/kg	0,01
Molybdène	0,003	mg/kg	0,001
Nickel	0,035	mg/kg	0,006
Plomb	0,0010	mg/kg	0,00044
Sélénium	0,31	mg/kg	0,06
Strontium	0,055	mg/kg	0,0154
Vanadium	<0,0044	mg/kg	0,0044
Zinc	3,2	mg/kg	0,06
Uranium	0,0033	mg/kg	0,00022

Remarque(s)

Niveau: Paramètre

No Éch.: Q156112-26 **Paramètre:** Métaux tissus animaux

Remarque

Ce paramètre ne fait pas partie de la portée d'accréditation du Conseil canadien des normes.

Les résultats sont sur base humide.

Ce certificat ne doit pas être reproduit, sinon en entier, sans le consentement écrit du CEAEQ

Version 2 (1517798)

Certificat d'analyse (suite de l'échantillon numéro : Q156112-27)

Numéro de l'échantillon : Q156112-27

Préleveur:
Date de prélèvement: 2 août 2024
Description de l'échantillon: V
Description de prélèvement: PE-605
Point de prélèvement:
Nature de l'échantillon: tissu animal

Mercure

Méthode: MA. 207 - Hg 2.1 Date d'analyse: 3 octobre 2024	Résultat	Unité	LDM
Mercure	1,1	mg/kg	0,01

Métaux Terres rares

Méthode: MA. 207 - Mét.T.rares TB Date d'analyse: 5 novembre 2024	Résultat	Unité	LDM
Dysprosium	<1	µg/kg	1
Erbium	<1	µg/kg	1
Europium	<1	µg/kg	1
Gadolinium	<2	µg/kg	2
Holmium	<1	µg/kg	1
Lithium	8	µg/kg	4
Niobium	15	µg/kg	1
Samarium	<1	µg/kg	1
Scandium	<1	µg/kg	1
Terbium	<1	µg/kg	1
Thorium	<1	µg/kg	1
Thulium	<1	µg/kg	1
Ytterbium	<2	µg/kg	2
Yttrium	41	µg/kg	1
Uranium	<1	µg/kg	1
Lanthane	<1	µg/kg	1
Lutécium	<1	µg/kg	1
Cérium	8	µg/kg	1
Néodyme	<1	µg/kg	1
Praséodyme	<1	µg/kg	1

Ce certificat ne doit pas être reproduit, sinon en entier, sans le consentement écrit du CEAEQ

Version 2 (1517798)

Certificat d'analyse (suite de l'échantillon numéro : Q156112-27)

Métaux tissus animaux

Méthode: MA. 207 - Métaux TB	Résultat	Unité	LDM
Date d'analyse: 5 novembre 2024			
Aluminium	0,24	mg/kg	0,11
Thallium	0,007	mg/kg	0,001
Arsenic	0,028	mg/kg	0,0044
Baryum	0,0069	mg/kg	0,00132
Cadmium	0,0055	mg/kg	0,0044
Cobalt	0,007	mg/kg	0,001
Chrome	0,21	mg/kg	0,007
Cuivre	0,29	mg/kg	0,03
Fer	6,4	mg/kg	0,1
Manganèse	0,10	mg/kg	0,01
Molybdène	0,004	mg/kg	0,001
Nickel	0,062	mg/kg	0,006
Plomb	<0,00044	mg/kg	0,00044
Sélénium	0,34	mg/kg	0,06
Strontium	0,036	mg/kg	0,0154
Vanadium	<0,0044	mg/kg	0,0044
Zinc	3,2	mg/kg	0,06
Uranium	<0,00022	mg/kg	0,00022

Remarque(s)

Niveau: Paramètre

No Éch.: Q156112-27 **Paramètre:** Métaux tissus animaux

Remarque

Ce paramètre ne fait pas partie de la portée d'accréditation du Conseil canadien des normes.

Les résultats sont sur base humide.

Ce certificat ne doit pas être reproduit, sinon en entier, sans le consentement écrit du CEAEQ

Certificat d'analyse (suite de l'échantillon numéro : Q156112-28)

Numéro de l'échantillon : Q156112-28

Préleveur:
Date de prélèvement: 1 août 2024
Description de l'échantillon: B
Description de prélèvement: PE-605
Point de prélèvement:
Nature de l'échantillon: tissu animal

Mercure

Méthode: MA. 207 - Hg 2.1 Date d'analyse: 3 octobre 2024	Résultat	Unité	LDM
Mercure	1,1	mg/kg	0,01

Métaux Terres rares

Méthode: MA. 207 - Mét.T.rares TB Date d'analyse: 17 décembre 2024	Résultat	Unité	LDM
Dysprosium	<1	µg/kg	1
Erbium	<1	µg/kg	1
Europium	<1	µg/kg	1
Gadolinium	<2	µg/kg	2
Holmium	<1	µg/kg	1
Lithium	7	µg/kg	4
Niobium	16	µg/kg	1
Samarium	<1	µg/kg	1
Scandium	<1	µg/kg	1
Terbium	<1	µg/kg	1
Thorium	<1	µg/kg	1
Thulium	<1	µg/kg	1
Ytterbium	<2		2
Yttrium	54	µg/kg	1
Uranium	<1	µg/kg	1
Lanthane	1	µg/kg	1
Lutécium	<1	µg/kg	1
Cérium	7		1
Néodyme	<1	µg/kg	1
Praséodyme	<1	µg/kg	1

Ce certificat ne doit pas être reproduit, sinon en entier, sans le consentement écrit du CEAEQ

Certificat d'analyse (suite de l'échantillon numéro : Q156112-28)

Métaux tissus animaux

Méthode: MA. 207 - Métaux TB Date d'analyse: 26 novembre 2024	Résultat	Unité	LDM
Aluminium	0,30	mg/kg	0,11
Thallium	0,004	mg/kg	0,001
Arsenic	0,045	mg/kg	0,0044
Baryum	0,0084	mg/kg	0,00132
Cadmium	<0,0044	mg/kg	0,0044
Cobalt	0,003	mg/kg	0,001
Chrome	0,25	mg/kg	0,007
Cuivre	0,24	mg/kg	0,03
Fer	5,6	mg/kg	0,1
Manganèse	0,09	mg/kg	0,01
Molybdène	0,005	mg/kg	0,001
Nickel	0,069	mg/kg	0,006
Plomb	<0,00044	mg/kg	0,00044
Sélénium	0,34	mg/kg	0,06
Strontium	0,034	mg/kg	0,0154
Vanadium	<0,0044	mg/kg	0,0044
Zinc	3,0	mg/kg	0,06
Uranium	<0,00022	mg/kg	0,00022

Remarque(s)

Niveau: Paramètre

No Éch.: Q156112-28 **Paramètre:** Métaux tissus animaux

Remarque

Ce paramètre ne fait pas partie de la portée d'accréditation du Conseil canadien des normes.

Les résultats sont sur base humide.

Ce certificat ne doit pas être reproduit, sinon en entier, sans le consentement écrit du CEAEQ

Certificat d'analyse (suite de l'échantillon numéro : Q156112-29)

Numéro de l'échantillon : Q156112-29

Préleveur:
Date de prélèvement: 1 août 2024
Description de l'échantillon: M
Description de prélèvement: PE-605
Point de prélèvement:
Nature de l'échantillon: tissu animal

Mercure

Méthode: MA. 207 - Hg 2.1	**Résultat**	**Unité**	**LDM**
Date d'analyse: 3 octobre 2024			
Mercure	0,95	mg/kg	0,01

Métaux Terres rares

Méthode: MA. 207 - Mét.T.rares TB	**Résultat**	**Unité**	**LDM**
Date d'analyse: 5 novembre 2024			
Dysprosium	<1	µg/kg	1
Erbium	<1	µg/kg	1
Europium	<1	µg/kg	1
Gadolinium	<2	µg/kg	2
Holmium	<1	µg/kg	1
Lithium	5	µg/kg	4
Niobium	7	µg/kg	1
Samarium	<1	µg/kg	1
Scandium	<1	µg/kg	1
Terbium	<1	µg/kg	1
Thorium	<1	µg/kg	1
Thulium	<1	µg/kg	1
Ytterbium	<2	µg/kg	2
Yttrium	22	µg/kg	1
Uranium	<1	µg/kg	1
Lanthane	<1	µg/kg	1
Lutécium	<1	µg/kg	1
Cérium	4	µg/kg	1
Néodyme	<1	µg/kg	1
Praséodyme	<1	µg/kg	1

Ce certificat ne doit pas être reproduit, sinon en entier, sans le consentement écrit du CEAEQ

Version 2 (1517798)

Certificat d'analyse (suite de l'échantillon numéro : Q156112-29)

Métaux tissus animaux

Méthode: MA. 207 - Métaux TB	Résultat	Unité	LDM
Date d'analyse: 5 novembre 2024			
Aluminium	0,18	mg/kg	0,11
Thallium	0,009	mg/kg	0,001
Arsenic	0,036	mg/kg	0,0044
Baryum	<0,00132	mg/kg	0,00132
Cadmium	<0,0044	mg/kg	0,0044
Cobalt	0,004	mg/kg	0,001
Chrome	0,12	mg/kg	0,007
Cuivre	0,19	mg/kg	0,03
Fer	3,6	mg/kg	0,1
Manganèse	0,09	mg/kg	0,01
Molybdène	0,003	mg/kg	0,001
Nickel	0,043	mg/kg	0,006
Plomb	<0,00044	mg/kg	0,00044
Sélénium	0,39	mg/kg	0,06
Strontium	0,022	mg/kg	0,0154
Vanadium	<0,0044	mg/kg	0,0044
Zinc	2,8	mg/kg	0,06
Uranium	<0,00022	mg/kg	0,00022

Remarque(s)

Niveau: Paramètre

No Éch.: Q156112-29 **Paramètre:** Métaux tissus animaux

Remarque

Ce paramètre ne fait pas partie de la portée d'accréditation du Conseil canadien des normes.

Les résultats sont sur base humide.

Ce certificat ne doit pas être reproduit, sinon en entier, sans le consentement écrit du CEAEQ

Version 2 (1517798)

Certificat d'analyse (suite de l'échantillon numéro : Q156112-30)

Numéro de l'échantillon : Q156112-30

Préleveur:
Date de prélèvement: 2 août 2024
Description de l'échantillon: S
Description de prélèvement: PE-605
Point de prélèvement:
Nature de l'échantillon: tissu animal

Mercure

Méthode: MA. 207 - Hg 2.1 Date d'analyse: 3 octobre 2024	Résultat	Unité	LDM
Mercure	0,31	mg/kg	0,01

Métaux Terres rares

Méthode: MA. 207 - Mét.T.rares TB Date d'analyse: 5 novembre 2024	Résultat	Unité	LDM
Dysprosium	<1	µg/kg	1
Erbium	<1	µg/kg	1
Europium	<1	µg/kg	1
Gadolinium	<2	µg/kg	2
Holmium	<1	µg/kg	1
Lithium	5	µg/kg	4
Niobium	6	µg/kg	1
Samarium	<1	µg/kg	1
Scandium	<1	µg/kg	1
Terbium	<1	µg/kg	1
Thorium	<1	µg/kg	1
Thulium	<1	µg/kg	1
Ytterbium	<2	µg/kg	2
Yttrium	26	µg/kg	1
Uranium	<1	µg/kg	1
Lanthane	<1	µg/kg	1
Lutécium	<1	µg/kg	1
Cérium	4	µg/kg	1
Néodyme	<1	µg/kg	1
Praséodyme	<1	µg/kg	1

Ce certificat ne doit pas être reproduit, sinon en entier, sans le consentement écrit du CEAEQ

Version 2 (1517798)

Certificat d'analyse (suite de l'échantillon numéro : Q156112-30)

Métaux tissus animaux

Méthode: MA. 207 - Métaux TB Date d'analyse: 5 novembre 2024	Résultat	Unité	LDM
Aluminium	0,38	mg/kg	0,11
Thallium	0,008	mg/kg	0,001
Arsenic	0,026	mg/kg	0,0044
Baryum	0,064	mg/kg	0,00132
Cadmium	<0,0044	mg/kg	0,0044
Cobalt	0,002	mg/kg	0,001
Chrome	0,095	mg/kg	0,007
Cuivre	0,13	mg/kg	0,03
Fer	2,4	mg/kg	0,1
Manganèse	0,12	mg/kg	0,01
Molybdène	0,003	mg/kg	0,001
Nickel	0,033	mg/kg	0,006
Plomb	0,0087	mg/kg	0,00044
Sélénium	0,29	mg/kg	0,06
Strontium	0,027	mg/kg	0,0154
Vanadium	<0,0044	mg/kg	0,0044
Zinc	2,3	mg/kg	0,06
Uranium	<0,00022	mg/kg	0,00022

Remarque(s)

Niveau: Paramètre

No Éch.: Q156112-30 **Paramètre:** Métaux tissus animaux

Remarque

Ce paramètre ne fait pas partie de la portée d'accréditation du Conseil canadien des normes.

Les résultats sont sur base humide.

Ce certificat ne doit pas être reproduit, sinon en entier, sans le consentement écrit du CEAEQ

Certificat d'analyse (suite de l'échantillon numéro : Q156112-31)

Numéro de l'échantillon : Q156112-31

Préleveur:
Date de prélèvement: 2 août 2024
Description de l'échantillon: AJ
Description de prélèvement: PE-605
Point de prélèvement:
Nature de l'échantillon: tissu animal

Mercure

Méthode: MA. 207 - Hg 2.1 **Date d'analyse:** 3 octobre 2024	**Résultat**	**Unité**	**LDM**
Mercure	0,75	mg/kg	0,01

Métaux Terres rares

Méthode: MA. 207 - Mét.T.rares TB **Date d'analyse:** 5 novembre 2024	**Résultat**	**Unité**	**LDM**
Dysprosium	<1	µg/kg	1
Erbium	<1	µg/kg	1
Europium	<1	µg/kg	1
Gadolinium	<2	µg/kg	2
Holmium	<1	µg/kg	1
Lithium	13	µg/kg	4
Niobium	16	µg/kg	1
Samarium	<1	µg/kg	1
Scandium	<1	µg/kg	1
Terbium	<1	µg/kg	1
Thorium	<1	µg/kg	1
Thulium	<1	µg/kg	1
Ytterbium	<2	µg/kg	2
Yttrium	62	µg/kg	1
Uranium	<1	µg/kg	1
Lanthane	<1	µg/kg	1
Lutécium	<1	µg/kg	1
Cérium	7	µg/kg	1
Néodyme	<1	µg/kg	1
Praséodyme	<1	µg/kg	1

Ce certificat ne doit pas être reproduit, sinon en entier, sans le consentement écrit du CEAEQ

Version 2 (1517798)

Certificat d'analyse (suite de l'échantillon numéro : Q156112-31)

Métaux tissus animaux

Méthode: MA. 207 - Métaux TB	Résultat	Unité	LDM
Date d'analyse: 5 novembre 2024			
Aluminium	0,28	mg/kg	0,11
Thallium	0,008	mg/kg	0,001
Arsenic	0,039	mg/kg	0,0044
Baryum	0,0046	mg/kg	0,00132
Cadmium	<0,0044	mg/kg	0,0044
Cobalt	0,004	mg/kg	0,001
Chrome	0,25	mg/kg	0,007
Cuivre	0,18	mg/kg	0,03
Fer	4,0	mg/kg	0,1
Manganèse	0,09	mg/kg	0,01
Molybdène	0,007	mg/kg	0,001
Nickel	0,077	mg/kg	0,006
Plomb	0,00090	mg/kg	0,00044
Sélénium	0,36	mg/kg	0,06
Strontium	0,034	mg/kg	0,0154
Vanadium	<0,0044	mg/kg	0,0044
Zinc	2,5	mg/kg	0,06
Uranium	<0,00022	mg/kg	0,00022

Remarque(s)

Niveau: Paramètre

No Éch.: Q156112-31 **Paramètre:** Métaux tissus animaux

Remarque

Ce paramètre ne fait pas partie de la portée d'accréditation du Conseil canadien des normes.

Les résultats sont sur base humide.

Ce certificat ne doit pas être reproduit, sinon en entier, sans le consentement écrit du CEAEQ

Certificat d'analyse (suite de l'échantillon numéro : Q156112-32)

Numéro de l'échantillon : Q156112-32

Préleveur:
Date de prélèvement: 2 août 2024
Description de l'échantillon: AL
Description de prélèvement: PE-605
Point de prélèvement:
Nature de l'échantillon: tissu animal

Mercure

Méthode: MA. 207 - Hg 2.1	**Résultat**	**Unité**	**LDM**
Date d'analyse: 3 octobre 2024			
Mercure	0,86	mg/kg	0,01

Métaux Terres rares

Méthode: MA. 207 - Mét.T.rares TB	**Résultat**	**Unité**	**LDM**
Date d'analyse: 5 novembre 2024			
Dysprosium	<1	µg/kg	1
Erbium	<1	µg/kg	1
Europium	<1	µg/kg	1
Gadolinium	<2	µg/kg	2
Holmium	<1	µg/kg	1
Lithium	6	µg/kg	4
Niobium	27	µg/kg	1
Samarium	<1	µg/kg	1
Scandium	<1	µg/kg	1
Terbium	<1	µg/kg	1
Thorium	<1	µg/kg	1
Thulium	<1	µg/kg	1
Ytterbium	<2	µg/kg	2
Yttrium	42	µg/kg	1
Uranium	<1	µg/kg	1
Lanthane	2	µg/kg	1
Lutécium	<1	µg/kg	1
Cérium	8	µg/kg	1
Néodyme	<1	µg/kg	1
Praséodyme	<1	µg/kg	1

Ce certificat ne doit pas être reproduit, sinon en entier, sans le consentement écrit du CEAEQ

Version 2 (1517798)

Certificat d'analyse (suite de l'échantillon numéro : Q156112-32)

Métaux tissus animaux

Méthode: MA. 207 - Métaux TB Date d'analyse: 5 novembre 2024	Résultat	Unité	LDM
Aluminium	0,56	mg/kg	0,11
Thallium	0,008	mg/kg	0,001
Arsenic	0,024	mg/kg	0,0044
Baryum	0,010	mg/kg	0,00132
Cadmium	<0,0044	mg/kg	0,0044
Cobalt	0,005	mg/kg	0,001
Chrome	0,36	mg/kg	0,007
Cuivre	0,21	mg/kg	0,03
Fer	5,8	mg/kg	0,1
Manganèse	0,15	mg/kg	0,01
Molybdène	0,009	mg/kg	0,001
Nickel	0,12	mg/kg	0,006
Plomb	0,0024	mg/kg	0,00044
Sélénium	0,30	mg/kg	0,06
Strontium	0,047	mg/kg	0,0154
Vanadium	<0,0044	mg/kg	0,0044
Zinc	2,9	mg/kg	0,06
Uranium	<0,00022	mg/kg	0,00022

Remarque(s)

Niveau: Paramètre

No Éch.: Q156112-32 **Paramètre:** Métaux tissus animaux

Remarque

Ce paramètre ne fait pas partie de la portée d'accréditation du Conseil canadien des normes.

Les résultats sont sur base humide.

Ce certificat ne doit pas être reproduit, sinon en entier, sans le consentement écrit du CEAEQ

Certificat d'analyse (suite de l'échantillon numéro : Q156112-33)

Numéro de l'échantillon : Q156112-33

Préleveur:
Date de prélèvement: 2 août 2024
Description de l'échantillon: AQ
Description de prélèvement: PE-605
Point de prélèvement:
Nature de l'échantillon: tissu animal

Mercure

Méthode: MA. 207 - Hg 2.1 **Date d'analyse:** 22 octobre 2024	**Résultat**	**Unité**	**LDM**
Mercure	1,1	mg/kg	0,01

Métaux Terres rares

Méthode: MA. 207 - Mét.T.rares TB **Date d'analyse:** 5 novembre 2024	**Résultat**	**Unité**	**LDM**
Dysprosium	<1	µg/kg	1
Erbium	<1	µg/kg	1
Europium	<1	µg/kg	1
Gadolinium	<2	µg/kg	2
Holmium	<1	µg/kg	1
Lithium	7	µg/kg	4
Niobium	24	µg/kg	1
Samarium	<1	µg/kg	1
Scandium	<1	µg/kg	1
Terbium	<1	µg/kg	1
Thorium	<1	µg/kg	1
Thulium	<1	µg/kg	1
Ytterbium	<2	µg/kg	2
Yttrium	53	µg/kg	1
Uranium	<1	µg/kg	1
Lanthane	<1	µg/kg	1
Lutécium	<1	µg/kg	1
Cérium	6	µg/kg	1
Néodyme	1	µg/kg	1
Praséodyme	<1	µg/kg	1

Ce certificat ne doit pas être reproduit, sinon en entier, sans le consentement écrit du CEAEQ

Version 2 (1517798)

Certificat d'analyse (suite de l'échantillon numéro : Q156112-33)

Métaux tissus animaux

Méthode: MA. 207 - Métaux TB	Résultat	Unité	LDM
Date d'analyse: 5 novembre 2024			
Aluminium	0,77	mg/kg	0,11
Thallium	0,005	mg/kg	0,001
Arsenic	0,018	mg/kg	0,0044
Baryum	0,0059	mg/kg	0,00132
Cadmium	<0,0044	mg/kg	0,0044
Cobalt	0,005	mg/kg	0,001
Chrome	0,32	mg/kg	0,007
Cuivre	0,23	mg/kg	0,03
Fer	5,4	mg/kg	0,1
Manganèse	0,10	mg/kg	0,01
Molybdène	0,006	mg/kg	0,001
Nickel	0,095	mg/kg	0,006
Plomb	0,0010	mg/kg	0,00044
Sélénium	0,27	mg/kg	0,06
Strontium	0,038	mg/kg	0,0154
Vanadium	<0,0044	mg/kg	0,0044
Zinc	2,7	mg/kg	0,06
Uranium	0,00030	mg/kg	0,00022

Remarque(s)

Niveau: Paramètre

No Éch.: Q156112-33 **Paramètre:** Métaux tissus animaux

Remarque

Ce paramètre ne fait pas partie de la portée d'accréditation du Conseil canadien des normes.

Les résultats sont sur base humide.

Ce certificat ne doit pas être reproduit, sinon en entier, sans le consentement écrit du CEAEQ

Certificat d'analyse (suite de l'échantillon numéro : Q156112-34)

Numéro de l'échantillon : Q156112-34

Préleveur:
Date de prélèvement: 3 août 2024
Description de l'échantillon: AY
Description de prélèvement: PE-605
Point de prélèvement:
Nature de l'échantillon: tissu animal

Mercure

Méthode: MA. 207 - Hg 2.1 Date d'analyse: 22 octobre 2024	Résultat	Unité	LDM
Mercure	0,36	mg/kg	0,01

Métaux Terres rares

Méthode: MA. 207 - Mét.T.rares TB Date d'analyse: 5 novembre 2024	Résultat	Unité	LDM
Dysprosium	<1	µg/kg	1
Erbium	<1	µg/kg	1
Europium	<1	µg/kg	1
Gadolinium	<2	µg/kg	2
Holmium	<1	µg/kg	1
Lithium	5	µg/kg	4
Niobium	11	µg/kg	1
Samarium	<1	µg/kg	1
Scandium	<1	µg/kg	1
Terbium	<1	µg/kg	1
Thorium	<1	µg/kg	1
Thulium	<1	µg/kg	1
Ytterbium	<2	µg/kg	2
Yttrium	74	µg/kg	1
Uranium	<1	µg/kg	1
Lanthane	<1	µg/kg	1
Lutécium	<1	µg/kg	1
Cérium	8	µg/kg	1
Néodyme	<1	µg/kg	1
Praséodyme	<1	µg/kg	1

Ce certificat ne doit pas être reproduit, sinon en entier, sans le consentement écrit du CEAEQ

Version 2 (1517798)

Certificat d'analyse (suite de l'échantillon numéro : Q156112-34)

Métaux tissus animaux

Méthode: MA. 207 - Métaux TB Date d'analyse: 5 novembre 2024	Résultat	Unité	LDM
Aluminium	0,64	mg/kg	0,11
Thallium	0,006	mg/kg	0,001
Arsenic	0,026	mg/kg	0,0044
Baryum	0,024	mg/kg	0,006
Cadmium	<0,0044	mg/kg	0,0044
Cobalt	0,003	mg/kg	0,001
Chrome	0,20	mg/kg	0,007
Cuivre	0,19	mg/kg	0,03
Fer	3,1	mg/kg	0,1
Manganèse	0,14	mg/kg	0,01
Molybdène	0,004	mg/kg	0,001
Nickel	0,064	mg/kg	0,006
Plomb	0,0027	mg/kg	0,00044
Sélénium	0,34	mg/kg	0,06
Strontium	0,091	mg/kg	0,0154
Vanadium	<0,0044	mg/kg	0,0044
Zinc	3,2	mg/kg	0,06
Uranium	<0,00022	mg/kg	0,00022

Remarque(s)

Niveau: Paramètre

No Éch.: Q156112-34 **Paramètre:** Métaux tissus animaux

Remarque

Ce paramètre ne fait pas partie de la portée d'accréditation du Conseil canadien des normes.

Les résultats sont sur base humide.

Ce certificat ne doit pas être reproduit, sinon en entier, sans le consentement écrit du CEAEQ

Certificat d'analyse (suite de l'échantillon numéro : Q156112-35)

Numéro de l'échantillon : Q156112-35

Préleveur:
Date de prélèvement: 3 août 2024
Description de l'échantillon: BS
Description de prélèvement: PE-605
Point de prélèvement:
Nature de l'échantillon: tissu animal

Mercure

Méthode: MA. 207 - Hg 2.1 Date d'analyse: 22 octobre 2024	Résultat	Unité	LDM
Mercure	0,43	mg/kg	0,01

Métaux Terres rares

Méthode: MA. 207 - Mét.T.rares TB Date d'analyse: 5 novembre 2024	Résultat	Unité	LDM
Dysprosium	<1	µg/kg	1
Erbium	<1	µg/kg	1
Europium	<1	µg/kg	1
Gadolinium	<2	µg/kg	2
Holmium	<1	µg/kg	1
Lithium	8	µg/kg	4
Niobium	7	µg/kg	1
Samarium	<1	µg/kg	1
Scandium	<1	µg/kg	1
Terbium	<1	µg/kg	1
Thorium	<1	µg/kg	1
Thulium	<1	µg/kg	1
Ytterbium	<1	µg/kg	1
Yttrium	53	µg/kg	1
Uranium	<1	µg/kg	1
Lanthane	<1	µg/kg	1
Lutécium	<1	µg/kg	1
Cérium	7	µg/kg	1
Néodyme	<1	µg/kg	1
Praséodyme	<1	µg/kg	1

Ce certificat ne doit pas être reproduit, sinon en entier, sans le consentement écrit du CEAEQ

Version 2 (1517798)

Certificat d'analyse (suite de l'échantillon numéro : Q156112-35)

Métaux tissus animaux

Méthode: MA. 207 - Métaux TB	Résultat	Unité	LDM
Date d'analyse: 5 novembre 2024			
Aluminium	0,21	mg/kg	0,11
Thallium	0,008	mg/kg	0,001
Arsenic	0,027	mg/kg	0,0044
Baryum	0,061	mg/kg	0,006
Cadmium	<0,0044	mg/kg	0,0044
Cobalt	0,002	mg/kg	0,001
Chrome	0,12	mg/kg	0,007
Cuivre	0,14	mg/kg	0,03
Fer	2,3	mg/kg	0,1
Manganèse	0,11	mg/kg	0,01
Molybdène	0,002	mg/kg	0,001
Nickel	0,044	mg/kg	0,006
Plomb	0,00090	mg/kg	0,00044
Sélénium	0,33	mg/kg	0,06
Strontium	0,20	mg/kg	0,0154
Vanadium	<0,0044	mg/kg	0,0044
Zinc	2,7	mg/kg	0,06
Uranium	<0,00022	mg/kg	0,00022

Remarque(s)

Niveau: Paramètre

No Éch.: Q156112-35 **Paramètre:** Métaux tissus animaux

Remarque

Ce paramètre ne fait pas partie de la portée d'accréditation du Conseil canadien des normes.

Les résultats sont sur base humide.

Ce certificat ne doit pas être reproduit, sinon en entier, sans le consentement écrit du CEAEQ

Certificat d'analyse (suite de l'échantillon numéro : Q156112-36)

Numéro de l'échantillon : Q156112-36

Préleveur:
Date de prélèvement: 2 août 2024
Description de l'échantillon: Q
Description de prélèvement: PE-605
Point de prélèvement:
Nature de l'échantillon: tissu animal

Mercure

Méthode: MA. 207 - Hg 2.1 Date d'analyse: 22 octobre 2024	Résultat	Unité	LDM
Mercure	1,3	mg/kg	0,01

Métaux Terres rares

Méthode: MA. 207 - Mét.T.rares TB Date d'analyse: 5 novembre 2024	Résultat	Unité	LDM
Dysprosium	<1	µg/kg	1
Erbium	<1	µg/kg	1
Europium	<1	µg/kg	1
Gadolinium	<2	µg/kg	2
Holmium	<1	µg/kg	1
Lithium	6	µg/kg	4
Niobium	25	µg/kg	1
Samarium	<1	µg/kg	1
Scandium	<1	µg/kg	1
Terbium	<1	µg/kg	1
Thorium	<1	µg/kg	1
Thulium	<1	µg/kg	1
Ytterbium	<2	µg/kg	2
Yttrium	34	µg/kg	1
Uranium	<1	µg/kg	1
Lanthane	<1	µg/kg	1
Lutécium	<1	µg/kg	1
Cérium	6	µg/kg	1
Néodyme	<1	µg/kg	1
Praséodyme	<1	µg/kg	1

Ce certificat ne doit pas être reproduit, sinon en entier, sans le consentement écrit du CEAEQ

Version 2 (1517798)

Certificat d'analyse (suite de l'échantillon numéro : Q156112-36)

Métaux tissus animaux

Méthode: MA. 207 - Métaux TB Date d'analyse: 5 novembre 2024	Résultat	Unité	LDM
Aluminium	0,42	mg/kg	0,11
Thallium	0,009	mg/kg	0,001
Arsenic	0,047	mg/kg	0,0044
Baryum	0,050	mg/kg	0,006
Cadmium	<0,0044	mg/kg	0,0044
Cobalt	0,005	mg/kg	0,001
Chrome	0,48	mg/kg	0,007
Cuivre	0,26	mg/kg	0,03
Fer	5,5	mg/kg	0,1
Manganèse	0,23	mg/kg	0,01
Molybdène	0,009	mg/kg	0,001
Nickel	0,16	mg/kg	0,006
Plomb	0,0039	mg/kg	0,00044
Sélénium	0,52	mg/kg	0,06
Strontium	0,13	mg/kg	0,0154
Vanadium	<0,0044	mg/kg	0,0044
Zinc	3,2	mg/kg	0,06
Uranium	<0,00022	mg/kg	0,00022

Remarque(s)

Niveau: Paramètre

No Éch.: Q156112-36 **Paramètre:** Métaux tissus animaux

Remarque

Ce paramètre ne fait pas partie de la portée d'accréditation du Conseil canadien des normes.

Les résultats sont sur base humide.

Ce certificat ne doit pas être reproduit, sinon en entier, sans le consentement écrit du CEAEQ

Certificat d'analyse (suite de l'échantillon numéro : Q156112-37)

Numéro de l'échantillon : Q156112-37

Préleveur:
Date de prélèvement: 2 août 2024
Description de l'échantillon: AK
Description de prélèvement: PE-605
Point de prélèvement:
Nature de l'échantillon: tissu animal

Mercure

Méthode: MA. 207 - Hg 2.1 Date d'analyse: 22 octobre 2024	Résultat	Unité	LDM
Mercure	0,67	mg/kg	0,01

Métaux Terres rares

Méthode: MA. 207 - Mét.T.rares TB Date d'analyse: 5 novembre 2024	Résultat	Unité	LDM
Dysprosium	<1	µg/kg	1
Erbium	<1	µg/kg	1
Europium	<1	µg/kg	1
Gadolinium	<2	µg/kg	2
Holmium	<1	µg/kg	1
Lithium	9	µg/kg	4
Niobium	24	µg/kg	1
Samarium	1	µg/kg	1
Scandium	<1	µg/kg	1
Terbium	<1	µg/kg	1
Thorium	<1	µg/kg	1
Thulium	<1	µg/kg	1
Ytterbium	<2	µg/kg	2
Yttrium	54	µg/kg	1
Uranium	<1	µg/kg	1
Lanthane	7	µg/kg	1
Lutécium	<1	µg/kg	1
Cérium	18	µg/kg	1
Néodyme	6	µg/kg	1
Praséodyme	1	µg/kg	1

Ce certificat ne doit pas être reproduit, sinon en entier, sans le consentement écrit du CEAEQ

Version 2 (1517798)

Certificat d'analyse (suite de l'échantillon numéro : Q156112-37)

Métaux tissus animaux

Méthode: MA. 207 - Métaux TB	Résultat	Unité	LDM
Date d'analyse: 5 novembre 2024			
Aluminium	0,91	mg/kg	0,11
Thallium	0,006	mg/kg	0,001
Arsenic	0,028	mg/kg	0,0044
Baryum	0,033	mg/kg	0,006
Cadmium	<0,0044	mg/kg	0,0044
Cobalt	0,006	mg/kg	0,001
Chrome	0,47	mg/kg	0,007
Cuivre	0,32	mg/kg	0,03
Fer	8,7	mg/kg	0,1
Manganèse	0,27	mg/kg	0,01
Molybdène	0,009	mg/kg	0,001
Nickel	0,16	mg/kg	0,006
Plomb	0,022	mg/kg	0,00044
Sélénium	0,45	mg/kg	0,06
Strontium	0,12	mg/kg	0,0154
Vanadium	0,0069	mg/kg	0,0044
Zinc	3,7	mg/kg	0,06
Uranium	<0,00022	mg/kg	0,00022

Remarque(s)

Niveau: Paramètre

No Éch.: Q156112-37 **Paramètre:** Métaux tissus animaux

Remarque

Ce paramètre ne fait pas partie de la portée d'accréditation du Conseil canadien des normes.

Les résultats sont sur base humide.

Ce certificat ne doit pas être reproduit, sinon en entier, sans le consentement écrit du CEAEQ

Version 2 (1517798)

Certificat d'analyse (suite de l'échantillon numéro : Q156112-38)

Numéro de l'échantillon : Q156112-38

Préleveur:
Date de prélèvement: 2 août 2024
Description de l'échantillon: AN
Description de prélèvement: PE-605
Point de prélèvement:
Nature de l'échantillon: tissu animal

Mercure

Méthode: MA. 207 - Hg 2.1 Date d'analyse: 22 octobre 2024	Résultat	Unité	LDM
Mercure	1,4	mg/kg	0,01

Métaux Terres rares

Méthode: MA. 207 - Mét.T.rares TB Date d'analyse: 5 novembre 2024	Résultat	Unité	LDM
Dysprosium	<1	µg/kg	1
Erbium	<1	µg/kg	1
Europium	<1	µg/kg	1
Gadolinium	<2	µg/kg	2
Holmium	<1	µg/kg	1
Lithium	8	µg/kg	4
Niobium	23	µg/kg	1
Samarium	<1	µg/kg	1
Scandium	<1	µg/kg	1
Terbium	<1	µg/kg	1
Thorium	<1	µg/kg	1
Thulium	<1	µg/kg	1
Ytterbium	<2	µg/kg	2
Yttrium	40	µg/kg	1
Uranium	<1	µg/kg	1
Lanthane	<1	µg/kg	1
Lutécium	<1	µg/kg	1
Cérium	6	µg/kg	1
Néodyme	<1	µg/kg	1
Praséodyme	<1	µg/kg	1

Ce certificat ne doit pas être reproduit, sinon en entier, sans le consentement écrit du CEAEQ

Version 2 (1517798)

Certificat d'analyse (suite de l'échantillon numéro : Q156112-38)

Métaux tissus animaux

Méthode: MA. 207 - Métaux TB Date d'analyse: 5 novembre 2024	Résultat	Unité	LDM
Aluminium	0,27	mg/kg	0,11
Thallium	0,005	mg/kg	0,001
Arsenic	0,045	mg/kg	0,0044
Baryum	0,047	mg/kg	0,006
Cadmium	0,0058	mg/kg	0,0044
Cobalt	0,004	mg/kg	0,001
Chrome	0,46	mg/kg	0,007
Cuivre	0,29	mg/kg	0,03
Fer	5,6	mg/kg	0,1
Manganèse	0,11	mg/kg	0,01
Molybdène	0,010	mg/kg	0,001
Nickel	0,15	mg/kg	0,006
Plomb	0,0015	mg/kg	0,00044
Sélénium	0,54	mg/kg	0,06
Strontium	0,14	mg/kg	0,0154
Vanadium	<0,0044	mg/kg	0,0044
Zinc	3,1	mg/kg	0,06
Uranium	<0,00022	mg/kg	0,00022

Remarque(s)

Niveau: Paramètre

No Éch.: Q156112-38 **Paramètre:** Métaux tissus animaux

Remarque

Ce paramètre ne fait pas partie de la portée d'accréditation du Conseil canadien des normes.

Les résultats sont sur base humide.

Ce certificat ne doit pas être reproduit, sinon en entier, sans le consentement écrit du CEAEQ

Certificat d'analyse (suite de l'échantillon numéro : Q156112-39)

Numéro de l'échantillon : Q156112-39

Préleveur:
Date de prélèvement: 3 août 2024
Description de l'échantillon: AU
Description de prélèvement: PE-605
Point de prélèvement:
Nature de l'échantillon: tissu animal

Mercure

Méthode: MA. 207 - Hg 2.1 **Date d'analyse:** 22 octobre 2024	**Résultat**	**Unité**	**LDM**
Mercure	2,1	mg/kg	0,01

Métaux Terres rares

Méthode: MA. 207 - Mét.T.rares TB **Date d'analyse:** 5 novembre 2024	**Résultat**	**Unité**	**LDM**
Dysprosium	<1	µg/kg	1
Erbium	<1	µg/kg	1
Europium	<1	µg/kg	1
Gadolinium	<2	µg/kg	2
Holmium	<1	µg/kg	1
Lithium	8	µg/kg	4
Niobium	12	µg/kg	1
Samarium	<1	µg/kg	1
Scandium	<1	µg/kg	1
Terbium	<1	µg/kg	1
Thorium	<1	µg/kg	1
Thulium	<1	µg/kg	1
Ytterbium	<2	µg/kg	2
Yttrium	62	µg/kg	1
Uranium	<1	µg/kg	1
Lanthane	<1	µg/kg	1
Lutécium	<1	µg/kg	1
Cérium	6	µg/kg	1
Néodyme	<1	µg/kg	1
Praséodyme	<1	µg/kg	1

Ce certificat ne doit pas être reproduit, sinon en entier, sans le consentement écrit du CEAEQ

Version 2 (1517798)

Certificat d'analyse (suite de l'échantillon numéro : Q156112-39)

Métaux tissus animaux

Méthode: MA. 207 - Métaux TB	Résultat	Unité	LDM
Date d'analyse: 5 novembre 2024			
Aluminium	0,25	mg/kg	0,11
Thallium	0,005	mg/kg	0,001
Arsenic	0,031	mg/kg	0,0044
Baryum	0,016	mg/kg	0,006
Cadmium	<0,0044	mg/kg	0,0044
Cobalt	0,005	mg/kg	0,001
Chrome	0,23	mg/kg	0,007
Cuivre	0,21	mg/kg	0,03
Fer	6,8	mg/kg	0,1
Manganèse	0,08	mg/kg	0,01
Molybdène	0,004	mg/kg	0,001
Nickel	0,080	mg/kg	0,006
Plomb	0,0016	mg/kg	0,00044
Sélénium	0,41	mg/kg	0,06
Strontium	0,052	mg/kg	0,0154
Vanadium	<0,0044	mg/kg	0,0044
Zinc	3,1	mg/kg	0,06
Uranium	<0,00022	mg/kg	0,00022

Remarque(s)

Niveau: Paramètre

No Éch.: Q156112-39 **Paramètre:** Métaux tissus animaux

Remarque

Ce paramètre ne fait pas partie de la portée d'accréditation du Conseil canadien des normes.

Les résultats sont sur base humide.

Ce certificat ne doit pas être reproduit, sinon en entier, sans le consentement écrit du CEAEQ

Version 2 (1517798)

Certificat d'analyse (suite de l'échantillon numéro : Q156112-40)

Numéro de l'échantillon : Q156112-40

Préleveur:
Date de prélèvement: 3 août 2024
Description de l'échantillon: AW
Description de prélèvement: PE-605
Point de prélèvement:
Nature de l'échantillon: tissu animal

Mercure

Méthode: MA. 207 - Hg 2.1 Date d'analyse: 22 octobre 2024	Résultat	Unité	LDM
Mercure	1,0	mg/kg	0,01

Métaux Terres rares

Méthode: MA. 207 - Mét.T.rares TB Date d'analyse: 5 novembre 2024	Résultat	Unité	LDM
Dysprosium	<1	µg/kg	1
Erbium	<1	µg/kg	1
Europium	<1	µg/kg	1
Gadolinium	<2	µg/kg	2
Holmium	<1	µg/kg	1
Lithium	13	µg/kg	4
Niobium	11	µg/kg	1
Samarium	<1	µg/kg	1
Scandium	<1	µg/kg	1
Terbium	<1	µg/kg	1
Thorium	<1	µg/kg	1
Thulium	<1	µg/kg	1
Ytterbium	<2	µg/kg	2
Yttrium	54	µg/kg	1
Uranium	<1	µg/kg	1
Lanthane	<1	µg/kg	1
Lutécium	<1	µg/kg	1
Cérium	5	µg/kg	1
Néodyme	<1	µg/kg	1
Praséodyme	<1	µg/kg	1

Ce certificat ne doit pas être reproduit, sinon en entier, sans le consentement écrit du CEAEQ

Version 2 (1517798)

Certificat d'analyse (suite de l'échantillon numéro : Q156112-40)

Métaux tissus animaux

Méthode: MA. 207 - Métaux TB Date d'analyse: 5 novembre 2024	Résultat	Unité	LDM
Aluminium	0,28	mg/kg	0,11
Thallium	0,008	mg/kg	0,001
Arsenic	0,032	mg/kg	0,0044
Baryum	0,029	mg/kg	0,006
Cadmium	<0,0044	mg/kg	0,0044
Cobalt	0,002	mg/kg	0,001
Chrome	0,21	mg/kg	0,007
Cuivre	0,19	mg/kg	0,03
Fer	2,9	mg/kg	0,1
Manganèse	0,10	mg/kg	0,01
Molybdène	0,004	mg/kg	0,001
Nickel	0,069	mg/kg	0,006
Plomb	0,00070	mg/kg	0,00044
Sélénium	0,51	mg/kg	0,06
Strontium	0,12	mg/kg	0,0154
Vanadium	<0,0044	mg/kg	0,0044
Zinc	3,0	mg/kg	0,06
Uranium	<0,00022	mg/kg	0,00022

Remarque(s)

Niveau: Paramètre

No Éch.: Q156112-40 **Paramètre:** Métaux tissus animaux

Remarque

Ce paramètre ne fait pas partie de la portée d'accréditation du Conseil canadien des normes.

Les résultats sont sur base humide.

Ce certificat ne doit pas être reproduit, sinon en entier, sans le consentement écrit du CEAEQ

Version 2 (1517798)

Certificat d'analyse (suite de l'échantillon numéro : Q156112-41)

Numéro de l'échantillon : Q156112-41

Préleveur:
Date de prélèvement: 3 août 2024
Description de l'échantillon: AX
Description de prélèvement: PE-605
Point de prélèvement:
Nature de l'échantillon: tissu animal

Mercure

Méthode: MA. 207 - Hg 2.1 Date d'analyse: 22 octobre 2024	Résultat	Unité	LDM
Mercure	0,53	mg/kg	0,01

Métaux Terres rares

Méthode: MA. 207 - Mét.T.rares TB Date d'analyse: 5 novembre 2024	Résultat	Unité	LDM
Dysprosium	<1	µg/kg	1
Erbium	<1	µg/kg	1
Europium	<1	µg/kg	1
Gadolinium	<2	µg/kg	2
Holmium	<1	µg/kg	1
Lithium	16	µg/kg	4
Niobium	5	µg/kg	1
Samarium	<1	µg/kg	1
Scandium	<1	µg/kg	1
Terbium	<1	µg/kg	1
Thorium	<1	µg/kg	1
Thulium	<1	µg/kg	1
Ytterbium	<2	µg/kg	2
Yttrium	52	µg/kg	1
Uranium	<1	µg/kg	1
Lanthane	<1	µg/kg	1
Lutécium	<1	µg/kg	1
Cérium	6	µg/kg	1
Néodyme	<1	µg/kg	1
Praséodyme	<1	µg/kg	1

Ce certificat ne doit pas être reproduit, sinon en entier, sans le consentement écrit du CEAEQ

Version 2 (1517798)

Certificat d'analyse (suite de l'échantillon numéro : Q156112-41)

Métaux tissus animaux

Méthode: MA. 207 - Métaux TB	Résultat	Unité	LDM
Date d'analyse: 5 novembre 2024			
Aluminium	1,7	mg/kg	0,11
Thallium	0,008	mg/kg	0,001
Arsenic	0,025	mg/kg	0,0044
Baryum	0,043	mg/kg	0,006
Cadmium	0,0050	mg/kg	0,0044
Cobalt	0,002	mg/kg	0,001
Chrome	0,039	mg/kg	0,007
Cuivre	0,18	mg/kg	0,03
Fer	2,8	mg/kg	0,1
Manganèse	0,09	mg/kg	0,01
Molybdène	0,001	mg/kg	0,001
Nickel	0,024	mg/kg	0,006
Plomb	0,00090	mg/kg	0,00044
Sélénium	0,51	mg/kg	0,06
Strontium	0,15	mg/kg	0,0154
Vanadium	<0,0044	mg/kg	0,0044
Zinc	3,3	mg/kg	0,06
Uranium	<0,00022	mg/kg	0,00022

Remarque(s)

Niveau: Paramètre

No Éch.: Q156112-41 **Paramètre:** Métaux tissus animaux

Remarque

Ce paramètre ne fait pas partie de la portée d'accréditation du Conseil canadien des normes.

Les résultats sont sur base humide.

Ce certificat ne doit pas être reproduit, sinon en entier, sans le consentement écrit du CEAEQ

Certificat d'analyse (suite de l'échantillon numéro : Q156112-42)

Numéro de l'échantillon : Q156112-42

Préleveur:
Date de prélèvement: 3 août 2024
Description de l'échantillon: CD
Description de prélèvement: PE-605
Point de prélèvement:
Nature de l'échantillon: tissu animal

Mercure

Méthode: MA. 207 - Hg 2.1 Date d'analyse: 22 octobre 2024	Résultat	Unité	LDM
Mercure	1,1	mg/kg	0,01

Métaux Terres rares

Méthode: MA. 207 - Mét.T.rares TB Date d'analyse: 5 novembre 2024	Résultat	Unité	LDM
Dysprosium	<1	µg/kg	1
Erbium	<1	µg/kg	1
Europium	<1	µg/kg	1
Gadolinium	<2	µg/kg	2
Holmium	<1	µg/kg	1
Lithium	10	µg/kg	4
Niobium	5	µg/kg	1
Samarium	<1	µg/kg	1
Scandium	<1	µg/kg	1
Terbium	<1	µg/kg	1
Thorium	<1	µg/kg	1
Thulium	<1	µg/kg	1
Ytterbium	<2	µg/kg	2
Yttrium	71	µg/kg	1
Uranium	<1	µg/kg	1
Lanthane	1	µg/kg	1
Lutécium	<1	µg/kg	1
Cérium	5	µg/kg	1
Néodyme	1	µg/kg	1
Praséodyme	<1	µg/kg	1

Ce certificat ne doit pas être reproduit, sinon en entier, sans le consentement écrit du CEAEQ

Version 2 (1517798)

Certificat d'analyse (suite de l'échantillon numéro : Q156112-42)

Métaux tissus animaux

Méthode: MA. 207 - Métaux TB Date d'analyse: 5 novembre 2024	Résultat	Unité	LDM
Aluminium	0,38	mg/kg	0,11
Thallium	0,006	mg/kg	0,001
Arsenic	0,039	mg/kg	0,0044
Baryum	0,017	mg/kg	0,006
Cadmium	<0,0044	mg/kg	0,0044
Cobalt	0,004	mg/kg	0,001
Chrome	0,11	mg/kg	0,007
Cuivre	0,22	mg/kg	0,03
Fer	6,0	mg/kg	0,1
Manganèse	0,10	mg/kg	0,01
Molybdène	0,003	mg/kg	0,001
Nickel	0,042	mg/kg	0,006
Plomb	0,0039	mg/kg	0,00044
Sélénium	0,46	mg/kg	0,06
Strontium	0,070	mg/kg	0,0154
Vanadium	<0,0044	mg/kg	0,0044
Zinc	3,2	mg/kg	0,06
Uranium	<0,00022	mg/kg	0,00022

Remarque(s)

Niveau: Paramètre

No Éch.: Q156112-42 **Paramètre:** Métaux tissus animaux

Remarque

Ce paramètre ne fait pas partie de la portée d'accréditation du Conseil canadien des normes.

Les résultats sont sur base humide.

Ce certificat ne doit pas être reproduit, sinon en entier, sans le consentement écrit du CEAEQ

Version 2 (1517798)

Certificat d'analyse (suite de l'échantillon numéro : Q156112-43)

Numéro de l'échantillon : Q156112-43

Préleveur:
Date de prélèvement: 3 août 2024
Description de l'échantillon: CE
Description de prélèvement: PE-605
Point de prélèvement:
Nature de l'échantillon: tissu animal

Mercure

Méthode: MA. 207 - Hg 2.1	**Résultat**	**Unité**	**LDM**
Date d'analyse: 22 octobre 2024			
Mercure	0,16	mg/kg	0,01

Métaux Terres rares

Méthode: MA. 207 - Mét.T.rares TB	**Résultat**	**Unité**	**LDM**
Date d'analyse: 17 décembre 2024			
Dysprosium	<1	µg/kg	1
Erbium	<1	µg/kg	1
Europium	<1	µg/kg	1
Gadolinium	<2	µg/kg	2
Holmium	<1	µg/kg	1
Lithium	5	µg/kg	4
Niobium	6	µg/kg	1
Samarium	<1	µg/kg	1
Scandium	<1	µg/kg	1
Terbium	<1	µg/kg	1
Thorium	<1	µg/kg	1
Thulium	<1	µg/kg	1
Ytterbium	<2		2
Yttrium	39	µg/kg	1
Uranium	<1	µg/kg	1
Lanthane	<1	µg/kg	1
Lutécium	<1	µg/kg	1
Cérium	6		1
Néodyme	<1	µg/kg	1
Praséodyme	<1	µg/kg	1

Ce certificat ne doit pas être reproduit, sinon en entier, sans le consentement écrit du CEAEQ

Version 2 (1517798)

Certificat d'analyse (suite de l'échantillon numéro : Q156112-43)

Métaux tissus animaux

Méthode: MA. 207 - Métaux TB	Résultat	Unité	LDM
Date d'analyse: 11 décembre 2024			
Aluminium	0,31	mg/kg	0,11
Thallium	0,011	mg/kg	0,001
Arsenic	0,011	mg/kg	0,0044
Baryum	0,056	mg/kg	0,006
Cadmium	<0,0044	mg/kg	0,0044
Cobalt	0,010	mg/kg	0,001
Chrome	0,095	mg/kg	0,007
Cuivre	0,28	mg/kg	0,03
Fer	3,3	mg/kg	0,1
Manganèse	0,08	mg/kg	0,01
Molybdène	0,003	mg/kg	0,001
Nickel	0,054	mg/kg	0,006
Plomb	0,0023	mg/kg	0,00044
Sélénium	0,38	mg/kg	0,06
Strontium	0,14	mg/kg	0,0154
Vanadium	<0,0044	mg/kg	0,0044
Zinc	2,7	mg/kg	0,06
Uranium	<0,00022	mg/kg	0,00022

Remarque(s)

Niveau: Paramètre

No Éch.: Q156112-43 **Paramètre:** Métaux tissus animaux

Remarque

Ce paramètre ne fait pas partie de la portée d'accréditation du Conseil canadien des normes.

Les résultats sont sur base humide.

Ce certificat ne doit pas être reproduit, sinon en entier, sans le consentement écrit du CEAEQ

Certificat d'analyse (suite de l'échantillon numéro : Q156112-44)

Numéro de l'échantillon : Q156112-44

Préleveur:
Date de prélèvement: 3 août 2024
Description de l'échantillon: BX
Description de prélèvement: PE-605
Point de prélèvement:
Nature de l'échantillon: tissu animal

Mercure

Méthode: MA. 207 - Hg 2.1 Date d'analyse: 22 octobre 2024	Résultat	Unité	LDM
Mercure	0,38	mg/kg	0,01

Métaux Terres rares

Méthode: MA. 207 - Mét.T.rares TB Date d'analyse: 5 novembre 2024	Résultat	Unité	LDM
Dysprosium	<1	µg/kg	1
Erbium	<1	µg/kg	1
Europium	<1	µg/kg	1
Gadolinium	<2	µg/kg	2
Holmium	<1	µg/kg	1
Lithium	8	µg/kg	4
Niobium	4	µg/kg	1
Samarium	<1	µg/kg	1
Scandium	<1	µg/kg	1
Terbium	<1	µg/kg	1
Thorium	<1	µg/kg	1
Thulium	<1	µg/kg	1
Ytterbium	<2	µg/kg	2
Yttrium	36	µg/kg	1
Uranium	<1	µg/kg	1
Lanthane	<1	µg/kg	1
Lutécium	<1	µg/kg	1
Cérium	5	µg/kg	1
Néodyme	<1	µg/kg	1
Praséodyme	<1	µg/kg	1

Ce certificat ne doit pas être reproduit, sinon en entier, sans le consentement écrit du CEAEQ

Version 2 (1517798)

Certificat d'analyse (suite de l'échantillon numéro : Q156112-44)

Métaux tissus animaux

Méthode: MA. 207 - Métaux TB Date d'analyse: 5 novembre 2024	Résultat	Unité	LDM
Aluminium	0,35	mg/kg	0,11
Thallium	0,011	mg/kg	0,001
Arsenic	<0,0044	mg/kg	0,0044
Baryum	0,023	mg/kg	0,006
Cadmium	<0,0044	mg/kg	0,0044
Cobalt	0,001	mg/kg	0,001
Chrome	0,092	mg/kg	0,007
Cuivre	0,19	mg/kg	0,03
Fer	5,4	mg/kg	0,1
Manganèse	0,06	mg/kg	0,01
Molybdène	0,002	mg/kg	0,001
Nickel	0,039	mg/kg	0,006
Plomb	0,0020	mg/kg	0,00044
Sélénium	0,41	mg/kg	0,06
Strontium	0,099	mg/kg	0,0154
Vanadium	<0,0044	mg/kg	0,0044
Zinc	2,8	mg/kg	0,06
Uranium	<0,00022	mg/kg	0,00022

Remarque(s)

Niveau: Paramètre

No Éch.: Q156112-44 **Paramètre:** Métaux tissus animaux

Remarque

Ce paramètre ne fait pas partie de la portée d'accréditation du Conseil canadien des normes.

Les résultats sont sur base humide.

Ce certificat ne doit pas être reproduit, sinon en entier, sans le consentement écrit du CEAEQ

Version 2 (1517798)

Certificat d'analyse (suite de l'échantillon numéro : Q156112-45)

Numéro de l'échantillon : Q156112-45

Préleveur:
Date de prélèvement: 3 août 2024
Description de l'échantillon: BY
Description de prélèvement: PE-605
Point de prélèvement:
Nature de l'échantillon: tissu animal

Mercure

Méthode: MA. 207 - Hg 2.1 Date d'analyse: 22 octobre 2024	Résultat	Unité	LDM
Mercure	0,75	mg/kg	0,01

Métaux Terres rares

Méthode: MA. 207 - Mét.T.rares TB Date d'analyse: 5 novembre 2024	Résultat	Unité	LDM
Dysprosium	<1	µg/kg	1
Erbium	<1	µg/kg	1
Europium	<1	µg/kg	1
Gadolinium	<2	µg/kg	2
Holmium	<1	µg/kg	1
Lithium	<4	µg/kg	4
Niobium	11	µg/kg	1
Samarium	<1	µg/kg	1
Scandium	<1	µg/kg	1
Terbium	<1	µg/kg	1
Thorium	<1	µg/kg	1
Thulium	<1	µg/kg	1
Ytterbium	<2	µg/kg	2
Yttrium	68	µg/kg	1
Uranium	<1	µg/kg	1
Lanthane	<1	µg/kg	1
Lutécium	<1	µg/kg	1
Cérium	8	µg/kg	1
Néodyme	<1	µg/kg	1
Praséodyme	<1	µg/kg	1

Ce certificat ne doit pas être reproduit, sinon en entier, sans le consentement écrit du CEAEQ

Version 2 (1517798)

Certificat d'analyse (suite de l'échantillon numéro : Q156112-45)

Métaux tissus animaux

Méthode: MA. 207 - Métaux TB	Résultat	Unité	LDM
Date d'analyse: 5 novembre 2024			
Aluminium	0,21	mg/kg	0,11
Thallium	0,007	mg/kg	0,001
Arsenic	0,0086	mg/kg	0,0044
Baryum	0,028	mg/kg	0,006
Cadmium	<0,0044	mg/kg	0,0044
Cobalt	0,007	mg/kg	0,001
Chrome	0,17	mg/kg	0,007
Cuivre	0,31	mg/kg	0,03
Fer	4,4	mg/kg	0,1
Manganèse	0,10	mg/kg	0,01
Molybdène	0,003	mg/kg	0,001
Nickel	0,066	mg/kg	0,006
Plomb	0,00080	mg/kg	0,00044
Sélénium	0,28	mg/kg	0,06
Strontium	0,094	mg/kg	0,0154
Vanadium	<0,0044	mg/kg	0,0044
Zinc	3,6	mg/kg	0,06
Uranium	<0,00022	mg/kg	0,00022

Remarque(s)

Niveau: Paramètre

No Éch.: Q156112-45 **Paramètre:** Métaux tissus animaux

Remarque

Ce paramètre ne fait pas partie de la portée d'accréditation du Conseil canadien des normes.

Les résultats sont sur base humide.

Ce certificat ne doit pas être reproduit, sinon en entier, sans le consentement écrit du CEAEQ

Version 2 (1517798)

Certificat d'analyse (suite de l'échantillon numéro : Q156112-46)

Numéro de l'échantillon : Q156112-46

Préleveur:
Date de prélèvement: 3 août 2024
Description de l'échantillon: BZ
Description de prélèvement: PE-605
Point de prélèvement:
Nature de l'échantillon: tissu animal

Mercure

Méthode: MA. 207 - Hg 2.1 Date d'analyse: 22 octobre 2024	Résultat	Unité	LDM
Mercure	0,74	mg/kg	0,01

Métaux Terres rares

Méthode: MA. 207 - Mét.T.rares TB Date d'analyse: 5 novembre 2024	Résultat	Unité	LDM
Dysprosium	<1	µg/kg	1
Erbium	<1	µg/kg	1
Europium	<1	µg/kg	1
Gadolinium	<2	µg/kg	2
Holmium	<1	µg/kg	1
Lithium	5	µg/kg	4
Niobium	8	µg/kg	1
Samarium	<1	µg/kg	1
Scandium	<1	µg/kg	1
Terbium	<1	µg/kg	1
Thorium	<1	µg/kg	1
Thulium	<1	µg/kg	1
Ytterbium	<2	µg/kg	2
Yttrium	49	µg/kg	1
Uranium	<1	µg/kg	1
Lanthane	1	µg/kg	1
Lutécium	<1	µg/kg	1
Cérium	6	µg/kg	1
Néodyme	<1	µg/kg	1
Praséodyme	<1	µg/kg	1

Ce certificat ne doit pas être reproduit, sinon en entier, sans le consentement écrit du CEAEQ

Version 2 (1517798)

Certificat d'analyse (suite de l'échantillon numéro : Q156112-46)

Métaux tissus animaux

Méthode: MA. 207 - Métaux TB Date d'analyse: 5 novembre 2024	Résultat	Unité	LDM
Aluminium	0,36	mg/kg	0,11
Thallium	0,005	mg/kg	0,001
Arsenic	0,0079	mg/kg	0,0044
Baryum	0,009	mg/kg	0,006
Cadmium	<0,0044	mg/kg	0,0044
Cobalt	0,004	mg/kg	0,001
Chrome	0,12	mg/kg	0,007
Cuivre	0,18	mg/kg	0,03
Fer	3,0	mg/kg	0,1
Manganèse	0,07	mg/kg	0,01
Molybdène	0,002	mg/kg	0,001
Nickel	0,049	mg/kg	0,006
Plomb	0,0023	mg/kg	0,00044
Sélénium	0,41	mg/kg	0,06
Strontium	0,044	mg/kg	0,0154
Vanadium	<0,0044	mg/kg	0,0044
Zinc	2,8	mg/kg	0,06
Uranium	<0,00022	mg/kg	0,00022

Remarque(s)

Niveau: Paramètre

No Éch.: Q156112-46 **Paramètre:** Métaux tissus animaux

Remarque

Ce paramètre ne fait pas partie de la portée d'accréditation du Conseil canadien des normes.

Les résultats sont sur base humide.

Ce certificat ne doit pas être reproduit, sinon en entier, sans le consentement écrit du CEAEQ

Version 2 (1517798)

Certificat d'analyse (suite de l'échantillon numéro : Q156112-47)

Numéro de l'échantillon : Q156112-47

Préleveur:
Date de prélèvement: 3 août 2024
Description de l'échantillon: CA
Description de prélèvement: PE-605
Point de prélèvement:
Nature de l'échantillon: tissu animal

Mercure

Méthode: MA. 207 - Hg 2.1	**Résultat**	**Unité**	**LDM**
Date d'analyse: 22 octobre 2024			
Mercure	0,87	mg/kg	0,01

Métaux Terres rares

Méthode: MA. 207 - Mét.T.rares TB	**Résultat**	**Unité**	**LDM**
Date d'analyse: 5 novembre 2024			
Dysprosium	<1	µg/kg	1
Erbium	<1	µg/kg	1
Europium	<1	µg/kg	1
Gadolinium	<2	µg/kg	2
Holmium	<1	µg/kg	1
Lithium	<4	µg/kg	4
Niobium	11	µg/kg	1
Samarium	<1	µg/kg	1
Scandium	<1	µg/kg	1
Terbium	<1	µg/kg	1
Thorium	<1	µg/kg	1
Thulium	<1	µg/kg	1
Ytterbium	<2	µg/kg	2
Yttrium	62	µg/kg	1
Uranium	<1	µg/kg	1
Lanthane	<1	µg/kg	1
Lutécium	<1	µg/kg	1
Cérium	7	µg/kg	1
Néodyme	<1	µg/kg	1
Praséodyme	<1	µg/kg	1

Ce certificat ne doit pas être reproduit, sinon en entier, sans le consentement écrit du CEAEQ

Version 2 (1517798)

Certificat d'analyse (suite de l'échantillon numéro : Q156112-47)

Métaux tissus animaux

Méthode: MA. 207 - Métaux TB	Résultat	Unité	LDM
Date d'analyse: 5 novembre 2024			
Aluminium	0,34	mg/kg	0,11
Thallium	0,009	mg/kg	0,001
Arsenic	0,0077	mg/kg	0,0044
Baryum	0,007	mg/kg	0,006
Cadmium	<0,0044	mg/kg	0,0044
Cobalt	0,012	mg/kg	0,001
Chrome	0,17	mg/kg	0,007
Cuivre	0,31	mg/kg	0,03
Fer	6,6	mg/kg	0,1
Manganèse	0,08	mg/kg	0,01
Molybdène	0,003	mg/kg	0,001
Nickel	0,070	mg/kg	0,006
Plomb	0,00060	mg/kg	0,00044
Sélénium	0,40	mg/kg	0,06
Strontium	0,052	mg/kg	0,0154
Vanadium	<0,0044	mg/kg	0,0044
Zinc	4,3	mg/kg	0,06
Uranium	<0,00022	mg/kg	0,00022

Remarque(s)

Niveau: Paramètre

No Éch.: Q156112-47 **Paramètre:** Métaux tissus animaux

Remarque

Ce paramètre ne fait pas partie de la portée d'accréditation du Conseil canadien des normes.

Les résultats sont sur base humide.

Ce certificat ne doit pas être reproduit, sinon en entier, sans le consentement écrit du CEAEQ

Version 2 (1517798)

Certificat d'analyse (suite de l'échantillon numéro : Q156112-48)

Numéro de l'échantillon : Q156112-48

Préleveur:
Date de prélèvement: 3 août 2024
Description de l'échantillon: CB
Description de prélèvement: PE-605
Point de prélèvement:
Nature de l'échantillon: tissu animal

Mercure

Méthode: MA. 207 - Hg 2.1 Date d'analyse: 22 octobre 2024	Résultat	Unité	LDM
Mercure	1,0	mg/kg	0,01

Métaux Terres rares

Méthode: MA. 207 - Mét.T.rares TB Date d'analyse: 5 novembre 2024	Résultat	Unité	LDM
Dysprosium	<1	µg/kg	1
Erbium	<1	µg/kg	1
Europium	<1	µg/kg	1
Gadolinium	<2	µg/kg	2
Holmium	<1	µg/kg	1
Lithium	6	µg/kg	4
Niobium	59	µg/kg	1
Samarium	<1	µg/kg	1
Scandium	<1	µg/kg	1
Terbium	<1	µg/kg	1
Thorium	<1	µg/kg	1
Thulium	<1	µg/kg	1
Ytterbium	<2	µg/kg	2
Yttrium	77	µg/kg	1
Uranium	<1	µg/kg	1
Lanthane	<1	µg/kg	1
Lutécium	<1	µg/kg	1
Cérium	9	µg/kg	1
Néodyme	<1	µg/kg	1
Praséodyme	<1	µg/kg	1

Ce certificat ne doit pas être reproduit, sinon en entier, sans le consentement écrit du CEAEQ

Version 2 (1517798)

Certificat d'analyse (suite de l'échantillon numéro : Q156112-48)

Métaux tissus animaux

Méthode: MA. 207 - Métaux TB Date d'analyse: 5 novembre 2024	Résultat	Unité	LDM
Aluminium	0,35	mg/kg	0,11
Thallium	0,005	mg/kg	0,001
Arsenic	0,013	mg/kg	0,0044
Baryum	0,016	mg/kg	0,006
Cadmium	<0,0044	mg/kg	0,0044
Cobalt	0,009	mg/kg	0,001
Chrome	0,72	mg/kg	0,007
Cuivre	0,28	mg/kg	0,03
Fer	5,4	mg/kg	0,1
Manganèse	0,09	mg/kg	0,01
Molybdène	0,013	mg/kg	0,001
Nickel	0,23	mg/kg	0,006
Plomb	0,0013	mg/kg	0,00044
Sélénium	0,46	mg/kg	0,06
Strontium	0,053	mg/kg	0,0154
Vanadium	0,0046	mg/kg	0,0044
Zinc	2,7	mg/kg	0,06
Uranium	<0,00022	mg/kg	0,00022

Remarque(s)

Niveau: Paramètre

No Éch.: Q156112-48 **Paramètre:** Métaux tissus animaux

Remarque

Ce paramètre ne fait pas partie de la portée d'accréditation du Conseil canadien des normes.

Les résultats sont sur base humide.

Ce certificat ne doit pas être reproduit, sinon en entier, sans le consentement écrit du CEAEQ

Version 2 (1517798)

Certificat d'analyse (suite de l'échantillon numéro : Q156112-49)

Numéro de l'échantillon : Q156112-49

Préleveur:
Date de prélèvement: 3 août 2024
Description de l'échantillon: CC
Description de prélèvement: PE-605
Point de prélèvement:
Nature de l'échantillon: tissu animal

Mercure

Méthode: MA. 207 - Hg 2.1	**Résultat**	**Unité**	**LDM**
Date d'analyse: 22 octobre 2024			
Mercure	0,37	mg/kg	0,01

Métaux Terres rares

Méthode: MA. 207 - Mét.T.rares TB	**Résultat**	**Unité**	**LDM**
Date d'analyse: 5 novembre 2024			
Dysprosium	<1	µg/kg	1
Erbium	<1	µg/kg	1
Europium	<1	µg/kg	1
Gadolinium	<2	µg/kg	2
Holmium	<1	µg/kg	1
Lithium	<4	µg/kg	4
Niobium	12	µg/kg	1
Samarium	<1	µg/kg	1
Scandium	<1	µg/kg	1
Terbium	<1	µg/kg	1
Thorium	<1	µg/kg	1
Thulium	<1	µg/kg	1
Ytterbium	<2	µg/kg	2
Yttrium	24	µg/kg	1
Uranium	<1	µg/kg	1
Lanthane	<1	µg/kg	1
Lutécium	<1	µg/kg	1
Cérium	6	µg/kg	1
Néodyme	<1	µg/kg	1
Praséodyme	<1	µg/kg	1

Ce certificat ne doit pas être reproduit, sinon en entier, sans le consentement écrit du CEAEQ

Version 2 (1517798)

Certificat d'analyse (suite de l'échantillon numéro : Q156112-49)

Métaux tissus animaux

Méthode: MA. 207 - Métaux TB	Résultat	Unité	LDM
Date d'analyse: 5 novembre 2024			
Aluminium	0,37	mg/kg	0,11
Thallium	0,013	mg/kg	0,001
Arsenic	0,0048	mg/kg	0,0044
Baryum	<0,006	mg/kg	0,006
Cadmium	<0,0044	mg/kg	0,0044
Cobalt	0,010	mg/kg	0,001
Chrome	0,17	mg/kg	0,007
Cuivre	0,28	mg/kg	0,03
Fer	7,0	mg/kg	0,1
Manganèse	0,07	mg/kg	0,01
Molybdène	0,004	mg/kg	0,001
Nickel	0,061	mg/kg	0,006
Plomb	0,0010	mg/kg	0,00044
Sélénium	0,48	mg/kg	0,06
Strontium	0,11	mg/kg	0,0154
Vanadium	<0,0044	mg/kg	0,0044
Zinc	4,1	mg/kg	0,06
Uranium	<0,00022	mg/kg	0,00022

Remarque(s)

Niveau: Paramètre

No Éch.: Q156112-49 **Paramètre:** Métaux tissus animaux

Remarque

Ce paramètre ne fait pas partie de la portée d'accréditation du Conseil canadien des normes.

Les résultats sont sur base humide.

Ce certificat ne doit pas être reproduit, sinon en entier, sans le consentement écrit du CEAEQ

Version 2 (1517798)

Certificat d'analyse (suite de l'échantillon numéro : Q156112-50)

Numéro de l'échantillon : Q156112-50

Préleveur:
Date de prélèvement: 5 août 2024
Description de l'échantillon: CX
Description de prélèvement: PE-01
Point de prélèvement:
Nature de l'échantillon: tissu animal

Mercure

Méthode: MA. 207 - Hg 2.1 Date d'analyse: 22 octobre 2024	Résultat	Unité	LDM
Mercure	0,50	mg/kg	0,01

Métaux Terres rares

Méthode: MA. 207 - Mét.T.rares TB Date d'analyse: 5 novembre 2024	Résultat	Unité	LDM
Dysprosium	<1	µg/kg	1
Erbium	<1	µg/kg	1
Europium	<1	µg/kg	1
Gadolinium	<2	µg/kg	2
Holmium	<1	µg/kg	1
Lithium	<4	µg/kg	4
Niobium	29	µg/kg	1
Samarium	<1	µg/kg	1
Scandium	<1	µg/kg	1
Terbium	<1	µg/kg	1
Thorium	<1	µg/kg	1
Thulium	<1	µg/kg	1
Ytterbium	<2	µg/kg	2
Yttrium	49	µg/kg	1
Uranium	<1	µg/kg	1
Lanthane	<1	µg/kg	1
Lutécium	<1	µg/kg	1
Cérium	7	µg/kg	1
Néodyme	<1	µg/kg	1
Praséodyme	<1	µg/kg	1

Ce certificat ne doit pas être reproduit, sinon en entier, sans le consentement écrit du CEAEQ

Version 2 (1517798)

Certificat d'analyse (suite de l'échantillon numéro : Q156112-50)

Métaux tissus animaux

Méthode: MA. 207 - Métaux TB Date d'analyse: 5 novembre 2024	Résultat	Unité	LDM
Aluminium	0,22	mg/kg	0,11
Thallium	0,007	mg/kg	0,001
Arsenic	0,028	mg/kg	0,0044
Baryum	0,045	mg/kg	0,006
Cadmium	<0,0044	mg/kg	0,0044
Cobalt	0,004	mg/kg	0,001
Chrome	0,45	mg/kg	0,007
Cuivre	0,18	mg/kg	0,03
Fer	3,5	mg/kg	0,1
Manganèse	0,10	mg/kg	0,01
Molybdène	0,008	mg/kg	0,001
Nickel	0,15	mg/kg	0,006
Plomb	<0,00044	mg/kg	0,00044
Sélénium	0,33	mg/kg	0,06
Strontium	0,15	mg/kg	0,0154
Vanadium	<0,0044	mg/kg	0,0044
Zinc	2,7	mg/kg	0,06
Uranium	<0,00022	mg/kg	0,00022

Remarque(s)

Niveau: Paramètre

No Éch.: Q156112-50 **Paramètre:** Métaux tissus animaux

Remarque

Ce paramètre ne fait pas partie de la portée d'accréditation du Conseil canadien des normes.

Les résultats sont sur base humide.

Ce certificat ne doit pas être reproduit, sinon en entier, sans le consentement écrit du CEAEQ

Version 2 (1517798)

Certificat d'analyse (suite de l'échantillon numéro : Q156112-51)

Numéro de l'échantillon : Q156112-51

Préleveur:
Date de prélèvement: 5 août 2024
Description de l'échantillon: CY
Description de prélèvement: PE-01
Point de prélèvement:
Nature de l'échantillon: tissu animal

Mercure

Méthode: MA. 207 - Hg 2.1 **Date d'analyse:** 22 octobre 2024	**Résultat**	**Unité**	**LDM**
Mercure	0,45	mg/kg	0,01

Métaux Terres rares

Méthode: MA. 207 - Mét.T.rares TB **Date d'analyse:** 5 novembre 2024	**Résultat**	**Unité**	**LDM**
Dysprosium	<1	µg/kg	1
Erbium	<1	µg/kg	1
Europium	<1	µg/kg	1
Gadolinium	<2	µg/kg	2
Holmium	<1	µg/kg	1
Lithium	<4	µg/kg	4
Niobium	39	µg/kg	1
Samarium	<1	µg/kg	1
Scandium	<1	µg/kg	1
Terbium	<1	µg/kg	1
Thorium	<1	µg/kg	1
Thulium	<1	µg/kg	1
Ytterbium	<2	µg/kg	2
Yttrium	68	µg/kg	1
Uranium	<1	µg/kg	1
Lanthane	<1	µg/kg	1
Lutécium	<1	µg/kg	1
Cérium	9	µg/kg	1
Néodyme	<1	µg/kg	1
Praséodyme	<1	µg/kg	1

Ce certificat ne doit pas être reproduit, sinon en entier, sans le consentement écrit du CEAEQ

Version 2 (1517798)

Certificat d'analyse (suite de l'échantillon numéro : Q156112-51)

Métaux tissus animaux

Méthode: MA. 207 - Métaux TB	Résultat	Unité	LDM
Date d'analyse: 5 novembre 2024			
Aluminium	0,36	mg/kg	0,11
Thallium	0,008	mg/kg	0,001
Arsenic	0,025	mg/kg	0,0044
Baryum	0,037	mg/kg	0,006
Cadmium	<0,0044	mg/kg	0,0044
Cobalt	0,005	mg/kg	0,001
Chrome	0,55	mg/kg	0,007
Cuivre	0,23	mg/kg	0,03
Fer	4,6	mg/kg	0,1
Manganèse	0,11	mg/kg	0,01
Molybdène	0,009	mg/kg	0,001
Nickel	0,22	mg/kg	0,006
Plomb	0,00090	mg/kg	0,00044
Sélénium	0,36	mg/kg	0,06
Strontium	0,10	mg/kg	0,0154
Vanadium	0,0054	mg/kg	0,0044
Zinc	3,4	mg/kg	0,06
Uranium	<0,00022	mg/kg	0,00022

Remarque(s)

Niveau: Paramètre

No Éch.: Q156112-51 **Paramètre:** Métaux tissus animaux

Remarque

Ce paramètre ne fait pas partie de la portée d'accréditation du Conseil canadien des normes.

Les résultats sont sur base humide.

Ce certificat ne doit pas être reproduit, sinon en entier, sans le consentement écrit du CEAEQ

Version 2 (1517798)

Certificat d'analyse (suite de l'échantillon numéro : Q156112-52)

Numéro de l'échantillon : Q156112-52

Préleveur:
Date de prélèvement: 6 août 2024
Description de l'échantillon: DU
Description de prélèvement: PE-01
Point de prélèvement:
Nature de l'échantillon: tissu animal

Mercure

Méthode: MA. 207 - Hg 2.1 Date d'analyse: 22 octobre 2024	Résultat	Unité	LDM
Mercure	0,75	mg/kg	0,01

Métaux Terres rares

Méthode: MA. 207 - Mét.T.rares TB Date d'analyse: 17 décembre 2024	Résultat	Unité	LDM
Dysprosium	<1	µg/kg	1
Erbium	<1	µg/kg	1
Europium	<1	µg/kg	1
Gadolinium	<2	µg/kg	2
Holmium	<1	µg/kg	1
Lithium	4	µg/kg	4
Niobium	9	µg/kg	1
Samarium	<1	µg/kg	1
Scandium	<1	µg/kg	1
Terbium	<1	µg/kg	1
Thorium	<1	µg/kg	1
Thulium	<1	µg/kg	1
Ytterbium	<2		2
Yttrium	51	µg/kg	1
Uranium	<1	µg/kg	1
Lanthane	<1	µg/kg	1
Lutécium	<1	µg/kg	1
Cérium	6		1
Néodyme	<1	µg/kg	1
Praséodyme	<1	µg/kg	1

Ce certificat ne doit pas être reproduit, sinon en entier, sans le consentement écrit du CEAEQ

Version 2 (1517798)

Certificat d'analyse (suite de l'échantillon numéro : Q156112-52)

Métaux tissus animaux

Méthode: MA. 207 - Métaux TB Date d'analyse: 11 décembre 2024	Résultat	Unité	LDM
Aluminium	0,33	mg/kg	0,11
Thallium	0,006	mg/kg	0,001
Arsenic	0,0079	mg/kg	0,0044
Baryum	<0,006	mg/kg	0,006
Cadmium	0,0060	mg/kg	0,0044
Cobalt	0,013	mg/kg	0,001
Chrome	0,12	mg/kg	0,007
Cuivre	0,21	mg/kg	0,03
Fer	4,1	mg/kg	0,1
Manganèse	0,06	mg/kg	0,01
Molybdène	0,002	mg/kg	0,001
Nickel	0,054	mg/kg	0,006
Plomb	0,00054	mg/kg	0,00044
Sélénium	0,42	mg/kg	0,06
Strontium	0,057	mg/kg	0,0154
Vanadium	<0,0044	mg/kg	0,0044
Zinc	3,0	mg/kg	0,06
Uranium	<0,00022	mg/kg	0,00022

Remarque(s)

Niveau: Paramètre

No Éch.: Q156112-52 **Paramètre:** Métaux tissus animaux

Remarque

Ce paramètre ne fait pas partie de la portée d'accréditation du Conseil canadien des normes.

Les résultats sont sur base humide.

Ce certificat ne doit pas être reproduit, sinon en entier, sans le consentement écrit du CEAEQ

Certificat d'analyse (suite de l'échantillon numéro : Q156112-53)

Numéro de l'échantillon : Q156112-53

Préleveur:
Date de prélèvement: 6 août 2024
Description de l'échantillon: OV
Description de prélèvement: PE-01
Point de prélèvement:
Nature de l'échantillon: tissu animal

Mercure

Méthode: MA. 207 - Hg 2.1 Date d'analyse: 22 octobre 2024	Résultat	Unité	LDM
Mercure	0,31	mg/kg	0,01

Métaux Terres rares

Méthode: MA. 207 - Mét.T.rares TB Date d'analyse: 5 novembre 2024	Résultat	Unité	LDM
Dysprosium	<1	µg/kg	1
Erbium	<1	µg/kg	1
Europium	<1	µg/kg	1
Gadolinium	<2	µg/kg	2
Holmium	<1	µg/kg	1
Lithium	<4	µg/kg	4
Niobium	7	µg/kg	1
Samarium	<1	µg/kg	1
Scandium	<1	µg/kg	1
Terbium	<1	µg/kg	1
Thorium	<1	µg/kg	1
Thulium	<1	µg/kg	1
Ytterbium	<2	µg/kg	2
Yttrium	54	µg/kg	1
Uranium	<1	µg/kg	1
Lanthane	<1	µg/kg	1
Lutécium	<1	µg/kg	1
Cérium	6	µg/kg	1
Néodyme	<1	µg/kg	1
Praséodyme	<1	µg/kg	1

Ce certificat ne doit pas être reproduit, sinon en entier, sans le consentement écrit du CEAEQ

Version 2 (1517798)

Certificat d'analyse (suite de l'échantillon numéro : Q156112-53)

Métaux tissus animaux

Méthode: MA. 207 - Métaux TB	Résultat	Unité	LDM
Date d'analyse: 5 novembre 2024			
Aluminium	0,28	mg/kg	0,11
Thallium	0,009	mg/kg	0,001
Arsenic	0,022	mg/kg	0,0044
Baryum	0,009	mg/kg	0,006
Cadmium	<0,0044	mg/kg	0,0044
Cobalt	0,003	mg/kg	0,001
Chrome	0,11	mg/kg	0,007
Cuivre	0,16	mg/kg	0,03
Fer	3,0	mg/kg	0,1
Manganèse	0,13	mg/kg	0,01
Molybdène	0,002	mg/kg	0,001
Nickel	0,043	mg/kg	0,006
Plomb	0,00050	mg/kg	0,00044
Sélénium	0,41	mg/kg	0,06
Strontium	0,070	mg/kg	0,0154
Vanadium	<0,0044	mg/kg	0,0044
Zinc	3,5	mg/kg	0,06
Uranium	<0,00022	mg/kg	0,00022

Remarque(s)

Niveau: Paramètre

No Éch.: Q156112-53 **Paramètre:** Métaux tissus animaux

Remarque

Ce paramètre ne fait pas partie de la portée d'accréditation du Conseil canadien des normes.

Les résultats sont sur base humide.

Ce certificat ne doit pas être reproduit, sinon en entier, sans le consentement écrit du CEAEQ

Certificat d'analyse (suite de l'échantillon numéro : Q156112-54)

Numéro de l'échantillon : Q156112-54

Préleveur:
Date de prélèvement: 1 août 2024
Description de l'échantillon: D
Description de prélèvement: PE-605
Point de prélèvement:
Nature de l'échantillon: tissu animal

Mercure

Méthode: MA. 207 - Hg 2.1	Résultat	Unité	LDM
Date d'analyse: 22 octobre 2024			
Mercure	0,70	mg/kg	0,01

Métaux Terres rares

Méthode: MA. 207 - Mét.T.rares TB	Résultat	Unité	LDM
Date d'analyse: 5 novembre 2024			
Dysprosium	<1	µg/kg	1
Erbium	<1	µg/kg	1
Europium	<1	µg/kg	1
Gadolinium	<2	µg/kg	2
Holmium	<1	µg/kg	1
Lithium	7	µg/kg	4
Niobium	44	µg/kg	1
Samarium	<1	µg/kg	1
Scandium	<1	µg/kg	1
Terbium	<1	µg/kg	1
Thorium	3	µg/kg	1
Thulium	<1	µg/kg	1
Ytterbium	<2	µg/kg	2
Yttrium	42	µg/kg	1
Uranium	<1	µg/kg	1
Lanthane	4	µg/kg	1
Lutécium	<1	µg/kg	1
Cérium	15	µg/kg	1
Néodyme	2	µg/kg	1
Praséodyme	<1	µg/kg	1

Ce certificat ne doit pas être reproduit, sinon en entier, sans le consentement écrit du CEAEQ

Version 2 (1517798)

Certificat d'analyse (suite de l'échantillon numéro : Q156112-54)

Métaux tissus animaux

Méthode: MA. 207 - Métaux TB Date d'analyse: 5 novembre 2024	Résultat	Unité	LDM
Aluminium	0,58	mg/kg	0,11
Thallium	0,008	mg/kg	0,001
Arsenic	0,046	mg/kg	0,0044
Baryum	0,018	mg/kg	0,006
Cadmium	<0,0044	mg/kg	0,0044
Cobalt	0,006	mg/kg	0,001
Chrome	0,68	mg/kg	0,007
Cuivre	0,31	mg/kg	0,03
Fer	7,0	mg/kg	0,1
Manganèse	0,13	mg/kg	0,01
Molybdène	0,013	mg/kg	0,001
Nickel	0,23	mg/kg	0,006
Plomb	0,0017	mg/kg	0,00044
Sélénium	0,34	mg/kg	0,06
Strontium	0,058	mg/kg	0,0154
Vanadium	<0,0044	mg/kg	0,0044
Zinc	3,1	mg/kg	0,06
Uranium	<0,00022	mg/kg	0,00022

Remarque(s)

Niveau: Paramètre

No Éch.: Q156112-54 **Paramètre:** Métaux tissus animaux

Remarque

Ce paramètre ne fait pas partie de la portée d'accréditation du Conseil canadien des normes.

Les résultats sont sur base humide.

Ce certificat ne doit pas être reproduit, sinon en entier, sans le consentement écrit du CEAEQ

Version 2 (1517798)

Certificat d'analyse (suite de l'échantillon numéro : Q156112-55)

Numéro de l'échantillon : Q156112-55

Préleveur:
Date de prélèvement: 1 août 2024
Description de l'échantillon: E
Description de prélèvement: PE-605
Point de prélèvement:
Nature de l'échantillon: tissu animal

Mercure

Méthode: MA. 207 - Hg 2.1 Date d'analyse: 22 octobre 2024	Résultat	Unité	LDM
Mercure	0,66	mg/kg	0,01

Métaux Terres rares

Méthode: MA. 207 - Mét.T.rares TB Date d'analyse: 5 novembre 2024	Résultat	Unité	LDM
Dysprosium	<1	µg/kg	1
Erbium	<1	µg/kg	1
Europium	<1	µg/kg	1
Gadolinium	<2	µg/kg	2
Holmium	<1	µg/kg	1
Lithium	5	µg/kg	4
Niobium	11	µg/kg	1
Samarium	<1	µg/kg	1
Scandium	<1	µg/kg	1
Terbium	<1	µg/kg	1
Thorium	<1	µg/kg	1
Thulium	<1	µg/kg	1
Ytterbium	<2	µg/kg	2
Yttrium	42	µg/kg	1
Uranium	<1	µg/kg	1
Lanthane	2	µg/kg	1
Lutécium	<1	µg/kg	1
Cérium	9	µg/kg	1
Néodyme	1	µg/kg	1
Praséodyme	<1	µg/kg	1

Ce certificat ne doit pas être reproduit, sinon en entier, sans le consentement écrit du CEAEQ

Version 2 (1517798)

Certificat d'analyse (suite de l'échantillon numéro : Q156112-55)

Métaux tissus animaux

Méthode: MA. 207 - Métaux TB	Résultat	Unité	LDM
Date d'analyse: 5 novembre 2024			
Aluminium	0,47	mg/kg	0,11
Thallium	0,008	mg/kg	0,001
Arsenic	0,043	mg/kg	0,0044
Baryum	0,014	mg/kg	0,006
Cadmium	<0,0044	mg/kg	0,0044
Cobalt	0,003	mg/kg	0,001
Chrome	0,18	mg/kg	0,007
Cuivre	0,24	mg/kg	0,03
Fer	5,4	mg/kg	0,1
Manganèse	0,09	mg/kg	0,01
Molybdène	0,005	mg/kg	0,001
Nickel	0,064	mg/kg	0,006
Plomb	0,0010	mg/kg	0,00044
Sélénium	0,32	mg/kg	0,06
Strontium	0,053	mg/kg	0,0154
Vanadium	<0,0044	mg/kg	0,0044
Zinc	3,2	mg/kg	0,06
Uranium	<0,00022	mg/kg	0,00022

Remarque(s)

Niveau: Paramètre

No Éch.: Q156112-55 **Paramètre:** Métaux tissus animaux

Remarque

Ce paramètre ne fait pas partie de la portée d'accréditation du Conseil canadien des normes.

Les résultats sont sur base humide.

Ce certificat ne doit pas être reproduit, sinon en entier, sans le consentement écrit du CEAEQ

Version 2 (1517798)

Certificat d'analyse (suite de l'échantillon numéro : Q156112-56)

Numéro de l'échantillon : Q156112-56

Préleveur:
Date de prélèvement: 2 août 2024
Description de l'échantillon: W
Description de prélèvement: PE-605
Point de prélèvement:
Nature de l'échantillon: tissu animal

Mercure

Méthode: MA. 207 - Hg 2.1 Date d'analyse: 22 octobre 2024	Résultat	Unité	LDM
Mercure	1,0	mg/kg	0,01

Métaux Terres rares

Méthode: MA. 207 - Mét.T.rares TB Date d'analyse: 5 novembre 2024	Résultat	Unité	LDM
Dysprosium	<1	µg/kg	1
Erbium	<1	µg/kg	1
Europium	<1	µg/kg	1
Gadolinium	<2	µg/kg	2
Holmium	<1	µg/kg	1
Lithium	<4	µg/kg	4
Niobium	13	µg/kg	1
Samarium	<1	µg/kg	1
Scandium	<1	µg/kg	1
Terbium	<1	µg/kg	1
Thorium	<1	µg/kg	1
Thulium	<1	µg/kg	1
Ytterbium	<2	µg/kg	2
Yttrium	38	µg/kg	1
Uranium	<1	µg/kg	1
Lanthane	<1	µg/kg	1
Lutécium	<1	µg/kg	1
Cérium	10	µg/kg	1
Néodyme	<1	µg/kg	1
Praséodyme	<1	µg/kg	1

Ce certificat ne doit pas être reproduit, sinon en entier, sans le consentement écrit du CEAEQ

Version 2 (1517798)

Certificat d'analyse (suite de l'échantillon numéro : Q156112-56)

Métaux tissus animaux

Méthode: MA. 207 - Métaux TB Date d'analyse: 5 novembre 2024	Résultat	Unité	LDM
Aluminium	0,38	mg/kg	0,11
Thallium	0,008	mg/kg	0,001
Arsenic	0,036	mg/kg	0,0044
Baryum	0,090	mg/kg	0,006
Cadmium	<0,0044	mg/kg	0,0044
Cobalt	0,003	mg/kg	0,001
Chrome	0,19	mg/kg	0,007
Cuivre	0,23	mg/kg	0,03
Fer	5,4	mg/kg	0,1
Manganèse	0,11	mg/kg	0,01
Molybdène	0,004	mg/kg	0,001
Nickel	0,089	mg/kg	0,006
Plomb	0,0015	mg/kg	0,00044
Sélénium	0,34	mg/kg	0,06
Strontium	0,24	mg/kg	0,0154
Vanadium	<0,0044	mg/kg	0,0044
Zinc	2,9	mg/kg	0,06
Uranium	<0,00022	mg/kg	0,00022

Remarque(s)

Niveau: Paramètre

No Éch.: Q156112-56 **Paramètre:** Métaux tissus animaux

Remarque

Ce paramètre ne fait pas partie de la portée d'accréditation du Conseil canadien des normes.

Les résultats sont sur base humide.

Ce certificat ne doit pas être reproduit, sinon en entier, sans le consentement écrit du CEAEQ

Version 2 (1517798)

Certificat d'analyse (suite de l'échantillon numéro : Q156112-57)

Numéro de l'échantillon : Q156112-57

Préleveur:
Date de prélèvement: 3 août 2024
Description de l'échantillon: CF
Description de prélèvement: PE-605
Point de prélèvement:
Nature de l'échantillon: tissu animal

Mercure

Méthode: MA. 207 - Hg 2.1	**Résultat**	**Unité**	**LDM**
Date d'analyse: 22 octobre 2024			
Mercure	0,19	mg/kg	0,01

Métaux Terres rares

Méthode: MA. 207 - Mét.T.rares TB	**Résultat**	**Unité**	**LDM**
Date d'analyse: 5 novembre 2024			
Dysprosium	<1	µg/kg	1
Erbium	<1	µg/kg	1
Europium	<1	µg/kg	1
Gadolinium	<2	µg/kg	2
Holmium	<1	µg/kg	1
Lithium	<4	µg/kg	4
Niobium	26	µg/kg	1
Samarium	<1	µg/kg	1
Scandium	<1	µg/kg	1
Terbium	<1	µg/kg	1
Thorium	<1	µg/kg	1
Thulium	<1	µg/kg	1
Ytterbium	<2	µg/kg	2
Yttrium	84	µg/kg	1
Uranium	<1	µg/kg	1
Lanthane	<1	µg/kg	1
Lutécium	<1	µg/kg	1
Cérium	13	µg/kg	1
Néodyme	<1	µg/kg	1
Praséodyme	<1	µg/kg	1

Ce certificat ne doit pas être reproduit, sinon en entier, sans le consentement écrit du CEAEQ

Version 2 (1517798)

Certificat d'analyse (suite de l'échantillon numéro : Q156112-57)

Métaux tissus animaux

Méthode: MA. 207 - Métaux TB	Résultat	Unité	LDM
Date d'analyse: 5 novembre 2024			
Aluminium	0,55	mg/kg	0,11
Thallium	0,015	mg/kg	0,001
Arsenic	0,013	mg/kg	0,0044
Baryum	0,020	mg/kg	0,006
Cadmium	<0,0044	mg/kg	0,0044
Cobalt	0,006	mg/kg	0,001
Chrome	0,36	mg/kg	0,007
Cuivre	0,46	mg/kg	0,03
Fer	7,9	mg/kg	0,1
Manganèse	0,11	mg/kg	0,01
Molybdène	0,011	mg/kg	0,001
Nickel	0,12	mg/kg	0,006
Plomb	0,0021	mg/kg	0,00044
Sélénium	0,45	mg/kg	0,06
Strontium	0,077	mg/kg	0,0154
Vanadium	<0,0044	mg/kg	0,0044
Zinc	3,8	mg/kg	0,06
Uranium	<0,00022	mg/kg	0,00022

Remarque(s)

Niveau: Paramètre

No Éch.: Q156112-57 **Paramètre:** Métaux tissus animaux

Remarque

Ce paramètre ne fait pas partie de la portée d'accréditation du Conseil canadien des normes.

Les résultats sont sur base humide.

Ce certificat ne doit pas être reproduit, sinon en entier, sans le consentement écrit du CEAEQ

Certificat d'analyse (suite de l'échantillon numéro : Q156112-58)

Numéro de l'échantillon : Q156112-58

Préleveur:
Date de prélèvement: 3 août 2024
Description de l'échantillon: CG
Description de prélèvement: PE-605
Point de prélèvement:
Nature de l'échantillon: tissu animal

Mercure

Méthode: MA. 207 - Hg 2.1 Date d'analyse: 22 octobre 2024	Résultat	Unité	LDM
Mercure	0,17	mg/kg	0,01

Métaux Terres rares

Méthode: MA. 207 - Mét.T.rares TB Date d'analyse: 5 novembre 2024	Résultat	Unité	LDM
Dysprosium	<1	µg/kg	1
Erbium	<1	µg/kg	1
Europium	<1	µg/kg	1
Gadolinium	<2	µg/kg	2
Holmium	<1	µg/kg	1
Lithium	<4	µg/kg	4
Niobium	8	µg/kg	1
Samarium	<1	µg/kg	1
Scandium	<1	µg/kg	1
Terbium	<1	µg/kg	1
Thorium	<1	µg/kg	1
Thulium	<1	µg/kg	1
Ytterbium	<2	µg/kg	2
Yttrium	33	µg/kg	1
Uranium	<1	µg/kg	1
Lanthane	<1	µg/kg	1
Lutécium	<1	µg/kg	1
Cérium	7	µg/kg	1
Néodyme	<1	µg/kg	1
Praséodyme	<1	µg/kg	1

Ce certificat ne doit pas être reproduit, sinon en entier, sans le consentement écrit du CEAEQ

Version 2 (1517798)

Certificat d'analyse (suite de l'échantillon numéro : Q156112-58)

Métaux tissus animaux

Méthode: MA. 207 - Métaux TB Date d'analyse: 5 novembre 2024	Résultat	Unité	LDM
Aluminium	0,50	mg/kg	0,11
Thallium	0,011	mg/kg	0,001
Arsenic	0,013	mg/kg	0,0044
Baryum	0,011	mg/kg	0,006
Cadmium	<0,0044	mg/kg	0,0044
Cobalt	0,005	mg/kg	0,001
Chrome	0,12	mg/kg	0,007
Cuivre	0,26	mg/kg	0,03
Fer	3,2	mg/kg	0,1
Manganèse	0,08	mg/kg	0,01
Molybdène	0,003	mg/kg	0,001
Nickel	0,045	mg/kg	0,006
Plomb	0,0017	mg/kg	0,00044
Sélénium	0,45	mg/kg	0,06
Strontium	0,062	mg/kg	0,0154
Vanadium	<0,0044	mg/kg	0,0044
Zinc	2,9	mg/kg	0,06
Uranium	<0,00022	mg/kg	0,00022

Remarque(s)

Niveau: Paramètre

No Éch.: Q156112-58 **Paramètre:** Métaux tissus animaux

Remarque

Ce paramètre ne fait pas partie de la portée d'accréditation du Conseil canadien des normes.

Les résultats sont sur base humide.

Ce certificat ne doit pas être reproduit, sinon en entier, sans le consentement écrit du CEAEQ

Certificat d'analyse (suite de l'échantillon numéro : Q156112-59)

Numéro de l'échantillon : Q156112-59

Préleveur:
Date de prélèvement: 2 août 2024
Description de l'échantillon: X
Description de prélèvement: PE-605
Point de prélèvement:
Nature de l'échantillon: tissu animal

Mercure

Méthode: MA. 207 - Hg 2.1	**Résultat**	**Unité**	**LDM**
Date d'analyse: 22 octobre 2024			
Mercure	1,3	mg/kg	0,01

Métaux Terres rares

Méthode: MA. 207 - Mét.T.rares TB	**Résultat**	**Unité**	**LDM**
Date d'analyse: 17 décembre 2024			
Dysprosium	<1	µg/kg	1
Erbium	<1	µg/kg	1
Europium	<1	µg/kg	1
Gadolinium	<2	µg/kg	2
Holmium	<1	µg/kg	1
Lithium	<4	µg/kg	4
Niobium	9	µg/kg	1
Samarium	<1	µg/kg	1
Scandium	<1	µg/kg	1
Terbium	<1	µg/kg	1
Thorium	<1	µg/kg	1
Thulium	<1	µg/kg	1
Ytterbium	<2		2
Yttrium	40	µg/kg	1
Uranium	<1	µg/kg	1
Lanthane	<1	µg/kg	1
Lutécium	<1	µg/kg	1
Cérium	7		1
Néodyme	<1	µg/kg	1
Praséodyme	<1	µg/kg	1

Ce certificat ne doit pas être reproduit, sinon en entier, sans le consentement écrit du CEAEQ

Version 2 (1517798)

Certificat d'analyse (suite de l'échantillon numéro : Q156112-59)

Métaux tissus animaux

Méthode: MA. 207 - Métaux TB Date d'analyse: 16 décembre 2024	Résultat	Unité	LDM
Aluminium	0,32	mg/kg	0,11
Thallium	0,009	mg/kg	0,001
Arsenic	0,028	mg/kg	0,0044
Baryum	0,030	mg/kg	0,006
Cadmium	0,0049	mg/kg	0,0044
Cobalt	0,005	mg/kg	0,001
Chrome	0,17	mg/kg	0,007
Cuivre	0,27	mg/kg	0,03
Fer	5,0	mg/kg	0,1
Manganèse	0,11	mg/kg	0,01
Molybdène	0,004	mg/kg	0,001
Nickel	0,052	mg/kg	0,006
Plomb	0,0014	mg/kg	0,00044
Sélénium	0,44	mg/kg	0,06
Strontium	0,071	mg/kg	0,0154
Vanadium	<0,0044	mg/kg	0,0044
Zinc	3,1	mg/kg	0,06
Uranium	<0,00022	mg/kg	0,00022

Remarque(s)

Niveau: Paramètre

No Éch.: Q156112-59 **Paramètre:** Métaux tissus animaux

Remarque

Ce paramètre ne fait pas partie de la portée d'accréditation du Conseil canadien des normes.

Les résultats sont sur base humide.

Les résultats ne se rapportent qu'à l'échantillon tel que reçu et soumis à l'analyse.

J'atteste avoir formellement constaté ces faits - Ce certificat annule et remplace les versions précédentes

***Certificat approuvé le* 7 mars 2025**

Jean-Luc Pilote, M.Sc. Chimiste
Division chimie inorganique, Québec

Légende:
ABS: Absence
DNQ: Résultat entre la LDM et la LQM
INT: Interférences - Analyse impossible
ND: Non détecté
ST: Sous-traitance
PR: Présence
RNF: Résultat non disponible
NDR: Détecté - Mais ne satisfait pas le rapport isotopique
TNI: Colonies trop nombreuses pour être identifiées
VR: Voir remarque

Ce certificat ne doit pas être reproduit, sinon en entier, sans le consentement écrit du CEAEQ

Version 2 (1517798)

Environnement et Lutte contre les changements climatiques
Québec

Certificat d'analyse

Direction de l'analyse chimique
2700, rue Einstein
Québec (Québec) G1P 3W8
Tél.: 418 643-1301
Téléc.: 418 528-1091

Client: Groupe Synergis
5582, boul. des Hêtres
Shawinigan (Québec) G9N 4W1

Nom de projet: Corvette
Responsable: Pierre-Olivier Côté
Téléphone: 819-536-0513
Code projet client:

Date de réception: 6 mars 2025
Numéro de dossier: Q158903
Bon de commande: 22-0095-07
Code projet CEAEQ: 11448

Numéro de l'échantillon : Q158903-01

Préleveur: Client
Date de prélèvement: 5 août 2024
Description de l'échantillon: CS
Description de prélèvement: PE-01
Point de prélèvement:
Nature de l'échantillon: tissu animal

Mercure

Méthode: MA. 207 - Hg 2.1 Date d'analyse: 8 avril 2025	Résultat	Unité	LDM
Mercure	0,38	mg/kg	0,01

Métaux Terres rares

Méthode: MA. 207 - Mét.T.rares TB Date d'analyse: 11 mars 2025	Résultat	Unité	LDM
Dysprosium	<1	µg/kg	1
Erbium	<1	µg/kg	1
Europium	<1	µg/kg	1
Gadolinium	<2	µg/kg	2
Holmium	<1	µg/kg	1
Lithium	5	µg/kg	4
Niobium	16	µg/kg	1
Samarium	<1	µg/kg	1
Scandium	<1	µg/kg	1
Terbium	<1	µg/kg	1
Thorium	<1	µg/kg	1
Thulium	<1	µg/kg	1
Ytterbium	<2	µg/kg	2
Yttrium	23	µg/kg	1
Uranium	<1	µg/kg	1
Lanthane	<1	µg/kg	1
Lutécium	<1	µg/kg	1
Cérium	5	µg/kg	1
Néodyme	<1	µg/kg	1
Praséodyme	<1	µg/kg	1

Ce certificat ne doit pas être reproduit, sinon en entier, sans le consentement écrit du CEAEQ

Version 1 (1520530)

Certificat d'analyse (suite de l'échantillon numéro : Q158903-01)

Métaux tissus animaux

Méthode: MA. 207 - Métaux TB Date d'analyse: 12 mars 2025	Résultat	Unité	LDM
Aluminium	0,22	mg/kg	0,11
Thallium	0,012	mg/kg	0,001
Arsenic	0,021	mg/kg	0,0044
Baryum	0,014	mg/kg	0,006
Cadmium	<0,0044	mg/kg	0,0044
Cobalt	0,004	mg/kg	0,001
Chrome	0,25	mg/kg	0,007
Cuivre	0,18	mg/kg	0,03
Fer	4,2	mg/kg	0,1
Manganèse	0,12	mg/kg	0,01
Molybdène	0,0060	mg/kg	0,00022
Nickel	0,064	mg/kg	0,006
Plomb	0,00080	mg/kg	0,00044
Sélénium	0,35	mg/kg	0,06
Strontium	0,069	mg/kg	0,0154
Vanadium	<0,0044	mg/kg	0,0044
Zinc	3,0	mg/kg	0,06
Uranium	<0,00022	mg/kg	0,00022

Remarque(s)

Niveau: Paramètre

No Éch.: Q158903-01 **Paramètre:** Métaux Terres rares

Les résultats sont exprimés sur base sèche.

No Éch.: Q158903-01 **Paramètre:** Métaux tissus animaux

Remarque

Ce paramètre ne fait pas partie de la portée d'accréditation du Conseil canadien des normes.

Les résultats sont sur base humide.

Ce certificat ne doit pas être reproduit, sinon en entier, sans le consentement écrit du CEAEQ

Version 1 (1520530)

Certificat d'analyse (suite de l'échantillon numéro : Q158903-02)

Numéro de l'échantillon : Q158903-02

Préleveur: Client
Date de prélèvement: 5 août 2024
Description de l'échantillon: CZ
Description de prélèvement: PE-01
Point de prélèvement:
Nature de l'échantillon: tissu animal

Mercure

Méthode: MA. 207 - Hg 2.1 Date d'analyse: 8 avril 2025	Résultat	Unité	LDM
Mercure	0,21	mg/kg	0,01

Métaux Terres rares

Méthode: MA. 207 - Mét.T.rares TB Date d'analyse: 11 mars 2025	Résultat	Unité	LDM
Dysprosium	<1	µg/kg	1
Erbium	<1	µg/kg	1
Europium	<1	µg/kg	1
Gadolinium	<2	µg/kg	2
Holmium	<1	µg/kg	1
Lithium	5	µg/kg	4
Niobium	6	µg/kg	1
Samarium	<1	µg/kg	1
Scandium	<1	µg/kg	1
Terbium	<1	µg/kg	1
Thorium	<1	µg/kg	1
Thulium	<1	µg/kg	1
Ytterbium	<2	µg/kg	2
Yttrium	22	µg/kg	1
Uranium	<1	µg/kg	1
Lanthane	<1	µg/kg	1
Lutécium	<1	µg/kg	1
Cérium	5	µg/kg	1
Néodyme	<1	µg/kg	1
Praséodyme	<1	µg/kg	1

Ce certificat ne doit pas être reproduit, sinon en entier, sans le consentement écrit du CEAEQ

Version 1 (1520530)

Certificat d'analyse (suite de l'échantillon numéro : Q158903-02)

Métaux tissus animaux

Méthode: MA. 207 - Métaux TB Date d'analyse: 12 mars 2025	Résultat	Unité	LDM
Aluminium	0,47	mg/kg	0,11
Thallium	0,014	mg/kg	0,001
Arsenic	0,018	mg/kg	0,0044
Baryum	0,026	mg/kg	0,006
Cadmium	<0,0044	mg/kg	0,0044
Cobalt	0,005	mg/kg	0,001
Chrome	0,088	mg/kg	0,007
Cuivre	0,23	mg/kg	0,03
Fer	2,9	mg/kg	0,1
Manganèse	0,12	mg/kg	0,01
Molybdène	0,0022	mg/kg	0,00022
Nickel	0,024	mg/kg	0,006
Plomb	<0,00044	mg/kg	0,00044
Sélénium	0,40	mg/kg	0,06
Strontium	0,13	mg/kg	0,0154
Vanadium	<0,0044	mg/kg	0,0044
Zinc	3,7	mg/kg	0,06
Uranium	<0,00022	mg/kg	0,00022

Remarque(s)

Niveau: Paramètre

No Éch.: Q158903-02 **Paramètre:** Métaux tissus animaux

Remarque

Ce paramètre ne fait pas partie de la portée d'accréditation du Conseil canadien des normes.

Les résultats sont sur base humide.

Niveau: Mesurandes

No Éch.: Q158903-02 **Paramètre:** Métaux Terres rares **Mesurande:** Dysprosium

Les résultats sont exprimés sur base sèche.

Ce certificat ne doit pas être reproduit, sinon en entier, sans le consentement écrit du CEAEQ

Version 1 (1520530)

Certificat d'analyse (suite de l'échantillon numéro : Q158903-03)

Numéro de l'échantillon : Q158903-03

Préleveur: Client
Date de prélèvement: 6 août 2024
Description de l'échantillon: DQ
Description de prélèvement: PE-01
Point de prélèvement:
Nature de l'échantillon: tissu animal

Mercure

Méthode: MA. 207 - Hg 2.1 Date d'analyse: 8 avril 2025	Résultat	Unité	LDM
Mercure	0,18	mg/kg	0,01

Métaux Terres rares

Méthode: MA. 207 - Mét.T.rares TB Date d'analyse: 11 mars 2025	Résultat	Unité	LDM
Dysprosium	<1	µg/kg	1
Erbium	<1	µg/kg	1
Europium	<1	µg/kg	1
Gadolinium	<2	µg/kg	2
Holmium	<1	µg/kg	1
Lithium	8	µg/kg	4
Niobium	29	µg/kg	1
Samarium	<1	µg/kg	1
Scandium	<1	µg/kg	1
Terbium	<1	µg/kg	1
Thorium	1	µg/kg	1
Thulium	<1	µg/kg	1
Ytterbium	<2	µg/kg	2
Yttrium	33	µg/kg	1
Uranium	<1	µg/kg	1
Lanthane	2	µg/kg	1
Lutécium	<1	µg/kg	1
Cérium	9	µg/kg	1
Néodyme	2	µg/kg	1
Praséodyme	<1	µg/kg	1

Ce certificat ne doit pas être reproduit, sinon en entier, sans le consentement écrit du CEAEQ

Version 1 (1520530)

Certificat d'analyse (suite de l'échantillon numéro : Q158903-03)

Métaux tissus animaux

Méthode: MA. 207 - Métaux TB Date d'analyse: 12 mars 2025	Résultat	Unité	LDM
Aluminium	0,78	mg/kg	0,11
Thallium	0,011	mg/kg	0,001
Arsenic	0,022	mg/kg	0,0044
Baryum	0,017	mg/kg	0,006
Cadmium	<0,0044	mg/kg	0,0044
Cobalt	0,006	mg/kg	0,001
Chrome	0,46	mg/kg	0,007
Cuivre	0,25	mg/kg	0,03
Fer	5,8	mg/kg	0,1
Manganèse	0,18	mg/kg	0,01
Molybdène	0,0096	mg/kg	0,00022
Nickel	0,13	mg/kg	0,006
Plomb	0,00070	mg/kg	0,00044
Sélénium	0,35	mg/kg	0,06
Strontium	0,077	mg/kg	0,0154
Vanadium	0,0055	mg/kg	0,0044
Zinc	3,6	mg/kg	0,06
Uranium	<0,00022	mg/kg	0,00022

Remarque(s)

Niveau: Paramètre

No Éch.: Q158903-03 **Paramètre:** Métaux tissus animaux

Remarque

Ce paramètre ne fait pas partie de la portée d'accréditation du Conseil canadien des normes.

Les résultats sont sur base humide.

Niveau: Mesurandes

No Éch.: Q158903-03 **Paramètre:** Métaux Terres rares **Mesurande:** Dysprosium

Les résultats sont exprimés sur base sèche.

Ce certificat ne doit pas être reproduit, sinon en entier, sans le consentement écrit du CEAEQ

Certificat d'analyse (suite de l'échantillon numéro : Q158903-04)

Numéro de l'échantillon : Q158903-04

Préleveur: Client
Date de prélèvement: 7 août 2024
Description de l'échantillon: EI
Description de prélèvement: PE-01
Point de prélèvement:
Nature de l'échantillon: tissu animal

Mercure

Méthode: MA. 207 - Hg 2.1 Date d'analyse: 8 avril 2025	Résultat	Unité	LDM
Mercure	0,25	mg/kg	0,01

Métaux Terres rares

Méthode: MA. 207 - Mét.T.rares TB Date d'analyse: 11 mars 2025	Résultat	Unité	LDM
Dysprosium	<1	µg/kg	1
Erbium	<1	µg/kg	1
Europium	<1	µg/kg	1
Gadolinium	<2	µg/kg	2
Holmium	<1	µg/kg	1
Lithium	5	µg/kg	4
Niobium	5	µg/kg	1
Samarium	<1	µg/kg	1
Scandium	<1	µg/kg	1
Terbium	<1	µg/kg	1
Thorium	<1	µg/kg	1
Thulium	<1	µg/kg	1
Ytterbium	<2	µg/kg	2
Yttrium	34	µg/kg	1
Uranium	<1	µg/kg	1
Lanthane	<1	µg/kg	1
Lutécium	<1	µg/kg	1
Cérium	3	µg/kg	1
Néodyme	<1	µg/kg	1
Praséodyme	<1	µg/kg	1

Ce certificat ne doit pas être reproduit, sinon en entier, sans le consentement écrit du CEAEQ

Certificat d'analyse (suite de l'échantillon numéro : Q158903-04)

Métaux tissus animaux

Méthode: MA. 207 - Métaux TB Date d'analyse: 12 mars 2025	Résultat	Unité	LDM
Aluminium	0,17	mg/kg	0,11
Thallium	0,010	mg/kg	0,001
Arsenic	0,024	mg/kg	0,0044
Baryum	0,012	mg/kg	0,006
Cadmium	<0,0044	mg/kg	0,0044
Cobalt	0,004	mg/kg	0,001
Chrome	0,075	mg/kg	0,007
Cuivre	0,18	mg/kg	0,03
Fer	1,9	mg/kg	0,1
Manganèse	0,09	mg/kg	0,01
Molybdène	0,0014	mg/kg	0,00022
Nickel	0,032	mg/kg	0,006
Plomb	0,0065	mg/kg	0,00044
Sélénium	0,38	mg/kg	0,06
Strontium	0,055	mg/kg	0,0154
Vanadium	<0,0044	mg/kg	0,0044
Zinc	3,7	mg/kg	0,06
Uranium	<0,00022	mg/kg	0,00022

Remarque(s)

Niveau: Paramètre

No Éch.: Q158903-04 **Paramètre:** Métaux tissus animaux

Remarque

Ce paramètre ne fait pas partie de la portée d'accréditation du Conseil canadien des normes.

Les résultats sont sur base humide.

Niveau: Mesurandes

No Éch.: Q158903-04 **Paramètre:** Métaux Terres rares **Mesurande:** Dysprosium

Les résultats sont exprimés sur base sèche.

Ce certificat ne doit pas être reproduit, sinon en entier, sans le consentement écrit du CEAEQ

Version 1 (1520530)

Certificat d'analyse (suite de l'échantillon numéro : Q158903-05)

Numéro de l'échantillon : Q158903-05

Préleveur: Client
Date de prélèvement: 7 août 2024
Description de l'échantillon: OL
Description de prélèvement: PE-01
Point de prélèvement:
Nature de l'échantillon: tissu animal

Mercure

Méthode: MA. 207 - Hg 2.1 Date d'analyse: 8 avril 2025	Résultat	Unité	LDM
Mercure	0,16	mg/kg	0,01

Métaux Terres rares

Méthode: MA. 207 - Mét.T.rares TB Date d'analyse: 11 mars 2025	Résultat	Unité	LDM
Dysprosium	<1	µg/kg	1
Erbium	<1	µg/kg	1
Europium	<1	µg/kg	1
Gadolinium	<2	µg/kg	2
Holmium	<1	µg/kg	1
Lithium	4	µg/kg	4
Niobium	8	µg/kg	1
Samarium	<1	µg/kg	1
Scandium	<1	µg/kg	1
Terbium	<1	µg/kg	1
Thorium	<1	µg/kg	1
Thulium	<1	µg/kg	1
Ytterbium	<2	µg/kg	2
Yttrium	35	µg/kg	1
Uranium	<1	µg/kg	1
Lanthane	<1	µg/kg	1
Lutécium	<1	µg/kg	1
Cérium	4	µg/kg	1
Néodyme	<1	µg/kg	1
Praséodyme	<1	µg/kg	1

Ce certificat ne doit pas être reproduit, sinon en entier, sans le consentement écrit du CEAEQ

Version 1 (1520530)

Certificat d'analyse (suite de l'échantillon numéro : Q158903-05)

Métaux tissus animaux

Méthode: MA. 207 - Métaux TB Date d'analyse: 12 mars 2025	Résultat	Unité	LDM
Aluminium	0,14	mg/kg	0,11
Thallium	0,010	mg/kg	0,001
Arsenic	0,020	mg/kg	0,0044
Baryum	0,020	mg/kg	0,006
Cadmium	<0,0044	mg/kg	0,0044
Cobalt	0,003	mg/kg	0,001
Chrome	0,10	mg/kg	0,007
Cuivre	0,12	mg/kg	0,03
Fer	1,9	mg/kg	0,1
Manganèse	0,11	mg/kg	0,01
Molybdène	0,0025	mg/kg	0,00022
Nickel	0,026	mg/kg	0,006
Plomb	<0,00044	mg/kg	0,00044
Sélénium	0,35	mg/kg	0,06
Strontium	0,096	mg/kg	0,0154
Vanadium	<0,0044	mg/kg	0,0044
Zinc	3,1	mg/kg	0,06
Uranium	<0,00022	mg/kg	0,00022

Remarque(s)

Niveau: Paramètre

No Éch.: Q158903-05 **Paramètre:** Métaux tissus animaux

Remarque

Ce paramètre ne fait pas partie de la portée d'accréditation du Conseil canadien des normes.

Les résultats sont sur base humide.

Ce certificat ne doit pas être reproduit, sinon en entier, sans le consentement écrit du CEAEQ

Certificat d'analyse (suite de l'échantillon numéro : Q158903-06)

Numéro de l'échantillon : Q158903-06

Préleveur: Client
Date de prélèvement: 7 août 2024
Description de l'échantillon: ON
Description de prélèvement: PE-01
Point de prélèvement:
Nature de l'échantillon: tissu animal

Mercure

Méthode: MA. 207 - Hg 2.1 Date d'analyse: 8 avril 2025	Résultat	Unité	LDM
Mercure	0,23	mg/kg	0,01

Métaux Terres rares

Méthode: MA. 207 - Mét.T.rares TB Date d'analyse: 11 mars 2025	Résultat	Unité	LDM
Dysprosium	<1	µg/kg	1
Erbium	<1	µg/kg	1
Europium	<1	µg/kg	1
Gadolinium	<2	µg/kg	2
Holmium	<1	µg/kg	1
Lithium	<4	µg/kg	4
Niobium	18	µg/kg	1
Samarium	<1	µg/kg	1
Scandium	<1	µg/kg	1
Terbium	<1	µg/kg	1
Thorium	<1	µg/kg	1
Thulium	<1	µg/kg	1
Ytterbium	<2	µg/kg	2
Yttrium	29	µg/kg	1
Uranium	<1	µg/kg	1
Lanthane	<1	µg/kg	1
Lutécium	<1	µg/kg	1
Cérium	5	µg/kg	1
Néodyme	<1	µg/kg	1
Praséodyme	<1	µg/kg	1

Ce certificat ne doit pas être reproduit, sinon en entier, sans le consentement écrit du CEAEQ

Version 1 (1520530)

Certificat d'analyse (suite de l'échantillon numéro : Q158903-06)

Métaux tissus animaux

Méthode: MA. 207 - Métaux TB Date d'analyse: 12 mars 2025	Résultat	Unité	LDM
Aluminium	0,21	mg/kg	0,11
Thallium	0,011	mg/kg	0,001
Arsenic	0,031	mg/kg	0,0044
Baryum	0,027	mg/kg	0,006
Cadmium	<0,0044	mg/kg	0,0044
Cobalt	0,006	mg/kg	0,001
Chrome	0,25	mg/kg	0,007
Cuivre	0,22	mg/kg	0,03
Fer	3,6	mg/kg	0,1
Manganèse	0,13	mg/kg	0,01
Molybdène	0,0061	mg/kg	0,00022
Nickel	0,075	mg/kg	0,006
Plomb	0,0011	mg/kg	0,00044
Sélénium	0,38	mg/kg	0,06
Strontium	0,13	mg/kg	0,0154
Vanadium	<0,0044	mg/kg	0,0044
Zinc	3,8	mg/kg	0,06
Uranium	<0,00022	mg/kg	0,00022

Remarque(s)

Niveau: Paramètre

No Éch.: Q158903-06 **Paramètre:** Métaux Terres rares

Les résultats sont exprimés sur base sèche.

No Éch.: Q158903-06 **Paramètre:** Métaux tissus animaux

Remarque

Ce paramètre ne fait pas partie de la portée d'accréditation du Conseil canadien des normes.

Les résultats sont sur base humide.

Ce certificat ne doit pas être reproduit, sinon en entier, sans le consentement écrit du CEAEQ

Version 1 (1520530)

Certificat d'analyse (suite de l'échantillon numéro : Q158903-07)

Numéro de l'échantillon : Q158903-07

Préleveur: Client
Date de prélèvement: 5 août 2024
Description de l'échantillon: CU
Description de prélèvement: PE-01
Point de prélèvement:
Nature de l'échantillon: tissu animal

Mercure

Méthode: MA. 207 - Hg 2.1 Date d'analyse: 8 avril 2025	Résultat	Unité	LDM
Mercure	0,79	mg/kg	0,01

Métaux Terres rares

Méthode: MA. 207 - Mét.T.rares TB Date d'analyse: 11 mars 2025	Résultat	Unité	LDM
Dysprosium	<1	µg/kg	1
Erbium	<1	µg/kg	1
Europium	<1	µg/kg	1
Gadolinium	<2	µg/kg	2
Holmium	<1	µg/kg	1
Lithium	<4	µg/kg	4
Niobium	18	µg/kg	1
Samarium	<1	µg/kg	1
Scandium	<1	µg/kg	1
Terbium	<1	µg/kg	1
Thorium	<1	µg/kg	1
Thulium	<1	µg/kg	1
Ytterbium	<2	µg/kg	2
Yttrium	21	µg/kg	1
Uranium	<1	µg/kg	1
Lanthane	<1	µg/kg	1
Lutécium	<1	µg/kg	1
Cérium	6	µg/kg	1
Néodyme	<1	µg/kg	1
Praséodyme	<1	µg/kg	1

Ce certificat ne doit pas être reproduit, sinon en entier, sans le consentement écrit du CEAEQ

Version 1 (1520530)

Certificat d'analyse (suite de l'échantillon numéro : Q158903-07)

Métaux tissus animaux

Méthode: MA. 207 - Métaux TB Date d'analyse: 12 mars 2025	Résultat	Unité	LDM
Aluminium	0,13	mg/kg	0,11
Thallium	0,009	mg/kg	0,001
Arsenic	0,028	mg/kg	0,0044
Baryum	0,010	mg/kg	0,006
Cadmium	<0,0044	mg/kg	0,0044
Cobalt	0,003	mg/kg	0,001
Chrome	0,18	mg/kg	0,007
Cuivre	0,13	mg/kg	0,03
Fer	2,7	mg/kg	0,1
Manganèse	0,06	mg/kg	0,01
Molybdène	0,0034	mg/kg	0,00022
Nickel	0,045	mg/kg	0,006
Plomb	<0,00044	mg/kg	0,00044
Sélénium	0,35	mg/kg	0,06
Strontium	0,040	mg/kg	0,0154
Vanadium	<0,0044	mg/kg	0,0044
Zinc	2,9	mg/kg	0,06
Uranium	<0,00022	mg/kg	0,00022

Remarque(s)

Niveau: Paramètre

No Éch.: Q158903-07 **Paramètre:** Métaux Terres rares

Les résultats sont exprimés sur base sèche.

No Éch.: Q158903-07 **Paramètre:** Métaux tissus animaux

Remarque

Ce paramètre ne fait pas partie de la portée d'accréditation du Conseil canadien des normes.

Les résultats sont sur base humide.

Ce certificat ne doit pas être reproduit, sinon en entier, sans le consentement écrit du CEAEQ

Version 1 (1520530)

Certificat d'analyse (suite de l'échantillon numéro : Q158903-08)

Numéro de l'échantillon : Q158903-08

Préleveur: Client
Date de prélèvement: 5 août 2024
Description de l'échantillon: CV
Description de prélèvement: PE-01
Point de prélèvement:
Nature de l'échantillon: tissu animal

Mercure

Méthode: MA. 207 - Hg 2.1 Date d'analyse: 8 avril 2025	Résultat	Unité	LDM
Mercure	0,48	mg/kg	0,01

Métaux Terres rares

Méthode: MA. 207 - Mét.T.rares TB Date d'analyse: 11 mars 2025	Résultat	Unité	LDM
Dysprosium	<1	µg/kg	1
Erbium	<1	µg/kg	1
Europium	<1	µg/kg	1
Gadolinium	<2	µg/kg	2
Holmium	<1	µg/kg	1
Lithium	6	µg/kg	4
Niobium	7	µg/kg	1
Samarium	<1	µg/kg	1
Scandium	<1	µg/kg	1
Terbium	<1	µg/kg	1
Thorium	<1	µg/kg	1
Thulium	<1	µg/kg	1
Ytterbium	<2	µg/kg	2
Yttrium	18	µg/kg	1
Uranium	<1	µg/kg	1
Lanthane	<1	µg/kg	1
Lutécium	<1	µg/kg	1
Cérium	4	µg/kg	1
Néodyme	<1	µg/kg	1
Praséodyme	<1	µg/kg	1

Ce certificat ne doit pas être reproduit, sinon en entier, sans le consentement écrit du CEAEQ

Certificat d'analyse (suite de l'échantillon numéro : Q158903-08)

Métaux tissus animaux

Méthode: MA. 207 - Métaux TB Date d'analyse: 12 mars 2025	Résultat	Unité	LDM
Aluminium	0,17	mg/kg	0,11
Thallium	0,009	mg/kg	0,001
Arsenic	0,021	mg/kg	0,0044
Baryum	0,014	mg/kg	0,006
Cadmium	<0,0044	mg/kg	0,0044
Cobalt	0,004	mg/kg	0,001
Chrome	0,091	mg/kg	0,007
Cuivre	0,13	mg/kg	0,03
Fer	2,1	mg/kg	0,1
Manganèse	0,08	mg/kg	0,01
Molybdène	0,0016	mg/kg	0,00022
Nickel	0,032	mg/kg	0,006
Plomb	0,00090	mg/kg	0,00044
Sélénium	0,43	mg/kg	0,06
Strontium	0,092	mg/kg	0,0154
Vanadium	<0,0044	mg/kg	0,0044
Zinc	2,9	mg/kg	0,06
Uranium	<0,00022	mg/kg	0,00022

Remarque(s)

Niveau: Paramètre

No Éch.: Q158903-08 **Paramètre:** Métaux Terres rares

Les résultats sont exprimés sur base sèche.

No Éch.: Q158903-08 **Paramètre:** Métaux tissus animaux

Remarque

Ce paramètre ne fait pas partie de la portée d'accréditation du Conseil canadien des normes.

Les résultats sont sur base humide.

Ce certificat ne doit pas être reproduit, sinon en entier, sans le consentement écrit du CEAEQ

Version 1 (1520530)

Certificat d'analyse (suite de l'échantillon numéro : Q158903-09)

Numéro de l'échantillon : Q158903-09

Préleveur: Client
Date de prélèvement: 5 août 2024
Description de l'échantillon: DF
Description de prélèvement: PE-01
Point de prélèvement:
Nature de l'échantillon: tissu animal

Mercure

Méthode: MA. 207 - Hg 2.1 Date d'analyse: 8 avril 2025	Résultat	Unité	LDM
Mercure	0,28	mg/kg	0,01

Métaux Terres rares

Méthode: MA. 207 - Mét.T.rares TB Date d'analyse: 11 mars 2025	Résultat	Unité	LDM
Dysprosium	<1	µg/kg	1
Erbium	<1	µg/kg	1
Europium	<1	µg/kg	1
Gadolinium	<2	µg/kg	2
Holmium	<1	µg/kg	1
Lithium	6	µg/kg	4
Niobium	18	µg/kg	1
Samarium	<1	µg/kg	1
Scandium	<1	µg/kg	1
Terbium	<1	µg/kg	1
Thorium	<1	µg/kg	1
Thulium	<1	µg/kg	1
Ytterbium	<2	µg/kg	2
Yttrium	43	µg/kg	1
Uranium	<1	µg/kg	1
Lanthane	1	µg/kg	1
Lutécium	<1	µg/kg	1
Cérium	5	µg/kg	1
Néodyme	<1	µg/kg	1
Praséodyme	<1	µg/kg	1

Ce certificat ne doit pas être reproduit, sinon en entier, sans le consentement écrit du CEAEQ

Version 1 (1520530)

Certificat d'analyse (suite de l'échantillon numéro : Q158903-09)

Métaux tissus animaux

Méthode: MA. 207 - Métaux TB Date d'analyse: 12 mars 2025	Résultat	Unité	LDM
Aluminium	0,19	mg/kg	0,11
Thallium	0,007	mg/kg	0,001
Arsenic	0,017	mg/kg	0,0044
Baryum	0,047	mg/kg	0,006
Cadmium	<0,0044	mg/kg	0,0044
Cobalt	0,006	mg/kg	0,001
Chrome	0,20	mg/kg	0,007
Cuivre	0,22	mg/kg	0,03
Fer	3,6	mg/kg	0,1
Manganèse	0,13	mg/kg	0,01
Molybdène	0,0049	mg/kg	0,00022
Nickel	0,057	mg/kg	0,006
Plomb	<0,00044	mg/kg	0,00044
Sélénium	0,36	mg/kg	0,06
Strontium	0,27	mg/kg	0,0154
Vanadium	<0,0044	mg/kg	0,0044
Zinc	4,0	mg/kg	0,06
Uranium	<0,00022	mg/kg	0,00022

Remarque(s)

Niveau: Paramètre

No Éch.: Q158903-09 **Paramètre:** Métaux Terres rares

Les résultats sont exprimés sur base sèche.

No Éch.: Q158903-09 **Paramètre:** Métaux tissus animaux

Remarque

Ce paramètre ne fait pas partie de la portée d'accréditation du Conseil canadien des normes.

Les résultats sont sur base humide.

Ce certificat ne doit pas être reproduit, sinon en entier, sans le consentement écrit du CEAEQ

Version 1 (1520530)

Certificat d'analyse (suite de l'échantillon numéro : Q158903-10)

Numéro de l'échantillon : Q158903-10

Préleveur: Client
Date de prélèvement: 6 août 2024
Description de l'échantillon: EA
Description de prélèvement: PE-01
Point de prélèvement:
Nature de l'échantillon: tissu animal

Mercure

Méthode: MA. 207 - Hg 2.1 Date d'analyse: 8 avril 2025	Résultat	Unité	LDM
Mercure	0,29	mg/kg	0,01

Métaux Terres rares

Méthode: MA. 207 - Mét.T.rares TB Date d'analyse: 28 mars 2025	Résultat	Unité	LDM
Dysprosium	<1	µg/kg	1
Erbium	<1	µg/kg	1
Europium	<1	µg/kg	1
Gadolinium	<2	µg/kg	2
Holmium	<1	µg/kg	1
Lithium	<4	µg/kg	4
Niobium	4	µg/kg	1
Samarium	<1	µg/kg	1
Scandium	<1	µg/kg	1
Terbium	<1	µg/kg	1
Thorium	<1	µg/kg	1
Thulium	<1	µg/kg	1
Yttrium	13	µg/kg	1
Uranium	<1	µg/kg	1
Lanthane	<1	µg/kg	1
Lutécium	<1	µg/kg	1
Néodyme	<1	µg/kg	1
Praséodyme	<1	µg/kg	1

Ce certificat ne doit pas être reproduit, sinon en entier, sans le consentement écrit du CEAEQ

Certificat d'analyse (suite de l'échantillon numéro : Q158903-10)

Métaux tissus animaux

Méthode: MA. 207 - Métaux TB Date d'analyse: 27 mars 2025	Résultat	Unité	LDM
Aluminium	0,18	mg/kg	0,11
Thallium	0,012	mg/kg	0,001
Arsenic	0,015	mg/kg	0,0044
Baryum	0,010	mg/kg	0,006
Cadmium	<0,0044	mg/kg	0,0044
Cobalt	0,003	mg/kg	0,001
Chrome	0,050	mg/kg	0,007
Cuivre	0,13	mg/kg	0,03
Fer	2,0	mg/kg	0,1
Manganèse	0,10	mg/kg	0,01
Molybdène	0,00095	mg/kg	0,00022
Nickel	0,018	mg/kg	0,006
Plomb	<0,00044	mg/kg	0,00044
Sélénium	0,41	mg/kg	0,06
Strontium	0,044	mg/kg	0,0154
Vanadium	<0,0044	mg/kg	0,0044
Zinc	2,8	mg/kg	0,06
Uranium	<0,00022	mg/kg	0,00022

Remarque(s)

Niveau: Paramètre

No Éch.: Q158903-10 **Paramètre:** Métaux Terres rares

Les résultats sont exprimés sur base sèche.

No Éch.: Q158903-10 **Paramètre:** Métaux tissus animaux

Remarque

Ce paramètre ne fait pas partie de la portée d'accréditation du Conseil canadien des normes.

Les résultats sont sur base humide.

Ce certificat ne doit pas être reproduit, sinon en entier, sans le consentement écrit du CEAEQ

Version 1 (1520530)

Certificat d'analyse (suite de l'échantillon numéro : Q158903-11)

Numéro de l'échantillon : Q158903-11

Préleveur: Client
Date de prélèvement: 6 août 2024
Description de l'échantillon: EC
Description de prélèvement: PE-01
Point de prélèvement:
Nature de l'échantillon: tissu animal

Mercure

Méthode: MA. 207 - Hg 2.1 Date d'analyse: 8 avril 2025	Résultat	Unité	LDM
Mercure	0,64	mg/kg	0,01

Métaux Terres rares

Méthode: MA. 207 - Mét.T.rares TB Date d'analyse: 11 mars 2025	Résultat	Unité	LDM
Dysprosium	<1	µg/kg	1
Erbium	<1	µg/kg	1
Europium	<1	µg/kg	1
Gadolinium	<2	µg/kg	2
Holmium	<1	µg/kg	1
Lithium	7	µg/kg	4
Niobium	5	µg/kg	1
Samarium	<1	µg/kg	1
Scandium	<1	µg/kg	1
Terbium	<1	µg/kg	1
Thorium	<1	µg/kg	1
Thulium	<1	µg/kg	1
Ytterbium	<2	µg/kg	2
Yttrium	21	µg/kg	1
Uranium	<1	µg/kg	1
Lanthane	2	µg/kg	1
Lutécium	<1	µg/kg	1
Cérium	5	µg/kg	1
Néodyme	1	µg/kg	1
Praséodyme	<1	µg/kg	1

Ce certificat ne doit pas être reproduit, sinon en entier, sans le consentement écrit du CEAEQ

Version 1 (1520530)

Certificat d'analyse (suite de l'échantillon numéro : Q158903-11)

Métaux tissus animaux

Méthode: MA. 207 - Métaux TB Date d'analyse: 12 mars 2025	Résultat	Unité	LDM
Aluminium	0,23	mg/kg	0,11
Thallium	0,010	mg/kg	0,001
Arsenic	0,022	mg/kg	0,0044
Baryum	0,012	mg/kg	0,006
Cadmium	<0,0044	mg/kg	0,0044
Cobalt	0,003	mg/kg	0,001
Chrome	0,056	mg/kg	0,007
Cuivre	0,12	mg/kg	0,03
Fer	2,9	mg/kg	0,1
Manganèse	0,09	mg/kg	0,01
Molybdène	0,0012	mg/kg	0,00022
Nickel	0,020	mg/kg	0,006
Plomb	0,00080	mg/kg	0,00044
Sélénium	0,35	mg/kg	0,06
Strontium	0,033	mg/kg	0,0154
Vanadium	<0,0044	mg/kg	0,0044
Zinc	3,0	mg/kg	0,06
Uranium	<0,00022	mg/kg	0,00022

Remarque(s)

Niveau: Paramètre

No Éch.: Q158903-11 **Paramètre:** Métaux Terres rares

Les résultats sont exprimés sur base sèche.

No Éch.: Q158903-11 **Paramètre:** Métaux tissus animaux

Remarque

Ce paramètre ne fait pas partie de la portée d'accréditation du Conseil canadien des normes.

Les résultats sont sur base humide.

Ce certificat ne doit pas être reproduit, sinon en entier, sans le consentement écrit du CEAEQ

Version 1 (1520530)

Certificat d'analyse (suite de l'échantillon numéro : Q158903-12)

Numéro de l'échantillon : Q158903-12

Préleveur: Client
Date de prélèvement: 6 août 2024
Description de l'échantillon: DO
Description de prélèvement: PE-01
Point de prélèvement:
Nature de l'échantillon: tissu animal

Mercure

Méthode: MA. 207 - Hg 2.1 Date d'analyse: 8 avril 2025	Résultat	Unité	LDM
Mercure	0,81	mg/kg	0,01

Métaux Terres rares

Méthode: MA. 207 - Mét.T.rares TB Date d'analyse: 11 mars 2025	Résultat	Unité	LDM
Dysprosium	7	µg/kg	1
Erbium	3	µg/kg	1
Europium	<1	µg/kg	1
Gadolinium	9	µg/kg	2
Holmium	1	µg/kg	1
Lithium	100	µg/kg	4
Niobium	34	µg/kg	1
Samarium	8	µg/kg	1
Scandium	8	µg/kg	1
Terbium	1	µg/kg	1
Thorium	4	µg/kg	1
Thulium	<1	µg/kg	1
Ytterbium	<2	µg/kg	2
Yttrium	45	µg/kg	1
Uranium	3	µg/kg	1
Lanthane	13	µg/kg	1
Lutécium	<1	µg/kg	1
Cérium	41	µg/kg	1
Néodyme	29	µg/kg	1
Praséodyme	5	µg/kg	1

Ce certificat ne doit pas être reproduit, sinon en entier, sans le consentement écrit du CEAEQ

Version 1 (1520530)

Certificat d'analyse (suite de l'échantillon numéro : Q158903-12)

Métaux tissus animaux

Méthode: MA. 207 - Métaux TB Date d'analyse: 12 mars 2025	Résultat	Unité	LDM
Aluminium	4,4	mg/kg	0,11
Thallium	0,008	mg/kg	0,001
Arsenic	0,031	mg/kg	0,0044
Baryum	0,047	mg/kg	0,006
Cadmium	<0,0044	mg/kg	0,0044
Cobalt	0,007	mg/kg	0,001
Chrome	0,37	mg/kg	0,007
Cuivre	0,20	mg/kg	0,03
Fer	11	mg/kg	0,1
Manganèse	0,20	mg/kg	0,01
Molybdène	0,0063	mg/kg	0,00022
Nickel	0,096	mg/kg	0,006
Plomb	0,0055	mg/kg	0,00044
Sélénium	0,37	mg/kg	0,06
Strontium	0,068	mg/kg	0,0154
Vanadium	0,012	mg/kg	0,0044
Zinc	2,8	mg/kg	0,06
Uranium	0,00030	mg/kg	0,00022

Remarque(s)

Niveau: Paramètre

No Éch.: Q158903-12 **Paramètre:** Métaux Terres rares

Les résultats sont exprimés sur base sèche.

No Éch.: Q158903-12 **Paramètre:** Métaux tissus animaux

Remarque

Ce paramètre ne fait pas partie de la portée d'accréditation du Conseil canadien des normes.

Les résultats sont sur base humide.

Ce certificat ne doit pas être reproduit, sinon en entier, sans le consentement écrit du CEAEQ

Version 1 (1520530)

Certificat d'analyse (suite de l'échantillon numéro : Q158903-13)

Numéro de l'échantillon : Q158903-13

Préleveur: Client
Date de prélèvement: 7 août 2024
Description de l'échantillon: EL
Description de prélèvement: PE-01
Point de prélèvement:
Nature de l'échantillon: tissu animal

Mercure

Méthode: MA. 207 - Hg 2.1 Date d'analyse: 8 avril 2025	Résultat	Unité	LDM
Mercure	0,20	mg/kg	0,01

Métaux Terres rares

Méthode: MA. 207 - Mét.T.rares TB Date d'analyse: 11 mars 2025	Résultat	Unité	LDM
Dysprosium	<1	µg/kg	1
Erbium	<1	µg/kg	1
Europium	<1	µg/kg	1
Gadolinium	<2	µg/kg	2
Holmium	<1	µg/kg	1
Lithium	10	µg/kg	4
Niobium	37	µg/kg	1
Samarium	<1	µg/kg	1
Scandium	<1	µg/kg	1
Terbium	<1	µg/kg	1
Thorium	<1	µg/kg	1
Thulium	<1	µg/kg	1
Ytterbium	<2	µg/kg	2
Yttrium	32	µg/kg	1
Uranium	<1	µg/kg	1
Lanthane	<1	µg/kg	1
Lutécium	<1	µg/kg	1
Cérium	7	µg/kg	1
Néodyme	<1	µg/kg	1
Praséodyme	<1	µg/kg	1

Ce certificat ne doit pas être reproduit, sinon en entier, sans le consentement écrit du CEAEQ

Certificat d'analyse (suite de l'échantillon numéro : Q158903-13)

Métaux tissus animaux

Méthode: MA. 207 - Métaux TB Date d'analyse: 12 mars 2025	Résultat	Unité	LDM
Aluminium	0,23	mg/kg	0,11
Thallium	0,009	mg/kg	0,001
Arsenic	0,017	mg/kg	0,0044
Baryum	0,010	mg/kg	0,006
Cadmium	<0,0044	mg/kg	0,0044
Cobalt	0,006	mg/kg	0,001
Chrome	0,41	mg/kg	0,007
Cuivre	0,24	mg/kg	0,03
Fer	7,5	mg/kg	0,1
Manganèse	0,15	mg/kg	0,01
Molybdène	0,0074	mg/kg	0,00022
Nickel	0,30	mg/kg	0,006
Plomb	0,00060	mg/kg	0,00044
Sélénium	0,45	mg/kg	0,06
Strontium	0,043	mg/kg	0,0154
Vanadium	<0,0044	mg/kg	0,0044
Zinc	3,1	mg/kg	0,06
Uranium	<0,00022	mg/kg	0,00022

Remarque(s)

Niveau: Paramètre

No Éch.: Q158903-13 **Paramètre:** Métaux Terres rares

Les résultats sont exprimés sur base sèche.

No Éch.: Q158903-13 **Paramètre:** Métaux tissus animaux

Remarque

Ce paramètre ne fait pas partie de la portée d'accréditation du Conseil canadien des normes.

Les résultats sont sur base humide.

Ce certificat ne doit pas être reproduit, sinon en entier, sans le consentement écrit du CEAEQ

Version 1 (1520530)

Certificat d'analyse (suite de l'échantillon numéro : Q158903-14)

Numéro de l'échantillon : Q158903-14

Préleveur: Client
Date de prélèvement: 7 août 2024
Description de l'échantillon: EM
Description de prélèvement: PE-01
Point de prélèvement:
Nature de l'échantillon: tissu animal

Mercure

Méthode: MA. 207 - Hg 2.1 Date d'analyse: 8 avril 2025	Résultat	Unité	LDM
Mercure	0,36	mg/kg	0,01

Métaux Terres rares

Méthode: MA. 207 - Mét.T.rares TB Date d'analyse: 11 mars 2025	Résultat	Unité	LDM
Dysprosium	<1	µg/kg	1
Erbium	<1	µg/kg	1
Europium	<1	µg/kg	1
Gadolinium	<2	µg/kg	2
Holmium	<1	µg/kg	1
Lithium	<4	µg/kg	4
Niobium	10	µg/kg	1
Samarium	<1	µg/kg	1
Scandium	<1	µg/kg	1
Terbium	<1	µg/kg	1
Thorium	<1	µg/kg	1
Thulium	<1	µg/kg	1
Ytterbium	<2	µg/kg	2
Yttrium	30	µg/kg	1
Uranium	<1	µg/kg	1
Lanthane	<1	µg/kg	1
Lutécium	<1	µg/kg	1
Cérium	4	µg/kg	1
Néodyme	<1	µg/kg	1
Praséodyme	<1	µg/kg	1

Ce certificat ne doit pas être reproduit, sinon en entier, sans le consentement écrit du CEAEQ

Version 1 (1520530)

Certificat d'analyse (suite de l'échantillon numéro : Q158903-14)

Métaux tissus animaux

Méthode: MA. 207 - Métaux TB Date d'analyse: 12 mars 2025	Résultat	Unité	LDM
Aluminium	0,80	mg/kg	0,11
Thallium	0,010	mg/kg	0,001
Arsenic	0,020	mg/kg	0,0044
Baryum	0,007	mg/kg	0,006
Cadmium	<0,0044	mg/kg	0,0044
Cobalt	0,004	mg/kg	0,001
Chrome	0,11	mg/kg	0,007
Cuivre	0,17	mg/kg	0,03
Fer	3,1	mg/kg	0,1
Manganèse	0,10	mg/kg	0,01
Molybdène	0,0020	mg/kg	0,00022
Nickel	0,043	mg/kg	0,006
Plomb	<0,00044	mg/kg	0,00044
Sélénium	0,46	mg/kg	0,06
Strontium	0,046	mg/kg	0,0154
Vanadium	<0,0044	mg/kg	0,0044
Zinc	3,1	mg/kg	0,06
Uranium	<0,00022	mg/kg	0,00022

Remarque(s)

Niveau: Paramètre

No Éch.: Q158903-14 **Paramètre:** Métaux Terres rares

Les résultats sont exprimés sur base sèche.

No Éch.: Q158903-14 **Paramètre:** Métaux tissus animaux

Remarque

Ce paramètre ne fait pas partie de la portée d'accréditation du Conseil canadien des normes.

Les résultats sont sur base humide.

Ce certificat ne doit pas être reproduit, sinon en entier, sans le consentement écrit du CEAEQ

Version 1 (1520530)

Certificat d'analyse (suite de l'échantillon numéro : Q158903-15)

Numéro de l'échantillon : Q158903-15

Préleveur: Client
Date de prélèvement: 7 août 2024
Description de l'échantillon: EN
Description de prélèvement: PE-01
Point de prélèvement:
Nature de l'échantillon: tissu animal

Mercure

Méthode: MA. 207 - Hg 2.1 Date d'analyse: 8 avril 2025	Résultat	Unité	LDM
Mercure	0,28	mg/kg	0,01

Métaux Terres rares

Méthode: MA. 207 - Mét.T.rares TB Date d'analyse: 11 mars 2025	Résultat	Unité	LDM
Dysprosium	<1	µg/kg	1
Erbium	<1	µg/kg	1
Europium	<1	µg/kg	1
Gadolinium	<2	µg/kg	2
Holmium	<1	µg/kg	1
Lithium	13	µg/kg	4
Niobium	32	µg/kg	1
Samarium	1	µg/kg	1
Scandium	2	µg/kg	1
Terbium	<1	µg/kg	1
Thorium	1	µg/kg	1
Thulium	<1	µg/kg	1
Ytterbium	<2	µg/kg	2
Yttrium	26	µg/kg	1
Uranium	3	µg/kg	1
Lanthane	11	µg/kg	1
Lutécium	<1	µg/kg	1
Cérium	22	µg/kg	1
Néodyme	11	µg/kg	1
Praséodyme	2	µg/kg	1

Ce certificat ne doit pas être reproduit, sinon en entier, sans le consentement écrit du CEAEQ

Version 1 (1520530)

Certificat d'analyse (suite de l'échantillon numéro : Q158903-15)

Métaux tissus animaux

Méthode: MA. 207 - Métaux TB Date d'analyse: 12 mars 2025	Résultat	Unité	LDM
Aluminium	2,2	mg/kg	0,11
Thallium	0,010	mg/kg	0,001
Arsenic	0,014	mg/kg	0,0044
Baryum	0,050	mg/kg	0,006
Cadmium	<0,0044	mg/kg	0,0044
Cobalt	0,006	mg/kg	0,001
Chrome	0,40	mg/kg	0,007
Cuivre	0,19	mg/kg	0,03
Fer	6,8	mg/kg	0,1
Manganèse	0,23	mg/kg	0,01
Molybdène	0,0085	mg/kg	0,00022
Nickel	0,099	mg/kg	0,006
Plomb	0,013	mg/kg	0,00044
Sélénium	0,44	mg/kg	0,06
Strontium	0,19	mg/kg	0,0154
Vanadium	0,0077	mg/kg	0,0044
Zinc	4,0	mg/kg	0,06
Uranium	0,00060	mg/kg	0,00022

Remarque(s)

Niveau: Paramètre

No Éch.: Q158903-15 **Paramètre:** Métaux Terres rares

Les résultats sont exprimés sur base sèche.

No Éch.: Q158903-15 **Paramètre:** Métaux tissus animaux

Remarque

Ce paramètre ne fait pas partie de la portée d'accréditation du Conseil canadien des normes.

Les résultats sont sur base humide.

Ce certificat ne doit pas être reproduit, sinon en entier, sans le consentement écrit du CEAEQ

Version 1 (1520530)

Certificat d'analyse (suite de l'échantillon numéro : Q158903-16)

Numéro de l'échantillon : Q158903-16

Préleveur: Client
Date de prélèvement: 7 août 2024
Description de l'échantillon: EX
Description de prélèvement: PE-01
Point de prélèvement:
Nature de l'échantillon: tissu animal

Mercure

Méthode: MA. 207 - Hg 2.1 Date d'analyse: 8 avril 2025	Résultat	Unité	LDM
Mercure	0,35	mg/kg	0,01

Métaux Terres rares

Méthode: MA. 207 - Mét.T.rares TB Date d'analyse: 11 mars 2025	Résultat	Unité	LDM
Dysprosium	<1	µg/kg	1
Erbium	<1	µg/kg	1
Europium	<1	µg/kg	1
Gadolinium	<2	µg/kg	2
Holmium	<1	µg/kg	1
Lithium	<4	µg/kg	4
Niobium	12	µg/kg	1
Samarium	<1	µg/kg	1
Scandium	<1	µg/kg	1
Terbium	<1	µg/kg	1
Thorium	<1	µg/kg	1
Thulium	<1	µg/kg	1
Ytterbium	<2	µg/kg	2
Yttrium	50	µg/kg	1
Uranium	<1	µg/kg	1
Lanthane	<1	µg/kg	1
Lutécium	<1	µg/kg	1
Cérium	3	µg/kg	1
Néodyme	<1	µg/kg	1
Praséodyme	<1	µg/kg	1

Ce certificat ne doit pas être reproduit, sinon en entier, sans le consentement écrit du CEAEQ

Certificat d'analyse (suite de l'échantillon numéro : Q158903-16)

Métaux tissus animaux

Méthode: MA. 207 - Métaux TB Date d'analyse: 12 mars 2025	Résultat	Unité	LDM
Aluminium	0,20	mg/kg	0,11
Thallium	0,012	mg/kg	0,001
Arsenic	0,031	mg/kg	0,0044
Baryum	0,019	mg/kg	0,006
Cadmium	<0,0044	mg/kg	0,0044
Cobalt	0,004	mg/kg	0,001
Chrome	0,14	mg/kg	0,007
Cuivre	0,15	mg/kg	0,03
Fer	2,2	mg/kg	0,1
Manganèse	0,10	mg/kg	0,01
Molybdène	0,0030	mg/kg	0,00022
Nickel	0,044	mg/kg	0,006
Plomb	<0,00044	mg/kg	0,00044
Sélénium	0,34	mg/kg	0,06
Strontium	0,091	mg/kg	0,0154
Vanadium	<0,0044	mg/kg	0,0044
Zinc	3,1	mg/kg	0,06
Uranium	<0,00022	mg/kg	0,00022

Remarque(s)

Niveau: Paramètre

No Éch.: Q158903-16 **Paramètre:** Métaux Terres rares

Les résultats sont exprimés sur base sèche.

No Éch.: Q158903-16 **Paramètre:** Métaux tissus animaux

Remarque

Ce paramètre ne fait pas partie de la portée d'accréditation du Conseil canadien des normes.

Les résultats sont sur base humide.

Ce certificat ne doit pas être reproduit, sinon en entier, sans le consentement écrit du CEAEQ

Version 1 (1520530)

Certificat d'analyse (suite de l'échantillon numéro : Q158903-17)

Numéro de l'échantillon : Q158903-17

Préleveur: Client
Date de prélèvement: 7 août 2024
Description de l'échantillon: OH
Description de prélèvement: PE-01
Point de prélèvement:
Nature de l'échantillon: tissu animal

Mercure

Méthode: MA. 207 - Hg 2.1 Date d'analyse: 8 avril 2025	Résultat	Unité	LDM
Mercure	0,23	mg/kg	0,01

Métaux Terres rares

Méthode: MA. 207 - Mét.T.rares TB Date d'analyse: 11 mars 2025	Résultat	Unité	LDM
Dysprosium	<1	µg/kg	1
Erbium	<1	µg/kg	1
Europium	<1	µg/kg	1
Gadolinium	<2	µg/kg	2
Holmium	<1	µg/kg	1
Lithium	<4	µg/kg	4
Niobium	4	µg/kg	1
Samarium	<1	µg/kg	1
Scandium	<1	µg/kg	1
Terbium	<1	µg/kg	1
Thorium	<1	µg/kg	1
Thulium	<1	µg/kg	1
Ytterbium	<2	µg/kg	2
Yttrium	38	µg/kg	1
Uranium	<1	µg/kg	1
Lanthane	<1	µg/kg	1
Lutécium	<1	µg/kg	1
Cérium	4	µg/kg	1
Néodyme	<1	µg/kg	1
Praséodyme	<1	µg/kg	1

Ce certificat ne doit pas être reproduit, sinon en entier, sans le consentement écrit du CEAEQ

Version 1 (1520530)

Certificat d'analyse (suite de l'échantillon numéro : Q158903-17)

Métaux tissus animaux

Méthode: MA. 207 - Métaux TB Date d'analyse: 12 mars 2025	Résultat	Unité	LDM
Aluminium	0,23	mg/kg	0,11
Thallium	0,008	mg/kg	0,001
Arsenic	0,028	mg/kg	0,0044
Baryum	0,007	mg/kg	0,006
Cadmium	<0,0044	mg/kg	0,0044
Cobalt	0,003	mg/kg	0,001
Chrome	0,048	mg/kg	0,007
Cuivre	0,12	mg/kg	0,03
Fer	1,4	mg/kg	0,1
Manganèse	0,09	mg/kg	0,01
Molybdène	0,0011	mg/kg	0,00022
Nickel	0,017	mg/kg	0,006
Plomb	<0,00044	mg/kg	0,00044
Sélénium	0,34	mg/kg	0,06
Strontium	0,051	mg/kg	0,0154
Vanadium	<0,0044	mg/kg	0,0044
Zinc	3,0	mg/kg	0,06
Uranium	<0,00022	mg/kg	0,00022

Remarque(s)

Niveau: Paramètre

No Éch.: Q158903-17 **Paramètre:** Métaux Terres rares

Les résultats sont exprimés sur base sèche.

No Éch.: Q158903-17 **Paramètre:** Métaux tissus animaux

Remarque

Ce paramètre ne fait pas partie de la portée d'accréditation du Conseil canadien des normes.

Les résultats sont sur base humide.

Ce certificat ne doit pas être reproduit, sinon en entier, sans le consentement écrit du CEAEQ

Version 1 (1520530)

Certificat d'analyse (suite de l'échantillon numéro : Q158903-18)

Numéro de l'échantillon : Q158903-18

Préleveur: Client
Date de prélèvement: 7 août 2024
Description de l'échantillon: OI
Description de prélèvement: PE-01
Point de prélèvement:
Nature de l'échantillon: tissu animal

Mercure

Méthode: MA. 207 - Hg 2.1 Date d'analyse: 8 avril 2025	Résultat	Unité	LDM
Mercure	0,27	mg/kg	0,01

Métaux Terres rares

Méthode: MA. 207 - Mét.T.rares TB Date d'analyse: 11 mars 2025	Résultat	Unité	LDM
Dysprosium	<1	µg/kg	1
Erbium	<1	µg/kg	1
Europium	<1	µg/kg	1
Gadolinium	<2	µg/kg	2
Holmium	<1	µg/kg	1
Lithium	7	µg/kg	4
Niobium	4	µg/kg	1
Samarium	<1	µg/kg	1
Scandium	<1	µg/kg	1
Terbium	<1	µg/kg	1
Thorium	<1	µg/kg	1
Thulium	<1	µg/kg	1
Ytterbium	<2	µg/kg	2
Yttrium	38	µg/kg	1
Uranium	<1	µg/kg	1
Lanthane	2	µg/kg	1
Lutécium	<1	µg/kg	1
Cérium	4	µg/kg	1
Néodyme	<1	µg/kg	1
Praséodyme	<1	µg/kg	1

Ce certificat ne doit pas être reproduit, sinon en entier, sans le consentement écrit du CEAEQ

Version 1 (1520530)

Certificat d'analyse (suite de l'échantillon numéro : Q158903-18)

Métaux tissus animaux

Méthode: MA. 207 - Métaux TB Date d'analyse: 12 mars 2025	Résultat	Unité	LDM
Aluminium	0,16	mg/kg	0,11
Thallium	0,012	mg/kg	0,001
Arsenic	0,026	mg/kg	0,0044
Baryum	0,014	mg/kg	0,00132
Cadmium	<0,0044	mg/kg	0,0044
Cobalt	0,006	mg/kg	0,001
Chrome	0,056	mg/kg	0,007
Cuivre	0,20	mg/kg	0,03
Fer	2,7	mg/kg	0,1
Manganèse	0,10	mg/kg	0,01
Molybdène	0,003	mg/kg	0,001
Nickel	0,016	mg/kg	0,006
Plomb	<0,00044	mg/kg	0,00044
Sélénium	0,42	mg/kg	0,06
Strontium	0,082	mg/kg	0,0154
Vanadium	<0,0044	mg/kg	0,0044
Zinc	3,5	mg/kg	0,06
Uranium	<0,00022	mg/kg	0,00022

Remarque(s)

Niveau: Paramètre

No Éch.: Q158903-18 **Paramètre:** Métaux Terres rares

Les résultats sont exprimés sur base sèche.

No Éch.: Q158903-18 **Paramètre:** Métaux tissus animaux

Remarque

Ce paramètre ne fait pas partie de la portée d'accréditation du Conseil canadien des normes.

Les résultats sont sur base humide.

Ce certificat ne doit pas être reproduit, sinon en entier, sans le consentement écrit du CEAEQ

Version 1 (1520530)

Certificat d'analyse (suite de l'échantillon numéro : Q158903-19)

Numéro de l'échantillon : Q158903-19

Préleveur: Client
Date de prélèvement: 7 août 2024
Description de l'échantillon: OO
Description de prélèvement: PE-01
Point de prélèvement:
Nature de l'échantillon: tissu animal

Mercure

Méthode: MA. 207 - Hg 2.1 Date d'analyse: 8 avril 2025	Résultat	Unité	LDM
Mercure	0,53	mg/kg	0,01

Métaux Terres rares

Méthode: MA. 207 - Mét.T.rares TB Date d'analyse: 11 mars 2025	Résultat	Unité	LDM
Dysprosium	<1	µg/kg	1
Erbium	<1	µg/kg	1
Europium	<1	µg/kg	1
Gadolinium	<2	µg/kg	2
Holmium	<1	µg/kg	1
Lithium	4	µg/kg	4
Niobium	8	µg/kg	1
Samarium	<1	µg/kg	1
Scandium	<1	µg/kg	1
Terbium	<1	µg/kg	1
Thorium	<1	µg/kg	1
Thulium	<1	µg/kg	1
Ytterbium	<2	µg/kg	2
Yttrium	35	µg/kg	1
Uranium	<1	µg/kg	1
Lanthane	<1	µg/kg	1
Lutécium	<1	µg/kg	1
Cérium	2	µg/kg	1
Néodyme	<1	µg/kg	1
Praséodyme	<1	µg/kg	1

Ce certificat ne doit pas être reproduit, sinon en entier, sans le consentement écrit du CEAEQ

Version 1 (1520530)

Certificat d'analyse (suite de l'échantillon numéro : Q158903-19)

Métaux tissus animaux

Méthode: MA. 207 - Métaux TB Date d'analyse: 12 mars 2025	Résultat	Unité	LDM
Aluminium	0,13	mg/kg	0,11
Thallium	0,007	mg/kg	0,001
Arsenic	0,016	mg/kg	0,0044
Baryum	0,0059	mg/kg	0,00132
Cadmium	<0,0044	mg/kg	0,0044
Cobalt	0,004	mg/kg	0,001
Chrome	0,12	mg/kg	0,007
Cuivre	0,16	mg/kg	0,03
Fer	4,8	mg/kg	0,1
Manganèse	0,07	mg/kg	0,01
Molybdène	0,003	mg/kg	0,001
Nickel	0,045	mg/kg	0,006
Plomb	<0,00044	mg/kg	0,00044
Sélénium	0,34	mg/kg	0,06
Strontium	0,028	mg/kg	0,0154
Vanadium	<0,0044	mg/kg	0,0044
Zinc	3,0	mg/kg	0,06
Uranium	<0,00022	mg/kg	0,00022

Remarque(s)

Niveau: Paramètre

No Éch.: Q158903-19 **Paramètre:** Métaux Terres rares

Les résultats sont exprimés sur base sèche.

No Éch.: Q158903-19 **Paramètre:** Métaux tissus animaux

Remarque

Ce paramètre ne fait pas partie de la portée d'accréditation du Conseil canadien des normes.

Les résultats sont sur base humide.

Ce certificat ne doit pas être reproduit, sinon en entier, sans le consentement écrit du CEAEQ

Version 1 (1520530)

Certificat d'analyse (suite de l'échantillon numéro : Q158903-20)

Numéro de l'échantillon : Q158903-20

Préleveur: Client
Date de prélèvement: 7 août 2024
Description de l'échantillon: OP
Description de prélèvement: PE-01
Point de prélèvement:
Nature de l'échantillon: tissu animal

Mercure

Méthode: MA. 207 - Hg 2.1 Date d'analyse: 8 avril 2025	Résultat	Unité	LDM
Mercure	0,39	mg/kg	0,01

Métaux Terres rares

Méthode: MA. 207 - Mét.T.rares TB Date d'analyse: 11 mars 2025	Résultat	Unité	LDM
Dysprosium	<1	µg/kg	1
Erbium	<1	µg/kg	1
Europium	<1	µg/kg	1
Gadolinium	<2	µg/kg	2
Holmium	<1	µg/kg	1
Lithium	5	µg/kg	4
Niobium	12	µg/kg	1
Samarium	<1	µg/kg	1
Scandium	<1	µg/kg	1
Terbium	<1	µg/kg	1
Thorium	<1	µg/kg	1
Thulium	<1	µg/kg	1
Ytterbium	<2	µg/kg	2
Yttrium	47	µg/kg	1
Uranium	<1	µg/kg	1
Lanthane	<1	µg/kg	1
Lutécium	<1	µg/kg	1
Cérium	3	µg/kg	1
Néodyme	<1	µg/kg	1
Praséodyme	<1	µg/kg	1

Ce certificat ne doit pas être reproduit, sinon en entier, sans le consentement écrit du CEAEQ

Version 1 (1520530)

Certificat d'analyse (suite de l'échantillon numéro : Q158903-20)

Métaux tissus animaux

Méthode: MA. 207 - Métaux TB Date d'analyse: 12 mars 2025	Résultat	Unité	LDM
Aluminium	0,22	mg/kg	0,11
Thallium	0,008	mg/kg	0,001
Arsenic	0,017	mg/kg	0,0044
Baryum	0,010	mg/kg	0,00132
Cadmium	<0,0044	mg/kg	0,0044
Cobalt	0,004	mg/kg	0,001
Chrome	0,17	mg/kg	0,007
Cuivre	0,16	mg/kg	0,03
Fer	2,6	mg/kg	0,1
Manganèse	0,09	mg/kg	0,01
Molybdène	0,004	mg/kg	0,001
Nickel	0,063	mg/kg	0,006
Plomb	<0,00044	mg/kg	0,00044
Sélénium	0,34	mg/kg	0,06
Strontium	0,045	mg/kg	0,0154
Vanadium	<0,0044	mg/kg	0,0044
Zinc	2,8	mg/kg	0,06
Uranium	<0,00022	mg/kg	0,00022

Remarque(s)

Niveau: Paramètre

No Éch.: Q158903-20 **Paramètre:** Métaux Terres rares

Les résultats sont exprimés sur base sèche.

No Éch.: Q158903-20 **Paramètre:** Métaux tissus animaux

Remarque

Ce paramètre ne fait pas partie de la portée d'accréditation du Conseil canadien des normes.

Les résultats sont sur base humide.

Ce certificat ne doit pas être reproduit, sinon en entier, sans le consentement écrit du CEAEQ

Version 1 (1520530)

Certificat d'analyse (suite de l'échantillon numéro : Q158903-21)

Numéro de l'échantillon : Q158903-21

Préleveur: Client
Date de prélèvement: 7 août 2024
Description de l'échantillon: OQ
Description de prélèvement: PE-01
Point de prélèvement:
Nature de l'échantillon: tissu animal

Mercure

Méthode: MA. 207 - Hg 2.1 Date d'analyse: 8 avril 2025	Résultat	Unité	LDM
Mercure	0,34	mg/kg	0,01

Métaux Terres rares

Méthode: MA. 207 - Mét.T.rares TB Date d'analyse: 11 mars 2025	Résultat	Unité	LDM
Dysprosium	<1	µg/kg	1
Erbium	<1	µg/kg	1
Europium	<1	µg/kg	1
Gadolinium	<2	µg/kg	2
Holmium	<1	µg/kg	1
Lithium	5	µg/kg	4
Niobium	2	µg/kg	1
Samarium	<1	µg/kg	1
Scandium	<1	µg/kg	1
Terbium	<1	µg/kg	1
Thorium	<1	µg/kg	1
Thulium	<1	µg/kg	1
Ytterbium	<2	µg/kg	2
Yttrium	38	µg/kg	1
Uranium	<1	µg/kg	1
Lanthane	<1	µg/kg	1
Lutécium	<1	µg/kg	1
Cérium	3	µg/kg	1
Néodyme	<1	µg/kg	1
Praséodyme	<1	µg/kg	1

Ce certificat ne doit pas être reproduit, sinon en entier, sans le consentement écrit du CEAEQ

Version 1 (1520530)

Certificat d'analyse (suite de l'échantillon numéro : Q158903-21)

Métaux tissus animaux

Méthode: MA. 207 - Métaux TB Date d'analyse: 12 mars 2025	Résultat	Unité	LDM
Aluminium	0,19	mg/kg	0,11
Thallium	0,009	mg/kg	0,001
Arsenic	0,059	mg/kg	0,0044
Baryum	0,0085	mg/kg	0,00132
Cadmium	<0,0044	mg/kg	0,0044
Cobalt	0,004	mg/kg	0,001
Chrome	0,021	mg/kg	0,007
Cuivre	0,11	mg/kg	0,03
Fer	2,9	mg/kg	0,1
Manganèse	0,08	mg/kg	0,01
Molybdène	0,001	mg/kg	0,001
Nickel	0,017	mg/kg	0,006
Plomb	<0,00044	mg/kg	0,00044
Sélénium	0,35	mg/kg	0,06
Strontium	0,056	mg/kg	0,0154
Vanadium	<0,0044	mg/kg	0,0044
Zinc	3,2	mg/kg	0,06
Uranium	<0,00022	mg/kg	0,00022

Remarque(s)

Niveau: Paramètre

No Éch.: Q158903-21 **Paramètre:** Métaux Terres rares

Les résultats sont exprimés sur base sèche.

No Éch.: Q158903-21 **Paramètre:** Métaux tissus animaux

Remarque

Ce paramètre ne fait pas partie de la portée d'accréditation du Conseil canadien des normes.

Les résultats sont sur base humide.

Ce certificat ne doit pas être reproduit, sinon en entier, sans le consentement écrit du CEAEQ

Version 1 (1520530)

Certificat d'analyse (suite de l'échantillon numéro : Q158903-22)

Numéro de l'échantillon : Q158903-22

Préleveur: Client
Date de prélèvement: 7 août 2024
Description de l'échantillon: ED
Description de prélèvement: PE-01
Point de prélèvement:
Nature de l'échantillon: tissu animal

Mercure

Méthode: MA. 207 - Hg 2.1 Date d'analyse: 8 avril 2025	Résultat	Unité	LDM
Mercure	0,64	mg/kg	0,01

Métaux Terres rares

Méthode: MA. 207 - Mét.T.rares TB Date d'analyse: 11 mars 2025	Résultat	Unité	LDM
Dysprosium	<1	µg/kg	1
Erbium	<1	µg/kg	1
Europium	<1	µg/kg	1
Gadolinium	<2	µg/kg	2
Holmium	<1	µg/kg	1
Lithium	7	µg/kg	4
Niobium	21	µg/kg	1
Samarium	<1	µg/kg	1
Scandium	<1	µg/kg	1
Terbium	<1	µg/kg	1
Thorium	<1	µg/kg	1
Thulium	<1	µg/kg	1
Ytterbium	<2	µg/kg	2
Yttrium	28	µg/kg	1
Uranium	<1	µg/kg	1
Lanthane	<1	µg/kg	1
Lutécium	<1	µg/kg	1
Cérium	3	µg/kg	1
Néodyme	<1	µg/kg	1
Praséodyme	<1	µg/kg	1

Ce certificat ne doit pas être reproduit, sinon en entier, sans le consentement écrit du CEAEQ

Version 1 (1520530)

Certificat d'analyse (suite de l'échantillon numéro : Q158903-22)

Métaux tissus animaux

Méthode: MA. 207 - Métaux TB Date d'analyse: 12 mars 2025	Résultat	Unité	LDM
Aluminium	0,34	mg/kg	0,11
Thallium	0,005	mg/kg	0,001
Arsenic	0,0074	mg/kg	0,0044
Baryum	0,0045	mg/kg	0,00132
Cadmium	<0,0044	mg/kg	0,0044
Cobalt	0,009	mg/kg	0,001
Chrome	0,28	mg/kg	0,007
Cuivre	0,21	mg/kg	0,03
Fer	4,3	mg/kg	0,1
Manganèse	0,08	mg/kg	0,01
Molybdène	0,005	mg/kg	0,001
Nickel	0,095	mg/kg	0,006
Plomb	<0,00044	mg/kg	0,00044
Sélénium	0,25	mg/kg	0,06
Strontium	0,041	mg/kg	0,0154
Vanadium	<0,0044	mg/kg	0,0044
Zinc	2,5	mg/kg	0,06
Uranium	<0,00022	mg/kg	0,00022

Remarque(s)

Niveau: Paramètre

No Éch.: Q158903-22 **Paramètre:** Métaux Terres rares

Les résultats sont exprimés sur base sèche.

No Éch.: Q158903-22 **Paramètre:** Métaux tissus animaux

Remarque

Ce paramètre ne fait pas partie de la portée d'accréditation du Conseil canadien des normes.

Les résultats sont sur base humide.

Ce certificat ne doit pas être reproduit, sinon en entier, sans le consentement écrit du CEAEQ

Version 1 (1520530)

Certificat d'analyse (suite de l'échantillon numéro : Q158903-23)

Numéro de l'échantillon : Q158903-23

Préleveur: Client
Date de prélèvement: 7 août 2024
Description de l'échantillon: EE
Description de prélèvement: PE-01
Point de prélèvement:
Nature de l'échantillon: tissu animal

Mercure

Méthode: MA. 207 - Hg 2.1 Date d'analyse: 8 avril 2025	Résultat	Unité	LDM
Mercure	0,60	mg/kg	0,01

Métaux Terres rares

Méthode: MA. 207 - Mét.T.rares TB Date d'analyse: 11 mars 2025	Résultat	Unité	LDM
Dysprosium	<1	µg/kg	1
Erbium	<1	µg/kg	1
Europium	<1	µg/kg	1
Gadolinium	<2	µg/kg	2
Holmium	<1	µg/kg	1
Lithium	8	µg/kg	4
Niobium	2	µg/kg	1
Samarium	<1	µg/kg	1
Scandium	<1	µg/kg	1
Terbium	<1	µg/kg	1
Thorium	<1	µg/kg	1
Thulium	<1	µg/kg	1
Ytterbium	<2	µg/kg	2
Yttrium	21	µg/kg	1
Uranium	<1	µg/kg	1
Lanthane	1	µg/kg	1
Lutécium	<1	µg/kg	1
Cérium	4	µg/kg	1
Néodyme	<1	µg/kg	1
Praséodyme	<1	µg/kg	1

Ce certificat ne doit pas être reproduit, sinon en entier, sans le consentement écrit du CEAEQ

Version 1 (1520530)

Certificat d'analyse (suite de l'échantillon numéro : Q158903-23)

Métaux tissus animaux

Méthode: MA. 207 - Métaux TB Date d'analyse: 12 mars 2025	Résultat	Unité	LDM
Aluminium	0,36	mg/kg	0,11
Thallium	0,007	mg/kg	0,001
Arsenic	0,0065	mg/kg	0,0044
Baryum	0,011	mg/kg	0,00132
Cadmium	<0,0044	mg/kg	0,0044
Cobalt	0,008	mg/kg	0,001
Chrome	0,029	mg/kg	0,007
Cuivre	0,17	mg/kg	0,03
Fer	3,9	mg/kg	0,1
Manganèse	0,07	mg/kg	0,01
Molybdène	0,002	mg/kg	0,001
Nickel	0,014	mg/kg	0,006
Plomb	0,0013	mg/kg	0,00044
Sélénium	0,35	mg/kg	0,06
Strontium	0,091	mg/kg	0,0154
Vanadium	<0,0044	mg/kg	0,0044
Zinc	2,8	mg/kg	0,06
Uranium	<0,00022	mg/kg	0,00022

Remarque(s)

Niveau: Paramètre

No Éch.: Q158903-23 **Paramètre:** Métaux Terres rares

Les résultats sont exprimés sur base sèche.

No Éch.: Q158903-23 **Paramètre:** Métaux tissus animaux

Remarque

Ce paramètre ne fait pas partie de la portée d'accréditation du Conseil canadien des normes.

Les résultats sont sur base humide.

Ce certificat ne doit pas être reproduit, sinon en entier, sans le consentement écrit du CEAEQ

Version 1 (1520530)

Certificat d'analyse (suite de l'échantillon numéro : Q158903-24)

Numéro de l'échantillon : Q158903-24

Préleveur: Client
Date de prélèvement: 2 août 2024
Description de l'échantillon: EG
Description de prélèvement: PE-01
Point de prélèvement:
Nature de l'échantillon: tissu animal

Mercure

Méthode: MA. 207 - Hg 2.1 Date d'analyse: 8 avril 2025	Résultat	Unité	LDM
Mercure	0,40	mg/kg	0,01

Métaux Terres rares

Méthode: MA. 207 - Mét.T.rares TB Date d'analyse: 11 mars 2025	Résultat	Unité	LDM
Dysprosium	<1	µg/kg	1
Erbium	<1	µg/kg	1
Europium	<1	µg/kg	1
Gadolinium	<2	µg/kg	2
Holmium	<1	µg/kg	1
Lithium	30	µg/kg	4
Niobium	4	µg/kg	1
Samarium	<1	µg/kg	1
Scandium	<1	µg/kg	1
Terbium	<1	µg/kg	1
Thorium	<1	µg/kg	1
Thulium	<1	µg/kg	1
Ytterbium	<2	µg/kg	2
Yttrium	33	µg/kg	1
Uranium	<1	µg/kg	1
Lanthane	1	µg/kg	1
Lutécium	<1	µg/kg	1
Cérium	6	µg/kg	1
Néodyme	1	µg/kg	1
Praséodyme	<1	µg/kg	1

Ce certificat ne doit pas être reproduit, sinon en entier, sans le consentement écrit du CEAEQ

Version 1 (1520530)

Certificat d'analyse (suite de l'échantillon numéro : Q158903-24)

Métaux tissus animaux

Méthode: MA. 207 - Métaux TB Date d'analyse: 12 mars 2025	Résultat	Unité	LDM
Aluminium	0,54	mg/kg	0,11
Thallium	0,006	mg/kg	0,001
Arsenic	0,0086	mg/kg	0,0044
Baryum	0,0074	mg/kg	0,00132
Cadmium	0,020	mg/kg	0,0044
Cobalt	0,013	mg/kg	0,001
Chrome	0,087	mg/kg	0,007
Cuivre	0,21	mg/kg	0,03
Fer	7,1	mg/kg	0,1
Manganèse	0,06	mg/kg	0,01
Molybdène	0,002	mg/kg	0,001
Nickel	0,023	mg/kg	0,006
Plomb	0,00050	mg/kg	0,00044
Sélénium	0,33	mg/kg	0,06
Strontium	0,046	mg/kg	0,0154
Vanadium	<0,0044	mg/kg	0,0044
Zinc	5,3	mg/kg	0,06
Uranium	<0,00022	mg/kg	0,00022

Remarque(s)

Niveau: Paramètre

No Éch.: Q158903-24 **Paramètre:** Métaux Terres rares

Les résultats sont exprimés sur base sèche.

No Éch.: Q158903-24 **Paramètre:** Métaux tissus animaux

Remarque

Ce paramètre ne fait pas partie de la portée d'accréditation du Conseil canadien des normes.

Les résultats sont sur base humide.

Ce certificat ne doit pas être reproduit, sinon en entier, sans le consentement écrit du CEAEQ

Version 1 (1520530)

Certificat d'analyse (suite de l'échantillon numéro : Q158903-25)

Numéro de l'échantillon : Q158903-25

Préleveur: Client
Date de prélèvement: 2 août 2024
Description de l'échantillon: AO
Description de prélèvement: PE-605
Point de prélèvement:
Nature de l'échantillon: tissu animal

Mercure

Méthode: MA. 207 - Hg 2.1 Date d'analyse: 8 avril 2025	Résultat	Unité	LDM
Mercure	0,45	mg/kg	0,01

Métaux Terres rares

Méthode: MA. 207 - Mét.T.rares TB Date d'analyse: 11 mars 2025	Résultat	Unité	LDM
Dysprosium	<1	µg/kg	1
Erbium	<1	µg/kg	1
Europium	<1	µg/kg	1
Gadolinium	<2	µg/kg	2
Holmium	<1	µg/kg	1
Lithium	<4	µg/kg	4
Niobium	54	µg/kg	1
Samarium	<1	µg/kg	1
Scandium	<1	µg/kg	1
Terbium	<1	µg/kg	1
Thorium	<1	µg/kg	1
Thulium	<1	µg/kg	1
Ytterbium	<2	µg/kg	2
Yttrium	32	µg/kg	1
Uranium	<1	µg/kg	1
Lanthane	2	µg/kg	1
Lutécium	<1	µg/kg	1
Cérium	6	µg/kg	1
Néodyme	2	µg/kg	1
Praséodyme	<1	µg/kg	1

Ce certificat ne doit pas être reproduit, sinon en entier, sans le consentement écrit du CEAEQ

Version 1 (1520530)

Certificat d'analyse (suite de l'échantillon numéro : Q158903-25)

Métaux tissus animaux

Méthode: MA. 207 - Métaux TB Date d'analyse: 12 mars 2025	Résultat	Unité	LDM
Aluminium	0,62	mg/kg	0,11
Thallium	0,007	mg/kg	0,001
Arsenic	0,023	mg/kg	0,0044
Baryum	0,0064	mg/kg	0,00132
Cadmium	<0,0044	mg/kg	0,0044
Cobalt	0,010	mg/kg	0,001
Chrome	0,94	mg/kg	0,007
Cuivre	0,32	mg/kg	0,03
Fer	7,6	mg/kg	0,1
Manganèse	0,17	mg/kg	0,01
Molybdène	0,016	mg/kg	0,001
Nickel	0,30	mg/kg	0,006
Plomb	0,0066	mg/kg	0,00044
Sélénium	0,38	mg/kg	0,06
Strontium	0,045	mg/kg	0,0154
Vanadium	0,0075	mg/kg	0,0044
Zinc	3,0	mg/kg	0,06
Uranium	<0,00022	mg/kg	0,00022

Remarque(s)

Niveau: Paramètre

No Éch.: Q158903-25 **Paramètre:** Métaux Terres rares

Les résultats sont exprimés sur base sèche.

No Éch.: Q158903-25 **Paramètre:** Métaux tissus animaux

Remarque

Ce paramètre ne fait pas partie de la portée d'accréditation du Conseil canadien des normes.

Les résultats sont sur base humide.

Ce certificat ne doit pas être reproduit, sinon en entier, sans le consentement écrit du CEAEQ

Version 1 (1520530)

Certificat d'analyse (suite de l'échantillon numéro : Q158903-26)

Numéro de l'échantillon : Q158903-26

Préleveur: Client
Date de prélèvement: 1 août 2024
Description de l'échantillon: L
Description de prélèvement: PE-605
Point de prélèvement:
Nature de l'échantillon: tissu animal

Mercure

Méthode: MA. 207 - Hg 2.1 Date d'analyse: 9 avril 2025	Résultat	Unité	LDM
Mercure	0,25	mg/kg	0,01

Métaux Terres rares

Méthode: MA. 207 - Mét.T.rares TB Date d'analyse: 11 mars 2025	Résultat	Unité	LDM
Dysprosium	<1	µg/kg	1
Erbium	<1	µg/kg	1
Europium	<1	µg/kg	1
Gadolinium	<2	µg/kg	2
Holmium	<1	µg/kg	1
Lithium	<4	µg/kg	4
Niobium	56	µg/kg	1
Samarium	<1	µg/kg	1
Scandium	<1	µg/kg	1
Terbium	<1	µg/kg	1
Thorium	<1	µg/kg	1
Thulium	<1	µg/kg	1
Ytterbium	<2	µg/kg	2
Yttrium	32	µg/kg	1
Uranium	<1	µg/kg	1
Lanthane	<1	µg/kg	1
Lutécium	<1	µg/kg	1
Cérium	3	µg/kg	1
Néodyme	<1	µg/kg	1
Praséodyme	<1	µg/kg	1

Ce certificat ne doit pas être reproduit, sinon en entier, sans le consentement écrit du CEAEQ

Version 1 (1520530)

Certificat d'analyse (suite de l'échantillon numéro : Q158903-26)

Métaux tissus animaux

Méthode: MA. 207 - Métaux TB Date d'analyse: 12 mars 2025	Résultat	Unité	LDM
Aluminium	0,19	mg/kg	0,11
Thallium	0,009	mg/kg	0,001
Arsenic	0,024	mg/kg	0,0044
Baryum	0,010	mg/kg	0,00132
Cadmium	<0,0044	mg/kg	0,0044
Cobalt	0,008	mg/kg	0,001
Chrome	0,80	mg/kg	0,007
Cuivre	0,37	mg/kg	0,03
Fer	6,2	mg/kg	0,1
Manganèse	0,15	mg/kg	0,01
Molybdène	0,015	mg/kg	0,001
Nickel	0,26	mg/kg	0,006
Plomb	0,00070	mg/kg	0,00044
Sélénium	0,40	mg/kg	0,06
Strontium	0,054	mg/kg	0,0154
Vanadium	0,0046	mg/kg	0,0044
Zinc	3,2	mg/kg	0,06
Uranium	<0,00022	mg/kg	0,00022

Remarque(s)

Niveau: Paramètre

No Éch.: Q158903-26 **Paramètre:** Métaux Terres rares

Les résultats sont exprimés sur base sèche.

No Éch.: Q158903-26 **Paramètre:** Métaux tissus animaux

Remarque

Ce paramètre ne fait pas partie de la portée d'accréditation du Conseil canadien des normes.

Les résultats sont sur base humide.

Ce certificat ne doit pas être reproduit, sinon en entier, sans le consentement écrit du CEAEQ

Version 1 (1520530)

Certificat d'analyse (suite de l'échantillon numéro : Q158903-27)

Numéro de l'échantillon : Q158903-27

Préleveur: Client
Date de prélèvement: 3 août 2024
Description de l'échantillon: BD
Description de prélèvement: PE-605
Point de prélèvement:
Nature de l'échantillon: tissu animal

Mercure

Méthode: MA. 207 - Hg 2.1 Date d'analyse: 8 avril 2025	Résultat	Unité	LDM
Mercure	0,42	mg/kg	0,01

Métaux Terres rares

Méthode: MA. 207 - Mét.T.rares TB Date d'analyse: 3 avril 2025	Résultat	Unité	LDM
Dysprosium	<1	µg/kg	1
Erbium	<1	µg/kg	1
Europium	<1	µg/kg	1
Gadolinium	<2	µg/kg	2
Holmium	<1	µg/kg	1
Lithium	7	µg/kg	4
Niobium	72	µg/kg	1
Samarium	<1	µg/kg	1
Scandium	<1	µg/kg	1
Terbium	<1	µg/kg	1
Thorium	<1	µg/kg	1
Thulium	<1	µg/kg	1
Ytterbium	<2	µg/kg	2
Yttrium	28	µg/kg	1
Uranium	<1	µg/kg	1
Lanthane	<1	µg/kg	1
Lutécium	<1	µg/kg	1
Cérium	3	µg/kg	1
Néodyme	<1	µg/kg	1
Praséodyme	<1	µg/kg	1

Ce certificat ne doit pas être reproduit, sinon en entier, sans le consentement écrit du CEAEQ

Version 1 (1520530)

Certificat d'analyse (suite de l'échantillon numéro : Q158903-27)

Métaux tissus animaux

Méthode: MA. 207 - Métaux TB Date d'analyse: 2 avril 2025	Résultat	Unité	LDM
Aluminium	0,18	mg/kg	0,11
Thallium	0,007	mg/kg	0,001
Arsenic	0,018	mg/kg	0,0044
Baryum	0,0099	mg/kg	0,00132
Cadmium	<0,0044	mg/kg	0,0044
Cobalt	0,009	mg/kg	0,001
Chrome	1,1	mg/kg	0,007
Cuivre	0,33	mg/kg	0,03
Fer	7,1	mg/kg	0,1
Manganèse	0,14	mg/kg	0,01
Molybdène	0,019	mg/kg	0,001
Nickel	0,36	mg/kg	0,006
Plomb	0,00095	mg/kg	0,00044
Sélénium	0,36	mg/kg	0,06
Strontium	0,099	mg/kg	0,0154
Vanadium	0,0073	mg/kg	0,0044
Zinc	2,7	mg/kg	0,06
Uranium	<0,00022	mg/kg	0,00022

Remarque(s)

Niveau: Paramètre

No Éch.: Q158903-27 **Paramètre:** Métaux Terres rares

Les résultats sont exprimés sur base sèche.

No Éch.: Q158903-27 **Paramètre:** Métaux tissus animaux

Remarque

Ce paramètre ne fait pas partie de la portée d'accréditation du Conseil canadien des normes.

Les résultats sont sur base humide.

Ce certificat ne doit pas être reproduit, sinon en entier, sans le consentement écrit du CEAEQ

Version 1 (1520530)

Certificat d'analyse (suite de l'échantillon numéro : Q158903-28)

Numéro de l'échantillon : Q158903-28

Préleveur: Client
Date de prélèvement: 3 août 2024
Description de l'échantillon: BC
Description de prélèvement: PE-605
Point de prélèvement:
Nature de l'échantillon: tissu animal

Mercure

Méthode: MA. 207 - Hg 2.1 Date d'analyse: 8 avril 2025	Résultat	Unité	LDM
Mercure	0,28	mg/kg	0,01

Métaux Terres rares

Méthode: MA. 207 - Mét.T.rares TB Date d'analyse: 11 mars 2025	Résultat	Unité	LDM
Dysprosium	<1	µg/kg	1
Erbium	<1	µg/kg	1
Europium	<1	µg/kg	1
Gadolinium	<2	µg/kg	2
Holmium	<1	µg/kg	1
Lithium	<4	µg/kg	4
Niobium	<1	µg/kg	1
Samarium	<1	µg/kg	1
Scandium	<1	µg/kg	1
Terbium	<1	µg/kg	1
Thorium	<1	µg/kg	1
Thulium	<1	µg/kg	1
Ytterbium	<2	µg/kg	2
Yttrium	14	µg/kg	1
Uranium	<1	µg/kg	1
Lanthane	<1	µg/kg	1
Lutécium	<1	µg/kg	1
Cérium	2	µg/kg	1
Néodyme	<1	µg/kg	1
Praséodyme	<1	µg/kg	1

Ce certificat ne doit pas être reproduit, sinon en entier, sans le consentement écrit du CEAEQ

Version 1 (1520530)

Certificat d'analyse (suite de l'échantillon numéro : Q158903-28)

Métaux tissus animaux

Méthode: MA. 207 - Métaux TB Date d'analyse: 12 mars 2025	Résultat	Unité	LDM
Aluminium	0,19	mg/kg	0,11
Thallium	0,008	mg/kg	0,001
Arsenic	0,020	mg/kg	0,0044
Baryum	0,019	mg/kg	0,00132
Cadmium	<0,0044	mg/kg	0,0044
Cobalt	0,002	mg/kg	0,001
Chrome	0,008	mg/kg	0,007
Cuivre	0,10	mg/kg	0,03
Fer	1,3	mg/kg	0,1
Manganèse	0,13	mg/kg	0,01
Molybdène	0,001	mg/kg	0,001
Nickel	0,007	mg/kg	0,006
Plomb	0,00050	mg/kg	0,00044
Sélénium	0,35	mg/kg	0,06
Strontium	0,13	mg/kg	0,0154
Vanadium	<0,0044	mg/kg	0,0044
Zinc	2,6	mg/kg	0,06
Uranium	<0,00022	mg/kg	0,00022

Remarque(s)

Niveau: Paramètre

No Éch.: Q158903-28 **Paramètre:** Métaux Terres rares

Les résultats sont exprimés sur base sèche.

No Éch.: Q158903-28 **Paramètre:** Métaux tissus animaux

Remarque

Ce paramètre ne fait pas partie de la portée d'accréditation du Conseil canadien des normes.

Les résultats sont sur base humide.

Ce certificat ne doit pas être reproduit, sinon en entier, sans le consentement écrit du CEAEQ

Version 1 (1520530)

Certificat d'analyse (suite de l'échantillon numéro : Q158903-29)

Numéro de l'échantillon : Q158903-29

Préleveur: Client
Date de prélèvement: 2 août 2024
Description de l'échantillon: AR
Description de prélèvement: PE-605
Point de prélèvement:
Nature de l'échantillon: tissu animal

Mercure

Méthode: MA. 207 - Hg 2.1 Date d'analyse: 8 avril 2025	Résultat	Unité	LDM
Mercure	0,18	mg/kg	0,01

Métaux Terres rares

Méthode: MA. 207 - Mét.T.rares TB Date d'analyse: 11 mars 2025	Résultat	Unité	LDM
Dysprosium	<1	µg/kg	1
Erbium	<1	µg/kg	1
Europium	<1	µg/kg	1
Gadolinium	<2	µg/kg	2
Holmium	<1	µg/kg	1
Lithium	5	µg/kg	4
Niobium	3	µg/kg	1
Samarium	<1	µg/kg	1
Scandium	<1	µg/kg	1
Terbium	<1	µg/kg	1
Thorium	<1	µg/kg	1
Thulium	<1	µg/kg	1
Ytterbium	<2	µg/kg	2
Yttrium	26	µg/kg	1
Uranium	<1	µg/kg	1
Lanthane	<1	µg/kg	1
Lutécium	<1	µg/kg	1
Cérium	3	µg/kg	1
Néodyme	<1	µg/kg	1
Praséodyme	<1	µg/kg	1

Ce certificat ne doit pas être reproduit, sinon en entier, sans le consentement écrit du CEAEQ

Version 1 (1520530)

Certificat d'analyse (suite de l'échantillon numéro : Q158903-29)

Métaux tissus animaux

Méthode: MA. 207 - Métaux TB Date d'analyse: 12 mars 2025	Résultat	Unité	LDM
Aluminium	0,21	mg/kg	0,11
Thallium	0,009	mg/kg	0,001
Arsenic	0,019	mg/kg	0,0044
Baryum	0,017	mg/kg	0,00132
Cadmium	<0,0044	mg/kg	0,0044
Cobalt	0,007	mg/kg	0,001
Chrome	0,049	mg/kg	0,007
Cuivre	0,14	mg/kg	0,03
Fer	1,9	mg/kg	0,1
Manganèse	0,13	mg/kg	0,01
Molybdène	0,003	mg/kg	0,001
Nickel	0,025	mg/kg	0,006
Plomb	0,0010	mg/kg	0,00044
Sélénium	0,33	mg/kg	0,06
Strontium	0,068	mg/kg	0,0154
Vanadium	<0,0044	mg/kg	0,0044
Zinc	2,9	mg/kg	0,06
Uranium	<0,00022	mg/kg	0,00022

Remarque(s)

Niveau: Paramètre

No Éch.: Q158903-29 **Paramètre:** Métaux Terres rares

Les résultats sont exprimés sur base sèche.

No Éch.: Q158903-29 **Paramètre:** Métaux tissus animaux

Remarque

Ce paramètre ne fait pas partie de la portée d'accréditation du Conseil canadien des normes.

Les résultats sont sur base humide.

Ce certificat ne doit pas être reproduit, sinon en entier, sans le consentement écrit du CEAEQ

Version 1 (1520530)

Certificat d'analyse (suite de l'échantillon numéro : Q158903-30)

Numéro de l'échantillon : Q158903-30

Préleveur: Client
Date de prélèvement: 6 août 2024
Description de l'échantillon: DV
Description de prélèvement: PE-01
Point de prélèvement:
Nature de l'échantillon: tissu animal

Mercure

Méthode: MA. 207 - Hg 2.1 Date d'analyse: 8 avril 2025	Résultat	Unité	LDM
Mercure	0,48	mg/kg	0,01

Métaux Terres rares

Méthode: MA. 207 - Mét.T.rares TB Date d'analyse: 11 mars 2025	Résultat	Unité	LDM
Dysprosium	<1	µg/kg	1
Erbium	<1	µg/kg	1
Europium	<1	µg/kg	1
Gadolinium	<2	µg/kg	2
Holmium	<1	µg/kg	1
Lithium	6	µg/kg	4
Niobium	12	µg/kg	1
Samarium	<1	µg/kg	1
Scandium	<1	µg/kg	1
Terbium	<1	µg/kg	1
Thorium	<1	µg/kg	1
Thulium	<1	µg/kg	1
Ytterbium	<2	µg/kg	2
Yttrium	23	µg/kg	1
Uranium	<1	µg/kg	1
Lanthane	1	µg/kg	1
Lutécium	<1	µg/kg	1
Cérium	4	µg/kg	1
Néodyme	<1	µg/kg	1
Praséodyme	<1	µg/kg	1

Ce certificat ne doit pas être reproduit, sinon en entier, sans le consentement écrit du CEAEQ

Version 1 (1520530)

Certificat d'analyse (suite de l'échantillon numéro : Q158903-30)

Métaux tissus animaux

Méthode: MA. 207 - Métaux TB Date d'analyse: 12 mars 2025	Résultat	Unité	LDM
Aluminium	0,40	mg/kg	0,11
Thallium	0,007	mg/kg	0,001
Arsenic	0,0082	mg/kg	0,0044
Baryum	0,0051	mg/kg	0,00132
Cadmium	0,0061	mg/kg	0,0044
Cobalt	0,014	mg/kg	0,001
Chrome	0,15	mg/kg	0,007
Cuivre	0,18	mg/kg	0,03
Fer	3,7	mg/kg	0,1
Manganèse	0,07	mg/kg	0,01
Molybdène	0,003	mg/kg	0,001
Nickel	0,050	mg/kg	0,006
Plomb	0,0010	mg/kg	0,00044
Sélénium	0,45	mg/kg	0,06
Strontium	0,064	mg/kg	0,0154
Vanadium	<0,0044	mg/kg	0,0044
Zinc	2,5	mg/kg	0,06
Uranium	<0,00022	mg/kg	0,00022

Remarque(s)

Niveau: Paramètre

No Éch.: Q158903-30 **Paramètre:** Métaux Terres rares

Les résultats sont exprimés sur base sèche.

No Éch.: Q158903-30 **Paramètre:** Métaux tissus animaux

Remarque

Ce paramètre ne fait pas partie de la portée d'accréditation du Conseil canadien des normes.

Les résultats sont sur base humide.

Ce certificat ne doit pas être reproduit, sinon en entier, sans le consentement écrit du CEAEQ

Version 1 (1520530)

Certificat d'analyse (suite de l'échantillon numéro : Q158903-31)

Numéro de l'échantillon : Q158903-31

Préleveur: Client
Date de prélèvement: 6 août 2024
Description de l'échantillon: DR
Description de prélèvement: PE-01
Point de prélèvement:
Nature de l'échantillon: tissu animal

Mercure

Méthode: MA. 207 - Hg 2.1 Date d'analyse: 8 avril 2025	Résultat	Unité	LDM
Mercure	0,21	mg/kg	0,01

Métaux Terres rares

Méthode: MA. 207 - Mét.T.rares TB Date d'analyse: 11 mars 2025	Résultat	Unité	LDM
Dysprosium	<1	µg/kg	1
Erbium	<1	µg/kg	1
Europium	<1	µg/kg	1
Gadolinium	<2	µg/kg	2
Holmium	<1	µg/kg	1
Lithium	9	µg/kg	4
Niobium	4	µg/kg	1
Samarium	<1	µg/kg	1
Scandium	<1	µg/kg	1
Terbium	<1	µg/kg	1
Thorium	<1	µg/kg	1
Thulium	<1	µg/kg	1
Ytterbium	<2	µg/kg	2
Yttrium	34	µg/kg	1
Uranium	<1	µg/kg	1
Lanthane	<1	µg/kg	1
Lutécium	<1	µg/kg	1
Cérium	5	µg/kg	1
Néodyme	<1	µg/kg	1
Praséodyme	<1	µg/kg	1

Ce certificat ne doit pas être reproduit, sinon en entier, sans le consentement écrit du CEAEQ

Version 1 (1520530)

Certificat d'analyse (suite de l'échantillon numéro : Q158903-31)

Métaux tissus animaux

Méthode: MA. 207 - Métaux TB Date d'analyse: 12 mars 2025	Résultat	Unité	LDM
Aluminium	0,39	mg/kg	0,11
Thallium	0,009	mg/kg	0,001
Arsenic	0,0064	mg/kg	0,0044
Baryum	0,0036	mg/kg	0,00132
Cadmium	<0,0044	mg/kg	0,0044
Cobalt	0,007	mg/kg	0,001
Chrome	0,053	mg/kg	0,007
Cuivre	0,26	mg/kg	0,03
Fer	2,4	mg/kg	0,1
Manganèse	0,09	mg/kg	0,01
Molybdène	0,002	mg/kg	0,001
Nickel	0,023	mg/kg	0,006
Plomb	0,00050	mg/kg	0,00044
Sélénium	0,30	mg/kg	0,06
Strontium	0,035	mg/kg	0,0154
Vanadium	<0,0044	mg/kg	0,0044
Zinc	2,6	mg/kg	0,06
Uranium	<0,00022	mg/kg	0,00022

Remarque(s)

Niveau: Paramètre

No Éch.: Q158903-31 **Paramètre:** Métaux Terres rares

Les résultats sont exprimés sur base sèche.

No Éch.: Q158903-31 **Paramètre:** Métaux tissus animaux

Remarque

Ce paramètre ne fait pas partie de la portée d'accréditation du Conseil canadien des normes.

Les résultats sont sur base humide.

Ce certificat ne doit pas être reproduit, sinon en entier, sans le consentement écrit du CEAEQ

Version 1 (1520530)

Certificat d'analyse (suite de l'échantillon numéro : Q158903-32)

Numéro de l'échantillon : Q158903-32

Préleveur: Client
Date de prélèvement: 6 août 2024
Description de l'échantillon: DS
Description de prélèvement: PE-605
Point de prélèvement:
Nature de l'échantillon: tissu animal

Mercure

Méthode: MA. 207 - Hg 2.1 Date d'analyse: 8 avril 2025	Résultat	Unité	LDM
Mercure	0,40	mg/kg	0,01

Métaux Terres rares

Méthode: MA. 207 - Mét.T.rares TB Date d'analyse: 11 mars 2025	Résultat	Unité	LDM
Dysprosium	<1	µg/kg	1
Erbium	<1	µg/kg	1
Europium	<1	µg/kg	1
Gadolinium	<2	µg/kg	2
Holmium	<1	µg/kg	1
Lithium	5	µg/kg	4
Niobium	53	µg/kg	1
Samarium	<1	µg/kg	1
Scandium	<1	µg/kg	1
Terbium	<1	µg/kg	1
Thorium	<1	µg/kg	1
Thulium	<1	µg/kg	1
Ytterbium	<2	µg/kg	2
Yttrium	32	µg/kg	1
Uranium	<1	µg/kg	1
Lanthane	<1	µg/kg	1
Lutécium	<1	µg/kg	1
Cérium	3	µg/kg	1
Néodyme	<1	µg/kg	1
Praséodyme	<1	µg/kg	1

Ce certificat ne doit pas être reproduit, sinon en entier, sans le consentement écrit du CEAEQ

Version 1 (1520530)

Certificat d'analyse (suite de l'échantillon numéro : Q158903-32)

Métaux tissus animaux

Méthode: MA. 207 - Métaux TB Date d'analyse: 12 mars 2025	Résultat	Unité	LDM
Aluminium	0,25	mg/kg	0,11
Thallium	0,006	mg/kg	0,001
Arsenic	0,0058	mg/kg	0,0044
Baryum	0,0081	mg/kg	0,00132
Cadmium	<0,0044	mg/kg	0,0044
Cobalt	0,009	mg/kg	0,001
Chrome	0,64	mg/kg	0,007
Cuivre	0,31	mg/kg	0,03
Fer	5,9	mg/kg	0,1
Manganèse	0,11	mg/kg	0,01
Molybdène	0,011	mg/kg	0,001
Nickel	0,21	mg/kg	0,006
Plomb	0,00080	mg/kg	0,00044
Sélénium	0,27	mg/kg	0,06
Strontium	0,069	mg/kg	0,0154
Vanadium	<0,0044	mg/kg	0,0044
Zinc	2,7	mg/kg	0,06
Uranium	<0,00022	mg/kg	0,00022

Remarque(s)

Niveau: Paramètre

No Éch.: Q158903-32 **Paramètre:** Métaux Terres rares

Les résultats sont exprimés sur base sèche.

No Éch.: Q158903-32 **Paramètre:** Métaux tissus animaux

Remarque

Ce paramètre ne fait pas partie de la portée d'accréditation du Conseil canadien des normes.

Les résultats sont sur base humide.

Ce certificat ne doit pas être reproduit, sinon en entier, sans le consentement écrit du CEAEQ

Version 1 (1520530)

Certificat d'analyse (suite de l'échantillon numéro : Q158903-33)

Numéro de l'échantillon : Q158903-33

Préleveur: Client
Date de prélèvement: 6 août 2024
Description de l'échantillon: DT
Description de prélèvement: PE-605
Point de prélèvement:
Nature de l'échantillon: tissu animal

Mercure

Méthode: MA. 207 - Hg 2.1 Date d'analyse: 8 avril 2025	Résultat	Unité	LDM
Mercure	0,52	mg/kg	0,01

Métaux Terres rares

Méthode: MA. 207 - Mét.T.rares TB Date d'analyse: 11 mars 2025	Résultat	Unité	LDM
Dysprosium	<1	µg/kg	1
Erbium	<1	µg/kg	1
Europium	<1	µg/kg	1
Gadolinium	<2	µg/kg	2
Holmium	<1	µg/kg	1
Lithium	7	µg/kg	4
Niobium	6	µg/kg	1
Samarium	<1	µg/kg	1
Scandium	<1	µg/kg	1
Terbium	<1	µg/kg	1
Thorium	<1	µg/kg	1
Thulium	<1	µg/kg	1
Ytterbium	<2	µg/kg	2
Yttrium	31	µg/kg	1
Uranium	<1	µg/kg	1
Lanthane	1	µg/kg	1
Lutécium	<1	µg/kg	1
Cérium	3	µg/kg	1
Néodyme	1	µg/kg	1
Praséodyme	<1	µg/kg	1

Ce certificat ne doit pas être reproduit, sinon en entier, sans le consentement écrit du CEAEQ

Version 1 (1520530)

Certificat d'analyse (suite de l'échantillon numéro : Q158903-33)

Métaux tissus animaux

Méthode: MA. 207 - Métaux TB Date d'analyse: 12 mars 2025	Résultat	Unité	LDM
Aluminium	0,37	mg/kg	0,11
Thallium	0,006	mg/kg	0,001
Arsenic	0,0072	mg/kg	0,0044
Baryum	0,026	mg/kg	0,00132
Cadmium	0,0067	mg/kg	0,0044
Cobalt	0,025	mg/kg	0,001
Chrome	0,067	mg/kg	0,007
Cuivre	0,20	mg/kg	0,03
Fer	5,5	mg/kg	0,1
Manganèse	0,06	mg/kg	0,01
Molybdène	0,003	mg/kg	0,001
Nickel	0,15	mg/kg	0,006
Plomb	0,0059	mg/kg	0,00044
Sélénium	0,35	mg/kg	0,06
Strontium	0,061	mg/kg	0,0154
Vanadium	<0,0044	mg/kg	0,0044
Zinc	3,1	mg/kg	0,06
Uranium	<0,00022	mg/kg	0,00022

Remarque(s)

Niveau: Paramètre

No Éch.: Q158903-33 **Paramètre:** Métaux Terres rares

Les résultats sont exprimés sur base sèche.

No Éch.: Q158903-33 **Paramètre:** Métaux tissus animaux

Remarque

Ce paramètre ne fait pas partie de la portée d'accréditation du Conseil canadien des normes.

Les résultats sont sur base humide.

Remarque(s)

Niveau: Dossier

No Dossier: Q158903

Les résultats sont exprimés sur base sèche.

Ce certificat ne doit pas être reproduit, sinon en entier, sans le consentement écrit du CEAEQ

Version 1 (1520530)

Les résultats ne se rapportent qu'à l'échantillon tel que reçu et soumis à l'analyse.

J'atteste avoir formellement constaté ces faits

***Certificat approuvé le* 11 avril 2025**

Jean-Luc Pilote, M.Sc. Chimiste
Division chimie inorganique, Québec

Légende:

ABS: Absence	*ND: Non détecté*	*RNF: Résultat non disponible*	*VR: Voir remarque*
DNQ: Résultat entre la LDM et la LQM	*ST: Sous-traitance*	*NDR: Détecté - Mais ne satisfait pas le rapport isotopique*	
INT: Interférences - Analyse impossible	*PR: Présence*	*TNI: Colonies trop nombreuses pour être identifiées*	

Ce certificat ne doit pas être reproduit, sinon en entier, sans le consentement écrit du CEAEQ

Version 1 (1520530)

Environnement et Lutte contre les changements climatiques
Québec

Certificat d'analyse

Direction de l'analyse chimique
2700, rue Einstein
Québec (Québec) G1P 3W8
Tél.: 418 643-1301
Téléc.: 418 528-1091

Client: Groupe Synergis
5582, boul. des Hêtres
Shawinigan (Québec) G9N 4W1

Nom de projet: Corvette
Responsable: Pierre-Olivier Côté
Téléphone: 819-536-0513
Code projet client:

Date de réception: 6 août 2025
Numéro de dossier: Q161700
Bon de commande: 22-0095-07
Code projet CEAEQ: 11448

Numéro de l'échantillon : Q161700-01

Préleveur:
Date de prélèvement: 12 juillet 2025
Description de l'échantillon: AV
Description de prélèvement: L752
Point de prélèvement:
Nature de l'échantillon: tissu animal

Mercure

Méthode: MA. 207 - Hg 2.1 Date d'analyse: 9 septembre 2025	Résultat	Unité	LDM
Mercure	0,77	mg/kg	0,01

Métaux Terres rares

Méthode: MA. 207 - Mét.T.rares TB Date d'analyse: 4 septembre 2025	Résultat	Unité	LDM
Dysprosium	<1	µg/kg	1
Erbium	<1	µg/kg	1
Europium	<1	µg/kg	1
Gadolinium	<2	µg/kg	2
Holmium	<1	µg/kg	1
Lithium	6	µg/kg	4
Niobium	20	µg/kg	1
Samarium	<1	µg/kg	1
Scandium	<1	µg/kg	1
Terbium	<1	µg/kg	1
Thorium	<1	µg/kg	1
Thulium	<1	µg/kg	1
Ytterbium	<2	µg/kg	2
Yttrium	38	µg/kg	1
Uranium	<1	µg/kg	1
Lanthane	<1	µg/kg	1
Lutécium	<1	µg/kg	1
Cérium	2	µg/kg	1
Néodyme	<1	µg/kg	1
Praséodyme	<1	µg/kg	1

Ce certificat ne doit pas être reproduit, sinon en entier, sans le consentement écrit du CEAEQ

Version 1 (1553027)

Certificat d'analyse (suite de l'échantillon numéro : Q161700-01)

Métaux tissus animaux

Méthode: MA. 207 - Métaux TB	Résultat	Unité	LDM
Date d'analyse: 4 septembre 2025			
Aluminium	0,16	mg/kg	0,11
Thallium	0,008	mg/kg	0,001
Arsenic	0,019	mg/kg	0,0044
Baryum	0,0090	mg/kg	0,00132
Cadmium	<0,0044	mg/kg	0,0044
Cobalt	0,004	mg/kg	0,001
Chrome	0,42	mg/kg	0,007
Cuivre	0,25	mg/kg	0,03
Fer	4,1	mg/kg	0,1
Manganèse	0,10	mg/kg	0,01
Molybdène	0,0060	mg/kg	0,00022
Nickel	0,13	mg/kg	0,00132
Plomb	0,0010	mg/kg	0,00044
Sélénium	0,38	mg/kg	0,06
Strontium	0,048	mg/kg	0,0154
Vanadium	<0,0044	mg/kg	0,0044
Zinc	2,9	mg/kg	0,06
Uranium	<0,00022	mg/kg	0,00022

Remarque(s)

Niveau: Paramètre

No Éch.: Q161700-01 **Paramètre:** Métaux tissus animaux

Remarque

Ce paramètre ne fait pas partie de la portée d'accréditation du Conseil canadien des normes.

Les résultats sont sur base humide.

Ce certificat ne doit pas être reproduit, sinon en entier, sans le consentement écrit du CEAEQ

Version 1 (1553027)

Certificat d'analyse (suite de l'échantillon numéro : Q161700-02)

Numéro de l'échantillon : Q161700-02

Préleveur:
Date de prélèvement: 13 juillet 2025
Description de l'échantillon: BQ
Description de prélèvement: L752
Point de prélèvement:
Nature de l'échantillon: tissu animal

Mercure

Méthode: MA. 207 - Hg 2.1	**Résultat**	**Unité**	**LDM**
Date d'analyse: 9 septembre 2025			
Mercure	0,71	mg/kg	0,01

Métaux Terres rares

Méthode: MA. 207 - Mét.T.rares TB	**Résultat**	**Unité**	**LDM**
Date d'analyse: 4 septembre 2025			
Dysprosium	<1	µg/kg	1
Erbium	<1	µg/kg	1
Europium	<1	µg/kg	1
Gadolinium	<2	µg/kg	2
Holmium	<1	µg/kg	1
Lithium	9	µg/kg	4
Niobium	2	µg/kg	1
Samarium	<1	µg/kg	1
Scandium	<1	µg/kg	1
Terbium	<1	µg/kg	1
Thorium	<1	µg/kg	1
Thulium	<1	µg/kg	1
Ytterbium	<2	µg/kg	2
Yttrium	20	µg/kg	1
Uranium	<1	µg/kg	1
Lanthane	<1	µg/kg	1
Lutécium	<1	µg/kg	1
Cérium	2	µg/kg	1
Néodyme	<1	µg/kg	1
Praséodyme	<1	µg/kg	1

Ce certificat ne doit pas être reproduit, sinon en entier, sans le consentement écrit du CEAEQ

Version 1 (1553027)

Certificat d'analyse (suite de l'échantillon numéro : Q161700-02)

Métaux tissus animaux

Méthode: MA. 207 - Métaux TB Date d'analyse: 4 septembre 2025	Résultat	Unité	LDM
Aluminium	0,16	mg/kg	0,11
Thallium	0,008	mg/kg	0,001
Arsenic	0,022	mg/kg	0,0044
Baryum	0,010	mg/kg	0,00132
Cadmium	<0,0044	mg/kg	0,0044
Cobalt	0,003	mg/kg	0,001
Chrome	0,031	mg/kg	0,007
Cuivre	0,14	mg/kg	0,03
Fer	2,9	mg/kg	0,1
Manganèse	0,07	mg/kg	0,01
Molybdène	0,0020	mg/kg	0,00022
Nickel	0,013	mg/kg	0,00132
Plomb	0,0010	mg/kg	0,00044
Sélénium	0,59	mg/kg	0,06
Strontium	0,043	mg/kg	0,0154
Vanadium	<0,0044	mg/kg	0,0044
Zinc	2,7	mg/kg	0,06
Uranium	<0,00022	mg/kg	0,00022

Remarque(s)

Niveau: Paramètre

No Éch.: Q161700-02 **Paramètre:** Métaux tissus animaux

Remarque

Ce paramètre ne fait pas partie de la portée d'accréditation du Conseil canadien des normes.

Les résultats sont sur base humide.

Ce certificat ne doit pas être reproduit, sinon en entier, sans le consentement écrit du CEAEQ

Version 1 (1553027)

Certificat d'analyse (suite de l'échantillon numéro : Q161700-03)

Numéro de l'échantillon : Q161700-03

Préleveur:
Date de prélèvement: 13 juillet 2025
Description de l'échantillon: BR
Description de prélèvement: L752
Point de prélèvement:
Nature de l'échantillon: tissu animal

Mercure

Méthode: MA. 207 - Hg 2.1 Date d'analyse: 9 septembre 2025	Résultat	Unité	LDM
Mercure	0,69	mg/kg	0,01

Métaux Terres rares

Méthode: MA. 207 - Mét.T.rares TB Date d'analyse: 4 septembre 2025	Résultat	Unité	LDM
Dysprosium	<1	µg/kg	1
Erbium	<1	µg/kg	1
Europium	<1	µg/kg	1
Gadolinium	<2	µg/kg	2
Holmium	<1	µg/kg	1
Lithium	9	µg/kg	4
Niobium	32	µg/kg	1
Samarium	<1	µg/kg	1
Scandium	<1	µg/kg	1
Terbium	<1	µg/kg	1
Thorium	<1	µg/kg	1
Thulium	<1	µg/kg	1
Ytterbium	<2	µg/kg	2
Yttrium	29	µg/kg	1
Uranium	<1	µg/kg	1
Lanthane	<1	µg/kg	1
Lutécium	<1	µg/kg	1
Cérium	2	µg/kg	1
Néodyme	<1	µg/kg	1
Praséodyme	<1	µg/kg	1

Ce certificat ne doit pas être reproduit, sinon en entier, sans le consentement écrit du CEAEQ

Version 1 (1553027)

Certificat d'analyse (suite de l'échantillon numéro : Q161700-03)

Métaux tissus animaux

Méthode: MA. 207 - Métaux TB	Résultat	Unité	LDM
Date d'analyse: 4 septembre 2025			
Aluminium	0,13	mg/kg	0,11
Thallium	0,008	mg/kg	0,001
Arsenic	0,021	mg/kg	0,0044
Baryum	0,0070	mg/kg	0,00132
Cadmium	<0,0044	mg/kg	0,0044
Cobalt	0,005	mg/kg	0,001
Chrome	0,38	mg/kg	0,007
Cuivre	0,32	mg/kg	0,03
Fer	6,5	mg/kg	0,1
Manganèse	0,11	mg/kg	0,01
Molybdène	0,0060	mg/kg	0,00022
Nickel	0,12	mg/kg	0,00132
Plomb	<0,00044	mg/kg	0,00044
Sélénium	0,53	mg/kg	0,06
Strontium	0,057	mg/kg	0,0154
Vanadium	<0,0044	mg/kg	0,0044
Zinc	3,0	mg/kg	0,06
Uranium	<0,00022	mg/kg	0,00022

Remarque(s)

Niveau: Paramètre

No Éch.: Q161700-03 **Paramètre:** Métaux tissus animaux

Remarque

Ce paramètre ne fait pas partie de la portée d'accréditation du Conseil canadien des normes.

Les résultats sont sur base humide.

Ce certificat ne doit pas être reproduit, sinon en entier, sans le consentement écrit du CEAEQ

Version 1 (1553027)

Certificat d'analyse (suite de l'échantillon numéro : Q161700-04)

Numéro de l'échantillon : Q161700-04

Préleveur:
Date de prélèvement: 13 juillet 2025
Description de l'échantillon: BS
Description de prélèvement: L752
Point de prélèvement:
Nature de l'échantillon: tissu animal

Mercure

Méthode: MA. 207 - Hg 2.1 Date d'analyse: 9 septembre 2025	Résultat	Unité	LDM
Mercure	0,63	mg/kg	0,01

Métaux Terres rares

Méthode: MA. 207 - Mét.T.rares TB Date d'analyse: 4 septembre 2025	Résultat	Unité	LDM
Dysprosium	<1	µg/kg	1
Erbium	<1	µg/kg	1
Europium	<1	µg/kg	1
Gadolinium	<2	µg/kg	2
Holmium	<1	µg/kg	1
Lithium	8	µg/kg	4
Niobium	17	µg/kg	1
Samarium	<1	µg/kg	1
Scandium	<1	µg/kg	1
Terbium	<1	µg/kg	1
Thorium	<1	µg/kg	1
Thulium	<1	µg/kg	1
Ytterbium	<2	µg/kg	2
Yttrium	26	µg/kg	1
Uranium	<1	µg/kg	1
Lanthane	<1	µg/kg	1
Lutécium	<1	µg/kg	1
Cérium	2	µg/kg	1
Néodyme	<1	µg/kg	1
Praséodyme	<1	µg/kg	1

Ce certificat ne doit pas être reproduit, sinon en entier, sans le consentement écrit du CEAEQ

Version 1 (1553027)

Certificat d'analyse (suite de l'échantillon numéro : Q161700-04)

Métaux tissus animaux

Méthode: MA. 207 - Métaux TB Date d'analyse: 4 septembre 2025	Résultat	Unité	LDM
Aluminium	1,3	mg/kg	0,11
Thallium	0,008	mg/kg	0,001
Arsenic	0,018	mg/kg	0,0044
Baryum	0,0060	mg/kg	0,00132
Cadmium	<0,0044	mg/kg	0,0044
Cobalt	0,005	mg/kg	0,001
Chrome	0,23	mg/kg	0,007
Cuivre	0,27	mg/kg	0,03
Fer	5,6	mg/kg	0,1
Manganèse	0,11	mg/kg	0,01
Molybdène	0,0040	mg/kg	0,00022
Nickel	0,068	mg/kg	0,00132
Plomb	0,0030	mg/kg	0,00044
Sélénium	0,56	mg/kg	0,06
Strontium	0,046	mg/kg	0,0154
Vanadium	<0,0044	mg/kg	0,0044
Zinc	3,2	mg/kg	0,06
Uranium	<0,00022	mg/kg	0,00022

Remarque(s)

Niveau: Paramètre

No Éch.: Q161700-04 **Paramètre:** Métaux tissus animaux

Remarque

Ce paramètre ne fait pas partie de la portée d'accréditation du Conseil canadien des normes.

Les résultats sont sur base humide.

Ce certificat ne doit pas être reproduit, sinon en entier, sans le consentement écrit du CEAEQ

Certificat d'analyse (suite de l'échantillon numéro : Q161700-05)

Numéro de l'échantillon : Q161700-05

Préleveur:
Date de prélèvement: 15 juillet 2025
Description de l'échantillon: BV
Description de prélèvement: L752
Point de prélèvement:
Nature de l'échantillon: tissu animal

Mercure

Méthode: MA. 207 - Hg 2.1 Date d'analyse: 9 septembre 2025	Résultat	Unité	LDM
Mercure	0,17	mg/kg	0,01

Métaux Terres rares

Méthode: MA. 207 - Mét.T.rares TB Date d'analyse: 4 septembre 2025	Résultat	Unité	LDM
Dysprosium	<1	µg/kg	1
Erbium	<1	µg/kg	1
Europium	<1	µg/kg	1
Gadolinium	<2	µg/kg	2
Holmium	<1	µg/kg	1
Lithium	8	µg/kg	4
Niobium	2	µg/kg	1
Samarium	<1	µg/kg	1
Scandium	<1	µg/kg	1
Terbium	<1	µg/kg	1
Thorium	<1	µg/kg	1
Thulium	<1	µg/kg	1
Ytterbium	<2	µg/kg	2
Yttrium	24	µg/kg	1
Uranium	<1	µg/kg	1
Lanthane	<1	µg/kg	1
Lutécium	<1	µg/kg	1
Cérium	2	µg/kg	1
Néodyme	<1	µg/kg	1
Praséodyme	<1	µg/kg	1

Ce certificat ne doit pas être reproduit, sinon en entier, sans le consentement écrit du CEAEQ

Version 1 (1553027)

Certificat d'analyse (suite de l'échantillon numéro : Q161700-05)

Métaux tissus animaux

Méthode: MA. 207 - Métaux TB	Résultat	Unité	LDM
Date d'analyse: 4 septembre 2025			
Aluminium	0,11	mg/kg	0,11
Thallium	0,011	mg/kg	0,001
Arsenic	0,015	mg/kg	0,0044
Baryum	0,047	mg/kg	0,00132
Cadmium	<0,0044	mg/kg	0,0044
Cobalt	0,003	mg/kg	0,001
Chrome	0,022	mg/kg	0,007
Cuivre	0,17	mg/kg	0,03
Fer	1,9	mg/kg	0,1
Manganèse	0,21	mg/kg	0,01
Molybdène	0,0020	mg/kg	0,00022
Nickel	0,012	mg/kg	0,00132
Plomb	0,0010	mg/kg	0,00044
Sélénium	0,40	mg/kg	0,06
Strontium	0,37	mg/kg	0,0154
Vanadium	<0,0044	mg/kg	0,0044
Zinc	3,6	mg/kg	0,06
Uranium	<0,00022	mg/kg	0,00022

Remarque(s)

Niveau: Paramètre

No Éch.: Q161700-05 **Paramètre:** Métaux tissus animaux

Remarque

Ce paramètre ne fait pas partie de la portée d'accréditation du Conseil canadien des normes.

Les résultats sont sur base humide.

Ce certificat ne doit pas être reproduit, sinon en entier, sans le consentement écrit du CEAEQ

Certificat d'analyse (suite de l'échantillon numéro : Q161700-06)

Numéro de l'échantillon : Q161700-06

Préleveur:
Date de prélèvement: 12 juillet 2025
Description de l'échantillon: BA
Description de prélèvement: L752
Point de prélèvement:
Nature de l'échantillon: tissu animal

Mercure

Méthode: MA. 207 - Hg 2.1 Date d'analyse: 9 septembre 2025	Résultat	Unité	LDM
Mercure	0,16	mg/kg	0,01

Métaux Terres rares

Méthode: MA. 207 - Mét.T.rares TB Date d'analyse: 4 septembre 2025	Résultat	Unité	LDM
Dysprosium	<1	µg/kg	1
Erbium	<1	µg/kg	1
Europium	<1	µg/kg	1
Gadolinium	<2	µg/kg	2
Holmium	<1	µg/kg	1
Lithium	9	µg/kg	4
Niobium	5	µg/kg	1
Samarium	<1	µg/kg	1
Scandium	<1	µg/kg	1
Terbium	<1	µg/kg	1
Thorium	<1	µg/kg	1
Thulium	<1	µg/kg	1
Ytterbium	<2	µg/kg	2
Yttrium	15	µg/kg	1
Uranium	<1	µg/kg	1
Lanthane	<1	µg/kg	1
Lutécium	<1	µg/kg	1
Cérium	1	µg/kg	1
Néodyme	<1	µg/kg	1
Praséodyme	<1	µg/kg	1

Ce certificat ne doit pas être reproduit, sinon en entier, sans le consentement écrit du CEAEQ

Version 1 (1553027)

Certificat d'analyse (suite de l'échantillon numéro : Q161700-06)

Métaux tissus animaux

Méthode: MA. 207 - Métaux TB Date d'analyse: 4 septembre 2025	Résultat	Unité	LDM
Aluminium	<0,11	mg/kg	0,11
Thallium	0,011	mg/kg	0,001
Arsenic	0,016	mg/kg	0,0044
Baryum	0,0080	mg/kg	0,00132
Cadmium	<0,0044	mg/kg	0,0044
Cobalt	0,002	mg/kg	0,001
Chrome	0,070	mg/kg	0,007
Cuivre	0,12	mg/kg	0,03
Fer	1,8	mg/kg	0,1
Manganèse	0,10	mg/kg	0,01
Molybdène	0,0020	mg/kg	0,00022
Nickel	0,022	mg/kg	0,00132
Plomb	0,0010	mg/kg	0,00044
Sélénium	0,32	mg/kg	0,06
Strontium	0,055	mg/kg	0,0154
Vanadium	<0,0044	mg/kg	0,0044
Zinc	2,8	mg/kg	0,06
Uranium	<0,00022	mg/kg	0,00022

Remarque(s)

Niveau: Paramètre

No Éch.: Q161700-06 **Paramètre:** Métaux tissus animaux

Remarque

Ce paramètre ne fait pas partie de la portée d'accréditation du Conseil canadien des normes.

Les résultats sont sur base humide.

Ce certificat ne doit pas être reproduit, sinon en entier, sans le consentement écrit du CEAEQ

Certificat d'analyse (suite de l'échantillon numéro : Q161700-07)

Numéro de l'échantillon : Q161700-07

Préleveur:
Date de prélèvement: 13 juillet 2025
Description de l'échantillon: BD
Description de prélèvement: L752
Point de prélèvement:
Nature de l'échantillon: tissu animal

Mercure

Méthode: MA. 207 - Hg 2.1 Date d'analyse: 9 septembre 2025	Résultat	Unité	LDM
Mercure	0,37	mg/kg	0,01

Métaux Terres rares

Méthode: MA. 207 - Mét.T.rares TB Date d'analyse: 4 septembre 2025	Résultat	Unité	LDM
Dysprosium	<1	µg/kg	1
Erbium	<1	µg/kg	1
Europium	<1	µg/kg	1
Gadolinium	<2	µg/kg	2
Holmium	<1	µg/kg	1
Lithium	8	µg/kg	4
Niobium	4	µg/kg	1
Samarium	<1	µg/kg	1
Scandium	<1	µg/kg	1
Terbium	<1	µg/kg	1
Thorium	<1	µg/kg	1
Thulium	<1	µg/kg	1
Ytterbium	<2	µg/kg	2
Yttrium	19	µg/kg	1
Uranium	<1	µg/kg	1
Lanthane	<1	µg/kg	1
Lutécium	<1	µg/kg	1
Cérium	1	µg/kg	1
Néodyme	<1	µg/kg	1
Praséodyme	<1	µg/kg	1

Ce certificat ne doit pas être reproduit, sinon en entier, sans le consentement écrit du CEAEQ

Version 1 (1553027)

Certificat d'analyse (suite de l'échantillon numéro : Q161700-07)

Métaux tissus animaux

Méthode: MA. 207 - Métaux TB	Résultat	Unité	LDM
Date d'analyse: 4 septembre 2025			
Aluminium	0,12	mg/kg	0,11
Thallium	0,010	mg/kg	0,001
Arsenic	0,014	mg/kg	0,0044
Baryum	0,0080	mg/kg	0,00132
Cadmium	<0,0044	mg/kg	0,0044
Cobalt	0,003	mg/kg	0,001
Chrome	0,040	mg/kg	0,007
Cuivre	0,14	mg/kg	0,03
Fer	1,6	mg/kg	0,1
Manganèse	0,10	mg/kg	0,01
Molybdène	0,0010	mg/kg	0,00022
Nickel	0,011	mg/kg	0,00132
Plomb	<0,00044	mg/kg	0,00044
Sélénium	0,38	mg/kg	0,06
Strontium	0,085	mg/kg	0,0154
Vanadium	<0,0044	mg/kg	0,0044
Zinc	2,9	mg/kg	0,06
Uranium	<0,00022	mg/kg	0,00022

Remarque(s)

Niveau: Paramètre

No Éch.: Q161700-07 **Paramètre:** Métaux tissus animaux

Remarque

Ce paramètre ne fait pas partie de la portée d'accréditation du Conseil canadien des normes.

Les résultats sont sur base humide.

Ce certificat ne doit pas être reproduit, sinon en entier, sans le consentement écrit du CEAEQ

Certificat d'analyse (suite de l'échantillon numéro : Q161700-08)

Numéro de l'échantillon : Q161700-08

Préleveur:
Date de prélèvement: 12 juillet 2025
Description de l'échantillon: AK
Description de prélèvement: L752
Point de prélèvement:
Nature de l'échantillon: tissu animal

Mercure

Méthode: MA. 207 - Hg 2.1 Date d'analyse: 9 septembre 2025	Résultat	Unité	LDM
Mercure	0,83	mg/kg	0,01

Métaux Terres rares

Méthode: MA. 207 - Mét.T.rares TB Date d'analyse: 4 septembre 2025	Résultat	Unité	LDM
Dysprosium	<1	µg/kg	1
Erbium	<1	µg/kg	1
Europium	<1	µg/kg	1
Gadolinium	<2	µg/kg	2
Holmium	<1	µg/kg	1
Lithium	5	µg/kg	4
Niobium	3	µg/kg	1
Samarium	<1	µg/kg	1
Scandium	<1	µg/kg	1
Terbium	<1	µg/kg	1
Thorium	<1	µg/kg	1
Thulium	<1	µg/kg	1
Ytterbium	<2	µg/kg	2
Yttrium	21	µg/kg	1
Uranium	<1	µg/kg	1
Lanthane	<1	µg/kg	1
Lutécium	<1	µg/kg	1
Cérium	2	µg/kg	1
Néodyme	<1	µg/kg	1
Praséodyme	<1	µg/kg	1

Ce certificat ne doit pas être reproduit, sinon en entier, sans le consentement écrit du CEAEQ

Version 1 (1553027)

Certificat d'analyse (suite de l'échantillon numéro : Q161700-08)

Métaux tissus animaux

Méthode: MA. 207 - Métaux TB Date d'analyse: 4 septembre 2025	Résultat	Unité	LDM
Aluminium	0,12	mg/kg	0,11
Thallium	0,008	mg/kg	0,001
Arsenic	0,017	mg/kg	0,0044
Baryum	0,0040	mg/kg	0,00132
Cadmium	<0,0044	mg/kg	0,0044
Cobalt	0,003	mg/kg	0,001
Chrome	0,037	mg/kg	0,007
Cuivre	0,19	mg/kg	0,03
Fer	2,5	mg/kg	0,1
Manganèse	0,08	mg/kg	0,01
Molybdène	<0,00022	mg/kg	0,00022
Nickel	0,017	mg/kg	0,00132
Plomb	<0,00044	mg/kg	0,00044
Sélénium	0,52	mg/kg	0,06
Strontium	0,050	mg/kg	0,0154
Vanadium	<0,0044	mg/kg	0,0044
Zinc	3,3	mg/kg	0,06
Uranium	<0,00022	mg/kg	0,00022

Remarque(s)

Niveau: Paramètre

No Éch.: Q161700-08 **Paramètre:** Métaux tissus animaux

Remarque

Ce paramètre ne fait pas partie de la portée d'accréditation du Conseil canadien des normes.

Les résultats sont sur base humide.

Ce certificat ne doit pas être reproduit, sinon en entier, sans le consentement écrit du CEAEQ

Certificat d'analyse (suite de l'échantillon numéro : Q161700-09)

Numéro de l'échantillon : Q161700-09

Préleveur:
Date de prélèvement: 12 juillet 2025
Description de l'échantillon: AS
Description de prélèvement: L752
Point de prélèvement:
Nature de l'échantillon: tissu animal

Mercure

Méthode: MA. 207 - Hg 2.1 Date d'analyse: 9 septembre 2025	Résultat	Unité	LDM
Mercure	0,36	mg/kg	0,01

Métaux Terres rares

Méthode: MA. 207 - Mét.T.rares TB Date d'analyse: 4 septembre 2025	Résultat	Unité	LDM
Dysprosium	<1	µg/kg	1
Erbium	<1	µg/kg	1
Europium	<1	µg/kg	1
Gadolinium	<2	µg/kg	2
Holmium	<1	µg/kg	1
Lithium	5	µg/kg	4
Niobium	<1	µg/kg	1
Samarium	<1	µg/kg	1
Scandium	<1	µg/kg	1
Terbium	<1	µg/kg	1
Thorium	<1	µg/kg	1
Thulium	<1	µg/kg	1
Ytterbium	<2	µg/kg	2
Yttrium	16	µg/kg	1
Uranium	<1	µg/kg	1
Lanthane	2	µg/kg	1
Lutécium	<1	µg/kg	1
Cérium	3	µg/kg	1
Néodyme	<1	µg/kg	1
Praséodyme	<1	µg/kg	1

Ce certificat ne doit pas être reproduit, sinon en entier, sans le consentement écrit du CEAEQ

Version 1 (1553027)

Certificat d'analyse (suite de l'échantillon numéro : Q161700-09)

Métaux tissus animaux

Méthode: MA. 207 - Métaux TB	Résultat	Unité	LDM
Date d'analyse: 4 septembre 2025			
Aluminium	0,11	mg/kg	0,11
Thallium	0,010	mg/kg	0,001
Arsenic	0,020	mg/kg	0,0044
Baryum	0,0040	mg/kg	0,00132
Cadmium	<0,0044	mg/kg	0,0044
Cobalt	0,002	mg/kg	0,001
Chrome	0,012	mg/kg	0,007
Cuivre	0,13	mg/kg	0,03
Fer	1,9	mg/kg	0,1
Manganèse	0,09	mg/kg	0,01
Molybdène	0,0010	mg/kg	0,00022
Nickel	0,0070	mg/kg	0,00132
Plomb	0,0040	mg/kg	0,00044
Sélénium	0,42	mg/kg	0,06
Strontium	0,046	mg/kg	0,0154
Vanadium	<0,0044	mg/kg	0,0044
Zinc	2,6	mg/kg	0,06
Uranium	<0,00022	mg/kg	0,00022

Remarque(s)

Niveau: Paramètre

No Éch.: Q161700-09 **Paramètre:** Métaux tissus animaux

Remarque

Ce paramètre ne fait pas partie de la portée d'accréditation du Conseil canadien des normes.

Les résultats sont sur base humide.

Ce certificat ne doit pas être reproduit, sinon en entier, sans le consentement écrit du CEAEQ

Certificat d'analyse (suite de l'échantillon numéro : Q161700-10)

Numéro de l'échantillon : Q161700-10

Préleveur:
Date de prélèvement: 12 juillet 2025
Description de l'échantillon: AT
Description de prélèvement: L752
Point de prélèvement:
Nature de l'échantillon: tissu animal

Mercure

Méthode: MA. 207 - Hg 2.1 Date d'analyse: 9 septembre 2025	Résultat	Unité	LDM
Mercure	0,35	mg/kg	0,01

Métaux Terres rares

Méthode: MA. 207 - Mét.T.rares TB Date d'analyse: 11 novembre 2025	Résultat	Unité	LDM
Dysprosium	<1	µg/kg	1
Erbium	<1	µg/kg	1
Europium	<1	µg/kg	1
Gadolinium	<2	µg/kg	2
Holmium	<1	µg/kg	1
Lithium	4	µg/kg	4
Niobium	2	µg/kg	1
Samarium	<1	µg/kg	1
Scandium	<1	µg/kg	1
Terbium	<1	µg/kg	1
Thorium	<1	µg/kg	1
Thulium	<1	µg/kg	1
Ytterbium	<2	µg/kg	2
Yttrium	21	µg/kg	1
Uranium	<1	µg/kg	1
Lanthane	<1	µg/kg	1
Lutécium	<1	µg/kg	1
Cérium	2	µg/kg	1
Néodyme	<1	µg/kg	1
Praséodyme	<1	µg/kg	1

Ce certificat ne doit pas être reproduit, sinon en entier, sans le consentement écrit du CEAEQ

Version 1 (1553027)

Certificat d'analyse (suite de l'échantillon numéro : Q161700-10)

Métaux tissus animaux

Méthode: MA. 207 - Métaux TB Date d'analyse: 10 novembre 2025	Résultat	Unité	LDM
Aluminium	0,13	mg/kg	0,11
Thallium	0,009	mg/kg	0,001
Arsenic	0,018	mg/kg	0,0044
Baryum	0,0050	mg/kg	0,00132
Cadmium	<0,0044	mg/kg	0,0044
Cobalt	0,002	mg/kg	0,001
Chrome	0,022	mg/kg	0,007
Cuivre	0,19	mg/kg	0,03
Fer	2,7	mg/kg	0,1
Manganèse	0,10	mg/kg	0,01
Molybdène	0,00050	mg/kg	0,00022
Nickel	0,010	mg/kg	0,00132
Plomb	<0,00044	mg/kg	0,00044
Sélénium	0,42	mg/kg	0,06
Strontium	0,051	mg/kg	0,0154
Vanadium	<0,0044	mg/kg	0,0044
Zinc	2,8	mg/kg	0,06
Uranium	<0,00022	mg/kg	0,00022

Remarque(s)

Niveau: Paramètre

No Éch.: Q161700-10 **Paramètre:** Métaux tissus animaux

Remarque

Ce paramètre ne fait pas partie de la portée d'accréditation du Conseil canadien des normes.

Les résultats sont sur base humide.

Ce certificat ne doit pas être reproduit, sinon en entier, sans le consentement écrit du CEAEQ

Certificat d'analyse (suite de l'échantillon numéro : Q161700-11)

Numéro de l'échantillon : Q161700-11

Préleveur:
Date de prélèvement: 17 juillet 2025
Description de l'échantillon: CD
Description de prélèvement: L752
Point de prélèvement:
Nature de l'échantillon: tissu animal

Mercure

Méthode: MA. 207 - Hg 2.1 Date d'analyse: 9 septembre 2025	Résultat	Unité	LDM
Mercure	0,48	mg/kg	0,01

Métaux Terres rares

Méthode: MA. 207 - Mét.T.rares TB Date d'analyse: 4 septembre 2025	Résultat	Unité	LDM
Dysprosium	<1	µg/kg	1
Erbium	<1	µg/kg	1
Europium	<1	µg/kg	1
Gadolinium	<2	µg/kg	2
Holmium	<1	µg/kg	1
Lithium	4	µg/kg	4
Niobium	33	µg/kg	1
Samarium	<1	µg/kg	1
Scandium	<1	µg/kg	1
Terbium	<1	µg/kg	1
Thorium	<1	µg/kg	1
Thulium	<1	µg/kg	1
Ytterbium	<2	µg/kg	2
Yttrium	23	µg/kg	1
Uranium	<1	µg/kg	1
Lanthane	<1	µg/kg	1
Lutécium	<1	µg/kg	1
Cérium	2	µg/kg	1
Néodyme	<1	µg/kg	1
Praséodyme	<1	µg/kg	1

Ce certificat ne doit pas être reproduit, sinon en entier, sans le consentement écrit du CEAEQ

Version 1 (1553027)

Certificat d'analyse (suite de l'échantillon numéro : Q161700-11)

Métaux tissus animaux

Méthode: MA. 207 - Métaux TB	Résultat	Unité	LDM
Date d'analyse: 4 septembre 2025			
Aluminium	0,12	mg/kg	0,11
Thallium	0,012	mg/kg	0,001
Arsenic	0,020	mg/kg	0,0044
Baryum	0,0090	mg/kg	0,00132
Cadmium	<0,0044	mg/kg	0,0044
Cobalt	0,005	mg/kg	0,001
Chrome	0,48	mg/kg	0,007
Cuivre	0,27	mg/kg	0,03
Fer	4,3	mg/kg	0,1
Manganèse	0,11	mg/kg	0,01
Molybdène	0,0080	mg/kg	0,00022
Nickel	0,14	mg/kg	0,00132
Plomb	<0,00044	mg/kg	0,00044
Sélénium	0,39	mg/kg	0,06
Strontium	0,052	mg/kg	0,0154
Vanadium	<0,0044	mg/kg	0,0044
Zinc	3,1	mg/kg	0,06
Uranium	<0,00022	mg/kg	0,00022

Remarque(s)

Niveau: Paramètre

No Éch.: Q161700-11 **Paramètre:** Métaux tissus animaux

Remarque

Ce paramètre ne fait pas partie de la portée d'accréditation du Conseil canadien des normes.

Les résultats sont sur base humide.

Ce certificat ne doit pas être reproduit, sinon en entier, sans le consentement écrit du CEAEQ

Certificat d'analyse (suite de l'échantillon numéro : Q161700-12)

Numéro de l'échantillon : Q161700-12

Préleveur:
Date de prélèvement: 13 juillet 2025
Description de l'échantillon: BT
Description de prélèvement: L752
Point de prélèvement:
Nature de l'échantillon: tissu animal

Mercure

Méthode: MA. 207 - Hg 2.1 Date d'analyse: 9 septembre 2025	Résultat	Unité	LDM
Mercure	0,37	mg/kg	0,01

Métaux Terres rares

Méthode: MA. 207 - Mét.T.rares TB Date d'analyse: 4 septembre 2025	Résultat	Unité	LDM
Dysprosium	<1	µg/kg	1
Erbium	<1	µg/kg	1
Europium	<1	µg/kg	1
Gadolinium	<2	µg/kg	2
Holmium	<1	µg/kg	1
Lithium	<4	µg/kg	4
Niobium	2	µg/kg	1
Samarium	<1	µg/kg	1
Scandium	<1	µg/kg	1
Terbium	<1	µg/kg	1
Thorium	<1	µg/kg	1
Thulium	<1	µg/kg	1
Ytterbium	<2	µg/kg	2
Yttrium	14	µg/kg	1
Uranium	<1	µg/kg	1
Lanthane	<1	µg/kg	1
Lutécium	<1	µg/kg	1
Cérium	2	µg/kg	1
Néodyme	<1	µg/kg	1
Praséodyme	<1	µg/kg	1

Ce certificat ne doit pas être reproduit, sinon en entier, sans le consentement écrit du CEAEQ

Version 1 (1553027)

Certificat d'analyse (suite de l'échantillon numéro : Q161700-12)

Métaux tissus animaux

Méthode: MA. 207 - Métaux TB Date d'analyse: 4 septembre 2025	Résultat	Unité	LDM
Aluminium	<0,11	mg/kg	0,11
Thallium	0,012	mg/kg	0,001
Arsenic	0,022	mg/kg	0,0044
Baryum	0,0060	mg/kg	0,00132
Cadmium	<0,0044	mg/kg	0,0044
Cobalt	0,002	mg/kg	0,001
Chrome	0,035	mg/kg	0,007
Cuivre	0,13	mg/kg	0,03
Fer	2,1	mg/kg	0,1
Manganèse	0,10	mg/kg	0,01
Molybdène	0,0020	mg/kg	0,00022
Nickel	0,014	mg/kg	0,00132
Plomb	<0,00044	mg/kg	0,00044
Sélénium	0,45	mg/kg	0,06
Strontium	0,055	mg/kg	0,0154
Vanadium	<0,0044	mg/kg	0,0044
Zinc	2,9	mg/kg	0,06
Uranium	<0,00022	mg/kg	0,00022

Remarque(s)

Niveau: Paramètre

No Éch.: Q161700-12 **Paramètre:** Métaux tissus animaux

Remarque

Ce paramètre ne fait pas partie de la portée d'accréditation du Conseil canadien des normes.

Les résultats sont sur base humide.

Ce certificat ne doit pas être reproduit, sinon en entier, sans le consentement écrit du CEAEQ

Certificat d'analyse (suite de l'échantillon numéro : Q161700-13)

Numéro de l'échantillon : Q161700-13

Préleveur:
Date de prélèvement: 13 juillet 2025
Description de l'échantillon: BU
Description de prélèvement: L752
Point de prélèvement:
Nature de l'échantillon: tissu animal

Mercure

Méthode: MA. 207 - Hg 2.1 Date d'analyse: 9 septembre 2025	Résultat	Unité	LDM
Mercure	0,44	mg/kg	0,01

Métaux Terres rares

Méthode: MA. 207 - Mét.T.rares TB Date d'analyse: 4 septembre 2025	Résultat	Unité	LDM
Dysprosium	<1	µg/kg	1
Erbium	<1	µg/kg	1
Europium	<1	µg/kg	1
Gadolinium	<2	µg/kg	2
Holmium	<1	µg/kg	1
Lithium	5	µg/kg	4
Niobium	2	µg/kg	1
Samarium	<1	µg/kg	1
Scandium	<1	µg/kg	1
Terbium	<1	µg/kg	1
Thorium	<1	µg/kg	1
Thulium	<1	µg/kg	1
Ytterbium	<2	µg/kg	2
Yttrium	12	µg/kg	1
Uranium	<1	µg/kg	1
Lanthane	<1	µg/kg	1
Lutécium	<1	µg/kg	1
Cérium	2	µg/kg	1
Néodyme	<1	µg/kg	1
Praséodyme	<1	µg/kg	1

Ce certificat ne doit pas être reproduit, sinon en entier, sans le consentement écrit du CEAEQ

Version 1 (1553027)

Certificat d'analyse (suite de l'échantillon numéro : Q161700-13)

Métaux tissus animaux

Méthode: MA. 207 - Métaux TB	Résultat	Unité	LDM
Date d'analyse: 4 septembre 2025			
Aluminium	<0,11	mg/kg	0,11
Thallium	0,010	mg/kg	0,001
Arsenic	0,022	mg/kg	0,0044
Baryum	0,010	mg/kg	0,00132
Cadmium	<0,0044	mg/kg	0,0044
Cobalt	0,001	mg/kg	0,001
Chrome	0,015	mg/kg	0,007
Cuivre	0,13	mg/kg	0,03
Fer	1,5	mg/kg	0,1
Manganèse	0,08	mg/kg	0,01
Molybdène	<0,00022	mg/kg	0,00022
Nickel	0,0080	mg/kg	0,00132
Plomb	<0,00044	mg/kg	0,00044
Sélénium	0,35	mg/kg	0,06
Strontium	0,064	mg/kg	0,0154
Vanadium	<0,0044	mg/kg	0,0044
Zinc	2,9	mg/kg	0,06
Uranium	<0,00022	mg/kg	0,00022

Remarque(s)

Niveau: Paramètre

No Éch.: Q161700-13 **Paramètre:** Métaux tissus animaux

Remarque

Ce paramètre ne fait pas partie de la portée d'accréditation du Conseil canadien des normes.

Les résultats sont sur base humide.

Ce certificat ne doit pas être reproduit, sinon en entier, sans le consentement écrit du CEAEQ

Version 1 (1553027)

Certificat d'analyse (suite de l'échantillon numéro : Q161700-14)

Numéro de l'échantillon : Q161700-14

Préleveur:
Date de prélèvement: 15 juillet 2025
Description de l'échantillon: BW
Description de prélèvement: L752
Point de prélèvement:
Nature de l'échantillon: tissu animal

Mercure

Méthode: MA. 207 - Hg 2.1 Date d'analyse: 9 septembre 2025	Résultat	Unité	LDM
Mercure	0,20	mg/kg	0,01

Métaux Terres rares

Méthode: MA. 207 - Mét.T.rares TB Date d'analyse: 4 septembre 2025	Résultat	Unité	LDM
Dysprosium	<1	µg/kg	1
Erbium	<1	µg/kg	1
Europium	<1	µg/kg	1
Gadolinium	<2	µg/kg	2
Holmium	<1	µg/kg	1
Lithium	5	µg/kg	4
Niobium	5	µg/kg	1
Samarium	<1	µg/kg	1
Scandium	<1	µg/kg	1
Terbium	<1	µg/kg	1
Thorium	<1	µg/kg	1
Thulium	<1	µg/kg	1
Ytterbium	<2	µg/kg	2
Yttrium	20	µg/kg	1
Uranium	<1	µg/kg	1
Lanthane	<1	µg/kg	1
Lutécium	<1	µg/kg	1
Cérium	1	µg/kg	1
Néodyme	<1	µg/kg	1
Praséodyme	<1	µg/kg	1

Ce certificat ne doit pas être reproduit, sinon en entier, sans le consentement écrit du CEAEQ

Certificat d'analyse (suite de l'échantillon numéro : Q161700-14)

Métaux tissus animaux

Méthode: MA. 207 - Métaux TB Date d'analyse: 4 septembre 2025	Résultat	Unité	LDM
Aluminium	0,12	mg/kg	0,11
Thallium	0,010	mg/kg	0,001
Arsenic	0,013	mg/kg	0,0044
Baryum	0,0060	mg/kg	0,00132
Cadmium	<0,0044	mg/kg	0,0044
Cobalt	0,002	mg/kg	0,001
Chrome	0,068	mg/kg	0,007
Cuivre	0,13	mg/kg	0,03
Fer	1,4	mg/kg	0,1
Manganèse	0,12	mg/kg	0,01
Molybdène	0,0020	mg/kg	0,00022
Nickel	0,024	mg/kg	0,00132
Plomb	0,0010	mg/kg	0,00044
Sélénium	0,41	mg/kg	0,06
Strontium	0,046	mg/kg	0,0154
Vanadium	<0,0044	mg/kg	0,0044
Zinc	3,0	mg/kg	0,06
Uranium	<0,00022	mg/kg	0,00022

Remarque(s)

Niveau: Paramètre

No Éch.: Q161700-14 **Paramètre:** Métaux tissus animaux

Remarque

Ce paramètre ne fait pas partie de la portée d'accréditation du Conseil canadien des normes.

Les résultats sont sur base humide.

Ce certificat ne doit pas être reproduit, sinon en entier, sans le consentement écrit du CEAEQ

Certificat d'analyse (suite de l'échantillon numéro : Q161700-15)

Numéro de l'échantillon : Q161700-15

Préleveur:
Date de prélèvement: 13 juillet 2025
Description de l'échantillon: BJ
Description de prélèvement: L752
Point de prélèvement:
Nature de l'échantillon: tissu animal

Mercure

Méthode: MA. 207 - Hg 2.1 Date d'analyse: 9 septembre 2025	Résultat	Unité	LDM
Mercure	0,29	mg/kg	0,01

Métaux Terres rares

Méthode: MA. 207 - Mét.T.rares TB Date d'analyse: 4 septembre 2025	Résultat	Unité	LDM
Dysprosium	<1	µg/kg	1
Erbium	<1	µg/kg	1
Europium	<1	µg/kg	1
Gadolinium	<2	µg/kg	2
Holmium	<1	µg/kg	1
Lithium	4	µg/kg	4
Niobium	6	µg/kg	1
Samarium	<1	µg/kg	1
Scandium	<1	µg/kg	1
Terbium	<1	µg/kg	1
Thorium	<1	µg/kg	1
Thulium	<1	µg/kg	1
Ytterbium	<2	µg/kg	2
Yttrium	18	µg/kg	1
Uranium	<1	µg/kg	1
Lanthane	<1	µg/kg	1
Lutécium	<1	µg/kg	1
Cérium	1	µg/kg	1
Néodyme	<1	µg/kg	1
Praséodyme	<1	µg/kg	1

Ce certificat ne doit pas être reproduit, sinon en entier, sans le consentement écrit du CEAEQ

Version 1 (1553027)

Certificat d'analyse (suite de l'échantillon numéro : Q161700-15)

Métaux tissus animaux

Méthode: MA. 207 - Métaux TB	Résultat	Unité	LDM
Date d'analyse: 4 septembre 2025			
Aluminium	0,11	mg/kg	0,11
Thallium	0,009	mg/kg	0,001
Arsenic	0,013	mg/kg	0,0044
Baryum	0,0080	mg/kg	0,00132
Cadmium	<0,0044	mg/kg	0,0044
Cobalt	0,002	mg/kg	0,001
Chrome	0,076	mg/kg	0,007
Cuivre	0,12	mg/kg	0,03
Fer	1,4	mg/kg	0,1
Manganèse	0,11	mg/kg	0,01
Molybdène	0,0010	mg/kg	0,00022
Nickel	0,027	mg/kg	0,00132
Plomb	0,0010	mg/kg	0,00044
Sélénium	0,38	mg/kg	0,06
Strontium	0,042	mg/kg	0,0154
Vanadium	<0,0044	mg/kg	0,0044
Zinc	2,9	mg/kg	0,06
Uranium	<0,00022	mg/kg	0,00022

Remarque(s)

Niveau: Paramètre

No Éch.: Q161700-15 **Paramètre:** Métaux tissus animaux

Remarque

Ce paramètre ne fait pas partie de la portée d'accréditation du Conseil canadien des normes.

Les résultats sont sur base humide.

Ce certificat ne doit pas être reproduit, sinon en entier, sans le consentement écrit du CEAEQ

Version 1 (1553027)

Certificat d'analyse (suite de l'échantillon numéro : Q161700-16)

Numéro de l'échantillon : Q161700-16

Préleveur:
Date de prélèvement: 15 juillet 2025
Description de l'échantillon: BZ
Description de prélèvement: L752
Point de prélèvement:
Nature de l'échantillon: tissu animal

Mercure

Méthode: MA. 207 - Hg 2.1 Date d'analyse: 9 septembre 2025	Résultat	Unité	LDM
Mercure	0,88	mg/kg	0,01

Métaux Terres rares

Méthode: MA. 207 - Mét.T.rares TB Date d'analyse: 4 septembre 2025	Résultat	Unité	LDM
Dysprosium	<1	µg/kg	1
Erbium	<1	µg/kg	1
Europium	<1	µg/kg	1
Gadolinium	<2	µg/kg	2
Holmium	<1	µg/kg	1
Lithium	8	µg/kg	4
Niobium	4	µg/kg	1
Samarium	<1	µg/kg	1
Scandium	<1	µg/kg	1
Terbium	<1	µg/kg	1
Thorium	<1	µg/kg	1
Thulium	<1	µg/kg	1
Ytterbium	<2	µg/kg	2
Yttrium	25	µg/kg	1
Uranium	<1	µg/kg	1
Lanthane	<1	µg/kg	1
Lutécium	<1	µg/kg	1
Cérium	4	µg/kg	1
Néodyme	<1	µg/kg	1
Praséodyme	<1	µg/kg	1

Ce certificat ne doit pas être reproduit, sinon en entier, sans le consentement écrit du CEAEQ

Certificat d'analyse (suite de l'échantillon numéro : Q161700-16)

Métaux tissus animaux

Méthode: MA. 207 - Métaux TB Date d'analyse: 4 septembre 2025	Résultat	Unité	LDM
Aluminium	0,13	mg/kg	0,11
Thallium	0,007	mg/kg	0,001
Arsenic	0,018	mg/kg	0,0044
Baryum	0,0090	mg/kg	0,00132
Cadmium	0,0060	mg/kg	0,0044
Cobalt	0,005	mg/kg	0,001
Chrome	0,038	mg/kg	0,007
Cuivre	0,25	mg/kg	0,03
Fer	5,8	mg/kg	0,1
Manganèse	0,06	mg/kg	0,01
Molybdène	0,0010	mg/kg	0,00022
Nickel	0,013	mg/kg	0,00132
Plomb	<0,00044	mg/kg	0,00044
Sélénium	0,36	mg/kg	0,06
Strontium	0,051	mg/kg	0,0154
Vanadium	<0,0044	mg/kg	0,0044
Zinc	2,7	mg/kg	0,06
Uranium	<0,00022	mg/kg	0,00022

Remarque(s)

Niveau: Paramètre

No Éch.: Q161700-16 **Paramètre:** Métaux tissus animaux

Remarque

Ce paramètre ne fait pas partie de la portée d'accréditation du Conseil canadien des normes.

Les résultats sont sur base humide.

Ce certificat ne doit pas être reproduit, sinon en entier, sans le consentement écrit du CEAEQ

Certificat d'analyse (suite de l'échantillon numéro : Q161700-17)

Numéro de l'échantillon : Q161700-17

Préleveur:
Date de prélèvement: 13 juillet 2025
Description de l'échantillon: BO
Description de prélèvement: L752
Point de prélèvement:
Nature de l'échantillon: tissu animal

Mercure

Méthode: MA. 207 - Hg 2.1 Date d'analyse: 9 septembre 2025	Résultat	Unité	LDM
Mercure	0,39	mg/kg	0,01

Métaux Terres rares

Méthode: MA. 207 - Mét.T.rares TB Date d'analyse: 4 septembre 2025	Résultat	Unité	LDM
Dysprosium	<1	µg/kg	1
Erbium	<1	µg/kg	1
Europium	<1	µg/kg	1
Gadolinium	<2	µg/kg	2
Holmium	<1	µg/kg	1
Lithium	7	µg/kg	4
Niobium	31	µg/kg	1
Samarium	<1	µg/kg	1
Scandium	<1	µg/kg	1
Terbium	<1	µg/kg	1
Thorium	<1	µg/kg	1
Thulium	<1	µg/kg	1
Ytterbium	<2	µg/kg	2
Yttrium	27	µg/kg	1
Uranium	<1	µg/kg	1
Lanthane	<1	µg/kg	1
Lutécium	<1	µg/kg	1
Cérium	3	µg/kg	1
Néodyme	<1	µg/kg	1
Praséodyme	<1	µg/kg	1

Ce certificat ne doit pas être reproduit, sinon en entier, sans le consentement écrit du CEAEQ

Version 1 (1553027)

Certificat d'analyse (suite de l'échantillon numéro : Q161700-17)

Métaux tissus animaux

Méthode: MA. 207 - Métaux TB	Résultat	Unité	LDM
Date d'analyse: 4 septembre 2025			
Aluminium	0,12	mg/kg	0,11
Thallium	0,011	mg/kg	0,001
Arsenic	0,019	mg/kg	0,0044
Baryum	0,0060	mg/kg	0,00132
Cadmium	<0,0044	mg/kg	0,0044
Cobalt	0,004	mg/kg	0,001
Chrome	0,38	mg/kg	0,007
Cuivre	0,30	mg/kg	0,03
Fer	4,8	mg/kg	0,1
Manganèse	0,10	mg/kg	0,01
Molybdène	0,0070	mg/kg	0,00022
Nickel	0,12	mg/kg	0,00132
Plomb	0,0010	mg/kg	0,00044
Sélénium	0,40	mg/kg	0,06
Strontium	0,057	mg/kg	0,0154
Vanadium	<0,0044	mg/kg	0,0044
Zinc	2,7	mg/kg	0,06
Uranium	<0,00022	mg/kg	0,00022

Remarque(s)

Niveau: Paramètre

No Éch.: Q161700-17 **Paramètre:** Métaux tissus animaux

Remarque

Ce paramètre ne fait pas partie de la portée d'accréditation du Conseil canadien des normes.

Les résultats sont sur base humide.

Ce certificat ne doit pas être reproduit, sinon en entier, sans le consentement écrit du CEAEQ

Version 1 (1553027)

Certificat d'analyse (suite de l'échantillon numéro : Q161700-18)

Numéro de l'échantillon : Q161700-18

Préleveur:
Date de prélèvement: 17 juillet 2025
Description de l'échantillon: CE
Description de prélèvement: L752
Point de prélèvement:
Nature de l'échantillon: tissu animal

Mercure

Méthode: MA. 207 - Hg 2.1 Date d'analyse: 9 septembre 2025	Résultat	Unité	LDM
Mercure	0,17	mg/kg	0,01

Métaux Terres rares

Méthode: MA. 207 - Mét.T.rares TB Date d'analyse: 4 septembre 2025	Résultat	Unité	LDM
Dysprosium	<1	µg/kg	1
Erbium	<1	µg/kg	1
Europium	<1	µg/kg	1
Gadolinium	<2	µg/kg	2
Holmium	<1	µg/kg	1
Lithium	7	µg/kg	4
Niobium	1	µg/kg	1
Samarium	<1	µg/kg	1
Scandium	<1	µg/kg	1
Terbium	<1	µg/kg	1
Thorium	<1	µg/kg	1
Thulium	<1	µg/kg	1
Ytterbium	<2	µg/kg	2
Yttrium	17	µg/kg	1
Uranium	<1	µg/kg	1
Lanthane	<1	µg/kg	1
Lutécium	<1	µg/kg	1
Cérium	2	µg/kg	1
Néodyme	<1	µg/kg	1
Praséodyme	<1	µg/kg	1

Ce certificat ne doit pas être reproduit, sinon en entier, sans le consentement écrit du CEAEQ

Version 1 (1553027)

Certificat d'analyse (suite de l'échantillon numéro : Q161700-18)

Métaux tissus animaux

Méthode: MA. 207 - Métaux TB Date d'analyse: 4 septembre 2025	Résultat	Unité	LDM
Aluminium	<0,11	mg/kg	0,11
Thallium	0,009	mg/kg	0,001
Arsenic	0,016	mg/kg	0,0044
Baryum	0,0060	mg/kg	0,00132
Cadmium	<0,0044	mg/kg	0,0044
Cobalt	0,003	mg/kg	0,001
Chrome	0,017	mg/kg	0,007
Cuivre	0,12	mg/kg	0,03
Fer	1,3	mg/kg	0,1
Manganèse	0,11	mg/kg	0,01
Molybdène	0,0010	mg/kg	0,00022
Nickel	0,0050	mg/kg	0,00132
Plomb	<0,00044	mg/kg	0,00044
Sélénium	0,41	mg/kg	0,06
Strontium	0,069	mg/kg	0,0154
Vanadium	<0,0044	mg/kg	0,0044
Zinc	2,8	mg/kg	0,06
Uranium	<0,00022	mg/kg	0,00022

Remarque(s)

Niveau: Paramètre

No Éch.: Q161700-18 **Paramètre:** Métaux tissus animaux

Remarque

Ce paramètre ne fait pas partie de la portée d'accréditation du Conseil canadien des normes.

Les résultats sont sur base humide.

Ce certificat ne doit pas être reproduit, sinon en entier, sans le consentement écrit du CEAEQ

Certificat d'analyse (suite de l'échantillon numéro : Q161700-19)

Numéro de l'échantillon : Q161700-19

Préleveur:
Date de prélèvement: 13 juillet 2025
Description de l'échantillon: BG
Description de prélèvement: L752
Point de prélèvement:
Nature de l'échantillon: tissu animal

Mercure

Méthode: MA. 207 - Hg 2.1 Date d'analyse: 9 septembre 2025	Résultat	Unité	LDM
Mercure	0,40	mg/kg	0,01

Métaux Terres rares

Méthode: MA. 207 - Mét.T.rares TB Date d'analyse: 4 septembre 2025	Résultat	Unité	LDM
Dysprosium	<1	µg/kg	1
Erbium	<1	µg/kg	1
Europium	<1	µg/kg	1
Gadolinium	<2	µg/kg	2
Holmium	<1	µg/kg	1
Lithium	<4	µg/kg	4
Niobium	2	µg/kg	1
Samarium	<1	µg/kg	1
Scandium	<1	µg/kg	1
Terbium	<1	µg/kg	1
Thorium	<1	µg/kg	1
Thulium	<1	µg/kg	1
Ytterbium	<2	µg/kg	2
Yttrium	20	µg/kg	1
Uranium	<1	µg/kg	1
Lanthane	<1	µg/kg	1
Lutécium	<1	µg/kg	1
Cérium	2	µg/kg	1
Néodyme	<1	µg/kg	1
Praséodyme	<1	µg/kg	1

Ce certificat ne doit pas être reproduit, sinon en entier, sans le consentement écrit du CEAEQ

Version 1 (1553027)

Certificat d'analyse (suite de l'échantillon numéro : Q161700-19)

Métaux tissus animaux

Méthode: MA. 207 - Métaux TB	Résultat	Unité	LDM
Date d'analyse: 4 septembre 2025			
Aluminium	0,16	mg/kg	0,11
Thallium	0,008	mg/kg	0,001
Arsenic	0,017	mg/kg	0,0044
Baryum	0,0050	mg/kg	0,00132
Cadmium	<0,0044	mg/kg	0,0044
Cobalt	0,001	mg/kg	0,001
Chrome	0,032	mg/kg	0,007
Cuivre	0,12	mg/kg	0,03
Fer	1,3	mg/kg	0,1
Manganèse	0,08	mg/kg	0,01
Molybdène	0,0010	mg/kg	0,00022
Nickel	0,011	mg/kg	0,00132
Plomb	0,0020	mg/kg	0,00044
Sélénium	0,31	mg/kg	0,06
Strontium	0,031	mg/kg	0,0154
Vanadium	<0,0044	mg/kg	0,0044
Zinc	2,6	mg/kg	0,06
Uranium	<0,00022	mg/kg	0,00022

Remarque(s)

Niveau: Paramètre

No Éch.: Q161700-19 **Paramètre:** Métaux tissus animaux

Remarque

Ce paramètre ne fait pas partie de la portée d'accréditation du Conseil canadien des normes.

Les résultats sont sur base humide.

Ce certificat ne doit pas être reproduit, sinon en entier, sans le consentement écrit du CEAEQ

Version 1 (1553027)

Certificat d'analyse (suite de l'échantillon numéro : Q161700-20)

Numéro de l'échantillon : Q161700-20

Préleveur:
Date de prélèvement: 17 juillet 2025
Description de l'échantillon: CJ
Description de prélèvement: L752
Point de prélèvement:
Nature de l'échantillon: tissu animal

Mercure

Méthode: MA. 207 - Hg 2.1 Date d'analyse: 9 septembre 2025	Résultat	Unité	LDM
Mercure	0,20	mg/kg	0,01

Métaux Terres rares

Méthode: MA. 207 - Mét.T.rares TB Date d'analyse: 11 novembre 2025	Résultat	Unité	LDM
Dysprosium	<1	µg/kg	1
Erbium	<1	µg/kg	1
Europium	<1	µg/kg	1
Gadolinium	<2	µg/kg	2
Holmium	<1	µg/kg	1
Lithium	<4	µg/kg	4
Niobium	2	µg/kg	1
Samarium	<1	µg/kg	1
Scandium	<1	µg/kg	1
Terbium	<1	µg/kg	1
Thorium	<1	µg/kg	1
Thulium	<1	µg/kg	1
Ytterbium	<2	µg/kg	2
Yttrium	20	µg/kg	1
Uranium	<1	µg/kg	1
Lanthane	<1	µg/kg	1
Lutécium	<1	µg/kg	1
Cérium	2	µg/kg	1
Néodyme	<1	µg/kg	1
Praséodyme	<1	µg/kg	1

Ce certificat ne doit pas être reproduit, sinon en entier, sans le consentement écrit du CEAEQ

Version 1 (1553027)

Certificat d'analyse (suite de l'échantillon numéro : Q161700-20)

Métaux tissus animaux

Méthode: MA. 207 - Métaux TB Date d'analyse: 10 novembre 2025	Résultat	Unité	LDM
Aluminium	0,12	mg/kg	0,11
Thallium	0,009	mg/kg	0,001
Arsenic	0,013	mg/kg	0,0044
Baryum	0,0095	mg/kg	0,00132
Cadmium	<0,0044	mg/kg	0,0044
Cobalt	0,002	mg/kg	0,001
Chrome	0,023	mg/kg	0,007
Cuivre	0,09	mg/kg	0,03
Fer	1,1	mg/kg	0,1
Manganèse	0,11	mg/kg	0,01
Molybdène	0,0010	mg/kg	0,00022
Nickel	0,011	mg/kg	0,00132
Plomb	<0,00044	mg/kg	0,00044
Sélénium	0,37	mg/kg	0,06
Strontium	0,054	mg/kg	0,0154
Vanadium	<0,0044	mg/kg	0,0044
Zinc	2,7	mg/kg	0,06
Uranium	<0,00022	mg/kg	0,00022

Remarque(s)

Niveau: Paramètre

No Éch.: Q161700-20 **Paramètre:** Métaux tissus animaux

Remarque

Ce paramètre ne fait pas partie de la portée d'accréditation du Conseil canadien des normes.

Les résultats sont sur base humide.

Ce certificat ne doit pas être reproduit, sinon en entier, sans le consentement écrit du CEAEQ

Certificat d'analyse (suite de l'échantillon numéro : Q161700-21)

Numéro de l'échantillon : Q161700-21

Préleveur:
Date de prélèvement: 17 juillet 2025
Description de l'échantillon: CL
Description de prélèvement: L752
Point de prélèvement:
Nature de l'échantillon: tissu animal

Mercure

Méthode: MA. 207 - Hg 2.1	**Résultat**	**Unité**	**LDM**
Date d'analyse: 9 septembre 2025			
Mercure	0,23	mg/kg	0,01

Métaux Terres rares

Méthode: MA. 207 - Mét.T.rares TB	**Résultat**	**Unité**	**LDM**
Date d'analyse: 4 septembre 2025			
Dysprosium	<1	µg/kg	1
Erbium	<1	µg/kg	1
Europium	<1	µg/kg	1
Gadolinium	<2	µg/kg	2
Holmium	<1	µg/kg	1
Lithium	<4	µg/kg	4
Niobium	1	µg/kg	1
Samarium	<1	µg/kg	1
Scandium	<1	µg/kg	1
Terbium	<1	µg/kg	1
Thorium	<1	µg/kg	1
Thulium	<1	µg/kg	1
Ytterbium	<2	µg/kg	2
Yttrium	17	µg/kg	1
Uranium	<1	µg/kg	1
Lanthane	<1	µg/kg	1
Lutécium	<1	µg/kg	1
Cérium	2	µg/kg	1
Néodyme	<1	µg/kg	1
Praséodyme	<1	µg/kg	1

Ce certificat ne doit pas être reproduit, sinon en entier, sans le consentement écrit du CEAEQ

Version 1 (1553027)

Certificat d'analyse (suite de l'échantillon numéro : Q161700-21)

Métaux tissus animaux

Méthode: MA. 207 - Métaux TB	Résultat	Unité	LDM
Date d'analyse: 4 septembre 2025			
Aluminium	0,15	mg/kg	0,11
Thallium	0,011	mg/kg	0,001
Arsenic	0,015	mg/kg	0,0044
Baryum	0,024	mg/kg	0,00132
Cadmium	<0,0044	mg/kg	0,0044
Cobalt	0,003	mg/kg	0,001
Chrome	0,024	mg/kg	0,007
Cuivre	0,12	mg/kg	0,03
Fer	1,2	mg/kg	0,1
Manganèse	0,13	mg/kg	0,01
Molybdène	0,0020	mg/kg	0,00022
Nickel	0,010	mg/kg	0,00132
Plomb	0,0020	mg/kg	0,00044
Sélénium	0,42	mg/kg	0,06
Strontium	0,23	mg/kg	0,0154
Vanadium	<0,0044	mg/kg	0,0044
Zinc	3,2	mg/kg	0,06
Uranium	<0,00022	mg/kg	0,00022

Remarque(s)

Niveau: Paramètre

No Éch.: Q161700-21 **Paramètre:** Métaux tissus animaux

Remarque

Ce paramètre ne fait pas partie de la portée d'accréditation du Conseil canadien des normes.

Les résultats sont sur base humide.

Ce certificat ne doit pas être reproduit, sinon en entier, sans le consentement écrit du CEAEQ

Version 1 (1553027)

Certificat d'analyse (suite de l'échantillon numéro : Q161700-22)

Numéro de l'échantillon : Q161700-22

Préleveur:
Date de prélèvement: 17 juillet 2025
Description de l'échantillon: CB
Description de prélèvement: L752
Point de prélèvement:
Nature de l'échantillon: tissu animal

Mercure

Méthode: MA. 207 - Hg 2.1 Date d'analyse: 9 septembre 2025	Résultat	Unité	LDM
Mercure	0,44	mg/kg	0,01

Métaux Terres rares

Méthode: MA. 207 - Mét.T.rares TB Date d'analyse: 4 septembre 2025	Résultat	Unité	LDM
Dysprosium	<1	µg/kg	1
Erbium	<1	µg/kg	1
Europium	<1	µg/kg	1
Gadolinium	<2	µg/kg	2
Holmium	<1	µg/kg	1
Lithium	<4	µg/kg	4
Niobium	1	µg/kg	1
Samarium	<1	µg/kg	1
Scandium	<1	µg/kg	1
Terbium	<1	µg/kg	1
Thorium	<1	µg/kg	1
Thulium	<1	µg/kg	1
Ytterbium	<2	µg/kg	2
Yttrium	13	µg/kg	1
Uranium	<1	µg/kg	1
Lanthane	<1	µg/kg	1
Lutécium	<1	µg/kg	1
Cérium	1	µg/kg	1
Néodyme	<1	µg/kg	1
Praséodyme	<1	µg/kg	1

Ce certificat ne doit pas être reproduit, sinon en entier, sans le consentement écrit du CEAEQ

Version 1 (1553027)

Certificat d'analyse (suite de l'échantillon numéro : Q161700-22)

Métaux tissus animaux

Méthode: MA. 207 - Métaux TB Date d'analyse: 4 septembre 2025	Résultat	Unité	LDM
Aluminium	<0,11	mg/kg	0,11
Thallium	0,011	mg/kg	0,001
Arsenic	0,015	mg/kg	0,0044
Baryum	0,064	mg/kg	0,00132
Cadmium	<0,0044	mg/kg	0,0044
Cobalt	0,002	mg/kg	0,001
Chrome	0,017	mg/kg	0,007
Cuivre	0,11	mg/kg	0,03
Fer	1,5	mg/kg	0,1
Manganèse	0,24	mg/kg	0,01
Molybdène	<0,00022	mg/kg	0,00022
Nickel	0,0060	mg/kg	0,00132
Plomb	<0,00044	mg/kg	0,00044
Sélénium	0,32	mg/kg	0,06
Strontium	0,58	mg/kg	0,0154
Vanadium	<0,0044	mg/kg	0,0044
Zinc	2,7	mg/kg	0,06
Uranium	<0,00022	mg/kg	0,00022

Remarque(s)

Niveau: Paramètre

No Éch.: Q161700-22 **Paramètre:** Métaux tissus animaux

Remarque

Ce paramètre ne fait pas partie de la portée d'accréditation du Conseil canadien des normes.

Les résultats sont sur base humide.

Ce certificat ne doit pas être reproduit, sinon en entier, sans le consentement écrit du CEAEQ

Certificat d'analyse (suite de l'échantillon numéro : Q161700-23)

Numéro de l'échantillon : Q161700-23

Préleveur:
Date de prélèvement: 17 juillet 2025
Description de l'échantillon: CQ
Description de prélèvement: L752
Point de prélèvement:
Nature de l'échantillon: tissu animal

Mercure

Méthode: MA. 207 - Hg 2.1 Date d'analyse: 9 septembre 2025	Résultat	Unité	LDM
Mercure	0,19	mg/kg	0,01

Métaux Terres rares

Méthode: MA. 207 - Mét.T.rares TB Date d'analyse: 4 septembre 2025	Résultat	Unité	LDM
Dysprosium	<1	µg/kg	1
Erbium	<1	µg/kg	1
Europium	<1	µg/kg	1
Gadolinium	<2	µg/kg	2
Holmium	<1	µg/kg	1
Lithium	<4	µg/kg	4
Niobium	<1	µg/kg	1
Samarium	<1	µg/kg	1
Scandium	<1	µg/kg	1
Terbium	<1	µg/kg	1
Thorium	<1	µg/kg	1
Thulium	<1	µg/kg	1
Ytterbium	<2	µg/kg	2
Yttrium	13	µg/kg	1
Uranium	<1	µg/kg	1
Lanthane	<1	µg/kg	1
Lutécium	<1	µg/kg	1
Cérium	2	µg/kg	1
Néodyme	<1	µg/kg	1
Praséodyme	<1	µg/kg	1

Ce certificat ne doit pas être reproduit, sinon en entier, sans le consentement écrit du CEAEQ

Version 1 (1553027)

Certificat d'analyse (suite de l'échantillon numéro : Q161700-23)

Métaux tissus animaux

Méthode: MA. 207 - Métaux TB	Résultat	Unité	LDM
Date d'analyse: 4 septembre 2025			
Aluminium	0,14	mg/kg	0,11
Thallium	0,011	mg/kg	0,001
Arsenic	0,014	mg/kg	0,0044
Baryum	0,0060	mg/kg	0,00132
Cadmium	<0,0044	mg/kg	0,0044
Cobalt	0,002	mg/kg	0,001
Chrome	0,013	mg/kg	0,007
Cuivre	0,10	mg/kg	0,03
Fer	1,0	mg/kg	0,1
Manganèse	0,10	mg/kg	0,01
Molybdène	0,0010	mg/kg	0,00022
Nickel	0,0050	mg/kg	0,00132
Plomb	0,0010	mg/kg	0,00044
Sélénium	0,30	mg/kg	0,06
Strontium	0,033	mg/kg	0,0154
Vanadium	<0,0044	mg/kg	0,0044
Zinc	3,6	mg/kg	0,06
Uranium	<0,00022	mg/kg	0,00022

Remarque(s)

Niveau: Paramètre

No Éch.: Q161700-23 **Paramètre:** Métaux tissus animaux

Remarque

Ce paramètre ne fait pas partie de la portée d'accréditation du Conseil canadien des normes.

Les résultats sont sur base humide.

Ce certificat ne doit pas être reproduit, sinon en entier, sans le consentement écrit du CEAEQ

Version 1 (1553027)

Certificat d'analyse (suite de l'échantillon numéro : Q161700-24)

Numéro de l'échantillon : Q161700-24

Préleveur:
Date de prélèvement: 17 juillet 2025
Description de l'échantillon: CF
Description de prélèvement: L752
Point de prélèvement:
Nature de l'échantillon: tissu animal

Mercure

Méthode: MA. 207 - Hg 2.1 Date d'analyse: 9 septembre 2025	Résultat	Unité	LDM
Mercure	0,31	mg/kg	0,01

Métaux Terres rares

Méthode: MA. 207 - Mét.T.rares TB Date d'analyse: 4 septembre 2025	Résultat	Unité	LDM
Dysprosium	<1	µg/kg	1
Erbium	<1	µg/kg	1
Europium	<1	µg/kg	1
Gadolinium	<2	µg/kg	2
Holmium	<1	µg/kg	1
Lithium	<4	µg/kg	4
Niobium	18	µg/kg	1
Samarium	<1	µg/kg	1
Scandium	<1	µg/kg	1
Terbium	<1	µg/kg	1
Thorium	<1	µg/kg	1
Thulium	<1	µg/kg	1
Ytterbium	<2	µg/kg	2
Yttrium	21	µg/kg	1
Uranium	<1	µg/kg	1
Lanthane	<1	µg/kg	1
Lutécium	<1	µg/kg	1
Cérium	2	µg/kg	1
Néodyme	<1	µg/kg	1
Praséodyme	<1	µg/kg	1

Ce certificat ne doit pas être reproduit, sinon en entier, sans le consentement écrit du CEAEQ

Version 1 (1553027)

Certificat d'analyse (suite de l'échantillon numéro : Q161700-24)

Métaux tissus animaux

Méthode: MA. 207 - Métaux TB Date d'analyse: 4 septembre 2025	Résultat	Unité	LDM
Aluminium	0,17	mg/kg	0,11
Thallium	0,009	mg/kg	0,001
Arsenic	0,014	mg/kg	0,0044
Baryum	0,0070	mg/kg	0,00132
Cadmium	<0,0044	mg/kg	0,0044
Cobalt	0,004	mg/kg	0,001
Chrome	0,24	mg/kg	0,007
Cuivre	0,16	mg/kg	0,03
Fer	2,4	mg/kg	0,1
Manganèse	0,11	mg/kg	0,01
Molybdène	0,0040	mg/kg	0,00022
Nickel	0,073	mg/kg	0,00132
Plomb	<0,00044	mg/kg	0,00044
Sélénium	0,32	mg/kg	0,06
Strontium	0,065	mg/kg	0,0154
Vanadium	<0,0044	mg/kg	0,0044
Zinc	2,9	mg/kg	0,06
Uranium	<0,00022	mg/kg	0,00022

Remarque(s)

Niveau: Paramètre

No Éch.: Q161700-24 **Paramètre:** Métaux tissus animaux

Remarque

Ce paramètre ne fait pas partie de la portée d'accréditation du Conseil canadien des normes.

Les résultats sont sur base humide.

Ce certificat ne doit pas être reproduit, sinon en entier, sans le consentement écrit du CEAEQ

Version 1 (1553027)

Certificat d'analyse (suite de l'échantillon numéro : Q161700-25)

Numéro de l'échantillon : Q161700-25

Préleveur:
Date de prélèvement: 9 juillet 2025
Description de l'échantillon: B
Description de prélèvement: L752
Point de prélèvement:
Nature de l'échantillon: tissu animal

Mercure

Méthode: MA. 207 - Hg 2.1 Date d'analyse: 9 septembre 2025	Résultat	Unité	LDM
Mercure	0,59	mg/kg	0,01

Métaux Terres rares

Méthode: MA. 207 - Mét.T.rares TB Date d'analyse: 4 septembre 2025	Résultat	Unité	LDM
Dysprosium	<1	µg/kg	1
Erbium	<1	µg/kg	1
Europium	<1	µg/kg	1
Gadolinium	<2	µg/kg	2
Holmium	<1	µg/kg	1
Lithium	6	µg/kg	4
Niobium	1	µg/kg	1
Samarium	<1	µg/kg	1
Scandium	<1	µg/kg	1
Terbium	<1	µg/kg	1
Thorium	<1	µg/kg	1
Thulium	<1	µg/kg	1
Ytterbium	<2	µg/kg	2
Yttrium	15	µg/kg	1
Uranium	<1	µg/kg	1
Lanthane	<1	µg/kg	1
Lutécium	<1	µg/kg	1
Cérium	2	µg/kg	1
Néodyme	<1	µg/kg	1
Praséodyme	<1	µg/kg	1

Ce certificat ne doit pas être reproduit, sinon en entier, sans le consentement écrit du CEAEQ

Version 1 (1553027)

Certificat d'analyse (suite de l'échantillon numéro : Q161700-25)

Métaux tissus animaux

Méthode: MA. 207 - Métaux TB	Résultat	Unité	LDM
Date d'analyse: 4 septembre 2025			
Aluminium	0,19	mg/kg	0,11
Thallium	0,007	mg/kg	0,001
Arsenic	0,031	mg/kg	0,0044
Baryum	0,0065	mg/kg	0,00132
Cadmium	<0,0044	mg/kg	0,0044
Cobalt	0,002	mg/kg	0,001
Chrome	0,023	mg/kg	0,007
Cuivre	0,13	mg/kg	0,03
Fer	2,4	mg/kg	0,1
Manganèse	0,09	mg/kg	0,01
Molybdène	0,001	mg/kg	0,001
Nickel	0,013	mg/kg	0,006
Plomb	<0,00044	mg/kg	0,00044
Sélénium	0,30	mg/kg	0,06
Strontium	0,041	mg/kg	0,0154
Vanadium	<0,0044	mg/kg	0,0044
Zinc	3,1	mg/kg	0,06
Uranium	<0,00022	mg/kg	0,00022

Remarque(s)

Niveau: Paramètre

No Éch.: Q161700-25 **Paramètre:** Métaux tissus animaux

Remarque

Ce paramètre ne fait pas partie de la portée d'accréditation du Conseil canadien des normes.

Les résultats sont sur base humide.

Ce certificat ne doit pas être reproduit, sinon en entier, sans le consentement écrit du CEAEQ

Certificat d'analyse (suite de l'échantillon numéro : Q161700-26)

Numéro de l'échantillon : Q161700-26

Préleveur:
Date de prélèvement: 10 juillet 2025
Description de l'échantillon: H
Description de prélèvement: L752
Point de prélèvement:
Nature de l'échantillon: tissu animal

Mercure

Méthode: MA. 207 - Hg 2.1 Date d'analyse: 9 septembre 2025	Résultat	Unité	LDM
Mercure	0,25	mg/kg	0,01

Métaux Terres rares

Méthode: MA. 207 - Mét.T.rares TB Date d'analyse: 4 septembre 2025	Résultat	Unité	LDM
Dysprosium	<1	µg/kg	1
Erbium	<1	µg/kg	1
Europium	<1	µg/kg	1
Gadolinium	<2	µg/kg	2
Holmium	<1	µg/kg	1
Lithium	5	µg/kg	4
Niobium	2	µg/kg	1
Samarium	<1	µg/kg	1
Scandium	<1	µg/kg	1
Terbium	<1	µg/kg	1
Thorium	<1	µg/kg	1
Thulium	<1	µg/kg	1
Ytterbium	<2	µg/kg	2
Yttrium	22	µg/kg	1
Uranium	<1	µg/kg	1
Lanthane	<1	µg/kg	1
Lutécium	<1	µg/kg	1
Cérium	2	µg/kg	1
Néodyme	<1	µg/kg	1
Praséodyme	<1	µg/kg	1

Ce certificat ne doit pas être reproduit, sinon en entier, sans le consentement écrit du CEAEQ

Version 1 (1553027)

Certificat d'analyse (suite de l'échantillon numéro : Q161700-26)

Métaux tissus animaux

Méthode: MA. 207 - Métaux TB Date d'analyse: 4 septembre 2025	Résultat	Unité	LDM
Aluminium	0,19	mg/kg	0,11
Thallium	0,007	mg/kg	0,001
Arsenic	0,017	mg/kg	0,0044
Baryum	0,017	mg/kg	0,00132
Cadmium	<0,0044	mg/kg	0,0044
Cobalt	0,003	mg/kg	0,001
Chrome	0,038	mg/kg	0,007
Cuivre	0,15	mg/kg	0,03
Fer	1,8	mg/kg	0,1
Manganèse	0,12	mg/kg	0,01
Molybdène	0,001	mg/kg	0,001
Nickel	0,021	mg/kg	0,006
Plomb	<0,00044	mg/kg	0,00044
Sélénium	0,33	mg/kg	0,06
Strontium	0,086	mg/kg	0,0154
Vanadium	<0,0044	mg/kg	0,0044
Zinc	3,3	mg/kg	0,06
Uranium	<0,00022	mg/kg	0,00022

Remarque(s)

Niveau: Paramètre

No Éch.: Q161700-26 **Paramètre:** Métaux tissus animaux

Remarque

Ce paramètre ne fait pas partie de la portée d'accréditation du Conseil canadien des normes.

Les résultats sont sur base humide.

Ce certificat ne doit pas être reproduit, sinon en entier, sans le consentement écrit du CEAEQ

Certificat d'analyse (suite de l'échantillon numéro : Q161700-27)

Numéro de l'échantillon : Q161700-27

Préleveur:
Date de prélèvement: 10 juillet 2025
Description de l'échantillon: I
Description de prélèvement: L752
Point de prélèvement:
Nature de l'échantillon: tissu animal

Mercure

Méthode: MA. 207 - Hg 2.1 Date d'analyse: 9 septembre 2025	Résultat	Unité	LDM
Mercure	0,19	mg/kg	0,01

Métaux Terres rares

Méthode: MA. 207 - Mét.T.rares TB Date d'analyse: 4 septembre 2025	Résultat	Unité	LDM
Dysprosium	<1	µg/kg	1
Erbium	<1	µg/kg	1
Europium	<1	µg/kg	1
Gadolinium	<2	µg/kg	2
Holmium	<1	µg/kg	1
Lithium	<4	µg/kg	4
Niobium	3	µg/kg	1
Samarium	<1	µg/kg	1
Scandium	<1	µg/kg	1
Terbium	<1	µg/kg	1
Thorium	<1	µg/kg	1
Thulium	<1	µg/kg	1
Ytterbium	<2	µg/kg	2
Yttrium	13	µg/kg	1
Uranium	<1	µg/kg	1
Lanthane	<1	µg/kg	1
Lutécium	<1	µg/kg	1
Cérium	2	µg/kg	1
Néodyme	<1	µg/kg	1
Praséodyme	<1	µg/kg	1

Ce certificat ne doit pas être reproduit, sinon en entier, sans le consentement écrit du CEAEQ

Version 1 (1553027)

Certificat d'analyse (suite de l'échantillon numéro : Q161700-27)

Métaux tissus animaux

Méthode: MA. 207 - Métaux TB	Résultat	Unité	LDM
Date d'analyse: 4 septembre 2025			
Aluminium	0,16	mg/kg	0,11
Thallium	0,012	mg/kg	0,001
Arsenic	0,025	mg/kg	0,0044
Baryum	0,0084	mg/kg	0,00132
Cadmium	<0,0044	mg/kg	0,0044
Cobalt	0,005	mg/kg	0,001
Chrome	0,19	mg/kg	0,007
Cuivre	0,13	mg/kg	0,03
Fer	1,8	mg/kg	0,1
Manganèse	0,14	mg/kg	0,01
Molybdène	0,006	mg/kg	0,001
Nickel	0,10	mg/kg	0,006
Plomb	<0,00044	mg/kg	0,00044
Sélénium	0,28	mg/kg	0,06
Strontium	0,050	mg/kg	0,0154
Vanadium	<0,0044	mg/kg	0,0044
Zinc	3,2	mg/kg	0,06
Uranium	<0,00022	mg/kg	0,00022

Remarque(s)

Niveau: Paramètre

No Éch.: Q161700-27 **Paramètre:** Métaux tissus animaux

Remarque

Ce paramètre ne fait pas partie de la portée d'accréditation du Conseil canadien des normes.

Les résultats sont sur base humide.

Ce certificat ne doit pas être reproduit, sinon en entier, sans le consentement écrit du CEAEQ

Certificat d'analyse (suite de l'échantillon numéro : Q161700-28)

Numéro de l'échantillon : Q161700-28

Préleveur:
Date de prélèvement: 10 juillet 2025
Description de l'échantillon: J
Description de prélèvement: L752
Point de prélèvement:
Nature de l'échantillon: tissu animal

Mercure

Méthode: MA. 207 - Hg 2.1 Date d'analyse: 9 septembre 2025	Résultat	Unité	LDM
Mercure	0,63	mg/kg	0,01

Métaux Terres rares

Méthode: MA. 207 - Mét.T.rares TB Date d'analyse: 4 septembre 2025	Résultat	Unité	LDM
Dysprosium	<1	µg/kg	1
Erbium	<1	µg/kg	1
Europium	<1	µg/kg	1
Gadolinium	<2	µg/kg	2
Holmium	<1	µg/kg	1
Lithium	11	µg/kg	4
Niobium	2	µg/kg	1
Samarium	<1	µg/kg	1
Scandium	<1	µg/kg	1
Terbium	<1	µg/kg	1
Thorium	<1	µg/kg	1
Thulium	<1	µg/kg	1
Ytterbium	<2	µg/kg	2
Yttrium	16	µg/kg	1
Uranium	<1	µg/kg	1
Lanthane	<1	µg/kg	1
Lutécium	<1	µg/kg	1
Cérium	2	µg/kg	1
Néodyme	<1	µg/kg	1
Praséodyme	<1	µg/kg	1

Ce certificat ne doit pas être reproduit, sinon en entier, sans le consentement écrit du CEAEQ

Version 1 (1553027)

Certificat d'analyse (suite de l'échantillon numéro : Q161700-28)

Métaux tissus animaux

Méthode: MA. 207 - Métaux TB Date d'analyse: 4 septembre 2025	Résultat	Unité	LDM
Aluminium	0,15	mg/kg	0,11
Thallium	0,006	mg/kg	0,001
Arsenic	0,037	mg/kg	0,0044
Baryum	0,026	mg/kg	0,00132
Cadmium	<0,0044	mg/kg	0,0044
Cobalt	0,003	mg/kg	0,001
Chrome	0,027	mg/kg	0,007
Cuivre	0,13	mg/kg	0,03
Fer	1,9	mg/kg	0,1
Manganèse	0,10	mg/kg	0,01
Molybdène	0,001	mg/kg	0,001
Nickel	0,012	mg/kg	0,006
Plomb	<0,00044	mg/kg	0,00044
Sélénium	0,38	mg/kg	0,06
Strontium	0,14	mg/kg	0,0154
Vanadium	<0,0044	mg/kg	0,0044
Zinc	2,6	mg/kg	0,06
Uranium	<0,00022	mg/kg	0,00022

Remarque(s)

Niveau: Paramètre

No Éch.: Q161700-28 **Paramètre:** Métaux tissus animaux

Remarque

Ce paramètre ne fait pas partie de la portée d'accréditation du Conseil canadien des normes.

Les résultats sont sur base humide.

Ce certificat ne doit pas être reproduit, sinon en entier, sans le consentement écrit du CEAEQ

Version 1 (1553027)

Certificat d'analyse (suite de l'échantillon numéro : Q161700-29)

Numéro de l'échantillon : Q161700-29

Préleveur:
Date de prélèvement: 10 juillet 2025
Description de l'échantillon: K
Description de prélèvement: L752
Point de prélèvement:
Nature de l'échantillon: tissu animal

Mercure

Méthode: MA. 207 - Hg 2.1 Date d'analyse: 9 septembre 2025	Résultat	Unité	LDM
Mercure	0,65	mg/kg	0,01

Métaux Terres rares

Méthode: MA. 207 - Mét.T.rares TB Date d'analyse: 4 septembre 2025	Résultat	Unité	LDM
Dysprosium	<1	µg/kg	1
Erbium	<1	µg/kg	1
Europium	<1	µg/kg	1
Gadolinium	<2	µg/kg	2
Holmium	<1	µg/kg	1
Lithium	8	µg/kg	4
Niobium	37	µg/kg	1
Samarium	<1	µg/kg	1
Scandium	<1	µg/kg	1
Terbium	<1	µg/kg	1
Thorium	<1	µg/kg	1
Thulium	<1	µg/kg	1
Ytterbium	<2	µg/kg	2
Yttrium	29	µg/kg	1
Uranium	<1	µg/kg	1
Lanthane	<1	µg/kg	1
Lutécium	<1	µg/kg	1
Cérium	2	µg/kg	1
Néodyme	<1	µg/kg	1
Praséodyme	<1	µg/kg	1

Ce certificat ne doit pas être reproduit, sinon en entier, sans le consentement écrit du CEAEQ

Version 1 (1553027)

Certificat d'analyse (suite de l'échantillon numéro : Q161700-29)

Métaux tissus animaux

Méthode: MA. 207 - Métaux TB	Résultat	Unité	LDM
Date d'analyse: 4 septembre 2025			
Aluminium	0,16	mg/kg	0,11
Thallium	0,007	mg/kg	0,001
Arsenic	0,045	mg/kg	0,0044
Baryum	0,0058	mg/kg	0,00132
Cadmium	<0,0044	mg/kg	0,0044
Cobalt	0,008	mg/kg	0,001
Chrome	0,83	mg/kg	0,007
Cuivre	0,32	mg/kg	0,03
Fer	5,5	mg/kg	0,1
Manganèse	0,11	mg/kg	0,01
Molybdène	0,012	mg/kg	0,001
Nickel	0,25	mg/kg	0,006
Plomb	<0,00044	mg/kg	0,00044
Sélénium	0,40	mg/kg	0,06
Strontium	0,052	mg/kg	0,0154
Vanadium	0,0068	mg/kg	0,0044
Zinc	2,8	mg/kg	0,06
Uranium	<0,00022	mg/kg	0,00022

Remarque(s)

Niveau: Paramètre

No Éch.: Q161700-29 **Paramètre:** Métaux tissus animaux

Remarque

Ce paramètre ne fait pas partie de la portée d'accréditation du Conseil canadien des normes.

Les résultats sont sur base humide.

Ce certificat ne doit pas être reproduit, sinon en entier, sans le consentement écrit du CEAEQ

Version 1 (1553027)

Certificat d'analyse (suite de l'échantillon numéro : Q161700-30)

Numéro de l'échantillon : Q161700-30

Préleveur:
Date de prélèvement: 10 juillet 2025
Description de l'échantillon: L
Description de prélèvement: L752
Point de prélèvement:
Nature de l'échantillon: tissu animal

Mercure

Méthode: MA. 207 - Hg 2.1 Date d'analyse: 9 septembre 2025	Résultat	Unité	LDM
Mercure	0,51	mg/kg	0,01

Métaux Terres rares

Méthode: MA. 207 - Mét.T.rares TB Date d'analyse: 4 septembre 2025	Résultat	Unité	LDM
Dysprosium	<1	µg/kg	1
Erbium	<1	µg/kg	1
Europium	<1	µg/kg	1
Gadolinium	<2	µg/kg	2
Holmium	<1	µg/kg	1
Lithium	8	µg/kg	4
Niobium	4	µg/kg	1
Samarium	<1	µg/kg	1
Scandium	<1	µg/kg	1
Terbium	<1	µg/kg	1
Thorium	<1	µg/kg	1
Thulium	<1	µg/kg	1
Ytterbium	<2	µg/kg	2
Yttrium	20	µg/kg	1
Uranium	<1	µg/kg	1
Lanthane	<1	µg/kg	1
Lutécium	<1	µg/kg	1
Cérium	1	µg/kg	1
Néodyme	<1	µg/kg	1
Praséodyme	<1	µg/kg	1

Ce certificat ne doit pas être reproduit, sinon en entier, sans le consentement écrit du CEAEQ

Version 1 (1553027)

Certificat d'analyse (suite de l'échantillon numéro : Q161700-30)

Métaux tissus animaux

Méthode: MA. 207 - Métaux TB Date d'analyse: 4 septembre 2025	Résultat	Unité	LDM
Aluminium	0,14	mg/kg	0,11
Thallium	0,006	mg/kg	0,001
Arsenic	0,037	mg/kg	0,0044
Baryum	0,0068	mg/kg	0,00132
Cadmium	<0,0044	mg/kg	0,0044
Cobalt	0,004	mg/kg	0,001
Chrome	0,084	mg/kg	0,007
Cuivre	0,17	mg/kg	0,03
Fer	2,1	mg/kg	0,1
Manganèse	0,08	mg/kg	0,01
Molybdène	0,002	mg/kg	0,001
Nickel	0,030	mg/kg	0,006
Plomb	<0,00044	mg/kg	0,00044
Sélénium	0,38	mg/kg	0,06
Strontium	0,036	mg/kg	0,0154
Vanadium	<0,0044	mg/kg	0,0044
Zinc	3,1	mg/kg	0,06
Uranium	<0,00022	mg/kg	0,00022

Remarque(s)

Niveau: Paramètre

No Éch.: Q161700-30 **Paramètre:** Métaux tissus animaux

Remarque

Ce paramètre ne fait pas partie de la portée d'accréditation du Conseil canadien des normes.

Les résultats sont sur base humide.

Ce certificat ne doit pas être reproduit, sinon en entier, sans le consentement écrit du CEAEQ

Certificat d'analyse (suite de l'échantillon numéro : Q161700-31)

Numéro de l'échantillon : Q161700-31

Préleveur:
Date de prélèvement: 11 juillet 2025
Description de l'échantillon: N
Description de prélèvement: L752
Point de prélèvement:
Nature de l'échantillon: tissu animal

Mercure

Méthode: MA. 207 - Hg 2.1 Date d'analyse: 9 septembre 2025	Résultat	Unité	LDM
Mercure	0,19	mg/kg	0,01

Métaux Terres rares

Méthode: MA. 207 - Mét.T.rares TB Date d'analyse: 4 septembre 2025	Résultat	Unité	LDM
Dysprosium	<1	µg/kg	1
Erbium	<1	µg/kg	1
Europium	<1	µg/kg	1
Gadolinium	<2	µg/kg	2
Holmium	<1	µg/kg	1
Lithium	7	µg/kg	4
Niobium	9	µg/kg	1
Samarium	<1	µg/kg	1
Scandium	<1	µg/kg	1
Terbium	<1	µg/kg	1
Thorium	<1	µg/kg	1
Thulium	<1	µg/kg	1
Ytterbium	<2	µg/kg	2
Yttrium	21	µg/kg	1
Uranium	<1	µg/kg	1
Lanthane	<1	µg/kg	1
Lutécium	<1	µg/kg	1
Cérium	2	µg/kg	1
Néodyme	<1	µg/kg	1
Praséodyme	<1	µg/kg	1

Ce certificat ne doit pas être reproduit, sinon en entier, sans le consentement écrit du CEAEQ

Version 1 (1553027)

Certificat d'analyse (suite de l'échantillon numéro : Q161700-31)

Métaux tissus animaux

Méthode: MA. 207 - Métaux TB	Résultat	Unité	LDM
Date d'analyse: 4 septembre 2025			
Aluminium	0,15	mg/kg	0,11
Thallium	0,010	mg/kg	0,001
Arsenic	0,057	mg/kg	0,0044
Baryum	0,078	mg/kg	0,00132
Cadmium	<0,0044	mg/kg	0,0044
Cobalt	0,005	mg/kg	0,001
Chrome	0,21	mg/kg	0,007
Cuivre	0,18	mg/kg	0,03
Fer	2,8	mg/kg	0,1
Manganèse	0,24	mg/kg	0,01
Molybdène	0,004	mg/kg	0,001
Nickel	0,072	mg/kg	0,006
Plomb	<0,00044	mg/kg	0,00044
Sélénium	0,36	mg/kg	0,06
Strontium	0,41	mg/kg	0,0154
Vanadium	<0,0044	mg/kg	0,0044
Zinc	3,4	mg/kg	0,06
Uranium	<0,00022	mg/kg	0,00022

Remarque(s)

Niveau: Paramètre

No Éch.: Q161700-31 **Paramètre:** Métaux tissus animaux

Remarque

Ce paramètre ne fait pas partie de la portée d'accréditation du Conseil canadien des normes.

Les résultats sont sur base humide.

Ce certificat ne doit pas être reproduit, sinon en entier, sans le consentement écrit du CEAEQ

Version 1 (1553027)

Certificat d'analyse (suite de l'échantillon numéro : Q161700-32)

Numéro de l'échantillon : Q161700-32

Préleveur:
Date de prélèvement: 11 juillet 2025
Description de l'échantillon: Q
Description de prélèvement: L752
Point de prélèvement:
Nature de l'échantillon: tissu animal

Mercure

Méthode: MA. 207 - Hg 2.1 Date d'analyse: 9 septembre 2025	Résultat	Unité	LDM
Mercure	0,14	mg/kg	0,01

Métaux Terres rares

Méthode: MA. 207 - Mét.T.rares TB Date d'analyse: 4 septembre 2025	Résultat	Unité	LDM
Dysprosium	<1	µg/kg	1
Erbium	<1	µg/kg	1
Europium	<1	µg/kg	1
Gadolinium	<2	µg/kg	2
Holmium	<1	µg/kg	1
Lithium	<4	µg/kg	4
Niobium	13	µg/kg	1
Samarium	<1	µg/kg	1
Scandium	<1	µg/kg	1
Terbium	<1	µg/kg	1
Thorium	<1	µg/kg	1
Thulium	<1	µg/kg	1
Ytterbium	<2	µg/kg	2
Yttrium	12	µg/kg	1
Uranium	<1	µg/kg	1
Lanthane	<1	µg/kg	1
Lutécium	<1	µg/kg	1
Cérium	1	µg/kg	1
Néodyme	<1	µg/kg	1
Praséodyme	<1	µg/kg	1

Ce certificat ne doit pas être reproduit, sinon en entier, sans le consentement écrit du CEAEQ

Version 1 (1553027)

Certificat d'analyse (suite de l'échantillon numéro : Q161700-32)

Métaux tissus animaux

Méthode: MA. 207 - Métaux TB Date d'analyse: 4 septembre 2025	Résultat	Unité	LDM
Aluminium	0,16	mg/kg	0,11
Thallium	0,010	mg/kg	0,001
Arsenic	0,040	mg/kg	0,0044
Baryum	0,0078	mg/kg	0,00132
Cadmium	<0,0044	mg/kg	0,0044
Cobalt	0,006	mg/kg	0,001
Chrome	0,27	mg/kg	0,007
Cuivre	0,19	mg/kg	0,03
Fer	2,7	mg/kg	0,1
Manganèse	0,11	mg/kg	0,01
Molybdène	0,004	mg/kg	0,001
Nickel	0,082	mg/kg	0,006
Plomb	<0,00044	mg/kg	0,00044
Sélénium	0,40	mg/kg	0,06
Strontium	0,036	mg/kg	0,0154
Vanadium	<0,0044	mg/kg	0,0044
Zinc	3,3	mg/kg	0,06
Uranium	<0,00022	mg/kg	0,00022

Remarque(s)

Niveau: Paramètre

No Éch.: Q161700-32 **Paramètre:** Métaux tissus animaux

Remarque

Ce paramètre ne fait pas partie de la portée d'accréditation du Conseil canadien des normes.

Les résultats sont sur base humide.

Ce certificat ne doit pas être reproduit, sinon en entier, sans le consentement écrit du CEAEQ

Version 1 (1553027)

Certificat d'analyse (suite de l'échantillon numéro : Q161700-33)

Numéro de l'échantillon : Q161700-33

Préleveur:
Date de prélèvement: 11 juillet 2025
Description de l'échantillon: V
Description de prélèvement: L752
Point de prélèvement:
Nature de l'échantillon: tissu animal

Mercure

Méthode: MA. 207 - Hg 2.1 Date d'analyse: 9 septembre 2025	Résultat	Unité	LDM
Mercure	0,14	mg/kg	0,01

Métaux Terres rares

Méthode: MA. 207 - Mét.T.rares TB Date d'analyse: 4 septembre 2025	Résultat	Unité	LDM
Dysprosium	<1	µg/kg	1
Erbium	<1	µg/kg	1
Europium	<1	µg/kg	1
Gadolinium	<2	µg/kg	2
Holmium	<1	µg/kg	1
Lithium	8	µg/kg	4
Niobium	6	µg/kg	1
Samarium	<1	µg/kg	1
Scandium	<1	µg/kg	1
Terbium	<1	µg/kg	1
Thorium	<1	µg/kg	1
Thulium	<1	µg/kg	1
Ytterbium	<2	µg/kg	2
Yttrium	24	µg/kg	1
Uranium	<1	µg/kg	1
Lanthane	<1	µg/kg	1
Lutécium	<1	µg/kg	1
Cérium	2	µg/kg	1
Néodyme	<1	µg/kg	1
Praséodyme	<1	µg/kg	1

Ce certificat ne doit pas être reproduit, sinon en entier, sans le consentement écrit du CEAEQ

Version 1 (1553027)

Certificat d'analyse (suite de l'échantillon numéro : Q161700-33)

Métaux tissus animaux

Méthode: MA. 207 - Métaux TB	Résultat	Unité	LDM
Date d'analyse: 4 septembre 2025			
Aluminium	0,14	mg/kg	0,11
Thallium	0,004	mg/kg	0,001
Arsenic	0,033	mg/kg	0,0044
Baryum	0,0051	mg/kg	0,00132
Cadmium	<0,0044	mg/kg	0,0044
Cobalt	0,002	mg/kg	0,001
Chrome	0,11	mg/kg	0,007
Cuivre	0,15	mg/kg	0,03
Fer	2,1	mg/kg	0,1
Manganèse	0,07	mg/kg	0,01
Molybdène	0,002	mg/kg	0,001
Nickel	0,034	mg/kg	0,006
Plomb	<0,00044	mg/kg	0,00044
Sélénium	0,37	mg/kg	0,06
Strontium	0,046	mg/kg	0,0154
Vanadium	<0,0044	mg/kg	0,0044
Zinc	3,6	mg/kg	0,06
Uranium	<0,00022	mg/kg	0,00022

Remarque(s)

Niveau: Paramètre

No Éch.: Q161700-33 **Paramètre:** Métaux tissus animaux

Remarque

Ce paramètre ne fait pas partie de la portée d'accréditation du Conseil canadien des normes.

Les résultats sont sur base humide.

Ce certificat ne doit pas être reproduit, sinon en entier, sans le consentement écrit du CEAEQ

Certificat d'analyse (suite de l'échantillon numéro : Q161700-34)

Numéro de l'échantillon : Q161700-34

Préleveur:
Date de prélèvement: 11 juillet 2025
Description de l'échantillon: AG
Description de prélèvement: L752
Point de prélèvement:
Nature de l'échantillon: tissu animal

Mercure

Méthode: MA. 207 - Hg 2.1 Date d'analyse: 9 septembre 2025	Résultat	Unité	LDM
Mercure	0,61	mg/kg	0,01

Métaux Terres rares

Méthode: MA. 207 - Mét.T.rares TB Date d'analyse: 12 novembre 2025	Résultat	Unité	LDM
Dysprosium	<1	µg/kg	1
Erbium	<1	µg/kg	1
Europium	<1	µg/kg	1
Gadolinium	<2	µg/kg	2
Holmium	<1	µg/kg	1
Lithium	7	µg/kg	4
Niobium	3	µg/kg	1
Samarium	<1	µg/kg	1
Scandium	<1	µg/kg	1
Terbium	<1	µg/kg	1
Thorium	<1	µg/kg	1
Thulium	<1	µg/kg	1
Ytterbium	<2	µg/kg	2
Yttrium	21	µg/kg	1
Uranium	<1	µg/kg	1
Lanthane	<1	µg/kg	1
Lutécium	<1	µg/kg	1
Cérium	3	µg/kg	1
Néodyme	<1	µg/kg	1
Praséodyme	<1	µg/kg	1

Ce certificat ne doit pas être reproduit, sinon en entier, sans le consentement écrit du CEAEQ

Version 1 (1553027)

Certificat d'analyse (suite de l'échantillon numéro : Q161700-34)

Métaux tissus animaux

Méthode: MA. 207 - Métaux TB Date d'analyse: 12 novembre 2025	Résultat	Unité	LDM
Aluminium	<0,11	mg/kg	0,11
Thallium	0,004	mg/kg	0,001
Arsenic	0,028	mg/kg	0,0044
Baryum	0,0053	mg/kg	0,00132
Cadmium	<0,0044	mg/kg	0,0044
Cobalt	0,002	mg/kg	0,001
Chrome	0,083	mg/kg	0,007
Cuivre	0,14	mg/kg	0,03
Fer	1,9	mg/kg	0,1
Manganèse	0,07	mg/kg	0,01
Molybdène	0,006	mg/kg	0,001
Nickel	0,031	mg/kg	0,006
Plomb	<0,00044	mg/kg	0,00044
Sélénium	0,34	mg/kg	0,06
Strontium	0,048	mg/kg	0,0154
Vanadium	<0,0044	mg/kg	0,0044
Zinc	3,3	mg/kg	0,06
Uranium	<0,00022	mg/kg	0,00022

Remarque(s)

Niveau: Paramètre

No Éch.: Q161700-34 **Paramètre:** Métaux tissus animaux

Remarque

Ce paramètre ne fait pas partie de la portée d'accréditation du Conseil canadien des normes.

Les résultats sont sur base humide.

Ce certificat ne doit pas être reproduit, sinon en entier, sans le consentement écrit du CEAEQ

Certificat d'analyse (suite de l'échantillon numéro : Q161700-35)

Numéro de l'échantillon : Q161700-35

Préleveur:
Date de prélèvement: 13 juillet 2025
Description de l'échantillon: BN
Description de prélèvement: L752
Point de prélèvement:
Nature de l'échantillon: tissu animal

Mercure

Méthode: MA. 207 - Hg 2.1 **Date d'analyse:** 9 septembre 2025	**Résultat**	**Unité**	**LDM**
Mercure	0,92	mg/kg	0,01

Métaux Terres rares

Méthode: MA. 207 - Mét.T.rares TB **Date d'analyse:** 4 septembre 2025	**Résultat**	**Unité**	**LDM**
Dysprosium	<1	µg/kg	1
Erbium	<1	µg/kg	1
Europium	<1	µg/kg	1
Gadolinium	<2	µg/kg	2
Holmium	<1	µg/kg	1
Lithium	5	µg/kg	4
Niobium	5	µg/kg	1
Samarium	<1	µg/kg	1
Scandium	<1	µg/kg	1
Terbium	<1	µg/kg	1
Thorium	<1	µg/kg	1
Thulium	<1	µg/kg	1
Ytterbium	<2	µg/kg	2
Yttrium	19	µg/kg	1
Uranium	<1	µg/kg	1
Lanthane	<1	µg/kg	1
Lutécium	<1	µg/kg	1
Cérium	3	µg/kg	1
Néodyme	<1	µg/kg	1
Praséodyme	<1	µg/kg	1

Ce certificat ne doit pas être reproduit, sinon en entier, sans le consentement écrit du CEAEQ

Version 1 (1553027)

Certificat d'analyse (suite de l'échantillon numéro : Q161700-35)

Métaux tissus animaux

Méthode: MA. 207 - Métaux TB	Résultat	Unité	LDM
Date d'analyse: 4 septembre 2025			
Aluminium	0,18	mg/kg	0,11
Thallium	0,004	mg/kg	0,001
Arsenic	0,016	mg/kg	0,0044
Baryum	0,0044	mg/kg	0,00132
Cadmium	0,0052	mg/kg	0,0044
Cobalt	0,003	mg/kg	0,001
Chrome	0,077	mg/kg	0,007
Cuivre	0,20	mg/kg	0,03
Fer	2,5	mg/kg	0,1
Manganèse	0,08	mg/kg	0,01
Molybdène	0,002	mg/kg	0,001
Nickel	0,025	mg/kg	0,006
Plomb	0,00070	mg/kg	0,00044
Sélénium	0,54	mg/kg	0,06
Strontium	0,059	mg/kg	0,0154
Vanadium	<0,0044	mg/kg	0,0044
Zinc	3,4	mg/kg	0,06
Uranium	<0,00022	mg/kg	0,00022

Remarque(s)

Niveau: Paramètre

No Éch.: Q161700-35 **Paramètre:** Métaux tissus animaux

Remarque

Ce paramètre ne fait pas partie de la portée d'accréditation du Conseil canadien des normes.

Les résultats sont sur base humide.

Ce certificat ne doit pas être reproduit, sinon en entier, sans le consentement écrit du CEAEQ

Version 1 (1553027)

Certificat d'analyse (suite de l'échantillon numéro : Q161700-36)

Numéro de l'échantillon : Q161700-36

Préleveur:
Date de prélèvement: 13 juillet 2025
Description de l'échantillon: BP
Description de prélèvement: L752
Point de prélèvement:
Nature de l'échantillon: tissu animal

Mercure

Méthode: MA. 207 - Hg 2.1 Date d'analyse: 9 septembre 2025	Résultat	Unité	LDM
Mercure	0,72	mg/kg	0,01

Métaux Terres rares

Méthode: MA. 207 - Mét.T.rares TB Date d'analyse: 4 septembre 2025	Résultat	Unité	LDM
Dysprosium	<1	µg/kg	1
Erbium	<1	µg/kg	1
Europium	<1	µg/kg	1
Gadolinium	<2	µg/kg	2
Holmium	<1	µg/kg	1
Lithium	6	µg/kg	4
Niobium	5	µg/kg	1
Samarium	<1	µg/kg	1
Scandium	<1	µg/kg	1
Terbium	<1	µg/kg	1
Thorium	<1	µg/kg	1
Thulium	<1	µg/kg	1
Ytterbium	<2	µg/kg	2
Yttrium	25	µg/kg	1
Uranium	<1	µg/kg	1
Lanthane	<1	µg/kg	1
Lutécium	<1	µg/kg	1
Cérium	2	µg/kg	1
Néodyme	<1	µg/kg	1
Praséodyme	<1	µg/kg	1

Ce certificat ne doit pas être reproduit, sinon en entier, sans le consentement écrit du CEAEQ

Version 1 (1553027)

Certificat d'analyse (suite de l'échantillon numéro : Q161700-36)

Métaux tissus animaux

Méthode: MA. 207 - Métaux TB Date d'analyse: 4 septembre 2025	Résultat	Unité	LDM
Aluminium	0,18	mg/kg	0,11
Thallium	0,006	mg/kg	0,001
Arsenic	0,022	mg/kg	0,0044
Baryum	0,015	mg/kg	0,00132
Cadmium	<0,0044	mg/kg	0,0044
Cobalt	0,002	mg/kg	0,001
Chrome	0,12	mg/kg	0,007
Cuivre	0,14	mg/kg	0,03
Fer	1,7	mg/kg	0,1
Manganèse	0,09	mg/kg	0,01
Molybdène	0,002	mg/kg	0,001
Nickel	0,042	mg/kg	0,006
Plomb	0,00080	mg/kg	0,00044
Sélénium	0,44	mg/kg	0,06
Strontium	0,064	mg/kg	0,0154
Vanadium	<0,0044	mg/kg	0,0044
Zinc	2,6	mg/kg	0,06
Uranium	<0,00022	mg/kg	0,00022

Remarque(s)

Niveau: Paramètre

No Éch.: Q161700-36 **Paramètre:** Métaux tissus animaux

Remarque

Ce paramètre ne fait pas partie de la portée d'accréditation du Conseil canadien des normes.

Les résultats sont sur base humide.

Ce certificat ne doit pas être reproduit, sinon en entier, sans le consentement écrit du CEAEQ

Certificat d'analyse (suite de l'échantillon numéro : Q161700-37)

Numéro de l'échantillon : Q161700-37

Préleveur:
Date de prélèvement: 12 juillet 2025
Description de l'échantillon: AO
Description de prélèvement: L752
Point de prélèvement:
Nature de l'échantillon: tissu animal

Mercure

Méthode: MA. 207 - Hg 2.1 Date d'analyse: 9 septembre 2025	Résultat	Unité	LDM
Mercure	0,36	mg/kg	0,01

Métaux Terres rares

Méthode: MA. 207 - Mét.T.rares TB Date d'analyse: 4 septembre 2025	Résultat	Unité	LDM
Dysprosium	<1	µg/kg	1
Erbium	<1	µg/kg	1
Europium	<1	µg/kg	1
Gadolinium	<2	µg/kg	2
Holmium	<1	µg/kg	1
Lithium	8	µg/kg	4
Niobium	35	µg/kg	1
Samarium	<1	µg/kg	1
Scandium	<1	µg/kg	1
Terbium	<1	µg/kg	1
Thorium	<1	µg/kg	1
Thulium	<1	µg/kg	1
Ytterbium	<2	µg/kg	2
Yttrium	37	µg/kg	1
Uranium	<1	µg/kg	1
Lanthane	<1	µg/kg	1
Lutécium	<1	µg/kg	1
Cérium	4	µg/kg	1
Néodyme	<1	µg/kg	1
Praséodyme	<1	µg/kg	1

Ce certificat ne doit pas être reproduit, sinon en entier, sans le consentement écrit du CEAEQ

Version 1 (1553027)

Certificat d'analyse (suite de l'échantillon numéro : Q161700-37)

Métaux tissus animaux

Méthode: MA. 207 - Métaux TB	Résultat	Unité	LDM
Date d'analyse: 4 septembre 2025			
Aluminium	0,16	mg/kg	0,11
Thallium	0,007	mg/kg	0,001
Arsenic	0,022	mg/kg	0,0044
Baryum	0,0078	mg/kg	0,00132
Cadmium	<0,0044	mg/kg	0,0044
Cobalt	0,005	mg/kg	0,001
Chrome	0,53	mg/kg	0,007
Cuivre	0,29	mg/kg	0,03
Fer	4,4	mg/kg	0,1
Manganèse	0,13	mg/kg	0,01
Molybdène	0,008	mg/kg	0,001
Nickel	0,16	mg/kg	0,006
Plomb	<0,00044	mg/kg	0,00044
Sélénium	0,44	mg/kg	0,06
Strontium	0,097	mg/kg	0,0154
Vanadium	<0,0044	mg/kg	0,0044
Zinc	3,4	mg/kg	0,06
Uranium	<0,00022	mg/kg	0,00022

Remarque(s)

Niveau: Paramètre

No Éch.: Q161700-37 **Paramètre:** Métaux tissus animaux

Remarque

Ce paramètre ne fait pas partie de la portée d'accréditation du Conseil canadien des normes.

Les résultats sont sur base humide.

Ce certificat ne doit pas être reproduit, sinon en entier, sans le consentement écrit du CEAEQ

Certificat d'analyse (suite de l'échantillon numéro : Q161700-38)

Numéro de l'échantillon : Q161700-38

Préleveur:
Date de prélèvement: 12 juillet 2025
Description de l'échantillon: AP
Description de prélèvement: L752
Point de prélèvement:
Nature de l'échantillon: tissu animal

Mercure

Méthode: MA. 207 - Hg 2.1 Date d'analyse: 9 septembre 2025	Résultat	Unité	LDM
Mercure	0,26	mg/kg	0,01

Métaux Terres rares

Méthode: MA. 207 - Mét.T.rares TB Date d'analyse: 4 septembre 2025	Résultat	Unité	LDM
Dysprosium	<1	µg/kg	1
Erbium	<1	µg/kg	1
Europium	<1	µg/kg	1
Gadolinium	<2	µg/kg	2
Holmium	<1	µg/kg	1
Lithium	5	µg/kg	4
Niobium	12	µg/kg	1
Samarium	<1	µg/kg	1
Scandium	<1	µg/kg	1
Terbium	<1	µg/kg	1
Thorium	<1	µg/kg	1
Thulium	<1	µg/kg	1
Ytterbium	<2	µg/kg	2
Yttrium	16	µg/kg	1
Uranium	<1	µg/kg	1
Lanthane	<1	µg/kg	1
Lutécium	<1	µg/kg	1
Cérium	3	µg/kg	1
Néodyme	<1	µg/kg	1
Praséodyme	<1	µg/kg	1

Ce certificat ne doit pas être reproduit, sinon en entier, sans le consentement écrit du CEAEQ

Version 1 (1553027)

Certificat d'analyse (suite de l'échantillon numéro : Q161700-38)

Métaux tissus animaux

Méthode: MA. 207 - Métaux TB	Résultat	Unité	LDM
Date d'analyse: 4 septembre 2025			
Aluminium	0,31	mg/kg	0,11
Thallium	0,012	mg/kg	0,001
Arsenic	0,016	mg/kg	0,0044
Baryum	0,0099	mg/kg	0,00132
Cadmium	<0,0044	mg/kg	0,0044
Cobalt	0,003	mg/kg	0,001
Chrome	0,19	mg/kg	0,007
Cuivre	0,18	mg/kg	0,03
Fer	2,8	mg/kg	0,1
Manganèse	0,13	mg/kg	0,01
Molybdène	0,004	mg/kg	0,001
Nickel	0,062	mg/kg	0,006
Plomb	<0,00044	mg/kg	0,00044
Sélénium	0,38	mg/kg	0,06
Strontium	0,083	mg/kg	0,0154
Vanadium	<0,0044	mg/kg	0,0044
Zinc	3,1	mg/kg	0,06
Uranium	<0,00022	mg/kg	0,00022

Remarque(s)

Niveau: Paramètre

No Éch.: Q161700-38 **Paramètre:** Métaux tissus animaux

Remarque

Ce paramètre ne fait pas partie de la portée d'accréditation du Conseil canadien des normes.

Les résultats sont sur base humide.

Ce certificat ne doit pas être reproduit, sinon en entier, sans le consentement écrit du CEAEQ

Version 1 (1553027)

Certificat d'analyse (suite de l'échantillon numéro : Q161700-39)

Numéro de l'échantillon : Q161700-39

Préleveur:
Date de prélèvement: 12 juillet 2025
Description de l'échantillon: AN
Description de prélèvement: L752
Point de prélèvement:
Nature de l'échantillon: tissu animal

Mercure

Méthode: MA. 207 - Hg 2.1 Date d'analyse: 9 septembre 2025	Résultat	Unité	LDM
Mercure	0,73	mg/kg	0,01

Métaux Terres rares

Méthode: MA. 207 - Mét.T.rares TB Date d'analyse: 4 septembre 2025	Résultat	Unité	LDM
Dysprosium	<1	µg/kg	1
Erbium	<1	µg/kg	1
Europium	<1	µg/kg	1
Gadolinium	<2	µg/kg	2
Holmium	<1	µg/kg	1
Lithium	5	µg/kg	4
Niobium	7	µg/kg	1
Samarium	<1	µg/kg	1
Scandium	<1	µg/kg	1
Terbium	<1	µg/kg	1
Thorium	<1	µg/kg	1
Thulium	<1	µg/kg	1
Ytterbium	<2	µg/kg	2
Yttrium	14	µg/kg	1
Uranium	<1	µg/kg	1
Lanthane	<1	µg/kg	1
Lutécium	<1	µg/kg	1
Cérium	4	µg/kg	1
Néodyme	<1	µg/kg	1
Praséodyme	<1	µg/kg	1

Ce certificat ne doit pas être reproduit, sinon en entier, sans le consentement écrit du CEAEQ

Version 1 (1553027)

Certificat d'analyse (suite de l'échantillon numéro : Q161700-39)

Métaux tissus animaux

Méthode: MA. 207 - Métaux TB	Résultat	Unité	LDM
Date d'analyse: 4 septembre 2025			
Aluminium	0,12	mg/kg	0,11
Thallium	0,007	mg/kg	0,001
Arsenic	0,019	mg/kg	0,0044
Baryum	0,0073	mg/kg	0,00132
Cadmium	<0,0044	mg/kg	0,0044
Cobalt	0,002	mg/kg	0,001
Chrome	0,10	mg/kg	0,007
Cuivre	0,14	mg/kg	0,03
Fer	2,5	mg/kg	0,1
Manganèse	0,09	mg/kg	0,01
Molybdène	0,002	mg/kg	0,001
Nickel	0,033	mg/kg	0,006
Plomb	<0,00044	mg/kg	0,00044
Sélénium	0,57	mg/kg	0,06
Strontium	0,051	mg/kg	0,0154
Vanadium	<0,0044	mg/kg	0,0044
Zinc	3,3	mg/kg	0,06
Uranium	<0,00022	mg/kg	0,00022

Remarque(s)

Niveau: Paramètre

No Éch.: Q161700-39 **Paramètre:** Métaux tissus animaux

Remarque

Ce paramètre ne fait pas partie de la portée d'accréditation du Conseil canadien des normes.

Les résultats sont sur base humide.

Ce certificat ne doit pas être reproduit, sinon en entier, sans le consentement écrit du CEAEQ

Version 1 (1553027)

Certificat d'analyse (suite de l'échantillon numéro : Q161700-40)

Numéro de l'échantillon : Q161700-40

Préleveur:
Date de prélèvement: 12 juillet 2025
Description de l'échantillon: AX
Description de prélèvement: L752
Point de prélèvement:
Nature de l'échantillon: tissu animal

Mercure

Méthode: MA. 207 - Hg 2.1 Date d'analyse: 9 septembre 2025	Résultat	Unité	LDM
Mercure	0,85	mg/kg	0,01

Métaux Terres rares

Méthode: MA. 207 - Mét.T.rares TB Date d'analyse: 4 septembre 2025	Résultat	Unité	LDM
Dysprosium	<1	µg/kg	1
Erbium	<1	µg/kg	1
Europium	<1	µg/kg	1
Gadolinium	<2	µg/kg	2
Holmium	<1	µg/kg	1
Lithium	<4	µg/kg	4
Niobium	34	µg/kg	1
Samarium	<1	µg/kg	1
Scandium	<1	µg/kg	1
Terbium	<1	µg/kg	1
Thorium	<1	µg/kg	1
Thulium	<1	µg/kg	1
Ytterbium	<2	µg/kg	2
Yttrium	38	µg/kg	1
Uranium	<1	µg/kg	1
Lanthane	<1	µg/kg	1
Lutécium	<1	µg/kg	1
Cérium	5	µg/kg	1
Néodyme	<1	µg/kg	1
Praséodyme	<1	µg/kg	1

Ce certificat ne doit pas être reproduit, sinon en entier, sans le consentement écrit du CEAEQ

Version 1 (1553027)

Certificat d'analyse (suite de l'échantillon numéro : Q161700-40)

Métaux tissus animaux

Méthode: MA. 207 - Métaux TB Date d'analyse: 4 septembre 2025	Résultat	Unité	LDM
Aluminium	0,17	mg/kg	0,11
Thallium	0,010	mg/kg	0,001
Arsenic	0,030	mg/kg	0,0044
Baryum	0,0051	mg/kg	0,00132
Cadmium	0,0045	mg/kg	0,0044
Cobalt	0,005	mg/kg	0,001
Chrome	0,48	mg/kg	0,007
Cuivre	0,27	mg/kg	0,03
Fer	5,3	mg/kg	0,1
Manganèse	0,09	mg/kg	0,01
Molybdène	0,007	mg/kg	0,001
Nickel	0,15	mg/kg	0,006
Plomb	<0,00044	mg/kg	0,00044
Sélénium	0,44	mg/kg	0,06
Strontium	0,047	mg/kg	0,0154
Vanadium	<0,0044	mg/kg	0,0044
Zinc	2,5	mg/kg	0,06
Uranium	<0,00022	mg/kg	0,00022

Remarque(s)

Niveau: Paramètre

No Éch.: Q161700-40 **Paramètre:** Métaux tissus animaux

Remarque

Ce paramètre ne fait pas partie de la portée d'accréditation du Conseil canadien des normes.

Les résultats sont sur base humide.

Ce certificat ne doit pas être reproduit, sinon en entier, sans le consentement écrit du CEAEQ

Version 1 (1553027)

Certificat d'analyse (suite de l'échantillon numéro : Q161700-41)

Numéro de l'échantillon : Q161700-41

Préleveur:
Date de prélèvement: 13 juillet 2025
Description de l'échantillon: BK
Description de prélèvement: L752
Point de prélèvement:
Nature de l'échantillon: tissu animal

Mercure

Méthode: MA. 207 - Hg 2.1 Date d'analyse: 9 septembre 2025	Résultat	Unité	LDM
Mercure	0,27	mg/kg	0,01

Métaux Terres rares

Méthode: MA. 207 - Mét.T.rares TB Date d'analyse: 4 septembre 2025	Résultat	Unité	LDM
Dysprosium	<1	µg/kg	1
Erbium	<1	µg/kg	1
Europium	<1	µg/kg	1
Gadolinium	<2	µg/kg	2
Holmium	<1	µg/kg	1
Lithium	6	µg/kg	4
Niobium	5	µg/kg	1
Samarium	<1	µg/kg	1
Scandium	<1	µg/kg	1
Terbium	<1	µg/kg	1
Thorium	<1	µg/kg	1
Thulium	<1	µg/kg	1
Ytterbium	<2	µg/kg	2
Yttrium	16	µg/kg	1
Uranium	<1	µg/kg	1
Lanthane	10	µg/kg	1
Lutécium	<1	µg/kg	1
Cérium	17	µg/kg	1
Néodyme	4	µg/kg	1
Praséodyme	1	µg/kg	1

Ce certificat ne doit pas être reproduit, sinon en entier, sans le consentement écrit du CEAEQ

Version 1 (1553027)

Certificat d'analyse (suite de l'échantillon numéro : Q161700-41)

Métaux tissus animaux

Méthode: MA. 207 - Métaux TB	Résultat	Unité	LDM
Date d'analyse: 4 septembre 2025			
Aluminium	0,18	mg/kg	0,11
Thallium	0,009	mg/kg	0,001
Arsenic	0,014	mg/kg	0,0044
Baryum	0,0097	mg/kg	0,00132
Cadmium	<0,0044	mg/kg	0,0044
Cobalt	0,002	mg/kg	0,001
Chrome	0,067	mg/kg	0,007
Cuivre	0,14	mg/kg	0,03
Fer	1,4	mg/kg	0,1
Manganèse	0,10	mg/kg	0,01
Molybdène	0,002	mg/kg	0,001
Nickel	0,025	mg/kg	0,006
Plomb	0,00050	mg/kg	0,00044
Sélénium	0,37	mg/kg	0,06
Strontium	0,056	mg/kg	0,0154
Vanadium	<0,0044	mg/kg	0,0044
Zinc	2,8	mg/kg	0,06
Uranium	<0,00022	mg/kg	0,00022

Remarque(s)

Niveau: Paramètre

No Éch.: Q161700-41 **Paramètre:** Métaux tissus animaux

Remarque

Ce paramètre ne fait pas partie de la portée d'accréditation du Conseil canadien des normes.

Les résultats sont sur base humide.

Ce certificat ne doit pas être reproduit, sinon en entier, sans le consentement écrit du CEAEQ

Certificat d'analyse (suite de l'échantillon numéro : Q161700-42)

Numéro de l'échantillon : Q161700-42

Préleveur:
Date de prélèvement: 13 juillet 2025
Description de l'échantillon: BL
Description de prélèvement: L752
Point de prélèvement:
Nature de l'échantillon: tissu animal

Mercure

Méthode: MA. 207 - Hg 2.1 Date d'analyse: 9 septembre 2025	Résultat	Unité	LDM
Mercure	0,28	mg/kg	0,01

Métaux Terres rares

Méthode: MA. 207 - Mét.T.rares TB Date d'analyse: 4 septembre 2025	Résultat	Unité	LDM
Dysprosium	<1	µg/kg	1
Erbium	<1	µg/kg	1
Europium	<1	µg/kg	1
Gadolinium	<2	µg/kg	2
Holmium	<1	µg/kg	1
Lithium	6	µg/kg	4
Niobium	11	µg/kg	1
Samarium	<1	µg/kg	1
Scandium	<1	µg/kg	1
Terbium	<1	µg/kg	1
Thorium	<1	µg/kg	1
Thulium	<1	µg/kg	1
Ytterbium	<2	µg/kg	2
Yttrium	19	µg/kg	1
Uranium	<1	µg/kg	1
Lanthane	<1	µg/kg	1
Lutécium	<1	µg/kg	1
Cérium	3	µg/kg	1
Néodyme	<1	µg/kg	1
Praséodyme	<1	µg/kg	1

Ce certificat ne doit pas être reproduit, sinon en entier, sans le consentement écrit du CEAEQ

Version 1 (1553027)

Certificat d'analyse (suite de l'échantillon numéro : Q161700-42)

Métaux tissus animaux

Méthode: MA. 207 - Métaux TB Date d'analyse: 4 septembre 2025	Résultat	Unité	LDM
Aluminium	0,17	mg/kg	0,11
Thallium	0,009	mg/kg	0,001
Arsenic	0,014	mg/kg	0,0044
Baryum	0,010	mg/kg	0,00132
Cadmium	<0,0044	mg/kg	0,0044
Cobalt	0,003	mg/kg	0,001
Chrome	0,21	mg/kg	0,007
Cuivre	0,21	mg/kg	0,03
Fer	3,1	mg/kg	0,1
Manganèse	0,13	mg/kg	0,01
Molybdène	0,006	mg/kg	0,001
Nickel	0,070	mg/kg	0,006
Plomb	0,00060	mg/kg	0,00044
Sélénium	0,34	mg/kg	0,06
Strontium	0,095	mg/kg	0,0154
Vanadium	<0,0044	mg/kg	0,0044
Zinc	3,4	mg/kg	0,06
Uranium	<0,00022	mg/kg	0,00022

Remarque(s)

Niveau: Paramètre

No Éch.: Q161700-42 **Paramètre:** Métaux tissus animaux

Remarque

Ce paramètre ne fait pas partie de la portée d'accréditation du Conseil canadien des normes.

Les résultats sont sur base humide.

Ce certificat ne doit pas être reproduit, sinon en entier, sans le consentement écrit du CEAEQ

Certificat d'analyse (suite de l'échantillon numéro : Q161700-43)

Numéro de l'échantillon : Q161700-43

Préleveur:
Date de prélèvement: 13 juillet 2025
Description de l'échantillon: BM
Description de prélèvement: L752
Point de prélèvement:
Nature de l'échantillon: tissu animal

Mercure

Méthode: MA. 207 - Hg 2.1 Date d'analyse: 9 septembre 2025	Résultat	Unité	LDM
Mercure	0,19	mg/kg	0,01

Métaux Terres rares

Méthode: MA. 207 - Mét.T.rares TB Date d'analyse: 4 septembre 2025	Résultat	Unité	LDM
Dysprosium	<1	µg/kg	1
Erbium	<1	µg/kg	1
Europium	<1	µg/kg	1
Gadolinium	<2	µg/kg	2
Holmium	<1	µg/kg	1
Lithium	7	µg/kg	4
Niobium	7	µg/kg	1
Samarium	<1	µg/kg	1
Scandium	<1	µg/kg	1
Terbium	<1	µg/kg	1
Thorium	<1	µg/kg	1
Thulium	<1	µg/kg	1
Ytterbium	<2	µg/kg	2
Yttrium	22	µg/kg	1
Uranium	<1	µg/kg	1
Lanthane	<1	µg/kg	1
Lutécium	<1	µg/kg	1
Cérium	3	µg/kg	1
Néodyme	<1	µg/kg	1
Praséodyme	<1	µg/kg	1

Ce certificat ne doit pas être reproduit, sinon en entier, sans le consentement écrit du CEAEQ

Version 1 (1553027)

Certificat d'analyse (suite de l'échantillon numéro : Q161700-43)

Métaux tissus animaux

Méthode: MA. 207 - Métaux TB	Résultat	Unité	LDM
Date d'analyse: 4 septembre 2025			
Aluminium	0,15	mg/kg	0,11
Thallium	0,009	mg/kg	0,001
Arsenic	0,015	mg/kg	0,0044
Baryum	0,0079	mg/kg	0,00132
Cadmium	<0,0044	mg/kg	0,0044
Cobalt	0,003	mg/kg	0,001
Chrome	0,11	mg/kg	0,007
Cuivre	0,16	mg/kg	0,03
Fer	1,7	mg/kg	0,1
Manganèse	0,11	mg/kg	0,01
Molybdène	0,002	mg/kg	0,001
Nickel	0,045	mg/kg	0,006
Plomb	0,00050	mg/kg	0,00044
Sélénium	0,40	mg/kg	0,06
Strontium	0,064	mg/kg	0,0154
Vanadium	<0,0044	mg/kg	0,0044
Zinc	3,1	mg/kg	0,06
Uranium	<0,00022	mg/kg	0,00022

Remarque(s)

Niveau: Paramètre

No Éch.: Q161700-43 **Paramètre:** Métaux tissus animaux

Remarque

Ce paramètre ne fait pas partie de la portée d'accréditation du Conseil canadien des normes.

Les résultats sont sur base humide.

Ce certificat ne doit pas être reproduit, sinon en entier, sans le consentement écrit du CEAEQ

Certificat d'analyse (suite de l'échantillon numéro : Q161700-44)

Numéro de l'échantillon : Q161700-44

Préleveur:
Date de prélèvement: 13 juillet 2025
Description de l'échantillon: BH
Description de prélèvement: L752
Point de prélèvement:
Nature de l'échantillon: tissu animal

Mercure

Méthode: MA. 207 - Hg 2.1 Date d'analyse: 9 septembre 2025	Résultat	Unité	LDM
Mercure	0,50	mg/kg	0,01

Métaux Terres rares

Méthode: MA. 207 - Mét.T.rares TB Date d'analyse: 12 novembre 2025	Résultat	Unité	LDM
Dysprosium	<1	µg/kg	1
Erbium	<1	µg/kg	1
Europium	<1	µg/kg	1
Gadolinium	<2	µg/kg	2
Holmium	<1	µg/kg	1
Lithium	<4	µg/kg	4
Niobium	7	µg/kg	1
Samarium	<1	µg/kg	1
Scandium	<1	µg/kg	1
Terbium	<1	µg/kg	1
Thorium	<1	µg/kg	1
Thulium	<1	µg/kg	1
Ytterbium	<2	µg/kg	2
Yttrium	20	µg/kg	1
Uranium	<1	µg/kg	1
Lanthane	<1	µg/kg	1
Lutécium	<1	µg/kg	1
Cérium	3	µg/kg	1
Néodyme	<1	µg/kg	1
Praséodyme	<1	µg/kg	1

Ce certificat ne doit pas être reproduit, sinon en entier, sans le consentement écrit du CEAEQ

Version 1 (1553027)

Certificat d'analyse (suite de l'échantillon numéro : Q161700-44)

Métaux tissus animaux

Méthode: MA. 207 - Métaux TB Date d'analyse: 12 novembre 2025	Résultat	Unité	LDM
Aluminium	0,25	mg/kg	0,11
Thallium	0,012	mg/kg	0,001
Arsenic	0,026	mg/kg	0,0044
Baryum	0,0052	mg/kg	0,00132
Cadmium	<0,0044	mg/kg	0,0044
Cobalt	0,003	mg/kg	0,001
Chrome	0,10	mg/kg	0,007
Cuivre	0,24	mg/kg	0,03
Fer	2,2	mg/kg	0,1
Manganèse	0,11	mg/kg	0,01
Molybdène	0,002	mg/kg	0,001
Nickel	0,028	mg/kg	0,006
Plomb	0,0012	mg/kg	0,00044
Sélénium	0,40	mg/kg	0,06
Strontium	0,055	mg/kg	0,0154
Vanadium	<0,0044	mg/kg	0,0044
Zinc	2,9	mg/kg	0,06
Uranium	<0,00022	mg/kg	0,00022

Remarque(s)

Niveau: Paramètre

No Éch.: Q161700-44 **Paramètre:** Métaux tissus animaux

Remarque

Ce paramètre ne fait pas partie de la portée d'accréditation du Conseil canadien des normes.

Les résultats sont sur base humide.

Ce certificat ne doit pas être reproduit, sinon en entier, sans le consentement écrit du CEAEQ

Version 1 (1553027)

Certificat d'analyse (suite de l'échantillon numéro : Q161700-45)

Numéro de l'échantillon : Q161700-45

Préleveur:
Date de prélèvement: 17 juillet 2025
Description de l'échantillon: CG
Description de prélèvement: L752
Point de prélèvement:
Nature de l'échantillon: tissu animal

Mercure

Méthode: MA. 207 - Hg 2.1 Date d'analyse: 9 septembre 2025	Résultat	Unité	LDM
Mercure	0,26	mg/kg	0,01

Métaux Terres rares

Méthode: MA. 207 - Mét.T.rares TB Date d'analyse: 4 septembre 2025	Résultat	Unité	LDM
Dysprosium	<1	µg/kg	1
Erbium	<1	µg/kg	1
Europium	<1	µg/kg	1
Gadolinium	<2	µg/kg	2
Holmium	<1	µg/kg	1
Lithium	<4	µg/kg	4
Niobium	3	µg/kg	1
Samarium	<1	µg/kg	1
Scandium	<1	µg/kg	1
Terbium	<1	µg/kg	1
Thorium	<1	µg/kg	1
Thulium	<1	µg/kg	1
Ytterbium	<2	µg/kg	2
Yttrium	13	µg/kg	1
Uranium	<1	µg/kg	1
Lanthane	<1	µg/kg	1
Lutécium	<1	µg/kg	1
Cérium	2	µg/kg	1
Néodyme	<1	µg/kg	1
Praséodyme	<1	µg/kg	1

Ce certificat ne doit pas être reproduit, sinon en entier, sans le consentement écrit du CEAEQ

Version 1 (1553027)

Certificat d'analyse (suite de l'échantillon numéro : Q161700-45)

Métaux tissus animaux

Méthode: MA. 207 - Métaux TB	Résultat	Unité	LDM
Date d'analyse: 4 septembre 2025			
Aluminium	0,22	mg/kg	0,11
Thallium	0,008	mg/kg	0,001
Arsenic	0,024	mg/kg	0,0044
Baryum	0,039	mg/kg	0,00132
Cadmium	<0,0044	mg/kg	0,0044
Cobalt	0,003	mg/kg	0,001
Chrome	0,065	mg/kg	0,007
Cuivre	0,16	mg/kg	0,03
Fer	1,9	mg/kg	0,1
Manganèse	0,21	mg/kg	0,01
Molybdène	0,001	mg/kg	0,001
Nickel	0,030	mg/kg	0,006
Plomb	0,00070	mg/kg	0,00044
Sélénium	0,53	mg/kg	0,06
Strontium	0,40	mg/kg	0,0154
Vanadium	<0,0044	mg/kg	0,0044
Zinc	3,6	mg/kg	0,06
Uranium	<0,00022	mg/kg	0,00022

Remarque(s)

Niveau: Paramètre

No Éch.: Q161700-45 **Paramètre:** Métaux tissus animaux

Remarque

Ce paramètre ne fait pas partie de la portée d'accréditation du Conseil canadien des normes.

Les résultats sont sur base humide.

Ce certificat ne doit pas être reproduit, sinon en entier, sans le consentement écrit du CEAEQ

Version 1 (1553027)

Certificat d'analyse (suite de l'échantillon numéro : Q161700-46)

Numéro de l'échantillon : Q161700-46

Préleveur:
Date de prélèvement: 17 juillet 2025
Description de l'échantillon: CH
Description de prélèvement: L752
Point de prélèvement:
Nature de l'échantillon: tissu animal

Mercure

Méthode: MA. 207 - Hg 2.1 Date d'analyse: 9 septembre 2025	Résultat	Unité	LDM
Mercure	0,23	mg/kg	0,01

Métaux Terres rares

Méthode: MA. 207 - Mét.T.rares TB Date d'analyse: 4 septembre 2025	Résultat	Unité	LDM
Dysprosium	<1	µg/kg	1
Erbium	<1	µg/kg	1
Europium	<1	µg/kg	1
Gadolinium	<2	µg/kg	2
Holmium	<1	µg/kg	1
Lithium	<4	µg/kg	4
Niobium	4	µg/kg	1
Samarium	<1	µg/kg	1
Scandium	<1	µg/kg	1
Terbium	<1	µg/kg	1
Thorium	<1	µg/kg	1
Thulium	<1	µg/kg	1
Ytterbium	<2	µg/kg	2
Yttrium	15	µg/kg	1
Uranium	<1	µg/kg	1
Lanthane	<1	µg/kg	1
Lutécium	<1	µg/kg	1
Cérium	3	µg/kg	1
Néodyme	<1	µg/kg	1
Praséodyme	<1	µg/kg	1

Ce certificat ne doit pas être reproduit, sinon en entier, sans le consentement écrit du CEAEQ

Version 1 (1553027)

Certificat d'analyse (suite de l'échantillon numéro : Q161700-46)

Métaux tissus animaux

Méthode: MA. 207 - Métaux TB Date d'analyse: 4 septembre 2025	Résultat	Unité	LDM
Aluminium	0,17	mg/kg	0,11
Thallium	0,007	mg/kg	0,001
Arsenic	0,020	mg/kg	0,0044
Baryum	0,0085	mg/kg	0,00132
Cadmium	<0,0044	mg/kg	0,0044
Cobalt	0,003	mg/kg	0,001
Chrome	0,058	mg/kg	0,007
Cuivre	0,12	mg/kg	0,03
Fer	1,6	mg/kg	0,1
Manganèse	0,13	mg/kg	0,01
Molybdène	0,001	mg/kg	0,001
Nickel	0,013	mg/kg	0,006
Plomb	<0,00044	mg/kg	0,00044
Sélénium	0,47	mg/kg	0,06
Strontium	0,064	mg/kg	0,0154
Vanadium	<0,0044	mg/kg	0,0044
Zinc	3,7	mg/kg	0,06
Uranium	<0,00022	mg/kg	0,00022

Remarque(s)

Niveau: Paramètre

No Éch.: Q161700-46 **Paramètre:** Métaux tissus animaux

Remarque

Ce paramètre ne fait pas partie de la portée d'accréditation du Conseil canadien des normes.

Les résultats sont sur base humide.

Ce certificat ne doit pas être reproduit, sinon en entier, sans le consentement écrit du CEAEQ

Version 1 (1553027)

Certificat d'analyse (suite de l'échantillon numéro : Q161700-47)

Numéro de l'échantillon : Q161700-47

Préleveur:
Date de prélèvement: 17 juillet 2025
Description de l'échantillon: CI
Description de prélèvement: L752
Point de prélèvement:
Nature de l'échantillon: tissu animal

Mercure

Méthode: MA. 207 - Hg 2.1 Date d'analyse: 9 septembre 2025	Résultat	Unité	LDM
Mercure	0,24	mg/kg	0,01

Métaux Terres rares

Méthode: MA. 207 - Mét.T.rares TB Date d'analyse: 4 septembre 2025	Résultat	Unité	LDM
Dysprosium	<1	µg/kg	1
Erbium	<1	µg/kg	1
Europium	<1	µg/kg	1
Gadolinium	<2	µg/kg	2
Holmium	<1	µg/kg	1
Lithium	<4	µg/kg	4
Niobium	7	µg/kg	1
Samarium	<1	µg/kg	1
Scandium	<1	µg/kg	1
Terbium	<1	µg/kg	1
Thorium	<1	µg/kg	1
Thulium	<1	µg/kg	1
Ytterbium	<2	µg/kg	2
Yttrium	26	µg/kg	1
Uranium	<1	µg/kg	1
Lanthane	<1	µg/kg	1
Lutécium	<1	µg/kg	1
Cérium	4	µg/kg	1
Néodyme	<1	µg/kg	1
Praséodyme	<1	µg/kg	1

Ce certificat ne doit pas être reproduit, sinon en entier, sans le consentement écrit du CEAEQ

Version 1 (1553027)

Certificat d'analyse (suite de l'échantillon numéro : Q161700-47)

Métaux tissus animaux

Méthode: MA. 207 - Métaux TB	Résultat	Unité	LDM
Date d'analyse: 4 septembre 2025			
Aluminium	0,16	mg/kg	0,11
Thallium	0,007	mg/kg	0,001
Arsenic	0,019	mg/kg	0,0044
Baryum	0,0056	mg/kg	0,00132
Cadmium	<0,0044	mg/kg	0,0044
Cobalt	0,004	mg/kg	0,001
Chrome	0,11	mg/kg	0,007
Cuivre	0,13	mg/kg	0,03
Fer	1,7	mg/kg	0,1
Manganèse	0,11	mg/kg	0,01
Molybdène	0,002	mg/kg	0,001
Nickel	0,034	mg/kg	0,006
Plomb	<0,00044	mg/kg	0,00044
Sélénium	0,47	mg/kg	0,06
Strontium	0,058	mg/kg	0,0154
Vanadium	<0,0044	mg/kg	0,0044
Zinc	2,9	mg/kg	0,06
Uranium	<0,00022	mg/kg	0,00022

Remarque(s)

Niveau: Paramètre

No Éch.: Q161700-47 **Paramètre:** Métaux tissus animaux

Remarque

Ce paramètre ne fait pas partie de la portée d'accréditation du Conseil canadien des normes.

Les résultats sont sur base humide.

Ce certificat ne doit pas être reproduit, sinon en entier, sans le consentement écrit du CEAEQ

Certificat d'analyse (suite de l'échantillon numéro : Q161700-48)

Numéro de l'échantillon : Q161700-48

Préleveur:
Date de prélèvement: 12 juillet 2025
Description de l'échantillon: AR
Description de prélèvement: L752
Point de prélèvement:
Nature de l'échantillon: tissu animal

Mercure

Méthode: MA. 207 - Hg 2.1 Date d'analyse: 9 septembre 2025	Résultat	Unité	LDM
Mercure	0,36	mg/kg	0,01

Métaux Terres rares

Méthode: MA. 207 - Mét.T.rares TB Date d'analyse: 4 septembre 2025	Résultat	Unité	LDM
Dysprosium	<1	µg/kg	1
Erbium	<1	µg/kg	1
Europium	<1	µg/kg	1
Gadolinium	<2	µg/kg	2
Holmium	<1	µg/kg	1
Lithium	<4	µg/kg	4
Niobium	6	µg/kg	1
Samarium	<1	µg/kg	1
Scandium	<1	µg/kg	1
Terbium	<1	µg/kg	1
Thorium	<1	µg/kg	1
Thulium	<1	µg/kg	1
Ytterbium	<2	µg/kg	2
Yttrium	13	µg/kg	1
Uranium	<1	µg/kg	1
Lanthane	<1	µg/kg	1
Lutécium	<1	µg/kg	1
Cérium	2	µg/kg	1
Néodyme	<1	µg/kg	1
Praséodyme	<1	µg/kg	1

Ce certificat ne doit pas être reproduit, sinon en entier, sans le consentement écrit du CEAEQ

Version 1 (1553027)

Certificat d'analyse (suite de l'échantillon numéro : Q161700-48)

Métaux tissus animaux

Méthode: MA. 207 - Métaux TB Date d'analyse: 4 septembre 2025	Résultat	Unité	LDM
Aluminium	0,19	mg/kg	0,11
Thallium	0,010	mg/kg	0,001
Arsenic	0,021	mg/kg	0,0044
Baryum	0,0056	mg/kg	0,00132
Cadmium	<0,0044	mg/kg	0,0044
Cobalt	0,003	mg/kg	0,001
Chrome	0,093	mg/kg	0,007
Cuivre	0,22	mg/kg	0,03
Fer	3,5	mg/kg	0,1
Manganèse	0,11	mg/kg	0,01
Molybdène	0,002	mg/kg	0,001
Nickel	0,032	mg/kg	0,006
Plomb	<0,00044	mg/kg	0,00044
Sélénium	0,45	mg/kg	0,06
Strontium	0,052	mg/kg	0,0154
Vanadium	<0,0044	mg/kg	0,0044
Zinc	3,8	mg/kg	0,06
Uranium	<0,00022	mg/kg	0,00022

Remarque(s)

Niveau: Paramètre

No Éch.: Q161700-48 **Paramètre:** Métaux tissus animaux

Remarque

Ce paramètre ne fait pas partie de la portée d'accréditation du Conseil canadien des normes.

Les résultats sont sur base humide.

Les résultats ne se rapportent qu'à l'échantillon tel que reçu et soumis à l'analyse.

J'atteste avoir formellement constaté ces faits

***Certificat approuvé le* 18 novembre 2025**

Jean-Luc Pilote, M.Sc. Chimiste
Division chimie inorganique, Québec

Légende:

ABS: Absence
DNQ: Résultat entre la LDM et la LQM
INT: Interférences - Analyse impossible
ND: Non détecté
ST: Sous-traitance
PR: Présence
RNF: Résultat non disponible
NDR: Détecté - Mais ne satisfait pas le rapport isotopique
TNI: Colonies trop nombreuses pour être identifiées
VR: Voir remarque

Ce certificat ne doit pas être reproduit, sinon en entier, sans le consentement écrit du CEAEQ

Version 1 (1553027)

Annexe 7

Répertoire photographique

Répertoire photographique

Photo 1. Installation du FX42 sur le L01

Photo 2. Station de pêche LP41 sur le L27

Photo 3. Aspect général du L823

Photo 4. Touladi capturé sur le L823

Photo 5. Gonades de touladi femelle

Photo 6. Préparation de grand brochet en laboratoire

Photo 7. Aspect général du laboratoire

Photo 8. Gonade de grand brochet mâle

Photo 9. Gonade de meunier noir femelle

Photo 10. Lotte capturée sur le L823

Photo 11. Meunier noir capturé sur le L27

Photo 12. Mulet perlé capturé sur le L01

NIIGAAN

ANNEXE

6-18-2 RÉVISION DES ANALYSES STATISTIQUES DU RAPPORT

WSP Canada Inc.
1135, boulevard Lebourgneuf
Québec (Québec) G2K 0M5
Canada

Téléphone : +1-418-623-2254
Télécopieur : +1-418-624-1857

wsp.com

Note technique

Révision des analyses statistiques du rapport :

Niigaan. 2025. État de référence du milieu aquatique pour le projet Shaakichiuwaanaan - Teneurs en métaux dans la chair des poissons. Rapport du projet 151022002. 23 pages + annexes

Projet minier Shaakichiuwaanaan

Référence WSP : CA0001724.3318_020_NT_Rev0

Mars 2026

1. Mise en contexte

La présente note technique vise à documenter la révision des analyses statistiques présentées dans le rapport intitulé « *État de référence du milieu aquatique pour le projet Shaakichiuwaanaan - Teneurs en métaux dans la chair des poissons* » préparé par Niigaan en 2025.

Ce rapport avait pour objectif d'établir l'état de référence des teneurs en métaux dans la chair des poissons, notamment le grand brochet (*Esox lucius*), dans des plans d'eau susceptibles d'être influencés par les activités futures du projet, soit les lacs L01 et L27, en comparaison avec un lac de référence (L823). Les résultats issus de ces analyses constituent une base essentielle pour l'évaluation environnementale du projet, tant pour la caractérisation du milieu que pour l'interprétation des effets potentiels liés aux phases ultérieures de développement.

Dans le cadre de la revue interne des livrables, il a été jugé pertinent de procéder à une révision indépendante des analyses statistiques réalisées par Niigaan, afin de valider les méthodes employées, les hypothèses sous-jacentes ainsi que l'interprétation des résultats. Cette démarche vise également à assurer la cohérence des conclusions avec les données disponibles et à vérifier la robustesse des différences statistiques rapportées entre les lacs étudiés.

La présente note technique expose donc les analyses statistiques révisées portant sur les concentrations de métaux dans la chair du grand brochet, en s'appuyant sur une approche analytique conforme aux méthodes reconnues et aux bonnes pratiques statistiques en analyses du mercure. Les résultats obtenus sont comparés à ceux présentés dans le rapport de Niigaan (2025), et les écarts observés, le cas échéant, sont discutés afin de clarifier leur portée et leurs implications pour l'interprétation de l'état de référence du milieu aquatique.

2. Analyses statistiques

Les données sur les concentrations en métaux (mercure, arsenic et plomb) dans la chair des grands brochets ont fait l'objet d'analyses statistiques, dans le but de déterminer si les poissons des futurs lacs exposés (L01 et L27) présentaient des concentrations significativement différentes de celles du lac de référence (L823). Ces analyses ont été réalisées selon une approche similaire à celle décrite par Laliberté (2013).

Pour chacun des métaux à l'étude, les concentrations mesurées pour le grand brochet dans les lacs L01, L27 et L823 ont été analysées et comparées en utilisant des analyses de covariance. Lors des analyses exploratoires, le lac a été considéré comme covariable qualitative, alors que l'âge, la longueur et la masse ont été incluses comme covariables quantitatives. Afin de réduire la variance et de respecter les prémisses, différentes transformations ont été testées (incluant log10 et racine carrée). Les prémisses suivantes ont été vérifiées : hypothèse de linéarité, homogénéité des pentes de régression, normalité des résidus et homogénéité des variances. Les analyses exploratoires ont notamment consisté en la recherche des modèles les plus parcimonieux, incluant l'étude de la corrélation entre la masse et la longueur (corrigées pour l'âge) pour chacun des lacs étudiés. La masse a ensuite été retirée des analyses subséquentes pour éviter le surapprentissage (« overfitting ») des modèles. Ainsi, pour les analyses spatiales, des analyses ANCOVA à un facteur ont été réalisées. Pour chacun des métaux, les moyennes corrigées selon l'âge et la longueur entre les lacs ont été comparées par des tests de comparaison *post hoc*.

3. Sommaire des résultats

3.1 Mercure

La moyenne des taux de mercure pour le grand brochet (corrigées pour la longueur et pour l'âge) prédite par le modèle est de 0,451 mg/kg pour le lac L01, de 0,552 mg/kg pour le lac L27 et de 0,385 mg/kg pour le lac L823. Les tests de comparaison *post hoc* montrent **une différence significative de concentration entre le lac L27 et le lac L823** pour les teneurs de mercure prédites par le modèle ($p < 0,05$).

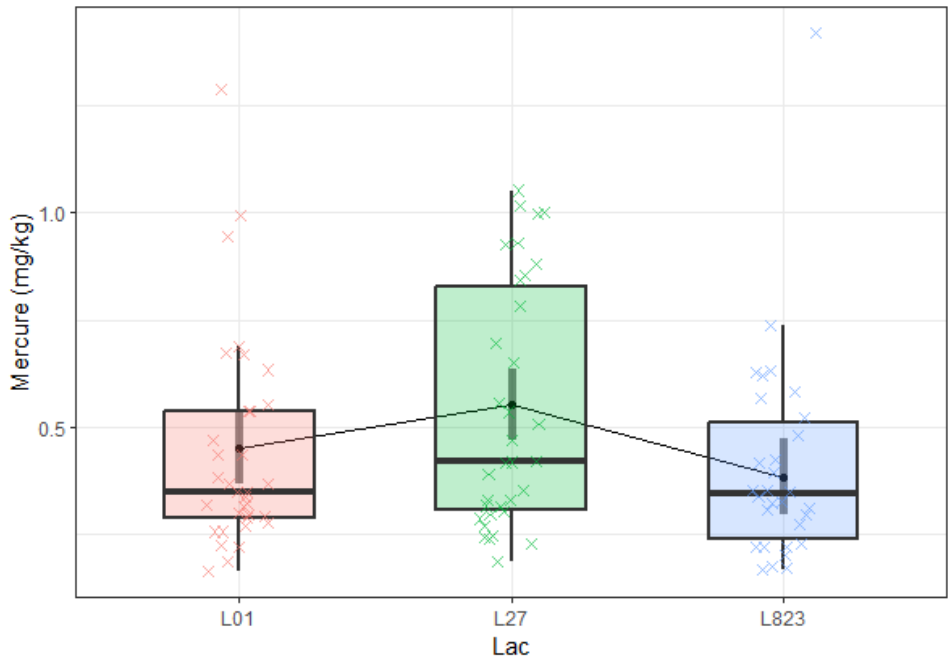

Figure 1 Comparaison des teneurs moyennes en mercure entre les lacs L01, L27 et L823 pour le grand brochet, corrigées pour la longueur et pour l'âge

Note : Pour chaque lac, la boîte à moustache représente les statistiques descriptives (médiane, premier quartile Q1, troisième quartile Q3, écart interquartile IQR), les croix représentent les valeurs individuelles, tandis que le point noir et le segment vertical interne grisé représentent la moyenne estimée par le modèle (ayant comme covariable la longueur et l'âge) avec ses intervalles de confiance.

À titre de comparaison, le rapport de Niigaan (2025) conclut que les concentrations en mercure chez le grand brochet ne présentent pas de différence significative entre les lacs L01 et L27 et le lac de référence. Les écarts observés entre les résultats présentés ici et ceux du rapport de Niigaan peuvent s'expliquer, en partie, par des différences dans l'approche statistique retenue, notamment en ce qui concerne la sélection des covariables, la structure des modèles et l'estimation des moyennes ajustées. Ces résultats suggèrent ainsi que certaines différences spatiales entre les lacs L27 et L823 peuvent être mises en évidence lorsque les effets de l'âge et de la longueur sont pris en compte.

3.2 Arsenic

La moyenne des taux d'arsenic pour le grand brochet (corrigées pour la longueur et pour l'âge) prédite par le modèle est de 0,050 mg/kg pour le lac L01, de 0,028 mg/kg pour le lac L27 et de 0,016 mg/kg pour le lac L823. Les tests de comparaison *post hoc* montrent **une différence significative de concentration entre le lac L01 et le lac L823, puis entre le lac L27 et le lac L823** pour les teneurs d'arsenic prédites par le modèle ($p < 0,05$).

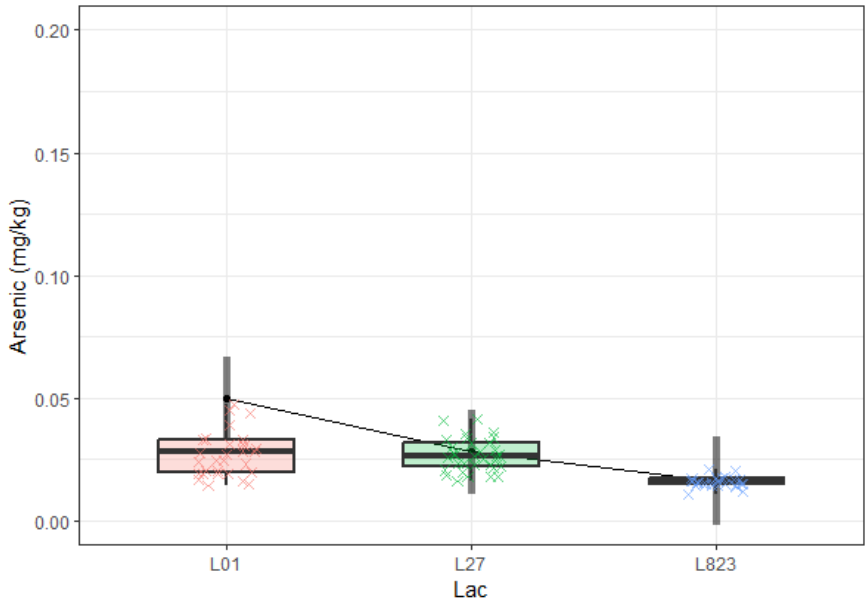

Figure 2 Comparaison des teneurs moyennes d'arsenic entre les lacs L01, L27 et L823 pour le grand brochet, corrigées pour la longueur et pour l'âge

Note : Pour chaque lac, la boîte à moustache représente les statistiques descriptives (médiane, premier quartile Q1, troisième quartile Q3, écart interquartile IQR), les croix représentent les valeurs individuelles, tandis que le point noir et le segment vertical interne grisé représentent la moyenne estimée par le modèle (ayant comme covariable la longueur et l'âge) avec ses intervalles de confiance.

Selon le rapport de Niigaan (2025), les tests statistiques indiquent la présence de différences significatives entre les teneurs en arsenic du lac de référence et celles des lacs L01 et L27. Les analyses effectuées après correction pour l'âge et la longueur concordent avec ces résultats.

3.3 Plomb

La moyenne des taux de plomb pour le grand brochet (corrigées pour la longueur et pour l'âge) prédite par le modèle est de 0,0019 mg/kg pour le lac L01, de 0,0017 mg/kg pour le lac L27 et de 0,0007 mg/kg pour le lac L823. Les tests de comparaison *post hoc* montrent **une différence significative de concentration entre le lac L27 et le lac L823** pour les teneurs de plomb prédites par le modèle ($p < 0,05$).

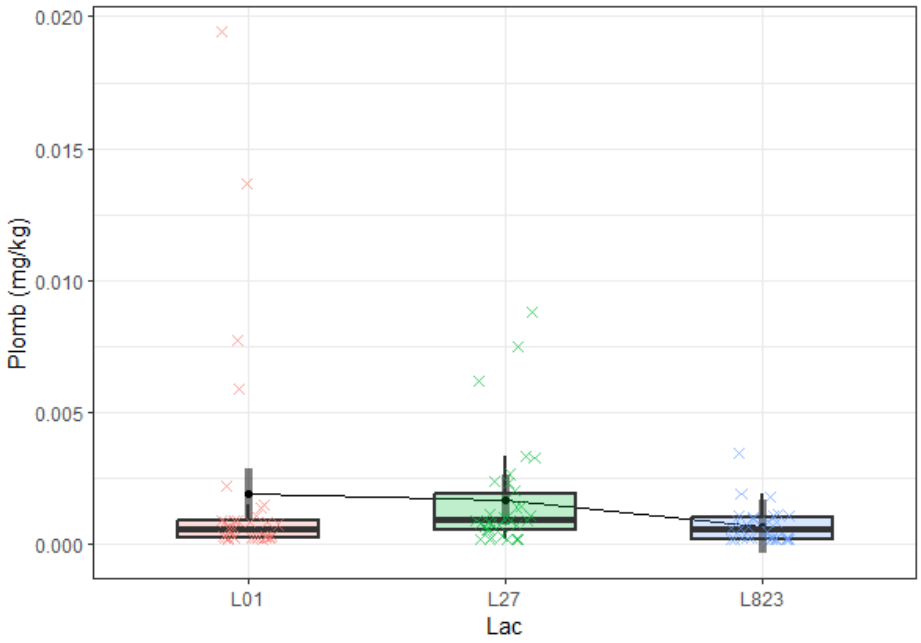

Figure 3 Comparaison des teneurs moyennes en plomb entre les lacs L01, L27 et L823 pour le grand brochet, corrigées pour la longueur et pour l'âge

Note : Pour chaque lac, la boîte à moustache représente les statistiques descriptives (médiane, premier quartile Q1, troisième quartile Q3, écart interquartile IQR), les croix représentent les valeurs individuelles, tandis que le point noir et le segment vertical interne grisé représentent la moyenne estimée par le modèle (ayant comme covariable la longueur et l'âge) avec ses intervalles de confiance.

Selon le rapport de Niigaan (2025), une différence significative des teneurs en plomb est observée entre le lac de référence et le lac L27, alors qu'aucune différence significative n'est rapportée pour le lac L01. Les analyses effectuées après correction pour l'âge et la longueur concordent avec ces résultats.

4. Conclusions

La révision des analyses statistiques confirme globalement les résultats du rapport de Niigaan (2025), tout en mettant en évidence, pour le mercure, une différence significative entre le lac L27 et le lac de référence lorsque les effets de l'âge et de la longueur sont pris en compte. Ces résultats soulignent que l'interprétation des teneurs en mercure est sensible à l'approche statistique retenue. Des analyses similaires seront conduites pour l'ensemble des métaux mesurés pendant la période de suivi, afin de confirmer et de consolider les conclusions présentées dans le rapport de Niigaan (2025).

Ces résultats d'analyses statistiques ne remettent pas en cause l'utilisation du lac L823 comme lac de référence dans le cadre des suivis. Il demeure essentiel de baser les comparaisons sur l'état initial de chaque lac pris individuellement, tout en tenant compte des anomalies naturelles pouvant survenir dans les analyses du lac de référence (p. ex. feu de forêt), lesquelles pourraient également influencer l'interprétation des résultats pour le lac exposé à l'effluent minier (L27).

5. Références

LALIBERTÉ, D. 2013. Teneurs en métaux dans l'eau et les poissons des lacs de la région de Chibougamau et d'Oujé-Bougoumou (1998-2010), Québec, ministère du Développement durable, de l'Environnement, de la Faune et des Parcs, Direction du suivi de l'état de l'environnement ISBN 978-2-550-69020-7 (PDF), 40 P. + 23 ann.

PRÉPARÉ PAR

Chloé Berger, biologiste PhD — 19 mars 2026
Spécialiste écologie moléculaire & ADNe — Date

RÉVISÉ PAR

Marie-Hélène Brisson, biologiste — 19 mars 2026
Directrice de projet — Date

ANNEXE

6-19 AVIFAUNE, MAMMIFÈRES ET HERPÉTOFAUNE

Avifaune, mammifères et herpétofaune

Étude de référence – Projet minier Shaakichiuwaanaan (Corvette)

Rapport présenté à :

17 septembre 2025

Projet 151022002

Équipe de réalisation

Niigaan

Pierre-Olivier Coté, B. Sc.	Direction de projet
Carl Savignac, M. Sc.	Chargé de projet (2025), analyse des sonomètres, traitement des données et rédaction
Alexander Cristiano-Miserere, techn. bio-écol.	Inventaire terrain, analyse des sonomètres
Alexandre Lajeunesse, B. Sc.	Inventaire terrain, analyse des sonomètres, traitement des données et rédaction
Arianne Reda, B. Sc.	Analyse des sonomètres, traitement des données et rédaction
Eloi Gagnon M. Sc.	Traitement de données et rédaction
Laurent Bédard, techn. bio-écol.	Analyse des sonomètres
Patrick Laniel, techn. bio-écol.	Inventaire terrain, analyse des sonomètres
Sarah Delisle, B. Sc.	Analyse des sonomètres
Francine Vallée, adjointe administrative	Édition

UDA

Mario St-George, M. Sc.	Chargé de projet (2022-2024)
Xavier Francoeur, Ph. D.	Inventaire terrain
Mathieu Letendre, techn. bio-écol.	Inventaire terrain
Jessé Roy-Drainville, B. Sc.	Inventaire terrain
Simon Coté-Bourgoin, M. Sc.	Inventaire terrain

Préparé par :

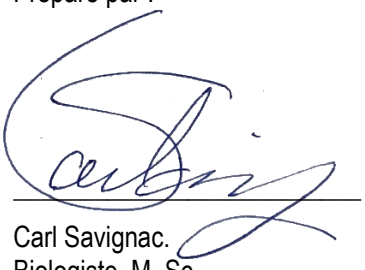

Carl Savignac.
Biologiste, M. Sc.

Approuvé par :

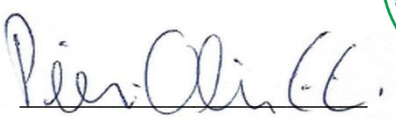

Pierre-Olivier Côté
Biologiste, B. Sc.

01	2025-05-27	Version préliminaire
02	2025-07-15	Version révisée
03	2025-08-25	Version préfinale
04	2025-09-17	Version finale

Portée et limitations

Le présent document doit être utilisé aux fins pour lesquelles il a été élaboré. Il est destiné exclusivement au client pour qui il a été réalisé et est réservé à l'usage exclusif de son destinataire. Tout usage par un tiers sans consentement est formellement interdit.

Le présent document a été réalisé avec les données recueillies sur le terrain et les informations disponibles sur les différents éléments étudiés en date du présent rapport. Les analyses techniques basées sur l'interprétation des divers articles de loi et des règlements en vigueur ne sont pas et ne doivent, en aucun temps, être considérées comme un avis juridique ou se substituer à un tel avis.

Les cartes portant le logo de Niigaan sont le résultat d'une compilation de l'information de bases de données publiques et des données d'inventaire récoltées sur le terrain. Elles n'ont pas été préparées par un arpenteur-géomètre et ne doivent pas être considérées comme telles. Niigaan ne se tient pas responsable des conclusions erronées dues à la dissimulation volontaire ou à la non-disponibilité d'une information pertinente au moment de réaliser le mandat.

Les analyses développées au sein de ce document sont présentées à titre indicatif seulement et la décision finale concernant les différentes modalités d'intervention et les zones officielles de protection sont du ressort du ministère de l'Environnement, de la Lutte contre les changements climatiques, de la Faune et des Parcs du Québec (MELCCFP) et/ou des autres ministères et organismes gouvernementaux (provincial, fédéral) ou de la municipalité concernée.

Par conséquent, Niigaan ne saurait être tenue responsable des interventions entreprises sur le milieu avant l'obtention de toutes les autorisations nécessaires ni pour d'éventuels dommages subis par un tiers résultant d'une décision prise ou basée sur ce rapport. Niigaan n'a aucun lien avec le client ni aucun intérêt dans la propriété à l'étude. Niigaan s'assure de l'intégrité du travail réalisé en évitant toutes situations de conflit d'intérêts.

Référence à citer

Niigaan. 2025. Avifaune, mammifères et herpétofaune - Étude de référence – Projet minier Shaakichiuwaanaan (Corvette). Rapport final du projet 151022002. 77 pages + annexes.

Table des matières

1 Introduction 1
1.1 Mandat et objectifs 1
1.2 Description de la zone d'inventaire et de la zone d'étude régionale 1
2 Méthodologie 3
2.1 Données existantes 3
2.2 Relevé des données de terrain 4
2.2.1 Inventaire par sonomètres – périodes de migrations et reproduction 4
2.2.2 Inventaire par station d'écoute – période de reproduction 5
2.2.3 Stations d'observations crépusculaires 9
2.2.4 Survol héliporté pour sauvagine, oiseaux aquatiques et rapaces nicheurs 9
2.2.5 Transects et stations d'écoute – période hivernale 10
2.2.6 Mammifères 11
2.2.7 Écoute et recherches actives de l'herpétofaune 11
2.3 Espèces en situation précaire 12
3 Résultats d'inventaires aviaires 16
3.1 Données existantes 16
3.2 Inventaires par sonomètres 16
3.2.1 Effort d'inventaire 16
3.2.2 Description des résultats de l'inventaire par sonomètres 17
3.2.3 Variabilité naturelle entre les périodes d'inventaires et années 22
3.2.3.1 Migration printanière 22
3.2.3.2 Période de reproduction 25
3.2.3.3 Période de migration automnale 27
3.2.4 Dissimilarité des communautés d'oiseaux par période d'inventaire et année 29
3.3 Inventaire par station d'écoute et observations crépusculaires 29
3.3.1 Effort d'inventaire 29
3.3.2 Conditions d'inventaire 29
3.3.3 Description des résultats d'inventaires 30
3.3.4 Description des communautés aviaires par type d'habitat 34
3.3.4.1 Marécages arbustifs 35
3.3.4.2 Régénération arbustive 38
3.3.4.3 Résineux mixte 41
3.3.4.4 Résineux 44
3.3.4.5 Tourbières 48
3.3.4.6 Synthèse des types d'habitats 51
3.4 Inventaires de sauvagine, espèces aquatiques et rapaces nicheurs 51
3.4.1 Effort d'inventaire 51
3.4.2 Conditions d'inventaire 52
3.4.3 Description des résultats d'inventaires 52
3.5 Inventaires des oiseaux hivernants 54
3.5.1 Efforts d'inventaire 54
3.5.2 Conditions d'inventaire 54
3.5.3 Résultats d'inventaires par segments 54

3.6 Inventaires des mammifères hivernants 60
3.7 Espèces en situation précaire 67
3.8 Inventaire d'herpétofaune 72
4 Conclusion 73
5 Références 75

Liste des cartes

Carte 1. Localisation de la zone d'inventaire 2
Carte 2. Localisation des stations d'écoute 2024 et des sonomètres 2023-2024 8
Carte 3. Localisation des stations d'écoute et des transects de l'inventaire hivernal 2023 15
Carte 4. Espèces en situation précaire inventoriées 71

Liste des tableaux

Tableau 1. Description des types d'habitats recensés par la méthode du DRL et IPA en 2024 7
Tableau 2. Liste des espèces en situation précaire potentiellement présentes dans la zone d'étude régionale d'après Cornell et coll. (2025), Oiseaux Canada et coll. (2025), eBird (2025) et Gouvernement du Québec (2025) 13
Tableau 3. Habitat potentiel associé à chacune des espèces en situation précaire potentiellement présentes dans la zone d'inventaire du projet 14
Tableau 4. Nombre de stations et d'heures d'écoute des sonomètres selon les années et périodes d'inventaire 17
Tableau 5. Occurrence et abondance des espèces dénombrées à l'aide des sonomètres dans la zone d'inventaire en 2023 et 2024 19
Tableau 6. Richesse spécifique et abondance observées avec les sonomètres selon les années et périodes d'inventaires 23
Tableau 7. Répartition des points d'écoute dans les différents groupes-habitats 29
Tableau 8. Liste annotée des espèces d'oiseaux nicheurs recensées par trois techniques d'inventaire dans la zone d'inventaire en 2024 31
Tableau 9. Occurrence et abondance des espèces dénombrées par stations d'écoute dans l'ensemble des types d'habitat de la zone d'inventaire entre le 12 et 23 juin 2024 33
Tableau 10. Occurrence et abondance des espèces dénombrées dans les marécages de la zone d'inventaire entre le 12 et le 23 juin 2024 36
Tableau 11. Occurrence et abondance des espèces dénombrées dans les habitats en régénération de la zone d'inventaire entre le 12 et le 23 juin 2024 39
Tableau 12. Occurrence et abondance des espèces dénombrées dans les habitats mixtes de la zone d'inventaire entre le 12 et le 23 juin 2024 42
Tableau 13. Occurrence et abondance des espèces dénombrées dans les habitats résineux de la zone d'inventaire entre le 12 et le 23 juin 2024 45
Tableau 14. Occurrence et abondance des espèces dénombrées dans les tourbières de la zone d'inventaire entre le 12 et le 23 juin 2024 49
Tableau 15. Bilan comparatif des types d'habitats 51
Tableau 16. Nombre d'individus et occurrences inventoriées durant l'inventaire héliporté en 2024 53

Tableau 17. Présence et fréquence des différentes espèces d'oiseaux relevées dans les 1 607 segments 55
Tableau 18. Indice d'activité hivernale de l'avifaune à moins de 50 m et à plus de 50 m des transects d'inventaire 56
Tableau 19. Occurrence, fréquence et nombre d'individus des différentes espèces d'oiseaux relevées dans les points d'écoute hivernaux 60
Tableau 20. Présence et fréquence des différentes espèces de mammifères relevées dans les 1 607 segments 61
Tableau 21. Indice d'activité hivernal des mammifères selon le transect 62
Tableau 22. Sommaire des mentions d'espèces en situation précaire détectées selon les différentes techniques d'inventaires en 2023 et 2024 69
Tableau 23. Désignation et habitats utilisés des espèces en situation précaire détectés dans la zone d'inventaire du projet en 2023 et 2024 70
Tableau 24. Occurrence des espèces d'anoures dénombrées à l'aide des dix-huit sonomètres déployés dans la zone d'inventaire en 2023 et 2024 72

Liste des figures

Figure 1. Grille d'inventaire de l'avifaune 6
Figure 2. Variation temporelle de la richesse totale enregistrée aux sonomètres lors de la période de migration printanière en 2023 et 2024 24
Figure 3. Variation temporelle de l'abondance totale enregistrée aux sonomètres lors de la période de migration printanière en 2023 et 2024 24
Figure 4. Variation temporelle de la richesse totale enregistrée aux sonomètres lors de la période de reproduction en 2023 et 2024 26
Figure 5. Variation temporelle de l'abondance totale enregistrée aux sonomètres lors de la période de reproduction en 2023 et 2024 26
Figure 6. Variation temporelle de la richesse totale enregistrée aux sonomètres lors de la période de migration automnale en 2023 et 2024 28
Figure 7. Variation temporelle de l'abondance totale enregistrée aux sonomètres lors de la période de migration automnale en 2023 et 2024 28

Liste des annexes

Annexe 1 Liste des espèces observées dans la zone d'inventaire et dans la zone d'étude régionale selon la provenance des données, soit eBird (Cornell et coll., 2025) et Atlas des oiseaux nicheurs du Québec (Oiseaux Canada et coll., 2025) ..... A
Annexe 2 Données météorologiques de l'inventaire par station d'écoute (DRL et IPA) ..... B
Annexe 3 Données brutes des inventaires par station d'observation crépusculaire C
Annexe 4 Définition des indices de nidification des oiseaux nicheurs (d'après Robert et coll. 2019) ..... D
Annexe 5 Données brutes des inventaires de sauvagine, espèces aquatiques et rapaces nicheurs ..... E
Annexe 6 Liste des espèces d'oiseaux répertoriées dans la zone d'inventaire en 2023 et 2024 ..... F
Annexe 7 Annexe photographique ..... G

Liste des acronymes

CDPNQ	Centre de données sur le patrimoine naturel du Québec
CMHPQ	Cartographie des milieux humides potentiels du Québec
COSEPAC	Comité sur la situation des espèces en péril au Canada
DRL	Dénombrement de rayon limité
ECCC	Environnement et Changement climatique Canada
GRHQ	Géobase des données hydrographiques du Québec
IPA	Indice ponctuel d'abondance
LCOM	Loi de 1994 sur la convention concernant les oiseaux migrateurs
LEMV	Loi sur les espèces menacées ou vulnérables
LEP	Loi sur les espèces en péril
MAPAQ	Ministère de l'Agriculture, des Pêcheries et de l'Alimentation du Québec
MELCC	Ministère de l'Environnement et de la Lutte contre les changements climatiques
MELCCFP	Ministère de l'Environnement, de la Lutte contre les changements climatiques, de la Faune et des Parcs du Québec
MERN	Ministère de l'Énergie et des Ressources naturelles
MFFP	Ministère des Forêts, de la Faune et des Parcs
MRNF	Ministère des Ressources naturelles et des Forêts

1 Introduction

1.1 Mandat et objectifs

Le mandat est d'effectuer l'étude de référence des composantes avifaune et herpétofaune du site minier Shaakichiuwaanaan (Corvette) de Patriot Battery Metals. Ce rapport concerne principalement les inventaires réalisés en 2023 et 2024. D'autres inventaires aviaires ont été réalisés en 2025 pour compléter la collecte de données pour les oiseaux nicheurs sur une période de deux ans. Ces dernières données font partie d'une note technique produite à l'automne 2025.

En s'appuyant sur les lignes directrices d'ECCC individualisées relatives à l'étude d'impact du projet minier Shaakichiuwaanaan (Agence d'évaluation d'impacts du Canada 2025), la présente étude avait pour objectifs de :

- Répertorier l'ensemble des groupes d'espèces d'oiseaux nicheurs et migrateurs (passereaux, rapaces, sauvagines et limicoles), qui se trouvent dans la zone d'inventaire lors de la migration printanière, en période de reproduction, lors de la migration automnale et en hiver;
- Déterminer la densité des couples de passereaux nicheurs selon le type d'habitat;
- Identifier les habitats préférentiels des oiseaux en période de migration et en hiver;
- Répertorier les espèces d'oiseaux en situation précaire, cartographier leurs occurrences et décrire leurs exigences d'habitat;
- Répertorier les espèces d'amphibiens et de reptiles qui se trouvent dans la zone d'inventaire et décrire leurs habitats;
- Répertorier les espèces de mammifères hivernants occupant la zone d'inventaire.

1.2 Description de la zone d'inventaire et de la zone d'étude régionale

Couvrant une superficie de 128 km^2, la zone d'inventaire du projet est située dans la région administrative du Nord-du-Québec sur le territoire d'Eeyou Istchee Baie-James. Elle est située en territoire public, à environ 10 km au nord-est du lac de la Corvette et à environ 40 km au sud-ouest des installations hydroélectriques La Grande 4 (carte 1). Selon le cadre écologique de référence du Québec, la zone d'inventaire fait partie de la région naturelle des Buttons de l'Opinaca de la province naturelle des Collines de la Grande Rivière. Il appartient également à la zone de végétation boréale, à la sous-zone de forêt boréale continue et au domaine bioclimatique de la pessière à lichen. Les habitats qui dominent la zone d'inventaire sont principalement des peuplements résineux (p. ex. pessières ouvertes et fermées; 44%) et des secteurs en régénération arbustive sèche (p. ex. anciens brulis; 34%). Les milieux humides (toutes catégories confondues) couvrent 2,5% de la zone d'inventaire. Le relief de la zone d'inventaire est peu accidenté et la topographie varie en altitude entre 335 et 380 m. De plus, il couvre des terres de catégorie III du territoire régi par la Convention de la Baie-James et du Nord québécois et croise le terrain de trappage CH39 utilisé par les membres de la Première Nation crie de Chisasibi. Pour fin de comparaison des données d'inventaires avec d'autres études, une zone d'étude régionale de 50 km de rayon a été établie autour de la zone d'inventaire du projet. Cette dernière zone s'étend à l'ouest jusqu'à l'extrémité est du réservoir La Grande-3 et jusqu'à l'extrémité ouest du réservoir La Grande-4, au nord-est.

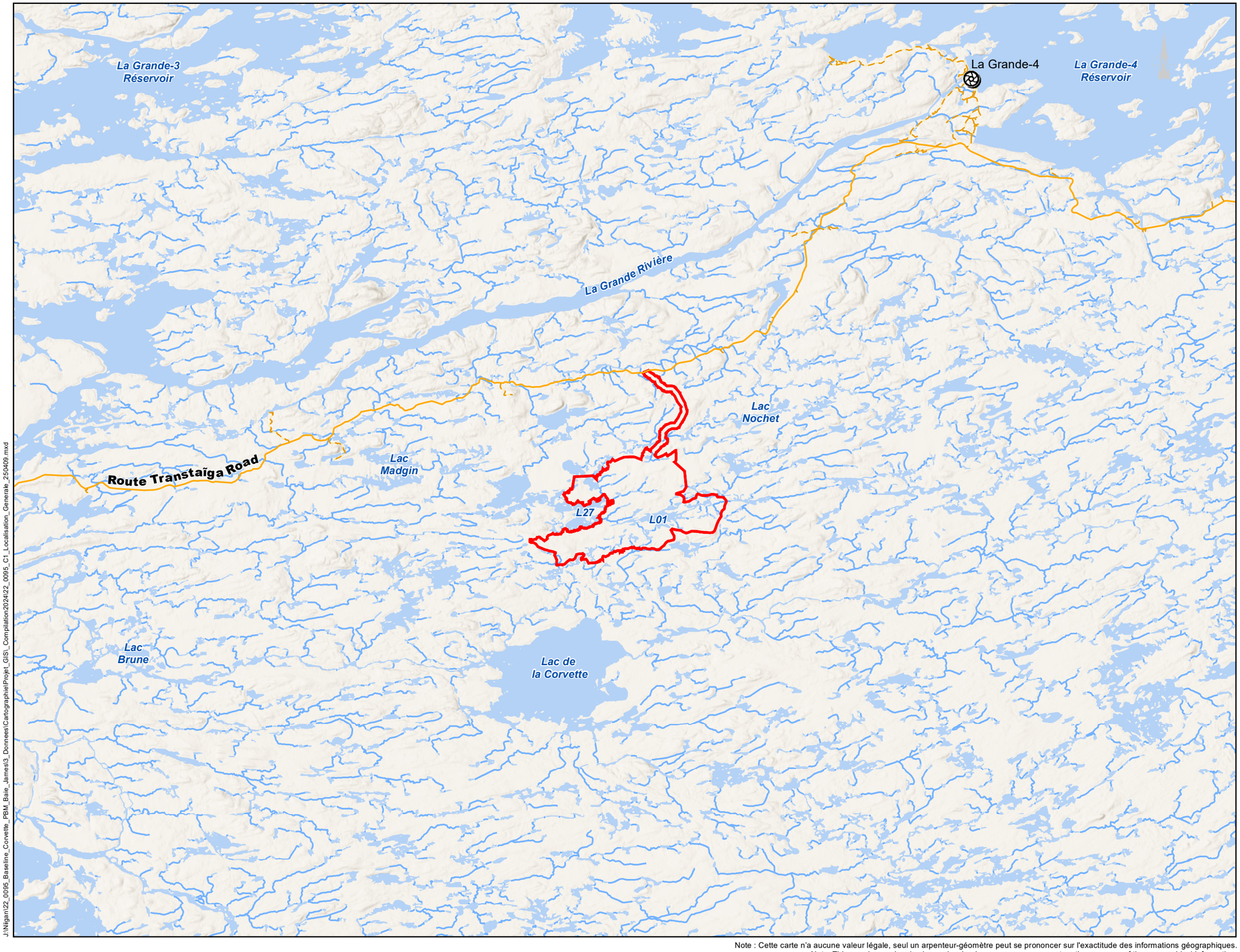

J:\Niigaan\22_0095_Baseline_Corvette_PBM_Baie_James\3_Donnees\Cartographie\Projet_GIS_Compilation\2024\22_0095_C1_Localisation_Generale_250409.mxd

Carte 1 - Map 1

Localisation du projet

Project location

Zone d'inventaire /
Survey area

Hydrographie / Hydrography

Cours d'eau / Watercourse

Lac / Lake

Infrastructure

Centrale hydroélectrique / Generating station

Réseau routier / Road network

Route collectrice / Collector road

Route locale / Local road

Autre route / Other road

Source des données :
BDTA 1:250 000, MERN Québec, 2021
Découpage administratif, SDA (20K), MRNF Québec, 2024
Réseau routier, Adresse Québec, 2024-02
Basemap, ESRI

1:350 000

0 3 500 7 000 m

NAD 1983 CSRS MTM 8

Projet Shaakichiuwaanaan /
Shaakichiuwaanaan Project

Niigaan
Projet / Project: 22-0095 / 151022002

2025-07-09

Approuvé par / Approved by :
Pierre-Olivier Côté

Note : Cette carte n'a aucune valeur légale, seul un arpenteur-géomètre peut se prononcer sur l'exactitude des informations géographiques.
Note: This map has no legal value, only a land surveyor can comment on the accuracy of the geographical information.

2 Méthodologie

2.1 Données existantes

La préparation des inventaires est réalisée en consultant les différentes données qui sont disponibles pour la zone d'inventaire. Ces informations permettent une planification efficace des inventaires et assurent que les travaux réalisés sur le terrain tiennent bien compte des différents éléments biophysiques connus. Les principales sources de données qui sont consultées pour la préparation des inventaires sont les suivantes :

- Aires de répartition des mammifères terrestres, des reptiles, des amphibiens et des poissons d'eau douce du Québec (Données Québec, 2021);
- Service canadien de la faune;
- Centre de données sur le patrimoine naturel du Québec (CDPNQ, 2025);
- eBird : cartes de répartition et sites publiques (2025);
- Données eBird (Cornell et coll., 2025);
- Données Atlas des oiseaux nicheurs du Québec - Volet nordique (Oiseaux Canada et coll., 2025);
- Centre de documentation Environnement et collectivités d'Hydro-Québec;
- Atlas des amphibiens et reptiles du Québec (AARQ) (SHNVSL, 2025)

Pour la zone d'étude régionale, les données publiées demeurent rares, mais quelques sources historiques ont été recensées. L'étude de Guérette et coll. (2009) présente une synthèse d'un inventaire de la sauvagine réalisé en 1996 et en 1997 par le U.S. Fish and Wildlife Service (USFWS), couvrant la zone d'étude régionale. Des inventaires aviaires réalisés par Hydro-Québec dans le secteur du complexe La Grande-3 sont également disponibles.

Au-delà de la zone d'étude régionale, des suivis environnementaux portant sur les oiseaux de proie (Benoit et coll., 2021) et les oiseaux forestiers (Consortium Gauthier & Guillemette – GREBE,1991; Côté-Bourgoin et coll., 2021) ont été menés par Hydro-Québec dans le cadre du complexe Eastmain-Sarcelle-Rupert et au Complexe Grande-Baleine, à environ 100 et 160 km de la zone d'étude respectivement. Bien que ces données ne concernent pas directement la zone d'étude du projet ou la zone d'étude régionale, elles offrent un aperçu utile du contexte régional.

2.2 Relevé des données de terrain

Six techniques principales d'inventaire ont été employées selon la période de l'année et du jour pour décrire l'avifaune les mammifères et l'herpétofaune à travers la zone d'inventaire et dans l'ensemble des habitats présents:

- Sonomètres- période de reproduction et migrations printanière et automnale;
- Stations d'écoute- période de reproduction;
- Stations d'observations crépusculaires - période de reproduction;
- Survol héliporté - sauvagine, espèces aquatiques et rapaces- période de reproduction;
- Stations d'écoute et pistage sur transects - période hivernale;
- Écoute et recherche active - herpétofaune- période de reproduction.

Ajout un tableau sommaire avec chaque programme avec dates

2.2.1 Inventaire par sonomètres – périodes de migrations et reproduction

Dix-huit sonomètres ont été déployés en 2023 et 2024 pour inventorier l'avifaune lors de la migration printanière, en période de reproduction et lors de la migration automnale. L'utilisation de sonomètres permet de recueillir des données sur de longues périodes et à des moments de la journée (ex. crépuscule et la nuit) qui ne sont pas couverts par d'autres types d'inventaire. Les sonomètres ont été installés dans les principaux habitats de la zone d'inventaire (voir tableau 1) afin de couvrir 40 % de la superficie totale en plus d'être localisés le long de corridors migrateurs potentiels tels que le long des plans d'eau et de cours d'eau. La présence des espèces a été caractérisée par un inventaire acoustique passif employant 18 détecteurs de type SM4 de Wildlife Acoustics. Les détecteurs ont enregistré les vocalises des espèces à raison de 3 min d'enregistrement par période de 15 min sur un cycle de 24 heures, permettant de totaliser 4,8 heures d'enregistrement par journée d'inventaire. Les détecteurs ont été laissés en fonctionnement autonome durant 30 jours consécutifs durant chacune des trois périodes d'inventaire (migration printanière, reproduction et migration automnale), totalisant 432 heures d'écoute passive par station et par année d'inventaire.

Analyses

Seules les journées d'inventaires ayant des conditions optimales ont été sélectionnées pour les analyses acoustiques (c.-à-d. absence de précipitation, sans vent fort constant (< à 20 km/h). La température ambiante et l'humidité relative ont été enregistrées en continu durant l'inventaire à l'aide d'un thermomètre / hygromètre fixé sur les détecteurs.

Les enregistrements acoustiques de 3 min ont d'abord été filtrés à l'aide du logiciel Kaléidoscope Pro (version 5.4.3) dans le but de retenir uniquement ceux présentant des vocalises d'oiseaux. Ensuite, des indices de complexité (Pieretti et coll. 2011) et de diversité acoustique (Pijanowski et coll. 2011) ont été dérivés des enregistrements afin de déterminer les périodes présentant un maximum de diversités de vocalises. Ces périodes ont ensuite été analysées en priorité par plusieurs ornithologues expérimentés puisque la majorité des logiciels actuellement disponibles sur le marché (p.ex., Kaléidoscope, Songscope, Raven Pro) génèrent encore beaucoup trop de fausses détections et de fausses absences des espèces cibles (Marchal, Fabianek & Aubry 2021).

Les enregistrements présentant moins de vocalises qui ont été effectués dans des périodes clés pour la présence de certaines espèces cibles ont été aussi analysés de manière auditive et visuellement (à l'aide de spectrogrammes du logiciel Audacity (2023) et Wildtrax (2024), soit de représentations graphiques des signaux sonores) par plusieurs ornithologues expérimentés afin d'identifier l'espèce présente par station et par journée d'inventaire pour l'ensemble des sites échantillonnés.

2.2.2 Inventaire par station d'écoute – période de reproduction

La méthode du dénombrement à rayon limité de 50 m (DRL 50 m) réalisée à l'aide de stations d'écoute stationnaires normalisées de 10 minutes espacées d'au moins 300 m les uns des autres fut utilisée pour inventorier les oiseaux chanteurs (Bibby et coll. 2000). À ces mêmes stations, des indices ponctuels d'abondance (IPA) ont également été utilisés afin de recenser l'ensemble des espèces situées dans le rayon de 50 m et au-delà. À chacune des stations, un observateur estimait la distance de tous les oiseaux situés dans les classes de distances suivantes : 0-50 m, 50-100 m et plus de 100 m.

Compte tenu des contraintes de sécurité visant à ce que les observateurs soient à proximité dans le même secteur, des grilles de 18 points d'écoute ont été prévues (figure 1). Celles-ci mesurent 2,64 km^2 de sorte que pour une aire de 200 km^2, 76 grilles couvrent l'ensemble de la zone d'inventaire du projet. Dans le cadre de l'inventaire, 30 grilles correspondant à autant de sites d'inventaire ont été sélectionnées aléatoirement pour y conduire les inventaires en période de reproduction. Les inventaires eurent lieu entre le 8 juin et le 10 juillet. À l'intérieur des grilles, les 18 points d'écoute ont été sélectionnés au moyen d'un plan de sondage aléatoire systématique. Cette façon de faire assure que le plan d'échantillonnage employé est probabiliste et que les habitats ont été couverts de façon représentative (tableau 1). Cependant, les milieux rares ou susceptibles d'accueillir des espèces en situation précaire ont été identifiés et l'intensité d'inventaire y a été plus forte que leur représentation. À chacune des stations, la repasse de chant de certaines espèces en situation précaire (tableau 2) fut utilisée à la suite des périodes d'écoute de 10 minutes dans les cas où ces espèces n'avaient pas été initialement détectées et lorsque leurs habitats de nidification étaient propices.

Au total, 540 points d'écoute ont été réalisés par une équipe de 6 ornithologues expérimentés. Ces points d'écoute ont été inventoriés à une seule reprise en 2024 en raison de la courte saison de nidification à cette latitude. Étant donné la superficie de la zone d'inventaire, la variation spatiale du nombre d'individus d'une espèce donnée risque d'être supérieure à sa variation temporelle notée lors de dénombrement de longue durée. Dans un tel cas, il est préférable de limiter la durée du dénombrement en faveur du nombre de points d'écoute (Scherrer, 1982). Une deuxième visite aux stations d'écoute n'était donc pas nécessaire.

Les inventaires par point d'écoute en période de reproduction ont été conduits tôt le matin entre le lever du soleil et environ 5 heures après, en absence de pluie et de vents forts (> 25 km /h).

En plus des inventaires d'oiseaux à proprement dit, des données biophysiques descriptives de l'habitat ont été également recueillies à chaque point d'écoute. À chaque station d'écoute, quelque 13 photos ont été prises de la façon suivante : pour chacun des points cardinaux (N, E, S, O), prendre une photo à hauteur d'épaule avec le bras et l'appareil photo parallèle au sol, une photo avec le bras à 45 degrés du corps dirigé vers le bas et une photo avec le bras à 135 degrés du corps dirigé vers le haut. Enfin, prendre une photo avec le bras tendu vers le haut (verticalement).

Pour fin de vérification ultérieure, notons que les ornithologues se sont munis d'enregistreurs Zoom H2n qui permettaient d'enregistrer les points d'écoute en simultané.

Au cours de tous les déplacements, les oiseaux vus et entendus ont été notés en estimant l'effort consacré à cet aspect. Par ailleurs, une attention spéciale a été accordée aux structures de nidification potentielle des rapaces.

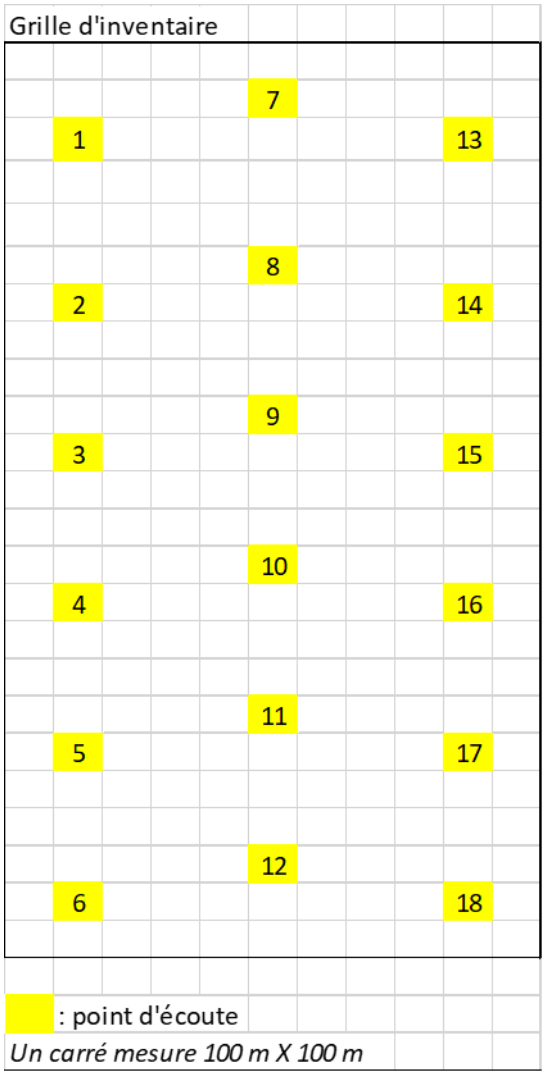

Figure 1. Grille d'inventaire de l'avifaune

Tableau 1. Description des types d'habitats recensés par la méthode du DRL et IPA en 2024

Types d'habitat	Description
Marécage arbustif	Saulaie/aulnaie : Végétation arbustive, souvent dominée par les saules ou l'aulne. Aussi milieu dominé par les éricacées dans les brûlis. Peut comporter une certaine proportion d'arbres épars. Marécage arbustif : Site dominé par une végétation ligneuse arbustive (représentant plus de 25 % de la superficie du milieu), présent essentiellement en bordure de cours d'eau et plan d'eau.
Résineux	Marécage arborescent : Site dominé par une végétation ligneuse arborescente (représentant plus de 25 % de la superficie du milieu), présent essentiellement en bordure de cours d'eau et plan d'eau. Pessière noire : Peuplements caractérisés par un faible recouvrement d'épinettes noires dans la strate arborescente (± 25 %). La strate arbustive a un recouvrement de moins de 50 %. Tourbière boisée : Tourbière constituée d'arbres de plus de 4 m de hauteur avec un couvert égal ou supérieur à 25 %.
Résineux mixte	Peuplements mélangés dont l'espèce dominante est l'épinette noire.
Régénération arbustive sèche	Brûlis récents dont les essences de la strate arborescente sont en croissance (régénération forestière), mais qui se trouvent toujours à la strate arbustive. Lande à lichen (vieux brulis en régénération coniférienne)
Tourbière	Tourbière non boisée où les arbres de plus de 4 m de hauteur, si présents, présentent un couvert inférieur à 25 %.

Carte 2 - Map 2

Localisation des stations d'écoute d'oiseaux nicheurs, sonometres et grilles d'inventaire -

Location of nesting bird listening stations, sound level meters and inventory grids

Zone d'inventaire / Survey area
Limite des secteurs / Sector boundary

Inventaire de l'avifaune / Birdlife inventory

Sonomètre / Sound level meter
Station d'inventaire / Inventory Station
Station d'observation crépusculaire / Twilight Observation Station
Grille d'inventaire / Inventory grid

Hydrographie / Hydrography

Cours d'eau / Watercourse
Lac / Lake

Végétation / Vegetation

Feuillu / Leafy
Mixte / Mixed
Résineux / Softwood
Régénération / Regeneration
Lande à lichens / Lichen moorland
Marais / Marsh
Marécage / Swamp
Tourbière / Bog

Réseau routier / Road network

Route / Road
Chemin d'accès existant / Existing access path

1:85 000
0 850 1 700 m
NAD 1983 CSRS MTM 8

Projet Shaakichiuwaanaan / Shaakichiuwaanaan Project

Inventaire de l'avifaune / Bird survey

Niigaan
Projet / Project: 22-0095 / 151022002

2025-07-09

Approuvé par / Approved by :
Carl Savignac

Source des données :
Géobase du réseau hydrographique du Québec (GRHQ), MRNF Québec, 2019
BDTA 1:250 000, MERN Québec, 2021
Découpage administratif, SDA (20K), MRNF Québec, 2024
Réseau routier, Adresse Québec, 2024-02
Végétation, WSP, 2025
Inventaire Groupe Synergis, 2022, 2023, 2024

Note : Cette carte n'a aucune valeur légale, seul un arpenteur-géomètre peut se prononcer sur l'exactitude des informations géographiques.
Note: This map has no legal value, only a land surveyor can comment on the accuracy of the geographical information.

J:\Niigan\22_0095_Baseline_Corvette_PBM_Baie_James\3_Donnees\Cartographie\Projet_GIS_Compilation2024\04_Avifaune\22_0095_C2_Localisation_stn_Ecoute_grille

2.2.3 Stations d'observations crépusculaires

Afin de détecter les espèces nocturnes et crépusculaires, notamment l'engoulevent d'Amérique et le hibou des marais, des relevés ont été réalisés en soirée à 24 stations localisées en bordure des chemins accessibles et des camps répartis dans l'ensemble de la zone d'inventaire du projet (carte 2). Des périodes d'écoute passive de 6 minutes pour les engoulevents et de repasse pour le hibou des marais furent produites en bordure de milieux ouverts (p. ex. tourbières ouvertes).

2.2.4 Survol héliporté pour sauvagine, oiseaux aquatiques et rapaces nicheurs

Des inventaires héliportés ont été réalisés en 2024 afin de documenter de manière exhaustive la répartition et l'abondance de la sauvagine, des oiseaux aquatiques et des rapaces nicheurs dans l'ensemble de la zone d'inventaire. Ces travaux ont ciblé trois types de milieux prioritaires : les plans d'eau, les tourbières et les parois rocheuses verticales.

La méthode de dénombrement des couples nicheurs et des couvées de la sauvagine et des autres espèces aquatiques (p. ex. huards, grèbes, harles, hérons) est inspirée de celle utilisée par le Service canadien de la faune d'Environnement Canada dans le cadre du Plan conjoint sur le Canard noir (PCCN) (Bordage et Plante 1997; Bordage et coll. 2003). Tous les milieux aquatiques et humides (lacs, rivières, ruisseaux, étangs, tourbières) et leurs rives ont été survolés en hélicoptère et les oiseaux ont été dénombrés à la vue. Lors de l'inventaire, la vitesse de l'hélicoptère était de 30 à 50 km/h à une altitude variant de 20 à 50 m. L'équipe de terrain était composée d'un navigateur-observateur, assis à l'avant, et d'un observateur assis sur le siège arrière. Le navigateur-observateur avait la responsabilité d'orienter les déplacements de l'hélicoptère. Chaque observation se voyait attribuer une numérotation séquentielle. L'observateur arrière validait la position des oiseaux par la prise d'un point GPS et notait les détails relatifs à l'observation sur un formulaire approprié (espèce, nombre d'individus adultes et immatures, sexe lorsque possible, nombre et âge des canetons, présence de nids et nombre d'œufs, comportement, etc.). Tout oiseau ou groupe d'oiseaux, de la même espèce, et isolé de quelques mètres d'autres individus étaient inscrits avec un numéro séquentiel différent. Pour les espèces de sauvagine, les équivalents-couples et les densités (nombre d'équivalents-couples/100 km^2) ont été estimés selon la méthode de Guérette et coll. (2009), adaptée de Bordages et coll. (2003). Les femelles seules accompagnées de jeunes étaient également considérées comme un équivalent-couple. Les densités d'oiseaux de proie ont été estimées en nombre d'individus/100 km^2 aux vues des données insuffisantes sur le statut reproducteur des individus observés.

Le plan de vol était déterminé de façon à couvrir tous les plans d'eau et les milieux et humides de la zone d'inventaire. L'hélicoptère survolait les rives de toutes les îles et de toutes les baies. Il passait au-dessus des rives de façon à chasser sur l'eau la sauvagine cachée sur la rive ou en forêt. De plus, une attention particulière était portée aux tronçons de rivières présentant des rapides afin de détecter la présence de couples d'arlequins plongeurs.

L'inventaire s'est déroulé en début juin et visait l'inventaire des couples nicheurs. Cette période est déterminée en fonction de l'avancement des conditions printanières et de la chronologie de reproduction de l'ensemble des espèces susceptibles de nicher dans le secteur. Les conditions météorologiques prévalant au cours de l'inventaire étaient également notées, dont la nébulosité, les précipitations, l'origine et la force du vent (selon l'échelle de Beaufort), la température et les conditions générales d'observation.

L'inventaire du hibou des marais s'est effectué simultanément à celui de la sauvagine. Pour ce faire, les tourbières et marais situés à l'intérieur des parcelles sélectionnées étaient entièrement survolés à basse vitesse (10 à 30 km/h) et à une altitude variant de 10 à 20 m. Les parois rocheuses propices pour le faucon pèlerin et l'aigle royal ont été quant à elles scrutées en hélicoptère à une distance latérale de 20 à 30 m. Le nombre de passages dépendait de la hauteur de la falaise. Le premier passage commençait quelques mètres plus bas que le sommet et les autres se déroulaient progressivement vers le bas. Deux observateurs regardaient attentivement les parois afin de déceler les nids occupés ou abandonnés. Cette recherche s'appuyait sur les indices d'occupation et de présence de nids, tels que la fiente, les plumes, un ou des adultes s'envolant de la paroi, des restes de proies, des formations de lichens nitrophiles de couleur ocre ou de nids de branches (c.-à-d. anciens nids de corbeaux). La vitesse recommandée était de 10-25 km/heure à proximité des falaises à potentiel et le temps passé à un nid occupé de moins de 30 secondes.

Pour les nids situés dans les arbres, l'hélicoptère survolait les rives des rivières et des plans d'eau afin d'identifier les oiseaux de proie aperçus en vol ou les nids. La vitesse de vol variait de 30 à 80 km/h et l'altitude, de 5 à 30 m au-dessus du faîte des arbres. Le nombre d'individus ainsi que l'espèce étaient notés et la description des nids devait inclure la nature du support, son état dans le cas des arbres (mort ou vivant), le contenu (nombre d'œufs ou de jeunes), son orientation, son état, la présence de surplomb et la hauteur de la falaise (avec l'altimètre de l'hélicoptère). L'équipe terrain était composée d'un navigateur-observateur, assis à l'avant de l'appareil, et d'un observateur arrière. Le navigateur-observateur dirigeait les déplacements de l'hélicoptère pour maximiser la couverture et la précision des relevés. L'observateur arrière validait les localisations des oiseaux ou des nids en prenant des points GPS et consignait les détails relatifs à chaque observation, incluant l'espèce, le nombre d'individus (adultes et immatures), le sexe lorsque possible, la présence de nids, le nombre d'œufs ou de jeunes, ainsi que des informations sur la description des nids et de leurs supports, et les comportements observés. Une localisation était également prise avec un appareil de type Garmin pour tous les nids détectés. En plus de la localisation, le navigateur prenait des photos des nids et de l'habitat autour. L'utilisation d'une caméra à bonne résolution était privilégiée afin de pouvoir au besoin dénombrer le nombre d'œufs ou de jeunes.

Le statut des nids d'oiseaux de proie détectés se fera selon la terminologie de Steenhof (1987) : un « site de nidification » est un lieu qui contient un ou des nids, y compris des nids de rechange, et où un seul couple pond des œufs à la fois. Un nid est désigné « inoccupé » pour l'année en cours lorsqu'aucun signe de présence n'a été observé lors d'un ou de plusieurs examens. Un site de nidification est désigné « inoccupé » lorsque tous ses nids sont inoccupés. Un nid et un site de nidification sont désignés « occupés » par un couple lorsque celui-ci est observé sur le nid, sur le site ou tout près, ou encore, lorsque des preuves de reproduction ou un nid fraîchement rénové ont été observés.

En parallèle, toutes les mentions d'autres espèces fauniques et espèces aviaires non ciblées initialement ont été notées et géolocalisées. L'ensemble de la zone d'inventaire a été subdivisé en grilles afin de garantir une couverture exhaustive et de permettre une planification méthodique des inventaires, répartis sur plusieurs journées en fonction des ressources disponibles.

2.2.5 Transects et stations d'écoute – période hivernale

L'avifaune hivernante incluant les oiseaux forestiers et les phasianidés tels que le lagopède des saules a été recensée dans la zone d'inventaire à l'aide de stations d'écoute réparties et de transects à l'hiver 2023. Les transects, rectangulaires (300 X 200 m) de 1 km de longueur totale, ont été répartis dans l'ensemble de la zone d'inventaire du

projet (carte 3). Sur chacun des transects, trois points d'écoute/observation ont été positionnés de manière à dénombrer les oiseaux à tous les 250 m. Chaque point d'écoute était d'une durée de 3 minutes. Les pistes de phasianidés dans la neige ont été identifiées et notées en présence/absence sur chacun des 10 segments de 100 m divisant des transects (300 x 200 m). L'habitat de chaque segment a aussi été déterminé et celui de chaque point d'écoute a été photographié. Les conditions d'inventaire et de visibilité des pistes ont aussi été notées. La portée et les objectifs de cet inventaire sont conformes aux exigences des lignes directrices fédérales relatives à l'étude d'impact du projet.

2.2.6 Mammifères

En complémentarité avec l'inventaire de pistage de phasianidés hivernants, les transects servaient également à inventorier les animaux à fourrure hivernants dans la zone d'inventaire.

2.2.7 Écoute et recherches actives de l'herpétofaune

Les amphibiens et les reptiles de la zone d'inventaire ont été recensés principalement lors des inventaires par stations d'écoute, lors des déplacements entre les points, par les sonomètres et aux différents camps. À chaque point d'écoute, une brève séance d'observation et de recherche active était effectuée dans un rayon de 5 m autour du centre du point, en particulier si des pierres et des débris ligneux pourris étaient présents. Lorsque des ruisseaux pierreux étaient présents, de la recherche active de salamandre à deux lignes était initiée en équipe en fin d'après-midi. Des fouilles pour la couleuvre rayée dans les habitats ouverts pouvant convenir à l'espèce, c'est-à-dire dans les habitats comportant des abris ligneux ou rocheux, ont aussi été effectuées. L'écoute et la recherche active de l'herpétofaune ont eu lieu au cours de la même période que les points d'écoute pour l'avifaune, soit en juin et juillet 2024.

2.3 Espèces en situation précaire

Les bases de données existantes dans la zone d'étude régionale indiquent la présence de 10 espèces (tableau 2). Parmi ces dernières espèces, les plus fréquemment rapportées sont l'engoulevent d'Amérique, le quiscale rouilleux et le moucherolle à côtés olive (Cornell et coll., 2025; Oiseaux Canada et coll., 2025).

Des modèles d'habitat potentiel ont été réalisés pour chacune des espèces en situation précaire potentiellement présentes dans la zone d'inventaire du projet et la superficie estimée en habitat potentiel est fournie au tableau 3.

Les résultats de modélisation suggèrent des superficies élevées en habitat potentiel à l'intérieur de la zone d'inventaire pour le moucherolle à côtés olive, l'engoulevent d'Amérique et le hibou des marais avec plus de 1 000 ha (tableau 3).

Tableau 2. Liste des espèces en situation précaire potentiellement présentes dans la zone d'étude régionale d'après Cornell et coll. (2025), Oiseaux Canada et coll. (2025), eBird (2025) et Gouvernement du Québec (2025)

Nom français	Nom latin	Statut provincial	Statut fédéral (LEP)	Statut COSEPAC
Aigle royal	*Aquila chrysaetos*	Vulnérable	-	Non en péril
Pygargue à tête blanche	*Haliaeetus leucocephalus*	Vulnérable	-	Non en péril
Petit chevalier	*Tringa flavipes*	-	En attente	Menacée
Bécassin roux	*Limnodromus griseus hendersoni/griseus*	-	En attente	Menacée
Hibou des marais	*Asio flammeus*	SDMV*		Menacée
Arlequin plongeur	*Histrionicus histrionicus*	Vulnérable	Préoccupante	Préoccupante
Engoulevent d'Amérique	*Chordeiles minor*	SDMV	Préoccupante	Préoccupante
Moucherolle à côtés olive	*Contopus cooperi*	Vulnérable	Préoccupante	Préoccupante
Quiscale rouilleux	*Euphagus carolinus*	SDMV	Préoccupante	Préoccupante
Hirondelle de rivage	*Riparia riparia*		Menacée	Menacée

*SDMV : espèce susceptible d'être désignée menacée ou vulnérable

Tableau 3. Habitat potentiel associé à chacune des espèces en situation précaire potentiellement présentes dans la zone d'inventaire du projet

Nom français	Nom latin	Habitat potentiel de nidification (HP)	Source	Critères du modèle d'HP[1]	Superficie habitat potentiel (ha)
Aigle royal	*Aquila chrysaetos*	Landes à lichen, zones en régénération après feux, brulis, secteurs montagneux offrant de grandes parois verticales	MELCCFP (2024)	Parois verticales ≥ 150 m de haut avec milieux ouverts (Régénération, lande à lichen, marais, marécage, tourbière)	0
Pygargue à tête blanche	*Haliaeetus leucocephalus*	Rives des grands lacs, des rivières et de la mer	Buehler (2022)	Forêts matures (90 ans) situées en deçà de 500 m de rives de plans d'eau ou de cours d'eau de ≥ 50 ha	1 390
Petit chevalier	*Tringa flavipes*	Marais et tourbières	COSEPAC (2020)	Marais, tourbière	750
Bécassin roux	*Limnodromus griseus hendersoni/griseus*	Tourbières	Jehl et coll. (2020)	Tourbière	746
Hibou des marais	*Asio flammeus*	Marais, marécages, tourbières	COSEPAC (2008)	Marais, marécage, tourbière	1 096
Arlequin plongeur	*Histrionicus histrionicus*	Cours d'eau rapides, cascades	Robertson et Goudie. (2020)	25 m des sections de cours d'eau avec un faciès d'écoulement « rapides »	14
Engoulevent d'Amérique	*Chordeiles minor*	Landes à lichen, pinèdes ouvertes, parterres de coupe	COSEPAC (2007)	Régénération arbustive (lande à lichen)	4 762
Moucherolle à côtés olive	*Contopus cooperi*	Étangs à castor, marais, brûlis	Altman et Sallabanks (2012); COSEPAC. (2018)	Régénération, marais, marécage et tourbière	5 631
Quiscale rouilleux	*Euphagus carolinus*	Tourbières, marécages, marais en bordure des forêts	COSEPAC (2017)	Marais, marécage, tourbière, bandes riveraines de 25 m des plans d'eau et cours d'eau	359
Hirondelle de rivage	*Riparia riparia*	Rive sablonneuse, bordure de chemins, sablières	COSEPAC (2013)	25 m de toutes rives de types confondues, gravières et bordures de chemins	50

1 données de caractérisation de la végétation produites par WSP

Carte 3 - Map 3

Localisation des stations d'écoute et des transects de l'inventaire hivernal -

Location of listening stations and winter inventory transects

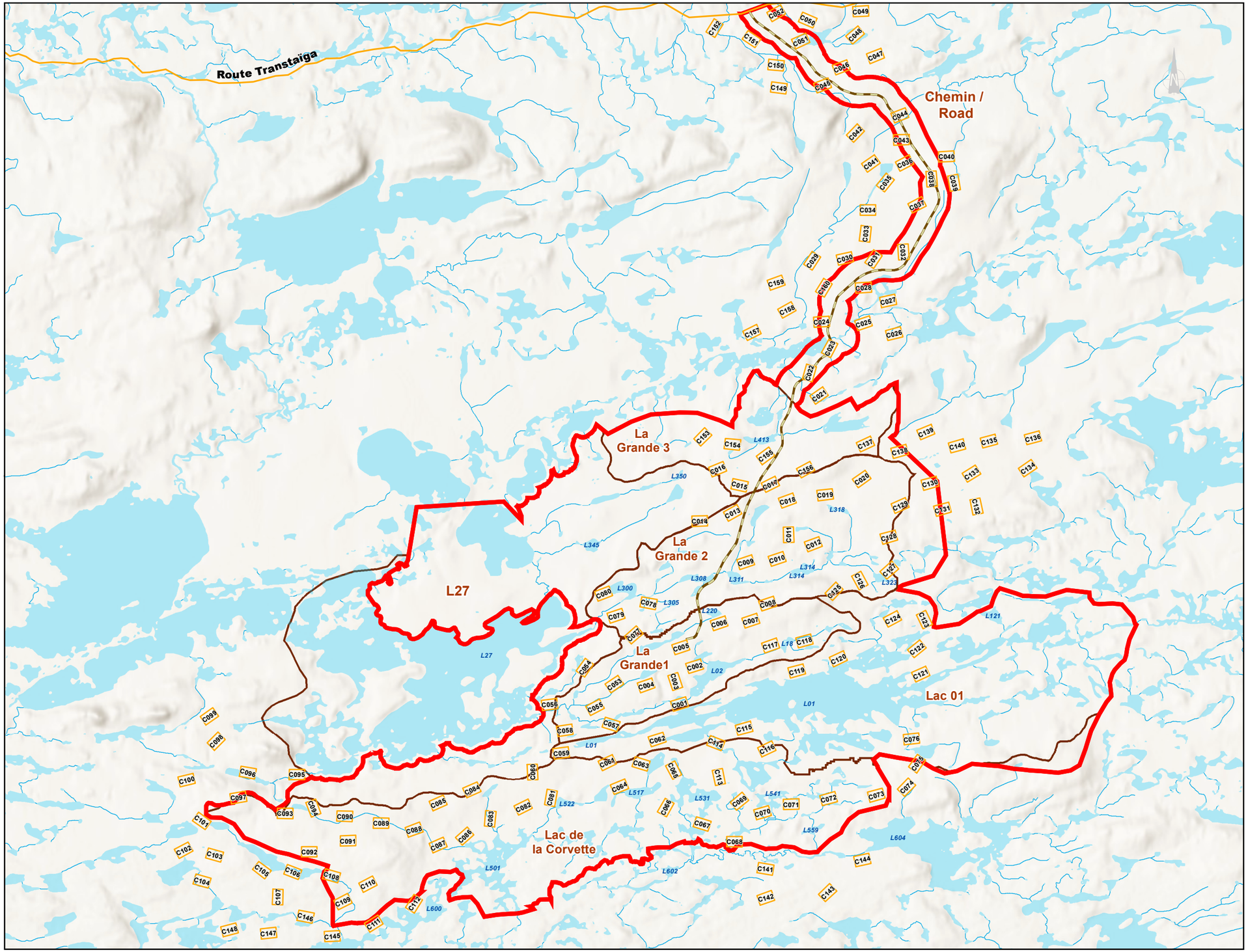

Transect d'inventaire / Survey transect
Zone d'inventaire / Survey area
Limite des secteurs / Sector boundary

Hydrographie / Hydrography

Cours d'eau / Watercourse
Lac / Lake

Réseau routier / Road network

Route / Road
Chemin d'accès existant / Existing access path

Source des données :
Géobase du réseau hydrographique du Québec (GRHQ), MRNF Québec, 2019
BDTA 1:250 000, MERN Québec, 2021
Découpage administratif, SDA (20K), MRNF Québec, 2024
Réseau routier, Adresse Québec, 2024-02
Végétation, WSP, 2025
Inventaire Groupe Synergis, 2022, 2023, 2024

1:75 000
0 750 1 500 m
NAD 1983 CSRS MTM 8

Projet Shaakichiuwaanaan / Shaakichiuwaanaan Project

Inventaire de l'avifaune / Bird survey

Niigaan
Projet / Project: 22-0095 / 151022002

2025-07-09

Approuvé par / Approved by :
Carl Savignac

Note : Cette carte n'a aucune valeur légale, seul un arpenteur-géomètre peut se prononcer sur l'exactitude des informations géographiques.
Note: This map has no legal value, only a land surveyor can comment on the accuracy of the geographical information.

J:\Niigan\22_0095_Baseline_Corvette_PBM_Baie_James\3_Donnees\Cartographie\Projet_GIS_Compilation\2024\04_Avifaune\22_0095_C3_StnEcoute_Transect_hiver_250513.mxd

3 Résultats d'inventaires aviaires

3.1 Données existantes

Les données ornithologiques, tant publiées que non publiées, demeurent très limitées pour la zone d'inventaire et pour la zone d'étude régionale. Une liste d'espèces potentiellement présentes a été établie à partir des observations issues de la base de données eBird (Cornell et coll., 2025) ainsi que de l'Atlas des oiseaux nicheurs du Québec – volet nordique (Oiseaux Canada et coll., 2025), obtenues par la plateforme en ligne NatureCounts.

Dans la zone d'inventaire, deux feuillets eBird hivernaux et un carré Atlas (18WE74), localisés dans le secteur nord à proximité de la route Transtaïga ont été recensés. Ces données confirment la présence de 12 espèces potentielles (annexe 1).

Dans la zone d'étude régionale, 58 feuillets eBird (périodes de migration, d'hivernage et de reproduction) ainsi que 20 carrés Atlas ont été analysés, permettant de confirmer la présence potentielle de 92 espèces (annexe 1).

La liste d'espèces élaborée comprend six espèces à statut précaire dans la zone d'étude régionale : quiscale rouilleux, moucherolle à côtés olive, aigle royal, pygargue à tête blanche, hirondelle de rivage et engoulevent d'Amérique.

D'autres espèces à statut précaire pourraient également y être présentes en fonction de leurs aires de répartition et de leurs habitats respectifs, notamment le petit chevalier, le hibou des marais, le bécassin roux, l'arlequin plongeur et le faucon pèlerin (Fink et coll., 2024).

Une demande d'accès aux données a été transmise au Service canadien de la faune et au MELCCFP, mais aucune donnée ornithologique complémentaire n'a pu être obtenue à ce jour.

Les données existantes du CDPNQ (2025) ont également été consultées, mais aucune occurrence d'oiseaux n'est actuellement répertoriée dans la zone d'inventaire ou régionale.

3.2 Inventaires par sonomètres

3.2.1 Effort d'inventaire

L'inventaire de l'avifaune par sonomètres a été réalisé entre le 16 avril et le 10 octobre de 2023 et 2024 à l'aide de 18 stations de sonomètres afin de couvrir la période de migration printanière, de nidification et de migration automnale. Un peu plus de 10 % des fichiers enregistrés ont été analysés pour un total de 628,5 heures d'écoute. En moyenne, 5,2 heures d'écoute par stations ont été analysées pour décrire l'avifaune de la zone d'inventaire par période en fonction des années (tableau 4; carte 2).

Tableau 4. Nombre de stations et d'heures d'écoute des sonomètres selon les années et périodes d'inventaire

Période	Date début	Date fin	Nbre	Nombre d'heures (h)				
				Total	Moyenne	Écart type	Minimum	Maximum
Printemps 2023	16-avr	05-juin	18	158,9	8,8	1,7	7,4	13,25
Printemps 2024	16-avr	05-juin	17	123,9	6,9	1,9	0,1	7,7
Reproduction 2023	06-juin	06-juil	18	119,6	6,6	0,4	5,75	7,25
Reproduction 2024	06-juin	06-juil	15	49,6	3,1	0	3,1	3,1
Automne 2023	05-sept	10-oct	17	118,1	6,6	1,9	0	8,5
Automne 2024	05-sept	10-oct	18	58,4	3,2	0,6	2,7	3,6
Total			103	628,5	5,2	1,1	3,2	7,2

3.2.2 Description des résultats de l'inventaire par sonomètres

Le tableau 5 présente les noms français et scientifiques des espèces recensées, leur occurrence et nombre de mentions, ainsi que leur statut selon les lois fédérales et provinciales. L'inventaire par sonomètre a permis de détecter un total de 98 espèces d'oiseaux pour les deux années étudiées, dont 74 espèces nicheuses migratrices, 23 espèces nicheuses résidentes et 1 espèce migratrice (David, 2019). Parmi celles-ci, 64 sont des oiseaux terrestres (principalement des passereaux et des pics), 22 sont des oiseaux aquatiques (incluant la sauvagine, les limicoles et les autres oiseaux aquatiques) et 12 sont des oiseaux de proie, dont 5 espèces nocturnes.

Parmi toutes les espèces détectées, 19 espèces (19 %) ont une fréquence d'occurrence de plus de 50 % des stations sur l'ensemble des périodes et années d'inventaires. Le bruant à gorge blanche et le junco ardoisé sont les espèces présentes à toutes les stations, périodes et années d'inventaire. Le merle d'Amérique et le mésangeai du Canada sont au deuxième rang des espèces les plus fidèles au site d'inventaire, ayant été détectés chaque saison et année, mais ayant échappé à la détection à une station.

Parmi les 97 espèces détectées, 14 (14 %) ont été recensées à une seule reprise pour l'ensemble de l'inventaire. Le nombre total de mentions détectées par sonomètre, toutes saisons confondues, était plus élevé en 2023 (28 266 individus) qu'en 2024 (19 214 individus). Le bruant à gorge blanche est l'espèce la plus abondante composant 19 % de l'abondance totale. La grive solitaire est la deuxième espèce la plus abondante avec 13 % des observations totales. La vaste majorité des espèces détectées (89 %) a une abondance relative inférieure ou égale à 1 % de l'abondance totale. Une mention notable est celle d'un mâle tohi à flanc roux, une espèce ne nichant généralement que dans l'extrême sud de la province, présent du mois de juin à septembre dans le même secteur de la zone d'inventaire.

Un total de 82 espèces sont des espèces migratrices protégées selon la loi fédérale de la convention concernant les oiseaux migrateurs (LCOM). Neuf espèces en situation précaire au niveau fédéral et/ou provincial ont été notées soit le petit chevalier, l'aigle royal, l'engoulevent d'Amérique, le faucon pèlerin, le hibou des marais, l'hirondelle de rivage, le moucherolle à côtés olive, le pygargue à tête blanche et le quiscale rouilleux.

L'engoulevent d'Amérique, le hibou des marais, et le moucherolle à côtés olive étaient généralement nombreux et bien répartis dans la zone d'inventaire autant en 2023 qu'en 2024, notamment au printemps et en été (carte 4). Ils étaient rarement détectés par les sonomètres durant la période automnale. En revanche, le quiscale rouilleux était présent dans l'ensemble de la zone d'inventaire, et ce, durant chacune des saisons. Dans l'ensemble, la plupart des espèces en

situation précaire détectées par sonomètres étaient bien plus abondantes en 2024 qu'en 2023. Les feux de forêt de 2023 ont probablement nui à la migration et à la nidification de ces espèces.

Tableau 5. Occurrence et abondance des espèces dénombrées à l'aide des sonomètres dans la zone d'inventaire en 2023 et 2024

No.	Nom français	Nom latin	LEVM-QC	COSEPAC	LEP-CN	LCOM	Occurrence - Nombre							Nombre de mentions						
							Print. 2023	Print. 2024	Repro. 2023	Repro. 2024	Aut. 2023	Aut. 2024	Total	Print. 2023	Print. 2024	Repro. 2023	Repro. 2024	Aut. 2023	Aut. 2024	Total
1	**Aigle royal**	***Aquila chrysaetos***	**V**				**0**	**1**	**0**	**0**	**0**	**0**	**1**	**0**	**1**	**0**	**0**	**0**	**0**	**1**
2	Alouette hausse-col	*Eremophila alpestris*				Oui	2	2	1	0	10	0	15	2	3	1	0	23	0	29
3	Autour d'Amérique	*Astur atricpillus*					0	0	2	0	2	0	4	0	0	2	0	3	0	5
4	Bec-croisé bifascié	*Loxia leucoptera*				Oui	11	17	7	13	9	15	72	38	144	37	46	16	39	320
5	Bec-croisé des sapins	*Loxia curvirostra*				Oui	2	0	0	0	0	0	2	2	0	0	0	0	0	2
6	Bécasse d'Amérique	*Scolopax minor*				Oui	4	0	2	0	0	0	6	163	0	16	0	0	0	179
7	Bécasseau minuscule	*Calidris minutilla*				Oui	3	1	0	1	1	0	6	5	1	0	1	1	0	8
8	Bécasseau semipalmé	*Calidris pusilla*				Oui	0	0	0	0	0	1	1	0	0	0	0	0	1	1
9	Bécassine de Wilson	*Gallinago delicata*				Oui	7	12	4	3	0	1	27	39	71	6	7	0	1	124
10	Bernache du Canada	*Branta canadensis*				Oui	12	17	8	7	17	18	79	67	159	93	16	4071	110	4 516
11	Bruant à couronne blanche	*Zonotrichia leucophrys*				Oui	12	16	4	9	13	9	63	229	211	194	75	65	17	791
12	Bruant à gorge blanche	*Zonotrichia albicollis*				Oui	18	17	18	15	17	18	103	2 238	2 306	1 986	1 602	695	258	9 085
13	Bruant chanteur	*Melospiza melodia*				Oui	2	0	2	0	0	0	4	6	0	2	0	0	0	8
14	Bruant de Lincoln	*Melospiza lincolnii*				Oui	13	16	12	14	3	1	59	317	304	218	266	5	1	1 111
15	Bruant des marais	*Melospiza georgiana*				Oui	5	6	2	11	1	0	25	99	45	2	33	1	0	180
16	Bruant des prés	*Passerculus sandwichensis*				Oui	4	4	1	2	0	1	12	105	13	5	11	0	1	135
17	Bruant familier	*Spizella passerina*				Oui	1	0	1	0	0	0	2	1	0	2	0	0	0	3
18	Bruant fauve	*Passerella iliaca*				Oui	16	17	14	15	15	11	88	336	544	180	436	76	27	1 599
19	Bruant hudsonien	*Spizelloides arborea*				Oui	0	11	0	0	8	4	23	0	32	0	0	40	4	76
20	Buse à queue rousse	*Buteo jamaicensis*					1	0	1	1	0	2	5	1	0	1	1	0	2	5
21	Canard noir	*Anas rubripes*				Oui	1	6	1	0	4	3	15	1	9	1	0	6	3	20
22	Chevalier grivelé	*Actitis macularius*				Oui	7	6	3	10	0	0	26	46	9	4	25	0	0	84
23	Chevalier solitaire	*Tringa solitaria*				Oui	7	14	4	10	3	2	40	44	41	15	35	3	2	140
24	Chouette épervière	*Surnia ulula*					0	5	0	2	0	0	7	0	25	0	2	0	0	27
25	Durbec des sapins	*Pinicola enucleator*				Oui	8	15	11	12	15	14	75	52	67	35	32	114	33	333
26	Eider à duvet	*Somateria mollissima*				Oui	1	0	0	0	0	0	1	1	0	0	0	0	0	1
27	**Engoulevent d'Amérique**	***Chordeiles minor***	**S**	**P**	**P**	**Oui**	**11**	**13**	**16**	**15**	**1**	**0**	**56**	**111**	**65**	**129**	**179**	**1**	**0**	**485**
28	Épervier brun	*Accipiter striatus*					0	0	1	0	0	0	1	0	0	1	0	0	0	1
29	Faucon pèlerin	*Falco peregrinus*	V	Non en péril	P		2	0	0	0	0	0	2	2	0	0	0	0	0	2
30	Garrot à œil d'or	*Bucephala clangula*				Oui	0	1	0	0	0	2	3	0	1	0	0	0	2	3
31	Goéland hudsonien	*Larus smithsonianus*				Oui	9	7	6	6	1	2	31	21	19	21	13	1	2	77
32	Grand-duc d'Amérique	*Bubo Virginianus*					9	9	6	5	8	6	43	27	22	20	6	36	8	119
33	Grand Chevalier	*Tringa melanoleuca*				Oui	11	16	11	10	4	2	54	69	54	28	28	9	2	190
34	Grand Corbeau	*Corvus corax*					9	12	6	3	16	8	54	20	21	10	9	37	45	142
35	Grimpereau brun	*Certhia americana*				Oui	1	3	2	3	0	3	12	1	16	3	4	0	6	30
36	Grive à dos olive	*Catharus ustulatus*				Oui	7	2	6	4	5	2	26	35	5	19	27	8	2	96
37	Grive à joues grises	*Catharus minimus*				Oui	2	1	0	0	10	11	24	2	1	0	0	32	18	53
38	Grive solitaire	*Catharus guttatus*				Oui	18	17	18	15	17	11	96	2 005	1 244	1 735	1 311	125	22	6 442
39	Grue du Canada	*Antigone canadensis*				Oui	3	4	3	0	8	0	18	4	4	4	0	17	0	29
40	Harelde kakawi	*Clangula hyemalis*				Oui	0	5	0	0	0	0	5	0	5	0	0	0	0	5
41	**Hibou des marais**	***Asio flammeus***	**S**	**M**	**P**		**0**	**8**	**0**	**3**	**0**	**1**	**12**	**0**	**34**	**0**	**3**	**0**	**1**	**38**
42	Hibou moyen-duc	*Asio otus*					0	3	0	0	0	0	3	0	8	0	0	0	0	8
43	Hirondelle bicolore	*Tachycineta bicolor*				Oui	4	6	2	4	0	0	16	37	19	2	14	0	0	72
44	**Hirondelle de rivage**	***Riparia riparia***		**M**	**M**	**Oui**	**0**	**0**	**0**	**1**	**0**	**0**	**1**	**0**	**0**	**0**	**1**	**0**	**0**	**1**
45	Jaseur boréal	*Bombycilla garrulus*				Oui	8	12	10	11	15	5	61	102	34	108	33	150	8	435

No.	Nom français	Nom latin	LEVM-QC	COSEPAC	LEP-CN	LCOM	Occurrence - Nombre							Nombre de mentions						
							Print. 2023	Print. 2024	Repro. 2023	Repro. 2024	Aut. 2023	Aut. 2024	Total	Print. 2023	Print. 2024	Repro. 2023	Repro. 2024	Aut. 2023	Aut. 2024	Total
46	Jaseur d'Amérique	*Bombycilla cedrorum*				Oui	1	0	0	9	0	0	10	2	0	0	22	0	0	24
47	Junco ardoisé	*Junco hyemalis*				Oui	18	17	18	15	17	18	103	1 075	974	775	743	505	144	4 216
48	Lagopède des saules	*Lagopus lagopus*					0	13	0	0	0	0	13	0	96	0	0	0	0	96
49	Macreuse à bec jaune	*Melanitta americanada*				Oui	2	7	1	3	0	3	16	7	14	5	7	0	4	37
50	Macreuse à front blanc	*Melanitta perpicillata*				Oui	0	1	0	0	0	0	1	0	1	0	0	0	0	1
51	Martin-pêcheur d'Amérique	*Megaceryle alcyon*				Oui	0	4	0	0	1	0	5	0	4	0	0	1	0	5
52	Merle d'Amérique	*Turdus migratorius*				Oui	18	17	18	15	17	17	102	598	651	460	362	482	98	2 651
53	Merlebleu de l'Est	*Sialia sialis*				Oui	0	1	0	1	0	0	2	0	1	0	1	0	0	2
54	Mésange à tête brune	*Poecile hudsonicus*				Oui	6	14	6	3	12	8	49	13	29	11	3	24	14	94
55	Mésange à tête noire	*Poecile atricapillus*				Oui	0	0	0	0	2	0	2	0	0	0	0	2	0	2
56	Mésangeai du Canada	*Perisoreus canadensis*					18	17	17	15	17	18	102	432	330	353	228	825	225	2 393
57	**Moucherolle à côtés olive**	***Contopus cooperi***	**V**	**P**	**P**	**Oui**	**5**	**9**	**6**	**9**	**0**	**0**	**29**	**52**	**46**	**61**	**63**	**0**	**0**	**222**
58	Moucherolle à ventre jaune	*Empidonax flaviventris*				Oui	10	5	13	11	0	0	39	87	7	102	83	0	0	279
59	Moucherolle des aulnes	*Empidonax alnorum*				Oui	2	1	2	4	0	0	9	6	2	33	21	0	0	62
60	Nyctale de Tengmalm	*Aegolius funereus*					2	5	0	3	5	5	20	2	16	0	3	7	6	34
61	Oie des neiges	*Anser caerulescens*				Oui	0	0	0	0	0	1	1	0	0	0	0	0	1	1
62	Paruline à calotte noire	*Cardellina pusilla*				Oui	9	3	9	6	0	0	27	36	3	42	12	0	0	93
63	Paruline à couronne rousse	*Setophaga palmarum*				Oui	13	15	13	15	2	0	58	206	150	234	183	3	0	776
64	Paruline à croupion jaune	*Setophaga coronata*				Oui	17	17	17	15	14	12	92	426	694	296	392	96	22	1 926
65	Paruline à joues grises	*Leiothlypis ruficapilla*				Oui	7	5	4	0	0	0	16	30	6	82	0	0	0	118
66	Paruline des ruisseaux	*Parkesia noveboracensis*				Oui	5	10	2	2	2	2	23	25	22	5	15	2	2	71
67	Paruline jaune	*Setophaga petechia*				Oui	1	0	3	2	0	0	6	4	0	4	2	0	0	10
68	Paruline masquée	*Geothlypis trichas*				Oui	1	0	0	0	0	0	1	4	0	0	0	0	0	4
69	Paruline obscure	*Leiothlypis peregrina*				Oui	1	1	3	1	0	0	6	1	1	7	4	0	0	13
70	Paruline rayée	*Setophaga striata*				Oui	5	10	3	3	0	2	23	112	48	92	46	0	2	300
71	Paruline verdâtre	*Leiothlypis celata*				Oui	6	10	7	9	0	1	33	112	41	71	27	0	1	252
72	Petit chevalier	*Tringa flavipes*				Oui	4	5	1	1	1	0	12	10	7	1	1	1	0	20
73	Petite Nyctale	*Aegolius acadicus*					0	0	1	0	0	1	2	0	0	1	0	0	1	2
74	Pic à dos noir	*Picoides arcticus*				Oui	6	8	7	3	4	2	30	30	20	14	7	6	2	79
75	Pic à dos rayé	*Picoides dorsalis*				Oui	0	7	2	1	3	0	13	0	17	3	1	3	0	24
76	Pic chevelu	*Dryobates villosus*				Oui	4	0	1	0	5	0	10	8	0	1	0	8	0	17
77	Pic flamboyant	*Colaptes auratus*				Oui	2	7	2	2	1	0	14	2	23	2	3	3	0	33
78	Pic maculé	*Sphyrapicus varius*				Oui	1	0	0	0	0	0	1	1	0	0	0	0	0	1
79	Pie-grièche boréale	*Lanius borealis*				Oui	0	0	0	0	0	1	1	0	0	0	0	0	1	1
80	Pipit d'Amérique	*Anthus rubescens*				Oui	5	16	0	0	16	7	44	10	50	0	0	128	14	202
81	Plectrophane des neiges	*Plectrophenax nivalis*				Oui	0	12	1	0	3	4	20	0	22	1	0	6	6	35
82	Plectrophane lapon	*Calcarius lapponicus*				Oui	0	0	0	0	1	0	1	0	0	0	0	1	0	1
83	Plongeon huard	*Gavia immer*				Oui	16	15	14	12	17	11	85	103	67	37	32	67	18	324
84	Pluvier semipalmé	*Charadrius semipalmatus*				Oui	0	1	1	0	1	0	3	0	2	7	0	1	0	10
85	**Pygargue à tête blanche**	***Haliaeetus leucocephalus***	**V**				**0**	**0**	**0**	**0**	**1**	**1**	**2**	**0**	**0**	**0**	**0**	**1**	**1**	**2**
86	Quiscale bronzé	*Quiscalus quiscula*				Oui	1	0	0	0	0	0	1	1	0	0	0	0	0	1
87	**Quiscale rouilleux**	***Euphagus carolinus***	**S**	**P**	**P**	**Oui**	**5**	**17**	**9**	**12**	**10**	**13**	**66**	**47**	**157**	**16**	**77**	**56**	**25**	**378**
88	Roitelet à couronne dorée	*Regulus satrapa*				Oui	1	7	1	1	2	2	14	1	11	1	1	3	3	20
89	Roitelet à couronne rubis	*Corthylio calendula*				Oui	17	17	16	15	15	10	90	1 428	1 335	902	685	75	17	4 442
90	Roselin pourpré	*Haemorhous purpureus*				Oui	2	0	1	0	1	0	4	2	0	2	0	1	0	5
91	Sarcelle d'hiver	*Spatula discords*				Oui	0	6	0	0	0	0	6	0	8	0	0	0	0	8

No.	Nom français	Nom latin	LEVM-QC	COSEPAC	LEP-CN	LCOM	Occurrence - Nombre							Nombre de mentions						
							Print. 2023	Print. 2024	Repro. 2023	Repro. 2024	Aut. 2023	Aut. 2024	Total	Print. 2023	Print. 2024	Repro. 2023	Repro. 2024	Aut. 2023	Aut. 2024	Total
92	Sittelle à poitrine rousse	*Sitta canadensis*				Oui	0	0	0	0	1	0	1	0	0	0	0	1	0	1
93	Sizerin flammé	*Acanthis flammea*				Oui	15	17	14	2	17	11	76	101	116	45	3	210	21	496
94	Sterne arctique	*Sterna paradisaea*				Oui	0	1	0	0	0	1	2	0	1	0	0	0	1	2
95	Tarin des pins	*Spinus pinus*				Oui	3	1	2	1	2	2	11	8	1	18	1	2	2	32
96	Tétras du Canada	*Canachites canadensis*					2	13	2	2	4	1	24	2	58	3	2	6	1	72
97	Tohi à flancs roux	*Pipilio erythrophthalmus*				Oui	0	0	0	0	0	1	1	0	0	0	6	0	1	7
98	Troglodyte des forêts	*Troglodytes hiemalis*				Oui	15	13	9	10	2	0	49	272	81	151	65	3	0	572
						Total	477	647	411	408	399	308	2 650	11 484	10 649	8 718	7 317	8 064	1 248	47 480

Les espèces en situation précaire sont notées en caractères gras

3.2.3 Variabilité naturelle entre les périodes d'inventaires et années

Les sections suivantes présentent les données de sonomètres par période d'inventaires. Le tableau 6 résume la richesse spécifique et l'abondance mesurées avec les sonomètres selon les années et périodes d'inventaires.

3.2.3.1 Migration printanière

Lors des migrations printanières de 2023 et 2024, un total de 70 espèces d'oiseaux ont été recensées chaque année à partir des stations de sonomètres réparties dans la zone d'inventaire. En ce qui concerne la fréquence d'occurrence, 33 % des espèces ont été observées dans au moins la moitié des stations en 2023, comparativement à 48 % en 2024. Plusieurs espèces communes ont été recensées à toutes les stations les deux années, dont le bruant à gorge blanche, la grive solitaire, le junco ardoisé, le merle d'Amérique et le mésangeai du Canada. En 2024, d'autres espèces se démarquent par leur présence à toutes les stations comme la paruline à croupion jaune, le roitelet à couronne rubis, le bruant fauve et le sizerin flammé. Quelques espèces ont uniquement été détectées durant la migration printanière, indiquant une occupation temporaire de la zone d'inventaire. En 2023, il s'agissait notamment du jaseur d'Amérique, du bec croisé des sapins, de la paruline masquée, de l'eider à duvet, du pic maculé et du quiscale bronzé, tandis qu'en 2024, l'aigle royal et la grue du Canada figuraient parmi ces migrateurs de passage. C'est 84 % des espèces détectées durant la migration printanière en 2023 qui ont été présentes durant la saison de nidification, contre 77 % en 2024. La bernache du Canada, une espèce d'importance culturelle pour les communautés autochtones de la région, fut notée à 12 et 17 reprises par les sonomètres en 2023 et 2024 respectivement (tableau 5). Les nombres d'individus estimés par cette méthode est toutefois faible pour la zone d'inventaire soit de 67 et 159 individus en 2023 et 2024 respectivement (tableau 5).

La richesse spécifique maximale a été atteinte vers la fin du mois de mai lors des deux années, avec un pic d'abondance durant la dernière semaine de mai en 2023. Cette année-là, 11 388 oiseaux ont été dénombrés durant la période, pour une moyenne de 632,7 ± 316,9 individus par station. La situation est similaire en 2024 avec un total de 10 649 oiseaux dénombrés, avec une moyenne de 639,2 ± 226,3. La richesse moyenne par sonomètres en 2023 est de 26,3 ± 8,7 en 2023 alors qu'elle est plus grande en 2024 avec 35,9 ± 10,3. Le bruant à gorge blanche et la grive solitaire ont dominé en termes d'abondance en 2023, alors que c'est le bruant à gorge blanche et le roitelet à couronne rubis en 2024. La variation temporelle de la richesse totale enregistrée aux sonomètres lors de la période de migration printanière en 2023 et 2024 est généralement similaire sauf pour les deux premières semaines d'avril ou la richesse était plus que du double en 2023.

Parmi toutes les espèces détectées par sonomètres, plusieurs possèdent un statut précaire ou particulier au niveau provincial ou fédéral. L'engoulevent d'Amérique, le moucherolle à côtés olive et le quiscale rouilleux ont été détectés les deux années, tandis que le faucon pèlerin a été observé uniquement en 2023 et que le hibou des marais ainsi que l'aigle royal l'ont été en 2024. L'engoulevent d'Amérique est bien réparti dans la zone d'inventaire avec des occurrences rapportées principalement à la fin du printemps et durant la période de reproduction à 11 des 18 stations en 2023, et à 13 des 17 stations en 2024.

Tableau 6. Richesse spécifique et abondance observées avec les sonomètres selon les années et périodes d'inventaires

Année	Période	Nbre	Richesse spécifique					Abondance (nombre de mentions)				
			Total	Moyenne	Écart type	Minimum	Maximum	Total	Moyenne	Écart type	Minimum	Maximum
2023	Printemps	18	70	26,3	8,7	13,0	45,0	11 388	632,7	316,9	232,0	1 642,0
2024	Printemps	17	72	35,9	10,3	0,0	48,0	11 506	639,2	226,3	0,0	857,0
2023	Reproduction	18	65	22,8	4,9	13,0	33,0	8 718	484,3	148,6	143,0	730,0
2024	Reproduction	15	59	28,1	4,3	21,0	35,0	7 503	468,9	60,6	355,0	596,0
2023	Automne	17	54	23,5	4,3	15,0	29,0	8 064	474,4	327,1	157,0	1 470,0
2024	Automne	18	51	19,2	3,4	12,0	24,0	1 531	85,1	23,7	35,0	131,0
Total		103	380	26,0	6,0	0,0	48,0	48 710	464,1	183,9	0,0	1 642,0

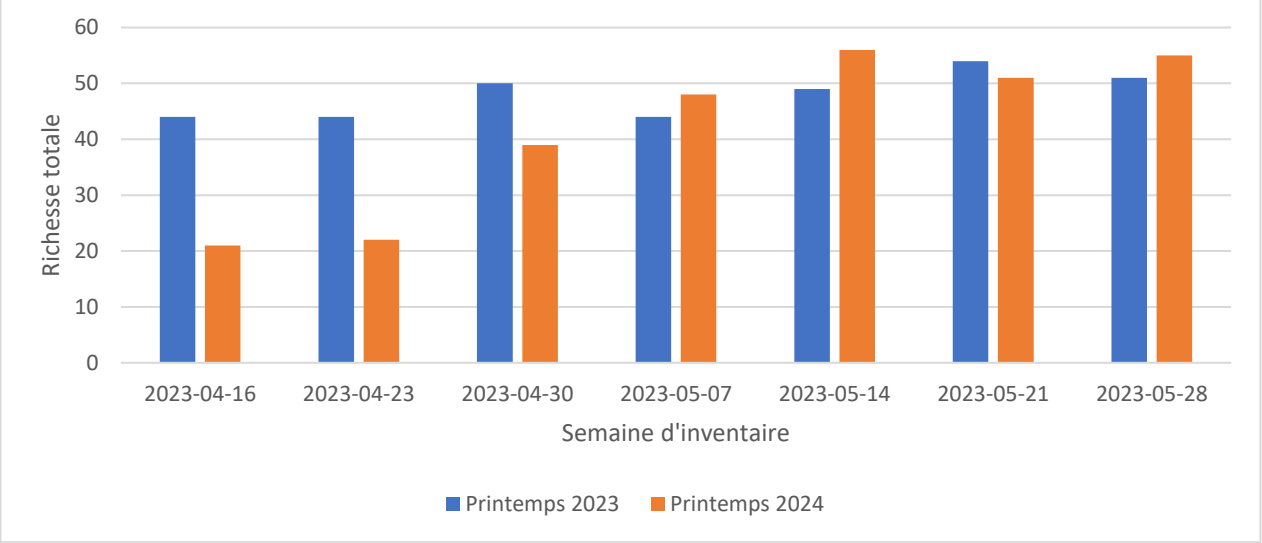

Figure 2. **Variation temporelle de la richesse totale enregistrée aux sonomètres lors de la période de migration printanière en 2023 et 2024**

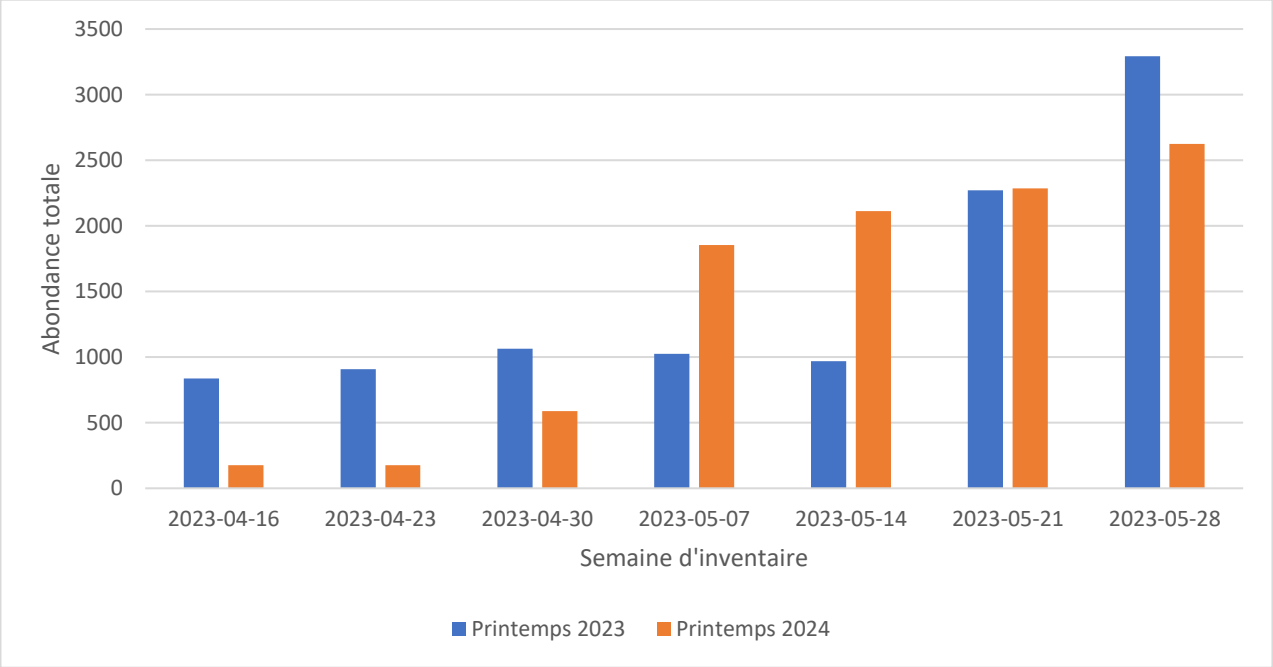

Figure 3. **Variation temporelle de l'abondance totale enregistrée aux sonomètres lors de la période de migration printanière en 2023 et 2024**

3.2.3.2 Période de reproduction

Un total de 72 espèces a été détecté en période de reproduction par les sonomètres, soit une richesse de 65 espèces en 2023 et de 58 en 2024. Parmi celles-ci, 51 espèces ont été présentes lors des deux années d'inventaire, représentant plus de 70 % de l'ensemble des espèces observées durant cette période. Quatorze espèces ont été observées uniquement en 2023, contre sept qui n'ont été détectées qu'en 2024. L'inventaire de 2023 s'est déroulé avec 18 sonomètres alors que l'année 2024 s'est déroulée avec un sonogramme de moins (n = 17).

Certaines espèces, telles que le bruant à gorge blanche, la grive solitaire, le junco ardoisé et le merle d'Amérique, ont été recensées à toutes les stations au cours des deux années d'inventaire et sont donc bien réparties dans la zone d'inventaire. À ces espèces s'ajoutent le mésangeai du Canada, la paruline à croupion jaune, le roitelet à couronne rubis et l'engoulevent d'Amérique, qui présentent tous une fréquence d'occurrence égale ou supérieure à 90 % sur les deux années. Deux espèces, l'hirondelle de rivage (2024) et l'épervier brun (2023), ont été détectées uniquement durant la période de reproduction. Ces espèces n'ont toutefois été détectées qu'une seule fois et donc ne sont probablement pas des espèces nicheuses dans la zone d'inventaire.

Parmi l'ensemble des espèces observées durant cette période, trois sont des espèces en situation précaire qui ont été recensées en 2023 et en 2024 : l'engoulevent d'Amérique, le quiscale rouilleux et le moucherolle à côtés olive. Deux autres espèces à statut, le hibou des marais et l'hirondelle de rivage, se sont ajoutées à la liste en 2024.

La richesse moyenne par sonomètre a été plus faible en 2023 (22,8 ± 4,9 espèces) qu'en 2024 (28,1 ± 4,3 espèces). Cependant, l'abondance moyenne d'individus par station est restée relativement stable entre les deux années, avec 484,3 ± 148,6 individus en 2023 et 468,9 ± 60,6 en 2024. Par ailleurs, 26 espèces observées en migration printanière ou automnale au cours des deux années d'inventaire n'ont pas été détectées en période de reproduction. Parmi elles, l'aigle royal et le pygargue à tête blanche — deux espèces en situation précaire — ont été observés uniquement en transit au printemps et à l'automne, respectivement.

En ce qui concerne les dynamiques temporelles, la richesse maximale en 2023 a été observée durant la première semaine de juin ainsi que la première semaine de juillet. En 2024, cette tendance demeure stable, avec un pic de richesse également enregistré en début juin. Cependant, l'abondance totale d'individus a été plus élevée en 2023 qu'en 2024 pour chaque semaine d'inventaire. Une tendance générale à la diminution du nombre d'individus au fil des semaines a également été observée au cours des deux années (figures 4 et 5).

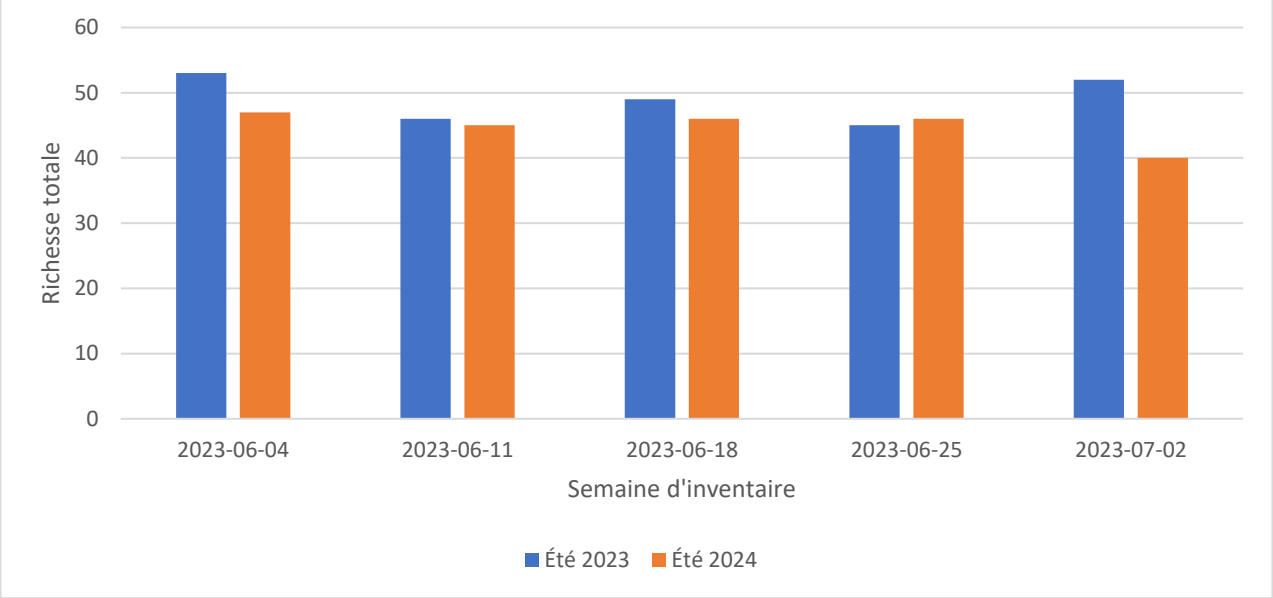

Figure 4. **Variation temporelle de la richesse totale enregistrée aux sonomètres lors de la période de reproduction en 2023 et 2024**

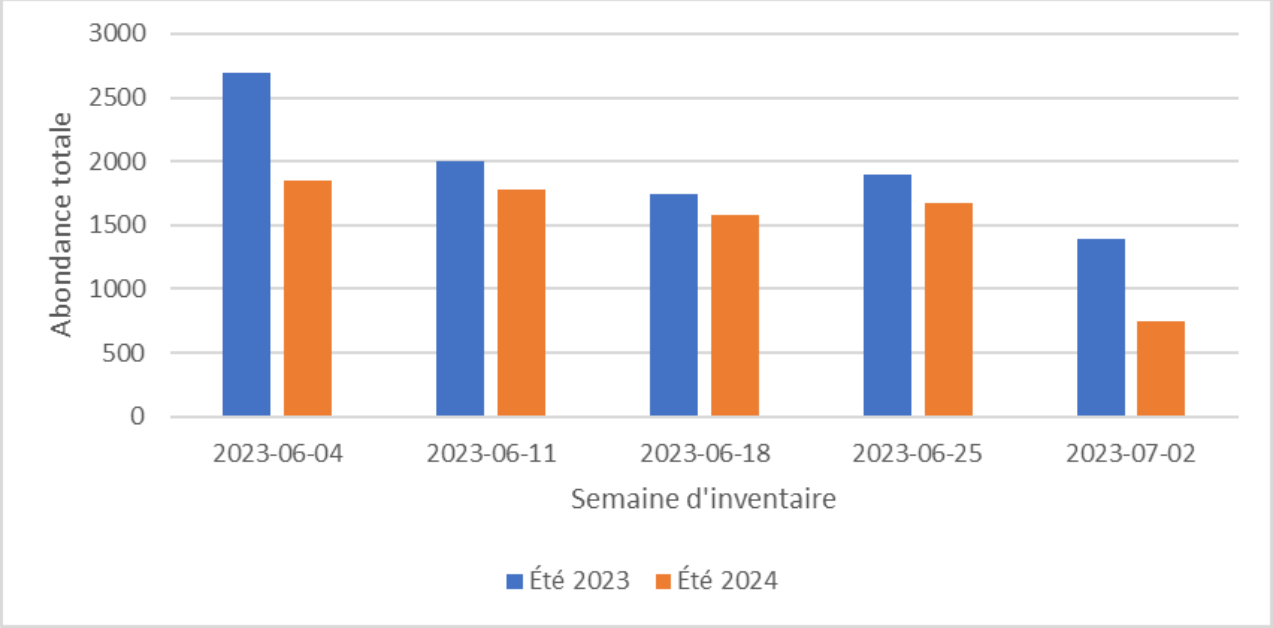

Figure 5. **Variation temporelle de l'abondance totale enregistrée aux sonomètres lors de la période de reproduction en 2023 et 2024**

3.2.3.3 Période de migration automnale

Un total de 69 espèces a été détectées en période de migration automnale, soit 54 espèces en 2023 et 51 en 2024. Parmi les espèces observées, deux ayant un statut précaire : le quiscale rouilleux et le pygargue à tête blanche ont été détectés durant les deux années. En 2024, un hibou des marais a notamment été détecté dans un sonogramme. Le quiscale rouilleux a notamment été présent à plus de 70 % des sonomètres à l'automne, les deux années confondues.

Le bruant à gorge blanche, le junco ardoisé, le mésangeai du Canada et la bernache du Canada sont présents à tous les sonomètres à chaque année étudiée. À ces espèces se rajoute le merle d'Amérique présent à plus de 90 % des stations. Le durbec des sapins, la grive solitaire, le plongeon huard et le sizerin flammé ont une fréquence d'occurrence de plus de 80 %. Sur l'ensemble de l'inventaire, le pygargue à tête blanche a été présent seulement durant la migration automnale. Comparativement au printemps, le nombre de bernaches migrant par la zone d'inventaire est estimé à 4071 et 110 individus en 2023 et 2024 respectivement (tableau 5).

La richesse moyenne en période de migration automnale est plus élevée en 2023 par rapport à 2024 avec respectivement 23,5 ± 4,3 espèces et 19,2 ± 3,4 espèces. L'abondance moyenne par sonomètre suit la même tendance ou elle est de 474,4 ± 327,1 en 2023 et 85,1 ± 23,7 en 2024. Il est à noter que la richesse moyenne et l'abondance sont relativement faibles en automne par rapport aux autres périodes d'inventaires, peu importe l'année. Il est possible que ces résultats soient influencés par la capacité de déceler les oiseaux en période de migration automnale puisque les oiseaux sont généralement plus vocaux au printemps et peuvent être comptés plus aisément qu'à l'automne.

La richesse spécifique totale par semaine est maximale à la deuxième semaine de septembre lors des deux années d'inventaire. La richesse diminue chaque semaine de septembre, montrant bien le cours de la migration. L'abondance est beaucoup plus grande en 2023 qu'en 2024 durant toutes les semaines confondues. Dans les deux années, l'abondance atteint sa valeur maximale durant la deuxième semaine de septembre.

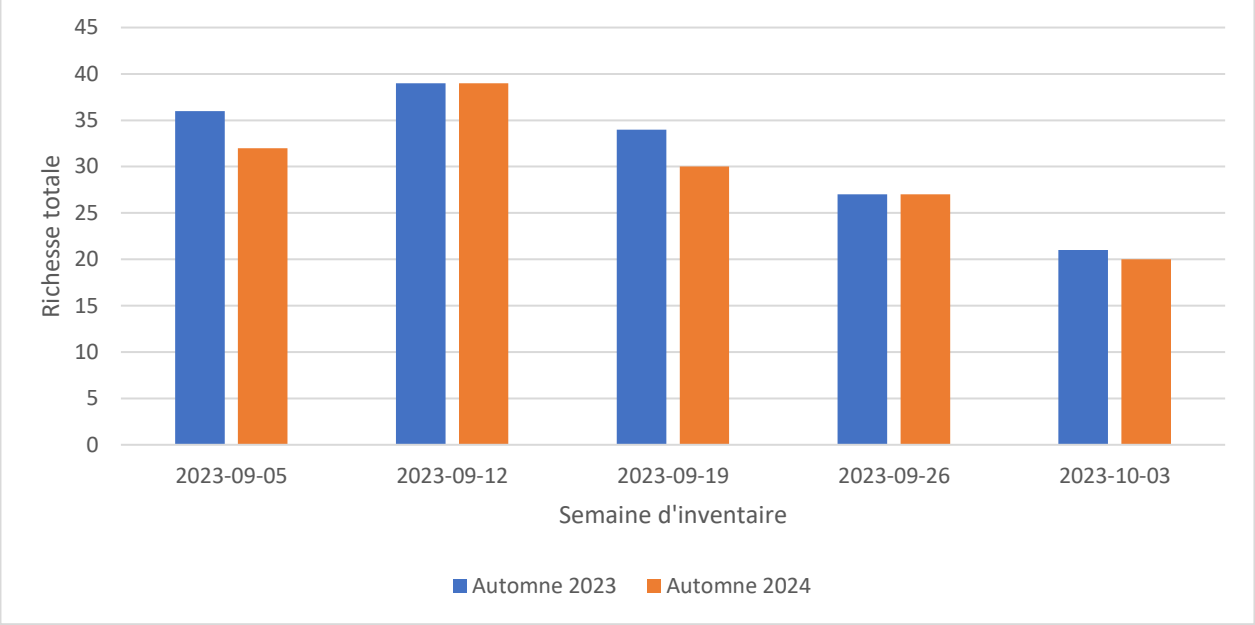

Figure 6. **Variation temporelle de la richesse totale enregistrée aux sonomètres lors de la période de migration automnale en 2023 et 2024**

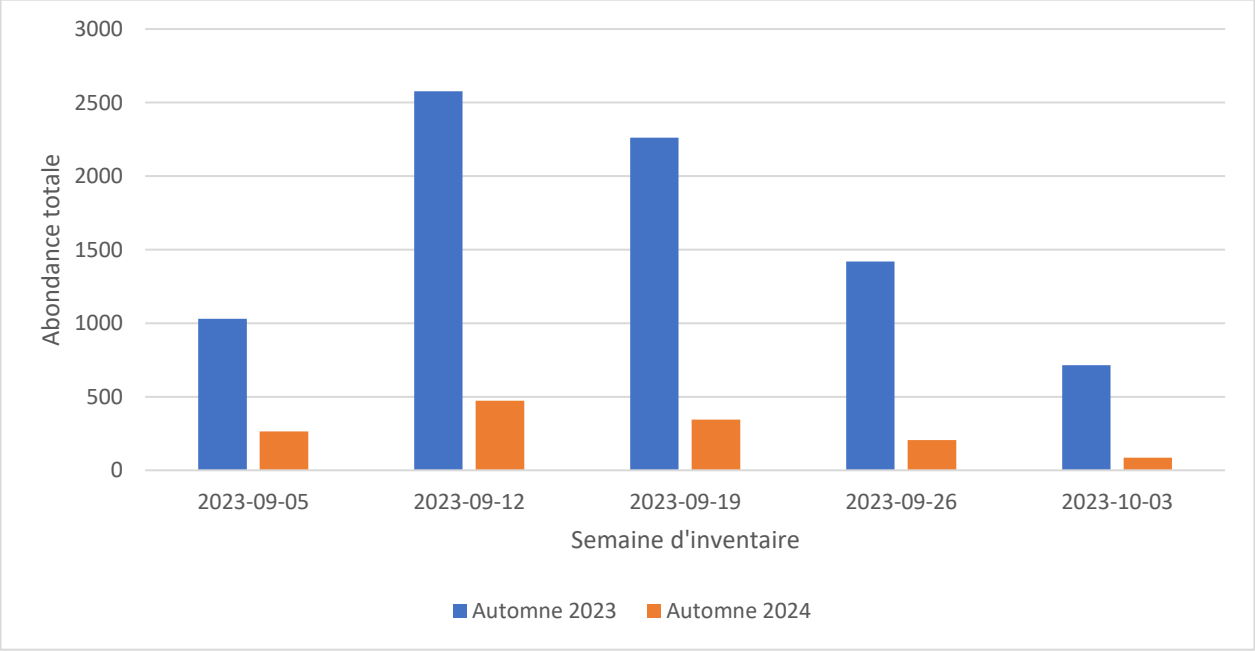

Figure 7. **Variation temporelle de l'abondance totale enregistrée aux sonomètres lors de la période de migration automnale en 2023 et 2024**

3.2.4 Dissimilarité des communautés d'oiseaux par période d'inventaire et année

D'après les résultats obtenus du nombre de mentions des espèces les plus abondantes par saison et par année, il est possible d'évaluer les différences et similitudes dans la composition des communautés d'oiseaux occupant la zone d'inventaire. Pour 2023 et 2024, les communautés d'oiseaux entre le printemps et la période de reproduction sont très semblables avec des abondances élevées dans les deux périodes pour le bruant à gorge blanche, la grive solitaire, le roitelet à couronne rubis et le junco ardoisé. Toutefois, pour l'automne, et ce pour les deux années, les communautés d'oiseaux diffèrent de celles du printemps et de l'été principalement par de plus fortes abondances de bernaches du Canada, de merles d'Amérique, de bruants à gorge blanche et de juncos ardoisés.

3.3 Inventaire par station d'écoute et observations crépusculaires

3.3.1 Effort d'inventaire

La répartition de l'ensemble des points d'écoute dans les types d'habitats est présentée au tableau 7. Au total, 522 points d'écoute ont été inventoriés dans le cadre de l'inventaire des oiseaux terrestres entre le 12 et le 23 juin 2024. Chaque point d'écoute a été visité une fois durant la période de nidification, pour une durée de 10 minutes.

Tableau 7. Répartition des points d'écoute dans les différents groupes-habitats

Type d'habitat	Nombre de stations d'écoute
Marécage arbustif	96
Résineux	271
Mixte	49
Régénération arbustive	55
Tourbière	51
Total	**522**

3.3.2 Conditions d'inventaire

L'inventaire des 522 points d'écoute a été réalisé dans d'excellentes conditions entre le 12 et le 23 juin 2024. Le relevé le plus hâtif a débuté à 4 h 02 et le plus tardif à 9 h 51. Cependant, l'inventaire de 95 % des stations a été amorcé avant 9 h. Les températures ont oscillé entre 0 et 28°C lors des dénombrements des points d'écoute, mais 60 % des inventaires ont été réalisés alors que la température se situait entre 0 et 10 C. Presque tous les points d'écoute (98 %) ont été inventoriés en l'absence de précipitations. Les vents étaient nuls, légers ou modérés (moins de 11 km/h) sur 90 % des points d'écoute. Les conditions d'observation étaient considérées bonnes à excellentes lors de 95 % des dénombrements.

En ce qui concerne les stations crépusculaires, celles-ci ont été réalisées en soirée (elles ont débuté entre 20 h 30 et 22 h 05). La température a varié entre 11 et 23 °C lors de ces relevés généralement conduits sous un ciel dégagé ou couvert, sans précipitations, par des vents légers ou modérés. Les conditions d'inventaires étaient considérées comme excellentes ou bonnes pour la majorité des dénombrements, à l'exception de quatre stations pour laquelle un vent de 20 à 28 km/h (niveau 4 sur l'échelle de Beaufort) ou une nuisance sonore gênante persistante à considérable a été notée.

3.3.3 Description des résultats d'inventaires

Le tableau 8 présente les noms français et scientifiques des espèces recensées, leur nombre, ainsi que leur statut selon les lois fédérales et provinciales durant les inventaires par stations d'écoute, crépusculaires et de façon fortuite. Les données météorologiques des inventaires par station d'écoute sont fournies en annexe 2. Les données brutes des inventaires crépusculaires sont fournies à l'annexe 3. En tout, 73 espèces, dont 62 migratrices et 11 résidentes, ont été répertoriées au cours des inventaires (David, 2021). Parmi toutes les espèces recensées, 48 sont terrestres, 18 sont aquatiques, 4 sont des oiseaux de proie diurnes et 3 sont des oiseaux de proie nocturnes. Aussi, 45 d'entre elles sont des espèces protégées par la loi des espèces migratrices (LCOM). Un total de 6 espèces présente un intérêt plus grand pour la conservation parce qu'elles sont classées comme en péril, menacées, vulnérables ou susceptibles d'être désignées ainsi par la loi fédérale et/ou provinciale.

Parmi les 4 espèces de rapaces diurnes détectées dans la zone d'inventaire, seule la nidification de la buse à queue rousse a été confirmée par la présence d'un nid avec des jeunes.

Dans la zone d'inventaire, la nidification a été confirmée pour 19 % des espèces recensées, considérée comme probable pour 52 %, et jugée possible pour les 27 % restantes.

Un total de 25 espèces a été relevé lors des inventaires crépusculaires. L'engoulevent d'Amérique a été détecté à 18 stations différentes pour un total de 42 individus.

Pour l'ensemble des stations d'écoute (IPA), 8 805 individus de toutes espèces ont été dénombrés. La densité globale d'oiseaux, tous habitats confondus, est de 36,99 couples nicheurs par 10 ha (tableau 9).

Dans les points d'écoute, les espèces les plus récurrentes sont le bruant à gorge blanche (95,6 %), le roitelet à couronne rubis (94,8 %), le junco ardoisé (82 %) et la grive solitaire (80,6%) (tableau 9). Il y a 8 espèces qui ont été observées à un seul point d'écoute, notamment la sterne arctique, le roselin pourpré et le pygargue à tête blanche. Le moucherolle à côtés olive ainsi que le quiscale rouilleux ont des occurrences de 15 %. Le hibou des marais ainsi que l'hirondelle de rivage ont des valeurs d'occurrence de 0,5 et 1,2 % respectivement (tableau 9).

Tableau 8. Liste annotée des espèces d'oiseaux nicheurs recensées par trois techniques d'inventaire dans la zone d'inventaire en 2024

No	Nom français	Nom latin	Indice de nidification[1]	Nidification	Nombre d'individus détectés			Statut provincial[3]	Statut fédéral[4]	Statut COSEPAC	Autres lois	Nature de présence au Québec[5]
					Stations d'écoute (DRL + IPA)	Inventaires crépusculaires	Observation spontanée[2]					
1	Autour d'Amérique	*Astur atricapillus*	A	Probable	5	0	0					NRp
2	Balbuzard pêcheur	*Pandion haliaetus*	H	Possible	0	0	1					NMp hx
3	Bécasseau minuscule	*Calidris minutilla*	A	Probable	4	0	1				LCOM	NMpNQ
4	Bécassine de Wilson	*Gallinago delicata*	S	Possible	28	1	1				LCOM	NMc
5	Bec-croisé bifascié	*Loxia leucoptera*	A	Probable	165	2	32				LCOM	NRc
6	Bec-croisé des sapins	*Loxia curvirostra*	H	Possible	1	0	0				LCOM	NRr
7	Bernache du Canada	*Branta canadensis*	A	Probable	13	2	7				LCOM	NMcN&S
8	Bruant à couronne blanche	*Zonotrichia leucophrys*	CN	Confirmée	58	0	0				LCOM	NMp MP
9	Bruant à gorge blanche	*Zonotrichia albicollis*	AT	Confirmée	1 607	34	3				LCOM	NMa
10	Bruant chanteur	*Melospiza melodia*	S	Possible	1	0	0				LCOM	NMa
11	Bruant de Lincoln	*Melospiza lincolnii*	AT	Confirmée	238	0	5				LCOM	NMc
12	Bruant des marais	*Melospiza georgiana*	A	Probable	36	2	2				LCOM	NMa
13	Bruant des prés	*Passerculus sandwichensis*	A	Probable	83	0	3				LCOM	NMcN&S
14	Bruant fauve	*Passerella iliaca*	S	Possible	476	8	4				LCOM	NMp
15	Buse à queue rousse	*Buteo jamaicensis*	NJ	Confirmée	18	2	5					NMc
16	Canard noir	*Anas rubripes*	H	Possible	1	0	0				LCOM	NMc
17	Chevalier grivelé	*Actitis macularius*	S	Possible	4	0	1				LCOM	NMc
18	Chevalier solitaire	*Chevalier solitaire*	A	Probable	20	1	13				LCOM	NMp
19	Chouette épervière	*Surnia ulula*	A	Probable	9	1	0					NRr
20	Durbec des sapins	*Pinicola enucleator*	C	Probable	106	5	12				LCOM	NRp
21	**Engoulevent d'Amérique**	***Chordeiles minor***	**S**	**Possible**	**0**	**42**	**4**	**S**	**P**	**P**	**LCOM**	**NMp**
22	Garrot à œil d'or	*Bucephala clangula*	P	Probable	2	0	0				LCOM	NMc
23	Goéland hudsonien	*Larus argentatus*	S	Probable	10	0	3				LCOM	NMcN&S
24	Grand Chevalier	*Tringa melanoleuca*	DD	Confirmée	70	0	5				LCOM	NMp
25	Grand Corbeau	*Corvus corax*	H	Possible	10	0	3					NSa
26	Grand Harle	*Mergus merganser*	A	Probable	8	0	5				LCOM	NMc
27	Grimpereau brun	*Certhia americana*	S	Probable	24	0	5				LCOM	NMc
28	Grive à dos olive	*Catharus ustulatus*	S	Probable	8	0	1				LCOM	NMa
29	Grive solitaire	*Catharus guttatus*	A	Probable	886	83	5				LCOM	NMa
30	Grue du Canada	*Antigone canadensis*	DD	Confirmée	35	0	4				LCOM	NMp
31	Harle huppé	*Mergus serrator*	P	Probable	5	0	3				LCOM	NMr
32	**Hibou des marais**	***Asio flammeus***	**C**	**Probable**	**4**	**0**	**1**	**S**	**P**	**M**	**LCOM**	**NMr**
33	Hirondelle bicolore	*Tachycineta bicolor*	NO	Confirmée	35	0	4				LCOM	NMa
34	**Hirondelle de rivage**	***Riparia riparia***	**P**	**Probable**	**10**	**0**	**0**	**-**	**M**	**M**	**LCOM**	NMp
35	Jaseur boréal	*Bombycilla cedrorum*	P	Probable	39	2	12				LCOM	NRr
36	Jaseur d'Amérique	*Bombycilla cedrorum*	P	Probable	53	0	13				LCOM	NMa
37	Junco ardoisé	*Junco hyemalis*	NF	Confirmée	849	26	5				LCOM	NMa
38	Macreuse à front blanc	*Melanitta deglandi*	H	Possible	0	0	1				LCOM	NMr
39	Martin-pêcheur d'Amérique	*Megaceryle alcyon*	H	Possible	0	0	1				LCOM	NMa
40	Merle d'Amérique	*Turdus migratorius*	NJ	Confirmée	291	18	9				LCOM	NMa
41	Merlebleu de l'Est	*Sialia sialis*	H	Possible	1	0	1				LCOM	NMc
42	Mésange à tête brune	*Poecile hudsonicus*	AT	Confirmée	25	0	6				LCOM	NRc
43	Mésangeai du Canada	*Perisoreus canadensis*	JE	Confirmée	535	7	7					NRc
44	**Moucherolle à côtés olive**	***Contopus cooperi***	**A**	**Probable**	**89**	**0**	**8**	**V**	**P**	**P**	**LCOM**	**NMp**

No	Nom français	Nom latin	Indice de nidification[1]	Nidification	Nombre d'individus détectés			Statut provincial[3]	Statut fédéral[4]	Statut COSEPAC	Autres lois	Nature de présence au Québec[5]
					Stations d'écoute (DRL + IPA)	Inventaires crépusculaires	Observation spontanée[2]					
45	Moucherolle à ventre jaune	*Empidonax flaviventris*	A	Probable	229	1	6				LCOM	NMc
46	Moucherolle des aulnes	*Empidonax alnorum*	A	Probable	82	1	2				LCOM	NMa
47	Mouette de Bonaparte	*Chroicocephalus philadelphia*	H	Possible	1	0	0				LCOM	NMp
48	Nyctale de Tengmalm	*Aegolius funereus*	S	Possible		1						
49	Paruline à calotte noire	*Cardellina pusilla*	A	Probable	62	0	5				LCOM	NMp
50	Paruline à couronne rousse	*Setophaga palmarum*	A	Probable	232	0	10				LCOM	NMp
51	Paruline à croupion jaune	*Setophaga coronata*	A	Probable	577	1	8				LCOM	NMa
52	Paruline à joues grises	*Leiothlypis ruficapilla*	S	Probable	4	0	0				LCOM	NMa
53	Paruline à tête cendrée	*Setophaga magnolia*	S	Probable	5	0	1				LCOM	NMc
54	Paruline des ruisseaux	*Parkesia noveboracensis*	S	Probable	26	0	2				LCOM	NMc
55	Paruline jaune	*Setophaga petechia*	S	Probable	30	0	1				LCOM	NMc
56	Paruline obscure	*Leiothlypis peregrina*	S	Probable	24	0	1				LCOM	NMp
57	Paruline rayée	*Setophaga striata*	A	Probable	37	0	5				LCOM	NMr
58	Paruline verdâtre	*Leiothlypis celata*	A	Probable	31	1	8				LCOM	NRp
59	Pic à dos noir	*Picoides arcticus*	S	Probable	6	0	1				LCOM	NRp
60	Pic à dos rayé	*Picoides dorsalis*	NJ	Confirmée	11	0	5				LCOM	NMa
61	Pic flamboyant	*Colaptes auratus*	H	Possible	1	0	4				LCOM	NMc
62	Plongeon huard	*Gavia immer*	P	Probable	46	0	6				LCOM	NMp
63	**Pygargue à tête blanche**	***Haliaeetus leucocephalus***	**H**	**Possible**	**1**	**0**	**1**	**V**				**NMp**
64	**Quiscale rouilleux**	***Euphagus carolinus***	**AT**	**Confirmée**	**115**	**2**	**18**	**S**	**P**	**P**		**NMp**
65	Roitelet à couronne dorée	*Regulus satrapa*	S	Probable	15	0	3				LCOM	NMa
66	Roitelet à couronne rubis	*Corthylio calendula*	AT	Confirmée	1 233	9	2				LCOM	NMa
67	Roselin pourpré	*Haemorhous purpureus*	S	Probable	3	0	2				LCOM	NMa
68	Sarcelle d'hiver	*Anas crecca*	H	Possible	4	1	0				LCOM	NMp
69	Sizerin flammé	*Acanthis flammea*	H	Possible	3	0	0				LCOM	NMp&MPa
70	Sterne arctique	*Sterna paradisaea*	H	Possible	2	0	3				LCOM	NMr
71	Tarin des pins	*Spinus pinus*	H	Possible	3	0	5				LCOM	NRc
72	Tétras du Canada	*Canachites canadensis*	H	Possible	5	0	9				LCOM	NSp
73	Troglodyte des forêts	*Troglodytes hiemalis*	S	Probable	155	2	1				LCOM	NMa
Nombre d'individus détectés					8 805	255	305					
Nombre d'espèces					68	25	60					

1 Voir l'annexe 4 pour la description des indices de nidification de l'Atlas des oiseaux nicheurs du Québec (AONQ).

2 Observations spontanées : individus détectés en plus de ceux détectés lors des points d'écoute, lors des déplacements.

3 Espèces figurant à la Liste des espèces fauniques menacées ou vulnérables du Québec (ESDMV = Susceptible d'être désignée menacée ou vulnérable; V = Vulnérable).

4 Espèces figurant à l'annexe 1 de la Loi sur les espèces en péril du Canada (P = Préoccupant).

5 Descripteur principal de la présence de l'espèce selon la petite liste commentée des oiseaux du Québec, (David 2021).

Les espèces en situation précaire sont en caractères gras

Tableau 9. Occurrence et abondance des espèces dénombrées par stations d'écoute dans l'ensemble des types d'habitat de la zone d'inventaire entre le 12 et 23 juin 2024

No	Nom français	Occurrence[1]		Nombre d'individus[2]			Équivalents-couples[3]	
		Nombre	%	DRL (< 50 m)	DRL (< 100 m)	IPA	DRL (< 50 m)	Couples/10ha
1	Autour d'Amérique	2	0,38	2	1	5	1	0,02
2	Bécasseau minuscule	3	0,57	0	2	4	1	0,02
3	Bécassine de Wilson	21	4,02	5	23	28	0	0,00
4	Bec-croisé bifascié	62	11,88	76	22	165	9,5	0,23
5	Bec-croisé des sapins	1	0,19	0	0	1	0,5	0,01
6	Bernache du Canada	8	1,53	0	11	13	0	0,00
7	Bruant à couronne blanche	40	7,66	28	18	58	13	0,32
8	Bruant à gorge blanche	499	95,59	353	1 011	1 607	210,5	5,13
9	Bruant chanteur	1	0,19	0	0	1	1	0,02
10	Bruant de Lincoln	168	32,18	90	89	238	56	1,37
11	Bruant des marais	27	5,17	13	16	36	7	0,17
12	Bruant des prés	44	8,43	31	13	83	36	0,88
13	Bruant fauve	345	66,09	117	310	476	49	1,20
14	Buse à queue rousse	11	2,11	7	8	18	2	0,05
15	Canard noir	1	0,19	0	1	1	0	0,00
16	Chevalier grivelé	4	0,77	4	0	4	0	0,00
17	Chevalier solitaire	17	3,26	11	8	20	1	0,02
18	Chouette épervière	6	1,15	2	5	9	0,5	0,01
19	Durbec des sapins	89	17,05	44	35	107	21	0,51
20	Garrot à œil d'or	1	0,19	0	2	2	0	0,00
21	Goéland argenté	7	1,34	0	9	10	0	0,00
22	Grand Chevalier	58	11,11	9	53	71	4	0,10
23	Grand Corbeau	8	1,53	1	9	10	0	0,00
24	Grand Harle	6	1,15	1	7	8	0	0,00
25	Grimpereau brun	20	3,83	10	3	24	9,5	0,23
26	Grive à dos olive	6	1,15	3	3	8	2	0,05
27	Grive solitaire	421	80,65	208	565	886	90,5	2,21
28	Grue du Canada	12	2,30	7	27	35	1	0,02
29	Harle huppé	4	0,77	3	1	5	0	0,00
30	**Hibou des marais**	**3**	**0,57**	**1**	**3**	**4**	**0**	**0,00**
31	Hirondelle bicolore	29	5,56	10	8	35	4	0,10
32	**Hirondelle de rivage**	**6**	**1,15**	**3**	**5**	**10**	**1**	**0,02**
33	Jaseur boréal	27	5,17	23	6	39	4	0,10
34	Jaseur d'Amérique	30	5,75	17	3	53	14	0,34
35	Junco ardoisé	428	81,99	335	245	849	218	5,32
36	Merle d'Amérique	208	39,85	100	122	291	47,5	1,16
37	Merlebleu de l'Est	1	0,19	0	0	1	0	0,00
38	Mésange à tête brune	18	3,45	7	4	25	9,5	0,23
39	Mésangeai du Canada	314	60,15	190	200	536	59,5	1,45
40	**Moucherolle à côtés olive**	**79**	**15,13**	**18**	**69**	**89**	**2**	**0,05**
41	Moucherolle à ventre jaune	157	30,08	92	74	229	60,5	1,48
42	Moucherolle des aulnes	52	9,96	24	50	82	8	0,20
43	Mouette de Bonaparte	2	0,38	0	2	2	0	0,00
44	Paruline à calotte noire	50	9,58	21	25	62	16	0,39

No	Nom français	Occurrence[1]		Nombre d'individus[2]			Équivalents-couples[3]	
		Nombre	%	DRL (< 50 m)	DRL (< 100 m)	IPA	DRL (< 50 m)	Couples/10ha
45	Paruline à couronne rousse	167	31,99	88	51	232	88	2,15
46	Paruline à croupion jaune	334	63,98	235	168	577	160	3,90
47	Paruline à joues grises	4	0,77	2	1	4	1	0,02
48	Paruline à tête cendrée	5	0,96	1	2	5	2	0,05
49	Paruline des ruisseaux	21	4,02	7	18	26	1	0,02
50	Paruline jaune	21	4,02	11	13	30	6	0,15
51	Paruline obscure	15	2,87	9	7	24	8	0,20
52	Paruline rayée	30	5,75	14	6	37	17	0,41
53	Paruline verdâtre	27	5,17	14	8	31	9	0,22
54	Pic à dos noir	5	0,96	2	2	6	1,5	0,04
55	Pic à dos rayé	8	1,53	5	2	11	3	0,07
56	Pic flamboyant	1	0,19	0	1	1	0	0,00
57	Plongeon huard	41	7,85	0	45	46	0	0,00
58	**Pygargue à tête blanche**	**1**	**0,19**	**1**	**0**	**1**	**0**	**0,00**
59	**Quiscale rouilleux**	**79**	**15,13**	**33**	**60**	**115**	**13,5**	**0,33**
60	Roitelet à couronne dorée	11	2,11	4	2	15	8	0,20
61	Roitelet à couronne rubis	495	94,83	395	609	1 233	221	5,39
62	Roselin pourpré	1	0,19	1	1	3	1	0,02
63	Sarcelle d'hiver	4	0,77	1	3	4	0	0,00
64	Sizerin flammé	3	0,57	0	3	3	0	0,00
65	Sterne arctique	1	0,19	2	0	2	0	0,00
66	Tarin des pins	3	0,57	1	1	3	0,5	0,01
67	Tétras du Canada	5	0,96	1	0	5	2	0,05
68	Troglodyte des forêts	132	25,29	32	109	155	14	0,34
Total				2 725	4 180	8 809	1 516,5	36,99

1 Nombre de fois qu'une espèce a été détectée à partir des 522 stations d'écoute inventoriées (DRL ou IPA).

2 DRL (< 50 m) : dénombrement à l'intérieur du rayon de 50 m de l'observateur; DRL (< 100 m) : dénombrement à l'intérieur du rayon de 100 m de l'observateur; IPA : Indice ponctuel d'abondance de rayon illimité par rapport à l'observateur.

3 Densité de couples nicheurs établie à partir des dénombrements des couples à l'intérieur du rayon de 50 m de l'observateur (DRL < 50 m).

Les espèces en situation précaire sont en caractères gras

3.3.4 Description des communautés aviaires par type d'habitat

Les tableaux 10 à 14 détaillent les observations d'oiseaux réalisées à partir des points d'écoute pour chaque groupe-habitat. Ils présentent la liste et le nombre des espèces, leur statut de nidification, leur fréquence d'occurrence, le nombre d'individus repérés dans les DRL et les IPA pour chaque espèce, le nombre total moyen d'espèces par station et dans le DRL ainsi que la densité globale de couples nicheurs et celle de chaque espèce prise individuellement. Cette densité a été calculée pour les oiseaux détectés à l'intérieur d'un rayon de 50 m de l'observateur, correspondant à 0,79 ha de superficie.

3.3.4.1 Marécages arbustifs

Dans les marécages, un total de 52 espèces a été dénombré à partir des 96 points d'écoute, dont 32 à l'intérieur des DRL de 50 m et 20 espèces supplémentaires par IPA (tableau 10). En moyenne, 2,9 espèces par point d'écoute ont été dénombrées dans le DRL de 50 m. En ordre, les trois espèces les plus fréquentes sont le bruant à gorge blanche, le roitelet à couronne rubis et la grive solitaire. Ce sont les bruants à gorge blanche, le junco ardoisé et la paruline à croupion jaune qui montrent les densités de couples nicheurs les plus grandes (tableau 10). Une comparaison des résultats obtenus dans la zone d'inventaire et ceux obtenus pour les arbustaies riveraines du secteur du complexe de Grande-Baleine (Consortium Gauthier et Guillemette-GREBE 1991), suggère des différences notables dans la composition des communautés d'oiseaux chanteurs notamment par la dominance (abondante DRL 50) des espèces suivantes dans le secteur de Grande-Baleine : le bruant de Lincoln, la paruline rayée et la paruline à croupion jaune.

Globalement, le milieu compte 34,02 couples par 10 ha, une densité légèrement plus faible que la moyenne de l'ensemble des habitats inventoriés. Il y a 6 oiseaux nicheurs confirmés, dont la buse à queue rousse et le quiscale rouilleux.

Quatre espèces en situation précaire ont été rapportées dans cet habitat, le moucherolle à côtés olive a été dénombré à 30 % des sites de ce type d'habitat, le quiscale rouilleux à 15 % et le pygargue à tête blanche et le hibou des marais à 1% (tableau 10). Aucun couple nicheur n'a été attribué pour ces espèces. Quatorze espèces sur les 51 ont été recensées à partir d'un seul point d'écoute ou en vol au-dessus d'une station.

Tableau 10. Occurrence et abondance des espèces dénombrées dans les marécages de la zone d'inventaire entre le 12 et le 23 juin 2024

No	Nom français	Indice de nidification[1]	Nidification	Occurrence[2]		Nombre d'individus[3]			Équivalents-couples[4]	
				Nombre	%	DRL (< 50 m)	DRL (< 100 m)	IPA	DRL (< 50 m)	Couples / 10 ha
1	Bécassine de Wilson	H	Possible	2	2,1	0	0	2	0	0,00
2	Bec-croisé bifascié	P	Probable	10	10,4	35	18	59	0	0,00
3	Bruant à couronne blanche	CN	Confirmée	24	25,0	7	19	35	7	0,93
4	Bruant à gorge blanche	AT	Confirmée	95	99,0	68	69	384	60,5	8,02
5	Bruant de Lincoln	S	Possible	47	49,0	10	26	64	9,5	1,26
6	Bruant des marais	A	Probable	10	10,4	3	3	12	3	0,40
7	Bruant des prés	S	Possible	7	7,3	2	4	9	2	0,27
8	Bruant fauve	S	Possible	57	59,4	3	15	69	3	0,40
9	Buse à queue rousse	NJ	Confirmée	8	8,3	3	6	14	2	0,27
10	Chevalier grivelé	H	Possible	2	2,1	0	2	2	0	0,00
11	Chevalier solitaire	A	Probable	3	3,1	1	0	4	1	0,13
12	Chouette épervière	S	Possible	1	1,0	0	0	1	0	0,00
13	Durbec des sapins	S	Possible	18	18,8	4	6	21	3,5	0,46
14	Garrot à œil d'or	P	Probable	1	1,0	0	0	2	0	0,00
15	Grand Chevalier	A	Probable	11	11,5	1	2	11	1	0,13
16	Grand Corbeau	H	Possible	3	3,1	0	0	4	0	0,00
17	Grand Harle	H	Possible	2	2,1	0	1	3	0	0,00
18	Grimpereau brun	S	Possible	1	1,0	0	1	1	0	0,00
19	Grive à dos olive	S	Possible	1	1,0	1	0	1	1	0,13
20	Grive solitaire	A	Probable	81	84,4	17	37	178	13	1,72
21	Grue du Canada	P	Probable	1	1,0	0	0	2	0	0,00
22	Harle huppé	P	Probable	1	1,0	0	2	2	0	0,00
23	**Hibou des marais[5]**	**C**	**Probable**	**1**	**1,0**	**0**	**0**	**2**	**0**	**0,00**
24	Hirondelle bicolore	NO	Confirmée	10	10,4	5	3	13	1,5	0,20
25	Jaseur boréal	H	Possible	4	4,2	0	3	5	0	0,00
26	Jaseur d'Amérique	P	Probable	8	8,3	11	6	19	5,5	0,73
27	Junco ardoisé	CN	Confirmée	77	80,2	53	63	161	41,5	5,50
28	Merle d'Amérique	A	Probable	59	61,5	20	28	91	12,5	1,66
29	Mésange à tête brune	H	Possible	1	1,0	0	0	1	0	0,00
30	Mésangeai du Canada	JE	Confirmée	53	55,2	21	25	89	8	1,06

No	Nom français	Indice de nidification[1]	Nidification	Occurrence[2]		Nombre d'individus[3]			Équivalents-couples[4]	
				Nombre	%	DRL (< 50 m)	DRL (< 100 m)	IPA	DRL (< 50 m)	Couples / 10 ha
31	**Moucherolle à côtés olive**	**A**	**Probable**	**30**	**31,3**	**0**	**1**	**33**	**0**	**0,00**
32	Moucherolle à ventre jaune	S	Possible	19	19,8	1	8	23	1	0,13
33	Moucherolle des aulnes	A	Probable	19	19,8	4	15	36	4	0,53
34	Paruline à calotte noire	A	Probable	24	25,0	6	11	30	6	0,80
35	Paruline à couronne rousse	P	Probable	40	41,7	12	20	56	11	1,46
36	Paruline à croupion jaune	C	Probable	65	67,7	23	41	107	21	2,79
37	Paruline à joues grises	S	Possible	1	1,0	0	1	1	0	0,00
38	Paruline à tête cendrée	S	Possible	1	1,0	0	0	1	0	0,00
39	Paruline des ruisseaux	S	Possible	2	2,1	0	1	2	0	0,00
40	Paruline jaune	S	Possible	8	8,3	2	3	12	2	0,27
41	Paruline obscure	S	Possible	2	2,1	1	1	3	1	0,13
42	Paruline rayée	S	Possible	10	10,4	3	6	12	3	0,40
43	Paruline verdâtre	S	Possible	10	10,4	5	5	11	5	0,66
44	Pic à dos noir	S	Possible	1	1,0	1	1	2	1	0,13
45	Plongeon huard	P	Probable	8	8,3	0	0	9	0	0,00
46	**Pygargue à tête blanche**	**H**	**Possible**	**1**	**1,0**	**0**	**1**	**1**	**0**	**0,00**
47	**Quiscale rouilleux**	**AT**	**Confirmée**	**14**	**14,6**	**5**	**8**	**24**	**4**	**0,53**
48	Roitelet à couronne dorée	S	Possible	1	1,0	1	0	1	1	0,13
49	Roitelet à couronne rubis	A	Probable	84	87,5	19	57	195	19	2,52
50	Sarcelle d'hiver	H	Possible	3	3,1	0	0	3	0	0,00
51	Sizerin flammé	H	Possible	1	1,0	0	0	1	0	0,00
52	Troglodyte des forêts	S	Possible	28	29,2	2	7	33	2	0,27
Total						**350**	**526**	**1 857**	**256,5**	**34,02**

1 Voir l'annexe 4 pour la description des indices de nidification de l'Atlas des oiseaux nicheurs du Québec (AONQ).

2 Nombre de fois que l'espèce a été détectée à partir des 96 points d'écoute inventoriés (DRL ou IPA).

3 DRL (< 50 m) : dénombrement à l'intérieur du rayon de 50 m de l'observateur; IPA (> 50 m) : dénombrement à l'extérieur du rayon de 50 m de l'observateur.

4 Densité de couples nicheurs établie à partir des dénombrements des couples à l'intérieur du rayon de 50 m de l'observateur (DRL < 50 m).

5 Les espèces en situation précaire sont en caractères gras

3.3.4.2 Régénération arbustive

Dans ce type d'habitat dominé par des essences d'arbres et arbustes en régénération, un total de 41 espèces a été dénombré, dont 28 dans les DRL de 50 m et 13 espèces additionnelles par IPA (tableau 11). En moyenne ce sont 3,0 espèces par point d'écoute qui ont été dénombrées dans le DRL de 50 m. Les trois espèces avec un taux d'occurrence de plus de 90 % sont, en ordre : le bruant à gorge blanche, la grive solitaire et le roitelet à couronne rubis. Les espèces avec les plus grands équivalents-couples sont le bruant à gorge blanche, le junco ardoisé et la paruline à couronne rousse.

Globalement le milieu compte 32,06 couples par 10 ha, représentant la densité la plus faible de tous les habitats de la zone d'inventaire. Il y a deux espèces nicheuses confirmées, soit le mésangeai du Canada et la mésange à tête brune ainsi que 12 espèces nicheuses probables.

Trois espèces en situation précaire niche dans ce type d'habitat (tableau 11). Le moucherolle à côtés olive a un taux d'occurrence de 14,5 %, mais aucun équivalent-couple n'a été attribué pour cette espèce. Le quiscale rouilleux a un taux d'occurrence de 9 % et un équivalent couple de 0,23. L'hirondelle de rivage, quant à elle, a un taux d'occurrence de 3,6 % et un équivalent couple de 0,23 par 10 ha (tableau 11).

Une comparaison des résultats obtenus avec ceux de Consortium Gauthier et Guillemette-GREBE (1991) pour le complexe de Grande-Baleine suggère des différences notables dans la composition des communautés d'oiseaux chanteurs des brulis à arbustaies avec la zone d'inventaire du projet notamment par la dominance abondante (DRL 50) des espèces suivantes dans le secteur de Grande-Baleine : le bruant à couronne blanche, la grive solitaire et la paruline à croupion jaune.

Tableau 11. Occurrence et abondance des espèces dénombrées dans les habitats en régénération de la zone d'inventaire entre le 12 et le 23 juin 2024

No	Nom français	Indice de nidification[1]	Nidification	Occurrence[2]		Nombre d'individus[3]			Équivalents-couples[4]	
				Nombre	%	DRL (< 50 m)	DRL (< 100 m)	IPA	DRL (< 50 m)	Couples / 10 ha
1	Bec-croisé bifascié	S	Possible	7	12,7	0	4	7	0	0,00
2	Bernache du Canada	H	Possible	1	1,8	0	0	1	0	0,00
3	Bruant à couronne blanche	S	Possible	3	5,5	2	2	5	2	0,46
4	Bruant à gorge blanche	A	Probable	55	100,0	33	51	202	26	6,02
5	Bruant de Lincoln	S	Possible	12	21,8	5	9	18	5	1,16
6	Bruant des prés	S	Possible	1	1,8	1	1	2	1	0,23
7	Bruant fauve	S	Possible	27	49,1	1	4	30	1	0,23
8	Buse à queue rousse	A	Probable	1	1,8	0	0	1	0	0,00
9	Chevalier grivelé	S	Possible	1	1,8	0	1	1	0	0,00
10	Chevalier solitaire	S	Possible	1	1,8	0	1	1	0	0,00
11	Durbec des sapins	P	Probable	10	18,2	1	6	13	1	0,23
12	Goéland hudsonien	H	Possible	1	1,8	0	0	1	0	0,00
13	Grand Chevalier	A	Probable	5	9,1	0	0	5	0	0,00
14	Grimpereau brun	S	Possible	1	1,8	1	0	1	1	0,23
15	Grive solitaire	A	Probable	51	92,7	14	24	110	11	2,55
16	Hirondelle bicolore	H	Possible	4	7,3	2	1	4	1	0,23
17	**Hirondelle de rivage**	**P**	**Probable**	**2**	**3,6**	**2**	**1**	**3**	**1**	**0,23**
18	Jaseur boréal	H	Possible	3	5,5	0	3	3	0	0,00
19	Jaseur d'Amérique	H	Possible	5	9,1	12	2	14	4	0,93
20	Junco ardoisé	A	Probable	49	89,1	29	40	110	23	5,32
21	Merle d'Amérique	A	Probable	27	49,1	6	17	40	4,5	1,04
22	Mésange à tête brune	AT	Confirmée	1	1,8	1	0	1	1	0,23
23	Mésangeai du Canada	JE	Confirmée	31	56,4	6	12	42	3	0,69
24	**Moucherolle à côtés olive**	**S**	**Possible**	**8**	**14,5**	**0**	**3**	**9**	**0**	**0,00**
25	Moucherolle à ventre jaune	S	Possible	14	25,5	6	8	19	6	1,39
26	Moucherolle des aulnes	S	Possible	12	21,8	1	5	20	1	0,23
27	Paruline à calotte noire	S	Possible	3	5,5	3	0	3	3	0,69
28	Paruline à couronne rousse	S	Possible	19	34,5	12	11	23	12	2,78
29	Paruline à croupion jaune	P	Probable	32	58,2	13	20	50	10,5	2,43

No	Nom français	Indice de nidification[1]	Nidification	Occurrence[2]		Nombre d'individus[3]			Équivalents-couples[4]	
				Nombre	%	DRL (< 50 m)	DRL (< 100 m)	IPA	DRL (< 50 m)	Couples / 10 ha
30	Paruline à joues grises	S	Possible	1	1,8	1	0	1	1	0,23
31	Paruline à tête cendrée	S	Possible	2	3,6	1	0	2	1	0,23
32	Paruline des ruisseaux	S	Possible	3	5,5	0	2	4	0	0,00
33	Paruline jaune	S	Possible	5	9,1	2	5	9	2	0,46
34	Paruline rayée	S	Possible	2	3,6	1	1	2	1	0,23
35	Paruline verdâtre	S	Possible	3	5,5	0	1	3	0	0,00
36	Pic à dos rayé	S	Possible	3	5,5	2	0	3	1,5	0,35
37	Plongeon huard	P	Probable	4	7,3	0	0	5	0	0,00
38	**Quiscale rouilleux**	**P**	**Probable**	**5**	**9,1**	**2**	**1**	**6**	**1**	**0,23**
39	Roitelet à couronne rubis	A	Probable	50	90,9	12	37	97	11	2,55
40	Tarin des pins	H	Possible	1	1,8	0	1	1	0	0,00
41	Troglodyte des forêts	S	Possible	21	38,2	2	6	26	2	0,46
Total						174	280	898	138,5	32,06

1 Voir l'annexe 4 pour la description des indices de nidification de l'Atlas des oiseaux nicheurs du Québec (AONQ).

2 Nombre de fois que l'espèce a été contactée à partir des 55 points d'écoute inventoriés (DRL ou IPA).

3 DRL (< 50 m) : dénombrement à l'intérieur du rayon de 50 m de l'observateur; IPA (> 50 m) : dénombrement à l'extérieur du rayon de 50 m de l'observateur.

4 Densité de couples nicheurs établie à partir des dénombrements des couples à l'intérieur du rayon de 50 m de l'observateur (DRL < 50 m).

Les espèces en situation précaire sont en caractères gras

3.3.4.3 Résineux mixte

Dans les forêts mixtes, un total de 42 espèces a été dénombré dont 24 espèces par DRL 50 m et 18 espèces supplémentaires par IPA (tableau 12). Les trois espèces les plus fréquentes sont le bruant à gorge blanche, le roitelet à couronne rubis et le junco ardoisé. Les trois espèces ayant la densité d'équivalents-couples la plus élevée sont le junco ardoisé, la paruline à croupion jaune et le bruant à gorge blanche avec respectivement 6,89, 5,33 et 4,55 par 10 ha.

Le milieu compte, au total, 36,77 couples par 10 ha, une densité parmi les plus élevées des groupes d'habitat. Les inventaires ont permis de confirmer la nidification de trois espèces : le junco ardoisé, le mésangeai du Canada et le merle d'Amérique. Ce sont 7 espèces qui ont obtenu un statut de nidification probable, et 32 nicheurs possibles.

Parmi les espèces en situation précaire détectées dans cet habitat, le quiscale rouilleux a une occurrence de 14,3 %, le moucherolle à côtés olive 6,1 % et l'hirondelle de rivage de 2 %. Seul le quiscale rouilleux a obtenu un équivalent-couple (0,26) (tableau 12).

Tableau 12. Occurrence et abondance des espèces dénombrées dans les habitats mixtes de la zone d'inventaire entre le 12 et le 23 juin 2024

No	Nom français	Indice de nidification[1]	Nidification	Occurrence[2]		Nombre d'individus[3]			Équivalents-couples[4]	
				Nombre	%	DRL (< 50 m)	DRL (< 100 m)	IPA	DRL (< 50 m)	Couples / 10 ha
1	Bécassine de Wilson	S	Possible	2	4,1	0	0	2	0	0,00
2	Bec-croisé bifascié	S	Possible	6	12,2	1	28	29	0,5	0,13
3	Bec-croisé des sapins	H	Possible	1	2,0	1	0	1	0,5	0,13
4	Bruant à couronne blanche	S	Possible	3	6,1	2	1	6	2	0,52
5	Bruant à gorge blanche	A	Probable	49	100,0	19	36	153	17,5	4,55
6	Bruant de Lincoln	S	Possible	12	24,5	1	6	16	1	0,26
7	Bruant des marais	S	Possible	2	4,1	1	0	4	1	0,26
8	Bruant fauve	S	Possible	26	53,1	3	8	36	3	0,78
9	Chevalier grivelé	H	Possible	1	2,0	0	1	1	0	0,00
10	Chevalier solitaire	H	Possible	2	4,1	0	2	2	0	0,00
11	Chouette épervière	A	Probable	1	2,0	0	0	2	0	0,00
12	Durbec des sapins	C	Probable	9	18,4	4	5	13	2,5	0,65
13	Goéland hudsonien	H	Possible	2	4,1	1	0	3	0	0,00
14	Grand Chevalier	A	Probable	7	14,3	0	0	9	0	0,00
15	Grand Corbeau	H	Possible	1	2,0	0	0	2	0	0,00
16	Grive à dos olive	S	Possible	1	2,0	1	2	3	1	0,26
17	Grive solitaire	A	Probable	39	79,6	12	29	96	9,5	2,47
18	Grue du Canada	H	Possible	1	2,0	0	0	1	0	0,00
19	Harle huppé	H	Possible	2	4,1	1	0	2	0	0,00
20	Hirondelle bicolore	H	Possible	1	2,0	1	1	2	0	0,00
21	**Hirondelle de rivage[5]**	**H**	**Possible**	**1**	**2,0**	**0**	**0**	**3**	**0**	**0,00**
22	Jaseur boréal	H	Possible	3	6,1	1	3	6	0,5	0,13
23	Jaseur d'Amérique	H	Possible	1	2,0	0	1	1	0	0,00
24	Junco ardoisé	NF	Confirmée	44	89,8	30	36	90	26,5	6,89
25	Merle d'Amérique	NJ	Confirmée	14	28,6	10	5	23	6,5	1,69
26	Mésangeai du Canada	JE	Confirmée	34	69,4	12	28	56	5	1,30
27	**Moucherolle à côtés olive**	**S**	**Possible**	**3**	**6,1**	**0**	**0**	**3**	**0**	**0,00**
28	Moucherolle à ventre jaune	S	Possible	12	24,5	3	8	17	3	0,78
29	Moucherolle des aulnes	S	Possible	6	12,2	0	0	6	0	0,00

No	Nom français	Indice de nidification[1]	Nidification	Occurrence[2]		Nombre d'individus[3]			Équivalents-couples[4]	
				Nombre	%	DRL (< 50 m)	DRL (< 100 m)	IPA	DRL (< 50 m)	Couples / 10 ha
30	Paruline à calotte noire	S	Possible	6	12,2	1	1	7	1	0,26
31	Paruline à couronne rousse	A	Probable	25	51,0	17	11	37	16	4,16
32	Paruline à croupion jaune	S	Possible	30	61,2	23	24	64	20,5	5,33
33	Paruline des ruisseaux	S	Possible	6	12,2	0	2	6	0	0,00
34	Paruline jaune	S	Possible	3	6,1	1	2	4	1	0,26
35	Paruline obscure	S	Possible	4	8,2	3	4	10	3	0,78
36	Paruline verdâtre	S	Possible	2	4,1	1	1	3	1	0,26
37	Pic à dos rayé	S	Possible	1	2,0	0	0	1	0	0,00
38	Plongeon huard	S	Possible	5	10,2	1	0	5	0	0,00
39	**Quiscale rouilleux**	**S**	**Possible**	**7**	**14,3**	**2**	**1**	**11**	**1**	**0,26**
40	Roitelet à couronne rubis	A	Probable	48	98,0	17	39	125	16	4,16
41	Sizerin flammé	H	Possible	1	2,0	0	0	1	0	0,00
42	Troglodyte des forêts	S	Possible	13	26,5	2	2	14	2	0,52
Total						172	287	876	141,5	36,77

1 Voir l'annexe 4 pour la description des indices de nidification de l'Atlas des oiseaux nicheurs du Québec (AONQ).

2 Nombre de fois que l'espèce a été contactée à partir des 49 points d'écoute inventoriés (DRL ou IPA).

3 DRL (< 50 m) : dénombrement à l'intérieur du rayon de 50 m de l'observateur; IPA (> 50 m) : dénombrement à l'extérieur du rayon de 50 m de l'observateur.

4 Densité de couples nicheurs établie à partir des dénombrements des couples à l'intérieur du rayon de 50 m de l'observateur (DRL < 50 m).

5 Les espèces en situation précaire sont en caractères gras

3.3.4.4 Résineux

Dans cet habitat, un total de 60 espèces a été dénombré, dont 42 dans les DRL de 50 m et 18 espèces additionnelles par IPA (tableau 13) ce qui représente l'habitat le plus riche de l'étude. En moyenne, ce sont 3,4 espèces par point d'écoute qui ont été observées dans le DRL 50 m. Les espèces les plus fréquentes sont le roitelet à couronne rubis, le bruant à gorge blanche ainsi que le junco ardoisé avec une occurrence au-delà de 80 %.

La densité en équivalents-couples était plus élevée chez le roitelet à couronne rubis, le junco ardoisé ainsi que la paruline à croupion jaune avec des valeurs de 7,71; 5,50 et 4,77 par 10 ha respectivement. La composition de la communauté d'oiseaux pour ce type d'habitat dans la zone d'inventaire du projet concorde généralement avec celle de l'étude de Consortium Gauthier et Guillemette-GREBE (1991) pour les pessières à lichen et/ou pessières boisées du complexe de Grande-Baleine situé à moins 150 km au nord.

L'habitat résineux compte au total, 39,70 couples par 10 ha, la densité la plus grande de tous les groupes d'habitats de l'étude.

Les inventaires ont permis de confirmer la nidification de 5 espèces : le roitelet à couronne rubis, le junco ardoisé, le mésangeai du Canada, le quiscale rouilleux et le pic à dos rayé. Ce sont 20 espèces qui ont obtenu le statut de nidification probable et 35 sont des nicheurs possibles.

En ce qui a trait aux espèces en situation précaire, le quiscale rouilleux, le moucherolle à côtés olive, l'hirondelle de rivage et le hibou des marais ont respectivement des occurrences de 16 %, 12 %, 1 % et 0,7 % (tableau 13).

Tableau 13. Occurrence et abondance des espèces dénombrées dans les habitats résineux de la zone d'inventaire entre le 12 et le 23 juin 2024

No	Nom français	Indice de nidification[1]	Nidification	Occurrence[2]		Nombre d'individus[3]			Équivalents-couples[4]	
				Nombre	%	DRL (< 50 m)	DRL (< 100 m)	IPA	DRL (< 50 m)	Couples / 10 ha
1	Autour d'Amérique	A	Probable	2	0,74	2	2	5	1	0,05
2	Bec-croisé bifascié	S	Possible	1	0,37	30	0	30	0	0,00
3	Bécasseau minuscule	S	Possible	2	0,74	0	0	2	0	0,00
4	Bécassine de Wilson	S	Possible	11	4,06	0	4	16	0	0,00
5	Bec-croisé bifascié	S	Possible	35	12,92	28	25	64	8	0,38
6	Bernache du Canada	P	Probable	6	2,21	2	0	10	0	0,00
7	Bruant à couronne blanche	A	Probable	9	3,32	1	5	11	2	0,09
8	Bruant à gorge blanche	A	Probable	251	92,62	105	162	715	90	4,23
9	Bruant chanteur	S	Possible	1	0,37	1	0	1	1	0,05
10	Bruant de Lincoln	A	Probable	65	23,99	20	29	87	19,5	0,92
11	Bruant des marais	S	Possible	10	3,69	2	7	12	2	0,09
12	Bruant des prés	S	Possible	14	5,17	12	11	29	12	0,56
13	Bruant fauve	S	Possible	200	73,80	40	79	291	40	1,88
14	Chevalier solitaire	A	Probable	7	2,58	0	5	8	0	0,00
15	Chouette épervière	H	Possible	1	0,37	0	1	1	0	0,00
16	Durbec des sapins	C	Probable	48	17,71	19	26	56	14	0,66
17	Goéland hudsonien	S	Possible	4	1,48	0	0	6	0	0,00
18	Grand Chevalier	A	Probable	23	8,49	0	3	24	0	0,00
19	Grand Corbeau	H	Possible	3	1,11	0	1	3	0	0,00
20	Grand Harle	H	Possible	3	1,11	0	0	4	0	0,00
21	Grimpereau brun	S	Possible	18	6,64	10	9	22	8,5	0,40
22	Grive à dos olive	S	Possible	3	1,11	0	1	3	0	0,00
23	Grive solitaire	A	Probable	211	77,86	66	105	435	54,5	2,56
24	Grue du Canada	C	Probable	6	2,21	0	7	21	0	0,00
25	Harle huppé	H	Possible	1	0,37	0	1	1	0	0,00

No	Nom français	Indice de nidification[1]	Nidification	Occurrence[2]		Nombre d'individus[3]			Équivalents-couples[4]	
				Nombre	%	DRL (< 50 m)	DRL (< 100 m)	IPA	DRL (< 50 m)	Couples / 10 ha
26	**Hibou des marais[5]**	**H**	**Possible**	**2**	**0,74**	**0**	**1**	**2**	**0**	**0,00**
27	Hirondelle bicolore	H	Possible	12	4,43	8	5	14	1	0,05
28	**Hirondelle de rivage**	**H**	**Possible**	**3**	**1,11**	**0**	**2**	**4**	**0**	**0,00**
29	Jaseur boréal	P	Probable	13	4,80	8	10	20	3	0,14
30	Jaseur d'Amérique	P	Probable	14	5,17	10	5	16	4,5	0,21
31	Junco ardoisé	CN	Confirmée	223	82,29	143	165	421	117	5,50
32	Merle d'Amérique	A	Probable	86	31,73	30	35	109	22,5	1,06
33	Merlebleu de l'Est	H	Possible	1	0,37	1	0	1	0	0,00
34	Mésange à tête brune	P	Probable	14	5,17	10	7	20	6,5	0,31
35	Mésangeai du Canada	JE	Confirmée	167	61,62	100	108	303	40	1,88
36	**Moucherolle à côtés olive**	**S**	**Possible**	**33**	**12,18**	**2**	**12**	**39**	**2**	**0,09**
37	Moucherolle à ventre jaune	A	Probable	103	38,01	50	65	160	47,5	2,23
38	Moucherolle des aulnes	S	Possible	12	4,43	3	4	17	3	0,14
39	Mouette de Bonaparte	H	Possible	1	0,37	0	0	1	0	0,00
40	Paruline à calotte noire	S	Possible	14	5,17	5	7	18	5	0,23
41	Paruline à couronne rousse	P	Probable	58	21,40	34	32	80	32,5	1,53
42	Paruline à croupion jaune	A	Probable	183	67,53	108	138	321	101,5	4,77
43	Paruline à joues grises	S	Possible	2	0,74	0	1	2	0	0,00
44	Paruline à tête cendrée	S	Possible	2	0,74	1	1	2	1	0,05
45	Paruline des ruisseaux	S	Possible	8	2,95	1	1	11	1	0,05
46	Paruline obscure	S	Possible	8	2,95	3	4	10	3	0,14
47	Paruline rayée	A	Probable	16	5,90	12	6	20	12	0,56
48	Paruline verdâtre	A	Probable	10	3,69	2	7	12	2	0,09
49	Pic à dos noir	S	Possible	3	1,11	1	0	3	0,5	0,02
50	Pic à dos rayé	NJ	Confirmée	4	1,48	2	5	7	1,5	0,07
51	Plongeon huard	P	Probable	18	6,64	0	0	21	0	0,00

No	Nom français	Indice de nidification[1]	Nidification	Occurrence[2]		Nombre d'individus[3]			Équivalents-couples[4]	
				Nombre	%	DRL (< 50 m)	DRL (< 100 m)	IPA	DRL (< 50 m)	Couples / 10 ha
52	**Quiscale rouilleux**	**CN**	**Confirmée**	**44**	**16,24**	**9**	**21**	**61**	**5,5**	**0,26**
53	Roitelet à couronne dorée	S	Possible	9	3,32	7	4	13	6	0,28
54	Roitelet à couronne rubis	AT	Confirmée	266	98,15	170	231	710	164	7,71
55	Roselin pourpré	S	Possible	1	0,37	1	1	3	1	0,05
56	Sizerin flammé	H	Possible	1	0,37	0	0	1	0	0,00
57	Sterne arctique	H	Possible	1	0,37	0	2	2	0	0,00
58	Tarin des pins	H	Possible	2	0,74	1	0	2	0,5	0,02
59	Tétras du Canada	H	Possible	3	1,11	3	0	3	1,5	0,07
60	Troglodyte des forêts	S	Possible	64	23,62	7	15	73	7	0,33
Total						1 070	1 378	4 359	845	39,70

1 Voir l'annexe 4 pour la description des indices de nidification de l'Atlas des oiseaux nicheurs du Québec (AONQ).

2 Nombre de fois que l'espèce a été détectée à partir des 271 points d'écoute inventoriés (DRL ou IPA).

3 DRL (< 50 m) : dénombrement à l'intérieur du rayon de 50 m de l'observateur; IPA (> 50 m) : dénombrement à l'extérieur du rayon de 50 m de l'observateur.

4 Densité de couples nicheurs établis à partir des dénombrements des couples à l'intérieur du rayon de 50 m de l'observateur (DRL < 50 m).

5 Les espèces en situation précaire sont en caractères gras

3.3.4.5 Tourbières

Dans les tourbières, ce sont 49 espèces qui ont été recensées, dont 30 dans les DRL de 50 m et 19 espèces additionnelles par IPA (tableau 14). En moyenne, ce sont 3,0 espèces qui ont été dénombrées dans les DRL 50 m par station. Les espèces les plus fréquentes sont le bruant à gorge blanche, le roitelet à couronne rubis et la grive solitaire à 94 %, 92 % et 76 % respectivement. Les densités en équivalents-couples pour 10 ha les plus élevées sont de 5,24 pour le bruant de Lincoln, 5,24 pour le bruant des prés, 4,12 pour le bruant à gorge blanche et 4,12 pour la paruline à couronne rousse. Pour ce même type d'habitat, les communautés d'oiseaux au complexe Grande-Baleine sont généralement différentes avec le roitelet à couronne rubis, le bruant fauve et le mésangeai du Canada en dominance (Consortium Gauthier et Guillemette-GREBE 1991).

Le milieu compte 33,70 équivalents-couples par 10 ha, une des plus faibles densités de tous les types d'habitats présents dans la zone d'inventaire. Les inventaires ont permis de confirmer la nidification de 5 espèces : le bruant de Lincoln, le mésangeai du Canada, le grand chevalier, la grue du Canada et la buse à queue rousse. Au total, 12 espèces sont des nicheurs probables et 32 sont des nicheurs possibles (tableau 14).

Deux espèces en situation précaire ont été détectées dans les tourbières, soit le quiscale rouilleux avec un taux d'occurrence de 17,7 % et le moucherolle à côtés olive de 9,8 % (tableau 14).

Tableau 14. Occurrence et abondance des espèces dénombrées dans les tourbières de la zone d'inventaire entre le 12 et le 23 juin 2024

No	Nom français	Indice de nidification[1]	Nidification	Occurrence[2]		Nombre d'individus[3]			Équivalents-couples[4]	
				Nombre	%	DRL (< 50 m)	DRL (< 100 m)	IPA	DRL (< 50 m)	Couples / 10 ha
1	Bécasseau minuscule	A	Probable	1	1,96	2	0	2	1	0,25
2	Bécassine de Wilson	S	Possible	6	11,76	0	1	8	0	0,00
3	Bec-croisé bifascié	A	Probable	4	7,84	3	1	6	1	0,25
4	Bernache du Canada	H	Possible	1	1,96	0	0	2	0	0,00
5	Bruant à couronne blanche	S	Possible	1	1,96	0	1	1	0	0,00
6	Bruant à gorge blanche	A	Probable	48	94,12	18	35	153	16,5	4,12
7	Bruant de Lincoln	AT	Confirmée	32	62,75	23	20	53	21	5,24
8	Bruant des marais	S	Possible	5	9,80	1	3	8	1	0,25
9	Bruant des prés	A	Probable	22	43,14	24	15	43	21	5,24
10	Bruant fauve	S	Possible	35	68,63	2	11	50	2	0,50
11	Buse à queue rousse	DD	Confirmée	2	3,92	0	1	3	0	0,00
12	Canard noir	H	Possible	1	1,96	0	0	1	0	0,00
13	Chevalier solitaire	A	Probable	4	7,84	0	3	5	0	0,00
14	Chouette épervière	A	Probable	3	5,88	2	1	5	0,5	0,12
15	Durbec des sapins	S	Possible	4	7,84	0	1	4	0	0,00
16	Grand Chevalier	DD	Confirmée	12	23,53	8	4	22	3	0,75
17	Grand Corbeau	H	Possible	1	1,96	0	0	1	0	0,00
18	Grand Harle	A	Probable	1	1,96	0	0	1	0	0,00
19	Grive à dos olive	S	Possible	1	1,96	0	0	1	0	0,00
20	Grive solitaire	S	Possible	39	76,47	4	13	67	2,5	0,62
21	Grue du Canada	DD	Confirmée	4	7,84	1	0	11	1	0,25
22	Hirondelle bicolore	S	Possible	2	3,92	1	0	2	0,5	0,12
23	Jaseur boréal	H	Possible	4	7,84	1	4	5	0,5	0,12
24	Jaseur d'Amérique	H	Possible	2	3,92	0	3	3	0	0,00
25	Junco ardoisé	A	Probable	35	68,63	14	31	67	10	2,50
26	Merle d'Amérique	A	Probable	22	43,14	3	15	28	1,5	0,37
27	Mésange à tête brune	S	Possible	2	3,92	3	0	3	2	0,50
28	Mésangeai du Canada	DD	Confirmée	29	56,86	7	17	46	3,5	0,87
29	**Moucherolle à côtés olive[5]**	**S**	**Possible**	**5**	**9,80**	**0**	**2**	**5**	**0**	**0,00**

No	Nom français	Indice de nidification[1]	Nidification	Occurrence[2]		Nombre d'individus[3]			Équivalents-couples[4]	
				Nombre	%	DRL (< 50 m)	DRL (< 100 m)	IPA	DRL (< 50 m)	Couples / 10 ha
30	Moucherolle à ventre jaune	S	Possible	9	17,65	3	3	10	3	0,75
31	Moucherolle des aulnes	S	Possible	3	5,88	0	0	3	0	0,00
32	Mouette de Bonaparte	H	Possible	1	1,96	0	0	1	0	0,00
33	Paruline à calotte noire	S	Possible	3	5,88	1	2	4	1	0,25
34	Paruline à couronne rousse	P	Probable	25	49,02	18	14	36	16,5	4,12
35	Paruline à croupion jaune	S	Possible	24	47,06	7	12	35	6,5	1,62
36	Paruline des ruisseaux	S	Possible	2	3,92	0	1	3	0	0,00
37	Paruline jaune	S	Possible	5	9,80	1	1	5	1	0,25
38	Paruline obscure	S	Possible	1	1,96	1	0	1	1	0,25
39	Paruline rayée	S	Possible	2	3,92	1	1	3	1	0,25
40	Paruline verdâtre	S	Possible	2	3,92	1	0	2	1	0,25
41	Pic à dos noir	S	Possible	1	1,96	0	1	1	0	0,00
42	Pic flamboyant	H	Possible	1	1,96	0	0	1	0	0,00
43	Plongeon huard	S	Possible	6	11,76	0	0	6	0	0,00
44	**Quiscale rouilleux**	**A**	**Probable**	**9**	**17,65**	**4**	**2**	**13**	**2**	**0,50**
45	Roitelet à couronne dorée	S	Possible	1	1,96	1	0	1	1	0,25
46	Roitelet à couronne rubis	A	Probable	47	92,16	11	31	106	11	2,75
47	Sarcelle d'hiver	H	Possible	1	1,96	0	1	1	0	0,00
48	Tétras du Canada	H	Possible	2	3,92	1	1	2	0,5	0,12
49	Troglodyte des forêts	S	Possible	6	11,76	1	2	9	1	0,25
Total						168,00	254,00	849,00	135,00	33,70

1 Voir l'annexe 4 pour la description des indices de nidification de l'Atlas des oiseaux nicheurs du Québec (AONQ).

2 Nombre de fois que l'espèce a été contactée à partir des 51 points d'écoute inventoriés (DRL ou IPA).

3 DRL (< 50 m) : dénombrement à l'intérieur du rayon de 50 m de l'observateur; IPA (> 50 m) : dénombrement à l'extérieur du rayon de 50 m de l'observateur.

4 Densité de couples nicheurs établis à partir des dénombrements des couples à l'intérieur du rayon de 50 m de l'observateur (DRL < 50 m).

5 Les espèces en situation précaire sont en caractères gras

3.3.4.6 Synthèse des types d'habitats

La densité moyenne de couples nicheurs pour l'ensemble de la zone d'inventaire est de 35,25 couples / 10 ha (tableau 15). La richesse moyenne (DRL 50 m) est supérieure dans les forêts résineuses et mixtes et plus faible dans les trois autres types d'habitats (tableau 15). Le nombre d'équivalents-couples est supérieur dans les habitats résineux et mixtes que dans les trois autres types d'habitats.

Tableau 15. Bilan comparatif des types d'habitats

	Marécage	Régénération	Mixte	Résineux	Tourbières
Nombre de points d'écoute	96	55	49	271	51
Nombre d'espèces (DRL < 50 m)*	32	28	28	42	30
Nombre d'espèces (DRL < 100 m)**	38	30	27	47	33
Nombre total d'espèces	52	41	42	60	49
Richesse moyenne ± écart-type (DRL < 50 m)	3,0 ± 1,8	3,0 ± 1,8	3,3 ± 1,5	3,4 ± 1,8	3,0 ± 1,6
Richesse moyenne ± écart-type (IPA)	10,1 ± 2,8	8,9 ± 2	8,9 ± 2,3	8,6 ± 2,3	9,4 ± 2,5
Couples / 10 ha (DRL < 50 m)	34,02	32,06	36,77	39,70	33,70

*DRL (< 50 m) : dénombrement à l'intérieur du rayon de 50 m de l'observateur
**DRL (< 100 m) : dénombrement à l'intérieur du rayon de 100 m de l'observateur

Dans l'ensemble, le nombre d'espèces est similaire à travers tous les types d'habitats sauf pour les pessières ouvertes (type d'habitat résineux) qui montrent une richesse en espèces plus élevée, et ce, autant pour le DRL 50 m que pour l'IPA (tableau 15). Ce type d'habitat inclut plusieurs espèces qui sont uniques ou beaucoup plus fréquentes dans ce milieu, dont la grue du Canada, le merlebleu de l'Est, le bruant chanteur et la paruline à tête cendrée. Les tourbières ouvertes, bien qu'ayant une richesse en espèces moindre que les pessières ouvertes, ont plusieurs espèces inféodées aux milieux humides tels que le bruant de Lincoln, la bécassine de Wilson et le bruant des marais.

Les communautés d'oiseaux nicheurs à travers les différents habitats inventoriés sont similaires en ce qui a trait aux espèces dominantes. En effet, les résultats présentant le nombre d'espèces ou la densité de couples nicheurs/10 ha indiquent que le bruant à gorge blanche, le roitelet à couronne rubis, la grive solitaire, le junco ardoisé, le bruant fauve et la paruline à croupion jaune étaient les espèces les plus abondantes à travers les habitats inventoriés.

3.4 Inventaires de sauvagine, espèces aquatiques et rapaces nicheurs

3.4.1 Effort d'inventaire

Dans le cadre de l'inventaire héliporté réalisé entre le 12 juin et le 24 juin 2024, un total de 12 heures de vol a été effectué. L'entièreté de la zone d'inventaire a été couverte.

3.4.2 Conditions d'inventaire

L'inventaire des 16 relevés héliportés a été réalisé dans de bonnes à excellentes conditions entre le 12 juin et le 24 juin 2024. Les relevés ont été effectués principalement dans l'après-midi, sauf quelques survols matinaux, avec des horaires variants entre 7 h 50 et 18 h 28. La durée moyenne des relevés était de 45 minutes, allant de 14 minutes à 1 h 27.

Les températures enregistrées pendant les relevés ont varié entre 11 °C et 25 °C. Aucun relevé n'a eu lieu par des températures extrêmes ou nuisibles à l'activité des oiseaux. La plupart des relevés, soit 81,3 % (13/16), ont été réalisés sous des vents faibles à modérés (de 0 à 15 nœuds). Cependant, trois relevés ont été effectués dans des conditions de vent légèrement plus élevées, atteignant 20 à 30 nœuds. Concernant la couverture nuageuse, 75 % des relevés ont été réalisés sous un ciel légèrement couvert (moins de 25 % de couverture nuageuse), tandis que deux relevés ont été effectués sous une couverture plus importante (75 % de nuages).

Les précipitations étaient absentes pour 93,8 % des relevés (15/16), garantissant ainsi des conditions d'observation adéquates. Un seul relevé a été affecté par des précipitations légères, mais cela n'a pas significativement entravé la qualité des observations. Les conditions globales d'observation étaient jugées excellentes ou bonnes pour l'ensemble des relevés.

3.4.3 Description des résultats d'inventaires

Le tableau 16 présente les noms français et scientifiques des espèces recensées, leur nombre, l'occurrence ainsi que leur statut selon les lois fédérales et provinciales. Les densités y sont également présentées pour les espèces de sauvagine, les plongeons et les oiseaux de proie. En tout, 33 espèces ont été répertoriées au cours de l'inventaire héliporté. Parmi ces 33 espèces, 13 sont de la sauvagine, six (6) sont des limicoles, quatre (4) sont des oiseaux terrestres, trois (3) sont des laridés, deux (2) sont des plongeons et quatre (4) sont des oiseaux de proie. De plus, quatre (4) espèces présentent un intérêt plus grand pour la conservation parce qu'elles sont en péril, menacées, vulnérables ou susceptibles d'être ainsi désignées.

Les espèces de sauvagines les plus abondantes furent le canard noir, la sarcelle d'hiver et la bernache du Canada. Pour la majorité des espèces de sauvagine, les densités observées sont supérieures à celles relevées dans la zone d'étude régionale par inventaire aérien en 1996 et en 1997 (Guérette et coll., 2009). Par exemple, les densités observées de canard noir et de sarcelle d'hiver dans la zone d'inventaire du projet (16,0 et 8,6: tableau 16) sont au moins deux fois plus élevées que les densités existantes (5,5 et 1,4; Guérette et coll., 2009).

Dans l'ensemble, quatre espèces sont des oiseaux de proie : la chouette épervière, le hibou des marais, la buse à queue rousse et le pygargue à tête blanche. Un nid de buse à queue rousse contenant au moins un œuf a été observé dans la zone d'inventaire, indiquant un comportement nicheur confirmé.

Concernant le hibou des marais, deux occurrences distinctes ont été notées. La première concerne une nidification probable de l'espèce, soit la présence d'un couple fréquemment observé dans un habitat favorable à environ 1,5 km à l'est du camp de la mine. La seconde mention concerne un individu décollant du sol dans un habitat propice pour la nidification, soit une grande tourbière située au sud de la zone. Des adultes et des individus immatures isolés du pygargue à tête blanche ont été observés à cinq reprises durant ces inventaires, mais aucune structure de nidification n'a été identifiée durant les survols. Ces individus semblent être des estivants non nicheurs.

Des groupes familiaux de sauvagine, de canards noirs et de sarcelles d'hiver ont été recensés, ces deux espèces étant les plus abondantes dans la zone d'inventaire. Deux femelles macreuses à ailes blanches ont également été observées ensemble, probablement des individus non nicheurs, puisque leur aire de reproduction principale se situe dans le nord-ouest de l'Amérique du Nord. Plusieurs espèces de canards arboricoles, dont le harle couronné, le garrot à œil d'or et le grand harle, ont été répertoriées. Toutes ces observations ont été effectuées dans la portion nord de la zone, épargnée par les feux de forêt de 2023. Le chevalier solitaire s'est révélé être le limicole le plus abondant, avec 17 individus recensés lors de 12 occurrences. Ces observations ont été faites principalement dans des habitats humides au sud de la zone d'inventaire.

Une falaise au centre de la zone a révélé une structure de nidification vide, probablement d'un grand corbeau. Aucune autre activité de nidification de rapaces n'a été observée sur les falaises de la zone d'inventaire. Enfin, le quiscale rouilleux, une espèce en situation précaire, a été recensé à dix reprises lors des survols. Ces individus étaient dispersés principalement dans des zones forestières intactes contenant des plans d'eau et des cours d'eau.

Tableau 16. Nombre d'individus et occurrences inventoriées durant l'inventaire héliporté en 2024

Nom commun	Nom scientifique	LEMV*	LEP*	Nombre total d'individus	Occurrence	Densité (Équivalents-couples / 100 km²)
Bécasseau minuscule	*Calidris minutilla*			1	1	
Bécassine de Wilson	*Gallinago delicata*			4	3	
Bernache du Canada	*Branta canadensis*			19	4	0,0
Buse à queue rousse	*Buteo jamaicensis*			5	4	0,78
Canard noir	*Anas rubripes*			84	16	16,0
Chevalier grivelé	*Actitis macularius*			6	6	
Chevalier solitaire	*Tringa solitaria*			17	12	
Chevalier sp.	*Tringa sp.*			5	4	
Chouette épervière	*Surnia ulula*			1	1	0,78**
Engoulevent d'Amérique*	***Antrostomus vociferus***	**S**	**P**	**5**	**1**	
Fuligule à collier	*Aythya collaris*			5	3	3,1
Garrot à œil d'or	*Bucephala clangula*			15	1	0,0
Goéland hudsonien	*Larus smithsonianus*			10	8	
Grand chevalier	*Tringa melanoleuca*			22	16	
Grand harle	*Mergus merganser*			7	5	0,8
Petit chevalier	***Tringa flavipes***		**P**	**1**	**1**	
Grue du Canada	*Antigone canadensis*			1	1	
Harle couronné	*Lophodytes cucullatus*			12	5	1,6
Harle huppé	*Mergus serrator*			10	7	3,1
Hibou des marais	***Asio flammeus***	**S**	**P**	**3**	**2**	**2,34****
Jaseur boréal	*Bombycilla garrulus*			4	2	
Macreuse à ailes blanches	*Melanitta deglandi*			2	1	0,0
Macreuse à front blanc	*Melanitta americana*			6	5	0,8
Mouette de Bonaparte	*Chroicocephalus philadelphia*			2	2	
Petit fuligule	*Aythya affinis*			6	1	0,0
Plongeon catmarin	*Gavia stellata*			2	1	0,8
Plongeon huard	*Gavia immer*			4	3	0,0
Pygargue à tête blanche	***Haliaeetus leucocephalus***	**V**		**5**	**5**	**3,91****

Nom commun	Nom scientifique	LEMV*	LEP*	Nombre total d'individus	Occurrence	Densité (Équivalents-couples / 100 km²)
Quiscale rouilleux	***Euphagus carolinus***		**P**	**10**	**9**	
Sarcelle d'hiver	*Anas crecca*			28	10	8,6
Sterne arctique	*Sterna paradisaea*			1	1	
Tétras du Canada	*Falcipennis canadensis*			1	1	

*Les espèces en situation précaire sont notées en caractères gras
**Nombre d'individus par 100 km². Information insuffisante pour estimer le nombre d'équivalents-couples.

3.5 Inventaires des oiseaux hivernants

3.5.1 Efforts d'inventaire

Au total, 483 points d'écoute ont été réalisés sur un total de 160 transects entre le 17 et 22 février 2023 (carte 3).

3.5.2 Conditions d'inventaire

Les conditions d'inventaires étaient considérées comme excellentes à bonnes sur 96 % des transects et des stations et ce, pour l'ensemble des périodes d'inventaires. Par exemple, la vitesse du vent était entre 0 et 2 sur l'échelle de Beauford pour environ 75 % des stations d'écoute et la couverture nuageuse était entre 0 et 30 % pour 62 % des stations. Les inventaires se sont déroulés sans aucune précipitation dans 81 % du temps. Sinon, il y a eu quelques épisodes de neige ou de pluie à 19 % des transects et stations. La visibilité était considérée comme excellente à 100 % du temps.

3.5.3 Résultats d'inventaires par segments

Le tableau 17 présente les espèces d'oiseaux en ordre décroissant de fréquence dans les segments. Un total de 13 espèces d'oiseaux a été relevé lors de l'inventaire hivernal à l'intérieur de la zone d'inventaire en 2023 (tableau 17). Le lagopède des saules est l'espèce la plus présente avec une fréquence d'observation de 16,4 % (présence dans 263 des 1 607 segments). On peut supposer également qu'une bonne partie des relevés de tétraoninés sp. corresponde également au lagopède des saules. Par ailleurs, le tétras du Canada, le mésangeai du Canada et le sizerin flammé sont des espèces présentes dans plus de 2 % des segments. Les transects C017, C018, C117, C150 et C153 sont les plus fréquentés par les oiseaux en considérant la proportion des segments avec la présence d'au moins une espèce (tableau 18). Les transects C018, C039, C117 et C135 ont eu la présence d'au moins 6 espèces (tableau 18). La présence d'oiseaux était plus fréquente dans les pessières noires (58,7 %), puis dans les secteurs en régénération arbustifs (16,5 %) et finalement dans les résineux mélangés (11,5 %). Aucune espèce en situation précaire ne fut détectée lors de ces inventaires.

Il n'existe aucune étude traitant de l'avifaune hivernale dans la zone d'inventaire du projet. Toutefois, l'étude de Eco-recherches inc. (1980) pour différents secteurs de la Baie-James ainsi que les données eBird (2025) suggère que l'ensemble des espèces détectées lors de l'inventaire hivernal de 2023 sont des espèces généralement fréquentes en cette période dans le secteur général de la zone d'inventaire.

Tableau 17. Présence et fréquence des différentes espèces d'oiseaux relevées dans les 1 607 segments

Espèce	Présence	Fréquence (%)
Lagopède des saules	263	16,37
Tétraoniné sp.	160	9,96
Mésangeai du Canada	109	6,78
Tétras du Canada	44	2,74
Sizerin flammé	40	2,49
Durbec des sapins	26	1,62
Grand corbeau	23	1,43
Mésange à tête brune	22	1,37
Picidé sp.	19	1,18
Bec-croisé bifascié	6	0,37
Pic à dos noir	6	0,37
Pic à dos rayé	3	0,19
Bec-croisé des sapins	2	0,12
Bec-croisé sp.	2	0,12
Autour d'Amérique	1	0,06
Plectrophane des neiges	1	0,06
Fringilidé sp.	1	0,06
Total	728	

Tableau 18. Indice d'activité hivernale de l'avifaune à moins de 50 m et à plus de 50 m des transects d'inventaire

Transect	Nb. de segments	Lagopède des saules		Tétras du Canada		Tétraoninés sp.		Mésangeai du Canada		Grand corbeau		Mésange à tête brune		Sizerin flammé		Durbec des sapins		Bec-croisé sp.		Bec-croisé des sapins		Bec-croisé bifascié		Fringilidé sp		Plectrophane des neiges		Pic à dos noir		Pic à dos rayé		Pic à dos noir ou rayé		Pic sp.		Autour d'Amérique	
		<50	>50	<50	>50	<50	>50	<50	>50	<50	>50	<50	>50	<50	>50	<50	>50	<50	>50	<50	>50	<50	>50	<50	>50	<50	>50	<50	>50	<50	>50	<50	>50	<50	>50
C001	10	0,20				0,10																													0,10
C002	10			0,20		0,50		0,20																											
C003	10	0,40				0,30		0,10																											
C004	10	0,60																																	
C005	10	0,30		0,10		0,20					0,10																								
C006	10			0,10		0,40			0,10					0,10																					
C007	10			0,10		0,30																													
C008	10	0,50						0,10	0,10																										
C009	10					0,10								0,10	0,10																			0,10			
C010	10					0,10								0,40																					
C011	10	0,20																																	
C012	10																																		
C013	10	0,20						0,10		0,10																									
C014	10	0,40																																	
C015	10					0,10		0,10	0,10					0,20																					
C016	10					0,30								0,30									0,10												
C017	10			0,20		0,80			0,20																							0,10			
C018	10			0,10		0,60			0,20				0,30		0,10				0,10										0,10				0,10			
C019	10					0,30			0,10																										
C020	10																																		
C021	10																																		
C022	10							0,20																											
C023	10	0,30				0,10																													
C024	10																																		
C025	10	0,10							0,10		0,10																								
C026	10							0,20																											
C027	10							0,10	0,10					0,30			0,10				0,10														
C028	10					0,10						0,10																								
C029	10																																		
C030	10																																		
C031	10				0,20			0,10			0,10	0,10																							
C032	10					0,10					0,20																								
C033	10	0,10																																	
C034	10					0,30																													
C035	10																																		
C036	10																																		
C037	10	0,60						0,10																								0,10			
C038	10	0,20		0,20		0,40			0,10																										
C039	10			0,10					0,10		0,10		0,10										0,10						0,20						
C040	10																																		
C041	10							0,10																											
C042	10							0,10	0,10		0,10																								
C043	10							0,10																											
C044	10									0,10																									
C045	10	0,30																																	

Transect	Nb. de segments	Lagopède des saules		Tétras du Canada		Tétraoninés sp.		Mésangeai du Canada		Grand corbeau		Mésange à tête brune		Sizerin flammé		Durbec des sapins		Bec-croisé sp.		Bec-croisé des sapins		Bec-croisé bifascié		Fringilidés sp		Plectrophane des neiges		Pic à dos noir		Pic à dos rayé		Pic à dos noir ou rayé		Pic sp.		Autour d'Amérique	
		<50	>50	<50	>50	<50	>50	<50	>50	<50	>50	<50	>50	<50	>50	<50	>50	<50	>50	<50	>50	<50	>50	<50	>50	<50	>50	<50	>50	<50	>50	<50	>50	<50	>50
C046	10	0,10					0,30							0,10									0,10												
C046	10	0,10				0,20		0,10																											
C047	10	0,20				0,10			0,10															0,10											
C048	10								0,10					0,10																					
C049	10	0,20							0,10		0,10				0,10																				
C050	10	0,60				0,20		0,10																											
C051	10																	0,10																	
C052	10	0,40				0,10			0,10		0,10																								
C053	10	0,60										0,20																							
C054	10	0,60																																	
C055	10	0,30									0,10					0,10	0,10																		
C056	10	0,30				0,40										0,10																			
C057	10	0,60								0,10																									
C058	10																0,10																		
C059	10					0,30					0,10																								
C060	10					0,70		0,10	0,10								0,10																		
C061	10	0,50														0,10																			
C062	10	0,20		0,10		0,20																													
C063	10	0,10						0,10																											
C064	10								0,10																										
C065	10	0,20												0,20	0,10																				
C066	10					0,30		0,20	0,10								0,10																		
C067	10					0,30																								0,20					
C068	10							0,10	0,10																										
C069	10					0,20		0,20						0,10																					
C070	10					0,10		0,10			0,10																								
C071	10			0,30		0,50		0,10			0,10		0,10																						
C072	10					0,30																											0,10		
C073	10																																		
C074	10	0,30		0,10																															
C075	10	0,10						0,20									0,10																		
C076	10	0,60						0,10																											
C077	10					0,20			0,20																										
C078	10																																		
C079	10					0,50																													
C080	10			0,10		0,20						0,20				0,10							0,10												
C081	10					0,20			0,10																										
C082	10																																		
C083	10															0,10																			
C084	10					0,10																													
C085	10							0,10																											
C086	10					0,20		0,20	0,10		0,10					0,10																			
C087	10					0,50		0,10						0,10																					
C088	10					0,10		0,10																											
C089	10	0,10				0,30		0,10				0,10																							
C090	9	0,11						0,11	0,11																										

Transect	Nb. de segments	Lagopède des saules		Tétras du Canada		Tétraoninés sp.		Mésangeai du Canada		Grand corbeau		Mésange à tête brune		Sizerin flammé		Durbec des sapins		Bec-croisé sp.		Bec-croisé des sapins		Bec-croisé bifascié		Fringilidé sp		Plectrophane des neiges		Pic à dos noir		Pic à dos rayé		Pic à dos noir ou rayé		Pic sp.		Autour d'Amérique	
		<50	>50	<50	>50	<50	>50	<50	>50	<50	>50	<50	>50	<50	>50	<50	>50	<50	>50	<50	>50	<50	>50	<50	>50	<50	>50	<50	>50	<50	>50	<50	>50	<50	>50
C091	10	0,20																																	
C092	10					0,30		0,10																											
C093	10																																		
C094	10			0,30								0,10																							
C095	10					0,20								0,30																					
C096	10								0,10		0,10	0,10					0,10																		
C097	10					0,20		0,10																											
C098	10	0,40				0,10																					0,10								
C099	10	0,10										0,10	0,10																						
C100	10													0,10																					
C101	10	0,50						0,20						0,10																					
C102	10							0,10																											
C103	10	0,20																																	
C104	10	0,40		0,10		0,10																													
C105	10	0,10																																	
C106	10	0,20		0,10					0,30																									0,20		
C107	10	0,70				0,10		0,10																											
C108	10	0,20				0,40											0,10																		
C109	10	0,20																																	
C110	10	0,20		0,10				0,10	0,10								0,10																		
C111	10	0,40														0,20																			
C112	10		0,20			0,10		0,30								0,10																				
C113	10	0,20						0,10																											
C114	10					0,10		0,10			0,10	0,10																						0,10		
C115	10					0,30		0,10																											
C116	10					0,30						0,10			0,10																				
C117	10	0,30		0,30		0,10		0,10				0,10		0,10		0,10														0,20					
C118	10	0,20		0,30		0,10								0,20		0,10																			
C119	10	0,20									0,10																								
C120	10	0,20											0,10	0,10																					
C121	10	0,20	0,10								0,10																								
C122	10	0,10																																	
C123	10	0,60																																	
C124	10	0,40																																	
C125	10	0,20		0,10		0,20					0,10						0,10																		
C126	10					0,30																													
C127	10																																		
C128	10																																		
C129	10																																		
C130	10								0,10																								0,10		
C131	10			0,10				0,40																									0,20		
C132	10	0,40				0,20		0,10																									0,10		
C133	10					0,10																													
C134	10	1,00										0,10																							
C135	10	0,50		0,10		0,10		0,10	0,10						0,10																				
C136	10																																		

Transect	Nb. de segments	Lagopède des saules		Tétras du Canada		Tétraoninés sp.		Mésangeai du Canada		Grand corbeau		Mésange à tête brune		Sizerin flammé		Durbec des sapins		Bec-croisé sp.		Bec-croisé des sapins		Bec-croisé bifascié		Fringilidés sp		Plectrophane des neiges		Pic à dos noir		Pic à dos rayé		Pic à dos noir ou rayé		Pic sp.		Autour d'Amérique	
		<50	>50	<50	>50	<50	>50	<50	>50	<50	>50	<50	>50	<50	>50	<50	>50	<50	>50	<50	>50	<50	>50	<50	>50	<50	>50	<50	>50	<50	>50	<50	>50	<50	>50	<50	>50
C137	10			0,10				0,20																				0,10									
C138	10	0,20												0,10		0,10																					
C139	10	0,20				0,10																															
C140	10	0,10		0,20												0,10																					
C141	10																																				
C142	10	0,10				0,40																														0,20	
C143	10	0,30						0,40	0,20																											0,10	
C144	9	0,33				0,11								0,11																							
C145	10	0,50						0,10															0,10														
C146	10	0,50																																			
C147	10	0,20						0,10																													
C148	10	0,60																																			
C149	10	0,30						0,10			0,10																										
C150	10	0,60						0,20	0,10										0,10																0,10		
C151	10	0,20																																			
C152	10	0,20																		0,10																0,20		
C153	10	0,60		0,10		0,20		0,20						0,10																				0,10			
C154	10	0,40						0,10					0,10	0,20		0,10																					
C155	10			0,60				0,10								0,10																					
C156	10	0,80						0,10																													
C157	10																																				
C158	10					0,10			0,10																												
C159	10	0,20						0,10																													
C160	9																																			0,11	
Total	**1 607**	**0,32**	**0,15**	**0,17**	**0,20**	**0,24**	**0,30**	**0,13**	**0,12**	**0,10**	**0,11**	**0,12**	**0,13**	**0,16**	**0,10**	**0,11**	**0,10**	**0,10**	**0,10**	**0,10**	**0,00**	**0,10**	**0,10**	**0,10**	**0,00**	**0,00**	**0,10**	**0,13**	**0,20**	**0,20**	**0,10**	**0,10**	**0,00**	**0,14**	**0,00**	**0,00**	**0,10**

Le tableau 19 présente les espèces d'oiseaux hivernaux en ordre décroissant de fréquence aux stations d'écoute. Le mésangeai du Canada est de loin l'espèce la plus fréquemment observée (17,2 %) avec 130 individus répartis dans 83 des 483 points d'écoute. Il est probable toutefois que ces dernières données soient surestimées considérant le fait que des individus de cette espèce suivent souvent les observateurs de station en station. Le durbec des sapins, le sizerin flammé, la mésange à tête brune et le grand corbeau sont également des espèces dont la fréquence d'observation est supérieure à 2 %. Avec 8 individus de 3 espèces différentes, le transect C0018 est celui où le plus grand nombre d'individus a été détecté dans les trois points d'écoute associés. Les transects C008, C056, C071 et C121 arrivent en second rang avec 7 individus détectés dans les trois points d'écoute.

Tableau 19. Occurrence, fréquence et nombre d'individus des différentes espèces d'oiseaux relevées dans les points d'écoute hivernaux

Espèce	Occurrence	Fréquence (%)
Mésangeai du Canada	83	17,18
Durbec des sapins	17	3,52
Sizerin flammé	15	3,11
Mésange à tête brune	13	2,69
Grand corbeau	12	2,48
Bec-croisé bifascié	4	0,83
Pic à dos rayé	4	0,83
Lagopède des saules	3	0,62
Pic à dos noir	2	0,41
Tétras du Canada	2	0,41
Bec-croisé sp.	1	0,21
Bec-croisé des sapins	1	0,21
Plectrophane des neiges	1	0,21
Picidé sp.	1	0,21
Total	159	-

3.6 Inventaires des mammifères hivernants

Le tableau 20 présente les espèces de mammifères relevées lors du pistage dans les transects en ordre décroissant de fréquence. Un total de 13 espèces de mammifères a été identifié dans les transects. Les espèces les plus fréquentes sont l'écureuil roux, la martre d'Amérique et le lièvre d'Amérique qui étaient présents à plus de 10 % des transects (tableau 20). L'hermine, le renard roux et les micromammifères sp. sont également des espèces relevées fréquemment, mais dans une moindre mesure.

Le transect le plus fréquenté est le C073, avec 28 présences provenant de 5 espèces dans les 10 segments réunis (tableau 21). Ce transect est dominé par les résineux mélangés. En second rang, c'est le transect C151 avec 24 présences de 4 espèces différentes. En troisième rang, c'est le transect C159 avec 20 présences provenant de 4 espèces. Ces deux derniers transects sont situés dans un brûlis récent régénéré. Le transect C006 est celui avec le plus grand nombre d'espèces détectées, c'est-à-dire 6 espèces différentes. Ce transect est dans la pessière noire. Finalement, les trois espèces les plus fréquentes, c'est-à-dire l'écureuil roux, le lièvre d'Amérique et la martre d'Amérique, ont été observées plus souvent dans les pinèdes grises et les résineux mélangés (tableau 21).

Tableau 20. Présence et fréquence des différentes espèces de mammifères relevées dans les 1 607 segments

Espèce	Présence	Fréquence
Écureuil roux	376	24,38
Martre d'Amérique	296	15,24
Lièvre d'Amérique	185	10,13
Belette sp.	123	7,74
Renard roux	94	6,10
Micromammifère sp.	74	1,89
Lynx du Canada	23	1,32
Grand polatouche	16	0,91
Loutre de rivière	11	0,58
Porc-épic d'Amérique	7	0,41
Vison d'Amérique	5	0,16
Orignal	2	0,08
Ours noir	1	0,08
Mustélidés sp.	1	0,00
Total	1 214	-

Tableau 21. Indice d'activité hivernal des mammifères selon le transect

Transect	Nb. de segments	Micro-mammifère sp.	Écureuil roux	Grand polatouche	Lièvre d'Amérique	Porc-épic d'Amérique	Orignal	Belette sp.	Mustélidé sp.	Vison d'Amérique	Martre d'Amérique	Loutre de rivière	Ours noir	Renard roux	Lynx du Canada
C001	10	0	0,2	0	0	0	0	0	0	0	0	0	0	0,2	0
C002	10	0	0,5	0	0	0	0	0,3	0	0	0,3	0	0	0	0
C003	10	0	0,3	0,1	0	0	0	0	0	0	0,2	0	0	0,4	0
C004	10	0	0,1	0	0,1	0	0	0	0	0	0	0	0	0,3	0
C005	10	0	0	0	0,6	0	0	0,1	0	0	0,2	0	0	0,2	0,1
C006	10	0,3	0,6	0	0,3	0	0	0,3	0	0,1	0,1	0	0	0	0,2
C007	10	0	0,2	0	0	0	0	0	0	0	0,7	0	0	0	0
C008	10	0	0	0	0	0	0	0,1	0	0	0	0	0	0	0
C009	10	0	0	0	0	0	0	0,3	0	0	0,1	0	0	0,5	0
C010	10	0	0	0	0	0	0	0,3	0	0	0	0	0	0	0
C011	10	0	0	0	0	0	0	0,4	0	0	0	0	0	0	0
C012	10	0	0	0	0	0	0	0,2	0	0	0	0	0	0	0
C013	10	0	0	0	0	0	0	0	0	0	0	0	0	0,1	0
C014	10	0,3	0,5	0	0	0	0	0	0	0	0	0	0	0	0
C015	10	0	0	0	0	0	0	0,1	0	0	0	0	0	0	0
C016	10	0,1	0	0	0	0	0	0,3	0	0	0	0	0	0	0
C017	10	0,3	0	0	0	0	0	0,5	0	0	0,3	0	0	0	0
C018	10	0,2	0	0	0	0	0	0,2	0	0	0,6	0	0	0	0
C019	10	0	0	0	0	0	0	0,1	0	0	0,5	0	0	0	0,1
C020	10	0,1	0	0	0,4	0	0	0	0	0	0,2	0	0	0,2	0
C021	10	0	0,3	0	0	0	0	0	0	0	0,1	0	0	0	0
C022	10	0	0,3	0,1	0	0	0	0,1	0	0	0	0	0	0,3	0
CO23	10	0,1	0,5	0,3	0	0	0	0,2	0,1	0,2	0,1	0	0	0,1	0
C023	10	0,1	0	0	0	0	0	0,1	0	0	0	0	0	0	0
C024	10	0,1	0,6	0	0	0	0	0	0	0	0,2	0	0	0	0
C025	10	0	0,6	0,2	0,1	0	0	0	0	0	0,4	0	0	0,2	0
C026	10	0	0,2	0	0	0	0	0,3	0	0	0	0	0	0	0
C027	10	0	0,5	0	0	0	0	0,2	0	0	0,2	0	0,1	0	0
C028	10	0,1	0,5	0	0	0	0	0	0	0	0,3	0	0	0,5	0
C029	10	0	0,1	0	0	0	0	0	0	0	0	0	0	0	0
C030	10	0	0	0	0	0	0	0,3	0	0	0	0	0	0	0

Transect	Nb. de segments	Micro-mammifère sp.	Écureuil roux	Grand polatouche	Lièvre d'Amérique	Porc-épic d'Amérique	Orignal	Belette sp.	Mustélidé sp.	Vison d'Amérique	Martre d'Amérique	Loutre de rivière	Ours noir	Renard roux	Lynx du Canada
C031	10	0	0	0	0,2	0	0	0	0	0	0	0	0	0	0
C032	10	0	0	0,1	0,5	0	0	0,1	0	0	0,6	0	0	0,5	0
C033	10	0,1	0	0	0,3	0	0	0	0	0	0,2	0	0	0	0
C034	10	0	0	0	0,1	0	0	0	0	0	0	0	0	0	0
C035	10	0,1	0	0	0	0	0	0	0	0	0	0	0	0	0
C036	10	0	0	0	0	0	0	0	0	0	0	0	0	0,2	0
C037	10	0,1	0	0	0	0	0	0	0	0	0,2	0	0	0	0
C038	10	0,1	0	0	0	0	0	0,3	0	0	0	0	0	0,4	0
C039	10	0,2	0	0	0	0	0	0,9	0	0	0,1	0	0	0	0
C040	10	0,2	0	0	0	0	0	0,7	0	0	0,2	0	0	0	0
C041	10	0,1	0	0	0	0	0	0	0	0	0	0	0	0	0
C042	10	0	0	0	0	0	0	0	0	0	0,2	0	0	0,1	0
C043	10	0	0,1	0	0,1	0	0	0	0	0	0,1	0	0	0,2	0
C044	10	0	0	0	0	0	0	0	0	0	0,1	0	0	0,3	0
C045	10	0	0,3	0	0,2	0	0	0	0	0	0,1	0	0	0,3	0
C046	10	0,1	0,1	0	0,1	0	0,1	0	0	0	0	0	0	0	0
C047	10	0	0	0	0	0	0	0	0	0	0	0	0	0	0,1
C048	10	0	0,1	0	0	0	0	0	0	0	0,1	0	0	0,1	0
C049	10	0	0,4	0	0,2	0	0	0	0	0	0,6	0	0	0	0
C050	10	0	0,1	0	0,3	0	0	0	0	0	0,1	0	0	0,5	0
C051	10	0,1	0,1	0	0	0	0,1	0	0	0	0	0	0	0,4	0
C052	10	0	0,2	0	0,5	0	0	0	0	0	0,1	0	0	0,6	0,1
C053	10	0,1	0,5	0	0,6	0	0	0	0	0	0,2	0	0	0	0
C054	10	0	0,6	0	0,1	0	0	0	0	0	0	0	0	0	0
C055	10	0	0,4	0	0,1	0	0	0	0	0	0,2	0	0	0	0
C056	10	0	0,5	0	0,1	0	0	0	0	0	0	0,1	0	0	0
C057	10	0	0,4	0	0	0	0	0	0	0	0,1	0	0	0,3	0
C058	10	0,1	0,2	0	0,1	0	0	0	0	0	0	0	0	0	0
C059	10	0	0	0	0,2	0	0	0	0	0	0,3	0	0	0	0,2
C060	10	0	0,3	0	0	0	0	0	0	0	0,1	0	0	0	0
C061	10	0	0,2	0	0,6	0	0	0	0	0	0,1	0	0	0	0
C062	10	0	0,2	0	0,3	0	0	0	0	0	0	0	0	0	0
C063	10	0	0,1	0	0	0	0	0	0	0	0	0	0	0	0

Transect	Nb. de segments	Micro-mammifère sp.	Écureuil roux	Grand polatouche	Lièvre d'Amérique	Porc-épic d'Amérique	Orignal	Belette sp.	Mustélidé sp.	Vison d'Amérique	Martre d'Amérique	Loutre de rivière	Ours noir	Renard roux	Lynx du Canada
C064	10	0	0,2	0	0,1	0	0	0	0	0	0	0	0	0	0
C065	10	0	0	0	0	0	0	0	0	0	0	0	0	0	0,1
C066	10	0	0,2	0	0	0	0	0	0	0	0,1	0	0	1	0
C067	10	0	0,4	0	0	0	0	0	0	0	0	0	0	0	0
C068	10	0	0,1	0	0	0	0	0	0	0	0	0	0	0,3	0
C069	10	0	0	0	0	0	0	0	0	0	0	0	0	0	0
C070	10	0	0,2	0	0	0	0	0	0	0	0	0	0	0	0
C071	10	0	0,5	0	0,1	0	0	0	0	0	0,3	0,2	0	0	0
C072	10	0	0,7	0,1	0,1	0	0	0,2	0	0	0,5	0	0	0	0
C073	10	0,2	0,9	0	0,9	0	0	0	0	0	0,4	0	0	0	0,4
C074	10	0	0,5	0	0	0	0	0	0	0	0,3	0	0	0	0
C075	10	0	0,1	0	0,1	0	0	0	0	0	0	0	0	0	0
C076	10	0,1	0,7	0	0,4	0	0	0	0	0	0,3	0	0	0	0,1
C077	10	0,5	0,2	0	0	0	0	0	0	0	0,6	0	0	0	0,1
C078	10	0,3	0,1	0	0	0	0	0,1	0	0	0,5	0	0	0	0,1
C079	10	0,4	0,3	0	0	0,1	0	0,4	0	0	0,7	0	0	0	0
C080	10	0	0,6	0	0	0	0	0	0	0	0,7	0	0	0	0
C081	10	0,1	0,4	0	0,1	0	0	0,1	0	0	0,1	0	0	0	0
C082	10	0	0	0	0,2	0	0	0	0	0	0,3	0	0	0	0
C083	10	0	0,1	0	0,4	0	0	0	0	0	0,4	0	0	0	0
C084	10	0	0	0	0	0	0	0	0	0	0	0	0	0	0
C085	10	0	0,1	0	0	0	0	0	0	0	0	0	0	0	0
C086	10	0	0,5	0	0,1	0	0	0	0	0	0,2	0	0	0	0
C087	10	0	0,3	0	0,1	0	0	0	0	0	0,4	0	0	0	0
C088	10	0	0,1	0	0,2	0	0	0,1	0	0	0,3	0	0	0	0
C089	10	0	0	0	0	0,1	0	0,2	0	0	0,3	0	0	0	0
C090	9	0,0	0,0	0,0	0,0	0,0	0,0	0,0	0,0	0,0	0,2	0,0	0,0	0,2	0,0
C091	10	0	0	0	0	0	0	0	0	0	0,2	0	0	0,1	0
C092	10	0	0,1	0	0	0,2	0	0	0	0	0,3	0	0	0	0
C093	10	0	0,2	0	0,1	0	0	0	0	0	0,2	0	0	0	0
C094	10	0	0,1	0	0	0	0	0,1	0	0	0	0	0	0	0
C095	10	0	0	0	0	0	0	0	0	0	0	0	0	0	0
C096	10	0	0,4	0	0	0	0	0	0	0	0,1	0	0	0	0

Transect	Nb. de segments	Micro-mammifère sp.	Écureuil roux	Grand polatouche	Lièvre d'Amérique	Porc-épic d'Amérique	Orignal	Belette sp.	Mustélidé sp.	Vison d'Amérique	Martre d'Amérique	Loutre de rivière	Ours noir	Renard roux	Lynx du Canada
C097	10	0	0	0	0	0	0	0	0	0	0,1	0	0	0	0
C098	10	0	0,1	0	0	0	0	0	0	0	0,3	0	0	0	0
C099	10	0	0,5	0	0	0	0	0	0	0	0,3	0,2	0	0	0
C100	10	0	0,1	0	0	0,1	0	0	0	0	0,1	0	0	0	0
C101	10	0	0,6	0	0,2	0	0	0,2	0	0	0,3	0	0	0	0
C102	10	0	0	0	0,1	0	0	0	0	0	0,2	0	0	0	0
C103	10	0,1	0	0	0,3	0	0	0	0	0	0,2	0	0	0	0
C104	10	0	0,3	0	0,3	0	0	0	0	0	0,3	0	0	0	0
C105	10	0	0,3	0	0	0	0	0	0	0	0,1	0	0	0	0
C106	10	0	0,2	0	0,1	0	0	0	0	0	0,2	0	0	0	0
C107	10	0,2	0,4	0	0,5	0	0	0	0	0	0,4	0	0	0	0
C108	10	0	0,2	0	0	0	0	0,1	0	0	0,5	0	0	0	0
C109	10	0	0,5	0	0	0	0	0	0	0	0,4	0	0	0	0
C110	10	0,2	0,1	0	0	0	0	0,3	0	0	0,4	0	0	0	0
C111	10	0	0,3	0	0	0	0	0	0	0	0,4	0	0	0	0
C112	10	0,1	0,6	0	0,1	0	0	0	0	0	0	0	0	0	0
C113	10	0	0	0	0	0	0	0	0	0	0	0	0	0	0
C114	10	0	0,3	0	0,1	0	0	0	0	0	0,1	0	0	0	0
C115	10	0	0,1	0	0,1	0	0	0	0	0	0,1	0	0	0	0
C116	10	0	0,8	0	0,1	0	0	0	0	0	0,3	0	0	0	0
C117	10	0	0,5	0	0	0	0	0,4	0	0	0	0	0	0	0
C118	10	0	0,4	0	0	0	0	0	0	0	0,4	0	0	0	0
C119	10	0	0	0	0	0	0	0	0	0	0	0	0	0	0
C120	10	0	0,1	0	0	0	0	0	0	0	0	0	0	0	0
C121	10	0	0	0	0	0	0	0	0	0	0	0,4	0	0	0
C122	10	0	0	0	0,1	0	0	0	0	0	0	0	0	0	0
C123	10	0	0	0	0	0	0	0	0	0	0	0	0	0	0
C124	10	0	0	0	0	0	0	0	0	0	0	0	0	0	0
C125	10	0	0,3	0	0	0	0	0,1	0	0	0,4	0	0	0	0
C126	10	0	0	0	0	0	0	0	0	0	0	0	0	0	0
C127	10	0	0	0	0	0	0	0	0	0	0	0	0	0	0
C128	10	0	0,5	0	0,2	0	0	0	0	0	0,5	0	0	0	0
C129	10	0	0,2	0	0	0	0	0	0	0	0,1	0	0	0	0

Transect	Nb. de segments	Micro-mammifère sp.	Écureuil roux	Grand polatouche	Lièvre d'Amérique	Porc-épic d'Amérique	Orignal	Belette sp.	Mustélidé sp.	Vison d'Amérique	Martre d'Amérique	Loutre de rivière	Ours noir	Renard roux	Lynx du Canada
C130	10	0,2	0	0	0,2	0	0	0,4	0	0	0,1	0	0	0	0
C131	10	0	0,1	0	0,2	0	0	0,4	0	0	0,5	0	0	0	0
C132	10	0,1	0	0	0,5	0	0	0,5	0	0	0,7	0	0	0	0,1
C133	10	0	0	0	0	0	0	0	0	0	0	0	0	0	0
C134	10	0	0,7	0	0,2	0	0	0,3	0	0	0,5	0	0	0	0
C135	10	0	0,1	0	0,3	0	0	0,4	0	0	0,5	0	0	0	0
C136	10	0,1	0	0	0	0	0	0,2	0	0	0,1	0	0	0	0
C137	10	0	0,4	0	0,3	0	0	0,1	0	0	0,2	0	0	0	0
C138	10	0,4	0,6	0	0	0	0	0	0	0	0,4	0	0	0	0,2
C139	10	0	0	0	0	0	0	0,1	0	0	0,2	0	0	0	0
C140	10	0,1	0,1	0	0,2	0	0	0	0	0	0,4	0	0	0	0
C141	10	0,1	0	0	0	0	0	0	0	0	0,1	0	0	0	0
C142	10	0	0,5	0	0,2	0	0	0	0	0	0,3	0	0	0	0
C143	10	0,2	0	0	0,1	0	0	0	0	0	0	0	0	0	0,1
C144	9	0,0	0,6	0,0	0,6	0,0	0,0	0,0	0,0	0,0	0,0	0,1	0,0	0,0	0,1
C145	10	0,1	0,7	0	0,4	0	0	0	0	0	0,1	0	0	0	0
C146	10	0,2	0,6	0	0,4	0	0	0,1	0	0	0,3	0,1	0	0	0
C147	10	0,4	0,1	0	0,4	0,2	0	0	0	0	0,2	0	0	0	0
C148	10	0,2	0,7	0	0,2	0	0	0,4	0	0	0	0	0	0	0
C149	10	0	0,9	0	0,4	0	0	0	0	0	0,4	0	0	0	0
C150	10	0	1	0	0,6	0	0	0	0	0	0,1	0	0	0,2	0
C151	10	0	1	0	0,6	0	0	0	0	0	0,7	0	0	0,1	0
C152	10	0	0,5	0	0,1	0	0	0	0	0,2	0,6	0	0	0,2	0
C153	10	0	0,7	0,2	0	0	0	0	0	0	0,2	0	0	0	0
C154	10	0	0	0,5	0	0	0	0	0	0	0,1	0	0	0	0
C155	10	0	0,1	0	0,6	0	0	0,2	0	0	0,5	0	0	0	0,2
C156	10	0,2	0,1	0	0,1	0	0	0,6	0	0	0	0	0	0	0
C157	10	0	0,5	0	0,2	0	0	0	0	0	0	0	0	0,2	0
C158	10	0	0,1	0	0,1	0	0	0	0	0	0	0	0	0	0
C159	10	0	1	0	0,3	0	0	0	0	0	0,5	0	0	0,2	0
C160	9	0,0	0,4	0,0	0,2	0,0	0,0	0,0	0,0	0,0	0,2	0,0	0,0	0,0	0,0
Total	**1 607**	**0,05**	**0,23**	**0,01**	**0,12**	**0,00**	**0,00**	**0,08**	**0,00**	**0,00**	**0,18**	**0,01**	**0,00**	**0,06**	**0,01**

3.7 Espèces en situation précaire

Au total, neuf espèces d'oiseaux d'intérêt pour la conservation ont été identifiées lors de l'ensemble des inventaires aviaires en 2023 et 2024 pour un total de 401 mentions (tableau 22, carte 4). Les espèces les plus souvent détectées sont le quiscale rouilleux (153 mentions), le moucherolle à côtés olive (115 mentions) et l'engoulevent d'Amérique (80 mentions). Le hibou des marais et le pygargue à tête blanche ont été pour leur part détectés à 24 et 12 reprises (tableau 22). Les espèces les plus rares sont l'aigle royal, le faucon pèlerin, l'hirondelle de rivage et le petit chevalier avec moins de 7 mentions chacune (tableau 22). L'ensemble des espèces en situation précaire détectées dans la zone d'étude le furent par les sonomètres, tandis que 5 espèces furent également détectées durant les stations d'écoute, 5 par des observations fortuites, 3 durant le survol héliporté et 2 espèces par les stations d'observation crépusculaire. Certaines espèces furent détectées principalement par les sonomètres telles que l'engoulevent d'Amérique avec 64 % des mentions et le hibou des marais (82 %). D'autres espèces comme le moucherolle à côtés olive furent détectées par les stations d'écoute (71 %). Le quiscale rouilleux fut presque autant détecté par les sonomètres que par les stations d'écoute et le moucherolle à cotés olive principalement par les stations d'écoute. Le pygargue à tête blanche fut observé principalement par des observations fortuites (tableau 22). Les inventaires crépusculaires ont permis de repérer 30 % des mentions d'engoulevents d'Amérique.

Les espèces les plus fréquentes et les mieux réparties dans l'ensemble de la zone d'inventaire sont l'engoulevent d'Amérique, le quiscale rouilleux et le moucherolle à côtés olive (carte 4). Le hibou des marais quant à lui est plus rare, mais les mentions sont généralement bien réparties dans l'ensemble de la zone d'inventaire, notamment là où de grands milieux humides arbustifs sont présents (p. ex. des tourbières, carte 4).

De toutes les espèces en situation précaire détectées dans la zone d'inventaire, seul le quiscale rouilleux fut considéré comme un nicheur confirmé avec des mentions d'adultes transportant de la nourriture à des jeunes au nid et de construction de nids. Contrairement aux autres espèces en situation précaire recensées dans la zone d'inventaire du projet, le quiscale rouilleux était présent autant durant les périodes de migrations printanière et automnale que durant la période de reproduction (carte 4).

Au vu des résultats obtenus, l'engoulevent d'Amérique, le moucherolle à côtés olive et le hibou des marais sont considérés comme des nicheurs probables dans la zone d'inventaire. L'engoulevent d'Amérique (détecté principalement dans les habitats en régénération après feux) et le moucherolle à côtés olive (détecté principalement dans les brulis et les marécages et les tourbières) sont présents en abondance dans la zone d'inventaire principalement à la fin du printemps et en période de reproduction, mais sont généralement peu-détectés en automne (carte 4). Les résultats concordent avec ceux des bases de données existantes suggérant que ces deux espèces sont relativement fréquentes dans la zone d'inventaire régionale durant la saison de nidification (eBird 2025).

Concernant le hibou des marais, deux occurrences distinctes en période de reproduction ont été notées dans la zone d'inventaire et quatre autres juste à l'extérieur, dans un rayon de 2 km (carte 4). Une de ces occurrences correspond une nidification probable soit la présence d'un couple fréquemment observé au mois de juin dans un habitat favorable (c-à-d. complexe de tourbières et de marais) à l'est du camp. Les autres mentions sont soit des mâles chanteurs détectés à l'aide de sonomètres (indice de nidification possible) ou d'adultes détectés lors des survols héliportés dans un habitat propice à la nidification (p.ex. observés au sol dans des tourbières).

Le petit chevalier est une espèce possiblement nicheuse dans la zone d'inventaire. Bien que le petit chevalier fût noté dans la zone d'inventaire à deux reprises en période de reproduction à partir du 6 juin (principalement dans des tourbières), il a été détecté principalement au printemps soit probablement durant la migration printanière (carte 4). Les données existantes provenant d'autres sources données ne confirment pas la présence du petit chevalier dans la zone d'étude régionale. L'espèce est toutefois présente en période de nidification au-delà de 50 km de la zone d'inventaire, soit à plusieurs endroits le long de la route du nord au nord-est de la zone d'inventaire où il est considéré comme nicheur probable (eBird 2025).

Concernant l'hirondelle de rivage, les résultats d'inventaires indiquent que l'espèce est présente dans la zone d'inventaire principalement durant la période de reproduction (carte 4). Aucun site de nidification actif ne fut détecté dans la zone d'inventaire par l'équipe terrain, mais la plupart des occurrences proviennent du secteur nord, en bordure du chemin allant au site minier, où un talus sablonneux présent est reconnu, par les employés de la mine, pour abriter une colonie d'hirondelles (C. Moffett, pers. obs.). Les données existantes pour la zone d'étude régionale n'indiquent aucune occurrence de l'espèce, bien que cette dernière espèce soit considérée comme une espèce nicheuse confirmée au réservoir Laforge-2 et est omniprésente tout le long de la route du Nord, au-nord-ouest et au nord-est de la zone d'inventaire (eBird 2025).

L'aigle royal et le faucon pèlerin observés dans la zone d'inventaire ont été détectés uniquement durant la période de migration printanière (carte 4) et sont possiblement des individus migrateurs en raison de la rareté dans la zone d'inventaire de parois rocheuses potentielles pour la nidification ou des oiseaux nichant à l'extérieur de la zone, mais utilisant la zone d'étude pour la chasse. Le pygargue à tête blanche a été observé à plusieurs reprises, mais aucune structure de nidification n'a été identifiée. Bien que ces derniers individus aient été détectés durant la période de nidification (carte 4), l'absence de sites de nidification dans la zone d'inventaire suggère que ces individus sont soit des oiseaux estivants non nicheurs ou des oiseaux nichant à l'extérieur, mais à proximité de la zone d'inventaire pour s'alimenter.

Les inventaires par sonomètres réalisés en 2023 et 2024 suggèrent un nombre d'occurrences plus élevé d'espèces en situation précaire détectées en 2024 qu'en 2023 (tableau 22). Les grands feux de forêt qui ont sévi en 2023 dans le nord du Québec incluant le secteur de la zone d'inventaire sont probablement la raison pour cette rareté en 2023.

Tableau 22. Sommaire des mentions d'espèces en situation précaire détectées selon les différentes techniques d'inventaires en 2023 et 2024

Espèces	Stations d'écoute	Sonomètres*	Stations crépusculaires	Survol héliporté	Observations fortuites	Nbre total de mentions
Aigle royal	0	1 (0)	0	0	0	1
Engoulevent d'Amérique	0	42 (9)	18	1	10	80
Faucon pèlerin	0	0 (2)	0	0	0	2
Hibou des marais	3	17 (0)	0	2	2	24
Hirondelle de rivage	6	1 (0)	0	0	0	7
Moucherolle à côtés olive	79	28 (4)	0	0	4	115
Petit chevalier	0	6 (0)	0	0	1	7
Pygargue à tête blanche	1	1	0	3	7	12
Quiscale rouilleux	79	63 (2)	2	7	0	153
Total	**168**	**176**	**20**	**13**	**24**	**401**

*L'inventaire par sonomètre fut également réalisé en 2023 et les autres en 2024. Le nombre total d'occurrences (nombre de sonomètres avec présence de l'espèce) en 2023 est noté entre parenthèses.

Tableau 23. Désignation et habitats utilisés des espèces en situation précaire détectés dans la zone d'inventaire du projet en 2023 et 2024

Nom français	Nom latin	Statut provincial	Statut fédéral (LEP)**	Statut COSEPAC***	Description habitat préférentiel
Engoulevent d'Amérique	*Chordeiles minor*	SDEMV*	Préoccupante	Préoccupante	Milieux ouverts (peu ou pas de végétation), clairières, affleurements rocheux, plages de gravier, friches, tourbières, parterres de coupes récentes et bancs d'emprunt.
Moucherolle à côtés olive	*Contopus cooperi*	Vulnérable	Préoccupante	Préoccupante	Clairières avec densité de chicots élevée en pleine forêt (mixte ou résineuse), lisières de forêts situées à proximité d'une rivière, d'un marécage ou d'une tourbière, d'une coupe ou d'un brûlis. Aussi, ouvertures à l'intérieur de vieux peuplements forestiers affectés par la tordeuse des bourgeons de l'épinette.
Petit chevalier	*Tringa flavipes*	-	-	Menacé	Niche sur un sol sec près de tourbières, de marais, d'étangs et d'autres milieux humides dans la forêt boréale et la taïga.
Pygargue à tête blanche	*Haliaeetus leucocephalus*	Vulnérable	-	Non en péril	Niche au ¾ de grands arbres vétérans situés à proximité de grandes étendues d'eau. Niche également sur les îles. Chasse au-dessus des plans d'eau.
Aigle royal	*Aquila chrysaetos*	Vulnérable	-	Non en péril	Niche dans de grandes parois verticales de falaises naturelles. Les nids se trouvent souvent à proximité de grands milieux ouverts permettant la chasse tels que des parterres de coupes, tourbières, brulis et plateaux montagneux arbustifs et landes à lichen.
Faucon pèlerin	*Falcon peregrinus*	Vulnérable	Préoccupante	Préoccupante	Niche dans les parois verticales de falaises naturelles, mais aussi d'origine anthropique comme les mines et les carrières. En milieu boréal, les parois occupées sont souvent orientées vers le sud-est ou le sud et face à de grands milieux ouverts offrant des habitats de chasse.
Hibou des marais	*Asio flammeus*	SDEMV	Préoccupante	Préoccupante	En forêt boréale, l'espèce niche principalement dans les milieux humides arbustifs comme les marécages, tourbières ouvertes et brulis récents de plus de 50 ha en superficie.
Quiscale rouilleux	*Euphagus carolinus*	SDEMV	Préoccupante	Préoccupante	Niche surtout dans la forêt boréale où l'espèce préfère les rives des milieux humides, tels les ruisseaux à faible débit, les tourbières, les marais, les marécages, les étangs de castors et les bordures des pâturages. Surtout en bordure des forêts.
Hirondelle de rivage	*Riparia riparia*	-	Menacée	Menacée	Niche essentiellement sur les rives escarpées sablonneuses de cours d'eau du sud jusqu'au nord du Québec. Occupe également les bancs d'emprunt d'origine anthropique et les fossés escarpés sablonneux et talus de sédiments à proximité de chemins forestiers.

*SDDMV: espèce susceptible d'être désignée menacée ou vulnérable
**LEP: Loi sur les espèces en péril au Canada
***COSEPAC: Comité sur le statut des espèces en péril au Canada

Carte 4 - Map 4

Localisation de espèces en situation précaire - Location of species at risk

Route Transtaiga

Chemin / Road

La Grande 3

La Grande 2

La Grande1

L27

Lac 01

Lac de la Corvette

L413 L350 L318 L345 L300 L305 L308 L311 L314 L323 L320 L121 L18 L02 L01 L517 L531 L541 L559 L522 L501 L600 L604

Source des données :
Géobase du réseau hydrographique du Québec (GRHQ), MRNF Québec, 2019
BDTA 1:250 000, MERN Québec, 2021
Découpage administratif, SDA (20K), MRNF Québec, 2024
Réseau routier, Adresse Québec, 2024-02
Végétation, WSP, 2025
Inventaire Groupe Synergis, 2022, 2023, 2024

Note : Cette carte n'a aucune valeur légale, seul un arpenteur-géomètre peut se prononcer sur l'exactitude des informations géographiques.
Note: This map has no legal value, only a land surveyor can comment on the accuracy of the geographical information.

Zone d'inventaire / Survey area
Limite des secteurs / Sector boundary

Observation d'oiseau / Bird watching

Saison / season
- Automne / Autumn
- Printemps / Spring
- Reproduction

Espèces en situation précaire / Species at risk occurrences
- Hibou des marais / Short-eared Owl
- Pygargue à tête blanche / Bald eagle
- Quiscale rouilleux / Rusty Blackbird
- Aigle royal / Golden Eagle
- Engoulevent d'Amérique / Common Nighthawk
- Faucon pèlerin / Peregrine Falcon
- Moucherolle à côtés olive / Olive-sided Flycatcher
- Petit chevalier / Lesser Yellowlegs
- Hirondelle de rivage / Bank Swallow

Hydrographie / Hydrography
- Cours d'eau / Watercourse
- Lac / Lake

Réseau routier / Road network
- Route / Road
- Chemin d'accès existant / Existing access path

1:85 000
0 850 1 700 m
NAD 1983 CSRS MTM 8

Projet Shaakichiuwaanaan / Shaakichiuwaanaan Project

Inventaire de l'avifaune / Bird survey

Niigaan
Projet / Project: 22-0095 / 151022002

2025-07-09

Approuvé par / Approved by :
Carl Savignac

J:\Niigaan\22_0095_Baseline_Corvette_PBM_Baie_James\3_Donnees\Cartographie\Projet_GIS_Compilation2024\04_Avifaune\22_0095_C4_EspecesSituationPrecaire_250709.mxd

3.8 Inventaire d'herpétofaune

Les recherches effectuées aux stations d'écoute d'oiseaux nicheurs en 2024 et l'analyse des sonomètres déployés pour l'avifaune pour 2023 et 2024 (tableau 24, carte 2) ont servi pour décrire l'herpétofaune de la zone d'inventaire par période en fonction des années. Un total de 5 espèces d'anoures a été détecté dans les deux années, soit en ordre d'importance relative: la rainette crucifère, le crapaud d'Amérique, la grenouille du nord, la grenouille des bois et la grenouille léopard (tableau 24). Les occurrences des espèces étaient largement réparties dans la zone d'inventaire pour toutes les espèces (à l'exception de la grenouille léopard). Aucun reptile ne fut détecté dans la zone d'inventaire autant en 2023 qu'en 2024. Aucune espèce d'herpétofaune en situation précaire ne fut relevée durant les inventaires.

Parmi les espèces potentiellement présentes dans la zone d'inventaire, selon les aires de répartition du MELCCFP (2025) Desroches et Rodrigue (2004) et de SHNVSL (2025), la salamandre à points bleus et la salamandre à deux lignes du Nord n'ont pas été détectées lors de l'inventaire. En contrepartie, la grenouille léopard a été détectée dans la zone d'inventaire alors qu'elle ne figurait pas sur la liste des espèces potentielles en raison de son aire de répartition située majoritairement plus au sud dans la zone d'inventaire, car située au-delà de son aire de répartition (SHNVSL, 2025). Selon les aires de distribution connues des différentes espèces du Québec, aucune espèce en situation précaire d'herpétofaune n'occuperait la zone d'étude régionale (Desroches et Rodrigue 2004).

Tableau 24. Occurrence des espèces d'anoures dénombrées à l'aide des dix-huit sonomètres déployés dans la zone d'inventaire en 2023 et 2024

Nom français	Nom latin	Occurrence relative (%)	
		2023	2024
Rainette crucifère	*Pseudacris crucifer*	15	89
Crapaud d'Amérique	*Bufo americanus*	15	89
Grenouille du Nord	*Rana septentrionalis*	15	100
Grenouille des bois	*Rana sylvaticus*	0,1	83
Grenouille léopard	*Rana pipiens*	0,1	0

4 Conclusion

L'inventaire des oiseaux a été conduit dans la zone d'inventaire à l'aide de différentes techniques pendant la période de reproduction, de migration printanière, automnale et hivernale entre 2023 et 2024 dont dix-huit sonomètres, 522 stations de points d'écoute (DRL et IPA) et 24 stations crépusculaires. Entre 51 et 271 points d'écoute par type habitat ont été réalisés dans 5 types d'habitats distribués dans la zone d'inventaire. Lors de la période de reproduction en 2024, les observateurs ont également noté les observations fortuites faites lors des déplacements entre les stations ou hors dénombrement des points d'écoute. Finalement, les oiseaux hivernants dans la zone d'inventaire ont été recensés à l'aide de 160 transects et 483 stations d'écoute.

Toutes saisons confondues, les différentes méthodes d'inventaire ont permis de répertorier 109 espèces d'oiseaux (annexe 6), dont 9 espèces en situation précaire et 94 espèces d'oiseaux migrateurs au sens de la Loi de 1994 sur la Convention concernant les oiseaux migrateurs. La majorité des oiseaux observés était des espèces terrestres (52). De plus, 11 espèces de sauvagines, 8 espèces de limicoles et 10 espèces d'oiseaux aquatiques ont également été relevées dans la zone d'inventaire. Par ailleurs, ce sont 15 espèces d'oiseaux de proie qui ont été détectés, dont 6 espèces nocturnes (strigidés). Les parulines (Parulidae) et les bruants (Passerellidae) sont les deux familles d'oiseaux les mieux représentées en termes de nombre d'espèces avec 11 et 9 espèces respectivement. Fait à noter, les relevés de sonomètre sur deux années d'inventaire ont permis de répertorier 28 espèces additionnelles.

En période de nidification, la densité de couples nicheurs moyenne pour l'ensemble du site d'inventaire est de 35,25 couples/10 ha. Les tourbières boisées et les forêts résineuses mixtes ont des densités de couples supérieures à la moyenne. Les milieux en régénération montrent une densité la plus faible de l'ensemble des groupes d'habitats. L'habitat en régénération incluant les landes à lichen montre la diversité la plus faible. Dans l'ensemble, le nombre d'espèces est similaire à travers tous les types d'habitats sauf pour les forêts de résineux qui montrent une richesse en espèces plus élevée, et ce, autant pour le DRL 50 m que pour l'IPA. Ce type d'habitat inclut plusieurs espèces qui sont uniques ou beaucoup plus fréquentes dans ce milieu, dont la grue du Canada, le merlebleu de l'Est, le bruant chanteur et la paruline à tête cendrée. Les tourbières, bien qu'ayant une richesse en espèces moindre que les habitats résineux, ont plusieurs espèces inféodées aux milieux humides tels que le bruant de Lincoln, la bécassine de Wilson et le bruant des marais.

Les communautés d'oiseaux nicheurs à travers les différents habitats inventoriés sont similaires en ce qui a trait aux espèces dominantes. En effet, nos résultats du nombre d'espèces ou de la densité de couple/10 ha indiquent que le bruant à gorge blanche, le roitelet à couronne rubis, la grive solitaire, le junco ardoisé, le bruant fauve et la paruline à croupion jaune, étaient les espèces les plus abondantes dans l'ensemble de la zone d'inventaire.

Un seul nid actif d'oiseaux de proie fut découvert durant les survols héliportés, soit celui d'une Buse à queue rousse contenant au moins un œuf. L'inventaire des parois rocheuses de la zone d'inventaire n'a résulté d'aucun nid de rapaces, mais d'une plateforme abandonnée de grands corbeaux.

La vaste majorité des espèces observées en période de migration printanière et automnale ont également été détectées en période de reproduction suggérant que les habitats de la zone d'inventaire ont un faible rôle de halte migratoire pour les oiseaux nicheurs plus nordiques. En effet, la plupart des espèces transitant par la zone d'inventaire en migration y restent également pour s'y reproduire. Au printemps, la richesse spécifique et l'abondance d'oiseaux culminent au cours de la dernière semaine de mai et la première semaine de juin. Alors qu'à l'automne la richesse spécifique totale par

semaine chute après la deuxième semaine de septembre et l'abondance des migrateurs était maximale entre la mi et la fin septembre. La bernache du Canada migre à travers la zone d'inventaire autant au printemps qu'en automne, bien que l'espèce soit plus abondante en automne.

Un total de 13 espèces d'oiseaux a été relevé lors de l'inventaire hivernal. Le lagopède des saules et le mésangeai du Canada étant les espèces les plus fréquemment rencontrées.

Au total, neuf espèces en situation précaire ont été identifiées dans la zone d'inventaire en 2023 et 2024, pour un total de 401 mentions. Les espèces les plus fréquentes et les mieux réparties dans l'ensemble de la zone d'inventaire sont l'engoulevent d'Amérique, le quiscale rouilleux et le moucherolle à côtés olive. Le hibou des marais est quant à lui beaucoup moins fréquent, mais les mentions sont généralement bien réparties dans l'ensemble de la zone d'inventaire, notamment là où de grands milieux humides arbustifs sont présents (p. ex. des tourbières). Les espèces à statut les moins fréquentes étaient l'aigle royal, le faucon pèlerin, l'hirondelle de rivage et le petit chevalier avec moins de 7 mentions chacune. Certaines espèces nocturnes ou crépusculaires furent détectées principalement par les sonomètres telles que l'engoulevent d'Amérique et le hibou des marais. D'autres espèces comme le moucherolle à côtés olive furent détectées par les stations d'écoute. Le quiscale rouilleux fit autant détecté par les sonomètres que par les stations d'écoute et le pygargue à tête blanche fut observé principalement durant les survols héliportés. La nidification fut confirmée uniquement pour le quiscale rouilleux avec des mentions d'adultes transportant de la nourriture à des jeunes au nid et de construction de nids. L'engoulevent d'Amérique, le moucherolle à côtés olive et le hibou des marais sont des nicheurs probables dans la zone d'inventaire. L'indice de nidification des autres espèces est possible et concerne possiblement des individus migrateurs ou des oiseaux nichant à l'extérieur de la zone d'inventaire ou d'individus estivants dans la zone.

L'écoute et la recherche active d'herpétofaune ont permis d'observer cinq espèces d'amphibiens (six espèces d'anoures) dans la zone d'inventaire. Chacune de ces espèces (sauf la grenouille léopard) était largement répartie dans la zone d'inventaire et aucune d'entre elles n'est désignée comme étant une espèce en situation précaire.

5 Références

Altman, Bob et Rex Sallabanks. 2012. Olive-sided Flycatcher (Contopus cooperi), The Birds of North America Online (A. Poole, Ed.). Ithaca: Cornell Lab of Ornithology; Retrieved from the Birds of North America Online: Site web: http://bna.birds.cornell.edu/bna/species/502doi:10.2173/bna.502. Consulté en mars 2025

Agence d'évaluation d'impacts du Canada. 2025. Lignes directrices individualisées relatives à l'étude d'impact du projet minier Shaakichiuwaanaan. 31 pages.

Benoit, R., J.-P. Gilbert et S. Côté-Bourgoin, 2021. Complexe de l'Eastmain-Sarcelle-Rupert. Suivi environnemental en phase d'exploitation. Suivi des oiseaux de proie 2021. Rapport d'étude présenté à Hydro-Québec Production par le Consortium Otish, 74 pages + annexes. Référence interne: 21-1527.

Bibby, C. J., N.D. Burgess, D. Hill et S. Mustoe. 2000. Bird census techniques. San Diego, Academic Press inc.

Bordage, D. et N. Plante. 1997. Tendance des effectifs nicheurs de canard noir et de canard colvert au Québec méridional 1985-1995. Série de rapports techniques no 300. Service canadien de la faune, Environnement Canada, région du Québec. Sainte-Foy. 46 pages.

Bordage, D., C. Lepage et S. Orichefski. 2003. Inventaire en hélicoptère du plan conjoint sur le Canard noir au Québec. Rapport annuel printemps 2003. Service canadien de la faune, région du Québec, Environnement Canada. Sainte-Foy. 26 pages.

Buehler, D. A. 2022. Bald Eagle (Haliaeetus leucocephalus), version 2.0. In Birds of the World (P. G. Rodewald and S. G. Mlodinow, Editors). Cornell Lab of Ornithology, Ithaca, NY, USA. Site web : https://doi.org/10.2173/bow.baleag.02. Consulté en mai 2025

Cornell Lab of Ornithology, Oiseaux Canada et Québec Oiseaux. 2025. eBird Canada. Données obtenues via NatureCounts, Oiseaux Canada.

COSEPAC. 2007. Évaluation et Rapport de situation du COSEPAC sur l'Engoulevent d'Amérique (Chordeiles minor) au Canada. Comité sur la situation des espèces en péril au Canada, Ottawa, vi+ 29 pages.

COSEPAC. 2008. Évaluation et Rapport de situation du COSEPAC sur le Hibou des marais (Asio flammeus) au Canada – Mise à jour. Comité sur la situation des espèces en péril au Canada. Ottawa. vii + 28 pages.

COSEPAC. 2013. Évaluation et Rapport de situation du COSEPAC sur l'Hirondelle de rivage (Riparia riparia) au Canada. Comité sur la situation des espèces en péril au Canada. Ottawa. vii + 44 pages. (www.registrelep.gc.ca/Status/Status_f.cfm).

COSEPAC. 2017. Évaluation et Rapport de situation du COSEPAC sur le Quiscale rouilleux (Euphagus carolinus) au Canada. Comité sur la situation des espèces en péril au Canada. Ottawa. xi + 70 p. (http://www.registrelep-sararegistry.gc.ca/default.asp?lang=Fr&n=24F7211B-1)

COSEPAC. 2018. Évaluation et Rapport de situation du COSEPAC sur le Moucherolle à côtés olive (Contopus cooperi) au Canada. Comité sur la situation des espèces en péril au Canada, Ottawa, xii + 62 pages.

COSEPAC. 2020. Évaluation et Rapport de situation du COSEPAC sur le Petit Chevalier (Tringa flavipes) au Canada, Comité sur la situation des espèces en péril au Canada, Ottawa, x + 70 pages.

Côté-Bourgoin, S., J.-P. Gilbert et R. Benoit, 2021. Complexe de l'Eastmain-Sarcelle-Rupert. Suivi environnemental en phase exploitation. Suivi des oiseaux forestiers 2021. Rapport d'étude présenté à Hydro-Québec par le Consortium Otish, 49 p. + annexes. Référence interne : 21-1528.

David, N. 2019. Petite liste commentée des oiseaux du Québec. 29 pages. + annexes.

Desroches J-F. et D. Rodrigue. 2004. Amphibiens et reptiles du Québec et des maritimes. Éditions Michel Quintin. 288 pages.

Données Québec. 2021. Aires de répartition des mammifères terrestres, des reptiles, des amphibiens et des poissons d'eau douce, [Jeu de données], mis à jour le 22 avril 2025

eBird. 2025. Explorateur de sites publics. Site web: https://ebird.org/hotspots, consulté en février 2025.

Eco-recherches inc. 1980. Complément d'information sur les inventaires d'hiver (mammifères et oiseaux occasionnellement vus) au territoire grande-baleine (1975-1979) GB-BIOP-ECO-80-10 Rapport pour: Direction de l'Environnement de l'Hydro-Québec Projet d'aménagement du complexe hydroélectrique Grande rivière de la Baleine. Août 1980.

Gouvernement du Canada. 2025. Registre public des espèces en péril. Site web : https://www.canada.ca/fr/environnement-changement-climatique/services/registre-public-especes-peril.html. Accédé en mars 2025.

Guérette Montminy, A., E. Berthiaume, M. Darveau, S. Cumming, D. Bordage, S. Lapointe et L.V Lemelin. 2009. Répartition de la sauvagine en période de nidification entre les 51° et 58° de latitude nord dans la province de Québec. Rapport technique n° Q14, Canards Illimités Canada – Québec, Québec. 43 pages.

Fink, D., T. Auer, A. Johnston, M. Strimas-Mackey, S. Ligocki, O. Robinson, W. Hochachka, L. Jaromczyk, C. Crowley, K. Dunham, A. Stillman, C. Davis, M. Stokowski, P. Sharma, V. Pantoja, D. Burgin, P. Crowe, M. Bell, S. Ray, I. Davies, V. Ruiz-Gutierrez, C. Wood et A. Rodewald. 2024. eBird Status and Trends, Data Version: 2023; Released: 2025. Cornell Lab of Ornithology, Ithaca, New York.

Jehl Jr., J. R., J. Klima, et R. E. Harris. 2020. Short-billed Dowitcher (Limnodromus griseus), version 1.0. In Birds of the World (A. F. Poole and F. B. Gill, Editors). Cornell Lab of Ornithology, Ithaca, NY, USA. Site web : https://doi.org/10.2173/bow.shbdow.01. Consulté en février 2025

Ministère de l'Environnement, de la Lutte contre les changements climatiques, de la Faune et des Parcs (MELCCFP). 2024. Recueil des protocoles standardisés pour le suivi de la nidification et de la productivité de l'aigle royal au Québec, gouvernement du Québec, Québec, 36 pages + annexes.

Ministère des ressources naturelles et des forêts. 2001. Structure physique des données de la Base de données topographiques et administratives (BDTA 250k), à l'échelle de 1/250 000, Québec, Direction de la cartographie générale et administrative.

Ministère des ressources naturelles et des forêts. Découpages administratifs, [Jeu de données], dans Données Québec, 2018, mis à jour le 23 juin 2025.

Ministère des ressources naturelles et des forêts. Adresses Québec, [Jeu de données], dans Données Québec, 2018b, mis à jour le 02 juillet 2025.

Ministère des ressources naturelles et des forêts. Géobase du réseau hydrographique du Québec (GRHQ), [Jeu de données], dans Données Québec, 2019, mis à jour le 30 avril 2025.

Ministère des ressources naturelles et des forêts. Base de données géographiques et administratives (BDGA 5M) à l'échelle 1/5 000 000. Base de données géographiques et administratives, [Jeu de données], dans Données Québec, 2012, mis à jour le 01 avril 2025.

Oiseaux Canada, Service canadien de la faune et Québec Oiseaux. 2025. Atlas des oiseaux nicheurs du Québec, Données obtenues via NatureCounts, Oiseaux Canada.

Robert, M., M.-H. Hachey, D. Lepage et A.R. Couturier (dir). 2019. Deuxième atlas des oiseaux nicheurs du Québec méridional. Regroupement QuébecOiseaux. Environnement et Changement climatique Canada, Service canadien de la faune et Études d'Oiseaux Canada, Montréal, xxv + 694 pages.

Robertson, G. J. et R. I. Goudie. 2020. Harlequin Duck (Histrionicus histrionicus), version 1.0. In Birds of the World (S. M. Billerman, Editor). Cornell Lab of Ornithology, Ithaca, NY, USA. Site web: https://doi.org/10.2173/bow.harduc.01. Consulté en mars 2025

Scherrer, B. 1982. Biostatistique. G. Morin (Ed). 850 pp.

Société d'histoire naturelle de la vallée du Saint-Laurent (SHNVSL). 2025. Atlas des amphibiens et reptiles du Québec Site web : www.atlasamphibiensreptiles.qc.ca. Accédé en mars 2025

Steenhof, K.1987. Assessing raptor reproductive success and productivity. In: Pendleton, BG.; Millsap, BA.; Cline, KW.; Bird, DM., editors. Raptor management techniques manual. National Wildlife Federation; Washington, D.C., USA. pages 157-170.

Annexe 1

Liste des espèces observées dans la zone d'inventaire et dans la zone d'étude régionale selon la provenance des données, soit eBird (Cornell et coll., 2025) et Atlas des oiseaux nicheurs du Québec (Oiseaux Canada et coll., 2025)

Numéro	Nom français	Nom latin	Nom anglais	Zone d'inventaire		Zone d'étude régionale	
				Atlas[2]	eBird[3]	Atlas	eBird
1	**Aigle royal**[1]	***Aquila chrysaetos***	**Golden Eagle**				x
2	Autour des palombes	*Astur atricapillus*	American Goshawk				x
3	Balbuzard pêcheur	*Pandion haliaetus*	Osprey			x	x
4	Bécasseau minuscule	*Calidris minutilla*	Least Sandpiper			x	x
5	Bécassine de Wilson	*Gallinago delicata*	Wilson's Snipe			x	x
6	Bec-croisé bifascié	*Loxia leucoptera*	White-winged Crossbill			x	x
7	Bec-croisé des sapins	*Loxia curvirostra*	Red Crossbill				x
8	Bernache du Canada	*Branta canadensis*	Canada Goose	x		x	x
9	Bruant à couronne blanche	*Zonotrichia leucophrys*	White-crowned Sparrow			x	x
10	Bruant à gorge blanche	*Zonotrichia albicollis*	White-throated Sparrow	x		x	x
11	Bruant chanteur	*Melospiza melodia*	Song Sparrow				x
12	Bruant de Lincoln	*Melospiza lincolnii*	Lincoln's Sparrow			x	x
13	Bruant des marais	*Melospiza georgiana*	Swamp Sparrow			x	x
14	Bruant des prés	*Passerculus sandwichensis*	Savannah Sparrow			x	x
15	Bruant fauve	*Passerella iliaca*	Fox Sparrow	x		x	x
16	Bruant hudsonien	*Spizelloides arborea*	American Tree Sparrow				x
17	Buse à queue rousse	*Buteo jamaicensis*	Red-tailed Hawk			x	x
18	Canard noir	*Anas rubripes*	American Black Duck			x	x
19	Chevalier grivelé	*Actitis macularius*	Spotted Sandpiper			x	x
20	Chevalier solitaire	*Tringa solitaria*	Solitary Sandpiper			x	x
21	Crécerelle d'Amérique	*Falco sparverius*	American Kestrel			x	x
22	Durbec des sapins	*Pinicola enucleator*	Pine Grosbeak		x	x	x
23	**Engoulevent d'Amérique**	***Chordeiles minor***	**Common Nighthawk**			x	x
24	Épervier brun	Accipiter striatus	Sharp-shinned Hawk				x
25	Faucon émerillon	Falco columbarius	Merlin				x
26	Fuligule à collier	Aythya collaris	Ring-necked Duck			x	
27	Fuligule milouinan	Aythya marila	Greater Scaup			x	x
28	Garrot à œil d'or	Bucephala clangula	Common Goldeneye			x	x
29	Goéland hudsonnien	Larus smithsonianus	American Herring Gull			x	x
30	Grand Chevalier	*Tringa melanoleuca*	Greater Yellowlegs			x	x

Numéro	Nom français	Nom latin	Nom anglais	Zone d'inventaire		Zone d'étude régionale	
				Atlas[2]	eBird[3]	Atlas	eBird
31	Grand Corbeau	*Corvus corax*	Common Raven			x	x
32	Grand Harle	*Mergus merganser*	Common Merganser			x	x
33	Grive à dos olive	*Catharus ustulatus*	Swainson's Thrush	x		x	x
34	Grive à joues grises	*Catharus minimus*	Gray-cheeked Thrush			x	
35	Grive fauve	*Catharus fuscescens*	Veery				x
36	Grive solitaire	*Catharus guttatus*	Hermit Thrush			x	x
37	Harle couronné	*Lophodytes cucullatus*	Hooded Merganser			x	
38	Harle huppé	*Mergus serrator*	Red-breasted Merganser			x	
39	Hirondelle bicolore	*Tachycineta bicolor*	Tree Swallow	x		x	x
40	**Hirondelle de rivage**	***Riparia riparia***	**Bank Swallow**			x	x
41	Jaseur boréal	*Bombycilla garrulus*	Bohemian Waxwing			x	x
42	Jaseur d'Amérique	*Bombycilla cedrorum*	Cedar Waxwing				x
43	Junco ardoisé	*Junco hyemalis*	Dark-eyed Junco			x	x
44	Lagopède des saules	*Lagopus lagopus*	Willow Ptarmigan		x		x
45	Macreuse à front blanc	*Melanitta perspicillata*	Surf Scoter			x	x
46	Martin-pêcheur d'Amérique	*Megaceryle alcyon*	Belted Kingfisher			x	x
47	Merle d'Amérique	*Turdus migratorius*	American Robin			x	x
48	Mésange à tête brune	*Poecile hudsonicus*	Boreal Chickadee			x	x
49	Mésangeai du Canada	*Perisoreus canadensis*	Canada Jay	x		x	x
50	**Moucherolle à côtés olive**	***Contopus cooperi***	**Olive-sided Flycatcher**			x	x
51	Moucherolle à ventre jaune	*Empidonax flaviventris*	Yellow-bellied Flycatcher			x	x
52	Moucherolle des aulnes	*Empidonax alnorum*	Alder Flycatcher	x		x	x
53	Moucherolle tchébec	*Empidonax minimus*	Least Flycatcher			x	
54	Mouette de Bonaparte	*Chroicocephalus philadelphia*	Bonaparte's Gull			x	
55	Nyctale de Tengmalm	*Aegolius funereus*	Boreal Owl				x
56	Paruline à calotte noire	*Cardellina pusilla*	Wilson's Warbler			x	x
57	Paruline à couronne rousse	*Setophaga palmarum*	Palm Warbler			x	
58	Paruline à croupion jaune	*Setophaga coronata*	Yellow-rumped Warbler	x		x	x
59	Paruline à joues grises	*Leiothlypis ruficapilla*	Nashville Warbler				x
60	Paruline à tête cendrée	*Setophaga magnolia*	Magnolia Warbler			x	

Numéro	Nom français	Nom latin	Nom anglais	Zone d'inventaire		Zone d'étude régionale	
				Atlas[2]	eBird[3]	Atlas	eBird
61	Paruline des ruisseaux	*Parkesia noveboracensis*	Northern Waterthrush			x	x
62	Paruline jaune	*Setophaga petechia*	Yellow Warbler			x	x
63	Paruline masquée	*Geothlypis trichas*	Common Yellowthroat			x	x
64	Paruline obscure	*Leiothlypis peregrina*	Tennessee Warbler			x	x
65	Paruline rayée	*Setophaga striata*	Blackpoll Warbler			x	x
66	Paruline verdâtre	*Leiothlypis celata*	Orange-crowned Warbler	x		x	x
67	Petit Garrot	*Bucephala albeola*	Bufflehead			x	x
68	Petite buse	*Buteo platypterus*	Broad-winged Hawk				x
69	Pic à dos noir	*Picoides arcticus*	Black-backed Woodpecker			x	x
70	Pic à dos rayé	*Picoides dorsalis*	American Three-toed Woodpecker			x	x
71	Pic chevelu	*Dryobates villosus*	Hairy Woodpecker			x	x
72	Pic flamboyant	*Colaptes auratus*	Northern Flicker			x	x
73	Pipit d'Amérique	*Anthus rubescens*	American Pipit				x
74	Plectrophane des neiges	*Plectrophenax nivalis*	Snow Bunting				x
75	Plongeon huard	*Gavia immer*	Common Loon			x	x
76	Pluvier semipalmé	*Charadrius semipalmatus*	Semipalmated Plover			x	x
77	**Pygargue à tête blanche**	***Haliaeetus leucocephalus***	**Bald Eagle**			x	x
78	Quiscale bronzé	*Quiscalus quiscula*	Common Grackle			x	
79	**Quiscale rouilleux**	***Euphagus carolinus***	**Rusty Blackbird**			x	x
80	Roitelet à couronne dorée	*Regulus satrapa*	Golden-crowned Kinglet				x
81	Roitelet à couronne rubis	*Corthylio calendula*	Ruby-crowned Kinglet	x		x	x
82	Sarcelle d'hiver	*Anas crecca*	Green-winged Teal			x	
83	Sittelle à poitrine rousse	*Sitta canadensis*	Red-breasted Nuthatch			x	x
84	Sizerin blanchâtre	*Acanthis hornemanni*	Hoary Redpoll				x
85	Sizerin flammé	*Acanthis flammea*	Redpoll			x	x
86	Sterne arctique	*Sterna paradisaea*	Arctic Tern			x	x
87	Sterne pierregarin	*Sterna hirundo*	Common Tern			x	x
88	Tarin des pins	*Spinus pinus*	Pine Siskin			x	
89	Tétras du Canada	*Canachites canadensis*	Spruce Grouse			x	x
90	Troglodyte des forêts	*Troglodytes hiemalis*	Winter Wren			x	x

Numéro	Nom français	Nom latin	Nom anglais	Zone d'inventaire		Zone d'étude régionale	
				Atlas[2]	eBird[3]	Atlas	eBird
91	Viréo à tête bleue	*Vireo solitarius*	Blue-headed Vireo			x	
92	Viréo de Philadelphie	*Vireo philadelphicus*	Philadelphia Vireo			x	x
	Total			10	2	75	80
	Total par secteur			12		92	

1.Les espèces à statut précaire sont en caractères gras
2. Source : Cornell et coll., 2025
3. Source : Oiseaux Canada et coll., 2025

Annexe 2

Données météorologiques de l'inventaire par station d'écoute (DRL et IPA)

Date	Grille	Station	ID station	Heure	Temp	Nébulosité[1]	Vent[2]	Son[3]
2024-06-13	13	1	1301	8h31	18	3	2-4	3
2024-06-13	13	2	1302	8h58	18	4 (quelques gouttes)	2-4	3
2024-06-13	13	3	1303	9h23	18	4	0	4
2024-06-12	13	4	1304	9h30	18	0	4	3
2024-06-12	13	5	1305	9h51	18	0	3-4	3
2024-06-12	13	6	1306	8h46	17	0	3	3
2024-06-20	13	7	1307	8h05	10	2	2	2
2024-06-12	13	8	1308	8h12	17	0	2	2
2024-06-12	13	9	1309	8h45	17	0	3-4	3
2024-06-12	13	10	1310	7h40	17	0	2	0
2024-06-12	13	11	1311	8h17	16	0	3	3
2024-06-12	13	12	1312	7h37	16	0	1	1
2024-06-12	13	13	1313	7h10	16	0	1	0
2024-06-12	13	14	1314	6h39	15	0	2	0
2024-06-12	13	15	1315	5h27	6	0	0	0
2024-06-12	13	16	1316	5h35	12	0	1	0
2024-06-12	13	17	1317	6h10	12	0	2	0
2024-06-12	13	18	1318	4h56	4	0	0	0
2024-06-12	14	1	1401	5h05	11	0	1	0
2024-06-12	14	2	1402	4h28	11	0	1	0
2024-06-12	14	3	1403	4h26	0	0	0	0
2024-06-14	14	4	1404	5h44	7	3	2-4	3 (vent)
2024-06-14	14	5	1405	5h20	7	3	3-4	3 (vent)
2024-06-14	14	6	1406	6h45	7	3	2-4	4 (vent)
2024-06-14	14	7	1407	6h15	7	3	2-4	3 (vent)
2024-06-14	14	8	1408	4h52	7	3	2-4	2 (vent)
2024-06-14	14	9	1409	7h21	7	3	2-3	2
2024-06-14	14	10	1410	7h58	7	3	2-4	3 (vent)
2024-06-14	14	11	1411	9h30	7	3	3-4	3 (vent)
2024-06-14	14	12	1412	9h41	9	3	2	2
2024-06-14	14	13	1413	8h30	7	3	3-4	3 (vent)
2024-06-14	14	14	1414	9h00	7	3	3-4	3 (vent)
2024-06-14	14	15	1415	9h16	7	3	2-3	3
2024-06-14	14	16	1416	7h48	7	3	2	2
2024-06-14	14	17	1417	8h17	7	3	2-3	3
2024-06-14	14	18	1418	8h44	8	3	2-3	2
2024-06-18	16	1	1601	8h08	20	0	2	1

Date	Grille	Station	ID station	Heure	Temp	Nébulosité[1]	Vent[2]	Son[3]
2024-06-18	16	2	1602	7h41	18	0	1	0
2024-06-18	16	3	1603	7h18	14	0	2	1
2024-06-18	16	4	1604	8h35	23	0	1	1
2024-06-18	16	5	1605	9h07	15	0	1	1
2024-06-18	16	6	1606	6h52	13	0	2	2
2024-06-18	16	7	1607	7h55	11	0	1	0
2024-06-18	16	8	1608	8h30	14	0	0	0
2024-06-18	16	9	1609	6h18	9	0	0	0
2024-06-18	16	10	1610	7h23	9	0	2	1
2024-06-18	16	11	1611	6h50	10	0	1	0
2024-06-18	16	12	1612	5h50	7	0	3	3
2024-06-18	16	13	1613	5h43	10	0	1	0
2024-06-18	16	14	1614	6h16	7	0	1	0
2024-06-18	16	15	1615	5h08	7	0	0	0
2024-06-18	16	16	1616	5h15	5	0	1	0
2024-06-18	16	17	1617	4h45	4	0	1	0
2024-06-18	16	18	1618	4h37	6	0	1	0
2024-06-16	17	1	1701	5h32	2	2	1	0
2024-06-16	17	2	1702	5h01	0	2	0	0
2024-06-16	17	3	1703	4h20	0	2	0	0
2024-06-16	17	4	1704	6h00	8	2	1	0
2024-06-16	17	5	1705	8h17	18	2	2	1
2024-06-16	17	6	1706	7h50	15	3	2	2
2024-06-16	17	7	1707	6h28	8	2	1	1
2024-06-16	17	8	1708	6h58	14	3	1	1
2024-06-16	17	9	1709	7h25	14	3	2	2
2024-06-17	17	10	1710	5h09	12	3	1	1
2024-06-17	17	11	1711	5h46	13	4	1	2
2024-06-17	17	12	1712	4h38	12	3	1	1
2024-06-17	17	13	1713	6h56	12	3-4	0	2
2024-06-17	17	14	1714	6h13	12	4	1	2
2024-06-17	17	16	1716	7h22	12	3	2	2
2024-06-17	17	17	1717	7h48	13	3	3	2-3
2024-06-17	17	18	1718	8h19	13	4-5	2	3
2024-06-20	22	1	2201	8h56	14	2	2-3	2
2024-06-20	22	2	2202	8h35	14	1	2-3	2
2024-06-20	22	3	2203	8h11	12	2	2-3	2

Date	Grille	Station	ID station	Heure	Temp	Nébulosité[1]	Vent[2]	Son[3]
2024-06-20	22	4	2204	9h18	11	1	2-4	3 (vent)
2024-06-20	22	5	2205	9h32	14	1	3	3
2024-06-20	22	6	2206	8h29	10	2	3-4	2-3
2024-06-20	22	7	2207	8h53	10	2	3-4	3
2024-06-20	22	9	2209	8h01	8	2	1	1
2024-06-12	22	12	2212	7h07	14	0	1	1
2024-06-20	22	13	2213	8h32	10	1	2	1
2024-06-20	22	14	2214	9h01	14	1	3	3
2024-06-12	22	15	2215	6h27	12	0	1	0
2024-06-12	22	17	2217	5h59	10	0	0	0
2024-06-13	23	1	2301	8h07	15	3	3	3 (vent)
2024-06-13	23	2	2302	8h35	15	3-4	3	3 (vent)
2024-06-13	23	3	2303	9h09	15	4	2	0
2024-06-16	23	4	2304	4h06	0	1	0	0
2024-06-16	23	5	2305	4h11	4	2	1	0
2024-06-16	23	6	2306	4h38	4	2	1	0
2024-06-16	23	7	2307	5h43	4	1	1	0
2024-06-16	23	8	2308	5h07	4	1	1	0
2024-06-16	23	9	2309	4h59	1	1	0	0
2024-06-16	23	10	2310	8h01	11	2	2-3	2
2024-06-16	23	11	2311	6h19	6	2	2	2
2024-06-16	23	12	2312	5h27	3	1	1	0
2024-06-16	23	13	2313	7h34	11	2	2	1
2024-06-16	23	14	2314	6h47	7	2	2	2
2024-06-16	23	15	2315	5h54	7	1	1	1
2024-06-16	23	16	2316	7h06	8	2	2	1
2024-06-16	23	17	2317	7h14	8	2	2	2
2024-06-16	23	18	2318	6h28	8	1	1	3
2024-06-16	23	21	2321	7h47	10	2	2	3
2024-06-16	23	22	2322	8h16	12	2	2	2
2024-06-16	26	1	2601	4h26	0	1	1	0
2024-06-16	26	2	2602	8h37	18	2	1	1
2024-06-16	26	3	2603	8h08	15	2	1	0
2024-06-16	26	4	2604	4h57	0	1	0	0
2024-06-16	26	5	2605	6h32	8	1	0	0
2024-06-16	26	6	2606	7h40	14	2	3	2
2024-06-16	26	7	2607	5h26	2	1	0	0

Date	Grille	Station	ID station	Heure	Temp	Nébulosité[1]	Vent[2]	Son[3]
2024-06-16	26	8	2608	6h02	8	2	0	0
2024-06-16	26	9	2609	7h13	14	2	1	0
2024-06-17	26	10	2610	4h46	12	3	0	0
2024-06-17	26	11	2611	8h45	14	4	0	0
2024-06-17	26	12	2612	6h09	14	4	0	1
2024-06-17	26	13	2613	8h25	13	4	2	1
2024-06-17	26	14	2614	5h20	12	3	0	1
2024-06-17	26	15	2615	5h47	13	4	1	1
2024-06-17	26	16	2616	7h55	12	4	2	1
2024-06-17	26	17	2617	7h30	12	4	0	1
2024-06-17	26	18	2618	7h05	12	4	2	1
2024-06-18	35	1	3501	7h47	10	0	1	2
2024-06-18	35	2	3502	7h20	8	0	0	1
2024-06-18	35	3	3503	8h20	12	0	1	2
2024-06-18	35	4	3504	6h36	7	0	0	3
2024-06-18	35	5	3505	8h10	13	0	2	3
2024-06-18	35	6	3506	6h12	7	0	1	3
2024-06-18	35	7	3507	7h07	11	0	2	3
2024-06-18	35	8	3508	7h36	11	0	2	3
2024-06-18	35	9	3509	5h41	6	0	0	4
2024-06-18	35	10	3510	6h36	8	0	2	2
2024-06-18	35	11	3511	6h03	7	0	1	2
2024-06-18	35	12	3512	5h10	4	0	1	1
2024-06-18	35	13	3513	5h04	7	0	1	2
2024-06-18	35	14	3514	5h32	7	0	1	0
2024-06-18	35	15	3515	4h33	5	0	0	1
2024-06-18	35	16	3516	4h38	7	0	1	1
2024-06-18	35	17	3517	4h10	7	0	1	2
2024-06-18	35	18	3518	4h04	4	0	0	0
2024-06-17	36	1	3601	4h25	13	3	1	2
2024-06-17	36	2	3602	4h10	14	3	0	2
2024-06-17	36	3	3603	4h41	14	3	1	3
2024-06-17	36	4	3604	5h39	14	4 (bruine)	1	2
2024-06-17	36	5	3605	5h10	14	3	1	2
2024-06-17	36	6	3606	5h12	14	3	2	3
2024-06-17	36	7	3607	6h39	14	4 (légère pluie)	2	3
2024-06-17	36	8	3608	6h08	14	4 (bruine)	2	2

Date	Grille	Station	ID station	Heure	Temp	Nébulosité[1]	Vent[2]	Son[3]
2024-06-17	36	9	3609	5h48	15	4	1-2	3
2024-06-17	36	10	3610	7h10	14	3	2	2
2024-06-17	36	11	3611	7h40	14	4 (bruine)	3	3
2024-06-17	36	12	3612	6h12	15	4	1	2
2024-06-17	36	13	3613	8h21	13	4	3	3
2024-06-17	36	14	3614	7h16	13	3-4	1	2
2024-06-17	36	15	3615	6h52	13	4	2	2
2024-06-17	36	17	3617	7h48	14	3-4	2	2
2024-06-17	36	18	3618	8h25	14	3-4	2	2
2024-06-19	44	2	4402	7h10	24	1	1	3
2024-06-19	44	3	4403	7h38	25	0	2	2
2024-06-19	44	4	4404	6h44	24	1	1	3
2024-06-19	44	5	4405	6h15	22	1	1	3
2024-06-19	44	7	4407	8h11	24	0	3	3
2024-06-19	44	8	4408	5h52	22	1	1	2
2024-06-19	44	9	4409	6h26	21	1	0	2
2024-06-19	44	10	4410	7h24	22	0	0	1
2024-06-19	44	11	4411	5h26	22	1	2	1
2024-06-19	44	12	4412	5h59	20	1	0	0
2024-06-19	44	13	4413	7h49	25	0	1	2
2024-06-19	44	14	4414	5h00	20	2	1	2
2024-06-19	44	15	4415	5h30	19	1	0	0
2024-06-19	44	16	4416	8h19	28	1	2-3	2
2024-06-19	44	17	4417	4h58	18	1	1	0
2024-06-19	44	18	4418	8h48	28	0	3-4	3
2024-06-14	62	1	6201	4h52	7	3	2	1
2024-06-14	62	2	6202	4h23	7	3	2	1
2024-06-14	62	3	6203	4h17	14	3	2	1
2024-06-14	62	4	6204	5h19	7	3	1	0
2024-06-14	62	5	6205	5h46	7	3	3	2
2024-06-14	62	6	6206	6h53	8	3	2	1
2024-06-14	62	7	6207	6h26	8	3	2	1
2024-06-14	62	8	6208	4h54	12	3	3	2
2024-06-14	62	9	6209	5h29	13	3	1	0
2024-06-14	62	10	6210	7h29	8	3	3	2
2024-06-14	62	11	6211	8h01	9	3	3	2
2024-06-14	62	12	6212	6h09	12	3	1	0

Date	Grille	Station	ID station	Heure	Temp	Nébulosité[1]	Vent[2]	Son[3]
2024-06-14	62	13	6213	8h33	9	3	3	2
2024-06-14	62	14	6214	8h52	14	3	0	0
2024-06-14	62	15	6215	6h35	12	3	2	1
2024-06-14	62	16	6216	8h14	14	3	3	2
2024-06-14	62	17	6217	7h38	12	3	3	2
2024-06-14	62	18	6218	7h06	14	3	2	1
2024-06-15	70	1	7001	6h23	4	3	2	2
2024-06-15	70	2	7002	6h57	4	3	2	2
2024-06-15	70	3	7003	7h26	5	3	2	2
2024-06-15	70	4	7004	5h53	4	3	4	3
2024-06-15	70	5	7005	7h56	6	3	2	2
2024-06-15	70	6	7006	8h23	7	3	2	2
2024-06-15	70	7	7007	7h38	6	3	3	2
2024-06-15	70	8	7008	5h23	3	3	3	3
2024-06-15	70	9	7009	4h49	3	3	3	3
2024-06-15	70	10	7010	8h09	8	3	2	3
2024-06-15	70	11	7011	8h35	8	3	3	3
2024-06-15	70	12	7012	9h03	9	3	2	3
2024-06-15	70	14	7014	6h40	6	3	4	4
2024-06-15	70	15	7015	6h05	6	3	2	2
2024-06-15	70	16	7016	4h36	6	3	3	2
2024-06-15	70	17	7017	5h03	6	3	3	3
2024-06-15	70	18	7018	5h31	6	3	2	2
2024-06-12	71	1	7101	4h24	1	0	0	0
2024-06-12	71	2	7102	4h38	1	0	0	0
2024-06-12	71	3	7103	5h16	4	0	0	0
2024-06-12	71	4	7104	5h15	4	0	0	0
2024-06-12	71	5	7105	5h42	8	0	0	0
2024-06-12	71	6	7106	6h09	10	0	0	2
2024-06-12	71	7	7107	5h55	10	0	0	0
2024-06-12	71	8	7108	6h40	11	0	0	0
2024-06-12	71	9	7109	7h09	15	1	1	1
2024-06-12	71	10	7110	6h40	11	0	0	0
2024-06-12	71	11	7111	8h02	20	0	0	1
2024-06-12	71	12	7112	7h34	16	0	0	1
2024-06-12	71	13	7113	7h20	15	0	0	0
2024-06-12	71	14	7114	8h32	22	0	1	2

Date	Grille	Station	ID station	Heure	Temp	Nébulosité[1]	Vent[2]	Son[3]
2024-06-12	71	15	7115	9h03	24	0	2	2
2024-06-12	71	16	7116	8h00	16	0	1	1
2024-06-12	71	17	7117	8h35	20	0	1	1
2024-06-12	71	18	7118	9h05	22	0	2	2
2024-06-22	86	1	8601	6h52	11	0	0	2
2024-06-22	86	2	8602	6h27	11	0	0	0
2024-06-22	86	3	8603	5h58	8	0	0	0
2024-06-22	86	4	8604	7h16	13	0	2	2
2024-06-22	86	5	8605	7h43	18	0	1-2	2-3
2024-06-22	86	6	8606	5h31	6	0	0	0
2024-06-22	86	7	8607	7h21	11	0	1	1
2024-06-22	86	8	8608	6h28	7	0	0	0
2024-06-22	86	9	8609	5h10	5	0	0	1
2024-06-22	86	10	8610	6h55	8	0	1	1
2024-06-22	86	11	8611	6h04	6	0	0	0
2024-06-22	86	12	8612	4h39	6	0	0	0
2024-06-22	86	13	8613	5h08	5	0	0	0
2024-06-22	86	14	8614	5h39	5	0	0	0
2024-06-22	86	15	8615	4h15	5	0	0	0
2024-06-22	86	16	8616	4h42	3	0	0	0
2024-06-22	86	17	8617	4h18	5	0	0	0
2024-06-21	86	18	8618	8h24	14	2	2	0
2024-06-21	87	1	8701	6h57	8	3	0	0
2024-06-21	87	2	8702	7h23	8	3	1	2
2024-06-21	87	3	8703	7h54	12	2	1	2
2024-06-21	87	4	8704	6h31	8	3	2	0
2024-06-21	87	5	8705	4h15	4	3	1	0
2024-06-21	87	6	8706	4h44	6	3	1	0
2024-06-21	87	7	8707	6h00	7	3	1	0
2024-06-21	87	8	8708	5h38	6	3	0	0
2024-06-21	87	9	8709	5h14	6	3	2	1
2024-06-20	87	10	8710	8h33	10	2	3	2
2024-06-20	87	11	8711	5h24	4	1	1	1
2024-06-20	87	12	8712	4h59	5	0	1	1
2024-06-20	87	13	8713	4h27	4	0	2	1
2024-06-20	87	14	8714	5h49	6	3	1	1
2024-06-20	87	15	8715	7h45	9	3	1	2

Date	Grille	Station	ID station	Heure	Temp	Nébulosité[1]	Vent[2]	Son[3]
2024-06-20	87	16	8716	6h18	7	3	2	1
2024-06-20	87	17	8717	6h45	8	3	1	2
2024-06-20	87	18	8718	7h16	9	2	1	2
2024-06-21	96	1	9601	8h12	11	3	2	1
2024-06-21	96	2	9602	7h46	9	3	2	1
2024-06-21	96	3	9603	7h10	10	3	2	1
2024-06-21	96	4	9604	4h26	4	3	0	0
2024-06-21	96	5	9605	6h20	9	3	1	1
2024-06-21	96	6	9606	6h44	9	3	2	1
2024-06-21	96	7	9607	4h54	5	3	0	0
2024-06-21	96	8	9608	5h52	8	3	2	1
2024-06-21	96	9	9609	5h21	6	3	1	0
2024-06-20	96	10	9610	8h29	10	3	2	1
2024-06-20	96	11	9611	8h02	10	3	2	1
2024-06-20	96	12	9612	7h34	10	1	2	1
2024-06-20	96	13	9613	4h38	4	0	2	0
2024-06-20	96	14	9614	6h31	7	3	1	0
2024-06-20	96	15	9615	6h56	10	2	2	1
2024-06-20	96	16	9616	5h05	5	0	1	0
2024-06-20	96	17	9617	5h33	4	3	1	0
2024-06-20	96	18	9618	6h01	4	3	1	0
2024-06-16	98	1	9801	9h22	20	3	2	1
2024-06-16	98	2	9802	9h12	15	3	3	2
2024-06-16	98	3	9803	9h45	16	3	3	2
2024-06-16	98	4	9804	8h53	20	3	1	0
2024-06-16	98	5	9805	8h47	15	3	2	2
2024-06-16	98	6	9806	8h19	15	3	2	1
2024-06-16	98	7	9807	8h21	20	3	0	0
2024-06-16	98	8	9808	7h52	14	3	3	2
2024-06-16	98	9	9809	7h32	18	2	2	1
2024-06-16	98	10	9810	7h58	20	2	1	1
2024-06-16	98	11	9811	7h24	13	3	2	1
2024-06-16	98	12	9812	6h59	12	2	1	1
2024-06-16	98	13	9813	6h56	14	1	0	0
2024-06-16	98	14	9814	5h04	3	1	0	1
2024-06-16	98	15	9815	4h56	8	2	0	0
2024-06-16	98	16	9816	4h35	4	1	0	0

Date	Grille	Station	ID station	Heure	Temp	Nébulosité[1]	Vent[2]	Son[3]
2024-06-16	98	17	9817	5h26	8	1	0	0
2024-06-16	98	18	9818	4h21	8	2	1	0
2024-06-18	99	1	9901	5h00	2	0	0	0
2024-06-18	99	2	9902	4h33	6	0	0	0
2024-06-18	99	3	9903	4h05	6	0	0	0
2024-06-18	99	4	9904	6h04	10	0	0	0
2024-06-18	99	5	9905	5h36	6	0	0	0
2024-06-18	99	6	9906	4h13	6	0	0	0
2024-06-18	99	7	9907	6h33	6	0	0	0
2024-06-18	99	8	9908	4h38	6	0	0	0
2024-06-18	99	9	9909	7h02	8	0	0	0
2024-06-18	99	10	9910	7h33	14	0	0	1
2024-06-18	99	11	9911	5h09	6	0	0	0
2024-06-18	99	12	9912	7h32	11	0	0	0
2024-06-18	99	13	9913	7h10	14	0	0	0
2024-06-18	99	14	9914	8h00	12	0	0	0
2024-06-18	99	15	9915	6h47	13	0	0	0
2024-06-18	99	16	9916	5h36	7	0	0	0
2024-06-18	99	17	9917	6h25	9	0	0	0
2024-06-18	99	18	9918	6h01	7	0	0	0
2024-06-12	104	1	10401	7h35	21	0	2	3
2024-06-12	104	2	10402	7h05	21	0	2	2
2024-06-12	104	3	10403	8h02	20	0	2	2
2024-06-12	104	4	10404	6h40	18	0	1	2
2024-06-12	104	5	10405	6h23	11	0	1	0
2024-06-12	104	6	10406	8h29	21	0	2	0
2024-06-12	104	7	10407	6h10	15	0	1	0
2024-06-12	104	8	10408	5h47	9	0	0	0
2024-06-12	104	9	10409	6h59	15	0	0	1
2024-06-12	104	10	10410	5h39	10	0	0	0
2024-06-12	104	11	10411	5h18	8	0	0	0
2024-06-12	104	12	10412	7h26	16	0	1	1
2024-06-12	104	13	10413	5h13	7	0	0	0
2024-06-12	104	14	10414	4h55	6	0	0	0
2024-06-12	104	15	10415	7h50	18	0	1	1
2024-06-12	104	16	10416	4h31	5	0	0	0
2024-06-12	104	17	10417	4h26	6	0	0	0

Date	Grille	Station	ID station	Heure	Temp	Nébulosité[1]	Vent[2]	Son[3]
2024-06-12	104	18	10418	8h21	20	0	1	0
2024-06-15	107	1	10701	9h39	9	2	2	1
2024-06-15	107	2	10702	7h55	5	3	3	2
2024-06-15	107	3	10703	9h08	8	2	2	2
2024-06-15	107	4	10704	8h40	6	3	2	1
2024-06-15	107	5	10705	7h18	3	3	2	1
2024-06-15	107	6	10706	7h47	4	3	3	1
2024-06-15	107	7	10707	6h49	2	3	2	2
2024-06-15	107	8	10708	7h13	3	3	2	0
2024-06-15	107	9	10709	6h51	4	3	2	1
2024-06-15	107	10	10710	8h27	6	3	3-4	0
2024-06-15	107	11	10711	9h03	10	2	3	1
2024-06-15	107	12	10712	6h27	4	3	3	0
2024-06-15	107	13	10713	5h13	3	3	3	2
2024-06-15	107	14	10714	5h42	3	3	3	2
2024-06-15	107	15	10715	6h00	4	3	2-3	0
2024-06-15	107	16	10716	4h48	2	3	3	2
2024-06-15	107	17	10717	5h13	3	3	3-4	0
2024-06-15	107	18	10718	5h37	3	3	2-3	0
2024-06-17	108	1	10801	4h28	14	3	1	0
2024-06-17	108	2	10802	5h01	16	3	0	0
2024-06-17	108	3	10803	5h33	16	3	0	0
2024-06-17	108	4	10804	7h05	16	5	0	2
2024-06-17	108	5	10805	6h32	8	3	0	0
2024-06-17	108	6	10806	6h00	16	4	0	0
2024-06-17	108	7	10807	4h49	10	3	0	0
2024-06-17	108	8	10808	5h19	11	3	0	0
2024-06-17	108	9	10809	7h52	16	3	2	1
2024-06-17	108	10	10810	5h47	11	3	0	0
2024-06-17	108	11	10811	8h26	14	4	0	1
2024-06-17	108	12	10812	8h52	14	5	2	1
2024-06-17	108	13	10813	6h22	11	4 (très faible pluie)	0	0
2024-06-17	108	15	10815	8h27	12	3-4	2	1
2024-06-17	108	16	10816	6h50	12	4 (très faible pluie)	1	1
2024-06-17	108	17	10817	7h29	12	3	2	1
2024-06-17	108	18	10818	7h59	12	3	3	2
2024-06-21	110	1	11001	7h29	10	3	1	3

Date	Grille	Station	ID station	Heure	Temp	Nébulosité[1]	Vent[2]	Son[3]
2024-06-21	110	2	11002	7h02	10	3	2	2
2024-06-21	110	3	11003	6h38	10	3	2	1
2024-06-21	110	4	11004	7h54	11	2	1	3
2024-06-21	110	5	11005	5h38	8	2	2	1
2024-06-21	110	6	11006	5h14	8	3	2	1
2024-06-21	110	7	11007	8h00	10	3	1	2
2024-06-21	110	8	11008	7h35	9	3	1	2
2024-06-21	110	9	11009	4h52	7	3	2-3	1
2024-06-21	110	10	11010	8h22	13	2	3	1
2024-06-21	110	11	11011	7h14		3	2	1
2024-06-21	110	12	11012	4h28	7	2	2	1
2024-06-21	110	13	11013	5h58	6	3	1	0
2024-06-21	110	14	11014	6h47	8	3	2	2
2024-06-21	110	15	11015	4h02	8	3	0	1
2024-06-21	110	16	11016	5h20	6	3	1	0
2024-06-21	110	17	11017	4h50	6	3	1	0
2024-06-21	110	18	11018	4h17	5	3	3	1-2
2024-06-19	111	1	11101	6h43	21	1	3	2
2024-06-19	111	2	11102	5h54	19	1	0	0
2024-06-19	111	3	11103	7h08	22	1	3	2
2024-06-19	111	4	11104	7h40	23	1	3	2
2024-06-19	111	5	11105	8h10	26	1	3	2
2024-06-20	111	8	11108	5h14		2	1	0
2024-06-20	111	10	11110	5h45	5	3	3	2
2024-06-20	111	12	11112	6h32	7	3	2	1
2024-06-20	111	13	11113	6h06	6	3	3	2
2024-06-20	111	14	11114	7h04	8	2	3	2
2024-06-20	111	16	11116	7h31	6	1	4-5	2
2024-06-20	111	17	11117	7h55	9	1	3 rafale 4-5	2
2024-06-20	111	18	11118	8h19	10	2	4 rafale 5-6	3
2024-06-13	113	1	11301	6h46	16	3	3	2
2024-06-13	113	2	11302	7h44	17	3	3	2
2024-06-13	113	3	11303	6h20	16	3	2	1
2024-06-13	113	4	11304	7h19	17	3	2	1
2024-06-13	113	5	11305	8h19	18	3	2	1
2024-06-13	113	6	11306	8h50	19	3	1	2
2024-06-13	113	7	11307	5h32	16	3	1	1

Date	Grille	Station	ID station	Heure	Temp	Nébulosité[1]	Vent[2]	Son[3]
2024-06-13	113	8	11308	7h11	17	2	1	1
2024-06-13	113	9	11309	6h46	16	3	2	1
2024-06-13	113	10	11310	5h04	14	3	3	2
2024-06-13	113	11	11311	7h39	18	3	2	0
2024-06-13	113	12	11312	6h18	16	3	2	0
2024-06-13	113	13	11313	4h22	15	3	3	2
2024-06-13	113	14	11314	8h08	19	2	1	1
2024-06-13	113	15	11315	5h55	17	3	2-3	0
2024-06-13	113	16	11316	4h25	15	2	3-4	0
2024-06-13	113	17	11317	5h00	15	3	3-4	0
2024-06-13	113	18	11318	5h25	16	3	3-4	0
2024-06-14	114	1	11401	4h20	7	3	3	2
2024-06-14	114	2	11402	4h54	7	3	3	2
2024-06-14	114	3	11403	5h19	8	3	3	2
2024-06-14	114	4	11404	4h19	9	3	2-3	0
2024-06-14	114	5	11405	6h08	9	3	2	1
2024-06-14	114	6	11406	5h43	8	3	2	1
2024-06-14	114	7	11407	4h47	9	3	2	0
2024-06-14	114	8	11408	6h43	9	3	2	1
2024-06-14	114	9	11409	7h12	9	3	2	1
2024-06-14	114	10	11410	5h14	9	3	3	0
2024-06-14	114	11	11411	8h34	9	3	3	2
2024-06-14	114	12	11412	7h57	9	3	2	1
2024-06-14	114	13	11413	5h41	8	3	3	0
2024-06-14	114	14	11414	7h55	9	3	3	0
2024-06-14	114	15	11415	7h32	9	3	4	0
2024-06-14	114	16	11416	6h07	9	3	3	0
2024-06-14	114	17	11417	7h03	9	3	2	0
2024-06-14	114	18	11418	6h32	9	3	3	2
2024-06-21	119	1	11901	6h11	10	2	1	2
2024-06-22	119	2	11902	7h15	9	0	0	1
2024-06-22	119	3	11903	6h49	8	0	1	1
2024-06-22	119	4	11904	8h09	12	0	2	1
2024-06-22	119	5	11905	7h42	10	0	2	0
2024-06-22	119	6	11906	6h25	8	0	0	0
2024-06-22	119	7	11907	8h15	12	1	4	3
2024-06-22	119	9	11909	5h59	7	0	0	0

Date	Grille	Station	ID station	Heure	Temp	Nébulosité[1]	Vent[2]	Son[3]
2024-06-22	119	10	11910	7h45	11	1	4	3
2024-06-22	119	12	11912	5h29	6	0	0	0
2024-06-22	119	13	11913	7h00	8	1	1	2
2024-06-22	119	14	11914	6h00	6	0	1	0
2024-06-22	119	15	11915	5h00	5	0	0	0
2024-06-22	119	16	11916	4h55	1	0	0	0
2024-06-22	119	17	11917	5h27	4	0	1	0
2024-06-22	119	18	11918	4h32	4	0	0	0
2024-06-19	120	1	12001	5h40	19	1	1	1
2024-06-19	120	2	12002	6h08	19	1	0	2
2024-06-19	120	3	12003	6h36	20	1	1	2
2024-06-20	120	4	12004	4h37	3	1	2	0
2024-06-19	120	6	12006	7h09	20	0	1	2
2024-06-19	120	7	12007	8h11	24	1	2	3
2024-06-19	120	8	12008	8h41	26	0	2	3
2024-06-19	120	9	12009	7h38	22	0	2-3	2
2024-06-20	120	10	12010	7h16	9	1	2-3	0
2024-06-20	120	11	12011	6h53	8	2	2-3	0
2024-06-20	120	12	12012	6h27	7	2	2	1
2024-06-20	120	13	12013	7h40	10	1	2-3	2
2024-06-20	120	14	12014	5h38	8	1	2	0
2024-06-20	120	15	12015	6h00	7	2	1	0
2024-06-20	120	16	12016	8h02	11	1	2-3	2
2024-06-20	120	17	12017	5h12	7	1	2	0
2024-06-20	120	18	12018	4h43	6	1	3	0
2024-06-22	121	2	12102	7h54	10	0	2	3
2024-06-22	121	3	12103	7h28	8	0	1	2
2024-06-22	121	4	12104	8h19	16	0	1-3	3
2024-06-22	121	5	12105	7h02	7	0	0	2
2024-06-22	121	6	12106	7h16	11	0	1	1
2024-06-22	121	7	12107	7h55	14	0	2-3	3
2024-06-22	121	8	12108	6h39	6	0	0	2
2024-06-22	121	9	12109	6h43	9	0	0	2
2024-06-22	121	10	12110	6h12	6	0	0	0
2024-06-22	121	11	12111	6h10	7	0	0	1
2024-06-22	121	12	12112	5h40	2	0	0	0
2024-06-22	121	13	12113	5h38	6	0	0	1

Date	Grille	Station	ID station	Heure	Temp	Nébulosité[1]	Vent[2]	Son[3]
2024-06-22	121	14	12114	5h13	5	0	0	0
2024-06-22	121	15	12115	4h43	4	0	0	0
2024-06-22	121	16	12116	5h05	6	0	0	0
2024-06-22	121	17	12117	4h33	6	0	0	0
2024-06-22	121	18	12118	4h16	4	0	1	0
2024-06-21	122	1	12201	5h10	6	3	2-3	2
2024-06-21	122	2	12202	4h47	7	3	2	2
2024-06-21	122	3	12203	4h16	5	2	1-2	1
2024-06-21	122	4	12204	5h39	6	3	1	0
2024-06-21	122	5	12205	8h22	12	2	2	2
2024-06-21	122	6	12206	4h26	7	2	2	2
2024-06-21	122	7	12207	6h05	7	3	1	1
2024-06-21	122	8	12208	7h56	11	2	2	2
2024-06-21	122	9	12209	4h56	8	2	2	2
2024-06-21	122	10	12210	6h29	8	3	2-3	1
2024-06-21	122	11	12211	7h21	9	3	2	3
2024-06-21	122	12	12212	5h21	8	3	2	1
2024-06-21	122	13	12213	6h52	9	3	2	1
2024-06-21	122	14	12214	6h55	8	3	2	2
2024-06-21	122	15	12215	5h51	8	3	2	1
2024-06-21	122	16	12216	7h19	9	3	2-3	2
2024-06-21	122	17	12217	8h01	10	2	2-3	3
2024-06-21	122	18	12218	6h17	8	2	2	1
2024-06-23	131	1	13101	4h18	7	1	1	0
2024-06-23	131	2	13102	4h52	7	1	1	0
2024-06-23	131	3	13103	4h23	4	2	0	0
2024-06-23	131	4	13104	5h20	8	0	1	0
2024-06-23	131	5	13105	4h52	4	1	0	1
2024-06-23	131	6	13106	8h10	13	0	1	2
2024-06-23	131	7	13107	5h50	10	2	1	2
2024-06-23	131	8	13108	5h16	4	0	0	0
2024-06-23	131	9	13109	7h44	13	0	1	2
2024-06-23	131	10	13110	6h14	10	0	1	2
2024-06-23	131	11	13111	5h42	5	1	1	0
2024-06-23	131	12	13112	7h10	10	0	2	2
2024-06-23	131	13	13113	6h43	12	0	1	2
2024-06-23	131	14	13114	6h13	6	0	2	3

Date	Grille	Station	ID station	Heure	Temp	Nébulosité[1]	Vent[2]	Son[3]
2024-06-23	131	15	13115	7h37	12	0	1-2	1
2024-06-23	131	16	13116	8h00	13	0	1	1
2024-06-23	131	17	13117	6h41	10	0	2	2
2024-06-23	131	18	13118	7h11	10	0	1	1

1. Codes de 0–8 : 0 = ciel clair ; 1–2 = peu nuageux ; 3–4 = partiellement couvert ; 5–7 = nuageux ; 8 = couvert.
2. Codes selon l'échelle de Beaufort : 0 = calme ; 1–3 = brise ; 4–6 = vent modéré ; 7–9 = vent fort ; 10–12 = tempête/ouragan.
3. Codes de 0–5 : 0 = aucune ; 1 = faible ; 2 = modérée ; 3 = forte ; 4 = très forte ; 5 = excessive.

Annexe 3

Données brutes des inventaires par station d'observation crépusculaire

Date	Observateur[1]	Station	Grille	Latitude	Longitude	Heure début	Heure fin	Effort (minute)	Température	Nébulosité[2]	Vent[3]	Nuisance sonore[4]	Code espèce[5]	Code nidification[6]	Nombre	Réponse (playback)	Distance (m)	Direction	Nid/ cavitée (O/N)	Commentaire
11-06-2024	XF	9	23	53,346500	-74,396667	21:00	21:00	30	18	0	2	0	NYTE	S	1	0	100	E-NE	N	Sans repasse, AMP 9
13-06-2024	AL, SG	10		53,349821	-73,537185	22:03	22:14	11	11	1	1	0	ENAM	H	4	N	-	-	-	Grenouille nord 1 et crapaud 1
13-06-2024	AL, SG	10		53,349821	-73,537185	22:03	22:14	11	11	1	1	0	GRSO	S	7	-	-	-	-	
13-06-2024	AL, SG	10		53,349821	-73,537185	22:03	22:14	11	11	1	1	0	BRGB	S	1	-	-	-	-	
13-06-2024	AL, SG	10		53,349821	-73,537185	22:03	22:14	11	11	1	1	0	SAHI	H	1	-	-	-	-	
13-06-2024	AL, SG	10		53,349821	-73,537185	22:03	22:14	11	11	1	1	0	BRFV	S	1	-	-	-	-	
13-06-2024	AL, SG	8		53,358901	-73,530105	21:36	21:45	9	12	1	1	0	GRSO	S	5	-	-	-	-	
13-06-2024	AL, SG	8		53,358901	-73,530105	21:36	21:45	9	12	1	1	0	ENAM	H	3	O	300	S	-	5 grenouilles des bois
13-06-2024	AL, SG	8		53,358901	-73,530105	21:36	21:45	9	12	1	1	0	JUAR	S	2	-	-	-	-	
13-06-2024	AL, SG	8		53,358901	-73,530105	21:36	21:45	9	12	1	1	0	MEAM	S	3	-	-	-	-	
13-06-2024	AL, SG	8		53,358901	-73,530105	21:36	21:45	9	12	1	1	0	BRFV	S	1	-	-	-	-	
13-06-2024	AL, SG	8		53,358901	-73,530105	21:36	21:45	9	12	1	1	0	BRGB	S	1	-	-	-	-	
13-06-2024	AL, SG	8		53,358901	-73,530105	21:36	21:45	9	12	1	1	0	CHSO	H	1	-	-	-	-	
13-06-2024	AL, SG	9		53,354244	-73,534316	21:50	22:00	10	12	1	1	0	ENAM	H	5	O	50-300	-	-	2 nord et 2 sud
13-06-2024	AL, SG	9		53,354244	-73,534316	21:50	22:00	10	12	1	1	0	BRGB	S	2	-	-	-	-	
13-06-2024	AL, SG	9		53,354244	-73,534316	21:50	22:00	10	12	1	1	0	GRSO	S	3	-	-	-	-	
13-06-2024	AL, SG	9		53,354244	-73,534316	21:50	22:00	10	12	1	1	0	JUAR	S	2	-	-	-	-	
13-06-2024	AL, SG	9		53,354244	-73,534316	21:50	22:00	10	12	1	1	0	MEAM	S	1	-	-	-	-	
13-06-2024	AL, SG	9		53,354244	-73,534316	21:50	22:00	10	12	1	1	0	TRFO	S	1	-	-	-	-	
21-06-2024	ML, SG	20		53,308808	-73,576229	21:44	21:50	6	12	2	0	0	BRGB	S	3		-	-	-	
21-06-2024	ML, SG	20		53,308808	-73,576229	21:44	21:50	6	12	2	0	0	ENAM	S	2	N	150	NO	-	
21-06-2024	ML, SG	20		53,308808	-73,576229	21:44	21:50	6	12	2	0	0	GRSO	S	4		-	-	-	
21-06-2024	ML, SG	20		53,308808	-73,576229	21:44	21:50	6	12	2	0	0	ROCR	S	1		-	-	-	
15-06-2024	AL, AC	C09-01	C-06	53,512333	-74,056167	21:10	21:26	16	12	2	1	0	QURO	S	1	-	-	-	-	
15-06-2024	AL, AC	C09-01	C-06	53,512333	-74,056167	21:10	21:26	16	12	2	1	0	DUSA	H	1	-	-	-	-	
15-06-2024	AL, AC	C09-01	C-06	53,512333	-74,056167	21:10	21:26	16	12	2	1	0	GRSO	S	4	-	-	-	-	
15-06-2024	AL, AC	C09-01	C-06	53,512333	-74,056167	21:10	21:26	16	12	2	1	0	BRGB	S	5	-	-	-	-	
15-06-2024	AL, AC	C09-01	C-06	53,512333	-74,056167	21:10	21:26	16	12	2	1	0	MECA	H	2	-	-	-	-	
15-06-2024	AL, AC	C09-01	C-06	53,512333	-74,056167	21:10	21:26	16	12	2	1	0	JUAR	S	4	-	-	-	-	
15-06-2024	AL, AC	C09-01	C-06	53,512333	-74,056167	21:10	21:26	16	12	2	1	0	MEAM	H	1	-	-	-	-	
15-06-2024	AL, AC	C09-01	C-06	53,512333	-74,056167	21:10	21:26	16	12	2	1	0	ROCR	S	1	-	-	-	-	
21-06-2024	ML, SG	17		53,317389	-73,563403	21:12	21:18	6	13	2	1	0	GRSO	S	4	-	-	-	-	
21-06-2024	ML, SG	17		53,317389	-73,563403	21:12	21:18	6	13	2	1	0	MEAM	S	2	-	-	-	-	
21-06-2024	ML, SG	17		53,317389	-73,563403	21:12	21:18	6	13	2	1	0	ROCR	S	1	-	-	-	-	
21-06-2024	ML, SG	17		53,317389	-73,563403	21:12	21:18	6	13	2	1	0	BRGB	S	1	-	-	-	-	
17-06-2024	JRD, ML	Camp-4	98	53,296667	-73,532500	21:05	21:22	7	15	2	2	0	BUQR	H	1	-	-	-	-	
17-06-2024	JRD, ML	Camp-4		53,296667	-73,532500	21:24	21:32	8	15	2	2	0	ENAM	S	1	3	100	-	-	
19-06-2024	JRD, AL	C-07		53,339833	-73,537667	21:25	21:45	20	18	3	3	0	ENAM	H	4	-	-	-	-	
19-06-2024	JRD, AL	C-07		53,339833	-73,537667	21:25	21:45	20	18	3	3	0	BUQR	S	1	-	-	-	-	
19-06-2024	JRD, AL	C-07		53,339833	-73,537667	21:25	21:45	20	18	3	3	0	GRSO	S	6	-	-	-	-	
19-06-2024	JRD, AL	C-07		53,339833	-73,537667	21:25	21:45	20	18	3	3	0	BRGB	A	2	-	-	-	-	
19-06-2024	JRD, AL	C-07		53,339833	-73,537667	21:25	21:45	20	18	3	3	0	DUSA	S	1	-	-	-	-	
19-06-2024	JRD, AL	C-07		53,339833	-73,537667	21:25	21:45	20	18	3	3	0	JUAR	S	2	-	-	-	-	
19-06-2024	JRD, AL	C-07		53,339833	-73,537667	21:25	21:45	20	18	3	3	0	MECA	H	1	-	-	-	-	
19-06-2024	JRD, AL	C-07		53,339833	-73,537667	21:25	21:45	20	18	3	3	0	PACJ	S	2	-	-	-	-	
19-06-2024	JRD, AL	C-07		53,339833	-73,537667	21:25	21:45	20	18	3	3	0	PAVE	S	1	-	-	-	-	
19-06-2024	JRD, AL	C-07		53,339833	-73,537667	21:25	21:45	20	18	3	3	0	MEAM	A	1	-	-	-	-	

Date	Observateur[1]	Station	Grille	Latitude	Longitude	Heure début	Heure fin	Effort (minute)	Température	Nébulosité[2]	Vent[3]	Nuisance sonore[4]	Code espèce[5]	Code nidification[6]	Nombre	Réponse (playback)	Distance (m)	Direction	Nid/ cavitée (O/N)	Commentaire
12-06-2024	ML, SG	1	-	53,383660	-73,541504	21:03	21:09	6	21	3	4	0	ENAM	S	2	3		-	N	Observation -réponse- 3(ag) ?
12-06-2024	ML, SG	1	-	53,383660	-73,541504	21:03	21:09	6	21	3	4	0	GRSO	S	2	-	-	-	N	
12-06-2024	ML, SG	1	-	53,383660	-73,541504	21:03	21:09	6	21	3	4	0	BRGB	S	1	-	-	-	N	
12-06-2024	ML, SG	1	-	53,383660	-73,541504	21:03	21:09	6	21	3	4	0	MOAU	S	1	-	-	-	N	
12-06-2024	ML, SG	1	-	53,383660	-73,541504	21:03	21:09	6	21	3	4	0	JUAR	S	1	-	-	-	N	
12-06-2024	ML, SG	2	-	53,380145	-73,544744	21:15	21:21	6	21	3	4	0	BRGB	S	1	-	-	-	N	
12-06-2024	ML, SG	2	-	53,380145	-73,544744	21:15	21:21	6	21	3	4	0	GRSO	S	5	-	-	-	N	
12-06-2024	ML, SG	2	-	53,380145	-73,544744	21:15	21:21	6	21	3	4	0	ROCR	S	1	-	-	-	N	
12-06-2024	ML, SG	2	-	53,380145	-73,544744	21:15	21:21	6	21	3	4	0	ENAM	S	1	O	-	-	N	
12-06-2024	ML, SG	2	-	53,380145	-73,544744	21:15	21:21	6	21	3	4	0	MECA	S	2	-	-	-	N	
12-06-2024	ML, SG	3	-	53,378605	-73,528020	21:25	21:31	6	21	3	2	0	GRSO	M	8	-	-	-	N	
12-06-2024	ML, SG	3	-	53,378605	-73,528020	21:25	21:31	6	21	3	2	0	BRGB	S	2	-	-	-	N	
12-06-2024	ML, SG	4		53,373348	-73,519691	21:36	21:45	9	21	3	2	0	ENAM	P	3	3	-	-	N	Observation -réponse- 3(ag)2 ENAM post -station
12-06-2024	ML, SG	4		53,373348	-73,519691	21:36	21:45	9	21	3	2	0	GRSO	S	4		-	-	N	
12-06-2024	ML, SG	4		53,373348	-73,519691	21:36	21:45	9	21	3	2	0	BRGB	S	1		-	-	N	
18-06-2024	PL, SG	15		53,323440	-73,552339	22:34	22:44	10	21	3	2	0	ENAM	S	3	O	800	SO	-	Crapaud 1, 1 mâle confirmé ENAM
18-06-2024	XF	C-08		53,294833	-74,016500	20:30	21:30	60	22	3	1	0	CHEP	H	1	O	-	-	-	Réponse modéré Camp 8
18-06-2024	XF	C-08		53,294833	-74,016500	20:30	21:30	60	22	3	1	0	ENAM	H	1	O	100	E	-	3 réponses modéré
18-06-2024	PL, SG	11		53,342940	-73,540930	21:37	21:47	10	23	3	1	0	ENAM	S	3	N	-	-	-	Crapaud d'Amérique 1
18-06-2024	PL, SG	11		53,342940	-73,540930	21:37	21:47	10	23	3	1	0	GRSO	S	3	-	-	-	-	
18-06-2024	PL, SG	11		53,342940	-73,540930	21:37	21:47	10	23	3	1	0	BRFV	S	1	-	-	-	-	
18-06-2024	PL, SG	11		53,342940	-73,540930	21:37	21:47	10	23	3	1	0	BRGB	S	1	-	-	-	-	
18-06-2024	PL, SG	11		53,342940	-73,540930	21:37	21:47	10	23	3	1	0	MEAM	S	1	-	-	-	-	
13-06-2024	AL, SG	7		54,199751	-73,076204	21:25	21:33	8	14	1	2	1	GRSO	S	3	-	-	-	-	
13-06-2024	AL, SG	7		54,199751	-73,076204	21:25	21:33	8	14	1	2	1	PACJ	S	2	-	-	-	-	
13-06-2024	AL, SG	7		54,199751	-73,076204	21:25	21:33	8	14	1	2	1	ROCR	S	1	-	-	-	-	
13-06-2024	AL, SG	7		54,199751	-73,076204	21:25	21:33	8	14	1	2	1	MEAM	S	2	-	-	-	-	
13-06-2024	AL, SG	7		54,199751	-73,076204	21:25	21:33	8	14	1	2	1	JUAR	S	1	-	-	-	-	
13-06-2024	AL, SG	7		54,199751	-73,076204	21:25	21:33	8	14	1	2	1	BRFV	S	2	-	-	-	-	
13-06-2024	AL, SG	7		54,199751	-73,076204	21:25	21:33	8	14	1	2	1	TRFO	S	1	-	-	-	-	
13-06-2024	AL, SG	7		54,199751	-73,076204	21:25	21:33	8	14	1	2	1	DUSA	S	1	-	-	-	-	
13-06-2024	AL, SG	7		54,199751	-73,076204	21:25	21:33	8	14	1	2	1	BRGB	S	2	-	-	-	-	
13-06-2024	AL, SG	7		54,199751	-73,076204	21:25	21:33	8	14	1	2	1	BEWI	H	1	-	-	-	-	
13-06-2024	AL, SG	6		53,369341	-73,515397	21:10	21:20	10	14	1	2	1	GRSO	S	5	-	-	-	-	
13-06-2024	AL, SG	6		53,369341	-73,515397	21:10	21:20	10	14	1	2	1	MEAM	S	1	-	-	-	-	
13-06-2024	AL, SG	6		53,369341	-73,515397	21:10	21:20	10	14	1	2	1	MECA	A	1	-	-	-	-	
13-06-2024	AL, SG	6		53,369341	-73,515397	21:10	21:20	10	14	1	2	1	BRFV	S	1	-	-	-	-	
13-06-2024	AL, SG	6		53,369341	-73,515397	21:10	21:20	10	14	1	2	1	DUSA	S	2	-	-	-	-	
13-06-2024	AL, SG	6		53,369341	-73,515397	21:10	21:20	10	14	1	2	1	JUAR	S	1	-	-	-	-	
13-06-2024	AL, SG	6		53,369341	-73,515397	21:10	21:20	10	14	1	2	1	ENAM	H	1	O	250	-	-	
13-06-2024	AL, SG	6		53,369341	-73,515397	21:10	21:20	10	14	1	2	1	ROCR	S	1	-	-	-	-	
21-06-2024	ML, SG	16		53,321390	-73,558698	21:00	21:06	6	13	2	1	1	GRSO	S	4	-	-	-	-	
21-06-2024	ML, SG	16		53,321390	-73,558698	21:00	21:06	6	13	2	1	1	ROCR	S	1	-	-	-	-	
21-06-2024	ML, SG	16		53,321390	-73,558698	21:00	21:06	6	13	2	1	1	BRGB	S	1	-	-	-	-	
21-06-2024	ML, SG	16		53,321390	-73,558698	21:00	21:06	6	13	2	1	1	JUAR	S	1	-	-	-	-	

Date	Observateur[1]	Station	Grille	Latitude	Longitude	Heure début	Heure fin	Effort (minute)	Température	Nébulosité[2]	Vent[3]	Nuisance sonore[4]	Code espèce[5]	Code nidification[6]	Nombre	Réponse (playback)	Distance (m)	Direction	Nid/ cavitée (O/N)	Commentaire
21-06-2024	ML, SG	16		53,321390	-73,558698	21:00	21:06	6	13	2	1	1	MEAM	S	1	-	-	-	-	
13-06-2024	AL, SG	5		53,369226	-73,515558	20:55	21:05	10	14	2	2	1	GRSO	S	6	-	-	-	-	
13-06-2024	AL, SG	5		53,369226	-73,515558	20:55	21:05	10	14	2	2	1	ROCR	S	1	-	-	-	-	
13-06-2024	AL, SG	5		53,369226	-73,515558	20:55	21:05	10	14	2	2	1	JUAR	S	4	-	-	-	-	
13-06-2024	AL, SG	5		53,369226	-73,515558	20:55	21:05	10	14	2	2	1	BRFV	S	1	-	-	-	-	
13-06-2024	AL, SG	5		53,369226	-73,515558	20:55	21:05	10	14	2	2	1	BRGB	S	1	-	-	-	-	
13-06-2024	AL, SG	5		53,369226	-73,515558	20:55	21:05	10	14	2	2	1	MECA	S	1	-	-	-	-	
13-06-2024	AL, SG	5		53,369226	-73,515558	20:55	21:05	10	14	2	2	1	ENAM	H	1	-	-	-	-	
13-06-2024	SCB	9		53,346500	-74,039500	20:39	21:29	50	13	2	2	2	JUAR	A	2	-	-	-	-	Camp 9
13-06-2024	SCB	9		53,346500	-74,039500	20:39	21:29	50	13	2	2	2	BRMA	S	1	-	-	-	-	
13-06-2024	SCB	9		53,346500	-74,039500	20:39	21:29	50	13	2	2	2	JUAR	A	2	-	-	-	-	Camp 9
13-06-2024	SCB	9		53,346500	-74,039500	20:39	21:29	50	13	2	2	2	BRMA	S	1	-	-	-	-	
13-06-2024	SCB	9		53,346500	-74,039500	20:39	21:29	50	13	2	2	2	BUMA	H	1	-	400	NO		Femelle
13-06-2024	SCB	9		53,346500	-74,039500	20:39	21:29	50	13	2	2	2	JABO	P	2	-	-	-	-	Agressif (ag)
13-06-2024	SCB	9		53,346500	-74,039500	20:39	21:29	50	13	2	2	2	BRGB	S	4	-	-	-	-	
13-06-2024	SCB	9		53,346500	-74,039500	20:39	21:29	50	13	2	2	2	MEAM	A	2	-	-	-	-	
13-06-2024	SCB	9		53,346500	-74,039500	20:39	21:29	50	13	2	2	2	QURO	H	1	-	-	-	-	
13-06-2024	SCB	9		53,346500	-74,039500	20:39	21:29	50	13	2	2	2	BRCB	A	2	-	-	-	-	
18-06-2024	PL, SG	13		53,333510	-73,545460	22:07	22:17	10	22	3	3	2	ENAM	H	2	N	1000	SO	-	Crapaud 2
18-06-2024	PL, SG	13		53,333510	-73,545460	22:07	22:17	10	22	3	3	2	GRSO	S	4	-	-	-	-	
18-06-2024	PL, SG	13		53,333510	-73,545460	22:07	22:17	10	22	3	3	2	MEAM	H	1	-	-	-	-	
18-06-2024	PL, SG	13		53,333510	-73,545460	22:07	22:17	10	22	3	3	2	BECA	H	2	-	-	-	-	
18-06-2024	PL, SG	14		53,330500	-73,550750	22:19	22:29	10	22	3	3	2	ENAM	S	3	N	50	-	-	Un mâle confirmé
18-06-2024	PL, SG	14		53,330500	-73,550750	22:19	22:29	10	22	3	3	2	GRSO	S	1	-	-	-	-	Crapaud 1
18-06-2024	PL, SG	14		53,330500	-73,550750	22:19	22:29	10	22	3	3	2	MEAM	H	1	-	-	-	-	
18-06-2024	PL, SG	12		53,340076	-73,542382	21:50	22:05	16	23	3	1	2	BRFV	S	1	-	-	-	-	Rainette C 3, grenouille du nord 1, crapaud 1
18-06-2024	PL, SG	12		53,340076	-73,542382	21:50	22:05	16	23	3	1	2	JUAR	S	2	-	-	-	-	
18-06-2024	PL, SG	12		53,340076	-73,542382	21:50	22:05	16	23	3	1	2	GRSO	H	1	-	-	-	-	
18-06-2024	PL, SG	12		53,340076	-73,542382	21:50	22:05	16	23	3	1	2	BRGB	S	2	-	-	-	-	
18-06-2024	PL, SG	12		53,340076	-73,542382	21:50	22:05	16	23	3	1	2	ENAM	H	1	N	800	SO	-	
18-06-2024	PL, SG	12		53,340076	-73,542382	21:50	22:05	16	23	3	1	2	MOVJ	H	1		-	-	-	
21-06-2024	ML, SG	19		53,311445	-73,577143	21:33	21:39	6	12	2	2	3	GRSO	S	1	-	-	-	-	
21-06-2024	ML, SG	19		53,311445	-73,577143	21:33	21:39	6	12	2	2	3	BRGB	S	1	-	-	-	-	
21-06-2024	ML, SG	19		53,311445	-73,577143	21:33	21:39	6	12	2	2	3	ENAM	S	2	O	80	E	-	Réponse agressive
21-06-2024	ML, SG	18		53,314884	-73,571268	21:22	21:28	6	13	2	1	3	GRSO	S	3	-	-	-	-	
21-06-2024	ML, SG	18		53,314884	-73,571268	21:22	21:28	6	13	2	1	3	BRGB	S	2	-	-	-	-	
21-06-2024	ML, SG	18		53,314884	-73,571268	21:22	21:28	6	13	2	1	3	JUAR	S	2	-	-	-	-	
21-06-2024	ML, SG	18		53,314884	-73,571268	21:22	21:28	6	13	2	1	3	MEAM	S	1	-	-	-	-	
21-06-2024	ML, SG	18		53,314884	-73,571268	21:22	21:28	6	13	2	1	3	ROCR	S	1	-	-	-	-	

1. Alexandre Lajeunesse, Alexander Cristiano Miserere, Ariane Reda, Jessé Roy-Drainville, Mathieu Letendre, Patrick Laniel, Simon Côté-Bourgoin, SG, Xavier Francoeur
2. Codes de 0–8 : 0 = ciel clair ; 1–2 = peu nuageux ; 3–4 = partiellement couvert ; 5–7 = nuageux ; 8 = couvert.
3. Codes selon l'échelle de Beaufort : 0 = calme ; 1–3 = brise ; 4–6 = vent modéré ; 7–9 = vent fort ; 10–12 = tempête/ouragan.
4. Codes de 0–5 : 0 = aucune ; 1 = faible ; 2 = modérée ; 3 = forte ; 4 = très forte ; 5 = excessive.
5. Codes de l'Atlas des oiseaux nicheurs du Québec (Robert et coll., 2019)
6. Codes de l'Atlas des oiseaux nicheurs du Québec (présentés à l'annexe 4; Robert et coll., 2019)

Annexe 4

Définition des indices de nidification des oiseaux nicheurs (d'après Robert et coll. 2019)

ATLAS DES OISEAUX NICHEURS DU QUÉBEC

CODES, NIVEAUX DE CERTITUDE ET DÉFINITIONS DES INDICES DE NIDIFICATION

Code	Niveau de certitude	Définition
X	Espèce observée	Espèce observée pendant sa période de reproduction, mais dans un habitat non propice à sa nidification (aucun indice de nidification).
H	Nidification possible	Espèce observée pendant sa période de reproduction dans un habitat de nidification propice.
S	Nidification possible	Individu chantant ou sons associés à la reproduction (p. ex. cris, tambourinage) entendus pendant la période de reproduction de l'espèce dans un habitat de nidification propice.
M	Nidification probable	Au moins 7 individus chantant ou produisant des sons associés à la reproduction (p. ex. cris, tambourinage), entendus au cours d'une même visite pendant la période de reproduction de l'espèce dans un habitat de nidification propice.
P	Nidification probable	Couple observé pendant la période de reproduction de l'espèce dans un habitat de nidification propice.
T	Nidification probable	Territoire présumé sur la base de l'audition de chants ou de sons associés à la reproduction (p. ex. cris, tambourinage) ou de l'observation d'un oiseau adulte, deux journées différentes à au moins une semaine d'intervalle pendant la période de reproduction de l'espèce, au même endroit dans un habitat de nidification propice.
C	Nidification probable	Comportement nuptial entre un mâle et une femelle (p. ex. parade, nourrissage, copulation) ou comportement agonistique entre deux individus (p. ex. querelle, poursuite), pendant la période de reproduction de l'espèce dans un habitat de nidification propice.
V	Nidification probable	Oiseau visitant un site probable de nidification pendant la période de reproduction de l'espèce dans un habitat de nidification propice.
A	Nidification probable	Comportement agité ou cris d'alarme de la part d'un adulte pendant la période de reproduction de l'espèce dans un habitat de nidification propice.
B	Nidification probable	Plaque incubatrice ou protubérance cloacale observée sur un individu adulte capturé pendant la période de reproduction de l'espèce dans un habitat de nidification propice.
N	Nidification probable	Construction d'un nid par un troglodyte ou excavation d'une cavité par un pic.
CN	Nidification confirmée	Construction d'un nid (sauf pour les pics et les troglodytes), y compris le transport de matériel de nidification.
DD	Nidification confirmée	Oiseau tentant de détourner l'attention du nid ou des jeunes en simulant une blessure ou en utilisant une autre parade de diversion.
NU	Nidification confirmée	Nid vide ayant été utilisé dans la période de l'atlas, ou coquilles d'œufs pondus dans cette même période.
JE	Nidification confirmée	Jeune ayant récemment quitté le nid (espèces nidicoles) ou jeune en duvet (espèces nidifuges), incapable d'un vol soutenu.
NO	Nidification confirmée	Adulte occupant, quittant ou gagnant un site probable de nidification (visible ou non) et dont le comportement est révélateur d'un nid occupé.
FE	Nidification confirmée	Adulte transportant un sac fécal.
AT	Nidification confirmée	Adulte transportant de la nourriture pour un ou plusieurs jeunes.
NF	Nidification confirmée	Nid contenant un ou plusieurs œufs.
NJ	Nidification confirmée	Nid contenant un ou plusieurs jeunes (vus ou entendus).

Annexe 5

Données brutes des inventaires de sauvagine, espèces aquatiques et rapaces nicheurs

Période de vol	Observateurs[1]	Pts GPS	Espèce	Nombre	Male	Femelle	Jeune	Inconnu	Commentaire
16-juin-24	JRD+SCB	Falaise 1	-						Rien
16-juin-24	JRD+SCB	Falaise 2	-						Rien
18-juin-24	AC+AL	150	Bécasseau minuscule	1				1	
21-juin-24	JRD+AL+AC	15	Bécassine de Wilson	1				1	
20-juin-24	AL+PL	7	Bécassine de Wilson	1				1	
17-juin-24	JRD+AC+AL	BEWI 1	Bécassine de Wilson	2				2	
20-juin-24	XF+SCB	613	Bernache du Canada	5				5	
20-juin-24	AL+PL	1	Bernache du Canada	5				5	
16-juin-24	JRD+SCB	BECA 1	Bernache du Canada	7				7	
15-juin-24	AL+XF	595	Bernache du Canada	2				2	
21-juin-24	JRD+AL+AC	9	Buse à queue rousse	1				1	Tracé = HELICO 06-21
21-juin-24	JRD+AL+AC	10	Buse à queue rousse	1				1	
17-juin-24	JRD+AC+AL	BUQRInd	Buse à queue rousse	2				2	BUQR sur nid avec au moins 1 œuf
15-juin-24	AL+XF	591	Buse à queue rousse	1				1	
24-juin-24	XF+SCB	626	Canard noir	4		1	3		
24-juin-24	XF+SCB	631	Canard noir	5		1	4		
21-juin-24	JRD+AL+AC	4	Canard noir	7		1	6		
20-juin-24	XF+SCB	612	Canard noir	5				5	
20-juin-24	XF+SCB	615	Canard noir	4		1	3		
17-juin-24	JRD+AC+AL	CANO 1	Canard noir	8		1	7		
17-juin-24	JRD+AC+AL	CANO 2	Canard noir	15			10	5	
17-juin-24	JRD+AC+AL	CANO 3	Canard noir	1				1	
17-juin-24	JRD+AC+AL	CANO 4	Canard noir	1				1	
15-juin-24	AL+XF	594	Canard noir	2				2	
15-juin-24	AL+XF	596	Canard noir	4				4	
15-juin-24	AL+XF	601	Canard noir	2		1	1		
13-juin-24	JRD+ML	8	Canard noir	11		1	10		
12-juin-24	XF+ML	581	Canard noir	1				1	
12-juin-24	XF+ML	582	Canard noir	4				4	

Période de vol	Observateurs[1]	Pts GPS	Espèce	Nombre	Male	Femelle	Jeune	Inconnu	Commentaire
12-juin-24	XF+ML	586	Canard noir	10		1	9		
24-juin-24	XF+SCB	635	Castor	1				1	Hutte
21-juin-24	JRD+AL+AC	21	Castor						Signe présence + barrage + hutte
17-juin-24	JRD+SG	Castor 1	Castor						Bois mangés, signe présence
17-juin-24	JRD+AC+AL	Castor 1	Castor						Hutte
21-juin-24	JRD+AL+AC	19	Chevalier grivelé	1				1	
20-juin-24	XF+SCB	614	Chevalier grivelé	1				1	
20-juin-24	AL+PL	1	Chevalier grivelé	1				1	
16-juin-24	JRD+SCB	CHGR1	Chevalier grivelé	1				1	
15-juin-24	AL+XF	602	Chevalier grivelé	1				1	
15-juin-24	AL+XF	606	Chevalier grivelé	1				1	
24-juin-24	XF+SCB	622	Chevalier solitaire	1				1	
24-juin-24	XF+SCB	624	Chevalier solitaire	1				1	
21-juin-24	JRD+AL+AC	13	Chevalier solitaire	1				1	
21-juin-24	JRD+AL+AC	14	Chevalier solitaire	3				3	
21-juin-24	JRD+AL+AC	16	Chevalier solitaire	2				2	
21-juin-24	JRD+AL+AC	17	Chevalier solitaire	1				1	
21-juin-24	JRD+AL+AC	18	Chevalier solitaire	1				1	
21-juin-24	JRD+AL+AC	24	Chevalier solitaire	2				2	
17-juin-24	JRD+AC+AL	CHSO1	Chevalier solitaire	1				1	
15-juin-24	AL+XF	599	Chevalier solitaire	1				1	
13-juin-24	JRD+ML	9	Chevalier solitaire	2				2	
13-juin-24	JRD+ML	10	Chevalier solitaire	1				1	
15-juin-24	AL+XF	605	Chevalier sp	1				1	
12-juin-24	XF+ML	585	Chevalier sp	2				2	
12-juin-24	XF+ML	587	Chevalier sp	1				1	
12-juin-24	XF+ML	588	Chevalier sp	1				1	
15-juin-24	AL+XF	600	Chouette épervière	1				1	
15-juin-24	AL+XF	597	Engoulevent d'Amérique	5				5	
24-juin-24	XF+SCB	638	Fuligule à collier	2	1	1			
15-juin-24	AL+XF	604	Fuligule à collier	2	2				

Période de vol	Observateurs[1]	Pts GPS	Espèce	Nombre	Male	Femelle	Jeune	Inconnu	Commentaire
15-juin-24	AL+XF	607	Fuligule à collier	1	1				
15-juin-24	AL+XF	592	Garrot à œil d'or	15	15				
24-juin-24	XF+SCB	622	Goéland argenté	1					
24-juin-24	XF+SCB	629	Goéland argenté	2					
24-juin-24	XF+SCB	636	Goéland argenté	1					
21-juin-24	JRD+AL+AC	20	Goéland argenté	1					Nid vide avec adulte à côté
17-juin-24	JRD+SG	GOAR1	Goéland argenté	2					Oiseau sur nid, l'autre tout près
16-juin-24	JRD+SCB	GOAR1	Goéland argenté	1					
15-juin-24	AL+XF	589	Goéland argenté	1					
13-juin-24	JRD+ML	11	Goéland argenté	1					
24-juin-24	XF+SCB	633	Grand chevalier	1					
21-juin-24	JRD+AL+AC	6	Grand chevalier	2					
20-juin-24	AL+PL	2	Grand chevalier	1					
20-juin-24	AL+PL	3	Grand chevalier	1					
20-juin-24	AL+PL	5	Grand chevalier	1					
18-juin-24	AC+AL	148	Grand chevalier	1					
18-juin-24	AC+AL	149	Grand chevalier	1					
18-juin-24	AC+AL	152	Grand chevalier	2					
17-juin-24	JRD+SG	grch1	Grand chevalier	2					
17-juin-24	JRD+AC+AL	GRCH1	Grand chevalier	1					
17-juin-24	JRD+AC+AL	GRCH2	Grand chevalier	1					
16-juin-24	JRD+SCB	GRCH1	Grand chevalier	1					
16-juin-24	JRD+SCB	GRCH2	Grand chevalier	2					
16-juin-24	JRD+SCB	GRCH3	Grand chevalier	2					
12-juin-24	XF+ML	580	Grand chevalier	2					Tracé GPS XF: 2024-06-12 17:20
16-juin-24	JRD+SCB	GRHA1	Grand harle	1		1			
15-juin-24	AL+XF	590	Grand harle	2	1	1			En vol
15-juin-24	AL+XF	598	Grand harle	1		1			
13-juin-24	JRD+ML	5	Grand harle	1		1			
13-juin-24	JRD+ML	6	Grand harle	2		2			

Période de vol	Observateurs[1]	Pts GPS	Espèce	Nombre	Male	Femelle	Jeune	Inconnu	Commentaire
17-juin-24	JRD+AC+AL	GRCH1etPECH1	GRCH + PECH	1+1				2	2 espèces sur 1 point GPS (1 ind par sp)
12-juin-24	XF+ML	584	Grue du Canada	1				1	
24-juin-24	XF+SCB	627	Harle couronné	4				4	Vieux poussins?
24-juin-24	XF+SCB	634	Harle couronné	2				2	
21-juin-24	JRD+AL+AC	25	Harle couronné	1		1			
17-juin-24	JRD+AC+AL	HACO1	Harle couronné	3	1	2			
15-juin-24	AL+XF	603	Harle couronné	2	1	1			
24-juin-24	XF+SCB	619	Harle huppé	1	1				
24-juin-24	XF+SCB	621	Harle huppé	2	1	1			
24-juin-24	XF+SCB	625	Harle huppé	2		1		2	
24-juin-24	XF+SCB	628	Harle huppé	1	1				
24-juin-24	XF+SCB	629	Harle huppé	1				1	
24-juin-24	XF+SCB	632	Harle huppé	1		1			
13-juin-24	JRD+ML	7	Harle huppé	2	1	1			
21-juin-24	**JRD +AL +AC**	**5**	**Hibou des marais**	**2**				2	
17-juin-24	**JRD+AC+AL**	**HIMA1**	**Hibou des marais**	**1**				1	**Décolle du sol au point GPS**
21-juin-24	JRD+AL+AC	3	Jaseur boréal	2				2	GPS À JRD
21-juin-24	JRD+AL+AC	12	Jaseur boréal	2				2	
20-juin-24	XF+SCB	612	Macresue à front blanc	1		1			
20-juin-24	XF+SCB	611	Macreuse à ailes blanches	2		2			
24-juin-24	XF+SCB	623	Macreuse à front blanc	1		1			
21-juin-24	JRD+AL+AC	8	Macreuse à front blanc	1		1			
17-juin-24	JRD+AC+AL	MAFB1	Macreuse à front blanc	2	1	1			
16-juin-24	JRD+SCB	MAFB1	Macreuse à front blanc	1		1			
17-juin-24	JRD+AC+AL	MOBO1	Mouette de bonaparte	1				1	
16-juin-24	JRD+SCB	MOBO1	Mouette de bonaparte	1				1	
20-juin-24	AL+PL	4	Orignal	3		1	2		
20-juin-24	AL+PL	8	Orignal	2	2				1 mâle mature et 1 jeune
18-juin-24	AC+AL	146	Orignal	1				1	Jeune de l'année
12-juin-24	XF+ML	583	Orignal	3		1	2		

Période de vol	Observateurs[1]	Pts GPS	Espèce	Nombre	Male	Femelle	Jeune	Inconnu	Commentaire
12-juin-24	XF+ML	584	Orignal	2		1	1		
17-juin-24	JRD+SG	pefu1	Petit fuligule	6	5	1			Sur un lac ensemble
20-juin-24	AL+PL	6	Plongeon catmarin	2	1	1			
21-juin-24	JRD+AL+AC	7	Plongeon huard	1				1	
16-juin-24	JRD+SCB	PLHU	Plongeon huard	1				1	
16-juin-24	JRD+SCB	HUAR1	Plongeon huard	2				2	
24-juin-24	X +SCB	620	Pygargue à tête blanche	1				1	Ad
24-juin-24	XF+SCB	637	Pygargue à tête blanche	1				1	Ad
20-juin-24	XF+SCB	614	Pygargue à tête blanche	1				1	Juv
17-juin-24	JRD+AC+AL	PYTB1	Pygargue à tête blanche	1				1	
16-juin-24	JRD+SCB	PYTB1	Pygargue à tête blanche	1				1	Adulte Voir GPS JRD. Tous les points GPS sont nommés avec date (PYTB1_16Juin) pour grille 9 et 17
24-juin-24	XF+SCB	618	Quiscale rouilleux	1				1	
24-juin-24	XF+SCB	630	Quiscale rouilleux	1				1	
21-juin-24	JRD+AL+AC	11	Quiscale rouilleux	2				2	
20-juin-24	XF+SCB	609	Quiscale rouilleux	1				1	
20-juin-24	XF+SCB	610	Quiscale rouilleux	1				1	
20-juin-24	XF+SCB	616	Quiscale rouilleux	1				1	
18-juin-24	AC+AL	151	Quiscale rouilleux	1				1	
17-juin-24	JRD+AC+AL	QURO1	Quiscale rouilleux	1				1	
16-juin-24	JRD+SCB	QURO1	Quiscale rouilleux	1				1	
21-juin-24	JRD+AL+AC	22	Sarcelle d'hiver	1		1		1	
21-juin-24	JRD+AL+AC	23	Sarcelle d'hiver	8		1	7		
20-juin-24	XF+SCB+DW	613	Sarcelle d'hiver	1				1	
20-juin-24	AL+PL+Dylan	1	Sarcelle d'hiver	1	1				
18-juin-24	AC+AL	145	Sarcelle d'hiver	4	4				
18-juin-24	AC+AL	147	Sarcelle d'hiver	6		1	5		
17-juin-24	JRD+AC+AL	SAHI1	Sarcelle d'hiver	2	1	1			
16-juin-24	JRD+SCB	SAHI1	Sarcelle d'hiver	1	1				
16-juin-24	JRD+SCB	SAHI2	Sarcelle d'hiver	2				2	

Période de vol	Observateurs[1]	Pts GPS	Espèce	Nombre	Male	Femelle	Jeune	Inconnu	Commentaire
15-juin-24	AL+XF	593	Sarcelle d'hiver	2	2				
20-juin-24	AL+PL	2 Casp	SP	2				2	95% HACO, se sont cachés dans la brousse
24-juin-24	XF+SCB	617	Sterne arctique	1				1	Vol
16-juin-24	JRD+SCB	TECA1	Tétras du Canada	1				1	
21-juin-24	JRD+AL+AC	26	Inconnu						Nid sur parois, possible GRCB. Corbeau présent, photo Alexander C-M

1. Alexandre Lajeunesse, Alexander Cristiano Miserere, Ariane Reda, Jessé Roy-Drainville, Mathieu Letendre, Patrick Laniel, Simon Côté-Bourgoin, Xavier Francoeur

Annexe 6

Liste des espèces d'oiseaux répertoriées dans la zone d'inventaire en 2023 et 2024

Numéro	Espèce	Nom scientifique
1	**Aigle royal[1]**	***Aquila chrysaetos***
2	Alouette hausse-col	*Eremophila alpestris*
3	Autour d'Amérique	*Astur atricapillus*
4	Balbuzard pêcheur	*Pandion haliaetus*
5	Bécasse d'Amérique	*Scolopax minor*
6	Bécasseau minuscule	*Calidris minutilla*
7	Bécasseau semipalmé	*Calidris pusilla*
8	Bécassine de Wilson	*Gallinago delicata*
9	Bec-croisé bifascié	*Loxia leucoptera*
10	Bec-croisé des sapins	*Loxia leucoptera*
11	Bernache du Canada	*Branta canadensis*
12	Bruant à couronne blanche	*Zonotrichia leucophrys*
13	Bruant à gorge blanche	*Zonotrichia albicollis*
14	Bruant chanteur	*Melospiza melodia*
15	Bruant de Lincoln	*Melospiza lincolnii*
16	Bruant des marais	*Melospiza georgiana*
17	Bruant des prés	*Passerculus sandwichensis*
18	Bruant familier	*Spizella passerina*
19	Bruant fauve	*Passerella iliaca*
20	Bruant hudsonien	*Spizelloides arborea*
21	Buse à queue rousse	*Buteo jamaicensis*
22	Canard noir	*Anas rubripes*
23	Chevalier grivelé	*Actitis macularius*
24	Chevalier solitaire	*Tringa solitaria*
25	Chouette épervière	*Surnia ulula*
26	Durbec des sapins	*Pinicola enucleator*
27	Eider à duvet	*Somateria mollissima*
28	**Engoulevent d'Amérique**	***Chordeiles minor***
29	Épervier brun	*Accipiter striatus*
30	**Faucon pèlerin**	***Falco peregrinus***
31	Fuligule à collier	*Aythya collaris*

Numéro	Espèce	Nom scientifique
32	Garrot à œil d'or	*Bucephala clangula*
33	Goéland hudsonien	*Larus smithsonianus*
34	Grand Chevalier	*Tringa melanoleuca*
35	Grand Corbeau	*Corvus corax*
36	Grand Harle	*Mergus merganser*
37	Grand-duc d'Amérique	*Bubo Virginianus*
38	Grimpereau brun	*Certhia americana*
39	Grive à dos olive	*Catharus ustulatus*
40	Grive à joues grises	*Catharus minimus*
41	Grive solitaire	*Catharus guttatus*
42	Grue du Canada	*Antigone canadensis*
43	Harelde kakawi	*Clangula hyemalis*
44	Harle couronné	*Lophodytes cucullatus*
45	Harle huppé	*Mergus serrator*
46	**Hibou des marais**	***Asio flammeus***
47	Hibou moyen-duc	*Asio otus*
48	Hirondelle bicolore	*Tachycineta bicolor*
49	**Hirondelle de rivage**	***Riparia riparia***
50	Jaseur boréal	*Bombycilla garrulus*
51	Jaseur d'Amérique	*Bombycilla cedrorum*
52	Junco ardoisé	*Junco hyemalis*
53	Lagopède des saules	*Lagopus lagopus*
54	Macreuse à ailes blanches	*Melanitta deglandi*
55	Macreuse à bec jaune	*Melanitta americana*
56	Macreuse à front blanc	*Melanitta perspicillata*
57	Martin-pêcheur d'Amérique	*Megaceryle alcyon*
58	Merle d'Amérique	*Turdus migratorius*
59	Merlebleu de l'Est	*Sialia sialis*
60	Mésange à tête brune	*Poecile hudsonicus*
61	Mésange à tête noire	*Poecile atricapillus*
62	Mésangeai du Canada	*Perisoreus canadensis*
63	**Moucherolle à côtés olive**	***Contopus cooperi***
64	Moucherolle à ventre jaune	*Empidonax flaviventris*

Numéro	Espèce	Nom scientifique
65	Moucherolle des aulnes	*Empidonax alnorum*
66	Mouette de Bonaparte	*Chroicocephalus philadelphia*
67	Nyctale de tegmalm	*Aegolius funereus*
68	Oie des neiges	*Anser caerulescens*
69	Paruline à calotte noire	*Cardellina pusilla*
70	Paruline à couronne rousse	*Setophaga palmarum*
71	Paruline à croupion jaune	*Setophaga coronata*
72	Paruline à joues grises	*Leiothlypis ruficapilla*
73	Paruline à tête cendrée	*Setophaga magnolia*
74	Paruline des ruisseaux	*Parkesia noveboracensis*
75	Paruline jaune	*Setophaga petechia*
76	Paruline masquée	*Geothlypis trichas*
77	Paruline obscure	*Leiothlypis peregrina*
78	Paruline rayée	*Setophaga striata*
79	Paruline verdâtre	*Leiothlypis celata*
80	**Petit chevalier**	***Tringa flavipes***
81	Petit fuligule	*Aythya affinis*
82	Petite Nyctale	*Aegolius acadicus*
83	Pic à dos noir	*Picoides arcticus*
84	Pic à dos rayé	*Picoides dorsalis*
85	Pic chevelu	*Dryobates villosus*
86	Pic flamboyant	*Colaptes auratus*
87	Pic maculé	*Sphyrapicus varius*
88	Pie-grièche boréale	*Lanius borealis*
89	Pipit d'Amérique	*Anthus rubescens*
90	Plectrophane des neiges	*Plectrophenax nivalis*
91	Plectrophane lapon	*Calcarius lapponicus*
92	Plongeon catmarin	*Gavia stellata*
93	Plongeon huard	*Gavia immer*
94	Pluvier semipalmé	*Charadrius semipalmatus*
95	**Pygargue à tête blanche**	***Haliaeetus leucocephalus***
96	Quiscale bronzé	*Quiscalus quiscula*
97	**Quiscale rouilleux**	***Euphagus carolinus***

Numéro	Espèce	Nom scientifique
98	Roitelet à couronne dorée	*Regulus satrapa*
99	Roitelet à couronne rubis	*Corthylio calendula*
100	Roselin pourpré	*Haemorhous purpureus*
101	Sarcelle d'hiver	*Anas crecca*
102	Sittelle à poitrine rousse	*Sitta canadensis*
103	Sizerin flammé	*Acanthis flammea*
104	Sterne arctique	*Sterna paradisaea*
105	Tarin des pins	*Spinus pinus*
106	Tétras du Canada	*Canachites canadensis*
107	Tohi à flancs roux	*Pipilo erythrophthalmus*
108	Troglodyte des forêts	*Troglodytes hiemalis*

1. Les espèces à statut précaire sont en caractères gras

Annexe 7

Annexe photographique

Photo 1. Marécage arbustif

Photo 2. Régénération arbustive sèche

Photo 3. Résineux (pessière fermée)

Photo 4. Régénération arbustive sèche

Photo 5. Résineux (pessière ouverte)

Photo 6. Résineux (pessière fermée)

Photo 7. Résineux (tourbière boisée)

Photo 8. Régénération arbustive sèche (ancien brulis)

Photo 9. Tourbière (bog)

Photo 10. Tourbière

Photo 11. Tourbière

Photo 12. Nid de Buse à queue rousse

Photo 16. Nid de merle d'Amérique

Photo 17. Mésange à tête brune

Photo 18. Lagopède des saules

Photo 22. Sonomètre

Photo 23. Lynx du Canada

Photo 24. Transect de pistage nival

ANNEXE

6-20 CAMPAGNE D'INVENTAIRE DE L'AVIFAUNE 2025

Note technique

Campagne d'inventaire de l'avifaune 2025 – Projet minier Shaakichiuwaanaan (Corvette)

N/Dossier : 151022002

1 Introduction

1.1 Mandat et objectifs

Le mandat est d'effectuer l'étude de référence de la composante avifaune du site minier Shaakichiuwaanaan (Corvette) de Patriot Battery Metals afin d'évaluer les impacts environnementaux de ce projet. Cette note technique concerne les inventaires réalisés en 2025.

L'objectif général de l'étude de référence est d'appuyer l'étude d'impact en décrivant les populations d'oiseaux, leur distribution et leur répartition saisonnière, leurs mouvements migratoires ainsi que leur utilisation de l'habitat aux différentes étapes de leur cycle de vie et durant les périodes sensibles.

En s'appuyant sur les lignes directrices d'ECCC individualisées relatives à l'étude d'impact du projet minier Troilus (Agence d'évaluation d'impacts du Canada 2023), les inventaires réalisés en 2025 avaient pour objectif de bonifier les données récoltées en 2023 et en 2024. Plus spécifiquement, de répondre aux objectifs suivants :

- Répertorier l'ensemble des groupes d'espèces d'oiseaux nicheurs et migrateurs (passereaux, rapaces, sauvagine et limicoles), qui se trouvent dans la zone d'étude lors de la migration printanière et en période de reproduction;
- Estimer la densité des couples de passereaux nicheurs, des espèces de sauvagine et de rapaces;
- Répertorier les espèces d'oiseaux en situation précaire et cartographier leurs occurrences.

1.2 Description de la zone d'inventaire

La zone d'inventaire du projet en 2025 est présentée à la carte 1. En 2025, la superficie couverte était de 114,3 km², et était constituée d'une zone tampon de 1 km de part et d'autre du chemin d'accès à la mine et d'une zone tampon de 2 km autour de la zone d'infrastructures. Elle est située en territoire public, à environ 10 km au nord-est du lac de la Corvette et à environ 40 km au sud-ouest des installations hydroélectriques La Grande 4 (carte 1). Selon le cadre écologique de référence du Québec, la zone d'inventaire fait partie de la région naturelle des Buttons de l'Opinaca de la province naturelle des collines de la Grande Rivière. Il appartient également à la zone de végétation boréale, à la sous-zone de forêt boréale continue et au domaine bioclimatique de la pessière à lichen. Les habitats qui dominent la zone d'inventaire sont principalement des landes à lichen (anciens brulis) et des pessières à mousses et à lichen et des tourbières. Le relief de la zone d'inventaire est peu accidenté et la topographie varie en altitude entre 335 et 380 m. De

plus, il couvre des terres de catégorie III du territoire régi par la Convention de la Baie-James et du Nord québécois et croise le terrain de trappage CH39 utilisé par les membres de la Première Nation crie de Chisasibi.

2 Méthodologie

À l'exception des inventaires par sonomètres, tous les autres types d'inventaires d'oiseaux réalisés dans la zone d'inventaire en 2025 furent les mêmes que ceux réalisés en période de nidification en 2023 et 2024 afin d'obtenir un suivi pluriannuel. Les amphibiens et reptiles n'ont pas fait l'objet de recherches actives systématiques en 2025. Seules les observations fortuites de ces groupes ont été consignées.

2.1 Inventaire de passereaux nicheurs

Les inventaires d'oiseaux nicheurs ont été réalisés par la méthode du dénombrement par rayon limité de 50 mètres (DRL 50 m) et par l'indice ponctuel d'abondance (IPA) (Bibby et coll. 2000). Au total, 7 grilles contenant 18 stations d'écoute de 10 minutes furent visitées à une reprise durant la période de reproduction. Les stations échantillonnées en 2025 constituaient un sous-échantillon aléatoire des grilles de stations inventoriées en 2024 et étaient réparties de manière aléatoire afin d'assurer la représentativité de l'ensemble des types d'habitats présents dans la zone d'inventaire. Contrairement aux années 2023 et 2024, où les stations étaient visitées successivement à partir de camps héliportés, les déplacements ont été effectués uniquement par camion en 2025 sur le nouveau chemin qui traverse, depuis 2025, la zone d'inventaire du nord au sud. Tous les oiseaux vus et entendus à la station d'écoute pendant une durée de 10 minutes étaient notés. Une seule visite fut effectuée à chacune des stations. Les indices de nidification seront notés en fonction de la codification retrouvée dans l'Atlas des oiseaux nicheurs du Québec. Les inventaires eurent lieu à partir des 30 minutes précédant le lever du soleil et jusqu'à 5 h plus tard, par temps non pluvieux ou par vents supérieurs à 4 sur l'échelle de Beaufort.

Une modification apportée au protocole en 2025 est le retrait du protocole d'enregistrements des oiseaux aux stations d'écoute à l'aide d'enregistreurs Zoom H2N. De plus, la végétation a été caractérisée sommairement à 113 des 121 des stations d'écoute visitées. Inventaire de sauvagine et oiseaux aquatiques- périodes de migration printanière et de reproduction et rapaces nicheurs

2.2 Sauvagine et espèces aquatiques- période de migration printanière et de reproduction et rapaces nicheurs

Les inventaires héliportés de sauvagine, d'oiseaux aquatiques et de rapaces nicheurs ont été réalisés durant les périodes de migration printanière et de reproduction dans l'ensemble de la superficie de la zone d'étude du projet**.** L'entièreté des plans d'eau et des milieux humides situés dans la zone d'inventaire, ainsi que les parois rocheuses verticales, les tourbières et marais arbustifs de plus de 50 ha ainsi que les forêts matures riveraines ont été survolés à basses vitesse et altitude. L'équipe, composée d'un navigateur-observateur et d'un observateur arrière, a noté les espèces, effectifs, âge des couvées, comportements des individus et la présence de plateformes de nidification (en parois ou arbres). Les densités d'équivalents-couples ont ensuite été estimées pour les espèces de sauvagine en suivant la méthode de Guérette et coll (2009), adaptée de Bordages et Plante (1997).

2.3 Relevés crépusculaires

Les relevés crépusculaires visaient toutes les espèces nocturnes, mais plus particulièrement l'Engoulevent d'Amérique et le hibou des marais, deux espèces ciblées en situation précaire. Des stations d'observation ont été localisées le long du chemin de la mine, là où des milieux ouverts propices pour au moins une des deux espèces ciblées étaient présents (c-à-d. milieux secs ou humides arbustifs ouverts tels que brulis et tourbières). Les protocoles fédéraux et provinciaux qui consistent à faire de l'observation passive pendant 6 et 15 min furent suivis pour détecter l'Engoulevent d'Amérique et le Hibou des marais respectivement.

2.4 Espèces en situation précaire

Les espèces en situation précaire furent notées durant chacun des inventaires ainsi que de façon fortuite durant les déplacements à l'intérieur de la zone d'inventaire. Les emplacements de ces dernières espèces furent estimés le plus précisément possible à l'aide d'un GPS Garmin portatif précis au 6 mètres.

3 Résultats et discussion

3.1 Passereaux nicheurs

3.1.1 Effort d'inventaire et conditions d'observation

Au total, 121 stations d'écoute ont été inventoriées dans le cadre de l'inventaire des oiseaux terrestres entre le 8 et le 15 juin 2025.

La majorité des stations d'écoute ont été inventoriées dans des conditions jugées bonnes à excellentes. Le relevé le plus hâtif a débuté à 3 h 48 et le plus tardif à 9 h 45. Cependant, l'inventaire de 94% des stations a été amorcé avant 9 h. Les températures ont oscillé entre 0 et 16°C lors des dénombrements des points d'écoute, mais 83% des inventaires ont été réalisés alors que la température se situait entre 0 et 10 C. Presque toutes les stations d'écoute (98 %) ont été inventoriées en l'absence de précipitations. Les vents étaient nuls, légers ou modérés (moins de 12 km/h) pour 83% des stations.

3.1.2 Description des résultats d'inventaire

Le tableau 1 présente, pour l'ensemble des habitats confondus, les noms français des espèces recensées, leur effectif total (IPA), le dénombrement par couple et par individu ainsi que la densité estimée dans un rayon limité de 50 mètres (DRL 50 m). En tout, 45 espèces ont été recensées durant les stations d'écoute (tableau 1). Parmi celles-ci, 34 sont terrestres, 8 sont aquatiques et 3 sont des oiseaux de proie diurnes.

Les trois espèces les plus abondantes, sont, en ordre croissant, le Junco ardoisé, le Roitelet à couronne rubis et le Bruant à gorge blanche, soit toutes des espèces généralement abondantes dans cette région (tableau 1).

La nidification a été confirmée seulement pour le Mésangeai du Canada. Pour les autres espèces recensées, la nidification a été considérée comme probable pour 11 % et possible pour 76% des espèces (tableau 1).

Tableau 1. Indice de nidification, DRL et IPA pour la liste des espèces recensées par stations d'écoute entre le 8 et le 15 juin 2025

No	Espèce	Indice de nidification	Nidification	DRL (<50m)			IPA[3]
				Nombre total d'éq-couples[1]	Densité d'éq-couples/10 ha	Nombre total d'individus[2]	
1	Junco ardoisé	A	Probable	51,5	5,4	59	152
2	Roitelet à couronne rubis	A	Probable	51	5,4	53	224
3	Bruant à gorge blanche	A	Probable	50,5	5,3	56	253
4	Paruline à croupion jaune	P	Probable	47,5	5,0	52	106
5	Grive solitaire	S	Possible	25	2,6	31	115
6	Moucherolle à ventre jaune	S	Possible	20	2,1	20	39
7	Bruant de Lincoln	S	Possible	15	1,6	16	38
8	Bruant fauve	S	Possible	14	1,5	14	55
9	Mésangeai du Canada	JE	Confirmée	11	1,2	23	63
10	Durbec des sapins	P	Probable	7,5	0,8	9	22
11	Paruline à couronne rousse	S	Possible	6	0,6	6	14
12	Paruline verdâtre	S	Possible	4	0,4	4	5
13	Troglodyte des forêts	S	Possible	4	0,4	4	28
14	Merle d'Amérique	A	Probable	3,5	0,4	6	26
15	Paruline des ruisseaux	S	Possible	3	0,3	3	15
16	Bec-croisé bifascié	H	Possible	2	0,2	60	405
17	Grimpereau brun	S	Possible	2	0,2	2	2
18	Moucherolle des aulnes	S	Possible	2	0,2	2	8
19	Paruline à joues grises	S	Possible	2	0,2	2	2
20	Paruline rayée	S	Possible	2	0,2	2	4
21	Pic à dos rayé	S	Possible	1,5	0,2	2	3
22	Bruant des marais	S	Possible	1	0,1	1	2
23	Bruant des prés	S	Possible	1	0,1	1	1
24	Chevalier solitaire	S	Possible	1	0,1	2	4
25	Grive à dos olive	S	Possible	1	0,1	2	9
26	Paruline à calotte noire	S	Possible	1	0,1	1	5
27	Pic à dos noir	H	Possible	1	0,1	2	2
28	**Quiscale rouilleux**	**S**	**Possible**	**1**	**0,1**	**1**	**3**
29	Buse à queue rousse	S	Possible	0,5	0,1	1	5
30	Grue du Canada	H	Possible	0,5	0,1	1	1
31	Bernache du Canada	H	Possible	0	0,0	0	5

No	Espèce	Indice de nidification	Nidification	DRL (<50m)			IPA[3]
				Nombre total d'éq-couples[1]	Densité d'éq-couples/10 ha	Nombre total d'individus[2]	
32	Bécassine de Wilson	S	Possible	0	0,0	0	1
33	Bruant à couronne blanche	S	Possible	0	0,0	0	2
34	Buse pattue	H	Possible	0	0,0	0	2
35	Chevalier grivelé	S	Possible	0	0,0	0	2
36	Grand Corbeau	H	Possible	0	0,0	0	4
37	Grand Chevalier	H	Possible	0	0,0	0	2
38	Grive fauve	S	Possible	0	0,0	0	1
39	**Moucherolle à côtés olive**	**S**	**Possible**	**0**	**0,0**	**0**	**3**
40	Plongeon huard	S	Possible	0	0,0	0	8
41	**Pygargue à tête blanche**	**H**	**Possible**	**0**	**0,0**	**0**	**3**
42	Roitelet à couronne dorée	S	Possible	0	0,0	0	1
43	Grand Harle	X	N.A.	0	0,0	0	1
44	**Hirondelle de rivage**	**X**	**N.A.**	**0**	**0,0**	**0**	**4**
45	Jaseur boréal	X	N.A.	0	0,0	0	3
Total				333		438	1655

1 Nombre total d'équivalents-couples nicheurs estimé pour les espèces détectées dans un rayon de 50 mètres selon les critères fournis dans Blondel
2 Nombre total d'individus détecté dans un rayon de 50 m
3 Nombre total d'individus détecté dans un rayon illimité
Les espèces en situation précaire sont en caractères gras.

3.2 Sauvagine et espèces aquatiques - période de migration printanière et de reproduction et rapaces nicheurs

3.2.1 Effort d'inventaire et conditions d'observation

Dans le cadre de l'inventaire printanier réalisé les 21 et 22 mai 2025, 8,5 heures de vol ont été effectuées. Lors du survol en période de reproduction, 17 heures de vol ont été réalisées en quatre jours, soit du 9 et le 13 juin, pour un effort d'échantillonnage total de 25,5 heures de vol. Les inventaires se sont déroulés dans des conditions favorables à la détection, c'est-à-dire sans pluie et avec des vents d'intensité faible à moyenne durant 70 % du temps de vol.

3.2.2 Description des résultats d'inventaire

Les observations de sauvagines étaient globalement bien réparties dans la zone d'inventaire, concentrées dans les secteurs riches en lacs. La partie sud-ouest présentait une densité légèrement moindre, en lien avec une plus faible présence de cours d'eau.

3.2.2.1 Rapaces nicheurs

Aucun nid actif de rapace en situation précaire ne fut détecté lors du survol printanier. Un nid actif de buse pattue fut détecté en périphérie de la zone d'inventaire, constituant une mention notable pour cette espèce, car située à la limite sud de son aire connue de répartition.

Lors du survol en période de nidification, le hibou des marais a été noté à trois reprises, toujours concernant des individus isolés (tableau 3).

3.2.2.2 Sauvagine et oiseaux aquatiques - migration printanière

Un total de 21 espèces de sauvagine et autres espèces aquatiques a été recensé lors des inventaires héliportés de la zone d'inventaire au printemps. Parmi celles-ci, 15 sont des espèces de sauvagine et 6 sont des limicoles (tableau 2). Les plus grands nombres d'équivalents couples estimés pour la sauvagine concernent, par ordre décroissant, le Grand harle, la Macreuse à front blanc et le Canard noir (tableau 2). De nombreux radeaux de canards migrateurs composés de Hareldes kakawi, Macreuses à bec jaune et Macreuses à front blanc, ainsi que d'abondants Harles couronnés furent notés. Trois couples nicheurs de Petits garrots, un Canard pilet et un Canard colvert ont aussi été recensés.

Tableau 2. Nombre d'occurrences et nombre d'individus des espèces détectées lors du survol héliporté de la zone d'étude les 21 et 22 mai 2025, pendant la période de migration

No	Espèce	Nombre d'occurrences	Nombre total d'individus
1	Grand harle	29	85
2	Harle couronné	11	56
3	Macreuse à bec jaune	2	55
4	Canard noir	15	41
5	Macreuse à front blanc	13	35
6	Petit fuligule	8	35
7	**Quiscale rouilleux**	**18**	**29**
8	Harle huppé	7	18
9	Buse à queue rousse	3	17
10	Sarcelle d'hiver	6	11
11	Bécasseau minuscule	5	11
12	Bécassine de Wilson	2	9
13	Grand chevalier	6	9
14	Plongeon huard	5	8
15	**Petit chevalier**	**5**	**6**
16	Petit garrot	3	5
17	Garrot à œil d'or	2	4
18	Goéland hudsonien	2	4
19	Buse pattue	16	3
20	Bernache du Canada	7	2
21	Fuligule à collier	2	2
22	Plongeon catmarin	1	2
23	**Pygargue à tête blanche**	**2**	**2**
24	Chevalier solitaire	2	2
25	Pipit d'Amérique	1	2
26	Tétras du Canada	2	2
27	Canard pilet	1	1
28	Canard colvert	1	1
29	Pic flamboyant	1	1
Total		178	458

Les espèces en situation précaire sont en caractère gras

3.2.2.3 Sauvagine et oiseaux aquatiques – période de reproduction

En période de reproduction, 20 espèces de sauvagine et autres espèces aquatiques furent détectées incluant le canard noir, le grand harle, le harle couronné et la sarcelle d'hiver étaient les espèces de sauvagine les plus abondantes (tableau 3). De nouvelles espèces, absentes lors du survol printanier, ont été observées, notamment le canard branchu, la mouette de Bonaparte et la grue du Canada (tableau 3).

Quatre espèces en situation précaire furent détectées lors de cet inventaire - le pygargue à tête blanche, l'engoulevent d'Amérique et le quiscale rouilleux étant les espèces les plus détectées avec plus de 5 mentions (tableau 3).

Tableau 3. Nombre d'occurrences, nombre d'individus, nombre d'équivalents-couples et densité des espèces détectées lors du survol héliporté de la zone d'étude, pendant la période de reproduction, entre le 9 et le 13 juin 2025

No	Espèce	Nombre d'occurrences	Nombre d'individus	Nombre total d'éq-couples[1]	Densité d'éq-couples/100 km
1	Macreuse à front blanc	23	54	24	21,00
2	Canard noir	15	61	14,5	12,69
3	Sarcelle d'hiver	13	20	12	10,50
4	Harle couronné	17	43	11	9,62
5	Grand harle	14	29	10	8,75
6	Bernache du Canada	13	78	9	7,87
7	Harle huppé	7	13	7	6,12
8	Petit fuligule	5	11	5	4,37
9	Fuligule à collier	4	11	4	3,50
10	Petit garrot	2	5	3	2,62
11	Plongeon huard	9	12	3	2,62
12	**Pygargue à tête blanche**	**4**	**7**	**3**	**S/O**
13	Canard branchu	2	3	2	1,75
14	Garrot à œil d'or	4	19	2	1,75
15	Fuligule sp.	2	4	2	S/O
16	Buse à queue rousse	5	6	1	S/O
17	Grue du Canada	4	5	1	0,87
18	Mouette de Bonaparte	2	3	1	0,87
19	Buse pattue	6	6	0	S/O
20	**Hibou des marais**	**3**	**3**	**0**	**S/O**
21	Plongeon catmarin	2	2	0	0,00
22	Buse sp.	1	1	0	S/O
23	Chevalier grivelé	3	3		
24	Chevalier solitaire	5	5		
25	**Engoulevent d'Amérique**	**3**	**7**		
26	Goéland hudsonien	7	18		
27	Grand chevalier	8	8		
28	**Quiscale rouilleux**	**5**	**6**		
29	Chevalier sp.	2	2		
30	Limicole sp.	1	1		
Total		191	446	114,5	100,14

1 Équivalents-couples calculés seulement pour les espèces d'oiseaux de sauvagine
Les espèces en situation précaire sont en caractères gras.

3.3 Relevés crépusculaires

3.3.1 Effort d'inventaire et conditions d'observation

Un total de 15 stations crépusculaires ont été visitées entre le 9 et le 13 juin 2025, soit durant la période de reproduction de l'Engoulevent d'Amérique et du Hibou des marais. Les conditions d'observation étaient globalement optimales : températures de 8 à 20 °C, nébulosité variant de 0 à 4, et vents faibles à modérés (moins de 20 km/h dans 98 % des relevés). Une seule averse légère a été notée, en fin d'inventaire, à une station d'observation. Les relevés ont débuté au plus tôt à 19 h 39 et se sont terminés au plus tard à 21 h 21.

3.3.2 Description des résultats d'inventaire

Au total, 9 espèces d'oiseaux ont été détectées lors des inventaires crépusculaires, dont une espèce crépusculaire en situation précaire (engoulevent d'Amérique) et deux espèces diurnes ayant un statut d'espèce en situation précaire: l'hirondelle de rivage et le quiscale rouilleux. L'engoulevent d'Amérique a été noté à 10 des 15 stations visitées (constance de 67 %), pour un total de 14 individus, et ce principalement dans les milieux ouverts de la zone d'inventaire. L'hirondelle de rivage a été recensée à trois stations, parmi lesquelles, un site de nidification actif de l'espèce a été identifié (tableau 4).

Tableau 4. Occurrence, nombre d'individus et indice de nidification pour les espèces détectées lors des inventaires crépusculaires réalisés entre le 9 et le 13 juin 2025

No	Espèce[1]	Indice de nidification	Nidification	Occurrence	Nombre d'individus
1	**Hirondelle de rivages**	**NO**	**Confirmée**	**3**	**24**
2	**Engoulevent d'Amérique**	**S**	**Possible**	**14**	**14**
3	Grand harle	X	N.A.	1	3
4	Buse à queue rousse	H	Possible	2	2
5	Chevalier solitaire	H	Possible	1	2
6	Mésangeai du Canada	H	Possible	1	2
7	Pic à dos noir	H	Possible	1	1
8	Pic flamboyant	H	Possible	1	1
9	**Quiscale rouilleux**	**S**	**Possible**	**1**	**1**
Total :				25	50

Les espèces en situation précaire sont en caractères gras.

3.4 Espèces en situation précaire

Globalement, 8 espèces en situation précaire ont été détectées lors des inventaires de 2025, pour un total de 73 mentions (tableau 5, carte 1). Les espèces les plus répandues dans la zone d'inventaire et les plus fréquemment observées sont le quiscale rouilleux (27 mentions), l'engoulevent d'Amérique (18 mentions) et le pygargue à tête blanche (8 mentions) (carte 1; tableau 5). D'autres espèces plus rares, tels que le hibou des marais et le moucherolle à côtés olive ont été

relevées à 4 reprises chacune. Les principaux habitats utilisés par la plupart de ces dernières espèces sont de grands milieux humides tel que des tourbières ainsi que d'anciens brulis arbustifs (ou landes arbustives).

La majorité des occurrences d'espèces en situation précaire proviennent des survols héliportés, bien que plusieurs espèces aient aussi été observées de manière fortuite, ou encore lors des stations d'écoute. Certaines, comme le quiscale rouilleux sont surtout détectées par survol, alors que d'autres comme l'engoulevent d'Amérique le sont davantage lors des stations crépusculaires. La plupart de ces espèces sont considérées comme nicheuses sauf peut-être le PYTB qui correspond probablement à des individus migrateurs ou locaux non nicheurs.

En matière de nidification, seule l'hirondelle de rivage a été confirmée nicheuse. Le 12 juin, les observateurs ont détecté une colonie comportant environ 30 à 35 cavités occupées par au moins 14 adultes. Les autres espèces en situation précaire détectées lors des inventaires de 2025 sont considérées comme nicheuses possible, à l'exception du Pygargue à tête blanche, pour lequel les observations correspondraient probablement à des individus migrateurs ou locaux non nicheurs.

Enfin, une espèce en situation précaire non détectée lors des inventaires systématiques a été ajoutée grâce aux observations fortuites : le Gros-bec errant (tableau 5; Annexe 1 : Liste complète des espèces observées en 2025).

Tableau 5. Désignation et sommaire des mentions d'espèces en situation précaire détectées selon les différentes techniques d'inventaires en 2025

Espèce	Statut provincial	Statut COSEPAC[1]	Nombre d'occurrences par type d'inventaire				
			Stations crépusculaires	Survol héliporté	Stations d'écoute	Observations fortuites	Total général
Engoulevent d'Amérique	SDEMV[2]	Préoccupante	14	3		1	18
Gros-bec errant		Préoccupante				1	1
Hibou des marais	SDEMV	Préoccupante		3		1	4
Hirondelle de rivage		Menacée	3		2	1	6
Moucherolle à côtés olive	Vulnérable	Préoccupante			3	1	4
Petit chevalier		Menacée		5			5
Pygargue à tête blanche	Vulnérable	Non en péril		6	2		8
Quiscale rouilleux	SDEMV	Préoccupante	1	23	3		27
Total :			18	40	10	5	73

1 COSEPAC: Comité sur le statut des espèces en péril au Canada
2 SDDMV: espèce susceptible d'être désignée menacée ou vulnérable

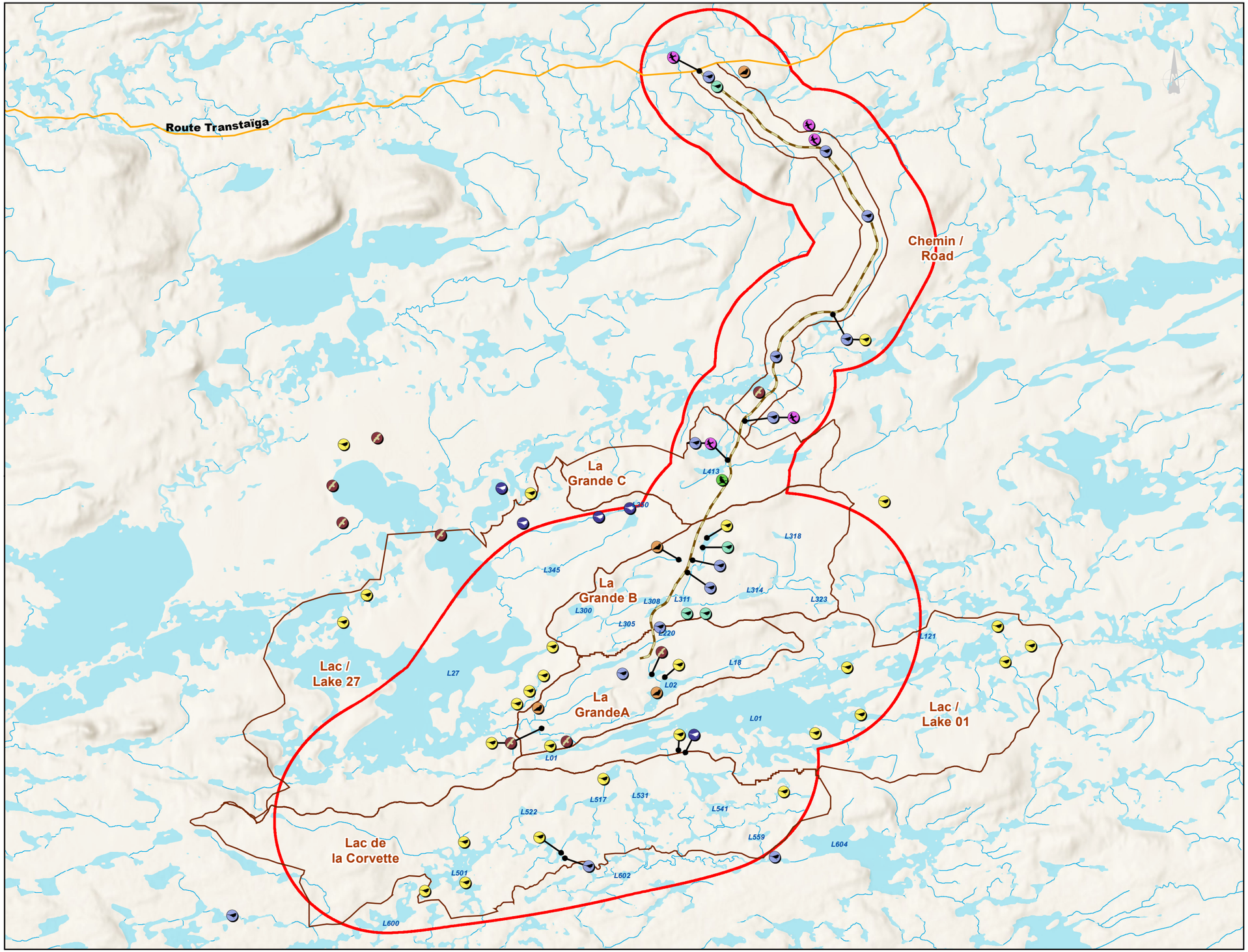

Carte 1 - Map 1

Localisation de espèces en situation précaire - Location of species at risk

- Zone d'inventaire / Survey area
- Limite des secteurs / Sector boundary

Espèce en situation précaire /
Species at risk occurrences

- Engoulevent d'Amérique / Common Nighthawk
- Gros-bec errant / Evening Grosbeak
- Hibou des marais / Short-eared Owl
- Hirondelle de rivage / Bank Swallow
- Moucherolle à côtés olive / Olive-sided Flycatcher
- Petit chevalier / Lesser Yellowlegs
- Pygargue à tête blanche / Bald Eagle
- Quiscale rouilleux / Rusty Blackbird

Hydrographie / Hydrography

- Cours d'eau / Watercourse
- Lac / Lake

Réseau routier / Road network

- Route / Road
- Chemin d'accès existant / Existing access path

Source des données :
Géobase du réseau hydrographique du Québec (GRHQ), MRNF Québec, 2019
BDTA 1:250 000, MERN Québec, 2021
Découpage administratif, SDA (20K), MRNF Québec, 2024
Réseau routier, Adresse Québec, 2024-02
Inventaire Groupe Synergis, 2025

1:80 000
0 790 1 580 m
NAD 1983 CSRS MTM 8

Projet Shaakichiuwaanaan / Shaakichiuwaanaan Project

Inventaire de l'avifaune / Bird survey

Niigaan
Projet / Project: 22-0095 / 151022002

2025-09-05
Approuvé par / Approved by :
Éloi Gagnon

Note : Cette carte n'a aucune valeur légale, seul un arpenteur-géomètre peut se prononcer sur l'exactitude des informations géographiques.
Note: This map has no legal value, only a land surveyor can comment on the accuracy of the geographical information.

G:\Niigan\22_0095_Baseline_Corvette_PBM_Baie_James\3_Donnees\Cartographie\Projet_GIS_Compilation\2025\04_Avifaune\22_0095_C1_EspecesSituationPrecaire_250904.mxd

Références

Agence d'évaluation d'impacts du Canada. 2023. Lignes directrices d'ECCC individualisées relatives à l'étude d'impact du projet minier Troilus. Version finale. 189 pages.

Bibby, C. J., N.D. Burgess, D. Hill et S. Mustoe. 2000. Bird census techniques. San Diego, Academic Press inc.

Bordage, D. et N. Plante. 1997. Tendance des effectifs nicheurs de canard noir et de canard colvert au Québec méridional 1985-1995. Série de rapports techniques no 300. Service canadien de la faune, Environnement Canada, région du Québec. Sainte-Foy. 46 pages.

David, N. 2019. Petite liste commentée des oiseaux du Québec. 29 pages. + annexes.

Guérette, A. M., E. Berthiaume, M. Darveau, S. Cumming, D. Bordage, S. Lapointe et L.V Lemelin. 2009. Répartition de la sauvagine en période de nidification entre les 51° et 58° de latitude nord dans la province de Québec. Rapport technique n° Q14, Canards Illimités Canada – Québec, Québec. 43 pages

Robert, M. M.-H. Hachey, D. Lepage, A. R., Couturier et coll. 2019. Deuxième atlas des oiseaux nicheurs du Québec méridional. Montréal.Regroupement QuébecOiseaux, Environnement et changement climatique Canada, Études d'oiseaux Canada. 694 pages.

Préparé par :

Laurence Gagnon
Biologiste, M. Sc.

Date : 2025-09-02

Approuvé par :

Carl Savignac
Biologiste, M. Sc.

Date: 2025-09-11

.

Annexe 1

Liste des espèces d'oiseaux observées dans la zone d'inventaire lors des inventaires terrain réalisés pendant la migration printanière et la reproduction en 2025

No	Nom francais[1]	Nom latin	Nature de présence au Qc[2]
1	Bécassine de Wilson	*Gallinago delicata*	NMc Hi
2	Bec-croisé bifascié	*Loxia leucoptera*	NRc
3	Bernache du Canada	*Branta canadensis*	NMc Hi
4	Bruant à couronne blanche	*Zonotrichia leucophrys*	NMp MPc Hi
5	Bruant à gorge blanche	*Zonotrichia albicollis*	NMa Hr
6	Bruant de Lincoln	*Melospiza lincolnii*	NMc Hx
7	Bruant des marais	*Melospiza georgiana*	NMa Hx
8	Bruant des prés	*Passerculus sandwichensis*	NMc hx
9	Bruant fauve	*Passerella iliaca*	NMp Hi
10	Buse à queue rousse	*Buteo jamaicensis*	NMc Hr
11	Buse pattue	*Buteo lagopus*	NMc Hr
12	Canard branchu	*Aix sponsa*	NMp Hi
13	Canard colvert	*Anas platyrhynchos*	NMc Hp
14	Canard noir	*Anas rubripes*	NMc Hp
15	Canard pilet	*Anas acuta*	NMr Hi
16	Chevalier grivelé	*Actitis macularius*	NMc
17	Chevalier solitaire	*Tringa solitaria*	NMp
18	Durbec des sapins	*Pinicola enucleator*	NRp
19	**Engoulevent d'Amérique**	***Chordeiles minor***	**NMp**
20	Fuligule à collier	*Aythya collaris*	NMc Hx
21	Garrot à œil d'or	*Bucephala clangula*	NMc Hp
22	Goéland hudsonien	*Larus argentatus*	NMc Hp
23	Grand chevalier	*Tringa melanoleuca*	NMp MPc
24	Grand corbeau	*Corvus corax*	NSa
25	Grand harle	*Mergus merganser*	NMc Hp
26	Grimpereau brun	*Certhia americana*	NMc Hr
27	Grive à dos olive	*Catharus ustulatus*	NMa
28	Grive fauve	*Catharus fuscescens*	NMa
29	Grive solitaire	*Catharus guttatus*	NMa Hi
30	**Gros-bec errant**	***Coccothraustes vespertinus***	**NRp**
31	Grue du Canada	*Antigone canadensis*	NMp Hx
32	Harle couronné	*Lophodytes cucullatus*	NMp Hi
33	Harle huppé	*Mergus serrator*	NMr Hp
34	**Hibou des marais**	***Asio flammeus***	**NMr Hi**
35	**Hirondelle de rivage**	***Riparia riparia***	**NMp**
36	Jaseur boréal	*Bombycilla garrulus*	NRr
37	Junco ardoisé	*Junco hyemalis*	NMa Hr
38	Macreuse à bec jaune	*Melanitta americana*	NMp hi
39	Macreuse à front blanc	*Melanitta perspicillata*	NMr hi

No	Nom francais[1]	Nom latin	Nature de présence au Qc[2]
40	Merle d'Amérique	*Turdus migratorius*	NMa Hr
41	Mésange à tête brune	*Poecile hudsonicus*	NRc
42	Mésangeai du Canada	*Perisoreus canadensis*	NRc
43	**Moucherolle à côtés olive**	***Contopus cooperi***	**NMp**
44	Moucherolle à ventre jaune	*Empidonax flaviventris*	NMc
45	Moucherolle des aulnes	*Empidonax alnorum*	NMa
46	Mouette de Bonaparte	*Chroicocephalus philadelphia*	NMp hx
47	Paruline à calotte noire	*Cardellina pusilla*	NMp
48	Paruline à couronne rousse	*Setophaga palmarum*	NMp
49	Paruline à croupion jaune	*Setophaga coronata*	NMa Hi
50	Paruline à joues grises	*Leiothlypis ruficapilla*	NMa hx
51	Paruline des ruisseaux	*Parkesia noveboracensis*	NMc
52	Paruline rayée	*Setophaga striata*	NMp
53	Paruline verdâtre	*Leiothlypis celata*	NMr
54	Petit chevalier	*Tringa flavipes*	NMr MPc
55	Petit fuligule	*Aythya affinis*	NMr Hx
56	Petit garrot	*Bucephala albeola*	NMr Hi
57	Pic à dos noir	*Picoides arcticus*	NRp
58	Pic à dos rayé	*Picoides dorsalis*	NRp
59	Pic flamboyant	*Colaptes auratus*	NMa Hi
60	Pipit d'Amérique	*Anthus rubescens*	NMr MPp Hx
61	Plongeon catmarin	*Gavia stellata*	NMp hx
62	Plongeon huard	*Gavia immer*	NMc Hi
63	**Pygargue à tête blanche**	***Haliaeetus leucocephalus***	**NMp Hr**
64	**Quiscale rouilleux**	***Euphagus carolinus***	**NMp Hi**
65	Roitelet à couronne dorée	*Regulus satrapa*	NMa Hr
66	Roitelet à couronne rubis	*Regulus calendula*	NMa Hx
67	Sarcelle d'hiver	*Anas crecca*	NMp Hx
68	Tétras du Canada	*Falcipennis canadensis*	NSp
69	Troglodyte des forêts	*Troglodytes hiemalis*	NMa Hi

1 Selon David 2019. Voir l'annexe 2 pour la légende des codes.
Les espèces en situation précaire sont en caractères gras.

Annexe 2

Signification des codes relatifs à la nature de la présence des espèces d'oiseaux au Québec (Tiré de David 2019).

Code	Définition	Détails
NS	Nicheur sédentaire	Espèce nicheuse qui n'effectue aucune migration véritable. Les déplacements postnuptiaux, s'il y en a, sont de courte distance et sont habituellement le fait des jeunes.
NR	Nicheur résidant	Espèce nicheuse dont la totalité ou la majeure partie des effectifs hiverne à l'intérieur des limites du Québec. Les déplacements postnuptiaux et prénuptiaux sont soit annuels (Geai bleu, Mésange à tête noire, etc.), soit irréguliers (Pic à dos noir, etc.), ou même cycliques (Autour des palombes).
NM	Nicheur migrateur	Espèce nicheuse dont la totalité ou la majeure partie des effectifs hiverne à l'extérieur de la région considérée. Les déplacements prénuptiaux et postnuptiaux sont des migrations véritables.
MP	Migrateur de passage	Espèce de passage lors de la migration annuelle entre les territoires de nidification et les quartiers d'hivernage, tous deux situés hors du Québec.
V	Visiteur	Espèce présente loin de son aire de reproduction (hors du Québec) par suite de divers phénomènes de dispersion (erratisme, déplacements hors des voies habituelles de migration, dispersion prénuptiale, dispersion postnuptiale, incursions subites, ou autres).
H	Hivernant	Espèce dont on connaît au moins un hivernage réussi, c'est-à-dire présente durant tout l'hiver jusqu'à l'arrivée des premiers migrateurs printaniers. Ce descripteur est employé pour indiquer l'hivernage des espèces migratrices et des visiteurs. Il existe d'autres espèces dont on a rapporté des présences ici en janvier, ou février, c'est-à-dire au coeur de l'hiver québécois, mais sans qu'on puisse avoir la certitude qu'elles avaient vraiment hiverné; dans ces cas, le descripteur est donné h.
E	Estivant	Espèce présente en période de reproduction. Ce descripteur est appliqué aux espèces dont la nidification n'est pas confirmée ici.
x	Exceptionnel	Présente historiquement une ou quelques fois seulement, jusqu'à une quinzaine de fois dans quelques cas.
i	Inusité	Présente à tous les deux à cinq ans en moyenne.
r	Rare	Présente annuellement mais observée en petits nombres ou à quelques endroits seulement. peu commun
pc	Peu commun	Présente annuellement mais observée peu souvent
c	Commun	Présente annuellement et observée souvent.
a	Abondant	Présente annuellement et observée presque toujours.
NS	Nicheur sédentaire	Espèce nicheuse qui n'effectue aucune migration véritable. Les déplacements postnuptiaux, s'il y en a, sont de courte distance et sont habituellement le fait des jeunes.
NR	Nicheur résidant	Espèce nicheuse dont la totalité ou la majeure partie des effectifs hiverne à l'intérieur des limites du Québec. Les déplacements postnuptiaux et prénuptiaux sont soit annuels (Geai bleu, Mésange à tête noire, etc.), soit irréguliers (Pic à dos noir, etc.), ou même cycliques (Autour des palombes).

ANNEXE

6-21 CARIBOU FORESTIER ET MIGRATEUR

RESSOURCES PMET INC.

PROJET MINIER SHAAKICHIUWAANAAN

RAPPORT SECTORIEL – CARIBOU FORESTIER ET MIGRATEUR

EEYOU ISTCHEE BAIE-JAMES

MARS 2026

CONFIDENTIEL

RÉFÉRENCE WSP : CA0001724.3318_008_R_REV1

VERSION FINALE

RESSOURCES PMET INC.

PROJET MINIER SHAAKICHIUWAANAAN

RAPPORT SECTORIEL – CARIBOU FORESTIER ET MIGRATEUR

EEYOU ISTCHEE BAIE-JAMES

VERSION FINALE
CONFIDENTIEL

RÉFÉRENCE WSP : CA0001724.3318_008_R_REV1

MARS 2026

WSP CANADA INC.
1135, BOULEVARD LEBOURGNEUF
QUÉBEC (QUÉBEC) G2K 0M5
CANADA

TÉLÉPHONE : +1-418-623-2254
TÉLÉCOPIEUR : +1-418-624-1857

WSP.COM

GESTION DES RÉVISIONS

VERSION	DATE	DESCRIPTION
RevA	2025-05-29	Version préliminaire
RevB	2025-11-14	Version réponses aux commentaires du client
Rev0	2026-02-26	Version finale
Rev1	2026-03-24	Version finale révisée

SIGNATURES

PRÉPARÉ PAR

Lisyanne Metthé, biologiste, M. Sc.
Responsable de discipline

24 mars 2026
Date

RÉVISÉ PAR

Marie-Hélène Brisson, biologiste
Directrice de projet

24 mars 2026
Date

LIMITATIONS

WSP Canada Inc. (WSP) a préparé ce rapport uniquement pour son destinataire Ressources PMET Inc., conformément à la convention de consultant convenue entre les parties. Advenant qu'une convention de consultant n'ait pas été exécutée, les parties conviennent que les Modalités générales à titre de consultant de WSP régiront leurs relations d'affaires, lesquelles vous ont été fournies avant la préparation de ce rapport.

Ce rapport est destiné à être utilisé dans son intégralité. Aucun extrait ne peut être considéré comme représentatif des résultats de l'évaluation.

Les conclusions présentées dans ce rapport sont basées sur le travail effectué par du personnel technique, entraîné et professionnel, conformément à leur interprétation raisonnable des pratiques d'ingénierie et techniques courantes et acceptées au moment où le travail a été effectué.

Le contenu et les opinions exprimées dans le présent rapport sont basés sur les observations et/ou les informations à la disposition de WSP au moment de sa préparation, en appliquant des techniques d'investigation et des méthodes d'analyse d'ingénierie conformes à celles habituellement utilisées par WSP et d'autres ingénieurs/techniciens travaillant dans des conditions similaires, et assujettis aux mêmes contraintes de temps, et aux mêmes contraintes financières et physiques applicables à ce type de projet.

WSP dénie et rejette toute obligation de mise à jour du rapport si, après la date du présent rapport, les conditions semblent différer considérablement de celles présentées dans ce rapport ; cependant, WSP se réserve le droit de modifier ou de terminer ce rapport sur la base d'informations, de documents ou de preuves additionnels.

WSP ne fait aucune représentation relativement à la signification juridique de ses conclusions.

La divulgation de tout renseignement faisant partie du présent rapport relève uniquement de la responsabilité de son destinataire. Si un tiers utilise, se fie, ou prend des décisions ou des mesures basées sur ce rapport, ledit tiers en est le seul responsable. WSP n'accepte aucune responsabilité quant aux dommages que pourrait subir un tiers suivant l'utilisation de ce rapport ou quant aux dommages pouvant découler d'une décision ou mesure prise basée sur le présent rapport.

WSP a exécuté ses services offerts au destinataire de ce rapport conformément à la convention de consultant convenue entre les parties tout en exerçant le degré de prudence, de compétence et de diligence dont font habituellement preuve les membres de la même profession dans la prestation des mêmes services ou de services comparables à l'égard de projets de nature analogue dans des circonstances similaires. Il est entendu et convenu entre WSP et le destinataire de ce rapport que WSP n'offre aucune garantie, expresse ou implicite, de quelque nature que ce soit. Sans limiter la généralité de ce qui précède, WSP et le destinataire de ce rapport conviennent et comprennent que WSP ne fait aucune représentation ou garantie quant à la suffisance de sa portée de travail pour le but recherché par le destinataire de ce rapport.

En préparant ce rapport, WSP s'est fié de bonne foi à l'information fournie par des tiers, comme indiqué dans le rapport. WSP a raisonnablement présumé que les informations fournies étaient correctes et WSP ne peut donc être tenu responsable de l'exactitude ou de l'exhaustivité de ces informations.

Les bornes et les repères d'arpentage utilisés dans ce rapport servent principalement à établir les différences d'élévation relative entre les emplacements de prélèvement et/ou d'échantillonnage et ne peuvent servir à d'autres fins. Notamment, ils ne peuvent servir à des fins de nivelage, d'excavation, de construction, de planification, de développement, etc.

Les conditions générales d'un site ne peuvent être extrapolées au-delà des zones définies et des emplacements de prélèvement et d'échantillonnage. Les conditions d'un site entre les emplacements de prélèvement et d'échantillonnage peuvent différer des conditions réelles. La précision et l'exactitude de toute extrapolation et spéculation au-delà des emplacements des prélèvements et d'échantillonnage dépendent des conditions naturelles, de l'historique de développement du site et des changements entraînés par la construction et des autres activités sur le site. De plus, l'analyse a été effectuée pour les paramètres chimiques et physiques déterminés seulement, et il ne peut pas être présumé que d'autres substances chimiques ou conditions physiques ne sont pas présentes. WSP ne fournit aucune garantie et ne fait aucune représentation contre les risques environnementaux non décelés ou contre des effets négatifs causés à l'extérieur de la zone définie.

L'original du fichier électronique que nous vous transmettons sera conservé par WSP pour une période minimale de dix ans. WSP n'assume aucune responsabilité quant à l'intégrité du fichier qui vous est transmis et qui n'est plus sous le contrôle de WSP. Ainsi, WSP n'assume aucune responsabilité quant aux modifications faites au fichier électronique suivant sa transmission au destinataire.

Copilot a été utilisée pour enrichir la formulation des idées exprimées dans ce rapport. Cet usage se limite à la clarification du texte et à la bonification du vocabulaire utilisé pour exprimer les opinions de l'auteur.

Ces limitations sont considérées comme faisant partie intégrante du présent rapport.

CLIENT

RESSOURCES PMET INC.

Vice-Présidente – Environnement et approbation	Cathryn Moffett

ÉQUIPE DE RÉALISATION

WSP CANADA INC. (WSP)

Directrice de projet	Marie-Hélène Brisson, biol.
Chargée de projet	Valérie Roy, biol.
Responsable de discipline	Lisyanne Metthé, biol.
Analyse et rédaction	Ariane Brousseau-Dumont, ing. f., biol. Lisyanne Metthé, biol. Adèle Michaud, biol.
Collaboration	Alain Chabot, technicien senior, spécialiste de la grande faune Raphaël Tremblay, biol., spécialiste en intelligence artificielle
Cartographie	Jonathan Roy, analyste SIG
Édition	Cathia Gamache, adjointe administrative

RÉFÉRENCE À CITER

WSP. 2026. Projet minier Shaakichiuwaanaan. Rapport sectoriel – Caribou forestier et migrateur. Eeyou Istchee Baie-James. Rapport produit pour Ressources PMET Inc. Référence WSP : CA0001724.3318_008_R_Rev1. 69 pages.

TABLE DES MATIÈRES

1 Introduction 1
1.1 Mise en contexte 1
1.2 Objectifs de l'étude 1
1.3 Zone d'étude 2
1.4 Contexte légal et réglementaire 6
1.4.1 Caribou forestier 6
1.4.2 Caribou migrateur 11
1.5 Enjeux écologiques 11
1.6 Enjeux pour les Premières Nations 11
2 Méthodologie 13
2.1 Collecte de données 13
2.1.1 Revue de littérature 13
2.1.2 Données télémétriques 13
2.1.3 Observations opportunistes 14
2.2 Analyse des données 14
2.2.1 Qualité de l'habitat 14
2.2.2 Perturbation dans l'habitat 14
2.2.3 Habitat potentiel 21
2.2.4 Utilisation de la zone d'étude 23
3 Revue de littérature 25
3.1 État des populations 25
3.1.1 Caribou forestier 25
3.1.2 Caribou migrateur 27
3.2 Sélection d'habitat 28
3.2.1 Caribou forestier 28
3.2.2 Caribou migrateur 29
4 Résultats 37
4.1 Qualité de l'habitat 37
4.2 Perturbation de l'habitat 39
4.2.1 Caribou forestier 39
4.2.2 Caribou migrateur 45
4.3 Habitat potentiel 49
4.3.1 Caribou forestier 49
4.3.2 Caribou migrateur 49
4.4 Utilisation de la zone d'étude 49
4.4.1 Caribou forestier 49
4.4.2 Caribou migrateur 50

5 Conclusion 57
5.1 Caribou forestier 57
5.2 Caribou migrateur 58
5.3 Synthèse et recommandations 58
Références bibliographiques 61

Tableaux

Tableau 1 Catégorisation des perturbations et zone tampon appliquée pour le calcul du taux de perturbation dans l'habitat du caribou forestier 17

Tableau 2 Zones d'influence des perturbations anthropiques pour le caribou migrateur des troupeaux rivière aux Feuilles (TRAF) et rivière George (TRG) dans le nord du Québec et du Labrador, au Canada, durant l'été (2009–2013) et l'hiver (2009–2016) 19

Tableau 3 Catégorisation des perturbations et zone tampon appliquée pour le calcul du taux de perturbation dans l'habitat du caribou migrateur 20

Tableau 4 Caractéristiques biophysiques de l'habitat essentiel du caribou forestier dans l'écozone de la taïga du bouclier en fonction de la période de sensibilité biologique 21

Tableau 5 Résultats de l'inventaire aérien de 2020 du Secteur Baie-James – Ouest 25

Tableau 6 Taux de perturbation de l'habitat du caribou forestier dans la zone d'étude selon l'approche méthodologique du Gouvernement du Québec 40

Tableau 7 Taux de perturbation de l'habitat du caribou forestier dans la zone d'étude selon l'approche méthodologique du Gouvernement du Canada 41

Tableau 8 Taux de perturbation de l'habitat du caribou migrateur dans la zone d'étude 46

Tableau 9 Observations de caribous à proximité du camp Explo 50

Cartes

Carte 1 Localisation du projet minier et de la zone d'étude régionale 3

Carte 2 Aire de répartition du caribou migrateur du troupeau rivière aux Feuilles (TRAF) 4

Carte 3 Aires de répartition des populations de caribou forestier et migrateur chevauchant la zone d'étude 5

Carte 4 Mesures gouvernementales de gestion contribuant à la protection de l'habitat du caribou forestier 9
Carte 5 Indice de qualité d'habitat dans la zone d'étude pour le caribou forestier 38
Carte 6 Habitat potentiel et perturbations pour le caribou forestier dans la zone d'étude 43
Carte 7 Habitat potentiel et perturbations pour le caribou migrateur dans la zone d'étude 47
Carte 8 Utilisation du territoire (kernels) par le caribou migrateur du troupeau de la rivière aux Feuilles (TRAF) 55

Figures

Figure 1 Fluctuations historiques dans l'estimation de l'abondance de caribous migrateurs du troupeau de la rivière aux Feuilles (TRAF) 27
Figure 2 Nombres d'individus et de points GPS de caribous migrateurs du troupeau rivière aux Feuilles (TRAF) compilés mensuellement entre 2004 et 2024 51
Figure 3 Nombre d'individus et fréquentation annuelle de 2004 à 2024 de la zone d'étude pour le caribou migrateur du troupeau rivière aux Feuilles (TRAF) 52
Figure 4 Nombre d'individus et fréquentation mensuelle et annuelle de 2004 à 2024 de la zone d'étude pour le caribou migrateur du troupeau rivière George (TRG) 53

1 Introduction

1.1 Mise en contexte

Ressources PMET Inc. (PMET) est une société d'exploration minière qui se concentre sur l'acquisition et le développement de projets miniers contenant des métaux de base et des métaux minéraux critiques et stratégiques. La société détient 100 % de la propriété Shaakichiuwaanaan. PMET poursuit actuellement l'exploration et le développement de cette propriété et a débuté les études environnementales de base nécessaires pour compléter le processus d'évaluation environnementale auquel sera assujetti le développement du projet minier Shaakichiuwaanaan.

L'extraction projetée de spodumène de la propriété Shaakichiuwaanaan dans un mode d'exploitation hybride (fosse à ciel ouvert et exploitation souterraine) à un taux d'extraction supérieur à 5 kt/j est assujettie au régime d'évaluation provincial des impacts sur l'environnement et le milieu social applicables au territoire visé par la Convention de la Baie-James et du Nord québécois (CBJNQ) (sud du 55^{e} parallèle – via le Comité d'évaluation des répercussions sur l'environnement et le milieu social [COMEV] et le Comité d'examen des répercussions sur l'environnement et le milieu social [COMEX]) de même qu'à la procédure fédérale d'évaluation des impacts prévue en vertu de la *Loi sur l'évaluation d'impact* (L.C. 2019, ch. 28, art. 1).

Dans ce contexte, PMET a mandaté WSP Canada Inc. (ci-après WSP) pour réaliser certaines études environnementales visant à documenter les conditions environnementales de base du milieu récepteur du projet. Ces études seront utilisées dans le futur durant les processus d'évaluation et d'autorisation environnementales du projet, et permettront d'évaluer ses impacts environnementaux et d'orienter les mesures d'atténuation requises pour en améliorer l'acceptabilité environnementale. La présente étude sectorielle porte spécifiquement sur le caribou des bois.

1.2 Objectifs de l'étude

Cette étude sectorielle sur le caribou des bois (*Rangifer tarandus caribou*) a pour principal objectif de brosser un portrait de l'état des populations de caribou qui fréquentent la zone d'étude et d'évaluer l'habitat du caribou dans la zone d'étude, afin de répondre aux directives provinciales et fédérales pour l'évaluation du projet minier Shaakichiuwaanaan. Les objectifs spécifiques sont les suivants :

- décrire le contexte régional du caribou forestier et migrateur dans la région du Nord-du-Québec en lien avec leurs statuts respectifs;
- documenter les paramètres démographiques des populations de caribou forestier et migrateur qui fréquentent la zone d'étude;
- analyser l'utilisation de la zone d'étude par le caribou forestier et migrateur;
- évaluer les conditions d'habitat pour le caribou forestier et migrateur dans la zone d'étude.

1.3 Zone d’étude

Le projet Shaakichiuwaanaan est situé dans la région du Nord-du-Québec au sud du lac Tilly, sur le territoire Eeyou Istchee Baie-James soit à l’ouest de La Grande-Quatre et à environ 230 km à l’est de Radisson, Baie-James, sur le territoire du Gouvernement régional d’Eeyou Istchee Baie-James (GREIBJ), ancienne municipalité régionale de comté (MRC) Jamésie. Pour délimiter la zone d’étude du caribou, le centre de l'emplacement prévu pour le site minier a été utilisé comme point de référence spatiale pour les analyses. La zone d’étude du caribou correspond à un rayon de 50 km en périphérie du centroïde du site minier Shaakichiuwaanaan et elle représente une superficie de 7 850 km². La carte 1 illustre la localisation et la délimitation géographique de la zone d’étude.

La délimitation de la zone d’étude a été établie en considérant les lignes directrices pour l’aménagement de l’habitat du caribou forestier (ÉRCFQ, 2013a) qui précisent, à l’élément 6, que la superficie minimale des unités d’analyse du taux de perturbation de l’habitat du caribou forestier est de 5 000 km². Cette zone a été utilisée pour la demande d’information faunique auprès du ministère de l’Environnement, de la Lutte contre les changements climatiques, de la Faune et des Parcs (MELCCFP).

En prenant en compte les aires de répartition du caribou, le caribou forestier du secteur d’acquisition de connaissance de la Baie-James (ci-après Secteur Baie-James) est le plus susceptible de fréquenter la zone d’étude, de même que le caribou migrateur du troupeau de la rivière aux Feuilles (TRAF), lors de sa migration automnale et de la période d’hivernage. Ainsi, la zone retenue pour la description régionale de la composante caribou est principalement délimitée par le Secteur Baie-James pour le caribou forestier et l’aire de répartition du caribou migrateur du TRAF, qui chevauchent la zone d’étude du projet. Bien que le Secteur Baie-James soit inclus dans l’aire de répartition continue du caribou forestier au Québec (ÉRCFQ, 2013a), ce secteur ne correspond pas à une *aire de répartition* d’une population établie et suivie au sens strict. À ce jour, il s’agit d’un secteur d’acquisition de connaissances au sein duquel le MELCCFP vise à acquérir davantage de données dans le futur.

L’aire de répartition du caribou migrateur du troupeau de la rivière aux Feuilles est illustrée à la carte 2. Finalement, la carte 3 illustre le Secteur Baie-James pour le caribou forestier, de même que la portion sud de l’aire de répartition du TRAF par rapport à la zone d’étude du projet Shaakichiuwaanaan.

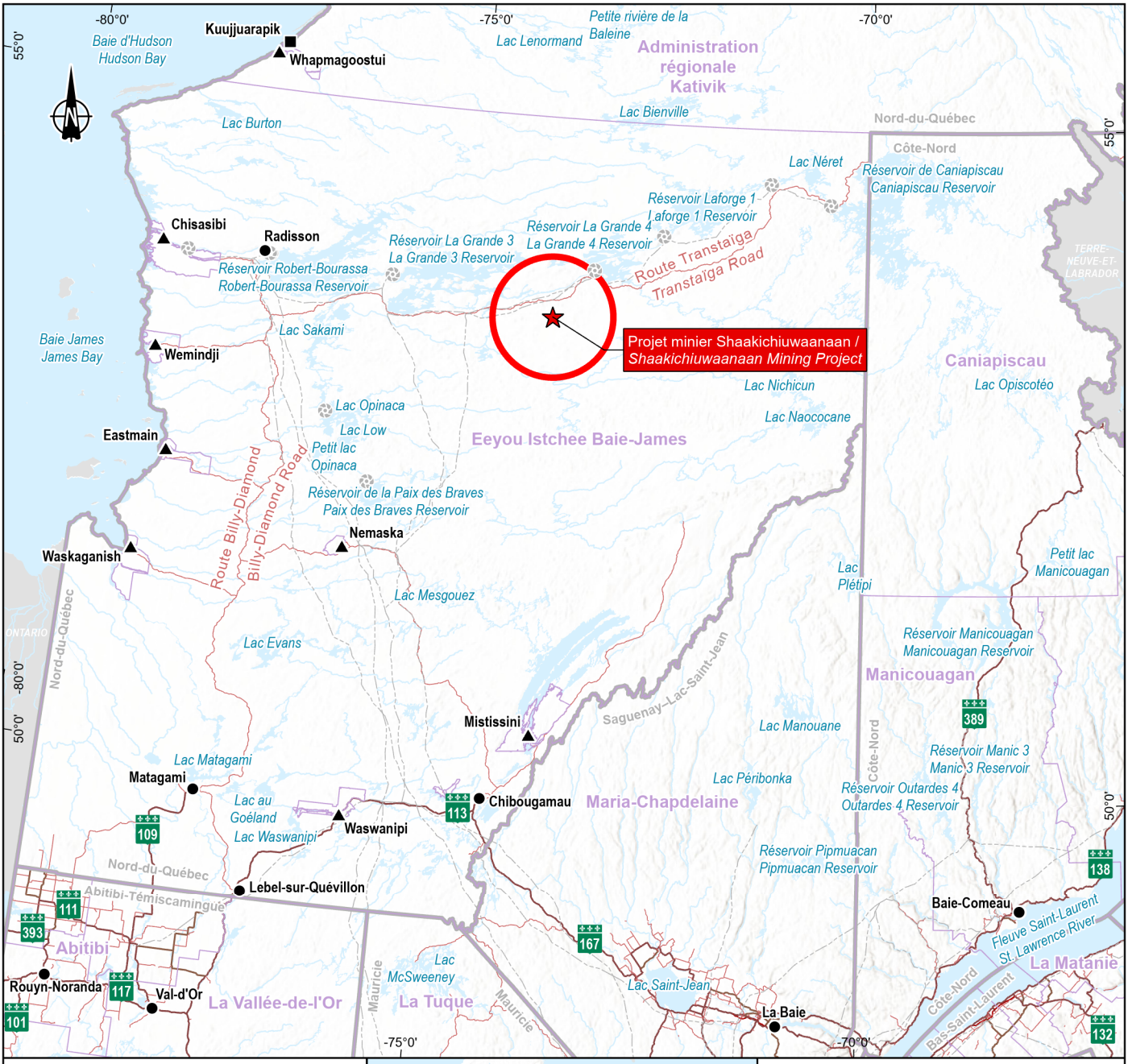

Zone d'étude / *Study Area*

Régionale - Biophysique / *Regional - Biophysical*

Repères géographiques / *Geographical Landmarks*

- Communauté crie (zone d'étude régionale) / *Cree community (regional study area)*
- Village inuit / *Inuit village*
- Municipalité / *Municipality*

Infrastructures / *Infrastructure*

- Centrale hydroélectrique / *Hydroelectric generating station*
- Ligne de transport d'énergie / *Electric power transmission line*

Réseau routier / *Road Network*

- Autoroute / *Highway*
- Route nationale / *National road*
- Route régionale / *Regional road*
- Autre / *Other*

Limites / *Boundaries*

- Région administrative / *Administrative Region*
- Municipalité régionale de comté (MRC) et Territoires autochtones / *Regional County Municipality (RCM) and First Nations Territories*

PMET

Projet minier Shaakichiuwaanaan / *Shaakichiuwaanaan Mining Project*

Rapport sectoriel – Caribou / *Sectoral Report – Caribou*

Carte 1 / *Map 1*
Localisation du projet minier et de la zone d'étude régionale / *Location of the Mining Project and Regional Study Area*

Sources :

SDA, 1/20 000, MRNF, 2024-02
Canvec, 1/250 000, 1/5 000 000 et 1/15 000 000, RNCan, 2019
BDGA, 1/1 000 000, MRN Québec, 2014
BDGA, 1/5 000 000, MRNF Québec, 2010
AQréseau+, réseau routier, MERN, 2024-03-01
RNCan, Frontières géopolitiques, 2002

0 50 100 km

NAD 1983 Quebec Lambert

2026-03-16

Préparation / Preparation : A. Brousseau Dumont
Dessin / Drawing : J. Roy
Approbation / Approval : A. Chabot
CA0001724_3318_eie_sc_gf_caribou_260316_c1a4.aprx
CA0001724_3318_eie_sc_gf_c01_053_loc_260316

wsp

La précision des limites et les mesures montrées sur ce document ne doivent pas servir à des fins d'ingénierie ou de délimitation foncière. Aucune analyse foncière n'a été effectuée par un arpenteur-géomètre. / Boundary accuracy and measurements shown on this document are not intended for engineering or land delineation purposes. No land analysis has been performed by a land surveyor.

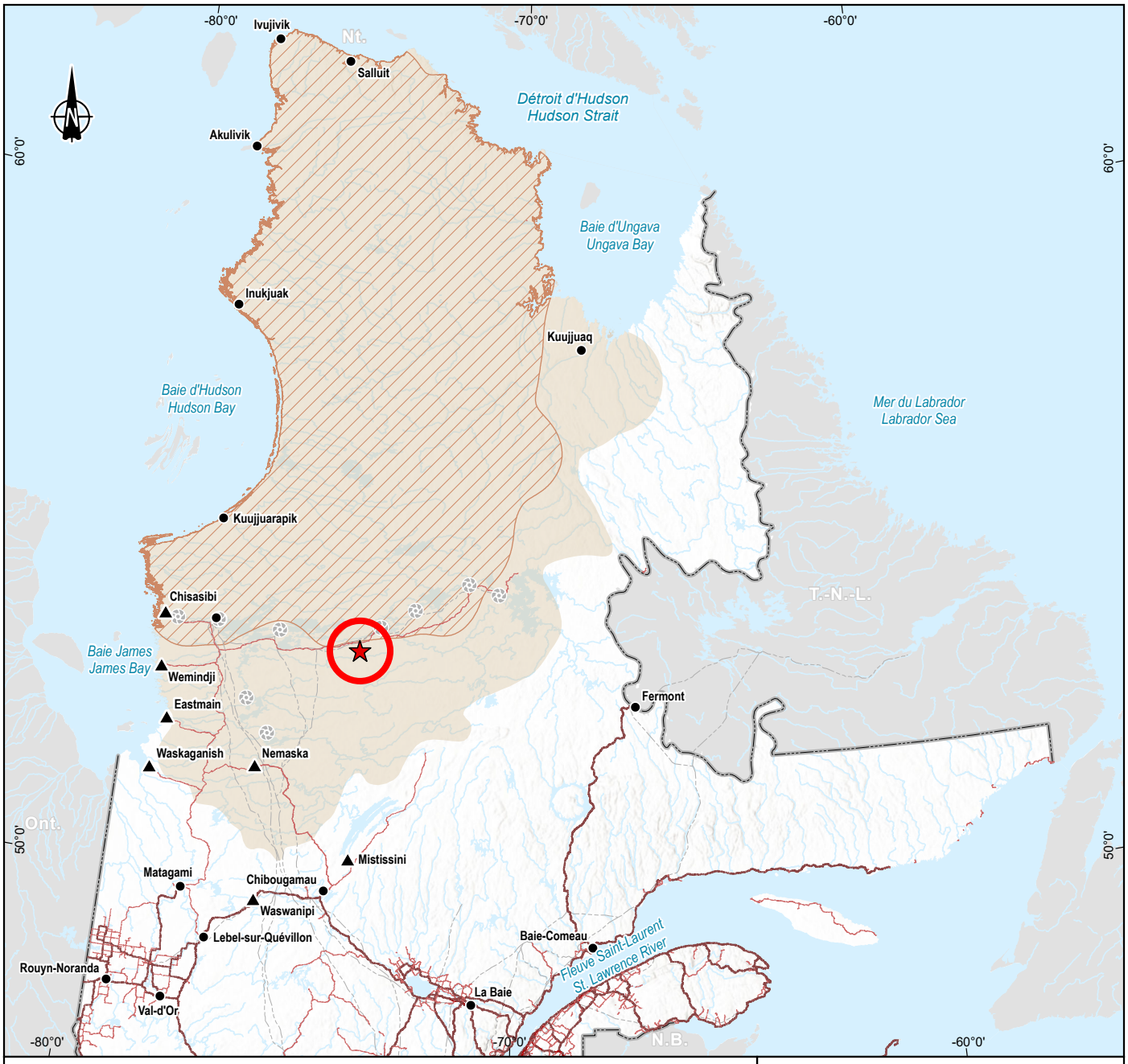

Composante du projet / *Project Component*

Projet minier Shaakichiuwaanann / *Shaakichiuwaanann Mining Project*

Zone d'étude / *Study Area*

Régionale - Biophysique / *Regional - Biophysical*

Caribou / *Caribou*

Troupeau de la Rivière-aux-feuilles / *Rivière-aux-Feuilles Herd*

Aire de répartition 2018-2023 / *2018-2023 Range*

Aire de répartition historique / *Historical Range*

Repère géographique / *Geographical Landmark*

Municipalité / *Municipality*

Infrastructures / *Infrastructure*

Centrale hydroélectrique / *Hydroelectric generating station*

Ligne de transport d'énergie / *Electric power transmission line*

Réseau routier / *Road Network*

Autoroute / *Highway*

Route nationale ou régionale / *National or regional road*

Autre / *Other*

Projet minier Shaakichiuwaanaan / *Shaakichiuwaanaan Mining Project*

Rapport sectoriel – Caribou / *Sectoral Report – Caribou*

Carte 2 / Map 2
Aire de répartition du caribou migrateur du troupeau Rivière-aux-Feuilles (TRAF) / *Distribution Area of the Migratory Caribou of the Rivière-aux-Feuilles Herd (RAFH)*

Sources :

SDA, 1/20 000, MRNF, 2024-02
BDGA, 1/1 000 000, MRN Québec, 2014
BDGA, 1/5 000 000, MRNF Québec, 2010
Canvec, /15 000 000, RNCan, 2019
AQréseau+, réseau routier, MERN, 2024-03-01
Aire de répartition caribou migrateur, MELCCFP, 2024

0 100 200 km

NAD 1983 Quebec Lambert

2026-03-19

Préparation / Preparation : L. Metthé
Dessin / Drawing : J. Roy
Approbation / Approval : M. H. Brisson
CA0001724_3318_eie_sc_gf_caribou_260316_c1a4.aprx
CA0001724_3318_eie_sc_gf_c02_056_historique_260316

La précision des limites et les mesures montrées sur ce document ne doivent pas servir à des fins d'ingénierie ou de délimitation foncière. Aucune analyse foncière n'a été effectuée par un arpenteur-géomètre. / Boundary accuracy and measurements shown on this document are not intended for engineering or land delineation purposes. No land analysis has been performed by a land surveyor.

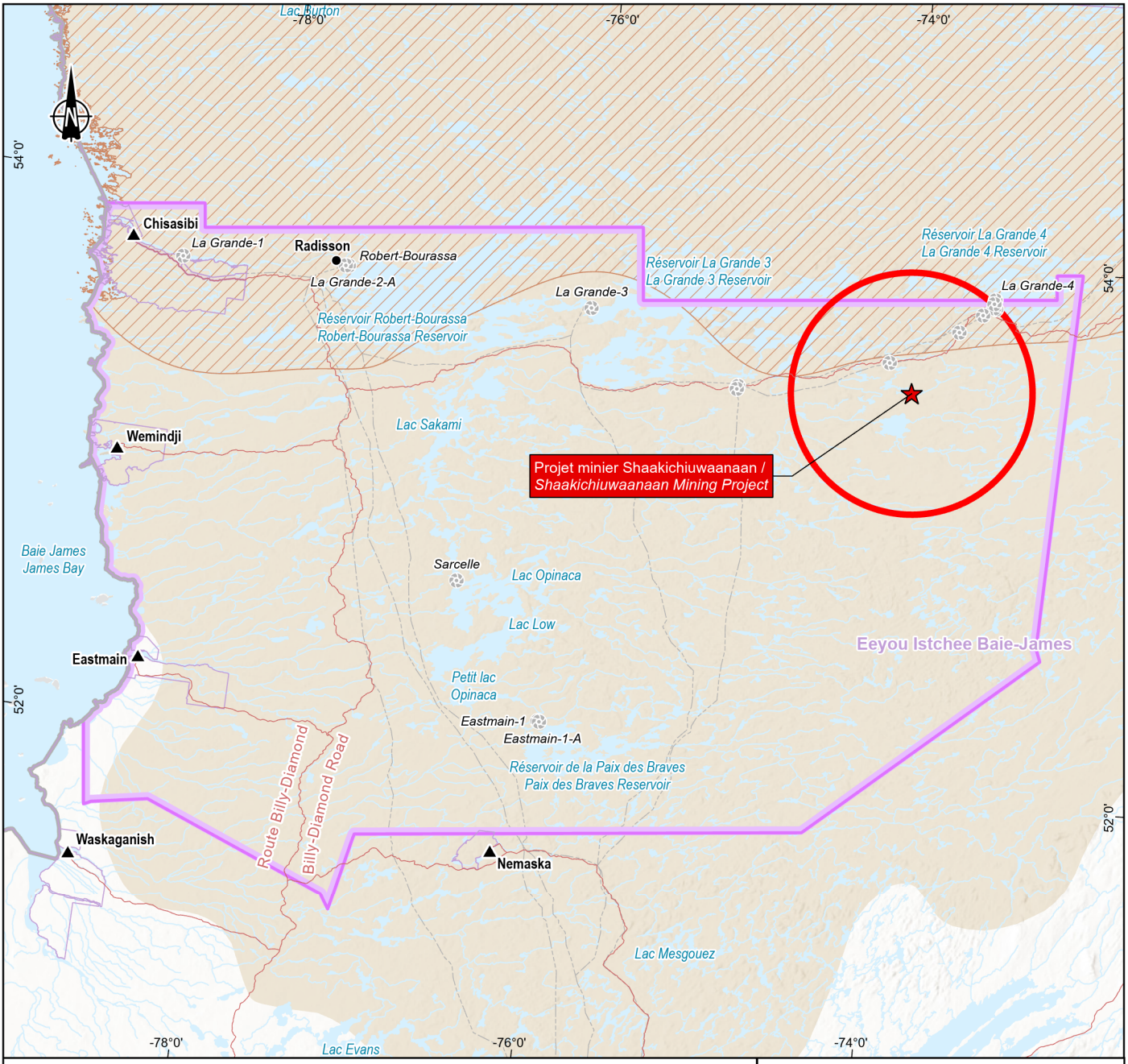

Zone d'étude / *Study Area*

Régionale - Biophysique / *Regional - Biophysical*

Caribou / *Caribou*

Aire de répartition / *Distribution Area*

Caribou forestier / *Woodland caribou*

Secteur Baie-James

Caribou migrateur / *Migratory caribou*

Troupeau de la Rivière-aux-feuilles / *Rivière-aux-Feuilles Herd*

Aire de répartition 2018-2023 / *2018-2023 Range*

Aire de répartition historique / *Historical range*

Repères géographiques / *Geographical Landmarks*

Communauté crie dans la zone d'étude du milieu humain / *Cree community in the human environment study area*

Municipalité / *Municipality*

Infrastructures / *Infrastructure*

Centrale hydroélectrique / *Hydroelectric generating station*

Ligne de transport d'énergie / *Electric power transmission line*

Limites / *Boundaries*

Région administrative / *Administrative Region*

Municipalité régionale de comté (MRC) et Territoires autochtones / *Regional County Municipality (RCM) and First Nations Territories*

Projet minier Shaakichiuwaanaan / *Shaakichiuwaanaan Mining Project*

Rapport sectoriel – Caribou / *Sectoral Report – Caribou*

Carte 3 / *Map 3*
Aires de répartition des populations de caribou forestier et migrateur chevauchant la zone d'étude / *Distribution Areas of Woodland and Migratory Caribou Populations Overlapping the Study Area*

Sources :

SDA, 1/20 000, MRNF, 2024-02
Canvec, 1/250 000, 1/5 000 000 et 1/15 000 000, RNCan, 2019
BDGA, 1/1 000 000, MRN Québec, 2014
BDGA, 1/5 000 000, MRNF Québec, 2010
AQréseau+, réseau routier, MERN, 2024-03-01
Aire de répartition caribou forestier, MELCCFP, 2023-12-19
Aire de répartition caribou migrateur, MELCCFP, 2024

0 20 40 km

NAD 1983 Quebec Lambert

2026-03-17

Préparation / Preparation : L. Metthé
Dessin / Drawing : J. Roy
Approbation / Approval : M. H. Brisson
CA0001724_3318_eie_sc_gf_caribou_260316_c1a4.aprx
CA0001724_3318_eie_sc_gf_c03_054_ZE_260316

La précision des limites et les mesures montrées sur ce document ne doivent pas servir à des fins d'ingénierie ou de délimitation foncière. Aucune analyse foncière n'a été effectuée par un arpenteur-géomètre. / Boundary accuracy and measurements shown on this document are not intended for engineering or land delineation purposes. No land analysis has been performed by a land surveyor.

1.4 Contexte légal et réglementaire

Le projet minier Shaakichiuwaanaan est soumis à un cadre réglementaire rigoureux visant à assurer la protection de l'environnement et des espèces sensibles. Plus particulièrement, le projet relève de la *Loi sur la qualité de l'environnement* (LQE; RLRQ, c. Q-2) et du *Règlement relatif à l'évaluation et l'examen des impacts sur l'environnement de certains projets* (Q-2, r. 23.1) au niveau provincial, et de la *Loi sur l'évaluation d'impact* (L.C. 2019, ch. 28, art. 1) au niveau fédéral.

Le caribou (*Rangifer tarandus caribou*) est un grand mammifère des régions subarctiques et arctiques de l'Amérique du Nord. Au Québec, on distingue trois écotypes : le caribou forestier, le caribou migrateur, ainsi que le caribou montagnard. Rappelons que le caribou forestier du Secteur Baie-James et le caribou migrateur du troupeau de la rivière aux Feuilles sont les plus susceptibles de fréquenter la zone d'étude du projet Shaakichiuwaanaan.

En raison du déclin marqué de ses populations, les écotypes forestier et migrateur bénéficient tous deux de statuts de protection au sens de la loi, entraînant des obligations légales pour la protection de l'espèce et de son habitat essentiel, ainsi que pour la mise en œuvre de mesures visant à réduire les perturbations anthropiques. Les implications relatives à ces statuts sont détaillées dans les sections suivantes.

1.4.1 Caribou forestier

Le caribou forestier, aussi appelé caribou boréal, est une espèce emblématique de la forêt boréale. Il occupe une vaste aire de répartition au Canada, s'étendant de l'extrémité nord-est du Yukon jusqu'au Labrador et au sud du lac Supérieur, incluant également quelques populations isolées dans le centre et le sud du Québec, de l'Ontario et de Terre-Neuve (COSEPAC, 2011). Le caribou forestier du Québec appartient à l'unité désignable (UD) « Caribou boréal » nº 6 (UD 6), qui s'étend du Labrador jusqu'aux Rocheuses et aux Territoires du Nord-Ouest (COSEPAC, 2011).

La zone d'étude du projet est susceptible d'être fréquentée par des caribous forestiers appartenant au Secteur Baie-James. Cette population se situe dans l'écozone de la taïga du boucler (Q6), classée comme unité de conservation (UC) par le Gouvernement du Canada. L'écozone de la taïga du bouclier forme une large ceinture au nord de la forêt boréale fermée, recouvrant partiellement les Territoires du Nord-Ouest, le Nunavut, le Manitoba, le Québec et le Labrador (ECCC, 2020). Au sens de *Loi sur les espèces en péril*, l'habitat essentiel du caribou forestier est défini comme étant « l'habitat nécessaire à la survie ou au rétablissement d'une espèce sauvage inscrite, qui est désigné comme tel dans le programme de rétablissement ou un plan d'action élaboré à l'égard de l'espèce ». L'habitat essentiel du caribou forestier englobe ainsi les composantes d'habitat et conditions (biophysiques et de perturbation) nécessaires au maintien d'une population autosuffisante. L'aire de répartition d'une population donnée est l'échelle géographique jugée appropriée pour décrire l'habitat essentiel (EC, 2011; ECCC, 2020). Au sens biologique, l'habitat essentiel du caribou forestier est principalement constitué de « vastes étendues de forêt boréale mature, de tourbières et de landes à lichens présentant un haut niveau de connectivité et un faible taux de perturbations naturelles et anthropiques » (MFFP, 2021).

En raison de sa situation préoccupante, le caribou forestier bénéficie d'un double statut de protection aux niveaux fédéral et provincial, entraînant des obligations légales pour la protection de l'espèce et de son habitat essentiel, ainsi que pour la mise en œuvre de mesures visant à réduire les perturbations anthropiques dans son habitat. Les implications relatives à ce double statut sont détaillées aux sections 1.4.1.1 et 1.4.1.2.

1.4.1.1 Contexte fédéral

Au Canada, le caribou forestier est inscrit comme « espèce menacée » en vertu de la *Loi sur les espèces en péril* (LEP; L.C. 2002, ch. 29) depuis 2003.

Une entente de collaboration pour la protection et le rétablissement des espèces en péril, dont fait partie le caribou (population boréale), a été conclue en 2007 entre le Gouvernement du Canada et le Gouvernement du Québec. Cette entente établit notamment un cadre de collaboration incluant le partage d'expertise, la gestion conjointe des autorisations, la mobilisation des connaissances scientifiques et traditionnelles, ainsi que la participation des communautés, des propriétaires et des organisations autochtones (Gouvernement du Canada, 2018).

Le Comité sur la situation des espèces en péril au Canada (COSEPAC), un comité d'experts indépendant mis en place en 1977 et mandaté par le Gouvernement du Canada, est responsable de l'évaluation du statut des espèces sauvages en péril au Canada. Les travaux du COSEPAC ont notamment permis de documenter l'état des populations de caribou et d'orienter les efforts de protection et de gestion à l'échelle nationale et provinciale (COSEPAC, 2002, 2011, 2014).

En 2011, le Gouvernement du Canada a élaboré un programme de rétablissement du caribou boréal en 2011 (EC, 2011), lequel a été mis à jour en 2012 (EC, 2012) et en 2020 (ECCC, 2020). Ce programme identifie notamment l'habitat essentiel du caribou forestier et recommande un seuil maximal de 35 % de perturbation cumulée pour maintenir la viabilité des populations. Ce seuil est considéré comme un indicateur critique pour évaluer la capacité des écosystèmes à soutenir une population de caribou forestier en permettant de maintenir une probabilité d'autosuffisance populationnelle minimale de 0,60 (ECCC, 2020; ECCC, 2024).

À l'échelle canadienne, les aires de répartition ont été regroupées en unités de conservation qui servent de cadre d'analyse pour évaluer, notamment, l'état des populations. Le suivi des populations repose ainsi sur une approche probabiliste basée sur l'évaluation de la probabilité d'autosuffisance à partir de trois indicateurs : la tendance démographique, la taille des populations et le niveau de perturbation de l'aire de répartition (ECCC, 2020).

En mai 2024, ECCC a publié une évaluation des menaces imminentes pour le caribou forestier, confirmant que l'impact combiné des coupes forestières et du réseau routier s'est accentué, compromettant la survie ou le rétablissement de certaines populations (ECCC, 2024). Cette évaluation a été menée sur les dix aires de répartition de populations locales de caribou forestier, ainsi que deux secteurs d'acquisition de connaissances, établis par le Gouvernement du Québec (MFFP, 2021), en fonction des trois indicateurs d'autosuffisance (ECCC, 2024). À la suite de cette évaluation, le gouvernement fédéral a envisagé l'émission d'un décret d'urgence (article 80[2] de la LEP) pour assurer la protection immédiate de certaines hardes. Ce décret n'a toutefois pas été adopté au moment d'écrire ces lignes.

Ce cadre réglementaire s'accompagne de politiques et de recommandations qui orientent la planification des projets industriels en zone boréale. Il impose une intégration des objectifs de conservation dans les décisions d'aménagement, de même que dans les mesures d'atténuation détaillées dans les études d'impact sur l'environnement (ÉIE).

1.4.1.2 Contexte provincial

Au Québec, le caribou forestier est désigné comme une « espèce vulnérable » en vertu de la *Loi sur les espèces menacées ou vulnérables* (LEMV; RLRQ, c. E-12.01) depuis 2005. Une interdiction de chasse sportive au caribou forestier a d'ailleurs été mise en place en 2001 à l'échelle provinciale en raison de la diminution importante de ses effectifs (Gouvernement du Québec, 2025a). En conséquence, le Québec a élaboré le *Plan de rétablissement du caribou forestier* (*Rangifer tarandus*) *au Québec* en 2008, lequel a été mis à jour en 2013 (ÉRCFQ, 2008; 2013a). Des *Lignes directrices pour l'aménagement de l'habitat du caribou forestier* ont également été élaborées en 2010, puis révisées en 2013 (ÉRCFQ, 2010, 2013b).

En 2017, le gouvernement du Québec a mis en place un plan de suivi des populations de caribou forestier par télémétrie et une planification d'inventaires aériens couvrant l'aire de répartition continue de l'espèce, laquelle est d'une superficie de 644 000 km². Entre 2018 et 2019, plus de 250 caribous ont ainsi été munis de colliers télémétriques. En 2020, le système de suivi des populations de caribous forestiers du Québec (2020-2031) a été actualisé afin de standardiser et d'améliorer les connaissances en fonction de 12 indicateurs. Ces derniers sont regroupés sous quatre thématiques, soit l'état des populations, l'utilisation de l'habitat, la tendance démographique des populations et l'état de santé des individus (Gouvernement du Québec, 2017).

Depuis 2019, le Gouvernement du Québec applique des mesures intérimaires visant à limiter la perte et la fragmentation des habitats du caribou forestier (MFFP, 2021). Ces mesures incluent principalement la restriction des coupes forestières dans les massifs prioritaires, la fermeture de certains chemins pour réduire la prédation et le dérangement, ainsi que l'encadrement des activités d'aménagement forestier. À l'heure actuelle, les mesures intérimaires ne touchent pas la zone d'étude du projet. Les mesures appliquées pour le Secteur Baie-James sont donc de nature préventive et visent à maintenir l'intégrité des grands massifs forestiers et à limiter les perturbations liées aux activités industrielles.

En août 2020, l'Équipe de rétablissement du caribou forestier a publié le *Bilan de mi-parcours du Plan de rétablissement du caribou forestier au Québec* (ÉRCFQ, 2020). Ce bilan faisait état de l'avancement de 23 des 30 actions prévues. Depuis, le gouvernement du Québec travaille à une nouvelle stratégie visant la création de vastes territoires (≈ 5 000 km²) où les habitats seraient préservés ou restaurés et où les activités forestières seraient encadrées. À l'heure actuelle, cette stratégie n'a toujours pas été publiée, bien que des projets pilotes aient été annoncés pour les populations les plus menacées (c.-à-d. Charlevoix, Val-d'Or et Pipmuacan) (Gouvernement du Québec, 2022). À l'heure actuelle, aucune mesure spécifique n'a été adoptée pour la population locale du Secteur Baie-James, qui demeure sous régime particulier en vertu de la Convention de la Baie-James et du Nord québécois. La zone d'étude demeure toutefois incluse dans les efforts provinciaux de conservation afin d'assurer la pérennité de cette population.

La carte 4 illustre l'ensemble des mesures gouvernementales de gestion contribuant à la protection de l'habitat du caribou forestier du Secteur Baie-James.

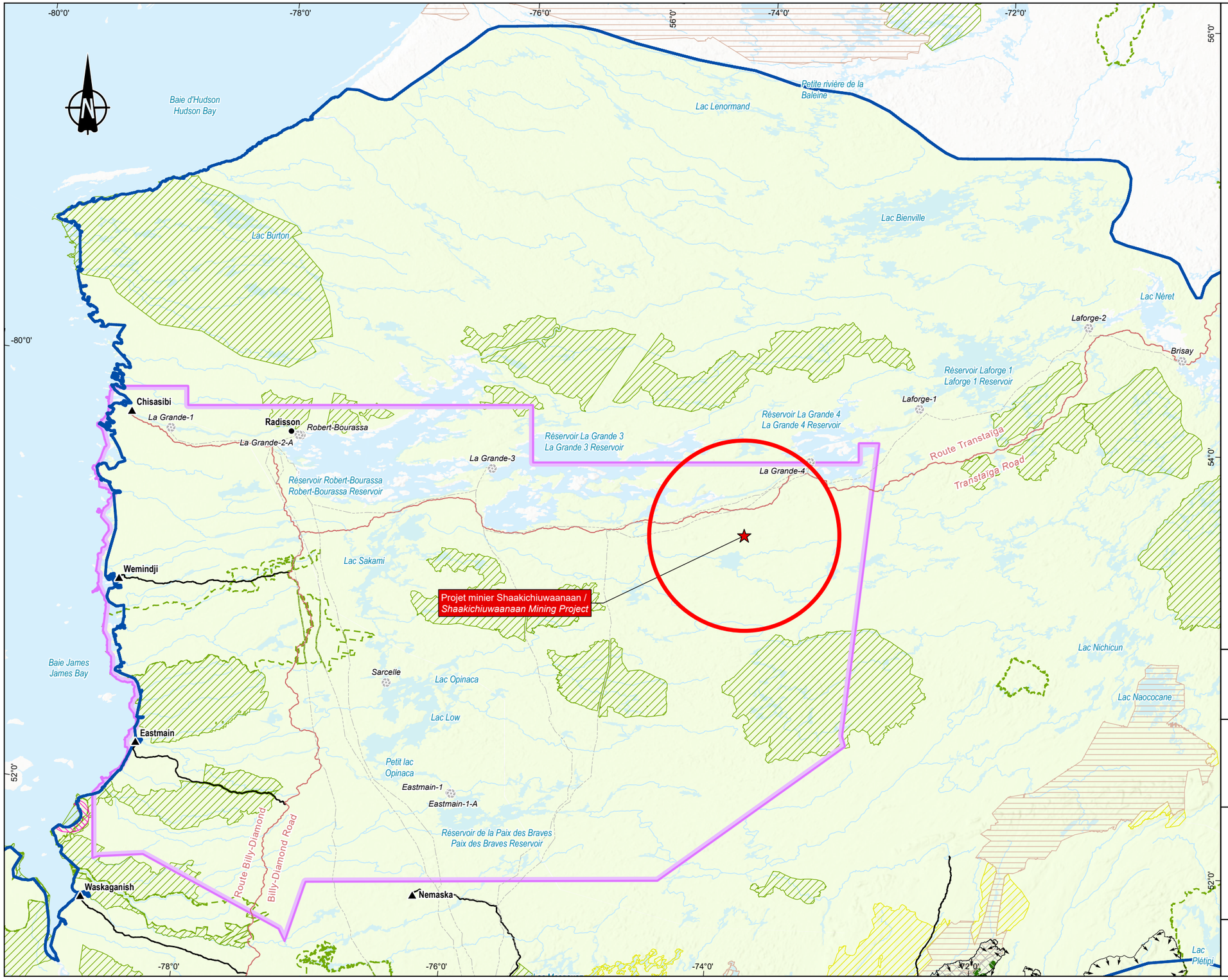

Zone d'étude / *Study Area*

Régionale - Biophysique / *Regional - Biophysical*

Caribou / *Caribou*

Aire d'application des Plans de rétablissement du caribou forestier au Québec / *Area of application of the Québec Woodland Caribou Recovery Plans*

Habitat essentiel du caribou boréal / *Essential habitat for boreal caribou*

Mesures intérimaires pour l'aménagement de l'habitat du caribou forestier / *Interim measures for the management of woodland caribou habitat*

Aire de répartition des populations locales de caribou forestier / *Range of Local Woodland Caribou Populations*

Secteur Baie-James

Limites / *Boundaries*

Limite territoriale des forêts attribuables / *Territorial limit of attributable forests*

Aires protégées / *Protected Areas*

Parc national / *National park*

Refuge biologique / *Biological refuge*

Refuge d'oiseaux migrateurs / *Migratory bird sanctuary*

Réserve de biodiversité projetée / *Planned biodiversity reserve*

Réserve de territoire aux fins d'aire protégée / *Land reserve for protected area*

Territoire mis en réserve / *Reserved territory*

Infrastructures / *Infrastructure*

Centrale hydroélectrique / *Hydroelectric generating station*

Ligne de transport d'énergie / *Electric power transmission line*

Réseau routier / *Road Network*

Route collectrice municipale / *Municipal collector road*

Accès aux ressources / *Resource access route*

Projet minier Shaakichiuwaanaan /
Shaakichiuwaanaan Mining Project

Rapport sectoriel – Caribou /
Sectoral Report – Caribou

Carte 4 / *Map 4*
Mesures gouvernementales de gestion contribuant à la protection de l'habitat du caribou forestier / *Government Management Measures to Help Protect Woodland Caribou Habitat*

Sources :
BDGA, 1M, MERN, 2014
AQréseau+, réseau routier, MERN, 2024-03-01
Aire de répartition, MELCCFP, 2023-12-19 / Aires protégées, MELCCFP, 2024-12-31
Forêts attribuables, MRNF, 2016-12-21 / Habitat essentiel, ECCC, 2025-02-26
Mesures intérimaires, MRNF, 2023-09-18

0 20 40 km
NAD 1983 Quebec Lambert

2026-03-19

Préparation / Preparation : L. Metthé
Dessin / Drawing : J. Roy
Approbation / Approval : M. H. Brisson
CA0001724_3318_eie_sc_gf_caribou_260316_c1a4.aprx
CA0001724_3318_eie_sc_gf_c04_055_protect_260316

La précision des limites et les mesures montrées sur ce document ne doivent pas servir à des fins d'ingénierie ou de délimitation foncière. Aucune analyse foncière n'a été effectuée par un arpenteur-géomètre.
Boundary accuracy and measurements shown on this document are not intended for engineering or land delineation purposes. No land analysis has been performed by a land surveyor.

1.4.2 Caribou migrateur

Le caribou migrateur, qui regroupe principalement les troupeaux de la rivière aux Feuilles (TRAF) et de la rivière George (TRG) au Québec, constitue une composante importante de la faune nordique. Le caribou migrateur occupe un vaste territoire allant du nord du Québec jusqu'au Labrador, incluant la toundra et la taïga, avec des migrations saisonnières pouvant dépasser 1 000 km. Le caribou migrateur appartient à l'UD 4 « Caribou migrateur de l'Est » (COSEPAC, 2011).

1.4.2.1 Contexte fédéral

Au Canada, le caribou migrateur (population migratrice de l'Est) n'est pas inscrit à l'Annexe 1 de la *Liste des espèces en péril* en vertu de la LEP. Toutefois, en 2017, le COSEPAC a recommandé à ECCC que cet écotype soit inscrit comme espèce « en voie de disparition » (COSEPAC, 2017). À ce jour, cette inscription n'a pas encore été officialisée. Lorsque l'espèce sera officiellement inscrite à la LEP, un programme de rétablissement devra être élaboré et l'habitat essentiel sera identifié. Ainsi, au moment d'écrire ces lignes, aucune mesure légale de protection fédérale spécifique ne s'applique donc au caribou migrateur. Cependant, des mesures de conservation sont mises en place à d'autres niveaux : un moratoire sur la récolte est en vigueur à Terre-Neuve-et-Labrador depuis 2013, et la chasse sportive allochtone au caribou migrateur est interdite au Québec depuis 2018.

1.4.2.2 Contexte provincial

Au Québec, le caribou migrateur, ne figure pas sur la *Liste des espèces menacées ou vulnérable*s en vertu de la LEMV. Toutefois, les aires de mise bas identifiées au nord du 52e parallèle, dont la superficie est d'environ 153 400 km², possèdent le statut d'habitat essentiel en vertu de la *Loi sur la conservation et la mise en valeur de la faune* (LCMVF, RLRQ, C-61.1) (Taillon *et al.*, 2016; Couturier *et al.*, 2004). Il est à noter que la zone d'étude du projet n'inclut pas les aires de mise bas identifiées.

1.5 Enjeux écologiques

Le caribou forestier occupe un rôle central dans la forêt boréale en tant qu'espèce parapluie. Ce concept repose sur l'idée que la protection de son habitat essentiel, soit de vastes massifs forestiers matures faiblement perturbés, bénéficie à une multitude d'autres espèces partageant les mêmes milieux, notamment des oiseaux forestiers, des mammifères et des insectes. En conservant des territoires suffisamment étendus pour répondre aux besoins écologiques du caribou, on assure indirectement la préservation de la biodiversité boréale et des fonctions écologiques essentielles, telles que la régulation des réseaux trophiques et la séquestration du carbone (Bichet *et al*., 2016; Labadie *et al*., 2024).

1.6 Enjeux pour les Premières Nations

Le projet est situé dans les limites du territoire traditionnel de la nation crie de Chisasibi, sur la ligne de trappe CH39. Le caribou joue un rôle important dans la culture des Cris, ce qui engendre des préoccupations grandissantes au sein des communautés autochtones lorsqu'un déclin dans la santé des troupeaux est observé.

Le caribou migrateur occupe une place centrale dans l'écosystème nordique canadien et revêt une importance particulière pour les peuples autochtones vivant dans cette région, notamment les Cris, les Inuits, les Naskapis et les Innus du nord du Québec. Le caribou est partie intégrante de leur mode de vie traditionnel et de leur spiritualité, étant au centre de nombreux récits, de plusieurs pratiques spirituelles et de cérémonies qui renforcent la cohésion sociale et le sentiment d'appartenance à la terre ancestrale (Vors et Boyce, 2009; Borish *et al.,* 2021; Gagnon *et al.,* 2023).

Le caribou migrateur est notamment une source importante de viande, riche en protéines et en micronutriments (Gordon, 2003; Rosol *et al.,* 2016;). La chasse au caribou participe à la sécurité et à l'autonomie alimentaire des communautés, particulièrement dans les contextes d'isolement géographique et de conditions climatiques rigoureuses (Kenny *et al.,* 2018). Bien que son rôle dans la sécurité alimentaire des communautés apparaisse comme complémentaire à d'autres ressources clés, dont la bernache du Canada (*Branta canadensis*), la valeur culturelle et spirituelle du caribou demeure marquée.

Au Québec, le caribou migrateur du TRAF, est toujours chassé par les nations cries, inuites et naskapies en vertu des conventions en milieu nordique (Taillon *et al.,* 2016). En 2025, en réponse aux plus récentes données issues du suivi démographique du TRAF par le MELCCFP, les autorités cries ont publié un communiqué demandant à l'ensemble des communautés de réduire considérablement les prélèvements de caribou migrateur par la chasse, dans un souci de conservation (Cree Nation Government, 2025). De plus, le gouvernement de la Nation crie et la Nation innue du Québec ont convenu que la récolte annuelle pour les communautés innues n'aurait pas lieu en 2025.

Lors des consultations qu'a tenues PMET avec les membres des Premières Nations de Chisasibi et de Mistissini, ces dernières ont exprimé leurs inquiétudes relativement au déclin des populations de caribou et aux potentiels changements de leurs routes migratoires. Bien que certains croient que le caribou peut disparaître temporairement avant de revenir, décrivant ces fluctuations comme un cycle naturel, d'autres observent actuellement une diminution notable de sa présence. Ces changements affectent la chasse traditionnelle et même, selon certains, la qualité de la viande. La communauté se dit également préoccupée par l'impact des véhicules routiers et des activités industrielles sur l'écologie et le comportement du caribou migrateur.

2 Méthodologie

2.1 Collecte de données

Les données utilisées dans le cadre de cette étude ont principalement été tirées d'une revue de littérature et de l'acquisition de données de suivi télémétrique des caribous ayant utilisé la zone d'étude. À cela s'ajoutent les observations opportunistes transmises par le client, ainsi que les connaissances traditionnelles des communautés locales.

2.1.1 Revue de littérature

Une revue de littérature a été réalisée afin de brosser un portrait des connaissances actuelles sur le caribou forestier et le caribou migrateur à l'échelle locale ou régionale (voir section 3). Cette revue de littérature s'est principalement appuyée sur des publications scientifiques et des rapports gouvernementaux et traite des aspects suivants :

- l'état des populations de caribou forestier du Secteur Baie-James et du caribou migrateur du TRAF, dont les données démographiques;
- la sélection d'habitats du caribou forestier et migrateur en fonction du cycle vital.

Cette synthèse documentaire constitue une base essentielle pour orienter les analyses, interpréter les résultats et situer les enjeux locaux dans un contexte plus large.

2.1.2 Données télémétriques

Divers projets d'acquisition de connaissances ont été entrepris dans le cadre du *Plan d'action pour l'aménagement de l'habitat du caribou* (MFFP, 2016) et de la mise en œuvre du système de suivi des populations de caribous forestiers du Québec (MFFP, 2018a). C'est ainsi que le Ministère a déployé des efforts pour augmenter le nombre de colliers émetteurs installés sur des caribous des différentes populations et a effectué des inventaires aériens sur la majorité de leurs aires de répartition (MFFP, 2018a; Plante *et al.*, 2021).

Dans le cadre de cette étude sectorielle, une demande d'information faunique a été adressée à la Direction de la gestion de la faune du Nord-du-Québec du MELCCFP en 2025. Notons qu'aucun point GPS de caribou forestier suivi par télémétrie n'a été documenté par le MELCCFP à l'intérieur de la zone d'étude. Toutefois, des données de suivi télémétrique de caribous migrateurs du TRAF et du TRG ont été compilées entre 2004 et 2024. Bien que quelques individus issus du TRG aient fréquenté la zone d'étude, les analyses relatives à l'utilisation de l'habitat n'ont pris en compte que les données de suivi du TRAF.

Les données de suivi télémétrique servent à analyser les patrons généraux d'utilisation de l'habitat par le caribou migrateur dans la zone d'étude. Toutefois, cela ne constitue pas un portrait exhaustif de l'utilisation de l'espace par l'ensemble des individus d'une population, considérant qu'une faible proportion des individus sont porteurs de colliers. Cependant, il est important de préciser que les données télémétriques ne reflètent pas avec exactitude l'utilisation du territoire par le caribou, puisqu'une faible proportion des individus composant la population sont porteurs de colliers émetteurs.

Puisque les données de suivi télémétriques du caribou sont de nature sensible, une entente de confidentialité a été convenue avec le MELCCFP. Conformément à cette entente, WSP s'engage à ne pas diffuser ou cartographier les points GPS des individus, et se limite à présenter les données transformées (c.-à-d. polygones d'utilisation de l'habitat).

Les résultats de ces analyses sont présentés à la section 4.3 de la présente étude.

2.1.3 Observations opportunistes

Les observations opportunistes des maîtres trappeurs fréquentant le secteur à l'étude ont également été compilées pour l'année 2025. Ces observations sont détaillées à la section 4.3.1.

2.2 Analyse des données

2.2.1 Qualité de l'habitat

Bien que l'indice de qualité de l'habitat (IQH) développé par Leblond et collaborateurs (2014) n'ait pas été développé dans le secteur à l'étude, une évaluation de la qualité de l'habitat pour le caribou forestier a été réalisée par Szor et Gingras en 2020.

Cette évaluation illustre la stratification du territoire inventorié selon la propension des différents secteurs à offrir un habitat propice au caribou forestier, telle qu'évaluée par Szor et Gingras (2020). L'analyse multicritère ayant servi à la cartographie repose sur la concentration de peuplements résineux, la présence de lichens, la couverture des perturbations permanentes et la présence de massifs forestiers, permettant de distinguer trois classes de qualité d'habitat : faible, moyenne et élevée.

Cet outil, qui peut être considéré comme un indice de la qualité de l'habitat du caribou forestier, est particulièrement utile pour identifier les zones où la restauration ou la protection serait la plus bénéfique pour le maintien du caribou forestier. Cette cartographie et son interprétation dans le contexte du projet Shaakichiuwaanaan sont présentées à la section 4.1.

En ce qui concerne le caribou migrateur, il n'existe à notre connaissance aucune évaluation de la qualité de l'habitat spécifique à cet écotype.

2.2.2 Perturbation dans l'habitat

Le taux de perturbation dans l'habitat correspond à la proportion de la zone d'étude où l'habitat du caribou forestier est considéré comme perturbé. En respect des exigences gouvernementales (ÉRCFQ, 2013a), cette analyse s'effectue au sein d'une unité d'analyse dont la superficie est d'au moins 5 000 km^2, soit une superficie de 7 850 km^2 dans le cadre du projet Shaakichiuwaanaan. Les analyses sont également détaillées en fonction de la distance du site minier, soit pour chaque zone d'influence de la mine à une fréquence de 10 km du site minier.

Cette analyse a été effectuée selon deux approches distinctes pour le caribou forestier et le caribou migrateur, tel que présenté dans les sections suivantes.

2.2.2.1 Caribou forestier

Pour le caribou forestier, les plans de rétablissement et les lignes directrices du Gouvernement du Québec recommandent de maintenir un taux de perturbation maximal de 35 % dans les unités d'analyses (ECCC, 2020; ECCC, 2024). Toutefois, la légitimité de cette recommandation est contestée, puisqu'elle n'offre qu'entre 50 et 60 % de probabilité d'autosuffisance d'une population de caribou forestier, le taux de survie des femelles adultes étant variable (St-Laurent *et al*., 2023). Ces mêmes auteurs recommandent donc de ne pas gérer l'aménagement de l'habitat du caribou forestier sur la base de ce seuil, considérant que cette approche contribue au déclin des populations de caribou forestier au Québec. Afin d'assurer l'autosuffisance d'une population de caribou forestier, le taux de perturbation devrait donc être maintenu largement en dessous de 35 % (St-Laurent *et al*., 2023), soit entre 20 et 25 %.

L'approche probabiliste appliquée par ECCC, mise à jour en 2011 (EC, 2011), a démontré avec clarté que 70 % de la variation enregistrée dans le recrutement des populations de caribou forestier s'explique par le taux de perturbation combinant les perturbations d'origine anthropique et naturelle. L'analyse du taux de perturbation de l'habitat apparaît donc comme un indicateur pertinent pour caractériser les conditions actuelles de l'habitat du caribou forestier dans la zone d'étude. Cette approche d'analyse du taux de perturbation a aussi été retenue dans les *Lignes directrices pour l'aménagement de l'habitat du caribou forestier* (ÉRCFQ, 2013a).

Afin d'estimer le taux de perturbation dans l'habitat du caribou forestier, les perturbations ont été catégorisées selon leur origine, soit naturelle (p. ex. feux de forêt, épidémies sévères) ou anthropique (p. ex. chemins forestiers, coupes forestières). Toute parcelle au sein de laquelle un chevauchement de perturbations naturelle et anthropique a été constaté a été catégorisée comme perturbation anthropique. Les perturbations ont également été catégorisées selon leur caractère permanent ou temporaire conformément aux directives du Gouvernement du Québec (MFFP, 2021). Cette approche permet de mieux évaluer l'impact des différentes perturbations sur la qualité et la disponibilité de l'habitat pour le caribou forestier dans la zone d'étude.

Pour toute entité linéaire ou polygonale reliée à une perturbation d'origine anthropique, une zone tampon de 500 m a été ajoutée de part et d'autre (ECCC, 2020), conformément à l'approche appuyée par la *Revue de littérature sur les facteurs impliqués dans le déclin des populations de caribous forestiers au Québec et de caribous montagnards de la Gaspésie* (MFFP, 2021). Cette zone tampon permet théoriquement de prendre en considération les comportements d'évitement des perturbations chez le caribou forestier, de même que le risque accru de prédation à proximité de ces perturbations (MFFP, 2021).

L'utilisation d'une zone tampon de 500 m autour des perturbations anthropiques pour le calcul du taux de perturbation dans l'habitat du caribou forestier est une pratique largement répandue. Toutefois, une zone tampon de 500 m ne correspond pas à la zone d'influence réelle ou à la distance d'évitement physiologique ou comportemental du caribou face à une infrastructure d'origine anthropique. Il s'agit plutôt d'un paramètre statistique : la méta-analyse d'Environnement Canada (2011) a montré que la corrélation entre le taux de perturbation total (calculé avec une zone tampon de 500 m) et le taux de recrutement de faons était la plus forte avec ce rayon, ce qui a permis d'établir des seuils de risque pour la viabilité des populations.

En pratique, la littérature scientifique et la consultation avec le Gouvernement de la Nation Crie (GNC) rapporte que l'évitement des infrastructures anthropiques par le caribou forestier peut s'étendre bien au-delà de 500 m, selon le type de perturbation et le contexte écologique (Weir *et al*., 2007, Rudolph *et al*., 2012; Leblond *et al*., 2013; Fortin *et al*., 2013; St-Laurent *et al*., 2023). Ainsi, l'utilisation du 500 m comme zone d'influence peut sous-estimer la perte fonctionnelle d'habitat pour l'espèce. Cette approche est toutefois maintenue pour décrire l'état initial à des fins de comparaison et de cohérence avec les analyses de risque démographique actuellement utilisées par les autorités gouvernementales. Il est donc recommandé d'interpréter avec prudence les résultats obtenus à partir de cette méthode et, lorsque possible, de compléter l'analyse par une revue de la littérature sur les distances d'évitement observées pour le caribou forestier dans des contextes similaires.

Une catégorisation des perturbations en fonction de leur origine et de leurs caractéristiques est présentée au tableau 1. Afin de répondre aux exigences du Gouvernement du Québec, le taux de perturbation dans la zone d'étude a été estimé d'après la formule suivante (MFFP, 2021) :

$$Taux\ de\ perturbation = \frac{Superficie\ perturbée}{Superficie\ totale - superficie\ du\ réseau\ hydrographique\ surfacique}$$

La superficie totale de la zone d'étude étant d'environ 7 845,0 km², et la superficie du réseau hydrographique surfacique étant de 1 309,4 km², la superficie perturbée sera divisée par la superficie totale terrestre qui est estimée à environ 6 538,0 km².

Afin de répondre aux exigences du Gouvernement du Canada, le taux de perturbation dans la zone d'étude a été estimé d'après la formule suivante (ECCC, 2020) :

$$Taux\ de\ perturbation = \frac{Superficie\ perturbée}{Superficie\ totale}$$

Le taux de perturbation de l'habitat du caribou forestier dans la zone d'étude a été estimé pour les perturbations anthropiques et naturelles séparément, de même que pour les perturbations permanentes et temporaires séparément. Les résultats de cette analyse sont présentés à la section 4.2.1.

Tableau 1 Catégorisation des perturbations et zone tampon appliquée pour le calcul du taux de perturbation dans l'habitat du caribou forestier

Origine	Type	Précision	Catégorie	Zone tampon
Anthropique	Infrastructures routières	Chemins de classes I, II, III, IV, V, hors normes, non classés et inconnus Routes nationales et régionales	Perturbation permanente	500 m
		Chemins d'hiver de moins de 50 ans	Perturbation temporaire	500 m
	Infrastructures industrielles	Gravières	Perturbation permanente	500 m
	Infrastructures électriques	Lignes de transport d'énergie Tours et antennes	Perturbation permanente	500 m
	Autres infrastructures linéaires	Sentiers de quad et motoneige	Perturbation temporaire	500 m
	Bâtiments	Baux de location à des fins : – de villégiature – d'abri sommaire – d'hébergement dans une pourvoirie sans droits exclusifs – de conservation et de protection de la forêt, – commerciales, industrielles ou municipales Camps autochtones permanents et temporaires Toutes autres infrastructures commerciales ou industrielles	Perturbation permanente	500 m
	Jeune forêt (moins de 50 ans d'âge réel) issue de perturbations anthropiques	Traitements sylvicoles et coupes forestières	Perturbation temporaire	500 m
Naturelle	Jeune forêt (moins de 40 ans d'âge réel) issue de perturbations naturelles	– Chablis total et épidémie sévère – Feux de forêt et brûlis totaux	Perturbation temporaire	Aucune

2.2.2.2 Caribou migrateur

La méthode ayant été utilisée pour estimer le taux de perturbation dans l'habitat du caribou migrateur est essentiellement basée sur une revue de littérature, en l'absence de directives officielles du Gouvernement du Québec à cet égard. Par conséquent, les paramètres ayant servi à cette analyse ont été établis au meilleur des connaissances et informations obtenues par WSP. Cette estimation, en prenant en compte des zones d'évitement (ou zones d'influence; ZOI) du caribou migrateur, englobe à la fois les perturbations et la perte fonctionnelle de l'habitat associée à ces perturbations. La ZOI consiste en une zone où l'occurrence du caribou est réduite à proximité d'infrastructures humaines, pouvant varier temporellement et spatialement, de même qu'entre les hardes de caribous (Plante *et al*., 2018; Lessard *et al*., 2026).

Les résultats découlant de cette analyse ne peuvent donc être comparés à ceux obtenus pour le caribou forestier. La méthode employée pour estimer le taux de perturbation de l'habitat du caribou migrateur pourrait également être revue dans le futur, particulièrement si une approche méthodologique est proposée par le Gouvernement du Québec.

Afin d'estimer le taux de perturbation dans l'habitat du caribou migrateur, les perturbations ont été simplement catégorisées selon leur origine, soit naturelle (p. ex. feux de forêt, épidémies sévères) ou anthropique (p. ex. chemins forestiers, coupes forestières). Toute parcelle au sein de laquelle un chevauchement de perturbations naturelle et anthropique a été constaté a été catégorisée comme perturbation anthropique. Les perturbations n'ont toutefois pas été catégorisées selon leur caractère permanent ou temporaire, comme pour le caribou forestier, puisqu'une telle évaluation du caractère des perturbations anthropiques ne semble pas avoir été réalisée pour cet écotype.

Pour toute entité linéaire ou polygonale reliée à une perturbation d'origine anthropique, une zone tampon a été ajoutée en fonction du type de perturbation afin de tenir compte de l'évitement potentiel de ces perturbations par le caribou migrateur. Cette zone tampon, qui s'apparente davantage à une zone d'influence, a été basée sur les informations tirées de la littérature. Bien que quelques études se soient intéressées aux impacts des perturbations anthropiques sur le caribou migrateur, la plupart s'intéressaient à des infrastructures qui ne sont pas présentes dans la zone d'étude du projet Shaakichiuwaanaan, telles que des routes liées au développement pétrolier (Cameron *et al*., 2005; 4 km) ou des infrastructures minières en exploitation (Boulanger *et al*., 2012; 11–14 km). En revanche, l'étude de Plante *et al*. (2018) a évalué la zone d'évitement des routes, des lignes électriques et des infrastructures anthropiques. Cette étude est également la seule qui concerne spécifiquement les troupeaux du TRAF et du TRG.

Afin d'estimer le taux de perturbation dans l'habitat du caribou migrateur du TRAF dans le cadre de ce projet, nous avons adopté une approche conservatrice basée sur les résultats de Plante *et al*. (2018). Cette étude montre que les distances d'évitement autour des infrastructures anthropiques sont très variables d'une année à l'autre et selon le type de perturbation.

Le tableau 2 présente les zones d'influence rapportées par Plante *et al*. (2018). À noter que la zone d'influence a été évaluée en fonction de deux périodes du cycle vital de l'espèce, soit la période estivale (entre 2009 et 2013) et la période hivernale (entre 2009 et 2016). Aux fins de la présente étude, seules les zones d'influence estimées durant la période hivernale ont été prises en compte, puisque le caribou migrateur du TRAF fréquente la zone d'étude durant la période d'hivernage.

Tableau 2 Zones d'influence des perturbations anthropiques pour le caribou migrateur des troupeaux rivière aux Feuilles (TRAF) et rivière George (TRG) dans le nord du Québec et du Labrador, au Canada, durant l'été (2009–2013) et l'hiver (2009–2016)

Perturbation	Période	Population	Zone d'influence (ZOI)
Mine Raglan	Été	TRAF	19–23 km
Réseau routier de Raglan	Été	TRAF	0–8 km
Exploration minière	Été	TRAF / TRG	2–4 km
Infrastructures anthropiques	Été	TRAF	2–4 km
Routes	Hiver	TRAF / TRG	0–15 km
Lignes électriques	Hiver	TRAF	5 km
Exploration minière	Hiver	TRAF / TRG	3–21 km
Infrastructures anthropiques	Hiver	TRAF	2–18 km

Source : Plante *et al.*, 2018.

Étant donné la grande variabilité observée au niveau de la ZOI pour le caribou migrateur, les valeurs les plus conservatrices ont été utilisées. Dans le cadre du projet minier Shaakichiuwaanaan, une zone tampon de 5 km a été appliquée de part et d'autre de l'ensemble des infrastructures électriques, et une zone tampon de 15 km a été appliquée de part et d'autre des routes et des infrastructures de nature commerciales, industrielles ou municipales. Cette approche prudente vise à garantir que le taux de perturbation estimé ne sous-évalue pas la perte fonctionnelle d'habitat pour le caribou migrateur dans la zone d'étude.

Pour les autres perturbations anthropiques n'ayant pas fait l'objet d'une évaluation spécifique relative à l'évitement de celle-ci par le caribou migrateur (p. ex. camps autochtones), une zone de tampon de 500 m a été ajoutée à titre de zone d'influence minimale.

Une catégorisation des perturbations en fonction de leur origine ainsi que les zones tampons ajoutées pour tenir compte de l'impact sur le caribou migrateur sont détaillées au tableau 3. En s'inspirant de la méthode employée pour le caribou forestier, le taux de perturbation dans la zone d'étude pour le caribou migrateur a été estimé d'après la formule suivante :

$$Taux\ de\ perturbation = \frac{Superficie\ perturbée}{Superficie\ totale - superficie\ du\ réseau\ hydrographique\ surfacique}$$

En uniformité avec la méthode exigée par le Gouvernement du Québec pour le caribou forestier, le réseau surfacique hydrographique a été soustrait de la superficie totale (MFFP, 2021). La superficie totale de la zone d'étude étant d'environ 7 845,0 km², et la superficie du réseau hydrographique surfacique étant de 1 309,4 km², la superficie perturbée sera divisée par la superficie totale terrestre qui est estimée à environ 6 538,0 km².

Le taux de perturbation de l'habitat du caribou migrateur dans la zone d'étude a été estimé pour les perturbations anthropiques et naturelles séparément. Les résultats de cette analyse sont présentés à la section 4.2.2.

Tableau 3 Catégorisation des perturbations et zone tampon appliquée pour le calcul du taux de perturbation dans l'habitat du caribou migrateur

Origine	Type	Précision	Zone tampon
Anthropique	Infrastructures routières	Chemins de classes I, II, III, IV, V, hors normes, non classés et inconnus Routes nationales et régionales Chemins d'hiver de moins de 50 ans	15 km
	Infrastructures industrielles	Gravières en exploitation	15 km
		Anciennes gravières	500 m
	Infrastructures électriques	Lignes de transport d'énergie Tours et antennes	5 km
	Autres infrastructures linéaires	Sentiers de quad et motoneige	15 km
	Bâtiments	Baux de location à des fins : – de villégiature – d'abri sommaire – de conservation et de protection de la forêt (SOPFEU) Camps autochtones (permanents et temporaires)	500 m
		Baux de location à des fins : – d'hébergement dans une pourvoirie sans droits exclusifs – commerciales, industrielles ou municipales Toutes autres infrastructures commerciales ou industrielles	15 km
	Jeune forêt (moins de 50 ans d'âge réel) issue de perturbations anthropiques	Traitements sylvicoles et coupes forestières	500 m
Naturelle	Jeune forêt (moins de 40 ans d'âge réel) issue de perturbations naturelles	– Chablis total et épidémie sévère – Feux de forêt et brûlis totaux	Aucune

2.2.3 Habitat potentiel

2.2.3.1 Caribou forestier

L'habitat potentiel du caribou forestier dans la zone d'étude a été évalué sur la base d'une revue de littérature (voir la section 3.2.1) identifiant les catégories d'habitats les plus fortement sélectionnés par le caribou forestier au Québec. Cette analyse s'appuie notamment sur les rapports *Sélection d'habitat du caribou forestier en forêt boréale québécoise* (Bastille-Rousseau *et al.*, 2012) et *Développement et validation d'un modèle de qualité d'habitat pour le caribou forestier Rangifer tarandus caribou au Québec* (Leblond *et al.,* 2014). L'habitat potentiel du caribou forestier se catégorise comme suit :

- vieux peuplements résineux matures (> 80 ans);
- jeunes peuplements résineux matures (40-80 ans);
- peuplements à lichens ouverts;
- dénudés secs et landes à lichens;
- milieux humides (c.-à-d. tourbières, marécage, marais, etc.).

Le secteur Baie-James étant situé au sein de l'écozone de la taïga du bouclier, les caractéristiques biophysiques de l'habitat essentiel du caribou forestier, requises d'après ECCC pour accomplir ses processus vitaux, sont résumées au tableau 4 (ECCC, 2020). La colonne « Catégorie d'habitat potentiel » regroupe les caractéristiques biophysiques potentiellement prises en compte par certaines des catégories d'habitat potentiel du caribou forestier.

Tableau 4 Caractéristiques biophysiques de l'habitat essentiel du caribou forestier dans l'écozone de la taïga du bouclier en fonction de la période du cycle vital de l'espèce

Caractéristique biophysique	Période(s) du cycle vital	Catégorie d'habitat potentiel
Terrain montagneux avec forêts d'épinettes noires, de mélèzes laricins et de pins comportant une abondance de lichens	Rut et hiver	Peuplements résineux matures (40-80 ans et >80 ans)
Forêts denses de pins gris et d'épinettes noires matures où poussent également des sapins baumiers et des mélèzes laricins	Annuelle	
Peuplements d'épinettes blanches et de sapins matures	Hiver	
Forêts ouvertes de conifères comportant une abondance de lichens	Annuelle	
Habitats composés de lichens arboricoles	Hiver	
Mélange de peuplements forestiers matures	Hiver	Non applicable
Forêts matures	Rut	
Milieux humides boisés	Post mise bas et hiver	Milieux humides et hydriques
Tourbières oligotrophes réticulées	Mise bas	
Tourbières oligotrophes arborées	Mise bas	
Tourbières oligotrophes le long des lacs ou des océans	Hiver	
Bordures de tourbières oligotrophes	Hiver	
Milieux humides ouverts de petite taille (< 1 km^2)	Mise bas	
Milieux humides ouverts	Rut	
Marais en bordure de plans d'eau	Mise bas	

Caractéristique biophysique	Période(s) du cycle vital	Catégorie d'habitat potentiel
Marais avec présence de lichens	Post mise bas	
Muskegs de grande taille	Mise bas	
Marécages	Rut	
Blocs glaciels et blocs erratiques avec lichens	Hiver	Landes à lichens
Terres nues	Mise bas et Hiver	
Étendues sablonneuses plates à proximité de l'eau	Hiver	
Rivages de cours d'eau et de lacs	Post mise bas	Non applicable
Sites côtiers	Post mise bas	
Lacs	Hiver	
Hautes terres composées de toundra	Hiver	
Toundra des basses terres composée de tourbières complexes (muskegs et tourbières oligotrophes réticulées), de milieux humides (marais, marécages), de lacs, de cours d'eau et de vallées fluviales	Annuelle	
Toundra à des altitudes élevées dans les régions montagneuses	Hiver	
Toundra des hautes terres à prédominance d'arbustes de la famille des Éricacées (*Ericaceae* spp.), de lichens, de graminées et de carex	Annuelle	
Zones montagneuses	Post mise bas	

Source : ECCC, 2020

Ces caractéristiques biophysiques englobent à la fois des types d'habitats, des caractéristiques de structure et de substrat, des éléments hydrologiques et fonctionnels, de même que des caractéristiques topographiques. Des démarches ont été réalisées quant à la manière de prendre en compte ces caractéristiques biophysiques pour illustrer l'habitat essentiel du caribou forestier.

Tout d'abord, puisque ces caractéristiques sont applicables à l'échelle de l'écozone de la Taïga du bouclier, un vaste territoire s'étalant des Territoires du Nord-Ouest jusqu'au Labrador, certaines d'entre elles ne sont pas représentatives du contexte local du caribou forestier du secteur Baie-James. En effet, considérant que la zone d'étude est située dans le domaine bioclimatique de la pessière à lichens, certains types d'habitats ne sont pas présents dans la zone d'étude, tels que la toundra.

Ensuite, la localisation nordique de la zone d'étude du projet Shaakichiuwaanaan ne permet pas d'utiliser les cartes écoforestières présentant les données les plus fines, et seule la cartographie de la végétation du Nord québécois a pu être utilisée pour évaluer la disponibilité des habitats potentiels pour le caribou forestier dans la zone d'étude. Par conséquent, les données actuellement disponibles ne permettent pas de cartographier l'ensemble des caractéristiques biophysiques de l'habitat essentiel du caribou forestier dans l'analyse.

Enfin, certaines de ces caractéristiques, particulièrement les « forêts matures » et les « mélanges de peuplements forestiers matures », englobent plus généralement les peuplements forestiers, incluant les peuplements mixtes et feuillus. Or, ces habitats ne sont pas reconnus comme étant sélectionnés par le caribou forestier au Québec (Fortin *et al*., 2008; Bastille-Rousseau *et al*., 2012; MFFP, 2021), comme présenté à la section 3.2.1. Conséquemment, les caractéristiques biophysiques de l'habitat essentiel du caribou forestier n'ont pas fait l'objet d'une cartographie spécifique dans le cadre de ce rapport.

Les habitats plus fortement sélectionnés par le caribou forestier tirés de Bastille-Rousseau *et al.* (2012) et Leblond *et al.* (2014) ont ainsi été cartographiés dans le cadre de cette analyse, à l'exception des peuplements à lichens ouverts, puisque les données disponibles ne permettaient pas de les cartographier. Néanmoins, la carte produite englobe potentiellement plusieurs des caractéristiques biophysiques de l'habitat essentiel du caribou forestier énoncées par ECCC (2020), en particulier les peuplements résineux matures et les milieux humides et hydriques. Pour les besoins du présent rapport, il apparaît convenu d'illustrer de manière plus globale les habitats potentiels du caribou forestier sans égard à la période du cycle vital de l'espèce. Les résultats de cette analyse sont présentés à la section 4.3.1.

2.2.3.2 Caribou migrateur

L'habitat potentiel du caribou migrateur dans la zone d'étude a été évalué sur la base d'une revue de littérature (voir la section 3.2.2) identifiant les catégories d'habitats les plus susceptibles d'être utilisés par le caribou migrateur dans la zone d'étude. Contrairement au caribou forestier, la sélection d'habitat par le caribou migrateur tout au long de son cycle vital ne semble pas avoir fait l'objet d'une analyse approfondie comme celle réalisée par Bastille-Rousseau *et al.* (2012) et Leblond *et al.* (2014). Néanmoins, en considérant les besoins alimentaires du caribou migrateur, de même que sa quête d'évitement des prédateurs (Messier et Huot, 1985; Plante *et al*., 2018; Béland *et al*., 2023; Michaud, 2025), certains types d'habitats peuvent être considérés comme des habitats potentiels, sans toutefois être considérés comme étant fortement sélectionnés. Considérant que des caribous migrateurs munis de colliers télémétriques utilisaient généralement la zone d'étude entre octobre et mai (voir la section 4.4.2), l'habitat potentiel du caribou migrateur, sans égards aux périodes saisonnières, se catégorise comme suit :

- milieux forestiers;
- arbustaies;
- landes à lichens;
- milieux humides (tourbières ouvertes et autres milieux humides).

Notons toutefois que certains types d'habitats, particulièrement les milieux humides, pourraient ne pas être fortement sélectionnés par le caribou migrateur durant la période hivernale, mais pourraient être utilisés de manière opportuniste. Ils demeurent néanmoins des habitats naturels potentiellement accessibles par les caribous. Les résultats de cette analyse sont présentés à la section 4.3.2.

2.2.4 Utilisation de la zone d'étude

L'utilisation de la zone d'étude par le caribou a pu être évaluée pour le caribou migrateur du troupeau de la rivière aux Feuilles à partir des données de suivi télémétrique de 2004 à 2024 avec l'estimation par noyaux (kernels). Il s'agit d'une méthode statistique largement utilisée en écologie pour délimiter les aires d'utilisation à partir des localisations GPS des individus. Cette approche permet de générer des contours de probabilité (p. ex. 50 %, 75 % et 95 %) qui représentent respectivement les zones d'utilisation intensive, intermédiaire et globale des individus suivis. Cette analyse présente un schéma de l'utilisation globale de l'habitat par le caribou migrateur du TRAF. Afin de prendre en compte de potentiels changements temporels dans l'utilisation de la zone d'étude, les kernels ont été illustrés pour les périodes 2004-2008, 2009-2015, 2016-2024, ainsi que pour la période globale de suivi de 2004-2024.

Dans le contexte du projet Shaakichiuwaanaan, ces analyses contribuent à une meilleure compréhension des zones d'utilisation préférentielle du caribou migrateur dans la zone d'étude. Elles permettent notamment de reconstituer les aires d'hivernage et de mise bas utilisées par rapport à la zone d'étude. Les résultats de cette analyse sont présentés à la section 4.3.

3 Revue de littérature

3.1 État des populations

3.1.1 Caribou forestier

3.1.1.1 Données démographiques

Le projet Shaakichiuwaanaan est localisé dans le Secteur Baie-James. Bien que quelques inventaires ponctuels du caribou forestier aient été réalisés dans des secteurs restreints du Nord-du-Québec au cours des dernières décennies, un inventaire aérien a été réalisé à l'hiver 2020. Cet inventaire couvrait notamment le secteur Ouest de la Baie-James où la zone d'étude se situe (Szor et Gingras, 2020). Les principaux résultats de cet inventaire sont présentés au tableau 5.

Cet inventaire aérien a couvert une superficie de 100 300 km^2. Les observations ont révélé une faible abondance de caribous forestiers dans cette zone : seulement 82 individus ont été recensés dans les parcelles échantillonnées, répartis en groupes de taille modeste. Après correction selon le taux de détection, l'abondance totale estimée pour le secteur Ouest s'élève à environ 166 caribous (IC 95 % : 82–277), ce qui correspond à une densité moyenne très faible de 0,17 caribou/100 km^2 (Szor et Gingras, 2020). La structure démographique indique un rapport de 31,9 mâles pour 100 femelles et un taux de recrutement de 42,6 faons pour 100 femelles, ce qui correspond à 24,4 % de faons parmi les individus observés (Szor et Gingras, 2020). Entre 2019-2020 et 2023-2024, la survie des femelles était estimée à 92,0 % (MELCCFP, 2026).

Tableau 5 Résultats de l'inventaire aérien de 2020 du Secteur Baie-James – Ouest

Superficie inventoriée (km²)	Densité moyenne corrigée (caribous/ 100 km²)	Nombre d'individus				Proportions		
		Adultes		Faons	Total	Mâles/ 100 femelles	Faons/ 100 femelles	% de faons
		Mâles	Femelles					
100 300	0,17	15	47	20	82	31,9	42,6	24,4

Source : Szor et Gingras, 2020.

À titre indicatif, à l'échelle du Secteur Baie-James, soit pour l'ensemble du territoire inventorié (c.-à-d. secteurs Est et Ouest combinés, 144 700 km^2), l'abondance totale corrigée était estimée à 798 caribous forestiers (IC95 % : 606–989), avec une densité moyenne de 0,55 caribou/100 km^2.

Finalement, en 2023, Niigaan a réalisé un inventaire dans la zone d'étude du projet Shaakichiuwaanaan, suivant la méthodologie généralement utilisée par le gouvernement provincial (Courtois *et al.*, 2003). Bien que les résultats et le rapport n'aient pas été publiés, WSP a consulté le rapport d'inventaire, qui confirme qu'aucun caribou n'a été observé lors de cet inventaire.

Ces résultats suggèrent une abondance très faible et une répartition limitée du caribou forestier dans le Secteur Baie-James, particulièrement dans la partie Ouest où la zone d'étude est localisée. Ainsi, la présence de populations de caribou forestier établies demeure à l'heure actuelle incertaine et très restreinte dans le Secteur Baie-James.

3.1.1.2 Niveau d'autosuffisance

Les indicateurs d'autosuffisance pour le caribou forestier, évalués par ECCC, sont la taille des populations, leur taux de croissance fini (λ) et le taux de perturbation de l'habitat (ECCC, 2024). Ces indicateurs sont traités afin de présenter les niveaux de risque actuel de déclin évalués par ECCC pour le Secteur Baie-James. L'évaluation effectuée par ECCC s'est appuyée sur les connaissances les plus actualisées issues des suivis de populations effectués par le gouvernement du Québec.

Ces indicateurs d'autosuffisance suggèrent que presque toutes les populations de caribou forestier au Québec sont en déclin (ECCC, 2024). Dans son évaluation, ECCC présente des classes de taille des populations de < 100, 100-300 et > 300 individus, associées à différents degrés de risque. Il est considéré qu'il faut plus de 300 caribous forestiers pour qu'une population locale soit jugée autosuffisante (EC, 2008). De plus, il est précisé qu'un effectif de 100 individus a une probabilité de 70 % de ne pas atteindre le seuil de quasi-disparition, soit moins de 10 femelles capables de se reproduire en présence de conditions stables sur 50 ans (EC, 2011).

Le taux de croissance fini (λ) des populations et le niveau de perturbation de l'habitat permettent aussi d'évaluer si les populations sont susceptibles d'être stables ou en croissance dans le futur. Les populations dont le taux de croissance est actuellement égal ou supérieur à un (≥ 1) ont plus de chances de se maintenir à long terme (ECCC, 2024). Le calcul des taux de croissance, qui tient compte des estimations des taux de survie et de recrutement, a été établi sur les données issues de quelques années seulement. Les résultats doivent par conséquent être interprétés prudemment.

Il est également suggéré que plus le degré de perturbation de l'habitat est faible, plus les conditions sont susceptibles de soutenir des populations stables ou en croissance (Courtois *et al.*, 2007; ECCC, 2024). Dans son évaluation, ECCC précise que le calcul du niveau de perturbation a été effectué conformément à la méthode décrite dans le rapport *Évaluation scientifique aux fins de la désignation de l'habitat essentiel de la population boréale du caribou des bois (Rangifer tarandus caribou), au Canada* (EC, 2011).

D'après les résultats du plus récent inventaire réalisé dans le Secteur Baie-James, l'abondance totale corrigée de caribous forestiers était estimée à environ 798 individus (IC 95 % : 606–989) pour l'ensemble du territoire inventorié (Szor et Gingras, 2020), ce qui dépasse le seuil de 300 individus généralement reconnu par Environnement et Changement climatique Canada comme critère minimal pour qu'une population soit considérée comme autosuffisante (ECCC, 2024). Toutefois, cette condition n'est pas suffisante à elle seule : l'autosuffisance d'une population locale de caribou forestier dépend également d'un taux de croissance démographique stable ou positif (λ ≥ 1) et d'un taux de perturbation de l'habitat inférieur au seuil critique de 35 %. Dans le Secteur Baie-James, le taux de perturbation de l'habitat atteint 47 %, principalement en raison des feux de forêt, ce qui constitue un niveau de risque modéré selon le Gouvernement du Québec (MELCCFP, 2026).

De plus, le taux de croissance démographique de la population n'est pas disponible, faute de données suffisantes sur la survie et le recrutement. Pour le secteur Ouest spécifiquement, la densité de caribous forestiers est particulièrement faible, avec seulement 166 individus estimés sur 100 300 km^2 (soit 0,17 caribou/100 km^2) (Szor et Gingras, 2020), ce qui témoigne d'une répartition très clairsemée et d'une présence incertaine. Bien que les données disponibles ne permettent pas de conclure à la probabilité d'autosuffisance de la population du Secteur Baie-James, sa probabilité de croissance stable ou à la hausse au cours d'une période de 20 ans pourrait être « plus ou moins probable », notamment en raison d'un taux de perturbation élevé et des faibles densités observées (Szor et Gingras, 2020; ECCC, 2024).

Par conséquent, la population du Secteur Baie-James Ouest présente un niveau de risque d'extinction élevé, la probabilité d'autosuffisance de la population étant jugée « peu probable » à « modérée », en raison d'une faible abondance, d'un taux de croissance fini potentiellement inférieur à 1 ($\lambda \approx 0{,}97$ pour les secteurs voisins) et d'un niveau de perturbation de l'habitat dépassant le seuil critique de 35 % (ECCC, 2024).

3.1.2 Caribou migrateur

La dynamique démographique du troupeau de la rivière aux Feuilles (TRAF) est marquée par une forte croissance jusqu'au début des années 2000, suivie d'un déclin soutenu. Les inventaires aériens réalisés depuis 1975 montrent que la population est passée d'environ 56 000 caribous à près de 276 000 en 1991, atteignant un sommet estimé à 628 000 individus en 2001, selon la limite inférieure de l'intervalle de confiance retenue pour pallier l'incertitude méthodologique (Couturier *et al*., 2004; Taillon *et al*., 2016). Après ce pic, la taille du troupeau a diminué, passant d'environ 430 000 caribous en 2011, à 332 000 caribous en 2015, soit une baisse de 6,5 % par rapport à l'année précédente (Taillon *et al*., 2016). À partir de 2016, les estimations d'abondance du TRAF montrent un déclin constant de ses effectifs, atteignant environ 168 000 individus en 2022, représentant une diminution d'environ 70 % depuis le sommet de 2001 (MFFP, 2018b; Gouvernement du Québec, 2025b). En 2023, la population était estimée à environ 175 000 individus (Brodeur *et al.*, 2023).

La figure 1 illustre les fluctuations historiques dans l'estimation de l'abondance de caribous migrateurs du TRAF.

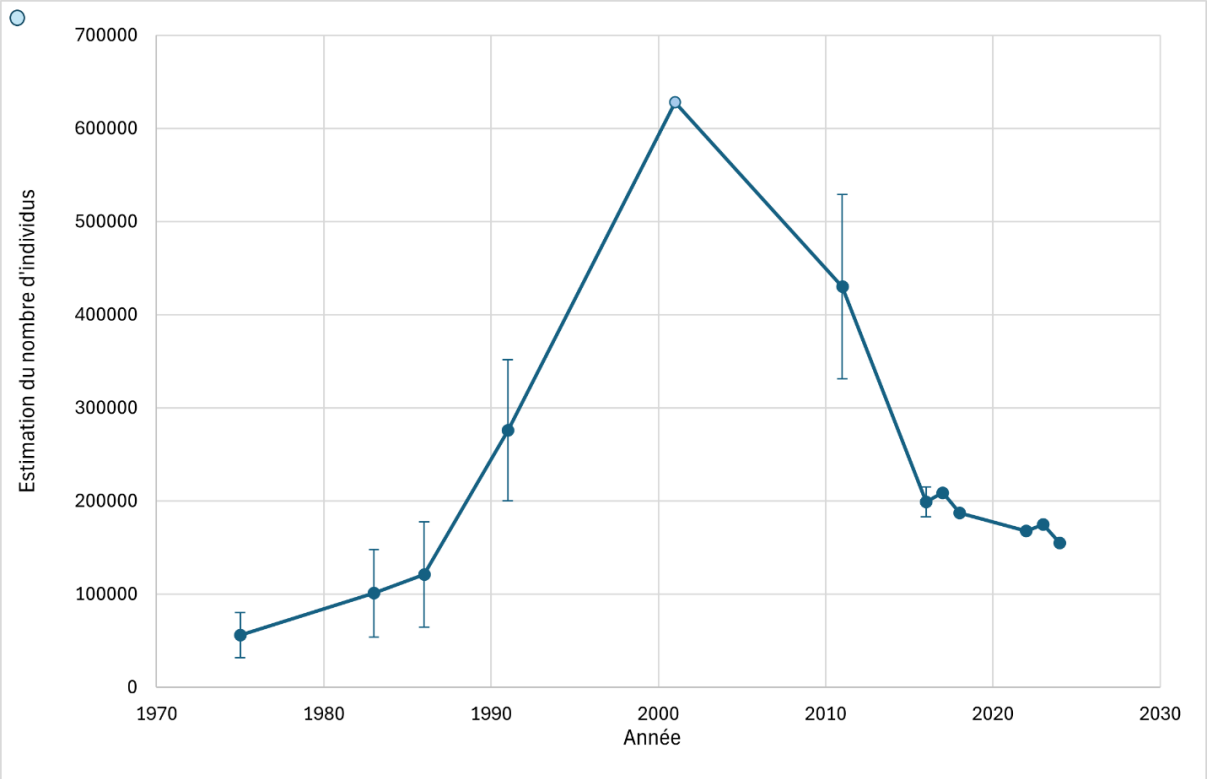

Figure 1 **Fluctuations historiques dans l'estimation de l'abondance de caribous migrateurs du troupeau de la rivière aux Feuilles (TRAF)**

Ce déclin démographique s'explique principalement par une diminution de la survie des adultes, particulièrement chez les mâles, alors que le recrutement (proportion de faons à l'automne) s'est maintenu autour de 20 % depuis 2001. La proportion de grands mâles dans la population, essentielle à la dynamique reproductive, a également chuté depuis 2007, atteignant seulement 4 % en 2015. Les activités anthropiques (p. ex. chasse, braconnage et activités industrielles) de même que les changements climatiques participent à ce déclin (Taillon *et al*., 2016).

3.2 Sélection d'habitat

3.2.1 Caribou forestier

3.2.1.1 Habitat général

De manière générale, le caribou forestier recherche les habitats non perturbés, sélectionnant préférentiellement les tourbières ouvertes ou arborées (Bradshaw *et al*., 1995; Stuart-Smith *et al*., 1997; Rettie et Messier, 2000), les forêts de conifères matures riches en lichens (Darby et Duquette, 1986; Crête *et al*., 2004; Hins *et al*., 2009; Bastille-Rousseau *et al*., 2012), de même que les sites riches en lichens tels que les affleurements rocheux et les milieux ouverts (Ducruc *et al*., 1988; Paré et Brassard, 1994; Racey *et al*., 1997; Sebbane *et al*., 2002; Leblond *et al*., 2011; Bastille-Rousseau *et al*., 2012). Une liste des habitats plus fortement sélectionnés par le caribou forestier fortement inspirée des travaux de Bastille-Rousseau *et al.* (2012) et Leblond *et al.* (2014), et ayant servi à cartographier l'habitat potentiel pour cet écotype, est présentée à la section 2.2.3.1. En contrepartie, les habitats généralement évités par le caribou forestier se détaillent comme suit :

- peuplements feuillus et mixtes (>40 ans);
- perturbations naturelles récentes (≤ 20 ans);
- coupes forestières récentes (≤ 5 ans);
- coupes forestières (6 à 20 ans);
- régénération (>20 ans <40 ans).

En plus de certaines classes d'âges de forêts de feuillus et mixtes, de perturbations naturelles et d'habitats en régénération, le caribou forestier évite les milieux récemment perturbés, tels que les coupes forestières et les routes (Fortin *et al*., 2008; St-Laurent *et al*., 2011, 2014; Bastille-Rousseau *et al*., 2012; Moreau *et al*., 2012; Fortin *et al*., 2013; Leblond *et al*., 2014; Losier *et al*., 2015). Ces perturbations créent un effet de bordure, accentuant l'évitement des interfaces entre milieux naturels et milieux perturbés (Fortin *et al*., 2013). Le caribou sélectionne également son habitat pour réduire son exposition aux prédateurs, en évitant les zones fortement utilisées par ceux-ci ou présentant des densités élevées de proies alternatives comme l'orignal (Brown *et al*., 2003; Whittington *et al*., 2011; Derguy *et al*., 2025). Finalement, il arrive que le caribou utilise temporairement des peuplements en régénération issus de coupes âgées de 6 à 40 ans, surtout au printemps (Hins *et al*., 2009; Moreau *et al*., 2012; Bastille-Rousseau *et al*., 2012).

3.2.1.2 Habitat en période hivernale

Lors de la période hivernale, le caribou forestier est à la recherche de terrains nus et secs, de milieux humides (tourbières) ainsi que de forêts de conifères matures avec la présence de lichens (Fortin *et al.*, 2008; Bastille-Rousseau *et al.*, 2012; Moreau *et al.*, 2012; Fortin *et al.*, 2013; Leblond *et al.*, 2015; Losier *et al.*, 2015). Selon Brown *et al.* (1986), certains caribous utilisaient la toundra en milieu sec pour se reposer alors que les forêts à lichens étaient utilisées en guise d'aire d'alimentation.

Au niveau des peuplements forestiers, les caribous sélectionnent les peuplements de sapins baumiers, les peuplements denses d'épinettes ou encore les forêts mélangées d'épinettes et de sapins de plus de 40 ans (Courtois *et al.*, 2003; Crête *et al.*, 2004; Courbin *et al.*, 2009). Ils fréquentent également les milieux humides boisés (EC, 2008) et leur présence est fréquemment observée sur des lacs et rivières gelés (Courtois *et al.*, 2003).

Le couvert de neige étant un paramètre important au niveau de l'accessibilité à la nourriture pour les caribous, les types d'habitat où la neige est peu profonde sont recherchés pour avoir plus facilement accès aux lichens terrestres. Ces conditions neigeuses peuvent habituellement être retrouvées dans les peuplements matures au couvert fermé, les zones de hautes terres ou les collines exposées au vent. Inversement, quand le couvert de neige est très important, les caribous vont rechercher des types d'habitat ayant une abondance de lichens arboricoles (Courbin *et al.*, 2009; Moreau *et al.*, 2012).

3.2.1.3 Habitat en période de rut

Durant la période de rut, les caribous sélectionnent les tourbières et les landes à lichens (Hins *et al.*, 2009) pour assurer le contact visuel entre les individus lors de l'activité de reproduction (Bergerud, 1973). Il est à souligner que les caribous se déplacent sur de plus grandes distances lors de la saison du rut, en plus de former de plus grands groupes (EC, 2008).

3.2.1.4 Habitat en période de mise bas

La superficie du domaine vital durant la mise bas aura tendance à être plus grande lorsque des coupes forestières récentes sont retrouvées à proximité. Inversement, la taille du domaine vital diminuera s'il y a une forte proportion de résineux mature à proximité. Les types d'habitat préférentiels lors de la mise bas sont les pessières et sapinières de plus de 40 ans ou les dénudés secs ou humides. Cependant, les probabilités d'occurrence du caribou forestier sont plus élevées dans les peuplements mixtes, loin des routes, à une altitude plus élevée (Bastille-Rousseau *et al.*, 2012).

3.2.2 Caribou migrateur

Le caribou migrateur est l'un des mammifères exerçant les plus longues migrations terrestres du règne animal (Joly *et al.*, 2019). Il est retrouvé principalement au-dessus du 55^{e} parallèle, mais peut parfois être observé jusque sous le 52^{e} parallèle en fin de migration vers la forêt boréale et lors de sa période d'hivernage (Nature Québec, 2015). Le caribou migrateur est sensible aux perturbations de son habitat (Le Corre *et al.*, 2013) et sélectionne une diversité de types d'habitat à l'échelle annuelle afin d'accomplir son cycle vital.

L'habitat du caribou migrateur se décline en aires saisonnières qu'il utilise aux différentes périodes de son cycle vital. Les caribous migrateurs du TRAF utilisent ainsi un gradient d'habitat entre leur aire d'hivernage (située à la limite nord de la forêt boréale) et celles de mise bas et d'estivage (situées à l'extrémité nord du Nunavik), lesquelles sont reliées par les corridors migratoires qu'ils empruntent lors des migrations automnales et printanières (Gouvernement du Québec, 2025b).

3.2.2.1 Habitat général

À grande échelle, la sélection d'habitat du caribou migrateur est caractérisée par des compromis entre des facteurs comme la prédation (Bastille-Rousseau *et al.*, 2015), la disponibilité et la qualité des ressources alimentaires en été (Bergerud *et al.*, 2008) et en hiver (Joly et Cameron, 2018), la compétition interspécifique, le climat (Sharma *et al.*, 2009) et la présence d'insectes (Russell & Nixon, 1990). Les feux de forêt peuvent également influencer l'utilisation de l'habitat par le caribou migrateur (Taillon *et al*., 2016). Il en va de même pour les perturbations d'origine anthropique, telles que les activités industrielles, et particulièrement les activités minières (Plante *et al*., 2018; Gouvernement du Québec, 2025b).

Plusieurs études se sont également penchées sur la sélection d'habitat saisonnière du caribou migrateur. Durant l'été, le caribou migrateur sélectionne des parcelles d'habitat lui procurant des ressources alimentaires de qualité afin de pallier le déficit nutritionnel engendré par une alimentation pauvre en protéines lors de la migration automnale et la saison hivernale (mi-septembre à mi-avril; Béland *et al.*, 2023; Michaud, 2025). Un régime alimentaire qui pallie les carences associées à l'alimentation à base de lichens durant l'hiver favorise un meilleur taux de recrutement (Vuillaume, 2023). Les bouleaux (*Betula sp.)* et le saule (*Salix sp*.) sont également sélectionnés afin de refaire les réserves énergétiques après la mise bas et avant l'arrivée de l'hiver (Lemus-Lauzon *et al*., 2025). Le lichen est sélectionné lorsque les autres ressources sont moins disponibles ou que leur qualité diminue à l'approche de l'automne (Béland, 2022).

Les aires de mise bas et d'estivage, étant situées au nord du Nunavik (Taillon *et al*., 2016), ne sont pas incluses dans la zone d'étude et par conséquent, la sélection d'habitat relative à cette période du cycle vital ne sera pas détaillée davantage dans la présente étude.

3.2.2.2 Habitat en période hivernale

En hiver, le caribou migrateur sélectionne les types d'habitat riches en lichens terricoles et arboricoles (Messier et Huot, 1985), de même que les forêts de conifères et les arbustaies offrant du couvert (Plante *et al*., 2018). Pour qu'un habitat hivernal soit considéré comme optimal, il doit être caractérisé par la présence abondante de ressources alimentaires de qualité, de même que par des conditions météorologiques clémentes permettant un accès facilité aux lichens (Messier et Huot, 1985; Barrette et Vandal, 1986). L'épaisseur du couvert de neige ainsi que sa dureté exercent une influence directe sur l'accessibilité à la ressource alimentaire, car le caribou utilise ses ergots pour creuser des cratères d'alimentation afin d'avoir accès aux lichens terricoles (Barrette et Vandal, 1986; Gouvernement du Québec, 2025b). En hiver, le caribou migrateur tend à éviter les milieux ouverts (p. ex. lacs, zones perturbées sans couvert) (Plante *et al*., 2018). Ils évitent également l'altitude en raison de conditions météorologiques généralement plus rudes (Plante *et al*., 2018). Durant cette saison, les déplacements journaliers du caribou migrateur sont minimaux, se limitant en moyenne à 5 km. Ces déplacements peuvent toutefois atteindre plusieurs dizaines de kilomètres si la quantité de ressources alimentaires est insuffisante dans l'habitat (Taillon *et al*., 2016).

C'est durant la période hivernale que la zone d'étude est la plus susceptible d'être fréquentée par le caribou migrateur. Bien qu'aucun rapport du MELCCFP ou de ECCC ne présente de synthèse des préférences globales en matière d'habitat pour le caribou migrateur, il est possible de dégager les tendances saisonnières à partir des études publiées sur le sujet. Il est particulièrement pertinent de faire l'exercice pour la période hivernale, au cours de laquelle le caribou migrateur utilise les secteurs situés plus au sud de son aire de répartition et donc, plus près de la zone d'étude. En somme, la sélection d'habitat hivernale du caribou migrateur repose sur un compromis entre la disponibilité des ressources alimentaires, la recherche de conditions climatiques favorables et la réduction des risques associés à la prédation et aux perturbations humaines (Sharma *et al.*, 2009; Plante *et al.*, 2018; Michaud, 2025). La taille du troupeau constitue également l'un des principaux facteurs influençant le choix des aires d'hivernage (Le Corre *et al.*, 2020). Les changements observés dans l'utilisation de l'habitat hivernal s'expliquent également par la lente régénération du lichen, principale ressource alimentaire des caribous durant l'hiver (Crête *et al.*, 1996; Joly *et al*., 2010). Après une utilisation intensive ou une perturbation telle qu'un feu de forêt, les caribous peuvent délaisser temporairement certaines aires d'alimentation au profit de secteurs où le lichen est plus abondant.

Les types d'habitat sélectionnés par le caribou migrateur durant l'hiver sont les suivants :

- secteurs avec présence de lichens terrestres (p. ex. forêts ouvertes à lichens, toundra à lichen; Sharma *et al*., 2009, Plante *et al*., 2018; Michaud, 2025);
- forêts de conifères denses ou clairsemées offrant une certaine couverture protectrice (Plante *et al*., 2018; Michaud, 2025);
- prairies à végétation clairsemée (Sharma *et al*., 2009; Plante *et al*., 2025, Michaud, 2025);
- zones caractérisées par un enneigement plus abondant et des conditions hivernales plus sèches et plus chaudes (Sharma *et al*., 2009).

Par ailleurs, les types d'habitat généralement évités par le caribou migrateur durant l'hiver sont les suivants :

- milieux ouverts dépourvus de couverture protectrice (p. ex. vastes lacs gelés; Plante *et al*., 2018; Michaud, 2025);
- secteurs en altitude (Plante *et al*., 2018; Michaud, 2025);
- zones soumises à une activité humaine accrue (p. ex. chasse sportive, infrastructures; Plante *et al.*, 2018);
- milieux présentant une végétation dense peu propice au déplacement et à l'alimentation (p. ex. arbustaies denses; Michaud *et al*., 2025).

3.2.2.3 Habitat en période de migration

Durant la période de migration, le caribou migrateur peut parcourir plusieurs centaines de kilomètres entre l'aire de mise bas et l'aire d'hivernage du troupeau (Gouvernement du Québec, 2025b). Les corridors migratoires empruntés d'une année à l'autre dépendent notamment de la disponibilité et de la qualité des ressources alimentaires, des conditions climatiques et de l'évitement des prédateurs (Couturier *et al*., 2006; Leclerc *et al.*, 2021). La reproduction a lieu entre la mi-octobre et le début novembre, durant la migration automnale vers les sites d'hivernage en forêt boréale (Gouvernement du Québec, 2025b). Lors des migrations, le caribou utilise les cours d'eau gelés pour se déplacer plus efficacement. Il priorise ainsi les types d'habitat qui facilitent ses déplacements, au détriment de sa protection contre les prédateurs (Le Corre *et al*., 2013).

Les caribous migrateurs sont davantage susceptibles de fréquenter la zone d'étude durant la migration automnale et la saison hivernale.

3.3 Impacts des activités anthropiques

3.3.1 Impacts directs

3.3.1.1 Caribou forestier

Les impacts directs des activités anthropiques sur le caribou forestier se manifestent principalement par la perte et la fragmentation de l'habitat, la création de barrières physiques, la dégradation de la qualité des ressources alimentaires, le risque de collisions routières et l'exposition accrue à des agents de stress (St-Laurent *et al*., 2012; St-Laurent *et al*., 2014; Dickie *et al*., 2023; Lessard *et al*., 2026).

Les infrastructures linéaires (p. ex. routes, chemins forestiers, lignes de transport d'énergie électrique (LTE)) engendrent une fragmentation de l'habitat du caribou forestier, ce qui constitue l'un des principaux mécanismes par lesquels les activités anthropiques affectent le caribou forestier (St-Laurent *et al*., 2014; Dickie *et al*., 2023; Lessard *et al*., 2026). Cette fragmentation engendre une réduction de la connectivité entre les parcelles d'habitat de qualité et limite les déplacements nécessaires à l'acquisition de ressources, à la reproduction et à la dispersion (Polfus *et al*., 2011; Leblond *et al*., 2012).

Les infrastructures anthropiques entraînent également une perte fonctionnelle d'habitat bien au-delà de l'emprise physique des aménagements (St-Laurent *et al*., 2014; Dickie *et al*., 2023; Lessard *et al*., 2026), ce qui implique que des parcelles d'habitat deviennent inaccessibles ou sous-utilisées, même si elles présentent des conditions intéressantes pour le caribou (Polfus *et al*., 2011; Leblond *et al*., 2012). Les zones d'influence autour des infrastructures peuvent ainsi s'étendre sur plusieurs kilomètres (Weir et al., 2007), restreignant l'utilisation de vastes portions de l'habitat (Weir *et al*., 2007; St-Laurent *et al*., 2014). Par exemple, Weir *et al*. (2007) ont montré que la densité de caribous était significativement réduite dans un rayon de 4 km autour d'un site minier en exploitation. La fragmentation ainsi créée limite les déplacements nécessaires à l'acquisition de ressources alimentaires, à la reproduction et à la dispersion, et peut conduire à une augmentation du risque d'extinction locale par isolement géographique ou génétique (Leblond *et al*., 2012; St-Laurent *et al*., 2014). L'évitement d'habitats optimaux localisés à proximité d'infrastructures anthropiques peut inciter les caribous à utiliser davantage des habitats suboptimaux afin de réduire le risque de prédation (Polfus *et al*., 2011; Rudolph *et al*., 2012).

Les projets miniers génèrent également des impacts directs par la destruction de l'habitat lors de l'implantation des infrastructures (p. ex. bâtiments, chemins d'accès, fosses, haldes, puits), la production de bruit et de poussière ainsi que la contamination des ressources alimentaires, notamment les lichens (Best *et al*., 2025 ; Lessard *et al*., 2026). La poussière générée par les infrastructures minières peut réduire la couverture de lichens sur plusieurs kilomètres autour des sites et entraîner une accumulation de métaux lourds dans les tissus des caribous, avec des effets potentiels sur la santé et la reproduction (Lessard *et al*., 2026). Chen *et al*. (2017) ont notamment montré que la poussière générée par le transport minier peut augmenter le pH du sol et réduire significativement la couverture de lichens, diminuant ainsi la disponibilité du lichen pour le caribou sur une distance d'environ 1 km autour des routes principales.

En plus d'augmenter le risque de mortalité par collision routière (St-Laurent *et al*., 2012), la présence d'infrastructures et l'augmentation du trafic motorisé provoquent également des réactions comportementales documentées chez le caribou, telles que l'augmentation du taux de déplacement, la réduction du temps d'alimentation et l'augmentation du niveau de stress physiologique (Leblond *et al*., 2012). Ces réactions sont particulièrement marquées lors de la traversée de routes à fort trafic ou à proximité de chantiers de construction (Leblond *et al*., 2012). Selon Lesmerises *et al*. (2013), les caribous forestiers traversent rarement les LTE et présentent une augmentation significative de la vitesse de déplacement lors des traversées, ce qui suggère une perception négative des emprises.

Conséquemment, une capacité réduite des individus à se déplacer entre les massifs forestiers peut compromettre la viabilité des populations locales (Courtois *et al*., 2002; COSEPAC, 2014), le maintien de corridors fonctionnels et la restauration de la connectivité entre les habitats résiduels étant ainsi sont considérés essentiels pour soutenir la dynamique des populations et favoriser leur rétablissement (Morin, 2023).

3.3.1.2 Caribou migrateur

Les activités anthropiques entraînent une perte directe d'habitat fonctionnel pour le caribou migrateur, principalement par des comportements d'évitement des infrastructures à différentes échelles spatiales (Plante *et al*., 2018). Des études ont montré que les caribous migrateurs du TRAF et du TRG évitaient activement plusieurs types de perturbations anthropiques, notamment les mines, les sites d'exploration minière, les routes et les bâtiments, réduisant l'occupation de portions importantes de leurs aires saisonnières (Plante *et al*., 2018; Plante *et al*., 2020). Les zones d'influence associées aux infrastructures minières pouvaient atteindre plusieurs kilomètres, jusqu'à environ 23 km dans certains contextes, entraînant une perte d'habitat pouvant représenter jusqu'à 30 % des aires saisonnières et près de 40 % des habitats de grande qualité (Boulanger *et al*., 2012; Plante *et al*., 2018).

Les routes n'empêchent pas systématiquement les traversées par les caribous, mais modifient fréquemment le comportement des individus, entraînant des détours, des allers-retours, des déplacements parallèles à l'infrastructure ou des délais avant la traversée (Fullman *et al*., 2025). Ces comportements sont interprétés comme des réponses de résistance ou d'hésitation face à l'infrastructure, augmentant le temps passé à proximité des routes (Fullman *et al*., 2025). Lors de la traversée ou de l'approche des routes, les caribous migrateurs peuvent augmenter leur vitesse de déplacement, ce qui suggère un coût énergétique direct associé aux infrastructures linéaires. Des analyses fines de déplacements ont montré une accélération des mouvements à proximité des routes, notamment lors des traversées, ce qui peut réduire le temps consacré à l'alimentation ou au repos dans ces secteurs (Plante *et al*., 2018; Plante *et al*., 2020).

Chez le renne sauvage de Norvège, les LTE ont été associées à une utilisation asymétrique de l'habitat de part et d'autre de l'infrastructure, traduisant une fragmentation de l'habitat et une réduction de la connectivité locale (Vistnes *et al*., 2004). En période hivernale, cet effet de barrière peut limiter l'accès à certains secteurs d'alimentation ou de repos et contraindre les déplacements à des trajectoires plus longues ou moins favorables du point de vue énergétique (Vistnes *et al*., 2004; Plante *et al*., 2018). Les impacts directs sont susceptibles d'être accentués lors des phases de construction ou d'entretien des infrastructures. Or, la connectivité du paysage est indispensable au maintien des grandes migrations saisonnières du caribou migrateur, qui permettent notamment aux individus d'accéder aux aires d'hivernage et de mise bas, et d'assurer le maintien ou la croissance démographique des populations (Boulanger *et al*., 2024; Fullman *et al*., 2025). Bien que les travaux sur les lignes de transmission d'énergie soient généralement temporaires, les perturbations associées au bruit, à la circulation de véhicules et à la présence humaine peuvent entraîner un évitement localisé des habitats adjacents durant l'hiver, période au cours de laquelle la capacité du caribou à compenser énergétiquement les perturbations est limitée (Colman *et al*., 2015; Plante *et al*., 2018).

Les travaux de Vistnes *et al*. (2004) ont également montré que les lignes de transmission d'énergie, particulièrement lorsqu'elles étaient parallèles ou combinées à des routes, pouvaient être associées à des différences marquées de biomasse de lichens de part et d'autre de l'infrastructure, la biomasse étant plus élevée dans les secteurs devenus moins accessibles aux rennes sauvages.

3.3.2 Impacts indirects

3.3.2.1 Caribou forestier

Les activités anthropiques, telles que la coupe forestière, la construction de routes et la fragmentation des habitats forestiers, entraînent des impacts indirects sur le caribou forestier en modifiant profondément les réseaux trophiques et les interactions interspécifiques (Courtois *et al*., 2007; Raymond-Bourret, 2017).

La perte et la fragmentation de l'habitat par les infrastructures anthropiques favorisent l'augmentation des densités de l'orignal (*Alces alces*) et d'autres proies alternatives, ce qui supporte des populations plus élevées de loup gris (*Canis lupus*) et accroît indirectement la pression de prédation sur le caribou, un phénomène connu sous le nom de « compétition apparente » (Courtois *et al*., 2007; Leblond *et al*., 2013; Raymond-Bourret, 2017). De plus, la création de milieux ouverts et de bordures par les coupes, les routes et les LTE profite à l'ours noir (*Ursus americanus*), qui peut alors augmenter la prédation sur les faons du caribou forestier (Raymond-Bourret, 2017). La fragmentation accroît également la vulnérabilité du caribou à la prédation en rendant ses déplacements plus prévisibles et en concentrant les individus dans des habitats résiduels (St-Laurent *et al*., 2014; Dickie *et al*., 2023).

La fragmentation du paysage réduit la disponibilité d'habitats refuges pour le caribou et augmente la probabilité de co-occurrence spatiale avec ses prédateurs, notamment dans les jeunes coupes où la probabilité de rencontre entre le caribou forestier et ses prédateurs est la plus élevée (Beauchesne *et al*., 2013; Raymond-Bourret, 2017). Par ailleurs, la présence accrue de routes et de sentiers facilite les déplacements des loups gris, augmente les taux de rencontre entre loups et caribous et donc le risque de prédation, même dans des secteurs où la densité de loups gris demeure faible (Whittington *et al*., 2011).

Enfin, l'ensemble de ces effets indirects peut entraîner une diminution de la survie des adultes et des faons, une contraction des domaines vitaux et, à terme, un déclin des populations de caribous forestiers (Courtois *et al*., 2007; Leblond *et al*., 2013).

3.3.2.2 Caribou migrateur

Les activités anthropiques peuvent engendrer des impacts indirects cumulatifs en réduisant la superficie et la connectivité de l'habitat fonctionnel disponible. L'évitement persistant des infrastructures linéaires, incluant les lignes de transmission d'énergie, peut se maintenir sur de longues périodes et contribuer à une réorganisation durable de l'utilisation de l'aire d'hivernage, même plusieurs décennies après la construction des infrastructures (Vistnes *et al*., 2004; Plante *et al*., 2018). Cette perte de connectivité est particulièrement critique en hiver, lorsque l'accès à des habitats de qualité conditionne la survie et la condition corporelle des individus.

Les infrastructures linéaires peuvent également influencer indirectement le risque de prédation auquel est exposé le caribou migrateur. Les routes, chemins d'accès et emprises associées aux lignes de transmission d'énergie peuvent faciliter les déplacements des prédateurs, tel que le loup gris, en offrant des corridors de déplacement plus efficaces dans des paysages enneigés, ce qui peut accroître la probabilité de rencontres prédateur-proie (Plante *et al*., 2020). Par ailleurs, l'évitement de ces infrastructures par les caribous migrateurs peut entraîner une concentration des individus dans des habitats résiduels ou suboptimaux, où le risque de prédation est plus élevé, augmentant ainsi leur vulnérabilité (Plante *et al*., 2018; Plante *et al*., 2020).

En période hivernale, un contexte où la mobilité est contrainte par l'enneigement et où l'équilibre énergétique est particulièrement sensible, la fragmentation par les infrastructures linéaires peut limiter la capacité du caribou migrateur à ajuster finement son utilisation de l'espace en fonction des conditions de neige, de disponibilité des ressources et de risque de prédation, réduisant ainsi sa résilience face aux variations environnementales interannuelles (Vistnes *et al*., 2004; Plante *et al*., 2018; Plante *et al*., 2020).

4 Résultats

4.1 Qualité de l’habitat

L’indice de qualité de l’habitat du caribou forestier, illustré à la carte 5, met en évidence une hétérogénéité du territoire, avec des secteurs où la qualité de l’habitat est élevée, principalement localisés dans les massifs forestiers peu perturbés, et d’autres où la qualité est faible, souvent associés à la proximité des infrastructures telles que les routes, les lignes de transport d’énergie et les centrales hydroélectriques.

Dans le secteur de la zone d’étude (Baie-James Ouest), il y a une prédominance de parcelles de faible qualité d’habitat, caractérisées par une faible densité de pessières, une abondance de tourbières et de landes à lichens, ainsi que la présence de nombreux brûlis récents. Les massifs forestiers y sont particulièrement rares, ce qui se traduit par une densité de caribous forestiers très faible, qui était estimée à seulement 0,17 caribou/100 km² en moyenne, et à 0,60 caribou/100 km² dans les parcelles de qualité élevée (Szor et Gingras, 2020). Notons que la majorité des caribous observés dans le secteur Ouest étaient localisés dans les parcelles de qualité élevée, qui ne représentent qu’une faible proportion de la superficie totale du secteur. À l’inverse, les parcelles de faible qualité couvrent la majeure partie du territoire et hébergent très peu d’individus.

L’indice de qualité d’habitat met en évidence la forte variabilité du potentiel d’utilisation de l’habitat du caribou forestier dans la zone d’étude. Cette représentation spatiale permet de cibler les zones prioritaires pour la restauration ou la protection de l’habitat, en appui à la gestion et à la conservation du caribou forestier dans le contexte du projet minier Shaakichiuwaanaan.

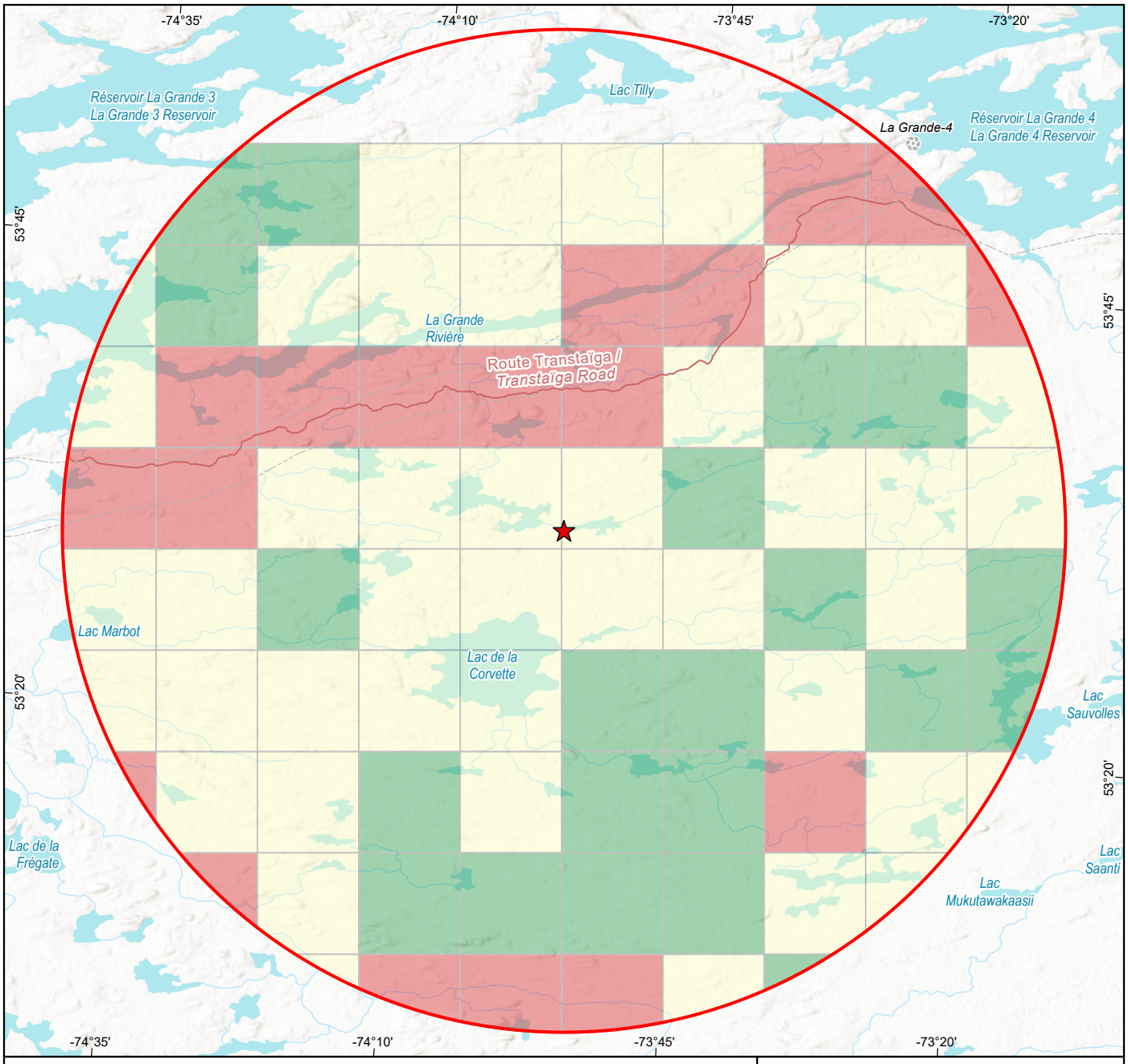

Zone d'étude / *Study Area*

Régionale - Biophysique / *Regional - Biophysical*

Caribou / *Caribou*

Classes de qualité d'habitat / *Habitat Quality Classes*

Faible (1er quartile) / *Low (1st quartile)*

Moyen (2e et 3e quartiles) / *Average (2nd and 3er quartiles)*

Élevé (4e quartile) / *High (4th quartile)*

Infrastructures / *Infrastructure*

Centrale hydroélectrique / *Hydroelectric generating station*

Ligne de transport d'énergie / *Electric power transmission line*

Réseau routier / *Road Network*

Route collectrice municipale / *Municipal collector road*

Projet minier Shaakichiuwaanaan / *Shaakichiuwaanaan Mining Project*

Rapport sectoriel – Caribou / *Sectoral Report – Caribou*

Carte 5 / *Map 5*
Indice de qualité d'habitat dans la zone d'étude pour le caribou forestier / *Habitat Quality Index in the Study Area for the Woodland Caribou*

Sources :
BDGA, 1/1 000 000, MRN Québec, 2014
AQréseau+, réseau routier, MERN, 2024-03-01

0 6 12 km

NAD 1983 Quebec Lambert

2026-03-19

Préparation / Preparation : L. Metthé
Dessin / Drawing : J. Roy
Approbation / Approval : M. H. Brisson
CA0001724_3318_eie_sc_gf_caribou_260316_c5a8.aprx
CA0001724_3318_eie_sc_gf_c05_058_qual_hab_260317

4.2 Perturbation de l'habitat

4.2.1 Caribou forestier

4.2.1.1 Provincial

Le taux de perturbation de l'habitat du caribou forestier selon la méthode du Gouvernement du Québec (voir la section 2.2.2.1) est estimé à environ 48,2 % de la superficie terrestre de la zone d'étude (~6 538,0 km^2), soit environ 3 153,2 km^2. Parmi ces perturbations, 359,0 km^2 (5,5 %) sont des perturbations anthropiques permanentes, alors que 2 793,8 km^2 (42,7 %) correspondent à des perturbations temporaires d'origine naturelle, principalement des feux de forêt. Les perturbations anthropiques temporaires sont négligeables (0,4 km^2). Environ 51,8 % (3 384,9 km^2) de la superficie terrestre de la zone d'étude demeure sans perturbation, offrant ainsi un habitat potentiellement utilisable par le caribou forestier.

La proportion de surfaces perturbées varie selon la distance au site minier : elle atteint 46,0 % dans le rayon de 0 à 5 km, 53,5 % dans le rayon de 5 à 10 km, 62,4 % dans le rayon de 10 à 20 km, passant à 42,3 % dans le rayon de 20 à 30 km, à 47,2 % dans le rayon de 30 à 40 km, et à 47,5 % dans le rayon de 40 à 50 km. La grande majorité des perturbations dans la zone d'étude sont d'origine naturelle, ce qui témoigne de l'impact important des feux de forêt récents sur la qualité de l'habitat disponible pour le caribou forestier dans le Secteur Baie-James.

Les résultats de cette analyse sont présentés au tableau 6 et illustrés à la carte 6.

4.2.1.2 Fédéral

Le taux de perturbation de l'habitat du caribou forestier selon la méthode du Gouvernement du Canada (voir la section 2.2.2.1) est estimé à environ 42,5 % de la superficie totale de la zone d'étude (~7 845,0 km^2), soit environ 3 332,3 km^2. Parmi ces perturbations, 412,0 km^2 (5,3 %) sont des perturbations anthropiques permanentes, alors que 2 919,91 km^2 (37,2 %) correspondent à des perturbations temporaires d'origine naturelle, principalement des feux de forêt. Les perturbations anthropiques temporaires sont négligeables (0,4 km^2). Environ 57,5 % (4 512,6 km^2) de la superficie totale de la zone d'étude (c.-à-d. incluant le réseau surfacique hydrographique) demeure sans perturbation, offrant ainsi un habitat potentiellement utilisable par le caribou forestier.

La proportion de surfaces perturbées varie selon la distance au site minier : elle atteint 38,1 % dans le rayon de 0 à 5 km, 44,9 % dans le rayon de 5 à 10 km, 51,2 % dans le rayon de 10 à 20 km, passant à 37,3 % dans le rayon de 20 à 30 km, à 43,0 % dans le rayon de 30 à 40 km, et à 41,9 % dans le rayon de 40 à 50 km. La grande majorité des perturbations dans la zone d'étude sont d'origine naturelle, ce qui témoigne de l'impact important des feux de forêt récents sur la qualité de l'habitat disponible pour le caribou forestier dans le Secteur Baie-James.

Les résultats de cette analyse sont présentés au tableau 7 et illustrés à la carte 6.

Tableau 6 Taux de perturbation de l'habitat du caribou forestier dans la zone d'étude selon l'approche méthodologique du Gouvernement du Québec

Zone d'influence de la mine (km)	Type de perturbation	Superficie (km²)					Proportion des surfaces perturbées (%)
		Permanente	Temporaire	Sous-total	Sans perturbation	Total	
0 – 5	Anthropique	6,9	0,0	28,7	33,7 (54,0 %)	62,4	11,1
	Naturelle	S. O.	21,8				34,9
5 – 10	Anthropique	4,9	0,3	102,9	89,5 (46,5 %)	192,4	2,7
	Naturelle	S. O.	97,8				50,8
10 – 20	Anthropique	82,9	0,1	467,6	281,9 (37,6 %)	749,4	11,1
	Naturelle	S. O.	384,6				51,3
20 – 30	Anthropique	90,0	0,0	559,4	763,4 (57,7 %)	1 322,8	6,8
	Naturelle	S. O.	469,4				35,5
30 – 40	Anthropique	73,1	0,0	890,4	996,3 (52,8 %)	1 886,7	3,9
	Naturelle	S. O.	817,3				43,3
40 – 50	Anthropique	101,3	0,0	1 104,2	1 220,1 (52,5 %)	2 324,4	4,4
	Naturelle	S. O.	1 002,9				43,1
0 – 50	**Anthropique**	**359,0**	**0,4**	**3 153,2**	**3 384,9 (51,8 %)**	**6 538,0**	**5,5**
	Naturelle	S. O.	**2 793,8**				**42,7**

Note : S. O. : Sans objet

Tableau 7 Taux de perturbation de l'habitat du caribou forestier dans la zone d'étude selon l'approche méthodologique du Gouvernement du Canada

Zone d'influence de la mine (km)	Type de perturbation	Superficie (km²)					Proportion des surfaces perturbées (%)
		Permanente	Temporaire	Sous-total	Sans perturbation	Total	
0 – 5	Anthropique	7,5	0,0	29,9	48,5 (61,9 %)	78,5	9,6
	Naturelle	S. O.	22,8				28,5
5 – 10	Anthropique	5,4	0,3	105,7	129,7 (55,1 %)	235,5	2,4
	Naturelle	S. O.	100,0				42,5
10 – 20	Anthropique	93,5	0,1	482,5	459,3 (48,8 %)	941,8	9,9
	Naturelle	S. O.	388,9				41,3
20 – 30	Anthropique	103,2	0,0	585,1	984,6 (62,7 %)	1 569,7	6,6
	Naturelle	S. O.	481,9				30,7
30 – 40	Anthropique	80,0	0,0	945,5	1 252,0 (57,0 %)	2 197,5	3,6
	Naturelle	S. O.	865,5				39,4
40 – 50	Anthropique	122,3	0,0	1 183,6	1 638,4 (58,1 %)	2 822,0	4,3
	Naturelle	S. O.	1 061,2				37,6
0 – 50	**Anthropique**	**412,0**	**0,4**	**3 332,3**	**4 512,6 (57,5 %)**	**7 845,0**	**5,3**
	Naturelle	S. O.	**2 919,91**				**37,2**

Note : S. O. : Sans objet

Composante du projet / *Project Component*

- Projet minier Shaakichiuwaanann / *Shaakichiuwaanann Mining Project*

Zones d'étude / *Study Areas*

- Régionale - Biophysique / *Regional - Biophysical*
- Zone d'influence de la mine / *Mine's area of influence*

Habitats potentiels / *Potentials Habitats*

- Jeune peuplement résineux mature (40-80 ans) / *Mature young softwood stands (40-80 years)*
- Vieux peuplements résineux matures (> 80 ans) / *Mature old softwood stands (> 80 years old)*
- Lande à lichens / *Lichen tundra*
- Milieux humides et hydriques / *Wetlands and hydrous environments*

Perturbations / *Disturbances*

- Anthropique (permanent) - Naturelle (temporaire) / *Anthropogenic (permanent) - Natural (temporary)*
- Anthropique (temporaire) - Naturelle (temporaire) / *Anthropogenic (temporary) - Natural (temporary)*
- Anthropique - Permanent / *Anthropogenic - Permanent*
- Anthropique - Temporaire / *Anthropogenic - Temporary*
- Naturelle - Temporaire / *Natural - Temporary*

Feux de forêt / *Forest Fires*

- 1987-1990
- 1991 - 2000
- 2001 - 2010
- 2011 - 2020
- 2021 - 2023

Infrastructures / *Infrastructure*

- Aérodrome / *Aerodrome*
- Hydroaérodrome / *Hydroaerodrome*
- Site d'extraction ouvert / *Open extraction site*
- Bâtiment industriel / *Industrial building*
- Tour de télécommunication / *Telecommunication tour*
- Centrale hydroélectrique / *Hydroelectric power plant*
- Poste électrique / *Electrical substation*
- Ligne de transport d'énergie / *Electric power transmission line*

Réseau routier / *Road Network*

- Route collectrice municipale / *Municipal collector road*

Utilisation du territoire / *Land Use*

- Camp cri permanent / *Cree permanent Camp*
- Campement cri temporaire / *Cree temporary camp or campsite*
- Autre type de camp / *Other camp type*
- Site de chasse / *Hunting site*
- Aire de camps et de campements / *Camps and campsites area*

Baux / *Leases*

- Fins de villégiature / *Leisure purpose*
- Fins commerciales / *Commercial purpose*
- Fins industrielles / *Industrial purpose*

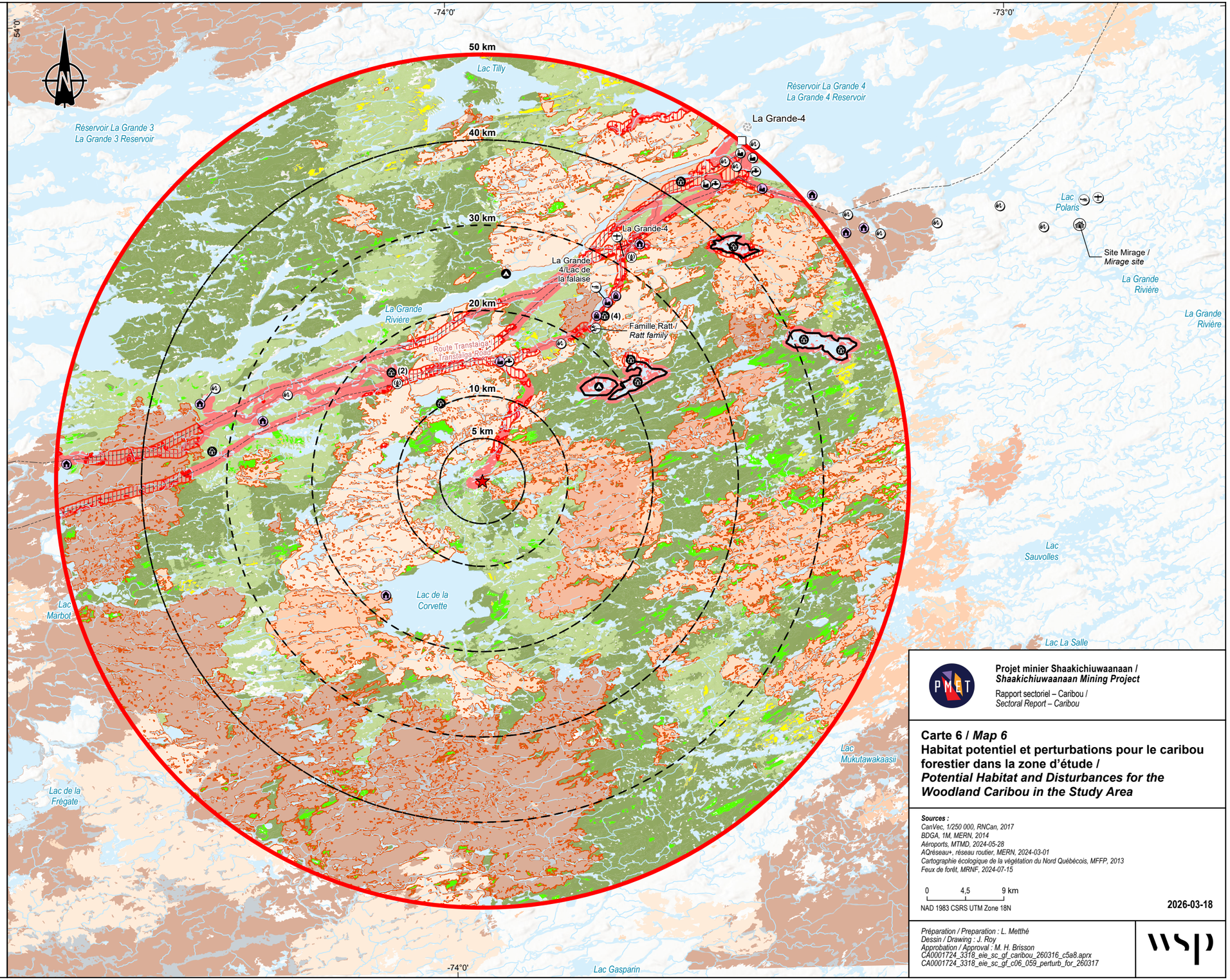

Projet minier Shaakichiuwaanann / *Shaakichiuwaanann Mining Project*

Rapport sectoriel – Caribou / *Sectoral Report – Caribou*

Carte 6 / *Map 6*

Habitat potentiel et perturbations pour le caribou forestier dans la zone d'étude / *Potential Habitat and Disturbances for the Woodland Caribou in the Study Area*

Sources :

CanVec, 1/250 000, RNCan, 2017
BDGA, 1M, MERN, 2014
Aéroports, MTMD, 2024-05-28
AQréseau+, réseau routier, MERN, 2024-03-01
Cartographie écologique de la végétation du Nord Québécois, MFFP, 2013
Feux de forêt, MRNF, 2024-07-15

0 4,5 9 km

NAD 1983 CSRS UTM Zone 18N

2026-03-18

Préparation / Preparation : L. Metthé
Dessin / Drawing : J. Roy
Approbation / Approval : M. H. Brisson
CA0001724_3318_eie_sc_gf_caribou_260316_c5a8.aprx
CA0001724_3318_eie_sc_gf_c06_059_perturb_for_260317

4.2.2 Caribou migrateur

Le taux de perturbation de l'habitat du caribou migrateur dans la zone d'étude est estimé à environ 71,0 % de la superficie terrestre totale, soit environ 4 641,7 km^2. Parmi ces perturbations, 43,1 % sont d'origine anthropique (2 815,0 km^2), tandis que 27, 9 % (1 826,7 km^2) sont d'origine naturelle. Les superficies perturbées et leurs zones d'évitement associées sont principalement localisées autour de la route de la Transtaïga et des infrastructures électriques.

La proportion de surfaces perturbées varie selon la distance au site minier : dans les rayons de 0 à 5 km et de 5 à 10 km, la totalité de la superficie est considérée comme perturbée, exclusivement par des activités anthropiques. Cette proportion diminue progressivement avec l'éloignement du site minier, passant à 91,7 % dans le rayon de 10 à 20 km, puis à 75,2 % dans le rayon de 20 à 30 km, 68,1 % dans le rayon de 30 à 40 km, et 61,1 % dans le rayon de 40 à 50 km. L'influence des perturbations naturelles devient plus marquée à mesure que l'on s'éloigne du site minier, alors que les perturbations anthropiques dominent à proximité immédiate du site minier. Ainsi, la fragmentation de l'habitat du caribou migrateur dans la zone d'étude résulte principalement des infrastructures et activités humaines près du site minier et autour de la route Transtaïga, alors que les perturbations naturelles, particulièrement les feux de forêt, contribuent davantage à la modification de l'habitat dans les secteurs plus éloignés.

Les résultats de cette analyse sont présentés au tableau 8 et illustrés à la carte 7.

Tableau 8 Taux de perturbation de l'habitat du caribou migrateur dans la zone d'étude

Zone d'influence de la mine (km)	Type de perturbation	Superficie (km²)			Proportion des surfaces perturbées (%)
		Perturbation	Sans perturbation	Total	
0 – 5	Anthropique	62,4	0,0 (0,0 %)	62,4	100,0
	Naturelle	0,0			0,0
5 – 10	Anthropique	192,4	0,0 (0,0 %)	192,4	100,0
	Naturelle	0,0			0,0
10 – 20	Anthropique	571,3	61,8 (8,2 %)	749,4	76,2
	Naturelle	116,4			15,5
20 – 30	Anthropique	646,7	328,3 (24,8 %)	1 322,8	48,9
	Naturelle	347,7			26,3
30 – 40	Anthropique	655,5	600,4 (31,8 %)	1 886,7	34,7
	Naturelle	630,7			33,4
40 – 50	Anthropique	686,7	904,3 (38,9 %)	2 322,8	29,6
	Naturelle	731,9			31,5
0 – 50	**Anthropique**	**2 815,0**	**1 894,8 (29,0 %)**	**6 536,5**	**43,1**
	Naturelle	**1 826,7**			**27,9**

Composante du projet / *Project Component*

- Projet minier Shaakichiuwaanann / *Shaakichiuwaanann Mining Project*

Zones d'étude / *Study Areas*

- Régionale - Biophysique / *Regional - Biophysical*

Habitats potentiels / *Potentials Habitats*

- Arbustaie / *Scrubland*
- Lande à lichens / *Lichen tundra*
- Résineux / *Softwood*
- Tourbière ouverte / *Open peatland*
- Zone d'influence de la mine / *Mine's area of influence*

Perturbations / *Disturbances*

Origine / *Origin*

- Anthropique - Naturelle / *Anthropogenic - Natural*
- Anthropique / *Anthropogenic*
- Naturelle / *Natural*

Feux de forêt / *Forest Fires*

- 1987-1990
- 1991 - 2000
- 2001 - 2010
- 2011 - 2020
- 2021 - 2023

Composante du milieu / *Component of the Environment*

- Anthropique / *Anthropogenic*

Infrastructures / *Infrastructure*

- Aérodrome / *Aerodrome*
- Hydroaérodrome / *Hydroaerodrome*
- Site d'extraction ouvert / *Open extraction site*
- Bâtiment industriel / *Industrial building*
- Tour de télécommunication / *Telecommunication tour*
- Centrale hydroélectrique / *Hydroelectric power plant*
- Poste électrique / *Electrical substation*
- Ligne de transport d'énergie / *Electric power transmission line*

Réseau routier / *Road Network*

- Route collectrice municipale / *Municipal collector road*

Utilisation du territoire / *Land Use*

- Camp cri permanent / *Cree permanent Camp*
- Campement cri temporaire / *Cree temporary camp or campsite*
- Autre type de camp / *Other camp type*
- Site de chasse / *Hunting site*
- Aire de camps et de campements / *Camps and campsites area*

Baux / *Leases*

- Fins de villégiature / *Leisure purpose*
- Fins commerciales / *Commercial purpose*
- Fins industrielles / *Industrial purpose*

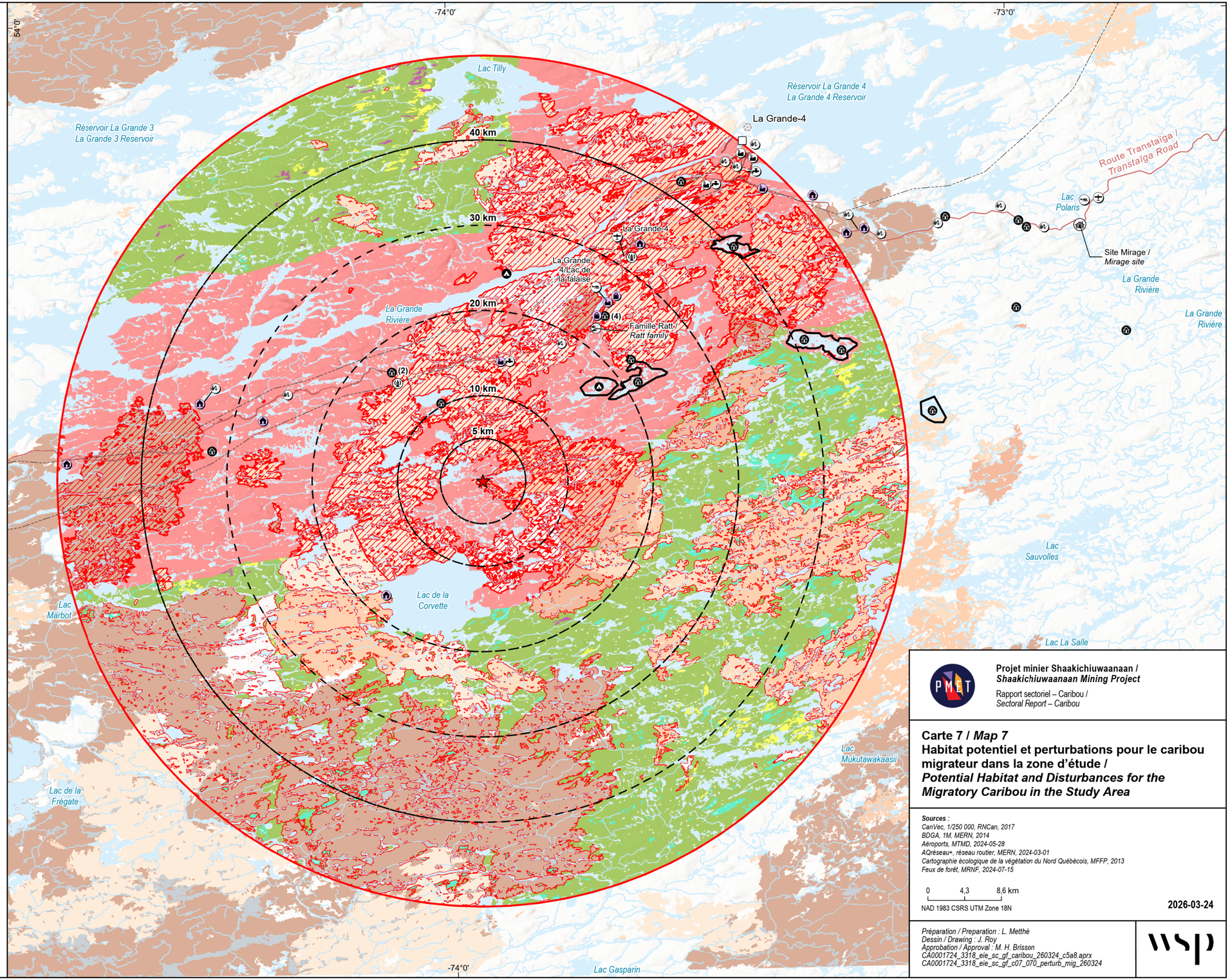

Projet minier Shaakichiuwaanann / *Shaakichiuwaanann Mining Project*

Rapport sectoriel – Caribou / *Sectoral Report – Caribou*

Carte 7 / *Map 7*

Habitat potentiel et perturbations pour le caribou migrateur dans la zone d'étude / *Potential Habitat and Disturbances for the Migratory Caribou in the Study Area*

Sources :
CanVec, 1/250 000, RNCan, 2017
BDGA, 1M, MERN, 2014
Aéroports, MTMD, 2024-05-28
AQréseau+, réseau routier, MERN, 2024-03-01
Cartographie écologique de la végétation du Nord Québécois, MFFP, 2013
Feux de forêt, MRNF, 2024-07-15

0 4,3 8,6 km

NAD 1983 CSRS UTM Zone 18N

2026-03-24

Préparation / Preparation : L. Metthé
Dessin / Drawing : J. Roy
Approbation / Approval : M. H. Brisson
CA0001724_3318_eie_sc_gf_caribou_260324_c5a8.aprx
CA0001724_3318_eie_sc_gf_c07_070_perturb_mig_260324

4.3 Habitat potentiel

4.3.1 Caribou forestier

La carte 6 illustre la répartition spatiale des habitats potentiels du caribou forestier dans la zone d'étude, particulièrement les peuplements résineux âgés de 40 à 80 ans et les landes à lichens, des habitats généralement sélectionnés par cet écotype (Bastille-Rousseau *et al.*, 2012; Leblond *et al*., 2014).

En excluant les surfaces touchées par des perturbations anthropiques, la zone d'étude est largement recouverte par les peuplements de conifères (3 032,3 km^2) et les milieux en régénération issus de perturbations naturelles (2 858,5 km^2), ce qui correspond respectivement à environ 46,4 % et 43,7 % de la superficie terrestre de la zone d'étude. Notons que les milieux en régénération, n'étant pas considérés comme des habitats potentiels du caribou forestier, sont presque exclusivement composés de feux de forêt. Dans une moindre mesure, les milieux humides et les landes à lichens recouvrent respectivement 166,9 km^2 et 63,5 km^2, représentant respectivement 2,6 % et 1,0 % de la superficie terrestre. Finalement, les peuplements de feuillus et mixtes sont très peu présents, représentant une superficie d'environ 11,6 km^2, ce qui correspond à 0,2 % de la superficie terrestre de la zone d'étude.

Par conséquent, la carte 6 englobe plusieurs des caractéristiques biophysiques de l'habitat essentiel du caribou forestier énoncées par ECCC (2020), illustrant notamment les peuplements de conifères matures et les milieux humides et hydriques (p. ex. tourbières oligotrophes, muskeg, marais).

4.3.2 Caribou migrateur

La carte 7 illustre la répartition spatiale des habitats potentiels du caribou migrateur dans la zone d'étude, particulièrement les milieux forestiers, qui pourraient être utilisés par cet écotype durant la saison hivernale (Plante *et al*., 2018). Bien que les habitats à forte concentration de lichens, tels que les landes à lichens, soient considérés comme des habitats de choix pour le caribou migrateur (Sharma *et al*., 2009, Plante *et al*., 2018; Michaud, 2025), elles sont faiblement représentées dans la zone d'étude.

4.4 Utilisation de la zone d'étude

4.4.1 Caribou forestier

Aucun point GPS provenant de caribous forestiers munis de colliers télémétriques n'a été rapporté dans la zone d'étude entre 2004 et 2024. Toutefois, une faible proportion des caribous sont suivis par télémétrie. La zone d'étude se situe dans l'aire de répartition continue du caribou forestier, et les résultats de l'inventaire de Szor et Gingras (2020) suggéraient que le caribou forestier utilise la portion Ouest du Secteur Baie-James. Par conséquent, il est probable que le caribou forestier utilise la zone d'étude, en sélectionnant préférentiellement les parcelles d'habitat de qualité élevée (voir section 4.1).

Depuis 2010, les maîtres trappeurs du territoire ont déclaré que peu de caribous ont été observés dans le secteur de la zone d'étude, et que plusieurs des individus observés seraient possiblement des caribous migrateurs (Szor et Gingras, 2020). Ces individus avaient été observés jusqu'au sud de la rivière La Grande lors de l'inventaire effectué en 2020, soit près de la zone d'étude du projet.

Quelques observations de caribous ont tout de même été recensées en 2025 et transmises par PMET, notamment sur le site du camp Explo. Ces données sont regroupées dans le tableau 9. Cependant, l'écotype des individus observés (forestier ou migrateur) n'a pu être confirmé.

Tableau 9 Observations de caribous à proximité du camp Explo

Date	Lieu	Observation
Été 2025	Milieux humides près de la communauté	Caribous
Hiver 2025	Mr. Paul Ratt's cabin (km 341)	Caribous
11-02-2025	Transtaïga en partant de Mirage	Caribous
16-02-2025	Km 316	Caribou
18-04-2025	Caribou près de LG4	Caribou
21-04-2025	Transtaïga vers Mirage	Groupe d'environ 30 caribous

4.4.2 Caribou migrateur

4.4.2.1 Données brutes

Le caribou migrateur effectue deux principales migrations durant l'année, soit au printemps, lorsque les caribous quittent la forêt boréale pour se diriger vers le nord dans l'aire de mise bas, et à l'automne, durant le rut, du nord vers les aires d'hivernage en forêt boréale (Le Corre *et al*., 2013). D'après son aire de répartition actuelle (voir carte 2) et son comportement migratoire, le caribou migrateur utilise potentiellement la zone d'étude durant l'hiver; la zone d'étude, qui chevauche la limite sud de l'aire de répartition du TRAF, est potentiellement utilisée comme aire d'hivernage du TRAF.

Dans le cadre de cette étude sectorielle, le MELCCFP a transmis à WSP des données de suivi télémétrique d'individus provenant principalement du TRAF, et quelques individus provenant du TRG. L'ensemble de ces données seront détaillées dans cette section, mais étant donné le peu de données associées à des individus du TRG, seules les données associées à des individus du TRAF feront l'objet des analyses pour l'utilisation de l'habitat.

La figure 2 présente la fréquentation mensuelle des caribous migrateurs du TRAF dans la zone d'étude entre 2004 et 2024. Le plus grand nombre d'individus et de points GPS a été répertorié en novembre, avec 2 400 points GPS, soit environ dix fois plus qu'en octobre. De décembre à mai, les nombres d'individus et de points GPS étaient similaires, mais une baisse de la fréquentation de la zone d'étude a été observée en mai. Aucun point GPS de collier n'a été compilé dans la zone d'étude entre mai et septembre, période correspondant à la migration printanière et à la période estivale. Par conséquent, la zone d'étude constitue un habitat pouvant être plus fortement fréquenté par des individus du TRAF durant la saison hivernale.

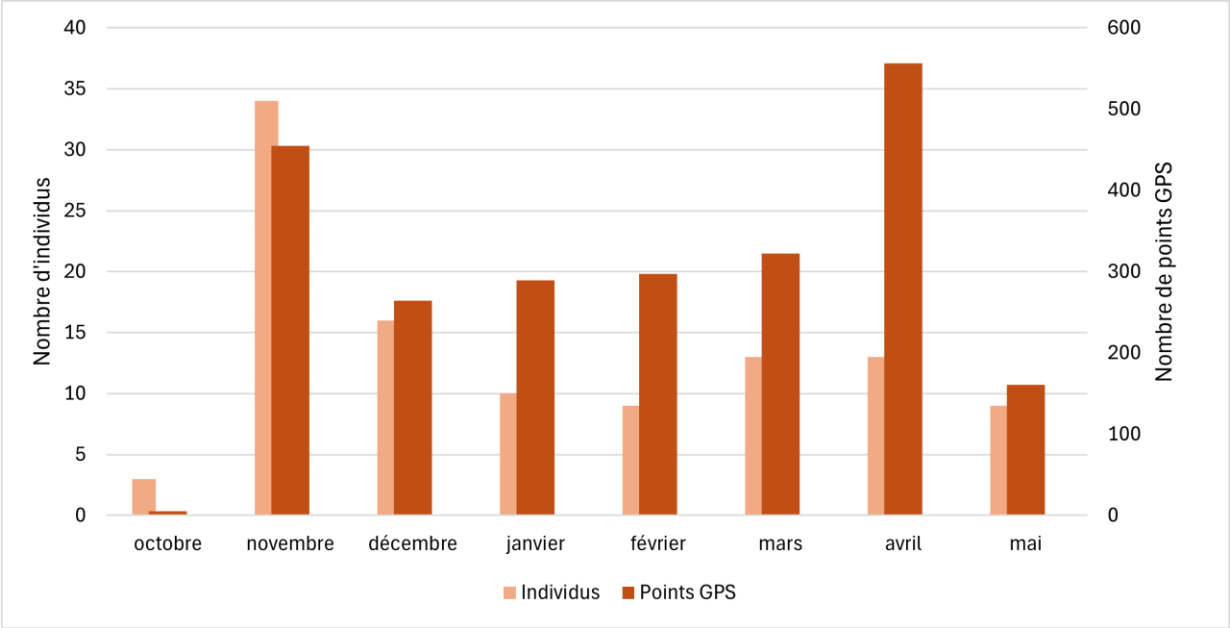

Mois	Individus	Nombre de points GPS
Octobre	12	267
Novembre	124	2 400
Décembre	72	941
Janvier	33	458
Février	42	573
Mars	44	614
Avril	51	732
Mai	21	187

Figure 2 **Nombres d'individus et de points GPS de caribous migrateurs du troupeau rivière aux Feuilles (TRAF) compilés mensuellement entre 2004 et 2024**

La figure 3 présente la fréquentation annuelle des caribous migrateurs du TRAF dans la zone d'étude entre 2004 à 2024. Cette illustration permet de distinguer de potentiels changements temporels dans l'utilisation de l'habitat, considérant notamment que l'aire de répartition du TRAF a évolué au cours des dernières décennies (voir carte 2). Trois grandes périodes de fluctuation de la fréquentation du territoire au cours des 20 dernières années (2004 à 2024) y sont distinguées. Un pic de fréquentation plus intensive de la zone d'étude du projet est observé entre les années 2009 et 2015. Le niveau de fréquentation le plus important est observé en 2009, avec 113 individus distincts pour un total de 1 587 points GPS. Le plus faible nombre d'individus et de points GPS a été enregistré en 2023, coïncidant avec une année marquée par des feux de forêt importants au Nord-du-Québec. Bien que ceux-ci représentent une perturbation naturelle temporaire, ils affectent néanmoins la répartition des caribous à l'intérieur de leur aire de répartition ainsi que leur utilisation du territoire.

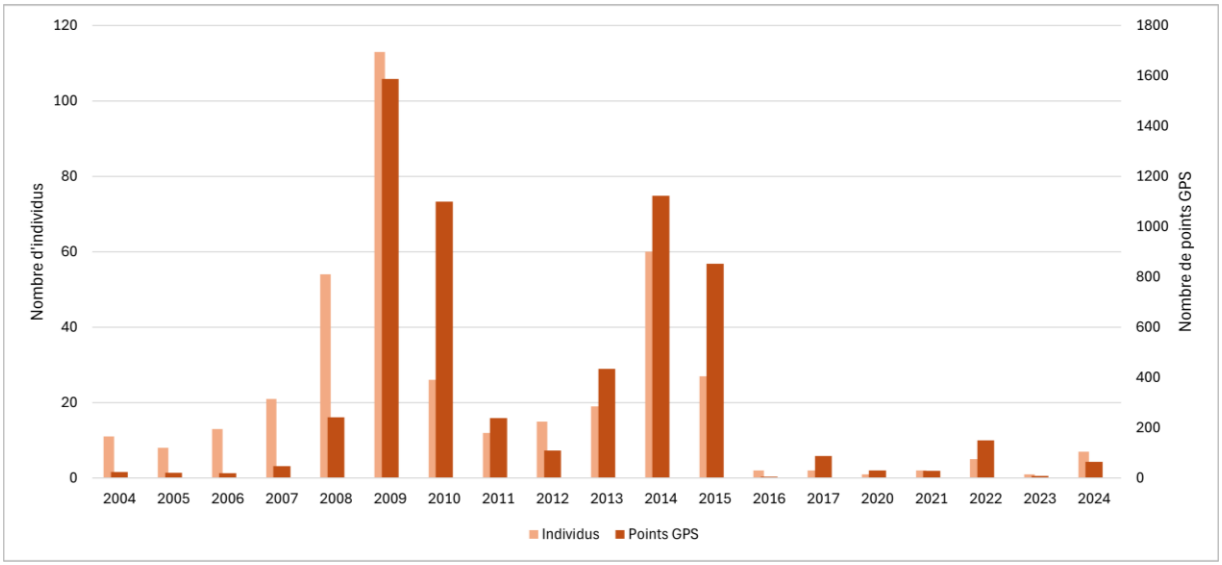

Année	Nbre d'individus	Nbre de points GPS	Année	Nbre d'individus	Nbre de points GPS
2004	11	24	**2014**	60	1 122
2005	8	21	**2015**	27	852
2006	13	20	**2016**	2	6
2007	21	48	**2017**	2	87
2008	54	242	**2020**	1	31
2009	113	1 587	**2021**	2	28
2010	26	1 099	**2022**	5	150
2011	12	239	**2023**	1	8
2012	15	109	**2024**	7	65
2013	19	434			

Figure 3 **Nombre d'individus et fréquentation annuelle de 2004 à 2024 de la zone d'étude pour le caribou migrateur du troupeau rivière aux Feuilles (TRAF)**

Des caribous migrateurs porteurs de colliers télémétriques du TRG ont exceptionnellement fréquenté la zone d'étude en 2004, 2007 et 2008, dont les données sont illustrées à la figure 4. Durant ces années, seuls deux, un et trois individus ont respectivement fréquenté la zone d'étude. Depuis 2008, aucun caribou du TRG muni d'un collier émetteur n'a été détecté dans la zone d'étude, la population ayant d'ailleurs connu un déclin de 99 % de ses effectifs au cours des dernières décennies. En effet, l'abondance du TRG était estimée à environ 823 000 individus en 1993 (Couturier *et al.*, 1996), alors qu'elle était estimée à environ 8 600 individus en 2024 (MELCCFP et Labrador Department of Fisheries, Forestry and Agriculture – Wildlife Division (FFA-WD), données non publiées). Ce déclin démographique a engendré une contraction de leur aire de répartition vers le nord-est de la frontière entre le Québec et le Labrador (COSEPAC, 2017). Par conséquent, il apparaît peu probable que des individus du TRG fréquentent la zone d'étude à court ou moyen terme.

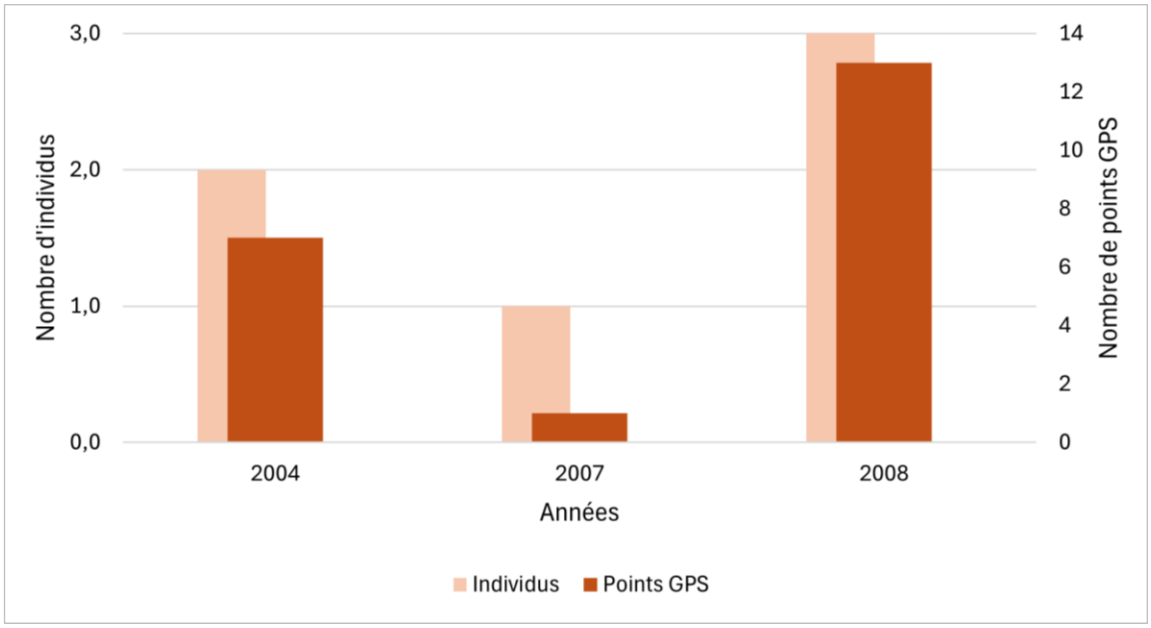

Années	Nombre d'individus	Occurrences
2004	2	7
2007	1	1
2008	3	13

Figure 4 **Nombre d'individus et fréquentation mensuelle et annuelle de 2004 à 2024 de la zone d'étude pour le caribou migrateur du troupeau rivière George (TRG)**

4.4.2.2 Analyses spatiales

Les résultats de l'estimation par noyaux suggèrent que le caribou migrateur du troupeau de la rivière aux Feuilles utilisait la zone d'étude de manière régulière entre 2004 et 2024, tel qu'illustré à la carte 8.

Pour chaque période analysée (2004–2008, 2009–2015, 2016–2024), on constate que l'aire d'utilisation globale du caribou (contours 95 % et 99 %) englobait relativement la zone d'étude et suivait un grand corridor régional, notamment autour du lac de la Corvette et de la route de la Transtaïga. Au fil des périodes, cependant, les secteurs les plus utilisés (kernels 50 % et 75 %) variaient. Pour la période 2016-2024, les noyaux d'utilisation intensive (contours 50 % et, dans une moindre mesure, 75 %) étaient moins étendus dans la zone d'étude qu'aux périodes 2004-2008 et 2009-2015.

Il est à noter que les patrons d'utilisation de l'habitat aux périodes 2009-2015 et 2004-2024 se ressemblent. La période 2009-2015 correspond à celle où le plus grand nombre de points GPS ont été enregistrés dans la zone d'étude. Cette densité de points influence donc la représentation de l'utilisation de l'habitat pour l'ensemble de la période 2004-2024, puisque, rappelons-le, les kernels sont générés à partir de la densité des localisations. En d'autres termes, comme la majorité des points GPS provient de 2009-2015, le patron d'utilisation établi pour cette période pèse fortement sur celui calculé pour l'ensemble 2004-2024. Ainsi, bien que la zone d'étude semblait être globalement utilisée par les caribous du TRAF entre 2004 et 2024, il demeure plus précis d'interpréter l'utilisation par période.

Pour la période 2016-2024, l'emplacement prévu pour le site minier (indiqué par une étoile) apparaissait moins intensivement utilisé par les caribous. Durant la période 2016-2024, deux secteurs semblaient plus intensément fréquentés par les caribous porteurs de colliers (kernels à 50 % et 75 %). Un de ces secteurs était localisé au nord de l'axe routier principal, soit entre les réservoirs des barrages La Grande 3 et La Grande 4, et l'autre secteur était localisé à l'ouest du lac de la Corvette. Ces deux secteurs pourraient offrir des conditions favorables en termes de ressources alimentaires en période hivernale, ce qui pourrait potentiellement contribuer à une meilleure survie des caribous durant cette période. Ces secteurs sont situés à environ 35 km de l'emplacement prévu pour le site minier Shaakichiuwaanaan.

Ces résultats suggèrent une utilisation relativement stable de la zone d'étude par le caribou migrateur du TRAF, avec des variations locales dans les zones de fréquentation plus intensives. Bien que la zone d'étude demeure un espace globalement fréquenté par le caribou migrateur du TRAF, il semble y avoir une diminution récente dans l'intensité d'utilisation du secteur central de la zone d'étude.

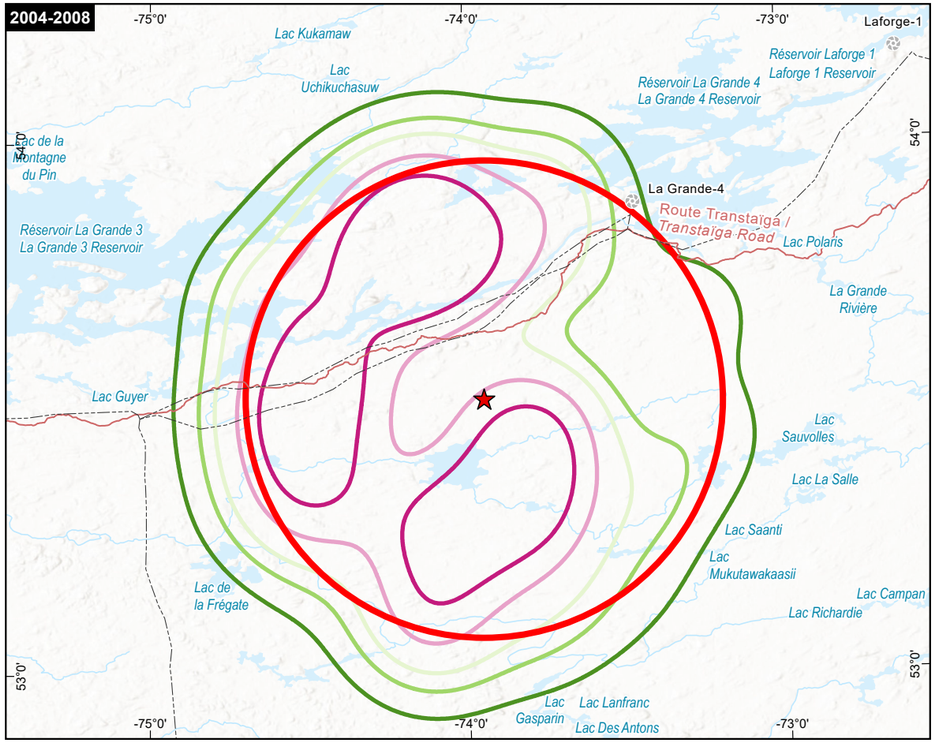

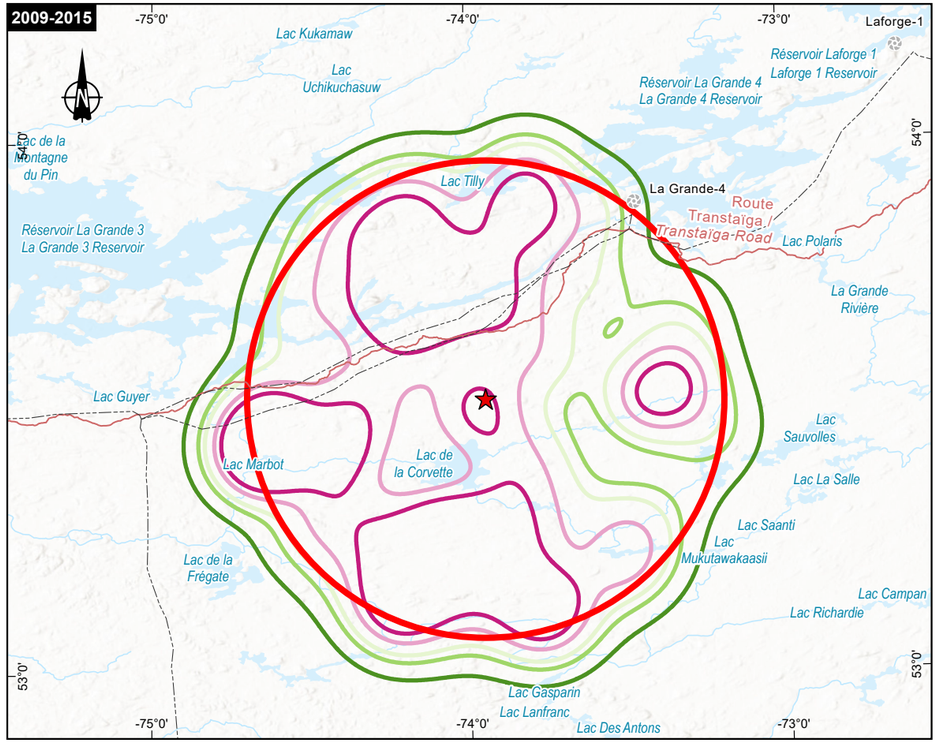

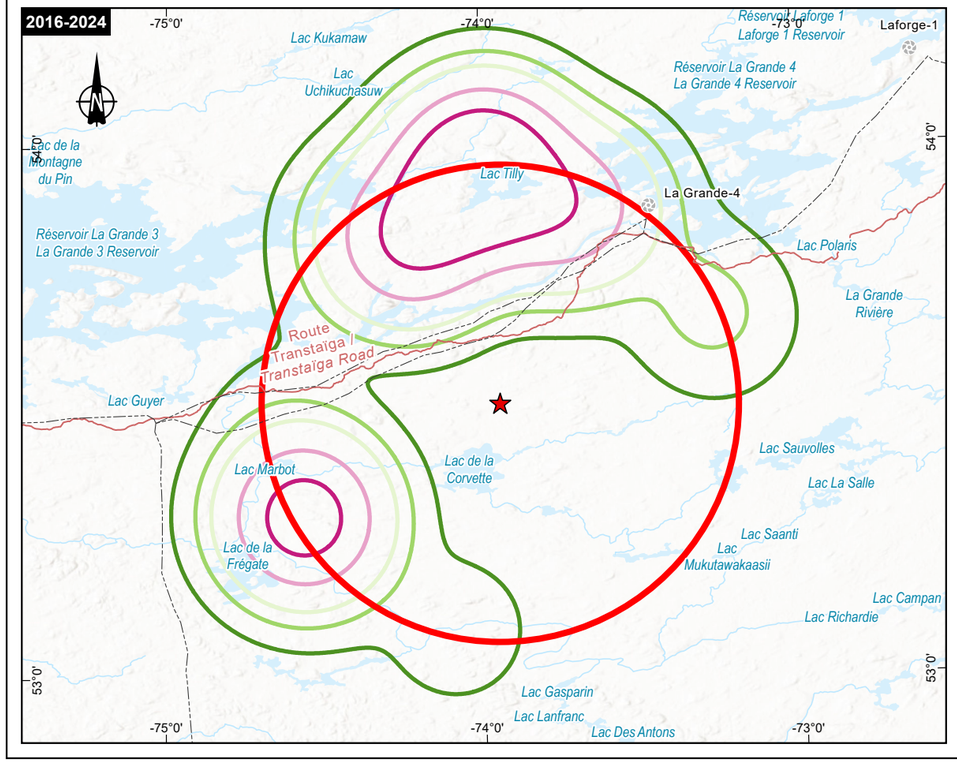

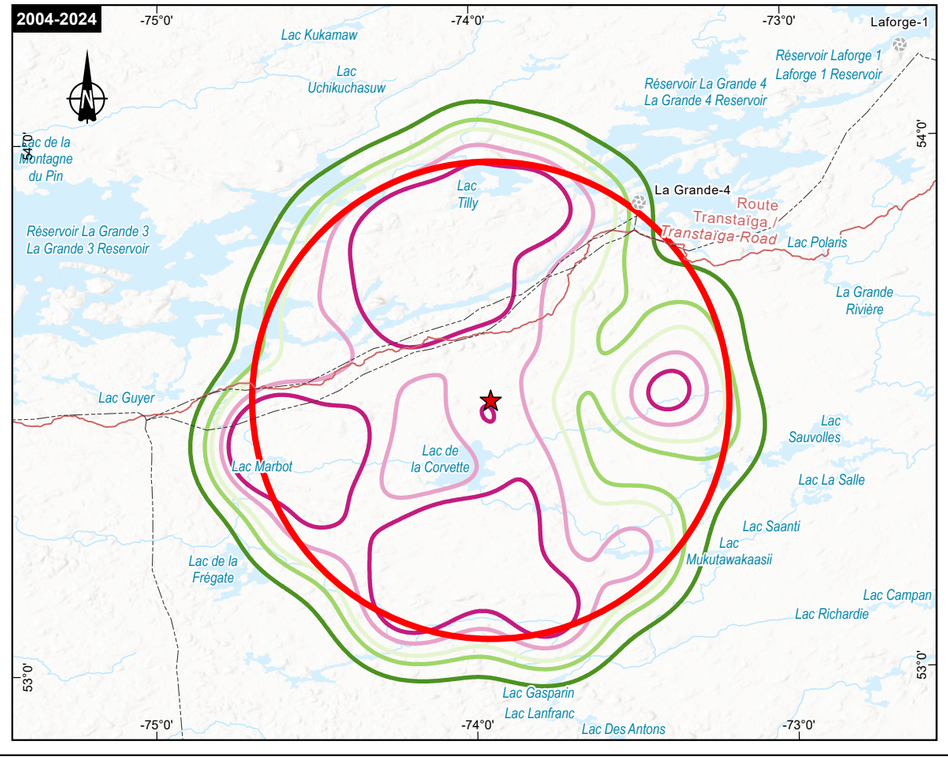

Composante du projet / *Project Component*

- Projet minier Shaakichiuwaanann / *Shaakichiuwaanann Mining Project*

Zones d'étude / *Study Areas*

- Régionale - Biophysique / *Regional - Biophysical*

Caribou / *Caribou*

- 50 % / *50%*
- 75 % / *75%*
- 90 % / *90%*
- 95 % / *95%*
- 99 % / *99%*

Infrastructures / *Infrastructure*

- Centrale hydroélectrique / *Hydroelectric power plant*
- Ligne de transport d'énergie / *Electric power transmission line*

Réseau routier / *Road Network*

- Route collectrice municipale / *Municipal collector road*

Projet minier Shaakichiuwaanann / *Shaakichiuwaanann Mining Project*

Rapport sectoriel – Caribou /
Sectoral Report – Caribou

Carte 8 / *Map 8*
Utilisation du territoire (kernels) par le caribou migrateur du troupeau de la Rivière-aux-Feuilles (TRAF) / *Land Use (Kernels) by the Migratory Caribou of the Rivière-aux-Feuilles Herd (RAFH)*

Sources :
BDGA, 1M, MERN, 2014
AQréseau+, réseau routier, MERN, 2024-03-01

0 12,5 25 km
NAD 1983 CSRS UTM Zone 18N

2026-03-18

Préparation / Preparation : L. Metthé
Dessin / Drawing : J. Roy
Approbation / Approval : M. H. Brisson
CA0001724_3318_eie_sc_gf_caribou_260316_c5a8.aprx
CA0001724_3318_eie_sc_gf_c08_057_kernels_260317

La précision des limites et les mesures montrées sur ce document ne doivent pas servir à des fins d'ingénierie ou de délimitation foncière. Aucune analyse foncière n'a été effectuée par un arpenteur-géomètre.
Boundary accuracy and measurements shown on this document are not intended for engineering or land delineation purposes. No land analysis has been performed by a land surveyor.

5 Conclusion

La présente étude sectorielle, réalisée dans le cadre du processus d'étude d'impact environnemental du projet minier Shaakichiuwaanaan, brosse un portrait détaillé de la situation du caribou forestier et migrateur dans la zone d'étude, en s'appuyant sur les données les plus récentes issues de la littérature scientifique, des inventaires aériens, du suivi télémétrique et des observations opportunistes. Les analyses menées permettent de mieux comprendre l'état des populations, la qualité et la disponibilité de l'habitat, ainsi que l'influence des perturbations naturelles et anthropiques sur ces deux écotypes de caribou.

5.1 Caribou forestier

Le caribou forestier est désigné comme espèce « menacée » au fédéral et « vulnérable » au provincial. Ce double statut entraîne des obligations légales pour la protection de l'espèce et de son habitat essentiel, notamment le maintien de vastes massifs forestiers peu perturbés et la limitation des activités industrielles dans les secteurs jugés prioritaires.

Le caribou du Secteur Baie-James Ouest, dont la présence dans la zone d'étude demeure limitée et sporadique, présente un niveau de risque modéré (MELCCFP, 2026). Les données disponibles ne permettent pas de conclure à la probabilité d'autosuffisance de cette population, bien que la probabilité de croissance stable ou à la hausse au cours d'une période de 20 ans ait été jugée « plus ou moins probable » par ECCC (2024).

Malgré l'absence de caribous forestiers suivis par télémétrie dans la zone d'étude, les informations issues d'observations terrain suggèrent que le caribou forestier pourrait occasionnellement fréquenter ce territoire. Notamment, en 2025, au moins une observation d'un groupe d'individus à proximité du camp Explo par des maîtres trappeurs pourrait être attribuée à cet écotype, bien que l'identification formelle demeure incertaine.

L'indice de qualité d'habitat met en évidence une forte hétérogénéité du territoire, avec de rares parcelles de haute qualité, principalement associées à des massifs forestiers peu perturbés, alors que la majorité du secteur est caractérisée par des habitats de faible qualité. Les habitats potentiels du caribou forestier sont également fragmentés par les perturbations présentes dans l'habitat, ce qui limite la connectivité et l'accessibilité aux habitats essentiels pour le caribou forestier.

L'analyse du taux de perturbation de l'habitat révèle que près de la moitié de la superficie terrestre de la zone d'étude (48,2 % selon la méthode provinciale et 42,5 % selon la méthode fédérale) est perturbée, principalement en raison des perturbations naturelles (respectivement 42,7 % et 37,2 %), alors que les perturbations anthropiques permanentes demeurent actuellement marginales (respectivement 5,5 % et 5,3 %). À titre de comparaison, le Gouvernement du Québec a récemment estimé à 47 % le taux de perturbation à l'échelle de l'aire de répartition du Secteur Baie-James (MELCCFP, 2026). Cette situation place la zone d'étude au-dessus du seuil critique de 35 % de perturbation reconnu pour assurer 60 % de probabilité d'autosuffisance des populations de caribou forestier (ECCC, 2020; 2024).

5.2 Caribou migrateur

Le caribou migrateur, principalement représenté par le troupeau de la rivière aux Feuilles (TRAF) dans la zone d'étude, n'est pas actuellement inscrit à la *Loi sur les espèces en péril*, bien que le COSEPAC ait recommandé son inscription comme espèce en « voie de disparition ». Au Québec, il ne bénéficie pas d'un statut légal particulier, mais certaines aires de mise-bas sont reconnues comme habitat essentiel.

Le caribou migrateur TRAF a connu un déclin spectaculaire au cours des dernières décennies, passant d'environ 628 000 individus en 2001 à moins de 175 000 en 2023, soit une diminution de plus de 70 % de ses effectifs. Ce déclin s'explique par une combinaison de facteurs, incluant la dégradation de l'habitat, la prédation, les changements climatiques et les pressions anthropiques.

Le caribou du TRAF utilise régulièrement la zone d'étude, principalement durant la saison hivernale. Les analyses télémétriques et les observations de terrain indiquent que la présence du caribou migrateur dans la zone d'étude est la plus probable entre décembre et avril, période correspondant à l'hivernage et à la recherche de ressources alimentaires dans les forêts matures et les landes à lichens.

Les données de suivi indiquent également que la fréquentation de la zone d'étude a connu un pic entre 2009 et 2015, suivi d'une diminution de l'intensité d'utilisation du secteur central lors de la période la plus récente (2016-2024). Les noyaux d'utilisation intensive se situent désormais davantage au nord et à l'ouest du site minier projeté, ce qui pourrait refléter des changements dans la disponibilité des ressources alimentaires ou dans la dynamique du troupeau.

Le taux de perturbation de l'habitat du caribou migrateur est estimé à 71,0 % de la superficie terrestre, avec une prédominance des perturbations anthropiques (43,1 %), principalement localisées autour de la route de la Transtaïga et des infrastructures électriques en raison des zones d'influence associées à ces infrastructures. Il a été démontré que les perturbations anthropiques, telles que le réseau routier et les activités minières, sont généralement évitées par le caribou migrateur. L'expansion de ces développements industriels représente une menace directe pour les ressources utilisées par cet écotype et peut entraîner une perte fonctionnelle d'habitat, c'est-à-dire que des secteurs pourtant disponibles deviennent inaccessibles ou inutilisables pour le caribou en raison de l'évitement comportemental (Plante *et al*., 2018). Les perturbations naturelles (27,9 %) deviennent plus importantes à mesure que l'on s'éloigne du site minier. Cette fragmentation de l'habitat doit être interprétée à la lumière des grandes capacités de déplacement du caribou migrateur, des migrations saisonnières qu'il effectue et de la variabilité interannuelle dans l'utilisation du territoire.

5.3 Synthèse et recommandations

La rareté d'habitats de haute qualité pour le caribou forestier dans la zone d'étude souligne l'importance de maintenir l'intégrité des massifs forestiers résiduels et de limiter la création de nouvelles perturbations anthropiques, particulièrement au sein des parcelles d'habitat de qualité élevée. Pour le caribou migrateur, la zone d'étude ne comprend pas d'aires de mise bas identifiées ni d'habitats essentiels reconnus pour cet écotype, mais elle constitue un secteur d'hivernage potentiel et un corridor de déplacement.

Notons que les méthodes employées pour estimer le taux de perturbation dans l'habitat diffèrent entre le caribou forestier et le caribou migrateur, en raison de l'absence de directives officielles. Pour le caribou forestier, le calcul repose sur des lignes directrices gouvernementales, incluant notamment l'application d'une zone tampon de 500 m autour des perturbations anthropiques (ECCC, 2020; MFFP, 2021). Cependant, pour le caribou migrateur, l'évaluation s'appuie sur une revue de littérature et l'utilisation de zones d'influence variables selon le type de perturbation, ce qui introduit une part d'incertitude et limite la comparabilité directe de cette estimation entre les deux écotypes. Ces différences méthodologiques doivent être prises en compte dans l'interprétation des résultats et la formulation de recommandations de gestion.

Enfin, les préoccupations exprimées par les communautés cries, notamment en lien avec le déclin des populations et les impacts potentiels des activités industrielles, rappellent l'importance d'une gestion intégrée et concertée de la ressource, tenant compte à la fois des enjeux écologiques et culturels.

À la lumière des informations et résultats obtenus, il apparaît essentiel de :

- Élaborer une étude sur la connectivité de l'habitat
- Participer à la mise en place de projets d'acquisition de connaissances en collaboration avec la communauté et le milieu universitaire, tels que le suivi télémétrique d'individus ou l'installation de caméras-pièges, permettant notamment de documenter les tendances démographiques des populations locales de caribou.
- Adapter les mesures d'atténuation et de compensation en fonction de la dynamique spatio-temporelle de l'utilisation du territoire par le caribou migrateur, en tenant compte de la variabilité interannuelle.
- Maintenir un dialogue ouvert avec les Premières Nations afin d'intégrer leurs connaissances et préoccupations dans la gestion de la faune et des habitats.

Cette étude sectorielle constitue une base solide pour l'évaluation des impacts potentiels du projet minier Shaakichiuwaanaan sur le caribou forestier et migrateur, et pour l'élaboration de mesures de gestion adaptées à la réalité écologique et sociale du territoire.

Références bibliographiques

BARRETTE, C. et D. VANDAL. 1986. *Social rank, dominance, antler size, and access to food in snow-bound wild woodland caribou*. Behaviour, 97 : 118-146 p.

BASTILLE-ROUSSEAU, G., C. DUSSAULT, S. COUTURIER, D. FORTIN, M.-H. ST-LAURENT, P. DRAPEAU, C. DUSSAULT et V. BRODEUR. 2012. *Sélection d'habitat du caribou forestier en forêt boréale québécoise*. Ministère du Développement durable, de l'Environnement, de la Faune et des Parcs, Direction générale de l'expertise sur la faune et ses habitats. 66 p.

BASTILLE-ROUSSEAU, G., J. R. POTTS, J. A. SCHAEFER, M. A. LEWIS, E. H. ELLINGTON, N. D. RAYL, S. P. MAHONEY et D. L. MURRAY. 2015. *Unveiling trade-offs in resource selection of migratory caribou using a mechanistic movement model of availability*. Ecography, 38, 1049-1059.

BARRETTE, C. et D. VANDAL. 1986. *Social rank, dominance, antler size, and access to food in snow-bound wild woodland caribou*. Behaviour, 118-146.

BEAUCHESNE, D., J.A.G. JAEGER et M.-H. ST-LAURENT. 2013. *Disentangling Woodland Caribou Movements in Response to Clearcuts and Roads across Temporal Scales*. PLoS ONE, 8(11), e77514.

BÉLAND, S., B. VUILLAUME, M. LECLERC, M. BERNIER et S. D. CÔTÉ. 2023. *Selection of summer feeding sites and food resources by female migratory caribou (Rangifer tarandus) determined using camera collars*. PLOS ONE, 18, e0294846.

BÉLAND S. 2022. *Sélection d'habitat estival des femelles caribou migrateur (Rangifer tarandus) à fine échelle spatiale à l'aide de colliers caméras*. Mémoire de Maîtrise en biologie. Université Laval. Québec. 65 p.

BERGERUD, A. T. 1973. *Movement and rutting behavior of caribou (Rangifer tarandus) at Mount Albert, Québec.* Canadian Field-Naturalist, 87: 357-369 p.

BERGERUD, A. T., S. N. LUTTICH et L. CAMPS. 2008. *Return of Caribou to Ungava. McGill-Queen's University Press, Montreal and Kingston*.

BEST, I. N., L. BROWN, C. ELKIN, L. FINNEGAN, C. J. R. MCCLELLAND, et C. J. JOHNSON. 2025. *Wildlife, fire, and forestry: Understanding the spatial and temporal relationships between caribou habitat and disturbance*. Global Ecology and Conservation, 61, e03636.

BICHET, O., A. DUPUCH, C. HÉBERT., H. LE BORGNE et D. FORTIN. 2016. *Maintaining animal assemblages through single-species management: the case of threatened caribou in boreal forest*. Ecological Applications, 26(2), 612–623.

BORISH, D., A. CUNSOLO, J. SNOOK, I. SHIWAK, M. WOOD, *HERD CARIBOU PROJECT* STEERING COMMITTEE, I. MAURO, C. DEWEY et S. L. HARPER. 2021. *Caribou was the reason, and everything else happened after: Effects of caribou declines on Inuit in Labrador, Canada*. Global Environmental Change, 68 : 102 268 p.

BORISH, D., A. CUNSOLO, J. SNOOK, C. DEWEY, I. MAURO et S. L. HARPER. 2022. *Relationships between Rangifer and indigenous well-being in the North American Arctic and Subarctic: A review based on the academic published literature.* Arctic, 75 (1): 86-104 p.

BOULANGER, J., A. GUNN, J. ADAMCZEWSKI et B. CROFT. 2012. *The impact of industrial development on the viability of woodland caribou populations in northern Canada*. Rangifer, 32(2), 13–28.

BOULANGER, J., R. KITE, M. CAMPBELL, J. SHAW, D. LEE, et S. ATKINSON. 2024. *Estimating the effects of roads on migration: a barren-ground caribou case study*. Canadian Journal of Zoology, 102(3), 1–15.

BRADSHAW, C. J. A., D. M. HEBERT, A. B. RIPPIN et S. BOUTIN. 1995. *Winter peatland habitat selection by woodland caribou in northeastern Alberta*. Canadian Journal of Zoology, 73 (8): 1567-1574 p.

BRODEUR V., A. BOURBEAU-LEMIEUX et J. TAILLON. 2023. *Mise à jour démographique des troupeaux de caribous migrateurs de la Rivière George et de la Rivière-aux-Feuilles*. Présentation pour le Comité conjoint de chasse, pêche et piégeage. Direction de la gestion de la faune du Nord-du-Québec, Direction de l'expertise sur la faune terrestre, l'herpétofaune et l'avifaune. Gouvernement du Québec. 35 p.

BROWN, W.K., J. HUOT, P. LAMOTHE, S. LUTTICH, M. PARÉ, G. ST. MARTIN et J. B. THEBERGE. 1986. *The distribution and movement patterns of four woodland caribou herds in Quebec and labrador.* RANGIFER 1:43-49.

BROWN, G. S., F. F. MALLORY et W. J. RETTIE. 2003. *Range size and seasonal movement for female woodland caribou in the boreal forest of northeastern Ontario*. Rangifer, 14 : 227-233 p.

CAUGHLEY, G. et A. GUNN. 1996. *Conservation Biology in Theory and Practice*. Blackwell Science, Oxford. 459 p.

CHEN, W. J., S. G. LEBLANC, H. P. WHITE, C. PREVOST, B. MILAKOVIC, C. ROCK, G. SHARAM, H. O'KEEFE, L. COREY, B. CROFT, A. GUNN, S. VAN DER WIELEN, A. FOOTBALL, B. TRACZ, J. S. PELLISSEY et J. BOULANGER. 2017. *Does Dust from Arctic Mines Affect Caribou Forage?* Journal of Environmental Protection, 8(3), 258–276.

COMITÉ SUR LA SITUATION DES ESPÈCES EN PÉRIL AU CANADA (COSEPAC). 2002. *Évaluation et rapport de situation du COSEPAC sur le caribou des bois (Rangifer tarandus caribou) au Canada*. Comité sur la situation des espèces en péril au Canada, Ottawa. 112 p.

COMITÉ SUR LA SITUATION DES ESPÈCES EN PÉRIL AU CANADA (COSEPAC). 2011. *Unités désignables du caribou (Rangifer tarandus) au Canada.* Comité sur la situation des espèces en péril au Canada, Ottawa. 88 p.

COMITÉ SUR LA SITUATION DES ESPÈCES EN PÉRIL AU CANADA (COSEPAC). 2014. *Évaluation et rapport de situation du COSEPAC sur le caribou (*Rangifer tarandus*), population des montagnes du Nord, population des montagnes du Centre et population des montagnes du Sud au Canada*. Comité sur la situation des espèces en péril au Canada. Ottawa. xxiii + 132 p.

COMITÉ SUR LA SITUATION DES ESPÈCES EN PÉRIL AU CANADA (COSEPAC). 2017. *Évaluation et Rapport de situation du COSEPAC sur le caribou (Rangifer tarandus), population migratrice de l'Est et population des monts Torngat, au Canada*. Comité sur la situation des espèces en péril au Canada, Ottawa. 69 p. et annexes.

COURBIN, N., D. FORTIN, C. DUSSAULT et R. COURTOIS. 2009. *Landscape management for woodland caribou: the protection of forest blocks influences wolf-caribou co-occurrence*. Landscape Ecology 24(10):1375-1388.

COURTOIS, R. 2003. *La conservation du caribou dans un contexte de perte d'habitat et de fragmentation du milieu*. Thèse de doctorat. Université du Québec à Rimouski, Rimouski, Québec. 350 p.

COURTOIS, R., J.-P. OUELLET, L. BRETON, A. GINGRAS et C. DUSSAULT. 2002. *Effet de la fragmentation du milieu sur l'utilisation de l'espace et la dynamique de population chez le caribou forestier*. Société de la faune et des parcs du Québec, Université du Québec à Rimouski, 44 p.

COURTOIS, R., C. DUSSAULT, A. GINGRAS, et G. LAMONTAGNE. 2003. *Rapport sur la situation du caribou forestier au Québec*. Société de la faune et des parcs du Québec, Direction de la recherche sur la faune, Direction de l'aménagement de la faune de Jonquière et Direction de l'aménagement de la faune de Sept-Îles. 45 p.

COURTOIS, R., J.-P. OUELLET, L. BRETON, A. GINGRAS et C. DUSSAULT. 2007. *Effects of forest disturbance on density, space use, and mortality of woodland caribou.* Écoscience, Issue 4 : A demographic fram for reintroductions. Vol. 14 : 491-498

COUTURIER, S. 1994. *Estimation des effectifs du troupeau de caribous de la rivière aux Feuilles en juin 1991, Nord-du-Québec*, Québec. Ministère du Loisir, de la Chasse et de la Pêche, 18 p.

COUTURIER, S. S.D. CÔTÉ, R. OTTO, R.B. WELADJI et J. HUOT. 2006. *Masse des faons du caribou migrateur : effets de l'habitat, du climat, des déplacements et de la taille des troupeaux*. Ministère des Ressources naturelles et de la Faune, Direction de la recherche sur le faune et Direction de l'aménagement de la faune du Nord-du-Québec. Québec. 31 p.

COUTURIER, S., D. JEAN, R. OTTO et S. RIVARD. 2004. *Demography of the migratory tundra caribou (Rangifer tarandus) of the Nord-du-Québec region and Labrador, Québec.* Direction de l'aménagement de la faune du Nord-du-Québec et Direction de la recherche sur la faune, ministère des Ressources naturelles, de la Faune et des Parcs. 68 p.

COUTURIER, S., COURTOIS, R., CRÉPEAU, H., RIVEST, L-P., et LUTTICH, S. 1996. *Calving photocensus of the Rivière-George caribou herd and comparison with an independent census*. Ranfiger, special Issue 9, 283-296.

COLMAN, J. E., D. TSEGAYE, K. FLYDAL, I. M. RIVRUD, E. REIMERS et S. EFTESTØL. 2015. *High-voltage power lines near wild reindeer calving areas*. European Journal of Wildlife Research, 61, 881–893.

CREE NATION GOVERNMENT. 2025. *Caribou Update: Preliminary Report on the Leaf River Herd*. Eeyou Eenou Newsletter, no. 7.

CRÊTE, M., D. LE HÉNAFF, R. NAULT, D. VANDAL et N. LIZOTTE. 1987. *Estimation du nombre de caribous associés aux aires de mise bas de la rivière aux Feuilles et de la rivière George en 1986*, Québec. Ministère du Loisir, de la Chasse et de la Pêche, 31 p.

CRÊTE, M., L. MARZELL et J. PELTIER. 2004. *Indices de préférence d'habitat des caribous forestiers sur la Côte-Nord entre 1998 et 2004 d'après les cartes écoforestières 1:20 000 : Examen sommaire pour aider l'aménagement forestier.* Société de la faune et des parcs du Québec, Direction du développement de la faune et Direction de l'aménagement de la faune de la Côte-Nord. 21 p

DARBY, R. et L. S. DUQUETTE. 1986. *Woodland caribou and forestry in northern Ontario*, Canada. Rangifer, Special Issue, 1 : 87-93 p.

DERGUY, L., M. LEBLOND et M.-H. ST-LAURENT. 2025. *Living in fear: How experience shapes caribou responses to predation risk*. Ecosphere, 16(1), e70132.

DICKIE, M., N. LOVE, R. STEENWEG, C. T. LAMB, J. POLFUS, et A. T. FORD. 2023. *In search of evidence-based management targets: A synthesis of the effects of linear features on woodland caribou*. Ecological Indicators, 154, 110559.

DUCRUC, J.-P., P. DUBOIS et G. AUDET. 1988. *Le troupeau de caribous de Val-d'Or : caractérisation écologique du territoire et évaluation des superficies improductives pour la forêt*. Ministère de l'Environnement du Québec, Direction du patrimoine écologique. 46 p.

ENVIRONNEMENT CANADA (EC). 2008. *Examen scientifique aux fins de la désignation de l'habitat essentiel de la population boréale du caribou des bois (Rangifer tarandus caribou) au Canada.* Environnement Canada, Ottawa. 67 p. et annexes.

ENVIRONNEMENT CANADA (EC). 2011. *Évaluation scientifique aux fins de la désignation de l'habitat essentiel de la population boréale du caribou des bois (Rangifer tarandus caribou) au Canada.* Mise à jour 2011. 116 p. et annexes.

ENVIRONNEMENT CANADA (EC). 2012. *Programme de rétablissement du caribou des bois* (*Rangifer tarandus caribou*), *population boréale au Canada*. Série du Programme de rétablissement de la Loi sur les espèces en péril, Environnement Canada, Ottawa. 152 p. et annexes.

ENVIRONNEMENT ET CHANGEMENT CLIMATIQUE CANADA (ECCC). 2020. *Programme de rétablissement modifié du caribou des bois (Rangifer tarandus caribou), population boréale, au Canada.* Série de Programmes de rétablissement de la Loi sur les espèces en péril, Environnement et Changement climatique Canada, Ottawa. 155 p. et annexes.

ENVIRONNEMENT ET CHANGEMENT CLIMATIQUE CANADA (ECCC). 2024. *Évaluation des menaces imminentes pour le caribou (Rangifer tarandus), population boréale.* Gouvernement du Canada, Environnement et Changement climatique Canada, Ottawa. 79 p. et annexes.

ÉQUIPE DE RÉTABLISSEMENT DU CARIBOU FORESTIER DU QUÉBEC (ÉRCFQ). 2008. *Plan de rétablissement du caribou forestier* (*Rangifer tarandus*) *au Québec — 2005-2012*. Ministère des Ressources naturelles et de la Faune. 76 p. et annexes.

ÉQUIPE DE RÉTABLISSEMENT DU CARIBOU FORESTIER DU QUÉBEC (ÉRCFQ). 2010. *Lignes directrices pour l'aménagement de l'habitat du caribou forestier*. Ministère des Ressources naturelles et de la Faune. 17 p. et annexes.

ÉQUIPE DE RÉTABLISSEMENT DU CARIBOU FORESTIER DU QUÉBEC (ÉRCFQ). 2013*a*. *Plan de rétablissement du caribou forestier* (*Rangifer tarandus caribou*) *au Québec — 2013-2023*. Produit pour le compte du ministère du Développement durable, de l'Environnement, de la Faune et des Parcs du Québec (MDDEFP), Faune Québec. 110 p.

ÉQUIPE DE RÉTABLISSEMENT DU CARIBOU FORESTIER DU QUÉBEC (ÉRCFQ). 2013*b*. *Lignes directrices pour l'aménagement de l'habitat du caribou forestier* (*Rangifer tarandus caribou*). Produit pour le compte du ministère du Développement durable, de l'Environnement, de la Faune et des Parcs (MDDEFP). 24 p. et annexes.

ÉQUIPE DE RÉTABLISSEMENT DU CARIBOU FORESTIER DU QUÉBEC (ÉRCFQ). 2020. *Bilan de mi-parcours du Plan de rétablissement du caribou forestier (Rangifer tarandus caribou) au Québec (1er juin 2013 au 31 mai 2018)*. Ministère des Forêts, de la Faune et des Parcs, Direction générale de la gestion de la faune et des habitats. 35 p.

FORTIN, D., R. COURTOIS, P. ETCHEVERRY, C. DUSSAULT et A. GINGRAS. 2008. *Winter selection of landscapes by woodland caribou: behavioural response to geographical gradients in habitat attributes.* Journal of Applied Ecology, 45(5): 1392-1400.

FORTIN, D., P.-L. BUONO, A. FORTIN, N. COURBIN, C. T. GINGRAS, P. R. MOORCROFT, R. COURTOIS et C. DUSSAULT. 2013. *Movement responses of caribou to human-induced habitat edges lead to their aggregation near anthropogenic features.* The American Naturalist, 181(6): 827-836 p.

FULLMAN, T.J., K. JOLY, D. D. GUSTINE et M. D. CAMERON. 2025. *Behavioral responses of migratory caribou to semi-permeable roads in Arctic Alaska*. Scientific Reports, 15(1), 1–13.

GAGNON, C. A., S. HAMEL, D. E. RUSSELL, J. ANDRE, A. BUCKLE, D. HAOGAK, J. PASCAL, E. SCHAFER, T. POWELL, M. Y. SVOBODA et D. BERTEAUX. 2023. *Climate, caribou and human needs linked by analysis of Indigenous and scientific knowledge.* Nature Sustainability, 6(7): 769-779 p.

GORDON, B. 2003. *Rangifer and man: An ancient relationship*. Rangifer Special Issue, 23(14): 15-28 p.

GOUVERNEMENT DU CANADA. 2018. *Entente Canada-Québec pour la protection des espèces en péril au Québec*. [en ligne] Disponible à : https://www.canada.ca/fr/environnement-changement-climatique/services/registre-public-especes-peril/permis-ententes-exceptions/entente-canada-quebec.html [Consulté le 09 décembre 2025].

GOUVERNEMENT DU QUÉBEC. 2022. *Rapport final – Commission indépendante sur les caribous forestiers et montagnards – été 2022*. Québec, Gouvernement du Québec, 78 p. ISBN : 978-2-550-92663-4.

GOUVERNEMENT DU QUÉBEC. 2025a. *La situation du caribou au Québec*. [en ligne] Disponible à : https://www.quebec.ca/agriculture-environnement-et-ressources-naturelles/faune/gestion-faune-habitats-fauniques/situation-caribou. (Page consultée le 27 octobre 2025).

GOUVERNEMENT DU QUÉBEC. 2025b. *Caribou des bois, écotype migrateur*. Fiche des espèces fauniques [En ligne] : https://www.quebec.ca/agriculture-environnement-et-ressources-naturelles/faune/animaux-sauvages-quebec/fiches-especes-fauniques/caribou-bois-ecotype-migrateur#c221759. (Page consultée le 21 janvier 2025).

GOUVERNEMENT DU QUÉBEC. 2017. *Système de suivi des populations de caribous forestiers du Québec et de caribous montagnards de la Gaspésie 2020-2031*. Consulté au : https://mffp.gouv.qc.ca/documents/faune/DS_suivi_caribou_MFFP.pdf.

GOUVERNEMENT DU QUÉBEC. 2022. *Rapport final – Commission indépendante sur les caribous forestiers et montagnards – été 2022*. Québec. Gouvernement du Québec, 78 p.

HINS, C., J.-P. OUELLET, C. DUSSAULT et M.-H. ST-LAURENT. 2009. *Habitat selection by forest-dwelling caribou in a managed boreal forest of eastern Canada: evidence of a landscape configuration effect.* Forest Ecology and Management, 257: 636-643.

INSTITUT DE DÉVELOPPEMENT DURABLE DES PREMIÈRES NATIONS DU QUÉBEC ET DU LABRADOR (IDDPNQL). 2010. *Projet caribous forestiers — Rapport final de projet.* 66 p.

JOLY, K., F. S. CHAPIN III, et D. R. KLEIN. 2010. *Winter habitat selection by caribou in relation to lichen abundance, wildfires, grazing, and landscape characteristics in northwest Alaska.* Ecoscience, 17, 321-333.

JOLY, K., et M. D. CAMERON. 2018. *Early fall and late winter diets of migratory caribou in northwest Alaska*. Rangifer, 38, 27-38.

JOLY, K., GURARIE, E., SORUM, M. S., KACZENSKY, P., CAMERON, M. D., JAKES, A. F., BORG, B. L., NANDINTSETSEG, D., HOPCRAFT, J. G. C., BUUVEIBAATAR, B., JONES, P. F., MUELLER, T., WALZER, C., OLSON, K. A., PAYNE, J. C., YADAMSUREN, A., & HEBBLEWHITE, M. 2019. *Longest terrestrial migrations and movements around the world*. Scientific Reports*, 9*, 15333.

KENNY, T.-A., X. F. HU, H. V. KUHNLEIN, S. D. WESCHE et H. M. CHAN. 2018. *Dietary sources of energy and nutrients in the contemporary diet of Inuit adults: Results from the 2007 – 08 Inuit Health Survey*. Public Health Nutrition, 21 (7):1319 - 1331 p.

KENNY, T.-A., M. FILLION, S. SIMPKIN, S. D. WESCHE et H. M. CHAN. 2018. *Caribou (*Rangifer tarandus*) and Inuit Nutrition Security in Canada*. EcoHealth, 15, 590–607.

LABADIE, G., I. BOUDERBALA, Y. BOULANGER, J.-M. BÉLAND, C. HÉBERT, A. ALLARD, M. HEBBLEWHITE, et D. FORTIN. 2024. *The umbrella value of caribou management strategies for biodiversity conservation in boreal forests under global change*. Science of the Total Environment, 907, 168087.

LANTIN, E. 2003. *Évaluation de la qualité des habitats d'alimentation pour le caribou forestier en forêt boréale du nord-ouest du Québec*. Thèse de maîtrise, Université du Québec à Montréal, Québec. 112 p.

LEBLOND, M., J. FRAIR, D. FORTIN, C. DUSSAULT, J.-P. OUELLET et R. COURTOIS. 2011. *Assessing the influence of resource covariates at multiple scales: an application to forest-dwelling caribou faced with intensive human activity.* Landscape Ecology, 26 : 1433-1446 p.

LEBLOND, M., C. DUSSAULT, et J.-P. OUELLET. 2012. *Réponses comportementales du caribou forestier à l'élargissement d'un axe routier majeur*. Le Naturaliste canadien, 136 (2) : 22-28 p.

LEBLOND, M., C. DUSSAULT, et J.-P. OUELLET. 2013. *Impacts of Human Disturbance on Large Prey Species: Do Behavioral Reactions Translate to Fitness Consequences?* PLoS ONE, 8(9), e73695.

LEBLOND, M., C. DUSSAULT, et J.-P. OUELLET. 2013. *Avoidance of roads by large herbivores and its relation to disturbance intensity*. Journal of Zoology, 289(1), 32–40.

LEBLOND, M., C. DUSSAULT et M.-H. ST-LAURENT. 2014. *Développement et validation d'un modèle de qualité d'habitat pour le caribou forestier Rangifer tarandus caribou au Québec*. Pour le compte du ministère des Forêts, de la Faune et des Parcs, Université du Québec à Rimouski, 87 p. et annexes.

LEBLOND, M., C. DUSSAULT, D. BOISJOLY, J. MAINGUY, P. DRAPEAU, M.-H. ST-LAURENT, P.-O. BOUDREAU et S. GALLAIS. 2015. *Identification de secteurs prioritaires pour la création de grandes aires protégées pour le caribou forestier*. Pour le Groupe de mise en œuvre sur les aires protégées de l'Équipe de rétablissement du caribou forestier au Québec, Équipe de rétablissement du caribou forestier au Québec, Québec. 28.

LECLERC, M., M. LEBLOND, M. LE CORRE, C. DUSSAULT et S. D. CÔTÉ. 2021. *Determinants of migration trajectory and movement rate in a long-distance terrestrial mammal.* Journal of Mammalogy, 102, 1342-1352.

LE CORRE M., C. HINS, C. DUSSAULT et S. D. CÔTÉ. 2013. *Influence des changements climatiques sur l'utilisation de l'espace du caribou migrateur du Québec-Labrador*. Rapport final, Université Laval, subvention par Ouranos. Québec, 27 p.

LE CORRE, M., C. DUSSAULT et S. D. CÔTÉ. 2020. *Where to spend the winter? The role of intraspecific competition and climate in determining the selection of wintering areas by migratory caribou*. Oikos, *129*(4), 512-525.

LE HÉNAFF, D. 1976. *Inventaire aérien des terrains de vêlage du caribou dans la région nord et au nord du territoire de la municipalité de la Baie James (mai – juin 1975).* Québec. Ministère du Tourisme, de la Chasse et de la Pêche, Direction de la recherche faunique. 20 p.

LE HÉNAFF, D. 1983. *Troupeau de caribous de la rivière aux Feuilles Nouveau-Québec – Recensement du terrain de vêlage*, Québec. Ministère du Loisir, de la Chasse et de la Pêche, 14 p.

LEMUS-LAUZON I., S. PLANTE, S. LARRIVÉE, S. BIONDO et M. LE CORRE. 2025. *Développement minier, caribou migrateur et utilisation du territoire au Québec nordique*. [En ligne] : Développement minier, caribou migrateur et utilisation du territoire au Québec nordique (Page consultée le 24 janvier 2025).

LESMERISES, F., C. DUSSAULT, P. DRAPEAU et M.-H. ST-LAURENT. 2013. *Évaluation des impacts des lignes de transport d'énergie sur l'écologie spatiale du caribou forestier au Québec*. Rapport scientifique présenté à Hydro-Québec, 56 p. + annexes.

LESSARD, É., P. D. WALKER et E. VANDER WAL. 2026. *Northern development and Rangifer risks: A review of the impacts of resource extraction for caribou and reindeer*. Environmental Reviews, 34, 1–13.

LOSIER, C. L., S. COUTURIER, M.-H. ST-LAURENT, P. DRAPEAU, C. DUSSAULT, T. RUDOLPH, V. BRODEUR, J. A. MERKLE et D. FORTIN. 2015. *Adjustments in habitat selection to changing availability induce fitness costs for a threatened ungulate.* Journal of Applied Ecology, 52 (2): 496-504 p.

MESSER, F. ET J. HUOT. 1985. *Connaissances sur le troupeau de caribous de la rivière George*. Ministère du Loisir, de la Chasse et de la Pêche, Québec, 98 p.

MICHAUD, A. 2025. *Le rôle de la sélection d'habitat pour guider l'identification de l'habitat essentiel du caribou migrateur de l'est*, 90 p. [Mémoire de maîtrise, Université Laval].

MINISTÈRE DE L'ENVIRONNEMENT, DE LA LUTTE CONTRE LES CHANGEMENTS CLIMATIQUES, DE LA FAUNE ET DES PARCS (MELCCFP). 2026. *État de situation des populations de caribous forestiers au Québec et de la population de caribous montagnards de la Gaspésie de 2018 à 2024*. Ministère de l'Environnement, de la Lutte contre les changements climatiques, de la Faune et des Parcs, 54 p.

MINISTÈRE DES FORÊTS, DE LA FAUNE ET DES PARCS (MFFP). 2015. *Rapport d'analyse sur l'intégration des Lignes directrices pour l'aménagement de l'habitat du caribou forestier (2013) dans la planification territoriale*, rapport du Groupe de travail interministériel sur l'intégration des Lignes directrices pour l'aménagement de l'habitat du caribou forestier (2013) dans la planification territoriale, gouvernement du Québec, 42 p. + 1 annexe.

MINISTÈRE DES FORÊTS, DE LA FAUNE ET DES PARCS (MFFP). 2016. *Plan d'action pour l'aménagement de l'habitat du caribou forestier*. Gouvernement du Québec. 2 p. [En ligne] : https://mffp.gouv.qc.ca/documents/faune/napperon-caribou-forestier-2016.pdf. Page consultée le 17 mai 2023.

MINISTÈRE DES FORÊTS, DE LA FAUNE ET DES PARCS (MFFP). 2018a. *Une stratégie en élaboration pour protéger l'habitat du caribou forestier, faits saillants du plan d'action gouvernemental.* Gouvernement du Québec. 2 p. [En ligne] : https://cdn-contenu.quebec.ca/cdn-contenu/adm/min/environnement/strategie/caribous/consultation-2019/faits-saillants-plan-action-caribous-forestiers-montagnards.pdf. Page consultée le 17 mai 2023.

MINISTÈRE DES FORÊTS, DE LA FAUNE ET DES PARCS (MFFP). 2018b. *Suivi démographique du troupeau de caribous migrateurs de la Rivière-aux-Feuilles*. [En ligne] : https://www.newswire.ca/fr/news-releases/suivi-demographique-du-troupeau-de-caribous-migrateurs-de-la-riviere-aux-feuilles-702713422.html. Page consultée le 21 janvier 2025.

MINISTÈRE DES FORÊTS, DE LA FAUNE ET DES PARCS (MFFP). 2021. *Revue de littérature sur les facteurs impliqués dans le déclin des populations de caribous forestiers au Québec et de caribous montagnards de la Gaspésie.* Gouvernement du Québec. 244 p. et annexes.

MINISTÈRE DES FORÊTS, DE LA FAUNE ET DES PARCS (MFFP). 2022. *Rapport final — Commission indépendante sur les caribous forestiers et montagnards*. Gouvernement du Québec. 78 p.

MOREAU G., D. FORTIN, S. COUTURIER et T. DUCHESNE. 2012. *Multi-level functional responses for wildlife conservation: the case of threatened caribou in managed boreal forests*. Journal of Applied Ecology, 49(3): 611-620 p.

MORIN, C. 2023. *Détermination des variables clés pour maintenir ou restaurer la connectivité fonctionnelle des habitats utilisés par le caribou forestier dans les territoires sous aménagement*. Mémoire de maîtrise, Université du Québec à Rimouski, Département de biologie, chimie et géographie, 131 p.

NATIONAL RESEARCH COUNCIL. 2003. *Cumulative environmental effects of oil and gas activities on Alaska's North Slope*, Committee on the cumulative environmental effects of oil and gas activities on Alaska's North Slope. 304 p.

NATURE QUÉBEC. 2015. *Le caribou forestier — Portrait de famille*. En collaboration avec Fondation de la faune du Québec. Québec. 18 p.

PARÉ, M. et C. BRASSARD. 1994. *Écologie et plan de protection de la population de caribous de Val-d'Or.* Ministère de l'Environnement et de la Faune du Québec, Direction régionale de l'Abitibi-Témiscamingue. 56 p.

PLANTE, S., K. LEMIEUX et J. TAILLON. 2021. *Système de suivi des populations de caribous forestiers du Québec et de caribous montagnards de la Gaspésie 2020-2031 — Document synthèse.* Québec : ministère des Forêts, de la Faune et des Parcs, Direction de l'expertise sur la faune terrestre, l'herpétofaune et l'avifaune, 11 p.

PLANTE, S., C. DUSSAULT, J. H. RICHARD et S. D. CÔTÉ. 2018. *Human disturbance effects and cumulative habitats loss in endangered migratory caribou*. Biological Conservation, Volume 224, 129-143 p.

PLANTE, S., C. DUSSAULT, J.-H. RICHARD et S. D. CÔTÉ. 2020. *Human disturbance increases predation risk for migratory caribou by facilitating predator movements*. Ecological Applications, 30(4), e02089.

POLFUS, J. L., M. HEBBLEWHITE et K. HEINEMEYER. 2011. *Identifying indirect habitat loss and avoidance of human infrastructure by northern mountain woodland caribou*. Biological Conservation, 144(11), 2637–2646.

RACEY, G. A., H. T. AMSTRONG, L. GERRISH, R. SCHOTT, J. MCNICOL et R. GOLLAT. 1997. *Landscape planning for the conservation of forest-dwelling woodland caribou*. Ontario Ministry of Natural Resources, Northwest Region, Ontario. 53 p.

RAYMOND-BOURRET, E. 2017. *Détermination des impacts respectifs de la perte et de la fragmentation de la forêt mature sur l'écologie spatiale des grands mammifères*. Mémoire de maîtrise, Université du Québec à Rimouski, Département de biologie, chimie et géographie, 111 p.

RETTIE, W. J. et F. MESSIER. 2000. *Hierarchical habitat selection by woodland caribou: its relationship to limiting factors*. Ecography, 23 (4): 466-478 p.

ROSOL, R., S. POWELL-HELLYER et H. M. CHAN. 2016. *Impacts of decline harvest of country food on nutrient intake among Inuit in Arctic Canada: Impact of climate change and possible adaptation plan*. International Journal of Circumpolar Health, 75(1): 31 127 p.

RUDOLPH, T. D., P. DRAPEAU, M.-H. ST-LAURENT, et L. IMBEAU. 2012. *Situation du caribou forestier (*Rangifer tarandus caribou*) sur le territoire de la Baie James dans la région Nord-du-Québec*. Rapport scientifique présenté au ministère des Ressources naturelles et de la Faune et au Grand Conseil des Cris (Eeyou Istchee). Montréal, Québec. 77 p.

RUSSELL, D. E., A. GUNN, R. G. WHITE, J. ADAMCZEWSKI, K. G. POOLE, M. KLACZEK, J. S. NISHI, P. MCNEIL et J. EAMER. 2021. *Energetic and demographic consequences of cumulative effects on migratory tundra caribou*. Global Change Biology, 27(6), 1306–1320.

SAUCIER, J.-P., P. GRONDIN, A. ROBITAILLE et J.-F. BERGERON. 2003. *Carte des régions écologiques*. 3e version, ministère des Ressources naturelles du Québec, code 2003-3015.

SAUCIER, J.-P., J.-F. BERGERON, P. GRONDIN et A. ROBITAILLE. 1998. *Les régions écologiques du Québec méridional : un des éléments du système hiérarchique de classification écologique du territoire mis au point par le ministère des Ressources naturelles.* 3e version, supplément de L'Aubelle, février-mai, 12 p.

SEBBANE, A., R. COURTOIS, S. ST-ONGE, L. BRETON et P.-É. LAFLEUR. 2002. *Utilisation de l'espace et caractéristiques de l'habitat du caribou de Charlevoix entre l'automne 1998 et l'hiver 2001*. Société de la faune et des parcs du Québec, Direction de la recherche sur la faune. 60 p.

SCHAEFER, J. A. et C. C. WILSON. 2002. *The fuzzy structure of populations*. Canadian Journal of Zoology, 80(12), 2235-2241.

SHARMA, S., S. COUTURIER. et S. D. COTE. 2009. *Impacts of climate change on the seasonal distribution of migratory caribou*. Global change biology, 15(10), 2549-2562.

ST-LAURENT, M.-H., K. BÉDARD et J.-P. MARCOUX. 2011. *Synthèse des connaissances relatives aux impacts de l'occupation du territoire sur l'écologie du caribou forestier.* Université du Québec à Rimouski pour le compte du Groupe de mise en œuvre sur le développement anthropique de l'Équipe de rétablissement du caribou forestier. 15 p.

ST-LAURENT, M.-H., L.-A. RENAUD, M. LEBLOND, et D. BEAUCHESNE. 2012. *Synthèse des connaissances relatives aux impacts des routes sur l'écologie du caribou*. Le Naturaliste canadien, 136(2), 42–47.

ST-LAURENT, M-H., D. BEAUCHESNE. et F. LESMERISES. 2014. *Évaluation des impacts des vieux chemins forestiers et des modalités de fermeture dans un contexte de restauration de l'habitat du caribou forestier au Québec.* Rapport scientifique présenté au ministère des Forêts, de la Faune et des Parcs (MPPF) par l'Université du Québec au Rimouski. Rimouski, Québec. 42 p.

ST-LAURENT, M.-H., GOSSELIN, J. et K. MALCOLM. 2023. *Développement d'un plan d'aménagement, de protection et de restauration de l'habitat des populations boréales de caribous des bois fréquentant le territoire Eeyou Istchee*. Rapport scientifique présenté au Gouvernement de la Nation Crie, par l'Université du Québec à Rimouski. xv + 121 p.

STUART-SMITH, A. K., C. J. A. BRADSHAW, S. BOUTIN, D. M. HEBERT et A. B. RIPPIN. 1997. *Woodland caribou relative to landscape patterns in northeastern Alberta.* Journal of Wildlife Management, 61(3):622-633 p.

SZOR, G. et G. GINGRAS. 2020. *Inventaire aérien du caribou forestier (Rangifer tarandus caribou) dans les secteurs Baie-James, Rupert et la Grande, Nord-du-Québec, à l'hiver 2020*. Ministère des Forêts, de la Faune et des Parcs, Direction de la gestion de la faune du Nord-du-Québec, 31 p.

TAILLON, J., V. BRODEUR et S. RIVARD. 2016. *État de la situation biologique du caribou migrateur, troupeau de la Rivière-aux-Feuilles*. Ministère des Forêts, de la Faune et des Parcs, Québec. 69 p.

VISTNES, I., C. NELLEMANN, P. JORDHØY et O. STRAND. 2004. *Effects of infrastructure on migration and range use of wild reindeer*. Journal of Wildlife Management, 68(1), 101–108.

VORS, L.S. et M. S. BOYCE. 2009. *Global declines of caribou and reindeer*. Global Change Biology 15 (11):2626-2633 p.

VUILLAUME, B. 2023. *Les déterminants environnementaux de la survie et la démographie des caribous migrateurs* [Thèse de doctorat, Université Laval].

WEIR, J. N., S. P. MAHONEY, B. MCLAREN et S. H. FERGUSON. 2007. *Effects of mine development on woodland caribou Rangifer tarandus distribution*. Wildlife Biology, 13(1), 66-74.

WHITTINGTON, J., M. HEBBLEWHITE, N. J. DECESARE, L. NEUFELD, M. BRADLEY, J. WILMSHURST et M. MUSIANI. 2011. *Caribou encounters with wolves increase near roads and trails: A time-to-event approach.* Journal of Applied Ecology, 48 (6): 1535-1542 p.

ANNEXE

6-22 CHIROPTÈRES

RESSOURCES PMET INC.

PROJET MINIER SHAAKICHIUWAANAAN

RAPPORT SECTORIEL – CHIROPTÈRES

EEYOU ISTCHEE BAIE-JAMES

DÉCEMBRE 2025

CONFIDENTIEL

RÉFÉRENCE WSP : CA0001724.3318_006_R_REVC

VERSION FINALE

RESSOURCES PMET INC.

PROJET MINIER SHAAKICHIUWAANAAN

RAPPORT SECTORIEL – CHIROPTÈRES

EEYOU ISTCHEE BAIE-JAMES

VERSION FINALE
CONFIDENTIEL

RÉFÉRENCE WSP : CA0001724.3318_006_R_REVC

DÉCEMBRE 2025

WSP CANADA INC.
171, RUE LÉGER
SHERBROOKE (QUÉBEC) J1L 1M2
CANADA

TÉLÉPHONE : +1-819-340-6124
TÉLÉCOPIEUR : +1-819-562-7888

WSP.COM

SIGNATURES

PRÉPARÉ PAR

5 décembre 2025

Jade Legros, biologiste, M. Sc. (ABQ nº 5681)
Biologiste

Date

Remi.Duhamel@wsp.com

Signé numériquement par Remi.Duhamel@wsp.com
DN : cn=Remi.Duhamel@wsp.com
Date : 2025.12.11 10:54:11 -05'00'

5 décembre 2025

Rémi Duhamel, biologiste, M. Sc. (ABQ nº 2652)
Chargé de projets

Date

RÉVISÉ PAR

Signé numériquement par Franck.Sirieix@wsp.com
DN : cn=Franck.Sirieix@wsp.com
Date : 2025.12.08 08:03:27 -05'00'

5 décembre 2025

Franck Sirieix, biologiste, B. Sc. (ABQ nº 3382)
Chef d'équipe faune terrestre

Date

APPROUVÉ PAR

5 décembre 2025

Marie-Hélène Brisson, biologiste, B. Sc.
(ABQ nº 3395)
Directrice de projet

Date

LIMITATIONS

WSP Canada Inc. (WSP) a préparé ce rapport uniquement pour son destinataire Ressources PMET inc., conformément à la convention de consultant convenue entre les parties. Advenant qu'une convention de consultant n'ait pas été exécutée, les parties conviennent que les Modalités générales à titre de consultant de WSP régiront leurs relations d'affaires, lesquelles vous ont été fournies avant la préparation de ce rapport.

Ce rapport est destiné à être utilisé dans son intégralité. Aucun extrait ne peut être considéré comme représentatif des résultats de l'évaluation.

Les conclusions présentées dans ce rapport sont basées sur le travail effectué par du personnel technique, entraîné et professionnel, conformément à leur interprétation raisonnable des pratiques d'ingénierie et techniques courantes et acceptées au moment où le travail a été effectué.

Le contenu et les opinions exprimées dans le présent rapport sont basés sur les observations et/ou les informations à la disposition de WSP au moment de sa préparation, en appliquant des techniques d'investigation et des méthodes d'analyse d'ingénierie conformes à celles habituellement utilisées par WSP et d'autres ingénieurs/techniciens travaillant dans des conditions similaires, et assujettis aux mêmes contraintes de temps, et aux mêmes contraintes financières et physiques applicables à ce type de projet.

WSP dénie et rejette toute obligation de mise à jour du rapport si, après la date du présent rapport, les conditions semblent différer considérablement de celles présentées dans ce rapport; cependant, WSP se réserve le droit de modifier ou de terminer ce rapport sur la base d'informations, de documents ou de preuves additionnels.

WSP ne fait aucune représentation relativement à la signification juridique de ses conclusions.

La divulgation de tout renseignement faisant partie du présent rapport relève uniquement de la responsabilité de son destinataire. Si un tiers utilise, se fie, ou prend des décisions ou des mesures basées sur ce rapport, ledit tiers en est le seul responsable. WSP n'accepte aucune responsabilité quant aux dommages que pourrait subir un tiers suivant l'utilisation de ce rapport ou quant aux dommages pouvant découler d'une décision ou mesure prise basée sur le présent rapport.

WSP a exécuté ses services offerts au destinataire de ce rapport conformément à la convention de consultant convenue entre les parties tout en exerçant le degré de prudence, de compétence et de diligence dont font habituellement preuve les membres de la même profession dans la prestation des mêmes services ou de services comparables à l'égard de projets de nature analogue dans des circonstances similaires. Il est entendu et convenu entre WSP et le destinataire de ce rapport que WSP n'offre aucune garantie, expresse ou implicite, de quelque nature que ce soit. Sans limiter la généralité de ce qui précède, WSP et le destinataire de ce rapport conviennent et comprennent que WSP ne fait aucune représentation ou garantie quant à la suffisance de sa portée de travail pour le but recherché par le destinataire de ce rapport.

En préparant ce rapport, WSP s'est fié de bonne foi à l'information fournie par des tiers, comme indiqué dans le rapport. WSP a raisonnablement présumé que les informations fournies étaient correctes et WSP ne peut donc être tenu responsable de l'exactitude ou de l'exhaustivité de ces informations.

WSP nie toute responsabilité financière quant aux effets du rapport sur une transaction subséquente ou sur la dépréciation de la valeur des biens qu'il peut entraîner, ou encore qui peuvent découler des mesures, des actions et des coûts qui en résultent.

Les recommandations de conception fournies dans ce rapport s'appliquent uniquement au projet et aux zones décrites dans le texte, et uniquement si elles sont construites conformément aux détails indiqués dans le présent rapport. Les commentaires fournis dans ce rapport sur les problèmes potentiels pouvant subvenir lors de la construction et sur les différentes méthodologies possibles sont uniquement destinés à guider le concepteur. Le nombre d'emplacements de prélèvement et/ou d'échantillonnage peut ne pas être suffisant pour évaluer l'ensemble des facteurs pouvant affecter la construction, les méthodologies et les coûts. WSP nie toute responsabilité pouvant découler de décisions ou actions prises découlant de ce rapport, sauf si WSP en est spécifiquement informé et y participe. Advenant une telle situation, la responsabilité de WSP sera déterminée et convenue à ce moment.

Les conditions générales d'un site ne peuvent être extrapolées au-delà des zones définies et des emplacements de prélèvement et d'échantillonnage. Les conditions d'un site entre les emplacements de prélèvement et d'échantillonnage peuvent différer des conditions réelles. La précision et l'exactitude de toute extrapolation et spéculation au-delà des emplacements des prélèvements et d'échantillonnage dépendent des conditions naturelles, de l'historique de développement du site et des changements entraînés par la construction et des autres activités sur le site. De plus, l'analyse a été effectuée pour les paramètres chimiques et physiques déterminés seulement, et il ne peut pas être présumé que d'autres substances chimiques ou conditions physiques ne sont pas présentes. WSP ne fournit aucune garantie et ne fait aucune représentation contre les risques environnementaux non décelés ou contre des effets négatifs causés à l'extérieur de la zone définie.

L'original du fichier électronique que nous vous transmettons sera conservé par WSP pour une période minimale de dix ans. WSP n'assume aucune responsabilité quant à l'intégrité du fichier qui vous est transmis et qui n'est plus sous le contrôle de WSP. Ainsi, WSP n'assume aucune responsabilité quant aux modifications faites au fichier électronique suivant sa transmission au destinataire.

Ces limitations sont considérées comme faisant partie intégrante du présent rapport.

CLIENT

RESSOURCES PMET INC.

Vice-Présidente – Environnement et approbation	Cathryn Moffett

ÉQUIPE DE RÉALISATION

WSP CANADA INC. (WSP)

Directrice de projet	Marie-Hélène Brisson, biol.
Chargée de projet	Valérie Roy, biol. M. Sc., PMP®
Chargée de discipline	Julie Mc Duff, biol. M. Sc.
Inventaires	Jade Legros, biol. M. Sc. Frédérique Brunet, Tech. Josué Groleau, Tech.
Analyses & rédaction	Jade Legros, biol. M. Sc. Vincent Poirier, biol. B. Sc. Franck Sirieix, biol. B. Sc. Rémi Duhamel, biol. M. Sc.
Édition	Linette Poulin

GROUPE SYNERGIS

Responsable de la coordination	Pierre-Olivier Côté. B Sc. Louise Zilber
Terrain	Antoine Sicotte, Tech. Maxime Clermont, M. Sc. Ariel Jacques, Tech.

RÉFÉRENCE À CITER

WSP. 2025. Projet minier Shaakichiuwaanaan. Rapport sectoriel – Chiroptères. Eeyou Istchee Baie-James. Rapport produit pour Ressources PMET inc. Référence WSP : CA0001724.3318_006_R_RevC. 30 pages et annexes.

SOMMAIRE

Ressources PMET Inc. a mandaté WSP dans le cadre de l'évaluation des impacts sur l'environnement du projet minier Shaakichiuwaanaan, dans la région Nord-du-Québec, afin de documenter l'utilisation de la zone du projet par les chiroptères.

Pour ce faire, une revue de la documentation existante a été effectuée afin de documenter les différentes espèces susceptibles d'être présentes ainsi que les habitats importants pour les chiroptères disponibles sur le site. Des inventaires sur le terrain ont également été effectués en 2023, 2024 et 2025. Pendant ces trois années, 16 stations acoustiques fixes ont été installées dans la zone du projet afin d'évaluer l'activité des différentes espèces chiroptères sur le terrain. De plus, une recherche de sites de maternité et d'hibernacles potentiels a été réalisée par analyse de la documentation existante et recherche sur le terrain.

Les différentes activités énumérées ci-dessus ont permis de brosser un portrait détaillé de l'utilisation de la zone du projet par les chiroptères, notamment en confirmant la présence sur le site de cinq espèces et deux groupes d'espèces, soit : les chauves-souris du genre *Myotis*, la chauve-souris nordique et la grande chauve-souris brune pour les espèces résidentes, les chauves-souris argentée, cendrée et rousse pour les espèces migratrices, ainsi que le complexe grande chauve-souris brune/chauve-souris argentée. Les niveaux d'activité des chiroptères se sont avérés faibles à toutes les périodes inventoriées et les résultats ne suggèrent pas la présence, à proximité de l'une ou l'autre des stations d'inventaire, de sites de maternités ou de corridors de migration. La cartographie de l'habitat préférentiel de reproduction des chiroptères montre que ce dernier est distribué dans l'ensemble de la zone d'inventaire, ainsi qu'à l'extérieur de celle-ci. Cependant, aucun habitat critique (maternité ou hibernacle) n'a été observé lors des recherches spécifiques réalisées sur le terrain. La présence d'habitats de maternité dans la zone du projet demeure toutefois possible, étant donné les densités de chicots observées sur le site.

TABLE DES MATIÈRES

1 Introduction 1
1.1 Mise en contexte 1
1.2 Objectif de l'étude 1
1.3 Zones d'étude 1

2 Méthodologie 5
2.1 Revue de littérature et demande d'information 5
2.2 Habitat préférentiel 5
2.3 Inventaire acoustique fixe 6
2.4 Recherche d'hibernacles 11
2.4.1 Analyse documentaire 11
2.4.2 Recherche sur le terrain 11
2.5 Recherche de maternités potentielles 11

3 Résultats 13
3.1 Revue de littérature et demande d'information 13
3.2 Habitat préférentiel 13
3.3 Inventaire acoustique fixe 14
3.3.1 Dispersion et migration printanière 15
3.3.2 Reproduction 16
3.3.3 Migration automnale 19
3.4 Recherche d'hibernacles 21
3.4.1 Analyse documentaire 21
3.4.2 Inventaire et recherche active sur le terrain 22
3.5 Recherche de maternités potentielles 23

4 Conclusion 27

Références bibliographiques 29

TABLE DES MATIÈRES

Tableaux

Tableau 1	Stations d'inventaire acoustique fixe des chiroptères	7
Tableau 2	Classification des catégories de potentiel de maternité pour chauve-souris (structure naturelle)	12
Tableau 3	Espèces recensées et pourcentages respectifs pour les saisons 2023, 2024 et 2025	14
Tableau 4	Synthèse des résultats obtenus (passages/nuit) – Dispersion et migration printanière 2024	17
Tableau 5	Synthèse des résultats obtenus (passages/nuit) – Dispersion et migration printanière 2025	17
Tableau 6	Synthèse des résultats obtenus (passages/nuit) – Reproduction 2024	18
Tableau 7	Synthèse des résultats obtenus (passages/nuit) – Reproduction 2025	18
Tableau 8	Synthèse des résultats obtenus (passages/nuit) –Migration automnale 2023	20
Tableau 9	Synthèse des résultats obtenus (passages/nuit) –Migration automnale 2024	20
Tableau 10	Sites rocheux et potentiel d'utilisation comme hibernacles	22
Tableau 11	Sites de maternités arboricoles potentielles	23

Cartes

Carte 1	Localisation des zones d'étude	3
Carte 2	Plan d'inventaire des chiroptères	9
Carte 3	Résultats d'inventaire des chiroptères	25

Annexes

A **Métadonnées des équipements utilisés**

B **Rapport photographique**

C **Période d'activité et d'inactivité des stations acoustiques fixes**

D **Résultats inventaires acoustiques fixes – nombre de passages par heure**

1 Introduction

1.1 Mise en contexte

Ressources PMET inc. (PMET) est une société d'exploration minière qui se concentre sur l'acquisition et le développement de projets miniers contenant des métaux de base et des métaux précieux. La société détient 100 % de la propriété Shaakichiuwaanaan. PMET poursuit actuellement l'exploration et le développement de cette propriété et a débuté les études environnementales de base nécessaires pour compléter le processus d'évaluation environnementale auquel sera assujetti le développement du projet minier Shaakichiuwaanaan (le « Projet »).

L'extraction projetée de spodumène de la propriété Shaakichiuwaanaan dans un mode d'exploitation hybride (fosse à ciel ouvert et exploitation souterraine) à un taux d'extraction supérieur à 5 kt/j est assujettie au régime d'évaluation provincial des impacts sur l'environnement et le milieu social applicables au territoire visé par la Convention de la Baie-James et du Nord québécois (CBJNQ) (sud du 55^{e} parallèle – via le Comité d'évaluation [COMEV] et le Comité d'examen [COMEX]) de même qu'à la procédure fédérale d'évaluation des impacts prévue en vertu de la *Loi sur l'évaluation d'impact* (L.C. 2019, ch. 28, art. 1).

Dans ce contexte, PMET a mandaté WSP Canada Inc. (WSP) pour réaliser certaines études environnementales visant à documenter les conditions environnementales de base du milieu récepteur du projet. Ces études seront utilisées dans le futur durant les processus d'évaluation et d'autorisation environnementales du projet, et permettront d'évaluer les impacts environnementaux du projet et d'orienter les mesures d'atténuation requises pour en améliorer l'acceptabilité environnementale.

Ce rapport porte spécifiquement sur les chiroptères.

1.2 Objectif de l'étude

C'est dans le cadre de l'évaluation des impacts du projet que s'inscrit la présente étude, qui vise à documenter l'utilisation de la zone du projet par les chiroptères. Plus précisément, les objectifs spécifiques de l'étude sont de :

- décrire les communautés de chiroptères et leurs habitats;
- valider la présence d'espèces à statut particulier pour ce groupe faunique.

1.3 Zones d'étude

Le site à l'étude est localisé sur le territoire Eeyou Istchee Baie-James, dans la région administrative du Nord-du-Québec, à hauteur du 53^{e} parallèle. Il se situe approximativement à 50 km au sud-ouest du barrage du réservoir La Grande-4 et est accessible par la route Transtaïga (carte 1).

Dans le cadre de cette étude, deux limites spatiales à différentes échelles ont été établies pour définir les zones d'étude, soit :

- **La zone d'inventaire** : Une zone d'environ 114,25 km^2 (11 425 ha) correspondant à une zone tampon de 2 km autour de la zone de projet préliminaire, ainsi qu'à une zone tampon de 1 km autour du chemin d'accès projeté (carte 2). C'est dans cette zone qu'ont été réalisées les campagnes d'inventaire de 2023 et 2024, dans le but de documenter l'utilisation par les chiroptères des différents habitats susceptibles d'être directement affectés par le projet.
- **La zone d'étude régionale** : Une zone de 7 854 km^2 (785 398 ha) correspondant à une zone de 50 km de rayon relativement centrée sur les infrastructures projetées (carte 1), qui permet d'établir un portrait à plus grande échelle des espèces de chiroptères présentes dans la région du projet.

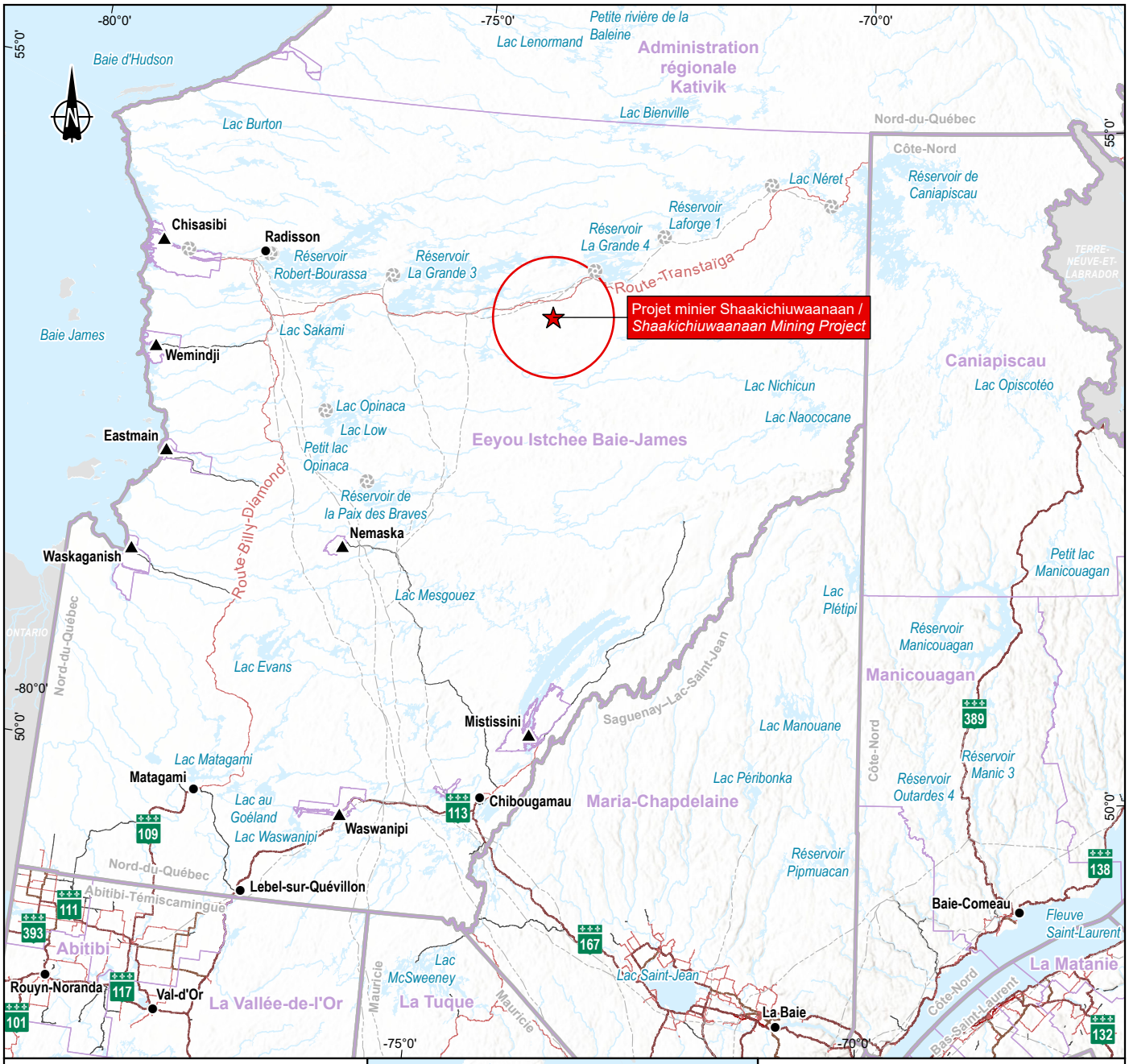

Zone d'étude / *Study Area*

Régionale / *Regional*

Repères géographiques / *Geographical Landmarks*

Communauté crie dans la zone d'étude du milieu humain / *Cree community in the human environment study area*

Municipalité / *Municipality*

Infrastructures / *Infrastructures*

Centrale hydroélectrique / *Hydroelectric generating station*

Ligne de transport d'énergie / *Electric power transmission line*

Réseau routier / *Road Network*

Autoroute / *Highway*

Route nationale / *National road*

Route régionale / *Regional road*

Collectrice / *Collector road*

Accès aux ressources / *Resource access route*

Limites / *Boundaries*

Région administrative / *Administrative Region*

Municipalité régionale de comté (MRC) et Territoires autochtones / *Regional County Municipality (RCM) and First Nations Territories*

Projet minier Shaakichiuwaanaan / *Shaakichiuwaanaan Mining Project*

Rapport sectoriel – Chiroptère / *Sectoral Report – Chiropteran*

Carte 1 / *Map 1*
Localisation du projet minier et de la zone d'étude régionale / *Location of the Mining Project and Regional Study Area*

Sources :

SDA, 1/20 000, MRNF, 2024-02
Canvec, 1/250 000, 1/5 000 000 et 1/15 000 000, RNCan, 2019
BDGA, 1/1 000 000, MRN Québec, 2014
BDGA, 1/5 000 000, MRNF Québec, 2010
AQréseau+, réseau routier, MERN, 2024-03-01

0 50 100 km

NAD 1983 Quebec Lambert

2025-11-11

Préparation / Preparation : J. Legros
Dessin / Drawing : V. Venne
Approbation / Approval : R. Duhamel
CA0001724_3318_eie_sc_chiroptere_251110.aprx
CA0001724_3318_eie_sc_ch_c01_038_loc_251105

wsp

La précision des limites et les mesures montrées sur ce document ne doivent pas servir à des fins d'ingénierie ou de délimitation foncière. Aucune analyse foncière n'a été effectuée par un arpenteur-géomètre. / Boundary accuracy and measurements shown on this document are not intended for engineering or land delineation purposes. No land analysis has been performed by a land surveyor.

2 Méthodologie

2.1 Revue de littérature et demande d'information

Une revue des données disponibles a été réalisée afin de déterminer le potentiel de présence des différentes espèces de chauves-souris dans la zone d'étude régionale. Tout d'abord, les mentions du Centre de données sur le patrimoine naturel du Québec (CDPNQ) ont été recherchées via la carte interactive disponible en ligne (CDPNQ, 2025). Les informations disponibles dans la base de données Chauves-souris aux abris, qui répertorie les gîtes connus de chiroptères, ont également été consultées (Chauves-souris aux abris, 2025).

Les résultats du Réseau québécois d'inventaires acoustiques de chauves-souris (Réseau Chirops), qui réalise annuellement des routes d'inventaires de chauves-souris dans chaque région administrative du Québec, ont aussi été consultés (Desrosiers et Berthiaume, 2024).

Une revue de littérature a par la suite été effectuée afin de recueillir toutes données ou informations pertinentes issues des projets miniers et industriels localisés dans la zone d'étude régionale. La même recherche a été réalisée pour les projets en provenance d'autres organismes (universités, gouvernement, clubs, associations, etc.).

Enfin, pour les espèces à statut particulier, les plans et programmes de rétablissement suivants ont été consultés :

- Programme de rétablissement de la petite chauve-souris brune (*Myotis lucifugus*), de la chauve-souris nordique (*Myotis septentrionalis*) et de la pipistrelle de l'Est (*Perimyotis subflavus*) au Canada, Série de Programmes de rétablissement de la *Loi sur les espèces en péril* (ECCC, 2018).
- Plan de rétablissement de trois espèces de chauves-souris résidentes du Québec : la petite chauve-souris brune (*Myotis lucifugus*), la chauve-souris nordique (*Myotis septentrionalis*) et la pipistrelle de l'Est (*Perimyotis subflavus*) — 2019-2029 (ERCSQ, 2019).
- Plan de rétablissement de la chauve-souris rousse (*Lasiurus borealis*) au Québec — 2021-2031 (ERCSQ, 2021).

2.2 Habitat préférentiel

Une identification et une localisation de l'habitat préférentiel de reproduction des chiroptères ont été réalisées dans la zone d'inventaire et autour de celle-ci. Pour ce faire, une analyse multicritère a été effectuée selon les caractéristiques connues de l'habitat de reproduction des chauves-souris et les composantes paysagères qui caractérisent ce secteur.

Bien que les connaissances concernant les caractéristiques recherchées par les différentes espèces de chauves-souris en termes d'habitats de reproduction soient très fragmentaires (ECCC, 2018), les gîtes naturels utilisés sont généralement reliés à la présence d'arbres matures à cavités, de chicots et de falaises, et certaines espèces utilisent également des structures rocheuses (Tremblay et Jutras, 2010). D'autre part, certains bâtiments ou autres structures anthropiques sont également utilisés par plusieurs espèces (Tremblay et Jutras, 2010). Par conséquent, les peuplements forestiers matures ainsi que les milieux humides boisés qui abritent souvent beaucoup de chicots ont été considérés dans le cadre de l'analyse multicritère pour cartographier l'habitat préférentiel de reproduction commun à toutes les espèces à statut particulier recensées ou potentiellement présentes. Par ailleurs, les bâtiments, les ponts et grands ponceaux, les carrières et les falaises de roc exposées au soleil ont été pris en compte pour la cartographie de l'habitat préférentiel de reproduction exclusif aux espèces résidentes.

Cette étape a permis de cibler certains secteurs parmi les plus susceptibles d'abriter une activité importante des chauves-souris. Les informations concernant l'habitat préférentiel de reproduction ont été considérées, sans s'y limiter, lors de la sélection des emplacements des stations d'inventaire acoustique fixe et pour la recherche de maternité sur le terrain.

2.3 Inventaire acoustique fixe

Un inventaire acoustique fixe a été réalisé en 2023, 2024 et 2025 dans certains habitats parmi les plus favorables à la présence de chiroptères. Cette méthode permet de recueillir des informations ponctuelles sur l'activité des chiroptères à l'aide de stations d'inventaire automatisées installées au niveau d'habitats clés pour la reproduction, le repos, l'alimentation et les déplacements des chiroptères, et ainsi de documenter les espèces présentes et leur utilisation de certains habitats. La méthodologie proposée s'inspire du *Protocole standardisé d'inventaire acoustique fixe*, présenté dans le *Recueil des protocoles standardisés d'inventaires acoustiques de chauves-souris au Québec* du ministère de l'Environnement, de la Lutte contre les changements climatiques, de la Faune et des Parcs (MELCCFP, 2023a).

Les stations d'inventaire automatisées sont « en alerte » du coucher au lever du soleil pendant toute la période d'inventaire, se déclenchant dès que des ultrasons sont détectés. Pour chaque année d'inventaire, chaque station possédait les caractéristiques suivantes :

- un détecteur d'ultrasons SM3BAT (2023) ou SM4BAT FS (2024) de *Wildlife Acoustics*;
- un micro ultrasonique (modèles SMM-U1 ou SMM-U2) installé au bout d'une perche à environ 4 m du sol (relié par un câble au système d'enregistrement) et orienté, dans la mesure du possible, vers le sud-est (vents dominants venant du nord-ouest);
- deux cartes-mémoire;
- des batteries.

Le détail des paramètres propres aux équipements utilisés (gain, sensibilité, etc.) est présenté à l'annexe A. Un passage est défini comme un cri d'écholocalisation de chauves-souris enregistré par un détecteur d'ultrasons dans un intervalle d'enregistrement allant jusqu'à 15 secondes. Pour être associé à une espèce ou un complexe d'espèces, le passage doit comporter un minimum de trois cris d'écholocalisation, à défaut de quoi il est considéré comme un passage « non identifié ». Précisons qu'un même enregistrement peut comporter plus d'un passage si différentes espèces sont présentes.

Au total, 16 stations ont été installées dans la zone d'inventaire au cours des trois années d'inventaire, dans des habitats potentiels clés pour l'activité des chiroptères en se basant, notamment, sur la présence de cours d'eau, de plans d'eau et de milieux humides puisqu'ils constituent des sites privilégiés d'alimentation et d'hydratation pour les chiroptères (Fenton, 1990; Whitaker et coll., 2000; Taylor, 2006). La carte 1 présente la localisation des stations d'inventaire acoustique fixe utilisées au cours des trois années d'inventaire. Les inventaires ont débuté en 2023, mais au cours de cette année, seule la période de migration automnale a pu être inventoriée entre le 16 août et le 25 septembre à cause des feux de forêt dans le nord du Québec qui ont limité l'accès au site d'étude pendant l'été. En 2024, afin de couvrir l'ensemble de la saison active des chiroptères, soit les périodes de dispersion/migration printanière (1er avril au 14 juin), de reproduction estivale (demi-période 1 : 15 juin au 19 juillet, demi-période 2 : 20 juillet au 14 août) et de migration automnale/essaimage (demi-période 1 : 15 août au 4 septembre, demi-période 2 : 5 au 25 septembre), les stations ont été installées tôt au printemps (13 au 15 avril) et retirées au milieu de l'automne (25 septembre).

Finalement, en 2025, les stations ont été installées le 12 et 13 avril et laissées en place jusqu'au 13 août, soit durant les périodes de dispersion/migration printanière et de reproduction, afin de compléter les deux années d'inventaires habituellement recommandées par les instances fédérales. Des visites des stations ont été effectuées tout au long de la période d'étude afin de vérifier le bon fonctionnement des systèmes et de remplacer les cartes-mémoire et les batteries.

Le tableau 1 présente, pour chacune des stations, les coordonnées géographiques et une description générale du milieu inventorié. Les photographies de chacun de ces milieux sont présentées à l'annexe B (voir photos 1-32).

Tableau 1 Stations d'inventaire acoustique fixe des chiroptères

Station	Coordonnées	Habitat
CS-01	53,639647 -73,901049	Pinède près d'un lac et d'un milieu humide, présence de quelques chicots.
CS-02	53,629435 -73,868023	Tourbière boisée près d'un brulis, présence de chicots.
CS-03	53,608788 -73,861824	Pessière dense en bordure de la route d'hiver.
CS-04	53,597449 -73,878560	Pessière clairsemée en bordure d'un lac, présence de chicots.
CS-05	53,588545 -73,888588	Marécage arborescent en bordure d'un lac et d'un ruisseau, présence de chicots
CS-06	53,574658 -73,903975	Pessière clairsemée en bordure d'un lac et près de la route d'hiver
CS-07	53,561926 -73,920296	Pessière clairsemée en bordure d'un petit étang
CS-08	53,547692 -73901441	Brulis près d'un lac et un cours d'eau avec un gros button au sud, présence de chicots
CS-09 (2023)	53,541728 -73,936303	Pessière dense en bordure d'un lac
CS-09 (2024-2025)[a]	53,541098 -73,940170	Pessière dense en bordure d'un lac
CS-10	53,533431 -73,943051	Ouverture dans une pessière dense
CS-11	53,536683 -73,901836	Tourbière boisée en bordure d'un lac
CS-12	53,534624 -73,864169	Brulis tourbeux avec plusieurs petits buttons dans les environs, présence de chicots
CS-13	53,523572 -73,934368	Presqu'île en régénération en bord de lac et à proximité d'une paroi rocheuse
CS-14	53,509647 -73,891138 O	Pessière clairsemée en bordure d'un cours d'eau
CS-15	53,507857 -73,957656	Tourbière ouverte en bordure d'un lac et d'un cours d'eau
CS-16	53,494919 -74,020488	Ouverture dans une pessière vallonneuse, présence de chicots

a : La station CS-09 n'a pas pu être installée au même endroit qu'en 2023 à cause de travaux de dynamitage dans les environs. La station a été installée environ 250 m à l'ouest de son emplacement initial, dans un habitat relativement similaire.

Toutes les nuits inventoriées ont ensuite été conservées pour l'analyse des données. Cette stratégie d'échantillonnage a permis de répondre aux exigences du protocole (MELCCFP, 2023a) pour la plupart des stations, c'est-à-dire qu'au minimum 40 heures d'enregistrement ont été analysées pour chaque demi-période de reproduction et de migration automnale. En fait, pour la majorité des stations, plus de 100 heures d'enregistrement par demi-période ont été analysées. En 2023, seules deux stations n'ont pas atteint le minimum de 40 h pour une demi-période d'inventaire. La station CS-01 n'a enregistré que 8 h de données durant la première demi-période de migration (16 août au 4 septembre). L'appareil est tombé de son support le lendemain de son installation, ce qui a interrompu la collecte de données jusqu'à la visite suivante. La station CS-11 a quant à elle eu seulement 9 h d'enregistrement pendant la deuxième demi-période de migration 2023 (4 au 25 septembre) à cause d'une infiltration d'eau qui a endommagé l'appareil.

En 2024, certains incidents ont été rapportés sur le terrain, mais le minimum de 40 h d'enregistrement par demi-période a tout de même pu être atteint pour chaque station. En effet, certaines cartes mémoires se sont avérées pleines pendant les saisons de dispersion printanière et de migration automnale, ce qui a entraîné l'arrêt de l'enregistrement à ces stations jusqu'au changement de cartes. Il est soupçonné que la présence d'anoures en abondance en avril 2024 et une période de fort vent en septembre 2024 ont contribué à la saturation précoce des cartes. Un problème de programmation a également causé l'arrêt des appareils pour un total de 19 jours pendant la période de dispersion 2024. Cependant, celle-ci s'étendant sur près de deux mois, plus de 100 h d'enregistrement par station ont tout de même pu être analysées.

En 2025, le minimum de 40 h d'enregistrement par demi-période a également pu être respecté pour toutes les stations, malgré quelques incidents. En effet, les cartes mémoires de 5 stations se sont avérées pleines pendant la saison de dispersion printanière, entraînant l'arrêt de l'enregistrement pour une période de 2 à 19 nuits selon les stations. De plus, la station CS-14 a été grandement endommagée par un animal lors de la saison de dispersion et a dû être remplacée ultérieurement. La station CS-14 a donc été active seulement entre le 12 et le 30 avril, avant d'être réinstallée le 18 juin. Finalement, la station CS-15 a également été endommagée par un animal au cours de la saison de dispersion, entraînant l'arrêt de l'enregistrement entre 28 mai et le 17 juin, avant d'être réparée sur le terrain le 18 juin. L'annexe C présente le nombre de nuits durant lesquelles chaque système a été actif et inactif, ainsi que les raisons de l'inactivité, le cas échéant, pour les trois années d'inventaire.

L'identification a ensuite été faite par comparaison entre les sonagrammes obtenus et les caractéristiques connues des cris d'écholocalisation de chacune des espèces (signatures sonores), à l'aide du programme *Kaleidoscope* (version 5.6.3), qui comporte un module d'identification automatisé. Le protocole du MELCCFP exige une validation manuelle de 30 % des cris de chiroptères. Cependant, puisque le site à l'étude est au nord de l'aire de répartition de la plupart des espèces de chauves-souris du Québec et donc que le nombre de données récoltées s'est avéré faible, tous les cris de chiroptères ont été validés manuellement. Cette validation a été effectuée par une équipe d'analystes dont l'expérience dans le domaine est reconnue par le MELCCFP et s'élève à plus de 25 ans.

Précisons que la méthode d'inventaire acoustique permet de distinguer efficacement sept des huit espèces de chauves-souris présentes au Québec. Il est pour l'instant impossible d'identifier la chauve-souris pygmée (*Myotis leibii*) à partir de ses émissions sonores puisque les caractéristiques de ces dernières sont peu connues. De plus, les informations actuellement disponibles concernant son cri suggèrent qu'il serait très similaire à ceux des autres espèces du genre *Myotis*, qui sont déjà rarement différentiables entre eux. Cependant, l'aire de distribution de cette espèce étant limitée à l'extrême sud du Québec (Jutras et coll., 2012), il ne s'agit pas d'une contrainte dans le cas présent.

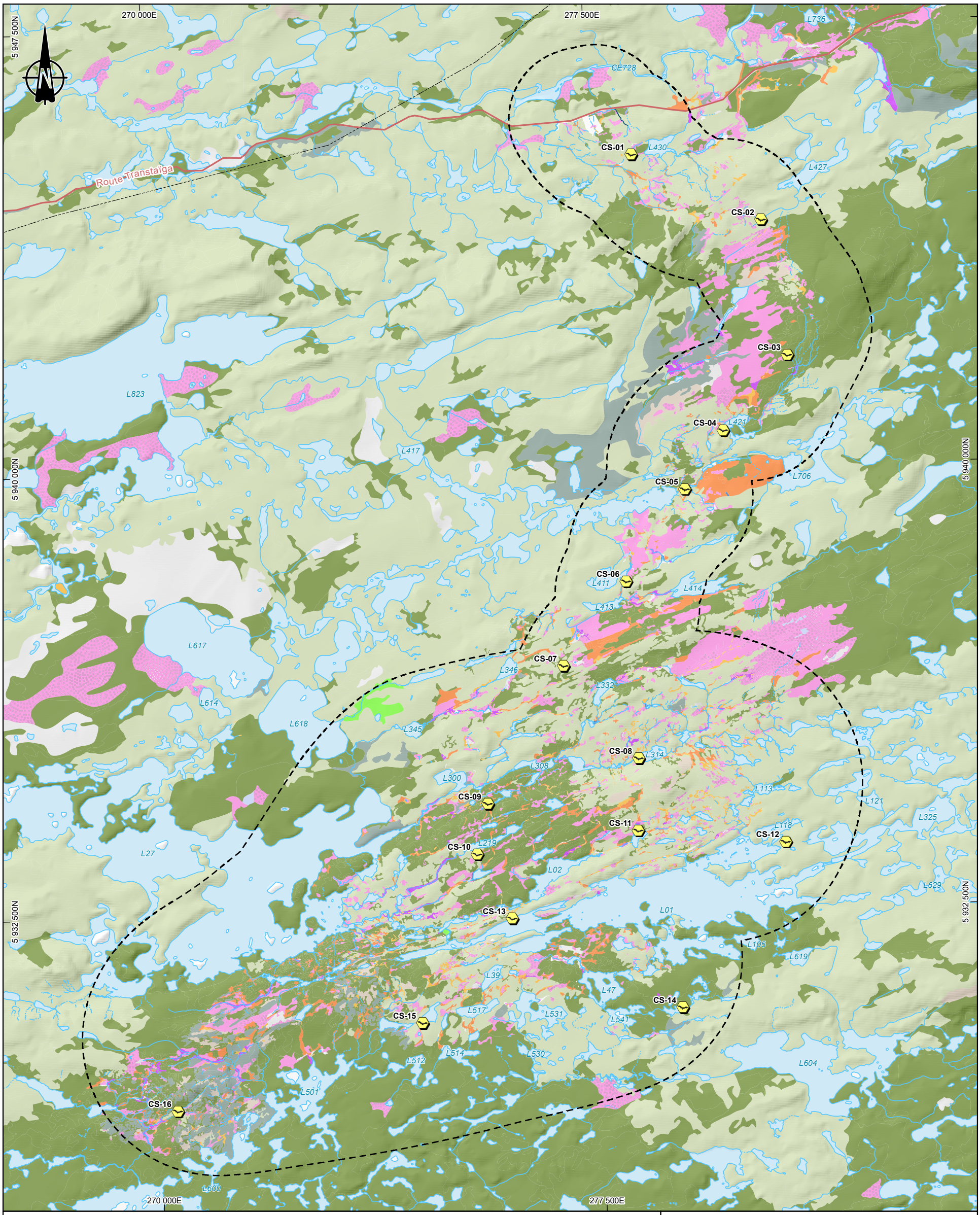

Zone d'inventaire / *Inventory area*

Chiroptères / *Chiroptera*

Station acoustique / *Acoustic station*

Composantes de l'écosystème / *Ecosystem Components*

Milieux humides et hydriques / *Wetlands and Hydrous Environnements*

- Marécage arborescent / *Treed swamp*
- Marécage arbustif / *Shrubby swamp*
- Tourbière minérotrophe boisée / *Treed fen*
- Tourbière minérotrophe ouverte / *Open fen*
- Tourbière ombrotrophe boisée / *Treed bog*
- Tourbière ombrotrophe ouverte / *Open bog*
- Marais / *Marsh*
- Eau peu profonde / *Shallow water*
- Plan d'eau / *Waterbody*

Cours d'eau / *Watercourse*

- Intermittent / *Intermitent*
- Permanent / *Permanent*
- Permanent partiellement souterrain / *Partially underground permanent*
- Permanent souterrain / *Underground permanent*
- Souterrain / *Underground*

Milieux terrestres / *Terrestrial Environments*

- Feuillu / *Deciduous*
- Mixte / *Mixed-wood*
- Résineux / *Softwood*
- Arbustaie / *Scrubland*
- Lande à lichens / *Lichen tundra*
- Régénération / *Regeneration*

Autre milieu / *Other Environment*

- Autre milieu / *Other Environment*

Infrastructures / *Infrastructures*

- Ligne de transport d'énergie / *Electric power transmission line*

Réseau routier / *Road Network*

- Collectrice / *Collector road*

Projet minier Shaakichiuwaanaan / *Shaakichiuwaanaan Mining Project*

Rapport sectoriel – Chiroptère / *Sectoral Report – Chiropteran*

Carte 2 / *Map 2*
Plan d'inventaire des chiroptères / *Chiroptera Inventory Plan*

Sources

BDGA, 1/1 000 000, MRN Québec, 2014
AQréseau+, réseau routier, MERN, 2024-03-01
Cartographie écologique de la végétation du Nord Québécois, MFFP, 2013
Géobase du réseau hydrographique du Québec (GRHQ), MELCC et MERN, 2021

0 650 1 300 m

NAD 1983 CSRS UTM Zone 18N

2025-11-10

Préparation / Preparation : J. Legros
Dessin / Drawing : V. Venne
Approbation / Approval : R. Duhamel
CA0001724_3318_eie_sc_chiroptere_251110.aprx
CA0001724_3318_eie_sc_ch_C02_039_PlanInv_251110

La précision des limites et les mesures montrées sur ce document ne doivent pas servir à des fins d'ingénierie ou de délimitation foncière. Aucune analyse foncière n'a été effectuée par un arpenteur-géomètre. / Boundary accuracy and measurements shown on this document are not intended for engineering or land delineation purposes. No land analysis has been performed by a land surveyor.

2.4 Recherche d'hibernacles

2.4.1 Analyse documentaire

Une analyse documentaire a été réalisée afin d'évaluer le potentiel de présence d'hibernacles dans la zone d'inventaire et dans un rayon de 1 km autour de celle-ci. Une attention particulière a été portée aux anciens sites miniers présents, à l'existence de travaux souterrains qui auraient pu occasionner la création de sites propices pour les chiroptères ainsi qu'à la présence de cavités naturelles pouvant être utilisées par ces animaux. Différentes sources documentaires ont été consultées, notamment :

- Le système d'information géominière (SIGÉOM) (Gouvernement du Québec, 2024a);
- La *Liste des sites miniers abandonnés* (Gouvernement du Québec, 2024b);
- Le site des *Gîtes métallifères du Québec* (Gouvernement du Québec, 2024c);
- Le document *Surveillance des maladies de la faune* (MELCCFP, 2023b);
- Le document *Évaluation préliminaire du potentiel des mines désaffectées et des cavités naturelles comme habitat hivernal des chauves-souris cavernicoles au Québec* (Gauthier et coll., 1995);
- Les photos aériennes et documents cartographiques disponibles pour la zone d'étude régionale.

2.4.2 Recherche sur le terrain

Des recherches sur le terrain, pour vérifier la présence éventuelle de cavités naturelles ou artificielles potentiellement utilisables comme hibernacle par les chiroptères ont eu lieu les 16, 17, 20 et 21 août, les 6 et 7 octobre 2023, ainsi que de façon opportuniste lors de chaque sortie terrain. Un survol de l'ensemble de la zone d'inventaire a aussi été réalisé lors de l'installation des appareils en 2023, afin de repérer les parois rocheuses ou les buttons rocheux à l'intérieur de celle-ci.

2.5 Recherche de maternités potentielles

Toutes les espèces de chauves-souris du Québec utilisent certaines structures arboricoles comme gîtes de repos diurne ou d'élevage des jeunes. Par ailleurs, certaines d'entre elles, telles que la petite chauve-souris brune et la chauve-souris nordique, toutes deux en voie de disparition selon l'annexe 1 de la *Loi sur les espèces en péril*, sont également susceptibles d'utiliser des structures rocheuses ou des bâtiments à cet effet (Tremblay et Jutras, 2010). Une recherche a par conséquent été effectuée afin de vérifier la présence de tels sites potentiels dans la zone d'inventaire.

Une première évaluation a été réalisée par analyse de photos aériennes et de documents cartographiques, afin de recenser la présence de structures anthropiques (bâtiments, caches de chasse, cabanons, etc.) qui pourraient être utilisées par les chiroptères. La cartographie de l'habitat préférentiel de reproduction des chiroptères (voir section 2.2) et un survol de la zone d'inventaire ont également permis d'identifier les secteurs les plus susceptibles d'abriter des structures naturelles utilisables par les chiroptères.

Ces sites ont ensuite été ciblés pour les activités de recherche et de validation de sites de maternité potentiels sur le terrain, qui se sont déroulées entre le 17 et le 21 aout 2023, ainsi que de façon opportuniste lors des autres sorties d'installation ou de suivi des appareils acoustique en 2023 et 2024. Cette seconde étape consistait à rechercher sur le terrain, durant la journée, les habitats de maternité potentiels. Afin de couvrir au mieux la zone d'inventaire, cette recherche a été effectuée dans l'environnement immédiat de chaque station acoustique.

Pour ce qui est des structures naturelles, les éléments recherchés étaient essentiellement les chicots ou arbres à cavités ayant un diamètre à hauteur de poitrine (DHP) assez important pour être utilisés par les chiroptères (Tremblay et Jutras, 2010). Ces critères, de même que la capacité de ces structures à retenir la chaleur (facteur essentiel pour une maternité) et l'observation éventuelle d'indices de présence des chiroptères, ont été utilisés pour évaluer leur potentiel comme sites de maternité. Les indices de présence de chiroptères peuvent être des bruits (grattement ou vocalisation) ou des fèces, appelées guano, qui sont généralement collés aux parois autour d'une ouverture utilisée par les chauves-souris. Le tableau 2 présente les quatre classes de potentiel utilisées, ainsi que les critères déterminants pour chacune d'entre elles.

Aucune structure permanente d'origine anthropique n'a été répertoriée sur le site. Les installations du camp minier situé à la pointe nord de la zone d'inventaire sont récentes et conçues pour en prévenir l'accès aux animaux. Leur potentiel d'accueillir une maternité a donc été jugé très faible, voire nul. Les installations n'ont par conséquent pas été inspectées plus en détail dans le cadre de la recherche de sites de maternité potentiels.

Tableau 2 Classification des catégories de potentiel de maternité pour chauve-souris (structure naturelle)

Classe de potentiel	Critère déterminant
Nul	Aucun point d'entrée de cavité disponible Aucune retenue de chaleur possible Aucune écorce soulevée Diamètre du chicot trop faible (< 30 cm)[a]
Faible	Entrée de cavité possible, mais peu accessible ou peu profonde (fond visible) Écorce soulevée, mais de petite dimension ou mince Cavité trop ouverte, donc perte de chaleur élevée Arbre peu exposé au soleil Diamètre du chicot optimal (> 30 cm)[a]
Moyen	Présence de cavité Présence d'écorce soulevée Potentiel de retenue de chaleur moyen (cavité profonde [fond invisible], mais ouverture large) Diamètre de chicot optimal (> 30 cm)[a] Arbre exposé au soleil
Élevé	Cavité pouvant bien retenir la chaleur (profonde [fond invisible] et de petite ouverture) Présence de grands pans d'écorce soulevée et épaisse Chicot à très grand diamètre Arbre présentant une grande exposition au soleil (toutes les directions ou minimalement une exposition au sud)

a : Notons que les arbres dans le nord du Québec atteignent rarement ce diamètre, ce paramètre est donc considéré avec précaution en milieu nordique.

3 Résultats

3.1 Revue de littérature et demande d'information

Selon les informations disponibles, trois des huit espèces de chauves-souris présentes au Québec sont susceptibles de fréquenter la zone d'étude régionale (Jutras et coll., 2012 ; ECCC, 2018 ; ERCSQ, 2019 ; ERCSQ, 2021) :

- la chauve-souris rousse;
- la petite chauve-souris brune;
- la chauve-souris nordique.

La base de données du CDPNQ ne mentionne pas la présence de chauves-souris dans ou à proximité de la zone d'étude régionale (CDPNQ, 2025). Une colonie estivale de chauves-souris, observée en 2001 dans un chalet se trouvant à environ 23 km à l'est du site, est mentionnée dans la base de données de *Chauves-souris aux abris* (Chauves-souris aux abris, 2025). De plus, un réseau de plusieurs dortoirs artificiels à chauve-souris, dont un est occupé par quelques individus, se trouve à environ 69 km au sud du site (Chauves-souris aux abris, 2025).

D'après le dernier bilan du *Réseau québécois d'inventaire acoustique de chauves-souris* (Réseau) (Desrosiers et Berthiaume, 2024), les données du Réseau récoltées dans la région du Nord-du-Québec entre 2003 et 2020 dans le secteur de Chibougamau, soit à environ 400 km au sud de la zone d'inventaire, ont démontré la présence de la grande chauve-souris brune (*Eptesicus fuscus*), des chauves-souris argentée (*Lasionycteris noctivagans*), cendrée (*Lasiurus cinereus*) et rousse, et des chauves-souris du genre *Myotis* (Desrosiers et Berthiaume, 2024).

Cependant, aucun projet industriel, minier ou autre disposant d'informations concernant les chiroptères n'a été trouvé dans la zone d'étude régionale.

3.2 Habitat préférentiel

La carte 3 présente l'habitat préférentiel de reproduction des chiroptères dans la zone d'inventaire et aux abords de celle-ci.

On remarque que l'habitat préférentiel de reproduction est distribué dans l'ensemble de la zone d'inventaire, avec des secteurs présentant une plus forte densité et des parcelles de plus grandes superficies, notamment au centre (stations CS-09, CS-10 et CS-11) et au sud de celle-ci (stations CS-14, CS-15 et CS-16), ainsi que sur la route d'hiver, entre les stations CS-02 et CS-04.

Il est également présent à l'extérieur de la zone d'inventaire, en particulier à l'est de la route d'hiver ainsi qu'au sud de la zone d'inventaire.

Il est à noter que la caractérisation des milieux naturels qui a été effectuée dans le cadre du projet augmente l'efficacité du repérage de cet habitat à l'intérieur de la zone d'inventaire, car elle fournit des informations plus précises que pour les milieux situés à l'extérieur de celle-ci.

3.3 Inventaire acoustique fixe

L'inventaire acoustique fixe a permis de confirmer la présence de cinq espèces et deux groupes d'espèces de chauves-souris identifiables par la méthodologie utilisée, pour un total de 35 passages en 2023, 220 passages en 2024 et 367 passages en 2025 enregistrés durant les nuits d'inventaire. Rappelons que seule la période de migration automnale a été inventoriée en 2023, ce qui explique les différences entre les années. Le tableau 3 présente les espèces identifiées et les pourcentages d'enregistrements qui leur sont associés pour chaque année d'inventaire.

Tableau 3 Espèces recensées et pourcentages respectifs pour les saisons 2023, 2024 et 2025

Espèce/Complexe	Pourcentage (%) des enregistrements		
	2023 (Migration automnale)	2024 (Dispersion, reproduction et migration automnale	2025 (Dispersion et reproduction
Complexe *Myotis*	2,9	5,5	2,2
Chauve-souris nordique	0	0,9	0
Grande chauve-souris brune	0	1,4	0
Complexe grande brune/argentée	0	0,5	0
Chauve-souris argentée	5,7	0	0,3
Chauve-souris cendrée	45,7	88,2	91,3
Chauve-souris rousse	11,4	0	3,0
Indéterminée	34,3	3,6	3,3

Certains sonagrammes ont été attribués à un complexe d'espèce (complexe du genre *Myotis* et complexe grande chauve-souris brune/chauve-souris argentée) lorsque les caractéristiques des enregistrements ne permettaient pas de faire une distinction précise entre les espèces. Au Québec, les enregistrements de chiroptères appartenant au complexe du genre *Myotis* regroupent généralement trois espèces dont les sonagrammes sont difficilement différenciables, soit la petite chauve-souris brune, la chauve-souris nordique et la chauve-souris pygmée de l'Est. Cette dernière espèce étant très rare et considérée absente de la région (Jutras et coll., 2012), les enregistrements recensés pour le genre *Myotis* proviennent *a priori* de la chauve-souris nordique et/ou de la petite chauve-souris brune. Ces deux espèces sont en voie de disparition au Canada selon l'annexe 1 de la *Loi sur les espèces en péril* (Gouvernement du Canada, 2025) et menacées au Québec selon la *Loi sur les espèces menacées ou vulnérables* (Gouvernement du Québec, 2025).

Par ailleurs, certains des enregistrements de chiroptères n'ont pu être identifiés au niveau de l'espèce (« indéterminée »), soit parce qu'ils étaient trop courts, soit parce que leurs caractéristiques ne permettent pas de décider entre une espèce ou une autre. Ce type d'évènement étant indépendant de l'espèce, la distribution de ces indéterminées entre les différentes espèces de chauves-souris suivrait, *a priori*, la même distribution que les enregistrements identifiés à l'espèce.

La chauve-souris cendrée est de loin l'espèce dominante pour chaque année d'inventaire. Par ailleurs, en plus des cris d'écholocalisation utilisés pour évaluer son abondance relative, de nombreux enregistrements de cris sociaux ont été récoltés pour cette espèce à certaines stations, notamment en période de migration automnale. Cependant, la chauve-souris cendrée est pour l'instant la seule espèce au Québec dont les cris sociaux sont identifiables et la fonction de ces

cris est encore peu documentée. Par conséquent, ces données n'ont pas été prises en compte pour estimer l'activité des chiroptères, afin de ne pas biaiser les comparaisons entre les abondances relatives des différentes espèces.

Les chauves-souris cendrée, argentée et rousse ont récemment été évaluées comme étant en voie de disparition par le Comité sur la situation des espèces en péril au Canada (COSEPAC, 2023), bien que ces espèces ne soient pas encore incluses dans l'annexe 1 de la *Loi sur les espèces en péril* (Gouvernement du Canada, 2025). Au Québec, les chauves-souris cendrée et argentée sont susceptibles d'être désignées comme menacées ou vulnérables, alors que la chauve-souris rousse est considérée comme vulnérable (Gouvernement du Québec, 2025).

Afin de faciliter les comparaisons, l'abondance relative des différentes espèces à chaque station a été exprimée en nombre de passages par nuit. Les données exprimées en nombre de passage par heure sont présentées à l'annexe D. Les tableaux 4 à 9 synthétisent les résultats obtenus lors des inventaires acoustiques de 2023, 2024 et 2025 pour chaque période (dispersion/migration printanière, reproduction estivale, migration automnale/essaimage) et précisent les espèces recensées ainsi que le nombre de passages par nuit pour chaque espèce. Globalement, les niveaux d'activité enregistrés pour les différentes espèces de chiroptères se sont avérés très faibles, malgré un effort d'inventaire important (4 516 nuits-station). Par conséquent, les comparaisons entre stations et entre périodes sont à considérer avec précaution.

3.3.1 Dispersion et migration printanière

3.3.1.1 Saison 2024

Une espèce et un complexe d'espèces sont représentés durant la période de dispersion et migration printanière 2024, soit les espèces du genre *Myotis* et la chauve-souris cendrée. Un total de cinq passages a été récolté durant cette période, quatre d'entre eux étant attribuables à la chauve-souris cendrée. La station CS-01 a récolté la majorité des cris alors que les stations CS-05 et CS-06 ont enregistré chacune un passage (tableau 4). Les espèces résidentes représentent seulement 20 % des enregistrements, contre 80 % pour les migratrices.

Les stations CS-01, CS-05 et CS-06 sont toutes situées près de la route d'hiver qui, du fait de son déboisement, constitue un corridor de déplacement nord-sud potentiellement intéressant pour les chauves-souris en période de migration. De plus, ces trois stations sont situées en bordure de lacs et de pessières; la matrice d'habitat y est donc favorable à l'alimentation et au déplacement des chiroptères. Cependant, l'activité est somme toute faible en période de dispersion et migration printanière 2024 avec, en moyenne, 0,06 passage par nuit et par station.

3.3.1.2 Saison 2025

Seulement un passage de chauve-souris cendrée a été enregistré à la station CS-09 pendant la saison de dispersion et migration printanières 2024 (tableau 5). L'activité est donc très faible, avec en moyenne 0,02 passage par nuit et par station. Les espèces migratrices représentent donc 100 % des enregistrements.

Les faibles nombres de passages recueillis en 2024 et 2025 lors de cette période suggèrent que la majorité des chauves-souris arrivent sur le site plus tard dans la saison, soit après le 15 juin, qui marque la fin de la période de dispersion et le début de la période de reproduction. La présence d'un hibernacle à proximité de l'une ou l'autre des stations est donc très peu probable.

3.3.2 Reproduction

3.3.2.1 Saison 2024

L'ensemble des espèces et complexes d'espèces recensés est représenté durant cette période, à l'exception des chauves-souris argentée et rousse. Au total, 167 passages ont été récoltés. La chauve-souris cendrée domine largement cette période, comptant pour 90 % des enregistrements, et toutes les stations ont été fréquentées par l'une ou l'autre des espèces présentes. Si on exclut les indéterminées et le complexe grande chauve-souris brune/chauve-souris argentée, puisqu'il inclut une espèce résidente et une espèce migratrice, les espèces résidentes représentent seulement 8,0 % des enregistrements contre 92,0 % pour les migratrices.

La station CS-01 a enregistré la plus forte activité de chauves-souris avec 0,41 passage par nuit. Cependant, sa fréquentation n'a pas été beaucoup plus élevée que celle des autres stations (0,07 à 0,31 passage par nuit; tableau 6). En moyenne, on compte 0,18 passage par nuit et par station.

3.3.2.2 Saison 2025

L'ensemble des espèces et le complexe d'espèces recensés pendant l'inventaire de 2025 sont représentés durant cette période. Au total, 366 passages ont été récoltés. La chauve-souris cendrée domine largement cette période, comptant pour 91 % des enregistrements, presque exactement comme en 2024, et toutes les stations ont été fréquentées par l'une ou l'autre des espèces recensées (tableau 7). Si on exclut les indéterminées, les espèces résidentes représentent seulement 2,3 % des enregistrements contre 97,7 % pour les migratrices.

La station CS-04 a enregistré la plus forte activité de chauves-souris, avec 1,15 passage par nuit suivi par les stations CS-15 et CS-16, avec 0,86 et 0,80 passages par nuit respectivement (tableau 7). Notons également qu'une augmentation de nombre de passages par nuit a été observée à presque toutes les stations entre 2024 et 2025. En moyenne, on compte 0,392 passage par nuit et par station en 2025, soit deux fois plus qu'en 2024. Cependant, malgré l'activité plus forte enregistrée à la station CS-04 en 2025 et l'augmentation de l'activité globale sur le site entre 2024 et 2025, le nombre de passages par nuit et par station reste très faible.

Tableau 4 Synthèse des résultats obtenus (passages/nuit) – Dispersion et migration printanière 2024

Espèce/Complexe	Station																
	CS-01	CS-02	CS-03	CS-04	CS-05	CS-06	CS-07	CS-08	CS-09	CS-10	CS-11	CS-12	CS-13	CS-14	CS-15	CS-16	Total
Complexe *Myotis**	0	0	0	0	0,02	0	0	0	0	0	0	0	0	0	0	0	**0,02**
Chauves-souris nordique	0	0	0	0	0	0	0	0	0	0	0	0	0	0	0	0	**0**
Grande chauves-souris brune	0	0	0	0	0	0	0	0	0	0	0	0	0	0	0	0	**0**
Complexe grande brune/argentée	0	0	0	0	0	0	0	0	0	0	0	0	0	0	0	0	**0**
Chauves-souris argentée	0	0	0	0	0	0	0	0	0	0	0	0	0	0	0	0	**0**
Chauve-souris cendrée	0,12	0	0	0	0	0,03	0	0	0	0	0	0	0	0	0	0	**0,15**
Chauve-souris rousse	0	0	0	0	0	0	0	0	0	0	0	0	0	0	0	0	**0**
Indéterminée	0	0	0	0	0	0	0	0	0	0	0	0	0	0	0	0	**0**
Nombre moyen de passages/nuit	**0,12**	**0**	**0**	**0**	**0,02**	**0,03**	**0**	**0**	**0**	**0**	**0**	**0**	**0**	**0**	**0**	**0**	**0,17**
Écart-type	**0,43**	**0**	**0**	**0**	**0,15**	**0,17**	**0**	**0**	**0**	**0**	**0**	**0**	**0**	**0**	**0**	**0**	**0,11**

Tableau 5 Synthèse des résultats obtenus (passages/nuit) – Dispersion et migration printanière 2025

Espèce/Complexe	Station																
	CS-01	CS-02	CS-03	CS-04	CS-05	CS-06	CS-07	CS-08	CS-09	CS-10	CS-11	CS-12	CS-13	CS-14	CS-15	CS-16	Total
Complexe *Myotis**	0	0	0	0	0	0	0	0	0	0	0	0	0	0	0	0	**0**
Chauves-souris nordique	0	0	0	0	0	0	0	0	0	0	0	0	0	0	0	0	**0**
Grande chauves-souris brune	0	0	0	0	0	0	0	0	0	0	0	0	0	0	0	0	**0**
Complexe grande brune/argentée	0	0	0	0	0	0	0	0	0	0	0	0	0	0	0	0	**0**
Chauves-souris argentée	0	0	0	0	0	0	0	0	0	0	0	0	0	0	0	0	**0**
Chauve-souris cendrée	0	0	0	0	0	0	0	0	0,02	0	0	0	0	0	0	0	**0,02**
Chauve-souris rousse	0	0	0	0	0	0	0	0	0	0	0	0	0	0	0	0	**0**
Indéterminée	0	0	0	0	0	0	0	0	0	0	0	0	0	0	0	0	**0**
Nombre moyen de passages/nuit	**0**	**0**	**0**	**0**	**0**	**0**	**0**	**0**	**0,02**	**0**	**0**	**0**	**0**	**0**	**0**	**0**	**0,02**
Écart-type	**0**	**0**	**0**	**0**	**0**	**0**	**0**	**0**	**0,13**	**0**	**0**	**0**	**0**	**0**	**0**	**0**	**0,03**

Tableau 6 Synthèse des résultats obtenus (passages/nuit) – Reproduction 2024

Espèce/Complexe	Station																
	CS-01	CS-02	CS-03	CS-04	CS-05	CS-06	CS-07	CS-08	CS-09	CS-10	CS-11	CS-12	CS-13	CS-14	CS-15	CS-16	Total
Complexe *Myotis**	0,02	0	0	0	0,02	0	0,02	0	0,02	0	0	0,02	0,02	0	0,03	0	**0,14**
Chauves-souris nordique	0	0	0	0,02	0	0	0	0	0	0,02	0	0	0	0	0	0	**0,03**
Grande chauves-souris brune	0	0	0,02	0,02	0	0	0	0	0	0	0,02	0	0	0	0	0	**0,05**
Complexe grande brune/argentée	0	0	0	0	0	0	0	0	0	0	0	0,02	0	0	0	0	**0,02**
Chauve-souris argentée	0	0	0	0	0	0	0	0	0	0	0	0	0	0	0	0	**0**
Chauve-souris cendrée	0,39	0,07	0,16	0,13	0,16	0,18	0,05	0,21	0,20	0,18	0,18	0,07	0,08	0,22	0,21	0,10	**2,59**
Chauves-souris rousse	0	0	0	0	0	0	0	0	0	0	0	0	0	0	0	0	**0**
Indéterminée	0	0	0	0	0	0	0	0	0	0	0	0	0	0,08	0	0	**0,08**
Nombre moyen de passages/nuit	**0,41**	**0,07**	**0,18**	**0,16**	**0,18**	**0,18**	**0,07**	**0,21**	**0,22**	**0,20**	**0,20**	**0,10**	**0,10**	**0,31**	**0,25**	**0,10**	**2,91**
Écart-type	**1,90**	**0,51**	**0,70**	**0,52**	**0,62**	**0,50**	**0,31**	**0,61**	**0,73**	**0,63**	**0,63**	**0,35**	**0,57**	**0,86**	**0,65**	**0,40**	**0,74**

Tableau 7 Synthèse des résultats obtenus (passages/nuit) – Reproduction 2025

Espèce/Complexe	Station																
	CS-01	CS-02	CS-03	CS-04	CS-05	CS-06	CS-07	CS-08	CS-09	CS-10	CS-11	CS-12	CS-13	CS-14	CS-15	CS-16	Total
Complexe *Myotis**	0	0	0	0	0	0	0	0	0	0,02	0	0	0,02	0	0,11	0	**0,14**
Chauves-souris nordique	0	0	0	0	0	0	0	0	0	0	0	0	0	0	0	0	**0**
Grande chauves-souris brune	0	0	0	0	0	0	0	0	0	0	0	0	0	0	0	0	**0**
Complexe grande brune/argentée	0	0	0	0	0	0	0	0	0	0	0	0	0	0	0	0	**0**
Chauve-souris argentée	0	0	0	0	0	0	0	0	0,02	0	0	0	0	0	0	0	**0,02**
Chauve-souris cendrée	0,69	0,27	0,20	1,12	0,29	0,20	0,05	0,27	0,14	0,12	0,51	0,03	0,47	0,36	0,73	0,25	**5,72**
Chauves-souris rousse	0,07	0	0,02	0,02	0,02	0	0	0,02	0	0	0,02	0,03	0	0	0	0	**0,19**
Indéterminée	0,03	0,02	0,02	0,02	0	0	0	0,05	0	0	0,03	0,02	0	0	0,02	0	**0,20**
Nombre moyen de passages/nuit	**0,80**	**0,29**	**0,24**	**1,15**	**0,31**	**0,20**	**0,05**	**0,34**	**0,15**	**0,14**	**0,56**	**0,08**	**0,49**	**0,36**	**0,86**	**0,25**	**6,27**
Écart-type	**2,54**	**1,26**	**0,73**	**5,17**	**0,75**	**0,52**	**0,29**	**0,86**	**0,52**	**0,57**	**1,56**	**0,38**	**1,44**	**1,02**	**1,82**	**0,84**	**1,73**

3.3.3 Migration automnale

3.3.3.1 Saison 2023

L'ensemble des espèces et complexes d'espèces recensés est représenté durant cette période, à l'exception du complexe grande chauve-souris brune/chauve-souris argentée, de la chauve-souris nordique et de la grande chauve-souris brune. Un total de 35 passages a été récolté durant cette période, et la chauve-souris cendrée est encore une fois l'espèce dominante avec 46 % des enregistrements récoltés. Dans l'ordre, les stations CS-13, CS-09 et CS-14 ont été les plus fréquentées, mais plusieurs stations n'ont enregistré aucune activité (tableau 8). Si on exclut les indéterminées, les espèces résidentes représentent seulement 4,3 % des enregistrements contre 95,7 % pour les migratrices en période de reproduction 2024.

Les stations CS-13, CS-09 et CS-14 sont toutes situées en bordure de lac et de pessières, ce qui offre des habitats riverains intéressants pour l'alimentation et le déplacement des chauves-souris. Somme toute, le niveau d'activité était faible, avec en moyenne 0,10 passages par nuit par station pendant la période de migration 2023.

Par ailleurs, bien que ceux-ci n'aient pas été pris en compte dans l'évaluation de l'activité, conformément au protocole (MELCCFP, 2023a), les cris sociaux de chauves-souris cendrées représentaient 89,0 % des enregistrements récoltés durant cette période et ont été enregistrés en plus grand nombre aux stations CS-16, CS-09 et CS-14. Il est intéressant de constater que si les stations CS-09 et CS-14 sont deux des trois stations où l'activité des chiroptères a été la plus importante, la station CS-16 n'a pour sa part enregistré une activité beaucoup plus faible, avec seulement 0,07 passage par nuit, alors que c'est à cette station que le plus grand nombre de cris sociaux a été récolté. Ainsi, le nombre de cris sociaux ne serait pas nécessairement proportionnel à l'activité des chiroptères, telle que mesurée selon le protocole en vigueur (MELCCFP, 2023a).

3.3.3.2 Saison 2024

Seules les espèces du genre *Myotis* et la chauve-souris cendrée sont représentées durant la période de migration 2024. Un total de 48 passages a été récolté pendant cette période, également dominée par la chauve-souris cendrée. La station CS-14 a enregistré la plus forte activité en migration automnale 2024, avec en moyenne 0,56 passage par nuit (tableau 9). Cette station était d'ailleurs aussi parmi les plus fréquentées en période de migration 2023. Elle a aussi enregistré la plus forte concentration de cris sociaux de chauves-souris cendrées. Comme c'était le cas en période de migration 2023, plusieurs stations n'ont enregistré aucune activité des chiroptères, la plupart étant les mêmes d'une année à l'autre. Si on exclut les indéterminées, les espèces résidentes représentent 7,0 % des enregistrements contre 93,0 % pour les migratrices en période de reproduction 2024.

Le niveau moyen d'activité par station en période de migration automnale 2024 (0,14 passage par nuit par station) est faible et comparable à celui observé en 2023 pour la même période (0,10 passage par nuit par station). Par ailleurs, la presque totalité des stations a connu une baisse de fréquentation en période de migration 2024, par rapport à la période de reproduction de cette même année. Seule la station CS-14 a vu l'activité des chiroptères augmenter entre ces deux périodes, passant de 0,31 à 0,56 passages par nuit, mais cette augmentation est trop faible pour suggérer la présence à proximité d'un corridor de migration utilisé par les chiroptères.

Tableau 8 Synthèse des résultats obtenus (passages/nuit) –Migration automnale 2023

Espèce/Complexe	Station																
	CS-01	CS-02	CS-03	CS-04	CS-05	CS-06	CS-07	CS-08	CS-09	CS-10	CS-11	CS-12	CS-13	CS-14	CS-15	CS-16	Total
Complexe *Myotis**	0	0	0	0	0	0	0	0	0	0	0	0	0,02	0	0	0	**0,02**
Chauves-souris nordique	0	0	0	0	0	0	0	0	0	0	0	0	0	0	0	0	**0**
Grande chauves-souris brune	0	0	0	0	0	0	0	0	0	0	0	0	0	0	0	0	**0**
Complexe grande brune/argentée	0	0	0	0	0	0	0	0	0	0	0	0	0	0	0	0	**0**
Chauve-souris argentée	0	0	0	0	0	0	0	0	0,02	0	0	0	0	0,02	0	0	**0,05**
Chauve-souris cendrée	0	0	0	0,05	0	0,02	0	0	0	0	0	0	0,24	0	0,02	0,05	**0,39**
Chauve-souris rousse	0	0	0	0	0	0	0	0	0	0	0	0	0	0,10	0	0	**0,10**
Indéterminée	0,08	0	0	0	0	0	0	0	0,17	0	0	0,02	0	0,05	0	0,02	**0,35**
Nombre moyen de passages/nuit	**0,08**	**0**	**0**	**0,05**	**0**	**0,02**	**0**	**0**	**0,20**	**0**	**0**	**0,02**	**0,27**	**0,17**	**0,02**	**0,07**	**0,91**
Écart-type	**0,29**	**0**	**0**	**0,22**	**0**	**0,16**	**0**	**0**	**0,50**	**0**	**0**	**0,16**	**1,12**	**0,65**	**0,16**	**0,26**	**0,38**

Tableau 9 Synthèse des résultats obtenus (passages/nuit) –Migration automnale 2024

Espèce/Complexe	Station																
	CS-01	CS-02	CS-03	CS-04	CS-05	CS-06	CS-07	CS-08	CS-09	CS-10	CS-11	CS-12	CS-13	CS-14	CS-15	CS-16	Total
Complexe *Myotis**	0,05	0	0	0	0	0	0	0	0	0	0	0	0	0	0,03	0	**0,08**
Chauves-souris nordique	0	0	0	0	0	0	0	0	0	0	0	0	0	0	0	0	**0**
Grande chauves-souris brune	0	0	0	0	0	0	0	0	0	0	0	0	0	0	0	0	**0**
Complexe grande brune/argentée	0	0	0	0	0	0	0	0	0	0	0	0	0	0	0	0	**0**
Chauve-souris argentée	0	0	0	0	0	0	0	0	0	0	0	0	0	0	0	0	**0**
Chauve-souris cendrée	0	0	0	0,12	0,07	0,05	0	0	0	0,07	0	0	0,13	0,49	0,06	0,04	**1,03**
Chauve-souris rousse	0	0	0	0	0	0	0	0	0	0	0	0	0	0	0	0	**0**
Indéterminée	0	0	0	0	0	0	0	0	0	0,02	0	0	0,03	0,07	0	0	**0,13**
Nombre moyen de passages/nuit	**0,05**	**0**	**0**	**0,12**	**0,07**	**0,05**	**0**	**0**	**0**	**0,10**	**0**	**0**	**0,16**	**0,56**	**0,09**	**0,04**	**1,24**
Écart-type	**0,31**	**0**	**0**	**0,40**	**0,26**	**0,22**	**0**	**0**	**0**	**0,37**	**0**	**0**	**0,57**	**1,07**	**0,29**	**0,20**	**0,39**

3.4 Recherche d'hibernacles

3.4.1 Analyse documentaire

Pour qu'une cavité puisse permettre l'hibernation de chiroptères, celle-ci doit offrir, tout l'hiver, des conditions de température minimale (au-dessus du point de congélation) et d'humidité propice. Ce microclimat dépend principalement du climat régional et de l'architecture particulière de la cavité. De telles cavités ne doivent évidemment pas être inondées en totalité. Elles peuvent être d'origine anthropique (p. ex. ouverture minière) ou naturelle (p. ex. grotte ou abris sous roche) (Gauthier et coll., 1995).

À l'heure actuelle, seuls deux hibernacles sont connus dans la région Nord-du-Québec, l'un au nord de Lebel-sur-Quévillon (environ 500 km au sud-ouest du site d'étude) et l'autre près de Chibougamau (environ 400 km au sud du site d'étude). Ainsi, aucun hibernacle connu n'est situé à proximité du site minier à l'étude.

3.4.1.1 Ouverture minière

La présence d'ouvertures minières (mines actives ou fermées, exploration minière souterraine) a été recherchée à proximité du site à l'étude. Selon les données obtenues de SIGÉOM, du site des *Gîtes métallifères du Québec* et de la *carte des mines active et en maintenance du Québec* (Gouvernement du Québec, 2024a, 2024b et 2024c), aucune intervention humaine n'aurait créé des ouvertures propices pour un hibernacle à chauves-souris près de la zone d'inventaire. En effet, la plupart des travaux réalisés sur les différents claims miniers dans les environs n'étaient que des travaux d'explorations ou de forage.

Selon le document *Évaluation préliminaire du potentiel des mines désaffectées et des cavités naturelles comme habitat hivernal des chauves-souris cavernicoles au Québec* (Gauthier et coll., 1995), deux mines désaffectées ou cavités d'intérêt spéléologique ont le potentiel d'être utilisées comme hibernacles par les chiroptères dans la région administrative du Nord-du-Québec, soit une avec un potentiel incertain et l'autre avec un potentiel probablement nul. Toutefois, aucun de ces sites miniers n'est situé dans la zone d'inventaire ni à proximité.

3.4.1.2 Cavité d'origine naturelle

Aucune cavité spéléologique ayant le potentiel d'être un hibernacle à chauve-souris n'a été rapportée dans la région administrative de Eeyou Istchee Baie-James lors de l'évaluation préliminaire du potentiel des mines désaffectées et des cavités naturelles comme habitat hivernal des chauves-souris cavernicoles au Québec (Gauthier et coll., 1995). La zone d'inventaire présente néanmoins un certain potentiel de présence d'affleurements rocheux (MRNF, 2023).

Cependant, il serait très peu probable de retrouver un hibernacle à chauves-souris dans une cavité naturelle, ou encore un ancien site minier s'il en existait à proximité, étant donné que la température moyenne annuelle à cette latitude se trouve en dessous du point de congélation. En effet, les hibernacles comprennent généralement des sections où la température est comprise entre 2 et 10 °C (ECCC, 2018), ce qui ne peut normalement se rencontrer qu'au sud de la limite à laquelle la température moyenne annuelle est au-dessus de 0 °C.

3.4.2 Inventaire et recherche active sur le terrain

Bien qu'il soit peu probable de retrouver un hibernacle dans la zone d'inventaire, 12 affleurements rocheux présents sur le site ont tout de même été visités sur le terrain afin d'évaluer le potentiel de présence d'une chambre pouvant accueillir une population hibernante de chauve-souris. En effet, avec les changements climatiques, il est probable que les conditions dans le nord du Québec deviennent favorables à la présence d'hibernacle dans le futur. Un affleurement rocheux contenant une chambre pourrait donc devenir intéressant pour les chauves-souris. De plus, les structures rocheuses présentant des fentes ou des cavités peuvent être utilisées comme gîte diurne ou maternité par certaines espèces de chauves-souris, notamment par les espèces du genre *Myotis* (Tremblay et Jutras, 2010) dont la présence a été confirmée dans la zone d'inventaire. Le tableau 10 présente les affleurements rocheux visités ainsi que le potentiel de présence de chambres. Des photos de certains sites typiques sont présentées à l'annexe B (photos 33 à 36) et la carte 3 indique l'emplacement de ces sites.

Tableau 10 Sites rocheux et potentiel d'utilisation comme hibernacles

Site	Description	Potentiel de présence d'une chambre	Coordonnées
HIB001	Button rocheux dans un ancien brulis avec îlots de pessières à proximité et entouré de lacs, roche peu friable.	Faible	53,520289 -73,939873
HIB002	Grande paroi rocheuse exposée sud en bordure de lac, quelques fentes profondes dans la roche.	Faible	53,523962 -73,933740
HIB003	Paroi rocheuse exposée sud avec plusieurs fentes dans la roche atteignant plus de 20 cm de profondeur	Nul	53,540776 -73,863277
HIB004	Même paroi que HIB003, plusieurs fentes profondes dans la roche.	Faible	53,541010 -73,863252
HIB005	Petites parois rocheuses face à un brulis, pas de fentes ni de cavités observées.	Nul	53,541504 -73,862503
HIB006	Grande paroi rocheuse exposée sud, roche très friable, quelques fentes peu profondes, et présence d'une ouverture d'au moins 1 m de profondeur semblant donner sur une ouverture plus large.	Bon	53,544509 -73,865816
HIB007	Paroi rocheuse exposée sud avec grandes fentes peu profondes, pas d'indice de présence d'une chambre.	Faible	53,539195 -73,866406
HIB008	Longue paroi rocheuse, quelques fentes peu profondes	Faible	53,534646 -73,885551
HIB009	Grand button rocheux à quelques kilomètres de la zone d'inventaire dans une pessière vallonneuse et clairsemée, quelques fentes superficielles.	Faible	53,515121 -74,053758
HIB010	Grand button rocheux à quelques kilomètres de la zone d'inventaire dans une pinède clairsemée, parois très hautes, mais aucune fente ou cavité potentielle sur la face sud.	Faible	53,521003 -74,079146
HIB011	Petite paroi rocheuse exposée au sud en bordure de lac, quelques fentes superficielles seulement,	Faible	53,520202 -73,945337
HIB012	Secteur avec plusieurs amoncellements de roche dans une pessière, une paroi trouvée avec présence de roche concassée et une ouverture potentiellement profonde exposée au nord.	Moyen	53,521838 -73,947664

3.5 Recherche de maternités potentielles

Au total, 29 sites de maternité potentielle d'origine naturelle ont été observés au cours des activités de recherche diurne. Parmi ces sites, 2 ont été jugés à potentiel élevé d'utilisation par les chiroptères, 9 à potentiel moyen, 12 à faible potentiel et 6 à potentiel nul. Les sites de maternité potentielle d'origine naturelle étaient principalement composés de chicots. Le tableau 11 présente les sites de maternité avec un potentiel, élevé, moyen et faible. Des photos de certains sites typiques sont présentées à l'annexe B (photos 37 à 42) et la carte 3 présente l'emplacement de ces sites.

Tableau 11 Sites de maternités arboricoles potentielles

Sites	Description	Potentiel de maternité	Coordonnées
MAT001	Chicot creux (15 cm DHP), fentes profondes orientées sud et lambeaux d'écorce soulevée, bien exposé.	Moyen	53,534450 -73,866471
MAT002	Grand chicot (20 cm DHP), lambeaux d'écorces qui semblent se détacher à quelques endroits, bien exposé.	Faible	53,587956 -73,887413
MAT003	Chicots (15 cm DHP), plusieurs petites fentes peu profondes, l'écorce s'effritent en grandes lanières.	Faible	53,587565 -73,886924
MAT004	Grand chicot (20 cm DHP), plusieurs grands lambeaux d'écorce soulevée, bien exposé.	Moyen	53,597733 -73,879219
MAT005	Chicot (15 cm), grande lanière de bois se décollant du tronc, bien exposé.	Moyen	53,5869597 -73,886430
MAT007	Chicot (15 cm), grande lanière d'écorce se décollant du tronc, bien exposé.	Faible	53,586500 -73,887821
MAT008	Chicot (10 cm DHP), quelques lambeaux d'écorce soulevée, des branches bloquent l'accès au tronc, bien exposé.	Faible	53,515892 -73,918109
MAT009	Chicot (15 cm DHP), fentes et lambeaux d'écorce partiellement soulevée orientés sud, bien exposé.	Faible	53,515944 -73,918203
MAT010	Chicot (15 cm DHP), grands lambeaux d'écorce soulevée orientés sud, mais encore assez serrée sur le tronc, bien exposé.	Faible	53,515581 -73,918816
MAT012	Chicot (20 cm DHP), lambeaux d'écorce partiellement soulevée en hauteur, moyennement exposé.	Moyen	53,515116 -73,920040
MAT013	Chicot (20 cm DHP), grands lambeaux d'écorce soulevée orientés sud.	Moyen	53,514777 -73,919916
MAT014	Chicot (20 cm DHP), fentes et lambeaux d'écorce soulevée orientés ouest, bien exposé.	Moyen	53,513571 -73,922123
MAT015	Chicot (25 cm DHP), grandes fentes orientées sud (environ 5 cm de profondeur), plusieurs lambeaux d'écorce soulevée, bien exposé.	Moyen	53,513847 -73,924061
MAT016	Chicot (20 cm DHP), grands lambeaux d'écorce soulevée orientés sud, bien exposé	Moyen	53,515608 -73,928554
MAT017	Chicot (15 cm DHP), grands lambeaux d'écorce serrés sur le tronc, mais surtout exposés vers le nord.	Faible	53,539516 -73,863501
MAT018	Chicot (20 cm DHP), grandes fentes orientées sud et sud-est, bien exposé.	Faible	53,57329277 -73,90332786
MAT019	Chicot, lambeaux de bois se décollant du tronc, mais encore très serrés sur l'arbre, typique des chicots vus dans le secteur, bien exposé.	Faible	53,56692529 -73,9611663
MAT023	Chicot (15 cm DHP), grandes fentes creuses, moyennement exposé.	Faible	53,56272742 -73,95712477
MAT024	Chicot potentiellement creux (20 cm DHP), cavité profonde de 5 cm de diamètre à environ 2 m du sol et orientée sud, bien exposé.	Moyen	53,5618782 -73,95938278
MAT025	Chicot creux (25 cm DHP), cavité orientée sud de 7 cm de diamètre à environ 4 m du sol, bien exposé.	Élevé	53,55879903 -73,9620694

Sites	Description	Potentiel de maternité	Coordonnées
MAT027	Secteur avec plusieurs chicots (moyenne 15 cm DHP), lanières de bois et d'écorce se décollant du tronc, bien exposé.	Élevé	53,53527994 -73,88434501
MAT028	Chicot (25 cm DHP), grands lambeaux d'écorce se décollant, cavité orientée ouest de 5 cm de diamètre à 5 m du sol, des branches bloquent l'accès au tronc, bien exposé.	Faible	53,53551411 -73,88339977
MAT029	Chicot (20 cm DHP), grandes lanières d'écorce soulevée orientées sud, des branches bloquent l'accès au tronc, bien exposé.	Faible	53,51503643 -74,04506312

Par ailleurs, mentionnons que certains sites d'hibernacle potentiel répertoriés à la section précédente pourraient aussi être considérés comme des sites de maternité potentiels. En effet, plusieurs espèces, comme les chauves-souris du genre *Myotis* ou la grande chauve-souris brune, peuvent utiliser des structures rocheuses, telles que celles mentionnées dans le tableau 10, comme gîtes de maternités (Tremblay et Jutras, 2010).

Par ailleurs, le potentiel de présence de maternité évalué dans l'environnement immédiat de chaque station acoustique fixe était nul ou faible pour la plupart des stations, à l'exception des stations CS-12, CS-13, CS-04 et CS-01 qui ont un potentiel moyen. En effet, la station CS-12 est localisée dans un brulis avec plusieurs chicots de grandes tailles. Les stations CS-04 et CS-01 sont quant à elles dans des secteurs forestiers, mais plusieurs chicots ont été observés. Finalement, la station CS-13 est située près d'une paroi rocheuse qui, si elle présente des cavités intéressantes, pourrait être utilisée comme maternité.

Aucun indice physique de présence de chauves-souris (guano) n'a été observé et aucun signe sonore (grattements ou cris) n'a été entendu lors de l'évaluation diurne du potentiel des sites de maternités. Précisons que plusieurs autres chicots ont été observés sur le site, mais tous étaient de petite taille ou avec une mauvaise exposition au soleil, et leur potentiel d'héberger une maternité de chiroptères a été jugé nul.

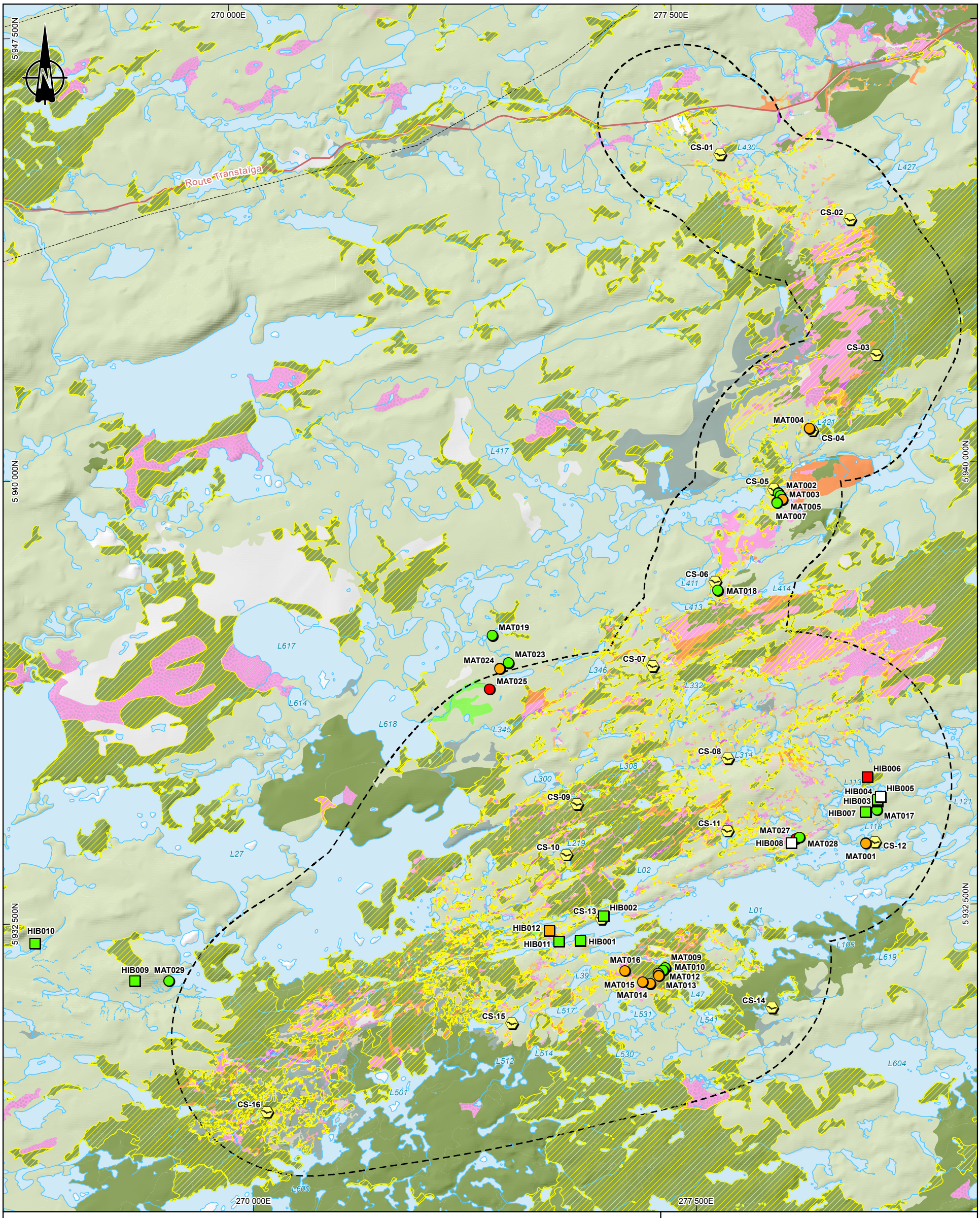

Zone d'inventaire / *Inventory area*

Chiroptères / *Chiroptera*

Station acoustique / *Acoustic station*

Habitat préférentiel de reproduction / *Preferred breeding habitat*

Résultats d'inventaire / *Inventory Results*

Étiquette : Nom de la station / *Label : Station name*

MAT-01 — Forme : Type d'habitat / *Shape : Habitat type*

Couleur : Potentiel de maternité / Color *: Maternity potentiel*

Type d'habitat / *Type of habitat*

- Hibernacle / *Hibernaculum*
- Maternité / *Maternity*

Potentiel / *Potential*

- Nul / *Null*
- Faible / *Low*
- Moyen / *Medium*
- Élevé / *High*

Composantes de l'écosystème / *Ecosystem Components*

Milieux humides et hydriques / *Wetlands and Hydrous Environnements*

- Marécage arborescent / *Treed swamp*
- Marécage arbustif / *Shrubby swamp*
- Tourbière minérotrophe boisée / *Treed fen*
- Tourbière minérotrophe ouverte / *Open fen*
- Tourbière ombrotrophe boisée / *Treed bog*
- Tourbière ombrotrophe ouverte / *Open bog*
- Marais / *Marsh*
- Eau peu profonde / *Shallow water*
- Plan d'eau / *Waterbody*

Cours d'eau / *Watercourse*

- Intermittent / *Intermitent*
- Permanent / *Permanent*
- Permanent partiellement souterrain / *Partially underground permanent*
- Permanent souterrain / *Underground permanent*
- Souterrain / *Underground*

Milieux terrestres / *Terrestrial Environments*

- Feuillu / *Deciduous*
- Mixte / *Mixed-wood*
- Résineux / *Softwood*
- Arbustaie / *Scrubland*
- Lande à lichens / *Lichen tundra*
- Régénération / *Regeneration*

Autre milieu / *Other Environment*

- Autre milieu / *Other Environment*

Infrastructures / *Infrastructures*

- Ligne de transport d'énergie / *Electric power transmission line*

Réseau routier / *Road Network*

- Collectrice / *Collector road*

Projet minier Shaakichiuwaanaan / *Shaakichiuwaanaan Mining Project*

Rapport sectoriel – Chiroptère / *Sectoral Report – Chiropteran*

Carte 3 / *Map 3*
Résultats d'inventaire des chiroptères / *Chiroptera Inventory Results*

Sources

BDGA, 1/1 000 000, MRN Québec, 2014
AQréseau+, réseau routier, MERN, 2024-03-01
Cartographie écologique de la végétation du Nord Québécois, MFFP, 2013
Géobase du réseau hydrographique du Québec (GRHQ), MELCC et MERN, 2021

0 — 650 — 1 300 m

NAD 1983 CSRS UTM Zone 18N

2025-11-10

Préparation / Preparation : J. Legros
Dessin / Drawing : V. Venne
Approbation / Approval : R. Duhamel
CA0001724_3318_eie_sc_chiroptere_251110.aprx
CA0001724_3318_eie_sc_ch_C03_040_Resultat_251110

La précision des limites et les mesures montrées sur ce document ne doivent pas servir à des fins d'ingénierie ou de délimitation foncière. Aucune analyse foncière n'a été effectuée par un arpenteur-géomètre. / Boundary accuracy and measurements shown on this document are not intended for engineering or land delineation purposes. No land analysis has been performed by a land surveyor.

4 Conclusion

La revue de littérature et les activités réalisées sur le terrain ont permis de brosser un portrait détaillé de l'utilisation des zones d'étude du projet par les chiroptères. Les inventaires réalisés ont permis de confirmer la présence de cinq espèces et deux groupes d'espèces, soit : les chauves-souris du genre *Myotis*, la chauve-souris nordique et la grande chauve-souris brune pour les espèces résidentes, les chauves-souris argentée, cendrée et rousse pour les espèces migratrices, ainsi que le complexe grande chauve-souris brune/chauve-souris argentée. Néanmoins, la majorité des enregistrements récoltée lors des différents inventaires provenait de la chauve-souris cendrée.

Les résultats des inventaires acoustiques ne montrent pas de zones de concentration de l'activité des chiroptères. Les niveaux d'activité se sont avérés faibles à toutes les périodes inventoriées et les résultats ne suggèrent pas la présence, à proximité de l'une ou l'autre des stations d'inventaire, de sites de maternités ou de corridors de migration.

La cartographie de l'habitat préférentiel de reproduction des chiroptères montre que ce dernier est distribué dans l'ensemble de la zone d'inventaire, avec des secteurs présentant une plus forte densité et des parcelles de plus grandes superficies, notamment au centre et au sud de celle-ci ainsi que sur la route d'hiver. Il est également présent à l'extérieur de la zone d'inventaire, en particulier à l'est de la route d'hiver ainsi qu'au sud de la zone d'inventaire.

Aucun habitat critique (maternité ou hibernacle) n'a été observé lors des recherches spécifiques réalisées sur le terrain ni suggéré par les résultats d'inventaire acoustique. La présence d'habitats de maternité dans la zone d'inventaire demeure toutefois possible, étant donné les densités de chicots observées sur le site.

Références bibliographiques

- CENTRE DE DONNÉES SUR LE PATRIMOINE NATUREL DU QUÉBEC (CDPNQ). 2025. *Carte des occurrences d'espèces en situation précaire.* En ligne. https://services-mddelcc.maps.arcgis.com/apps/webappviewer/index.html?id=2d32025cac174712a8261b7d94a45ac2. Consultée le 15 octobre 2025.
- CHAUVES-SOURIS AUX ABRIS. 2025. *Chauves-souris aux abris*. En ligne. https://chauve-souris.ca/. Consultée le 15 octobre 2025.
- COMITÉ SUR LA SITUATION DES ESPÈCES EN PÉRIL AU CANADA (COSEPAC). 2023. *Évaluation et Rapport de situation du COSEPAC sur la chauve-souris cendrée (Lasiurus cinereus), la chauve-souris rousse de l'Est (Lasiurus borealis) et la chauve-souris argentée (Lasionycteris noctivagans) au Canada*, Comité sur la situation des espèces en péril au Canada, Ottawa, xxv + 116 p.
- DESROSIERS, N. et R. BERTHIAUME .2024. *Réseau québécois d'inventaires acoustiques de chauves-souris (Réseau Chirops) – Résultats des inventaires de 2000 à 2020*. Ministère de l'Environnement, de la Lutte contre les changements climatiques, de la Faune et des Parcs, Direction de l'expertise sur la faune terrestre, l'herpétofaune et l'avifaune, Service de la conservation de la biodiversité et des milieux humides, gouvernement du Québec, Québec, 70 p. + annexes.
- ENVIRONNEMENT ET CHANGEMENT CLIMATIQUE CANADA (ECCC). 2018. *Programme de rétablissement de la petite chauve-souris brune (Myotis lucifugus), de la chauve-souris nordique (Myotis septentrionalis) et de la pipistrelle de l'Est (Perimyotis subflavus) au Canada, Série de Programmes de rétablissement de la Loi sur les espèces en péril*. Ottawa. Environnement et Changement climatique Canada. ix + 189 p.
- ÉQUIPE DE RÉTABLISSEMENT DES CHAUVES-SOURIS DU QUÉBEC (ERCSQ). 2021. *Plan de rétablissement de la chauve-souris rousse (Lasiurus borealis) au Québec — 2021-2031*. Produit pour le ministère des Forêts, de la Faune et des Parcs, Direction générale de la gestion de la faune et des habitats. 68 p.
- ÉQUIPE DE RÉTABLISSEMENT DES CHAUVES-SOURIS DU QUÉBEC (ERCSQ). 2019. *Plan de rétablissement de trois espèces de chauves-souris résidentes du Québec : la petite chauve-souris brune (Myotis lucifugus), la chauve-souris nordique (Myotis septentrionalis) et la pipistrelle de l'Est (Perimyotis subflavus) — 2019-2029*. Produit pour le ministère des Forêts, de la Faune et des Parcs, Direction générale de la gestion de la faune et des habitats. 102 p.
- FENTON, M. B. 1990. *The foraging behaviour and ecology of animal eating bats*. Canadian Journal of Zoology, 68: 411422.
- GAUTHIER, M., G. DAOUST et R. BRUNET. 1995. *Évaluation préliminaire du potentiel des mines désaffectées et des cavités naturelles comme habitat hivernal des chauves-souris cavernicoles au Québec*. Envirotel inc. Rapport final à l'intention du ministère de l'Environnement et de la Faune.
- GOUVERNEMENT DU CANADA. 2025. *Liste des espèces en péril.* En ligne. Loi sur les espèces en péril Consultée le 16 octobre 2025.
- GOUVERNEMENT DU QUÉBEC. 2024a. *SIGÉOM | Système d'information géominière*. En ligne. Https://sigeom.mines.gouv.qc.ca/signet/classes/I1102_indexAccueil?l=F. Consultée le 11 juillet 2024.

- GOUVERNEMENT DU QUÉBEC. 2024b. *Liste des sites miniers abandonnés en responsabilité réelle au PTSC**. En ligne. https://www.mrnf.gouv.qc.ca/wp-content/uploads/LI_sites-miniers-abandonnes.pdf. Consultéele 11 juillet 2024.
- GOUVERNEMENT DU QUÉBEC. 2024c. *Gîtes métallifères du Québec.* En ligne : https://www.donneesquebec.ca/recherche/dataset/indices-gites-et-gisements. Consultée le 11 juillet 2024.
- GOUVERNEMENT DU QUÉBEC. 2025. *Liste des espèces fauniques menacées ou vulnérables.* En ligne. Liste des espèces fauniques menacées ou vulnérables | Gouvernement du Québec. Consulté le 10 octobre 2025.
- JUTRAS, J., M. DELORME, J. MCDUFF et C. VASSEUR. 2012. *Le suivi des chauves-souris du Québec*. *Le Naturaliste canadien*, vol. 136 nº 1. p. 48-52.
- MINISTERE DE L'ENVIRONNEMENT, DE LA LUTTE CONTRE LES CHANGEMENTS CLIMATIQUES, DE LA FAUNE ET DES PARCS (MELCCFP). 2023a. *Recueil des protocoles standardisés d'inventaires acoustiques de chauves-souris au Québec*. Gouvernement du Québec, Québec, 44 p. + annexes.
- MINISTERE DE L'ENVIRONNEMENT, DE LA LUTTE CONTRE LES CHANGEMENTS CLIMATIQUES, DE LA FAUNE ET DES PARCS (MELCCFP). 2023b. *Surveillance des maladies de la faune 2015-2020 — Stratégie québécoise sur la santé des animaux sauvages*. Gouvernement du Québec, Québec, 108 p.
- MINISTÈRE DES RESSOURCES NATURELLES ET DES FORÊTS (MRNF). 2023. *Dépôt de surface, [Jeu de données, mis à jour le 31 août 2023]*. En ligne. Dépôt de surface - Jeu de données - Données Québec . Consultée le 11 novembre 2024.
- TAYLOR, D. 2006. *Forest management and bats.* USA. Bat Conservation International. 16 p.
- TREMBLAY, J.A. ET J. JUTRAS. 2010. *Les chauves-souris arboricoles en situation précaire au Québec – Synthèse et perspectives*. *Le Naturaliste canadien*, vol. 134 nº 1. p. 29-40.
- WHITAKER, D. M., A. L. Carroll et W. A. MONTEVECCHI. 2000. *Elevated numbers of flying insects and insectivorous birds in riparian buffer strips*. Canadian Journal of Zoology, 78: 740-746.

ANNEXE

A

MÉTADONNÉES DES ÉQUIPEMENTS UTILISÉS

Annexe A

Présentation des métadonnées 2023: Song Meter SM3BAT – *Wildlife Acoustics*

En-tête	Type
Marque	Wildlife Acoustics
Modèle	Song meter 3 BAT
Micrologiciel	R 1.35A
N° de série	*Variable
Préfixe	*Programmable
Ratio de division	8
Identification	ND
Logiciel	ND
Version de logiciel	ND
Conversion	ND
Version de conversion	ND
Mode d'enregistrement	WAV
Gain	12 dB
Canaux	Ultrasonique
Filtre passe haut	16 kHz
Filtre passe bas	Aucun
Fréquence d'échantillonnage	384
Fréquence minimale de déclenchement	16 kHz
Seuil de déclenchement	Automatique
Fenêtre de déclenchement	5 sec
Durée maximale d'enregistrement	15 sec
Taille minimale du signal	1 ms
Taille maximale du signal	Aucun
Localisation	Données décimales
Fuseau horaire	UTC -4

Présentation des métadonnées 2024: Song Meter SM4BAT FS – *Wildlife Acoustics*

En-tête	Type
Marque	Wildlife Acoustics
Modèle	Song meter 4 BAT FS
Micrologiciel	R 2.2.8
N° de série	*Variable
Préfixe	*Programmable
Ratio de division	8
Identification	ND
Logiciel	ND
Version de logiciel	ND
Conversion	ND
Version de conversion	ND
Mode d'enregistrement	WAV
Gain	12 dB
Canaux	NA
Filtre passe haut	16 kHz
Filtre passe bas	Aucun
Fréquence d'échantillonnage	384 kHz
Fréquence minimale de déclenchement	16 kHz
Seuil de déclenchement	12 dB
Fenêtre de déclenchement	5 sec
Durée maximale d'enregistrement	15 sec
Taille minimale du signal	1 ms
Taille maximale du signal	15 sec
Localisation	Données décimales
Fuseau horaire	UTC -4

Présentation des métadonnées 2025: Song Meter SM4BAT FS – *Wildlife Acoustics*

En-tête	Type
Marque	Wildlife Acoustics
Modèle	Song meter 4 BAT FS
Micrologiciel	R 2.4.9
N° de série	*Variable
Préfixe	*Programmable
Ratio de division	8
Identification	ND
Logiciel	ND
Version de logiciel	ND
Conversion	ND
Version de conversion	ND
Mode d'enregistrement	WAV
Gain	12 dB
Canaux	NA
Filtre passe haut	16 kHz mis à On
Filtre passe bas	Aucun
Fréquence d'échantillonnage	384 kHz
Fréquence minimale de déclenchement	16 kHz
Seuil de déclenchement	12 dB
Fenêtre de déclenchement	5 sec
Durée maximale d'enregistrement	15 sec
Taille minimale du signal	1 ms
Taille maximale du signal	Aucun
Localisation	Données décimales
Fuseau horaire	UTC -4

ANNEXE

B

RAPPORT PHOTOGRAPHIQUE

RAPPORT PHOTOGRAPHIQUE

PHOTO 1 **Station d'inventaire acoustique fixes de chiroptères CS-01**

PHOTO 2 **Direction pointée par le micro de la station d'inventaire acoustique fixes de chiroptères CS-01**

PHOTO 3 **Station d'inventaire acoustique fixes de chiroptères CS-02**

PHOTO 4 **Direction pointée par le micro de la station d'inventaire acoustique fixes de chiroptères CS-02**

PHOTO 5 **Station d'inventaire acoustique fixes de chiroptères CS-03**

PHOTO 6 **Direction pointée par le micro de la station d'inventaire acoustique fixes de chiroptères CS-03**

PHOTO 7 **Station d'inventaire acoustique fixes de chiroptères CS-04**

PHOTO 8 **Direction pointée par le micro de la station d'inventaire acoustique fixes de chiroptères CS-04**

PHOTO 9 **Station d'inventaire acoustique fixes de chiroptères CS-05**

PHOTO 10 **Direction pointée par le micro de la station d'inventaire acoustique fixes de chiroptères CS-05**

PHOTO 11 **Station d'inventaire acoustique fixes de chiroptères CS-06**

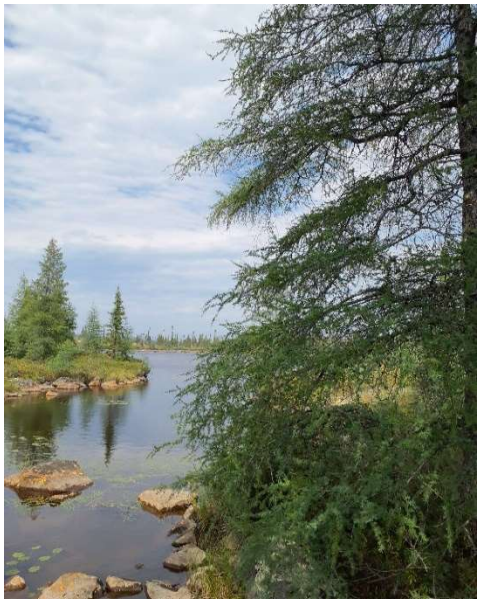

PHOTO 12 **Direction pointée par le micro de la station d'inventaire acoustique fixes de chiroptères CS-06**

PHOTO 13 **Station d'inventaire acoustique fixes de chiroptères CS-07**

PHOTO 14 **Direction pointée par le micro de la station d'inventaire acoustique fixes de chiroptères CS-07**

PHOTO 15 **Station d'inventaire acoustique fixes de chiroptères CS-08**

PHOTO 16 **Direction pointée par le micro de la station d'inventaire acoustique fixes de chiroptères CS-08**

PHOTO 17 **Station d'inventaire acoustique fixes de chiroptères CS-09**

PHOTO 18 **Direction pointée par le micro de la station d'inventaire acoustique fixes de chiroptères CS-09**

PHOTO 19 **Station d'inventaire acoustique fixes de chiroptères CS-10**

PHOTO 20 **Direction pointée par le micro de la station d'inventaire acoustique fixes de chiroptères CS-10**

PHOTO 21 **Station d'inventaire acoustique fixes de chiroptères CS-11**

PHOTO 22 **Direction pointée par le micro de la station d'inventaire acoustique fixes de chiroptères CS-11**

PHOTO 23 **Station d'inventaire acoustique fixes de chiroptères CS-12**

PHOTO 24 **Direction pointée par le micro de la station d'inventaire acoustique fixes de chiroptères CS-12**

PHOTO 25 **Station d'inventaire acoustique fixes de chiroptères CS-13**

PHOTO 26 **Direction pointée par le micro de la station d'inventaire acoustique fixes de chiroptères CS-13**

PHOTO 27 **Station d'inventaire acoustique fixes de chiroptères CS-14**

PHOTO 28 **Direction pointée par le micro de la station d'inventaire acoustique fixes de chiroptères CS-14**

PHOTO 29 **Station d'inventaire acoustique fixes de chiroptères CS-15**

PHOTO 30 **Direction pointée par le micro de la station d'inventaire acoustique fixes de chiroptères CS-15**

PHOTO 31 **Station d'inventaire acoustique fixes de chiroptères CS-16**

PHOTO 32 **Direction pointée par le micro de la station d'inventaire acoustique fixes de chiroptères CS-16**

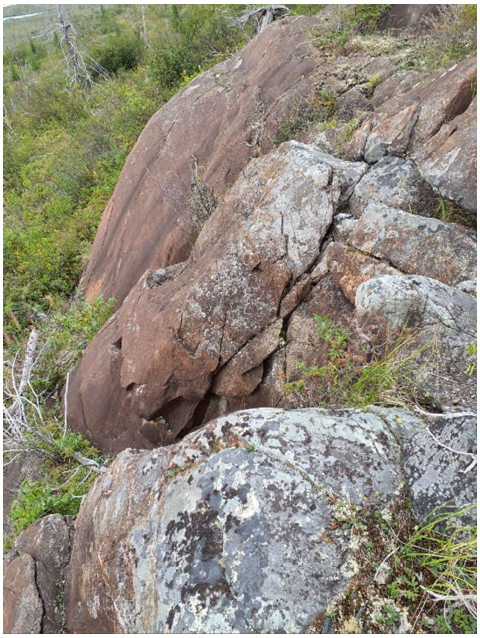

PHOTO 33 **Site d’hibernacle potentiel HIB004**

PHOTO 34 **Site d’hibernacle potentiel HIB006**

PHOTO 35 **Site d’hibernacle potentiel HIB008**

PHOTO 36 **Site d’hibernacle potentiel HIB009**

PHOTO 37 **Site de maternités potentielles MAT004 à potentiel moyen**

PHOTO 38 **Site de maternités potentielles MAT012 à potentiel moyen**

PHOTO 39 **Site de maternités potentielles MAT023 à potentiel faible**

PHOTO 40 **Site de maternités potentielles MAT017 à potentiel faible**

PHOTO 41 **Site de maternités potentielles MAT025 à potentiel élevé**

PHOTO 42 **Site de maternités potentielles MAT027 à potentiel élevé**

ANNEXE

C

PÉRIODE D'ACTIVITÉ ET D'INACTIVITÉ DES STATIONS ACOUSTIQUES FIXES

Annexe C

Périodes d'activité et d'inactivité des stations acoustiques fixes

N° Station	Date d'entrée en fonction	Date de retrait	Nombre de nuits total	Nombre de nuits considérées pour l'analyse[a]	Nombre de nuits fonctionnelles	Nombre de nuits non fonctionnelles
CS-01	2023-08-18	2023-10-05	48	39	10	29[b]
	2024-04-15	2024-09-25	163	163	126	37[cd]
	2025-04-13	2025-08-13	122	122	115	7[c]
CS-02	2023-08-18	2023-10-05	48	39	39	0
	2024-04-13	2024-09-25	165	163	142	2[d]
	2025-04-13	2025-08-13	122	122	122	0
CS-03	2023-08-18	2023-10-05	48	39	35	4[e]
	2024-04-13	2024-09-25	165	165	143	22[d]
	2025-04-13	2025-08-13	122	122	122	0
CS-04	2023-18-18	2023-10-05	48	39	39	0
	2024-04-13	2024-09-25	16	165	126	39[cd]
	2025-04-13	2025-08-13	122	122	120	2[c]
CS-05	2023-08-17	2023-10-05	49	40	40	0
	2024-04-13	2024-09-25	165	165	145	20[d]
	2025-04-13	2025-08-13	122	122	122	0
CS-06	2023-08-17	2023-10-05	49	40	40	0
	2024-04-15	2024-09-25	163	163	133	30[cd]
	2025-04-12	2025-08-13	123	123	123	0
CS-07	2023-08-17	2023-10-04	48	40	40	0
	2024-04-14	2024-09-25	164	164	129	35[cd]
	2025-04-12	2025-08-13	123	123	108	15[c]
CS-08	2023-08-18	2023-10-05	48	39	39	0
	2024-04-14	2024-09-25	164	164	143	21[d]
	2025-04-13	2025-08-13	122	122	122	0
CS-09	2023-08-17	2023-10-04	48	40	40	0
	2024-04-15	2024-09-25	163	163	118	45[cdg]
	2025-04-12	2025-08-13	123	123	122	0
CS-10	2023-08-16	2023-10-04	49	41	41	0
	2024-04-15	2024-09-25	163	163	143	20[d]
	2025-04-12	2025-08-13	123	123	123	0
CS-11	2023-08-16	2023-09-16	31	31	22	9[h]
	2024-04-15	2024-09-25	163	163	115	48[cd]
	2025-04-12	2025-08-13	123	123	123	0
CS-12	2023-08-17	2023-10-04	48	40	40	0
	2024-04-13	2024-09-25	165	165	122	43[cd]
	2025-04-12	2025-08-13	123	123	108	15[c]

N° Station	Date d'entrée en fonction	Date de retrait	Nombre de nuits total	Nombre de nuits considérées pour l'analyse[a]	Nombre de nuits fonctionnelles	Nombre de nuits non fonctionnelles
CS-13	2023-08-17	2023-10-04	48	40	40	0
	2024-04-14	2024-09-25	164	164	105	59[cdf]
	2025-04-12	2025-08-13	123	123	104	19[c]
CS-14	2023-08-16	2023-10-04	49	41	41	0
	2024-04-14	2024-09-25	164	164	118	46[df]
	2025-04-12	2025-08-13	123	123	75	48[I]
CS-15	2023-08-16	2023-10-04	49	41	41	0
	2024-04-15	2024-09-25	163	163	130	33[cd]
	2025-04-12	2025-08-13	123	123	96	26[cI]
CS-16	2023-08-16	2023-10-04	49	41	41	0
	2024-04-13	2024-09-25	165	165	126	39[cd]
	2025-04-12	2025-08-13	123	123	118	5[c]

a : Nombre de nuits considérées en fonction des périodes prévues par le protocole du ministère
b : Appareil retrouvé au sol, débranché, lors de la visite du 2023-09-17
c : Mémoire insuffisante sur carte SD
d : Problème de programmation qui a arrêté l'enregistrement automatisé du 2024-05-22 au 2024-06-12
e : Problème d'étanchéité de la machine
f : Données perdues en raison de problèmes de cartes mémoires
g : Données corrompues non récupérables
h : Appareil défectueux dû à une infiltration d'eau, non remplacé par manque d'effectif disponible
I : Appareil endommagé par un animal, l'appareil a dû être remplacé et/ou réparé lors d'une visite ultérieure

ANNEXE

D

RÉSULTATS INVENTAIRES ACOUSTIQUES FIXES – NOMBRE DE PASSAGES PAR HEURE

Tableau 1 Synthèse des résultats obtenus (passages/heure) –Dispersion 2024

Espèce/Complexe	Station																
	CS-01	CS-02	CS-03	CS-04	CS-05	CS-06	CS-07	CS-08	CS-09	CS-10	CS-11	CS-12	CS-13	CS-14	CS-15	CS-16	Total
Complexe *Myotis**	0	0	0	0	0,003	0	0	0	0	0	0	0	0	0	0	0	**0,003**
Chauves-souris nordique	0	0	0	0	0	0	0	0	0	0	0	0	0	0	0	0	**0**
Grande chauves-souris brune	0	0	0	0	0	0	0	0	0	0	0	0	0	0	0	0	**0**
Complexe grande brune/argentée	0	0	0	0	0	0	0	0	0	0	0	0	0	0	0	0	**0**
Chauves-souris argenté	0	0	0	0	0	0	0	0	0	0	0	0	0	0	0	0	**0**
Chauve-souris cendrée	0,015	0	0	0	0	0,004	0	0	0	0	0	0	0	0	0	0	**0,019**
Chauve-souris rousse	0	0	0	0	0	0	0	0	0	0	0	0	0	0	0	0	**0**
Indéterminée	0	0	0	0	0	0	0	0	0	0	0	0	0	0	0	0	**0**
Nombre moyen de passage/heure	**0,015**	**0**	**0**	**0**	**0,003**	**0,004**	**0**	**0**	**0**	**0**	**0**	**0**	**0**	**0**	**0**	**0**	**0,022**
Écart-type	**0,052**	**0**	**0**	**0**	**0,023**	**0,022**	**0**	**0**	**0**	**0**	**0**	**0**	**0**	**0**	**0**	**0**	**0,014**

Tableau 2 Synthèse des résultats obtenus (passages/heure) –Dispersion 2025

Espèce/Complexe	Station																
	CS-01	CS-02	CS-03	CS-04	CS-05	CS-06	CS-07	CS-08	CS-09	CS-10	CS-11	CS-12	CS-13	CS-14	CS-15	CS-16	Total
Complexe *Myotis**	0	0	0	0	0	0	0	0	0	0	0	0	0	0	0	0	**0**
Chauves-souris nordique	0	0	0	0	0	0	0	0	0	0	0	0	0	0	0	0	**0**
Grande chauves-souris brune	0	0	0	0	0	0	0	0	0	0	0	0	0	0	0	0	**0**
Complexe grande brune/argentée	0	0	0	0	0	0	0	0	0	0	0	0	0	0	0	0	**0**
Chauves-souris argenté	0	0	0	0	0	0	0	0	0	0	0	0	0	0	0	0	**0**
Chauve-souris cendrée	0	0	0	0	0	0	0	0	0,002	0	0	0	0	0	0	0	**0,002**
Chauve-souris rousse	0	0	0	0	0	0	0	0	0	0	0	0	0	0	0	0	**0**
Indéterminée	0	0	0	0	0	0	0	0	0	0	0	0	0	0	0	0	**0**
Nombre moyen de passage/heure	**0**	**0**	**0**	**0**	**0**	**0**	**0**	**0**	**0,002**	**0**	**0**	**0**	**0**	**0**	**0**	**0**	**0,002**
Écart-type	**0**	**0**	**0**	**0**	**0**	**0**	**0**	**0**	**0,024**	**0**	**0**	**0**	**0**	**0**	**0**	**0**	**0,010**

Tableau 3 Synthèse des résultats obtenus (passages/heure) –Reproduction 2024

Espèce/Complexe	Station																
	CS-01	CS-02	CS-03	CS-04	CS-05	CS-06	CS-07	CS-08	CS-09	CS-10	CS-11	CS-12	CS-13	CS-14	CS-15	CS-16	Total
Complexe *Myotis**	0,003	0	0	0	0,003	0	0,003	0	0,003	0	0	0,003	0,003	0	0,005	0	**0,023**
Chauves-souris nordique	0	0	0	0,003	0	0	0	0	0	0,003	0	0	0	0	0	0	**0,005**
Grande chauves-souris brune	0	0	0,003	0,003	0	0	0	0	0	0	0,003	0	0	0	0	0	**0,008**
Complexe grande brune/argentée	0	0	0	0	0	0	0	0	0	0	0	0,003	0	0	0	0	**0,003**
Chauves-souris argenté	0	0	0	0	0	0	0	0	0	0	0	0	0	0	0	0	**0**
Chauve-souris cendrée	0,065	0,011	0,027	0,022	0,027	0,030	0,008	0,035	0,034	0,030	0,030	0,011	0,013	0,036	0,035	0,016	**0,428**
Chauve-souris rousse	0	0	0	0	0	0	0	0	0	0	0	0	0	0	0	0	**0**
Indéterminée	0	0	0	0	0	0	0	0	0	0	0	0	0	0,013	0	0	**0,013**
Nombre moyen de passage/heure	**0,067**	**0,011**	**0,030**	**0,027**	**0,030**	**0,030**	**0,011**	**0,035**	**0,037**	**0,032**	**0,032**	**0,016**	**0,016**	**0,049**	**0,040**	**0,016**	**0,481**
Écart-type	**0,280**	**0,074**	**0,102**	**0,074**	**0,091**	**0,072**	**0,045**	**0,091**	**0,106**	**0,093**	**0,091**	**0,051**	**0,076**	**0,122**	**0,095**	**0,059**	**0,108**

Tableau 4 Synthèse des résultats obtenus (passages/heure) –Reproduction 2025

Espèce/Complexe	Station																
	CS-01	CS-02	CS-03	CS-04	CS-05	CS-06	CS-07	CS-08	CS-09	CS-10	CS-11	CS-12	CS-13	CS-14	CS-15	CS-16	Total
Complexe *Myotis**	0	0	0	0	0	0	0	0	0	0,003	0	0	0,003	0	0,018	0	**0,023**
Chauves-souris nordique	0	0	0	0	0	0	0	0	0	0	0	0	0	0	0	0	**0,000**
Grande chauves-souris brune	0	0	0	0	0	0	0	0	0	0	0	0	0	0	0	0	**0,000**
Complexe grande brune/argentée	0	0	0	0	0	0	0	0	0	0	0	0	0	0	0	0	**0,000**
Chauves-souris argenté	0	0	0	0	0	0	0	0	0,003	0	0	0	0	0	0	0	**0,003**
Chauve-souris cendrée	0,116	0,045	0,034	0,187	0,048	0,034	0,008	0,045	0,023	0,020	0,085	0,006	0,079	0,059	0,121	0,042	**0,952**
Chauve-souris rousse	0,011	0	0,003	0,003	0,003	0	0	0,003	0	0	0,003	0,006	0	0	0	0	**0,031**
Indéterminée	0,006	0,003	0,003	0,003	0	0	0	0,008	0	0	0,006	0,003	0	0	0,003	0	**0,034**
Nombre moyen de passage/heure	**0,133**	**0,048**	**0,040**	**0,192**	**0,051**	**0,034**	**0,008**	**0,057**	**0,025**	**0,023**	**0,093**	**0,014**	**0,082**	**0,059**	**0,142**	**0,042**	**1,043**
Écart-type	**0,429**	**0,220**	**0,111**	**0,696**	**0,110**	**0,078**	**0,041**	**0,125**	**0,088**	**0,088**	**0,211**	**0,051**	**0,200**	**0,139**	**0,256**	**0,122**	**0,25**

Tableau 5 Synthèse des résultats obtenus (passages/nuit) –Migration automnale 2023

Espèce/Complexe	Station																
	CS-01	CS-02	CS-03	CS-04	CS-05	CS-06	CS-07	CS-08	CS-09	CS-10	CS-11	CS-12	CS-13	CS-14	CS-15	CS-16	Total
Complexe *Myotis**	0	0	0	0	0	0	0	0	0	0	0	0	0,003	0	0	0	**0,003**
Chauves-souris nordique	0	0	0	0	0	0	0	0	0	0	0	0	0	0	0	0	**0**
Grande chauves-souris brune	0	0	0	0	0	0	0	0	0	0	0	0	0	0	0	0	**0**
Complexe grande brune/argentée	0	0	0	0	0	0	0	0	0	0	0	0	0	0	0	0	**0**
Chauves-souris argenté	0	0	0	0	0	0	0	0	0,003	0	0	0	0	0,003	0	0	**0,006**
Chauve-souris cendrée	0	0	0	0,005	0	0,003	0	0	0	0	0	0	0,026	0	0,003	0,005	**0,045**
Chauve-souris rousse	0	0	0	0	0	0	0	0	0	0	0	0	0	0,010	0	0	**0,011**
Indéterminée	0,008	0	0	0	0	0	0	0	0,018	0	0	0,003	0	0,005	0	0,003	**0,034**
Nombre moyen de passage/heure	**0,008**	**0**	**0**	**0,005**	**0**	**0,003**	**0**	**0**	**0,021**	**0**	**0**	**0,003**	**0,029**	**0,018**	**0,003**	**0,008**	**0,098**
Écart-type	**0,027**	**0**	**0**	**0,025**	**0**	**0,019**	**0**	**0**	**0,057**	**0**	**0**	**0,019**	**0,138**	**0,080**	**0,019**	**0,030**	**0,050**

Tableau 6 Synthèse des résultats obtenus (passages/nuit) –Migration automnale 2024

Espèce/Complexe	Station																
	CS-01	CS-02	CS-03	CS-04	CS-05	CS-06	CS-07	CS-08	CS-09	CS-10	CS-11	CS-12	CS-13	CS-14	CS-15	CS-16	Total
Complexe *Myotis**	0,005	0	0	0	0	0	0	0	0	0	0	0	0	0	0,003	0	**0,009**
Chauves-souris nordique	0	0	0	0	0	0	0	0	0	0	0	0	0	0	0	0	**0**
Grande chauves-souris brune	0	0	0	0	0	0	0	0	0	0	0	0	0	0	0	0	**0**
Complexe grande brune/argentée	0	0	0	0	0	0	0	0	0	0	0	0	0	0	0	0	**0**
Chauves-souris argenté	0	0	0	0	0	0	0	0	0	0	0	0	0	0	0	0	**0**
Chauve-souris cendrée	0	0	0	0,013	0,008	0,005	0	0	0	0,008	0	0	0,014	0,052	0,007	0,004	**0,111**
Chauve-souris rousse	0	0	0	0	0	0	0	0	0	0	0	0	0	0	0	0	**0**
Indéterminée	0	0	0	0	0	0	0	0	0	0,003	0	0	0,003	0,008	0	0	**0,014**
Nombre moyen de passage/heure	**0,005**	**0**	**0**	**0,013**	**0,008**	**0,005**	**0**	**0**	**0**	**0,010**	**0**	**0**	**0,017**	**0,060**	**0,010**	**0,004**	**0,133**
Écart-type	**0,039**	**0**	**0**	**0,046**	**0,028**	**0,027**	**0**	**0**	**0**	**0,038**	**0**	**0**	**0,072**	**0,107**	**0,033**	**0,025**	**0,042**

ANNEXE

6-23 ÉTAT DE RÉFÉRENCE DE LA PETITE FAUNE TERRESTRE POUR LE PROJET SHAAKICHIUWAANAAN

État de référence de la petite faune terrestre pour le projet Shaakichiuwaanaan

Inventaire des micromammifères

Rapport présenté à :

Métaux de Batteries Patriot inc.

28 juillet 2025

Projet 151022002

Équipe de réalisation

Niigaan

Luc Guillemette, biologiste, B. Sc.	Directeur de projet
Steve Therrien, biologiste, M. Sc.	Chargé de projet
Marc Levasseur, biologiste, M. Sc.	Inventaire des micromammifères, compilation des données et rédaction
Ariel Jacques, technicienne de la faune	Inventaire des micromammifères
Olivier Lahaie-Yergeau, biologiste, B. Sc.	Inventaire des micromammifères et compilation des données
Laurence Denis, stagiaire, biologiste	Inventaire des micromammifères
Gérald Hérodier, aide terrain autochtone	Inventaire des micromammifères
Tristan Georgekish, aide terrain autochtone	Inventaire des micromammifères
Sophie Savard, géographe, B. Sc.	Cartographie
Francine Vallée, adjointe administrative	Édition

Préparé par :

Marc Levasseur
Biologiste, M. Sc.

Approuvé par :

Luc Guillemette
Biologiste, B. Sc.

01	2025-07-28	Version préliminaire pour commentaires client
N° révision	**Date**	**Description de la modification | de l'émission**

Portée et limitations

Le présent document doit être utilisé aux fins pour lesquelles il a été élaboré. Il est destiné exclusivement au client pour qui il a été réalisé et est réservé à l'usage exclusif de son destinataire. Tout usage par un tiers sans consentement est formellement interdit.

Le présent document a été réalisé avec les données recueillies sur le terrain et les informations disponibles sur les différents éléments étudiés en date du présent rapport. Les analyses techniques basées sur l'interprétation des divers articles de loi et des règlements en vigueur ne sont pas et ne doivent, en aucun temps, être considérées comme un avis juridique ou se substituer à un tel avis.

Les cartes portant le logo de Niigaan sont le résultat d'une compilation de l'information de bases de données publiques et des données d'inventaire récoltées sur le terrain. Elles n'ont pas été préparées par un arpenteur-géomètre et ne doivent pas être considérées comme telles. Niigaan ne se tient pas responsable des conclusions erronées dues à la dissimulation volontaire ou à la non-disponibilité d'une information pertinente au moment de réaliser le mandat.

Les analyses développées au sein de ce document sont présentées à titre indicatif seulement et la décision finale concernant les différentes modalités d'intervention et les zones officielles de protection sont du ressort du ministère de l'Environnement, de la Lutte contre les changements climatiques, de la Faune et des Parcs du Québec (MELCCFP) et/ou des autres ministères et organismes gouvernementaux (provincial, fédéral) ou de la municipalité concernée.

Par conséquent, Niigaan ne saurait être tenu responsable des interventions entreprises sur le milieu avant l'obtention de toutes les autorisations nécessaires ni pour d'éventuels dommages subis par un tiers résultant d'une décision prise ou basée sur ce rapport. Niigaan n'a aucun lien avec le client ni aucun intérêt dans la propriété à l'étude. Niigaan s'assure de l'intégrité du travail réalisé en évitant toutes situations de conflit d'intérêts.

Référence à citer

Niigaan. 2025. État de référence de la petite faune terrestre pour le projet Shaakichiuwaanaan - Inventaire des micromammifères. Rapport du projet 151022002. 19 pages + annexes.

Table des matières

1 Introduction 1
1.1 Mandat et objectifs 1
1.1.1 Objectifs de l'étude 1
2 Aires d'étude 3
2.1 Trois aires d'étude distinctes 3
2.1.1 Secteur industriel projeté 3
2.1.2 Secteur de la fosse principale 3
2.1.3 Secteur de la fosse ouest 3
3 Méthodologie 8
3.1 Protocole d'inventaire des micromammifères 8
4 Résultats 10
4.1 Secteurs inventoriés et peuplements écoforestiers 10
4.2 Diversité spécifique 11
4.3 Micromammifères et habitats 12
4.3.1 Campagnol-lemming de Cooper 17
5 Conclusion 18
6 Références consultées 19

Liste des cartes

Carte 1. Localisation du projet 2
Carte 2. Localisation des zones d'étude 4
Carte 3. Secteur industriel projeté (2023) 5

Liste des tableaux

Tableau 1. Peuplements écoforestiers présents dans les trois aires d'étude où les 16 transects ont été déployés 11
Tableau 2. Nombre de captures de micromammifères selon l'espèce 12
Tableau 3. Effort de capture, captures totales et nombre d'espèces recensées par transect 14
Tableau 4. Nombre moyen d'individus capturés et d'espèces recensées par communauté végétale 15
Tableau 5. Nombre de micromammifères capturés par espèce pour les 16 transects 16

Liste des annexes

Annexe 1 Permis SEG lié à l'inventaire des micromammifères ..... A
Annexe 2 Nombre de captures de micromammifères selon l'espèce et méthode d'identification ..... B

1 Introduction

Métaux de Batteries Patriot inc. planifie la mise en chantier et l'exploitation d'un gisement minier de lithium dans le Nord québécois, dans le secteur du lac de la Corvette. Dans la foulée des démarches nécessaires à la conformité environnementale, tant au palier provincial que fédéral, l'établissement du cadre environnemental dans le secteur du projet minier est central aux besoins d'information.

1.1 Mandat et objectifs

Les micromammifères constituent l'un des groupes fauniques qui doivent être étudiés dans le cadre de l'étude environnementale du projet minier de lithium du secteur du lac de la Corvette. Comme plusieurs autres groupes fauniques au Québec, les populations de certaines espèces de micromammifères présentent des enjeux liés à leur conservation, à moyen et long terme.

Le client (Métaux de Batteries Patriot inc.) a mandaté la firme Niigaan pour réaliser une étude dressant l'état de référence (baseline) des micromammifères dans le secteur du lac de la Corvette. Le mandat confié vise l'acquisition de connaissances sur l'ensemble des espèces de micromammifères présentes dans la zone d'inventaire du projet Shaakichiuwaanaan (Corvette), tout en considérant les espèces susceptibles d'être désignées comme menacées ou vulnérables.

La carte 1 situe le projet Shaakichiuwaanaan dans le Nord du Québec.

1.1.1 Objectifs de l'étude

Les objectifs spécifiques des travaux d'inventaire sont les suivants :

- Évaluer la diversité des espèces de micromammifères dans la zone du projet;
- Vérifier si des espèces à statut précaire (espèces désignées comme menacées ou vulnérables ou susceptibles de l'être (EMVS) sont présentes dans la zone d'inventaire du projet;
- Déterminer l'abondance relative des espèces selon les différents types d'habitats en place.

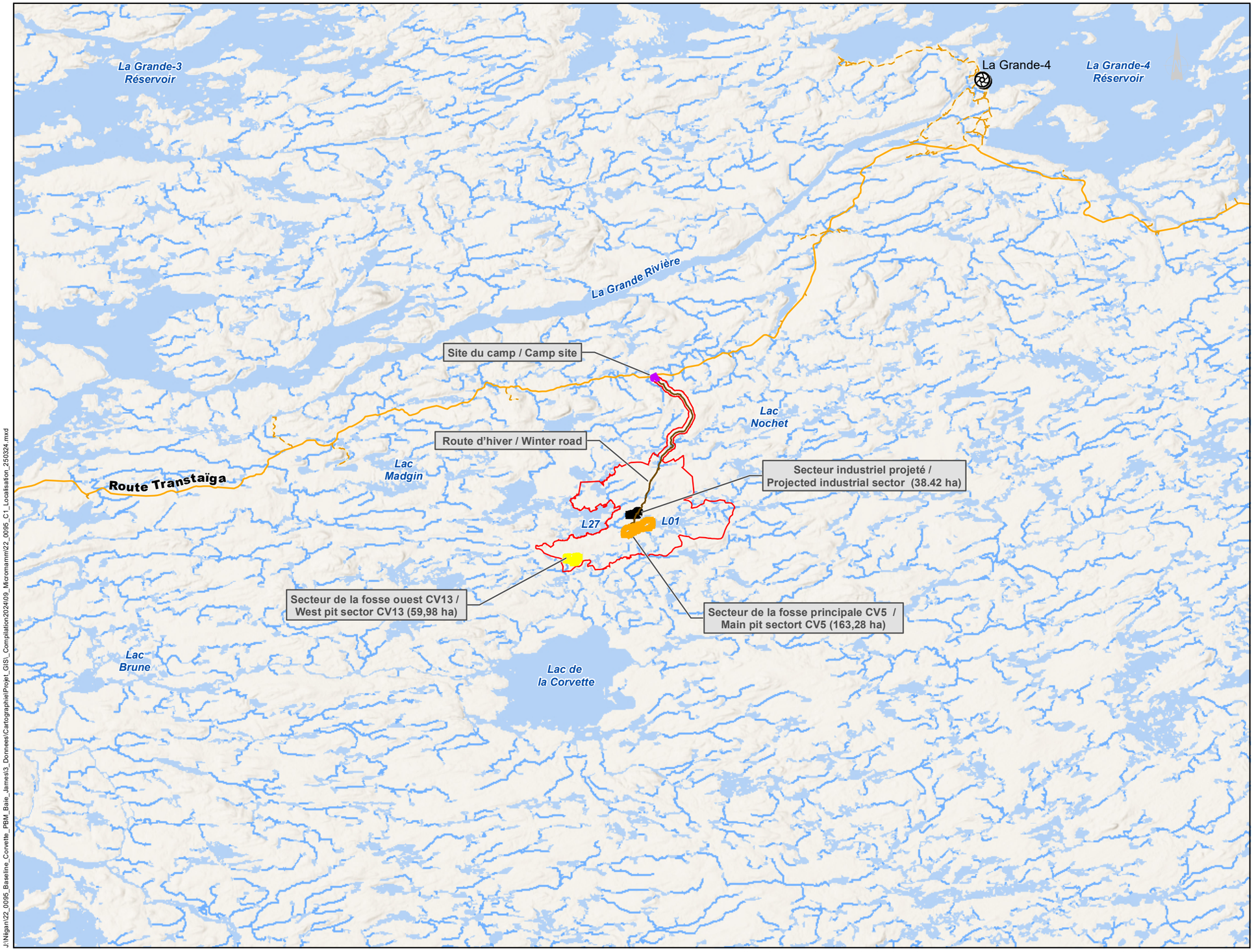

J:\Niigaan\22_0095_Baseline_Corvette_PBM_Baie_James\3_Donnees\Cartographie\Projet_GIS_Compilation\2024\09_Micromamm\22_0095_C1_Localisation_250324.mxd

Carte 1 - Map 1

Localisation du projet

Project location

- Zone d'inventaire / Inventory area
- Secteur de la fosse ouest CV13 / West pit sector CV13 (59,98 ha)
- Secteur de la fosse principale CV5 / Main pit sectort CV5 (163,28 ha)
- Secteur industriel projeté / Projected industrial sector (38.42 ha)
- Site du camp / Camp site
- Route d'hiver / Winter road

Hydrographie / Hydrography

- Cours d'eau / Watercourse
- Lac / Waterbody

Infrastructure

- Centrale hydroélectrique / Generating station

Réseau routier / Road network

- Route collectrice / Collector road
- Route locale / Local road
- Autre route / Other road

Source des données :
BDTA 1:250 000, MERN Québec, 2021
Découpage administratif, SDA (20K), MRNF Québec, 2024
Réseau routier, Adresse Québec, 2024-02
Basemap, ESRI

1:350 000

0 3 500 7 000 m

NAD 1983 CSRS MTM 8

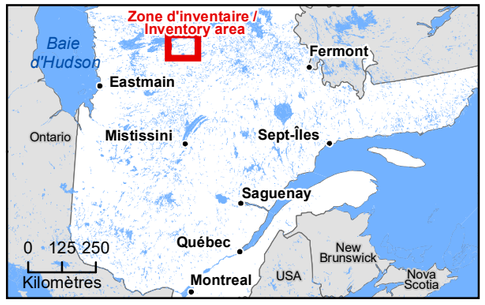

Projet Shaakichiuwaanaan /
Shaakichiuwaanaan Project

Inventaire des micromammifères – septembre 2023 / Inventory of micromammals – September 2023

Niigaan
Projet / Project: 22-0095 / 151022002

2025-04-09

Approuvé par / Approved by :
Marc Levasseur

Note : Cette carte n'a aucune valeur légale, seul un arpenteur-géomètre peut se prononcer sur l'exactitude des informations géographiques.
Note: This map has no legal value, only a land surveyor can comment on the accuracy of the geographical information.

2 Aires d'étude

L'inventaire des micromammifères s'est déroulé dans trois secteurs d'étude distincts. Ces trois aires d'études sont présentées dans la section suivante.

2.1 Trois aires d'étude distinctes

L'inventaire a été mené dans trois secteurs distincts, qui sont les suivants (cartes 1 et 2) :

- Secteur industriel projeté (secteur nord);
- Secteur de la fosse principale (secteur centre);
- Secteur de la fosse ouest (secteur sud-ouest).

La carte 2 situe les trois secteurs qui ont été inventoriés dans la zone d'inventaire du projet Shaakichiuwaanaan.

Les cartes 3-1 à 3-3 situent les transects qui ont été installés dans ces trois aires d'étude.

2.1.1 Secteur industriel projeté

Le secteur industriel projeté couvre 38,4 ha. Quatre (4) transects ont été déployés dans ce secteur (T1-1, T1-2, T1-3, T1-4). Cette aire d'étude est principalement constituée de peuplements résineux (carte 3-1). Les transects 1-2 et 1-3 se retrouvent en majorité dans ce peuplement tandis que les transects 1-1 et 1-4 sont aussi associés à des tourbières et des marécages.

2.1.2 Secteur de la fosse principale

Le secteur industriel de la fosse principale couvre 163,3 ha. Huit (8) transects ont été déployés dans ce secteur (T2-1, T2-2, T2-3, T2-4, T2-5, T2-6, T2-7, T2-8). Cette aire d'étude est principalement constituée de peuplements en régénération (carte 3-2). Une partie importante de sa superficie est aussi occupée par des plans d'eau. Les transects 2-1, 2-6, 2-7 et 2-8 se retrouvent en majorité dans le peuplement en régénération tandis que les autres transects (2-2, 2-3, 2-4 et 2-5) sont aussi associés à des tourbières et des peuplements résineux.

2.1.3 Secteur de la fosse ouest

Le secteur de la fosse ouest couvre 60 ha. Quatre (4) transects ont été déployés dans ce secteur (T3-1, T3-2, T3-3, T3-4). Cette aire d'étude est principalement constituée de peuplements résineux et de landes à lichens (carte 3-3). Les transects 3-1 et 3-2 se retrouvent en majorité dans des peuplements résineux tandis que les transects 3-3 et 3-4 sont en majorité (T3-3) ou en grande partie (T3-4) associés à des landes à lichens.

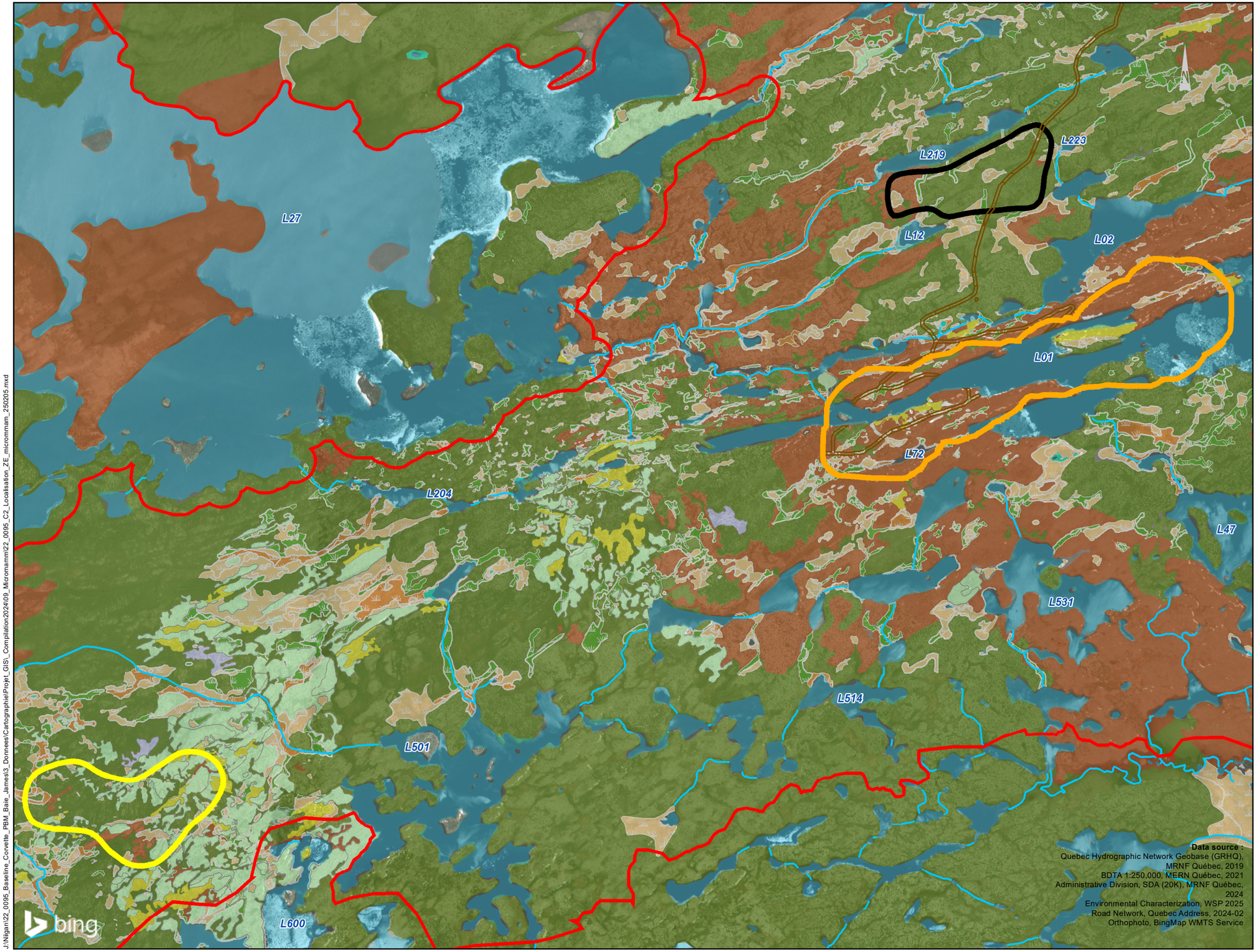

J:\Niigaan\22_0095_Baseline_Corvette_PBM_Baie_James\3_Donnees\Cartographie\Projet_GIS_Compilation\2024\09_Micromamm\02_0095_C2_Localisation_ZE_micromamm_250205.mxd

Carte 2 - Map 2

Localisation des zones d'étude
Location of study areas

- Zone d'inventaire / Inventory area
- Secteur de la fosse ouest CV13 / West pit sector CV13 (59,98 ha)
- Secteur de la fosse principale CV5 / Main pit sectort CV5 (163,28 ha)
- Secteur industriel projeté / Projected industrial sector (38.42 ha)
- Route d'hiver / Winter road

Hydrographie / Hydrography

- Cours d'eau / Watercourse
- Lac / Waterbody

Unité végétale / Plant unit

- Anthropique / Anthropic
- Champ de blocs / Block field
- Surface dénudée / Bare surface
- Arbustaie / Shrubland
- Eau peu profonde / Shallow water
- Peuplement de feuillus / Deciduous tree stand
- Lande arbustive / Shrubby heath
- Lande à lichens / Lichen moorland
- Marais / Marsh
- Marécge / Swamp
- Forêt mixte / Mixed forest
- Régénération / Regeneration
- Peuplement résineux / Coniferous stand
- Tourbière minérotrophe / Minerotrophic peat bog
- Tourbière ombrotrophe / Ombrotrophic peat bog

1:25 500

0 250 500 m

NAD 1983 CSRS MTM 8

Data source :
Quebec Hydrographic Network Geobase (GRHQ), MRNF Québec, 2019
BDTA 1:250,000, MERN Québec, 2021
Administrative Division, SDA (20K), MRNF Québec, 2024
Environmental Characterization, WSP 2025
Road Network, Quebec Address, 2024-02
Orthophoto, BingMap WMTS Service

Note : Cette carte n'a aucune valeur légale, seul un arpenteur-géomètre peut se prononcer sur l'exactitude des informations géographiques.
Note: This map has no legal value, only a land surveyor can comment on the accuracy of the geographical information.

Projet Shaakichiuwaanaan / Shaakichiuwaanaan Project

Inventaire des micromammifères – septembre 2023 / Inventory of micromammals – September 2023

Niigaan
Projet / Project: 22-0095 / 151022002

2025-05-22

Approuvé par / Approved by :
Marc Levasseur

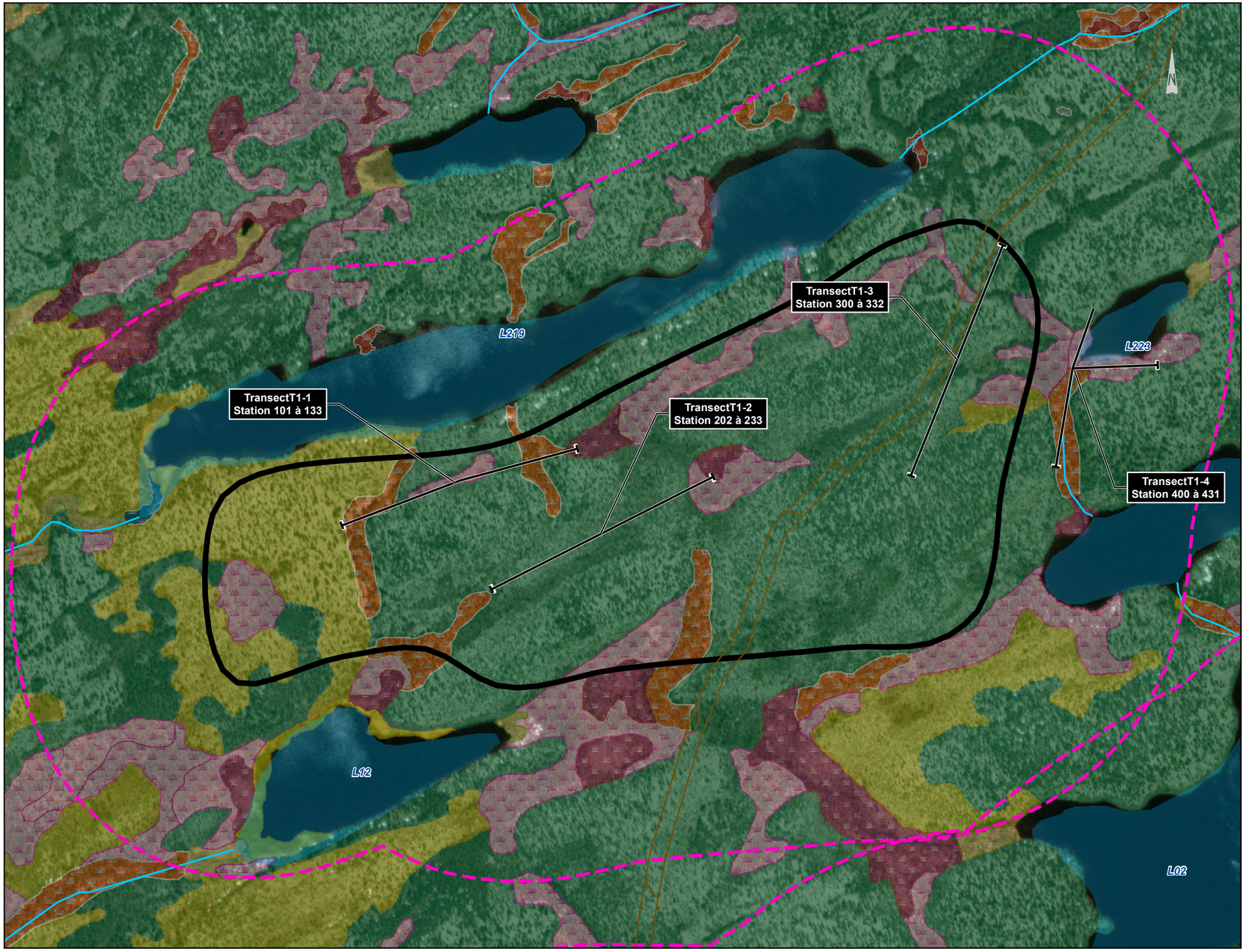

J:\Niigaan\22_0095_Baseline_Corvette_PBM_Baie_James\3_Donnees\Cartographie\Projet_GIS_Compilation\20240409_Micromamm\22_0095_C31a33_Secteur_micromamm_250724.mxd

Carte 3-1 - Map 3-1

Secteur industriel projeté (2023)
Projected industrial sector (2023)

- Zone d'inventaire / Inventory area
- Secteur industriel projeté / Projected industrial sector (38.42 ha)
- Route d'hiver / Winter road
- Zone tampon de 250 m (secteur industriel) et de 500 m (fosses) / Buffer zone of 250 m (industrial sector) and 500 m (pits)
- Transect d'inventaire - 320 mètres / Inventory transect - 320 meters

Hydrographie / Hydrography

- Watercourse
- Lac / Waterbody

Milieu humide / Wetland

- Eau peu profonde / Shallow Water
- Étang de castor / Beaver Pond
- Marais / Marsh
- Marécage arborescent / Treed Swamp
- Marécage arbustif / Shrub Swamp
- Tourbière minérotrophe boisée / Treed Fen
- Tourbière minérotrophe ouverte / Open Fen
- Tourbière ombrotrophe boisée / Treed Bog
- Tourbière ombrotrophe ouverte / Open Bog

Unité végétale / Plant unit

- Anthropique / Anthropogenic
- Surface dénudée / Bare Ground
- Champ de blocs / Boulder Field
- Arbustaie / Shrubland
- Feuillu / Deciduous Forest
- Lande à lichens / Lichen Tundra
- Mixte / Mixed Forest
- Régénération / Forest Regeneration
- Résineux / Coniferous Forest

Data source :
Quebec Hydrographic Network Geobase (GRHQ),MRNF Québec, 2019
Végétation, WSP, 2025
BDTA 1:250,000, MERN Québec, 2021
Administrative Division, SDA (20K), MRNF Québec,2024
Environmental Characterization, WSP 2025
Road Network, Quebec Address, 2024-02
Orthophoto, Esri WMTS Service

1:5 000
0 50 100 m
NAD 1983 CSRS MTM 8

Shaakichiuwaanaan Lithium Project /
Projet de lithium Shaakichiuwaanaan

Inventory of micromammals – September 2023 /
Inventaire des micromammifères – septembre 2023

Niigaan
Projet : 22-0095

2025-07-24
Approved by / Approuvé par :
Marc Levasseur

Note: This map has no legal value, only a land surveyor can comment on the accuracy of the geographical information.
Note : Cette carte n'a aucune valeur légale, seul un arpenteur-géomètre peut se prononcer sur l'exactitude des informations géographiques.

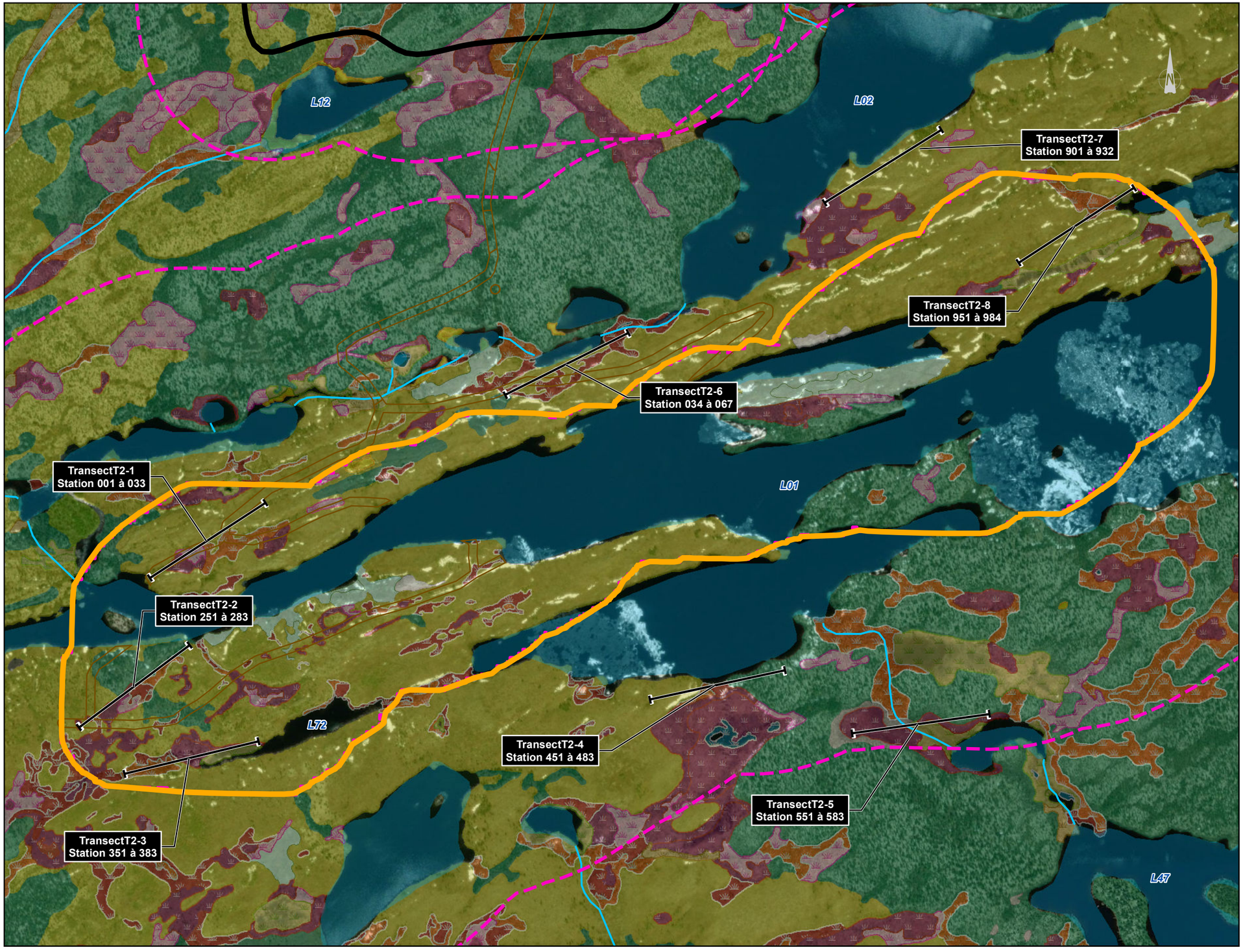

J:\Niigaan\22_0095_Baseline_Corvette_PBM_Baie_James\3_Donnees\Cartographie\Projet_GIS_Compilation\2024109_Micromamm\22_0095_C31a33_Secteur_micromamm_250724.mxd

Carte 3-2 - Map 3-2

Secteur de la fosse principale (2023)
Main Pit Sector (2023)

- Zone d'inventaire / Inventory area
- Secteur de la fosse principale CV5 / Main pit sectort CV5 (163,28 ha)
- Secteur industriel projeté / Projected industrial sector (38.42 ha)
- Route d'hiver / Winter road
- Zone tampon de 250 m (secteur industriel) et de 500 m (fosses) / Buffer zone of 250 m (industrial sector) and 500 m (pits)
- Transect d'inventaire - 320 mètres / Inventory transect - 320 meters

Hydrographie / Hydrography

- Watercourse
- Lac / Waterbody

Milieu humide / Wetland

- Eau peu profonde / Shallow Water
- Étang de castor / Beaver Pond
- Marais / Marsh
- Marécage arborescent / Treed Swamp
- Marécage arbustif / Shrub Swamp
- Tourbière minérotrophe boisée / Treed Fen
- Tourbière minérotrophe ouverte / Open Fen
- Tourbière ombrotrophe boisée / Treed Bog
- Tourbière ombrotrophe ouverte / Open Bog

Unité végétale / Plant unit

- Anthropique / Anthropogenic
- Surface dénudée / Bare Ground
- Champ de blocs / Boulder Field
- Arbustaie / Shrubland
- Feuillu / Deciduous Forest
- Lande à lichens / Lichen Tundra
- Mixte / Mixed Forest
- Régénération / Forest Regeneration
- Résineux / Coniferous Forest

Data source :
Quebec Hydrographic Network Geobase (GRHQ),MRNF Québec, 2019
Végétation, WSP, 2025
BDTA 1:250,000, MERN Québec, 2021
Administrative Division, SDA (20K), MRNF Québec,2024
Environmental Characterization, WSP 2025
Road Network, Quebec Address, 2024-02
Orthophoto, Esri WMTS Service

1:9 000

0 80 160 m

NAD 1983 CSRS MTM 8

Shaakichiuwaanaan Lithium Project /
Projet de lithium Shaakichiuwaanaan

Inventory of micromammals – September 2023 /
Inventaire des micromammifères – septembre 2023

Niigaan
Projet : 22-0095

2025-07-24
Approved by / Approuvé par :
Marc Levasseur

Note: This map has no legal value, only a land surveyor can comment on the accuracy of the geographical information.
Note : Cette carte n'a aucune valeur légale, seul un arpenteur-géomètre peut se prononcer sur l'exactitude des informations géographiques.

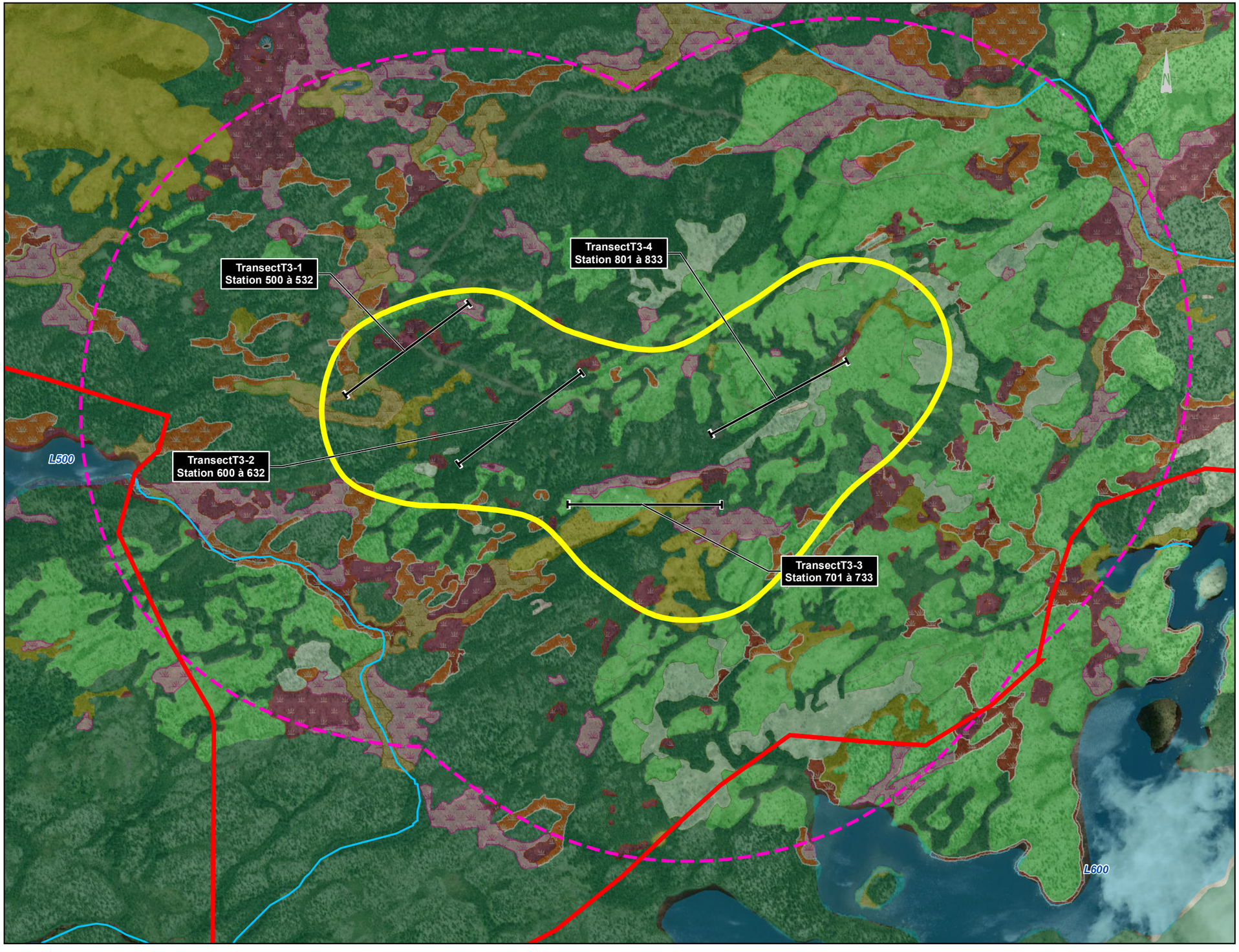

J:\Niigaan\22_0095_Baseline_Corvette_PBM_Baie_James\3_Donnees\Cartographie\Projet_GIS_Compilation\2024\09_Micromamm\22_0095_C31a33_Secteur_micromamm_250724.mxd

Carte 3-3 - Map 3-3

Secteur de la fosse ouest (2023)
West Trench Sector (2023)

- Zone d'inventaire / Inventory area
- Secteur de la fosse ouest CV13 / West pit sector CV13 (59,98 ha)
- Zone tampon de 250 m (secteur industriel) et de 500 m (fosses) / Buffer zone of 250 m (industrial sector) and 500 m (pits)
- Transect d'inventaire - 320 mètres / Inventory transect - 320 meters

Hydrographie / Hydrography

- Watercourse
- Lac / Waterbody

Milieu humide / Wetland

- Eau peu profonde / Shallow Water
- Étang de castor / Beaver Pond
- Marais / Marsh
- Marécage arborescent / Treed Swamp
- Marécage arbustif / Shrub Swamp
- Tourbière minérotrophe boisée / Treed Fen
- Tourbière minérotrophe ouverte / Open Fen
- Tourbière ombrotrophe boisée / Treed Bog
- Tourbière ombrotrophe ouverte / Open Bog

Unité végétale / Plant unit

- Anthropique / Anthropogenic
- Surface dénudée / Bare Ground
- Champ de blocs / Boulder Field
- Arbustaie / Shrubland
- Feuillu / Deciduous Forest
- Lande à lichens / Lichen Tundra
- Mixte / Mixed Forest
- Régénération / Forest Regeneration
- Résineux / Coniferous Forest

Data source :
Quebec Hydrographic Network Geobase (GRHQ),MRNF Québec, 2019
Végétation, WSP, 2025
BDTA 1:250,000, MERN Québec, 2021
Administrative Division, SDA (20K), MRNF Québec,2024
Environmental Characterization, WSP 2025
Road Network, Quebec Address, 2024-02
Orthophoto, Esri WMTS Service

1:8 000
0 75 150 m
NAD 1983 CSRS MTM 8

Shaakichiuwaanaan Lithium Project /
Projet de lithium Shaakichiuwaanaan

Inventory of micromammals – September 2023 /
Inventaire des micromammifères – septembre 2023

Niigaan
Projet : 22-0095

2025-07-24
Approved by / Approuvé par :
Marc Levasseur

Note: This map has no legal value, only a land surveyor can comment on the accuracy of the geographical information.
Note : Cette carte n'a aucune valeur légale, seul un arpenteur-géomètre peut se prononcer sur l'exactitude des informations géographiques.

3 Méthodologie

3.1 Protocole d'inventaire des micromammifères

Cet inventaire avait pour objectifs de dresser la liste des espèces de micromammifères présentes dans la zone d'inventaire, de connaître leur abondance relative dans les différents habitats susceptibles d'être perturbés et de valider la présence d'espèces en situation précaire. La disposition des transects visait à échantillonner l'ensemble des habitats présents dans la zone d'inventaire. À l'exception du caribou des bois (*Rangifer tarandus*), le Centre de données sur le patrimoine naturel du Québec (CDPNQ) ne signale pas la présence d'espèce à statut dans un rayon de 15 km du centre de la zone d'inventaire. Cependant, dans la région du Nord-du-Québec, deux (2) espèces de campagnols susceptibles d'être désignées menacées ou vulnérables au Québec sont rapportées dans des études environnementales réalisées dans cette région, soit le campagnol des rochers (*Microtus chrotorrhinus*) et le campagnol-lemming de Cooper (*Synaptomys cooperi*). Le campagnol des rochers fréquente les forêts d'érables et de bouleaux jaunes, ainsi que les forêts de sapins (Gouvernement du Québec, 2025); il a pour habitat préférentiel les talus humides et rocheux (falaises et affleurements de roc) comportant une source d'eau à proximité. Le campagnol-lemming de Cooper se trouve dans les milieux humides ouverts (tourbières à sphaignes et éricacées, marais herbeux) ainsi que dans les forêts mixtes humides entourant ces habitats (Desrosiers et coll., 2002).

La méthode retenue pour cet inventaire suit les grandes lignes du Protocole standardisé pour les inventaires de micromammifères au Québec du ministère de l'Environnement, de la Lutte contre les changements climatiques, de la Faune et des Parcs du Québec (MELCCFP; 2023). Notre protocole et la position des transects dans la zone d'inventaire ont été approuvés par la firme WSP (responsable de l'étude d'impact) et par le MELCCFP. La technique utilisée, soit celle du trappage mortel, permet une identification fiable de l'espèce à laquelle appartient le spécimen capturé. Cette technique permet également de vider la zone d'influence des pièges des espèces les plus abondantes, augmentant ainsi les chances de captures des espèces plus rares. L'inventaire a été réalisé à la fin de l'été (7 au 19 septembre 2023) puisque cette période de l'année offre des densités maximales de population en raison du recrutement des jeunes de l'année (MELCCFP; 2023).

L'inventaire a été effectué à l'aide de pièges-trappes (captures mortelles). Seize (16) transects ont été déployés dans les trois aires d'étude inventoriées. Chaque transect, d'une longueur de 320 m, comptait 33 stations d'inventaire munies de deux (2) pièges-trappes (2 trappes par station), soit 66 trappes au total. Du beurre d'arachide a été utilisé sur les pièges-trappes pour appâter les micromammifères. Les pièges de chaque transect ont été relevés tous les matins pendant cinq (5) jours consécutifs. Les pièges des huit (8) transects du secteur industriel projeté (T1-1, T1-2, T1-3 et T1-4) et du secteur de la fosse ouest (T3-1, T3-2, T3-3 et T3-4) ont été relevés du 8 au 12 septembre tandis que les transects (8) de la fosse principale (T2-1, T2-2, T2-3, T2-4, T2-5, T2-6, T2-7 et T2-8) ont été relevés du 15 au 19 septembre 2023. Les températures moyennes du 8 au 19 septembre 2023 se situaient entre 8 et 19,6 °C et aucune précipitation n'a été enregistrée. Les conditions météorologiques ont été favorables à l'inventaire des micromammifères.

Les spécimens capturés ont été notés chaque jour et à chaque transect. Chaque micromammifère capturé a été conservé dans un sac hermétique Ziploc qui a été numéroté et daté. Les animaux ont été congelés rapidement. À la fin de la période d'inventaire, ils ont été transportés et conservés dans un congélateur pour être identifiés ultérieurement en laboratoire. L'identification des micromammifères a été effectuée en partie à l'aide de la clé d'identification de Fauteux et coll. (2014). Le travail sur le terrain a été réalisé à la suite de l'obtention d'un permis de capture émis par le MELCCFP (2023-08-09-137-10-G-F).

4 Résultats

4.1 Secteurs inventoriés et peuplements écoforestiers

Des seize (16) transects qui ont été déployés dans les trois aires d'étude inventoriées, quatre (4) transects (T1-1, T1-2, T1-3 et T1-4) ont été installés dans le secteur nord (secteur industriel projeté), huit (8) transects (T2-1, T2-2, T2-3, T2-4, T2-5, T2-6, T2-7 et T2-8) dans le secteur central (secteur de la fosse principale) et quatre (4) autres transects (T3-1, T3-2, T3-3 et T3-4) ont été installés dans le secteur sud-ouest (secteur de la fosse ouest).

Les cartes 3-1 à 3-3 situent les 16 transects déployés dans les trois aires d'étude.

Le tableau 1 présente les principaux habitats que traversent les 16 transects dans leur secteur d'inventaire respectif. Afin de déterminer les peuplements végétaux que traversent les transects, une surface de 15 m de part et d'autre d'un transect de 320 m de long a été considérée (zone de référence), soit 1,05 ha (350 m x 30 m = 10 500 m² soit 1,05 ha). Le tableau 1 présente les deux ou trois principaux peuplements compris dans la zone de référence d'un transect (1.05 ha), soit le peuplement principal qui occupe la plus grande superficie dans la zone de référence du transect et les peuplements de 2e et 3e rang c.-à-d. les peuplements occupant le 2e et 3e rang en termes de superficie dans la zone de référence du transect.

Six transects (T1-2, T1-3, T2-1, T2-7, T2-8 et T3-2) ont une zone de référence composée de plus de 70 % d'un même peuplement (en gras dans le tableau 1). Deux transects (2-6 et 3-1) ont une zone de référence composée de plus de 50 % d'un même peuplement tandis que ce pourcentage se situe près de 50 % c'est-à-dire entre 45,4 % et 49,2 % pour les quatre autres transects (1-1, 2-5, 3-3 et 3-4); le pourcentage de ces 6 transects est en gras dans le tableau 1. Pour les quatre derniers transects, le peuplement principal compose entre 29.8 % et 40.8 % de la zone de référence (tableau 1).

Tableau 1. Peuplements écoforestiers présents dans les trois aires d'étude où les 16 transects ont été déployés

Transect	Latitude (Degrés décimaux)	Longitude (Degrés décimaux)	Peuplement principal [1] (%) [4]	Peuplement de 2e rang [2] (%)	Peuplement de 3e rang [3] (%)
Secteur industriel projeté (2023)					
1-1	53.53378732	-73.94049893	Peuplement résineux **(47.9 %)**	Marécage arborescent (26.2 %)	Tourbière boisée (ombrotrophe) (14.1 %)
1-2	53.53319847	-73.93768042	**Peuplement résineux (84.6 %)**	Tourbière ouverte (ombrotrophe) (14.1 %)	Marécage arborescent (1.3 %)
1-3	53.53522570	-73.93080054	**Peuplement résineux (98.8 %)**	Tourbière boisée (ombrrotrophe) (1.2 %)	---
1-4	53.53492809	-73.92860478	Tourbière boisée (ombrotrophe) (36.6 %)	Peuplement résineux (29.8 %)	Marécage arborescent (29.1 %)
Secteur de la fosse projetée (2023)					
2-1	53.52121161	-73.94656659	**Peuplement en régénération (72.1 %)**	Tourbière ouverte (ombrotrophe) (21 %)	Marécage arborescent (6.1 %)
2-2	53.51815227	-73.94910435	Peuplement en régénération (29.8 %)	Peuplement résineux (28 %)	Tourbière ouverte (ombrotrophe) (18.4 %)
2-3	53.51666914	-73.94708759	Marécage arborescent (31,5 %)	Tourbière ouverte (ombrotrophe) (27.6 %)	Régénération (20.1 %)
2-4	53.51825455	-73.92865661	Peuplement résineux (40.8 %)	Régénération (38 %)	Marécage arbustif (8,3 %)
2-5	53.51747235	-73.92151889	Tourbière ouverte (ombrotrophe) **(45.4 %)**	Peuplement résineux (28.6 %)	Tourbière ouverte (minérotrophe) (13.6 %)
2-6	53.52494684	-73.93400655	Peuplement en régénération **(56.5 %)**	Marécage arbustif (33.8 %)	Plan d'eau (5.5 %)
2-7	53.52911528	-73.92296435	**Peuplement en régénération (85,8 %)**	Tourbière ouverte (ombrotrophe) (11.7 %)	Tourbière boisée (ombrotrophe) (2,4 %)
2-8	53.52790677	-73.91616535	**Peuplement en régénération (72.6 %)**	Marécage arborescent (13.9 %)	Tourbière ouverte (minérotrophe) (7 %)
Secteur de la fosse ouest (2023)					
3-1	53.49777221	-74.02770995	Peuplement résineux **(56.2 %)**	Tourbière ouverte (ombrotrophe) (11.9 %)	Tourbière boisée (minérotrophe) (11.6 %)
3-2	53.49649827	-74.02416392	**Peuplement résineux (93 %)**	Lande à lichens (5.6 %)	Tourbière ouverte (ombrotrophe) (1.4 %)
3-3	53.49491039	-74.02023969	Lande à lichens **(49.2 %)**	Régénération (30.5 %)	Peuplement résineux (16.9 %)
3-4	53.49692067	-74.01607826	Peuplement résineux **(47 %)**	Lande à lichens (41.1 %)	Arbustaie (10.3 %)

1 Habitat principal : Peuplement occupant la plus grande superficie dans la zone de référence du transect
2 Habitat 2e rang : Peuplement occupant le 2e rang en termes de superficie dans la zone de référence du transect
3 Habitat 3e rang : Peuplement occupant le 3e rang en termes de superficie dans la zone de référence du transect
4 % : Superficie de la zone de référence de 1.05 ha que le peuplement occupe (en termes de pourcentage)

4.2 Diversité spécifique

Les inventaires de micromammifères effectués en septembre 2023 ont permis la capture d'un total de 748 individus. Huit (8) espèces ont été identifiées. Celles-ci proviennent de deux grands groupes : les Rongeurs dont deux familles sont représentées soit les Cricétidés (campagnols et souris) et les Zapodidés (souris sauteuses) et les Insectivores dont la famille des Soricidés (musaraignes) est représentée par une seule espèce (tableau 2).

À l'exception du campagnol-lemming de Cooper (*Synaptomys cooperi*), une espèce susceptible d'être désignée menacée ou vulnérable, toutes les espèces recensées sont communes au Québec.

Le tableau à l'annexe 2 résume le nombre d'individus qui a été identifié à l'aide de la clé de Fauteux et coll. (2014), c'est-à-dire à l'aide des mandibules, par rapport aux individus identifiés visuellement.

Tableau 2. Nombre de captures de micromammifères selon l'espèce

Ordre / Famille	Espèce		Total des captures
	Nom commun	Nom latin	
Ordre des Rongeurs :			
Famille des Cricétidés :			
	Campagnol des champs	*Microtus pennsylvanicus*	60
	Campagnol à dos roux de Gapper	*Myodes gapperi*	345
	Phenacomys	*Phenacomys ungava*	63
	Campagnol-lemming boréal	*Synaptomys borealis*	39
	Campagnol-lemming de Cooper	*Synaptomys cooperi*	16
	Peromyscus sp.	*Peromyscus sp.*	192
	Campagnol sp.	*Microtus sp.*	7
Famille des Zapodidés :			
	Souris-sauteuse des champs	*Zapus hudsonius*	12
Ordre des Insectivores :			
Famille des Soricidés :			
	Musaraigne cendrée	*Sorex cinereus*	14
Total :			**748**

4.3 Micromammifères et habitats

Les pièges mortels (trappes) des huit (8) transects déployés dans les secteurs nord (secteur industriel projeté) et ouest (secteur de la fosse ouest) ont été actifs du 8 septembre au 12 septembre (5 nuits). Tandis que les pièges des huit (8) transects déployés dans le secteur centre (secteur de la fosse projetée) ont été actifs du 14 septembre au 19 septembre (6 nuits). Concernant ce second groupe de transects, précisons que le premier relevé des transects (15 septembre) a obtenu le plus grand nombre de captures parmi les 5 nuits de capture, entre autres parce que les pièges sont restés actifs pendant 2 nuits consécutives puisque les hélicoptères n'ont pas pu quitter le sol le 14 septembre à cause de mauvaises conditions météorologiques. Par conséquent, les pièges n'ont pas pu être relevés le 14 septembre et il est impossible de déterminer combien de trappes ont été déclenchées à chacune de ces deux nuits de capture (14 et 15 septembre). C'est pourquoi l'effort de capture est plus élevé pour les transects de la zone 2 (tableau 3).

Un total de 748 micromammifères a été capturé au cours de 5 808 nuits-pièges, soit un succès de capture global de 12,9 spécimens par 100 nuits-pièges. Le succès de capture est sensiblement le même d'un secteur à l'autre soit de 12, 12,4 et 14,8 spécimens par 100 nuits-pièges pour les secteurs nord, central et sud-ouest respectivement. L'espèce la plus capturée a été le campagnol à dos roux de Gapper (*Myodes gapperi*) avec 345 captures, suivi de la souris du genre *Peromyscus* (*Peromyscus sp.*) avec 192 captures (tableau 2).

Le tableau 3 présente, par transect, l'effort de capture, les captures totales et le nombre d'espèces recensées. Au total, huit espèces de micromammifères ont été capturées dans les trois secteurs inventoriés. Dix (10) des 16 transects ont capturé cinq (5) espèces ou plus. En moyenne, les secteurs centre (secteur de la fosse principale) et ouest (secteur de la fosse ouest) ont obtenu le même nombre moyen d'individus capturés (μ = 49 individus) tandis que la zone nord (secteur industriel projeté) a capturé en moyenne moins d'individus (μ = 40 individus) (tableau 3). Le peuplement résineux occupe la majorité de la zone nord (carte 3-1; tableau 1). Ce peuplement apparaît aussi moins productif que le peuplement en régénération puisque la moyenne de captures des individus pour les transects où le peuplement résineux est dominant (T1-1, T1-2, T1-3, T2-4, T3-1, T3-2, T3-4) est de 46,9 individus par transect tandis qu'elle est de 56,2 individus par transect pour les transects où le peuplement en régénération est dominant (T2-1, T2-2, T2-6, T2-7, T2-8) (tableau 4). Soulignons la forte abondance de campagnols à dos roux de Gapper (n=170) et de la souris du genre *Peromyscus* (n=133) dans le secteur de la fosse projetée (tableau 5).

Le tableau 4 présente le nombre moyen d'individus capturés et le nombre moyen d'espèces recensées pour chaque communauté végétale qui occupent la plus grande superficie d'au moins un transect. Il faut tenir compte cependant que certains peuplements occupent plus de 80 % de la zone de référence du transect (tableau 1) tandis que d'autres peuplements occupent à peine 30 % de la zone de référence. De plus, 4 des 6 peuplements dominent (en termes de superficie) à un seul transect, ce qui limite le jeu des comparaisons. Comme soulevé précédemment, le nombre moyen d'individus capturés dans le peuplement résineux est inférieur au nombre moyen d'individus capturés dans le peuplement en régénération (46,9 vs 56,2 / tableau 4). Mais le nombre moyen d'espèces observées dans le peuplement résineux est cependant plus élevé (6,3 vs 5,4 / tableau 4). Il semble que les espèces communes comme le campagnol à dos roux de Gapper et la souris du genre *Peromyscus*, qui sont abondantes dans le peuplement en régénération, colonisent aisément ce type d'habitat. Les milieux en régénération sont souvent plus homogènes et moins riches en micro-habitats, ce qui pourrait contribuer à réduire la diversité des espèces animales présentes dans cette communauté végétale. Le transect 2-7 fait cependant exception à cette règle puisque 8 espèces de micromammifères y ont été observées (tableau 3). La présence d'un plan d'eau à proximité de ce transect pourrait expliquer la diversité des espèces observées au transect 2-7 (carte 3-2).

Tableau 3. Effort de capture, captures totales et nombre d'espèces recensées par transect

Transect	Effort de capture par transect	Peuplement principal	Captures totales	Nombre d'espèces
Zone 1 : secteur industriel projeté (2023)				
T1-1	330 nuits-piège	Peuplement résineux	46	8
T1-2	330 nuits-piège	Peuplement résineux	41	5
T1-3	330 nuits-piège	Peuplement résineux	29	6
T1-4	330 nuits-piège	Tourbière boisée	43	6
Moyenne (μ) :			(μ = 39,75)	
Sous-total :			**159**	
Zone 2 : secteur de la fosse projetée (2023)				
T2-1	396 nuits-piège	Peuplement en régénération	40	4
T2-2	396 nuits-piège	Peuplement en régénération	45	6
T2-3	396 nuits-piège	Marécage arborescent	33	4
T2-4	396 nuits-piège	Peuplement résineux	52	5
T2-5	396 nuits-piège	Tourbière ouverte	27	3
T2-6	396 nuits-piège	Peuplement en régénération	47	5
T2-7	396 nuits-piège	Peuplement en régénération	68	8
T2-8	396 nuits-piège	Peuplement en régénération	81	4
Moyenne (μ) :			(μ = 49,125)	
Sous-total :			**393**	
Zone 3 : secteur de la fosse ouest (2023)				
T3-1	330 nuits-piège	Peuplement résineux	45	6
T3-2	330 nuits-piège	Peuplement résineux	63	7
T3-3	330 nuits-piège	Lande à lichens	36	6
T3-4	330 nuits-piège	Peuplement résineux	52	7
Moyenne (μ) :			(μ = 49)	
Sous-total :			**196**	
Total :			748	

Aussi, le nombre moyen d'individus capturés pour ces deux peuplements (peuplements résineux et en régénération) est plus élevé par rapport aux quatre autres peuplements (tableau 4). La tourbière ouverte et le marécage arborescent montrent les valeurs les plus faibles pour le nombre moyen d'espèces observées et pour le nombre moyen d'individus capturés (tableau 4).

Tableau 4. Nombre moyen d'individus capturés et d'espèces recensées par communauté végétale

Peuplement principal	Échantillon	Transect(s)	Nombre moyen d'individus capturés	Nombre moyen d'espèces
Peuplement résineux	7 transects	T1-1, T1-2, T1-3, T2-4, T3-1, T3-2, T3-4	46,9	6,3
Peuplement en régénération	5 transects	T2-1, T2-2, T2-6, T2-7, T2-8	56,2	5,4
Tourbière boisée	1 transect	T1-4	43	6
Tourbière ouverte	1 transect	T2-5	27	3
Marécage arborescent	1 transect	T2-3	33	4
Lande à lichens	1 transect	T3-3	36	6
Moyenne (μ) :			40,4	5,1

Le tableau 5 présente le nombre de micromammifères capturés par espèce pour les 16 transects. À l'exception du campagnol-lemming de Cooper, toutes les espèces observées lors de la présente campagne de terrain sont communes au Québec.

Pour les insectivores, une seule espèce de musaraigne a été capturée, soit la musaraigne cendrée (*Sorex cinereus*). Étant donné que nous n'avons pas utilisé de pièges fosses dans le cadre du présent inventaire, il est normal que le succès de capture pour ce groupe soit faible. Cette espèce est cependant très commune au Québec.

Parmi les rongeurs capturés dans le cadre du présent inventaire, le campagnol à dos roux de Gapper, le campagnol des champs (*Microtus pennsylvanicus*), la souris du genre *Peromyscus* et la souris sauteuse des champs (*Zapus hudsonius*) sont aussi quatre espèces très communes au Québec. La souris du genre *Peromyscus* capturée dans la zone d'inventaire est très probablement la souris sylvestre (*Peromyscus maniculatus*) qui est présente plus au nord dans la province par rapport à la souris à pattes blanches (*Peromyscus leucopus*) qui s'étend moins au nord du fleuve Saint-Laurent.

Le campagnol-lemming boréal (*Synaptomys borealis*) et le phénacomys (*Phenacomys ungava*) sont deux autres espèces qui ont été capturées dans le cadre du présent projet. Ces deux espèces ne sont pas présentes au sud du fleuve Saint-Laurent, mais se retrouvent dans le nord du Québec. Elles ont été capturées en moins grand nombre que le campagnol des champs, le campagnol à dos roux de Gapper et la souris sylvestre, mais sont tout de même communes au Québec.

Tableau 5. Nombre de micromammifères capturés par espèce pour les 16 transects

Transect	Espèces (abréviation[1])									
	MIPE	MYGA	PHIN	SYBO	SYCO	MISP	PEMS	ZAHU	SOCI	Total (Nb esp[2])
Zone 1 : secteur industriel projeté (2023)										
T1-1	1	34	1	3	2	1	1	1	2	46 (8)
T1-2	0	28	3	0	2	0	5	0	3	41 (5)
T1-3	0	19	3	2	1	0	2	0	2	29 (6)
T1-4	6	25	3	3	0	0	5	0	1	43 (6)
Sous-total :	**7**	**106**	**10**	8	5	1	13	1	8	159
Zone 2 : secteur de la fosse projetée (2023)										
T2-1	3	15	5	0	0	0	17	0	0	40 (4)
T2-2	1	13	2	2	0	0	23	4	0	45 (6)
T2-3	9	16	0	1	0	0	7	0	0	33 (4)
T2-4	5	39	1	0	0	0	6	1	0	52 (5)
T2-5	0	25	0	1	0	0	1	0	0	27 (3)
T2-6	9	16	1	1	0	0	20	0	0	47 (5)
T2-7	2	33	11	2	2	0	16	1	1	68 (8)
T2-8	17	13	6	0	0	2	43	0	0	81 (4)
Sous-total :	**46**	**170**	**26**	7	2	2	133	6	1	393
Zone 3 : secteur de la fosse ouest (2023)										
T3-1	1	23	4	5	0	2	8	2	0	45 (6)
T3-2	0	17	10	9	1	0	19	2	5	63 (7) (6)
T3-3	2	5	8	5	5	2	9	0	0	36 (6)
T3-4	4	24	5	5	3	0	10	1	0	52 (7)
Sous-total :	**7**	**69**	**27**	24	9	4	46	5	5	196
Grand-total :	**60**	**345**	**63**	39	16	7	192	12	14	748

1 Abréviations : MIPE : campagnol des champs (*Microtus pennsylvanicus*)

MYGA : campagnol à dos roux de Gapper (*Myodes gapperi*)

PHIN : phénacomys (*Phenacomys ungava*)

SYBO : campagnol-lemming boréal (*Synaptomys borealis*)

SYCO : campagnol-lemming de Cooper (*Synaptomys cooperi*) / espèce susceptible d'être désignée menacée ou vulnérable

MISP : campagnol sp. (*Microtus sp.*)

PEMS : souris sylvestre (*Peromyscus maniculatus*)

ZAHU : souris sauteuse des champs (*Zapus hudsonius*)

SOCI : musaraigne cendrée (*Sorex cinereus*)

[2] **Nb esp :** Nombre d'espèces de micromammifères par transect

Le présent inventaire n'a pas permis de capturer le campagnol des rochers dans la zone d'inventaire, une espèce susceptible d'être désignée menacée ou vulnérable qui est présente dans le Nord-du-Québec. L'espèce est tout de même potentiellement présente dans la zone d'inventaire dans la mesure où son habitat préférentiel y est probablement présent.

4.3.1 Campagnol-lemming de Cooper

Le campagnol-lemming de Cooper est une espèce susceptible d'être désignée menacée ou vulnérable au Québec. Il fréquente les milieux humides où abonde la végétation. Il démontre une préférence pour les endroits où le sol est couvert d'une épaisse couche d'humus. On le trouve aussi dans les tourbières où la sphaigne et les éricacées prédominent, les marais herbeux ainsi que dans les forêts mixtes humides entourant ces habitats. Il serait aussi présent dans les champs, les prairies, les clairières créées par les coupes forestières et parmi les rochers où il y a abondance de mousse (Desrosiers et coll., 2002; Gouvernement du Québec, 2025).

C'est dans le secteur sud-ouest (secteur de la fosse ouest) que le plus grand nombre de campagnol-lemming de Cooper a été capturé, soit neuf (9) individus, ce qui correspond à 4,6 % des captures pour ce secteur (9 individus sur 196 captures; tableau 5). Ce secteur est dominé par les landes à lichens (carte 3-3). À l'opposé, seulement deux (2) campagnols-lemming de Cooper ont été capturés dans le secteur central (secteur de la fosse principale) soit 0,5 % des captures pour ce secteur (2 individus sur 393 captures). Ce secteur est dominé par des peuplements en régénération (carte 3-2). Les deux (2) campagnols-lemming de Cooper ont été capturés au transect 2-7 qui était situé en bordure d'un plan d'eau. Pour le secteur nord (secteur industriel projeté), qui est majoritairement composé de peuplements résineux, cinq (5) individus ont été capturés (sur 159 captures) soit 3,1 % des captures dans ce secteur. Ce secteur est entouré de plusieurs plans d'eau et des tourbières sont présentes à plusieurs endroits dans cette aire d'étude.

Ces résultats suggèrent que les peuplements en régénération ne semblent pas optimums pour maintenir une population de campagnols-lemming de Cooper. Cependant, la présence des landes à lichens semble favoriser la présence du campagnol-lemming de Cooper dans le secteur sud-ouest. L'espèce est absente au transect 3-1 où on ne retrouve à peu près pas de landes à lichens (carte 3-3). Le secteur nord (secteur industriel projeté) offre une diversité d'habitats (peuplements résineux, tourbières, plans d'eau) qui semblent favoriser la présence du campagnol-lemming de Cooper (carte 3-1).

5 Conclusion

Les inventaires de micromammifères ont confirmé la présence de huit (8) espèces dans la zone d'inventaire, soit la musaraigne cendrée, le campagnol à dos roux de Gapper, le campagnol des champs, le campagnol-lemming boréal, le phénacomys, la souris du genre *Peromyscus*, la souris sauteuse des champs et le campagnol-lemming de Cooper, une espèce susceptible d'être désignée menacée ou vulnérable au Québec. À l'exception de ce dernier, toutes ces espèces sont communes au Québec. Le campagnol des rochers devrait être considéré comme potentiellement présent dans la zone d'inventaire bien qu'il n'ait pas été recensé dans le cadre de cet inventaire.

Les peuplements en régénération ne semblent pas offrir les habitats favorables à la présence du campagnol-lemming de Cooper. En revanche, les landes à lichens, présentes dans le secteur de la fosse ouest, semblent favoriser la présence du campagnol-lemming de Cooper dans ce secteur. Le secteur nord (secteur industriel projeté) offre une diversité de peuplements (résineux, tourbières, plans d'eau) qui semblent aussi favoriser la présence de l'espèce.

6 Références consultées

Banfield, A.W.F. 1974. Les mammifères du Canada. 2e édition. Les Presses de l'Université Laval et University of Toronto Press. Ste-Foy. 406 p.

Centre de données sur le patrimoine naturel du Québec (CDPNQ). 2025. Carte interactive sur les espèces en situation précaire. Ministère de l'Environnement et de la Lutte contre les changements climatiques et ministère des Forêts, de la Faune et des Parcs. https://services-mddelcc.maps.arcgis.com/apps/webappviewer/index.html?id=2d32025cac174712a8261b7d94a45ac2

Desrosiers, N., R. Morin et J. Jutras. 2002. Atlas des micromammifères du Québec. Société de la faune et des parcs du Québec. Direction du développement de la faune. Québec. 92 pages

ECCC (Environnement et changement climatique Canada). 2025. Rapport de données quotidiennes pour septembre 2023 - Climat – La Grande 4 A, Québec.

Fauteux, D., G. Lupien, F. Fabianek, J. Gagnon, M. Séguy, and L. Imbeau. 2014. An illustrated key to the mandibles of small mammals of eastern Canada. Canadian Field-naturalist 128(1): 25–37.

GCM Consultants. 2021. Projet de traitement du minerai aurifère des projets Barry et Moroy à l'usine de la mine Bachelor et augmentation du taux d'usinage. Rapport sectoriel. Inventaire des reptiles, des amphibiens et de mammifères. Env0266-1505-02. 18 pages.

Gouvernement du Québec. 2025. Liste des espèces fauniques menacées ou vulnérables. https://www.quebec.ca/agriculture-environnement-et-ressources-naturelles/faune/gestion-faune-habitats-fauniques/especes-fauniques-menacees-vulnerables/liste

Jutras, J., 2005. Protocole pour les inventaires de micromammifères. Ministère des Ressources naturelles et de la Faune, Direction du Développement de la faune. 10 pages.

MELCCFP (ministère de l'Environnement, de la Lutte contre les changements climatiques, de la Faune et des Parcs). 2023. Protocole standardisé pour les inventaires de micromammifères au Québec, gouvernement du Québec, Québec, 33 pages + annexe.

Prescott, J. et P. Richard. 2014. Mammifères du Québec et de l'Est du Canada. Éditions Michel Quintin. Waterloo. 399 pages.

Annexe 1

Permis SEG lié à l'inventaire des micromammifères

Ministère
de l'Environnement,
de la Lutte contre
les changements
climatiques, de la Faune
et des Parcs
Québec

Direction de la gestion de la faunedu Nord-du-Québec
Secteur de la faune et des parcs

PAR COURRIEL

Le 24 août 2023

Monsieur Steve Therrien
Groupe Synergis
5582, boulevard des Hêtres
Shawinigan (Québec) Canada G9N 4W1

N/Réf. : 2023-08-09-137-10-G-F

Objet : Permis à des fins de gestion de la faune

Monsieur,

La Direction de la gestion de la faune du ministère de l'Environnement, de la Lutte contre les changements climatiques, de la Faune et des Parcs vous délivre un permis de gestion de la faune afin de vous permettre de réaliser vos objectifs. Veuillez prendre connaissance du contenu de votre permis, il fait état des conditions que vous devez respecter. Tout manquement à l'une des conditions de ce permis peut entraîner pour vous et vos aides des poursuites judiciaires et une amende. Nous vous rappelons que malgré les possibilités légales d'exercer certaines activités à caractère exceptionnel, ce permis ne vous soustrait pas vous et vos aides à l'obligation de vous conformer à toute autre réglementation applicable.

Veuillez signer votre permis : celui-ci est personnel, il ne peut être délégué, cédé ou transféré à une autre personne. Vous devez le porter sur vous lorsque vous exercez les activités qui y sont prévues. Vous devez l'exhiber à un agent de protection de la faune qui vous en fait la demande. Vos aides doivent également porter sur eux une copie de ce permis lorsqu'ils sont en cours d'activité. Tout travail effectué en vertu de ce permis doit être fait sous votre supervision.

Avant de travailler sur le terrain, vous devez informer la Direction de la protection de la faune de la région du Nord-du-Québec — bureau de Radisson — et lui communiquer votre plan de travail. De plus, pour accéder à un territoire particulier, vous devez aviser l'organisme responsable ou obtenir toutes les autorisations requises. Il en va de même pour accéder à une propriété privée.

951, boulevard Hamel
Chibougamau (Québec) G8P 2Z3
Téléphone : 418 748-7701
Télécopieur : 418 748-3338
www.mffp.gouv.qc.ca

Pour toute demande d'information concernant votre permis, veuillez communiquer à l'adresse suivante : nord-du-quebec.faune.permis@mffp.gouv.qc.ca
Lors de toute communication concernant votre permis, veuillez indiquer le numéro apparaissant sur le permis.

Pour Rosine Nguempi Melou,
directrice régionale,

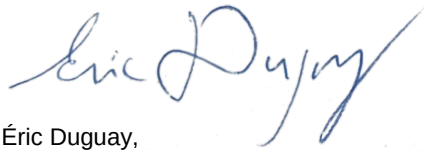

ED/NG/msd/bstj

Éric Duguay,
Adjoint exécutif et coordinateur pour les affaires autochtones

p.j. (2)

c. c. MM. Nassirou Gueye, biologiste, Direction de la gestion de la faune du Nord-du-Québec, MELCCFP
Christian Labbé, commandant, directeur p.i. de la protection de la faune, district nord-ouest, MELCCFP

Annexe 2

Nombre de captures de micromammifères selon l'espèce et méthode d'identification

Nombre de captures de micromammifères selon l'espèce et méthode d'identification

Ordre / Famille / Espèce	Méthode d'identification		Total
	Dents	Visuelle	
Ordre des Rongeurs			
Famille des Cricétidés			
Campagnol des champs	40	20	60
Campagnol à dos roux de Gapper	61	284	345
Phenacomys	31	32	63
Campagnol-lemming boréal	6	33	39
Campagnol-lemming de Cooper	11	5	16
Peromyscus sp.	0	192	192
Campagnol sp.	0	7	7
Famille des Zapodidés			
Souris-sauteuse des bois	2	10	12
Ordre des Insectivores			
Famille des Soricidés			
Musaraigne cendrée	12	2	14
Total :	**163**	**585**	**748**

Ministère de l'Environnement, de la Lutte contre les changements climatiques, de la Faune et des Parcs
Québec

Permis de gestion de la faune

N° du permis						
Année	Mois	Jour	Nº séq.	Région	Type	Loi
2023	08	09	137	10	G	F

Période de validité du permis						
Année	Mois	Jour		Année	Mois	Jour
2023	09	01	AU	2023	09	25

Ce permis comprend neuf sections numérotées de 1 à 9.

Régions visées : Nord-du-Québec

1 Titulaire

Monsieur Steve Therrien
Biologiste
Groupe Synergis
5582, boulevard des Hêtres
Shawinigan (Québec) Canada G9N 4W1
Téléphone : 819 536-5610
Courriel : stherrien@synergis.ca
Résident

2 Personne(s) supervisée(s) par le titulaire

Nom	Statut ou qualification	Téléphone
Marc Levasseur	Biologiste sénior, chargé des opérations terrain	819 695-2326
Olivier LaHay-Yergeau	Technicien de la faune, assistance terrain	819 531-1900
Ariel Jacques	Technicienne de la faune, assistance terrain	418 281-0846
Laurence Denis	Biologiste- stagiaire	819 536-0513
Jérémie Boulay	Biologiste	819 701-8900
Laura Chamberland	Technicienne de la faune	439 379-2699
Nicolas Chapotard	Technicien en bioécologie	819 852-3532
François Corbeil	Technicien de la faune	450 513-1112
Alexander Cristiano Miserere	Technicien en bioécologie	514 713-9050
Jacinthe Daoust	Technicienne de la faune	514 758-5067
Laurie-Anne Dumont	Technicienne de la faune	450 421-4623
Jérôme Francoeur	Biologiste	418 378-4973
Vincent Lessard	Biologiste	514 776-8965
Antoine Sicotte	Technicien en milieu naturel	514 506-9456

3 Autorisation

Le présent permis autorise, en vertu de l'article 47 de *Loi sur la conservation et la mise en valeur de la faune*, le titulaire et les personnes mentionnées à la section 2 à passer outre aux dispositions de l'article 30 et du premier alinéa de l'article 56 de cette loi, afin de capturer les micromammifères mentionnés à la section 5 et de les transporter jusqu'au bureau du Groupe Synergis à Shawinigan dans le but de les identifier, pour le compte de Patriot Battery Metals, dans le cadre d'un projet d'acquisition de connaissance pour initier et planifier l'état de référence du projet minier Corvette et ce, aux conditions suivantes :

4 Localisation des lieux de capture

Territoires visés : Secteur nord du lac de la Corvette au sud de la route Transtaïga

Municipalité : Eeyou Istchee Baie-James

Endroits de capture :

Plans d'eau ou site	Coordonnées géographiques	Plans d'eau ou site	Coordonnées géographiques
Fosse principale (CV13)	53.521579 ° N -73.936050 ° O		—. — N —— .— O
Fosse Ouest (CV5)	53.531406 ° N -73.942795 ° O		
Secteur industriel projeté	53.537676 ° N -73.918167 ° O		

5 Spécimens

Espèces visées	Quantité maximale	Caractéristiques (taille, sexe, âge, etc.)
Toutes les espèces de micromammifères	illimitée	Tout âge, toute taille, tout sexe

6 Modes de capture des/animaux/poissons

Engin	Type ou modèle	Quantité	Dimensions/spécifications
Pièges à ressorts (Victor)	Victor original mouse trap	500	Standard
Seine	Wide pedal mouse trap	500	Standard

7 Manipulations, transport et disposition des spécimens

Les spécimens de micromammifères décrits à la section 5 peuvent être capturés, sacrifiés et identifiés.

Les spécimens peuvent être transportés : morts du lieu de capture au bureau du Groupe Synergis - 5582 – boulevard des Hêtres, Shawinigan - QC – Canada G9N4W1

8	**Autres conditions à respecter**

Pour être valide, le permis doit être signé par le titulaire.

Vous devez informer le bureau local de la protection de la faune de Radisson (téléphone : 819-638-8305, poste 221; télécopieur : 819 638-6074), 48 heures avant de travailler sur le terrain, et leur communiquer votre plan de travail. Si vous ne pouvez joindre le personnel, prenez note des démarches effectuées et laissez un message indiquant vos intentions.

Le titulaire et ses aides doivent porter sur eux le présent permis (ou une copie de celui-ci) lorsqu'ils exercent des activités prévues au permis, et l'exhiber à un agent de protection de la faune qui en fait la demande.

Un rapport écrit des activités doit être transmis avant le **22 décembre 2023** à l'attention à l'adresse courriel suivante : nord-du-quebec.faune.permis@mffp.gouv.qc.ca

Ou par la poste à l'adresse suivante :

Direction de la gestion de la faune du Nord-du-Québec

Ministère de l'Environnement, de la Lutte contre les changements climatiques, de la Faune et des Parcs

951, boulevard Hamel

Chibougamau (Québec) G8P 2Z3

Ce rapport doit contenir les renseignements suivants :

- date et heure de / pêche / capture ;
- carte localisant les stations de capture;
- description du matériel et de la méthode de capture utilisés pour chaque station;
- liste et nombre des spécimens capturés par espèce, par engin, par station;
- données biologiques (longueur, masse, etc.) sur les espèces capturées.

Chaque engin de capture doit être identifié de façon lisible au nom du titulaire ou porter le numéro du présent permis. Dans le cas des engins submergés, l'identification doit être lisible sans qu'on ait besoin de retirer l'engin de l'eau.

Les spécimens capturés ne peuvent être vendus, donnés, échangés ou consommés sans le consentement écrit du Ministère.

Les spécimens non visés ou capturés contrairement aux conditions du présent permis doivent, s'ils sont indemnes et vivants, être remis en liberté à l'endroit même de leur capture; s'ils sont blessés ou morts, le titulaire doit les déclarer à un agent de protection de la faune et, si ce dernier l'exige, les lui remettre pour confiscation.

Tout addenda relatif à ce permis fait partie intégrante de ce permis. Les conditions précisées au permis s'appliquent avec les adaptations nécessaires

9	**Fonctionnaire autorisé**

Directrice de la gestion de la faune **Éric Duguay pour Rosine Nguempi Melou** Nom (en lettres moulées)	Signature	Date de délivrance 2023 / 08 / 24
Téléphone : 418 748-7701	Télécopieur : 418 748-3338	Courriel : rosine.melou@mffp.gouv.qc.ca

Signature du titulaire

NIIGAAN

ANNEXE

6-24 IMPACTS SUR LA SANTÉ

RESSOURCES PMET INC.

PROJET MINIER SHAAKICHIUWAANAAN

ÉTUDE SECTORIELLE DES IMPACTS SUR LA SANTÉ

MARS 2026

CONFIDENTIEL

RÉF. WSP : CA0001724.3318_019_R_REV0

VERSION FINALE

RESSOURCES PMET

PROJET SHAAKICHIUWAANAAN

ÉTUDE SECTORIELLE DES IMPACTS SUR LA SANTÉ

VERSION FINALE
CONFIDENTIEL

RÉF. WSP : CA0001724.3318_019_R_REV00

MARS 2026

WSP CANADA INC.
11E ÉTAGE
1600, BOULEVARD RENÉ-LÉVESQUE OUEST
MONTRÉAL (QUÉBEC) H3H 1P9
CANADA

TÉLÉPHONE : +1-514-340-0046
TÉLÉCOPIEUR : +1-438-843-8111

WSP.COM

GESTION DES RÉVISIONS

VERSION	DATE	DESCRIPTION
RevA	2025-12-08	Version préliminaire
RevA	2025-12-19	Version préliminaire pour AEIC
RevB	2026-03-18	Version préfinale
Rev0	2026-03-28	Version finale

SIGNATURES

PRÉPARÉ PAR

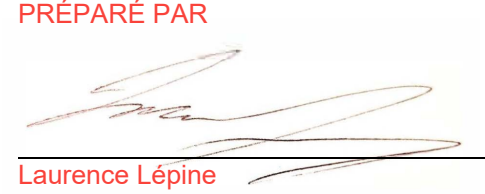

Laurence Lépine
Spécialiste sénior, relation avec les communautés

28 mars 2026
Date

RÉVISÉ PAR

Gilles Vaillancourt
Conseiller sénior en études d'impacts - milieu humain

28 mars 2026
Date

LIMITATIONS

WSP Canada Inc. (« WSP ») a préparé ce rapport uniquement pour son destinataire Ressources PMET Inc., conformément à la convention de consultant convenue entre les parties. Advenant qu'une convention de consultant n'ait pas été exécutée, les parties conviennent que les Modalités générales à titre de consultant de WSP régiront leurs relations d'affaires, lesquelles vous ont été fournies avant la préparation de ce rapport.

Ce rapport est destiné à être utilisé dans son intégralité. Aucun extrait ne peut être considéré comme représentatif des résultats de l'évaluation.

Les conclusions présentées dans ce rapport sont basées sur le travail effectué par du personnel technique, entraîné et professionnel, conformément à leur interprétation raisonnable des pratiques d'ingénierie et techniques courantes et acceptées au moment où le travail a été effectué.

Le contenu et les opinions exprimées dans le présent rapport sont basés sur les observations et/ou les informations à la disposition de WSP au moment de sa préparation, en appliquant des techniques d'investigation et des méthodes d'analyse d'ingénierie conformes à celles habituellement utilisées par WSP et d'autres ingénieurs/techniciens travaillant dans des conditions similaires, et assujettis aux mêmes contraintes de temps, et aux mêmes contraintes financières et physiques applicables à ce type de projet.

WSP dénie et rejette toute obligation de mise à jour du rapport si, après la date du présent rapport, les conditions semblent différer considérablement de celles présentées dans ce rapport; cependant, WSP se réserve le droit de modifier ou de terminer ce rapport sur la base d'informations, de documents ou de preuves additionnels.

WSP ne fait aucune représentation relativement à la signification juridique de ses conclusions.

La divulgation de tout renseignement faisant partie du présent rapport relève uniquement de la responsabilité de son destinataire. Si un tiers utilise, se fie, ou prend des décisions ou des mesures basées sur ce rapport, ledit tiers en est le seul responsable. WSP n'accepte aucune responsabilité quant aux dommages que pourrait subir un tiers suivant l'utilisation de ce rapport ou quant aux dommages pouvant découler d'une décision ou mesure prise basée sur le présent rapport.

WSP a exécuté ses services offerts au destinataire de ce rapport conformément à la convention de consultant convenue entre les parties tout en exerçant le degré de prudence, de compétence et de diligence dont font habituellement preuve les membres de la même profession dans la prestation des mêmes services ou de services comparables à l'égard de projets de nature analogue dans des circonstances similaires. Il est entendu et convenu entre WSP et le destinataire de ce rapport que WSP n'offre aucune garantie, expresse ou implicite, de quelque nature que ce soit. Sans limiter la généralité de ce qui précède, WSP et le destinataire de ce rapport conviennent et comprennent que WSP ne fait aucune représentation ou garantie quant à la suffisance de sa portée de travail pour le but recherché par le destinataire de ce rapport.

En préparant ce rapport, WSP s'est fié de bonne foi à l'information fournie par des tiers, comme indiqué dans le rapport. WSP a raisonnablement présumé que les informations fournies étaient correctes et WSP ne peut donc être tenu responsable de l'exactitude ou de l'exhaustivité de ces informations.

Les bornes et les repères d'arpentage utilisés dans ce rapport servent principalement à établir les différences d'élévation relative entre les emplacements de prélèvement et/ou d'échantillonnage et ne peuvent servir à d'autres fins. Notamment, ils ne peuvent servir à des fins de nivelage, d'excavation, de construction, de planification, de développement, etc.

Les conditions générales d'un site ne peuvent être extrapolées au-delà des zones définies et des emplacements de prélèvement et d'échantillonnage. Les conditions d'un site entre les emplacements de prélèvement et d'échantillonnage peuvent différer des conditions réelles. La précision et l'exactitude de toute extrapolation et spéculation au-delà des emplacements des prélèvements et d'échantillonnage dépendent des conditions naturelles, de l'historique de développement du site et des changements entraînés par la construction et des autres activités sur le site. De plus, l'analyse a été effectuée pour les paramètres chimiques et physiques déterminés seulement, et il ne peut pas être présumé que d'autres substances chimiques ou conditions physiques ne sont pas présentes. WSP ne fournit aucune garantie et ne fait aucune représentation contre les risques environnementaux non décelés ou contre des effets négatifs causés à l'extérieur de la zone définie.

L'original du fichier électronique que nous vous transmettons sera conservé par WSP pour une période minimale de dix ans. WSP n'assume aucune responsabilité quant à l'intégrité du fichier qui vous est transmis et qui n'est plus sous le contrôle de WSP. Ainsi, WSP n'assume aucune responsabilité quant aux modifications faites au fichier électronique suivant sa transmission au destinataire.

Ces limitations sont considérées comme faisant partie intégrante du présent rapport.

CLIENT

RESSOURCES PMET INC.

Vice-présidente – Communauté & ESG	Éva Roy-Vigneault
Vice-présidente – Environnement et autorisations	Cathryn Moffett

ÉQUIPE DE RÉALISATION

WSP CANADA INC. (WSP)

Spécialiste sénior, relation avec les communautés	Laurence Lépine
Anthropologue	Karine Neumann
Anthropologue	Maïté Blancquaert

RÉFÉRENCE À CITER

WSP. 2026. *Projet minier Shaakichiuwaanaan. Étude sectorielle des impacts sur la santé.*. Rapport produit pour Ressources PMET Inc. Réf. WSP : CA0001724.3318_019_R_Rev0. 98 pages.

SIGLES ET ACRONYMES

ACS+	Approche comparative entre les sexes plus
AEIC	Agence d'évaluation d'impact du Canada
CBC	Radio-Canada
CBJNQ	Convention de la Baie-James et du Nord québécois
CCNDS	Centre de collaboration nationale sur les déterminants de la santé
CCNPPS	Centre de collaboration nationale sur les politiques publiques et la santé
CCSSSBJ	Conseil cri de la santé et des services sociaux et de la Baie-James
CLSC	Centre local
CMAJ	Canadian Medical Association Journal
CMC	Centre Miyupimaatisiiun Communautaire
CRSSSBJ	Centre régional de santé et de services sociaux de la Baie-James
CSSSPNQL	Commission de la santé et des services sociaux des Premières-Nations du Québec et du Labrador
CUSM	Centre universitaire de santé McGill
CVE	Composante valorisée de l'environnement
EANEPN	Étude sur l'alimentation, la nutrition et l'environnement chez les Premières Nations
EIE	Étude d'impact sur l'environnement
EIS	Évaluation des impacts sur la santé
ENFFADA	Enquête nationale sur les femmes et filles autochtones disparues et assassinées
EPC	Eeyou Planning Commission
EQSP	Enquête québécoise sur la santé de la population
ERA	Entente de répercussions et avantages
FAP	Femmes en âge de procréer
FFADA	Femmes et filles autochtones assassinées et disparues
IBC	Indice de bien-être communautaire (IBC)

INSPQ	Institut national de santé publique du Québec
IQI	Ilusirsusiarniq, Qanuinngisiarniq et Inuuqatigiitsianiq
ISQ	Institut de la statistique du Québec
ITSS	Incidence des infections transmises sexuellement et par le sang
LDI	Lignes directrices individualisées
MELCCFP	Ministère de l'environnement, de la Lutte contre les changements climatiques, de la Faune et des Parcs
MPO	Pêches et Océans Canada
MPOC	Maladies pulmonaires obstructives chroniques
MSSS	Ministère de la santé et des services sociaux
OIQ	Ordre des ingénieurs du Québec
OMS	Organisation mondiale de la Santé
PAEF	Programme d'aide aux employés et à leur famille
PPN	Panier de provisions nutritif
PSÉ	Programme de sécurité économique
PSR	Programme de sécurité du revenu pour les chasseurs et piégeurs Cris
REMMMD	Règlement sur les effluents des mines de métaux et des mines de diamants
RRSSN	Régie régionale de la santé et des services sociaux du Nunavik
RUIS	Réseau universitaire intégré de santé
SAAQ	Société de l'assurance automobile du Québec
SCHL	Société canadienne d'hypothèques et de logement
SDBJ	Société de développement de la Baie-James
SEBJ	Société d'énergie de la Baie-James
SIPPE	Services intégrés en périnatalité et pour la petite enfance
TCBJ	Terres-cries-de-la-Baie-James
VIH	Virus de l'immunodéficience humaine

TABLE DES MATIÈRES

1 Approche d'évaluation 1
1.1 Définitions de la santé 1
1.1.1 Définitions générales 1
1.1.2 Définitions autochtones de la santé 2
1.1.3 Définition de la santé propre aux Cris 3
1.1.4 Définition de la santé propre aux Inuit 4
1.2 Approche ACS+ 5
1.3 Étapes de l'ÉIS 7
1.4 Intégration des résultats des consultations 10
1.5 Méthodologie 12
1.5.1 Sources utilisées 12
1.5.2 Limites spatiales et temporelles 13
1.5.3 Caractérisation des impacts résiduels 16

2 Caractérisation du milieu 19
2.1 Déterminants structurels de la santé 19
2.1.1 Racisme et colonialisme 19
2.1.2 Autodétermination et gouvernance 20
2.2 Déterminants systémiques de la santé 21
2.2.1 Indice de bien-être des communautés 21
2.2.2 Contexte démographique 22
2.2.3 Services publics 23
2.2.4 Contexte environnemental 27
2.2.5 Contexte social et culturel 28
2.3 Déterminants immédiats de la santé 29
2.3.1 Contexte socioéconomique 29
2.3.2 Milieu de vie 32
2.3.3 Continuité culturelle, langue et identité 35
2.3.1 Sécurité 39
2.3.2 Habitudes de vie et comportements 42
2.4 État de santé 48
2.4.1 Santé globale 48
2.4.2 Santé physique 49
2.4.3 Santé mentale 56

3 Interaction du projet avec la composante valorisée 59

4 Évaluation des impacts résiduels 63
4.1 Mesures d'atténuation 63
4.2 Embauche de main-d'œuvre et retombées économiques 63
4.2.1 Facteurs structurels 64
4.2.2 Changement dans les relations familiales 65
4.2.3 Changement dans la dynamique communautaire 66
4.2.4 Situation financière 67
4.2.5 Sécurité 68
4.2.6 Santé mentale et comportements à risque 69
4.2.7 Habitudes de vie et santé physique 71
4.3 Présence et opération de la mine 72
4.3.1 Facteurs structurels 72
4.3.2 Changements dans la qualité de l'environnement 73
4.3.3 Présence des installations 75
4.3.4 Changements dans la pratique d'activités traditionnelles 76
4.3.5 Changement dans les habitudes alimentaires 78
4.3.6 Changements dans le sentiment d'appartenance et la continuité culturelle 80
4.4 Mesures d'atténuation 82
4.4.1 Construction et exploitation 82
4.4.2 Fermeture 84
4.5 Évaluation des impacts résiduels 85
4.5.1 Construction et exploitation 85
4.5.2 Fermeture 88

5 Incertitudes et limites 89

6 Bibliographie 91

Tableaux

Tableau 1-1 Sous-groupes populationnels faisant l'objet d'une analyse particulière 6
Tableau 1-2 Grille de validation à chaque étape de l'EIS 7
Tableau 1-3 Sommaire des préoccupations exprimées par les communautés autochtones (à compléter) 10

Tableau 1-4 Sommaire des préoccupations exprimées par les allochtones 11
Tableau 1-5 Grille de détermination de l'intensité de l'impact 17
Tableau 1-6 Grille de détermination de l'importance des impacts 18
Tableau 2-1 Indice de bien-être des communautés 2021 22
Tableau 2-2 Tendances démographiques des communautés cries, 2021 - 2041 22
Tableau 2-3 Proportion des épisodes de soins par niveau de fardeau de déplacement 24
Tableau 2-4 Prix d'un panier de provisions nutritif pour une famille de quatre personnes, 2016 29
Tableau 2-5 Indice des prix à la consommation par rapport à la moyenne des communautés Cries, 2023 29
Tableau 2-6 Prix de certaines denrées de base dans les communautés cries et en Jamésie, 2023 30
Tableau 2-7 Prévalence de l'insécurité alimentaire modérée et grave dans la population 30
Tableau 2-8 Proportions de logements surpeuplés ou nécessitant des réparations majeures dans les communautés, 2022 31
Tableau 2-9 Indice de Gini sur le revenu de marché ajusté des ménages, 2021 32
Tableau 2-10 Proportion des Cris pratiquant des activités traditionnelles, par fréquence, 2005 et 2012 37
Tableau 2-11 Proportion de Cris estimant que le mode de vie traditionnel est menacé, 2005 et 2012 37
Tableau 2-12 Proportion des adultes des Premières Nations rapportant des contraintes sur les lieux de chasse, de pêche ou de récolte des baies, écozone Taïga du Bouclier et Québec 38
Tableau 2-13 Nombre de blessures liées aux accidents de la route et taux de variation dans la région du Nord-du-Québec, par niveau de sévérité, 2019 à 2024 40
Tableau 2-14 Proportion de répondants de l'écozone Taïga du bouclier au Québec ayant consommé de la nourriture traditionnelle et quantités moyennes consommées quotidiennement 42
Tableau 2-15 Principaux avantages des aliments traditionnels selon les adultes des Premières Nations au Québec 44

Tableau 2-16 Principaux avantages des aliments du commerce selon les adultes des Premières Nations au Québec 44
Tableau 2-17 Proportion de la population de 15 ans et plus inactive entre 2014-2015 et 2020-2021 46
Tableau 2-18 Proportion des jeunes du secondaire inactifs entre 2010-2011 et 2022-2023 46
Tableau 2-19 Proportion de la population de 18 ans et plus en situation d'obésité, 2008, 2014-2015 et 2020-2021 47
Tableau 2-20 Proportion de la population ayant consommé excessivement de l'alcool, 2020-2021 48
Tableau 2-21 Proportion des jeunes du secondaire ayant consommé de l'alcool et de la drogue dans la dernière année, 2022-2023 48
Tableau 2-22 Espérance de vie à la naissance et à 65 ans, période 2015-2017 49
Tableau 2-23 Mortalité prématurée par 100 000 habitants, période 2019-2021 49
Tableau 2-24 Nombre de bénéficiaires cris de la CBJNQ aux prises avec le diabète de type 2, par groupe d'âge et par sexe, 2021 49
Tableau 2-25 Prévalence, ajustée selon l'âge, du diabète de type 2 en Eeyou Istchee et au Québec, de 2002 à 2021 50
Tableau 2-26 Ratio de prévalence par sexe, ajustée selon l'âge, du diabète de type 2 en Eeyou Istchee par rapport au reste du Québec 50
Tableau 2-27 Prévalence estimée d'hypertension pour les TCBJ 51
Tableau 2-28 Prévalence ajustée de certaines maladies chroniques pour la région du Nord-du-Québec, en 2020-2021 52
Tableau 2-29 Taux bruts d'incidence d'infection génitale par 100 000 habitants à *Chlamydia trachomatis* et taux de variation 52
Tableau 2-30 Moyenne par année du nombre de cas déclarés de syphilis, d'hépatite C et de VIH (période 2018-2022) 52
Tableau 2-31 Taux de mortalité infantile et périnatale pour 1 000 naissances vivantes, 2000 à 2015 53
Tableau 2-32 Proportion de grossesses adolescentes et ratio comparatif à la moyenne québécoise, 2009-2013 53
Tableau 2-33 Hospitalisations annuelles dans les Terres-cries-de-la-Baie-James par cause et ratio

comparatif par rapport au Québec, 2010-2011 à 2012-2013 54
Tableau 2-34 Ratio comparatif du taux de mortalité standardisé par cause, Terres-cries-de-la-Baie-James et le Québec, 2009-2013 55
Tableau 2-35 Nombre et taux par 100 000 habitants de suicide et d'hospitalisation à la suite d'une tentative de suicide, 2021 56
Tableau 2-36 Proportion de la population de 15 ans et plus en situation de détresse psychologique 57
Tableau 3-1 Tableau synthétique des interactions du projet avec la composante valorisée 59
Tableau 3-2 Impacts potentiels, voies d'action et paramètres mesurables pour la santé 62
Tableau 4-1 Concentrations maximales en métaux calculées dans l'effluent final et critères de qualité énoncés dans la Directive 019 et le *Règlement sur les effluents des mines de métaux et de diamants* 73
Tableau 4-2 Correspondance entre les paramètres affectés et les mesures d'atténuation 84
Tableau 4-3 Sommaire de l'évaluation des impacts (construction et exploitation) 87
Tableau 4-4 Sommaire de l'évaluation des impacts (fermeture) 88

Figures

Figure 1-1 Déterminants sociaux de la santé des peuples autochtones (Loppie & Wien, 2022) 2
Figure 1-2 Modèle IQI des déterminants de santé 5
Figure 1-3 Carte des régions sociosanitaires du Québec 15
Figure 1-4 Carte des écozones du Québec 15
Figure 2-1 Valeurs socioculturelles importantes utilisées dans le cadre d'une étude du CCSSSBJ 28
Figure 3-1 Voies d'action illustrant les effets potentiels du Projet 61

Cartes

Carte 1 Zone d'étude régionale – Milieu humain
Carte 2 Inventaire du milieu humain dans la zone d'étude locale

1 Approche d'évaluation

1.1 Définitions de la santé

1.1.1 Définitions générales

1.1.1.1 Définition de la santé et de l'EIS

L'évaluation des impacts sur la santé (EIS) se base sur une approche axée sur les déterminants de santé pour évaluer les répercussions multiples et complexes que peuvent entraîner des changements dans l'environnement biophysique et social des communautés (AEIC, 2020).

L'Organisation mondiale de la Santé (OMS) définit la santé comme un « un état complet de bien-être physique, mental et social, et ne consiste pas seulement en une absence de maladie ou d'infirmité » (OMS, 1946). Afin de mesurer la santé de la population de la zone d'étude régionale (ZÉR), plusieurs dimensions sont à considérer, soit la santé globale, la santé physique et la santé mentale et psychosociale. L'état de santé global fournit une vue d'ensemble, obtenue à partir d'indicateurs comme l'espérance de vie, ou encore la perception de son état de santé. La santé physique est mesurée à l'aide de données relatives aux maladies et aux traumatismes qui affectent tous les systèmes du corps humain (respiratoire, digestif, nerveux, reproducteur, etc.). La santé mentale et psychosociale est évaluée à l'aide de données d'indicateurs positifs (par exemple, la satisfaction à l'égard de la vie) ou négatifs (les idées suicidaires et les troubles mentaux, notamment), ainsi que d'indicateurs d'adaptation sociale (incluant les différentes formes de violence, de négligence et d'abus) (ministère de la Santé et des Services sociaux du Québec, 2012).

1.1.1.2 Déterminants biophysiques et sociaux de santé

Les Lignes directrices individualisées émises par l'AEIC pour le Projet (LDI) précisent que les *déterminants biophysiques et sociaux* de la santé doivent être décrits (p. 20). Les déterminants biophysiques sont définis comme la qualité de certaines caractéristiques de l'environnement physique ayant un lien étroit avec la santé des populations, comme la qualité de l'air, la qualité de l'eau, l'innocuité des aliments traditionnels, le bruit et la luminosité (INSPQ, 2025). Les déterminants sociaux de la santé sont définis par les « circonstances dans lesquelles les individus naissent, grandissent, vivent, travaillent et vieillissent ainsi que les systèmes mis en place pour faire face à la maladie. Ils comprennent, entre autres, le revenu et le statut social, les réseaux de soutien social, l'instruction, l'emploi et les conditions de travail, les milieux sociaux, les milieux physiques, l'hygiène de vie et les habiletés d'adaptation, le développement sain durant l'enfance, le genre et la culture » (OMS 2017 cité par Morrisson, 2017). Ainsi, l'état de santé d'une population est influencé par ces facteurs, sans que ceux-ci soient nécessairement la cause directe de problèmes particuliers ou de maladies. En ce sens, l'état de santé résulte d'une interaction constante entre l'individu et son milieu (INSPQ, 2022).

La santé et ses déterminants biophysiques et sociaux seront intégrés dans le cadre d'analyse défini selon une perspective autochtone, décrit à la section 1.1.2.

1.1.2 Définitions autochtones de la santé

Puisqu'il n'existe pas de liste ou de modèle normatif des déterminants autochtones de la santé, leur prise en compte doit reposer sur l'utilisation de modèles conceptuels appropriés au contexte social et culturel d'analyse (AEIC, 2020). Les LDI indiquent que les profils de santé communautaires doivent être établis *en utilisant les définitions de la santé et du bien-être propres à chacune des communautés autochtones consultées* (p.20). La section qui suit offre un cadre basé sur des sources autochtones ou co-écrites en collaboration avec des communautés autochtones pour se conformer aux LDI.

Les concepts autochtones en matière de santé sont souvent compris comme plus holistiques que les modèles occidentaux. Au niveau individuel, la santé inclut à la fois sa dimension physique, mais aussi sa dimension mentale, spirituelle, émotionnelle et relationnelle. Au niveau collectif, elle est envisagée comme un phénomène global prenant racine dans une diversité de facteurs sociaux, économiques, culturels et environnementaux. Ainsi, les cadres autochtones ont tendance à envisager la santé non seulement dans sa dimension physique, mais aussi dans ses dimensions mentales, spirituelles et relationnelles. Ils reconnaissent aussi la santé comme étant déterminés par un vaste éventail de facteurs sociaux, économiques, culturels et environnementaux. En ce sens, ces cadres ont tendance à voir les individus évoluant *avec* leur environnement plutôt *qu'à l'intérieur* de celui-ci, soulignant l'importance de la relation réciproque entre chaque personne et leurs environnements physiques, sociaux et spirituels (Firelight Group, 2021).

Afin de refléter la vision holistique de la santé des peuples autochtones ainsi que le contexte historique et social particulier dans lequel cette vision s'insère, plusieurs cadres de références et modèles théoriques ont été proposés pour élargir la définition et la portée des déterminants de santé (voir entre autres: First Nations Major Projects Coalition, 2020; Hackett et al., 2018; INSPQ, 2014; St-Pierre, 2021). Pour se conformer aux exigences de la LDI, le cadre adopté pour définir les déterminants de santé autochtones sera celui proposé par le Centre de coopération national de la santé des autochtones (Loppie & Wien, 2022) (voir figure 1-1).

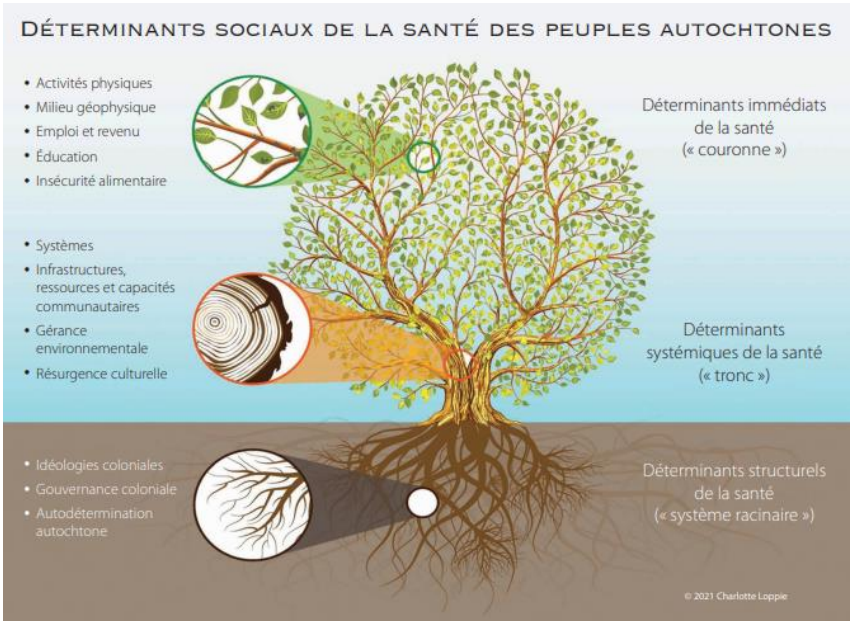

Figure 1-1 Déterminants sociaux de la santé des peuples autochtones (Loppie & Wien, 2022)

Dans ce modèle, les déterminants *structurels* représentent les processus historiques, politiques et sociaux qui ont marqué les communautés autochtones et exercent une influence sur l'ensemble des autres déterminants de santé (p. ex. Lois sur les Indiens, pensionnats autochtones, autodétermination en matière de services de santé). Les déterminants *systémiques* se trouvent dans les institutions et les infrastructures sociales et les systèmes comme l'éducation, les services de santé, de justice, d'aide sociale et autres sur lesquels repose la répartition des ressources et des services de soutien, et dans l'engagement des personnes et des communautés. Au sein de ces environnements, l'équité ou l'iniquité se manifeste dans les politiques, les pratiques et la représentativité comme dans la manière dont on tente ou non de réduire les obstacles à l'accès aux services publics. Les déterminants *immédiats* ont quant à eux un effet direct sur la santé des personnes. Ils comprennent notamment l'éducation et la formation, l'emploi (et conséquemment le revenu et le statut social), le soutien social de même que les ressources (individuelles, familiales, territoriales et communautaires) (Loppie & Wien, 2022).

Ce modèle, qui s'ancre dans les études précédemment citées, permet d'inclure les déterminants biophysiques et sociaux de la santé et de rendre compte du *caractère holistique de la santé des Premières Nations* mentionné dans les LDI (p.22). Il permet aussi d'intégrer des éléments structurels mentionnés par les LDI dans un cadre de santé cohérent et d'illustrer leurs ramifications complexes au niveau collectif, familial et individuel, notamment *les traumas causés par le développement hydroélectrique [ayant] des impacts sur la cohésion sociale, l'augmentation du stress et l'exacerbation de problèmes sociaux* (p. 3 des LDI).

Finalement, ce cadre permet de se conformer aux bonnes pratiques de First Nations Major Projects Coalition (2020) qui recommande notamment de considérer les impacts dans les différents milieux de vie des individus, en considérant les conséquences de changements à la fois sur la vie en communauté et à la maison, mais aussi sur le territoire et en milieu de travail.

1.1.3 Définition de la santé propre aux Cris

Pour les Cris, la santé et ses déterminants sont définis comme *miyupimaatisiiun* (bien-vivre). Il consiste en un équilibre relationnel entre plusieurs éléments sociaux, économiques et environnementaux. Cette conception d'un ensemble multidimensionnel et solidaire constitue une vision holistique de la santé : la santé des communautés, la santé de l'environnement et la santé des individus sont étroitement interdépendantes et imbriquées (Cree Trappers' Association, 2009). En ce sens, *miyupimatisiiun* signifie notamment qu'une personne est capable de chasser, de piéger et de pratiquer d'autres activités terrestres, qu'elle a accès à de la bonne nourriture (viande de gibier et tout ce qui provient de la terre) et à la chaleur, et qu'elle est capable de profiter de la vie et de participer activement à la communauté (Adelson, 2000 ; CCSSSJB, 2004 ; Tanner, 2008, cités par Radu, 2015). En pratique, elle repose entre autres sur la présence en territoire, qu'elle soit fréquente ou non, et à l'engagement actif dans *Indoh-hoh* et l'*Eeyou/Eenou Iiyiyiuyihtuwin* (qui réfèrent à la fois au mode de vie sur le territoire et à l'organisation sociale des Cris, incluant l'engagement actif avec la cosmologie crie) (Radu, 2015). Ainsi, la préservation des ressources naturelles et la cohésion sociale sont indissociables de la notion de santé (INSPQ, 2014).

Cette conception de la santé n'est pas explicitement intégrée dans le cadre conceptuel de cette étude, mais le modèle choisi (Loppie & Wien, 2022) permet de rester cohérent avec le caractère holistique et territorialisé de la santé propre aux Cris.

1.1.4 Définition de la santé propre aux Inuit

Le modèle de santé IQI (Ilusirsusiarniq, Qanuinngisiarniq et Inuuqatigiitsianiq, voir figure 1-2) propose une conception holistique de la santé, définie comme un équilibre dynamique entre la santé physique (Ilusirsusiarniq), le bien-être émotionnel et mental (Qanuinngisiarniq) et la qualité des relations sociales et familiales (Inuuqatigiitsianiq). Ces dimensions sont indissociables et influencées par huit déterminants sociaux de la santé interreliés : la communauté, la famille, la culture et l'identité inuites, les relations sociales et le soutien mutuel, l'éducation et la transmission intergénérationnelle des savoirs, l'emploi et les moyens de subsistance, la sécurité et la justice, ainsi que l'accès à des services de santé et sociaux culturellement sécurisants. Le modèle IQI met ainsi l'accent sur les forces communautaires, les relations harmonieuses et les conditions de vie comme fondements essentiels de la santé et du bien-être des Nunavimmiut (RRSSN, 2017).

En plus de constituer un modèle culturellement significatif, le modèle IQI constitue également un outil de dialogue avec les populations non inuites, en offrant un cadre commun permettant de mieux comprendre les conceptions inuites de la santé et du bien-être et de favoriser un processus plus équitable de co-création des connaissances. Cette approche a notamment été opérationnalisée de façon concrète dans l'enquête de santé publique *Qanuilirpitaa?,* où le modèle IQI a servi de cadre conceptuel pour définir, mesurer et analyser la santé et le bien-être des Nunavimmiut à partir de perspectives culturellement pertinentes, démontrant ainsi sa pertinence tant sur le plan scientifique que pour l'action en santé publique (Fletcher et al., 2024).

Cette conception de la santé n'est pas explicitement intégrée dans le cadre conceptuel de cette étude, mais le modèle choisi (Loppie & Wien, 2022) permet de rester cohérent avec le caractère holistique de la santé propre aux Inuit.

Figure 1-2 Modèle IQI des déterminants de santé

1.2 Approche ACS+

Une EIS doit tenir compte du fait que les changements provoqués par un projet peuvent avoir un effet disproportionné sur certains segments de la population. Elle doit donc examiner les impacts non seulement au niveau de la communauté, mais aussi au niveau des sous-groupes qui la composent, comme les femmes, les travailleurs, les jeunes, les aînés ainsi que les personnes appartenant simultanément à plusieurs de ces sous-groupes. Se rapportant aux appels à l'action de l'Enquête nationale sur les femmes et filles autochtones disparues et assassinées (ENFFADA, 2019b), l'Agence d'évaluation d'impact du Canada (AEIC) rappelle que les projets extractifs doivent porter une attention particulière aux impacts touchant spécifiquement les femmes, filles et personnes 2ELGBTQIA+ autochtones. En cohérence avec ces appels à l'action, les LDI soulignent la nécessité d'adopter une approche incluant l'Analyse comparative entre les sexes (ACS+) dans le cadre de l'EIS.

De plus, plusieurs organisations autochtones insistent sur l'importance d'utiliser l'ACS+ en portant une attention particulière aux facteurs structurels et historiques propres aux Premières Nations, approche parfois nommée ACS+ culturellement pertinente (Cuturally Relevant Gender-Based Analysis+) (Comité permanent de la condition féminine, 2022; Association des femmes autochtones du Canada, 2022; Narratives Inc & AEIC, 2022). Le tableau 1-1 détaille les sous-groupes populationnels faisant l'objet d'une analyse particulière.

Tableau 1-1 Sous-groupes populationnels faisant l'objet d'une analyse particulière

Groupes à considérer	Justification
Communautés autochtones	L'inclusion des communautés autochtones dans l'analyse ACS+ est essentielle, car elles entretiennent des relations particulières, historiques, culturelles et juridiques avec le territoire susceptible d'être affecté par le projet. Les déterminants de la santé, du bien-être et de la sécurité alimentaire des peuples autochtones, incluant les Cris et les Inuit sont étroitement liés à l'accès au territoire, aux activités traditionnelles (chasse, pêche, cueillette), à la transmission culturelle et aux structures communautaires (Cree Trappers' Association, 2009; Firelight Group, 2021; Loppie & Wien, 2022; RRSSN, 2017).
Femmes+	Les femmes+ peuvent vivre des effets distincts d'un projet en raison de rôles sociaux différenciés, de responsabilités accrues en matière de soins, de dynamiques économiques genrées et de risques spécifiques liés à la sécurité, à la santé ou à l'accès aux services. Dans les contextes de grands projets industriels, plusieurs études ont démontré que les femmes+, particulièrement les femmes autochtones, peuvent être plus exposées à certains impacts indirects, notamment l'augmentation du coût de la vie, les pressions sur les services communautaires ou les risques accrus de violence basée sur le genre.
Hommes+	L'inclusion des hommes+ est nécessaire afin de comprendre comment les normes de genre, les attentes liées au rôle de pourvoyeur et les conditions de travail associées aux projets industriels peuvent influencer leur santé physique et mentale, leurs comportements à risque ou leur participation à la vie communautaire. Les hommes sont souvent surreprésentés dans les emplois liés à la construction et à l'exploitation, ce qui peut entraîner des expositions professionnelles spécifiques, des enjeux de santé mentale et des effets sur la dynamique familiale, particulièrement dans des contextes de travail en navettage (Brouillette et al., 2022; Courtenay, 2000; Santé Canada, 2026).
Enfants et jeunes	Les enfants et les jeunes présentent des vulnérabilités biologiques, sociales et développementales spécifiques. Ils peuvent être plus sensibles aux expositions environnementales, aux changements dans l'environnement social et aux perturbations de la transmission culturelle. À long terme, les effets d'un projet sur l'accès à l'alimentation traditionnelle, sur la qualité de l'environnement ou sur la cohésion communautaire peuvent influencer leur développement, leur santé mentale et leur sentiment d'identité. (CCSSSBJ, 2023; Greenwood & de Leeuw, 2012)
Personnes 2ELGBTQI+	Les personnes 2ELGBTQI+ peuvent être touchées de manière disproportionnée par les changements sociaux induits par un projet, notamment dans des contextes où les normes sociales sont fortement genrées ou où les services spécialisés sont limités. Elles peuvent faire face à des obstacles spécifiques en matière de sécurité, d'accès aux soins, de santé mentale et d'inclusion sociale (Comeau et al., 2023; Gouvernement du Canada, 2024).
Personnes à faible revenu	Les personnes à faible revenu ou à revenu fixe présentent une vulnérabilité accrue aux changements économiques, environnementaux et sociaux associés aux projets de développement. Elles disposent généralement de moins de marges de manœuvre pour absorber les hausses du coût de la vie, les perturbations de l'accès aux ressources locales ou les changements dans les services (Bernier, 2021; Boucher et al., 2024).

1.3 Étapes de l’ÉIS

L’Orientation provisoire de Santé Canada ordonne le processus d’EIS en sept étapes distinctes (Santé Canada, 2024) (voir tableau 1-2). Cependant, l’Orientation précise que bien que ce processus soit présenté de façon linéaire, il s’agit plutôt d’une démarche itérative effectuée collaborativement avec les communautés d’accueil du projet. Par exemple, l’apparition de nouvelles informations en cours d’analyse peut générer de nouvelles préoccupations au sein de la communauté, ce qui influencera le cadrage effectué au cours de la phase précédente. La grille de validation par étapes, au tableau 1-2, montre de quelle façon chacune des activités clés a été suivie, mais ne présente pas nécessairement la séquence temporelle des activités. Le chapitre 3 de l’étude d’impact environnemental (ÉIE) décrit en détail les processus de consultations avec les communautés, incluant les discussions relatives à la santé.

Tableau 1-2 Grille de validation à chaque étape de l’EIS

Éléments de vérification	Commentaires
Étape 1 : Dépistage	
Situer le contexte du type de projet et fournir un résumé des informations de base.	Les informations relatives au projet sont présentées au chapitre 2 de EIE.
Examiner les déterminants de la santé pour relever ceux qui s’appliquent à la santé et au bien-être des personnes potentiellement touchées par le projet désigné et leurs indicateurs correspondants. Déterminer auxquelles de ces catégories appartiennent les déterminants de la santé propres aux autochtones et leurs indicateurs correspondants.	Les déterminants de santé et leurs indicateurs sont présentés au chapitre 2. Les indicateurs de santé propres aux autochtones ont été déterminés en fonction des modèles de santé autochtone à la section 1.1.
Analyser toute préoccupation ou pression forte des collectivités autochtones locales, du public, des intérêts politiques ou de la couverture médiatique concernant le projet désigné, l’importance de réaliser une EIS pouvant y être renforcée.	Le Conseil cri de la santé et des services sociaux et les utilisateurs du territoire ont été consultés pour recueillir leurs préoccupations. Le chapitre 3 de l’EIE présente l’ensemble des consultations menées.
Identifier les groupes qui pourraient être touchés de façon disproportionnée par le projet désigné (p. ex., certains groupes d’âge, les minorités visibles, les groupes socialement isolés et les personnes).	L’approche ACS+ est décrite à la section 1.2. Les considérations spécifiques au genre et aux personnes en situation d’intersectionnalité sont intégrées à la caractérisation du milieu au chapitre 2 et l’impact spécifique sur ces sous-groupes est décrit au chapitre 4.
Cadrage	
Définir les limites temporelles et spatiales de l’EIS.	Les limites des différentes zones d’études ainsi que les limites temporelles sont présentées à la section 1.6.
Consulter les collectivités potentiellement touchées, les groupes autochtones, d’autres intervenants et les décideurs, et intégrer leurs commentaires.	Le chapitre 3 présente l’ensemble des consultations menées dans le cadre du projet. À partir des commentaires recueillis, et des instructions dans les LDI, une liste de cadrage préliminaire a été dressée pour recenser les voies d’action possible et sélectionner les déterminants de santé à considérer. Les modèles de santé utilisés sont décrits à la section 1.1.2.
Sélectionner tous les déterminants de la santé s’appliquant au projet.	
Prioriser les déterminants de la santé à l’aide de méthodes transparentes.	

Éléments de vérification	Commentaires
Déterminer le type de données nécessaires à la réalisation de l'EIS. Déterminer les contraintes de la collecte de données (p. ex., le calendrier et les ressources).	Une liste préliminaire des indicateurs liés à chaque déterminant de santé a été établie en fonction de la disponibilité, de la fiabilité et de la précision des données permettant d'établir un état de référence. Cette liste a ensuite été convertie en table des matières pour le chapitre 2.
Justifier le choix des déterminants et préciser les raisons pour lesquelles certains ne feront pas l'objet d'une évaluation approfondie.	Les déterminants sélectionnés sont décrits au chapitre2 et regroupent l'ensemble des déterminants mentionnés directement ou indirectement dans les consultations, les LDI et la littérature et qui sont liés aux voies d'exposition potentielles.
Résumer la portée des travaux tout en définissant les rôles et les responsabilités.	Sans objet pour cette étude
Analyse	
Dresser un profil sanitaire de référence de la collectivité qui comprend des données démographiques et sanitaires adéquates, propres à chaque collectivité potentiellement touchée et adaptées au contexte du projet.	Le profil sanitaire de référence est établi au chapitre 2.
Inclure les renseignements de référence sur les conditions sanitaires et un résumé de ceux sur les conditions sociales, économiques et environnementales provenant de rapports d'évaluation plus détaillés.	Les informations relatives aux conditions sociales, économiques et environnementales proviennent du chapitre 6 de l'EIE et sont résumées ici au chapitre 2 2, notamment dans les sections 2.2. et 2.3. Sont aussi incluses des informations relatives à l'utilisation du territoire qui proviennent également du chapitre 6 de l'EIE. À l'inverse, certaines informations détaillées de ce rapport sectoriel sont résumées dans le chapitre 6 de l'EIE.
Définir l'outil d'aide à la décision qui assurera la transparence du processus d'EIS.	Les impacts potentiels ainsi que les voies d'action sont présentés aux chapitres 3 et 4. L'analyse présente de façon transparente les effets directs et indirects du projet sur chacun des déterminants de la santé retenus lors du cadrage. Elle repose sur une approche multiniveau, qui examine les répercussions depuis les déterminants structurels jusqu'aux déterminants immédiats (voir section 1.1.2), afin d'évaluer si chaque déterminant peut être influencé positivement ou négativement, de manière directe ou indirecte.
Évaluer séparément chaque déterminant de la santé sélectionné au cours de l'étape du cadrage pour déterminer s'il peut être touché directement ou indirectement et de manière positive ou négative par le projet désigné, en tenant compte de sa position relative dans la séquence des effets sur la santé.	
Faire apparaître les relations de cause à effet et leurs interactions (séquence des effets).	
Montrer de quelle façon l'évaluation repose sur des éléments solides, des données pertinentes et le jugement professionnel.	La méthode d'évaluation des impacts suit les bonnes pratiques en la matière et est décrite à la section 1.6.
Décrire les effets du projet à l'aide de critères standards de caractérisation des effets (p. ex., ampleur et probabilité).	
Prendre en compte les renseignements et les données disponibles figurant dans d'autres sections d'une EIE, ou dans tout autre instrument législatif ou exigence réglementaire applicable.	L'analyse prend en compte les conclusions de l'EIE ainsi que de divers rapports sectoriels abordant une composante ayant un lien direct ou indirect avec les déterminants de santé. Par ailleurs, l'analyse des impacts prend en compte les renseignements et recommandations de diverses instances gouvernementales telles que le Comité permanent de la condition féminine (2022) ou encore la Commission d'enquête sur les relations entre les Autochtones et certains services publics (2019).
Déterminer les incertitudes et les limites et analyser leur pertinence par rapport aux conclusions générales.	Les incertitudes et limites sont présentées au chapitre 5.

Éléments de vérification	Commentaires
Prendre en compte les effets cumulatifs et prévoir des recommandations additionnelles dans les cas où ils seraient modérés ou graves.	Ce rapport sectoriel est pris en compte dans l'analyse des impacts cumulatifs qui est présentée au chapitre 10 de l'EIE. Les interactions complexes entre les facteurs structurels et les facteurs systémiques et immédiats dans le cadre du projet sont abordées de façon transversale à travers l'ensemble de l'évaluation des impacts.
Recommandations	
Relier les recommandations aux conclusions de la section de l'analyse.	Un tableau de concordance entre les mesures d'atténuation et les résultats de l'analyse est présenté à la section 4.5.
Formuler des recommandations visant à accroître les effets positifs et à atténuer les effets négatifs, le cas échéant.	Les mesures d'atténuation découlant de l'analyse sont présentées à la section 4.5.
Faire appel aux intervenants clés et aux communautés autochtones pour s'assurer que les mesures proposées sont acceptables sur le plan social et techniquement réalisables.	Le chapitre 3 de l'EIE décrit l'ensemble des consultations menées dans la communauté. Plusieurs mesures d'atténuation présentées à la section 4.4 proviennent de recommandations effectuées par le milieu.
Tenir compte du contexte des recommandations et des mesures d'atténuation proposées tout au long de l'EI.	L'analyse des impacts décrit les impacts nécessitant la mise en place de mesures d'atténuation, lesquelles sont présentées à la section 4.4.
Décrire les recommandations de façon suffisamment détaillée, établir les actions prioritaires et proposer un calendrier de mise en œuvre.	Les mesures d'atténuation sont décrites à la section 4.4 et un suivi social est décrit au chapitre 13 de l'EIE.
Attribuer chaque recommandation à une partie responsable qui a accepté de veiller à sa mise en œuvre.	Les mesures d'atténuation sont décrites à la section 4.4 et un suivi social est décrit au chapitre 13 de l'EIE.
Production du rapport	
L'EIS comprend des formats de rapports appropriés en fonction du public visé.	Le promoteur travaillera avec le milieu pour assurer une communication des résultats de l'EIE ainsi que de l'EIS.
La traduction de résumés en langage clair a été envisagée pour les collectivités potentiellement touchées.	
Le rapport décrit de manière suffisamment détaillée les sept étapes du processus d'EIS.	La présente section décrit de quelle façon les étapes de l'EIS ont été respectées.
Un résumé des consultations menées auprès des intervenants clés et des groupes autochtones est fourni, le cas échéant.	Le chapitre 3 de l'EIE décrit l'ensemble des consultations menées dans la communauté.
Le rapport comprend une section qui décrit les incertitudes et les limites de l'EIS.	Les incertitudes et limites sont décrites à la section 5 de ce rapport.
Un plan de communication permettant de diffuser l'EIS aux titulaires de droits autochtones, aux intervenants et au public (s'il y a lieu) est élaboré.	Le promoteur travaillera avec le milieu pour assurer une communication des résultats de l'EIE ainsi que de l'EIS.

1.4 Intégration des résultats des consultations

Plusieurs consultations ont été menées avec les communautés autochtones, les institutions publiques et les entreprises. Des informations détaillées de l'ensemble des activités de consultations sont disponibles au chapitre 3 de l'EIE. Au cours des phases de dépistage et de cadrage, les préoccupations, commentaires et partages de savoir local ont contribué à identifier des déterminants de santé à considérer. En phases d'analyse et de recommandation, ils ont été intégrés dans la caractérisation des impacts sur la CVE et dans la détermination de mesures d'atténuation. Les tableaux 1-3 et 1-4 reprennent les informations issues des consultations qui ont trait aux questions de santé et à ses déterminants et la façon dont elles ont été intégrées dans l'EIS.

Tableau 1-3 Sommaire des préoccupations exprimées par les communautés autochtones

Sujet	Information, savoir traditionnel et préoccupations	Référence dans la caractérisation	Référence dans les impacts
Sécurisation culturelle	Nécessité d'assurer un environnement culturel sécuritaire sur le site du Projet et au campement de travailleurs	Section 2.3.2.1	Section 4.2
Habitudes de vie des travailleurs	Préoccupations quant à l'alimentation, l'usage de drogues et l'exercice physique au campement de travailleurs, notamment pour ceux atteints de diabète	Section 2.3.2.1	Section 4.2.6 Section 4.2.7
Santé physique des travailleurs	Préoccupations liées aux impacts du travail au site du Projet (p. ex. l'exposition à des contaminants ou à la poussière)	Section 2.3.2.1 Section 2.4.2	Section 4.3.2.2
Santé mentale des travailleurs	Préoccupations quant aux impacts des horaires de travail et du navettage sur la santé mentale des travailleurs et la conciliation travail-famille	Section 2.3.2.1 Section 2.4.2	Section 4.2.6
Cohésion sociale	Préoccupations quant aux impacts du Projet sur les relations communautaires (p. ex. partage équitable des avantages)	Section 2.3.2.2	Section 4.2.3 Section 4.3.6
Populations vulnérables	Préoccupation liée à la santé et la sécurité des populations vulnérables (p. ex. malades chroniques, femmes, etc.)	Analyse ACS+ transversale	Analyse ACS+ transversale
Bien-être spirituel	Préoccupation quant aux impacts du Projet sur le bien-être spirituel des acteurs du territoire	Section 2.3.4.1	Section 4.3.6
Accès aux services de santé	Préoccupation liée à la pression sur les services de santé advenant que les employés de la mine les fréquentent	Section 2.2.3.1	Section 4.2.7
Sécurité routière	Préoccupations liées l'augmentation de la circulation attribuable au Projet, notamment au transport du concentré et des travailleurs	Section 2.3.3.2	Section 4.2.5
Préservation du mode vie cri	Préoccupations quant aux impacts du Projet sur les écosystèmes nécessaires au maintien du mode de vie crie sur le territoire	Section 2.3.4.1	Section 4.3.6

Sujet	Information, savoir traditionnel et préoccupations	Référence dans la caractérisation	Référence dans les impacts
Préservation de la qualité de l'habitat de la faune terrestre et marine	Préoccupations quant aux impacts anticipés du Projet sur les habitats terrestres et marins et aux efforts déployés pour les éviter ou les minimiser et promouvoir la pratique de la pêche	Section 2.3.4	Section 4.3.4
Consommation de l'eau de surface	Préoccupations quant aux impacts du Projet sur la qualité de l'eau des lacs et cours d'eau, et ses effets sur la nourriture traditionnelle, la santé humaine et la faune	Section 2.3.4.1	Section 4.3.2.1
Qualité de l'air	Préoccupations quant aux impacts du Projet sur la qualité de l'air et la santé des travailleurs et des utilisateurs du territoire	-	Section 4.3.2.2
Climat sonore et vibration	Questions concernant l'emplacement des stations de mesure de son et le niveau de bruit associé aux activités	Section 4.3.3.2	Section 4.3.3.2

Tableau 1-4 Sommaire des préoccupations exprimées par les allochtones

Sujet	Information, savoir traditionnel et préoccupations	Référence dans la caractérisation	Référence dans les impacts
Qualité de l'eau de surface	Question sur l'emplacement de l'effluent minier	Section 2.3.4.1	Section 4.3.2.1
Préservation de la qualité de l'habitat de la faune terrestre et marine	Préoccupations liées aux impacts anticipés sur les habitats terrestres et marins et aux efforts déployés pour les éviter ou les minimiser et promouvoir la pratique de la pêche	Section 2.3.4	Section 4.3.4
Navettage aéroporté	Questions sur le recours au navettage aéroporté en phase d'exploitation, notamment le choix de l'aéroport pour le transit des travailleurs en navettage Préoccupations liées au recours au navettage aéroporté, notamment ses impacts sur la vitalité des communautés jamésiennes, la santé communautaire et le maintien des services de la région	Section 2.3.2.2	Section 4.4 (Mesures d'atténuation)
Services de santé et services sociaux de la communauté	Nécessité de communiquer avec la Direction de la santé publique advenant des enjeux de santé au site minier qui pourraient nécessiter une prise en charge par les centres de santé de la région	Section 2.2.3.1	Section 4.4 (Mesures d'atténuation)
Problématiques de consommation	Crainte que Radisson devienne un lieu de consommation pour les travailleurs œuvrant au site minier Préoccupation liée à la violence faite aux femmes au site minier	Section 2.3.2 Section 2.3.3 Section 2.3.5.4	Section 4.4 (Mesures d'atténuation)

1.5 Méthodologie

1.5.1 Sources utilisées

1.5.1.1 Approche

L'approche méthodologique adoptée pour la réalisation de l'EIS s'appuie sur les sources suivantes recommandées par l'AEIC :

- Analyse des effets sur la santé, la société et l'économie en vertu de la Loi sur l'évaluation d'impact (AEIC, 2020).
- Orientations provisoires pour l'évaluation d'impact sur la santé de projets désignés en vertu de la Loi sur l'évaluation d'impact (Santé Canada, 2024).
- Outils et approches pour évaluer et soutenir les mesures de santé publique en matière de déterminants de la santé et d'équité en santé (CCNDS & CCNPPS, 2012).
- Réclamer notre pouvoir et notre place : le rapport final de l'Enquête nationale sur les femmes et les filles autochtones disparues et assassinées, en particulier les Appels à la justice visant les industries extractives et de développement (Appels à la justice 13.1 à 13.5) (ENFFADA, 2019b).
- Mieux-être mental des Autochtones et développement des grands projets – Orientation pour les professionnels de l'évaluation d'impact et les communautés autochtones (Firelight Group, 2021).

Plusieurs autres sources documentaires provenant de groupes autochtones, des gouvernements provincial et fédéral, de la recherche académique et de la littérature grise ont aussi été consultées et sont mentionnées dans la bibliographie.

1.5.1.2 Caractérisation et impacts

Afin de caractériser l'état de référence de la santé et ses déterminants, les sources suivantes, recommandées par l'AEIC dans les LDI, ont été utilisées :

- Réclamer notre pouvoir et notre place : le rapport final de l'Enquête nationale sur les femmes et les filles autochtones disparues et assassinées (ENFFADA, 2018).
- Étude sur l'alimentation, la nutrition et l'environnement chez les Premières Nations (Chan et al., 2019).
- L'Indice de bien-être des communautés (Gouvernement du Canada, 2021).

Lorsque possible, ces sources ont été complétées par des données plus locales afin de mieux décrire le milieu. Par exemple, Chan et al. (2019) fournit une information par écozone basée sur des données recueillies dans des communautés autres que celles visées par la présente étude. Elle a donc été complémentée par des données locales plus précises issues de La Grande Alliance (VEI-WSP 2024) et d'enquêtes menées par Hydro-Québec (2015).

Les autres sources principales incluent, sans s'y limiter :

- Des sources autochtones telles que :
  - les publications régionales du Conseil Cri de la santé et des services sociaux de la Baie-James (CCSSSBJ) et du Centre régional de santé et de services sociaux de la Baie James (CRSSSBJ);
  - les publications sectorielles de La Grande Alliance relatives à la santé et ses déterminants;
  - les comptes rendus de consultations avec les communautés, notamment avec le CCSSSBJ et les utilisateurs du territoire.
- Des sources gouvernementales telles que :
  - les données du recensement de 2021 ainsi que d'autres données publiques de Statistique Canada;
  - diverses publications provinciales de l'Institut national de santé publique du Québec (INSPQ) relatives à la santé des Cris;
  - les données de l'Enquête québécoise sur la santé de la population (EQSP) 2020-2021 pour la population allochtone du Nord-du-Québec; les données 2020-2021 pour les Terres-cries-de-la-Baie-James n'étant pas disponibles, lorsque possible, des sources alternatives ont été utilisées pour pallier le manque d'information en matière d'habitudes de vie.
- Des sources provenant de la littérature grise telles que :
  - les enquêtes de suivi d'Hydro-Québec sur la santé des Cris;
  - des publications d'OBNL comme le Comité de la condition féminine de la Baie-James.

1.5.2 Limites spatiales et temporelles

1.5.2.1 Zones d'étude

Pour l'évaluation des impacts sur la santé, la zone d'étude locale (ZÉL) et la ZÉR du milieu humain présentées au chapitre 6 de l'ÉIE (WSP, 2026) sont utilisées.

La ZÉL constitue le périmètre d'analyse des effets potentiels sur les populations présentes sur le territoire et pouvant être exposées à des impacts directs ou indirects du Projet. Elle sert à caractériser les récepteurs humains et biophysiques et à évaluer les interactions avec des récepteurs sensibles. Elle est située à 250 km à l'est de la localité de Radisson et elle touche au territoire traditionnel de trois communautés cries, soit Chisasibi (dont le village est situé à 330 km à l'ouest), Wemindji (à 330 km au sud-ouest) et Mistissini (à 350 km au sud). Soulignons toutefois que toutes les infrastructures planifiées pour le Projet se trouvent sur le territoire traditionnel de la communauté de Chisasibi.

La ZÉR englobe les communautés cries de Chisasibi, Wemindji, Mistissini, Eastmain, Waskaganish, Nemaska et Waswanipi, ainsi que la municipalité de Radisson et la localité de Matagami. Elle est traversée par les routes Transtaïga et Billy-Diamond. L'analyse tient compte des recommandations de l'AEIC ainsi que des divers niveaux d'implication de PMET auprès des communautés (voir le chapitre 3 de l'ÉIE). Ainsi, Chisasibi fait l'objet d'une étude détaillée, tandis que Wemindji et Mistissini sont examinées de façon plus sommaire. Les autres communautés cries ne sont mentionnées que lorsqu'il s'agit de données à l'échelle régionale.

1.5.2.2 Limites administratives et sociosanitaires

La figure 1-4 montre que la ZÉR regroupe la région sociosanitaire du Nord-du-Québec (2410) et celle des Terres-cries-de-la-Baie-James (2418). La région 2418 regroupe les neuf communautés cries du nord du Québec, incluant les trois communautés autochtones à l'étude. La région sociosanitaire des Terres-cries-de-la-Baie-James (TCBJ) est desservie par le Conseil cri de la santé et des services sociaux de la Baie James (CCSSSBJ), qui fournit des services aux neuf communautés de la Nation Crie d'Eeyou Istchee, avec un siège social à Chisasibi.

La région 2410 (Nord-du-Québec) contient quant à elle le reste du territoire au nord du Québec et est desservie par le Centre régional de santé et de services sociaux de la Baie-James. La localité de Radisson et la municipalité de Matagami sont incluses dans la ZÉR.

Lorsque possible, les données de santé désagrégées par communautés sont présentées. Lorsqu'elles ne sont pas disponibles, les données régionales de chacune des régions sociosanitaires sont utilisées.

L'Agence d'évaluation d'impact du Canada (AEIC) recommande d'utiliser les données de l'Étude sur l'alimentation, la nutrition et l'environnement chez les Premières Nations pour rendre compte de certains déterminants de santé. Plutôt que d'utiliser les régions sociosanitaires, la méthodologie de cette étude se base sur une collecte de données par écozone, fondées sur la répartition des espèces végétales et animales. Les communautés de Chisasibi et Wemindji se trouvent dans l'écozone de la Taïga du bouclier, et la communauté de Mistissini se trouve à cheval entre l'écozone du Bouclier boréal et de la Taïga du Bouclier (voir figure 1-5). Étant donné que les zones d'utilisation du territoire de la zone d'étude pour Mistissini se trouvaient entièrement dans l'écozone de la Taïga du bouclier, et de même que par souci de clarté et de concision, seules les données relatives à cette écozone seront présentées. Aussi, seules les données québécoises de cette écozone ont été utilisées (Chan et al., 2019).

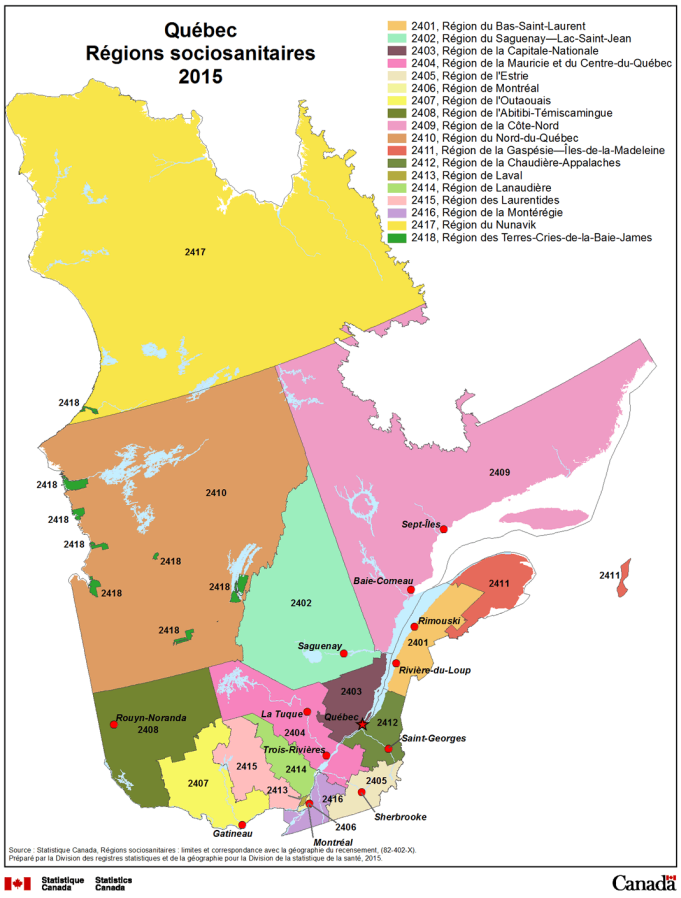

Source : (Gouvernement du Canada, 2015)

Figure 1-3 Carte des régions sociosanitaires du Québec

Source : (Chan et al., 2019)

Figure 1-4 Carte des écozones du Québec

1.5.3 Caractérisation des impacts résiduels

La méthodologie complète de caractérisation des impacts résiduels est exposée au chapitre 8 de l'EIE.

Mesures d'atténuation courantes et particulières

Les mesures d'atténuation courantes, relevant de la mise en œuvre des bonnes pratiques ou découlant de l'application légale de lois, règlements, normes ou directives, sont considérées comme faisant partie intégrante du Projet.

Les mesures d'atténuation particulières propres au Projet peuvent être développées afin de réduire l'importance des impacts négatifs sur les CVE ou pour bonifier les impacts positifs.

Dans la présente étude, l'analyse détaillée de chacun des impacts appréhendés sur les CVE retenues est réalisée d'abord sans les mesures d'atténuation. L'évaluation des impacts résiduels prenant en compte l'ensemble prend par la suite l'ensemble des mesures d'atténuation, pour commenter les impacts résiduels.

Degré de perturbation de la CVE

Le degré de perturbation d'une CVE correspond à l'ampleur des modifications structurales et fonctionnelles qu'elle risque de subir. Selon la nature des modifications, celles-ci peuvent induire des effets positifs (bonification) ou négatifs, directs ou indirects. Le degré de perturbation (ou de bonification) prend aussi en compte les effets cumulatifs, synergiques ou différés qui, au-delà de la simple relation de cause à effet, peuvent amplifier la perturbation d'un élément lorsque le milieu est particulièrement sensible. Le degré de perturbation peut être élevé, moyen, faible ou indéterminé.

- **Élevé** : l'effet met en cause l'intégrité environnementale de la CVE ou modifie fortement et de façon irréversible cette CVE ou son utilisation.
- **Moyen** : l'effet entraîne une réduction de la qualité ou de l'utilisation de la CVE sans pour autant compromettre son intégrité environnementale.
- **Faible** : l'effet modifie de façon peu perceptible la qualité, l'utilisation ou l'intégrité de la CVE.

Intensité de l'impact

L'intensité de l'impact fait référence, d'une part, au degré de perturbation associé à la modification de l'état actuel de l'environnement hôte. Ce critère évalue l'ampleur des modifications apportées aux caractéristiques structurales et fonctionnelles de l'élément affecté par le Projet. L'intensité dépend, d'autre part, de la sensibilité de la CVE en regard des interventions proposées, mais aussi de sa valeur écosystémique et socioéconomique. La valeur socioéconomique d'une CVE est déterminée en fonction de son importance pour la population locale ou régionale, les groupes d'intérêt et les gestionnaires, ainsi qu'en fonction de la protection légale ou de l'utilisation humaine. Une CVE peut être classée comme ayant une valeur grande (protection légale ou essentielle aux activités humaines), moyenne (valeur économique, sociale ou culturelle reconnue, sans protection légale) ou faible (peu valorisée ou utilisée). La valeur de la santé humaine est considérée comme grande, car essentielle à l'activité humaine.

Trois degrés d'intensité qualifient l'ampleur des modifications apportées :

- **Forte** : l'impact détruit ou compromet significativement l'intégrité de la CVE touchée ou modifie fortement ou de façon irréversible sa répartition ou son utilisation dans le milieu.

- **Moyenne** : l'impact modifie la qualité, la répartition ou l'utilisation de la CVE dans le milieu sans toutefois mettre en cause son intégrité.
- **Faible** : l'impact altère faiblement la CVE touchée sans modifier véritablement sa qualité, sa répartition ou son utilisation dans le milieu.

Le tableau 1-5 présente les différentes combinaisons possibles.

Tableau 1-5 Grille de détermination de l'intensité de l'impact

Degré de perturbation	Valeur de la composante		
	Grande	**Moyenne**	**Faible**
Élevé	Forte	Forte	Moyenne
Moyen	Forte	Moyenne	Faible
Faible	Moyenne	Faible	Faible

Étendue de l'impact

L'étendue qualifie la dimension spatiale de l'impact généré par une intervention dans le milieu. Elle réfère à la distance ou à la superficie sur laquelle sera ressentie la perturbation ainsi qu'à la proportion de la population affectée. L'étendue de l'impact est classée selon les niveaux suivants :

- **Régionale** : l'impact est ressenti à l'intérieur des limites de la ZÉR ou au-delà de celle-ci ainsi que par la majeure partie de sa population.
- **Locale** : l'impact est ressenti à l'intérieur des limites de la ZÉL ou par une partie de sa population.
- **Ponctuelle** l'impact affecte un espace à l'intérieur des emprises des infrastructures du Projet ou quelques individus de la ZÉL.

Durée de l'impact

La durée précise la dimension temporelle de l'impact. Elle évalue, de façon relative, la période durant laquelle les répercussions d'une intervention seront ressenties par l'élément affecté. La durée d'un impact peut être :

- **Longue** : la durée est longue lorsqu'une perturbation est ressentie de façon continue ou discontinue au-delà des travaux de restauration. Il s'agit souvent d'un impact à caractère permanent et irréversible.
- **Moyenne** : la durée est moyenne lorsqu'un impact est ressenti de façon temporaire, continue ou discontinue. Il s'agit d'impacts se manifestant durant l'exploitation du Projet ou encore plusieurs mois après la fin des travaux de construction, mais dont la durée n'excède pas la fin des travaux de restauration.
- **Courte** : la durée est courte lorsqu'un impact est ressenti de façon temporaire, continue ou discontinue et dont la durée cumulative est inférieure à 2 ans.

Importance de l'impact

L'importance de l'impact intègre les critères d'intensité, d'étendue et de durée définis dans les sections précédentes. Le tableau 1-6 présente les trois niveaux d'importance qui peuvent être attribués à un impact, à savoir majeure, moyenne et mineure.

Tableau 1-6 Grille de détermination de l'importance des impacts

Critères d'analyse			Importance de l'impact
Intensité	**Étendue**	**Durée**	
Forte	Régionale	Longue	Majeure
		Moyenne	Majeure
		Courte	Majeure
	Locale	Longue	Majeure
		Moyenne	Majeure
		Courte	Moyenne
	Ponctuelle	Longue	Majeure
		Moyenne	Moyenne
		Courte	Moyenne
Moyenne	Régionale	Longue	Majeure
		Moyenne	Moyenne
		Courte	Moyenne
	Locale	Longue	Moyenne
		Moyenne	Moyenne
		Courte	Moyenne
	Ponctuelle	Longue	Moyenne
		Moyenne	Moyenne
		Courte	Mineure
Faible	Régionale	Longue	Moyenne
		Moyenne	Moyenne
		Courte	Mineure
	Locale	Longue	Moyenne
		Moyenne	Mineure
		Courte	Mineure
	Ponctuelle	Longue	Mineure
		Moyenne	Mineure
		Courte	Mineure

Probabilité d'occurrence

La probabilité d'occurrence de l'impact correspond à la probabilité qu'un impact puisse affecter une CVE. La probabilité d'occurrence de l'impact peut être élevée, moyenne ou faible.

- **Élevée** : un impact sur la CVE se manifestera de façon certaine.
- **Moyenne** : un impact pourrait se manifester sur la CVE, mais sans être assuré.
- **Faible** : un impact sur la CVE est peu probable ou encore surviendra uniquement en cas d'accident.

Elle est fournie en complément de l'importance de l'impact.

2 Caractérisation du milieu

Comme décrit à la section 1.1.2, les déterminants sont organisés en fonction des catégories formulées par le modèle de Loppie & Wien (2022), soit les déterminants structurels, systémiques et immédiats.

2.1 Déterminants structurels de la santé

2.1.1 Racisme et colonialisme

Les peuples autochtones au Canada, dont les Cris d'Eeyou Istchee, ont été profondément marqués par des politiques coloniales ayant engendré des injustices structurelles persistantes. Ces politiques continuent d'influencer la santé et les déterminants sociaux de la santé des communautés autochtones.

Parmi ces politiques, le système des pensionnats autochtones, documenté par la Commission de vérité et réconciliation (2016), visait l'assimilation forcée des enfants autochtones. Il a provoqué des traumatismes intergénérationnels, la perte des langues et des cultures, ainsi que des abus physiques et psychologiques. Chez les Cris d'Eeyou Istchee, ces effets se sont traduits par des bouleversements majeurs dans la transmission des savoirs et des pratiques traditionnelles. À partir des années 1930-1940, les enfants ont été envoyés dans différents pensionnats, dont celui de Fort George pour les enfants de Chisasibi. Certains parents ont alors privilégié de rester sur place plutôt que de poursuivre leur mode de vie et passer l'hiver sur le territoire. Pour leurs études supérieures, plusieurs jeunes ont été dirigés vers des pensionnats en Ontario et au Québec, ce qui a accentué la rupture culturelle et les traumatismes individuels et collectifs (WSP, 2024). Plus récemment, la Nation crie de Chisasibi a ordonné des fouilles sur le site de l'ancien pensionnat de Fort George afin de retrouver des traces des enfants disparus et d'accompagner les survivants dans leur processus de guérison (Gouvernement de la Nation Crie, 2021).

Le déplacement de la communauté du village de Fort Georges à Chisasibi lié au développement hydroélectrique ainsi que la perte de terres et de sites valorisés qui ont été ennoyés par les réservoirs constitue un autre bouleversement important dans l'histoire récente de la communauté. Avant l'arrivée des Européens, les Cris chassaient et pêchaient le long de la côte de la baie James et dans les terres. La communauté de Fort George s'est développée autour du poste de traite de la Compagnie de la Baie d'Hudson, établi en 1804, qui est demeuré le principal poste de traite de la région jusqu'au milieu du XX^{e} siècle. Les Cris s'y retrouvaient principalement en été, pour des rassemblements et des échanges commerciaux, avant de retourner sur le territoire à l'automne. La population s'y est peu à peu sédentarisée. La communauté actuelle de Chisasibi est relativement récente : elle a été créée en 1981 à la suite de la relocalisation du site de l'île de Fort George (5 km en aval). Ce déplacement a été jugé nécessaire en raison de l'érosion anticipée liée aux modifications du régime d'écoulement de la rivière La Grande, causées par le projet hydroélectrique de la centrale La Grande-1, ainsi que par le souhait des Cris de s'installer sur la terre ferme. Ces projets hydroélectriques ont mené à de fortes perturbations du mode de vie de la nation, incluant un moratoire temporaire complet (levé quelques années plus tard) sur la consommation de poisson qui a provoqué un grand traumatisme dans la communauté (CBC, 1976).

La *Fort George Relocation Corporation*, créée à la suite des négociations entre les Cris et le gouvernement du Québec, a supervisé la relocalisation de 200 maisons et la construction de 100 nouvelles habitations (VEI et WSP, 2024). La relocalisation du village a mené à de grands changements sur les plans social et économique. L'île de Fort George est restée un important lieu de rassemblement et de festivités. Soulignons qu'un traumatisme persiste à Chisasibi en raison des ouvrages hydroélectriques en amont du village. L'aménagement d'un site pour pouvoir stationner des centaines de voitures sur un terrain en hauteur (*highground park*) a été demandé par la communauté advenant une rupture de barrage.

En matière de services, le déplacement vers des centres hospitaliers situés à l'extérieur de la communauté peut impliquer un contact avec des institutions qui ne sont pas culturellement adaptées, ce qui peut nuire à la qualité des soins. En effet, la Commission Viens a reconnu que les Cris d'Eeyou Istchee, comme d'autres peuples autochtones, ont été confrontés à des formes de discrimination systémique dans l'accès aux services publics au Québec. Les témoignages recueillis ont révélé une méfiance profonde envers les institutions, alimentée par des expériences négatives vécues dans les centres urbains comme Val-d'Or ou Montréal (Commission d'enquête sur les relations entre les Autochtones et certains services publics, 2019). L'Association des femmes cries d'Eeyou Istchee a d'ailleurs souligné l'importance de mettre en place des services culturellement sécurisants, rappelant que le français est souvent une troisième langue pour les Cris et que les femmes sont particulièrement touchées par l'inadéquation des services publics à leurs besoins, notamment en santé (Radio-Canada, 2017).

Pour les membres de Chisasibi toutefois, l'accès à certains soins est facilité comparativement à d'autres communautés cries. L'île de Fort Georges abritait déjà un hôpital en 1930, et en 1980, avec le déménagement de la communauté, un nouvel hôpital a été construit à Chisasibi, desservant également d'autres communautés cries. Cet hôpital devenu vétuste sera prochainement remplacé par le centre régional de santé Eeyou Istchee, en cours de construction à Chisasibi (voir la section 2.2.3).

2.1.2 Autodétermination et gouvernance

Le développement des familles, des communautés et des Nations, ainsi que la culture, le territoire et l'autodétermination sont identifiés comme des facteurs de protection et de résilience à l'échelle individuelle et collective. Ces éléments sont considérés comme pouvant atténuer les effets du racisme, de la discrimination structurelle et des traumatismes historiques qui contribuent aux causes sous-jacentes des inégalités sociales de santé observées chez les peuples autochtones (INSPQ, 2022).

La signature de la Convention de la Baie James et du Nord québécois (CBJNQ) en 1975 a constitué un jalon majeur pour l'autodétermination des Cris. Cet accord historique, conclu entre les gouvernements et les Nations cries et inuites, a reconnu leurs droits territoriaux et permis la mise en place de structures de gouvernance propres. Il a également ouvert la voie à la création d'institutions régionales, favorisant la prise en charge des services essentiels par les communautés elles-mêmes.

C’est dans cette perspective que s’inscrit la création du Conseil cri de la santé et des services sociaux de la Baie James (CCSSSBJ). Cet organisme est responsable de l’administration des services de santé et des services sociaux pour toutes les personnes qui résident de façon permanente ou temporaire dans la région sociosanitaire des Terres-cries-de-la-Baie-James[1] (TCBJ). En assumant la gouvernance de leurs propres services, les Cris concrétisent leur autodétermination, renforcent leur résilience collective et contribuent à la réduction des inégalités sociales de santé (CCSSSBJ, 2024). Depuis 2023, l’autodétermination des services de santé s’est étendue à la protection de la jeunesse avec la création de la Commission crie de protection de la jeunesse. Cette initiative vise à décoloniser le système et à l’adapter aux valeurs et traditions cries en mettant l’accent sur la prévention et le soutien familial plutôt que sur le retrait des enfants. La Commission mène des consultations dans les neuf communautés cries afin de proposer des changements législatifs et organisationnels qui permettront d’exercer une autodétermination accrue dans ce secteur sensible (Commission de protection de la jeunesse crie, 2023; RCI, 2023).

Le CCSSSBJ a au cœur de sa mission le renforcement du *Miyupimatisiun*, qui signifie « bien vivre » ou « vivre une vie saine » en langue crie. Cette approche holistique de la santé englobe non seulement le bien-être physique, mais aussi mental, spirituel, émotionnel et communautaire, en lien étroit avec le territoire et les traditions cries (voir section définitions de la santé) (CCSSSBJ, 2024).

2.2 Déterminants systémiques de la santé

2.2.1 Indice de bien-être des communautés

L’indice de bien-être communautaire (IBC) est un indicateur composite (de 0 à 100, un indice élevé traduisant un bien-être supérieur) qui synthétise, pour une communauté donnée, quatre dimensions socioéconomiques de base mesurées de façon comparable à partir des statistiques officielles des recensements, soit le logement, l’emploi, le revenu et l’éducation. Il permet de comparer rapidement la situation des communautés autochtones avec celle des Premières Nations du Québec et de la population québécoise dans son ensemble, afin d’identifier les écarts et les leviers d’amélioration. Le tableau 2-1 présente les données pour les trois communautés visées par l’étude d’impact, mais s’attarde principalement à Chisasibi dans l’analyse.

Chisasibi présente un profil contrasté. Son score global est inférieur à celui des autres communautés cries et de la moyenne des Premières Nations du Québec. Ce résultat s’explique par des disparités importantes entre les dimensions. L’emploi constitue un point fort : la communauté affiche un niveau d’intégration au marché du travail supérieur à la moyenne des Premières Nations. En revanche, les conditions de logement demeurent préoccupantes, avec des problèmes de surpeuplement et de qualité des habitations qui persistent depuis plusieurs années. Le revenu est plus élevé que la moyenne des Premières Nations, mais plus bas que les communautés avoisinantes, une composante importante à prendre en compte en contexte de coût élevé de la vie. Enfin, l’éducation demeure une préoccupation avec des taux de diplomation inférieurs à ceux observés ailleurs, ce qui influence directement les perspectives d’emploi qualifié et la mobilité sociale.

1 Les bénéficiaires de la CBJNQ ont accès à des prestations médicales supplémentaires non couvertes par le Régime d’assurance maladie du Québec, tels que du transport médical, des aides auditives, des services de santé mentale d’urgence, des soins dentaires, etc.

Tableau 2-1 Indice de bien-être des communautés 2021

Dimension	Chisasibi	Wemindji	Mistissini	Premières Nations du Québec	Le Québec
Logement	72	72	79	79	96
Emploi	81	84	83	79	86
Revenu	70	72	73	68	77
Éducation	38	46	39	41	56
Indice global	**65**	**68**	**69**	**67**	**79**

Source : (Gouvernement du Canada, 2021)

2.2.2 Contexte démographique

Une description détaillée de la démographie de la région est présentée au chapitre 6 de l'ÉIE.

Les tendances démographiques des communautés cries au cours des 20 prochaines années engendreront plusieurs changements importants (voir tableau 2-2). Le nombre de personnes âgées de 65 ans et plus doublera**,** ce qui entraînera une pression accrue sur les services de santé et nécessitera une adaptation des ressources ainsi que des infrastructures pour répondre aux besoins croissants de cette population. En parallèle, une augmentation massive du nombre de personnes en âge de travailler ou inscrites dans des études supérieures offrira des opportunités majeures pour le développement économique et l'innovation, tout en demandant une planification rigoureuse en matière de formation et d'intégration professionnelles. Comme le nombre de jeunes restera stable, il n'y aura pas de pression démographique notable sur les services scolaires, ce qui permettra de maintenir le volume actuel de service sans devoir l'augmenter de manière significative. Selon les projections de l'Institut de la statistique du Québec (ISQ), Chisasibi deviendra la plus grande communauté de la région du Nord-du-Québec d'ici 2041, avec 6 215 habitants, dépassant ainsi Chibougamau en termes de population et devenant *de facto* un pôle important de service (ISQ, 2024a).

Tableau 2-2 Tendances démographiques des communautés cries, 2021 - 2041

Indicateur	Chisasibi	Wemindji	Mistissini	Cris de l'Eeyou Istchee
Population totale (2011)	4484	1378	3427	16350
Population totale (2021)	4985	1562	3731	18313
Population totale prévue (2041)	7143	1806	4677	23632
Taux de croissance annuel composé 2021-2041	1,4 %	1,7 %	1,7 %	1,8 %
Âge moyen (2021)	31,0	32,3	31,7	30,9
Âge moyen (2041)	34,4	37,8	36,6	34,9
Moins de 15 ans (2021)	1550	455	1045	5640
Moins de 15 ans (2041)	1862	369	1042	5911

Indicateur	Chisasibi	Wemindji	Mistissini	Cris de l'Eeyou Istchee
15-65 ans (2021)	3070	1005	2420	11440
15-65 ans (2041)	4361	1173	2984	14674
Plus de 65 ans (2021)	370	105	270	1225
Plus de 65 ans (2041)	920	264	651	3047

Source : (Société de développement Crie, 2024)

Par ailleurs, la population de Radisson compte 203 habitants et celle de Matagami,1402 personnes. Elles sont caractérisées par une moyenne d'âge plus élevée que la moyenne québécoise, une proportion nettement plus faible de jeunes de moins de 25 ans et un déclin démographique marqué, particulièrement à Radisson (Statistique Canada, 2022). Selon les intervenants locaux consultés, ces tendances démographiques sont en bonne partie explicables par un plus grand recours au navettage des travailleurs.

2.2.3 Services publics

2.2.3.1 Accès aux services locaux et régionaux de santé et capacités actuelles

Fardeau de déplacement

Le fardeau de déplacement pour accéder à des soins hospitaliers dans les TCBJ est nettement plus élevé que dans l'ensemble du Québec. Cet indicateur tient compte de plusieurs facteurs, dont la distance à parcourir, l'âge du patient, l'accès à une route et le niveau d'urgence des soins requis (voir tableau 2-3). Dans les TCBJ, plus de la moitié des épisodes de soins sont associés à un fardeau de déplacement très élevé, comparativement à une proportion très faible au Québec. À l'inverse, les épisodes de soins avec un fardeau très faible sont beaucoup moins fréquents dans les TCBJ que dans le reste de la province (Canadian Institute for Health Information, 2025). Ainsi, un problème de santé, même mineur, peut entraîner des déplacements longs et coûteux, affectant non seulement les individus, mais aussi leurs familles. Un membre de la famille qui doit se rendre à l'hôpital peut impliquer l'absence prolongée d'un parent, des frais de transport élevés, et une désorganisation du quotidien, particulièrement dans les foyers avec enfants ou personnes dépendantes. Par ailleurs, des déplacements au sud de la province peuvent créer de l'anxiété en raison de la crainte de ne pas recevoir des soins culturellement appropriés, comme discuté à la section 2.2.2. En somme, l'ensemble des lacunes en service de santé (ou toute pression supplémentaire sur les services résultant en une diminution de leur accessibilité) entraîne un effet en cascade sur le bien-être des personnes nécessitant des soins ainsi que leur réseau de soutien, particulièrement les femmes. À l'inverse, tout service de santé disponible dans la communauté doit être considéré non seulement pour les bénéfices directs qu'il apporte, mais aussi les impacts indirects positifs liés au fait de ne pas avoir à se déplacer.

Pour la région du Nord-du-Québec, les proportions du fardeau de soins très élevés sont plus basses que dans les TCBJ, mais nettement plus hautes que pour le reste du Québec (Canadian Institute for Health Information, 2025). Des intervenants locaux du réseau de la santé mentionnent notamment que l'éloignement constitue une barrière d'accès pour les personnes souffrant de maladies chroniques ou nécessitant des soins spécialisés.

Tableau 2-3 Proportion des épisodes de soins par niveau de fardeau de déplacement

	TCBJ	Nord-du-Québec	Le Québec
Très bas (%)	15,3	1,6	64,0
Bas (%)	3,8	8,8	17,7
Modéré (%)	12,9	12,9	12,5
Élevé (%)	11,8	29,0	3,3
Très élevé (%)	56,2	41,9	2,5

Source : (Canadian Institute for Health Information, 2025)

Offre de programmes en santé et services sociaux autochtones

Le Centre hospitalier régional de Chisasibi offre des services de soins primaires et secondaires à la population d'Eeyou Istchee. L'équipe médicale y comprend sept médecins et 27 infirmières ou infirmiers autorisés. L'hôpital dispose de 29 lits, dont 17 pour les soins aigus (cinq pédiatriques), neuf pour les soins chroniques et trois pour les soins de répit. Le service d'hémodialyse dispose de neuf stations de traitement. Un programme de prédialyse partielle est offert deux jours par semaine. L'hôpital régional de Chisasibi dispose d'un laboratoire moderne, d'un service de radiologie, d'un service d'archives, d'un service de liaison, d'un service de physiothérapie et d'un service de nutrition, ainsi que d'une clinique dentaire. Les services spécialisés sont fournis en partenariat avec le Réseau universitaire intégré de santé (RUIS) de McGill. Grâce à ce partenariat, des spécialistes du Centre universitaire de santé McGill (CUSM), de l'Hôpital général juif, du Centre hospitalier St Mary's et de l'Hôpital Douglas se rendent au Centre hospitalier régional de Chisasibi et fournissent des services de télémédecine en obstétrique, chirurgie, pédiatrie, orthopédie, médecine interne, ophtalmologie, oto-rhino-laryngologie et psychiatrie. L'hôpital de Chisasibi gère les programmes régionaux de prévention et de contrôle des infections, ainsi que la télémédecine.

Le CCSSSBJ a son siège social à Chisasibi. Son directeur, qui a été rencontré dans le cadre du Projet, indique que le petit hôpital de Chisasibi est en voie de devenir un hôpital d'envergure, dépassant en importance celui de Val-d'Or, avec une ouverture prévue pour 2029. Les soins spécialisés seront dispensés à Chisasibi, au lieu de Val-d'Or, et les soins ultraspécialisés resteront prodigués à Montréal. De nombreux projets sont prévus à Chisasibi en lien avec la santé, soit : trois résidences pour aînés, trois maisons de naissance, deux foyers de santé mentale pour adultes et deux pour les jeunes, et un centre de réhabilitation (au site Mirage). Pour soutenir la demande en main-d'œuvre pour ces projets, il est prévu de construire de 500 à 600 maisons.

Jusqu'à tout récemment, les femmes cries devaient quitter leur communauté et leur famille pendant plusieurs semaines pour accoucher dans des hôpitaux situés à l'extérieur de l'Eeyou Istchee. Cette réalité a changé avec la réintroduction des services d'accouchement locaux grâce à l'ouverture d'une maison de naissance à Chisasibi, où un premier bébé est né en 2019. Deux autres maisons de naissance sont prévues dans la région, accompagnées d'un programme de formation en cours d'emploi pour former des sages-femmes cries (INSPQ, 2024c). Similairement, les Services intégrés en périnatalité et pour la petite enfance (SIPPE) ont été adaptés au contexte cri en 2008 sous le nom de *Â Mashkûpimâtsît Awash*. Depuis, ils sont offerts à toutes les femmes pendant la grossesse, la période périnatale et aux enfants de la naissance à neuf ans et font aussi place au père dans les épisodes de service (INSPQ, 2024c).

La Nation crie de Mistissini est desservie par le Centre Miyupimaatisiiun Communautaire (CMC) de Mistissini, qui offre des services médicaux (dépistage du cancer, ergothérapie, orthophonie, physiothérapie, etc.) et d'autres services plus spécifiques pour les enfants, les jeunes et les adultes. Le centre offre également des services d'imagerie médicale (en partenariat avec l'hôpital de Chisasibi), de pharmacie, de santé mentale, de transport adapté et de soins dentaires. Les services sont offerts en français, en anglais et en cri. Un centre de jour multiservice dessert également la communauté, offrant un espace de rassemblement, de guérison et d'apprentissage aux personnes isolées, aux aînés, aux adultes ayant des besoins particuliers et aux personnes souffrant de problèmes de santé mentale. Il offre également des services à la jeunesse, des soins à domicile, ainsi que des services paramédicaux. Un nouveau centre de réadaptation pour jeunes a également ouvert ses portes en 2020. Il offre un lieu de résidence aux jeunes qui ont besoin d'interventions intensives en dehors de leur foyer pour lutter contre la toxicomanie, les traumatismes et d'autres problèmes graves. Cependant, Mistissini fait face aux mêmes défis que d'autres communautés de l'Eeyou Istchee, à savoir un manque de personnel, ce qui a entraîné une réduction des services offerts sur le territoire, générant des difficultés d'accès aux services pour la population. Par exemple, les heures d'ouverture du CMC ont été réduites pour une durée indéterminée. La clinique sans rendez-vous est ouverte de 9 h à 17 h, du lundi au vendredi, et en dehors de ces heures, seules les urgences vitales sont traitées par une infirmière de garde.

La Nation crie de Wemindji est desservie par le Centre communautaire Miyupimaatisiiun de Wemindji (CMC). Le CMC est un centre de santé qui fournit des services de première ligne et représente la présence locale du CCSSSBJ. Le CMC de Wemindji comprend une clinique sans rendez-vous ainsi que des cliniques de santé communautaire pour différents groupes d'âge. Le CMC de Wemindji compte cinq employés permanents et deux employés supplémentaires pour le programme de soins à domicile et en milieu communautaire. L'équipe des groupes d'âge Awash (enfants de 0 à 9 ans et femmes enceintes) et Uschinîchisû (jeunes de 10 à 29 ans) souffre d'un manque de personnel ; deux des trois postes d'infirmières Awash sont restés vacants tout au long de l'année 2022.

Offre de programmes en santé et services sociaux allochtones

Le centre régional de santé et de services sociaux de la Baie-James (CRSSSBJ) est l'unique établissement offrant des services de santé et services sociaux à la population jamésienne. Le CRSSSBJ exerce les fonctions de centre hospitalier de soins généraux et spécialisés, de centre local de services communautaires (CLSC), de centre d'hébergement et de soins longue durée et de centre de réadaptation. Il dispose de centres de santé dans cinq communautés jamésiennes, soit Chapais, Chibougamau, Lebel-sur-Quévillon, Matagami et Radisson.

Le centre de santé de Radisson offre sensiblement les mêmes services qu'un CLSC, à la différence qu'il offre également un service d'urgence. Selon la responsable du centre rencontrée en 2025, le personnel du centre de santé de Radisson était composé d'un médecin de famille (pratiquement en tout temps), de deux infirmiers, d'une adjointe administrative ainsi que d'un chef d'équipe. La clientèle de l'établissement comprend principalement les 203 résidents de Radisson ainsi que les travailleurs temporaires, notamment ceux d'Hydro-Québec et d'Air Inuit. Aucun patient n'est hospitalisé au centre de santé de Radisson, ils sont plutôt transférés en Abitibi-Témiscamingue. L'établissement déploie également deux équipes de soins préhospitaliers d'urgence sur la route Billy-Diamond. Le centre de santé de Radisson est partenaire du centre hospitalier de Chisasibi. De fait, les résidents peuvent consulter un médecin au Centre hospitalier régional de Chisasibi pour des visites de spécialistes, des examens radiologiques, et des observations cliniques et médicales.

Le Centre de santé Isle-Dieu à Matagami, qui dépend du CRSSSBJ, offre un service de médecine familiale qui comprend cinq médecins de famille, une équipe de médecins associés et de médecins dépanneurs. Le service d'urgence présente un faible débit de clientèle et joue le rôle de clinique sans rendez-vous et celui de centre de stabilisation en traumatologie. Une pratique médicale sur rendez-vous de type CLSC y est également offerte ainsi que des soins d'hospitalisation de courte durée (quatre lits), et des soins et service d'hébergement de longue durée (quatre lits également). La téléconsultation, la téléradiologie et d'autres services avec technologies novatrices sont également accessibles compte tenu de l'éloignement des grands centres (CRSSSBJ, s.d.).

La Direction de la santé publique du CRSSSBJ, rencontrée dans le cadre de cette étude, mentionne le développement de l'enfant, la réussite scolaire, la santé mentale des jeunes, principalement des adolescents, la dépendance aux drogues ainsi qu'à l'alcool, la cohésion sociale, les places offertes en services de garde éducatifs à l'enfance et l'insécurité alimentaire, comme les problématiques de santé et sociales prioritaires en Jamésie.

Proportion de la population inscrite auprès d'un médecin de famille

Pour la région du Nord-du-Québec, 80,5 % des hommes et 87,2 % des femmes sont inscrits auprès d'un médecin de famille, des proportions plus élevées que dans l'ensemble du Québec (respectivement 68,7 % et 75,2 %) (Canadian Institute for Health Information, 2025). Les intervenants de la santé consultés confirment que la prise en charge par un médecin de famille est un des points positifs des services de santé dans la région.

Les données relatives au médecin de famille en communauté autochtone ne sont pas présentées, car elles n'offrent pas de comparaison valable en raison du contexte de soins.

Efficacité des soins

Les réadmissions sont un bon indicateur de l'efficacité des suivis et de la coordination générale des soins post-hospitaliers et, plus généralement, des soins de première ligne. Le taux de réadmission est mesuré par la proportion de patients qui retournent à l'hôpital dans les 30 jours suivant leur congé. Le taux de réadmission pour 2023-2024 était de 12,7 % de patients réadmis en Eeyou Istchee et de 11,2 % pour le Nord-du-Québec, soit significativement plus élevé que le taux québécois de 8,5 % pour la même période (Canadian Institute for Health Information, 2025).

En matière de santé mentale, 17,8 % des patients d'Eeyou Istchee sont réadmis dans les 30 jours suivant un congé hospitalier, comparativement à 7,0 % dans le Nord-du-Québec et 12,3 % au Québec. Bien que ces écarts puissent sembler importants, ils ne sont pas statistiquement significatifs en raison de la petite taille des échantillons, où quelques cas peuvent avoir une influence marquée sur les résultats (Canadian Institute for Health Information, 2025).

La qualité de la continuité des soins en santé mentale peut aussi être mesurée par la proportion de personnes ayant reçu trois épisodes de soins ou plus pour des problèmes de santé mentale ou liés à l'utilisation de substances, parmi celles ayant eu au moins un épisode de soins dans un hôpital général ou psychiatrique au cours d'une année donnée. Ce taux s'établit à 13 % pour les TCBJ, ce qui est comparable au taux provincial de 11,5 %, sans différence significative (Canadian Institute for Health Information, 2025).

2.2.3.2 Services de santé pour les travailleurs en navettage

Les campements de travail des sites industriels et hydroélectriques de la région offrent généralement des soins de santé primaire (généralement par une infirmière) directement sur leur site. Cependant, une intervenante du CCSSSBJ rapporte une inquiétude par rapport au fait que la population croissante de Chisasibi et l'augmentation corollaire de la demande pour des soins de santé pourraient rendre la communauté moins apte à répondre à des urgences dépassant la capacité de traitement de première ligne dans les campements environnants.

2.2.3.3 Éducation

Un portrait détaillé des services éducatifs est présenté au chapitre 6 de l'ÉIE.

Les trois communautés cries offrent des services éducatifs au niveau primaire et secondaire ainsi que l'éducation professionnelle aux adultes. L'éducation postsecondaire est généralement dispensée en dehors des communautés. En plus des voies traditionnelles de diplomation, les travailleurs cris peuvent acquérir une reconnaissance de leurs compétences via des initiatives de la Commission de la construction du Québec et de la SEBJ (Hydro-Québec, 2015).

Radisson et Matagami offrent tous deux des services éducatifs au niveau primaire et secondaire. Un centre de formation générale pour adulte est aussi présent à Matagami. L'éducation postsecondaire est dispensée hors de la région, le CÉGEP le plus près étant celui de l'Abitibi-Témiscamingue.

2.2.3.4 Services de garde

Chisasibi dispose de trois garderies sur son territoire. Les travailleurs cris en navettage ainsi que leurs partenaires déplorent le manque de services communautaires et institutionnels pour soutenir leur famille durant leur absence (CCSSSBJ, 2023). Une étude détaillée de cette problématique est présentée à la section 2.3.2.

2.2.4 Contexte environnemental

Les feux de forêt survenus en 2023 ont provoqué l'évacuation de près de 1 200 membres des communautés cries, ce qui a engendré des répercussions importantes : sur le plan physiologique, la fumée — riche en particules fines (PM2,5) — aggrave les affections respiratoires et cardiovasculaires, notamment chez les enfants, les aînés et les personnes vulnérables; sur le plan mental et social, la séparation des familles, l'incertitude liée au déplacement, et l'éloignement des sources habituelles d'alimentation traditionnelle ont généré du stress, de l'anxiété et un choc culturel pour les aînés et les jeunes (Boulanger et al., 2024).

Les conséquences à long terme des feux de forêt ont tendance à affecter de façon disproportionnée les communautés autochtones et leurs membres (Agence de santé publique du Canada, 2024). En Eeyou Istchee, ces conséquences se manifestent notamment sur le plan culturel et social : la destruction de centaines de camps de chasse traditionnels a profondément modifié les modes de vie, perturbant l'accès aux lieux de rassemblement et à l'alimentation traditionnelle, ce qui alimente stress, anxiété et perte de repères identitaires (Blacksmith, 2024).

Lors des consultations, le CCSSSBJ rapporte que le vent, la poussière et le son circulent différemment dans les forêts brûlées. Le CCSSSBJ accorde aussi une attention particulière aux effets cumulatifs sur le territoire, qui sont accentués et accélérés par les changements climatiques et la question revient fréquemment lors des consultations avec les communautés.

Selon les personnes consultées au CRSSSBJ, les feux de forêt représentent une problématique environnementale préoccupante pour la santé des Jamésiens, en raison de leurs impacts sur la santé respiratoire et mentale. La santé environnementale constitue un concept relativement nouveau pour la santé publique de la CRSSSBJ, qui s'efforce actuellement de développer son expertise en la matière. En 2023, lors des importants feux de forêt, la population de Lebel-sur-Quévillon a exprimé de grandes inquiétudes, notamment face au risque que les flammes atteignent une usine de pâte et papier située dans la municipalité. Cette usine contenait des matières explosives, et une explosion potentielle aurait pu couvrir une surface supérieure à celle de la municipalité elle-même, amplifiant considérablement l'étendue des feux de forêt. Cet événement a profondément marqué la mémoire collective pour l'ensemble de la Jamésie, incluant les communautés de Radisson et Matagami.

2.2.5 Contexte social et culturel

Valeurs importantes

Les communautés cries reposent sur un ensemble de valeurs qui guident le « le bon chemin » et contribuent à maintenir l'équilibre personnel, collectif et environnemental. Le CCSSSBJ liste 19 valeurs importantes, tout en rappelant qu'il ne s'agit pas d'une liste fixe, normative ou immuable de valeurs à "respecter" comme un code fermé. Il s'agit plutôt de repères culturels dynamiques, dont l'expression varie selon les familles, les communautés, les générations et les situations, et qui doivent être interprétés avec prudence et humilité (CCSSSBJ, 2025).

Par ailleurs ces valeurs cries servent également de repères transversaux en recherche et en santé, en orientant la posture éthique et la démarche d'analyse. Le diagramme de la figure 2-1 illustre par exemple comment les valeurs cries ont orienté la recherche du CCSSSBJ sur les effets du navettage en communauté, montrant concrètement comment l'autodétermination des institutions cries (voir la 2.1.2) se traduit par des approches de recherche et d'intervention culturellement ancrées et adaptées aux réalités vécues.

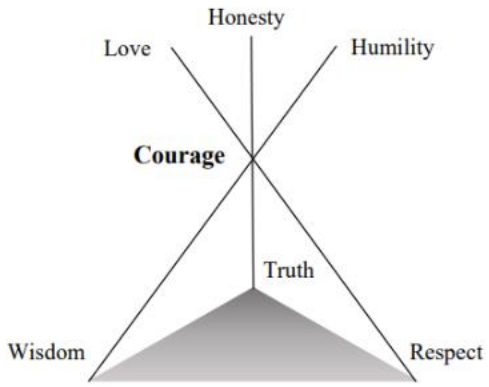

Figure 2-1 Valeurs socioculturelles importantes utilisées dans le cadre d'une étude du CCSSSBJ

Source : (CCSSSBJ, 2023)

2.3 Déterminants immédiats de la santé

2.3.1 Contexte socioéconomique

2.3.1.1 Coût de la vie

Le coût élevé des aliments est un facteur majeur d'insécurité alimentaire chez les Cris. En 2016, un panier nutritif pour une famille de quatre personnes correspondait à 18 % du revenu médian des Cris et à près de 80 % pour les familles à faible revenu. Ce prix varie d'une communauté à l'autre, dépassant de 30 % la moyenne observée en Jamésie (voir tableau 2-4), surtout dans les communautés côtières comme Chisasibi et Wemindji (Vinet-Lanouette & Godin, 2017). Cette différence observée en 2016 n'a pas été actualisée depuis, mais des observations sur le prix de certaines denrées de base effectuées en 2023 (voir tableaux 2-5 et 2-6) montrent que cette différence de 30 % avec la Jamésie demeure encore d'actualité pour les communautés de Chisasibi et Wemindji (VEI-WSP, 2024).

Tableau 2-4 Prix d'un panier de provisions nutritif pour une famille de quatre personnes, 2016

	Chisasibi	Wemindji	Mistissini	Jamésie
Prix d'un panier de provisions nutritif	337,64 $	321,48 $	312,35 $	246,19 $

Source : (Vinet-Lanouette & Godin, 2017)

Tableau 2-5 Indice des prix à la consommation par rapport à la moyenne des communautés Cries, 2023

Indice	Chisasibi	Wemindji	Mistissini	Moyenne des communautés cries	Jamésie
Aliments et boissons	1,09	0,95	0,77	1	0,66
Essence	0,92	1,06	0,90	1	.0,85
Logement	0,90	0,92	0,96	1	1,31

Source : (VEI-WSP, 2024)

Tableau 2-6 Prix de certaines denrées de base dans les communautés cries et en Jamésie, 2023

Item	Chisasibi	Wemindji	Mistissini	Moyenne des communautés cCries	Jamésie
Sac de pommes de terre 10 lb ($)	9,99	8,99	-	11,54	6,49
12 œufs ($)	6,29	6,89	4,79	5,90	4,34
2 litres de lait 2 % ($)	7,89	7,69	6,29	6,77	5,35
500 g de bœuf haché maigre ($)	11,90	7,00	8,50	9,79	8,24
Club sandwich avec frites au restaurant ($)	19,50	18,80	12,50	17,16	15,95
1 litre d'essence ordinaire ($)	1,79	2,31	1,74	1,94	1,60

Source : VEI -WSP, 2024

2.3.1.2 Sécurité alimentaire

Insécurité alimentaire modérée et grave

Les données de l'Étude sur l'alimentation des Premières Nations (Chan et al., 2019) révèlent que l'insécurité alimentaire est plus répandue dans l'écozone de la Taïga du Bouclier que dans l'ensemble des Premières Nations du Québec (voir tableau 2-7). Une proportion importante de la population y vit une insécurité alimentaire modérée, ce qui signifie qu'elle doit faire des compromis sur la qualité ou la quantité des aliments consommés. L'insécurité grave, bien que moins fréquente, est également présente, traduisant des situations où les personnes manquent de nourriture de façon marquée. Ces résultats soulignent des enjeux persistants en matière d'accès à une alimentation suffisante, saine et dans certaines communautés nordiques.

Tableau 2-7 Prévalence de l'insécurité alimentaire modérée et grave dans la population

	Insécurité modérée	Insécurité grave
Taïga du Bouclier (%)	41	2
Premières Nations du Québec (%)	28	8

Source : (Chan et al., 2019)

2.3.1.3 Logement

Taux de logements surpeuplés et nécessitant des réparations majeures

Un portrait détaillé de la situation du logement est présenté au chapitre 6 de l'ÉIE.

Il est estimé que plus de 2000 logements abordables sont nécessaires en Eeyou Istchee pour répondre aux besoins actuels et futurs des communautés cries (SCHL, 2021). Dans ces communautés, la majorité des logements sont fournis par le conseil de bande et une importante proportion d'entre eux nécessitent des réparations majeures (24 % en moyenne, voir tableau 2-8). Une proportion significative de ces logements est aussi en situation de surpeuplement, cette proportion atteignant plus de 22,7 % à Chisasibi (Statistique Canada, 2022).

Une situation de surpeuplement repose principalement sur un ratio dépassant une personne par pièce. Un tel contexte est propice au développement de conflits liés, par exemple, à la nourriture et au partage de l'espace, au paiement du loyer, et pouvant conduire à des actes de violence (CSSSPNQL, 2016). Cependant, chez les Cris spécifiquement, il ne semble pas y avoir de lien direct négatif entre le surpeuplement et la santé, du moins lorsque la santé autorapportée est utilisée comme variable (Ramamonjisoa, 2018).

Tableau 2-8 Proportions de logements surpeuplés ou nécessitant des réparations majeures dans les communautés, 2022

	Logement surpeuplé (%)	Logement nécessitant des réparations majeures (%)
Chisasibi	22,7	16,6
Wemindji	10,0	31,3
Mistissini	10,3	21,1
Moyenne des communautés cries	15,2	24,3
Jamésie	0,1	1,4
Le Québec	1,3	6,3

Source : (Statistique Canada, 2022)

Radisson et Matagami sont caractérisés par de très hauts taux d'inoccupation en raison de la baisse démographique observée dans ces communautés (Statistique Canada, 2022). Cependant, le parc immobilier de Radisson demeure inadéquat pour les besoins de la communauté et le directeur général de la localité estime que 200 nouveaux logements seraient nécessaires.

2.3.1.4 Emploi et solidarité sociale

Participation à la main-d'œuvre locale et régionale

Un portrait détaillé de l'emploi est présenté au chapitre 6 de l'ÉIE.

Le taux d'activité chez la population en âge de travailler varie entre 60,2 % et 62,6 % pour les trois communautés cries, avec un taux plus haut observé chez les femmes que chez les hommes. Dans l'ensemble de ces communautés, la majorité des emplois sont liés au secteur tertiaire. À Radisson, le taux d'activité se situe à 86,7 % alors qu'il est de 62,6 % à Matagami

2.3.1.5 Revenu

Revenu médian et faible revenu

Une description détaillée des revenus médian et moyen est présentée au chapitre 6 de l'ÉIE.

Le revenu médian pour la population en âge de travailler varie entre 42 800 $ et 43 200 $ dans les trois communautés cries, et le revenu médian des femmes est généralement plus élevé que celui des hommes. À Matagami, il s'établit à 48 800 $ avec une forte disparité de genre en faveur des hommes (Statistique Canada, 2022).

Inégalités de revenu

L'indice de Gini ajusté est une mesure de l'inégalité de revenu au sein d'une population après les taxes et transferts gouvernementaux. Il varie de 0 qui représente une égalité de revenu parfait à 1, qui est une inégalité totale (Banque Mondiale, 2025). En 2021, les résultats montrent que les communautés cries comme Chisasibi, Wemindji et Mistissini présentent des niveaux d'inégalité de revenu généralement plus faibles que ceux observés dans l'ensemble du Québec (voir tableau 2-9). Ces données suggèrent une répartition du revenu plus équitable à l'intérieur de ces communautés. Mistissini affiche toutefois un indice plus élevé que les autres communautés cries, se rapprochant de celui observé dans la Jamésie.

Tableau 2-9 Indice de Gini sur le revenu de marché ajusté des ménages, 2021

	Chisasibi	Wemindji	Mistissini	Jamésie	Le Québec
Indice de Gini	0,388	0,338	0,420	0,402	0,456

Source : (Société de développement Crie, 2024)

2.3.1.6 Éducation

Taux de diplomation

Un portrait détaillé du niveau d'éducation est présenté au chapitre 6 de l'ÉIE.

Pour les trois communautés cries concernées, plus de la moitié des membres ne détiennent aucun diplôme d'étude secondaire ou d'équivalence. Les femmes étaient plus susceptibles d'avoir obtenu un diplôme collégial et universitaire alors que les hommes étaient plus susceptibles d'avoir obtenu un diplôme d'apprenti ou d'une école de métier (Statistique Canada, 2022).

2.3.2 Milieu de vie

2.3.2.1 Milieu de travail

Travailleurs autochtones dans l'industrie minière

En Eeyou Istchee, on dénombre 985 travailleurs en navettage et 1 480 dans la Jamésie. Parmi eux, au moins 200 employés cris travaillent pour les minières Osisko et Newmont, mais ce chiffre ne tient pas compte des travailleurs d'Hydro-Québec et de ceux de la foresterie. La majorité de ces travailleurs sont des hommes (CCSSSBJ, 2023).

Les travailleurs Cris du secteur minier rapportent une importante stigmatisation entourant la santé mentale. Ce stigma est alimenté par des politiques internes jugées insuffisantes et par la crainte de représailles de la part de l'employeur en cas de demande d'aide ou de divulgation de difficultés psychologiques. La culture de la masculinité traditionnelle, souvent appelée « *rigger culture* », renforce cette situation en valorisant la force, la résilience et la discrétion face à la détresse, ce qui décourage l'expression des besoins en santé mentale (CCSSSBJ, 2023). Ce contexte favorise une augmentation de la consommation de drogues ou d'alcool comme mécanisme d'adaptation, d'autant plus que le secteur minier affiche le taux d'abus d'alcool le plus élevé parmi tous les secteurs d'activité professionnelle, soit 17,5 % (Bush & Lipari, 2015). Le racisme demeure une réalité dans les milieux de travail de la région. En 2014-2015, 28,9 % des travailleurs des TCBJ ont rapporté avoir vécu une situation de harcèlement psychologique, un taux significativement supérieur à la moyenne québécoise de 20,6 % (MSSS, 2016).

Malgré la persistance de certains comportements discriminatoires, des progrès sont observés dans certains sites où la diversité culturelle est mieux reconnue. Les travailleurs cris qui réussissent à s'intégrer dans l'équipe peuvent devenir des modèles pour leur communauté et ouvrir la voie à d'autres (CCSSSBJ, 2023).

Par ailleurs, les longues heures de travail et les horaires atypiques propres au travail minier entraînent une fatigue chronique, qui peut mener à des problèmes de santé physique comme l'hypertension. Lors des consultations, le CCSSSBJ a également souligné que ce type de travail pouvait aggraver des conditions de santé préexistantes, notamment le diabète, en raison de l'impact du travail minier sur les habitudes de vie : alimentation déséquilibrée, perturbation du sommeil et difficulté à maintenir une routine saine (CCSSSBJ, 2023).

Les femmes cries qui travaillent dans les mines subissent une double pression : elles doivent composer avec l'éloignement de leurs enfants et de leur famille, tout en affrontant le sexisme et la discrimination dans un milieu majoritairement masculin. Elles rapportent une lourde charge émotionnelle liée à la séparation avec leurs enfants, ainsi qu'un sentiment d'isolement, car il est difficile de créer un réseau de soutien sur place. Les femmes sont aussi confrontées à des remarques racistes et sexistes, à des doutes sur leur compétence et à des difficultés à faire valoir leurs droits auprès de la direction. Le manque de modèles féminins et de soutien accentue aussi leur vulnérabilité (CCSSSBJ, 2023). Le CCSSSBJ, lors des consultations, considère que les femmes peuvent se retrouver en situation de vulnérabilité dans l'industrie minière et recommande de mettre en place des mécanismes de prévention et de soutien adaptés.

Cependant, les travailleurs et travailleuses bénéficiant d'un bon réseau de soutien (collègues, amis, famille élargie) rapportent une meilleure capacité à gérer le stress et l'isolement. Certains trouvent dans le travail minier une occasion de croissance personnelle, de guérison et de dépassement de soi, notamment en participant à des ateliers de développement personnel ou en s'impliquant dans des activités communautaires lors de leurs retours à la maison (CCSSSBJ, 2023).

Lorsque des opportunités de participer à des activités culturelles sont offertes aux travailleurs cris, leur participation est élevée : par exemple, chez les travailleurs cris sur les chantiers d'Hydro-Québec en 2010, 64 % ont participé à des activités culturelles, incluant la fréquentation du Sabtuuan (41 %) et la participation à des repas traditionnels (22 %) (Hydro-Québec, 2015). Ainsi, pour les travailleurs, le lien au territoire et la pratique des activités traditionnelles demeurent des sources majeures de bien-être et de résilience. Les revenus miniers permettent d'ailleurs de participer à des activités culturelles, d'acheter des équipements pour la chasse ou la pêche, ou de soutenir des initiatives communautaires (CCSSSBJ, 2023). Lors de leur temps passé en communauté, plusieurs travailleurs s'investissent dans la vie communautaire, le bénévolat et la transmission des savoirs. Plusieurs souhaitent utiliser leur expérience et leurs compétences acquises pour contribuer positivement à leur communauté, notamment en encourageant l'éducation, l'entraide et la solidarité. Pourtant, les résidents des communautés cries ont tendance à sous-estimer le temps que les travailleurs en navettage passent dans leur localité. Alors que 42 % des travailleurs déclarent passer la majorité de leur temps dans la communauté, seulement 11 % des résidents qui ne font pas de navettage croient que les travailleurs passent la majorité de leur temps dans la communauté. Cette divergence souligne un manque de visibilité des travailleurs en navettage et suggère le besoin de renforcer la sensibilisation à leur présence et à leur contribution locale. Elle suggère aussi qu'ils se trouvent probablement isolés de la vie collective malgré leur engagement (CCSSSBJ, 2023).

Travailleurs allochtones en navettage

Selon une étude sur les impacts du navettage réalisée par le Comité condition féminine de la Baie-James (2020), en partenariat avec la Chaire de recherche sur le développement durable du Nord, 555 Jamésiens, dont 225 femmes, pratiquaient le navettage à partir des communautés jamésiennes en 2016.

L'horaire de travail, les déplacements fréquents, la charge de travail au retour à la maison, la difficulté à maintenir une vie sociale en dehors du travail et les préoccupations d'ordre familiales sont autant de facteurs de stress qui peuvent affecter la santé physique et mentale des travailleurs en navettage (Comité condition féminine de la Baie-James, 2020).

Impacts du navettage

Une « certaine culture » de consommation est présente chez les navetteurs(es), notamment ceux et celles œuvrant dans le secteur minier. La consommation s'effectue autant sur le lieu de travail qu'au retour à la maison (Comité condition féminine Baie-James, 2020).

Le navettage entraîne également des conséquences pour la famille des travailleurs et travailleuses qui le pratiquent. Certaines conjointes de travailleurs en navettage interrogées par le Comité condition féminine de la Baie-James (2020) mentionnent s'adapter assez bien à ce mode de vie, tandis d'autres indiquent vivre du stress et de l'épuisement en raison des tâches qui leur incombent en l'absence de leur conjoint. Certaines soulignent vivre de la solitude et de l'isolement, particulièrement celles ne bénéficiant pas d'un réseau social fort.

Certaines intervenantes interrogées mentionnent être limitées dans leurs perspectives professionnelles en raison de l'absence de leur conjoint. Elles doivent limiter leurs disponibilités au travail ou même changer de domaine lorsque l'horaire de travail entre en conflit avec les obligations familiales. Selon le Comité condition féminine Baie-James (2020), cette dynamique cantonne les ménages dont le conjoint occupe un emploi en navettage, dans une dynamique plus traditionnelle, où l'homme occupe le rôle de pourvoyeur et la femme demeure à la maison. Cette conjoncture peut entraîner une situation d'inégalité salariale, de dépendance économique et même de pauvreté, advenant une séparation.

Le navettage d'un des deux parents engendre également des impacts sur leurs enfants, notamment sur leur routine, leur éducation et leur comportement (Comité condition féminine Baie-James, 2020).

2.3.2.2 Milieu familial et communautaire

Milieu familial et communautaire autochtone

Les projets miniers existants et à venir dans la région ont modifié les rapports familiaux au sein de communautés cries. Les conjointes des travailleurs en navettage, généralement des femmes, assument la majorité des responsabilités familiales et domestiques lors des absences prolongées de leur partenaire. Elles rapportent de l'isolement, du stress, et parfois une surcharge qui peut nuire à leur santé mentale et à leur implication sociale ou professionnelle. Certaines doivent renoncer à des activités communautaires ou à des opportunités professionnelles pour s'occuper des enfants et du foyer (CCSSSBJ, 2023). Comme le dit une participante à l'étude :

« Quand il est là, il prend le relais, mais quand il repart, tout retombe sur moi. […] Parfois, je dois manquer des réunions importantes ou des activités parce qu'un enfant est malade ou parce que je dois tout gérer seule. » (CCSSSBJ, 2023)

Le manque de services de garde, de soutien psychologique et d'espaces de partage adaptés aux conjointes de travailleurs en navettage est souligné comme un enjeu majeur. Confirmé lors de consultations par le CCSSSBJ, le soutien aux partenaires et aux familles, en particulier aux parents, est jugé essentiel. Les associations de femmes ont souligné le besoin de groupes de soutien pour les conjointes et familles de ces travailleurs. En revanche, certaines conjointes apprécient la flexibilité et l'autonomie que leur procure l'absence périodique de leur partenaire, ce qui leur permet de prendre des décisions et de s'impliquer davantage dans la vie communautaire ou dans leur propre développement professionnel, lorsque les conditions le permettent. Plusieurs familles rapportent que les périodes de retour à la maison sont l'occasion de passer du temps de qualité ensemble, renforçant les liens familiaux (CCSSSBJ, 2023).

Milieu familial et communautaire allochtone

Le navettage entraîne des répercussions sur les communautés de travail et les communautés sources. L'une des conséquences majeures du recours au navettage concerne l'exode des personnes résidant en Jamésie. Le navettage offre la possibilité aux travailleurs provenant d'une communauté source de quitter celle-ci pour s'établir dans une autre ville où il y a une desserte aérienne. Certaines communautés de travail voient également leurs résidents quitter, mais ces derniers continuent de travailler dans la communauté en navettage. Le déclin démographique des communautés se traduit alors par une diminution du nombre de contribuables qui financent les services et les infrastructures municipales (Comité condition féminine Baie-James, 2020).

Outre une fréquentation occasionnelle des bars et restaurants, les navetteurs apparaissent peu impliqués et intégrés socialement dans les communautés de travail (Comité condition féminine Baie-James, 2020).

La fréquentation des communautés de travail par les navetteurs entraîne une problématique quant à la disponibilité des habitations. Certaines maisons, disponibles pour des familles de la communauté, ont été converties en maisons de chambres pour héberger des travailleurs en navettage. Cette pratique se traduit par des logements plus coûteux en nombre restreint, ce qui peut accentuer l'exode des résidents et complexifier l'accueil de nouvelles familles. Alors que les municipalités sont financées en fonction des résidents permanents, les navetteurs utilisent également les infrastructures et les services sans y contribuer financièrement (Comité condition féminine Baie-James, 2020).

L'une des conséquences du navettage auprès des communautés qui fournissent cette main-d'œuvre est la diminution de l'implication communautaire, récréative et politique des résidents. Vu les conditions salariales avantageuses offertes par les entreprises qui adoptent cette pratique, le navettage entraîne également des inégalités sociales et économiques au sein des communautés sources. (Comité condition féminine Baie-James, 2020).

2.3.3 Continuité culturelle, langue et identité

Pour les Cris, la continuité culturelle fait référence à la reproduction de la culture crie, au renforcement de la cohésion communautaire et à la contribution, à la protection, et à la restauration de la nature. La continuité culturelle assure la santé et le bien-être des personnes, de l'économie et de l'environnement. Selon un sondage de l'Eeyou Planning Commission (EPC) à Chisasibi (EPC Chisasibi, 2017), la communauté accorde une grande importance au partage d'activités sur le territoire, à la transmission culturelle et à la préservation des sites traditionnels.

Selon les Cris, les changements majeurs de leur mode de vie cri rendent la protection de l'identité culturelle essentielle. Les principaux enjeux concernant l'utilisation du territoire sont liés au développement hydroélectrique qui a entraîné des changements sur une vaste partie du territoire et la diminution des opportunités de pratiquer la culture crie. La qualité de l'eau, la modification des schémas migratoires des oies, la réduction de la présence des Cris sur le territoire et le déclin de la culture et de la langue sont d'autres enjeux que les Cris de Chisasibi associent aux impacts engendrés principalement par le développement hydroélectrique sur leur territoire. S'ajoutent des préoccupations sur les pratiques de chasse non conformes aux valeurs cries. Pour l'avenir, la communauté souhaite protéger le territoire qui n'a pas encore été altéré et celui qui est valorisé, et participer aux décisions territoriales, faciliter l'accès au territoire et réviser le système des terrains de trappage afin qu'il respecte les valeurs cries (EPC Chisasibi, 2017). La section 6.4.4 de l'ÉIE détaille l'importance du territoire pour la communauté de Chisasibi.

Les personnes aînées sont les piliers de la culture crie. Elles incarnent la sagesse, l'expérience et le leadership spirituel. Elles sont les gardiennes des connaissances et des enseignements cris, faisant le lien entre le passé, le présent et l'avenir. Très respectées et chéries, les personnes aînées offrent des conseils pour le bien-être holistique des communautés (INSPQ, 2024c). Les maîtres de trappage incarnent également un autre pilier important de la culture crie. Comme responsables et gardiens d'un terrain de trappage, ils sont reconnus par leurs communautés comme étant les personnes connaissant le mieux le territoire et ses ressources. Le titre de maître de trappage confère un statut et un respect particuliers.

Dans l'écozone de la Taïga du Boulier, 76 % des ménages pratiquent une forme de récolte d'aliment traditionnel, comparable à la moyenne des Premières Nations du Québec (78 %) (Chan et al., 2019).

2.3.3.1 Pratique des activités traditionnelles sur le territoire

Taux participation au Programme de sécurité économique

Soulignons que les Cris qui souhaitent poursuivre le mode de vie traditionnel peuvent bénéficier du Programme de sécurité économique (PSÉ) pour les chasseurs cris (anciennement nommée Programme de sécurité du revenu pour les chasseurs et piégeurs Cris [PSR]). Celui-ci a été mis sur pied en 1976 aux termes de la CBJNQ. Ce programme garantit un revenu aux participants pour leurs activités de chasse, de pêche ou de trappage, lorsqu'ils restent plus de 120 jours en forêt par année. Pour la période de 1976-1977 à 2020-2021, le taux de participation au PSR dans l'ensemble des communautés a chuté en moyenne de 51 points de pourcentage. C'est le taux de Chisasibi qui a le moins fortement chuté (38 points de pourcentage) (Hydro-Québec, 2024).

Bien que le taux d'inscrits ait tendance à décroître au fil des ans, l'économie basée sur le territoire continue de représenter un secteur non négligeable pour l'économie des Cris. En 2022-2023, 17 % des résidents de Chisasibi (574 familles) ont adhéré au PSÉ pour assurer leur subsistance, parfois en combinaison avec d'autres emplois occasionnels. À Wemindji, 10 % de la population y était inscrite, et à Mistissini, 8 % (voir la section 6.4.4 de l'ÉIE : Revenu et Usage courant des terres et des ressources, pour chaque communauté).

Sur le plan de la continuité culturelle, mais également au niveau économique, le (PSÉ joue un rôle clé. Certains bénéficiaires se nourrissent principalement des ressources du territoire et agissent comme pourvoyeurs pour les aînés et les familles à revenus modestes ou qui ne peuvent se procurer la nourriture traditionnelle. La nourriture prélevée permet de réduire les dépenses alimentaires et de garder un lien avec le territoire.

Les données recueillies ne permettent pas de déterminer le nombre de bénéficiaires du PSÉ spécifiquement pour les chasseurs cris qui utilisent les territoires de trappe touchés par le Projet.

Fréquence des activités traditionnelles et mode de vie

Une enquête menée en 2012 par Hydro-Québec et la SEBJ montre que la fréquence de la pratique des activités traditionnelles connaît une croissance modeste (voir tableau 2-10). La pratique d'activités culturelles inclut la chasse, la pêche, le trappage, la cuisine, la préparation des oies, la couture, le tricot, les excursions en forêt, les activités culturelles et le « Goose break » (Hydro-Québec, 2015).

Tableau 2-10 Proportion des Cris pratiquant des activités traditionnelles, par fréquence, 2005 et 2012

	2005	2012	Variation
Souvent	30 %	39 %	9 %
Parfois	46 %	53 %	9 %
Rarement	19 %	6 %	-12 %
Jamais	2 %	2 %	0 %

Source : (Hydro-Québec, 2015)

Malgré ces indicateurs positifs, la proportion de personnes dans la population Crie qui estime que le mode de vie traditionnel est menacé a connu une augmentation significative de 2005 à 2012 (voir tableau 2-11).

Tableau 2-11 Proportion de Cris estimant que le mode de vie traditionnel est menacé, 2005 et 2012

	2005	2012	Variation
Oui	41 %	53 %	12 %
Plus ou moins	20 %	14 %	-6 %
Non	26 %	30 %	3 n%
Ne sait pas / pas de réponse	13 %	3 %	-10 %

Source : (Hydro-Québec, 2015)

Des suivis qualitatifs ont été effectués pour investiguer la contradiction apparente entre le fait que la fréquence de la pratique d'activités traditionnelles ait augmenté de 2005 à 2012 et qu'en parallèle, la perception que le mode de vie traditionnel soit menacé se soit accrue. Les personnes interrogées ont indiqué que la pratique d'activités traditionnelles pour de courts séjours est aujourd'hui plus répandue, mais que le concept de mode de vie traditionnel est plus large que la pratique d'activités traditionnelles. Il réfère davantage à une façon de vivre et de subsister sur le territoire durant une longue période, transmise de génération en génération. Ainsi, les dangers associés à la disparition du mode de vie traditionnel peuvent référer au vieillissement de la génération qui vit selon ce mode de vie et aux difficultés de perpétuer les traditions cries dans un contexte de prévalence du mode de vie occidental (Hydro-Québec, 2015).

Accès au territoire

L'accès au territoire et aux ressources demeure essentiel pour assurer la continuité du mode de vie des Cris qui est lié aux activités sur le territoire. Cependant, malgré la construction de nouvelles routes qui facilitent l'accès aux différentes parties du territoire, l'accessibilité aux ressources suscite de plus en plus de difficultés et d'inquiétudes. Elles sont liées aux impacts cumulatifs sur le territoire et les ressources, à la pression accrue sur la faune (chasse et pêche), aux feux de forêt et aux changements climatiques qui limitent considérablement les possibilités de déplacement en motoneige.

Dans l'écozone de la Taïga du Bouclier et pour le Québec, plusieurs adultes sont touchés par des difficultés d'accès. Le tableau 2-12 montre le pourcentage des adultes des Premières Nations qui ont rapporté que les éléments présentés touchaient (ou limitaient) les lieux où ils pouvaient chasser, pêcher ou récolter des petits fruits.

Tableau 2-12 Proportion des adultes des Premières Nations rapportant des contraintes sur les lieux de chasse, de pêche ou de récolte des baies, écozone Taïga du Bouclier et Québec

	Taïga du Bouclier	Premières Nations au Québec
Présence/construction de routes	50 %	21 %
Plaisanciers et pêcheurs	25 %	18 %
Activités minières	23 %	21 %
Besoin en pétrole et gaz	21 %	3 %9

Source (Chan et al., 2019)

Pratiques traditionnelles dans le secteur du projet minier

Le chapitre 6 de l'ÉIE présente une étude détaillée de l'utilisation du territoire par les communautés autochtones.

Les terrains de trappage touchés par le projet à l'étude (CH39, M02A et VC26) font partie de ceux qui ont été profondément affectés par le complexe La Grande d'Hydro-Québec au milieu des années 1970. Ce projet a entraîné l'inondation d'une partie du territoire et le redécoupage de certaines frontières afin de permettre aux familles touchées de conserver suffisamment de territoire pour poursuivre leurs activités traditionnelles.

La construction de la route de Chisasibi, de la route Transtaïga et des infrastructures liées à la centrale La Grande-4, incluant les lignes de transport d'énergie, a également modifié les usages du territoire et introduit des changements dans l'environnement. Au niveau sonore, la route Transtaïga constitue la principale source de bruit sur le territoire. En termes de luminosité, les installations de La Grande-4 et de son aérodrome (Hydro-Québec) constituent le principal émetteur de lumière dans le secteur, qui est autrement caractérisé par très peu de lumière intrusive.

Ces changements s'inscrivent donc dans un contexte d'impacts cumulés qui ont transformé les pratiques, favorisant notamment, par l'aménagement des routes, des séjours plus courts, mais plus fréquents. Par ailleurs, selon des utilisateurs du territoire rencontrés, les infrastructures existantes (routes, lignes électriques, aménagements hydroélectriques) auraient contribué à la diminution des populations de petits mammifères (comme le castor, le porc-épic - qui a des vertus curatives, et le lièvre), et la pêche a été abandonnée dans certains lieux, notamment par crainte de contamination. Lorsque des activités sont moins pratiquées, les savoirs qui leur sont associés tendent à disparaître, et si elles ne sont pas remplacées par d'autres, cette situation peut entraîner une perte d'apport de nourriture de qualité ou de ressources, ainsi que d'autres effets sociaux ou culturels.

La continuité culturelle repose en grande partie sur les activités traditionnelles et les pratiques de partage. Les festins communautaires (*feasts*) renforcent les liens sociaux et culturels, tout comme la cueillette des petits fruits, une activité principalement féminine qui peut contribuer à la transmission culturelle et à la valorisation sociale. Soulignons notamment que lors du festival annuel du bleuet à Chisasibi, à laquelle hommes, femmes et enfants participent, des dons sont faits (entre autres à l'hôpital ou au « School food Program ») et des concours (de cueillette et de recettes) sont tenus. Le secteur de La Grande-4 tout comme les abords de la route Billy-Diamond semblent être des endroits privilégiés pour la cueillette de bleuets (voir le site Facebook de Musuutaau).

La chasse à l'oie demeure aussi une occasion importante de rassemblement familial et de transmission des savoirs et de continuation culturelle. Un nouveau camp a été construit pour la chasse à l'oie près d'un site où elles se posent, à environ 5 à10 km du site minier de Ressources PMET.

Connaissance de la langue crie (iiyiyuu ayimuun)

Un portrait détaillé des langues parlées dans les communautés d'accueil est présenté au chapitre 6 de l'ÉIE.

Dans les communautés cries, l'iiyiyuu ayimuun est parlé à la maison par la grande majorité des résidents et l'anglais constitue généralement la langue seconde. La quasi-totalité d'entre eux s'identifie comme autochtones.

2.3.1 Sécurité

2.3.1.1 Sécurité dans les transports

Un portrait détaillé de l'état du transport est présenté dans le rapport sectoriel sur la circulation (annexe 6-25 de l'ÉIE).

La route Billy-Diamond (Route de la Baie-James) s'étend sur 620 km de Matagami jusqu'à Radisson. Elle constitue le seul accès routier aux communautés cries pour la majorité du corridor. En dehors de l'utilisation de véhicules privés, il existe un service d'autobus reliant les différents villages d'Eeyou Istchee deux fois par semaine. Les coûts sont cependant très élevés, par exemple, 309 $ pour un aller-retour de Chisasibi à Matagami (Maheux-Cree, 2026), surtout lorsque comparés avec le revenu médian dans les communautés (voir 2.3.1.5).

Air Creebec offre des liaisons aériennes entre les communautés et Val-d'Or ou Montréal, mais ce service, propriété des Cris, dessert principalement les déplacements interrégionaux et ne remplace pas les besoins de mobilité locale sur le corridor routier. Le Programme des prestations supplémentaires en santé du gouvernement fédéral couvre les déplacements pour accéder aux soins de santé non disponibles localement — mais ce transport est strictement médical et ne répond pas aux besoins de mobilité générale ou de sécurité.

Dans la plupart des régions à majorité autochtone ayant des services de transport limités, l'auto-stop est une pratique courante et structurellement ancrée dans les déplacements quotidiens (Perry et al., 2024). Il convient de noter que les données quantitatives sur la fréquence de l'auto-stop parmi la population crie sont inexistantes dans la littérature scientifique disponible. Cette lacune est elle-même un résultat : l'absence de collecte de données (et particulièrement de données genrées) sur la mobilité dans les communautés des Premières Nations a été identifiée comme un problème important qui appelle à des évaluations menées par les Premières Nations elles-mêmes (Bull-Prete, 2024).

Toutefois, les membres de la communauté de Chisasibi rencontrés lors des consultations ont indiqué que l'auto-stop sur la route était très peu fréquent, et que les transports informels passaient souvent davantage par les réseaux sociaux.

La mise en place du service d'autobus mentionnée plus haut est en ce sens une solution autodéterminée par le gouvernement cri, mais ne constitue pas une solution permettant de remédier à l'ensemble des iniquités de transport dans la région.

Victimes d'accidents de la route

Le nombre de personnes accidentées a connu une nette diminution au cours de la période 2019 à 2024 pour le Nord-du-Québec, soit une baisse de 20,1 % comparativement à une réduction de 2,6 % pour l'ensemble du Québec (voir tableau 2-13). Toutefois, le nombre de décès a presque doublé pour la même période, résultant en une augmentation de 90,5 %, qui doit être interprétée avec prudence en raison de la petite taille de la population. Le taux de décès pour 2024 s'établit à 17 pour 100 000 habitants, comparativement à 4,2 pour le Québec (SAAQ, 2024a).

Tableau 2-13 Nombre de blessures liées aux accidents de la route et taux de variation dans la région du Nord-du-Québec, par niveau de sévérité, 2019 à 2024

	2019	2020	2021	2022	2023	2024	Variation 2024/ 2019 à 2023[2]
Blessures mortelles	3	2	3	6	7	8	90,5 %
Blessures graves	16	21	17	19	23	13	-32,3 %
Blessures légères	128	110	91	104	82	80	-22,3 %
Total	**147**	**133**	**111**	**129**	**112**	**101**	**-20,1 %**

Source : (SAAQ, 2024a)

Collisions routières

Le nombre total d'accidents est aussi en baisse constante dans la région du Nord-du-Québec. Ainsi, pour l'année 2022, on enregistre un total de 298 accidents, une baisse de 18,8 % par rapport à la moyenne des quatre années précédentes (SAAQ, 2024b). De ce nombre, 56 accidents impliquaient un camion lourd, une baisse de 5,1 % par rapport à la moyenne des quatre années précédentes.

Plus spécifiquement dans l'Eeyou Istchee, 33 accidents sont survenus en 2022, une baisse de 56,5 % par rapport à la moyenne des quatre années précédentes (SAAQ, 2024b).

2 Réfère à la différence entre l'année 2024 et la moyenne de la période 2019-2023.

2.3.1.2 Sécurité des femmes sur le territoire

L'enquête nationale sur les femmes et filles autochtones disparues ou assassinées a mis en lumière la victimisation disproportionnée des femmes, des filles et des personnes 2ELGBTQQIA autochtones en matière de violence (ENFFADA, 2019b). Le rapport spécifique au Québec souligne que les femmes autochtones sont confrontées à l'indifférence, au mépris, et à des lacunes graves dans les services publics, notamment en matière de justice et de santé. Le rapport souligne aussi l'exclusion historique des femmes autochtones dans les projets de développement comme le Plan Nord, qui ne prenait pas en compte le risque d'augmentation des violences basées sur le genre résultant du développement minier (ENFFADA, 2019a).

Ainsi, les femmes autochtones représentent 4 % de la population canadienne, mais constituent 51 % des personnes victimes de trafic humain (Standing Committee on Indigenous and Northern Affairs, 2021) et les femmes autochtones seraient 16 fois plus susceptibles que les Canadiennes caucasiennes d'être portées disparues ou tuées par un acte de violence (ENFFADA, 2019b). De plus, la présence d'industries extractives est corrélée à une insécurité accrue pour les femmes autochtones dans les communautés avoisinantes, entraînant des conséquences sanitaires importantes : blessures, infections transmissibles sexuellement, grossesses non désirées et besoins accrus en soins d'urgence, ainsi que des effets psychologiques tels que traumatismes, stress chronique et troubles dépressifs (Comité permanent de la condition féminine, 2022) .

En 2019, on estime qu'entre 80 et 100 trousses médicolégales utilisées en cas d'agression sexuelle ont été utilisées en Eeyou Istchee, dont sept dans des cas d'abus sexuels sur des personnes mineures (Isaac, 2020).

En milieu allochtone, une étude menée par le Comité de la condition féminine de la Baie James (2010) rapporte que la présence de navetteurs ne semble pas générer un sentiment d'insécurité chez les résidents et les résidentes des communautés de travail outre des craintes liées à la vente de drogue. Cependant, une intervenante locale de Radisson mentionne que comme la localité se trouve à l'intersection où se rencontrent plusieurs consommateurs de passage, comme les travailleurs en navettage, les saisonniers, ou les résidents des communautés autochtones de la région, les interactions entre ces différents sous-groupes peuvent constituer une problématique de sécurité publique.

Sécurité des femmes dans les transports

Structurellement, la route Billy-Diamond reliant Chisasibi à Matagami présente des caractéristiques très similaires à celles de la *Highway of Tears* (Route 16 en Colombie-Britannique), corridor de référence en matière d'impacts FFADA liés à la présence de travailleurs de l'industrie extractive. Les deux routes ont en commun de constituer un long corridor unique (719 km pour la route 16 contre 540 km pour la route Billy-Diamond) marqué par un isolement important, bordé de communautés autochtones (23 contre 9), avec peu d'alternatives de transport, des services en route très limités (à l'exception d'un arrêt au km 381 pour la route Billy-Diamond), une présence policière sporadique et la présence de nombreuses industries extractives impliquant du transport lourd.

Cette comparaison s'ancre dans les observations québécoises de l'ENFFADA et de l'Association des femmes cries de l'omission des enjeux de genre dans le développement du Nord québécois (voir 2.1.1). Toutefois, ce rapprochement constitue une analogie et ne vise pas à établir une correspondante exacte, lorsqu'on considère par exemple le haut niveau d'autodétermination de la nation crie (voir 2.1.2) qui la rend beaucoup plus apte à réagir aux circonstances et à s'adapter pour renforcer la sécurité de ses membres. La mise en place du partenariat Maheux-Cree pour l'ajout de trajets d'autobus (voir 2.3.3.1) exemplifie bien cette capacité.

La pratique de l'auto-stop sur des routes isolées comme la route Billy Diamond ou la Route 16 expose les femmes et filles autochtones à des risques documentés de violence et d'exploitation. L'absence d'options de transport fiables et abordables entraîne des répercussions importantes sur les femmes, filles et personnes 2ELGBTQ+ autochtones : une mobilité limitée augmente leur vulnérabilité à l'exploitation et à la violence, nuit à l'accès aux services essentiels et perpétue des inégalités économiques, éducatives et sociales (ENFFADA, 2019b).

Les membres de la communauté de Chisasibi ont témoigné que l'autostop pratiqué sur les routes n'était pas une pratique courante dans la région, les personnes préférant organiser leurs transports via les réseaux sociaux.
Bien que l'auto-stop ne constitue pas des pratiques répandues sur le territoire à l'étude, la littérature scientifique et les constats formulés par l'ENFFADA indiquent que, dans des contextes nordiques et éloignés, la mobilité contrainte peut néanmoins exposer certaines personnes à des situations de vulnérabilité. Ces enjeux concernent plus particulièrement les femmes, les filles et les personnes 2ELGBTQ+, pour qui les déplacements non planifiés ou en l'absence d'options de transport sécuritaires peuvent comporter des risques accrus pour la sécurité personnelle. Dans cette perspective, même en l'absence d'une pratique établie d'auto-stop dans la région, il demeure pertinent d'adopter une approche de prévention et de sensibilisation, afin de réduire les risques associés aux déplacements informels et de renforcer les conditions de sécurité pour les groupes plus à risque.

2.3.2 Habitudes de vie et comportements

2.3.2.1 Consommation d'aliments traditionnels

La consommation d'aliments traditionnels constitue un déterminant important de la santé des autochtones, notamment en contribuant à une alimentation saine et peu coûteuse comparativement à la consommation d'aliments du marché, plus chers et ayant une plus faible valeur nutritive. Ainsi les aliments traditionnels constituent des facteurs de protection contre l'insécurité alimentaire et les maladies chroniques (INSPQ, 2024a).

Les ressources prélevées (poissons, gibier, petits fruits) sont généralement perçues comme saines et de qualité par les Cris, et là où il y a des doutes, la nourriture n'est pas consommée ou prélevée, comme dans un réservoir ou à proximité d'une mine. De fait, les utilisateurs et utilisatrices du territoire considèrent habituellement que les aliments prélevés sur le terrain sont plus sains que ceux trouvés en magasin, et que cela contribue à réduire les dépenses alimentaires.

Consommation des aliments traditionnels, types et apport nutritionnel

L'Étude sur l'alimentation, la nutrition et l'environnement chez les Premières Nations rapporte qu'un quart des répondants interrogés de l'écozone de la Taïga du Bouclier avaient consommé des aliments traditionnels au cours des 24 dernières heures, le plus haut taux parmi toutes les écozones du Québec (Chan et al., 2019) (voir tableau 2-14). Cette observation semble cohérente avec les observations d'Hydro-Québec qui, dans une étude menée en 2012 sur les neuf communautés cries au Québec, a mesuré que 12 % des adultes consommaient des aliments traditionnels sur une base quotidienne et 41 % sur une base hebdomadaire (Hydro-Québec, 2015).

Le poisson, les mammifères terrestres et les oiseaux sont consommés par une grande partie de la population, autant en termes de proportion de consommateurs que de poids consommé. Les femmes semblent consommer davantage d'aliments traditionnels que les hommes, à l'exception du poisson où la proportion est relativement semblable.

Tableau 2-14 Proportion de répondants de l'écozone Taïga du bouclier au Québec ayant consommé de la nourriture traditionnelle et quantités moyennes consommées quotidiennement

Espèce consommée	Proportion de la population adulte ayant consommé de la nourriture traditionnelle au cours de l'année	Consommation moyenne par jour (g)		
		Femmes	Hommes	Total
Poissons	88 %	7,8	8,4	8,0
Truite (toutes combinées)	86 %	4,7	5,9	5,1
Corégone	37 %	3,8	1,8	3,5
Omble de l'Arctique ou Chevalier	19 %	1,3	0,6	1,2
Mammifères terrestres	%	15,4	5,7	12,1
Caribou	82 %	13,3	5,9	11,1
Porc-épic	49 %	2,0	1,5	1,8
Ours noir (viande/graisse)	34 %/29 %	2,8	0,8	2,6
Orignal	29 %	-	-	-
Castor	22 %	-	-	-
Oiseaux	84 %	21,6	11,6	18,4
Bernache (outarde)	78 %	9,5	3,3	7,4
Lagopèdes	78 %	8,3	4,1	7,0
Tétras	65 %	3,8	2,8	3,4
Canards	26 %	-	-	-
Fruits et plantes	80 %	4,6	2,9	4,1
Bleuets	77 %	2,4	1,6	2,2
Thé du labrador	70 %	2,4	1,6	2,2
Plaquebière (chicoutai)	35 %	0,7	4,3	1,3

Source : (Chan et al., 2019)

Par ailleurs, 99 % des personnes interrogées pour l'écozone de la Taïga du Bouclier aimeraient consommer davantage d'aliments traditionnels. Les principaux obstacles mentionnés sont l'absence d'un chasseur dans le ménage (28 %), le manque de temps (22 %) et le manque de disponibilité des aliments (9 %).

Avantages des principaux aliments traditionnels et du commerce

Parmi les Premières Nations au Québec, les personnes se tournent habituellement vers les aliments traditionnels en raison de leur apport élevé en nutriments, de leur caractère sécuritaire, de leur valeur culturelle, de leur goût et de leur disponibilité à bas prix (tableau 2-15). Pour les aliments du commerce (tableau 2-16), une forte majorité de personnes disent les consommer en raison de leur côté pratique et pour intégrer de la variété dans leur alimentation (Chan et al., 2019).

Tableau 2-15 Principaux avantages des aliments traditionnels selon les adultes des Premières Nations au Québec

Avantages	Proportion des répondants
Sain / nutritif	28 %
Naturels / sécuritaires	17 %
Culturels / éducatifs	11 %
Goût	10 %
Peu coûteux	10 %

Source : (Chan et al., 2019)

Tableau 2-16 Principaux avantages des aliments du commerce selon les adultes des Premières Nations au Québec

Avantages	Proportion des répondants
Disponibilité / pratique	61 %
Variété	20 %
Culturels / éducatifs	11 %
Sains / nutritifs	9 %
Peu coûteux	3 %
Frais	2 %

Source : (Chan et al., 2019)

Importance de la nourriture traditionnelle dans le secteur du projet

La sécurité alimentaire que la nourriture traditionnelle procure est directement liée à la fréquentation du territoire et à son accessibilité. Plusieurs Cris utilisent le territoire concerné par le projet (mine et ligne électrique) et y prélèvent de la nourriture traditionnelle.

Plus d'une quarantaine de personnes de Chisasibi (sans compter les enfants) utilisent le terrain CH39, soit de manière régulière ou ponctuelle. De plus, certains membres de Mistissini disposent de camps en bordure de la route Transtaïga, principalement pour des commodités d'accès. Ces camps sont généralement moins fréquentés que ceux des Cris de Chisasibi, car ils se trouvent à une distance considérable des lieux de résidence des propriétaires, qu'il s'agisse de Mistissini ou d'autres communautés. Onze hommes de la même famille élargie pourraient fréquenter le territoire. Ils s'y rendent principalement au printemps pour la chasse à l'oie et en automne. Ils chassent, pêchent et trappent. Leurs activités impliquent parfois la traversée du terrain CH39 pour rejoindre les terrains situés au sud ou à l'est ou alors ils fréquentent les secteurs à proximité des camps. Mentionnons aussi que des membres de Wemindji exercent des activités sur le terrain limitrophe de CH39 et aux abords de la route Transtaïga.

Comme indiqué précédemment, la chasse à l'oie occupe une place significative dans la culture crie, et l'oie cuisinée est présente aussi bien lors de célébrations ou moments festifs que dans l'alimentation quotidienne. Différents sites de chasse à l'oie ont été répertoriés sur le terrain de piégeage CH39, ainsi que de nombreux va-et-vient sur la route Transtaïga lors de la période de chasse à l'oie. Avec le nombre de chasseurs potentiels sur le terrain de piégeage, il est plausible de croire que plusieurs dizaines d'oies, ou quelques petites centaines, y soient récoltées chaque année.

La pêche constitue une activité essentielle, mais certains sites (comme les réservoirs ou le lac à côté de l'ancienne pourvoirie Nouchimi) ont été abandonnés en raison de contaminations possibles (mercure, hydrocarbures) ou de changements dans le goût du poisson. Des activités de pêche sont réalisées sur d'autres lacs, dont les lacs L01 et L27, quoique leur utilisation demeure sporadique. Là où il n'y a pas d'accès, la pêche se fait sous la glace (déplacement en motoneige).

Plusieurs petits fruits sont récoltés sur le terrain (bleuets, mûres, groseilles à maquereau (*gooseberries*), chicoutai, et airelles rouges (*cranberries*). Les cueilleurs et cueilleuses s'assurent généralement de récolter les petits fruits sur des sites qui leur semblent sains et à l'écart de la poussière des routes. En raison de craintes liées à la santé, certains préfèrent également éviter de cueillir sous les lignes électriques, bien que les fruits y soient souvent plus intéressants (volume ou grosseur des fruits); d'autres au contraire profitent de cet état sans crainte.

L'orignal est également chassé sur le terrain CH39 et les terrains adjacents. Il s'agit d'un apport alimentaire majeur qui fournit de la viande à plusieurs personnes et pour plusieurs mois. Pour cette raison, et dans un esprit de préservation de la ressource, il n'est pas nécessaire d'en chasser un tous les ans.

État de référence toxicologique

Des analyses toxicologiques ont été menées sur différents aliments récoltés dans la zone du projet. En matière de plantes culturellement significatives, selon les analyses des bleuets et du thé du Labrador, les niveaux de base mesurés indiquent un état initial caractérisé par des concentrations reflétant des conditions naturelles. Des informations détaillées sont présentées dans le rapport sectoriel sur l'écotoxicologie des plantes (annexe 6-15 de l'ÉIE). En termes de savoir traditionnel, un utilisateur du territoire de Chisasibi a mentionné que les plantes médicinales cueillies près des routes (notamment la Transtaïga) n'avaient pas les mêmes propriétés en termes de goût ou d'apparence que les plantes récoltées dans des milieux non perturbés. En conséquence, il s'abstenait de récolter dans ces secteurs et devait aller plus loin en forêt. La seule plante médicinale nommée était le thé du Labrador, l'utilisateur préférant ne pas partager quelles autres plantes étaient considérées comme médicinales.

Le poisson a aussi fait l'objet d'analyses toxicologiques. À cette fin, des spécimens ont été pêchés dans le lac L27, le lac L01 et dans un lac de référence situé au nord-ouest de la zone de projet (lac L823). Les résultats initiaux indiquent que les teneurs moyennes en mercure des grands spécimens et de la majorité des spécimens moyens, autant pour les lacs exposés que pour le lac de référence, dépassent les critères de consommation humaine de Santé Canada et du MELCCFP. Cependant, les concentrations en mercure obtenues sont comparables aux moyennes provinciales des lacs naturels du Bouclier canadien (voir rapport sectoriel à l'annexe 6-18 de l'ÉIE). En termes de recommandations de consommation, le géoportail du CCSSSBJ (CCSSSBJ, 2026) indique que pour CH39, aucune restriction n'est indiquée pour le grand corégone, le cisco, l'esturgeon, le meunier et l'omble de fontaine. Par contre, la consommation de grand brochet, de touladi et le doré jaune ne devrait pas dépasser quatre fois par mois (CCSSSBJ, 2026).

Les analyses toxicologiques pour établir les niveaux de base de la faune terrestre n'ont pas encore été menées au moment du dépôt de ce rapport, mais devraient être effectuées au cours de l'année 2027.

2.3.2.2 Activité physique

Dans la région du Nord-du-Québec, la proportion de personnes de 15 ans et plus considérées comme inactives a fortement augmenté entre 2014-2015 et 2020-2021, passant de 29 % à 37 %. Ce taux est identique à la moyenne québécoise (tableau 2-17).

La proportion des jeunes du secondaire du Nord-du-Québec considérés comme inactifs a elle aussi significativement augmenté entre 2016-2017 et 2022-2023 pour s'établir à 16 % (tableau 2-18). Elle demeure toutefois largement en deçà du taux observé chez l'ensemble des jeunes du Québec qui est de 23 % (CRSSSBJ, 2025).

Tableau 2-17 Proportion de la population de 15 ans et plus inactive entre 2014-2015 et 2020-2021

	2014-2015	2020-2021
Nord-du-Québec (%)	29	37
Le Québec (%)	32	37

Source : (CRSSSBJ, 2025)

Tableau 2-18 Proportion des jeunes du secondaire inactifs entre 2010-2011 et 2022-2023

	2010-2011	2016-2017	2022-2023
Nord-du-Québec (%)	15	11	16
Le Québec (%)	15,	11	23

Source : (CRSSSBJ, 2025)

Il n'existe pas de données récentes disponibles pour les TCBJ.

2.3.2.3 Obésité

Tout comme ailleurs au Québec, la proportion de personnes de plus de 18 ans en situation d'obésité au Nord-du-Québec est en augmentation depuis 2008 (tableau 2-19). En 2020-2021, la proportion de personnes en situation d'obésité était de 27 % dans la région contre 23 % dans l'ensemble du Québec, ce qui constitue un taux significativement plus élevé (CRSSSBJ, 2025).

Tableau 2-19 Proportion de la population de 18 ans et plus en situation d'obésité, 2008, 2014-2015 et 2020-2021

	2008	2014-2015	2020-2021
Nord-du-Québec (%)	23,0	25,0	27,0
Le Québec (%)	16,0	19,0	23,0

Source : (CRSSSBJ, 2025)

Il n'existe pas de données récentes disponibles pour les TCBJ.

2.3.2.4 Consommation d'alcool, de drogue et de tabac

La consommation excessive d'alcool est significativement plus élevée dans la région du Nord-du-Québec qu'ailleurs au Québec (tableau 2-20). En 2020-2021, 34 % de la population avait consommé de l'alcool de manière excessive au cours de la dernière année contre 24 % de la population au Québec. Cet écart se reflète chez tous les groupes d'âge confondus de la région. L'écart le plus important est observé dans le groupe d'âge des 15 à 24 ans, dont 40 % des jeunes de ce groupe d'âge ont consommé à l'excès, contre 22 % à travers le Québec. Les jeunes du secondaire de la région sont également plus sujets à consommer de l'alcool de manière excessive que la moyenne des jeunes au Québec, soit 53 % de ce groupe d'âge contre 29 %, en 2022-2023 (tableau 2-21). Il est à noter que les critères déterminant une consommation excessive d'alcool varient entre les hommes, les femmes et les jeunes du secondaire (CRSSSBJ, 2025). La consommation de drogue chez les 15 ans et plus s'établissait à 19 % en 2020-2021, un taux identique à la moyenne québécoise. Les jeunes du secondaire de la région étaient cependant significativement plus nombreux à avoir consommé des drogues au cours de la dernière année en 2022-2023, soit 25 % d'entre eux, que la moyenne des jeunes de la province. Le cannabis est la drogue ayant été la plus consommée dans la région en 2020-2021.

En 2020-2021, 21 % de la population de 15 ans et plus ont consommé des médicaments prescrits contenant des opioïdes. Cette proportion est significativement supérieure à la moyenne québécoise qui était de 13 %.

La consommation de drogues et d'alcool dans la région est également marquée par une proportion plus importante de jeunes ayant consommé avant l'âge de 14 ans que dans le reste de la province, soit 55 % contre 31 % pour l'alcool et 13 % contre 7 % pour la drogue (CRSSSBJ, 2025)

Par ailleurs, ces observations sont corroborées par le témoignage d'une intervenante de Radisson, qui affirme que la santé mentale et la consommation d'alcool et de stupéfiant constituent un enjeu de santé prioritaire pour la localité.

Tableau 2-20 Proportion de la population ayant consommé excessivement de l'alcool, 2020-2021

	15 à 24 ans	25 à 44 ans	45 à 64 ans	65 ans et plus
Nord-du-Québec (%)	40,0	39,0	33,0	22,0
Le Québec (%)	22,0	30,0	25,0	13,0

Source : (CRSSSBJ, 2025)

Tableau 2-21 Proportion des jeunes du secondaire ayant consommé de l'alcool et de la drogue dans la dernière année, 2022-2023

	Consommation excessive d'alcool	Consommation de drogue
Nord-du-Québec (%)	40,0	25,0
Le Québec (%)	22,0	18,0

Source : (CRSSSBJ, 2025)

Une diminution marquée de l'usage de la cigarette chez la population de 15 ans et plus a été observée dans la région passant de 31 % en 2008 à 18 % en 2020-2021. La consommation dans la région demeure supérieure à celle de la province qui s'établit à 15 %. Une augmentation de l'usage de la cigarette électronique est toutefois observée depuis 2016-2017. Cet usage est beaucoup plus marqué chez les jeunes du secondaire, dont près de 25 % en avaient fait usage au cours du dernier mois en 2022-2023, que dans l'ensemble de la population où cette proportion était de 6 % (CRSSSBJ, 2025).

Il n'existe pas de données récentes disponibles pour les TCBJ.

2.4 État de santé

2.4.1 Santé globale

2.4.1.1 Espérance de vie

L'espérance de vie à la naissance des Cris est significativement inférieure à celle du Nord-du-Québec et du Québec, autant chez les hommes que chez les femmes (tableau 2-22). Une fois atteint l'âge de 65 ans, l'espérance de vie est relativement comparable à la moyenne québécoise pour les hommes, mais inférieure pour les femmes (Statistique Canada, 2019b). La mortalité prématurée (avant 75 ans) explique en partie cette différence (tableau 2-23). En effet, les taux de mortalité prématurée normalisés pour l'âge sont plus élevés pour les deux sexes pour la région des TCBJ et, dans une proportion moindre, pour le Nord-du-Québec. Les raisons expliquant la mortalité prématurée semblent autant être dues à des causes relevant de la prévention primaire (causes pouvant être prévenues (p. ex. prévention du tabagisme, port de la ceinture de sécurité) que de la prévention secondaire et tertiaire (causes traitables, p. ex. dépistage de l'hypertension chez les personnes à risque, gestion du diabète) (Statistique Canada, 2019a).

Les autres déterminants de santé présentés dans cette étude jouent aussi très possiblement un rôle important dans la surreprésentation des mortalités prématurées dans la région. La mortalité périnatale, qui est plus élevée dans les TCBJ, peut aussi expliquer en partie les différences d'écart par rapport au Québec entre l'espérance de vie à la naissance et à 65 ans (voir section mortalité infantile).

Tableau 2-22 Espérance de vie à la naissance et à 65 ans, période 2015-2017

	Espérance de vie à la naissance (années)		Espérance de vie à 65 ans (années)	
	Hommes	Femmes	Hommes	Femmes
Terres-cries-de-la-Baie-James	75,4	78,7	19,2	19,2
Nord-du-Québec	79,3	81,4	18,7	20,3
Le Québec	80,7	84,4	19,5	22,2

Source : (Statistique Canada, 2019b

Tableau 2-23 Mortalité prématurée par 100 000 habitants, période 2019-2021

	Mortalité prématurée		Mortalité due à des causes pouvant être prévenues		Mortalité due à des causes traitables	
	Hommes	Femmes	Hommes	Femmes	Hommes	Femmes
Terres-cries-de-la-Baie-James	534,2	364,3	257,9	150,3	131,6	112,9
Nord-du-Québec	419,8	247,3	211,4	125,5	91,1	60,5
Le Québec	294,5	196,1	151,5	83,3	56,6	52

Source : (Statistique Canada, 2019a)

2.4.2 Santé physique

2.4.2.1 Diabète

Le diabète constitue un enjeu de santé non négligeable en Eeyou Istchee. En 2021, le nombre d'Eeyouch/Eenouch âgés de 20 ans aux prises avec le diabète de type 2 s'élevait à 3 552 individus sur une population totale de 11 437 personnes (tableau 2-24).

Tableau 2-24 Nombre de bénéficiaires cris de la CBJNQ aux prises avec le diabète de type 2, par groupe d'âge et par sexe, 2021

	10-19 ans	20-29 ans	30-39 ans	40-49 ans	50-59 ans	60-69 ans	70 ans et +	Total
Femme	28	115	295	501	509	355	296	2099
Homme	21	42	154	360	381	313	201	1472
Total	49	157	449	861	890	668	497	3571

Source : CCSSSBJ, 2024

Des données recueillies par le CCSSSBJ (2024) démontrent notamment qu'entre 2002 et 2021, la prévalence brute du diabète de type 2 en Eeyou Istchee a plus que doublé, passant de 14 % à 31 % chez les Eeyouch/Eenouch âgés de 20 ans et plus. Lorsqu'exprimée en taux normalisé pour l'âge, la prévalence du diabète de type 2 en Eeyou Istchee est de 39 %, comparativement à 9 % pour le reste du Québec (tableau 2-25).

Tableau 2-25 Prévalence, ajustée selon l'âge, du diabète de type 2 en Eeyou Istchee et au Québec, de 2002 à 2021

	2002	2007	2012	2017	2021
Eeyou Istchee (%)	20	28	33	38	39
Le Québec (%)	7	8	9	9	9

Source : CCSSSBJ, 2024

Lorsqu'exprimé sous forme de ratio, le nombre de cas de diabète de type 2 était pratiquement 4,4 fois plus élevé en Eeyou Istchee que dans le reste du Québec (CCSSSBJ, 2024). Comme le démontre le tableau 2-26, ce ratio était plus élevé chez les femmes (5,5) que chez les hommes (3,5).

Tableau 2-26 Ratio de prévalence par sexe, ajustée selon l'âge, du diabète de type 2 en Eeyou Istchee par rapport au reste du Québec

	2002	2007	2012	2017	2021
Homme (ratio)	2,2	2,7	2,9	3,3	3,5
Femme (ratio)	4,0	4,4	4,6	5,2	5,5

Source : CCSSSBJ, 2024

Les données recueillies par le CCSSSBJ (2024) démontrent également que la prévalence du diabète de type 2 augmente avec l'âge, alors que la proportion de personnes aux prises avec le diabète de type 2 passe de 19 % pour la tranche d'âge de 20-29 ans à 70 % pour la tranche d'âge de 70 ans et plus. CCSSSBJ observe une augmentation marquée des diagnostics de diabète de type 2 auprès des Cris âgés de 10 et 19 ans, bien que le nombre de cas demeure minime, soit 49 cas en 2021.

Alors que le nombre de nouveaux diagnostics de diabète de type 2 se chiffrait à 4 par tranche de mille personnes entre 1982 et 1985, ils se chiffraient à 20 par tranche de 1000 personnes entre 2018 et 2021. Les données recueillies par la CCSSSBJ (2024) font état de 609 nouveaux diagnostics pour le diabète de type 2 entre 2018 et 2021 en Eeyou Istchee.

La prévalence de cette maladie chronique représente un fardeau supplémentaire pour le CCSSSBJ, notamment quant aux soins à prodiguer en cas de complications liées au diabète, tels que l'hémodialyse, le traitement des plaies et le dépistage de la rétinopathie. Elle est aussi liée à une mortalité accrue chez les hommes (voir la section Mortalité et morbidité).

Pour la région sociosanitaire du Nord-du-Québec, la prévalence du diabète est identique à celle de l'ensemble de la population du Québec qui s'établissait à 9 % en 2020-2021 (CRSSSBJ, 2025).

2.4.2.2 Cancer

D'après l'étude de Lejeune (2018), Eeyou Istchee a les deuxièmes taux bruts d'hospitalisation pour cancer les plus bas du Québec. Cependant, les taux de diagnostic ont augmenté en 2016 et sont désormais similaires au reste de la province. Dans cette région, les diagnostics de cancer surviennent à un âge relativement jeune : les trois quarts des cas concernent des personnes de 50 ans ou plus. Les cancers les plus fréquents sont ceux du rein, du poumon, du côlon et du sein, avec une mortalité principalement due aux cancers des bronches, du poumon et du rein. Le CCSSSBJ (2016) note pour sa part que la mortalité liée au cancer est légèrement plus élevée que la moyenne québécoise, quoique cette différence doit être interprétée avec prudence en raison de la faible taille d'échantillon.

Dans la région sociosanitaire du Nord-du-Québec, le nombre de nouveaux cas de cancer était de 412 en 2017-2021. Ce nombre a connu une augmentation significative depuis les 30 dernières années, alors qu'il était de 243 nouveaux cas en 1987-1991. Depuis 2002, le taux ajusté d'incidence du cancer dans la région se compare avec celui observé pour l'ensemble du Québec. Dans la région, le cancer du poumon est celui atteignant le plus grand nombre de personnes avec 184 cas pour 100 000.

2.4.2.3 Hypertension

L'hypertension constitue le plus important facteur de risque lié aux maladies cardiovasculaires (Organisation mondiale de la santé, 2009). Il n'existe pas de données normalisées pour l'âge disponible pour la région des TCBJ (tableau 2-27). Cependant, le CCSSSBJ estime qu'environ une personne sur trois sur son territoire souffrirait d'hypertension. Dans un cas sur six, l'hypertension serait soit non diagnostiquée ou non contrôlée (CCSSSBJ, 2013). Comme il s'agit de taux bruts ne prenant pas en compte l'influence de l'âge, les comparaisons avec la moyenne provinciale ne sont pas présentées.

Tableau 2-27 Prévalence estimée d'hypertension pour les TCBJ

	Cas d'hypertension estimée	Hypertension non contrôlée ou non diagnostiquée
Mistissini (%)	31,5	17,6
Wemindji (%)	35,7	15,1
Chisasibi (%)	31,5	10,7

Source : (CCSSSBJ, 2013)

2.4.2.4 Cardiopathies et maladies pulmonaires obstructives chroniques

Les données relatives aux cardiopathies, aux maladies pulmonaires obstructives chroniques (MPOC) et aux multimorbidités pour les TCBJ ne sont pas présentées en raison d'enjeux liés à la disponibilité et à la fiabilité des données.

En 2020-20221, la prévalence des cardiopathies ischémiques, de l'asthme et des MPOC (tableau 2-28) était significativement plus élevée dans la population de la région du Nord-du-Québec qu'ailleurs au Québec (CRSSSBJ, 2025).

Tableau 2-28 Prévalence ajustée de certaines maladies chroniques pour la région du Nord-du-Québec, en 2020-2021

	Cardiopathie ischémique	Asthme	MPO
Nord-du-Québec (%)	10,0	14,0	11,0
Le Québec (%)	8,0	12,0	9,0

Source : (CRSSSBJ, 2025)

2.4.2.5 Santé sexuelle, reproductive et périnatale

Incidence des infections transmises sexuellement et par le sang (ITSS)

Au cours des dernières années, la région du Nord-du-Québec, et plus particulièrement les TCBJ, a connu une diminution notable du taux d'infections à la chlamydia, l'infection transmise sexuellement et par le sang (ITSS) la plus commune (tableau 2-29). Cette tendance est observable tant au niveau régional que provincial, bien que les taux demeurent près de cinq fois plus élevés pour les TCBJ. Ces données suggèrent une amélioration de la prévention et du dépistage, mais elles soulignent aussi l'importance de maintenir les efforts en matière de sensibilisation, d'accès aux soins et de suivi médical, notamment dans les communautés éloignées où les services peuvent être moins accessibles. Par ailleurs, on compte quelques cas annuels de syphilis. L'hépatite C et le VIH (tableau 2-30) sont très rares ou absents (INSPQ, 2024d).

Tableau 2-29 Taux bruts d'incidence d'infection génitale par 100 000 habitants à *Chlamydia trachomatis* et taux de variation

	2018 (taux)	2022 (taux)	Variation (%)
Terres-cries-de-la-Baie-James	2234	1238	-45
Nord-du-Québec	239	120	-50
Le Québec	332	291	-12

Source : (INSPQ, 2024d)

Tableau 2-30 Moyenne par année du nombre de cas déclarés de syphilis, d'hépatite C et de VIH (période 2018-2022)

	Syphilis (nbre)	Hépatite C (nbre)	VIH (nbre)
Terres-cries-de-la-Baie-James	2	2	0
Nord-du-Québec	1	1	1

Source : (INSPQ, 2024d)

Mortalité infantile

Les données sur la mortalité infantile et périnatale dans les TCBJ montrent des variations importantes d'une année à l'autre. Ces fluctuations doivent être interprétées avec prudence, en raison de la petite taille de l'échantillon ; ainsi, quelques décès seulement peuvent représenter un pourcentage élevé. Comparativement à la moyenne provinciale, les taux de mortalité infantile observés dans les TCBJ sont parfois plus élevés, notamment en ce qui concerne la mortalité périnatale (voir le tableau 2-31). Ces taux sont en partie liés aux suivis des grossesses, à l'accès aux soins prénataux et postnataux, et au soutien aux familles (CCSSSBJ, 2016).

Tableau 2-31 Taux de mortalité infantile et périnatale pour 1 000 naissances vivantes, 2000 à 2015

	2000	2005	2010	2015
Mortalité infantile[3] dans les Terres-cries-de-la-Baie-James	0,0	12,5	15,4	0,0
Mortalité infantile au Québec	4,7	4,7	4,8	4,4
Mortalité périnatale[4] dans les Terres-cries-de-la-Baie-James	15,2	12,5	0,0	14,1
Mortalité périnatale au Québec	5,6	5,7	5,6	5,6

Source : CCSSSBJ, 2016)

Grossesses adolescentes

Les taux de grossesses adolescentes dans Eeyou Istchee sont significativement plus élevés que ceux observés à l'échelle provinciale, particulièrement chez les jeunes de 14 à 17 ans et de 18 à 19 ans (tableau 2-32). Le ratio entre les deux territoires montre que les adolescentes cries étaient plusieurs fois plus susceptibles de vivre une grossesse à ces âges au cours de la période de référence (CCSSSBJ, 2016).

Tableau 2-32 Proportion de grossesses adolescentes et ratio comparatif à la moyenne québécoise, 2009-2013

	14-17 ans	18-19 ans
Eeyou Istchee (%)	4,7	14
Le Québec (%)	0,3	1,7
Ratio	19,6	8,3

Source : (CCSSSBJ, 2016)

3 La mortalité infantile correspond au décès d'un enfant de moins d'un an. Exprimée par un taux pour 1 000 naissances vivantes.

4 Les décès périnataux comprennent les mortinaissances (décès de foetus de 28 semaines de gestation et plus) et les décès néonataux précoces (décès de bébés de moins d'une semaine).

2.4.2.6 *Morbidité et mortalité*

Taux d'hospitalisation

Le taux d'hospitalisation en Eeyou Istchee était significativement supérieur au reste du Québec pour l'ensemble des causes. Les cinq causes les plus fréquentes étaient liées au système respiratoire, au système digestif, aux blessures, au système circulatoire et au système génito-urinaire (tableau 2-33). Les femmes étaient significativement plus susceptibles d'être hospitalisées que les hommes pour l'ensemble de catégories, à l'exception des blessures. Les hospitalisations étaient aussi significativement plus élevées pour Chisasibi (199,3) que pour la moyenne des communautés cries et significativement plus basses à Mistissini (130,8) et Wemindji (87,5) (CCSSSBJ, 2016). Rappelons que Chisasibi détient un l'hôpital qui peut également attirer des Cris des communautés voisines.

Tableau 2-33 Hospitalisations annuelles dans les Terres-cries-de-la-Baie-James par cause et ratio comparatif par rapport au Québec, 2010-2011 à 2012-2013

Cause	Nombre moyen d'hospitalisations annuelles	Ratio par rapport au Québec	
		Hommes	Femmes
Système respiratoire	357	2,4	3,3
Système digestif	310	1,5	2,7
Blessures	223	1,5	1,5
Système circulatoire	192	1,6	2,8
Système génito-urinaire	182	1,5	1,7
Total[5]	-	1,6	2,0

Source : (CCSSSBJ, 2016)

Causes de décès

Les causes de décès principales en Eeyou Istchee (tableau 2-34) sont liées au cancer, au système circulatoire, aux blessures, à l'appareil respiratoire et au système endocrinien (p. ex. diabète). En termes de ratios comparatifs avec les taux de la province, les décès par blessure chez les hommes sont deux fois plus hauts et ceux causés par des maladies endocrines comme le diabète, 2,7 fois plus élevés. Les taux de décès chez les femmes sont 2,5 plus élevés que le taux provincial pour les maladies respiratoires (CCSSSBJ, 2016).

5 Le total des hospitalisations n'est pas présenté par les CCSSSBJ.

Tableau 2-34 Ratio comparatif du taux de mortalité standardisé par cause, Terres-cries-de-la-Baie-James et le Québec, 2009-2013

	Hommes	Femmes
Cancer	0,7	1,2
Système circulatoire	1,1	0,6
Blessures	2	1,5
Système respiratoire	1,8	2,5
Système endocrinien	2,7	1
Total	1,3	1,3

Source : (CCSSSBJ, 2016)

Pour la région sociosanitaire du Nord-du-Québec, le taux annuel moyen de mortalité toutes causes confondues est significativement plus élevé que celui du Québec, soit de 872 contre 774 pour 100 000 pour la période de 2017 à 2021 (CRSSSBJ, 2025). La mortalité causée par des tumeurs et par des traumatismes est significativement plus élevée dans la région du Nord-du-Québec que dans l'ensemble de la province. Entre 2017 et 2021, le taux annuel moyen de décès par tumeurs était de 305 dans la région contre 243 pour 100 000 pour l'ensemble du Québec. Pour la même période, les tumeurs représentaient 36 % des décès dans la région (CRSSSBJ, 2025).

2.4.2.7 Concentration corporelle de mercure

Les études menées entre 2002 et 2009 auprès de la population de Chisasibi ont montré une concentration médiane de mercure dans les cheveux de 1,5 nmol/g (CCSSSBJ, 2013), en diminution par rapport aux mesures réalisées entre 1988 et 1994, qui rapportaient une médiane de ≤ 12,5 nmol/g (Dumont et al., 1998). Les concentrations étaient significativement plus élevées chez les personnes âgées de plus de 60 ans, ce qui peut s'expliquer soit par une consommation plus importante de nourriture traditionnelle, soit par un ralentissement du taux de renouvellement du mercure lorsque la charge corporelle totale augmente, retardant ainsi sa libération (CCSSSBJ, 2013). Dans l'ensemble, bien que les niveaux de mercure demeurent plus élevés que ceux observés dans la population québécoise, les concentrations mesurées chez la grande majorité de la population se situent sous les seuils d'intervention reconnus par Santé Canada (Legrand et al., 2010) et montrent une tendance générale à la baisse.

Une étude complémentaire pour l'ensemble de l'Eeyou Istchee estimait que chez les femmes en âge de procréer (15-44 ans), 8 % des femmes qui n'étaient pas enceintes et 2,5 % des femmes enceintes avaient des concentrations de mercure justifiant un suivi selon les seuils établis par Santé Canada. Le taux de mercure était corrélé avec la consommation de poisson provenant du territoire (Ripley et al., 2018).

2.4.3 Santé mentale

2.4.3.1 Suicide et automutilation

Mortalité et tentative de suicide

Le nombre et le taux de suicide sont relativement stables en Eeyou Istchee, le nombre variant entre 2 et 6 pour la période de 2017 à 2021. Si plusieurs nations autochtones comptent des taux de suicide très élevés, les Cris au Québec font exception en ayant un taux ajusté de suicide comparable à la moyenne québécoise. Cependant, le taux d'hospitalisation pour les tentatives de suicide y est significativement plus élevé (tableau 2-35). En termes de genres, la région semble se distinguer par une surreprésentation des femmes autant en termes de suicide que d'hospitalisation, mais la faible taille de la population ne permet pas de tirer de conclusion définitive à ce sujet (INSPQ, 2024b).

Le Nord-du-Québec présente quant à lui un taux de suicide et d'hospitalisation comparable à la moyenne québécoise.

Tableau 2-35 Nombre et taux par 100 000 habitants de suicide et d'hospitalisation à la suite d'une tentative de suicide, 2021

		Terres-cries-de-la-Baie-James	Nord du Québec	Québec
Suicides	Nombre	3	2	1102
	Taux par 100 000	12,1*	14,6*	12,7
Hospitalisation pour tentative	Nombre	39	8	3627
	Taux par 100 000	162,6	60*	42,3

Source : (INSPQ, 2024b)

*Coefficient de variation élevé, interpréter avec prudence

2.4.3.2 Détresse psychologique et stress chronique

Une augmentation de la détresse psychologique a été constatée parmi la population âgée de 15 ans et plus à l'échelle du Québec entre 2014-2015 et 2020-2021, la proportion étant passée de 32 % à 39 % (tableau 2-36). Cette tendance ne semble pas s'être répercutée dans la région sociosanitaire du Nord-du-Québec où la proportion de personnes en situation de détresse s'est maintenue relativement stable pour la même période, soit de 33 % à 34 %. Le taux observé en 2020-2021 était ainsi significativement plus faible que dans l'ensemble du Québec. Les femmes étaient toutefois disproportionnellement plus touchées par un état de détresse psychologique avec un taux de 41 % contre 28 % chez les hommes. Les jeunes du secondaire de la région étaient également plus susceptibles d'être touchés que la moyenne. Ils présentaient un taux de détresse psychologique de 42 %, ce qui est comparable avec la moyenne observée au Québec, selon les données de 2022-2023.

La proportion de la population du Nord-du-Québec présentant un niveau de stress quotidien élevé s'établissait à 12 % en 2019-2020, ce qui est significativement inférieur à la proportion québécoise qui s'établissait à 23 % (CRSSSBJ, 2025).

Tableau 2-36 Proportion de la population de 15 ans et plus en situation de détresse psychologique

	2014-2015	2021-2022	2022-2023		
	Ensemble de la population	Ensemble de la population	Hommes	Femmes	Jeunes
Nord-du-Québec (%)	32,0	34,0	28,0	41,0	42,0
Québec (%)	33,0	39,0	n.d.	n.d.	n.d.

Source : (CCSSSBJ, 2025)

Aucune donnée relative à la détresse psychologique et au stress chronique n'était disponible pour les communautés d'Eeyou Istchee.

3 Interaction du projet avec la composante valorisée

Le tableau 3-1 résume les interactions possibles entre les composantes du projet et la santé.

Tableau 3-1 Tableau synthétique des interactions du projet avec la composante valorisée

Phase	Activité	Changements dans l'état de la santé et de ses déterminants
Construction	Organisation du chantier, décapage et déboisement	x
	Préparation des surfaces et aménagement des accès	x
	Construction des ouvrages et des infrastructures	x
	Transport et circulation des matériaux et approvisionnement	x
	Production et gestion des matières résiduelles et dangereuses	x
	Main-d'œuvre et achats	X (positif et négatif)
Exploitation	Présence et exploitation des nouvelles infrastructures	x
	Utilisation et gestion de l'eau	x
	Transport et circulation du minerai et approvisionnement	x
	Production et gestion des matières résiduelles et dangereuses	x
	Main-d'œuvre et achats	x
Fermeture	Présence des vestiges du site	x
	Transport et circulation durant les travaux	x
	Restauration finale	X (positif)
	Production et gestion des matières résiduelles et dangereuses	x
	Main-d'œuvre et achats	X (positif)

La figure 3-1 présente les voies d'action illustrant les effets potentiels du Projet. Une voie d'action est définie par la chaîne logique qui relie une composante du Projet à des effets potentiels sur la santé et ses déterminants, qui peut être soit de nature matérielle ou psychosociale (Santé Canada, 2024). Les deux activités principales du Projet pouvant entraîner des répercussions sur la santé sont l'embauche et la présence de main-d'œuvre ainsi que la présence et l'opération du site, elle-même subdivisée en la présence physique des installations et les changements dans la qualité de l'environnement. Chaque activité a été considérée en relation avec certains déterminants structurels de santé nommés dans les LDI.

Les conséquences décrites dans le chapitre 4 sont présentées ici de manière schématisée afin d'en faciliter la lecture, mais il importe de rappeler que les réalités en jeu sont plus complexes et interdépendantes que ne peut le laisser croire une segmentation par catégories d'impacts. Par exemple, une étude récente montre que des CVE identifiées par les Autochtones comme l'utilisation traditionnelle du territoire peut comporter jusqu'à dix-sept interrelations différentes avec d'autres composantes adjacentes alors que les CVE non autochtones comportent en moyenne une ou deux interrelations (Durksen, 2025). Cette observation s'inscrit dans les observations générales de la littérature qui relèvent un fossé entre la conception autochtone de la santé et sa description dans les études d'impact (voir par exemple Lewis et al., 2025).

Dans ce contexte, bien que l'analyse ne vise pas à opérationnaliser explicitement les modèles culturels propres aux Nations concernées — tels que la conception crie de la santé (*Miyupimaatisiiun*) ou Inuit (*Ilusirsusiarniq Qanuinngisiarniq Inuuqatigiitsianiq),* elle s'inscrit dans une approche autochtone de la santé plus générale, présentée à la section 1.1.2.

Pour ces raisons, et pour respecter la demande des LDI de considérer le caractère holistique de la santé chez les Autochtones ainsi que les multiples interactions en interconnexions entre les CVE (p.22), l'analyse des impacts procède en deux temps. Elle identifie d'abord les conséquences directes des composantes du Projet sur certains paramètres ayant des effets sur la santé, tels que la sécurité financière ou la crainte de contamination. Ces effets directs sont ensuite intégrés dans l'analyse d'effets de second ordre portant sur des composantes plus complexes (utilisation du territoire, l'alimentation et continuité culturelle) afin de rendre compte de la présence de multiples interactions interdépendantes associées au Projet et aux déterminants structurels de santé.

L'analyse de l'impact selon une approche ACS+ est appliquée de façon transversale dans l'ensemble du processus en identifiant les impacts différenciés sur les sous-groupes populationnels identifiés à 1.2.

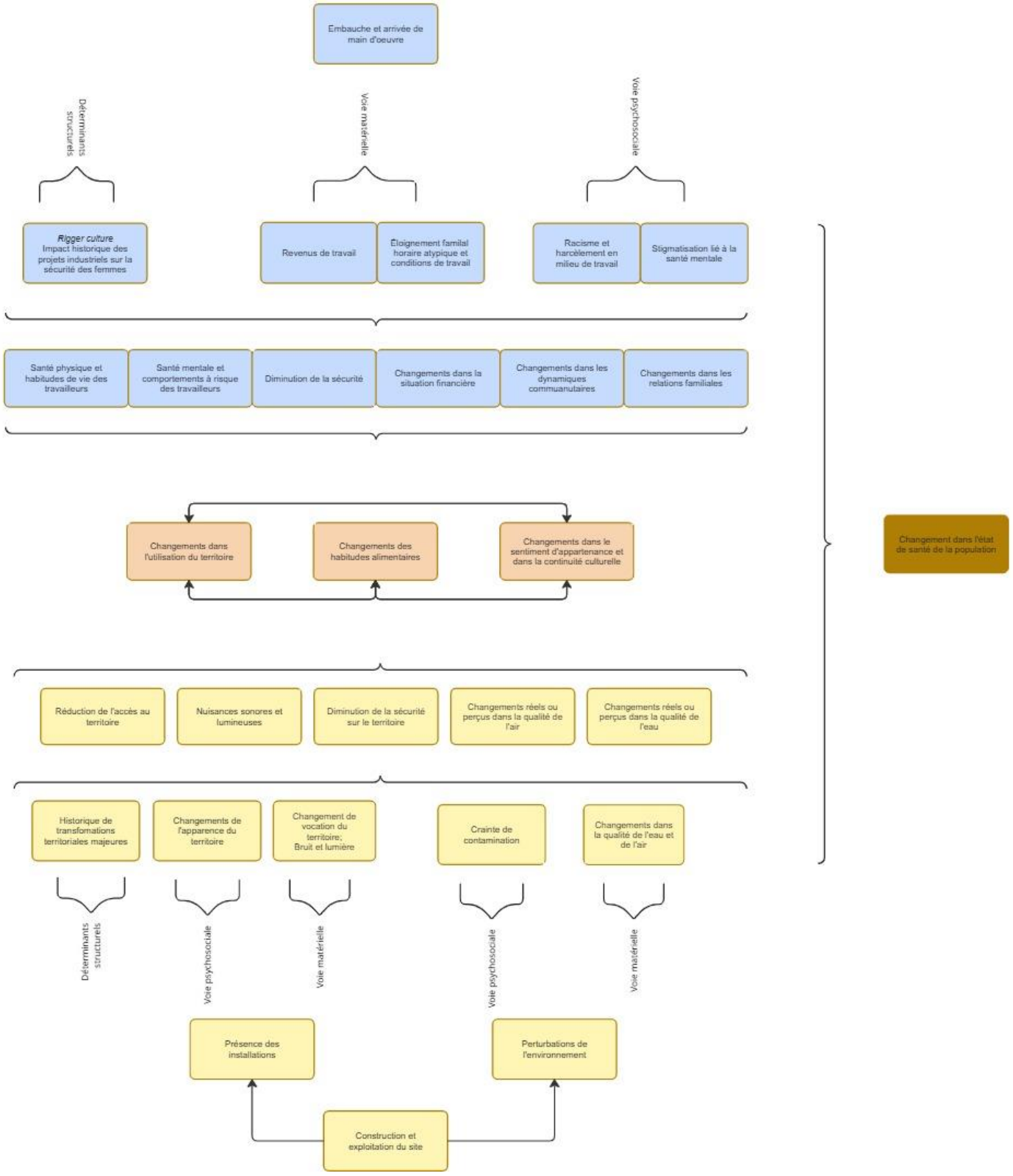

Figure 3-1 Voies d'action illustrant les effets potentiels du Projet

Tableau 3-2 Impacts potentiels, voies d'action et paramètres mesurables pour la santé

Voie d'impact	Paramètres mesurables	Indicateurs quantitatifs/qualitatifs	Correspondance au niveau de référence
Embauche et arrivée de main-d'œuvre	Changement dans les relations familiales	• Proportion de travailleurs en navettage et modalités d'horaires • Répartition genrée des responsabilités parentales • Stress, fatigue et isolement rapportés par les conjointes • Effets perçus sur la routine et le comportement des enfants	2.3.2.1 Milieu de travail 2.3.2.2 Milieu familial/communautaire
	Changement dans les dynamiques communautaires	• Implication communautaire des travailleurs en navettage • Perception d'iniquité dans l'accès aux emplois et aux revenus • Tensions et clivages sociaux rapportés • Manifestations de violence latérale	2.2.5 Contexte social et culturel 2.3.2.2 Milieu familial et communautaire
	Changements dans la situation financière	• Revenu médian des ménages • Indice de Gini ajusté du revenu • Proportion de ménages à faible revenu • Capacité à absorber le coût élevé de la vie (ratio PPN / revenu)	2.3.1.1 Coût de la vie 2.3.1.5 Revenu 2.3.1.6 Inégalités de revenu
	Diminution de la sécurité	• Nombre et taux de blessures liées aux accidents de la route • Taux de mortalité routière par 100 000 habitants • Perception de l'insécurité des femmes sur le territoire • Préoccupations liées aux déplacements sur routes isolées	2.3.3.1 Sécurité dans les transports 2.3.3.2 Sécurité des femmes
	Changements dans la santé mentale et comportements à risque chez les travailleurs	• Prévalence de la détresse psychologique • Taux d'hospitalisation pour santé mentale • Prévalence de la consommation excessive d'alcool • Consommation de drogues et d'opioïdes prescrits • Stigmatisation de la santé mentale en milieu de travail	2.3.2.1 Milieu de travail 2.3.4 Habitudes de vie et comportements 2.4.3 Santé mentale
	Changements dans la santé physique et habitudes de vie des travailleurs	• Prévalence du diabète de type 2 • Prévalence estimée de l'hypertension • Proportion de personnes en situation d'obésité • Difficultés rapportées à maintenir une alimentation et un sommeil adéquats	2.3.2.1 Milieu de travail 2.3.4 Habitudes de vie 2.4.2 Santé physique
Perturbations de l'environnement	Changements réels ou perçus dans la qualité de l'air	• Perception de la poussière et des émissions atmosphériques • Préoccupations respiratoires rapportées • Données de biosurveillance	2.2.4 Contexte environnemental 2.3.4.1 Environnement et santé
	Changements réels ou perçus dans la qualité de l'eau	• Perception de la qualité de l'eau de surface • Utilisation de certains sites de pêche • Données de biosurveillance	2.3.4.1 Environnement et santé 2.3.5 Habitudes alimentaires
Toutes les voies	Changements dans l'utilisation du territoire	• Fréquence et durée de fréquentation du territoire • Proportion d'utilisateurs rapportant des contraintes d'accès • Nombre de bénéficiaires du PSÉ • Modification des pratiques d'utilisation du territoire	2.3.4 Continuité culturelle (et sous-sections)
	Changement dans les habitudes alimentaires	• Prévalence de l'insécurité alimentaire • Proportion consommant des aliments traditionnels • Quantités moyennes consommées par espèce • Substitution par des aliments du commerce	2.3.1.2 Sécurité alimentaire 2.3.5 Habitudes alimentaires
	Changements dans le sentiment d'appartenance et la continuité culturelle	• Proportion estimant que le mode de vie cri est menacé • Fréquence de la pratique d'activités traditionnelles • Participation aux activités culturelles et festives • Rôle des aînés et maîtres de trappe	2.3.4 Continuité culturelle (et sous-sections)

4 Évaluation des impacts résiduels

4.1 Mesures d’atténuation

4.2 Embauche de main-d’œuvre et retombées économiques

La réalisation du projet mobilisera une main-d’œuvre importante tout au long de son cycle de vie. Il est prévu de générer 95 emplois directs au cours de la phase de construction (3 ans), 743 en phase d’exploitation (17 ans) et 296 en phase de fermeture (3 ans). La majorité des emplois seront liés à l’exploitation minière, à la maintenance mécanique et électrique, à la transformation du minerai, à la gestion environnementale et à la logistique.

Pour répondre à ces besoins, PMET entend recruter une portion significative de sa main-d’œuvre dans les communautés autochtones touchées par le projet, par embauche directe et via un programme de formation et de transfert de compétences créé en collaboration avec les Cris et les institutions allochtones régionales. Le nombre total de travailleurs nécessaires en phase d’exploitation (743, dont au moins 20 % provenant de la région) représente un potentiel de changement important pour la communauté de Chisasibi lorsque comparé à sa population en âge de travailler projetée en 2041 (4361 de 15 à 64 ans, voir section 2.2.2).

Les postes au campement des travailleurs seront principalement associés à un roulement par navettage de 14 jours de travail et de 14 jours de repos pour les postes horaires et de 7 jours de travail et 7 jours de repos pour les postes de gestion, de supervision et de services techniques. Parmi la main-d’œuvre employée, la grande majorité transiteront par l’aéroport de La Grande 4 et n’auront par conséquent que peu d’opportunités d’interagir avec les communautés autochtones et non autochtones de la région. Cependant, l’aller-retour de 30 camions de concentré par jours entre le site du projet et Matagami signifie que ces travailleurs seront présents sur les routes et interagiront davantage avec les résidents de la région.

Compte tenu de l’ampleur de la main-d’œuvre qui sera mobilisée par le projet et de la place qu’occuperont ces emplois à l’échelle de la population locale, les modalités d’emploi et de travail associées au projet sont susceptibles d’entraîner des effets réels et significatifs sur les déterminants de la santé.

4.2.1 Facteurs structurels

Les modes d'organisation du travail en navettage (fly-in fly-out) propres aux projets industriels en milieu éloigné façonnent des cultures professionnelles spécifiques au sein des campements de travailleurs. La *rigger culture* est un ensemble de normes et de valeurs propres aux milieux de travail miniers et de campement, fortement marqués par une masculinité hégémonique, la valorisation de la performance physique, de l'endurance, de la prise de risque et de l'autonomie, ainsi que par une faible reconnaissance des vulnérabilités psychosociales. Cette culture professionnelle tend à normaliser la fatigue, le stress et la souffrance psychologique, tout en décourageant le recours à l'aide formelle, contribuant ainsi à des enjeux persistants de santé mentale et de bien-être chez les travailleurs en navettage. Elle ne relève pas uniquement de comportements individuels, mais s'inscrit dans une organisation du travail et des normes collectives qui structurent les interactions sociales sur les sites industriels et dans les campements (Brouillette et al., 2022).

En contexte autochtone, les effets de la *rigger culture* peuvent être amplifiés par des dynamiques historiques et sociales particulières. L'éloignement prolongé, la discontinuité entre les modes de vie communautaires et les exigences du travail en campement, ainsi que la confrontation entre des normes relationnelles distinctes peuvent accentuer les tensions vécues par les travailleurs autochtones et leurs proches. Le travail en navettage affecte non seulement les individus, mais également les relations familiales, les rôles parentaux et les réseaux de soutien, dimensions centrales dans les conceptions autochtones du bien-être et de la santé (Brouillette et al., 2022). Dans ce contexte, la *rigger culture* agit comme un déterminant structurel de la santé, susceptible d'entrer en contradiction avec des valeurs des Cris (voir 2.25) et de générer des impacts durables sur la santé psychosociale des travailleurs, des femmes de leur entourage et, plus largement, des communautés concernées.

Dans une perspective ACS+, la *rigger culture* se manifeste de manière différenciée chez les femmes et les personnes 2SLGBTQ+ autochtones, qu'elles soient travailleuses en contexte de campement, conjointes de travailleurs, membres de la famille élargie ou utilisatrices du territoire. Bien que les milieux de travail miniers demeurent majoritairement masculinisés, la présence croissante de femmes sur les sites industriels les expose directement aux normes et aux dynamiques associées à la *rigger culture*, notamment en matière de rapports de pouvoir, de climat social et de reconnaissance des vulnérabilités. Ces environnements peuvent poser des défis spécifiques en matière de santé psychosociale, de sécurité et de sentiment d'inclusion, particulièrement pour les femmes et les personnes de la diversité sexuelle et de genre.

Les travaux de l'ENFFADA (2019) soulignent que les projets industriels et les contextes des campements de travail masculinisés peuvent accentuer des facteurs structurels de risque pour les femmes et les personnes 2SLGBTQ+ autochtones, notamment en fragilisant les réseaux de soutien et les mécanismes communautaires de protection. Sans établir de lien causal direct, ces constats invitent à analyser les effets potentiels du projet sur la sécurité, la santé psychosociale et le bien-être de ces groupes dans un continuum d'enjeux sociaux et historiques déjà documentés, et à en tenir compte dans les sections suivantes.

4.2.2 Changement dans les relations familiales

Le travail en navettage est reconnu dans la littérature comme une modalité d'organisation du travail susceptible d'influencer la vie familiale des travailleurs autochtones. Les analyses menées dans différents contextes miniers et de développement des ressources montrent que ce mode de travail, fondé sur une alternance entre des périodes d'absence prolongée et des périodes de retour au domicile, reconfigure les temporalités familiales, les rôles au sein des ménages et les modalités de présence parentale (Jones & Bradshaw, 2015).

Les observations du CCSSSBJ de ce phénomène abondent dans le même sens. Le recours au travail en navettage dans le cadre du projet minier peut entraîner des impacts significatifs sur les relations familiales des travailleurs cris. Les absences prolongées et répétées des travailleurs modifient l'organisation familiale et la répartition des rôles au sein des ménages, en particulier lorsque les responsabilités parentales et domestiques reposent majoritairement sur les conjointes durant les périodes d'absence. Cette situation peut générer de la fatigue, du stress et un sentiment d'isolement chez les partenaires, ainsi que des tensions dans la relation de couple (CCSSSBJ, 2023).

Au niveau de la relation parent enfant, les périodes d'éloignement peuvent nuire à la continuité des routines familiales et à la présence parentale, ce qui est perçu par certains parents comme entraînant des répercussions sur le bien-être émotionnel et le comportement des enfants. Les enfants peuvent manifester de l'anxiété, des difficultés d'adaptation ou des changements comportementaux liés aux cycles d'absence et de retour du parent travaillant en navettage (CCSSSBJ, 2023).

Ces impacts ne sont pas uniformes. Certaines familles rapportent que les périodes de congé associées au travail en navettage permettent une présence parentale plus concentrée et un engagement accru auprès des enfants, lorsque les conditions familiales et communautaires le permettent. Toutefois, ces effets positifs demeurent tributaires de la capacité des familles à absorber les périodes d'absence, de la disponibilité de soutiens formels et informels, ainsi que de l'accès à des services adaptés (CCSSSBJ, 2023).

Les impacts sur les relations familiales s'inscrivent dans un contexte où les mécanismes de soutien aux familles de travailleurs en navettage — en particulier pour les conjointes et les enfants — apparaissent limités. Bien que des services de garde et des activités parascolaires soient présents dans les communautés concernées (voir 2.2.3.4), leur capacité à répondre adéquatement aux besoins générés par le travail en navettage demeure incertaine. Cette situation est susceptible d'exercer une pression accrue non seulement sur ces services, mais également sur la famille élargie, souvent mobilisée pour compenser les absences répétées, contribuant ainsi à l'intensification des tensions familiales et à des répercussions durables sur la dynamique et le bien-être des ménages.

4.2.3 Changement dans la dynamique communautaire

Les projets miniers peuvent entraîner des transformations de la dynamique communautaire, notamment dans les communautés autochtones, où les liens sociaux, familiaux et culturels constituent des déterminants clés du bien-être collectif. Au-delà des retombées économiques potentielles, ces projets sont susceptibles d'affecter la cohésion sociale, les relations interpersonnelles et le sentiment d'appartenance, avec des répercussions indirectes mais significatives sur la santé mentale et sociale des individus et des familles.

L'un des principaux mécanismes identifiés dans la littérature concerne l'émergence ou l'accentuation de divisions internes au sein de la collectivité. L'accès différencié aux emplois, aux contrats et aux revenus associés au projet peut créer ou renforcer des inégalités économiques entre les ménages dans les communautés cries qui sont caractérisées par un indice relativement bas d'inégalités économiques (voir 2.1.3.5). L'écart entre les personnes bénéficiant d'emplois bien rémunérés et celles qui n'y ont pas accès peuvent générer des tensions liées au sentiment d'injustice, à la comparaison sociale et à la redistribution perçue des bénéfices du projet. Dans certains contextes, ces inégalités économiques s'entrecroisent avec d'autres lignes de fracture, telles que la durée de résidence dans la communauté, le statut social, l'âge ou la position familiale, contribuant à fragmenter davantage le tissu social (Firelight Group, 2021).

Les projets miniers peuvent également devenir des vecteurs de polarisation des valeurs. Les décisions individuelles, familiales ou collectives de soutenir ou de s'opposer au projet peuvent opposer des priorités économiques (emploi, revenus, sécurité financière) à d'autres valeurs fondamentales, telles que la protection du territoire, la transmission culturelle, la santé ou la cohésion familiale. Cette polarisation peut se traduire par des conflits ouverts ou latents, tant entre groupes qu'au sein des familles elles-mêmes, lorsque des membres adoptent des positions divergentes. De telles divisions peuvent affaiblir les mécanismes traditionnels de solidarité, de gouvernance informelle et de résolution des conflits, et avoir des effets durables sur les relations communautaires (Firelight Group, 2021).

Les changements induits par le projet s'inscrivent dans un contexte où il existe déjà une certaine incompréhension entre les membres de la communauté en navettage et ceux qui ne le sont pas, notamment par rapport au temps passé en communauté et en termes de contribution à la vie communautaire (voir 2.3.2.1). Dans ce contexte, il est possible que par son ampleur, le projet contribue encore davantage à cette dynamique. À l'inverse, les travailleurs en navettage se perçoivent souvent eux-mêmes comme ayant un impact positif sur la communauté, notamment en ayant le temps de pouvoir contribuer à leur communauté ou aux activités sur le territoire lors de leurs journées de congé (CCSSSBJ, 2023).

Ces clivages sociaux peuvent favoriser l'émergence de dynamiques de violence latérale, entendues comme des formes d'agression ou de tensions dirigées à l'intérieur de groupes historiquement marginalisés comme les communautés autochtones. La littérature montre que la violence latérale prend racine dans des causes structurelles comme les expériences d'oppression et de perte de contrôle sur les décisions collectives, des causes systémiques comme des carences dans les réseaux de soutien et des causes immédiates comme des changements personnels ou familiaux. Les frustrations associées aux changements rapides peuvent être redirigées vers d'autres membres de la communauté plutôt que vers les facteurs structurels à l'origine des inégalités (Jaber et al., 2023). Non seulement peut-elle survenir en contexte communautaire, mais elle peut aussi s'exprimer dans les milieux de travail et les milieux institutionnels (Bailey, 2020). Ces dynamiques s'installent souvent de manière progressive et peuvent se manifester par des critiques, du dénigrement, des conflits interpersonnels ou des processus d'exclusion sociale.

Les impacts ne se limitent pas aux personnes directement impliquées dans le projet, mais à l'ensemble de la collectivité, en fragilisant la cohésion sociale et le climat communautaire, en particulier pour les personnes occupant des positions plus vulnérables ou moins visibles dans les processus décisionnels, notamment selon le genre, l'âge ou le rôle social.

Dans un contexte où bien que la pratique des activités traditionnelles soit en augmentation mais que la perception que le mode de vie cri est menacé augmente (voir 2.2.5), les jeunes peuvent être particulièrement touchés par ces transformations. L'exposition à de nouvelles normes économiques, à des attentes accrues en matière de réussite matérielle ou à des modèles de consommation extérieurs peut générer un sentiment d'insatisfaction, de décalage identitaire ou de discontinuité culturelle. Lorsque ces changements s'inscrivent dans un contexte de conflits communautaires ou de perte de repères collectifs, ils peuvent fragiliser les processus de transmission culturelle et le sentiment d'appartenance, deux facteurs reconnus comme protecteurs pour la santé mentale des jeunes (Firelight Group, 2021).

Par ailleurs, la discontinuité culturelle peut également affecter les femmes, car la remise en question de rôles, combinée à l'augmentation des pressions économiques et sociales, peut accroître leur charge mentale et émotionnelle, ainsi que leur exposition à des situations de stress ou de vulnérabilité psychosociale. De plus, les femmes et les personnes 2ELGBTQI+ sont aussi plus susceptibles d'être affectées par la violence latérale si celle-ci émerge dans la communauté, car elle peut se traduire sous forme de violence basée sur le genre.

4.2.4 Situation financière

L'accès rapide à des revenus élevés peut poser des défis importants en matière de gestion financière pour les travailleurs autochtones, particulièrement en l'absence de services de littératie financière culturellement adaptés dans les communautés. Les changements, combinés à l'éloignement familial, aux horaires atypiques et à l'irrégularité des périodes de présence en communauté, peuvent compliquer la planification budgétaire, la gestion des dépenses récurrentes et l'anticipation des obligations financières à moyen et long terme. Ces défis peuvent être accentués par des attentes accrues de soutien financier envers la famille élargie, par le coût élevé de la vie dans certaines communautés et par des comparaisons sociales liées aux écarts de revenus générés par l'emploi minier (Kremer & Mah, 2021). Toutefois, l'augmentation du revenu est, pour plusieurs travailleurs, une occasion d'améliorer leur situation financière et familiale et leur donne aussi les moyens de couvrir les dépenses associées à l'utilisation traditionnelle du territoire (voir 2.3.2). Dans ce contexte, la nature positive ou négative de l'impact potentiel des changements dans la situation financière dépend fortement de la littératie financière des travailleurs embauchés.

Ces enjeux peuvent affecter de manière distincte les ménages selon le genre et les rôles assumés, notamment lorsque la gestion quotidienne des finances et des dépenses familiales repose sur des personnes demeurant en communauté, souvent des femmes. Les jeunes travailleurs, et les familles monoparentales (généralement dirigées par des femmes) peuvent également être plus exposés à ces défis, en raison d'une moindre expérience financière, de responsabilités accrues ou d'un accès limité à des ressources de soutien.

4.2.5 Sécurité

Les constats de l'ENFFADA (2019) soulignent que les projets industriels en milieu éloigné peuvent accentuer les risques pour la sécurité des femmes, des filles et des personnes 2SLGBTQ+ autochtones. Ces risques sont notamment associés aux déplacements sur de longues distances, aux corridors routiers peu surveillés, à l'isolement géographique et à la fréquentation d'espaces où l'accès aux services et aux mécanismes de protection est limité. Ils sont aussi liés au travail dans les campements ou à proximité de ceux-ci (Gibson et al., 2017). Dans le contexte cri, le territoire est un milieu de vie actif, fréquenté par les femmes, les hommes, les jeunes et les familles pour des activités culturelles, sociales et de subsistance. Toute modification des dynamiques de circulation, de présence humaine ou de cohabitation sur le territoire est susceptible d'influencer le sentiment de sécurité, en particulier pour les femmes et les personnes en situation de vulnérabilité. Dans le cadre du projet, trois aspects de la sécurité des femmes qui pourraient être plausiblement affectées sont le sentiment de sécurité sur les routes, sur le territoire et au campement.

L'ajout de camions au cours de la construction (3 à 12 par jour) et en période d'exploitation (70 par jour) sur les routes Transtaïga et Billy-Diamond doit être compris en interaction avec les facteurs de risques identifiés pour la sécurité de femmes, notamment en raison de la présence possible de modes de transports informels (voir section 2.3.3.2). L'augmentation de la circulation pourrait, d'ailleurs, augmenter le recours à l'auto-stop chez les sous-groupes populationnels à faible revenu qui ont généralement moins de moyens de mobilité. Dans la foulée des constats de l'ENFFADA, des études sur les iniquités de transport et leur lien avec la sécurité physique des femmes montrent que le niveau de risque tend à augmenter sur les routes éloignées lorsque survient une augmentation du transport lié aux projets industriels, surtout s'ils entraînent la présence de nombreux inconnus ou personnes de passage au volant des véhicules qui sont ajoutés à la circulation (Bull-Prete, 2024; ENFFADA, 2019b; Perry et al., 2024).

Les utilisatrices du territoire pourraient être inquiètes en raison des activités des travailleurs. Un sentiment de vulnérabilité pourrait se faire sentir si une personne est seule à proximité des activités. Le sujet a été abordé lors d'une consultation à Chisasibi où certains membres de la communauté ont rapporté des tensions entre autochtones et non-autochtones sur le site de la mine au cours de l'année 2022, bien que la situation se soit résorbée depuis.

En ce qui concerne le milieu de travail, comme discuté aux sections 2.3.2.1 et 4.2.1, les milieux de travail miniers demeurent fortement masculinisés et marqués par des normes associées à la *rigger culture*. Les femmes autochtones travaillant dans les campements rapportent souvent des expériences de sexisme, de discrimination et d'isolement (Gibson et al., 2017). Dans un environnement de vie et de travail fermé, éloigné et hiérarchisé, ces dynamiques peuvent entraîner des répercussions spécifiques sur leur sentiment de sécurité, leur santé psychosociale et leur capacité à signaler des situations problématiques ou à accéder à du soutien. Elles peuvent se retrouver à l'intersection de plusieurs facteurs de vulnérabilité, notamment l'éloignement du milieu familial et communautaire, la minorisation dans l'espace de travail, des rapports de pouvoir asymétriques ainsi que l'accès limité à des mécanismes de plainte ou de soutien culturellement sécurisants. L'impact sur les hommes autochtones en milieu de travail est discuté à la section 4.2.6.

4.2.6 Santé mentale et comportements à risque

Les travailleurs du secteur minier rapportent davantage d'enjeux de santé mentale que le reste de la population, notamment en ce qui concerne les symptômes de dépression et d'anxiété. Leur état de santé mentale est influencé par une combinaison de facteurs psychosociaux, incluant les caractéristiques individuelles, les relations interpersonnelles, les habitudes de vie et la perception de leur santé physique, ainsi que par des facteurs professionnels tels que les horaires de travail, la reconnaissance, la satisfaction en emploi et l'environnement de travail (Dignard et al., 2024, 2025)

Chez les travailleurs autochtones, ces constats individuels et organisationnels doivent toutefois être interprétés à la lumière de dynamiques plus larges liées au projet et au contexte communautaire (Rodon et al., 2014). À cet égard, la *rigger culture* (voir section 4.2.1) constitue un facteur structurant susceptible d'avoir des effets différenciés. En valorisant des normes de performance, de virilité et d'autonomie, cette culture de travail peut contribuer à la stigmatisation des enjeux de santé mentale et freiner le recours à l'aide. Pour les travailleurs autochtones, notamment les hommes, ces dynamiques peuvent se traduire par une double contrainte, à la croisée des attentes propres au milieu minier et des expériences de discrimination ou de marginalisation historiquement vécues, renforçant ainsi les obstacles à l'expression de la détresse psychologique et à l'accès aux services de soutien.

Bien que les communautés cries, notamment Chisasibi, disposent de services de santé primaires et secondaires en santé mentale dont les indicateurs de performance sont globalement comparables à ceux observés ailleurs dans la province (voir section 2.2.3), les enjeux vécus par les travailleurs peuvent être exacerbés par une fragilisation des soutiens informels. Celle-ci est notamment liée aux transformations familiales et communautaires associées aux projets (voir sections 4.2.2 et 4.2.3). Par ailleurs, une augmentation de la détresse psychologique chez les travailleurs est susceptible de créer une boucle de rétroaction avec les systèmes de soutien formels et informels, en exerçant une pression supplémentaire sur ceux-ci.

À l'échelle individuelle, les risques pour la santé mentale s'inscrivent également dans un contexte de vulnérabilité préexistante, alors que les hospitalisations pour tentatives de suicide chez les Cris sont quatre fois plus élevées que la moyenne provinciale (voir section 2.4.3). L'augmentation rapide des revenus et ses effets sociaux et économiques (voir section 4.2.4), de même que l'émergence ou l'aggravation de problèmes de santé physique (voir section 4.2.7), peuvent contribuer, directement ou indirectement, à une détérioration de la santé mentale des travailleurs et de leur entourage.

Si le travail minier peut réduire le temps disponible pour certaines activités culturelles et familiales, notamment en période de présence sur le site, des études menées dans le cadre de projets d'Hydro-Québec (2015) montrent que, lorsque des installations et des espaces culturels sont accessibles dans les campements de travailleurs, ceux-ci sont largement utilisés. Il est par conséquent raisonnable d'assumer que les installations culturelles projetées sur le site constitueront un facteur de protection en matière de santé mentale et de continuité culturelle. Par ailleurs, certains travailleurs rapportent que les horaires en navettage leur offrent, en période de congé, beaucoup de temps libres et des ressources financières nécessaires pour s'adonner à des activités culturelles, familiales ou territoriales (voir section 2.3.2.1). Ces éléments suggèrent que les modalités de travail ne se traduisent pas nécessairement par une déconnexion culturelle systématique, celle-ci variant selon l'accès aux ressources, le temps disponible et les conditions favorisant la poursuite des activités culturelles.

Certains travailleurs peuvent recourir à des stratégies d'adaptation à risque. Le secteur minier demeure en effet celui où les taux de consommation abusive d'alcool sont les plus élevés parmi l'ensemble des secteurs professionnels (Bush & Lipari, 2015). Chez les Autochtones en particulier, l'accès à des revenus élevés, lorsqu'il n'est pas accompagné de mesures de prévention et de soutien adaptées, peut être associé à une augmentation de la consommation d'alcool, tant chez les travailleurs que chez les récipiendaires de dividendes issus d'ententes sur les répercussions et les avantages (Southcott et al., 2018).

Bien que le secteur minier rapporte globalement moins d'usage de drogues que plusieurs autres secteurs professionnels (Bush & Lipari, 2015), la littérature indique que certains projets miniers ont été associés à une augmentation de l'offre et de la consommation de drogues dans les communautés avoisinantes. Cette situation est notamment attribuable à l'attrait que représente, pour les trafiquants, l'augmentation du revenu disponible dans les communautés (Gibson et al., 2017). Il en résulte une demande accrue pour les services de santé, qui doivent composer avec des situations complexes impliquant des problématiques multiples et l'apparition de substances auparavant peu présentes dans ces communautés (Gibson et al., 2017).

Les enjeux de santé mentale associés au travail minier et au contexte du navettage se manifestent de manière différenciée chez les femmes, les hommes et les personnes 2SLGBTQ+ autochtones.

Chez les hommes autochtones, majoritaires dans le secteur minier, les attentes liées à la performance, à la résistance et à la capacité de composer avec la pression du travail (voir 4.2.1) peuvent limiter l'expression de la détresse psychologique et retarder le recours à l'aide, particulièrement dans un contexte d'éloignement prolongé du territoire habituel d'activités traditionnelles et du milieu de vie communautaire. Ces dynamiques peuvent entrer en tension avec des conceptions autochtones du bien-être fondées sur le soutien collectif et les relations de proximité (Brouillette et al., 2022).

Chez les femmes autochtones, les impacts se manifestent à la fois de manière directe et indirecte. Celles qui travaillent en milieu minier ou en contexte de campement peuvent être confrontées à des environnements fortement masculinisés (voir 4.2.1), susceptibles de générer des enjeux spécifiques en matière de reconnaissance, de climat social, de sécurité (voir 4.2.5) et de santé mentale. Par ailleurs, les femmes demeurant dans les communautés assument fréquemment une part accrue des responsabilités familiales, parentales et émotionnelles liées au travail en navettage, ce qui peut accroître leur charge mentale et leur vulnérabilité psychosociale (Gibson et al., 2017). Par ailleurs, on note aussi que les femmes cries sont surreprésentées dans les tentatives de suicide comparativement aux moyennes provinciales, indiquant une vulnérabilité psychosociale supplémentaire à prendre en compte.

Enfin, les personnes 2SLGBTQ+ peuvent être exposées à des vulnérabilités particulières, en raison de normes de genre et de sexualité parfois peu inclusives dans certains milieux de travail et de camp (voir 4.2.1), combinées à des expériences de discrimination ou d'isolement déjà documentées dans les contextes autochtones. Ces réalités peuvent constituer des obstacles supplémentaires à l'accès aux réseaux de soutien et aux services de santé, avec des répercussions sur la santé mentale et le sentiment de sécurité (Brouillette et al., 2022).

4.2.7 Habitudes de vie et santé physique

La littérature sur les impacts du développement minier souligne que les effets sur la santé physique surviennent fréquemment de manière indirecte, par l'intermédiaire de changements dans les déterminants sociaux de la santé. Ceux-ci incluent notamment les modifications des habitudes de vie, telles que l'alimentation et l'activité physique, l'augmentation du risque de blessures et d'accidents liés à la fatigue, aux déplacements et aux infrastructures, ainsi que les pressions exercées sur l'accès et la capacité des services de santé. Ces facteurs peuvent contribuer à l'émergence ou à l'exacerbation de problèmes de santé physique, en particulier dans des contextes où des vulnérabilités préexistantes sont présentes, et interagir avec d'autres dimensions du bien-être des travailleurs et de leur entourage (Aalhus et al., 2018).

Ces conditions correspondent aux conditions de travail associées au projet, notamment le travail en rotation de 14 jours, la vie en campement et les horaires atypiques. Les observations dans la littérature sont cohérentes avec les consultations menées auprès du CCSSSBJ, qui fait état de préoccupations liées à la fatigue chronique, aux perturbations du sommeil et aux changements dans les habitudes de vie, incluant une alimentation moins équilibrée et une diminution de l'activité physique en période de travail. Ces facteurs peuvent contribuer à l'aggravation de conditions de santé préexistantes, en particulier des maladies chroniques déjà fortement prévalentes dans la population crie, telles que le diabète de type 2 (voir 2.4.2.1) et l'hypertension (voir 2.4.2.3). À ce propos, il est à noter que la prévalence du diabète chez les Cris est largement plus élevée chez les femmes que les hommes (2.4.2.1). Il est donc probable que l'exacerbation de cette maladie en raison des conditions de travail les affecte davantage en raison de cette vulnérabilité préalable.

Par ailleurs, les travailleurs peuvent être exposés à des risques physiques propres au milieu minier, incluant les blessures, l'exposition à la poussière ou à certains contaminants, ainsi que les contraintes physiques liées aux tâches répétitives ou exigeantes.

L'exacerbation des maladies chroniques et l'apparition de nouvelles conditions de santé physique pourraient augmenter la demande pour des soins spécialisés. Le fardeau de déplacement très élevé pour l'obtention de ces soins dans les communautés touchées par le projet (voir 2.2.3.1) pourrait représenter une pression sur les personnes malades et leur entourage devant les accompagner. De plus, les séjours à l'extérieur pour des raisons de santé pourraient exposer les personnes à davantage de risque de recevoir des soins culturellement inadéquats (voir 2.1.1), quoique la construction du nouvel hôpital de Chisasibi (voir 2.2.3.1) au cours des prochaines années devrait permettre de réduire cet impact. Les femmes (travailleurs, conjointes ou membres de la famille) sont susceptibles de ressentir cet impact de façon différencié : les déplacements à l'extérieur pour soins médicaux exercent une pression sur les réseaux informels de soutien, qui sont généralement soutenus davantage par les femmes. Dans le cas où une femme doit se déplacer à l'extérieur, elle est plus susceptible de recevoir des soins inappropriés culturellement selon ce qui est rapporté de l'expérience des femmes cries (voir 2.1.1).

Aussi, certaines études rapportent que la présence de main-d'œuvre externe sur des sites industriels génère une demande accrue auprès des services de santé locaux (Gibson et al., 2017). Ces préoccupations n'ont pas été mentionnées explicitement par le CCSSSBJ, mais l'organisation a mentionné que la coordination entre le promoteur et ses services devait être établie rapidement.

4.3 Présence et opération de la mine

La réalisation du projet minier avec exploitations à ciel ouvert et souterraine implique l'installation de différentes infrastructures sur un terrain de trappage de Chisasibi, et à proximité de terrains de Wemindji et de Mistissini. Ces infrastructures sont : une usine de traitement du minerai, un réseau routier interne, une ligne de raccordement électrique au réseau d'Hydro-Québec et deux postes de transformation, un campement de 630 lits, un atelier mécanique, des bâtiments administratifs, des bassins de gestion des eaux, une station de traitement et dépôt de carburant, ainsi que les aires d'accumulation des stériles et résidus. Les détails sont présentés à la section 5.2 de l'ÉIE. Par ailleurs, le transport du minerai du site de la mine vers Matagami devrait doubler le nombre de camions lourds circulant sur la route Billy-Diamond et faire passer le débit journalier de camions lourds sur la Transtaïga de 11 à 71.

Soulignons que des infrastructures liées à l'exploration ont déjà été développées sur le site, soit un campement et une route quatre saisons d'une vingtaine de kilomètres. Aussi, il est prévu de construire en annexe des installations un centre culturel permettant aux travailleurs autochtones de rester en contact avec leur culture, de pratiquer des activités traditionnelles et de renforcer leur mieux-être en situation de travail en milieu éloigné.

4.3.1 Facteurs structurels

Le territoire constitue un déterminant structurel central de la santé chez les Cris, en ce qu'il est étroitement lié à l'exercice des droits collectifs, à l'autodétermination et à la continuité culturelle. Comme rappelé à la section 2.1, l'histoire récente de la communauté de Chisasibi est marquée par des transformations territoriales majeures liées au développement hydroélectrique, ayant entraîné des pertes de terres et une reconfiguration durable des usages.

Le développement du projet s'inscrit également dans un cadre institutionnel issu de la CBJNQ, qui a renforcé l'autodétermination crie par la reconnaissance de droits territoriaux et la mise en place de structures de gouvernance propres (voir section 2.2). Les modalités de planification, de mise en œuvre et de gestion du projet minier constituent ainsi un facteur structurant, susceptible soit de soutenir ces acquis, soit de contribuer à leur fragilisation, selon la manière dont les droits, les usages et la participation des Cris sont pris en compte au cours de la vie du projet.

Il est possible qu'une quarantaine de personnes (sans compter les enfants) fréquentent le terrain CH39, soit occasionnellement ou régulièrement. Cependant, en raison de la valorisation des activités sur le territoire et de l'augmentation de la population (voir 2.2.2), il est probable que ce terrain connaisse une fréquentation croissante de la part des jeunes générations dans les années à venir. De plus, il faut considérer que certains membres, bien qu'ils n'aient pas la possibilité de se rendre sur ce terrain de trappage familial, ont rapporté y être demeurés profondément attachés d'un point de vue identitaire, culturel ou émotionnel.

4.3.2 Changements dans la qualité de l'environnement

4.3.2.1 Changement dans la qualité de l'eau

Le fait qu'une quarantaine de personnes fréquentent le territoire implique qu'un apport important de nourriture peut y être prélevé, que ce soit pour ceux-ci ou pour les membres de la communauté qui en bénéficient par le partage. Ce prélèvement peut être soit occasionnel ou saisonnier, comme lors de la chasse à l'oie ou la cueillette de petits fruits et de plantes, ou alors réalisé sur une plus longue période, comme la pêche (esturgeon, omble de fontaine, meunier) qui se fait tout au long de l'année, ainsi que la chasse à l'orignal, à l'ours ou au castor, généralement sur deux saisons (voir 2.3.4.1). Le poisson et le gibier étant consommés par près de 90 % de la population dans la région (voir 2.3.5.1), la qualité de l'eau revêt un caractère important pour l'ensemble des personnes susceptibles de fréquenter le territoire ainsi que les personnes pouvant bénéficier du partage de ressources récoltées sur le territoire. À cet effet, la communauté et les utilisateurs habituels de ce secteur ont manifesté des préoccupations sur la qualité de l'eau, notamment en lien avec la présence de contaminants potentiels.

La section 8.2.1 de l'ÉIE évalue les impacts résiduels du projet sur la qualité de l'eau pour les phases de construction, d'exploitation et de fermeture. Du point de vue de la santé, la qualité de l'eau constitue une voie d'exposition directe, notamment par la consommation de l'eau, la consommation de ressources fauniques. La gestion des eaux du projet comprend la collecte, l'analyse, le traitement des eaux collectées sur le site minier (eaux de ruissellement et de contact) ainsi que la recirculation dans le procédé de l'usine de traitement du minerai ou le rejet à l'effluent final. Les projections actuelles des concentrations maximales qui seront contenues dans l'effluent minier sont inférieures à l'ensemble des concentrations des critères de rejets provinciaux et fédéraux (voir tableau 4-1).

Tableau 4-1 Concentrations maximales en métaux calculées dans l'effluent final et critères de qualité énoncés dans la Directive 019 et le *Règlement sur les effluents des mines de métaux et de diamants*

	Aluminium (mg/l)	Antimoine (mg/l)	Arsenic (mg/l)	Cadmium (mg/l)	Cuivre (mg/l)	Lithium (mg/l)	Nickel (mg/l)	Uranium (mg/l)
Effluent final	0,04	0,019	0,063	0,005	0,001	0,012	0,012	0,005
Directive 019	-	-	0,1	-	0,1	-	0,25	-
REMMMD	1	-	0,1	0,1	0,25	-		

Source : EIE Section 8.2.1

Dans la mesure où les impacts résiduels demeurent conformes aux critères environnementaux applicables et font l'objet de mesures de gestion et de suivi, il est peu probable selon les projections actuelles qu'il y ait un effet biophysique direct significatif sur la santé humaine en lien avec la qualité de l'eau. Toutefois, malgré l'absence de dépassement de contaminants, les craintes sur une contamination potentielle (par exemple un déversement non détecté) pourraient avoir un effet réel sur la pratique des activités traditionnelles comme la pêche et la chasse. Ces effets sont discutés à la section 4.3.4.

4.3.2.2 Changement dans la qualité de l'air

L'impact du projet sur la qualité de l'air est décrit dans l'ÉIE à la section 8.2.4.1. Du point de vue de la santé, la qualité de l'air représente une voie d'exposition directe par inhalation pour les utilisateurs du territoire, les travailleurs et les personnes présentes aux abords des routes utilisées par le projet. Pour l'ensemble des phases du projet, les normes et critères du Québec et du Canada sont respectés pour la majorité des substances considérées. Pour les substances où des dépassements des normes pourraient survenir leur effet n'est généralement perçu qu'à des distances relativement faibles et, lorsque ces distances sont plus importantes, elles sont associées à des événements peu fréquents et ponctuels, à savoir :

- Les particules totales émises sur 24 heures pour un secteur au sud, près de la fosse ouverte. Ce dépassement surviendra sur une distance inférieure à 1,5 km. Il faut noter que bien que ces dépassements soient continus pendant l'exploitation, ils se produiront rarement à la distance maximale modélisée (environ 1,5 km).
- Les particules fines ($PM_{2.5}$) émises sur 24 heures pour un secteur au sud, près de la fosse ouverte. Ce dépassement pourrait se produire sur une distance d'environ 500 m. Il faut noter que bien que ces dépassements soient continus pendant l'exploitation, ils surviendront rarement à la distance maximale modélisée (environ 500 m).
- L'acétaldéhyde émis sur 4 minutes pour un secteur au sud, près de la fosse ouverte. Ce dépassement se produira sur une distance d'environ 325 m et serait principalement dû aux émissions associées aux moteurs des véhicules. Il est ici question d'événements ponctuels.
- Les silices cristallines émises sur une heure lors de sautage et sans sautage dans la fosse. Lorsqu'il n'y a pas de sautage, l'effet sur une heure se produit essentiellement au sud de la fosse ouverte sur une distance inférieure à 2,5 km et serait principalement causé par la poussière émise par le roulement des camions. Au moment d'une activité de sautage, l'effet sur une heure surviendra tout autour du site sur une distance inférieure à 6 km. Notons que les activités de sautage ne sont actuellement prévues que deux à trois fois par semaine, alors que la modélisation a considéré une fréquence d'un sautage par jour. Ce sont donc des événements peu fréquents dont l'effet se dissipe dans l'heure ou un peu plus après le sautage.
- Les silices cristallines émises sur un an pour l'ensemble des activités d'exploitation. Les dépassements pourraient se produire tout autour du site sur une distance inférieure à 3 km et seraient principalement associés à la poussière émise par le roulement des camions.

Les émissions n'affectent pas les récepteurs sensibles localisés autour du site minier. Compte tenu de l'ampleur limitée des impacts anticipés, de leur portée locale et de leur gestion par des mesures d'atténuation et de suivi, les effets directs significatifs sur la santé humaine sont peu probables. Toutefois, malgré l'absence de dépassement d'émissions de contaminants, les craintes sur une contamination potentielle (par exemple par la déposition sur les plantes et les petits fruits) pourraient avoir un effet réel sur la pratique des activités traditionnelles comme la cueillette. En effet, certaines pratiques de cueillette semblent avoir déjà été déplacées plus loin de la route Transtaïga en raison de l'effet de la circulation sur les plantes médicinales (voir 2.3.5.1), et l'augmentation de la circulation pourrait amplifier davantage ces craintes. Ces effets sont discutés à la section 4.3.4.

4.3.3 Présence des installations

4.3.3.1 Accès au territoire

Les impacts sur l'utilisation du territoire sont décrits en détail à la section 8.2.6 de l'ÉIE.

L'accès à un site de pêche pourrait être affecté par le projet, en raison de l'assèchement partiel du lac L01. Toutefois, ce lac est rapporté comme très peu utilisé présentement par les utilisateurs du territoire pour la pêche (voir 2.3.5.1). L'accès aux espèces floristiques valorisées sera modifié en raison de l'implantation des infrastructures du projet, qui entraînera la perte d'environ 519 ha de végétation et de 105 ha de milieux humides. Toutefois, peu d'activités de cueillette ont été rapportées par les utilisateurs du territoire dans le secteur immédiat du projet, le camp le plus proche étant situé à environ 11 km au nord. De plus, les espèces floristiques présentes dans les zones touchées sont, pour la plupart, relativement abondantes à l'échelle du secteur et permettent une adaptation des activités.

L'accès aux ressources fauniques pourrait être modifié en raison de la redistribution de la faune plus loin de la zone du projet. Il pourrait en résulter un déplacement des activités de chasse par les utilisateurs des terrains CH39 et M02A pendant l'ensemble de la durée de vie de la mine.

Les infrastructures minières impliquent notamment la construction de chemins d'accès et l'installation de clôtures, ce qui peut à la fois restreindre et transformer l'accès au territoire. Dans l'écozone de la Taïga du bouclier, la présence de routes est fréquemment perçue comme un facteur limitant l'accès à certains secteurs (voir 2.3.4.1). Selon les consultations menées dans le cadre du projet, l'ouverture de nouveaux accès peut modifier l'expérience vécue sur le territoire en influençant sa fréquentation. Si certains usagers expriment un sentiment de perte de qualité de l'expérience lié notamment à la quiétude des lieux, à la qualité des sites ou à l'abondance des ressources, d'autres considèrent au contraire que l'amélioration de l'accessibilité facilite l'accès à des sites d'intérêt. Dans ce contexte, des préoccupations ont été exprimées quant aux effets combinés des restrictions d'accès associées au projet et de l'ouverture accrue du territoire à un plus grand nombre d'usagers. Ces préoccupations et commentaires mitigés sont par ailleurs cohérents avec les observations liées aux infrastructures relevées par les Cris dans le cadre de la Grande Alliance (WSP, 2024).

4.3.3.2 Nuisances liées au bruit et à la lumière

Les résultats détaillés relatifs au bruit sont présentés dans l'étude sectorielle sur l'ambiance sonore et vibratoire à l'annexe 6-2 de l'ÉIE. Pour l'ensemble des récepteurs étudiés, qui inclut un campement des utilisateurs de CH39 à 11 km au nord du site du projet, l'écart entre le bruit ambiant de référence et celui en présence des futures activités d'exploitation de la mine se situe entre 0,0 et 0,6 %, ce qui est largement inférieur au seuil réglementaire de 6,5 %.

Par ailleurs, les résultats détaillés relatifs à la luminosité sont présentés dans l'étude sectorielle sur l'ambiance lumineuse à l'annexe 6-3 de l'ÉIE. Les résultats des modélisations photométriques indiquent que la lumière émise par les futures infrastructures minières demeurera faible et concentrée à proximité de la zone de projet. Tant la lumière intrusive au niveau du sol que la lumière dirigée vers le ciel diminuent rapidement avec la distance. Seul un faible halo lumineux pourrait être visible au loin, notamment pour les observateurs se trouvant au camp des utilisateurs de CH39 situé à 11 km au nord du site.

Par conséquent, les nuisances sonores et lumineuses ne devraient pas avoir d'incidence directe sur la santé physique des utilisateurs du territoire, par exemple en occasionnant des perturbations du sommeil ou en générant du stress dû au bruit.

4.3.3.3 Sécurité sur le territoire

Le soulèvement de poussière sur la Transtaïga a été nommé par des Cris comme un risque pour la sécurité, en lien avec l'augmentation de la circulation, puisque cette route n'est pas pavée. La Transtaïga est empruntée par les Cris et les Jamésiens pour différentes activités, et plus intensément lors de périodes comme la chasse à l'oie printanière (*Goose break*). À ce sujet, l'étude de circulation indique 374 véhicules (dont 64 véhicules lourds) sur une partie de cette période en mai (sur 7 jours) sur la Transtaïga à la hauteur du site minier (voir annexe 6-25 de l'ÉIE). Le stress et les risques d'accident pouvant augmenter lorsque la poussière soulevée par les camions réduit la visibilité. La sécurité sur le territoire liée aux conditions de circulation est traitée à la section 8.2.5.3. de l'ÉIE.

4.3.4 Changements dans la pratique d'activités traditionnelles

Les activités traditionnelles telles que la chasse, la pêche, le piégeage et la cueillette constituent des déterminants importants de la santé, tant par leur contribution à la santé physique, à la santé mentale, qu'au maintien des liens sociaux et intergénérationnels (voir 2.3.4 et 2.3.5). La vitalité des pratiques doit être contextualisée par l'influence de facteurs structurels comme les déplacements forcés dans le passé et le renforcement de l'autodétermination (voir 2.1), des enjeux environnementaux et sociaux comme les feux de forêt récents (voir 2.2) et des changements dans les milieux de vie (2.3.2).

Comme démontré à la section 4.2, l'embauche d'un nombre significatif de membres des communautés cries et la présence de main-d'œuvre sur le territoire n'impliquent pas nécessairement, par elles-mêmes, une diminution de la pratique d'activités traditionnelles. Elle dépend plutôt de la force des systèmes de soutien en place, lesquels favorisent une conciliation entre le travail et la vie privée, la continuité culturelle, la cohésion communautaire, un sentiment de sécurité sur le territoire et la capacité financière de couvrir les dépenses associées aux activités traditionnelles. En l'absence de mesures d'atténuation appropriées, l'embauche et la présence de main-d'œuvre seraient susceptibles d'affecter indirectement la pratique des activités en diminuant le temps disponible pour les travailleurs, en provoquant une discontinuité culturelle chez les travailleurs exposés à la *rigger culture*, en créant des conflits intracommunautaires et en alimentant un sentiment d'insécurité décourageant l'utilisation du territoire. Ces facteurs de risque pourraient interagir avec un passé traumatique lié aux projets de développement passés et à l'acculturation forcée, accélérant un cycle de dépossession culturelle et identitaire. Cependant, la Nation crie dispose d'une forte capacité d'autodétermination pour agir sur les changements survenant sur son territoire ainsi que de services sociaux et de santé adéquats et culturellement adaptés pouvant soutenir la communauté. Aussi, la présence d'un site culturel au campement des travailleurs pourrait favoriser la continuité culturelle chez les travailleurs cris.

Le projet s'inscrit dans un contexte historique marqué par une relation de méfiance persistante entre les Cris et les instances gouvernementales, notamment en raison des effets du développement hydroélectrique sur le territoire (voir section 2.1). Lors des consultations tenues à Chisasibi, plusieurs participants ont établi des parallèles explicites entre le projet et les barrages hydroélectriques, en rappelant des expériences passées de contamination de l'eau et de dégradation des milieux utilisés à des fins culturelles et de subsistance. Ces références traduisent une confiance fragilisée, non seulement à l'égard des projets de développement, mais plus largement envers les capacités des autorités à prévenir ou à réparer les atteintes au territoire et aux éléments essentiels à la santé et au bien-être des communautés autochtones.

Au-delà de la question de la méfiance, les membres de la communauté rapportent aussi un sentiment de perte culturelle et expérientielle. Par exemple, un jeune adulte, membre de la communauté, a fait le commentaire suivant :

> *My grand-parents told me there once was a whirpool that was almost miraculous. You would just throw your net in it and pull an incredible quantity of fish. That place is gone now and I'll never get to see it because it got destroyed by [the hydroelectric projects]. I don't want my own kids to just hear stories about places that are gone and never get to see them.*

Ce sentiment peut être rapproché du concept de solastalgie, c'est-à-dire la détresse ressentie face au changement ou à la dégradation perçue d'un environnement culturellement significatif (Albrecht et al., 2007). Des recherches récentes utilisant ce concept montrent qu'en milieu autochtone, la perception que certains lieux ne sont plus aussi sûrs, accessibles ou familiers qu'auparavant peut susciter un sentiment de perte, d'inquiétude ou de rupture avec le territoire, ce qui réduit la motivation à les fréquenter même lorsque l'accès demeure possible d'un point de vue matériel et biophysique (Galway et al., 2019). En somme, le concept de solastalgie permet, ne serait-ce qu'imparfaitement, de faire le pont entre l'ensemble complexe de changements objectifs et subjectifs sur un territoire, et les comportements mesurables et observables des communautés qui l'habitent.

Par conséquent, afin de tenir compte de l'expérience du développement hydroélectrique chez les Cris, les modifications de l'environnement physique et leurs répercussions sur la qualité des milieux doivent prendre en compte la méfiance face aux promoteurs et la solastalgie qui a découlé des transformations territoriales.

Relativement à la méfiance, même s'il n'est pas prévu qu'il y ait les dépassements de concentrations de contaminants par rapport aux normes en vigueur, la crainte de contamination peut décourager des utilisateurs d'accéder à certaines portions du territoire, et réduire les activités dans la zone environnante (notamment les lacs L01 et L27 et le territoire situé en aval). Cette perception de risque n'exige pas la présence d'un danger environnemental avéré pour influencer les comportements. Le manque de confiance envers les promoteurs et les autorités peut mener les utilisateurs du territoire à éviter des zones, car ils ont des doutes sur la véracité des informations relatives à la présence de contaminants et l'innocuité des aliments récoltés. Par ailleurs, même si les activités sont maintenues et que l'ensemble des suivis environnementaux sont communiqués et compris, le souvenir de l'interruption soudaine et traumatique de la consommation de poisson dans les années 1970 pourrait demeurer à l'esprit des utilisateurs du territoire et causer un stress continu sur la pérennité des activités. Ces craintes peuvent avoir un impact direct sur l'état de santé: par exemple, une étude de cas menée par Lewis et al. (2021) a exposé qu'il existait un lien significatif entre la crainte de contaminants potentiels et la santé physique et mentale des membres d'une communauté autochtone touchée par un projet industriel[6].

6 La santé spirituelle a aussi été évaluée, mais la relation avec la crainte de l'environnement n'était pas significative.

En ce qui concerne la solastalgie, certaines personnes consultées dans la communauté de Chisasibi ont exprimé que les informations présentées sur les impacts physico-chimiques liés à l'eau ne prenaient pas en compte sa nature holistique. L'eau ne constitue pas seulement un élément matériel, mais est dotée d'une dimension spirituelle importante. Ces commentaires font écho à la position exprimée par le Grand Conseil des Cris (1999) dans un mémoire déposé à la Commission québécoise de la gestion de l'eau. L'eau (*neebee*) occupe une place centrale dans la vie, l'identité et la spiritualité cries, et ne peut être dissociée des terres, des écosystèmes et des relations qui les unissent. Cette conception globale dépasse une lecture strictement technique de l'eau et accorde une importance fondamentale à son intégrité, y compris spirituelle, ainsi que comme symbole de l'autodétermination de la Nation (Grand Conseil des Cris, 1999). La manière dont *neebee* est prélevée, utilisée, gérée et rejetée dans le cadre du projet peut être perçue comme une rupture de son intégrité spirituelle, même en l'absence d'altération mesurable, ce qui pourrait contribuer à une perte de confiance ou de signification culturelle envers certains milieux. Sa gestion peut également être perçue comme porteuse de significations importantes en lien avec l'identité collective et l'autonomie de la Nation crie. Aux enjeux de l'eau s'ajoute à d'autres facteurs comme les craintes de contamination, le changement dans l'apparence du territoire (notamment la présence d'un halo lumineux la nuit et d'une haute halde à stériles) et la présence de nombreux travailleurs sur le territoire. Tous ces éléments peuvent exacerber la solastalgie déjà fortement présente dans la communauté de Chisasibi en changeant le territoire tant au niveau biophysique qu'au niveau symbolique, culturel et spirituel. Il peut en résulter une baisse de la fréquentation et de l'identification au territoire, qui pourrait, si non mitigée, résulter en un impact sur les habitudes alimentaires et la continuité culturelle.

Toutefois, la relation de confiance que PMET a développée avec plusieurs utilisateurs du territoire au fil des années (voir chapitre 3 de l'ÉIE) peut atténuer l'intensité de ces perceptions et limiter leur influence sur la fréquentation réelle du territoire. Dans le cadre de cette relation, PMET a notamment construit, à ses frais, un nouveau camp pour les utilisateurs de CH39 afin de soutenir la poursuite de leurs activités. PMET a aussi, à deux reprises, travaillé avec la communauté pour organiser des cérémonies traditionnelles liées à *neebee* afin de tenir compte de son caractère sacré (notamment des offrandes de tabac). Aussi, des tests sur les plantes et poissons culturellement significatifs ont été effectués dans le cadre de cette étude d'impact afin d'établir les niveaux de base de contaminants et monitorer leur innocuité.

Ainsi, même si la crainte de contamination et la solastalgie pouvaient affecter la pratique des activités traditionnelles et le bien-être sur le territoire chez certains utilisateurs, leur portée globale demeure incertaine à ce stade. Elle dépendra, en bonne partie, de la solidité de la relation entre le promoteur et la communauté, de sa collaboration avec les utilisateurs pour favoriser la résilience de leur ancrage dans leur territoire, de son respect de la conception holistique de l'environnement, de sa sensibilité aux impacts des projets hydroélectriques passés et à la diligence dans les suivis des contaminants et dans la diffusion des résultats de ces suivis.

4.3.5 Changement dans les habitudes alimentaires

La nourriture traditionnelle, consommée par la presque totalité de la population crie, constitue un déterminant central de la santé, à la fois pour sa valeur nutritionnelle et pour son rôle fondamental dans la sécurité alimentaire, la cohésion sociale et le maintien de la relation au territoire (voir 2.3.5). L'impact spécifique sur les travailleurs est discuté à 4.2.7.

La crainte de contamination peut influencer la consommation de nourriture traditionnelle par des mécanismes adjacents à ceux associés à la pratique des activités traditionnelles. Dans les communautés cries, les aliments traditionnels sont d'abord recherchés parce qu'ils sont perçus comme plus nutritifs et plus sécuritaires que les aliments du commerce. Toutefois, cette raison principale peut être fragilisée si la confiance envers certains milieux naturels, notamment les lacs L01 et L27 ainsi que les secteurs environnants du projet, est remise en question. Dans un contexte où la communauté demeure déjà vigilante en raison de l'historique de contamination au mercure lié aux projets hydroélectriques, l'apparition d'un nouveau projet peut raviver ce sentiment de méfiance et susciter des doutes quant à l'innocuité de la faune, de l'eau ou du sol, même en l'absence de dépassements mesurés. Lorsque cette confiance est ébranlée, la logique de choix alimentaires pourrait se transformer, particulièrement chez ceux qui consomment les aliments issus de ce secteur. La perte de certitude quant à la salubrité des aliments vient directement affecter la raison même qui motive la consommation d'aliments traditionnels. Par ailleurs, tout changement dans la pratique d'activités traditionnelles sur le territoire pourrait résulter en une diminution des volumes de nourriture récoltée. Ces changements pour les familles dépendant de ce territoire pourraient entraîner une réduction dans la disponibilité, l'accès, l'utilisation ou la stabilité d'approvisionnement des aliments traditionnels, quatre facteurs considérés comme déterminants pour la sécurité alimentaire autochtone (Shafiee et al., 2022).

En conséquence, les membres de la communauté peuvent alors se tourner davantage vers les aliments du commerce, non pas par préférence culturelle, mais parce que ces produits sont immédiatement disponibles, pratiques et perçus comme moins risqués. Dans un contexte où le coût de la vie est élevé (voir 2.3.1.1), cette transition pourrait entraîner un accroissement des dépenses alimentaires tout en diminuant la qualité nutritionnelle de l'alimentation, renforçant les risques d'insécurité alimentaire pour les ménages les plus vulnérables. Par ailleurs, la disponibilité des aliments traditionnels constituant un facteur de protection contre les maladies chroniques (voir 2.3.5.1), une diminution de leur consommation pourrait entraîner une hausse de leur prévalence dans la population.

Les dynamiques communautaires jouent également un rôle central. Le partage de nourriture traditionnelle est un pilier de la sécurité alimentaire crie, permettant la redistribution entre ménages, le soutien mutuel et la transmission culturelle. Or, les tensions internes potentielles liées aux écarts de revenus, aux divergences de valeurs face au projet, au navettage ou à des incompréhensions sur la contribution communautaire peuvent fragiliser les réseaux de solidarité. Lorsque la cohésion sociale diminue, les échanges d'aliments traditionnels deviennent moins fréquents, ce qui affecte particulièrement les personnes ou les familles moins actives sur le territoire et plus dépendantes du partage.

Une boucle de rétroaction peut ainsi s'installer : une diminution de la participation aux activités de récolte réduit la quantité d'aliments traditionnels disponibles ; cette baisse réduit les occasions de partage ; un partage affaibli fragilise la cohésion sociale elle-même affaiblie par les changements dans les dynamiques familiales, économiques et communautaires ; une cohésion fragilisée limite à son tour les pratiques collectives de récolte, réduisant encore davantage la disponibilité en nourriture traditionnelle. Au fil du temps, cette dynamique circulaire peut accentuer les risques d'insécurité alimentaire et contribuer à une perte des bénéfices nutritionnels, sociaux et culturels associés aux aliments du territoire.

Les changements dans l'alimentation pourraient affecter différemment les femmes. En matière de consommation de poisson, la crainte de la contamination au mercure peut être plus saillante chez les femmes en âge de procréer, car les implications d'une contamination sont plus grandes pour leur catégorie d'âge, notamment en raison des incidences sur la santé reproductive et périnatale. Les femmes pourraient, du fait de leur sensibilité déjà accrue à la question de la contamination, être plus susceptibles de réduire leur consommation d'aliments traditionnels. Aussi, de façon générale, les femmes de l'écozone de la Taïga du bouclier consomment davantage de nourriture traditionnelle que les hommes (à l'exception du poisson). Par conséquent, une diminution de consommation pourrait les affecter davantage en termes absolus. Un changement dans l'alimentation pourrait aussi avoir des incidences sur la prévalence des maladies chroniques comme le diabète, qui affecte déjà une proportion plus grande de femmes que d'hommes.

Les aînés et les personnes à faible revenu, qui dépendent davantage des réseaux de distribution familiaux et communautaires que le reste de la population, pourraient être significativement impactés par tout changement lié à l'alimentation. Que ce soit en raison de la baisse de la disponibilité des aliments, de crainte de contamination ou de changement dans les relations communautaires, leur capacité à s'adapter à un manque d'aliments traditionnels est limitée en raison de leur dépendance à ces réseaux.

En résumé, le projet pourrait avoir des impacts sur l'alimentation, via les changements dans l'utilisation du territoire, la crainte de contamination, le travail dans les campements et les changements dans les dynamiques communautaires. La nature et l'intensité de ces impacts dépendront notamment de la capacité des utilisateurs du territoire à poursuivre la pratique de leurs activités traditionnelles (voir 4.3.4), ainsi que de la diligence dans le suivi des contaminants et dans la diffusion des résultats de ces suivis. À la différence de ce qui est décrit dans la section 4.3.4, la communication des résultats par le promoteur ne réfère pas seulement aux utilisateurs eux-mêmes, mais à la capacité à travailler avec les instances autochtones pour communiquer adéquatement les risques avec l'ensemble de la communauté. L'impact sera aussi contingent à la capacité du promoteur à travailler avec les communautés pour assurer le maintien des réseaux de soutien formels et informels qui sous-tendent les dynamiques communautaires.

4.3.6 Changements dans le sentiment d'appartenance et la continuité culturelle

Le sentiment d'appartenance et la continuité culturelle chez les Cris reposent sur une articulation dynamique entre le territoire, la langue, les liens intergénérationnels et les mécanismes sociaux qui soutiennent la cohésion communautaire (voir 2.3.4). Les effets potentiels du projet proviendraient notamment de l'interaction entre des transformations sociales (voir 4.2.2 et4.2.3), des perceptions de changement environnemental (voir 4.3), et du contexte historique et structurel dans lequel s'inscrit la Nation crie (voir 2.1).

D'une part, le projet agit sur la relation au territoire, un pilier central de la continuité culturelle. Les changements réels ou perçus dans l'environnement, qu'ils soient liés à l'apparence des lieux, à la présence accrue d'activité industrielle ou à l'incertitude quant à la qualité de certains lacs et secteurs, peuvent influencer la manière dont les individus se sentent connectés à des espaces qui portent une signification culturelle forte. Les activités qui y sont menées agissent aussi comme modalité de transmission culturelle favorisant la vitalité de la culture et de la langue (Auger, 2016).

Dans un contexte marqué par des expériences passées de transformation rapide, ces perceptions actuelles peuvent prendre plus d'ampleur, non seulement en réduisant la fréquentation de certains lieux, mais aussi en modifiant le rapport affectif au territoire, ce qui affecte directement le sentiment d'appartenance et la capacité de transmission culturelle. Ces transformations incluent notamment le déplacement de la communauté, la modification de l'environnement et les enjeux liés au mercure qui ont été engendrés par les aménagements hydroélectriques décrits à la section 4.3.4. Ils s'inscrivent aussi dans un historique de rupture culturelle occasionnée par l'expérience des pensionnats.

D'autre part, les transformations socioéconomiques induites par le projet peuvent agir comme facteurs de reconfiguration des liens communautaires. Les tensions internes décrites aux sections 4.2.2 et 4.2.3, comme inégalités perçues dans l'accès aux retombées économiques, la polarisation des valeurs, les incompréhensions liées au navettage, les risques de violence latérale, peuvent diminuer la cohésion sociale, un déterminant essentiel du maintien des pratiques, des savoirs et de la transmission. Lorsque la confiance entre membres d'une communauté est fragilisée, la continuité culturelle ne s'effrite pas nécessairement par disparition des pratiques, mais par érosion des conditions collectives qui en permettent la transmission (moins de rassemblements, moins d'occasions de partage, moins de reconnaissance mutuelle des rôles sociaux).

Les changements culturels associés aux transformations du territoire et des pratiques traditionnelles sont susceptibles d'affecter de manière particulière les aînés, qui jouent un rôle central comme détenteurs, transmetteurs et garants des savoirs, des valeurs et des pratiques culturelles. Lorsque les occasions de transmettre ces savoirs se raréfient ou perdent de leur signification, le rôle social des aînés peut s'en trouver fragilisé. Cette perte de reconnaissance et d'utilité sociale peut contribuer à un sentiment de marginalisation, d'isolement ou de perte de statut, avec des répercussions potentielles sur le bien-être psychologique et le sentiment d'appartenance. Aussi, dans un contexte où la continuité culturelle constitue un déterminant important de la santé, l'affaiblissement du rôle des aînés peut également avoir des effets indirects sur les jeunes, en réduisant les occasions de transmission des savoirs traditionnels et des repères identitaires.

L'ensemble de ces mécanismes ne produit pas automatiquement un impact négatif, mais ouvre la possibilité d'une discontinuité culturelle, de stress collectif et d'érosion des conditions de transmission, où la solidité des repères identitaires dépend de la capacité des mécanismes collectifs à absorber des changements rapides. Certains aspects du projet comme la relation de confiance, la construction d'un camp, la participation aux suivis environnementaux et la transparence dans les communications peuvent jouer un rôle clé dans la manière dont ces transformations seront vécues. En d'autres termes, l'effet du projet sur le sentiment d'appartenance et la continuité culturelle demeure variable. Il dépendra en grande partie de la capacité des acteurs (communauté et promoteur) à soutenir la résilience culturelle à travers le maintien des pratiques, la valorisation des liens entre les travailleurs et la communauté, la stabilité des repères identitaires et la reconnaissance du territoire comme espace identitaire.

4.4 Mesures d’atténuation

4.4.1 Construction et exploitation

Les mesures d’atténuation courantes sont présentées à l’annexe 8-2 de l’ÉIE et notamment celles des sections Air ambiant, Ambiance sonore et vibrations, Qualité des sols, de l’eau de surface et des sédiments, Végétation et milieux humides, Faune et habitat, Planification, aménagement du territoire et tenure des terres, Qualité de vie et bien-être, Utilisation traditionnelle du territoire par les Autochtones, Paysage, qui s’appliquent en tout ou en partie aux impacts sur cette CVE. Outre ces dernières, les mesures particulières suivantes devront être prises en compte :

- Continuer d’informer la population sur l’avancement du Projet, les travaux d’envergures à venir, les impacts sur l’environnement et les mesures préventives visant à les atténuer, ainsi que sur les mesures de sécurité en place (P14).
- Poursuivre la sensibilisation de l’ensemble des travailleurs et des sous-traitants allochtones à la culture crie et aux pratiques traditionnelles lors de la séance d’accueil et d’activités de formation subséquentes pour les superviseurs (P15).
- Maintenir l’organisation d’activités culturelles pour favoriser les échanges interculturels et une culture de travail respectueuse (P16).
- Continuer la sensibilisation des travailleurs aux différentes formes de harcèlement et mettre en œuvre des mécanismes de traitement des plaintes. Veiller à l’application de la Politique sur le harcèlement en milieu de travail de PMET et prendre les mesures correctives adéquates lorsqu’un signalement s’avère fondé (P17).
- Établir un nouveau comité de suivi environnemental dont les modalités seront spécifiées dans l’ERA pour discuter et établir des solutions aux différentes problématiques qui pourraient être soulevées pendant les différentes phases de la mine (P19).
- Construire un site culturel cri muni d’un tipi afin que les travailleurs puissent s’y réunir, socialiser et pratiquer certaines activités traditionnelles telles que la cuisine, l’artisanat et la transmission de récits ancestraux, notamment, et un centre récréatif accessible à tous les travailleurs (P20).
- Poursuivre le programme de support psychosocial pour soutenir les travailleurs cris et non cris dans la conciliation travail-famille (P21).
- S’assurer que des moyens de communication fiables sont offerts au campement de travailleurs pour favoriser la communication des travailleurs avec leur famille (P22).
- Dans la mesure du possible, préserver le couvert forestier le long de la route et effectuer la végétalisation des secteurs dénudés après la finalisation des travaux avec une végétation indigène (P24).
- Un surveillant environnemental effectuera des visites régulières des aires de travail, s’assurera du respect rigoureux par les intervenants des divers engagements, obligations, mesures et autres prescriptions, évaluera la qualité et l’efficacité des mesures appliquées et notera toute non-conformité qu’il aura observée (P25).
- Développer et mettre en œuvre le plan de gestion du transport du Projet (P26).
- Collaborer avec le maître de trappage du terrain CH39 à la mise en place d’un programme d’amélioration des habitats fauniques présents autour du site minier (P45).

- En collaboration avec les services locaux et régionaux, monitorer l'effet de l'embauche de travailleurs sur les besoins communautaires en matière de service à l'enfance et aux familles (P45).
- Développer des politiques favorisant des modes de vie sains pour les employés, sensibles aux réalités différenciées selon le genre, notamment en faisant la promotion d'une alimentation saine à la cafétéria répondant à des besoins diversifiés, ainsi que du temps dédié à l'activité physique et à des programmes de bien-être mental accessibles et adaptés à l'ensemble des employés (P46).
- L'exploitation du camp de travailleurs sera régie par les politiques de gestion de l'alcool et des drogues du Promoteur applicables aux activités sur le terrain et aux sites de travail, lesquelles interdisent la possession et la consommation d'alcool et de drogues sur le site (P47).
- En collaboration avec les acteurs de la santé crie, les communautés et les travailleurs, développer des mesures complémentaires aux PAEF pour les périodes hors travail afin de soutenir le bien-être psychosocial et de prévenir l'isolement, le stress et les comportements à risque (P48).
- Développer des campagnes récurrentes de promotion de la santé mentale en portant une attention particulière aux sous-groupes ayant des réticences à chercher du soutien (hommes et personnes 2SLGBTQ+) (P49).
- Un membre du personnel infirmier sera présent sur le site et pourra, au besoin, assurer des suivis avec les employés ayant des besoins médicaux particuliers (comme le diabète ou l'hypertension). Une préférence sera donnée au personnel avec une expérience dans la provision de soins culturellement adaptés et sensible au trauma (P50).
- Établir une collaboration avec les services de santé cris pour la gestion des urgences et la gestion des suivis médicaux particuliers (P51).
- Les services médicaux du camp du projet Shaakichiuwaanaan devront disposer de compétences en santé sexuelle et être formés pour intervenir de manière appropriée dans les situations d'agressions sexuelles. (P52).
- Interdiction explicite de l'auto-stop et du transport informel par les travailleurs, interdiction et suivi actif des déplacements hors camp (heures, itinéraires, comportements) et à des sanctions claires en cas de non-respect (P53).
- Inclure la sécurité des femmes dans les discussions avec le département des transports avec SDBJ (P54).
- Formation obligatoire, récurrente pour l'ensemble des travailleurs et des contracteurs, incluant tous les sous-traitants appelés à circuler sur les routes du projet (transport du minerai, construction), portant sur la sécurité des femmes autochtones et la violence fondée sur le genre, et exigée comme condition contractuelle. Si possible, assurer le co-développement de la formation avec des représentants des femmes Cries (P55).
- Interdire l'utilisation de véhicules personnels dans le cadre du travail (P58).
- Traduire en cri l'ensemble de la signalisation sur le site de travail (P59).
- Offrir des services de littératie financière aux travailleurs autochtones avec possibilité de les obtenir en langue crie (P58).
- Organiser avec la communauté ou soutenir des activités de reconnaissance de la contribution des travailleurs autochtones de la compagnie (P59).

Soulignons également le développement d'un programme de suivi environnemental, présenté au chapitre 13, qui inclut un volet relatif au risque de bioaccumulation dans la chaire animale, piscicole ainsi que dans les tissus des végétaux.

L’arrimage entre les mesures d’atténuation et les impacts potentiels sur la santé est présenté au tableau 4-2.

Tableau 4-2 Correspondance entre les paramètres affectés et les mesures d'atténuation

Paramètre	Mesures d’atténuation
Changements dans les relations familiales	P21, P 22, P45, P48, P58
Changements dans la dynamique communautaire	S18 P20, P45, P59
Situation financière	P58
Sécurité	Mesures courantes : Qualité de vie et bien-être, Utilisation traditionnelle du territoire par les Autochtones P15, P17, P26, P53, P54, P55, P58
Santé mentale et comportements à risque	Mesures courantes : Qualité de vie et bien-être P21, P46, P49, P48, P49, P50, P51, P52
Habitudes de vie et santé physique	Mesures courantes : Qualité de vie et bien-être P21, P46, P49, P50, P51, P52
Changements dans la qualité de l’eau	Mesures courantes : qualité de l’eau de surface et des sédiments P14, P19, P25
Changements dans la qualité de l’air	Mesures courantes : Qualité de l’air P14, P19, P25
Accès au territoire	Mesures courantes : Utilisation traditionnelle du territoire par les Autochtones P24
Nuisances liées au bruit et à la lumière	Mesures courantes : Ambiance sonore et vibrations
Sécurité sur le territoire	P16, P17, P53 P55
Changements dans la pratique des activités traditionnelles	Mesures courantes : Qualité de vie et bien-être, Utilisation traditionnelle du territoire par les Autochtones, Paysage P14, P17, P19, P24, P25, P26, P45, P54, P55, P58
Changements dans les habitudes alimentaires	P14, P19, P20
Changements dans la continuité culturelle et le sentiment d’appartenance	Mesures courantes : Qualité de vie et bien-être Utilisation traditionnelle du territoire par les Autochtones P16, P20, P22, P59

4.4.2 Fermeture

Les mesures d’atténuation courantes sont présentées à l’annexe 8-2 de l’ÉIE et notamment celles des sections Air ambiant, Ambiance sonore et vibrations, Qualité des sols, de l’eau de surface et des sédiments, Végétation et milieux humides, Faune et habitat, Planification, aménagement du territoire et tenure des terres, Qualité de vie et bien-être, Utilisation traditionnelle du territoire par les Autochtones, qui s’appliquent en tout ou en partie aux impacts sur cette CVE. Outre ces dernières, les mesures particulières suivantes devront être prises en compte, soit :

- Poursuivre et assurer la visibilité des opportunités d’emplois dans les milieux locaux en participant à diverses initiatives locales et régionales (ex. : journée carrière) (P06).

- Poursuivre le développement des compétences spécifiques et transférables des employés en soutenant les activités de développement professionnel en adéquation avec les fonctions des employés et les besoins de PMET, comme prévu à la Politique de développement professionnel (P10).
- Participer à l'implantation d'un comité sur les opportunités d'affaires, la formation et l'emploi régi par l'éventuelle entente de répercussions et avantages (ERA) avec la Première Nation des Cris de Chisasibi et le Gouvernement de la Nation Crie (P11).
- Privilégier la réaffectation d'employés locaux aux activités de fermeture de la mine (P13).
- Poursuivre le programme de support psychosocial pour supporter les travailleurs cris et non cris dans la conciliation travail-famille (P21).
- Collaborer avec le maître de trappe CH39 dans les activités de réhabilitation, restauration, revégétalisation et dans la remise du site à son état naturel (P23).
- Mettre en place un programme d'aide aux employés afin de les soutenir durant la transition vers la fin des opérations (P42).

4.5 Évaluation des impacts résiduels

4.5.1 Construction et exploitation

L'impact de l'embauche et de la présence de main-d'œuvre sur le territoire sera limité par une série de mesures visant non seulement à protéger les travailleurs, mais à assurer la résilience des réseaux de soutien familiaux, communautaires et institutionnels. Ces mesures auront entre autres pour effet de privilégier le maintien du lien entre les travailleurs et leurs familles, à soutenir la reconnaissance et la compréhension de la réalité des travailleurs au sein de la communauté et à monitorer collaborativement la façon dont les services en communauté s'adapteront aux changements sociaux. Elles permettront aussi d'établir une certaine continuité entre les services de santé en communauté et ceux offerts sur le site du projet en collaborant avec les autorités de santé et prolongeant le programme de soutien aux employés en dehors du travail. Le soutien direct aux travailleurs prendra aussi en compte leur besoin potentiel d'adaptation à leur nouvelle situation financière, idéalement avec le soutien d'institutions autochtones.

Une attention particulière a été portée à la sécurité des femmes dans l'élaboration des mesures d'atténuation. Elles visent à limiter les possibilités d'interactions dans des contextes à risque comme l'autostop ou sur les rencontres fortuites sur le territoire.

Pour la vie au campement des travailleurs au projet, des formations mettant l'accent sur la compétence culturelle et des politiques claires en matière de harcèlement visent à contrer l'apparition d'une culture de travail normalisant l'hypermasculinité et le racisme et qui créerait des conditions propices à l'émergence et la légitimation de comportements abusifs ou violents. Cette approche préventive est combinée à une approche de promotion de la santé et des relations saines, notamment en opérant un espace culturel favorisant le partage et le dialogue interculturel et en renforçant les saines habitudes de vie.

Les mesures liées à la main-d'œuvre permettront par ailleurs de maximiser les répercussions positives du projet en permettant aux travailleurs de disposer de davantage de revenus disponibles et de temps libres pour contribuer positivement à la vie familiale, communautaire et culturelle.

L’ensemble de ces mesures devrait par ailleurs limiter des effets de second ordre comme l’émergence de violence latérale, une pression accrue sur les services de santé ou un impact disproportionné sur les femmes en raison d’une augmentation de la charge familiale.

Par conséquent, l’impact de l’embauche et de la présence de main-d’œuvre se fera sentir sur les déterminants de la santé, mais son impact sera mitigé par des mesures centrées sur la collaboration avec la communauté de Chisasibi et les services de santé allochtones pour agir sur les déterminants structurels, systémiques et immédiats de la santé.

Concernant la présence et l’opération du site, les mesures d’atténuation visent à limiter l’impact des changements environnementaux et à monitorer de façon continue la qualité de l’air et de l’eau afin de s’assurer que les effets réels correspondent aux projections actuelles quant au respect des normes en vigueur. Elles assurent aussi un suivi continu de l’innocuité des aliments et médecines traditionnels comme les poissons, les plantes et le gibier.

La nature holistique des pratiques traditionnelles est prise en compte par les multiples dimensions des mesures d’atténuation suggérées. Comme discuté à la section 4.3.4, la vitalité des pratiques traditionnelles dépend de la solidité de la relation entre le promoteur et la communauté, de sa collaboration avec les utilisateurs pour favoriser la résilience de leur ancrage dans leur territoire, de son respect de la conception crie de l’environnement avec une attention particulière portée à l’eau, à la diligence dans les suivis des contaminants et dans la diffusion des résultats de ces suivis. Dans un contexte où l’histoire récente de la communauté est marquée par un développement rapide et traumatique, la condition première pour agir sur ces paramètres est la relation de confiance entre les parties impliquées. En ce sens, le promoteur met en place les conditions nécessaires à la continuation et au développement de la relation qu’il a forgée avec les utilisateurs locaux du territoire depuis plusieurs années. Les mesures prévoient des communications constantes sur la qualité de l’environnement et des aliments dans un langage accessible, un mécanisme de dialogue permettant de continuer la mise en place d’actions respectant l’importance culturelle du territoire et des actions visant à restaurer ou maintenir l’apparence du territoire. Un mécanisme de plaintes et commentaires est aussi prévu. Finalement, la maximisation des impacts positifs liés au revenu et au temps libre pourrait permettre une participation accrue aux activités traditionnelles. En somme, des effets du projet se feront nécessairement sentir sur la pratique des activités traditionnelles, mais les mesures favoriseront l’adaptation mutuelle des parties impliquées.

Comme discuté à 4.3.5, les changements dans les habitudes alimentaires dépendent principalement de la confiance accordée par les consommateurs en l’innocuité des aliments récoltés, dans un contexte où les développements précédents ont souvent créé des incertitudes persistantes. Les mesures d’atténuation visent non seulement à communiquer de façon transparente les résultats des activités de surveillance environnementales, mais aussi à collaborer avec les communautés autochtones pour communiquer efficacement les risques réels liés aux aliments provenant du secteur du projet. Une attention particulière est aussi portée aux femmes qui peuvent être davantage préoccupées par les contaminants. Les mesures liées au maintien des soutiens communautaires visent pour leur part à assurer le maintien des réseaux familiaux de distribution de façon à éviter un impact disproportionné sur les aînés et les personnes en situation précaire.

La continuité culturelle et le sentiment d'appartenance discutés à 4.3.6 sont liés à l'ensemble des autres sous-composantes mentionnées ci-dessus. En ce sens, la limitation des impacts sur chacune d'entre elles contribue à maintenir la continuité culturelle. Le maintien du lien entre les travailleurs et leur famille et la communauté décrit plus haut permettra de renforcer la capacité de la communauté à utiliser les changements sociaux qui surviendront comme moteur de développement collectif plutôt que comme facteur de division sociale. La poursuite des activités sur le territoire et la poursuite de la consommation et du partage de nourriture traditionnelle permettront la transmission des connaissances et la vitalité des pratiques culturelles. La continuité culturelle et le sentiment d'appartenance constituent des dimensions complexes et évolutives, dont l'influence ne peut être pleinement anticipée à court terme. Bien que certaines mesures d'atténuation ciblées telles que l'aménagement ou la mise en valeur d'un site culturel puissent contribuer directement à soutenir ces dimensions, leur efficacité demeure largement tributaire de la qualité de la relation établie entre le promoteur et la communauté. Comme indiqué plus haut, les conditions pour le développement de relations solides entre le promoteur, les utilisateurs du territoire, la communauté et ses institutions ont été intégrées dans les mesures d'atténuation.

En conclusion, le degré de perturbation de l'ensemble des effets résiduels est estimé comme *faible* compte tenu de leur intensité limitée et du fait qu'ils ne compromettront pas de façon significative les déterminants de santé à l'échelle communautaire. La valeur socioéconomique de la santé est considérée comme *grande*, car essentielle au maintien du fonctionnement de la communauté. L'intensité de l'impact est donc *moyen*.

La portée des effets est *régionale* car ils touchent à la fois les utilisateurs du territoire dans la zone locale ainsi que, plus largement, les communautés allochtones et autochtones de la région.

Au sens de la méthodologie d'évaluation des impacts, la durée des effets anticipés est jugée *moyenne*, car ils sont susceptibles d'évoluer dans le temps, en fonction de la mise en œuvre des mesures d'atténuation, des mécanismes de suivi et de la capacité du projet à s'adapter aux attentes et aux préoccupations de la communauté.

Considérant ces indicateurs, l'importance des impacts est par conséquent *moyenne* (voir tableau 4-3).

La probabilité d'occurrence est *moyenne* dans la mesure où les effets anticipés sont plausibles et ont été exprimés lors des consultations, mais demeurent variables selon les individus et les familles, les périodes et l'évolution du projet. Ces impacts sont par ailleurs étroitement dépendants de nombreux facteurs contextuels, ce qui limite leur caractère inévitable.

La réversibilité, soit la capacité des effets observés à s'atténuer ou à se résorber dans le temps, est jugée *moyenne*, car les impacts sur les déterminants de santé s'expriment dans un système social résilient reposant sur une forte autodétermination politique et sociale.

Tableau 4-3 Sommaire de l'évaluation des impacts (construction et exploitation)

Impact sur la santé physique, psychologique et sociale des populations régionales			
Intensité :	Faible	**Importance :**	Moyenne
Étendue :	Régionale		
Durée :	Moyenne		
Probabilité d'occurrence :		Moyenne	
Réversibilité :		Moyenne	

4.5.2 Fermeture

La fermeture du projet est susceptible d'entraîner des impacts socioéconomiques et psychosociaux transitoires, liés principalement à la perte d'emplois et à la réorganisation des dynamiques familiales et communautaires. Elle est toutefois associée à des effets positifs sur le territoire et le bien-être collectif, notamment par la réduction des nuisances, la restauration des sites et la réappropriation progressive du territoire. Les impacts liés aux travaux de fermeture demeurent temporaires et circonscrits, et les effets à long terme sont principalement conditionnés par la capacité de transition socioéconomique des personnes et des communautés concernées. Elle est aussi liée à la rigueur des suivis environnementaux post-fermeture, incluant les mêmes enjeux de confiance à l'égard du promoteur décrits à 4.5.1.

L'intensité des impacts est *faible*, car la fermeture du projet peut entraîner des impacts psychosociaux temporaires, principalement liés au stress et à l'incertitude associés à la transition professionnelle et à la perte de revenus pour certains travailleurs et ménages, sans compromettre durablement l'état de santé des populations. L'étendue des impacts est *régionale***,** car elle concerne à la fois les utilisateurs du territoire dans la zone locale ainsi que, plus largement, les communautés allochtones et autochtones de la région. Les effets seront de durée *moyenne***,** car ils sont principalement associés à la période de transition suivant la fermeture et tendront à s'atténuer avec la stabilisation des trajectoires professionnelles, familiales et communautaires dans les années suivant la fermeture. L'importance de l'impact résiduel est donc jugée *moyenne*. Sa probabilité d'occurrence est *élevée* et son potentiel de réversibilité jugé *moyen* (voir tableau 4-4).

La fermeture est par ailleurs associée à des effets positifs sur le bien-être, notamment par la réduction des nuisances, l'amélioration de la quiétude, du sentiment de sécurité et de la relation au territoire à la suite de la restauration du site. L'intensité associée à cet impact est *moyenne* et elle sera ressentie à l'échelle *régionale***,** et ce pour une *longue* durée. L'impact positif est donc jugé d'importance *majeure* (voir tableau 4-4).

Tableau 4-4 Sommaire de l'évaluation des impacts (fermeture)

Impact sur la santé physique, psychologique et sociale des populations régionales			
Intensité :	Faible (-) Moyenne (+)	**Importance :**	Moyenne (-) Majeure (+)
Étendue :	Régionale (-) (+)		
Durée :	Courte (-) Longue (+)		
Probabilité d'occurrence :		Élevée (-) (+)	
Réversibilité :		Moyenne (-)	

5 Incertitudes et limites

Les effets potentiels sur la santé peuvent être indirects, cumulatifs ou se manifester à moyen ou long terme; ils sont, de ce fait, associés à un degré d'incertitude à l'étape de l'évaluation des impacts. En conséquence, l'évaluation des impacts sur la santé s'appuie sur les meilleures données disponibles, des éléments qualitatifs issus de la littérature et des consultations, ainsi que sur un jugement professionnel structuré, ce qui doit être pris en compte dans l'interprétation des conclusions.

La description de l'utilisation du territoire est fondée sur l'interprétation des informations communiquées par le maître de trappe du terrain CH39 et sa famille ainsi que dans le contexte des consultations menées à Chisasibi. Bien que cette interprétation ait fait l'objet d'une validation, elle demeure partielle et ne prétend pas rendre compte de l'ensemble des usages, des significations et des valeurs associées au territoire, lesquels pourraient être approfondis par les personnes concernées.

6 Bibliographie

Aalhus, M., Oke, B., & Fumerton, R. (2018). The social determinants of health impacts of resource extraction and development in rural and northern communities : A summary of impacts and promising practices for assessment and monitoring. Northern Health. https://www.northernhealth.ca/sites/northern_health/files/services/office-health-resource-development/documents/impacts-promising-practices-assessment-monitoring.pdf. Consulté en février 2026

AEIC. (2020). Analyse des effets sur la sante la societe et l'economie en vertu de la loi sur l'evaluation d'impact. https://www.canada.ca/content/dam/iaac-acei/documents/policy-guidance/analyzing-health-social-economical-effects/analyse-des-effets-sur-la-sante-la-societe-et-l-economie-en-vertu-de-la-loi-sur-l-evaluation-d-impact.pdf. Consulté en septembre 2025

Agence de santé publique du canada. (2024, juillet 18). Rapid Review : An intersectional analysis of the disproportionate health impacts of wildfires on diverse populations and communities [Education and awareness]. https://www.canada.ca/en/public-health/services/publications/healthy-living/rapid-review-intersectional-analysis-disproportionate-impacts-wildfires-diverse-populations-communities.html. Consulté en octobre 2025

Albrecht, G., Sartore, G.-M., Connor, L., Higginbotham, N., Freeman, S., Kelly, B., Stain, H., Tonna, A., & Pollard, G. (2007). Solastalgia : The distress caused by environmental change. Australasian Psychiatry: Bulletin of Royal Australian and New Zealand College of Psychiatrists, 15 Suppl 1, S95-98. https://doi.org/10.1080/10398560701701288. Consulté en septembre 2025

Association des femmes autochtones du Canada. (2022). Analyse comparative entre les sexes culturellement pertinente : Une feuille de route pour l'élaboration des politiques. https://nwac.ca/assets-documents/FR_CRGBA_Framework_Roadmap_May11_2022-1.pdf. Consulté en septembre 2025

Auger, M. D. (2016). Cultural Continuity as a Determinant of Indigenous Peoples' Health : A Metasynthesis of Qualitative Research in Canada and the United States. The International Indigenous Policy Journal, 7(4). https://doi.org/10.18584/iipj.2016.7.4.3. Consulté en septembre 2025

Bailey, K. A. (2020). Indigenous students : Resilient and empowered in the midst of racism and lateral violence. Ethnic and Racial Studies, 43(6), 1032-1051. https://doi.org/10.1080/01419870.2019.1626015. Consulté en janvier 2026

Banque Mondiale. (2025). Glossaire—Indice Gini. https://databank.worldbank.org/metadataglossary/gender-statistics/series/SI.POV.GINI. Consulté en septembre 2025

Bernier, N. (2021). Réduire les vulnérabilités et les inégalités sociales : Tous ensemble pour la santé et le bien-être (p. 64). INSPQ. https://www.inspq.qc.ca/sites/default/files/publications/2781-reduire-vulnerabitlite-inegalites-sociales.pdf. Consulté en septembre 2025

Blacksmith, V. (2024). Wildfires and climate change are shifting the way some Quebec Cree hunt | CBC News. https://www.cbc.ca/news/canada/north/goose-break-forest-fores-quebec-cree-hunt-1.7191978. Consulté en septembre 2025

Boucher, G., Fournier, F., & Torres, S. (2024). Une exploration des inégalités sociales, économiques et de santé. Observatoire québécois des inégalités. https://observatoiredesinegalites.com/wp-

content/uploads/2024/09/Une-exploration-des-inegalites-sociales-economiques-et-de-sante.pdf. Consulté en mars 2026

Boulanger, Y., Arseneault, D., Bélisle, A. C., Bergeron, Y., Boucher, J., Boucher, Y., Danneyrolles, V., Erni, S., Gachon, P., Girardin, M. P., Grant, E., Grondin, P., Jetté, J.-P., Labadie, G., Leblond, M., Leduc, A., Puigdevall, J. P., St-Laurent, M.-H., Tremblay, J. A., & Waldron, K. (2024). The 2023 wildfire season in Québec : An overview of extreme conditions, impacts, lessons learned and considerations for the future. https://doi.org/10.1101/2024.02.20.581257 Consulté en septembre 2025

Brouillette, C., Gingras-Lacroix, G., Labra, O., Cousineau, T., & Roch, M. (2022). Les hommes travailleurs fly-in fly-out en contexte minier : Réflexions pour la pratique des travailleurs sociaux. Intervention, (155), 179-193. https://doi.org/10.7202/1089314ar. Consulté en septembre 2025

Bull-Prete, D. T. H. (2024). Addressing Transportation Inequities for Indigenous Women, Girls, and 2SLGBTQQIA+. Yellowhead Institute. https://yellowheadinstitute.org/2024/addressing-transportation-inequities-for-indigenous-women-girls-and-2slgbtqqia/. Consulté en février 2026

Bush, D., & Lipari, R. (2015). Substance Use and Substance Use Disorder by Industry. https://www.samhsa.gov/data/sites/default/files/report_1959/ShortReport-1959.html Consulté en février 2026

Canadian Institute for Health Information. (2025). Overall health system performance dashboard. https://www.cihi.ca/en/dashboards/overall-health-system-performance. Consulté en septembre 2025

CBC (Réalisateur). (1976, octobre 18). Mercury poisoning and the Cree [Enregistrement vidéo]. In CBC. https://www.cbc.ca/player/play/video/1.3593565. Consulté en mars 2026

CCNDS, & CCNPPS. (2012). Outils et approches pour évaluer et soutenir les mesures de santé publique en matière de déterminants de la santé et d'équité en santé. https://www.ccnpps.ca/docs/Equite_Outils_CCNDS-CCNPPS.pdf. Consulté en septembre 2025

CCSSSBJ. (2013). Nituuchischaayihtitaau Aschii Multi-community enviornmentand health study in Eeyou Istchee, 2005-2009. https://www.creehealth.org/sites/default/files/E-and-H%20Technical%20Report.pdf. Conulté en octobre 2025

CCSSSBJ. (2016). Background summary statistical profile of health and health determinants in Eeyou Istchee for the Health Assembly. https://www.creehealth.org/sites/default/files/A%20Health%20Profile%20for%20Health%20Assembly.pdf Consulté en octobre 2025

CCSSSBJ. (2023). The impacts of fly-in-fly-out work on Cree workers, their family, and their communities in Eeyou Istchee. Consulté en septembre 2025

CCSSSBJ. (2024). Rapport Annuel 2023-2024. https://creehealth.org/sites/default/files/2024-09/CBHSSJB_AnnualReport23-24_v4-FR.pdf. Consulté en septembre 2025

CCSSSBJ. (2025, janvier 15). A celebration of Eeyou/Eenou Family Values. Cree Health. https://www.creehealth.org/cree-family-values. Consulté en septembre 2025

CCSSSBJ. (2026). Healthy fishing in Eeyou Istchee. https://www.creegeoportal.ca/applications/mercurymap/. Consulté en mars 2026

Chan, L., Batal, M., Receveur, O., Sadik, T., Schwartz, H., Ing, A., Fediuk, K., Tikhonov, C., & Lindhorst, K. (2019). Étude sur l'alimentation, la nutrition et l'environnement chez les Premières Nations (EANEPN) : Résultats du Québec 2016. Université d'Ottawa. https://www.fnfnes.ca/docs/CRA/FNFNES_Quebec_Regional_Report_FRENCH_2021-10-19.pdf. Consulté en octobre 2025

Comeau, D., Johnson, C., & Bouhamdani, N. (2023). Review of current 2SLGBTQIA+ inequities in the Canadian health care system. Frontiers in Public Health, 11, 1183284. https://doi.org/10.3389/fpubh.2023.1183284. Consulté en mars 2026

Comité permanent de la condition féminine. (2022). Répondre aux appels à la justice : Lutter contre la violence faite aux femmes et aux filles autochtones dans le contexte de projets d'exploitation de ressources (44e Législature, 1ere session). Chambre de communes. Consulté en septembre 2025

Commission de protection de la jeunesse crie. (2023, septembre 7). Inauguration de la Commission de protection de la jeunesse crie (Mistissini + Livestream). Cree Health. https://www.creehealth.org/fr/events/inauguration-cree-youth-protection-commission-mistissini-livestream. Consulté en janvier 2026

Commission de vérité et réconciliation du Canada. (2016). Pensionnats du Canada : Rapport final de la Commission de vérité et réconciliation du Canada. http://epe.lac-bac.gc.ca/100/201/301/listes_acquisition_hebdomadaire/2015/w15-51-F-F.html/collections/collection_2015/trc/IR4-9-1-1-2015-fra.pdf. Consulté en septembre 2025

Commission d'enquête sur les relations entre les Autochtones et certains services publics. (2019). Écoute, réconciliation et progrès : Rapport final. Gouvernement du Québec. https://www.cerp.gouv.qc.ca/fileadmin/Fichiers_clients/Rapport/Rapport_final.pdf Consulté en septembre 2025

Courtenay, W. H. (2000). Constructions of masculinity and their influence on men's well-being : A theory of gender and health. Social Science & Medicine, 50(10), 1385-1401. https://doi.org/10.1016/s0277-9536(99)00390-1. Consulté en janvier 2026

Cree Trappers' Association. (2009). Traditional Eeyou Hunting Law. https://creetrappers.ca/images/SpecialProjects/CTA-2009-TraditionalEeyouHuntingLaw-En.pdf. Consulté en septembre 2025

CRSSSBJ. (2025). Portrait de santé Nord-du-Québec. https://www.crsssbaiejames.gouv.qc.ca/docs/Publications/P/Portrait_sante_NdQ_2025_VF.pdf Direction de la santé publique. Consulté en septembre 2025

CSSSPNQL. (2016). Portrait de l'itinérance dans les communautés des Premières Nations du Québec. Bibliothèque et Archives nationales du Québec. Consulté en octobre 2025

Dignard, C., Larivière, M., Lightfoot, N., Nowrouzi-Kia, B., Tremblay, L., & Kerekes, Z. (2024). Evidence-Based Recommendations for Improving the Mental Health and Wellbeing of Ontario Mining Workers. Mining, Metallurgy & Exploration, 41(6), 2921-2930. https://doi.org/10.1007/s42461-024-01145-5. Consulté en janvier 2026

Dignard, C., Lariviere, M., Nowrouzi-Kia, B., Lightfoot, N., Kerekes, Z., & Tremblay, L. (2025). Prevalence and Predictors of Stress, Anxiety, and Depression-Related Symptoms among Mining Workers in Ontario, Canada. Mining, Metallurgy & Exploration, 42. https://doi.org/10.1007/s42461-025-01285-2. Consulté en janvier 2026

Dumont, C., Girard, M., Bellavance, F., & Noël, F. (1998). Mercury levels in the Cree population of James Bay, Quebec, from 1988 to 1993/94. CMAJ: Canadian Medical Association Journal = Journal de l'Association Medicale Canadienne, 158(11), 1439-1445. Consulté en février 2026

Durksen, L. (2025). Mention vs. Measure : An Analysis of Indigenous Values and Economic Measures in Impact Assessments of Major Oil and Gas Projects in Alberta [University of Guelph]. https://hdl.handle.net/10214/29329. Consulté en mars 2026

ENFFADA. (2019a). Récalmer notre pouvoir et notre place -Volume 2 Rapport complémentaire—Kepek/Québec. https://www.mmiwg-ffada.ca/wp-content/uploads/2019/06/Rapport-compl%C3%A9mentaire_Qu%C3%A9bec.pdf. Consulté en septembre 2025

ENFFADA. (2019b). Réclamer notre pouvoir et notre place—Rapport final d'enquête sur les femmes et les filles autochtones disparues et assassinées. Gouvernement du Canada. https://www.mmiwg-ffada.ca/wp-content/uploads/2019/06/Rapport-final-volume-1a-1.pdf. Consulté en septembre 2025

Firelight Group. (2021). Mieux-être mental des autochtones et développement des grands projets—Orientation pour les professionnels de l'évaluation d'impact dans les collectivités autochtones. Firelight Research Inc et AEIC. https://www.canada.ca/content/dam/iaac-acei/documents/research/indigenous-mental-wellness-and-ia-fr.pdf. Consulté en septembre 2025

First Nations Major Projects Coalition. (2020). Guidance appendices to the major projects assessment standard, (Appendix 4 : Indigenous health impact assessment). https://fnmpc.ca/wp-content/uploads/FNMPCMPASGuidanceappendices-FINALJanuary2020.pdf. Consulté en septembre 2025

Fletcher, C., Riva, M., Lyonnais, M.-C., Baron, A., Saunders, I., Lynch, M., & Baron, M. (2024). Epistemic inclusion in the Qanuilirpitaa? Nunavik Inuit health survey: developing an Inuit model and determinants of health and well-being. Canadian Journal of Public Health, 115(1), 20-30. https://doi.org/10.17269/s41997-022-00719-4. Consulté en mars 2026

Galway, L. P., Beery, T., Jones-Casey, K., & Tasala, K. (2019). Mapping the Solastalgia Literature : A Scoping Review Study. International Journal of Environmental Research and Public Health, 16(15), 2662. https://doi.org/10.3390/ijerph16152662. Consulté en février 2026

Gibson, G., Yung, K., Chisholm, L., & Quinn, H. (2017). Indigenous Communities and Industrial Camps : Promoting healthy communities in settings of industrial change. THe Firelight Group. https://quakerservice.ca/wp-content/uploads/2017/02/Firelight-work-camps-Feb-8-2017_FINAL.pdf. Consulté en janvier 2026

Gouvernement du Canada. (2015, décembre 16). Régions sociosanitaires : Limites et correspondance avec la géographie du recensement. https://www150.statcan.gc.ca/n1/pub/82-402-x/2015002/maps-cartes/rm-cr05-fra.htm. Consulté en septembre 2026

Gouvernement du Canada. (2021). Indice du bien-être des communautés [Carte interactive]. https://www.sac-isc.gc.ca/SAC-ISC/CWB/index-map-fr.html. Consulté en octobre 2026

Gouvernement du Canada. (2024, mai 16). Facts, stats and impact : 2SLGBTQI+ communities. https://www.canada.ca/en/women-gender-equality/free-to-be-me/federal-action-2slgbtqi-communities/facts-stats.html. Consulté en février 2026

Grand Conseil des Cris. (1999). Importance of Neebee and neebee management in James Bay Cree territory- The need to end government marginaization of the James Bay Cree. https://voute.bape.gouv.qc.ca/dl/?id=00000314769. Consulté en février 2026

Greenwood, M. L., & de Leeuw, S. N. (2012). Social determinants of health and the future well-being of Aboriginal children in Canada. Paediatrics & Child Health, 17(7), 381-384. Consulté en janvier 2026

Hackett, P., Liu ,Jilang, & and Noble, B. (2018). Human health, development legacies, and cumulative effects : Environmental assessments of hydroelectric projects in the Nelson River watershed, Canada. Impact Assessment and Project Appraisal, 36(5), 413-424. https://doi.org/10.1080/14615517.2018.1487504. Consulté en janvier 2026

Hydro-Québec. (2015). Centrales de l'Eastmain-1-A et de la Sarcelle et dérivation Rupert—Suivi 2012 des déterminants de la santé des Cris (p. 199). Hydro-Québec. Consulté en septembre 2025

INSPQ. (2014). Changement climatiques et santé en Eeyou Istchee dans le contexte des évaluations environnementales | INSPQ. Institut national de santé publique du Québec. https://www.inspq.qc.ca/publications/1927. Consulté en septembre 2025

INSPQ. (2022). Cadres des déterminants de la santé : Caractéristiques et spécificités en contexte autochtone. https://www.inspq.qc.ca/publications/2888. Consulté en septembre 2025

INSPQ. (2024a). Déterminants de l'alimentation des Premières Nations et des Inuit au Québec. https://www.inspq.qc.ca/publications/3551. Consulté en septembre 2025

INSPQ. (2024b). Les comportements suicidaires au Québec : Portrait 2024. https://cpsmontreal.ca/content/uploads/2024/06/Comportements-suicidaires-au-Quebec-portrait-2024.pdf. Consulté en octobre 2025

INSPQ. (2024c). Portrait de santé de la population selon le parcours de vie : Pour agir collectivement—Rapport du directeur national de santé publique 2024. https://publications.msss.gouv.qc.ca/msss/fichiers/2024/24-228-01W.pdf. Consulté en octobre 2025

INSPQ. (2024d). Portrait des infections transmissibles sexuellement et par le sang (ITSS) au Québec : Année 2022 et projections 2023. https://www.inspq.qc.ca/publications/3533. Consulté en octobre 2025

INSPQ. (2025). Principaux déterminants de la santé—Environnement physique | INSPQ. https://www.inspq.qc.ca/exercer-la-responsabilite-populationnelle/determinants-sante/principaux-determinants-sante-environnement-physique. Consulté en septembre 2025

Isaac, D. (2020). Cree Health and Justice present their views on the sexual exploitation of minors to Quebec. Nation News. http://nationnews.ca/health/cree-health-and-justice-present-their-views-on-the-sexual-exploitation-of-minors-to-quebec/. Consulté en octobre 2025

Jaber, L., Stirbys, C., Scott, J., & Foong, E. (2023). Indigenous Women's Experiences of Lateral Violence : A Systematic Literature Review. Trauma, Violence & Abuse, 24(3), 1763-1776. https://doi.org/10.1177/15248380221077316. Consulté en février 2026

Jones, J., & Bradshaw, B. (2015). Addressing Historical Impacts Through Impact and Benefit Agreements and Health Impact Assessment : Why it Matters for Indigenous Well-Being. Northern Review, (41), 81-109. https://doi.org/10.22584/nr41.2015.004. Consulté en janvier 2025

Kremer, S., & Mah, K. (2021, novembre 25). Improving Financial Literacy in Indigenous Communities [Research]. https://www.canada.ca/en/financial-consumer-agency/programs/research/2021-building-better-financial-futures-challenge/improving-financial-literacy.html. Consulté en février 2025

Legrand, M., Feeley, M., Tikhonov, C., Schoen, D., & Li-Muller, A. (2010). Methylmercury Blood Guidance Values for Canada. Canadian Journal of Public Health = Revue Canadienne de Santé Publique, 101(1), 28-31. https://doi.org/10.1007/BF03405557. Consulté en février 2026

Lewis, D., Castleden, H., Masuda, J., Richmond, C., & Jolly, D. (2025). Confronting epistemic blinders in impact assessment and environmental health risk assessment processes. Risk Analysis, 45(10), 2956-2963. https://doi.org/10.1111/risa.70073. Consulté en janvier 2026

Lewis, D., Francis, S., Francis-Strickland, K., Castleden, H., & Apostle, R. (2021). If only they had accessed the data : Governmental failure to monitor pulp mill impacts on human health in Pictou Landing First Nation. Social Science & Medicine, 18th International Medical Geography Symposium, 288, 113184. https://doi.org/10.1016/j.socscimed.2020.113184. Consulté en janvier 2026

Loppie, C., & Wien, F. (2022). Comprendre les inégalités de santé vécues par les peuples autochtones à la lumière d'un modèle de déterminants sociaux. Centre de collaboration nationale de la santé autochtone. Prince George, C.B. https://www.ccnsa.ca/Publications/Lists/Publications/Attachments/10373/RPT-Health_Inequalities_FR-web.pdf. Consulté en septembre 2025

Maheux-Cree. (2026). MAHEUX-CREE. Autobus Maheux - CBDG. http://www.maheux-cree.com/home.html. Consulté en février 2026

Ministère de la Santé et des Service sociaux du Québec. (2012). La santé et ses déterminants : Mieux comprendre pour mieux agir. https://publications.msss.gouv.qc.ca/msss/fichiers/2011/11-202-06.pdf. Consulté en septembre 2025

MSSS. (2016). Situation dans les réseaux territoriaux des services [Jeu de données]. https://www.msss.gouv.qc.ca/statistiques/rapport-dnsp/. Consulté en octobre 2025

Narratives Inc, & AEIC. (2022). Évaluation d'impact et appels à la justice concernant les FFADA. https://www.canada.ca/content/dam/iaac-acei/documents/research/evaluation-impact-appels-justice-femmes-filles-autochtones-disparues-assassinees.pdf. Consulté en septembre 2025

OMS. (1946). Préambule à la Constitution de l'Organisation mondiale de la Santé, tel qu'adopté par la Conférence internationale sur la Santé, New York, 19 juin au 22 juillet 1946; signé le 22 juillet 1946 par les représentants de 61 États. (Actes officiels de l'Organisation mondiale de la Santé, n° 2, p. 100) et entré en vigueur le 7 avril 1948.

Organisation mondiale de la santé. (2009). Global health risks : Mortality and burden of disease attributable to selected major risks. https://www.who.int/publications/i/item/9789241563871. Consulté en octobre 2025

Perry, A., Thorpe, J., & Duhamel, K. (2024). Missing the Bus : Indigenous Women and Two-Spirit Plus People and Public Transit in Western Canada. https://chrr.info/wp-content/uploads/2022/10/Missing-the-Bus-2024.pdf. Consulté en février 2026

Radio-Canada. (2017, octobre 20). Commission Viens : Les femmes Cries veulent un droit de regard avant la publication du rapport. Radio-Canada.ca. Radio-Canada. https://ici.radio-canada.ca/nouvelle/1062612/commission-viens-les-femmes-cries-veulent-un-droit-de-regard-avant-la-publication-du-rapport. Consulté en septembre 2025

Radu, I. (2015). Miyupimaatisiiun in Eeyou Istchee : Healing and Decolonization in Chisasibi [Phd, Concordia University]. https://spectrum.library.concordia.ca/id/eprint/980500/ Consulté en septembre 2025

Ramamonjisoa, S. (2018). Étude du surpeuplement des logements sur la santé des Cris d'Eeyou Istchee. [Thèse de doctorat, Université Laval]. https://corpus.ulaval.ca/entities/publication/3cc5960a-5969-4717-9d90-b1cbc5d1f960. Consulté en septembre 2025

RCI. (2023, septembre 15). Les Cris du Québec veulent décoloniser leur système de protection de la jeunesse. Radio-Canada.ca. Radio-Canada.ca. https://ici.radio-canada.cahttps://ici.radio-canada.ca/espaces-autochtones/2010489/cris-quebec-protection-jeunesse-commission, Consulté en septembre 2025

Ripley, S., Robinson, E., Johnson-Down, L., Andermann, A., Ayotte, P., Lucas, M., & Nieboer, E. (2018). Blood and hair mercury concentrations among Cree First Nations of Eeyou Istchee (Quebec, Canada) : Time trends, prenatal exposure and links to local fish consumption. International Journal of Circumpolar Health, 77(1), 1474706. https://doi.org/10.1080/22423982.2018.1474706. Consulté en février 2026

Rodon, T., Lévesque, F., Grenier, J., & Keller, J. (2014). Gap Analysis : Mining Development in Canada. https://www.researchgate.net/publication/268223959_Gap_Analysis_Mining_Development_in_Canada. Consulté en février 2026

RRSSN. (2017). Definition of an Inuit Cultural Model and Social Determinants of Health for Nunavik. Régie Régionale de la santé et des services sociaux du Nunavik. https://nrbhss.ca/sites/default/files/health_surveys/The_IQI_Model_of_Health_and_Well-Being_report_en.pdf. Consulté en février 2026

SAAQ. (2024a). Bilan routier 2024 Faits Saillants—Annexes. https://saaq.gouv.qc.ca/blob/saaq/documents/publications/Bilan-routier-2024_Annexes.pdf. Consulté en septembre 2025

SAAQ. (2024b). Bilan routier régional 2022. https://saaq.gouv.qc.ca/blob/saaq/documents/publications/espace-recherche/bilan-routier-regional-2022.pdf. Consulté en septembre 2025

Santé Canada. (2024). Orientation provisoire—L'évaluation d'impact sur la santé de projets désignés en vertu de la Loi sur l'évaluation d'impact. Consulté en août 2025

Santé Canada. (2026). Improving the health of men and boys in Canada. https://www.canada.ca/en/health-canada/services/healthy-living/improving-health-men-canada.html. Consulté en février 2026

SCHL. (2021). Création rapide de logements pour les communautés crie au Québec. https://www.cmhc-schl.gc.ca/salle-de-presse/news-releases/2021/creation-rapide-de-logements-pour-les-communautes-crie-au-quebec. Consulté en septembre 2025

Shafiee, M., Keshavarz, P., Lane, G., Pahwa, P., Szafron, M., Jennings, D., & Vatanparast, H. (2022). Food Security Status of Indigenous Peoples in Canada According to the 4 Pillars of Food Security : A Scoping Review. Advances in Nutrition, 13(6), 2537-2558. https://doi.org/10.1093/advances/nmac081. Consulté en octobre 2025

Southcott, C., Abele, F., Natcher, D., & Parlee, B. (2018). Beyond the Berger Inquiry : Can Extractive Resource Development Help the Sustainability of Canada's Arctic Communities? Arctic, 71(4), 393-406. https://www.jstor.org/stable/26567069 Consulté en février 2026

Standing Committee on Indigenous and Northern Affairs. (2021). Evidence June 15th 2021. https://publications.gc.ca/site/eng/9.816183/publication.html. Consulté en octobre 2025

Statistique Canada. (2019a). Mortalité prématurée et potentiellement évitable, période de trois ans, Canada, provinces, territoires, régions sociosanitaires (limities de 2018) et groupes de régions homologues [Jeu de données]. Government of Canada. https://doi.org/10.25318/1310075301-FRA. Consulté en septembre 2025

Statistique Canada. (2019b, mai 30). Espérance de vie, à la naissance et à 65 ans, selon le sexe, moyenne de trois ans, Canada, provinces, territoires, régions sociosanitaires et groupes de régions homologues. https://www150.statcan.gc.ca/t1/tbl1/fr/tv.action?pid=1310038901. Consulté en septembre 2025

Statistique Canada. (2022). Profil du recensement, Recensement de la population de 2021, produit nº 98-316-X2021001 au catalogue de Statistique Canada [Jeu de données]. https://www12.statcan.gc.ca/census-recensement/2021/dp-pd/prof/index.cfm?Lang=F. Consulté en septembre 2025

St-Pierre, L. (2021). Les évaluations d'impact en contextes autochtones : Pistes prometteuses de réflexion et d'amélioration pour les évaluations d'impact sur la santé. Centre de collaboration nationale sur les politiques publiques et la santé. Consulté en septembre 2025

VEI-WSP. (2024). Rapport Addenda—Impacts et bénéfices socioéconomiques par communauté. https://www.lagrandealliance.quebec/wp-content/uploads/2024/04/Addenda_Rapport_v2.0_2024-03-31.pdf. Consulté en septembre 2025

Vinet-Lanouette, C., & Godin, C. (2017). Access to nutritious food basket in Eeyou Istchee (p. 51). https://www.creehealth.org/sites/default/files/NFB%20Report%202016%20FINAL.pdf. Consulté en septembre 2025

WSP. (2024). La grande alliance, étude de préfasabilité Phases 2-3. Note technique 3 Utilisation du territoire. Consulté en septembre 2025

CARTES

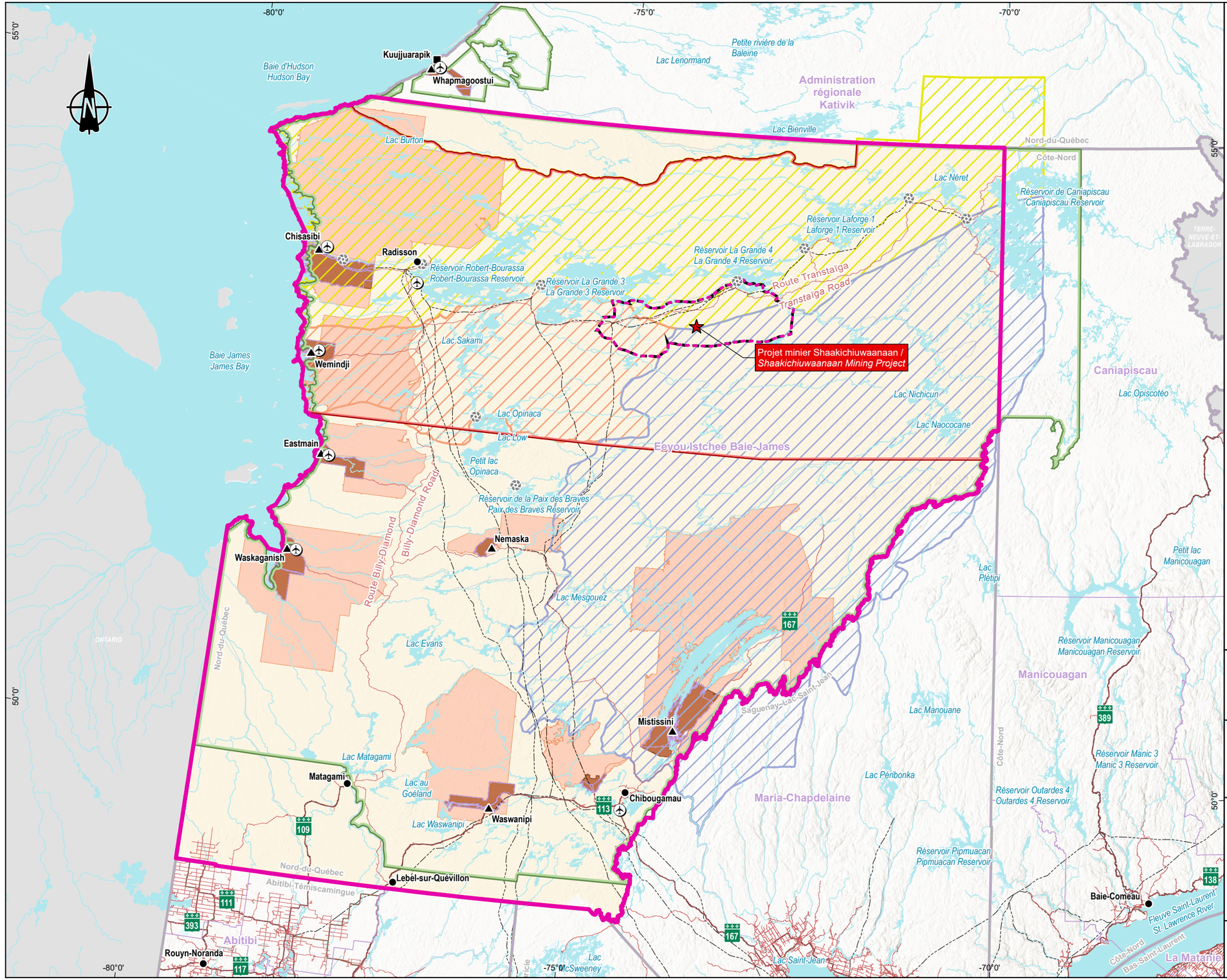

Projet / *Project*

Projet minier Shaakichiuwaanaan / *Shaakichiuwaanaan Mining Project*

Zones d'étude / *Study Areas*

Régionale - Humain / *Regional - Human*

Locale - Humain / *Local - Human*

Repères géographiques / *Geographical Landmarks*

Communauté crie / *Cree community*

Village inuit / *Inuit village*

Municipalité / *Municipality*

Terrains de trappage des communautés cries / *Cree Community Traplines*

Chisasibi

Mistissini

Wemindji

Infrastructures / *Infrastructure*

Aéroport / *Airport*

Centrale hydroélectrique / *Hydroelectric generating station*

Ligne de transport d'énergie / *Electric power transmission line*

Réseau routier / *Road Network*

Route nationale / *National road*

Route régionale / *Regional road*

Autre / *Other*

Limites / *Boundaries*

Municipalité régionale de comté (MRC) et Territoires autochtones / *Regional County Municipality (RCM) and First Nations Territories*

Territoire d'application du régime de protection de l'environnement et du milieu social (chap. 22, CBJNQ) / *Territory covered by the environmental and social protection regime (chap. 22, JBNQA)*

Terres de catégorie (CBJNQ) / *Category Lands (JBNQA)*

Terres de catégorie I / *Category I lands*

Terres de catégorie II / *Category II lands*

Terres de catégorie III / *Category III lands*

Projet minier Shaakichiuwaanaan /
Shaakichiuwaanaan Mining Project

Rapport sectoriel - Impacts sur la santé /
Sectoral Report - Health Impacts

Carte 1 / *Map 1*
Zone d'étude régionale - Milieu humain / *Regional Study Area - Human Environment*

Sources

SDA, 1/20 000, MRNF, 2024-02
RNCan, Frontières géopolitiques, 2002 / CBJNQ, Chap. 22, 1975
Canvec, 1/250 000, 1/5 000 000 et 1/15 000 000, RNCan, 2019
BDGA, 1/1 000 000, MRN Québec, 2014 / BDGA, 1/5 000 000, MRNF Québec, 2010
AQréseau+, réseau routier, MERN, 2024-03-01 / Bail de villégiature, MERN, mars 2021
FTGQ, MRNF Québec, 2010 / Réseau aéroportuaire, MTQ, 2024
Cree Trappers Association, 2018 / Contraites et restrictions, GESTIM, 2022

0 32,5 65 km

NAD 1983 Quebec Lambert

2026-03-18

Préparation / Prepared by : M. Lachance
Dessin / Drawn by : J. Roy
Approbation / Approved by : M-H. Brisson
CA0001724_3318_eie_sc_impact_sante_260205.aprx
CA0001724_3318_eie_sc_imp_sante_c01_099_inv_hum_reg_260317

La précision des limites et les mesures montrées sur ce document ne doivent pas servir à des fins d'ingénierie ou de délimitation foncière. Aucune analyse foncière n'a été effectuée par un arpenteur-géomètre. /
Boundary accuracy and measurements shown on this document are not intended for engineering or land delineation purposes. No land analysis has been performed by a land surveyor.

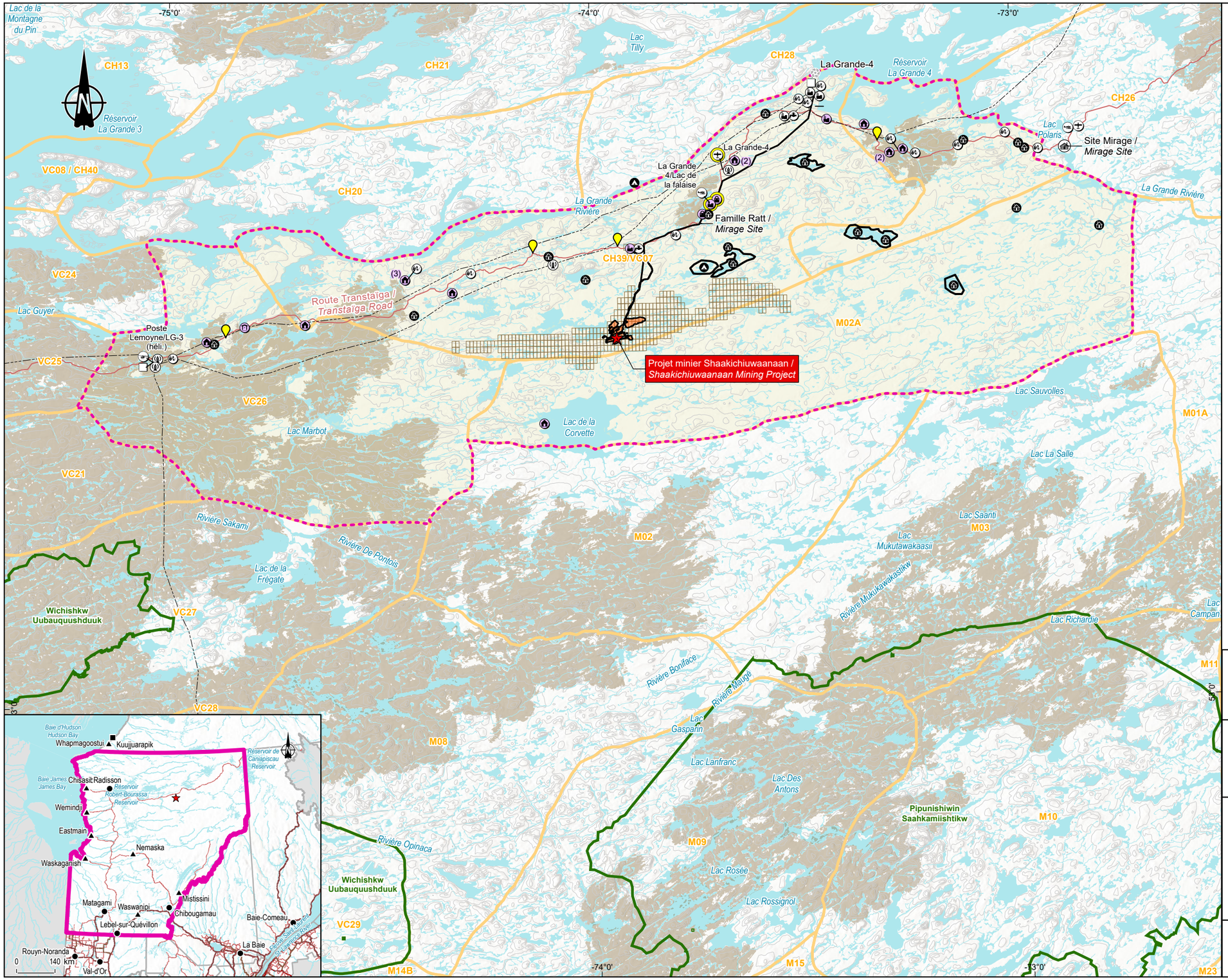

Zones d'étude / *Study Areas*

- Projet / *Project*
- Régionale - Humain / *Regional - Human*
- Locale - Humain / *Local - Human*

Repères géographiques / *Geographical Landmarks*

- Communauté crie / *Cree community*
- Village inuit / *Inuit village*
- Municipalité / *Municipality*

Camps et installations / *Camps and Facilities*

- Camp cri permanent / *Cree permanent Camp*
- Campement cri temporaire / *Cree temporary camp or campsite*
- Autre type de camp / *Other camp type*
- Prélèvement d'eau potable autorisé par le MELCCFP / *Drinking water withdrawal authorized by the MELCCFP*
- Aire de camps et de campements / *Camps and campsites area*

Contamination des sols / *Soil contamination*

- Site listé au Répertoire des terrains contaminés (RTC) du MELCCFP / *Site listed in the Contaminated Sites Directory (RTC) of the MELCCFP*

Feux de forêt / *Forest Fires*

- Feux 2023 / *2023 fires*

Limites / *Boundaries*

- Projet d'aire protégée / *Proposed protected area*
- Titres miniers Ressources PMET inc. / *PMET Resources mining titles*
- Terrain de trappage / *Trapline*

Infrastructures / *Infrastructure*

- Aérodrome / *Aerodrome*
- Hydroaérodrome / *Hydroaerodrome*
- Héliport / *Heliport*
- Bâtiment industriel / *Industrial building*
- Tour de télécommunication / *Telecommunication tour*
- Centrale hydroélectrique / *Hydroelectric power plant*
- Poste électrique / *Electrical substation*
- Site d'extraction ouvert / *Open extraction site*
- Ligne de transport d'énergie / *Electric power transmission line*

Baux de location / *Leases*

- Fins de villégiature / *Leisure purpose*
- Fins commerciales / *Commercial purpose*
- Fins industrielles / *Industrial purpose*
- Fins municipales / *Municipal purpose*

Réseau routier / *Road Network*

- Route collectrice municipale / *Municipal collector road*

Projet minier Shaakichiuwaanaan / *Shaakichiuwaanaan Mining Project*

Rapport sectoriel - Impacts sur la santé / *Sectoral Report - Health Impacts*

Carte 2 / *Map 2*
Inventaire du milieu humain dans la zone d'étude locale / *Inventory of the Human Environment in the Local Study Area*

Sources / Sources

SDA, 1/20 000, MERN, 2024-02 / CanVec+, 1/50 000, RNCan, 2014
CanVec, 1/250 000, RNCan, 2017 / BDGA, 1/1 000 000, MRN Québec, 2014
MELCCFP, Prélèvements d'eau depuis 2014, 2024 / Baux, MERN, mars 2021
AQréseau+, réseau routier, MERN, 2024-03-01 / MTMD, Aéroports 2024-05-28
Cree Trappers Association, 2018 / Le Groupe Nippour, 2013-05
ArcheoConsultant, Zones de potentiels archéologiques, 2025
GESTIM, MERN, 2021-09-11 / MTQ, Réseau aéroportuaire, 2024
MELCCFP, Répertoire des terrains contaminés (RTC), 2025 / MELCCFP, Feux de forêt, 2024

0 6 12 km

UTM, fuseau 18, NAD83 (CSRS)

2026-03-18

Préparation / Prepared by : M. Lachance
Dessin / Drawn by : J. Roy
Approbation / Approved by : M-H. Brisson
CA0001724_3318_eie_sc_impact_sante_260205.aprx
CA0001724_3318_eie_sc_imp_sante_c02_100_inv_hum_locale_260318

La précision des limites et les mesures montrées sur ce document ne doivent pas servir à des fins d'ingénierie ou de délimitation foncière. Aucune analyse foncière n'a été effectuée par un arpenteur-géomètre. / Boundary accuracy and measurements shown on this document are not intended for engineering or land delineation purposes. No land analysis has been performed by a land surveyor.

ANNEXE

6-25 CIRCULATION

RESSOURCES PMET INC.

PROJET MINIER SHAAKICHIUWAANAAN

RAPPORT SECTORIEL – CIRCULATION

EEYOU ISTCHEE BAIE-JAMES

DÉCEMBRE 2025

CONFIDENTIEL

RÉFÉRENCE WSP : CA0001724.3318

VERSION FINALE

RESSOURCES PMET INC.

PROJET MINIER SHAAKICHIUWAANAAN

RAPPORT SECTORIEL – CIRCULATION

EEYOU ISTCHEE BAIE-JAMES

VERSION FINALE
CONFIDENTIEL

RÉFÉRENCE WSP : CA0001724.3318

DÉCEMBRE 2025

WSP CANADA INC.
11E ÉTAGE
1600, BOULEVARD RENÉ-LÉVESQUE OUEST
MONTRÉAL (QUÉBEC) H3H 1P9
CANADA

TÉLÉPHONE : +1-514-340-0046
TÉLÉCOPIEUR : +1-438-843-8111

WSP.COM

SIGNATURES

PRÉPARÉ PAR

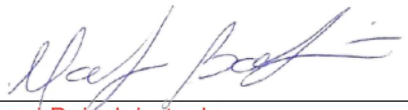

Normand Boisclair, tech.
Chargé de projets, planification de la mobilité

5 décembre 2025
Date

RÉVISÉ PAR

Steve Careau, ing.
Chargé de projets, planification de la mobilité

5 décembre 2025
Date

LIMITATIONS

WSP Canada Inc. (« WSP ») a préparé ce rapport uniquement pour son destinataire Ressources PMET inc., conformément à la convention de consultant convenue entre les parties. Advenant qu'une convention de consultant n'ait pas été exécutée, les parties conviennent que les Modalités générales à titre de consultant de WSP régiront leurs relations d'affaires, lesquelles vous ont été fournies avant la préparation de ce rapport.

Ce rapport est destiné à être utilisé dans son intégralité. Aucun extrait ne peut être considéré comme représentatif des résultats de l'évaluation.

Les conclusions présentées dans ce rapport sont basées sur le travail effectué par du personnel technique, entraîné et professionnel, conformément à leur interprétation raisonnable des pratiques d'ingénierie et techniques courantes et acceptées au moment où le travail a été effectué.

Le contenu et les opinions exprimées dans le présent rapport sont basés sur les observations et/ou les informations à la disposition de WSP au moment de sa préparation, en appliquant des techniques d'investigation et des méthodes d'analyse d'ingénierie conformes à celles habituellement utilisées par WSP et d'autres ingénieurs/techniciens travaillant dans des conditions similaires, et assujettis aux mêmes contraintes de temps, et aux mêmes contraintes financières et physiques applicables à ce type de projet.

WSP dénie et rejette toute obligation de mise à jour du rapport si, après la date du présent rapport, les conditions semblent différer considérablement de celles présentées dans ce rapport; cependant, WSP se réserve le droit de modifier ou de terminer ce rapport sur la base d'informations, de documents ou de preuves additionnels.

WSP ne fait aucune représentation relativement à la signification juridique de ses conclusions.

La divulgation de tout renseignement faisant partie du présent rapport relève uniquement de la responsabilité de son destinataire. Si un tiers utilise, se fie, ou prend des décisions ou des mesures basées sur ce rapport, ledit tiers en est le seul responsable. WSP n'accepte aucune responsabilité quant aux dommages que pourrait subir un tiers suivant l'utilisation de ce rapport ou quant aux dommages pouvant découler d'une décision ou mesure prise basée sur le présent rapport.

WSP a exécuté ses services offerts au destinataire de ce rapport conformément à la convention de consultant convenue entre les parties tout en exerçant le degré de prudence, de compétence et de diligence dont font habituellement preuve les membres de la même profession dans la prestation des mêmes services ou de services comparables à l'égard de projets de nature analogue dans des circonstances similaires. Il est entendu et convenu entre WSP et le destinataire de ce rapport que WSP n'offre aucune garantie, expresse ou implicite, de quelque nature que ce soit. Sans limiter la généralité de ce qui précède, WSP et le destinataire de ce rapport conviennent et comprennent que WSP ne fait aucune représentation ou garantie quant à la suffisance de sa portée de travail pour le but recherché par le destinataire de ce rapport.

En préparant ce rapport, WSP s'est fié de bonne foi à l'information fournie par des tiers, comme indiqué dans le rapport. WSP a raisonnablement présumé que les informations fournies étaient correctes et WSP ne peut donc être tenu responsable de l'exactitude ou de l'exhaustivité de ces informations.

Les bornes et les repères d'arpentage utilisés dans ce rapport servent principalement à établir les différences d'élévation relative entre les emplacements de prélèvement et/ou d'échantillonnage et ne peuvent servir à d'autres fins. Notamment, ils ne peuvent servir à des fins de nivelage, d'excavation, de construction, de planification, de développement, etc.

L'original du fichier électronique que nous vous transmettons sera conservé par WSP pour une période minimale de dix ans. WSP n'assume aucune responsabilité quant à l'intégrité du fichier qui vous est transmis et qui n'est plus sous le contrôle de WSP. Ainsi, WSP n'assume aucune responsabilité quant aux modifications faites au fichier électronique suivant sa transmission au destinataire.

Ces limitations sont considérées comme faisant partie intégrante du présent rapport.

CLIENT

RESSOURCES PMET INC.

Vice-présidente – Environnement et approbation	Cathryn Moffett

ÉQUIPE DE RÉALISATION

WSP CANADA INC. (WSP)

Directrice de projet	Marie-Hélène Brisson, biol.
Chargée de projet	Valérie Roy, biol., M.Sc., PMP®
Rédaction	Normand Boisclair, techn.
Révision	Steve Careau, ing.
Collaborateur	Jean-Philippe Bernard, CPI
Édition	Cathia Gamache, adjointe administrative

RÉFÉRENCE À CITER

WSP. 2025. Projet minier Shaakichiuwaanaan. Rapport sectoriel – Circulation. Eeyou Istchee Baie-James. Rapport produit pour Ressources PMET inc. Référence WSP : CA0001724.3318. 17 pages.

TABLE DES MATIÈRES

1 Situation actuelle 1
1.1 Mise en contexte 1
1.2 Réseau routier 2
1.3 Débits véhiculaires 2
1.3.1 15 au 21 mars 2025 3
1.3.2 1er au 7 mai 2025 5
1.4 Bilan de la situation actuelle 7

2 Situation projetée 9
2.1 Mise en contexte 9
2.2 Génération véhiculaire 9
2.3 Débits véhiculaires totaux projetés 13
2.4 Bilan de la situation projetée 15
2.5 Mesures d'atténuation 15

3 Conclusion 17

Tableaux

Tableau 1 Comparaison du nombre de véhicule sur la route Transtaïga sur une période de 24 heures et de 7 jours lors des périodes de comptages véhiculaires 7
Tableau 2 Étape 1 – Ventilation des types de véhicules par jour (période maximale) 10
Tableau 3 Étape 2 – Ventilation des types de véhicules par jour (période maximale) 11
Tableau 4 Étape 3 – Ventilation des types de véhicules par jour (période maximale) 12

Figures

Figure 1 Localisation du secteur à l'étude 2
Figure 2 Débits véhiculaires 24 heures, selon le jour de la semaine 3
Figure 3 Débits véhiculaires par période d'une heure, selon le jour de la semaine 4
Figure 4 Débits véhiculaires 24 heures, selon le jour de la semaine 5
Figure 5 Débits véhiculaires par période d'une heure, selon le jour de la semaine 6
Figure 6 Étape 1 – Moyenne journalière de véhicules sur le réseau routier 10

Figure 7 Étape 2 – Moyenne journalière de véhicules sur le réseau routier 11
Figure 8 Étape 3 – Moyenne journalière de véhicules sur le réseau routier 12
Figure 9 Débits véhicules totaux projetés par jour pour chacune des étapes 14

1 Situation actuelle

1.1 Mise en contexte

Ressources PMET Inc. (PMET) est une société d'exploration minière qui se concentre sur l'acquisition et le développement de projets miniers contenant des métaux de base et des métaux précieux. La société est propriétaire à 100 % de la compagnie Innova Lithium, laquelle détient 100 % de la propriété Shaakichiuwaanaan. PMET poursuit actuellement l'exploration et le développement de cette propriété et a débuté les études de terrain en 2022 avec l'objectif de compiler les études environnementales de base nécessaires pour compléter le processus d'évaluation environnementale auquel sera assujetti le développement du projet minier Shaakichiuwaanaan.

L'extraction projetée de spodumène de la propriété Shaakichiuwaanaan dans un mode d'exploitation hybride (fosse à ciel ouvert et exploitation souterraine) à un taux d'extraction supérieur à 5 kt/j est assujettie au régime d'évaluation provincial des impacts sur l'environnement et le milieu social applicable au territoire visé par la Convention de la Baie-James et du Nord québécois (CBJNQ) (sud du 55^{e} parallèle – via le Comité d'évaluation [COMEV] et le Comité d'examen [COMEX]) de même qu'à la procédure fédérale d'évaluation des impacts prévue en vertu de la *Loi sur l'évaluation d'impact* (L.C. 2019, ch. 28, art. 1).

Dans le cadre de ce projet, PMET a mandaté WSP Canada Inc. (WSP) afin de réaliser certaines études environnementales visant à documenter les conditions environnementales de base du milieu récepteur du projet. Ces études seront utilisées durant les processus d'évaluation et d'autorisation environnementales du projet; elles permettront d'évaluer les impacts environnementaux du projet et d'orienter les mesures d'atténuation requises pour en améliorer l'acceptabilité environnementale.

Afin de construire et d'exploiter la propriété Shaakichiuwaanaan, plusieurs véhicules lourds devront circuler à tous les jours sur la route Transtaïga, le seul chemin possible permettant de livrer le matériel sur place. La route Transtaïga permet de rejoindre la route Billy-Diamond, qui elle-même permet de rejoindre la région de l'Abitibi et la communauté de Chisasibi.

La présente étude vise à évaluer les impacts sur la route Transtaïga en lien avec l'augmentation attendue de la circulation de véhicules lourds.

La figure 1 présente les principaux points de repère dans le secteur à l'étude.

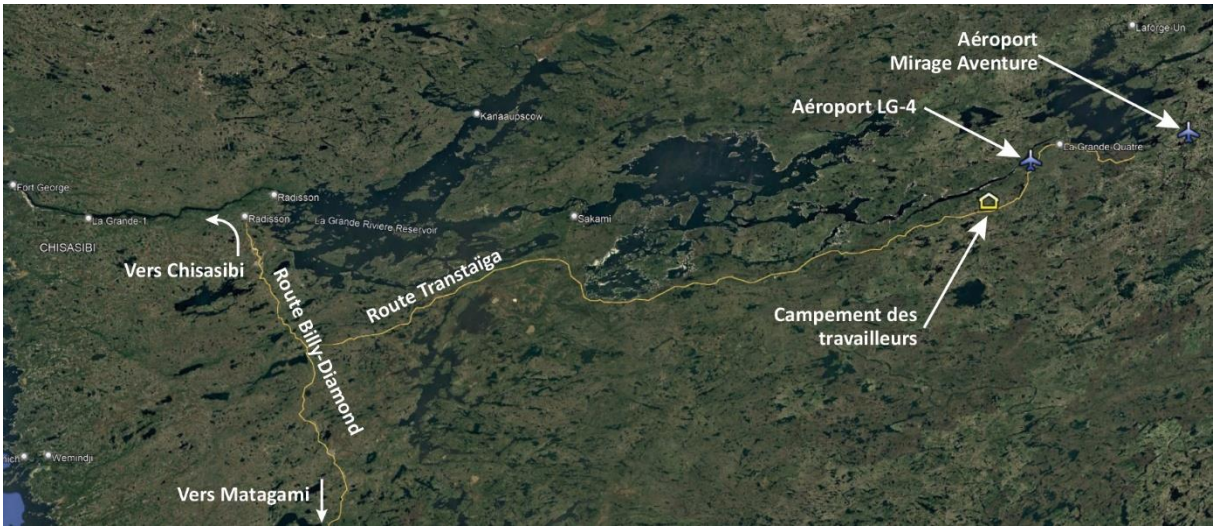

Source : Google Earth / Traitement : WSP (2025)

Figure 1 Localisation du secteur à l'étude

1.2 Réseau routier

La route Transtaïga est un chemin d'une longueur de près de 660 km, débutant à la route Billy-Diamond. L'accès au projet se fait approximativement à 268 km, là où est actuellement situé le camp des travailleurs du projet d'exploration. L'aéroport de La Grande-4 est pour sa part situé à environ 23 km de l'accès au projet. Un second aéroport, actuellement utilisé par les travailleurs, soit celui du site Mirage Aventure, est situé à environ 90 km du camp des travailleurs. Cette route a une largeur d'environ 9 m; elle peut être variable par endroits et n'est pas pavée. La route traverse une multitude de cours d'eau et sert principalement aux activités traditionnelles des Premières Nations dans le secteur, ainsi que d'accès aux ouvrages d'Hydro-Québec. La route est gérée par la Société de la Baie-James (SDBJ). Elle fût construite à l'origine afin de permettre la construction et l'entretien des installations d'Hydro-Québec.

Au niveau de la capacité véhiculaire de cette route, selon le *Highway Capacity Manual*, une route dont la vitesse affichée est de 50 km/h a une capacité de 1 400 à 1 600 véhicules/voies/heure en circulation libre, et entre 1 900 et 2 200 véhicules/voies/heure pour une vitesse affichée de 70 km/h. Mais cette capacité peut être moindre selon le type de route et son état, ou encore être affectée ponctuellement par les conditions météorologiques. En considérant que la route Transtaïga n'est pas pavée, la capacité théorique de la route peut être de quelques centaines de véhicules à l'heure dans chaque direction.

1.3 Débits véhiculaires

Afin de déterminer les débits véhiculaires existants sur la route Transtaïga, des comptages par caméra, sur une période de 7 jours consécutifs, et 24 heures par jour, ont été effectués à deux moments, soit :

- entre le 15 et le 21 mars 2025;
- entre le 1er et le 7 mai 2025.

Le comptage a eu lieu au niveau du campement des travailleurs actuel du projet d'exploration, situé en bordure de la route Transtaïga, approximativement à 270 km à l'est de la route Billy-Diamond et à près de 40 km à l'ouest du barrage La Grande-4 (LG-4). Les comptages ont été classifiés selon les types de véhicules (voitures/camionnettes, ou véhicules lourds 3 essieux ou plus – camions cubes/semi-remorques), par période de 15 minutes.

1.3.1 15 au 21 mars 2025

La période du 15 au 21 mars 2025 se veut une période où la circulation est relativement normale, donc représentative de la circulation empruntant habituellement la route Transtaïga. La figure 1 présente les données recueillies selon différentes variables.

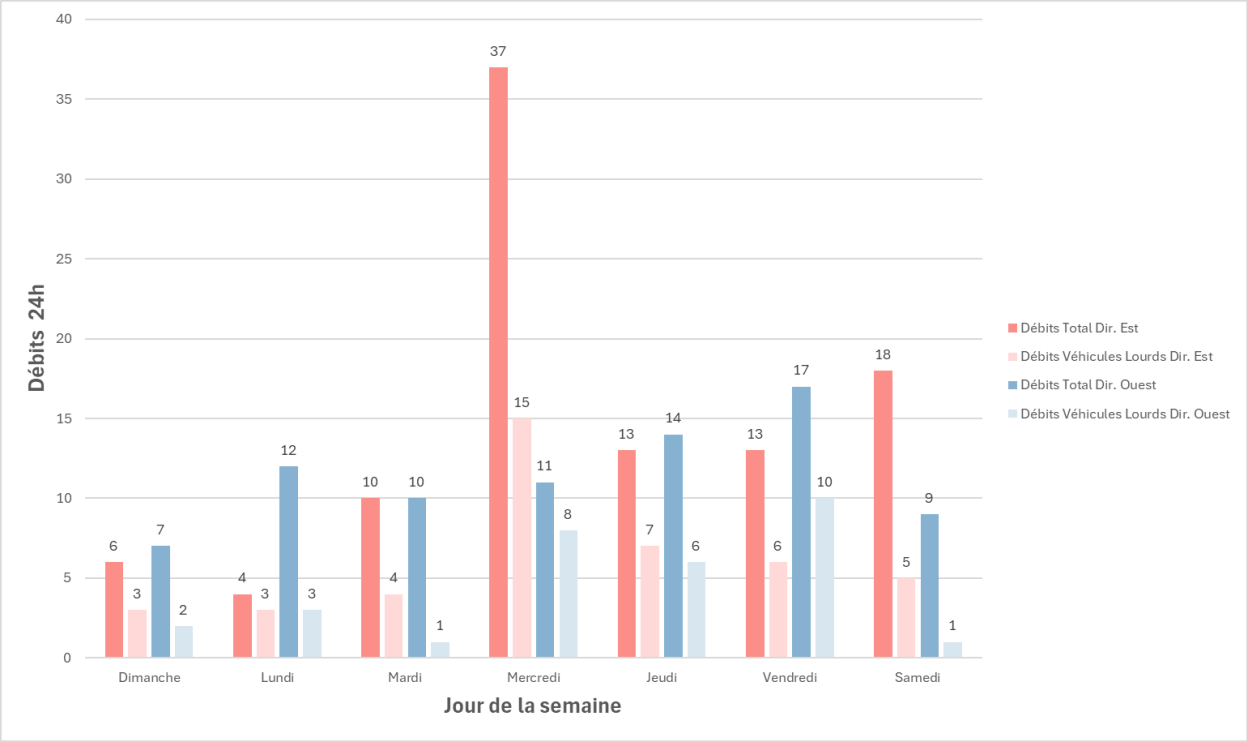

Traitement : WSP (2025)

Figure 2 Débits véhiculaires 24 heures, selon le jour de la semaine

Le comptage effectué durant cette période permet d'établir les constats suivants :

- Un total de 181 véhicules dans les deux directions, dont 74 véhicules lourds (41 %), ont circulé sur la route Transtaïga pendant la période de 7 jours.
- En semaine (du lundi au vendredi) dans les deux directions, 141 véhicules ont circulé sur la route, dont 63 véhicules lourds (45 %).
- La direction la plus achalandée est la direction est avec 77 véhicules (45 % de véhicules lourds) du lundi au vendredi et 101 véhicules sur la période de 7 jours (43 % de véhicules lourds).
- La journée la plus achalandée fût le mercredi, avec un total de 48 véhicules, dont 23 véhicules lourds (48 %). La direction la plus achalandée est la direction est avec 37 véhicules, dont 15 véhicules lourds (41 %).

La figure 2 présente les débits véhiculaires selon chaque journée et par période d'une heure.

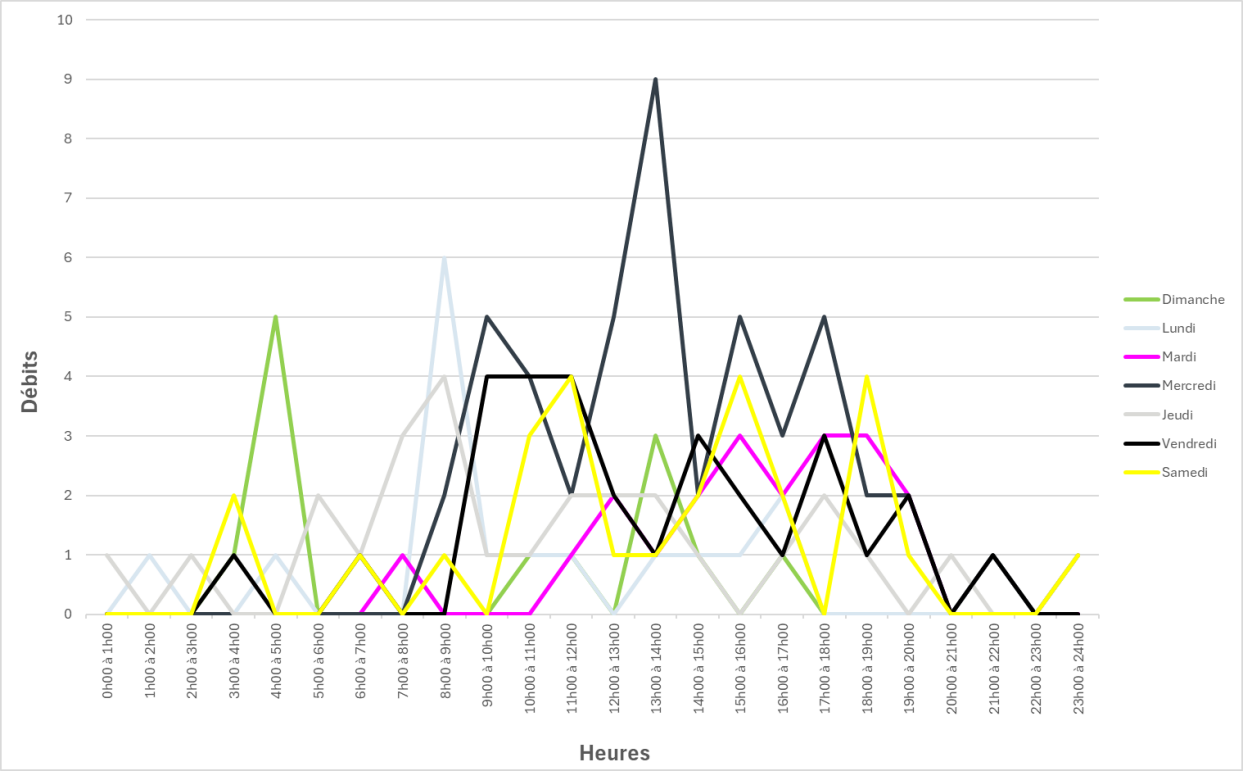

Traitement : WSP (2025)

Figure 3 Débits véhiculaires par période d'une heure, selon le jour de la semaine

Le comptage effectué durant cette période permet d'établir les constats suivants :

- La période la plus achalandée est le mercredi entre 13 h et 14 h.
- Peu de véhicules circulent chaque heure sur la route.
- La circulation véhiculaire se fait principalement entre 7 h et 19 h.

En résumé, les débits véhiculaires sont assez faibles, avec une pointe inférieure à 10 véhicules pendant une heure, directions est et ouest confondues, et un débit véhiculaire sur 24 heures inférieur à 40 véhicules. Il n'y a donc pas d'enjeux particuliers à mentionner quant à la circulation véhiculaire sur la route Transtaïga en considérant la capacité véhiculaire de la route, décrite à la section 1.2.

1.3.2 1er au 7 mai 2025

La période du 1er au 7 mai 2025 se veut une période où la circulation est en hausse en raison du « Goose Break », période importante pour les communautés cries. Les entreprises et les écoles sont fermées, afin de permettre à ces communautés de se déplacer au terrain pour la chasse. La figure 3 présente les données recueillies selon différentes variables.

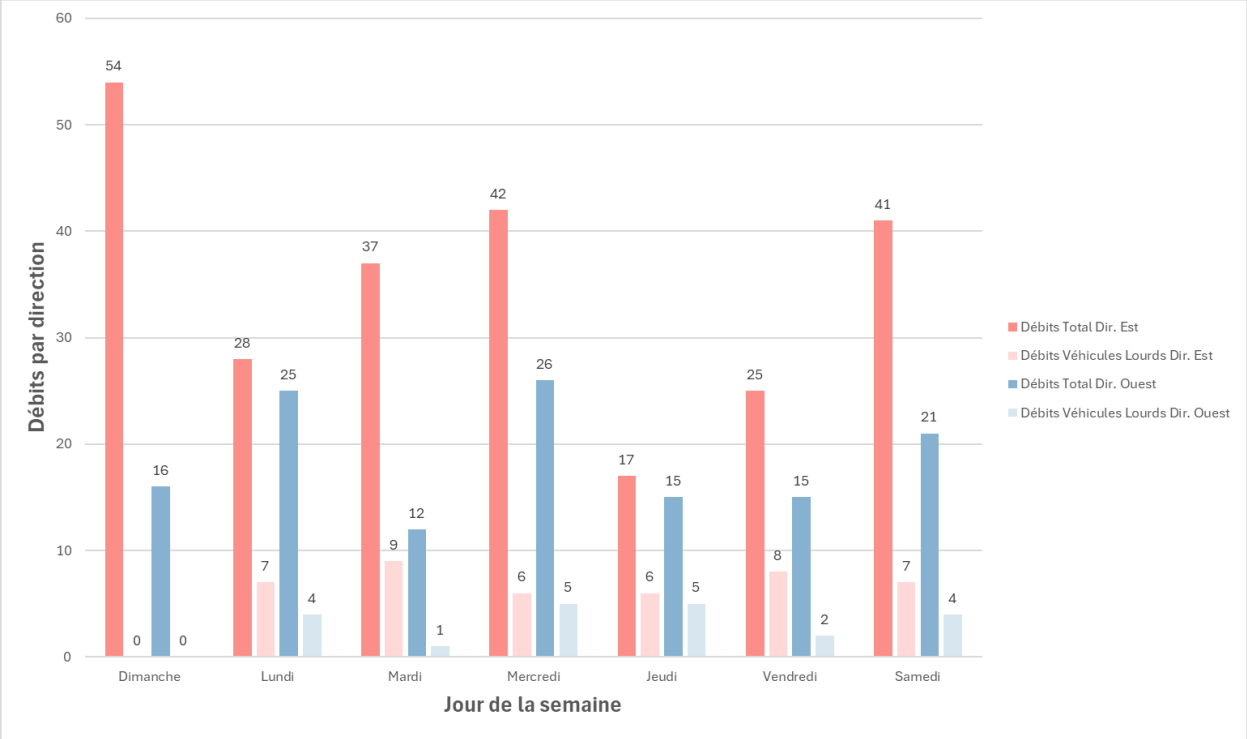

Traitement : WSP (2025)

Figure 4 Débits véhiculaires 24 heures, selon le jour de la semaine

Le comptage effectué durant cette période permet d'établir les constats suivants :

- Un total de 374 véhicules dans les deux directions, dont 64 véhicules lourds (15 %), ont circulé sur la route Transtaïga pendant la période de 7 jours.
- En semaine (du lundi au vendredi) dans les deux directions, 242 véhicules ont circulé sur la route, dont 53 véhicules lourds (22 %).

- Beaucoup de déplacements se font pendant la fin de semaine, soit 62 véhicules le samedi et 70 le dimanche. En revanche, seulement 11 véhicules lourds ont circulé le samedi et aucun le dimanche.
- La direction la plus achalandée est la direction est avec 149 véhicules (24 % de véhicules lourds) du lundi au vendredi et 244 véhicules sur la période de 7 jours (18 % de véhicules lourds).
- La journée la plus achalandée fût le dimanche avec un total de 70 véhicules. Cependant, le mercredi fût à toutes fins utiles identique, avec un total de 68 véhicules, dont 11 véhicules lourds (16 %). La direction la plus achalandée est la direction est avec respectivement 54 et 42 véhicules.

La figure 4 présente les débits véhiculaires selon chaque journée et par période d'une heure.

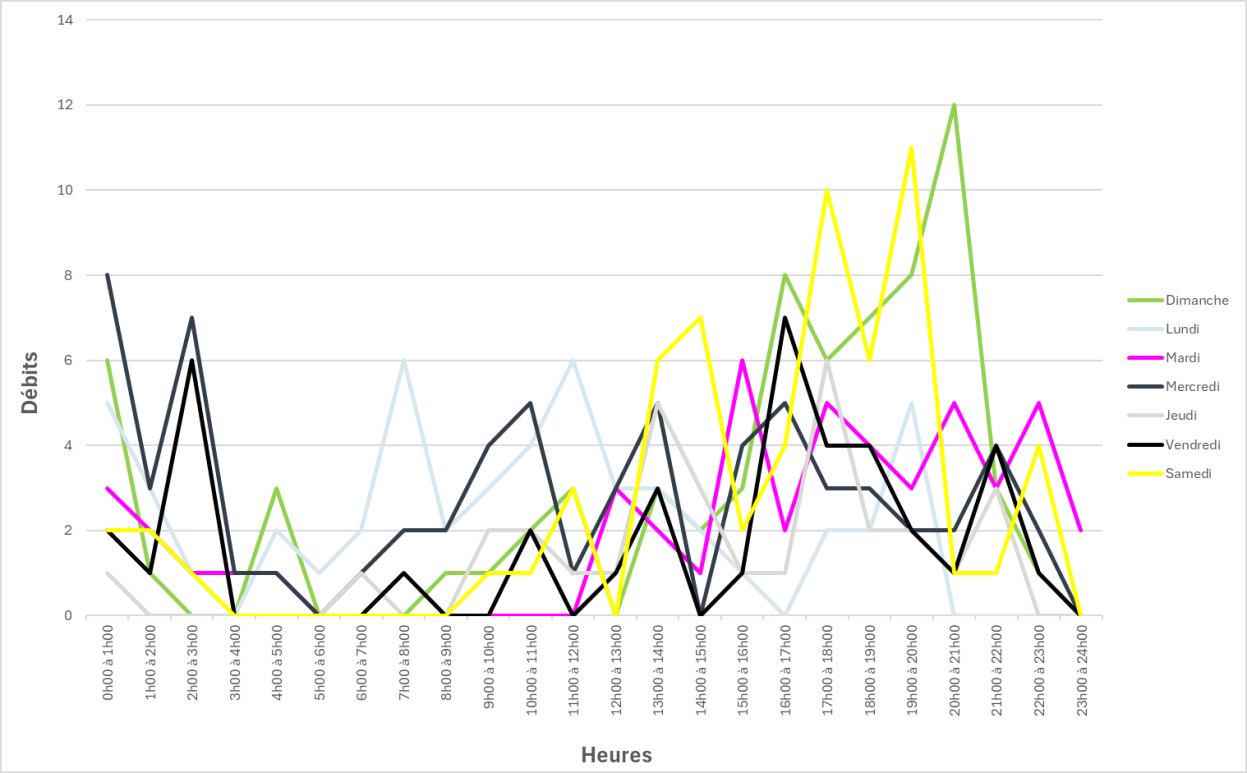

Traitement : WSP (2025)

Figure 5 Débits véhiculaires par période d'une heure, selon le jour de la semaine

Le comptage effectué durant cette période permet d'établir les constats suivants :

- Les périodes les plus achalandées sont la fin de semaine entre 17 h et 21 h.
- En semaine, entre 5 et 7 véhicules à l'heure, directions est et ouest combinées, circulent sur la route Transtaïga.

En résumé, bien que les débits véhiculaires soient plus élevés pendant le « Goose Break », la différence est davantage en lien avec la circulation de fin de semaine, où le total combiné des directions et des deux jours passent de 40 à 132 véhicules avec peu de véhicules lourds à ce moment. Cependant, les débits véhiculaires sont peu élevés et ne représentent pas un enjeu particulier dans la situation actuelle en considérant la capacité véhiculaire, décrite à la section 1.2.

1.4 Bilan de la situation actuelle

Les comptages effectués ont démontré qu'il y a peu de véhicules qui circulent sur la route Transtaïga actuellement. Au total, dans les deux directions, il y a eu au maximum 12 véhicules pendant une heure, et 54 pendant une journée entière (pendant le « Goose Break »), ce qui est loin de la capacité maximale pour ce genre de route. Il n'y a donc pas d'enjeux actuellement avec la circulation de véhicules sur la route Transtaïga, dont la capacité est de plusieurs centaines de véhicules par heure par direction.

Le tableau 1 présente un résumé du débit véhiculaire maximal observé lors des deux périodes de comptages effectués, sur une durée de 24 heures et de 7 jours, ainsi que le pourcentage de véhicule lourd ayant circulé à ce moment. On peut ainsi conclure que la circulation de véhicule lourds représente approximativement 40 % de la circulation dans les deux directions en situation normale, et que ce pourcentage diminue de façon marquée lors de la période du « Goose Break », considérant la hausse du nombre de véhicule de particuliers sur la route.

Tableau 1 Comparaison du nombre de véhicule sur la route Transtaïga sur une période de 24 heures et de 7 jours lors des périodes de comptages véhiculaires

Période de comptages	Débits maximum 24 h		Débit 7 jours	
	Direction Est	Direction Ouest	Direction Est	Direction Ouest
15 – 21 mars 2025	37 (41 %)	17 (59 %)	101 (43 %)	80 (39 %)
1er – 7 mai 2025	54 (0 %)	26 (19 %)	244 (18 %)	130 (16 %)

Traitement : WSP (2025)

2 Situation projetée

Afin de réaliser des analyses plus conservatrices, la période du « Goose Break » a été considérée comme étant la période maximale de circulation de véhicules sur la route Transtaïga.

2.1 Mise en contexte

Les travaux de construction du site devraient débuter en janvier 2028 et s'échelonner sur une période de 4 ans environ, soit jusqu'en décembre 2031. Ces travaux devraient comporter deux phases, soit :

- Phase 1 : Janvier 2028 à décembre 2029;
- Phase 2 : Juin 2030 à décembre 2031.

Pendant cette période, la livraison de matériaux de construction est prévue, de même que divers produits (nourritures, réactifs, ciment, diesel) en plus des employés, qui seront transportés en autobus depuis la communauté de Chisasibi et l'aéroport La Grande-4 ou l'aéroport du site Mirage Aventure. Les employés devraient résider au camp des travailleurs pendant une période de 14 jours avant de quitter pour une période équivalente. Une rotation est ainsi observée chaque semaine pendant toute la durée du projet.

Vers la fin de la phase 1 de la construction du site, l'exploitation et le transport du concentré devraient débuter en février 2030 et augmenter progressivement jusqu'à la fin de la phase 2, pour ensuite se maintenir jusqu'à l'été 2046, diminuant progressivement par la suite jusqu'à la fin de l'exploitation du site à l'été 2050.

Ainsi, les analyses de la situation projetée seront basées sur le maximum de la génération véhiculaire selon les deux phases de travaux ainsi que pendant la phase d'exploitation. Il est à noter que les débits existants sur la route Transtaïga seront conservés tels quels.

2.2 Génération véhiculaire

PMET a fourni une estimation de la génération véhiculaire pour le projet, débutant en janvier 2028 jusqu'en juillet 2050. Cette génération a été fournie pour chaque mois durant cette période. Afin de faire une analyse en lien avec les comptages réalisés, la génération a été ramenée sur une moyenne journalière, en considérant que les travaux et l'exploitation du site ont lieu en tout temps (7 jours par semaine). Les débits présentés ci-dessous considèrent le total des débits projetés entrants et sortants du site. La forte majorité de ceux-ci proviendront de l'est ou se dirigeront vers l'est, seuls les autobus provenant de l'aéroport proviendront ou se dirigeront vers l'ouest.

Afin de réaliser les analyses, la génération véhiculaire a été séparée en trois étapes distinctes, soit :

- Étape 1 - Phase 1 des travaux de construction, avant le début de l'exploitation : janvier 2028 à janvier 2030 :
  - Entre 3 et 12 véhicules par jour en moyenne devraient s'ajouter sur le réseau routier au cours de cette période, au total des entrants et des sortants du site. Le maximum est attendu en février et avril 2029, avec la circulation entre autres d'environ 7 véhicules transportant des matériaux de construction. La figure 6 présente la distribution pour chaque période de l'étape 1. Le tableau 2 présente la ventilation des véhicules selon le type de transport.

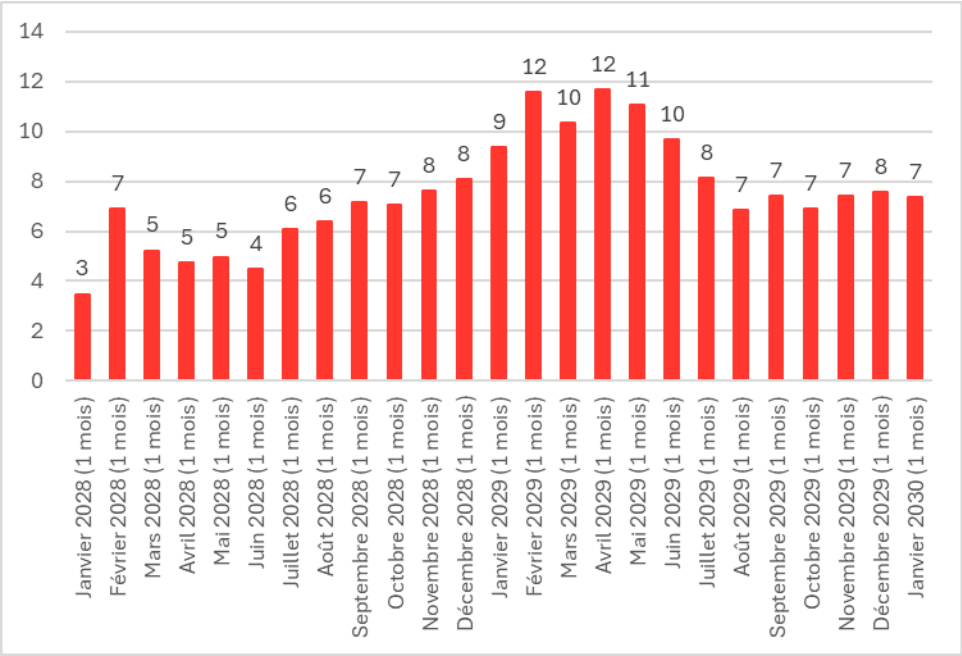

Traitement : WSP (2025)

Figure 6 Étape 1 – Moyenne journalière de véhicules sur le réseau routier

Tableau 2 Étape 1 – Ventilation des types de véhicules par jour (période maximale)

Type de transport	Origine / Destination	Étape 1
Équipement de construction / matériaux	Matagami	6,7
Consommable (nourriture/réactif/ciment/etc.)		0,7
Diesel		2,1
Gaz naturel – Chauffage		0,7
Concentré		0,0
Autobus (depuis et vers Chisasibi)	Chisasibi	0,3
Autobus (depuis et vers l'aéroport)	Aéroport LG-4	1,3
Total		**11,7**

Traitement : WSP (2025)

— Étape 2 - Phase 1 (février à mai 2030) et2 (juin 2030 à décembre 2031) des travaux de construction, incluant l'exploitation : février 2030 à décembre 2031 :

  - Entre 9 et 45 véhicules par jour en moyenne devraient s'ajouter sur le réseau routier au cours de cette période, au total des entrants et des sortants du site. Le maximum est attendu en janvier 2031, comprenant entre autres environ 30 véhicules servant au transport du concentré. La figure 7 présente la distribution pour chaque période de l'étape 1. Le tableau 3 présente la ventilation des véhicules selon le type de transport.

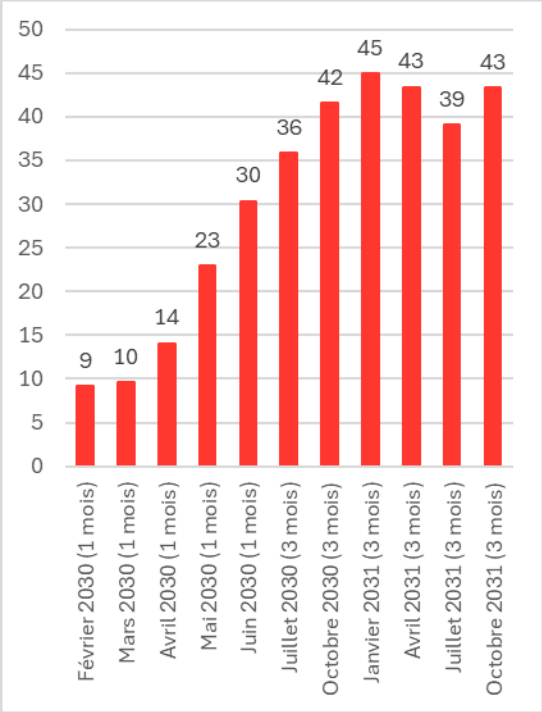

Traitement : WSP (2025)

Figure 7 Étape 2 – Moyenne journalière de véhicules sur le réseau routier

Tableau 3 Étape 2 – Ventilation des types de véhicules par jour (période maximale)

Type de transport	Origine / Destination	Étape 2
Équipement de construction / matériaux	Matagami	5,3
Consommable (nourriture/réactif/ciment/etc.)		1,1
Diesel		3,7
Gaz naturel – Chauffage		2,3
Concentré		30,0
Autobus (depuis et vers Chisasibi)	Chisasibi	0,7
Autobus (depuis et vers l'aéroport)	Aéroport LG-4	1,9
Total		**44,9**

Traitement : WSP (2025)

— Étape 3 - Période d'exploitation : janvier 2032 à juin 2050 :

1. Entre 7 et 71 véhicules par jour en moyenne devraient s'ajouter sur le réseau routier au cours de cette période, au total des entrants et des sortants du site. À compter de janvier 2033, l'ajout de véhicules sur le réseau routier sera relativement stable jusqu'à l'été 2046, avec près de 70 véhicules supplémentaires par jour. À compter de l'été 2046, une baisse des véhicules servant principalement au transport du concentré est attendue, jusqu'à la fin de l'exploitation à l'été 2050. La figure 8 présente la distribution pour chaque période de l'étape 1. Le tableau 4 présente la ventilation des véhicules selon le type de transport.

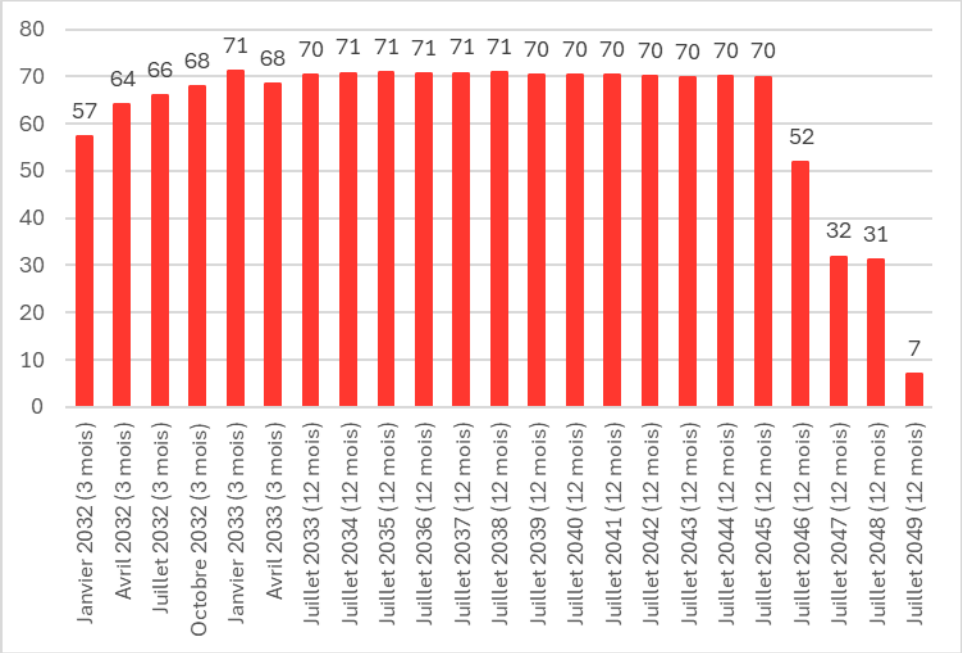

Traitement : WSP (2025)

Figure 8 Étape 3 – Moyenne journalière de véhicules sur le réseau routier

Tableau 4 Étape 3 – Ventilation des types de véhicules par jour (période maximale)

Type de transport	Origine / Destination	Étape 3
Équipement de construction / matériaux	Matagami	S. O.
Consommable (nourriture/réactif/ciment/etc.)		1,3
Diesel		4,5
Gaz naturel – Chauffage		4,0
Concentré		59,3
Autobus	Chisasibi	0,5
Autobus	Aéroport LG-4	1,3
Total		**71,1**

Traitement : WSP (2025)

Il est à noter que les débits présentés plus haut sont fournis sous forme de moyenne journalière, au total des entrées et des sorties du site. Il peut ainsi y avoir une variation en plus ou en moins, en fonction des journées où les différents types de véhicules qui se rendront ou quitteront le site (consommable, diesel, gaz et transport des employés par autobus).

Pour ce qui est des véhicules lourds permettant le transport du concentré, il est prévu approximativement 30 véhicules entrants et autant sortants par jour. Ramené sur une période de 24 heures, il y aurait en moyenne un peu plus d'un véhicule à l'heure dans chaque direction. Ainsi, en considérant les débits actuels à l'heure, dont le maximum est d'approximativement 10 véhicules à l'heure au total des deux directions, les débits véhiculaires demeureraient inférieurs à 15 véhicules pendant une heure.

2.3 Débits véhiculaires totaux projetés

Afin d'établir les débits véhiculaires projetés, les débits des comptages effectués et présentés à la section 1.3 sont utilisés, et additionnés à la génération véhiculaire projetée et présentée à la section 2.3. Afin de réaliser une analyse plus conservatrice, le maximum de débits véhiculaires observés lors d'un jour de semaine pendant la période du « Goose Break » sera utilisé. Ainsi, en considérant cette période, il y a un maximum de 42 véhicules qui circulent en direction est et 26 en direction ouest.

Comme présenté à la section précédente, la forte majorité des véhicules proviendront et se dirigeront vers l'est, soit vers la route Billy-Diamond, menant à Chisasibi et Matagami.

La figure 8 présente les débits véhiculaires projetés pour chacune des étapes. Ces débits ont été arrondis afin de faciliter la compréhension. Il est également considéré que pour chaque véhicule entrant sur le site un véhicule quitte le site.

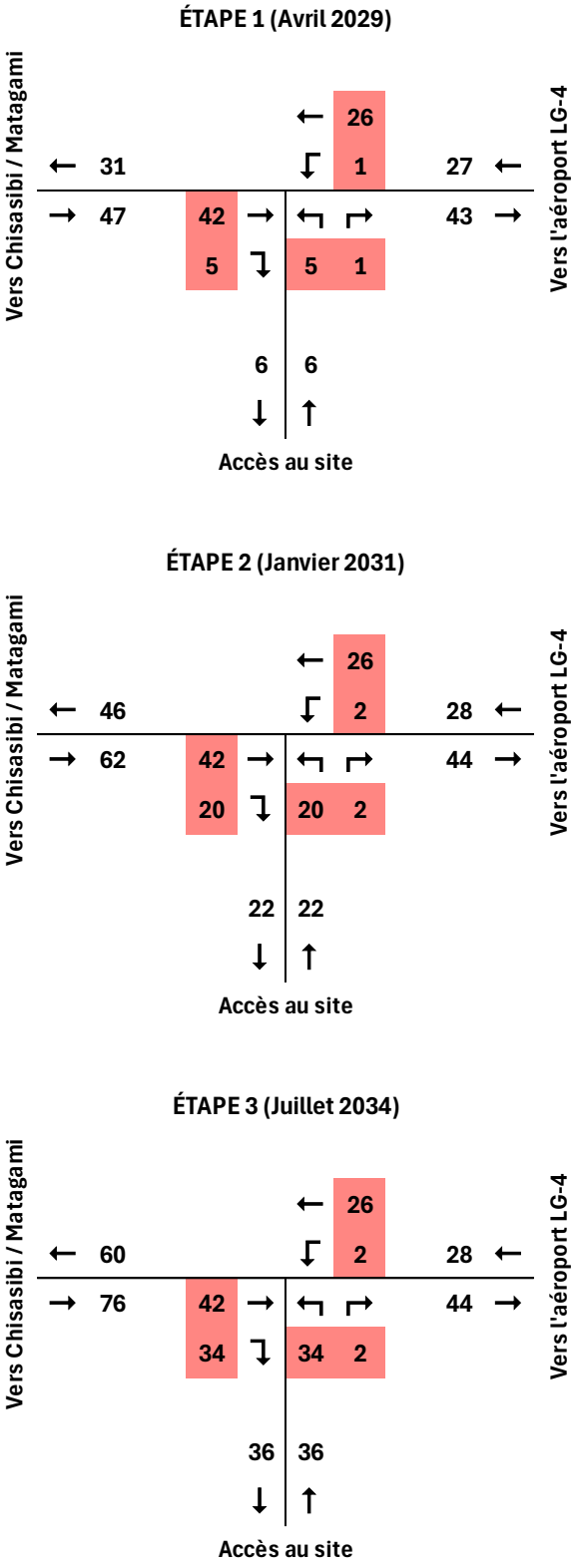

Traitement : WSP (2025)

Figure 9 Débits véhicules totaux projetés par jour pour chacune des étapes

2.4 Bilan de la situation projetée

Lors de l'étape 1, qui est une phase de construction du site exclusivement, les débits véhiculaires attendus quotidiennement sont relativement faibles, soit environ 6 véhicules entrants et sortants.

Pour l'étape 2, alors que l'exploitation du site débute en parallèle aux travaux de construction, une moyenne quotidienne de 22 véhicules entrants et sortants est attendue. Pour le tronçon entre la route Billy-Diamond et l'accès au site, ceci représente une hausse de près de 50 % en direction est, et de près de 75 % en direction ouest. Le débit total serait de 62 véhicules en direction est et 46 en direction ouest.

En ce qui concerne l'étape 3, qui est la phase principale d'exploitation, une moyenne quotidienne de 36 véhicules est attendue au site en entrées et en sorties, représentant sur la route entre la route Billy-Diamond et l'accès au site une hausse d'environ 80 % en direction est et de 131 % en direction ouest, soit plus du double de la situation actuelle. Le débit total serait de 76 véhicules en direction est et 60 en direction ouest.

Quant au tronçon à l'ouest de l'accès au site, seulement un ou deux autobus, une à deux fois par semaine, devraient s'ajouter aux débits existants, ce qui est négligeable. Ces autobus se rendent à l'aéroport La Grande 4. Aucun consommable ou autre matériau n'est prévu provenir de ce secteur.

Il est à noter que ces valeurs sont une moyenne, et qu'il peut y avoir une variation d'une journée à l'autre, en fonction en autre de la livraison des consommables, des employés et d'autres matériaux. De plus, ces débits sont basés sur une circulation pendant la période du « Goose Break », où il y a davantage de circulation sur la route Transtaïga. Ainsi, les valeurs présentées ci-dessus se veulent conservatrices.

2.5 Mesures d'atténuation

Comme le démontre les analyses des débits véhiculaires dans la situation actuelle, la route Transtaïga a un débit inférieur à la capacité théorique d'une route de ce type. Cependant, en fonction des usages de la route, certains inconvénients pourraient survenir. Ainsi, certaines mesures d'atténuation pourraient être mises en place afin de pallier ces inconvénients.

- Une surveillance de la qualité de la route pourrait être effectuée périodiquement, de façon à repérer les dommages à la structure de la route, entre autres les nids-de-poule et les ornières. La période de dégel peut être un moment particulièrement propice aux dommages pouvant être causés à la route.
- La circulation des véhicules lourds en convoi, soit quelques camions qui effectuent le trajet en même temps, pourrait permettre de diminuer la fréquence d'utilisation de la route. Cette mesure pourrait également permettre d'améliorer la sécurité des conducteurs, puisque celui-ci ne serait jamais seul si un problème survient (problème mécanique, accident, etc.). En revanche, une telle mesure peut créer un enjeu pour les conducteurs des véhicules plus rapides, qui pourraient avoir à dépasser plusieurs véhicules lourds sur une courte distance.
- Les conducteurs de véhicules lourds devraient agir de manière à ne pas nuire à la circulation des véhicules plus rapides, par exemple en s'assurant de laisser ces véhicules les dépasser de manière sécuritaire et en respectant les limites de vitesses de la route.

- Le passage des véhicules pourrait engendrer du bruit et le soulèvement de la poussière. Des mesures d’atténuation spécifiques pour ces aspects pourraient être établies, par exemple, le respect strict des limitations de vitesse et l'installation de régulateurs de vitesse dans la flotte de camions.

3 Conclusion

La construction et l'exploitation du site de Shaakicchiuwaanaan auront lieu entre janvier 2028 et juillet 2050 approximativement. Les premières années permettront la construction des infrastructures nécessaires à l'exploitation du site. À compter de janvier 2032, les travaux d'aménagement devraient être terminés, et l'exploitation complète débutera à ce moment, jusqu'à atteindre un sommet à partir de janvier 2033 jusqu'à l'été 2046, où l'exploitation diminuera graduellement.

Les prévisions de débits véhiculaires pour le projet ont été présentées de manière détaillée pour chacune des phases d'évolution du site. Durant l'étape 1, consacrée exclusivement à la construction, le nombre moyen de véhicules quotidiens reste faible, avec environ 6 entrées et sorties. À l'étape 2, alors que débute l'exploitation en parallèle des travaux, ce nombre grimpe à une moyenne de 22 véhicules par jour, ce qui se traduit par une augmentation de la circulation sur le tronçon reliant la route Billy-Diamond à l'accès du site : ±50 % en direction est (total de 62 véhicules) et ±75 % en direction ouest (total de 46 véhicules). Lors de l'étape 3, associée à la pleine exploitation du site, le flux quotidien atteint 36 véhicules, avec des augmentations marquées de la circulation (±80 % est; ±131 % ouest), soit respectivement 76 et 60 véhicules selon la direction. À l'ouest de l'accès au site, l'ajout d'un ou deux autobus hebdomadaires à destination d'un aéroport situé à l'est du site (LG-4 ou Mirage Aventure) demeure négligeable.

Le maximum de véhicules circulation sur la route, pendant la troisième étape, est largement en dessous de la capacité d'une route du type de la route Transtaïga. Seulement pour le transport du concentré, pendant la troisième étape, il y aurait le passage d'un camion dans chaque direction toutes les 50 minutes approximativement, dans l'éventualité où la circulation se fait en continu pendant 24 heures. L'impact sur la circulation en tenant compte de cette situation est relativement faible, en considérant que la capacité de la route en termes de débits peut être de plusieurs centaines de véhicules à l'heure par direction.

Ainsi, l'enjeu de la circulation sur la route Transtaïga n'est pas lié aux débits véhiculaires, puisque ceux-ci demeureraient relativement faibles, avec un maximum de 136 véhicules par jour au total dans les deux directions, et probablement inférieur à 15 véhicules à l'heure la plus achalandée. Toutefois, des mesures d'atténuation pourraient être mises en place afin de pallier certains inconvénients découlant de la hausse de la circulation des véhicules lourds, en lien avec la chaussée, la conduite et l'environnement.

ANNEXE

6-26 ÉTUDE DU POTENTIEL ARCHÉOLOGIQUE

Archeo
consultant

ETUDE DE POTENTIEL ARCHÉOLOGIQUE

MÉTAUX DE BATTERIES PATRIOT INC. (INNOVA LITHIUM INC.)
PROJET MINIER SHAAKICHIUWAANAN (ANCIENNEMENT CORVETTE)
EEYOU ISTCHEE BAIE-JAMES, NORD-DU-QUÉBEC, QUÉBEC

2026-01-24

Final

ÉTUDE DE POTENTIEL ARCHÉOLOGIQUE

MÉTAUX DE BATTERIES PATRIOT INC. (INNOVA LITHIUM INC.) PROJET MINIER SHAAKICHIUWAANAN – (ANCIENNEMENT CORVETTE) EEYOU ISTCHEE BAIE-JAMES, NORD-DU-QUÉBEC, QUÉBEC

SOUMIS À :

Patriot Battery Metals

1801, McGill College

Montréal (Québec) H3A 1Z4, Canada

SOUMIS PAR :

Archéoconsultant inc.

4, 3e Rue Ouest

Saint-François-de-la-Rivière-du-Sud, Québec G0R 3A0

SIGNATURES

PRÉPARÉ ET VÉRIFIÉ PAR :

FRANÇOIS GUINDON, Ph. D.

Archéologue principal

Archéoconsultant inc.

Archéoconsultant inc.

4, 3e Rue Ouest

Saint-François-de-la-Rivière-du-Sud,
Québec, G0R 3A0

Telephone : (418) 409-7455

info@archeoconsultant.ca

www.archeoconsultant.ca

Page couverture : Inspection visuelle dans l'aire d'étude

SOMMAIRE EXÉCUTIF

Le mandat confié par Patriot Battery Metals Inc. (Innova Lithium Inc.) consistait à produire une étude de potentiel archéologique dans le cadre d'une étude d'impact provinciale et fédérale pour le projet minier Shaakichiuwaanan (anciennement Corvette), en Eeyou Istchee Baie-James.

La superficie de l'aire d'étude fait 76,5 km^2 et comprend la construction de diverses infrastructures, dont plusieurs scénarios alternatifs de haldes et une fosse à ciel ouvert qui empiètera en grande partie sur le lac Shaakichiuwaanan.

Résultats

L'aire d'étude a été subdivisée en 254 zones à potentiel archéologique autochtone, dont 248 zones à potentiel moyen (1,24 km^2) et cinq zones à potentiel fort (0,005 km^2). Toutes les zones à potentiel ont fait l'objet d'une validation lors de survols héliportés.

Le potentiel en milieu subaquatique est jugé faible à l'échelle de l'aire d'étude. Toutefois, une zone en milieu subaquatique (1,18 km^2), correspondant à la portion drainée du lac Shaakichiuwaanan, a tout de même été retenue. L'assèchement du lac sera une rare opportunité pour observer des objets isolés ayant pu couler au fond de l'eau. Ce type de pièce est rare, mais souvent en très bon état et de grande valeur patrimoniale, comme les quelques pirogues monoxyles et poteries autochtones complètes trouvées au Québec.

Le potentiel allochtone semble très faible en raison du manque de données spécifiques, mais des camps d'explorateurs, d'arpenteurs ou de prospecteurs pourraient tout de même être présents.

Risque d'impact

Soulignons que les sites archéologiques se trouvent généralement très près de la surface du sol. Tous les travaux au niveau du sol sont donc susceptibles de les affecter. Au total, 83 des zones à potentiel moyen, fort et en milieu subaquatique, seront directement impactées sur 0,60 km^2, par les infrastructures projetées du secteur 1. S'ajoutent sept zones liées aux scénarios alternatifs de haldes des secteurs 2 à 4 qui pourraient aussi être impactées, selon l'alternative qui sera retenue.

Recommandations

De façon générale, il est recommandé que les 254 zones à potentiel moyen, fort et en milieu subaquatique ne soient pas affectées par les travaux. Cependant, si ces espaces ne pouvaient être évités, des mesures d'atténuation devraient être mises en œuvre avant les travaux d'aménagement. Le client devrait alors mener deux démarches successives pour atténuer l'impact des travaux sur le patrimoine archéologique. Elles sont, dans l'ordre :

1) Inventaire manuel avec sondages à intervalles de 10 m et inspection visuelle minutieuse de toutes les zones impactées à potentiel moyen et fort.
2) Inspection visuelle du fond du lac Shaakichiuwaanan lors de son assèchement afin de vérifier si des objets (ex. pirogue, pot) s'y trouvent.

Ajoutons que tout changement aux plans du client, pour ce qui est des aménagements au niveau du sol, pourrait nécessiter des ajustements aux mesures proposées. Un archéologue devrait donc être consulté dans cette éventualité.

En cours de travaux, si des vestiges archéologiques étaient mis au jour fortuitement, les responsables devront immédiatement contacter l'autorité responsable et suivre les directives qui seront formulées. Toute découverte relative au patrimoine des Premières Nations devrait aussi être communiquée aux conseils des Premières Nations concernées et au Gouvernement de la Nation Crie. Un arrêt des travaux pourrait être envisagé advenant l'impossibilité de déplacer les activités à bonne distance des vestiges. Un plan d'action en contexte de découverte fortuite fait partie du dossier technique et pourra être consulté au besoin.

ÉQUIPE DE PRODUCTION

Archéoconsultant inc.

François Guindon, Ph. D.	Archéologue principal – chargé de projet
Édith Bergeron, B. Env., M. Sc.	Géomaticienne – géodatabase et cartographie
Jonathan Caron, B.A.	Technicien archéologue – recherche archivistique et documentaire

WSP Canada Inc.

Carl Martin, M. Sc.	Gestionnaire – Études d'impact nationales

Patriot Battery Metals inc.

Cathryn Moffett, B. Sc.	Directrice - Environnement
Èva Roy-Vigneault	Directrice Relations Communautaires & ESG

TABLE DES MATIÈRES

SOMMAIRE EXÉCUTIF iii
ÉQUIPE DE PRODUCTION v
TABLE DES MATIÈRES vi
LISTE DES ILLUSTRATIONS vii
LISTE DES CARTES vii
LISTE DES TABLEAUX vii
1. INTRODUCTION 1
1.1. Résumé du projet 1
1.2. Objectifs et portée de l'étude 1
1.3. Structure du rapport 1
2. MÉTHODOLOGIE 4
2.1. Recherche documentaire 4
2.2. Consultations avec les utilisateurs locaux 5
2.3. Constitution de la géodatabase 6
2.4. Analyse et hiérarchisation du potentiel archéologique 6
3. CONTEXTE ENVIRONNEMENTAL ET CULTUREL 9
3.1. Environnement 9
3.2. Histoire culturelle et patrimoine 13
4. ANALYSE DU POTENTIEL ARCHÉOLOGIQUE 18
5. CONCLUSION, RISQUE D'IMPACT ET RECOMMANDATIONS 19
5.1. Résultats 19
5.2. Risque d'impact 19
5.3. Recommandations 20
6. RÉFÉRENCES 21
ANNEXE A : LISTE DES ZONES À POTENTIEL 24
ANNEXE B : CARTES DES ZONES À POTENTIEL 43

LISTE DES ILLUSTRATIONS

Figure 1 Le lac Ojibway avant son drainage final et position du front glaciaire vers 8 000 AA (Veillette 1994) 12
Figure 2 Couvert végétal vers 6 000 et 4 000 AA (P. J. H. Richard et Grondin 2009) 13
Figure 3 Carte des postes de traite de la Compagnie de la Baie d'Hudson dans le nord du Québec (Archives of Manitoba 2023) 17

LISTE DES CARTES

Carte 1 Localisation et synthèse des connaissances 3
**Voir en annexe B pour les cartes du potentiel archéologique*

LISTE DES TABLEAUX

Tableau 1 Attributs retenus pour l'analyse du potentiel archéologique 7
Tableau 2 Détermination du niveau de potentiel archéologique 8

1. INTRODUCTION

WSP Canada Inc. a retenu les services d'Archéoconsultant inc. pour la production d'une étude de potentiel archéologique. La démarche est entreprise dans le cadre d'une étude d'impact provinciale et fédérale pour le projet minier Shaakichiuwaanan (anciennement Corvette), menée par Métaux de Batteries Patriot Inc. (Innova Lithium Inc.), en Eeyou Istchee Baie-James.

1.1. Résumé du projet

Le projet vise à aménager et exploiter une mine de lithium. Les infrastructures projetées incluent notamment une fosse à ciel ouvert qui empiètera sur le lac Shaakichiuwaanan, ainsi que des chemins et des haldes. Notons que plusieurs des emplacements de haldes sont des alternatives envisagées. L'ensemble des aménagements au niveau du sol sont susceptibles d'affecter l'état des vestiges archéologiques qui pourraient être présents.

1.2. Objectifs et portée de l'étude

L'aire d'étude fait environ 76,5 km^2 (carte 1). Elle est subdivisée en 4 secteurs répartis de la façon suivante :

- Secteur 1 : Mine et chemin principal
- Secteur 2 : Halde 1
- Secteur 3 : Halde 2
- Secteur 4 : Halde 3

Les secteurs de haldes sont des scénarios alternatifs en cours d'évaluation au moment de déposer le présent rapport.

L'étude permettra d'établir le niveau du potentiel archéologique et le risque d'impact sur le patrimoine archéologique dans l'aire d'étude. Le cas échéant, des mesures d'atténuation pourront être recommandées.

1.3. Structure du rapport

En plus de la présente introduction, le rapport inclut six chapitres. Le chapitre 2 présente la méthodologie employée pour l'analyse du potentiel archéologique. Le

chapitre 3 décrit le dossier de recherche documentaire par le biais d'un aperçu de l'histoire environnementale et culturelle de l'aire d'étude. Le chapitre 4 porte sur l'analyse du potentiel archéologique. Le chapitre 5 expose les conclusions, incluant une évaluation du risque d'impact et des mesures d'atténuation pour le patrimoine archéologique. Le dernier chapitre dresse la liste des références bibliographiques citées dans le rapport.

Un dossier numérique fourni avec le rapport contient le dossier technique complet, soit les documents d'archives les plus pertinents, les fichiers cartographiques vectoriels, les cartes et plans, les catalogues, un plan d'action en contexte de découverte fortuite, ainsi qu'une version PDF du présent rapport.

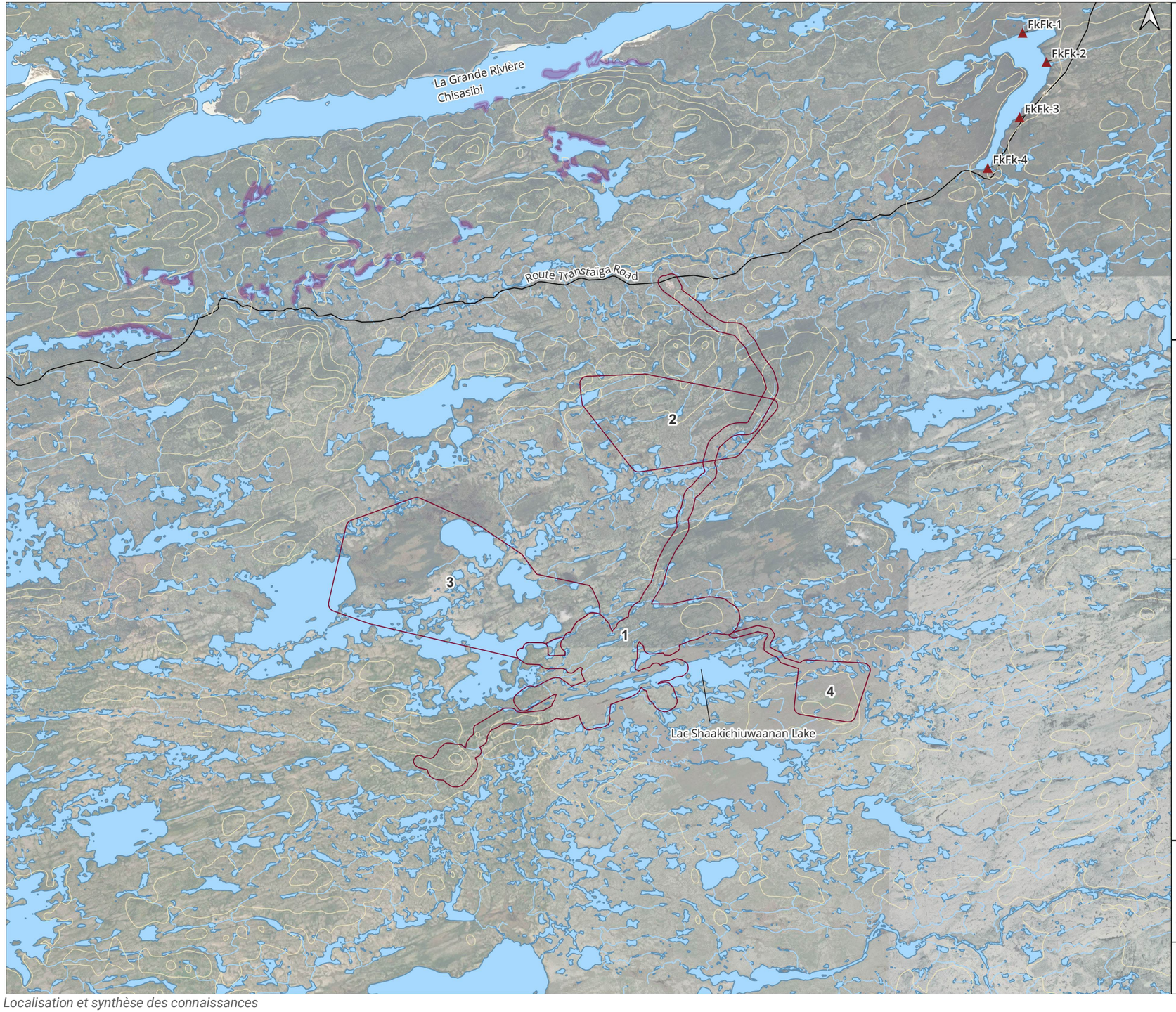

Métaux de Batterie Patriot Inc. (Innova Lithium Inc.)
Projet minier Shakichiuwaanan – anciennement Corvette

—

Patriot Battery Metals Inc. (Innova Lithium Inc.)
Shaakichiuwaanan – formerly Corvette, Mining Project

Eeyou Istchee Baie-James, Nord-du-Québec, Québec

Carte/Map 1
Étude de potentiel archéologique
Localisation et synthèse des connaissances archéologiques
Desktop Archaeological Potential Study
Survey Area and Synthesis of Archaeological Data

Aire d'inventaire/Survey Area
Secteur/Sector 1
Secteur/Sector 2
Secteur/Sector 3
Secteur/Sector 4

Zone d'information archéologique/
Area of Archaeological Information (Cérane 1990)

Site archéologique/Archaeological Site

Plan d'eau/Waterbody

Cours d'eau/Watercourse

Chemin/Road

Courbe de niveau/Contour Line

Sources
WSP Canada inc. 2023, Archéoconsultant 2024,
Ressources naturelles Canada/ Natural Resources Canada, Série CanVec/CanVec Series 2019, Google Satellite 2023, MCC 2024

0 4 8 km
NAD83 UTM 18N

E.Bergeron

2025-09-05

Archeo consultant

Carte 1 Localisation et synthèse des connaissances

2. MÉTHODOLOGIE

L'évaluation du potentiel archéologique consiste à définir la probabilité que des vestiges archéologiques soient présents dans un territoire donné. Cette estimation va au-delà des données obtenues par les recherches passées sur le terrain, puisqu'elle permet d'établir la probabilité que des vestiges qui n'ont pas encore été recensés soient présents. Dans le contexte du développement d'un projet, le risque d'impact sur le patrimoine archéologique peut alors être établi. Des mesures d'atténuation sont ensuite proposées, de façon à respecter les lois et les exigences des autorités publiques concernées. Notons que cette étude considère à la fois les espaces émergés et submergés.

L'étude a été réalisée en quatre grandes étapes, soit 1) la recherche documentaire, 2) la constitution d'une base de données géospatiales, 3) l'analyse et la hiérarchisation du potentiel archéologique et 4) la rédaction du rapport synthèse.

2.1. Recherche documentaire

Différentes sources ont été consultées afin de répertorier et localiser toutes les interventions archéologiques, études de potentiel archéologique, vestiges, aménagements et perturbations du secteur à l'étude. Ces informations ont été tirées des rapports, publications, cartes, plans, écrits et de l'iconographie disponible. Les informations relatives à l'entretien, à la rénovation et à la destruction d'aménagements, en plus de l'utilisation des lieux, ont aussi été retenues. L'ensemble des données pertinentes est synthétisé dans un tableau (dossier technique), afin de faciliter l'analyse du potentiel archéologique du secteur étudié.

Les sources suivantes ont été consultées :

- Documentation fournie par le client
- Bibliothèque numérique en archéologie
- Inventaire des sites archéologiques du Québec (ISAQ)
- Greffe de l'arpenteur général du Québec (GAGQ)
- Fonds d'archives de la BAnQ
- Fonds de Bibliothèque et Archives Canada (BAC)
- Archives de la Compagnie de la Baie d'Hudson

- Répertoire du patrimoine culturel du Québec
- Répertoires de la toponymie autochtone (Cris)
- Google Earth Pro: imagerie satellitaire (contemporain et passé récent)

Les informations relatives à l'environnement naturel contemporain et ancien ont aussi été recueillies afin de définir l'histoire environnementale de l'aire étudiée. Les connaissances obtenues participent à l'évaluation du potentiel archéologique, puisque les conditions environnementales peuvent influer sur le choix des emplacements occupés à travers le temps par les groupes humains.

Les sources suivantes ont été consultées pour documenter l'environnement naturel :

- Infrastructure géomatique ouverte (IGO2) données écoforestières
- Système d'information géominière (SIGÉOM)
- Répertoire des barrages du Centre d'Expertise hydrique du Québec (CEHQ)
- Publications sur l'histoire environnementale et l'environnement contemporain de l'aire d'étude.

2.2. Consultations avec les utilisateurs locaux

Soulignons également que le client a régulièrement rencontré le maître de trappage et sa famille depuis le début de l'année 2023 afin de discuter de divers aspects du projet et de leurs préoccupations. Parmi ses diverses réunions, certaines d'entre elles ont porté notamment sur l'utilisation traditionnelle des terres. Elles se sont concentrées particulièrement sur la zone du projet planifié et une zone d'environ 30 km autour de celle-ci. Une carte à grande échelle a été imprimée pour permettre aux membres de la famille de comprendre l'emplacement du projet prévu et de marquer les zones d'utilisation traditionnelle importantes sur une carte physique. À ce jour, plusieurs zones de pêche ont été identifiées, ainsi que le lieu de naissance et de sépulture de différents membres de la famille. Certaines zones de chasse à l'orignal et à l'oie ont été identifiées, de même que des sentiers de motoneige et des sources d'eau. La famille a aussi indiqué l'emplacement des campements utilisés actuellement et l'emplacement d'anciens camps. Des entrevues ont aussi eu lieu avec des organisations de gestion du territoire, comme le Cree Trappers Association. Aucune des zones identifiées ne se trouve directement dans la zone d'étude du projet ou dans la zone de développement prévue. Les membres de la communauté participent également activement aux travaux sur le terrain.

Une copie de l'ébauche du rapport d'étude archéologique leur a été présentée pour révision et commentaire. Plusieurs membres de la famille ont dirigé Patriot Battery Metals vers l'aîné Freddie Ratt afin qu'il puisse partager des histoires sur ce territoire.

L’agent de liaison cri, assigné au projet, a rencontré l'aîné, mais n’a pas documenté de lieu d’intérêt supplémentaire.

2.3. Constitution de la géodatabase

La base de données a été constituée à partir des résultats de la recherche documentaire. Elle a été centralisée à l’aide du logiciel QGIS, compatible avec AutoCAD, ArcGIS et MapInfo. Les couches d’informations géospatiales en lien avec les thématiques suivantes ont été produites lorsque les données étaient disponibles :

- Sites archéologiques et patrimoniaux connus
- Zones d’informations archéologiques (ZIA)
- Aménagements récents et autres perturbations (1950 à aujourd’hui)
- Aménagements anciens (avant 1950)

Notons que les aménagements anciens incluent les bâtiments, sites culturels, sites archéologiques et architecturaux significatifs, incluant des artefacts isolés, puisqu’ils peuvent influencer positivement le patrimoine archéologique (tableau 1). Quand les données sont suffisantes, un plan polyphasé est produit, synthétisant l’historique des aménagements anciens (avant 1950) et des aménagements récents (après 1950). Le document sert alors à l’analyse du potentiel archéologique. Cette situation ne s’applique toutefois pas à l’aire étudiée.

2.4. Analyse et hiérarchisation du potentiel archéologique

Le potentiel archéologique autochtone et allochtone a été analysé distinctement en raison des schèmes d’occupations qui varient entre les deux groupes. Les attributs retenus pour l’analyse sont présentés au tableau 1 et correspondent aux critères généralement utilisés en archéologie québécoise. Les données jugées favorables et défavorables à l’occupation de chacun des groupes ont été recoupées afin de proposer des zones à potentiel nul, faible, moyen et fort (tableau 2). Aucune mesure d’atténuation n'est généralement recommandée pour les zones avec un niveau de potentiel inférieur à moyen.

Un tableau synthèse des zones à potentiel présente ensuite les résultats d’analyse (annexe A). Ces résultats comprennent la superficie de la zone, les attributs identifiés, l’affiliation culturelle, ainsi que le niveau du potentiel. Chacune des zones est également identifiée par un numéro séquentiel unique. Une série de cartes de synthèse a aussi été produite (annexe B). Elles localisent chacune des zones et indiquent leur niveau de potentiel.

Un survol héliporté a également été mené sur le terrain du 14 au 16 septembre 2024 et du 22 juillet au 3 août 2025. Celui-ci visait à valider les analyses préliminaires du potentiel menées en bureau. Le survol comprenait un examen visuel des principales caractéristiques physiographiques (ex. drainage, topographie, vestiges en surface) des zones identifiées. Certaines zones d'intérêt particulier pouvaient également être visitées à pied afin de produire une inspection plus précise. Les observations permettaient de réviser les attributs de chaque zone, d'en réviser les limites et de revoir le niveau du potentiel.

Tableau 1 Attributs retenus pour l'analyse du potentiel archéologique

AUTOCHTONE		**ALLOCHTONE**	
Attributs favorables	**Attributs défavorables**	**Attributs favorables**	**Attributs défavorables**
• Zone patrimoniale connue • Site archéologique autochtone connu • Lieu d'occupation autochtone connu (site culturel, bâtiment et autre élément architectural) • Ressource animale ou végétale notable à proximité • Cours d'eau ou plan d'eau (actuel ou disparu) à proximité • Proximité d'un rapide ou d'une chute d'eau • Confluence de cours d'eau • Bon drainage du sol • Nature des sols • Topographie plane ou bombée • Proximité d'un portage connu • Géologie favorable pour l'acquisition de matières premières	• Perturbation du sol visible • Aménagement récent (après 1950) ou ancien du sol • Mauvais drainage du sol • Topographie irrégulière	• Site archéologique allochtone connu • Bâtiment ou zone patrimoniale connue • Aménagement ancien • Cours d'eau et plan d'eau à proximité (actuel ou disparu) • Proximité d'une voie de communication ancienne (ex. : chemin, télégraphe, voie ferrée, voie d'eau) • Relief régulier • Bon drainage du sol	• Absence de données historiques sur l'occupation • Perturbation ou aménagement récent du sol (après 1950)

Tableau 2 Détermination du niveau de potentiel archéologique

NIVEAU DU POTENTIEL	AUTOCHTONE	ALLOCHTONE
Nul	Perturbation du sol niant toute possibilité que des vestiges archéologiques soient présents	Perturbation du sol niant toute possibilité que des vestiges archéologiques soient présents
Faible	Un seul attribut favorable ou attributs défavorables majeurs ou informations incertaines	Un seul attribut favorable ou attributs défavorables majeurs ou informations incertaines
Moyen	Attributs favorables multiples en combinaison à des attributs défavorables	Attributs favorables multiples en combinaison à des attributs défavorables
Fort	Attributs favorables multiples dans un même espace ou site archéologique connu avec peu ou pas d'attributs défavorables	Attributs favorables multiples dans un même espace ou site archéologique connu avec peu ou pas d'attributs défavorables

3. CONTEXTE ENVIRONNEMENTAL ET CULTUREL

L'aire à l'étude a connu une succession d'événements qui ont façonné son patrimoine archéologique. Les principales composantes de cette histoire, présentée dans les pages qui suivent, incluent les changements à l'environnement naturel et aux sociétés qui ont occupé le territoire.

3.1. Environnement

L'histoire environnementale peut nous aider à comprendre les facteurs naturels qui ont influencé l'occupation humaine à travers le temps. Du même coup, ces données peuvent participer à estimer le potentiel archéologique de l'aire d'étude. L'environnement contemporain est d'abord présenté, pour ensuite passer à l'environnement ancien.

3.1.1. Environnement contemporain

La zone d'étude se situe dans la région écologique des Rivières Eastmain et Sakami (7 d) en Eeyou Istchee Baie-James. Elle se trouve plus précisément entre le lac de la Corvette au sud, La Grande Rivière au nord, le lac Magin à l'ouest et le lac Nochet à l'est. Elle est dominée par la pessière à lichens de l'ouest, qui est affectée par plusieurs brûlis récents et anciens. La faune inclut notamment le caribou, le lagopède, la bernache, le grand corégone, le doré, le touladi et le grand brochet. Le climat est de type subpolaire froid, avec une courte saison de croissance et des précipitations modérées. L'espace présente un relief de buttons et basses collines dont l'altitude varie entre 350 et 450 m au-dessus du niveau marin actuel (NMA) (Ministère de l'Environnement et de la Lutte contre les changements climatiques 2019; Ministère des Forêts, de la Faune et des Parcs 2025).

Les dépôts quaternaires sont généralement minces, d'origine glaciaire et très peu affectés par le développement (Ministère de l'Environnement et de la Lutte contre les changements climatiques 2019). On y recense la route Transtaïga et une aire aménagée sur 8 ha à la limite nord. L'ensemble est relié à un chemin ou sentier d'axe nord-sud. Le drainage semble généralement bon, malgré plusieurs aires humides, pour la plupart de faible envergure.

L'espace compte plusieurs cours d'eau et plans d'eau, mais tous sont d'importance secondaire. Aucun ne porte d'ailleurs de toponyme français ou anglais. Le principal plan d'eau se trouve à peu près au centre de l'aire d'étude et porte le toponyme cri Shaakichiuwaanan. Selon Ben Dixon, un travailleur cri affecté aux forages, le nom désigne une montagne aux environs du lac et signifierait « monter une colline ». Selon Erin Ratt,

un apparenté du tallyman, le lac aurait été le seul des environs à ne pas geler en hiver, facilitant ainsi la pêche hivernale. Il s'agit d'un lac poissonneux et aurait servi de refuge pour les familles lors de famines. Le réseau hydrographique associé aurait pu être utilisé par les Eeyouch et leurs ancêtres comme lien de communication entre le bassin du lac de la Corvette et La Grande Rivière. Cet ensemble est à bonne distance d'aménagements hydro-électriques, de sorte que les niveaux d'eau ne sont vraisemblablement pas affectés par l'activité humaine (Commission de toponymie du Québec 2003; Ministère de l'Environnement, de la Lutte contre les changements climatiques, de la Faune et des Parcs 2023).

Le socle rocheux recoupe plusieurs sous-ensembles géologiques de la province du Supérieur. Il s'agit notamment du groupe de Guyer, la formation de Magin, la suite de Bezier et la suite de Coates. Les principaux types de roches de ces ensembles sont l'amphibolite, le conglomérat, la tonalite, le tuf, le wacke et le mudrock. Plusieurs affleurements sont recensés dans l'aire d'étude et incluent des matériaux ayant pu être exploités par les Premières Nations. Il s'agit du basalte, mudrock, quartz, rhyolite, serpentine, siltstone et wacke (Ministère des Ressources naturelles et des Forêts 2025).

3.1.2. Environnement ancien

La dernière ère glaciaire du Wisconsinien prend fin avec l'amorce du retrait de la calotte glaciaire vers 10 000 ans avant aujourd'hui (AA) en Eeyou Istchee Baie-James. La côte est la première libérée, mais est toutefois immédiatement envahie par le lac proglaciaire Ojibway qui atteint un maximum de 460 m NMA, dans le sud de la région (figure 1). Vers 8 000 – 7 000 AA, la fonte du glacier provoque le drainage soudain du lac proglaciaire en permettant l'écoulement des eaux vers le nord. L'eau salée pénètre alors dans l'espace pour former la mer de Tyrrell. Elle atteint un maximum de 290 m à la longitude de la moraine de Sakami, vers le centre de la région. Le niveau marin s'abaisse ensuite graduellement et atteint la hauteur de LG-2 vers 7 600 – 6 500 AA, soit 175 m NMA. La fonte se poursuit jusque vers 6 000 – 4 000 AA, alors que le glacier du Nunavik, le dernier vestige de la calotte glaciaire, fond complètement. Le climat traverse alors l'Hypsithermal, soit l'épisode le plus chaud de l'Holocène (Beaulieu-Audy et al. 2009; Dyke 2004; Richard 1979; Roy et al. 2010; Veillette 1994).

L'évolution du niveau des eaux de l'intérieur du territoire est plus incertaine après la mer de Tyrell. Les données archéologiques des environs de EM-1 laissent entrevoir une altitude décroissante des sites à travers le temps. Cela pourrait s'expliquer par une régression du niveau des lacs et rivières. Les données climatiques suggèrent toutefois que le niveau des lacs et rivières aurait plutôt suivi le rythme de fluctuations climatiques mineures. Des épisodes plus froids et humides auraient entraîné des hausses alors que des épisodes chauds et secs seraient associés à des baisses. Deux épisodes sont particulièrement visibles sur le territoire. Le premier, après 3 200 AA, implique une hausse des lacs et rivières d'au moins 90 à 120 cm par rapport aux niveaux actuels. Le second a lieu vers 2 240 AA, alors que le niveau des eaux atteint 40 à 50 cm sous l'actuel. Ces

épisodes ont marqué le territoire en laissant des terrasses et rives érodées qu'on peut encore observer par endroits (Letendre 2015; Plourde 2015; Miousse et al. 2003).

Les terres nouvellement libérées des glaces et de l'eau étaient initialement sans végétation jusqu'à ce que la toundra (herbeuse puis arbustive) prenne forme. La phase d'afforestation a lieu entre 8 000 et 5 000 AA selon les latitudes de sorte que la taïga prend graduellement place selon un gradient nord-sud (figure 2). La végétation n'aurait toutefois fait son apparition à partir de la latitude de LG-2 que vers 5 600 AA. (Dyke 2005; Fréchette et al. 2018; Richard et Grondin 2009; Richard et al. 2020).

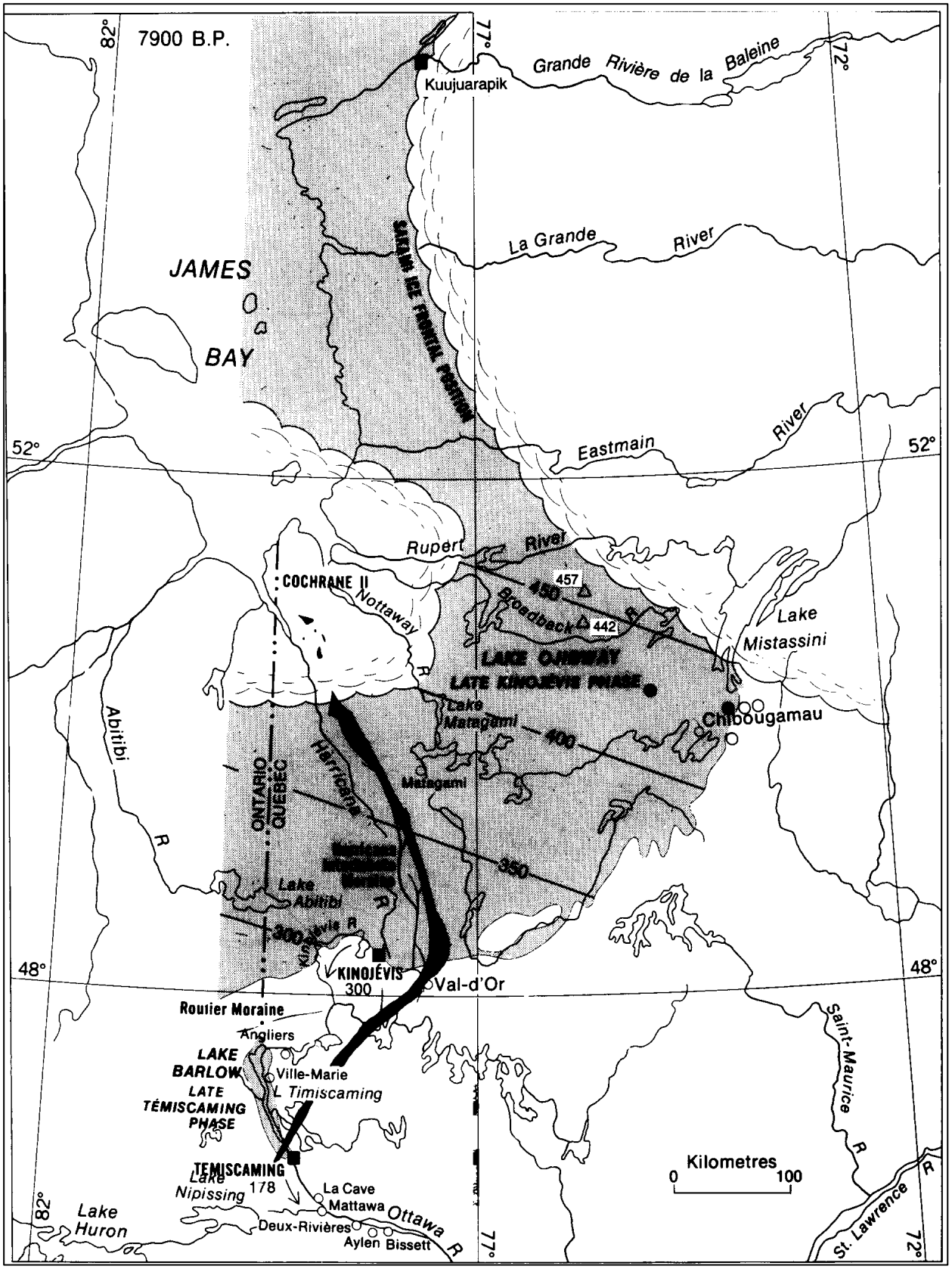

Figure 1 Le lac Ojibway avant son drainage final et position du front glaciaire vers 8 000 AA (Veillette 1994)

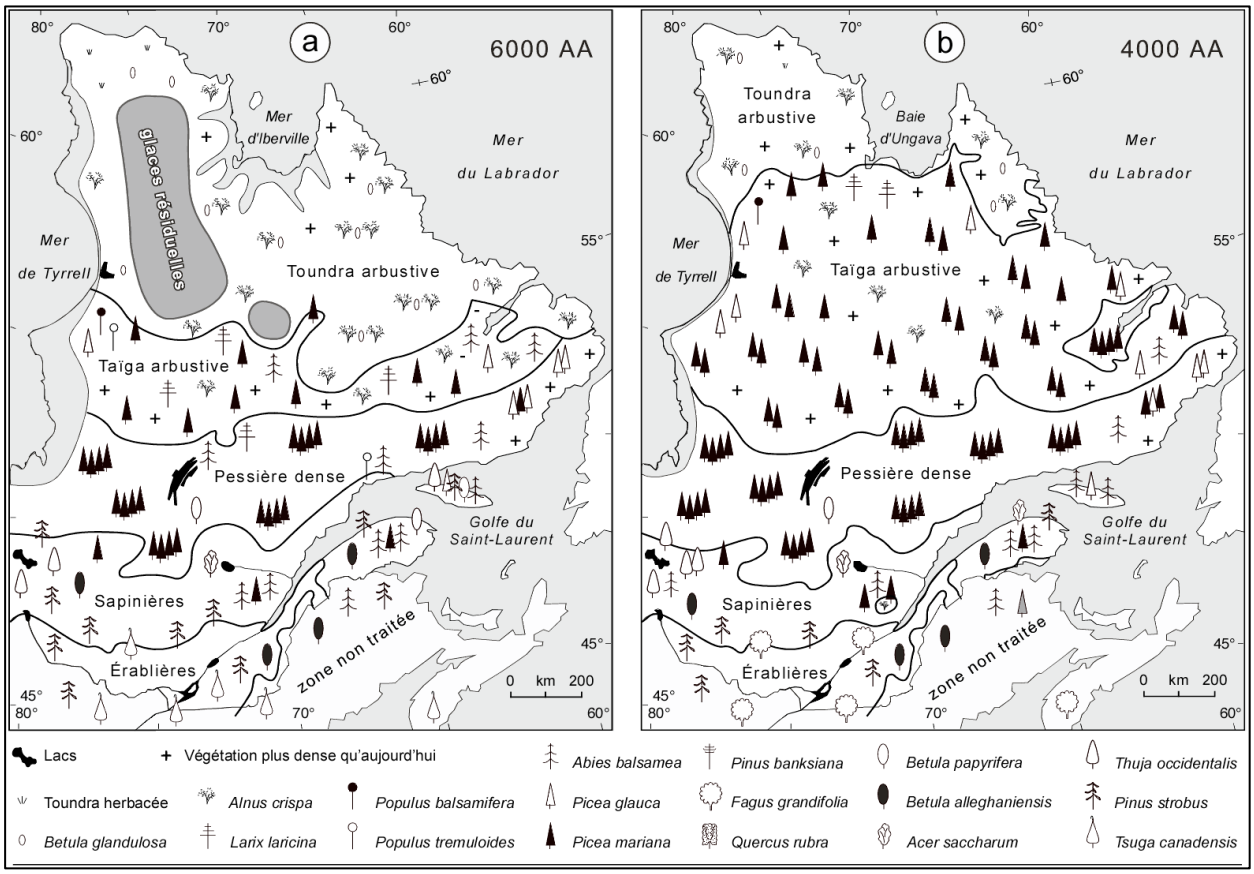

Figure 2 Couvert végétal vers 6 000 et 4 000 AA (Richard et Grondin 2009)

3.2. Histoire culturelle et patrimoine

L'aperçu historique qui suit s'intéresse principalement aux changements dans le mode d'occupation des terres et à l'identité des occupants qui se sont succédé depuis la paléohistoire[1]. Cette revue fournira un cadre interprétatif aux manifestations archéologiques potentiellement présentes dans l'aire à l'étude.

3.2.1. Occupation autochtone

Les sites autochtones de la paléohistoire régionale consistent le plus souvent en des restes de campements enfouis à faible profondeur, généralement à moins de 30 cm sous la surface du sol. Ceux-ci se présentent sous la forme de composantes d'habitations — foyers, fosses, dépotoirs, traces de piquets et artefacts. D'autres lieux sont associés à

[1] Le mot « paléohistoire » est utilisé en remplacement de « préhistoire ». Le terme proposé se veut plus respectueux de l'histoire autochtone précédant l'arrivée européenne en Amérique, puisque « préhistoire » implique que les peuples autochtones n'avaient pas d'histoire avant les Européens. Cette notion est évidemment fausse et l'archéologie contribue à documenter le passé riche et ancien des premiers peuples du continent. Dans le même esprit, l'expression « période coloniale » remplace celle de « période historique » puisque la colonisation est le véritable fait marquant de l'arrivée européenne et de sa présence continue depuis le XVI^{e} siècle.

l'exploitation de matières premières, comme l'extraction de la pierre dans des affleurements rocheux. Les lieux à caractères rituels, comme les sépultures et les sites rupestres, sont plus rares.

Le caractère fugace de ces traces s'explique par le mode de vie nomade des sociétés autochtones, exception faite des Iroquoïens du Saint-Laurent, et par les problèmes de conservation des vestiges en forêt boréale. Ce qui nous reste est le plus souvent la portion non dégradable, comme les artefacts lithiques et céramiques. Les restes osseux carbonisés et les structures de combustion sont aussi communs. Ces vestiges nous permettent tout de même d'observer des transformations importantes dans le mode de vie des occupants autochtones.

Notons qu'aucun site archéologique n'est recensé dans l'aire d'étude et que quatre sont recensés dans un rayon de 30 km du centre de l'aire (carte 1).

Paléohistoire ancienne (4 000 à 2 000 AA)

Les occupations les plus anciennes recensées dans la partie nord de l'Eeyou Istchee Baie-James attestent d'une présence humaine à partir de 4 000 AA, soit près de 1 500 ans après la colonisation de la portion sud du territoire. Ces premiers sites occupent de petites superficies, sont dispersés à travers le territoire et occupent des espaces surélevés par rapport aux plans d'eau et cours d'eau voisins. Une influence de la tradition de l'Archaïque maritime est observée pendant toute la paléohistoire ancienne (McCaffrey 2006; Samson 1981).

À travers tout l'Eeyou Istchee Baie-James, les sites archéologiques de cette période sont essentiellement constitués de pièces lithiques quoiqu'une bonne part de l'outillage ancien aurait pu être façonné dans des matériaux organiques, comme l'os. Ceux-ci se seraient rapidement dégradés dans le sol, une fois abandonnés. Seules les pièces lithiques se seraient ainsi conservées (McCaffrey 2011).

Les collections de toute la région comprennent donc une forte proportion de débitage et d'outils lithiques taillés sommairement en éclats-outils. La taille bifaciale est tout de même présente et est associée à des pointes de projectiles de formes lancéolées/foliacées et à pédoncules. L'outillage unifacial est rare et est surtout associé à de petits grattoirs aux formes rappelant un ongle ou un éventail. Quelques pièces sont aussi façonnées par polissage. Les types de pierres utilisés incluent principalement le quartz local quoique divers matériaux de provenances régionales sont recensés en faibles quantités. Le quartzite de Ramah, provenant du nord du Labrador, gagne notamment en importance à travers le temps de façon à remplacer le quartz (Denton 2012; Izaguirre et al. 2017; Letendre 2015; McCaffrey 2006; 2011; Samson 1981).

À partir de 3 000 AA, les groupes occupant le territoire intègrent une influence grandissante des régions méridionales, quoique beaucoup moins visible en progressant vers le nord. L'intervalle 3 000 – 2 000 AA reste cependant mal connu à travers toute la région. L'archéologue Gilles Samson (1981) a suggéré que cette absence apparente

pouvait être attribuable à un refroidissement climatique et à des changements écologiques. Une variation du niveau des lacs pourrait aussi expliquer cette absence relative. Les contextes terrestres et subaquatiques devraient alors être étudiés afin de mieux comprendre l'occupation humaine du territoire pendant cet intervalle.

L'état actuel des connaissances permet tout de même d'observer que certains endroits deviennent des points focaux dans l'occupation du territoire en raison d'occupations récurrentes. Les sites restent petits, suggérant ainsi de petits groupes nomades occupant sur de courtes périodes de petites habitations de formes variées, quoique rarement allongées (Bhiry et al. 2011; Denton 2012; McCaffrey 2011; Miousse et al. 2003; Samson 1993).

Paléohistoire récente (2 000 à 400 AA)

Les cultures contemporaines de l'est du Subarctique, comme les Innus, Naskapis et Eeyouch, prendraient forme à partir de 2 000 AA. Les collections de cette période sont toujours dominées par le débitage et l'outillage en pierre taillée. Les types d'outils les plus communs incluent les outils-éclats et de minuscules pointes de projectiles triangulaires à encoches en coin, lancéolées et foliacées. Vers l'intérieur des terres, la matière la plus commune est le quartzite de Ramah, mais le chert gris de la fosse du Labrador et le quartzite de Mistassini gagnent en importance. La popularité de ces matières de l'intérieur suggère des relations plus étroites entre les groupes et une plus grande stabilité d'occupation de l'intérieur. Le quartz local est toujours utilisé, mais en plus faibles quantités et d'autres matières de la côte voyagent le long des grandes rivières du nord. Le chert de la baie d'Hudson et le chert Nastapoka sont d'ailleurs coprésents, avec le quartzite de Mistassini et quelques rares poteries le long de La Grande Rivière et Grande Rivière de la Baleine. Ces tendances se maintiennent jusqu'à la fin de la paléohistoire, quoique le quartz gagne en popularité et le quartzite de Ramah disparaît presque entièrement à partir de 1 000 AA. Des peintures rupestres pourraient avoir été produites pendant la période à en croire les données disponibles pour le sud de la région (Denton 2012; Holly 2013; Leclerc 2013; McCaffrey 2006; 2011; Samson 1993; Vaillancourt 2008).

Période coloniale (1611 AD au présent)

L'arrivée d'Henry Hudson dans la baie du même nom en 1611 AD marque le début d'une présence allochtone croissante en Eeyou Istchee Baie-James quoique des contacts antérieurs soient possibles via l'intérieur des terres. L'impact sur les modes de vie autochtones est d'abord peu visible, puisque les tendances observées pendant la paléohistoire se maintiennent. L'occupation du territoire continue d'ailleurs de s'intensifier jusqu'au XVII^{e} siècle, en se basant sur le nombre de sites et de maisons longues, pouvant accueillir de plus grands groupes. Le schème d'établissement a alors pu être brièvement affecté par les raids haudenosaunees, autrefois désignés comme les Iroquois, en raison de la nécessité de réduire l'exposition à leurs attaques (Denton 2012; Francis et Morantz 1983; Samson 1981).

En fait, du XVII^{e} au début du XX^{e} siècle, les changements s'observent surtout dans l'intégration croissante de biens d'origines allochtones en lien avec l'essor de la traite des fourrures. Les postes occupent également une importance croissante dans le schème de mobilité, au point de devenir un point focal dans le cycle saisonnier (Denton 1994; 2012; 2015; Francis et Morantz 1983; Samson 1981).

Le mode de vie autochtone ne sera véritablement sous attaque qu'à partir du milieu du XX^{e} siècle, alors que le Gouvernement fédéral prend intérêt envers les populations autochtones du nord du Québec. Les institutions gouvernementales, à travers leurs politiques assimilationnistes, vont alors rapidement éroder l'autonomie des sociétés autochtones et leur bien-être. Le Gouvernement provincial prendra le pas peu après, pendant la seconde moitié du XX^{e} siècle. Les pensionnats, la sédentarisation forcée et les relocalisations forcées auront un impact dramatique sur l'occupation du territoire. La plupart des réserves seront créées dans ce contexte (Morantz 2002; Girard 2012b).

L'occupation autochtone à proximité de l'aire d'étude se poursuit tout de même pendant la seconde moitié du XX^{e} siècle. Quatre sites (FkFk-1 à 4) recensés au lac du Requin Marteau en attestent (carte 1) (Poulin 1975). L'occupation autochtone contemporaine du territoire se concentre maintenant sur des campements permanents visités par les familles vivant dans les villages.

3.2.2. Occupation allochtone

L'aire d'étude reste encore aujourd'hui éloignée des principaux développements en lien avec l'occupation allochtone du territoire. Les postes de traite les plus près de l'aire d'étude sont Neoskweskau (1793-1816, 1817-1822, avant 1923-ca1944), Nichikun (1816-1822, 1834-191[?], 1938-1943), Kaniapiskau (1836-1844) et Kanaaupscow (1938-1941) (figure 3) (Archives of Manitoba 2023). La communauté allochtone de Radisson, située à plusieurs centaines de kilomètres à l'ouest de l'aire d'étude, fut créée de toutes pièces en contexte de développement hydro-électrique au début des années 1970 (Girard 2012a). Des activités d'exploration, d'arpentage et de prospection minière ont pu laisser des traces dans l'aire d'étude pendant le XX^{e} siècle, même si aucun campement n'est pour l'instant recensé.

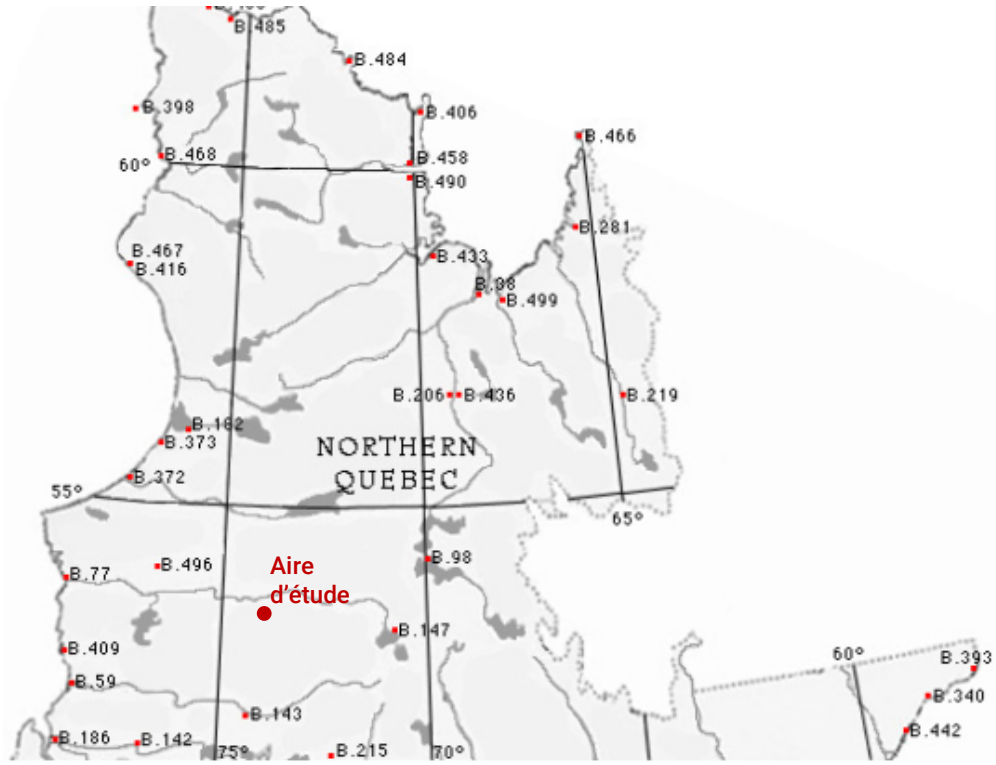

B.38 Fort Chimo (aka Fort Good Hope, Kuujjuaq)

B.59 Eastmain

B.77 Fort George (aka Big River, Great River, Shayseppy, Keeshay)

B.98 Kaniapiskau

B.142 Nemiskau (aka Nemiska)

B.143 Neoskweskau

B.147 Nichikum

B.182 Fort Richmond

B.186 Rupert House

B.206 South River House

B.215 Temiskamay

B.219 Fort Trial (George River)

B.227 Waswanipi (not on map)

B.281 Georges River

B.340 St. Augustine

B.368 Wolstenholme

B.372 Great Whale River

B.373 Little Whale River

B.393 Blanc-Sablon

B.398 Cape Smith

B.406 Diana Bay

B.409 Factory River

B.416 Port Harrison Fox Farm

B.433 Leaf River

B.436 Fort McKenzie

B.442 Mutton Bay

B.458 Payne Bay

B.467 Port Harrison

B.468 Povungnituk Bay

B.484 Stupart's Bay

B.485 Sugluk East

B.486 Sugluk West

B.490 U-Y Outpost

B.496 Kanaaupscow

B.499 Whale River

Figure 3 Carte des postes de traite de la Compagnie de la Baie d'Hudson dans le nord du Québec (Archives of Manitoba 2023)

4. ANALYSE DU POTENTIEL ARCHÉOLOGIQUE

L'aire d'étude, couvrant une superficie de 76,5 km^2, a été subdivisée en 254 zones à potentiel archéologique, dont 248 zones à potentiel moyen (1,24 km^2), cinq zones à potentiel fort (0,005 km^2) et une à potentiel subaquatique (1,18 km^2) (annexes A et B). Le reste de l'espace présente un potentiel archéologique variant de faible à nul.

Toutes les zones à potentiel moyen et fort auraient pu être occupées par des groupes autochtones pendant la paléohistoire ou la période coloniale. Même si l'hydrographie de l'aire d'étude est d'importance secondaire, sa configuration aurait pu faciliter le passage entre les bassins versants du lac de la Corvette et de la Grande Rivière. L'espace est d'ailleurs très peu perturbé, de sorte que les vestiges présumés pourraient être dans un état relativement bon.

La fluctuation du niveau des eaux est insuffisante dans l'aire d'étude pour envisager des occupations paléohistoriques submergées. Toutefois, l'assèchement prévu du lac Shaakichiuwaanan représente une rare opportunité pour rechercher d'éventuels objets qui auraient coulé au fond de l'eau. Ce type de pièce est rare, mais souvent en très bon état et de grande valeur patrimoniale, comme les quelques pirogues monoxyles et poteries autochtones complètes trouvées au Québec. La zone 266 , recoupe la portion du lac qui sera affectée par l'assèchement.

Le potentiel allochtone semble pour sa part très faible en raison d'un manque de données spécifiques. Des camps d'explorateurs, d'arpenteurs ou de prospecteurs pourraient tout de même être retrouvés à proximité des plans et cours d'eau.

5. CONCLUSION, RISQUE D'IMPACT ET RECOMMANDATIONS

Le mandat confié par Patriot Battery Metals Inc.(Innova Lithium Inc.) consistait à produire une étude de potentiel archéologique dans le cadre d'une étude d'impact provinciale et fédérale pour le projet minier Shaakichiuwaanan (anciennement Corvette), en Eeyou Istchee Baie-James.

La superficie de l'aire d'étude fait 76,5 km^2 et le projet comprend la construction de diverses infrastructures, dont plusieurs scénarios alternatifs de haldes et une fosse à ciel ouvert qui empiètera en grande partie sur le lac Shaakichiuwaanan.

5.1. Résultats

L'aire d'étude a été subdivisée en 254 zones à potentiel archéologique autochtone, dont 248 zones à potentiel moyen (1,24 km^2) et cinq zones à potentiel fort (0,005 km^2). Toutes ont fait l'objet d'une validation par survol héliporté.

Le potentiel en milieu subaquatique est jugé faible à l'échelle de l'aire d'étude. Toutefois, une zone en milieu subaquatique (1,18 km^2), correspondant à la portion drainée du lac Shaakichiuwaanan, a tout de même été retenue. L'assèchement du lac est une rare opportunité pour observer des objets isolés ayant coulé au fond de l'eau. Ce type de pièce est rare, mais est souvent en très bon état et de grande valeur patrimoniale, comme les quelques pirogues monoxyles et poteries autochtones complètes trouvées au Québec.

5.2. Le potentiel allochtone semble très faible en raison du manque de données spécifiques, mais des camps d'explorateurs, d'arpenteurs ou de prospecteurs pourraient tout de même être présents.Risque d'impact

Soulignons que les sites archéologiques se trouvent généralement très près de la surface du sol. Tous les travaux au niveau du sol sont donc susceptibles de les affecter. Au total, 83 des zones à potentiel moyen, fort et en milieu subaquatique, couvrant 0,60 km^2, seront directement impactées par les infrastructures projetées du secteur 1. S'ajoutent sept zones liées aux scénarios alternatifs de haldes des secteurs 2 à 4 qui pourraient aussi être impactées, selon l'alternative qui sera retenue.

5.3. Recommandations

De façon générale, il est recommandé que les 254 zones à potentiel moyen, fort et en milieu subaquatique ne soient pas affectées par les travaux. Cependant, si ces espaces ne pouvaient être évités, des mesures d'atténuation devraient être mises en œuvre avant les travaux d'aménagement. Le client devrait alors mener deux démarches successives pour atténuer l'impact des travaux sur le patrimoine archéologique. Elles sont, dans l'ordre :

1) Inventaire manuel avec sondages à intervalles de 10 m et inspection visuelle minutieuse de toutes les zones impactées à potentiel moyen et fort.
2) Inspection visuelle du fond du lac Shaakichiuwaanan lors de son assèchement afin de vérifier si des objets (ex. pirogue, pot) s'y trouvent.

Ajoutons que tout changement aux plans du client, pour ce qui est des aménagements au niveau du sol, pourrait nécessiter des ajustements aux mesures proposées. Un archéologue devrait donc être consulté dans cette éventualité.

En cours de travaux, si des vestiges archéologiques étaient mis au jour fortuitement, les responsables devront immédiatement contacter l'autorité responsable et suivre les directives qui seront formulées. Toute découverte relative au patrimoine des Premières Nations devrait aussi être communiquée aux conseils des Premières Nations concernées et au Gouvernement de la Nation Crie. Un arrêt des travaux pourrait être envisagé advenant l'impossibilité de déplacer les activités à bonne distance des vestiges. Un plan d'action en contexte de découverte fortuite fait partie du dossier technique et pourra être consulté au besoin.

6. RÉFÉRENCES

Archives of Manitoba. 2023. « Hudson's Bay Company ». Keystone Archives Descriptive Database. https://www.gov.mb.ca/chc/archives/hbca/index.html.

Beaulieu-Audy, Véronique, Michelle Garneau, Pierre J.H. Richard, et Hans Asnong. 2009. « Holocene palaeoecological reconstruction of three boreal peatlands in the La Grande Rivière region, Québec, Canada ». *The Holocene* 19 (3) : 459-76.

Bhiry, Najat, Ann Delwaide, Michel Allard, et al. 2011. « Environmental change in the Great Whale River region, Hudson Bay: Five decades of multidisciplinary research by Centre d'études nordiques (CEN) ». *Écoscience* 18 (3): 182-203.

Commission de toponymie du Québec. 2003. *La toponymie des Cris*. Dossiers toponymiques 29. Commission de toponymie du Québec.

Denton, David. 1994. « Des pointes de projectile aux pierres à briquet : Évolution d'une tradition technologique du Québec subarctique ». *Recherches amérindiennes au Québec* XXIV (1-2) : 73-86.

Denton, David. 2012. « Les Cris d'Eeyou Istchee avant le XVIIe siècle ». Dans *Histoire du Nord-du-Québec*, édité par Réjean Girard. Les régions du Québec 22. Les presses de l'Université Laval.

Denton, David. 2015. « Traffic on the River: An Archaeological View of the Historic Occupations in the Eastmain-1 Reservoir Area ». Dans *Ce que la rivière nous procurait*, édité par Pierre Bibeau, David Denton, et André Burroughs. Collection Mercure. Archéologie 175. Musée canadien de l'histoire et Les Presses de l'Université d'Ottawa.

Dyke, Arthur S. 2004. « An outline of North American deglaciation with emphasis on central and northern Canada ». Dans *Developments in Quaternary Sciences*, édité par J. Ehlers et P.L. Gibbard, vol. 2. Elsevier. https://www.sciencedirect.com/science/article/pii/S1571086604802094.

Dyke, Arthur S. 2005. « Late Quaternary Vegetation History of Northern North America Based on Pollen, Macrofossil, and Faunal Remains" ». *Géographie physique et Quaternaire* 59 (2-3): 211-62.

Francis, Daniel, et Toby Morantz. 1983. *Partners in Furs: A History of the Fur Trade in Eastern James Bay 1600-1870*. McGill-Queen's University Press. Kingston, Montreal.

Fréchette, Bianca, Pierre J.H. Richard, Pierre Grondin, Martin Lavoie, et Alayn C. Larouche. 2018. *Histoire postglaciaire de la végétation et du climat des pessières et des sapinières de l'ouest du Québec*. 179. Mémoire de recherche forestière. Ministère des Forêts, de la Faune et des Parcs, Direction de la recherche forestière.

Girard, Réjean. 2012a. « L'arrivée des Jamésiens ». Dans *Histoire du Nord-du-Québec*, édité par Réjean Girard. Les régions du Québec 22. Les presses de l'Université Laval.

Girard, Réjean. 2012b. « Les Cris de la Baie-James : culture et développement ». Dans *Histoire du Nord-du-Québec*, édité par Réjean Girard. Les régions du Québec 22. Les presses de l'Université Laval.

Holly, Don H. Jr. 2013. *History in the Making: The Archaeology of the Eastern Subarctic*. Issues in Eastern Woodlands Archaeology. AltaMira Press.
Izaguirre, Dario, David Denton, Lionel Florin Pendea, et Bernard Hétu. 2017. « Sanders Pond, un site vieux de 4 200 ans sur le bord de la mer de Tyrrell ». Dans *L'Archaïque au Québec. Six millénaires d'histoire amérindienne*, édité par Adrian L. Burke et Claude Chapdelaine. Paléo-Québec 36. Recherches amérindiennes au Québec.
Leclerc, Marianne-Marilou. 2013. « Chert Nastapoka : Caractérisation chimique et exploitation au Paléoesquimau, baie d'Hudson, Nunavik ». M.Sc., Université de Montréal.
Letendre, Myriam. 2015. « Préhistoire ancienne dans la région de la rivière Eastmain : 5000 ans BP à 2000 ans BP ». Dans *Ce que la rivière nous procurait*, édité par Pierre Bibeau, David Denton, et André Burroughs. Collection Mercure. Archéologie 175. Musée canadien de l'histoire et Les Presses de l'Université d'Ottawa.
McCaffrey, Moira. 2006. « Archaic Period occupation in Subarctic Quebec: A Review of the Evidence ». Dans *The Archaic of the Far Northeast*, édité par David Sanger et M. A. P. Renouf. The University of Maine Press.
McCaffrey, Moira. 2011. « Ancient Social Landscapes in the eastern Subarctic ». Dans *Hunter-Gatherer Archaeology as Historical Process*, édité par Kenneth E. Sassaman et Donald H. Jr. Holly. Amerind Studies in Archaeology. The University of Arizona Press.
Ministère de l'Environnement, de la Lutte contre les changements climatiques, de la Faune et des Parcs. 2023. « Répertoire des barrages ». Répertoire des barrages. https://www.cehq.gouv.qc.ca/barrages/.
Ministère de l'Environnement et de la Lutte contre les changements climatiques. 2019. « Les provinces naturelles : première fenêtre sur l'écologie du Québec. » https://www.environnement.gouv.qc.ca/biodiversite/cadre-ecologique/rapports/provinces-naturelles.pdf.
Ministère des Forêts, de la Faune et des Parcs. 2025. « I.G.O. - Données écoforestières ». Gouvernement du Québec. https://geoegl.msp.gouv.qc.ca/igo/mffpecofor/.
Ministère des Ressources naturelles et des Forêts. 2025. « Système d'information géominière du Québec (Carte interactive) ». http://sigeom.mines.gouv.qc.ca/signet/classes/I1108_afchCarteIntr.
Miousse, Luc, Najat Bhiry, et Martin Lavoie. 2003. « Isolation and water-level fluctuations of Lake Kachishayoot, Northern Québec, Canada ». *Quaternary Research*, nº 60 : 149-61.
Morantz, Toby. 2002. *The White Man's Gonna Getcha: The Colonial Challenge to the Crees in Quebec*. McGill-Queen's Native and Northern Series 30. McGill-Queen's University Press.
Plourde, Michel. 2015. « Réservoir de l'Eastmain-1 : L'occupation humaine du territoire de 2000 ans BP à la période de contact ». Dans *Ce que la rivière nous procurait*, édité par Pierre Bibeau, David Denton, et André Burroughs. Collection Mercure. Archéologie 175. Musée canadien de l'histoire et Les Presses de l'Université d'Ottawa.
Poulin, Mario. 1975. *Reconnaissance archéologique de la future route permanente rivière de Pontois/lac Duplanter, Baie-James.* 1056. S.E.B.J.
Richard, Pierre, Bianca Fréchette, Pierre Grondin, et Martin Lavoie. 2020. « Histoire postglaciaire de la végétation de la forêt boréale du Québec et du Labrador ». *Le Naturaliste canadien* 144 (1) : 63-76. Érudit. https://doi.org/10.7202/1070086ar.

Richard, Pierre J.H. 1979. « Contribution à l'histoire postglaciaire de la végétation au nord-est de la Jamésie, Nouveau-Québec ». *Géographie physique et Quaternaire* 33 (1) : 93-112.
Richard, Pierre J.H., et Pierre Grondin. 2009. « Histoire postglaciaire de la végétation ». Dans *Manuel de foresterie*, Deuxième édition, édité par l'Ordre des ingénieurs forestiers du Québec. MultiMondes.
Roy, M., F. Dell'Oste, J.J. Veillette, A. de Vernal, J.-F. Hélie, et M. Parent. 2010. « Insights on the events surrounding the final drainage of Lake Ojibway based on James Bay stratigraphic sequences ». *Quaternary Science Reviews*, nº 30 : 682-92.
Samson, Gilles. 1981. *Préhistoire du Mushau Nipi, Nouveau-Québec, étude du mode d'adaptation à l'intérieur des terres hémi-arctiques.* 351. MAC.
Samson, Gilles. 1993. « La préhistoire récente et la période de contact au Mushuau Nipi, Nouveau-Québec : Un temps de renouveau culturel ». *Archéologiques*, nº 7 : 70-84.
Vaillancourt, Pascale. 2008. « Le site Kaapehpeshapischinikanuuch (EiGf-2) : résultats de l'étude d'un site rupestre à tracés digitaux au lac Némiscau ». *Recherches amérindiennes au Québec* 38 (2-3) : 109-25.
Veillette, J.J. 1994. « Evolution and Paleohydrology of Glacial Lakes Barlow and Ojibway ». *Quaternary Science Reviews* 13 : 945-71.

ANNEXE A : LISTE DES ZONES À POTENTIEL

SECTEUR	ZONE	POTENTIEL	SUPERFICIE (M^2)	ATTRIBUT AUTOCHTONE FAVORABLE	SUPERFICIE IMPACTÉE (M^2)
1	1	Moyen	1 694	Proximité d'un cours d'eau Bon drainage Terrain plat	
1	2	Moyen	1 225	Proximité d'un cours d'eau Bon drainage Terrain plat	1 225
1	3	Moyen	2 569	Proximité d'un cours d'eau Bon drainage Terrain plat	2 564
1	4	Moyen	7 219	Proximité d'un cours d'eau Bon drainage Terrain plat	7 099
1	5	Moyen	102	Proximité d'un cours d'eau Bon drainage Terrain plat	102
1	6	Moyen	6 595	Proximité d'un cours d'eau Bon drainage Terrain plat	5 633
1	7	Moyen	2 215	Proximité d'un cours d'eau Bon drainage Terrain plat	5
1	8	Moyen	1 829	Proximité d'un cours d'eau Bon drainage Terrain plat	264
1	9	Moyen	2 578	Proximité d'un cours d'eau Bon drainage Terrain plat	
1	10	Moyen	414	Proximité d'un cours d'eau Bon drainage Terrain plat	56
1	11	Moyen	101	Proximité d'un cours d'eau Bon drainage Terrain plat	101
1	12	Moyen	2 199	Proximité d'un cours d'eau Bon drainage Terrain plat	2 032
1	13	Moyen	9 637	Proximité d'un cours d'eau Bon drainage Terrain plat	6 871
1	14	Moyen	1 015	Proximité d'un cours d'eau Bon drainage	1 015

SECTEUR	ZONE	POTENTIEL	SUPERFICIE (M^2)	ATTRIBUT AUTOCHTONE FAVORABLE	SUPERFICIE IMPACTÉE (M^2)
				Terrain plat	
1	15	Moyen	3 612	Proximité d'un cours d'eau Bon drainage Terrain plat	3 426
1	16	Moyen	21 483	Proximité d'un cours d'eau Bon drainage Terrain plat	280
1	17	Moyen	901	Proximité d'un cours d'eau Bon drainage Terrain plat	30
1	18	Moyen	4 790	Proximité d'un cours d'eau Bon drainage Terrain plat	3 382
1	19	Moyen	346	Proximité d'un cours d'eau Bon drainage Terrain plat	
1	20	Moyen	936	Proximité d'un cours d'eau Bon drainage Terrain plat	
1	21	Moyen	6 087	Proximité d'un cours d'eau Bon drainage Terrain plat	
1	22	Moyen	2 045	Proximité d'un cours d'eau Bon drainage Terrain plat	
1	23	Moyen	3 022	Proximité d'un cours d'eau Bon drainage Terrain plat	
1	24	Moyen	3 959	Proximité d'un cours d'eau Bon drainage Terrain plat	221
1	25	Moyen	6 917	Bon drainage Terrain plat Affleurement rocheux	1 298
1	26	Moyen	146	Bon drainage Terrain plat Affleurement rocheux	
1	27	Moyen	7 073	Bon drainage Terrain plat Affleurement rocheux	7 073
1	28	Moyen	2 253	Proximité d'un cours d'eau Bon drainage Terrain plat	2 253
1	29	Moyen	106	Proximité d'un cours d'eau Bon drainage Terrain plat	106
1	30	Moyen	3 413	Proximité d'un cours d'eau Bon drainage	335

SECTEUR	ZONE	POTENTIEL	SUPERFICIE (M^2)	ATTRIBUT AUTOCHTONE FAVORABLE	SUPERFICIE IMPACTÉE (M^2)
				Terrain plat	
1	31	Moyen	3 906	Proximité d'un cours d'eau Bon drainage Terrain plat	114
1	32	Subaquatique	1 180 339		351 260
1	33	Moyen	9 364	Proximité d'un cours d'eau Bon drainage Terrain plat	
1	34	Moyen	258	Proximité d'un cours d'eau Bon drainage Terrain plat	
1	35	Moyen	1 425	Proximité d'un cours d'eau Bon drainage Terrain plat	
1	36	Moyen	163	Proximité d'un cours d'eau Bon drainage Terrain plat	
1	37	Moyen	3 652	Proximité d'un cours d'eau Bon drainage Terrain plat	
1	38	Moyen	111	Proximité d'un cours d'eau Bon drainage Terrain plat	
1	39	Moyen	116	Proximité d'un cours d'eau Bon drainage Terrain plat	116
1	40	Moyen	10 856	Proximité d'un cours d'eau Bon drainage Terrain plat	10 454
1	41	Moyen	572	Proximité d'un cours d'eau Bon drainage Terrain plat	
1	42	Moyen	164	Proximité d'un cours d'eau Bon drainage Terrain plat	
1	43	Moyen	3 666	Proximité d'un cours d'eau Bon drainage Terrain plat	
1	44	Moyen	6 320	Proximité d'un cours d'eau Bon drainage Terrain plat	
1	45	Moyen	7 285	Proximité d'un cours d'eau Bon drainage Terrain plat	
1	46	Moyen	6 511	Proximité d'un cours d'eau Bon drainage	3 031

SECTEUR	ZONE	POTENTIEL	SUPERFICIE (M^2)	ATTRIBUT AUTOCHTONE FAVORABLE	SUPERFICIE IMPACTÉE (M^2)
				Terrain plat	
1	47	Moyen	30 815	Proximité d'un cours d'eau Bon drainage Terrain plat	4 251
1	48	Moyen	133	Proximité d'un cours d'eau Bon drainage Terrain plat	26
1	49	Moyen	214	Proximité d'un cours d'eau Bon drainage Terrain plat	214
1	50	Moyen	2 429	Proximité d'un cours d'eau Bon drainage Terrain plat	1 952
1	51	Moyen	152	Proximité d'un cours d'eau Bon drainage Terrain plat	152
1	52	Moyen	2 167	Proximité d'un cours d'eau Bon drainage Terrain plat	2 167
1	53	Moyen	115	Proximité d'un cours d'eau Bon drainage Terrain plat	115
1	54	Moyen	323	Proximité d'un cours d'eau Bon drainage Terrain plat	323
1	55	Moyen	245	Proximité d'un cours d'eau Bon drainage Terrain plat	245
1	56	Moyen	9 170	Proximité d'un cours d'eau Bon drainage Terrain plat	8 322
1	57	Moyen	202	Proximité d'un cours d'eau Bon drainage Terrain plat	202
1	58	Moyen	4 234	Proximité d'un cours d'eau Bon drainage Terrain plat	
1	59	Moyen	3 290	Proximité d'un cours d'eau Bon drainage Terrain plat	3 139
1	60	Moyen	3 423	Proximité d'un cours d'eau Bon drainage Terrain plat	3 423
1	61	Moyen	13 397	Proximité d'un cours d'eau Bon drainage Terrain plat	12 674

SECTEUR	ZONE	POTENTIEL	SUPERFICIE (M^2)	ATTRIBUT AUTOCHTONE FAVORABLE	SUPERFICIE IMPACTÉE (M^2)
1	62	Moyen	7 321	Proximité d'un cours d'eau Bon drainage Terrain plat	839
1	63	Moyen	169	Bon drainage Terrain plat Affleurement rocheux	61
1	64	Fort	290	Proximité d'un cours d'eau Bon drainage Terrain plat Affleurement rocheux	
1	65	Moyen	6 084	Bon drainage Terrain plat Affleurement rocheux	108
1	66	Moyen	99	Bon drainage Terrain plat Affleurement rocheux	
1	67	Moyen	1 183	Bon drainage Terrain plat Affleurement rocheux	1 183
1	68	Moyen	3 428	Bon drainage Terrain plat Affleurement rocheux	3 428
1	69	Moyen	4 081	Proximité d'un cours d'eau Bon drainage Terrain plat	
1	70	Moyen	4 266	Bon drainage Terrain plat Affleurement rocheux	4 266
1	71	Moyen	1 158	Bon drainage Terrain plat Affleurement rocheux	1 158
1	72	Moyen	8 684	Proximité d'un cours d'eau Bon drainage Terrain plat	8 684
1	73	Fort	652	Proximité d'un cours d'eau Bon drainage Terrain plat Affleurement rocheux	168
1	74	Moyen	321	Bon drainage Terrain plat Affleurement rocheux	321
1	75	Fort	182	Proximité d'un cours d'eau Bon drainage Terrain plat Affleurement rocheux	
1	76	Moyen	5 612	Proximité d'un cours d'eau Bon drainage Terrain plat	943
1	77	Moyen	1 494	Proximité d'un cours d'eau Bon drainage Terrain plat	1 494
1	78	Moyen	3 027	Proximité d'un cours d'eau Bon drainage Terrain plat	
1	79	Moyen	8 344	Proximité d'un cours d'eau Bon drainage	

SECTEUR	ZONE	POTENTIEL	SUPERFICIE (M^2)	ATTRIBUT AUTOCHTONE FAVORABLE	SUPERFICIE IMPACTÉE (M^2)
				Terrain plat	
1	80	Moyen	3 822	Proximité d'un cours d'eau Bon drainage Terrain plat	
1	81	Moyen	5 308	Proximité d'un cours d'eau Bon drainage Terrain plat	
1	82	Moyen	6 508	Proximité d'un cours d'eau Bon drainage Terrain plat	6 508
1	83	Moyen	13 503	Proximité d'un cours d'eau Bon drainage Terrain plat	9 478
1	84	Moyen	2 107	Proximité d'un cours d'eau Bon drainage Terrain plat	2 107
1	85	Moyen	1 901	Proximité d'un cours d'eau Bon drainage Terrain plat	
1	86	Moyen	2 772	Proximité d'un cours d'eau Bon drainage Terrain plat	
1	87	Moyen	368	Proximité d'un cours d'eau Bon drainage Terrain plat	
1	88	Moyen	6 817	Proximité d'un cours d'eau Bon drainage Terrain plat	1 191
1	89	Moyen	7 880	Proximité d'un cours d'eau Bon drainage Terrain plat	7 865
1	90	Moyen	7 896	Proximité d'un cours d'eau Bon drainage Terrain plat	7 896
1	91	Moyen	4 471	Proximité d'un cours d'eau Bon drainage Terrain plat	4 471
1	92	Moyen	9 322	Proximité d'un cours d'eau Bon drainage Confluence de cours d'eau Terrain plat	9 322
1	93	Moyen	3 865	Proximité d'un cours d'eau Bon drainage Terrain plat	3 865
1	94	Moyen	9 348	Proximité d'un cours d'eau Bon drainage Confluence de cours d'eau	5 452

SECTEUR	ZONE	POTENTIEL	SUPERFICIE (M^2)	ATTRIBUT AUTOCHTONE FAVORABLE	SUPERFICIE IMPACTÉE (M^2)
				Terrain plat	
1	95	Moyen	4 692	Proximité d'un cours d'eau Bon drainage Confluence de cours d'eau Terrain plat	61
1	96	Moyen	7 544	Proximité d'un cours d'eau Bon drainage Confluence de cours d'eau Terrain plat	4 913
1	97	Moyen	147	Proximité d'un cours d'eau Bon drainage Terrain plat	147
1	98	Moyen	280	Proximité d'un cours d'eau Bon drainage Terrain plat	
1	99	Moyen	330	Proximité d'un cours d'eau Bon drainage Confluence de cours d'eau Terrain plat	
1	100	Moyen	1 883	Proximité d'un cours d'eau Bon drainage Confluence de cours d'eau Terrain plat	
1	101	Moyen	2 704	Proximité d'un cours d'eau Bon drainage Confluence de cours d'eau Terrain plat	
1	102	Moyen	5 352	Proximité d'un cours d'eau Bon drainage Confluence de cours d'eau Terrain plat	
1	103	Moyen	2 814	Proximité d'un cours d'eau Bon drainage Confluence de cours d'eau Terrain plat	
1	104	Fort	566	Bon drainage Confluence de cours d'eau Terrain plat Affleurement rocheux	
1	105	Moyen	3 024	Bon drainage Terrain plat Affleurement rocheux	574
1	106	Fort	2 878	Bon drainage Confluence de cours d'eau Terrain plat Affleurement rocheux	1 603
1	107	Moyen	1 206	Proximité d'un cours d'eau Bon drainage Confluence de cours d'eau Terrain plat	

SECTEUR	ZONE	POTENTIEL	SUPERFICIE (M^2)	ATTRIBUT AUTOCHTONE FAVORABLE	SUPERFICIE IMPACTÉE (M^2)
1	108	Moyen	566	Proximité d'un cours d'eau Bon drainage Confluence de cours d'eau Terrain plat	
1	109	Moyen	758	Proximité d'un cours d'eau Bon drainage Confluence de cours d'eau Terrain plat	
1	110	Moyen	7 863	Proximité d'un cours d'eau Bon drainage Confluence de cours d'eau Terrain plat	
1	111	Moyen	786	Proximité d'un cours d'eau Bon drainage Confluence de cours d'eau Terrain plat	
1	112	Moyen	267	Proximité d'un cours d'eau Bon drainage Confluence de cours d'eau Terrain plat	
1	113	Moyen	3 360	Proximité d'un cours d'eau Bon drainage Confluence de cours d'eau Terrain plat	
1	114	Moyen	384	Proximité d'un cours d'eau Bon drainage Confluence de cours d'eau Terrain plat	
1	115	Moyen	2 048	Proximité d'un cours d'eau Bon drainage Confluence de cours d'eau Terrain plat	
1	116	Moyen	210	Proximité d'un cours d'eau Bon drainage Confluence de cours d'eau Terrain plat	
1	117	Moyen	6 587	Bon drainage Terrain plat Affleurement rocheux	6 073
1	118	Moyen	2 641	Bon drainage Terrain plat Affleurement rocheux	2 641
1	119	Moyen	705	Bon drainage Terrain plat Affleurement rocheux	627
1	120	Moyen	531	Bon drainage Terrain plat Affleurement rocheux	531
1	121	Moyen	5 710	Bon drainage Terrain plat Affleurement rocheux	

SECTEUR	ZONE	POTENTIEL	SUPERFICIE (M^2)	ATTRIBUT AUTOCHTONE FAVORABLE	SUPERFICIE IMPACTÉE (M^2)
1	122	Moyen	247	Bon drainage Terrain plat Affleurement rocheux	
1	123	Moyen	2 147	Proximité d'un cours d'eau Bon drainage Confluence de cours d'eau Terrain plat	
1	124	Moyen	1 169	Proximité d'un cours d'eau Bon drainage Confluence de cours d'eau Terrain plat	
1	125	Moyen	301	Proximité d'un cours d'eau Bon drainage Confluence de cours d'eau Terrain plat	
1	126	Moyen	3 764	Proximité d'un cours d'eau Bon drainage Confluence de cours d'eau Terrain plat	
1	127	Moyen	11 008	Bon drainage Terrain plat Affleurement rocheux	
1	128	Moyen	329	Bon drainage Terrain plat Affleurement rocheux	
1	129	Moyen	1 922	Bon drainage Terrain plat Affleurement rocheux	
1	130	Moyen	14 708	Bon drainage Terrain plat Affleurement rocheux	14 375
1	131	Moyen	6 430	Bon drainage Terrain plat Affleurement rocheux	6 430
1	132	Moyen	10 306	Proximité d'un cours d'eau Bon drainage Terrain plat	2 277
1	243	Moyen	1 646	Proximité d'un cours d'eau Bon drainage Terrain plat	
1	244	Moyen	5 257	Bon drainage Terrain plat Affleurement rocheux	5 255
1	245	Moyen	4 848	Proximité d'un cours d'eau Bon drainage Confluence de cours d'eau Terrain plat	
1	246	Moyen	9 876	Proximité d'un cours d'eau Bon drainage Confluence de cours d'eau Terrain plat	
1	247	Moyen	5 033	Proximité d'un cours d'eau Bon drainage Confluence de cours d'eau	

SECTEUR	ZONE	POTENTIEL	SUPERFICIE (M^2)	ATTRIBUT AUTOCHTONE FAVORABLE	SUPERFICIE IMPACTÉE (M^2)
				Terrain plat	
1	248	Moyen	4 121	Proximité d'un cours d'eau Bon drainage Terrain plat	
1	249	Moyen	369	Proximité d'un cours d'eau Bon drainage Terrain plat	
1	250	Moyen	8 584	Proximité d'un cours d'eau Bon drainage Terrain plat	6 873
1	251	Moyen	229	Proximité d'un cours d'eau Bon drainage Terrain plat	229
1	252	Moyen	7 580	Bon drainage Terrain plat Affleurement rocheux	7 580
1	253	Moyen	6 622	Bon drainage Terrain plat Affleurement rocheux	6 622
1	254	Moyen	2 960	Bon drainage Terrain plat Affleurement rocheux	2 960
2	133	Moyen	67 231	Bon drainage Terrain plat Affleurement rocheux	39 824
2	134	Moyen	7 811	Bon drainage Terrain plat Affleurement rocheux	
2	135	Moyen	5 682	Proximité d'un cours d'eau Bon drainage Confluence de cours d'eau Terrain plat	
2	136	Moyen	3 507	Proximité d'un cours d'eau Bon drainage Confluence de cours d'eau Terrain plat	
2	137	Moyen	5 874	Proximité d'un cours d'eau Bon drainage Confluence de cours d'eau Terrain plat	
2	138	Moyen	4 516	Proximité d'un cours d'eau Bon drainage Confluence de cours d'eau Terrain plat	
2	139	Moyen	493	Proximité d'un cours d'eau Bon drainage Confluence de cours d'eau Terrain plat	
2	140	Moyen	4 842	Proximité d'un cours d'eau Bon drainage Confluence de cours d'eau	

SECTEUR	ZONE	POTENTIEL	SUPERFICIE (M^2)	ATTRIBUT AUTOCHTONE FAVORABLE	SUPERFICIE IMPACTÉE (M^2)
				Terrain plat	
2	141	Moyen	4 696	Proximité d'un cours d'eau Bon drainage Confluence de cours d'eau Terrain plat	
2	142	Moyen	7 339	Proximité d'un cours d'eau Bon drainage Confluence de cours d'eau Terrain plat	
2	143	Moyen	6 890	Proximité d'un cours d'eau Bon drainage Confluence de cours d'eau Terrain plat	
3	144	Moyen	4 766	Proximité d'un cours d'eau Bon drainage Confluence de cours d'eau Terrain plat	
3	145	Moyen	6 507	Proximité d'un cours d'eau Bon drainage Confluence de cours d'eau Terrain plat	
3	146	Moyen	6 340	Proximité d'un cours d'eau Bon drainage Confluence de cours d'eau Terrain plat	
3	147	Moyen	6 961	Proximité d'un cours d'eau Bon drainage Confluence de cours d'eau Terrain plat	
3	148	Moyen	4 495	Proximité d'un cours d'eau Bon drainage Confluence de cours d'eau Terrain plat	
3	149	Moyen	10 953	Proximité d'un cours d'eau Bon drainage Confluence de cours d'eau Terrain plat	
3	150	Moyen	5 251	Proximité d'un cours d'eau Bon drainage Confluence de cours d'eau Terrain plat	
3	151	Moyen	5 168	Proximité d'un cours d'eau Bon drainage Confluence de cours d'eau Terrain plat	
3	152	Moyen	347	Proximité d'un cours d'eau Bon drainage Confluence de cours d'eau Terrain plat	

SECTEUR	ZONE	POTENTIEL	SUPERFICIE (M^2)	ATTRIBUT AUTOCHTONE FAVORABLE	SUPERFICIE IMPACTÉE (M^2)
3	153	Moyen	685	Proximité d'un cours d'eau Bon drainage Confluence de cours d'eau Terrain plat	
3	154	Moyen	1 060	Proximité d'un cours d'eau Bon drainage Confluence de cours d'eau Terrain plat	
3	155	Moyen	1 580	Proximité d'un cours d'eau Bon drainage Confluence de cours d'eau Terrain plat	
3	156	Moyen	5 108	Proximité d'un cours d'eau Bon drainage Confluence de cours d'eau Terrain plat	
3	157	Moyen	5 521	Proximité d'un cours d'eau Bon drainage Confluence de cours d'eau Terrain plat	5 521
3	158	Moyen	3 981	Proximité d'un cours d'eau Bon drainage Confluence de cours d'eau Terrain plat	
3	159	Moyen	2 734	Proximité d'un cours d'eau Bon drainage Confluence de cours d'eau Terrain plat	
3	160	Moyen	3 216	Proximité d'un cours d'eau Bon drainage Confluence de cours d'eau Terrain plat	
3	161	Moyen	3 660	Proximité d'un cours d'eau Bon drainage Confluence de cours d'eau Terrain plat	
3	162	Moyen	2 074	Proximité d'un cours d'eau Bon drainage Confluence de cours d'eau Terrain plat	
3	163	Moyen	4 822	Proximité d'un cours d'eau Bon drainage Confluence de cours d'eau Terrain plat	
3	164	Moyen	4 614	Proximité d'un cours d'eau Bon drainage Confluence de cours d'eau Terrain plat	
3	165	Moyen	3 743	Proximité d'un cours d'eau Bon drainage	

SECTEUR	ZONE	POTENTIEL	SUPERFICIE (M^2)	ATTRIBUT AUTOCHTONE FAVORABLE	SUPERFICIE IMPACTÉE (M^2)
				Confluence de cours d'eau Terrain plat	
3	166	Moyen	989	Proximité d'un cours d'eau Bon drainage Confluence de cours d'eau Terrain plat	
3	167	Moyen	780	Proximité d'un cours d'eau Bon drainage Confluence de cours d'eau Terrain plat	
3	168	Moyen	1 120	Proximité d'un cours d'eau Bon drainage Confluence de cours d'eau Terrain plat	
3	169	Moyen	3 892	Proximité d'un cours d'eau Bon drainage Confluence de cours d'eau Terrain plat	
3	170	Moyen	3 704	Proximité d'un cours d'eau Bon drainage Confluence de cours d'eau Terrain plat	
3	171	Moyen	20 655	Proximité d'un cours d'eau Bon drainage Confluence de cours d'eau Terrain plat	
3	172	Moyen	13 314	Proximité d'un cours d'eau Bon drainage Confluence de cours d'eau Terrain plat	
3	173	Moyen	8 493	Proximité d'un cours d'eau Bon drainage Confluence de cours d'eau Terrain plat	
3	174	Moyen	8 313	Proximité d'un cours d'eau Bon drainage Confluence de cours d'eau Terrain plat	
3	175	Moyen	11 480	Proximité d'un cours d'eau Bon drainage Confluence de cours d'eau Terrain plat	
3	176	Moyen	6 350	Proximité d'un cours d'eau Bon drainage Confluence de cours d'eau Terrain plat	
3	177	Moyen	2 458	Proximité d'un cours d'eau Bon drainage Confluence de cours d'eau	

SECTEUR	ZONE	POTENTIEL	SUPERFICIE (M^2)	ATTRIBUT AUTOCHTONE FAVORABLE	SUPERFICIE IMPACTÉE (M^2)
				Terrain plat	
3	178	Moyen	1 984	Proximité d'un cours d'eau Bon drainage Confluence de cours d'eau Terrain plat	
3	179	Moyen	86 270	Proximité d'un cours d'eau Bon drainage Confluence de cours d'eau Terrain plat	
3	180	Moyen	546	Proximité d'un cours d'eau Bon drainage Confluence de cours d'eau Terrain plat	
3	181	Moyen	3 996	Proximité d'un cours d'eau Bon drainage Confluence de cours d'eau Terrain plat	
3	182	Moyen	3 575	Proximité d'un cours d'eau Bon drainage Confluence de cours d'eau Terrain plat	
3	183	Moyen	9 795	Proximité d'un cours d'eau Bon drainage Confluence de cours d'eau Terrain plat	
3	184	Moyen	15 198	Proximité d'un cours d'eau Bon drainage Confluence de cours d'eau Terrain plat	
3	185	Moyen	6 302	Proximité d'un cours d'eau Bon drainage Confluence de cours d'eau Terrain plat	
3	186	Moyen	9 351	Proximité d'un cours d'eau Bon drainage Confluence de cours d'eau Terrain plat	
3	187	Moyen	2 430	Proximité d'un cours d'eau Bon drainage Confluence de cours d'eau Terrain plat	
3	188	Moyen	8 204	Proximité d'un cours d'eau Bon drainage Confluence de cours d'eau Terrain plat	
3	189	Moyen	941	Proximité d'un cours d'eau Bon drainage Confluence de cours d'eau Terrain plat	

SECTEUR	ZONE	POTENTIEL	SUPERFICIE (M^2)	ATTRIBUT AUTOCHTONE FAVORABLE	SUPERFICIE IMPACTÉE (M^2)
3	190	Moyen	13 275	Proximité d'un cours d'eau Bon drainage Confluence de cours d'eau Terrain plat	
3	191	Moyen	2 509	Proximité d'un cours d'eau Bon drainage Confluence de cours d'eau Terrain plat	
3	192	Moyen	3 391	Proximité d'un cours d'eau Bon drainage Confluence de cours d'eau Terrain plat	
3	193	Moyen	3 061	Proximité d'un cours d'eau Bon drainage Confluence de cours d'eau Terrain plat	
3	194	Moyen	7 153	Proximité d'un cours d'eau Bon drainage Confluence de cours d'eau Terrain plat	
3	195	Moyen	18 298	Proximité d'un cours d'eau Bon drainage Confluence de cours d'eau Terrain plat	
3	196	Moyen	291	Proximité d'un cours d'eau Bon drainage Confluence de cours d'eau Terrain plat	
3	197	Moyen	2 520	Proximité d'un cours d'eau Bon drainage Confluence de cours d'eau Terrain plat	
3	198	Moyen	2 467	Proximité d'un cours d'eau Bon drainage Confluence de cours d'eau Terrain plat	
3	199	Moyen	2 495	Proximité d'un cours d'eau Bon drainage Confluence de cours d'eau Terrain plat	
3	200	Moyen	5 652	Proximité d'un cours d'eau Bon drainage Confluence de cours d'eau Terrain plat	
3	201	Moyen	5 552	Proximité d'un cours d'eau Bon drainage Confluence de cours d'eau Terrain plat	
3	202	Moyen	5 366	Proximité d'un cours d'eau Bon drainage	

SECTEUR	ZONE	POTENTIEL	SUPERFICIE (M^2)	ATTRIBUT AUTOCHTONE FAVORABLE	SUPERFICIE IMPACTÉE (M^2)
				Confluence de cours d'eau Terrain plat	
3	203	Moyen	3 434	Proximité d'un cours d'eau Bon drainage Confluence de cours d'eau Terrain plat	
3	204	Moyen	11 562	Proximité d'un cours d'eau Bon drainage Confluence de cours d'eau Terrain plat	
3	205	Moyen	2 325	Proximité d'un cours d'eau Bon drainage Confluence de cours d'eau Terrain plat	
3	206	Moyen	4 275	Proximité d'un cours d'eau Bon drainage Confluence de cours d'eau Terrain plat	
3	207	Moyen	5 781	Proximité d'un cours d'eau Bon drainage Confluence de cours d'eau Terrain plat	
3	208	Moyen	1 002	Proximité d'un cours d'eau Bon drainage Confluence de cours d'eau Terrain plat	
3	209	Moyen	3 553	Proximité d'un cours d'eau Bon drainage Confluence de cours d'eau Terrain plat	
3	210	Moyen	4 175	Proximité d'un cours d'eau Bon drainage Confluence de cours d'eau Terrain plat	
3	211	Moyen	1 417	Proximité d'un cours d'eau Bon drainage Confluence de cours d'eau Terrain plat	
3	212	Moyen	3 296	Proximité d'un cours d'eau Bon drainage Confluence de cours d'eau Terrain plat	
3	213	Moyen	8 879	Proximité d'un cours d'eau Bon drainage Confluence de cours d'eau Terrain plat	
3	214	Moyen	5 927	Proximité d'un cours d'eau Bon drainage Confluence de cours d'eau	

SECTEUR	ZONE	POTENTIEL	SUPERFICIE (M^2)	ATTRIBUT AUTOCHTONE FAVORABLE	SUPERFICIE IMPACTÉE (M^2)
				Terrain plat	
3	215	Moyen	1 880	Proximité d'un cours d'eau Bon drainage Confluence de cours d'eau Terrain plat	
3	216	Moyen	1 260	Proximité d'un cours d'eau Bon drainage Confluence de cours d'eau Terrain plat	
3	217	Moyen	3 469	Proximité d'un cours d'eau Bon drainage Confluence de cours d'eau Terrain plat	
3	218	Moyen	7 837	Proximité d'un cours d'eau Bon drainage Confluence de cours d'eau Terrain plat	
3	219	Moyen	19 385	Proximité d'un cours d'eau Bon drainage Confluence de cours d'eau Terrain plat	
3	220	Moyen	164	Proximité d'un cours d'eau Bon drainage Confluence de cours d'eau Terrain plat	
3	221	Moyen	10 071	Proximité d'un cours d'eau Bon drainage Confluence de cours d'eau Terrain plat	
3	222	Moyen	164	Proximité d'un cours d'eau Bon drainage Confluence de cours d'eau Terrain plat	
3	223	Moyen	2 594	Proximité d'un cours d'eau Bon drainage Confluence de cours d'eau Terrain plat	
3	224	Moyen	533	Proximité d'un cours d'eau Bon drainage Confluence de cours d'eau Terrain plat	
4	225	Moyen	7 857	Bon drainage Terrain plat Affleurement rocheux	7 857
4	226	Moyen	4 517	Proximité d'un cours d'eau Bon drainage Confluence de cours d'eau Terrain plat	630
4	227	Moyen	2 465	Proximité d'un cours d'eau Bon drainage	464

SECTEUR	ZONE	POTENTIEL	SUPERFICIE (M^2)	ATTRIBUT AUTOCHTONE FAVORABLE	SUPERFICIE IMPACTÉE (M^2)
				Confluence de cours d'eau Terrain plat	
4	228	Moyen	12 236	Proximité d'un cours d'eau Bon drainage Confluence de cours d'eau Terrain plat	
4	229	Moyen	8 140	Proximité d'un cours d'eau Bon drainage Confluence de cours d'eau Terrain plat	
4	230	Moyen	557	Proximité d'un cours d'eau Bon drainage Confluence de cours d'eau Terrain plat	
4	231	Moyen	155	Proximité d'un cours d'eau Bon drainage Confluence de cours d'eau Terrain plat	
4	232	Moyen	644	Proximité d'un cours d'eau Bon drainage Confluence de cours d'eau Terrain plat	
4	233	Moyen	2 188	Proximité d'un cours d'eau Bon drainage Confluence de cours d'eau Terrain plat	
4	234	Moyen	2 832	Proximité d'un cours d'eau Bon drainage Confluence de cours d'eau Terrain plat	627
4	235	Moyen	3 241	Proximité d'un cours d'eau Bon drainage Confluence de cours d'eau Terrain plat	1 939
4	236	Moyen	2 997	Proximité d'un cours d'eau Bon drainage Confluence de cours d'eau Terrain plat	
4	237	Moyen	347	Proximité d'un cours d'eau Bon drainage Confluence de cours d'eau Terrain plat	
4	238	Moyen	694	Proximité d'un cours d'eau Bon drainage Confluence de cours d'eau Terrain plat	
4	239	Moyen	4 699	Proximité d'un cours d'eau Bon drainage Confluence de cours d'eau	

SECTEUR	ZONE	POTENTIEL	SUPERFICIE (M^2)	ATTRIBUT AUTOCHTONE FAVORABLE	SUPERFICIE IMPACTÉE (M^2)
				Terrain plat	
4	240	Moyen	15 979	Proximité d'un cours d'eau Bon drainage Confluence de cours d'eau Terrain plat	
4	241	Moyen	9 037	Proximité d'un cours d'eau Bon drainage Confluence de cours d'eau Terrain plat	
4	242	Moyen	2 205	Proximité d'un cours d'eau Bon drainage Confluence de cours d'eau Terrain plat	

ANNEXE B : CARTES DES ZONES À POTENTIEL

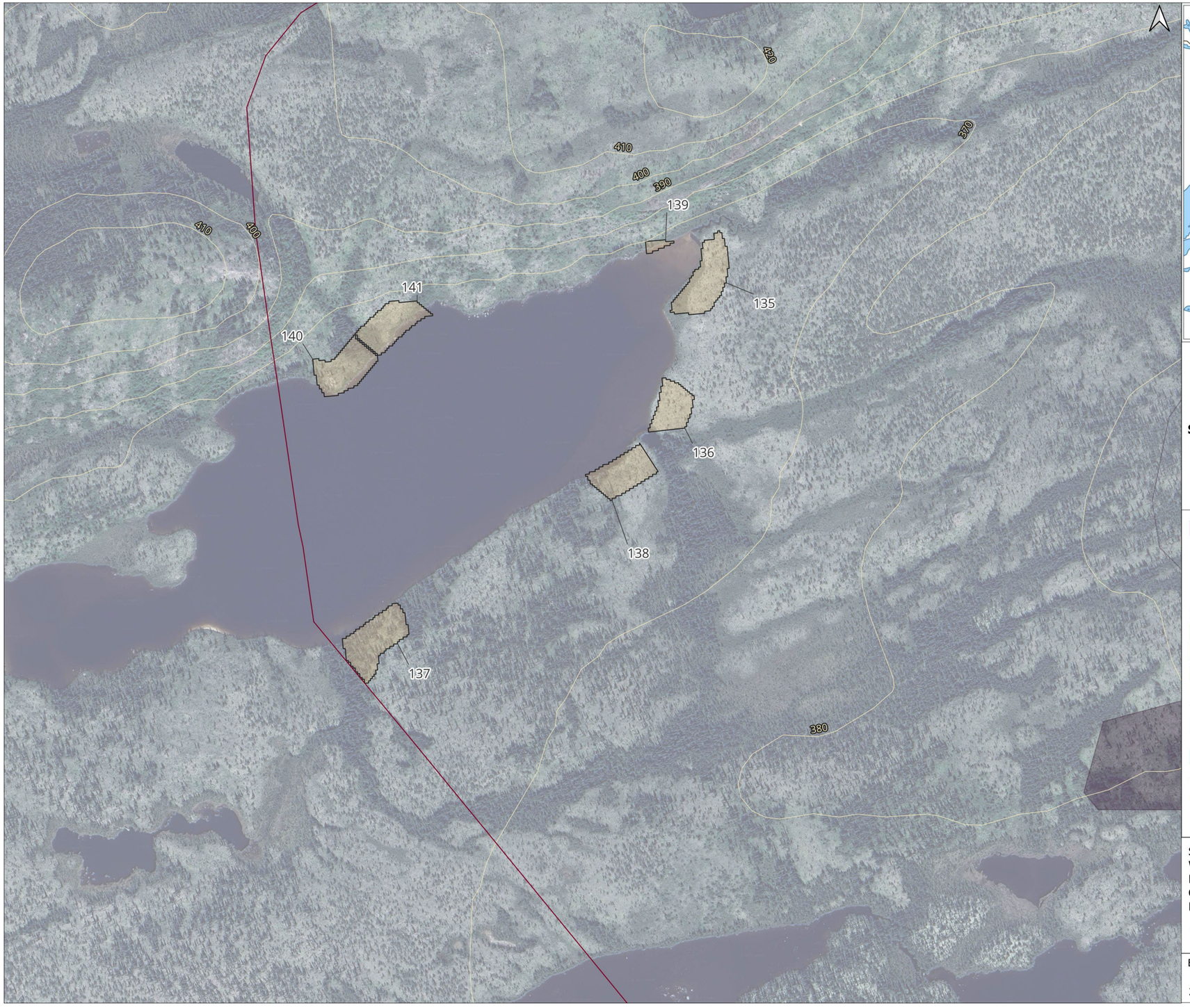

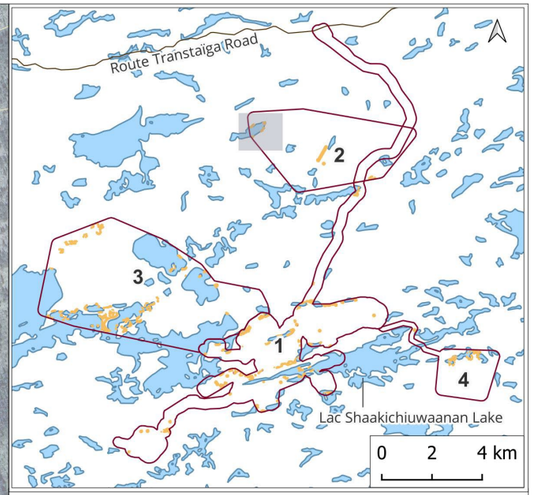

Métaux de Batterie Patriot Inc. (Innova Lithium Inc.)
Projet minier Shakichiuwaanan – anciennement Corvette

—

Patriot Battery Metals Inc. (Innova Lithium Inc.)
Shaakichiuwaanan – formerly Corvette, Mining Project

Eeyou Istchee Baie-James, Nord-du-Québec, Québec

Carte/Map 2
Potentiel archéologique/Archaeological Potential

Aire à l'étude/Study Area
Secteur/Sector 1
Secteur/Sector 2
Secteur/Sector 3
Secteur/Sector 4

Potentiel archéologique/Archaeological Potential

Fort/High
Moyen/Medium
Subaquatique/Underwater

Infrastructure projetée/Planned Infrastructure
Infrastructure projetée/Planned Infrastructure

Plan d'eau/Waterbody
Chemin/Road
Courbe de niveau/Contour Line

Sources
WSP Canada inc. 2023, Archéoconsultant 2025, Ressources naturelles Canada/ Natural Resources Canada, Série CanVec/CanVec Series 2019, Google Satellite 2023, Bing Virtual Earth 2025

0 100 200 m
Nad83 UTM 18N

E.Bergeron

2025-09-04

Archeo consultant

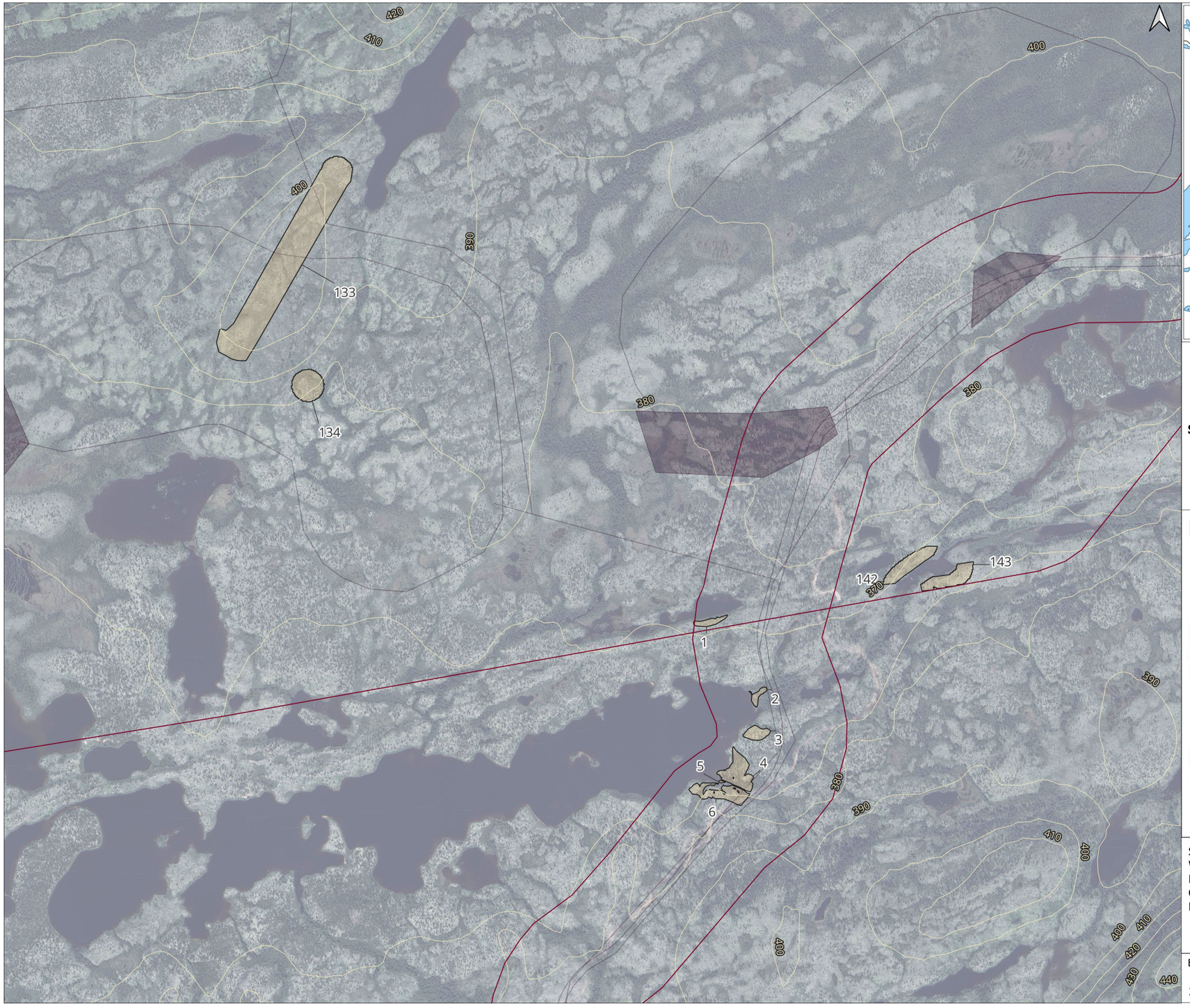

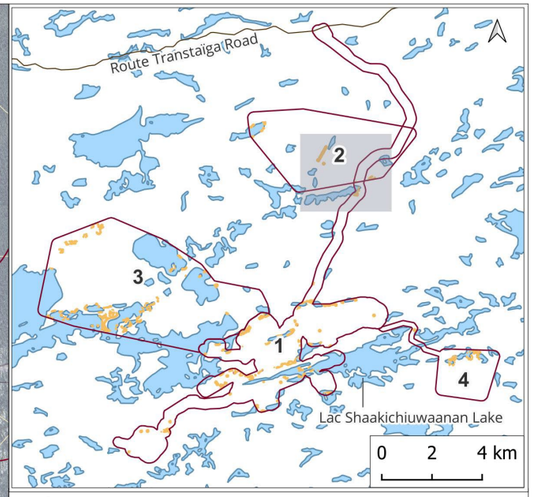

Métaux de Batterie Patriot Inc. (Innova Lithium Inc.)
Projet minier Shakichiuwaanan – anciennement Corvette

—

Patriot Battery Metals Inc. (Innova Lithium Inc.)
Shaakichiuwaanan – formerly Corvette, Mining Project

Eeyou Istchee Baie-James, Nord-du-Québec, Québec

Carte/Map 3
Potentiel archéologique/Archaeological Potential

Aire à l'étude/Study Area
Secteur/Sector 1
Secteur/Sector 2
Secteur/Sector 3
Secteur/Sector 4

Potentiel archéologique/Archaeological Potential

Fort/High
Moyen/Medium
Subaquatique/Underwater

Infrastructure projetée/Planned Infrastructure
Infrastructure projetée/Planned Infrastructure

Plan d'eau/Waterbody
Chemin/Road
Courbe de niveau/Contour Line

Sources
WSP Canada inc. 2023, Archéoconsultant 2025, Ressources naturelles Canada/ Natural Resources Canada, Série CanVec/CanVec Series 2019, Google Satellite 2023, Bing Virtual Earth 2025

0 200 400 m
Nad83 UTM 18N

E.Bergeron

2025-09-04

Archeo consultant

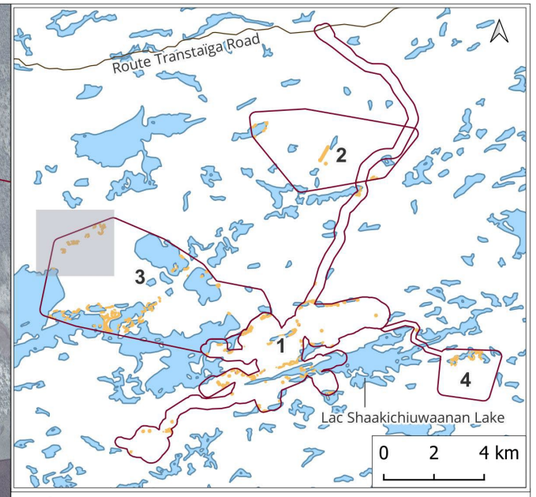

Métaux de Batterie Patriot Inc. (Innova Lithium Inc.)
Projet minier Shakichiuwaanan – anciennement Corvette

—

Patriot Battery Metals Inc. (Innova Lithium Inc.)
Shaakichiuwaanan – formerly Corvette, Mining Project

Eeyou Istchee Baie-James, Nord-du-Québec, Québec

Carte/Map 4
Potentiel archéologique/Archaeological Potential

Aire à l'étude/Study Area
Secteur/Sector 1
Secteur/Sector 2
Secteur/Sector 3
Secteur/Sector 4

Potentiel archéologique/Archaeological Potential

Fort/High
Moyen/Medium
Subaquatique/Underwater

Infrastructure projetée/Planned Infrastructure
Infrastructure projetée/Planned Infrastructure

Plan d'eau/Waterbody
Chemin/Road
Courbe de niveau/Contour Line

Sources
WSP Canada inc. 2023, Archéoconsultant 2025, Ressources naturelles Canada/ Natural Resources Canada, Série CanVec/CanVec Series 2019, Google Satellite 2023, Bing Virtual Earth 2025

0 200 400 m
Nad83 UTM 18N

E.Bergeron

2025-09-04

Archeo consultant

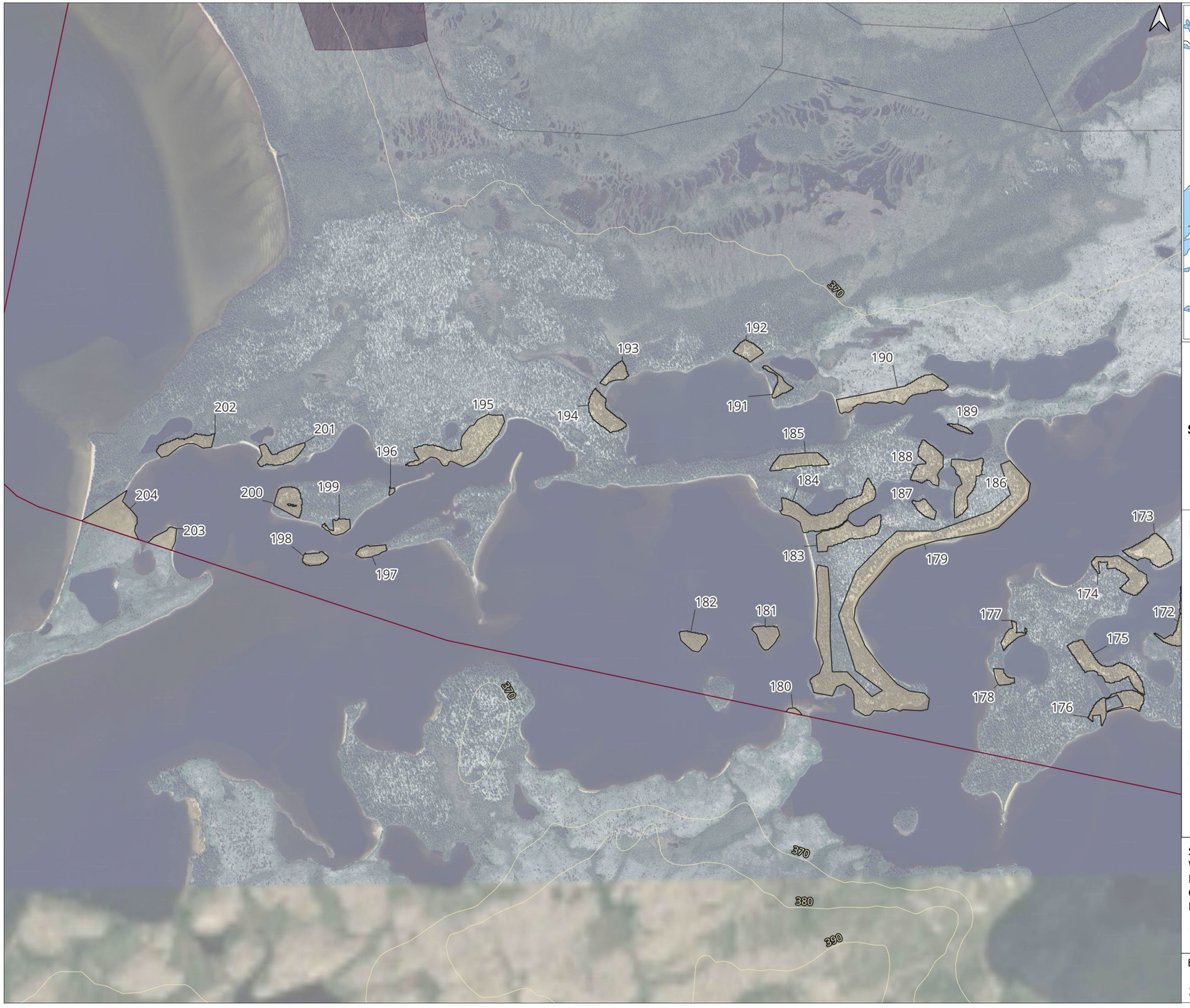

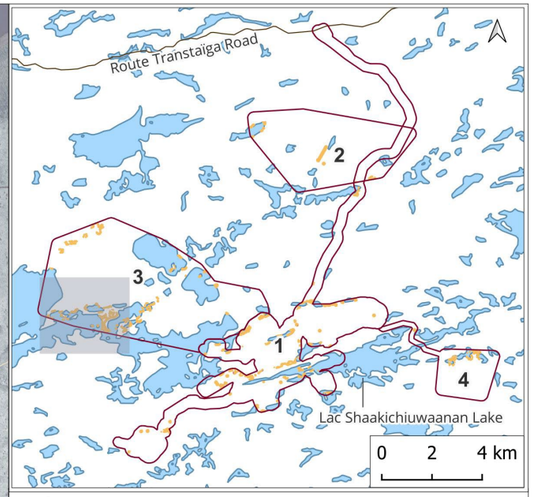

Métaux de Batterie Patriot Inc. (Innova Lithium Inc.)
Projet minier Shakichiuwaanan – anciennement Corvette

—

Patriot Battery Metals Inc. (Innova Lithium Inc.)
Shaakichiuwaanan – formerly Corvette, Mining Project

Eeyou Istchee Baie-James, Nord-du-Québec, Québec

Carte/Map 5
Potentiel archéologique/Archaeological Potential

Aire à l'étude/Study Area
Secteur/Sector 1
Secteur/Sector 2
Secteur/Sector 3
Secteur/Sector 4

Potentiel archéologique/Archaeological Potential
Fort/High
Moyen/Medium
Subaquatique/Underwater

Infrastructure projetée/Planned Infrastructure
Infrastructure projetée/Planned Infrastructure

Plan d'eau/Waterbody
Chemin/Road
Courbe de niveau/Contour Line

Sources
WSP Canada inc. 2023, Archéoconsultant 2025, Ressources naturelles Canada/ Natural Resources Canada, Série CanVec/CanVec Series 2019, Google Satellite 2023, Bing Virtual Earth 2025

0 200 400 m
Nad83 UTM 18N

E.Bergeron

2025-09-04

Archeo consultant

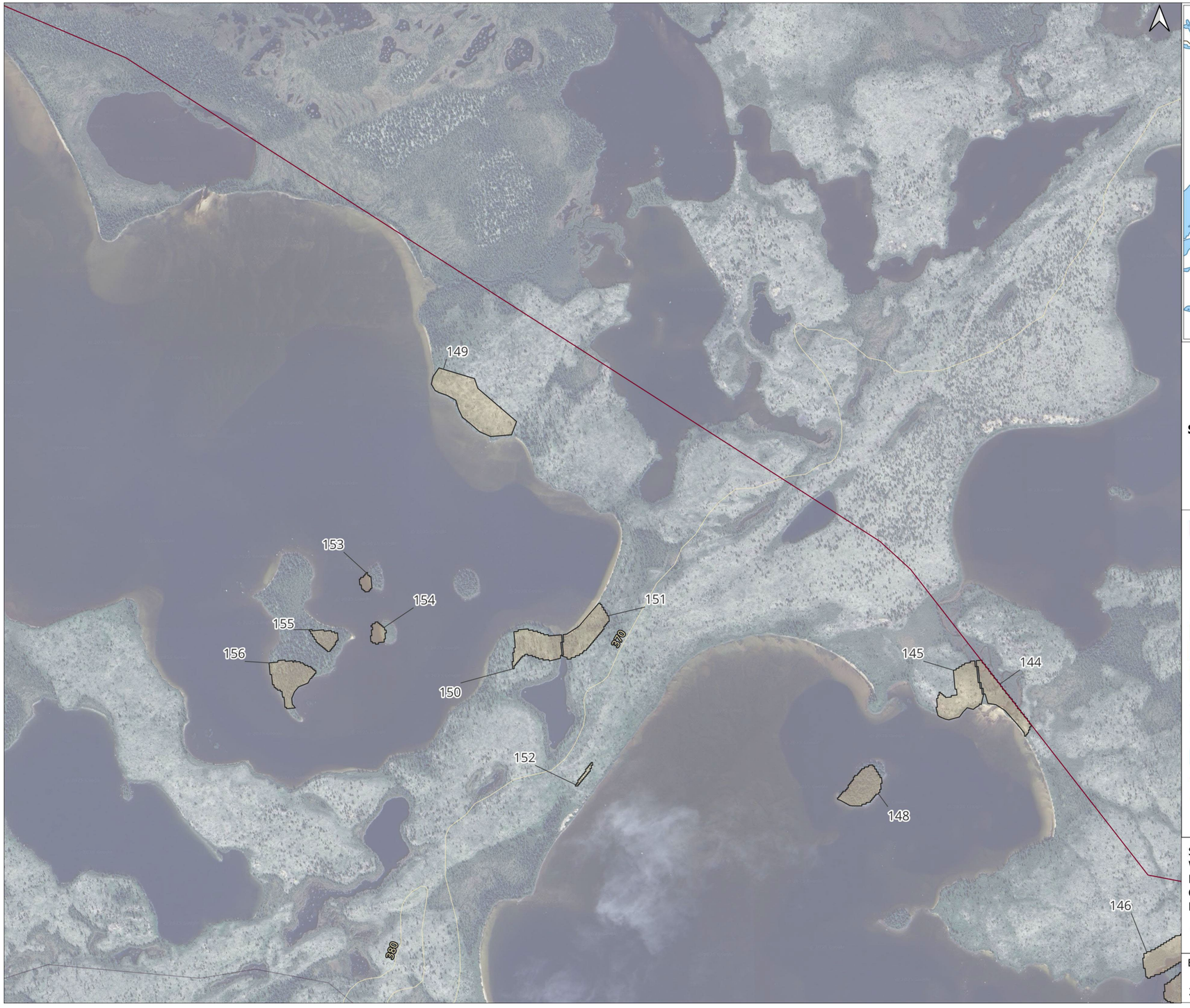

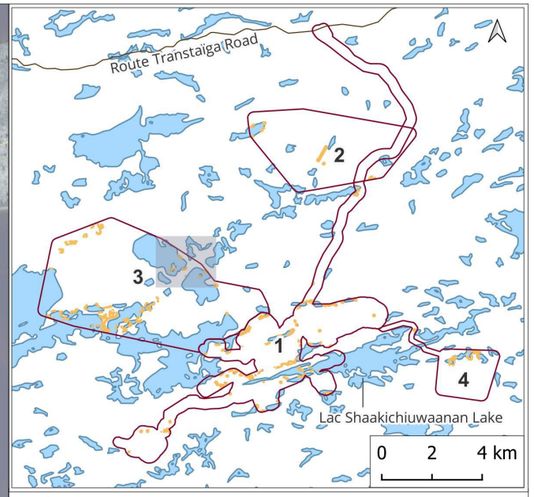

Métaux de Batterie Patriot Inc. (Innova Lithium Inc.)
Projet minier Shakichiuwaanan – anciennement Corvette

—

Patriot Battery Metals Inc. (Innova Lithium Inc.)
Shaakichiuwaanan – formerly Corvette, Mining Project

Eeyou Istchee Baie-James, Nord-du-Québec, Québec

Carte/Map 6
Potentiel archéologique/Archaeological Potential

Aire à l'étude/Study Area
Secteur/Sector 1
Secteur/Sector 2
Secteur/Sector 3
Secteur/Sector 4

Potentiel archéologique/Archaeological Potential

Fort/High
Moyen/Medium
Subaquatique/Underwater

Infrastructure projetée/Planned Infrastructure
Infrastructure projetée/Planned Infrastructure

Plan d'eau/Waterbody
Chemin/Road
Courbe de niveau/Contour Line

Sources
WSP Canada inc. 2023, Archéoconsultant 2025, Ressources naturelles Canada/ Natural Resources Canada, Série CanVec/CanVec Series 2019, Google Satellite 2023, Bing Virtual Earth 2025

0 100 200 m

Nad83 UTM 18N

E.Bergeron

2025-09-04

Archeo consultant

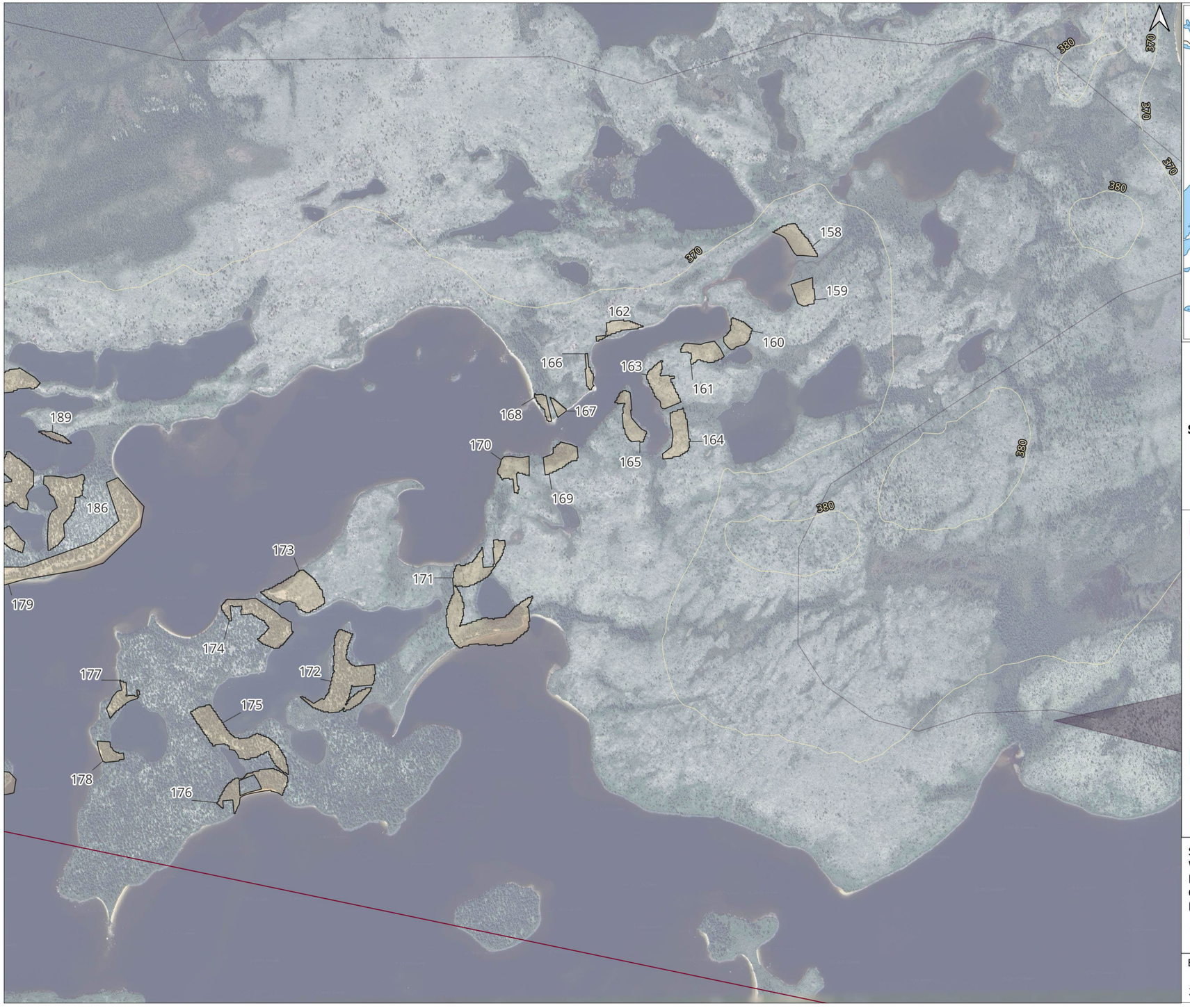

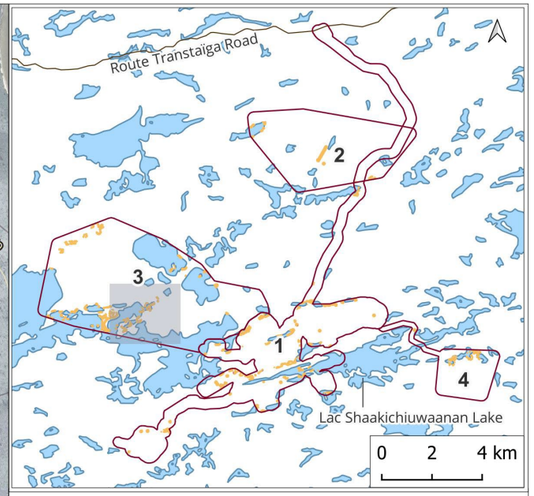

Métaux de Batterie Patriot Inc. (Innova Lithium Inc.)
Projet minier Shakichiuwaanan – anciennement Corvette

—

Patriot Battery Metals Inc. (Innova Lithium Inc.)
Shaakichiuwaanan – formerly Corvette, Mining Project

Eeyou Istchee Baie-James, Nord-du-Québec, Québec

Carte/Map 7
Potentiel archéologique/Archaeological Potential

Aire à l'étude/Study Area
Secteur/Sector 1
Secteur/Sector 2
Secteur/Sector 3
Secteur/Sector 4

Potentiel archéologique/Archaeological Potential

Fort/High
Moyen/Medium
Subaquatique/Underwater

Infrastructure projetée/Planned Infrastructure
Infrastructure projetée/Planned Infrastructure

Plan d'eau/Waterbody
Chemin/Road
Courbe de niveau/Contour Line

Sources
WSP Canada inc. 2023, Archéoconsultant 2025, Ressources naturelles Canada/ Natural Resources Canada, Série CanVec/CanVec Series 2019, Google Satellite 2023, Bing Virtual Earth 2025

0 200 400 m
Nad83 UTM 18N

E.Bergeron

2025-09-04

Archeo consultant

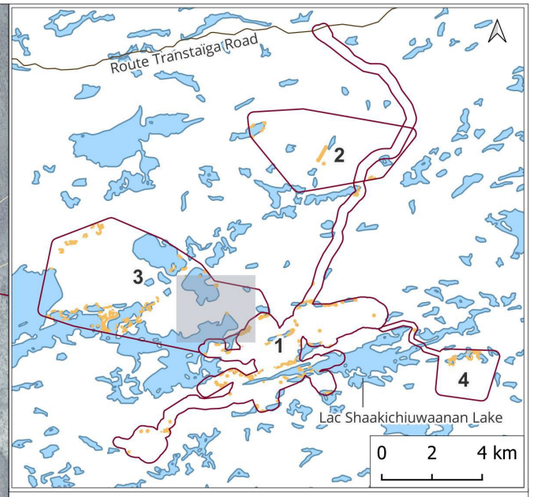

Métaux de Batterie Patriot Inc. (Innova Lithium Inc.)
Projet minier Shakichiuwaanan – anciennement Corvette

—

Patriot Battery Metals Inc. (Innova Lithium Inc.)
Shaakichiuwaanan – formerly Corvette, Mining Project

Eeyou Istchee Baie-James, Nord-du-Québec, Québec

Carte/Map 8
Potentiel archéologique/Archaeological Potential

Aire à l'étude/Study Area
Secteur/Sector 1
Secteur/Sector 2
Secteur/Sector 3
Secteur/Sector 4

Potentiel archéologique/Archaeological Potential

Fort/High
Moyen/Medium
Subaquatique/Underwater

Infrastructure projetée/Planned Infrastructure
Infrastructure projetée/Planned Infrastructure

Plan d'eau/Waterbody
Chemin/Road
Courbe de niveau/Contour Line

Sources
WSP Canada inc. 2023, Archéoconsultant 2025, Ressources naturelles Canada/ Natural Resources Canada, Série CanVec/CanVec Series 2019, Google Satellite 2023, Bing Virtual Earth 2025

0 200 400 m
Nad83 UTM 18N

E.Bergeron

2025-09-04

Archeo consultant

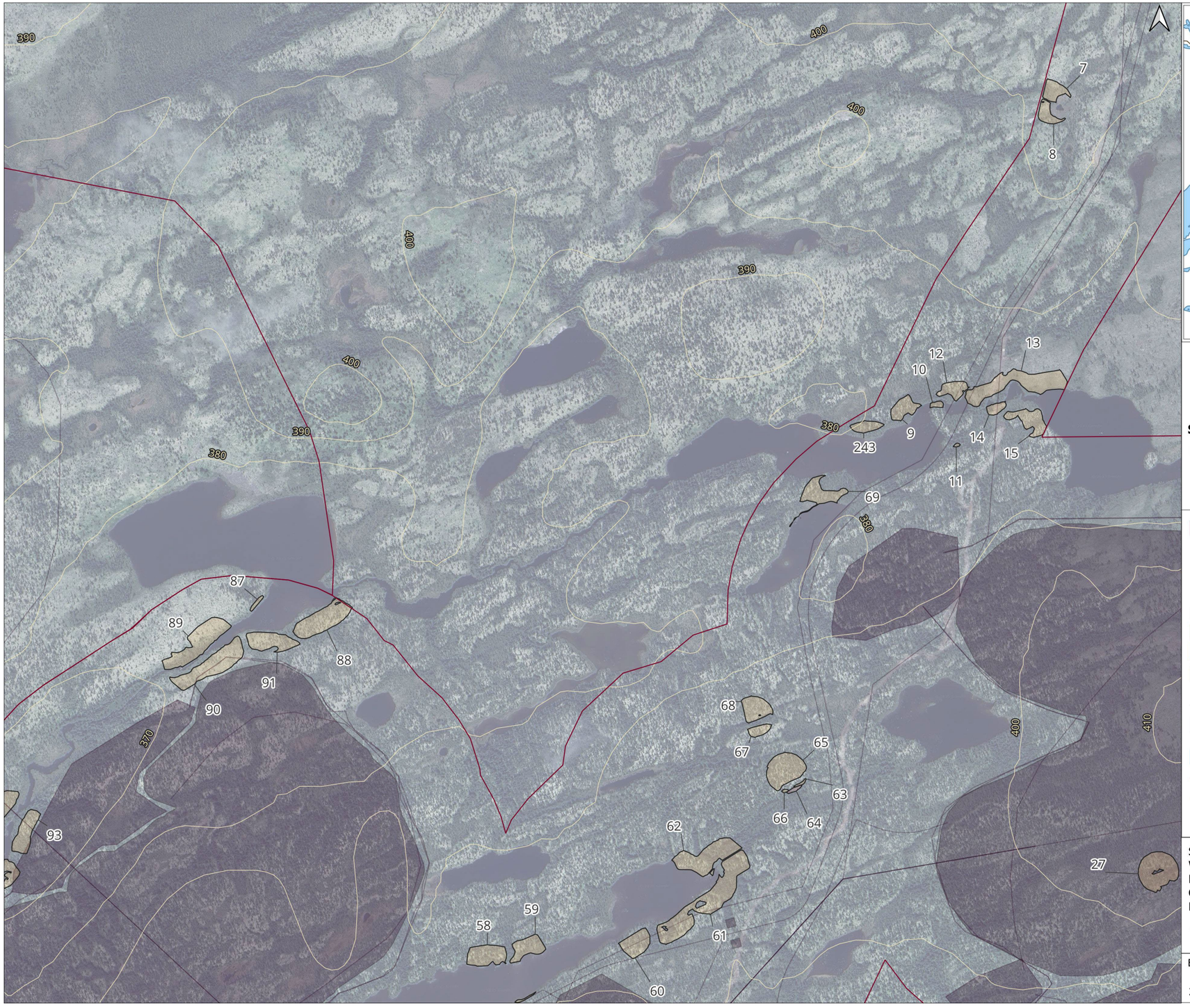

Métaux de Batterie Patriot Inc. (Innova Lithium Inc.)
Projet minier Shakichiuwaanan – anciennement Corvette

—

Patriot Battery Metals Inc. (Innova Lithium Inc.)
Shaakichiuwaanan – formerly Corvette, Mining Project

Eeyou Istchee Baie-James, Nord-du-Québec, Québec

Carte/Map 9
Potentiel archéologique/Archaeological Potential

Aire à l'étude/Study Area
Secteur/Sector 1
Secteur/Sector 2
Secteur/Sector 3
Secteur/Sector 4

Potentiel archéologique/Archaeological Potential

Fort/High
Moyen/Medium
Subaquatique/Underwater

Infrastructure projetée/Planned Infrastructure
Infrastructure projetée/Planned Infrastructure

Plan d'eau/Waterbody
Chemin/Road
Courbe de niveau/Contour Line

Sources
WSP Canada inc. 2023, Archéoconsultant 2025, Ressources naturelles Canada/ Natural Resources Canada, Série CanVec/CanVec Series 2019, Google Satellite 2023, Bing Virtual Earth 2025

0 200 400 m
Nad83 UTM 18N

E.Bergeron

2025-09-04

Archeo consultant

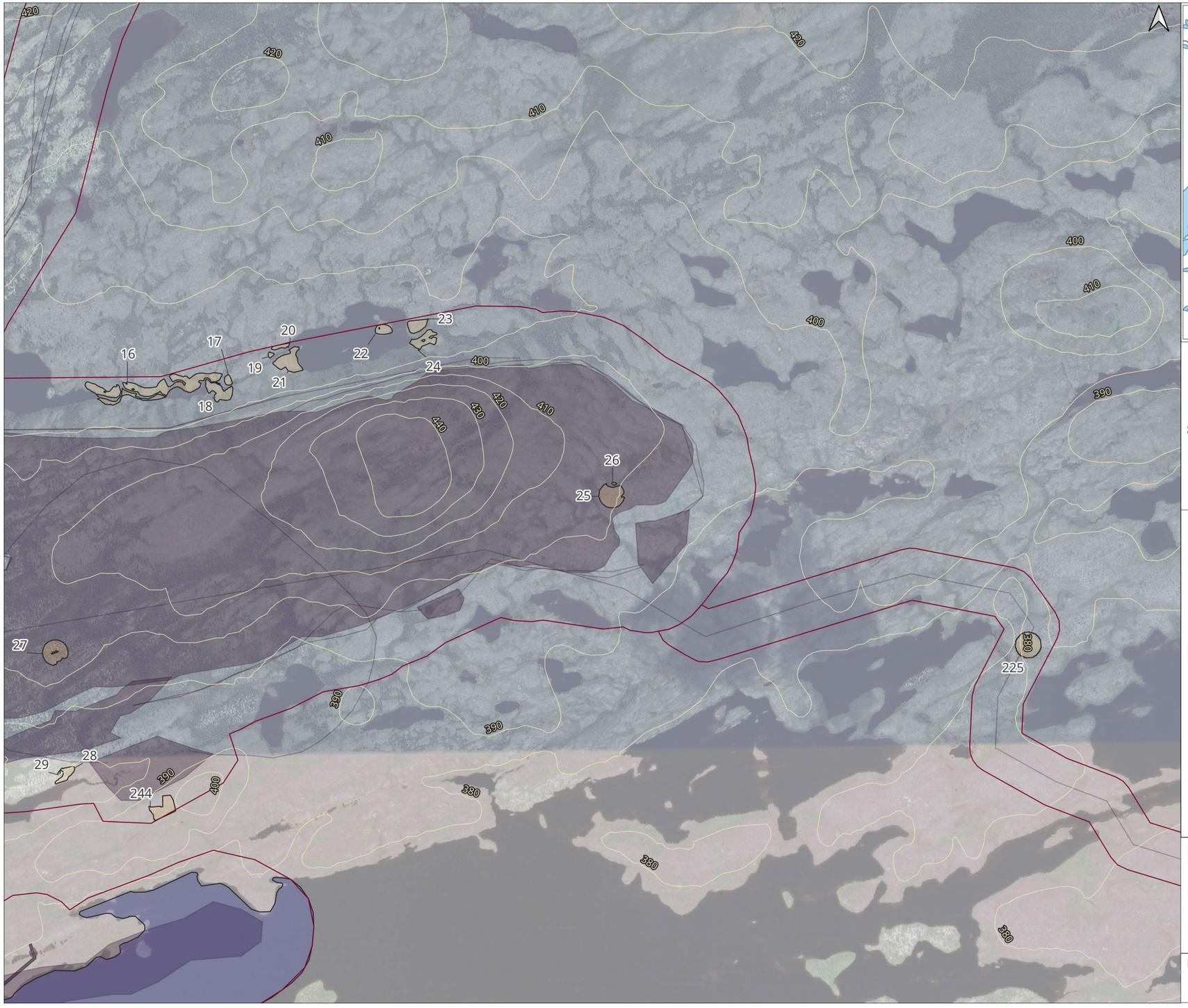

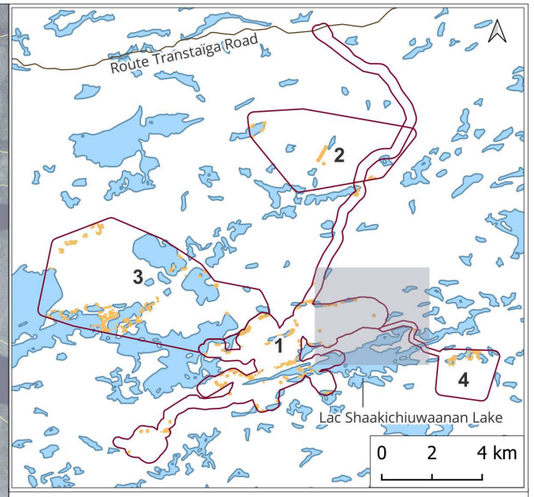

Métaux de Batterie Patriot Inc. (Innova Lithium Inc.)
Projet minier Shakichiuwaanan – anciennement Corvette

—

Patriot Battery Metals Inc. (Innova Lithium Inc.)
Shaakichiuwaanan – formerly Corvette, Mining Project

Eeyou Istchee Baie-James, Nord-du-Québec, Québec

Carte/Map 10
Potentiel archéologique/Archaeological Potential

Aire à l'étude/Study Area
Secteur/Sector 1
Secteur/Sector 2
Secteur/Sector 3
Secteur/Sector 4

Potentiel archéologique/Archaeological Potential
Fort/High
Moyen/Medium
Subaquatique/Underwater

Infrastructure projetée/Planned Infrastructure
Infrastructure projetée/Planned Infrastructure

Plan d'eau/Waterbody
Chemin/Road
Courbe de niveau/Contour Line

Sources
WSP Canada inc. 2023, Archéoconsultant 2025, Ressources naturelles Canada/ Natural Resources Canada, Série CanVec/CanVec Series 2019, Google Satellite 2023, Bing Virtual Earth 2025

0 300 600 m
Nad83 UTM 18N

E.Bergeron

2025-09-04

Archeo consultant

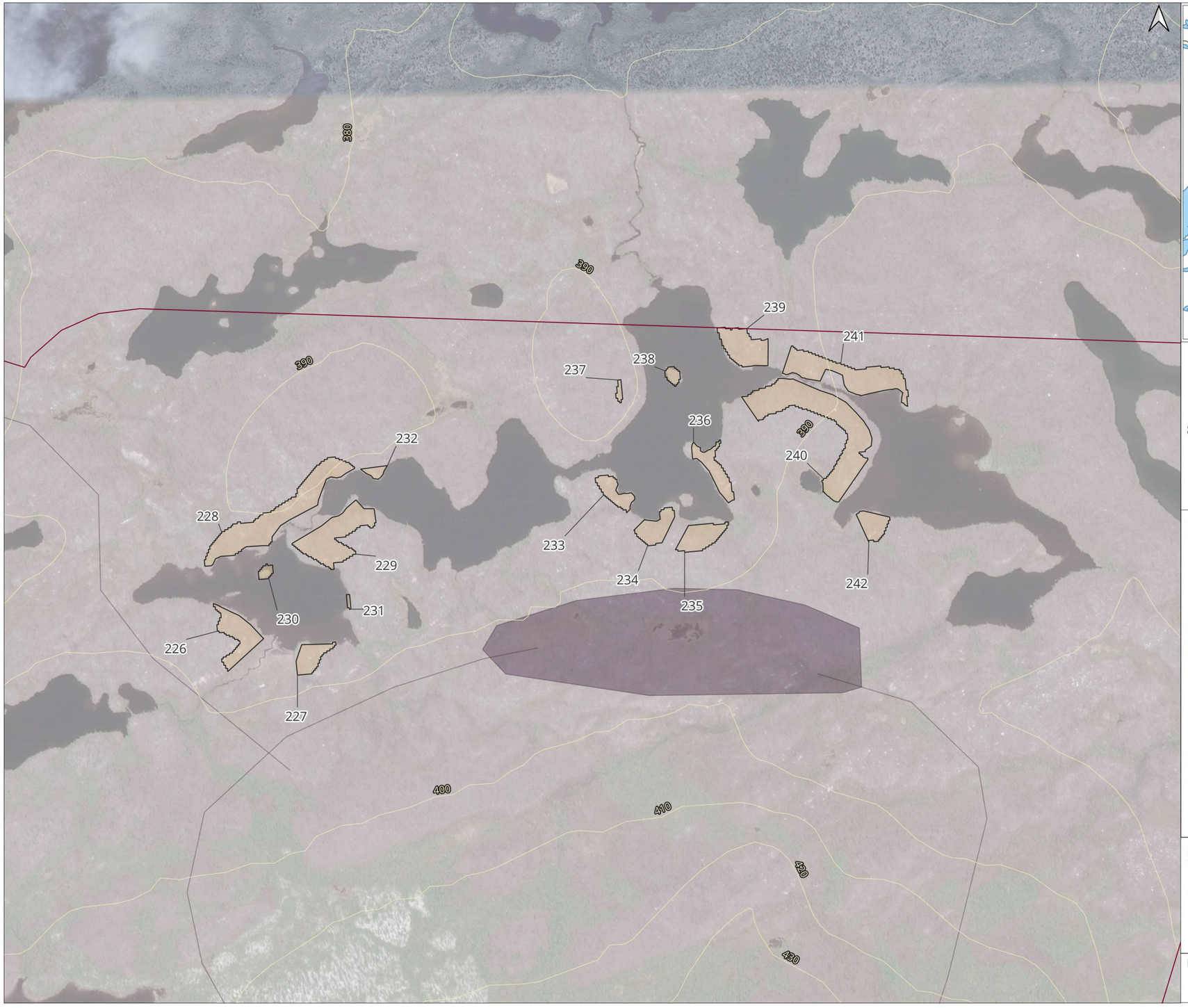

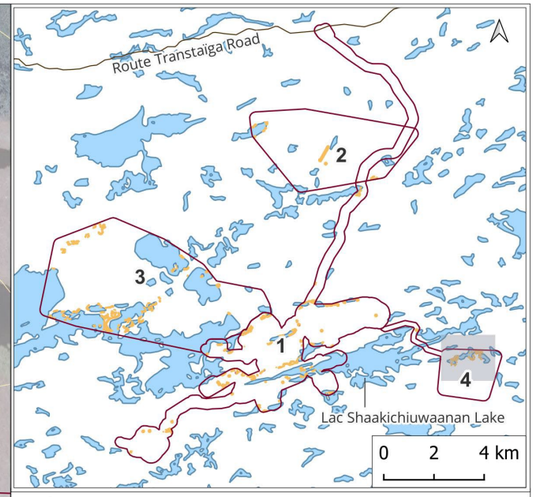

Métaux de Batterie Patriot Inc. (Innova Lithium Inc.)
Projet minier Shakichiuwaanan – anciennement Corvette

—

Patriot Battery Metals Inc. (Innova Lithium Inc.)
Shaakichiuwaanan – formerly Corvette, Mining Project

Eeyou Istchee Baie-James, Nord-du-Québec, Québec

Carte/Map 11
Potentiel archéologique/Archaeological Potential

Aire à l'étude/Study Area
Secteur/Sector 1
Secteur/Sector 2
Secteur/Sector 3
Secteur/Sector 4

Potentiel archéologique/Archaeological Potential

Fort/High
Moyen/Medium
Subaquatique/Underwater

Infrastructure projetée/Planned Infrastructure
Infrastructure projetée/Planned Infrastructure

Plan d'eau/Waterbody
Chemin/Road
Courbe de niveau/Contour Line

Sources
WSP Canada inc. 2023, Archéoconsultant 2025, Ressources naturelles Canada/ Natural Resources Canada, Série CanVec/CanVec Series 2019, Google Satellite 2023, Bing Virtual Earth 2025

0 100 200 m
Nad83 UTM 18N

E.Bergeron

2025-09-04

Archeo consultant

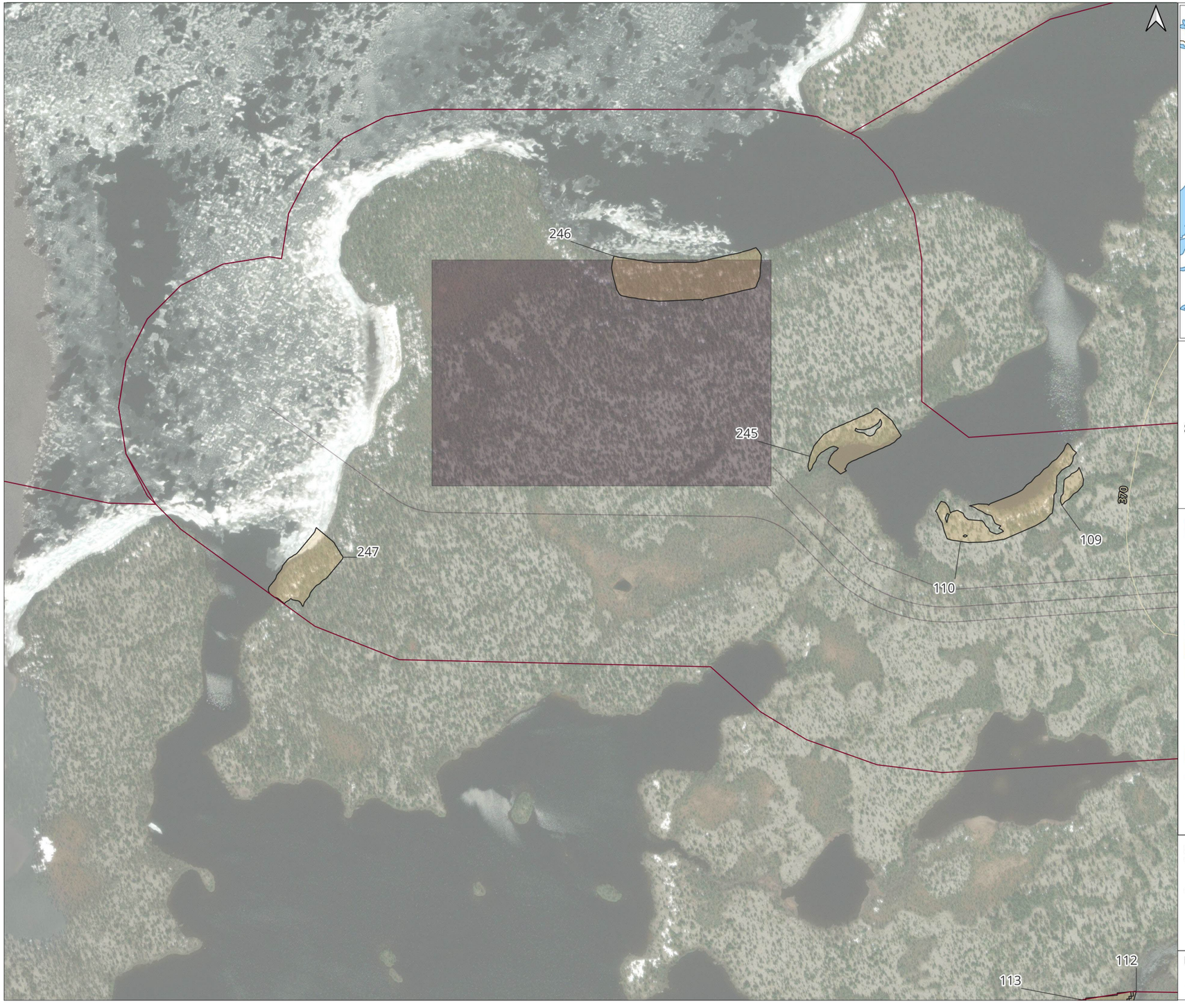

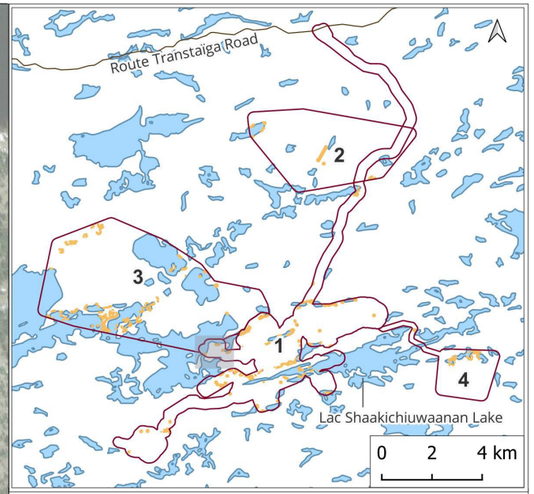

Métaux de Batterie Patriot Inc. (Innova Lithium Inc.)
Projet minier Shakichiuwaanan – anciennement Corvette

—

Patriot Battery Metals Inc. (Innova Lithium Inc.)
Shaakichiuwaanan – formerly Corvette, Mining Project

Eeyou Istchee Baie-James, Nord-du-Québec, Québec

Carte/Map 12
Potentiel archéologique/Archaeological Potential

Aire à l'étude/Study Area
Secteur/Sector 1
Secteur/Sector 2
Secteur/Sector 3
Secteur/Sector 4

Potentiel archéologique/Archaeological Potential

Fort/High
Moyen/Medium
Subaquatique/Underwater

Infrastructure projetée/Planned Infrastructure
Infrastructure projetée/Planned Infrastructure

Plan d'eau/Waterbody
Chemin/Road
Courbe de niveau/Contour Line

Sources
WSP Canada inc. 2023, Archéoconsultant 2025, Ressources naturelles Canada/ Natural Resources Canada, Série CanVec/CanVec Series 2019, Google Satellite 2023, Bing Virtual Earth 2025

0 100 200 m
Nad83 UTM 18N

E.Bergeron

2025-09-04

Archeo consultant

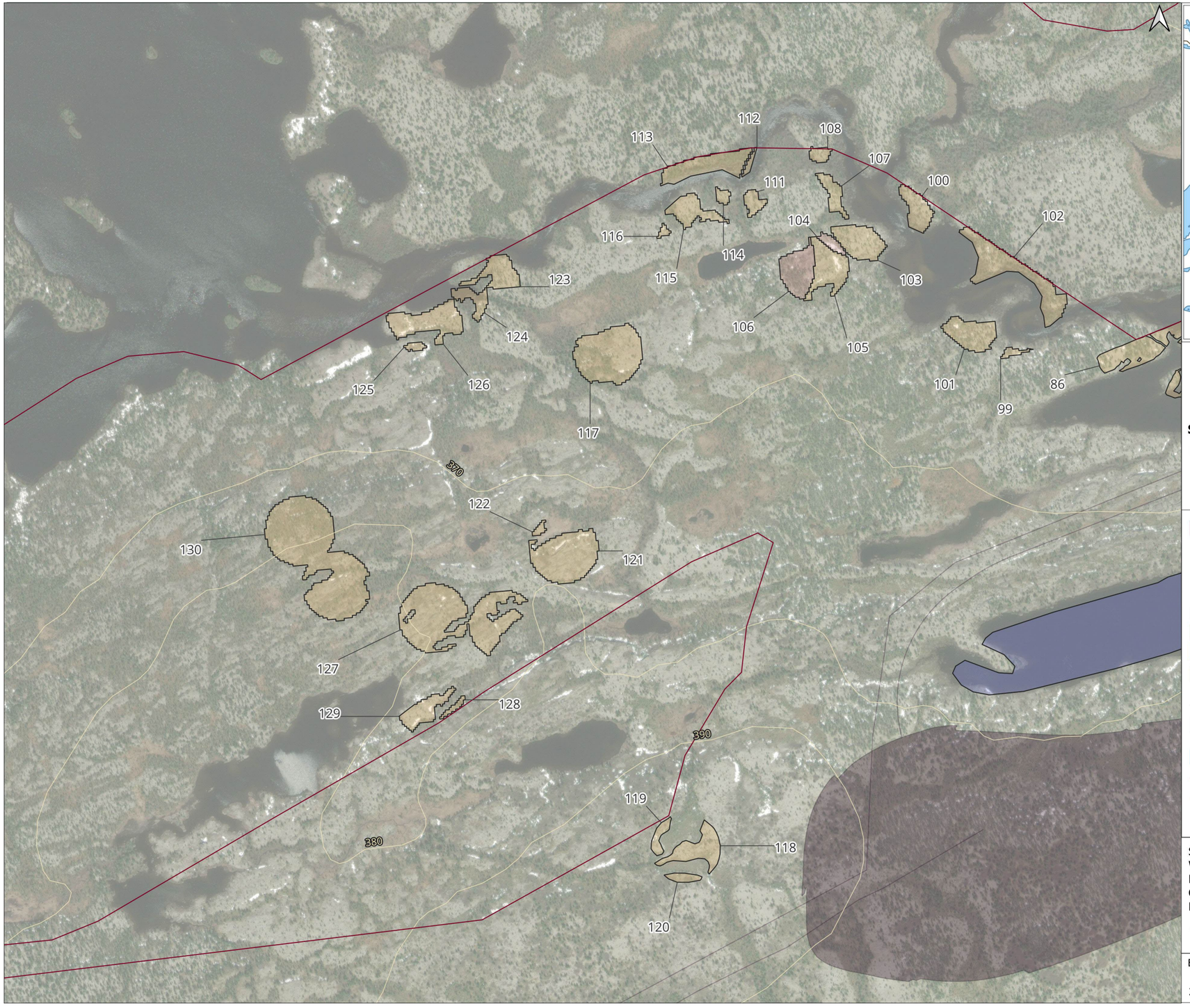

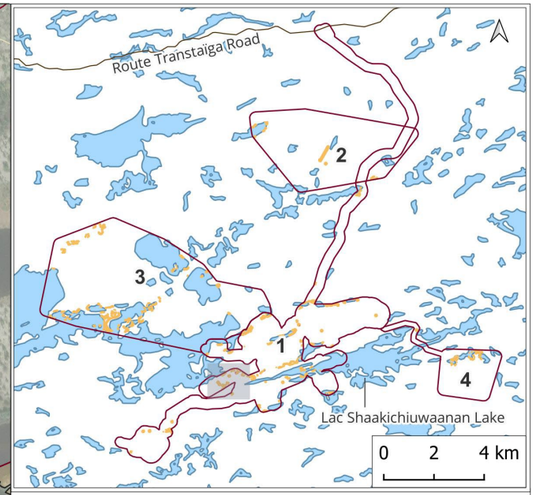

Métaux de Batterie Patriot Inc. (Innova Lithium Inc.)
Projet minier Shakichiuwaanan – anciennement Corvette

—

Patriot Battery Metals Inc. (Innova Lithium Inc.)
Shaakichiuwaanan – formerly Corvette, Mining Project

Eeyou Istchee Baie-James, Nord-du-Québec, Québec

Carte/Map 13
Potentiel archéologique/Archaeological Potential

Aire à l'étude/Study Area
Secteur/Sector 1
Secteur/Sector 2
Secteur/Sector 3
Secteur/Sector 4

Potentiel archéologique/Archaeological Potential

Fort/High
Moyen/Medium
Subaquatique/Underwater

Infrastructure projetée/Planned Infrastructure
Infrastructure projetée/Planned Infrastructure

Plan d'eau/Waterbody
Chemin/Road
Courbe de niveau/Contour Line

Sources
WSP Canada inc. 2023, Archéoconsultant 2025, Ressources naturelles Canada/ Natural Resources Canada, Série CanVec/CanVec Series 2019, Google Satellite 2023, Bing Virtual Earth 2025

0 100 200 m
Nad83 UTM 18N

E.Bergeron

2025-09-04

Archeo consultant

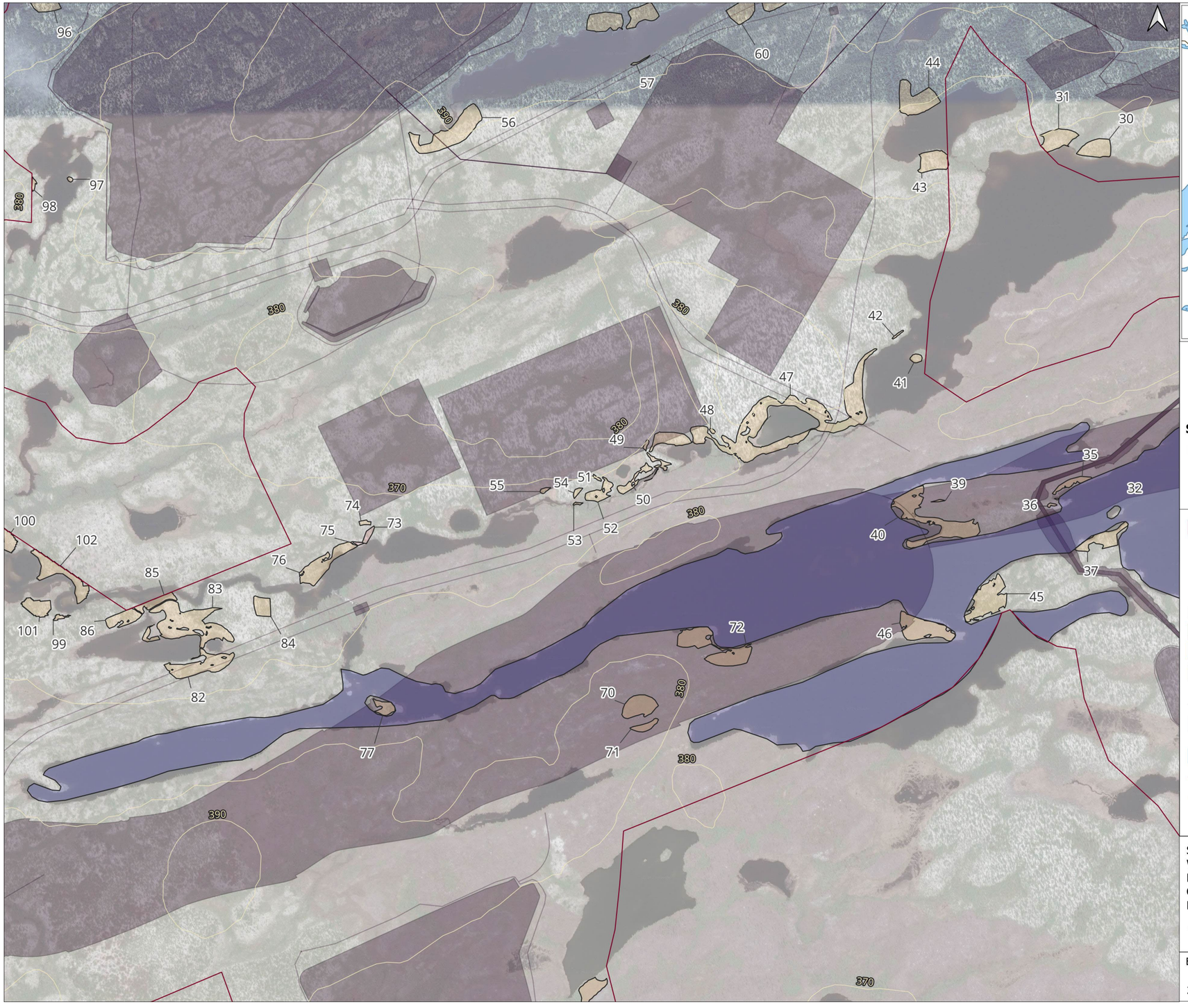

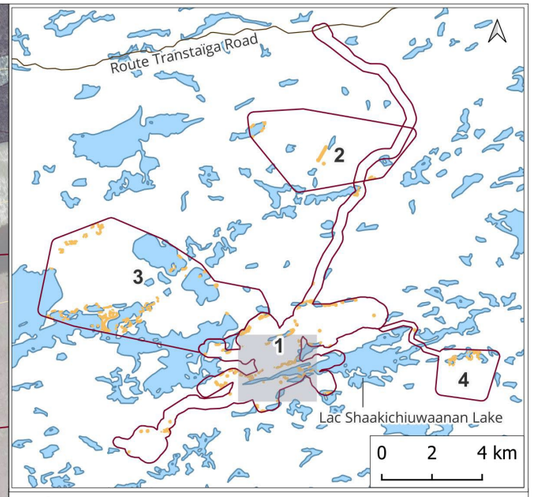

Métaux de Batterie Patriot Inc. (Innova Lithium Inc.)
Projet minier Shakichiuwaanan – anciennement Corvette

—

Patriot Battery Metals Inc. (Innova Lithium Inc.)
Shaakichiuwaanan – formerly Corvette, Mining Project

Eeyou Istchee Baie-James, Nord-du-Québec, Québec

Carte/Map 14
Potentiel archéologique/Archaeological Potential

Aire à l'étude/Study Area
Secteur/Sector 1
Secteur/Sector 2
Secteur/Sector 3
Secteur/Sector 4

Potentiel archéologique/Archaeological Potential

Fort/High
Moyen/Medium
Subaquatique/Underwater

Infrastructure projetée/Planned Infrastructure
Infrastructure projetée/Planned Infrastructure

Plan d'eau/Waterbody
Chemin/Road
Courbe de niveau/Contour Line

Sources
WSP Canada inc. 2023, Archéoconsultant 2025, Ressources naturelles Canada/ Natural Resources Canada, Série CanVec/CanVec Series 2019, Google Satellite 2023, Bing Virtual Earth 2025

0 200 400 m
Nad83 UTM 18N

E.Bergeron

2025-09-04

Archeo consultant

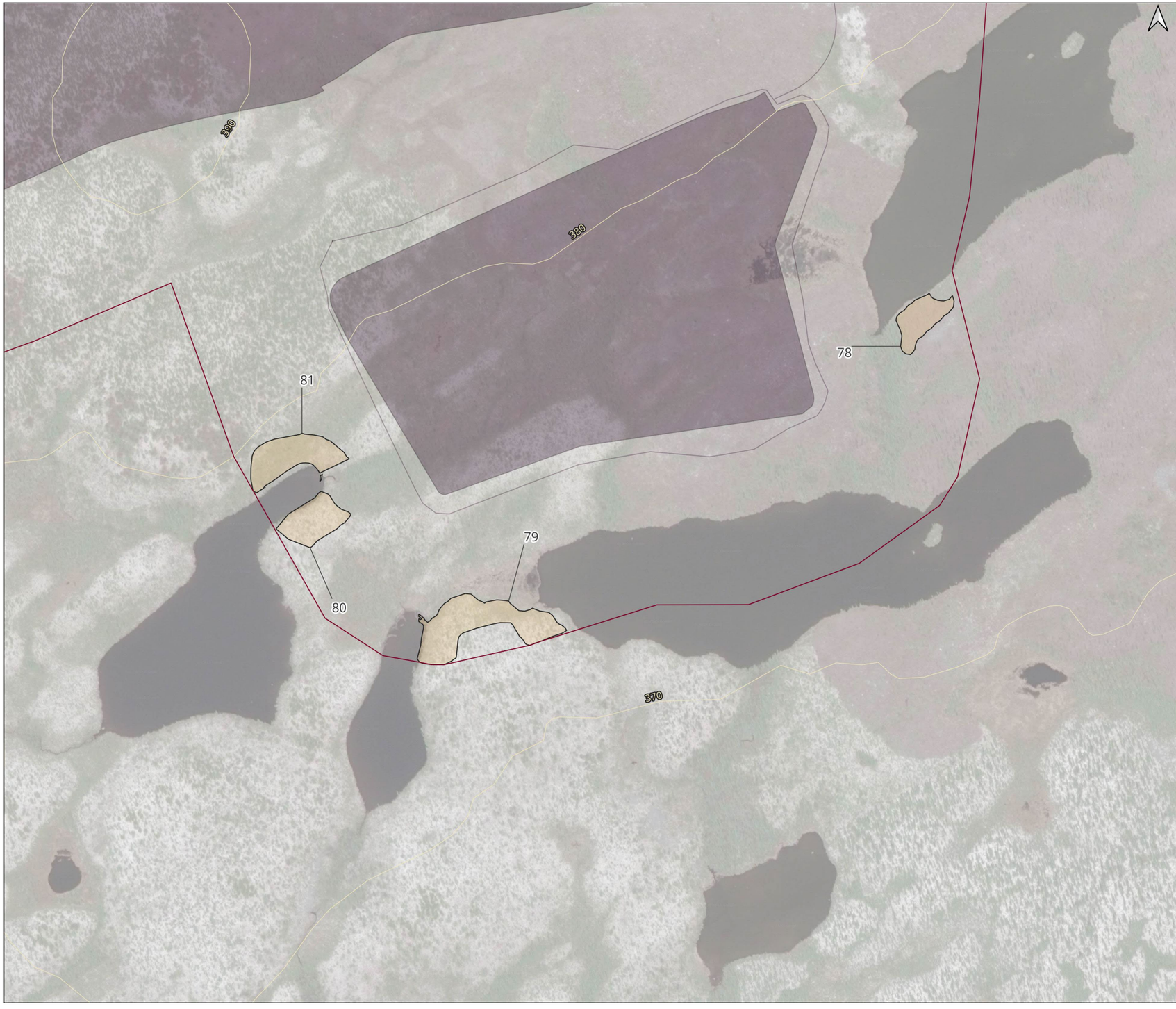

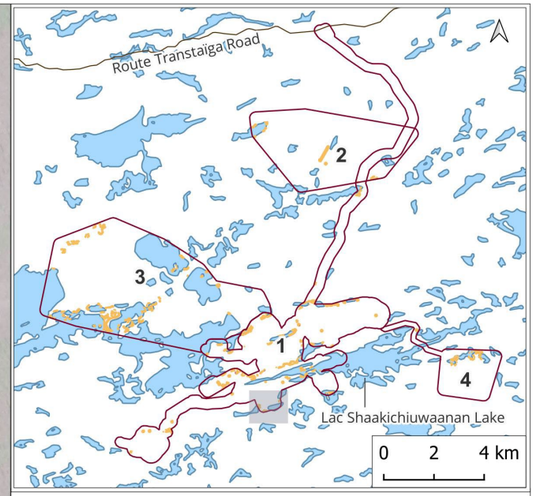

Métaux de Batterie Patriot Inc. (Innova Lithium Inc.)
Projet minier Shakichiuwaanan – anciennement Corvette

—

Patriot Battery Metals Inc. (Innova Lithium Inc.)
Shaakichiuwaanan – formerly Corvette, Mining Project

Eeyou Istchee Baie-James, Nord-du-Québec, Québec

Carte/Map 15
Potentiel archéologique/Archaeological Potential

Aire à l'étude/Study Area
Secteur/Sector 1
Secteur/Sector 2
Secteur/Sector 3
Secteur/Sector 4

Potentiel archéologique/Archaeological Potential
Fort/High
Moyen/Medium
Subaquatique/Underwater

Infrastructure projetée/Planned Infrastructure
Infrastructure projetée/Planned Infrastructure

Plan d'eau/Waterbody
Chemin/Road
Courbe de niveau/Contour Line

Sources
WSP Canada inc. 2023, Archéoconsultant 2025, Ressources naturelles Canada/ Natural Resources Canada, Série CanVec/CanVec Series 2019, Google Satellite 2023, Bing Virtual Earth 2025

0 100 200 m
Nad83 UTM 18N

E.Bergeron

2025-09-04

Archeo consultant

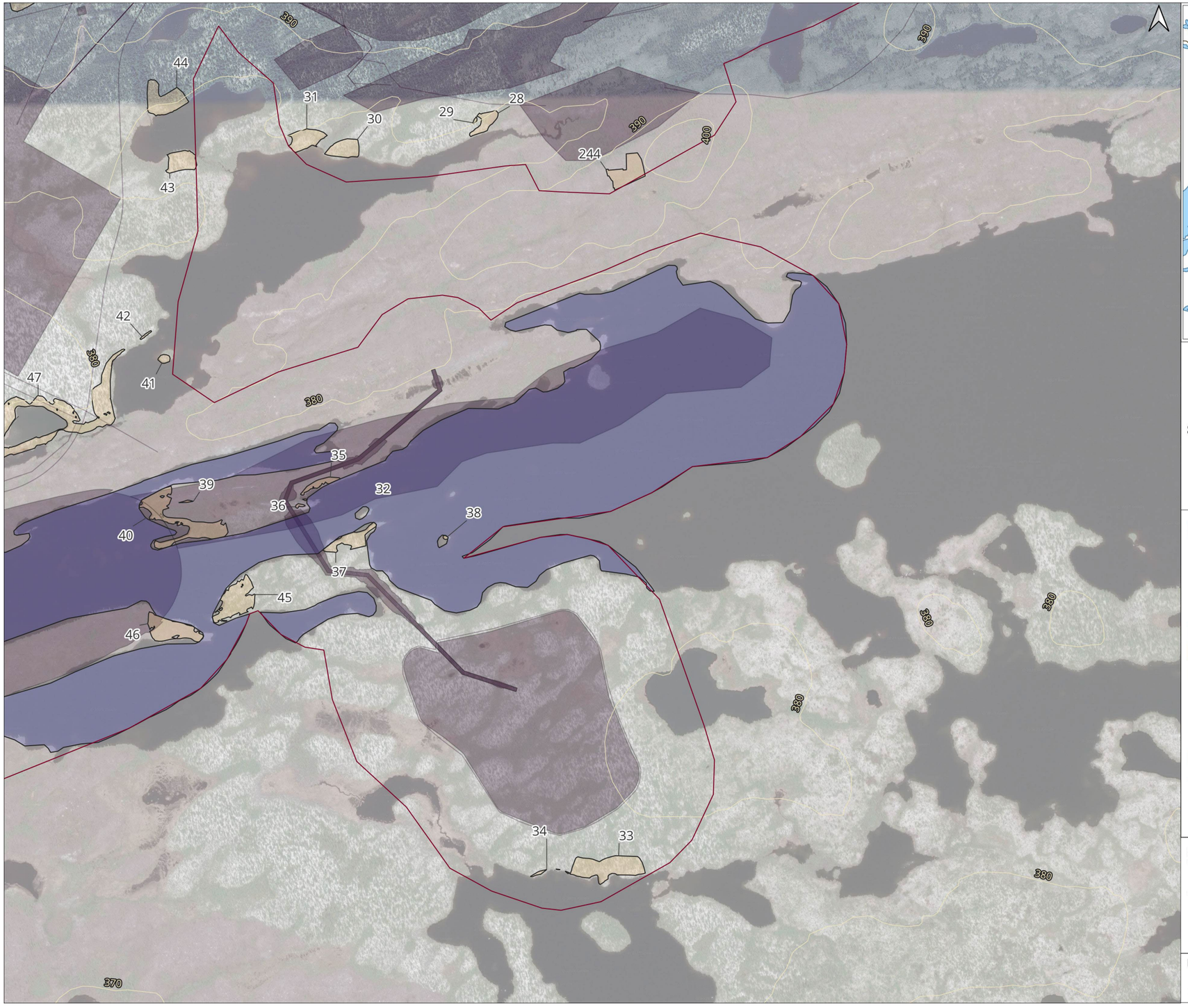

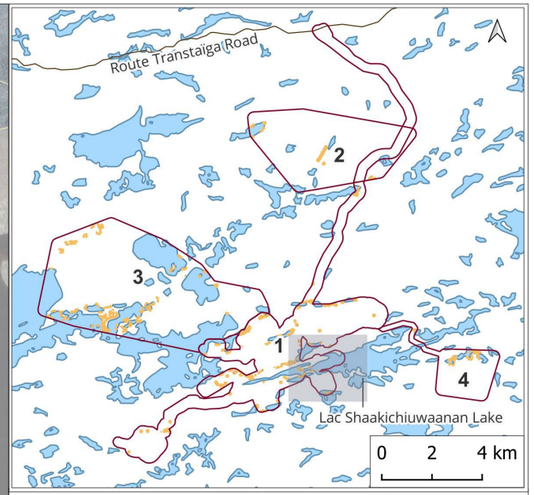

Métaux de Batterie Patriot Inc. (Innova Lithium Inc.)
Projet minier Shakichiuwaanan – anciennement Corvette

—

Patriot Battery Metals Inc. (Innova Lithium Inc.)
Shaakichiuwaanan – formerly Corvette, Mining Project

Eeyou Istchee Baie-James, Nord-du-Québec, Québec

Carte/Map 16
Potentiel archéologique/Archaeological Potential

Aire à l'étude/Study Area
Secteur/Sector 1
Secteur/Sector 2
Secteur/Sector 3
Secteur/Sector 4

Potentiel archéologique/Archaeological Potential
Fort/High
Moyen/Medium
Subaquatique/Underwater

Infrastructure projetée/Planned Infrastructure
Infrastructure projetée/Planned Infrastructure

Plan d'eau/Waterbody
Chemin/Road
Courbe de niveau/Contour Line

Sources
WSP Canada inc. 2023, Archéoconsultant 2025, Ressources naturelles Canada/ Natural Resources Canada, Série CanVec/CanVec Series 2019, Google Satellite 2023, Bing Virtual Earth 2025

0 200 400 m
Nad83 UTM 18N

E.Bergeron

2025-09-04

Archeo consultant

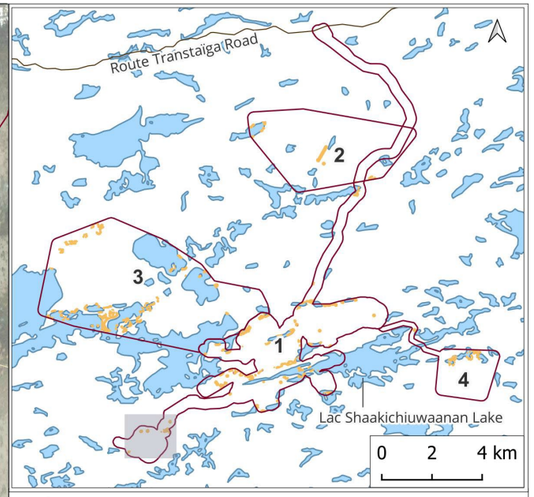

Métaux de Batterie Patriot Inc. (Innova Lithium Inc.)
Projet minier Shakichiuwaanan – anciennement Corvette

—

Patriot Battery Metals Inc. (Innova Lithium Inc.)
Shaakichiuwaanan – formerly Corvette, Mining Project

Eeyou Istchee Baie-James, Nord-du-Québec, Québec

Carte/Map 17
Potentiel archéologique/Archaeological Potential

Aire à l'étude/Study Area
Secteur/Sector 1
Secteur/Sector 2
Secteur/Sector 3
Secteur/Sector 4

Potentiel archéologique/Archaeological Potential
Fort/High
Moyen/Medium
Subaquatique/Underwater

Infrastructure projetée/Planned Infrastructure
Infrastructure projetée/Planned Infrastructure

Plan d'eau/Waterbody
Chemin/Road
Courbe de niveau/Contour Line

Sources
WSP Canada inc. 2023, Archéoconsultant 2025, Ressources naturelles Canada/ Natural Resources Canada, Série CanVec/CanVec Series 2019, Google Satellite 2023, Bing Virtual Earth 2025

0 100 200 m
Nad83 UTM 18N

E.Bergeron

2025-09-04

Archeo consultant